



BIBLIOTECA DE
CLASICOS CUBANOS

FELIPE POEY y ALOY



ICTIOLOGÍA
CUBANA

ATLAS
(Volumen III)

IC
IMAGEN CONTEMPORÁNEA



BIBLIOTECA DE
CLASICOS CUBANOS

FELIPE POEY y ALLOY



ICTIOLOGÍA
CUBANA
ATLAS
(Volumen III)



CASA DE ALTOS ESTUDIOS DON FERNANDO ORTIZ
UNIVERSIDAD DE LA HABANA

BIBLIOTECA DE CLÁSICOS CUBANOS

RECTOR DE LA UNIVERSIDAD DE LA HABANA

Y PRESIDENTE

Juan Vela Valdés

DIRECTOR

Eduardo Torres-Cuevas

SUBDIRECTOR

Luis M. de las Traviesas Moreno

EDITORA PRINCIPAL

Gladys Alonso González

DIRECTOR ARTÍSTICO

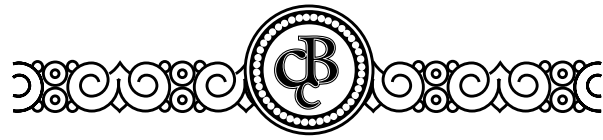
Earles de la O Torres

ADMINISTRADORA EDITORIAL

Esther Lobaina Oliva



Esta obra se publica con el auspicio del
Centro de Investigaciones Marinas de La Universidad de La Habana y el Ministerio de la Industria Pesquera.



BIBLIOTECA DE
CLASICOS CUBANOS

FELIPE POEY y ALOY



ICTIOLOGÍA
CUBANA
ATLAS
(Volumen III)

Edición científica
Darío Guitart Manday

DC
IMAGEN CONTEMPORÁNEA
LA HABANA, 2000

Responsable de la edición:
Juan F. Valdés Montero

Diseño gráfico:
Earles de la O Torres

Digitalización y emplane:
Luis Gutiérrez Eiró

Composición de textos:
Equipo de Ediciones IC

Todos los derechos reservados

© Sobre la presente edición: Ediciones IMAGEN CONTEMPORÁNEA, 2000;
Colección Biblioteca de Clásicos Cubanos, No. 9

ISBN 959-7078-12-0 obra completa

ISBN 959-7078-15-5 volumen III

Ediciones IMAGEN CONTEMPORÁNEA

Casa de Altos Estudios Don Fernando Ortiz, L y 27, CP 10400, Vedado, Ciudad de La Habana, Cuba

AL LECTOR

Corría el primer trimestre de 1998 cuando, por esta Biblioteca de Clásicos Cubanos, su equipo de dirección coordinaba con el doctor Darío Guitart Manday los inicios, en toda su dimensión y por vez primera, de la edición, tras largos 116 años, de la monumental *Ictiología cubana* del sabio Felipe Poey y Aloy.

Después de la paciente, erudita y cuidadosa tarea del doctor Guitart —a quien siempre agradeceremos la transcripción, conjunción y, por último, edición científica de la obra—, empezamos un proceso materializador de esta publicación en el bicentenario del nacimiento del naturalista más eminente de Cuba; así, los 2 volúmenes contentivos de la *Ictiología* en sus textos han quedado correspondidos con el *Atlas*, en gran formato, de los peces estudiados por el sabio cubano. En un lapso de 2 años nos acompañó la pasión científica y la amistosa sonrisa del doctor Guitart Manday; por ello, en tan poco tiempo

pudo el equipo editorial designado para la realización de esta obra, calibrar la magnitud de la empresa y considerar su histórico significado. Él logró sensibilizar con su modestia de hombre de ciencias, la superación de esfuerzos anteriores de laboriosos científicos y académicos cubanos.

El editor —quien ya contaba con otras experiencias editoriales con Guitart—, en estrecha realción con el director artístico, emplanadores y técnicos de computación, desarrollaron los trabajos que posibilitarían el cumplimiento de esta ardua y compleja labor editorial. Tanto los textos como las láminas, explicados al detalle en líneas introductorias del propio Guitart en el primer volumen de esta obra y en las páginas que siguen, sólo serán aquilatados en toda su magnitud, cuando el lector lo compruebe al tener estos 3 volúmenes en sus manos.

No se podía imaginar, en los momentos de clausura conjunta del coloquio *Cuba,*

448

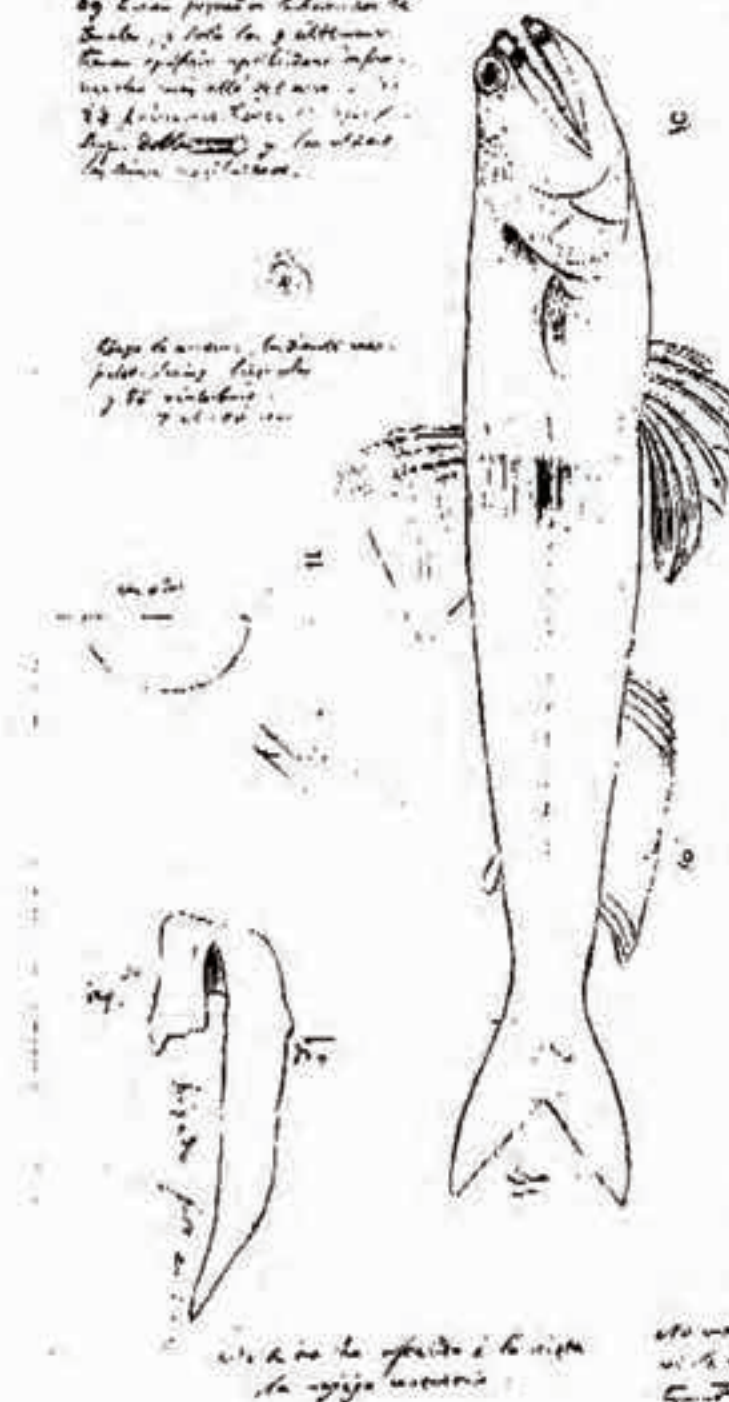
Stachimosephalus brevirostris, Gray 1182
Udg. Segundo

442

L'Amour

卷之四

It is believed, & to make
by this proportion there will be
Sole, & Sole for 2 others
than office particular info-
rations may all be true. & in
the former case it will
be ~~done~~, & in that
of course.



que ha sido la mejor
de todos los años.

the anterior pair being longer & wider than the middle, which however
is not very long.

No. 20 - *Leptothrix* angusta, *Leptothrix* *angusta*
Benth. Gray, *Leptothrix* *angusta*.

Segundo

Cupressus sempervirens, 1/10
approximate.

Si pone tipo en la caja
y se pone la tapa en la otra
de modo que se apoye
en la otra caja.

Ha a testa plana, con dos
pares de cuernos que parten
de la base. Los cuernos son
en forma de cuerno de alce.
Los cuernos parten de la
base de la cara y se curvan hacia

llores, yendo en los de
vicio, y no bastó su
corazón ni la fuerza de su
fuerza, para que se
pusiera en el trono
de su hermano, y que
se sentara en los asientos
de su hermano, y que
fueran sus siervos.

Color amarillo puro y fondo
en gris, anillado por un anillo
blanqueo a gris oscuro bordado en
anillo. En el ojo blanco. Ojos
oscuros. La pectoral de la espalda
gris. Alas grises con fondo
azul oscuro negro en el centro del que
está la raya. Pechos y pecho con fondo
azul oscuro. Vientre blanco con algo de
azul oscuro. Largos y portando una pectoral
azul oscuro. Los demás partes blancas

Cultura de la Emancipación. Las Ideas de Varela a Martí, y el simposio *Felipe Poey y Aloy*, el 27 de enero en el Aula Magna universitaria, que apenas semanas después, el 18 de marzo, el doctor Darío Guitart Manday dejara sin terminar un empeño científico de tal envergadura. Nos legó, en la recta final, la confianza de concluirlo, para lo cual agradecemos el apoyo inmediato, dedicado y amoroso de su hija Beatriz, quien compartió con su padre tiempo de su trabajo científico.

Por último, en esta obligada nota “Al lector” se debe indicar que el texto introductorio que le acompaña, resultan las últimas anotaciones del doctor Guitart, quien no podrá estar junto a nosotros en la presentación de la *Ictiología cubana*, pero sí en la memoria de todos quienes, de una u otra manera,

pudimos compartir este sueño editorial, ahora impreso por siempre para el conocimiento de la ciencia y la cultura cubanas.

Como bien indicara el órgano oficial de la Sociedad Antropológica de Cuba, *Crónica Médico Quirúrgica de La Habana*, en su artículo “Ictiología cubana” de 1878: “La obra de nuestro sabio naturalista es de aquellas que dan gloria, no sólo a quién la lleva a feliz término, sino también al país en que se publica...”.

*Consejo Editorial
Ediciones Imagen Contemporánea
Casa de Altos Estudios Don Fernando Ortiz
Abril del 2000*



NOTA INTRODUCTORIA

DARÍO GUITART MANDAY

La presente versión del *Atlas* de peces resulta de la conjunción de los 20 tomos de ilustraciones que se encuentran depositados en el Ministerio de Ciencia, Tecnología y Medio Ambiente de la República de Cuba y de los 10 tomos de ilustraciones depositados en el Museo de Ciencias Naturales de Madrid, España. El *Atlas* depositado en ese país, en folio mayor, el último de Elasmobranquios, contiene 572 láminas; la versión que está en Cuba tiene 1 623 incluidas en los 20 tomos; Poey para su pu-

blicación seleccionó 1 040 láminas. Ambas versiones presentan ilustraciones de 758 especies dibujadas por el ilustre científico; 677 están bien determinadas y 104 son dudosas, están numeradas, pero no específicamente nombradas. Además, aparecen escamas, esqueletos, vísceras y parásitos.

Se hizo con papel español sin algodón, fuerte y doblado en dos, en un formato de 450 x 324 mm la versión de España y 360 x 240 mm la de Cuba. En ambas, la hoja completa es de doble extensión y cuando

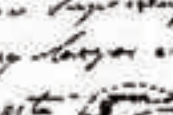
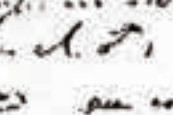
249.

Rhomboidichthys Pinatus, Linne
Vulg. Linguado

1138

249



parientes, superiores dentes carnosos. Tenuerit et
gutta angusta. apud eum supra dentes non rotundata —
Post. 13. An 11. maxilla longior et lata. Br. 7.
Gyrus qui haec est  non inservit —
tunica et musculus.  Dentis plasto hyal
et sive & H. ante radice posterior.

" Cope. Ichth. Lat. p. 680. Rhombod. lunatus n. sp. 1874
Rhombod. tenuis Cope. Pl. 1. p. 154. 1. shortens".

resultó necesario se le pegaron otras para representar mejor los individuos de mayor tamaño. El estilo para hacer sus dibujos era utilizado en la *Osteografía* de Enrique María Duroatay de Blainville y lo aprendió en 1826 durante su viaje a Francia, a donde partió con algunos dibujos hechos como aficionado y sin estudios previos, pintados a la aguada y otros sin iluminar. Aún se conservan varios de ellos en el Instituto de Literatura y Lingüística de la Academia de Ciencias de Cuba. Son 85 dibujos que incluyen esquemas de varios peces marinos y fluviales: doncella, lisa, ronco, biajaca, rabirrubia, pargo y otras más.¹ Las ilustraciones son dibujos a línea con las marcas indicadas suavemente. La tinta usada, de origen vegetal, sigue una receta publicada en una revista farmacéutica; aunque no es totalmente negra, no se pone amarilla porque no contiene hierro y no sufre alteraciones como otras.

En esta edición aparecen representados más de 1 300 dibujos de peces. Todos están dibujados en tamaño natural a distintas edades, sexos y en todas sus variedades. Siempre dibujó el pez del mismo lado, guardó la perspectiva de la cabeza

para facilitar las comparaciones y hacer más clara la representación de los dientes y otros detalles de interés.

Sólo representó las escamas en los lugares que lo requerían, fundamentalmente en la cabeza en que, de manera ordinaria, no existen. Presenta, además, 90 ilustraciones de escamas; 94 cortes verticales; 87 esqueletos completos; 51 medio esqueletos; 43 pormenores del esqueleto; 85 vísceras completas; 32 pormenores de vísceras; 8 helmintos (parásitos); 120 pormenores del pez.

Las ilustraciones de la presente edición del *Atlas* las realizó el señor Orlando Jambú entre los años 1960 y 1963, según el método del calco directo sobre los dibujos originales del *Atlas* cubano; en los casos en que la reducción de la dimensión del original se hizo necesaria, se usó el pantógrafo de precisión. También colaboró en la ejecución de algunos dibujos, la excelente dibujante Annunciata Calderichio.

¹ “Cuadernos manuscritos de Felipe Poey” en *Ictiología y manuscritos*, Instituto Cubano de Literatura y Lingüística de la Academia de Ciencias de Cuba, t. IV.

Lám. 1

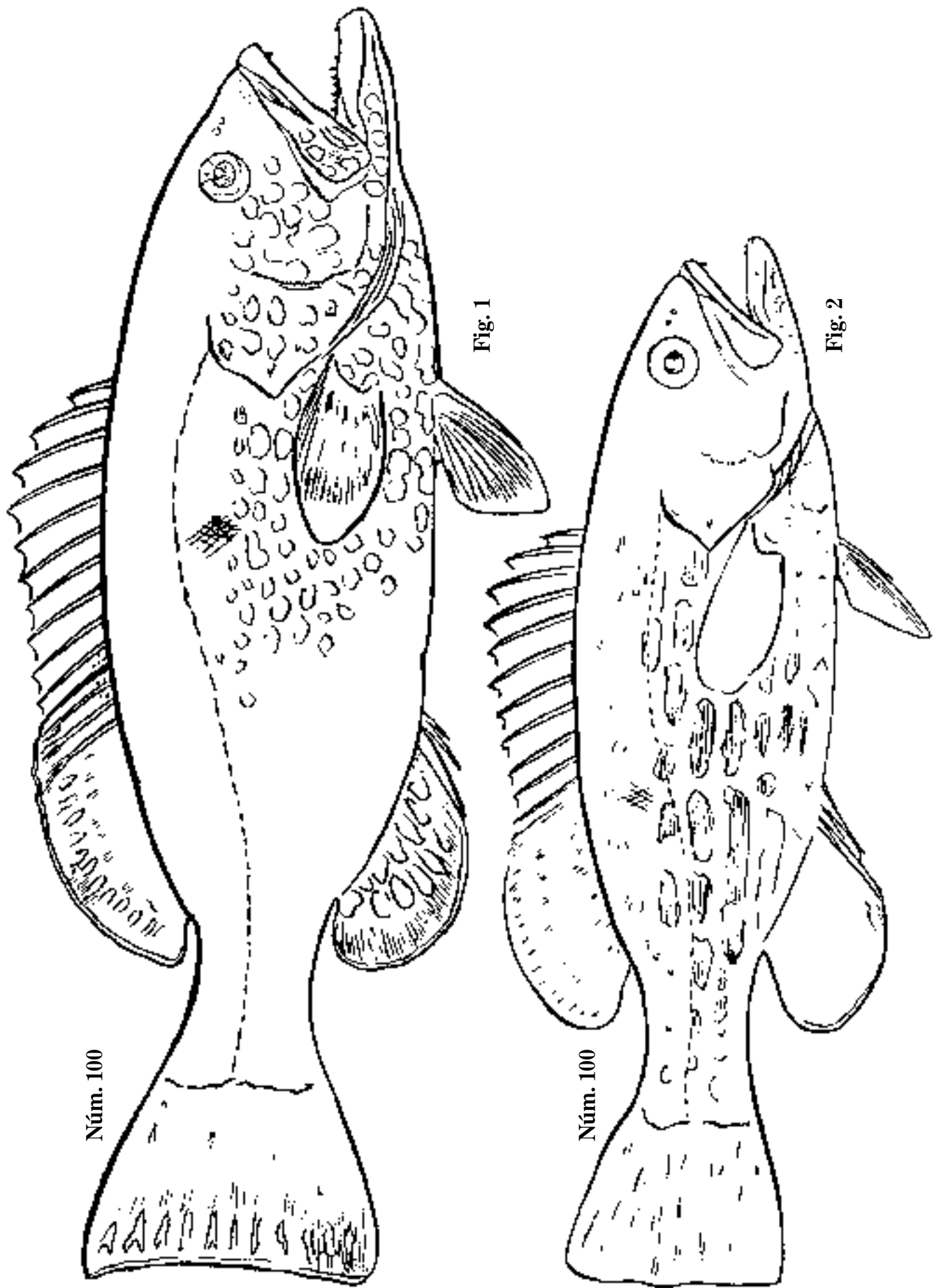


Fig. 1 *Trisotropis cardinalis*, 1869. C. 425 mm; D. 11,16; A. 3,11.
Fig. 2 *T. cardinalis*, 1865. C. 175 mm; bonacá cardenal. (C: tamaño calculado; P: tamaño en Poey.)

Lám. 2

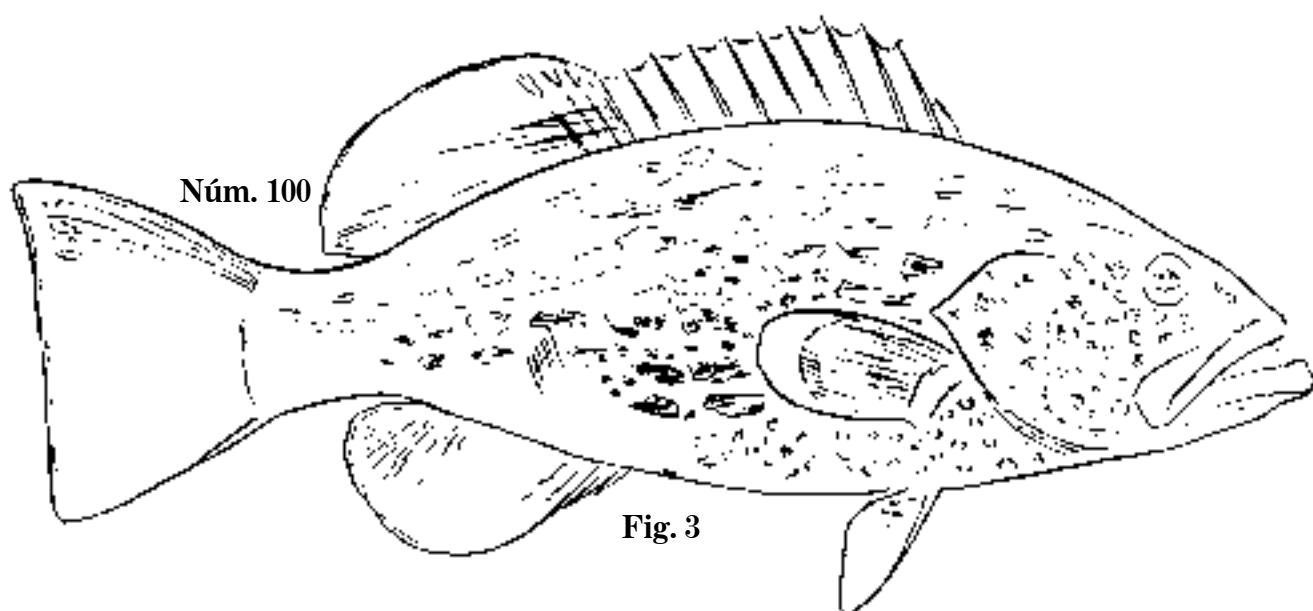
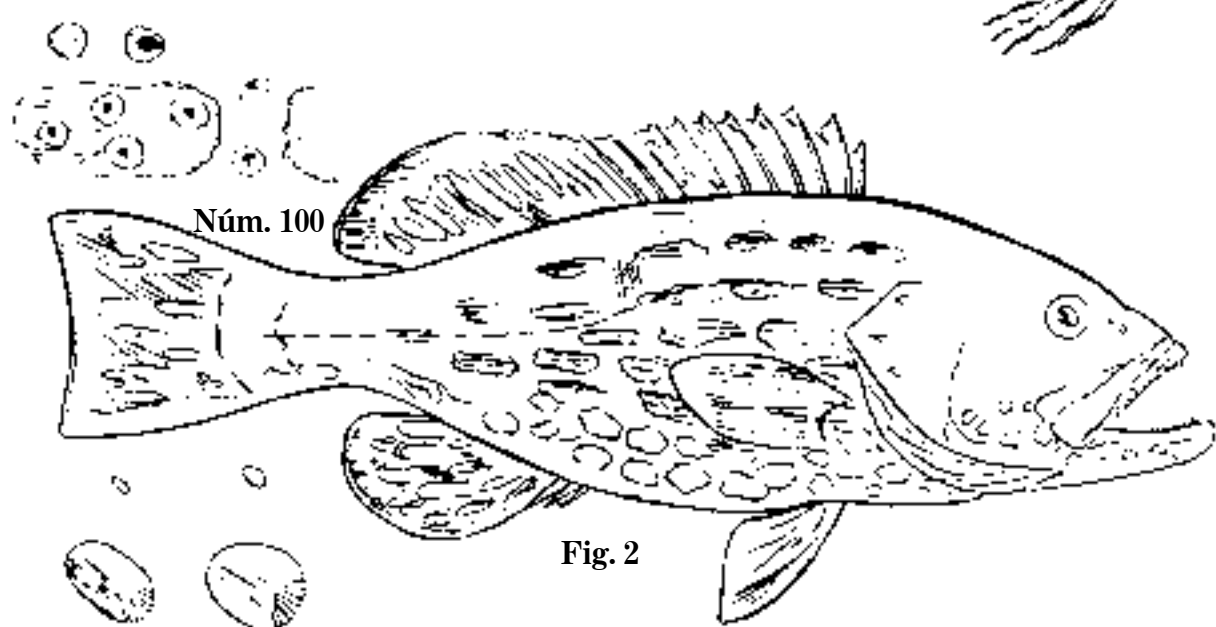
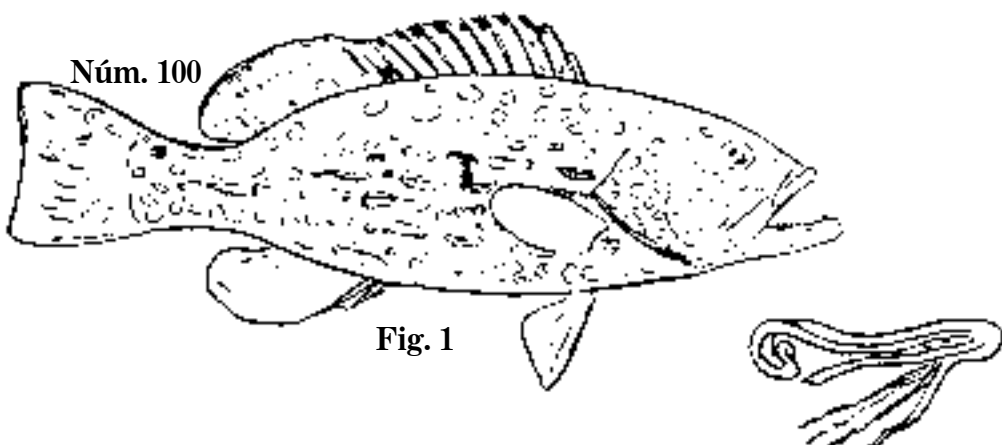


Fig. 1 *Trisotropis cardinalis*, 1869. C. 301 mm; D. 11,16; A. 3,10.

Fig. 2 *T. cardinalis*, fig. antigua. C. 428 mm; D. 11,16; A. 3,11.

Fig. 3 *T. cardinalis*, 1877. C. 465 mm; bonaci cardenal.

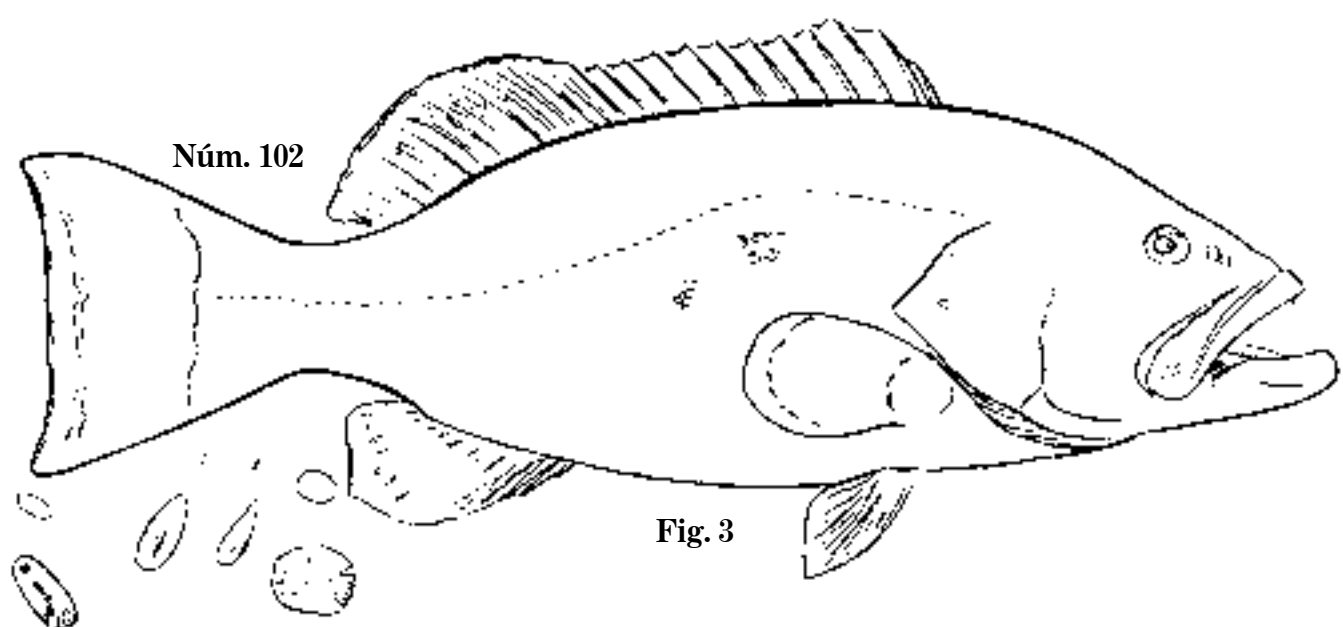
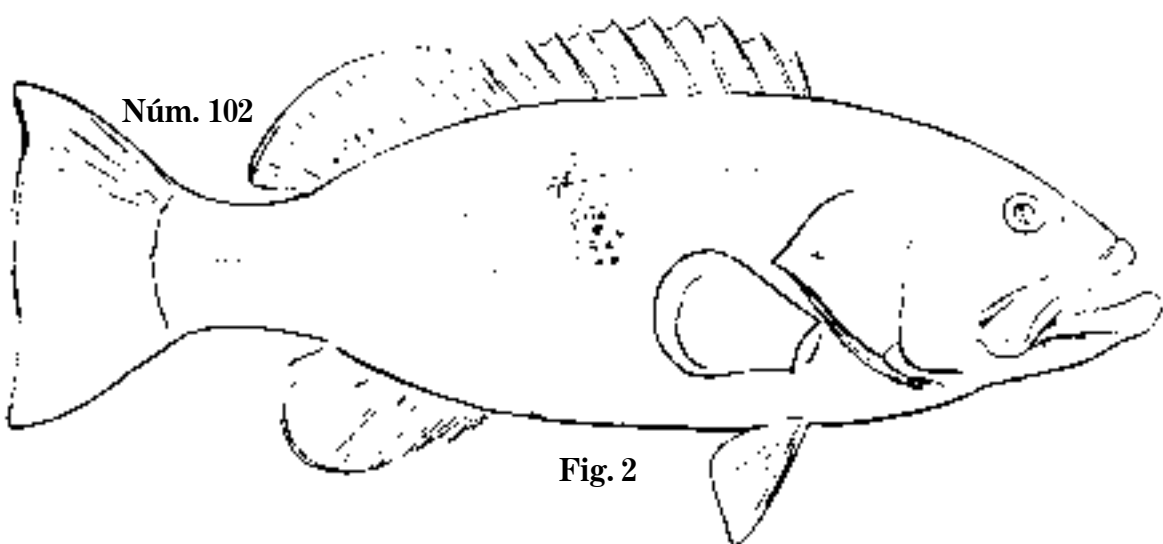
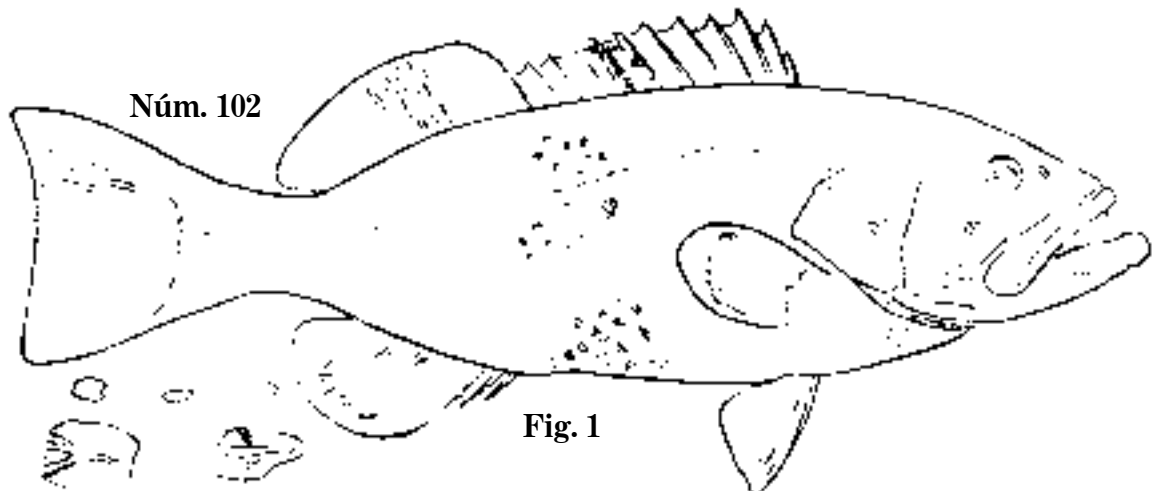


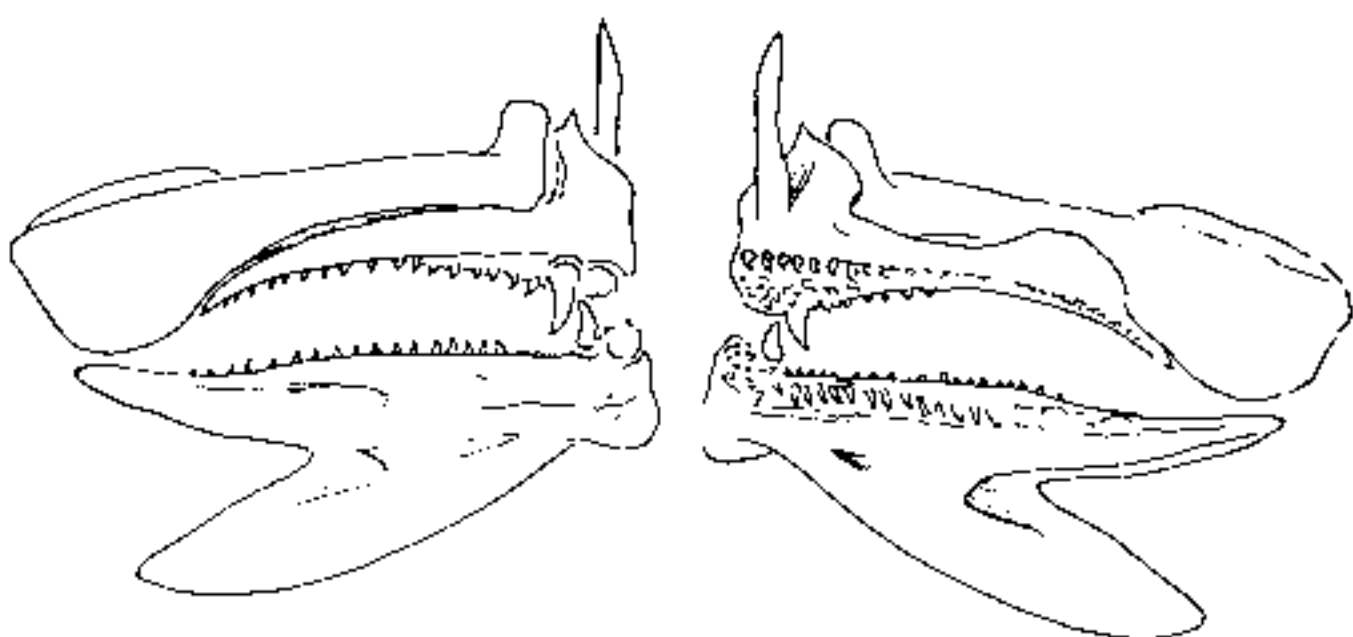
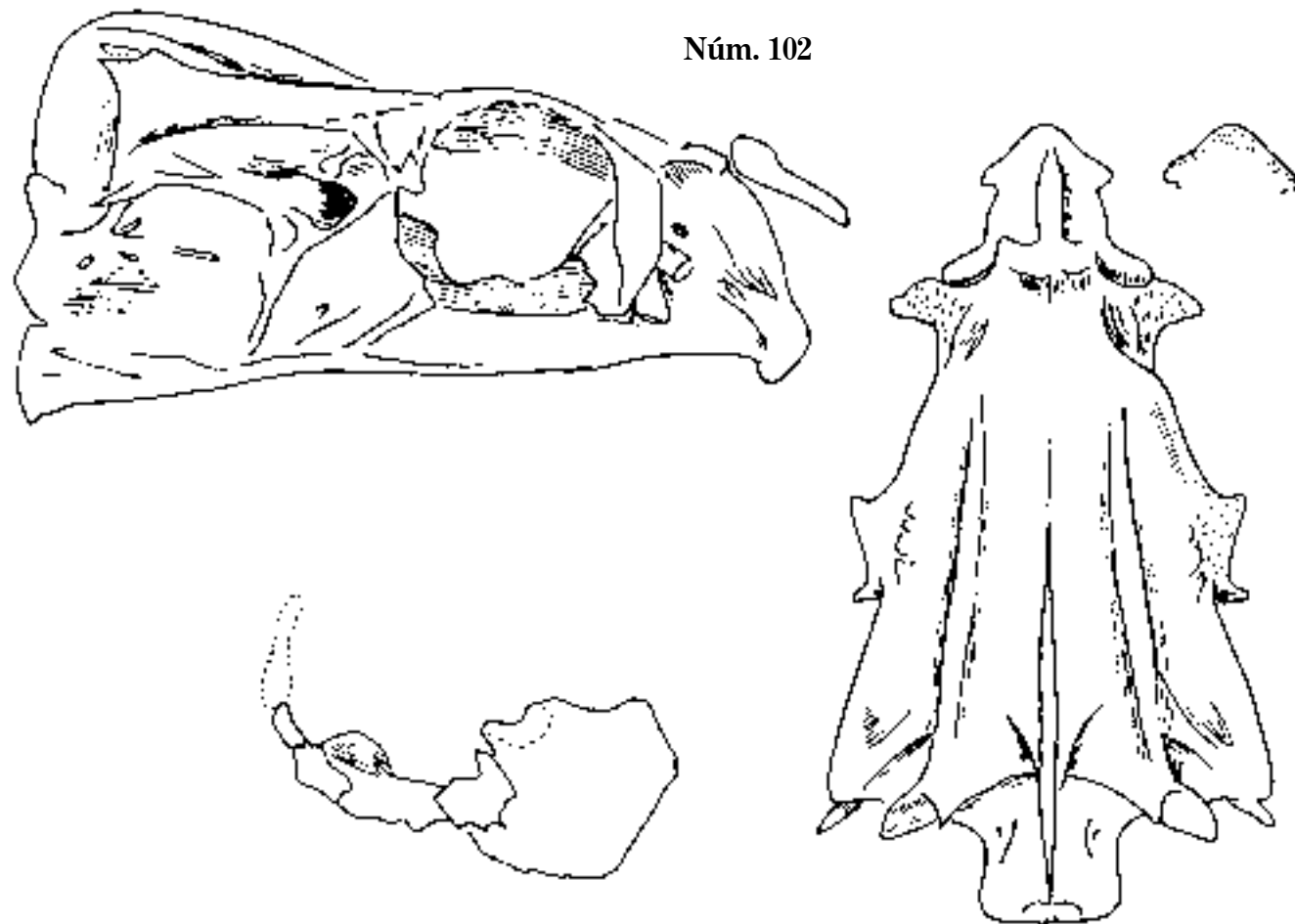
Fig. 1 *Trisotropis petrosus*, 1859. P. 660 mm; D. 11,16; A. 3,11.

Fig. 2 *T. petrosus*, 1868. P. 800 mm; D. 11,16; A. 3,11.

Fig. 3 *T. petrosus*, 1869. P. 720 mm; D. 11,16; A. 3,11; bonací de piedra.

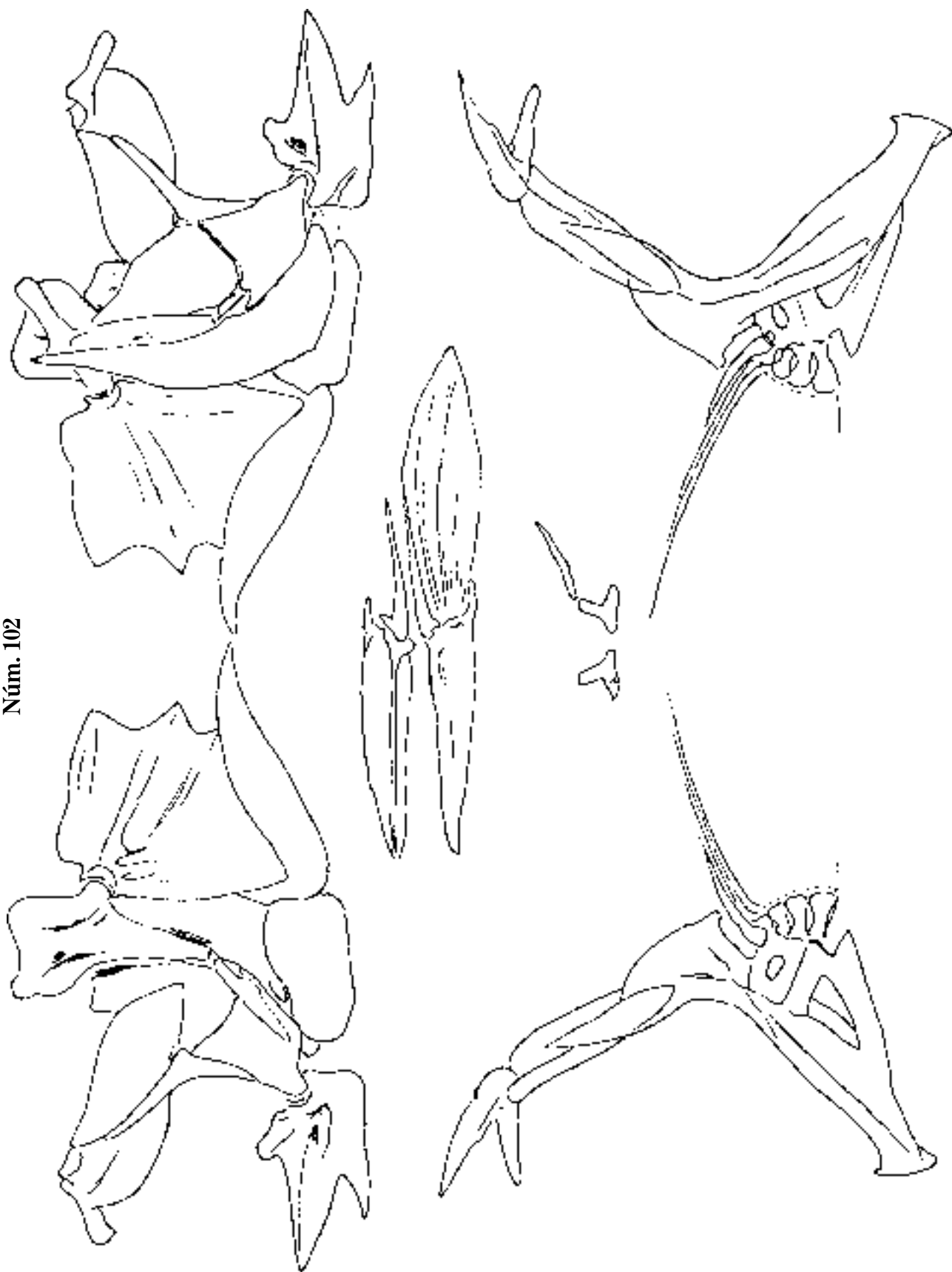
Lám. 4

Núm. 102



Trisotropis petrosus. Osteología; bonací de piedra.

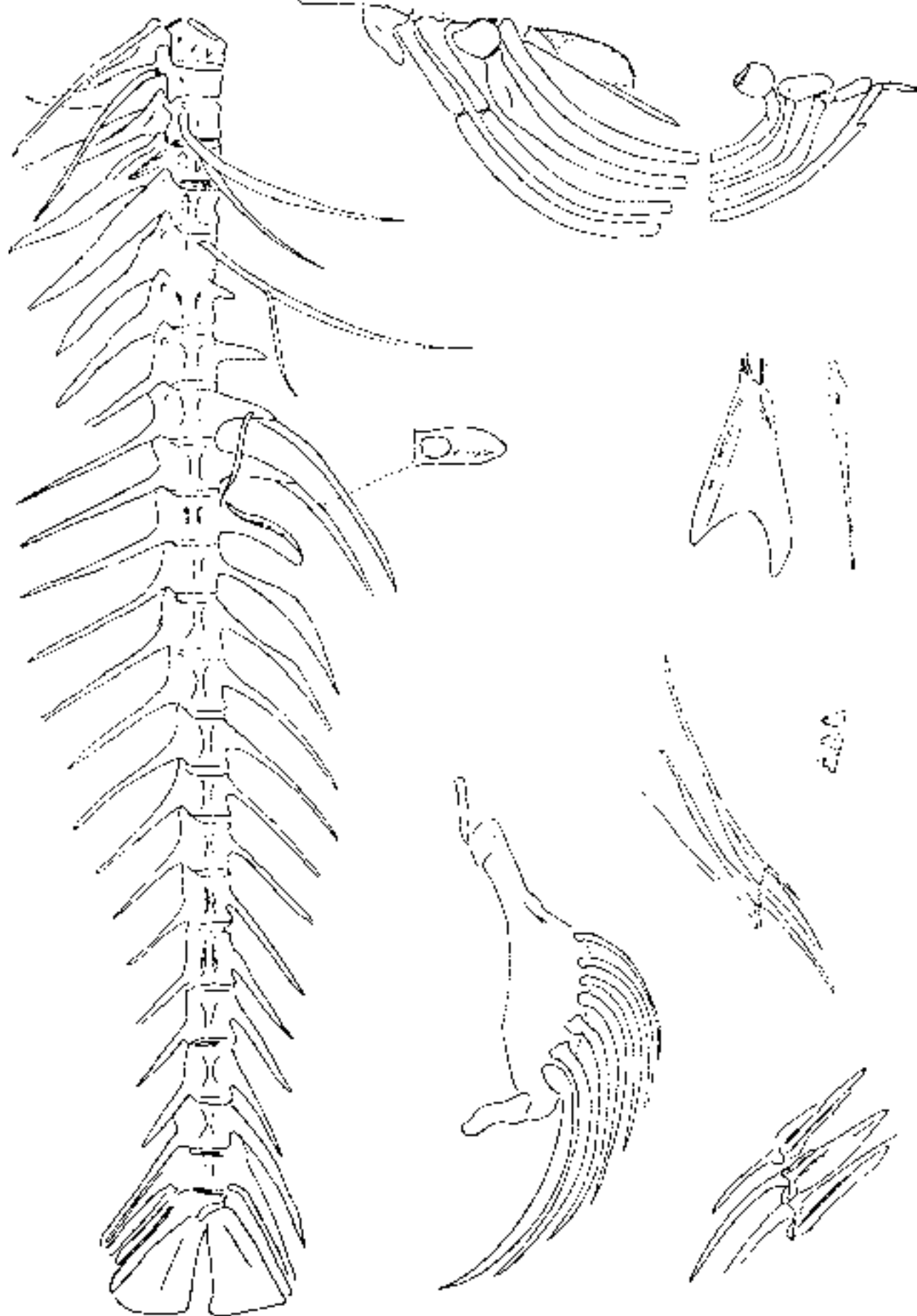
Núm. 102



Trisotropis petrosus. Osteología; bonaci de piedra.

Lám. 6

Núm. 102



Trisotropis petrosus. Osteología; bonací de piedra.

Núm. 208

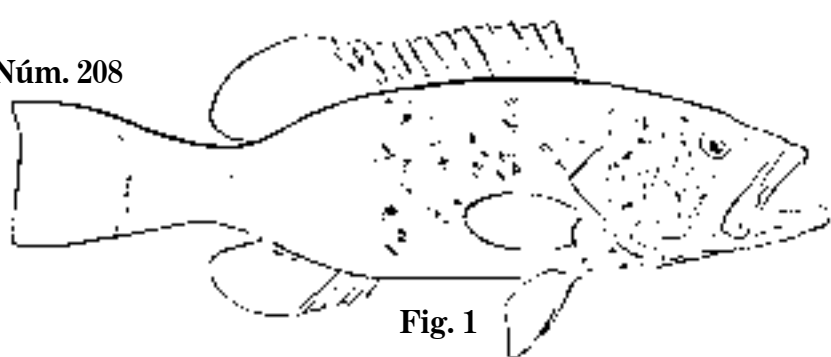


Fig. 1

Núm. 208

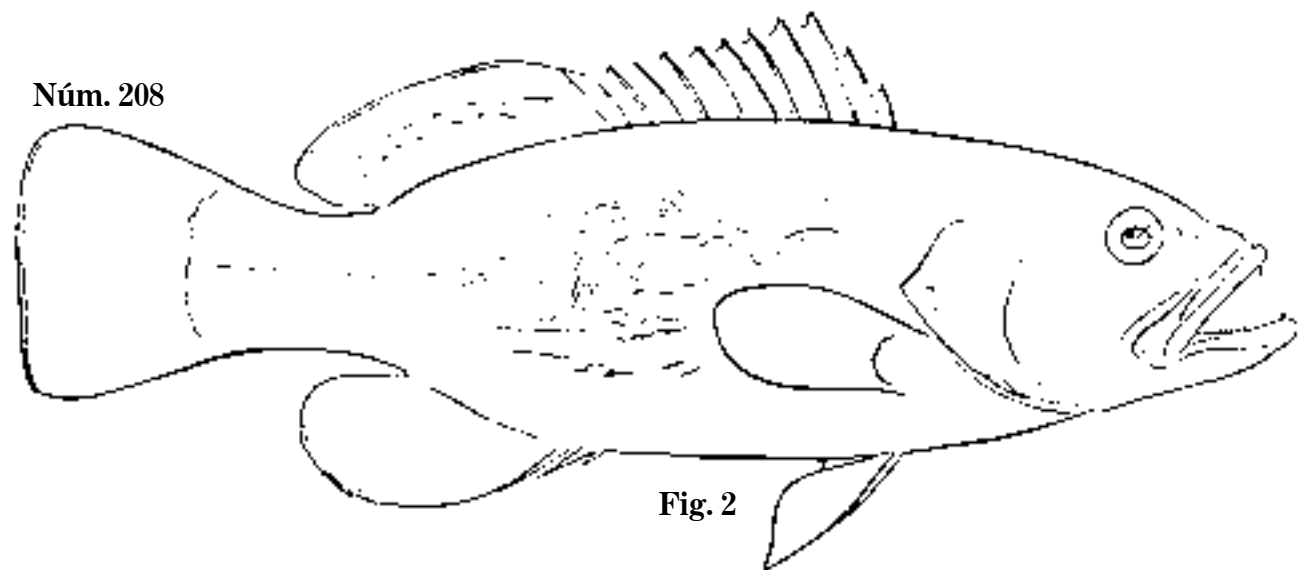


Fig. 2

Núm. 208

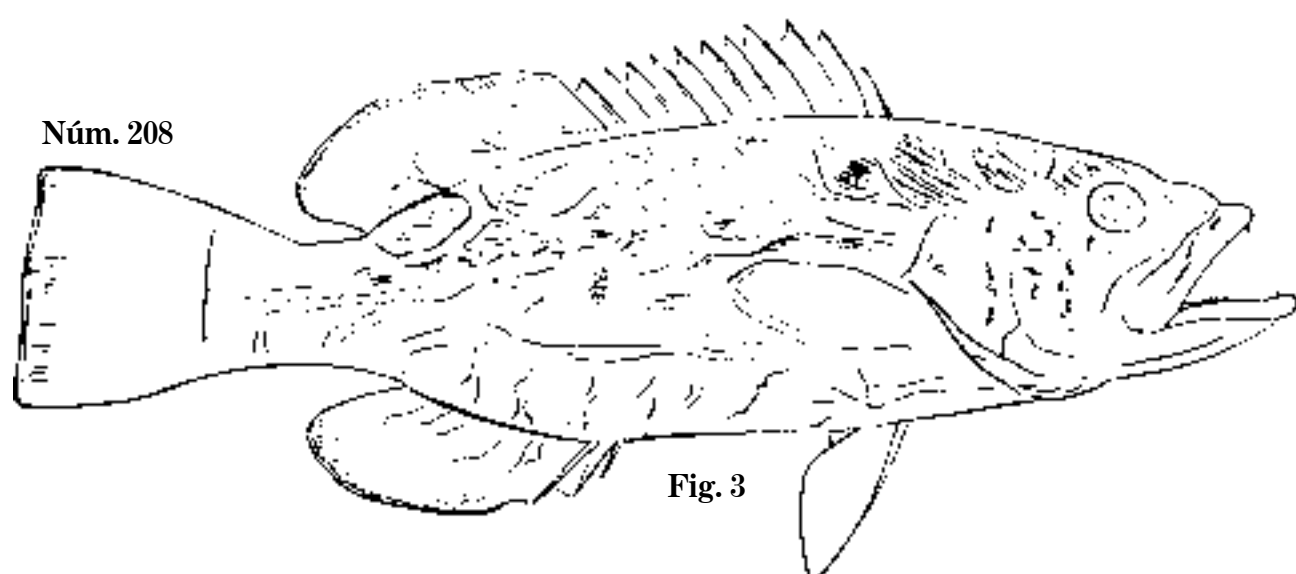


Fig. 3

Fig. 1 *Trisotropis brunneus*, 1860. P. 350 mm; D. 11,16; A. 3,11.

Fig. 2 *T. brunneus*, 1869. C. 275 mm. D. ?; A. ?

Fig. 3 *T. brunneus*, 1866. C. 274 mm; D. 12,17; A. 3,11; aguají

Lám. 8

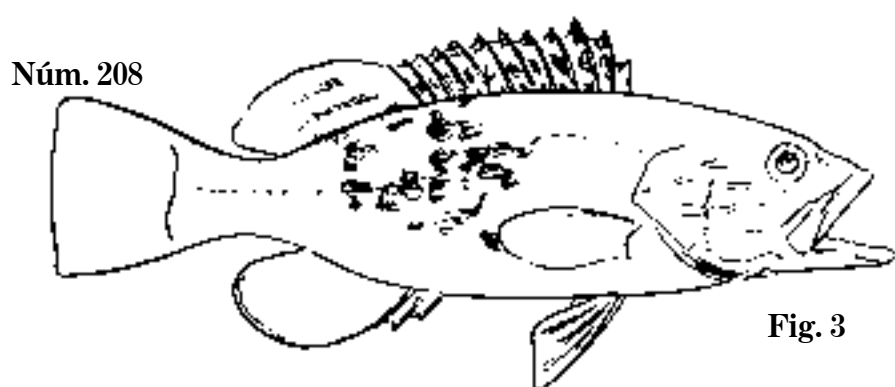
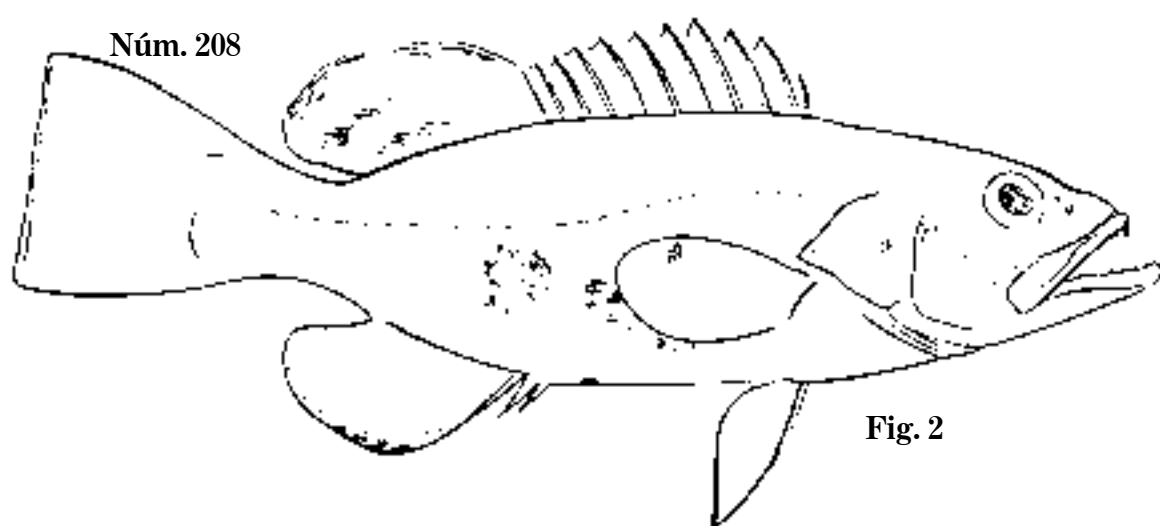
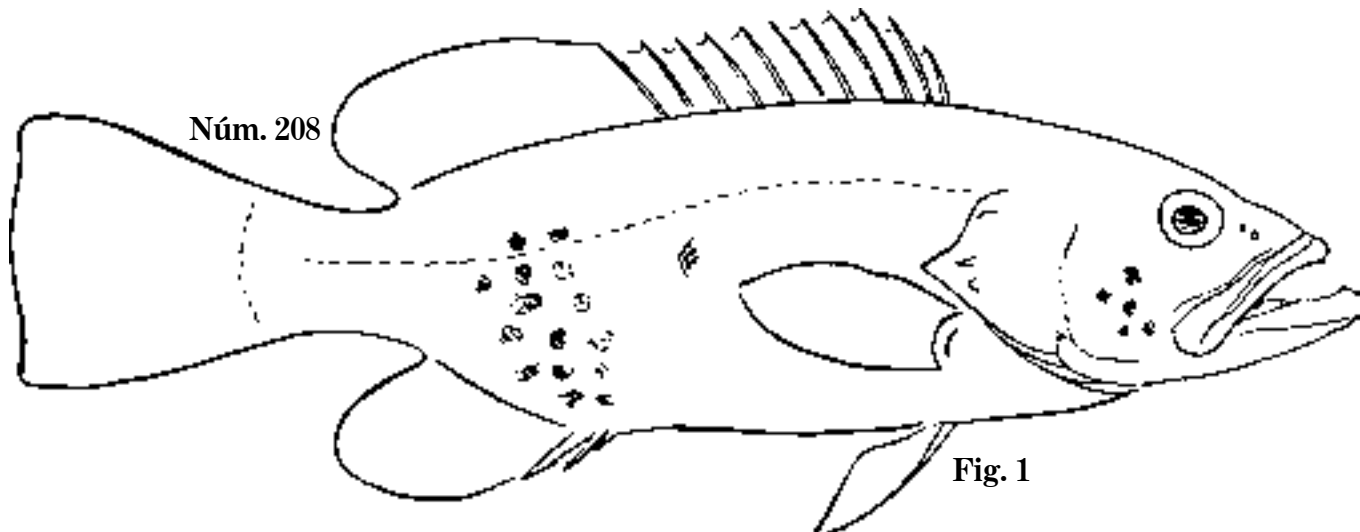


Fig. 1 *Trisotropis brunneus*, 1850. C. 289 mm; D. 11,17; A. 3,12.

Fig. 2 *T. brunneus*. C. 244 mm; D. 11,17; A. 3,12.

Fig. 3 *T. brunneus*, 1859. C. 180 mm; D. 11,17; A. 3,12; aguají.

Núm. 208

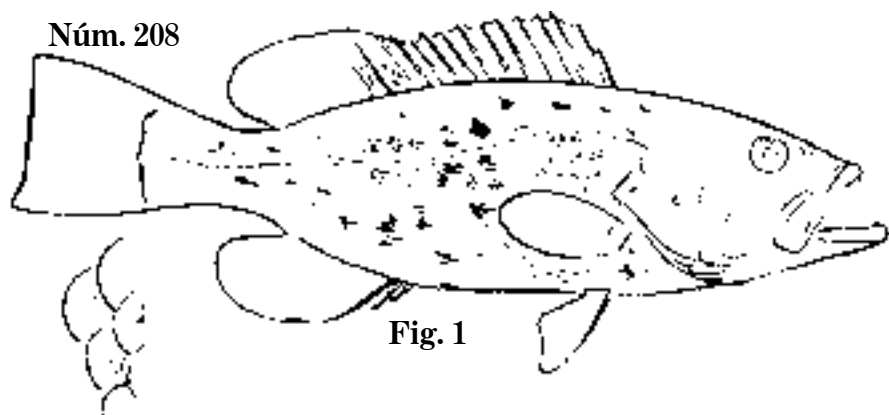


Fig. 1

Núm. 208

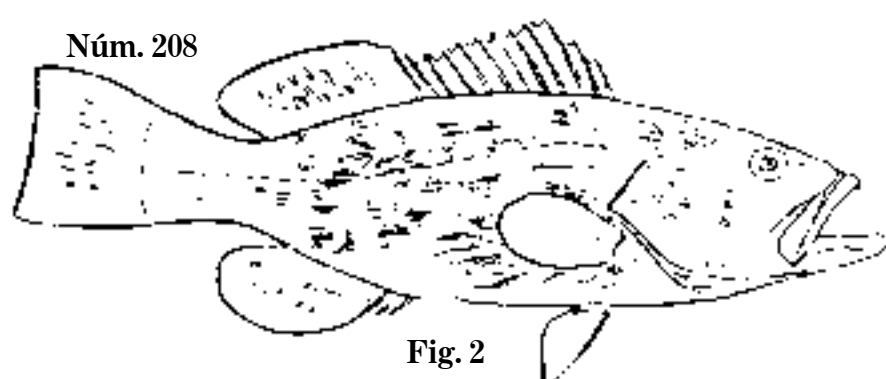


Fig. 2

Núm. 208

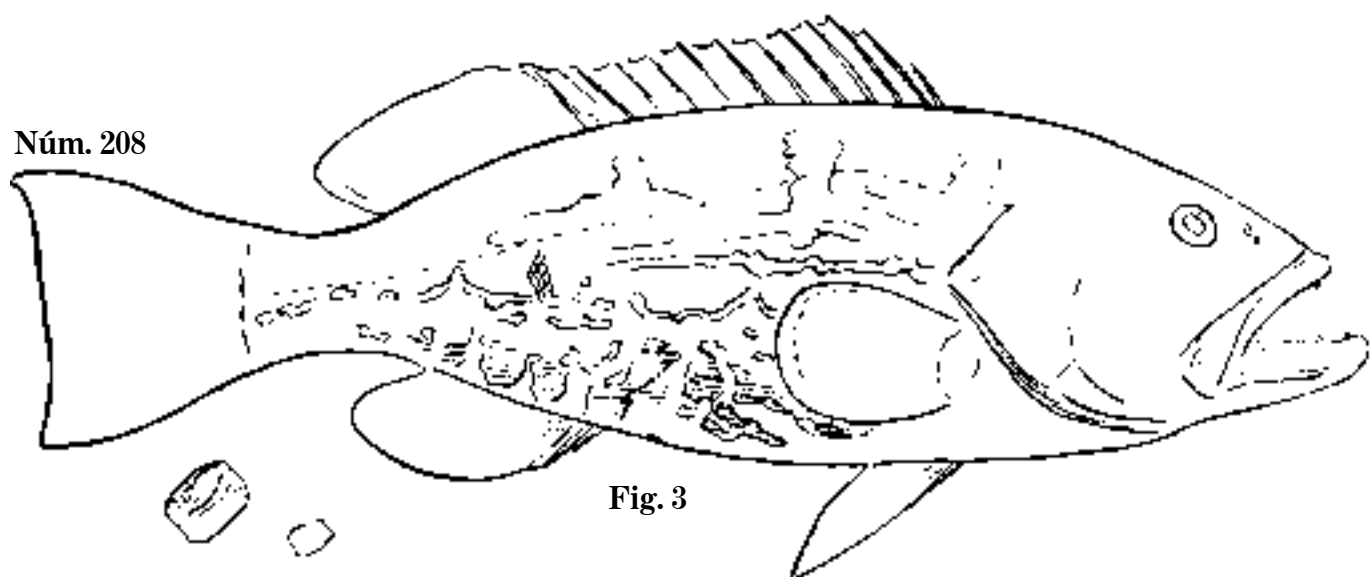


Fig. 3

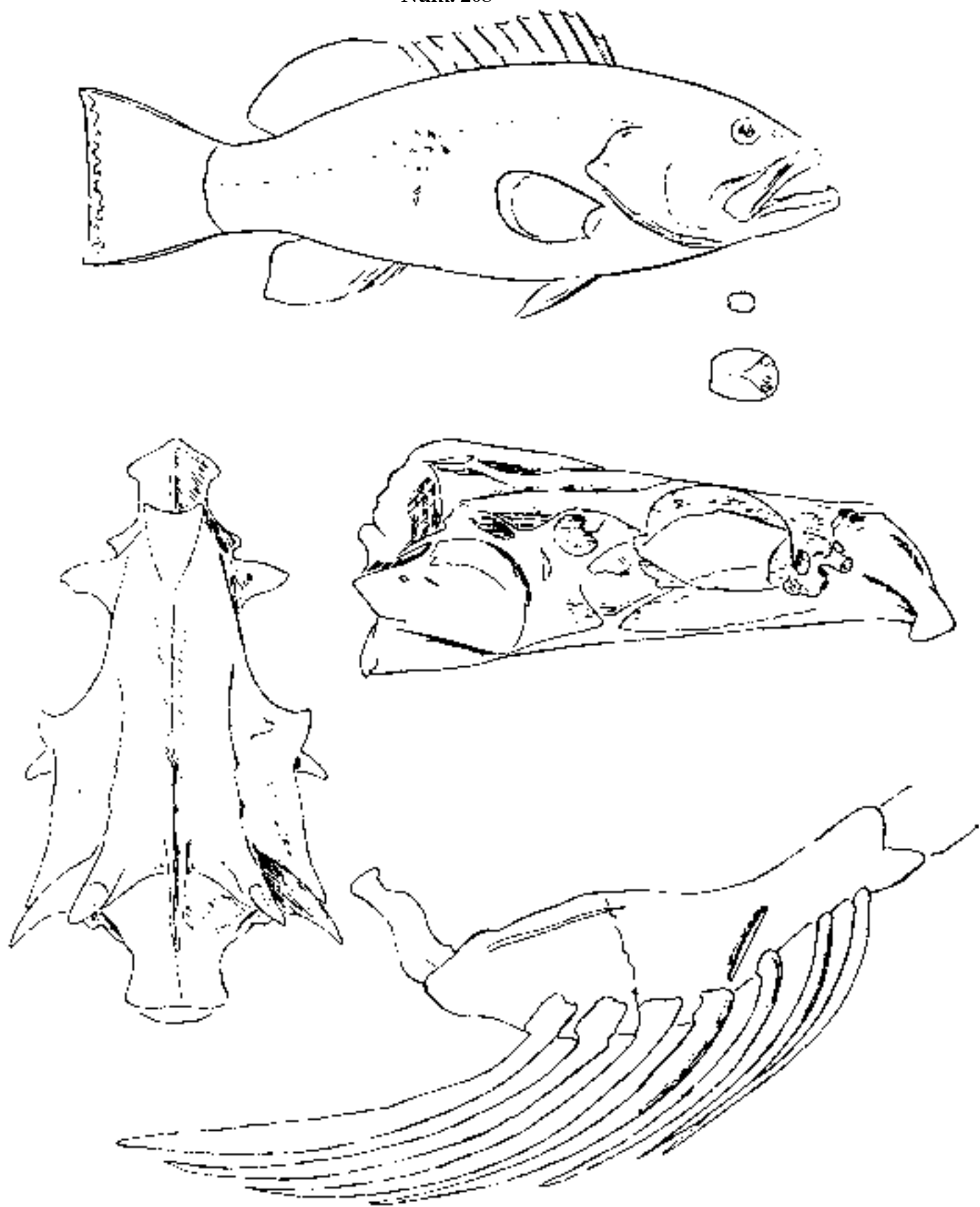
Fig. 1 *Trisotropis brunneus*, 1860. P. 350 mm; D. 11,17; A. 3,12.

Fig. 2 *T. brunneus*, 1860. P. 390 mm; D. 11,17; A. 3,12.

Fig. 3 *T. brunneus*, 1869. P. 900 mm; D. 11,16; A. 3,11; aguají.

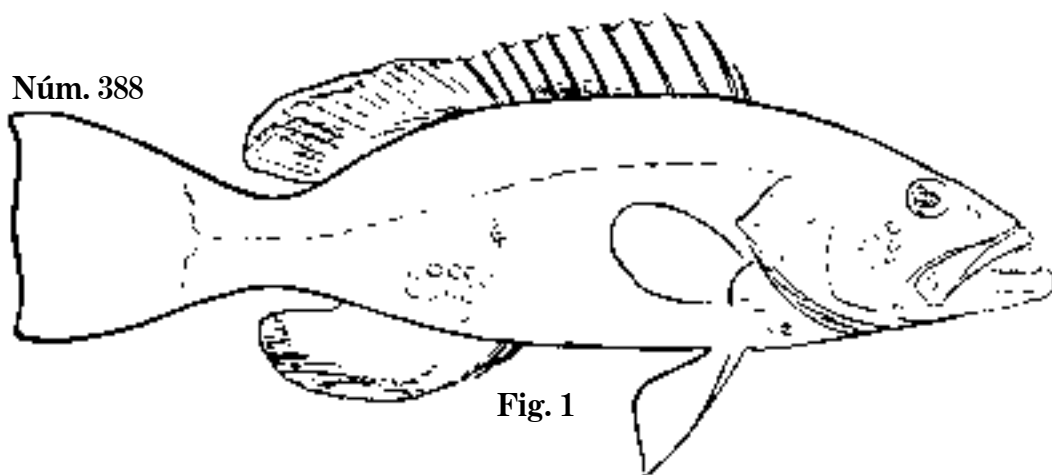
Lám. 10

Núm. 208



Trisotropis brunneus, 1868. C. 624 mm; D. 11,16; A. 3,11; aguají.

Núm. 388



Núm. 388

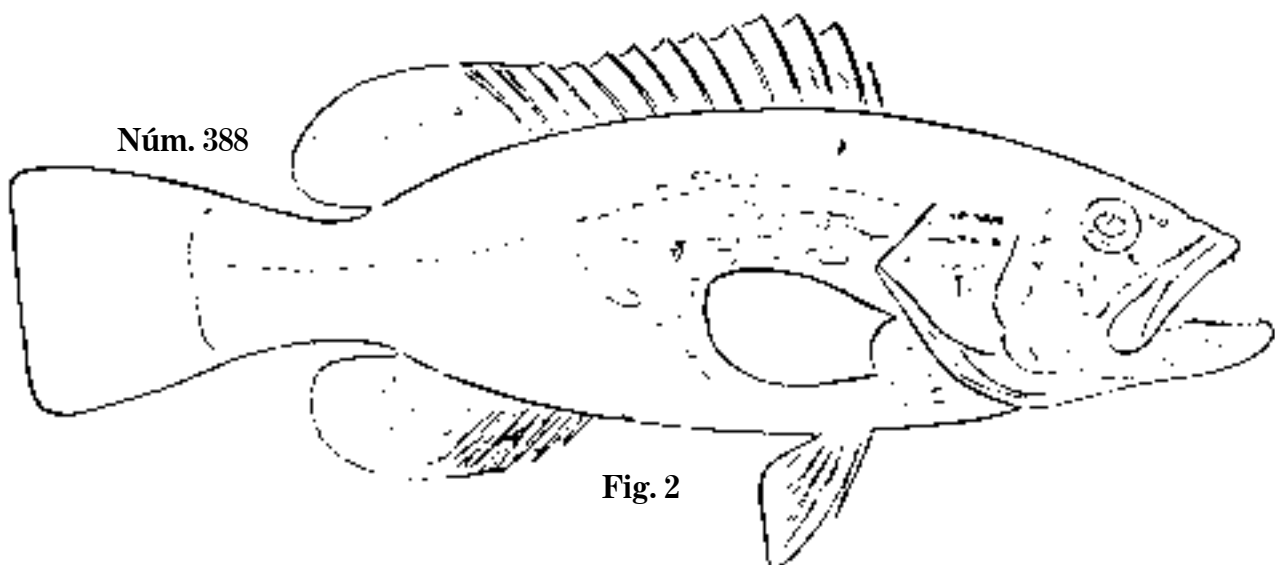


Fig. 1 *Trisotropis bonaci*. P. 445 mm; D. 11,17; A. 3,12.

Fig. 2 *T. bonaci*, 1862. P. 280 mm; D. 11,16; A. 3,12; bonaci.

Lám. 12

Núm. 171

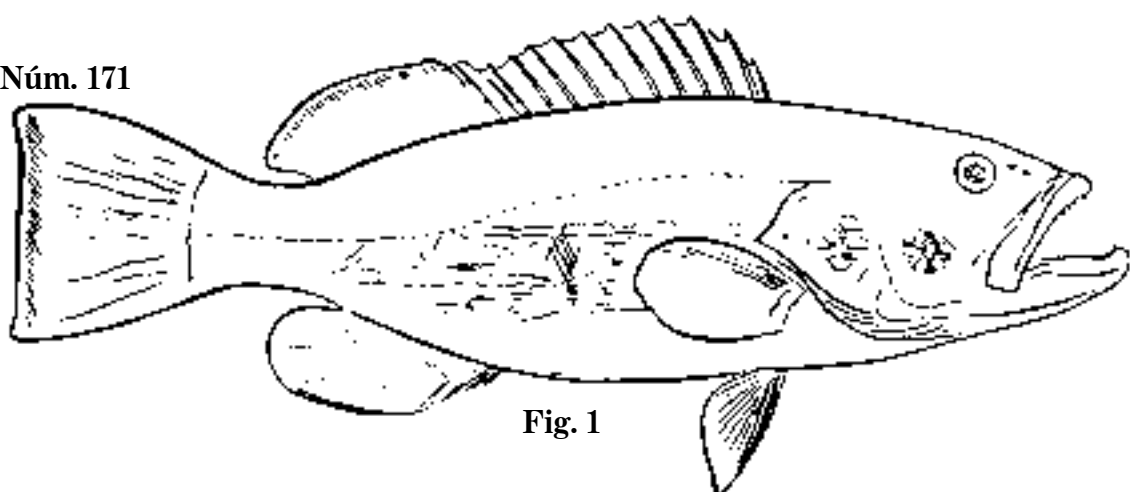


Fig. 1

Núm. 171

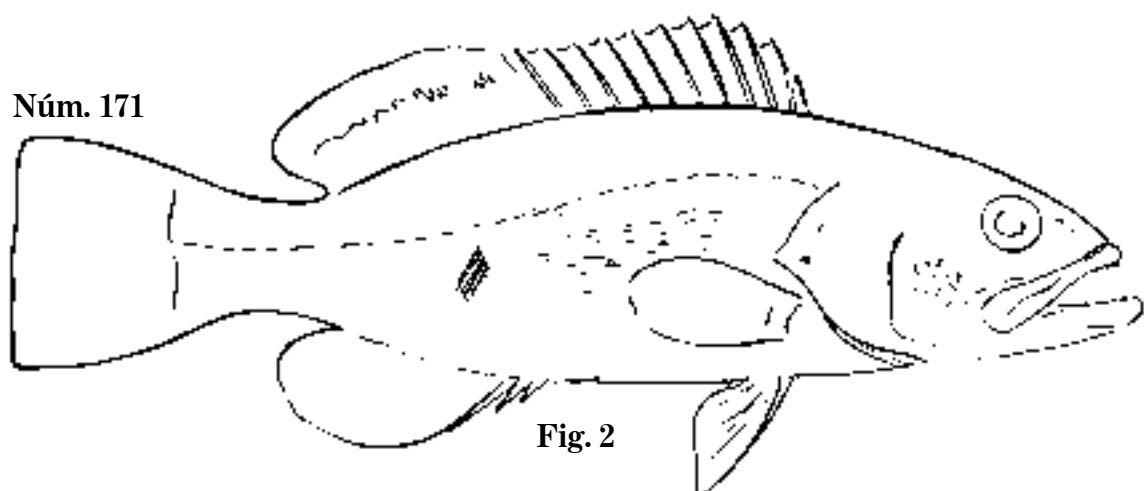


Fig. 2

Núm. 274

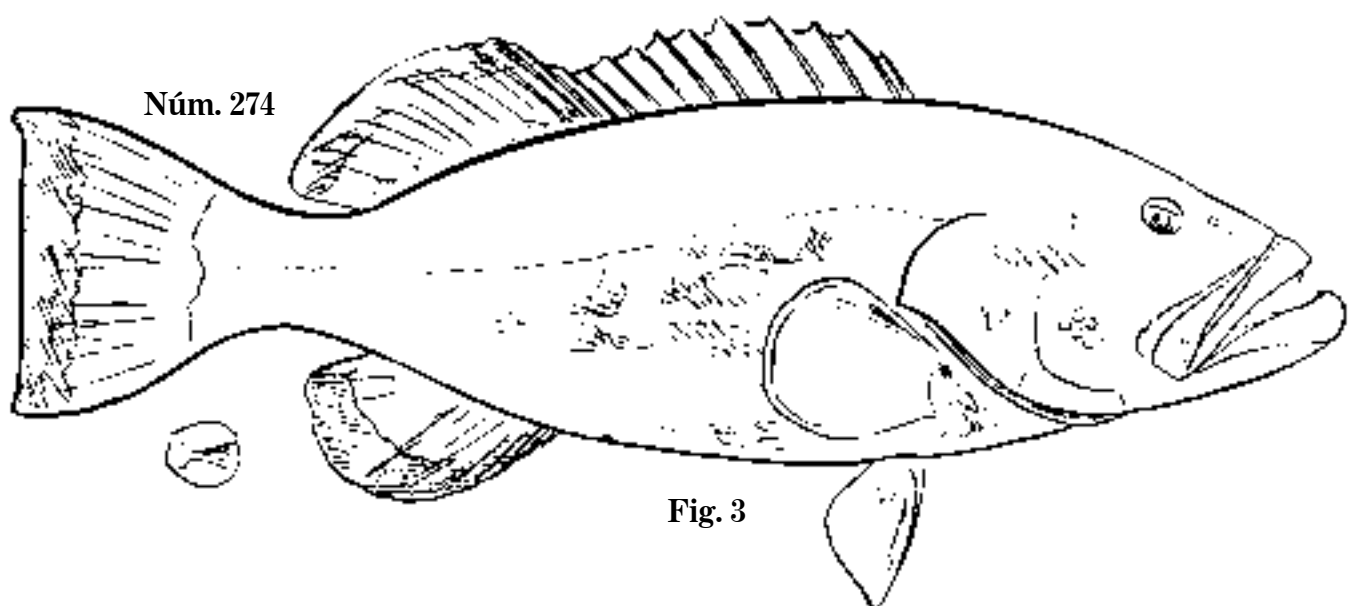


Fig. 3

Fig. 1 *Trisotropis microps*, 1869. C. 410 mm; D. 11,17; A. 3,11.

Fig. 2 *T. microps*, 1869. C. 210 mm; D. 11,17; A. 3,11, bonací.

Fig. 3 *T. aguaji*, 1866. P. 1 120 mm; D. 11,17; A. 3,11; aguají.

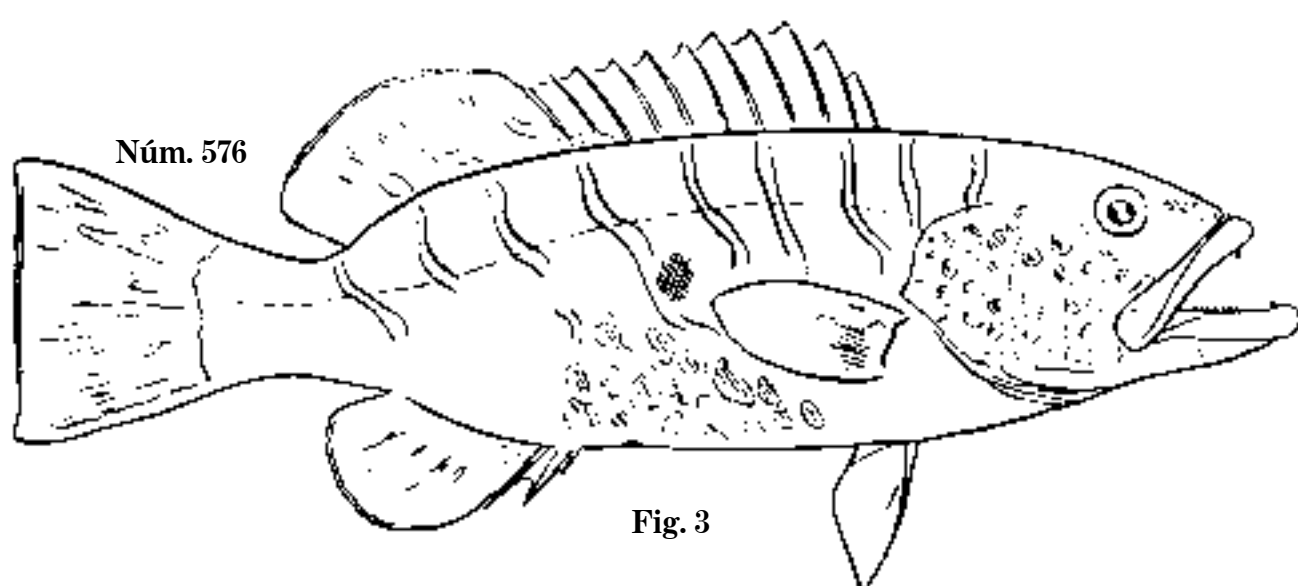
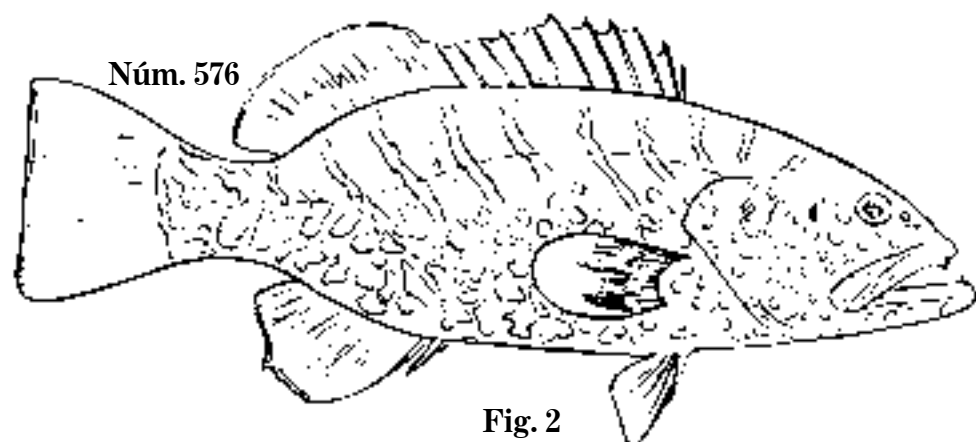
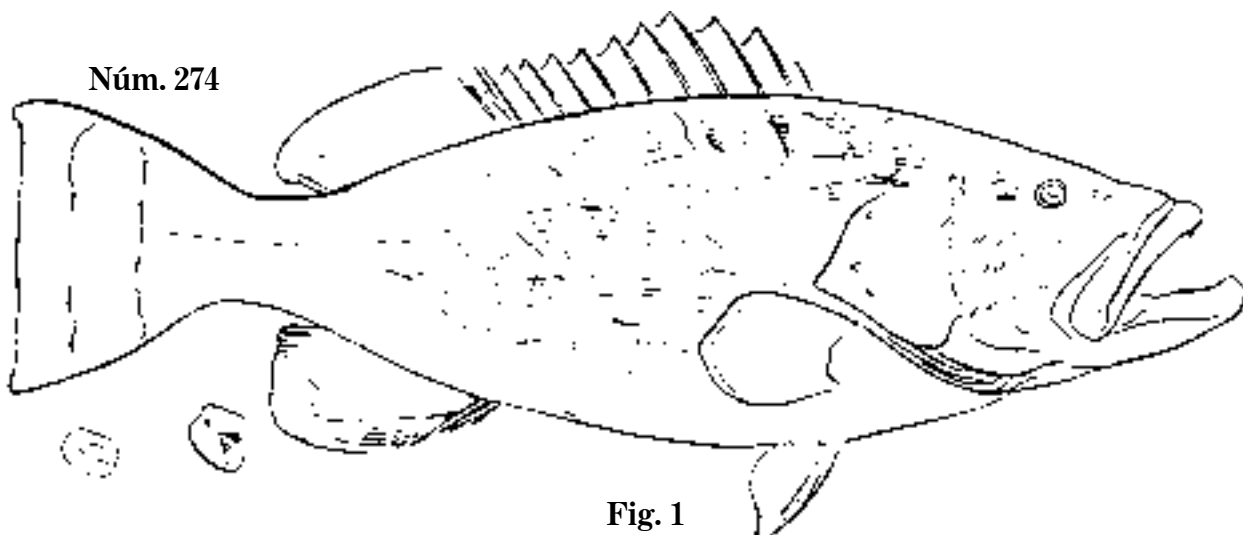


Fig. 1 *Trisotropis aguaji*, 1868. P. 1 180 mm; D. ?; A. ?; aguají.

Fig. 2 *T. tigris*, 1860. C. 410 mm; D. 11,16; A. 3,11.

Fig. 3 *T. tigris*, 1864. P. 280 mm; D. 11,16; A. 3,11; bonací gato.

Lám. 14

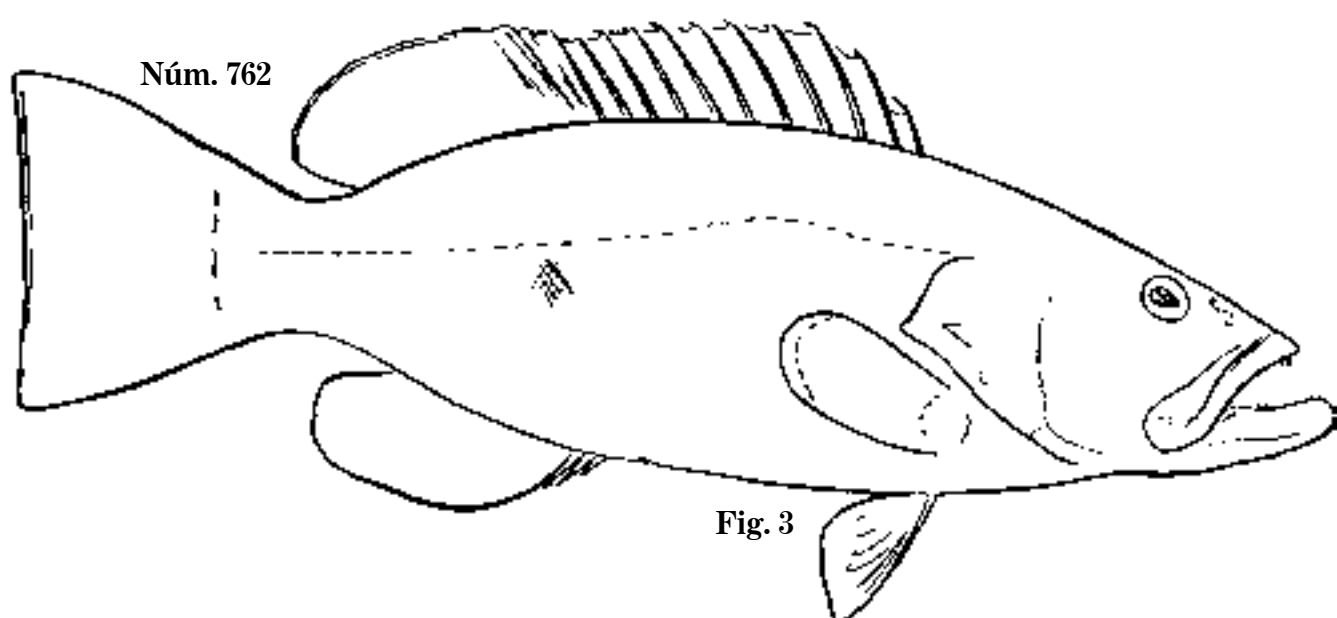
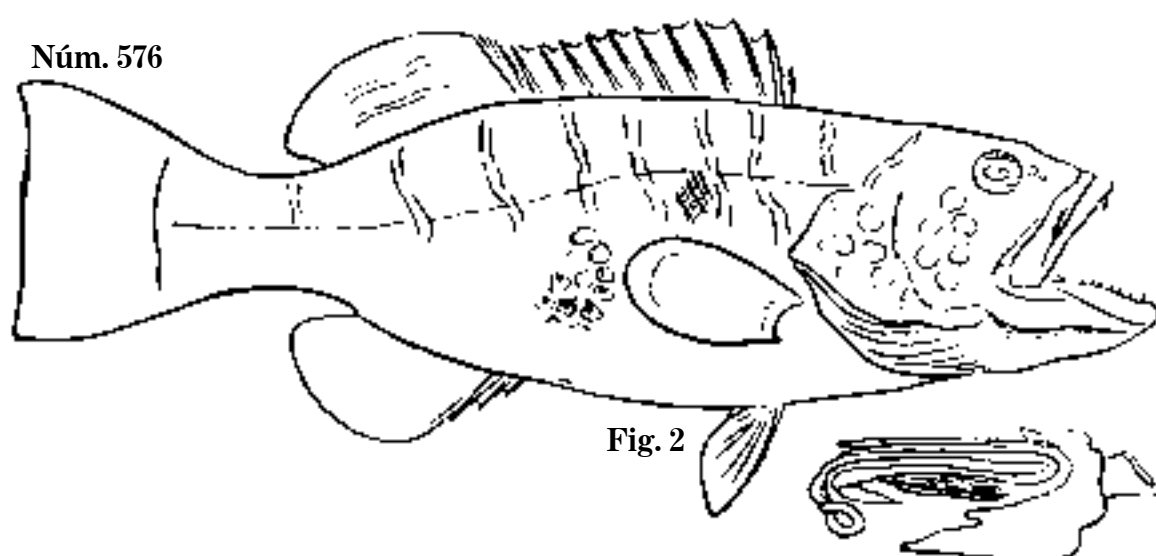
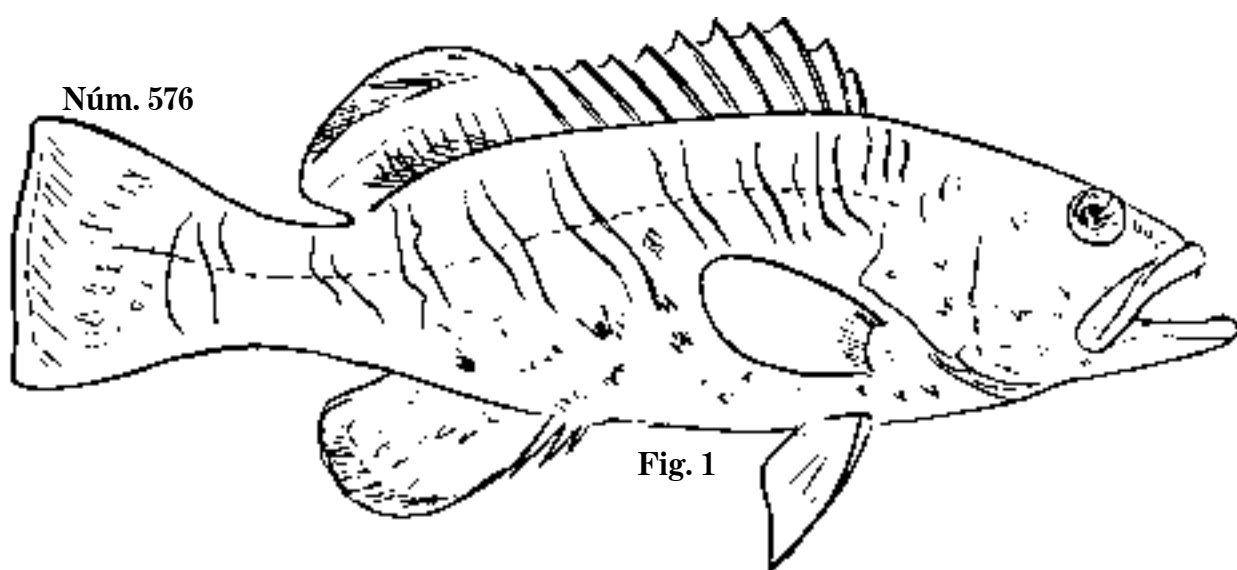


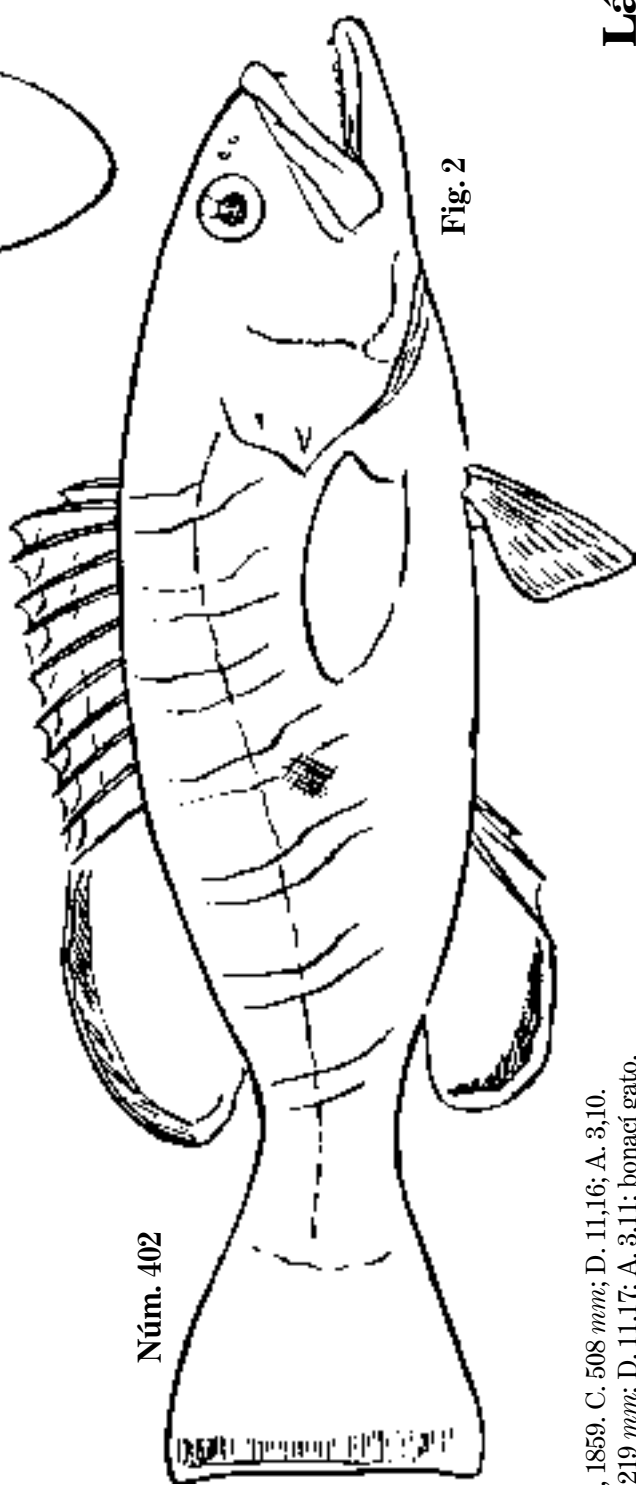
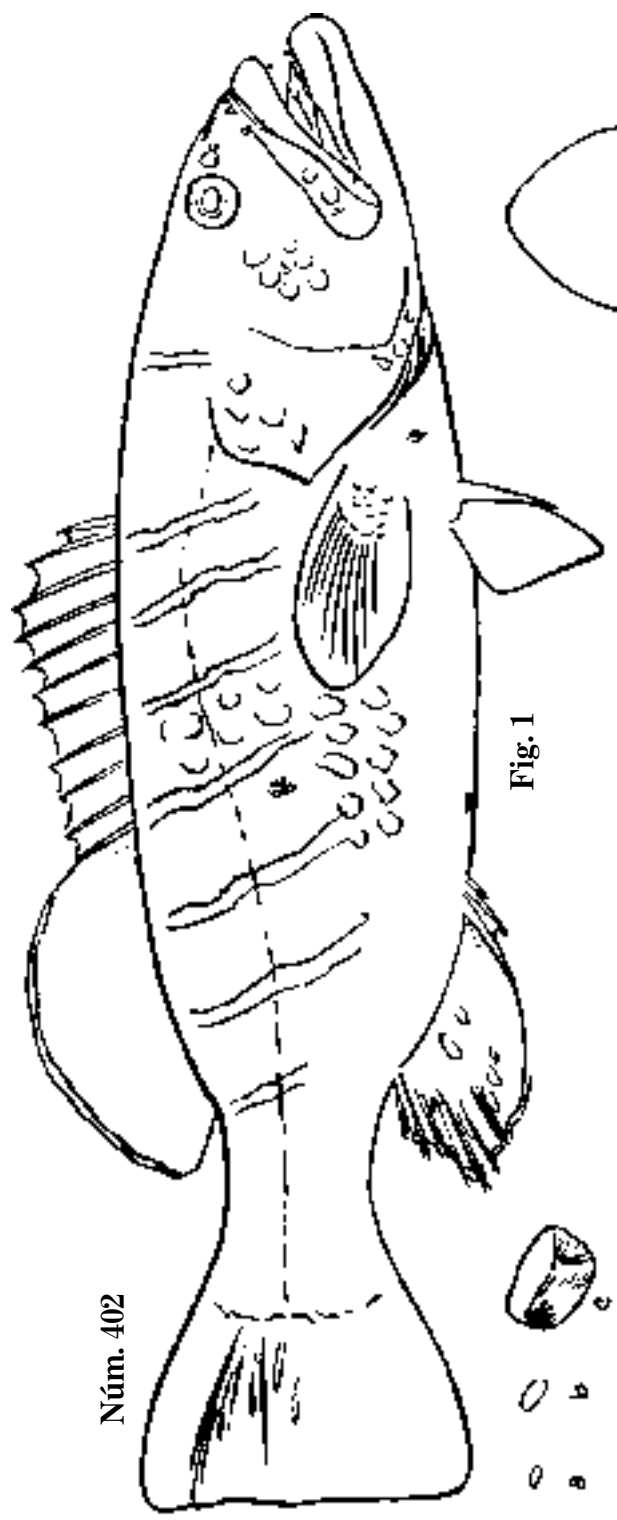
Fig. 1 *Trisotropis tigris*. C. 280 mm; D. 11,16; A. 3,12.

Fig. 2 *T. tigris*. C. 388 mm; D. 11,16; A. 3,11; bonací gato.

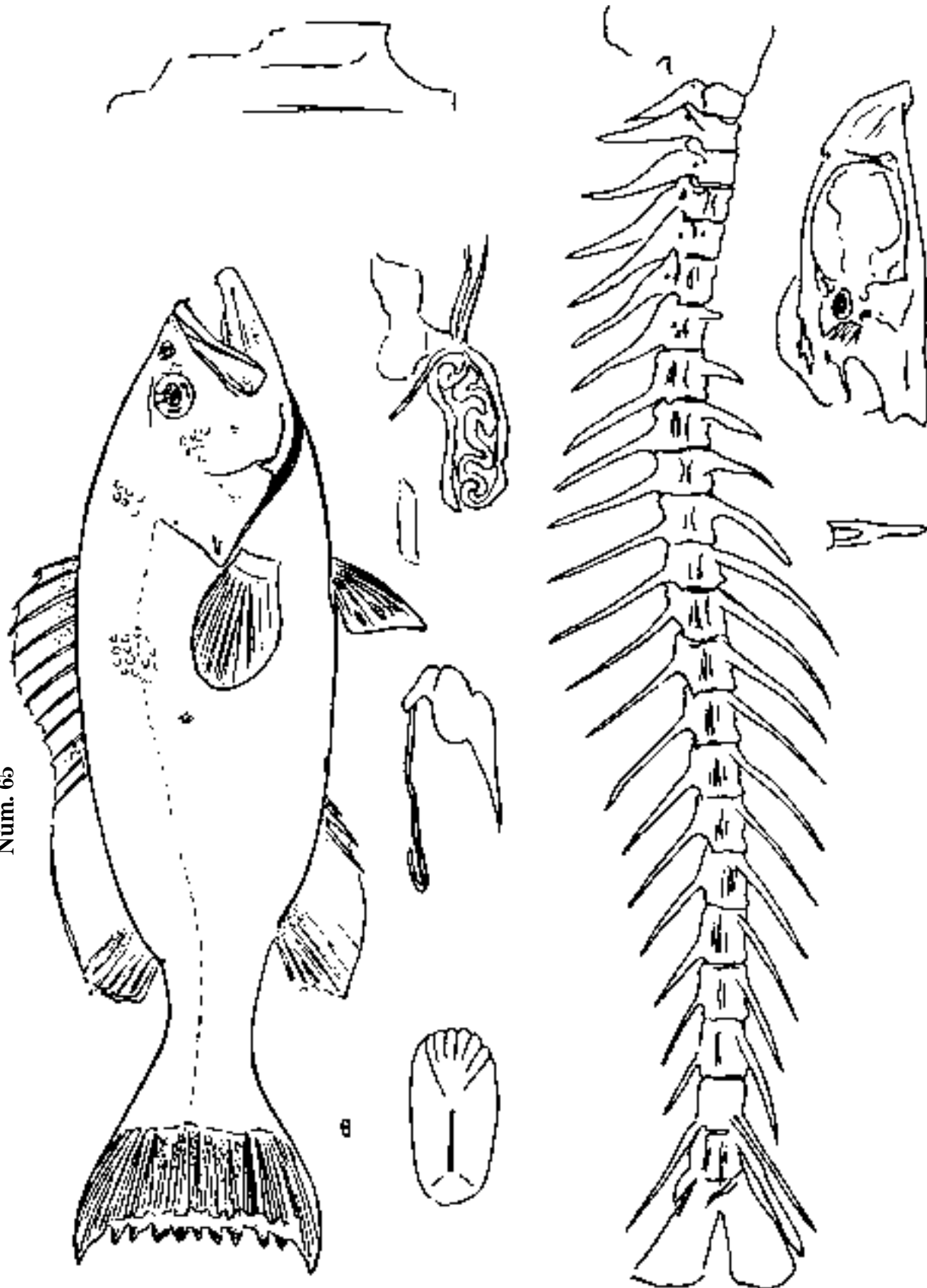
Fig. 3 *T. immaculatus*, 1877. P. 630 mm; D. 11,17; A. 3,11; aguají.

Lám. 15

Fig. 1 *Trisiotropis camelopardalis*, 1859. C. 508 mm; D. 11,16; A. 3,10.
Fig. 2 *T. camelopardalis*, 1870. C. 219 mm; D. 11,17; A. 3,11; bonaçí gato.



Núm. 65



Trisotropis calliurus, 1864. P. 500 mm; D. 11,17; A. 3,11; abadejo.

Núm. 181

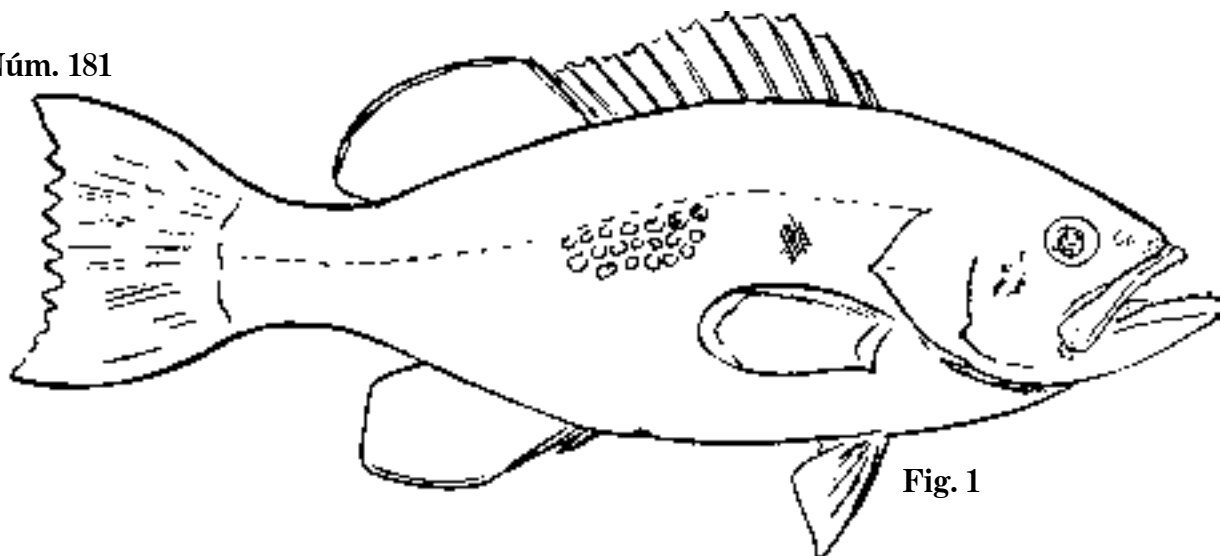


Fig. 1

Núm. 181

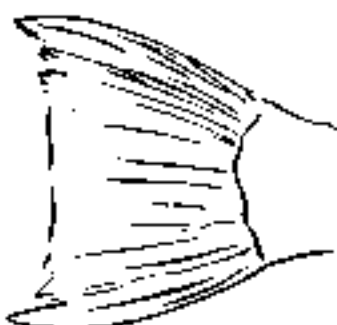


Fig. 2

Núm. 235

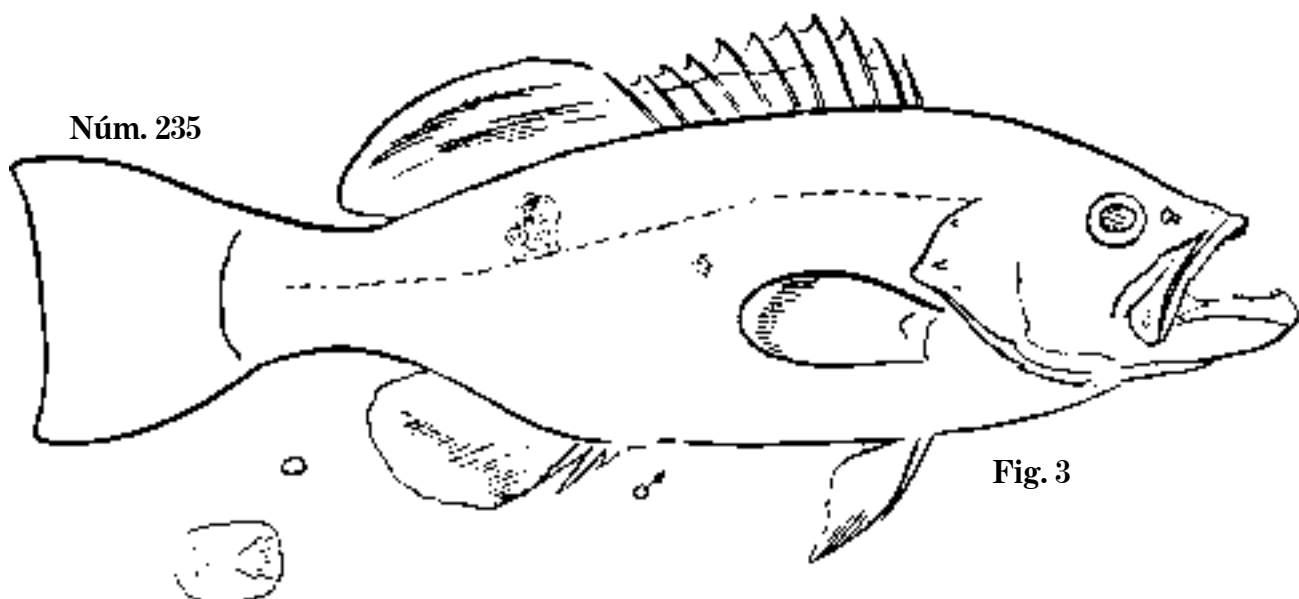


Fig. 3

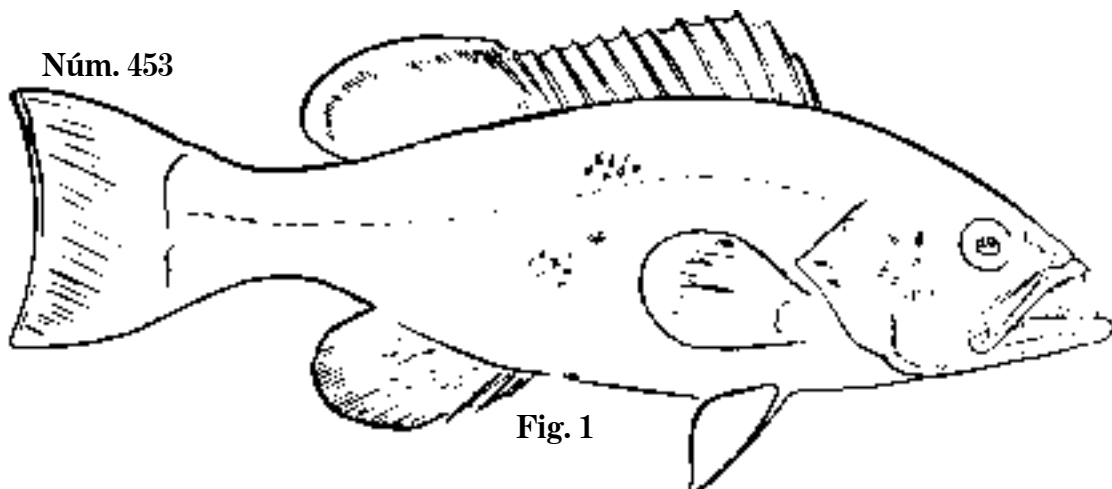
Fig. 1 *Trisotropis intermedius*, 1869. P. 370 mm; D. 11,17; A. 3,11.

Fig. 2 *T. intermedius* (caudal), 1870.

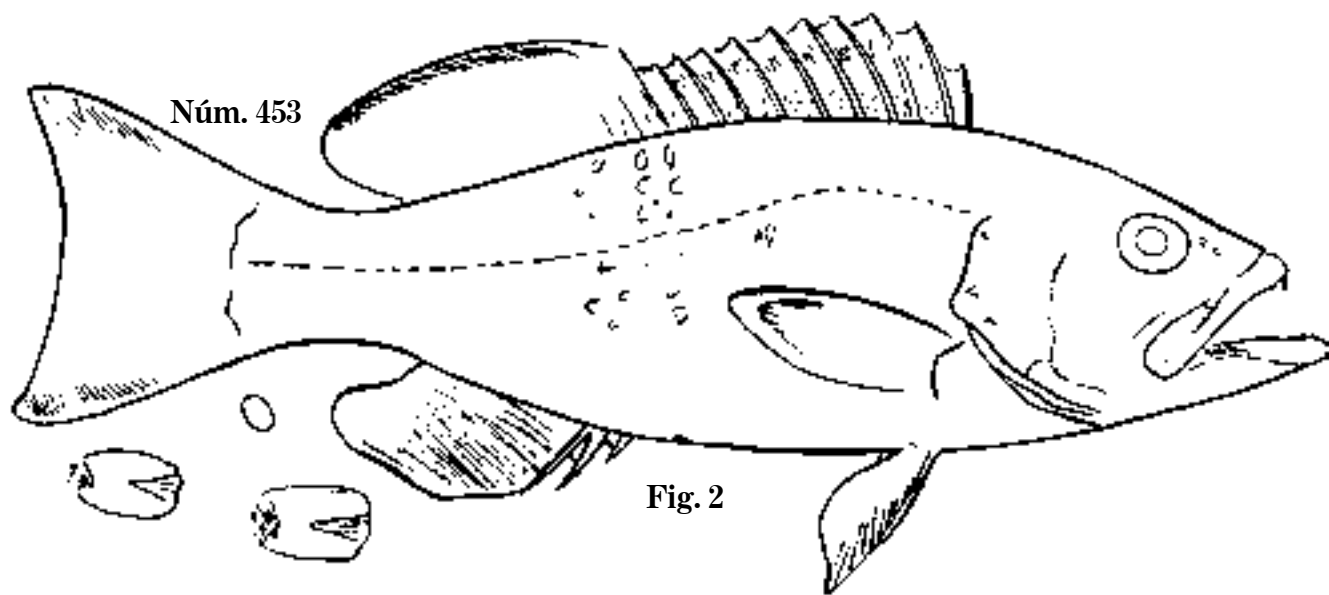
Fig. 3 *T. interstitialis*, 1850. P. 390 mm; D. 11,18; A. 3,11; abadejo.

Lám. 18

Núm. 453



Núm. 453



Núm. 453

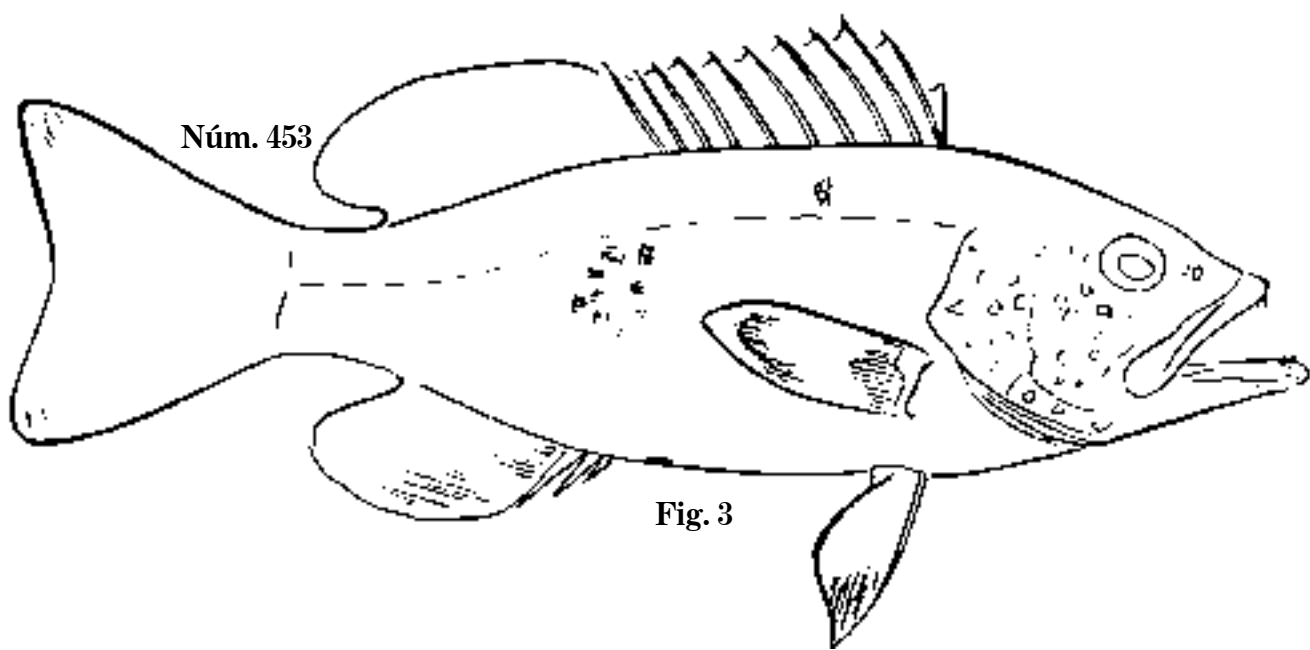


Fig. 1 *Trisotropis chlorostomus*, 1860. P. 320 mm; D. 11,17; A. 3,11.

Fig. 2 *T. chlorostomus*, 1860. P. 260 mm; D. 11,18; A. 3,11.

Fig. 3 *T. chlorostomus*. C. 188 mm; D. 11,18; A. 3,11; abadejo.

Lám. 19

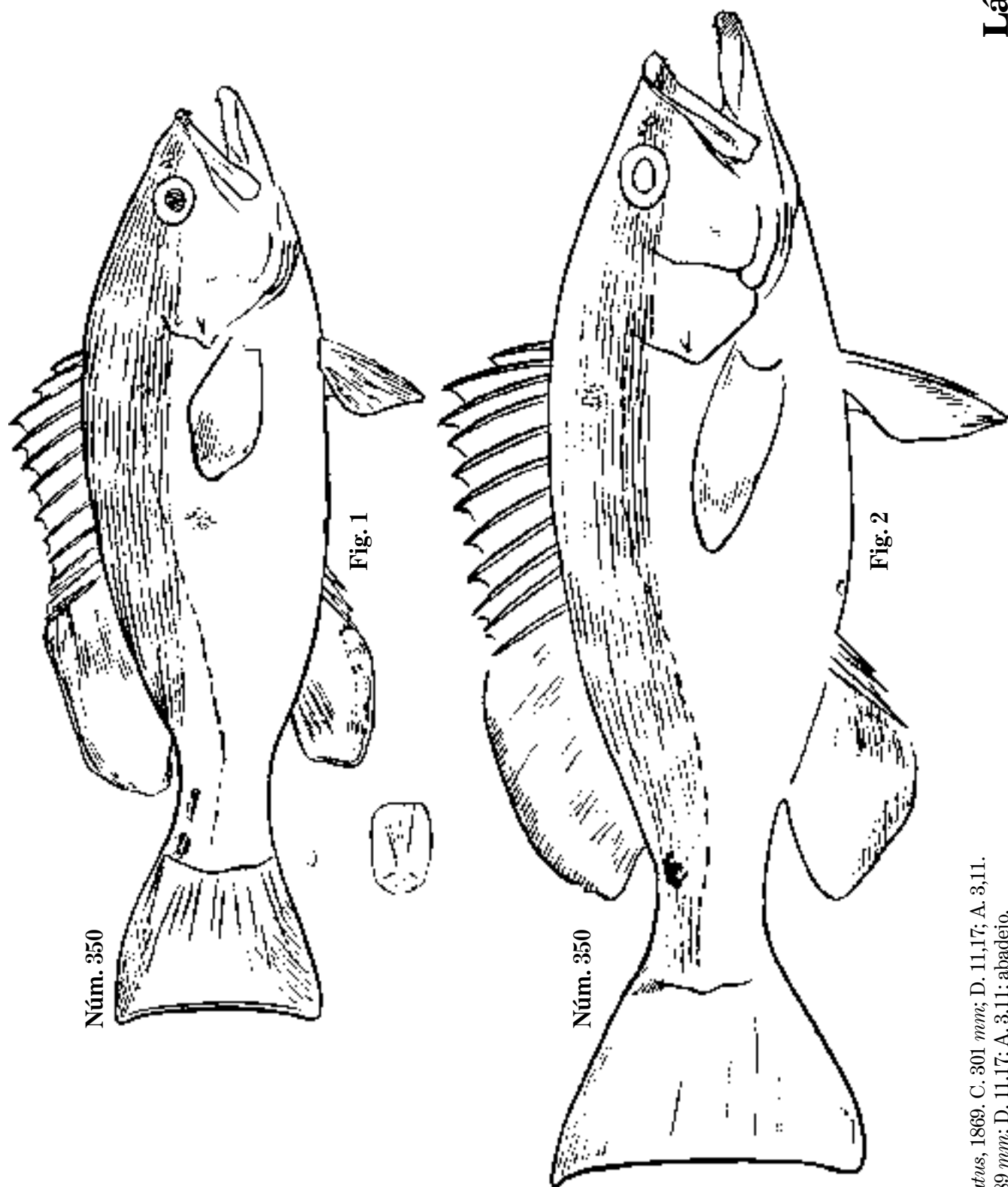


Fig. 1 *Trisotropis dimidiatus*, 1869. C. 301 mm; D. 11,17; A. 3,11.
Fig. 2 *T. dimidiatus*. C. 189 mm; D. 11,17; A. 3,11; abadejo.

Lám. 20

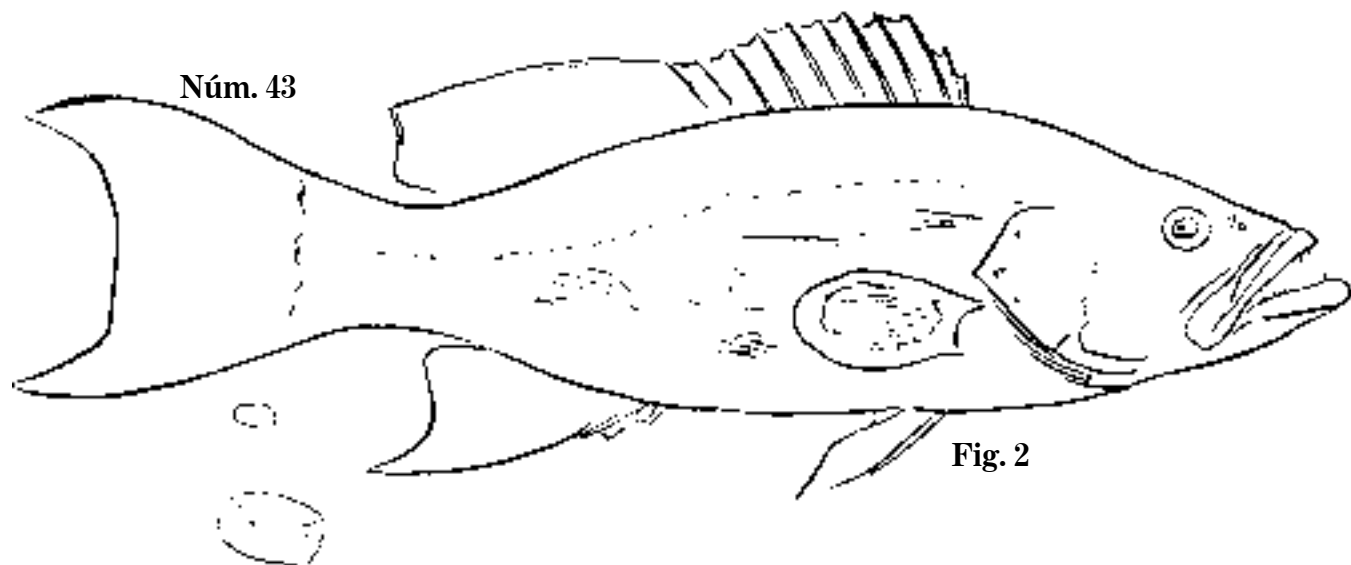
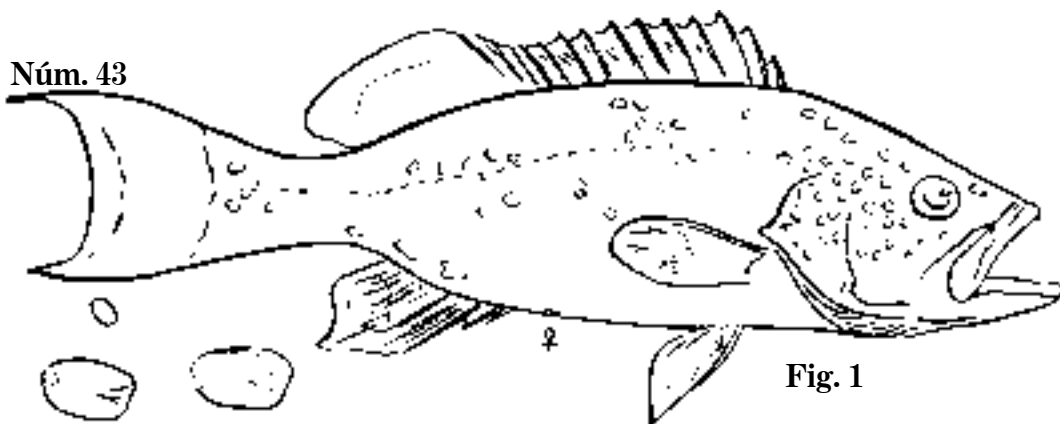


Fig. 1 *Trisotropis falcatus*, 1860. C. 368 mm; D. 11,17; A. 3,11.
Fig. 2 *T. falcatus*, 1890. C. 676 mm; D. 11,17; A. 3,11; abadejo.

Núm. 238

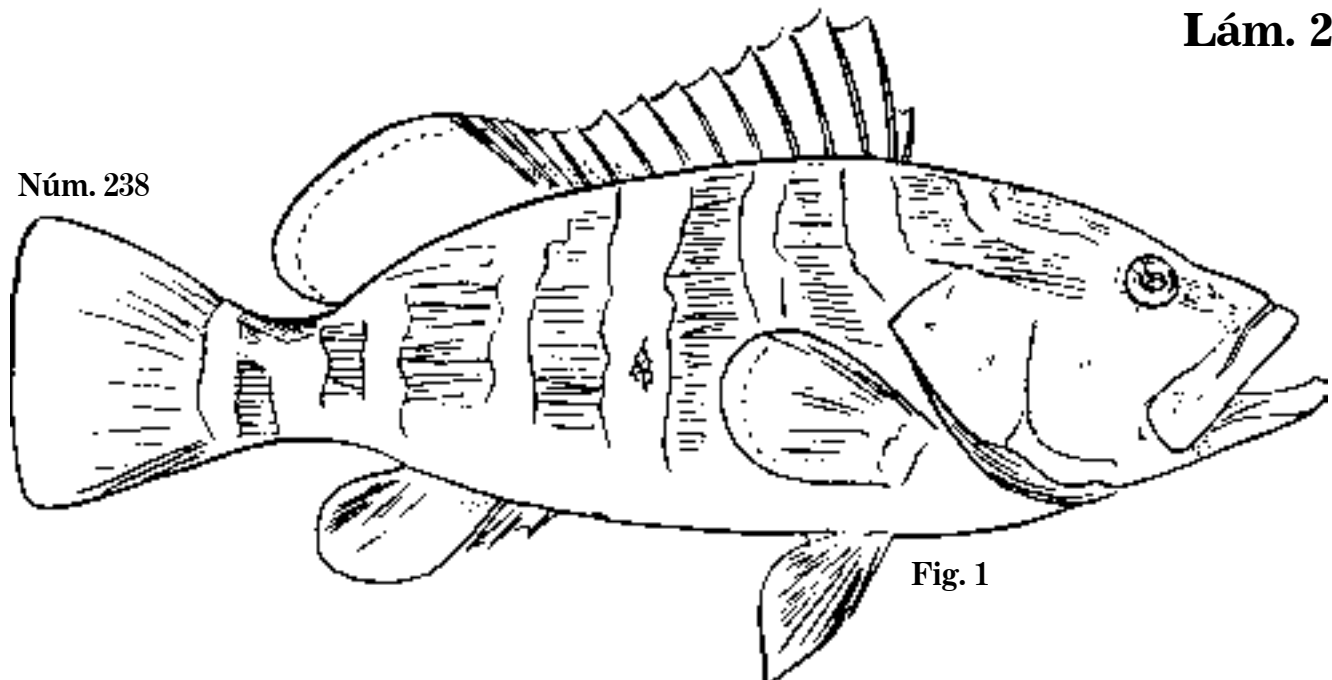


Fig. 1

Núm. 238

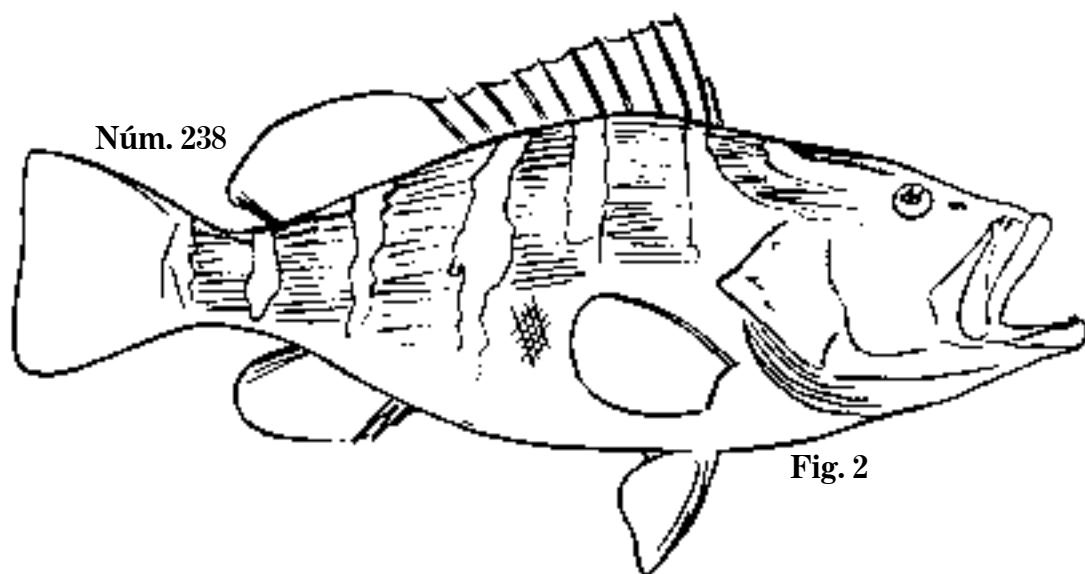


Fig. 2

Núm. 238

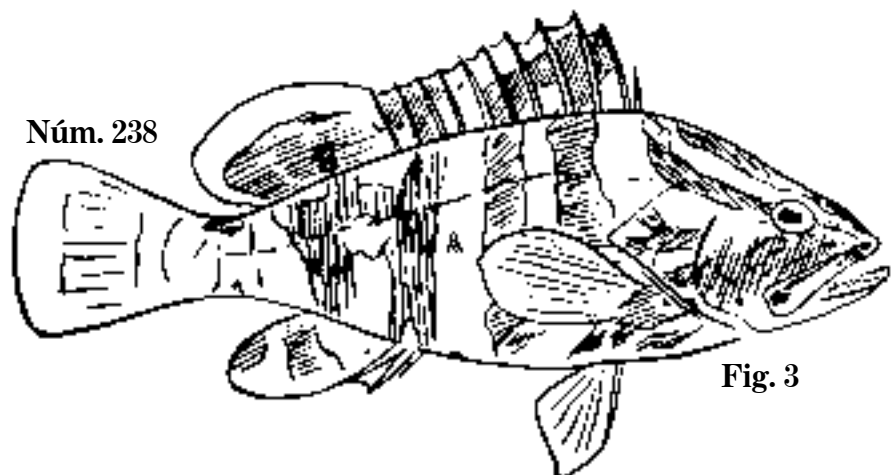


Fig. 3

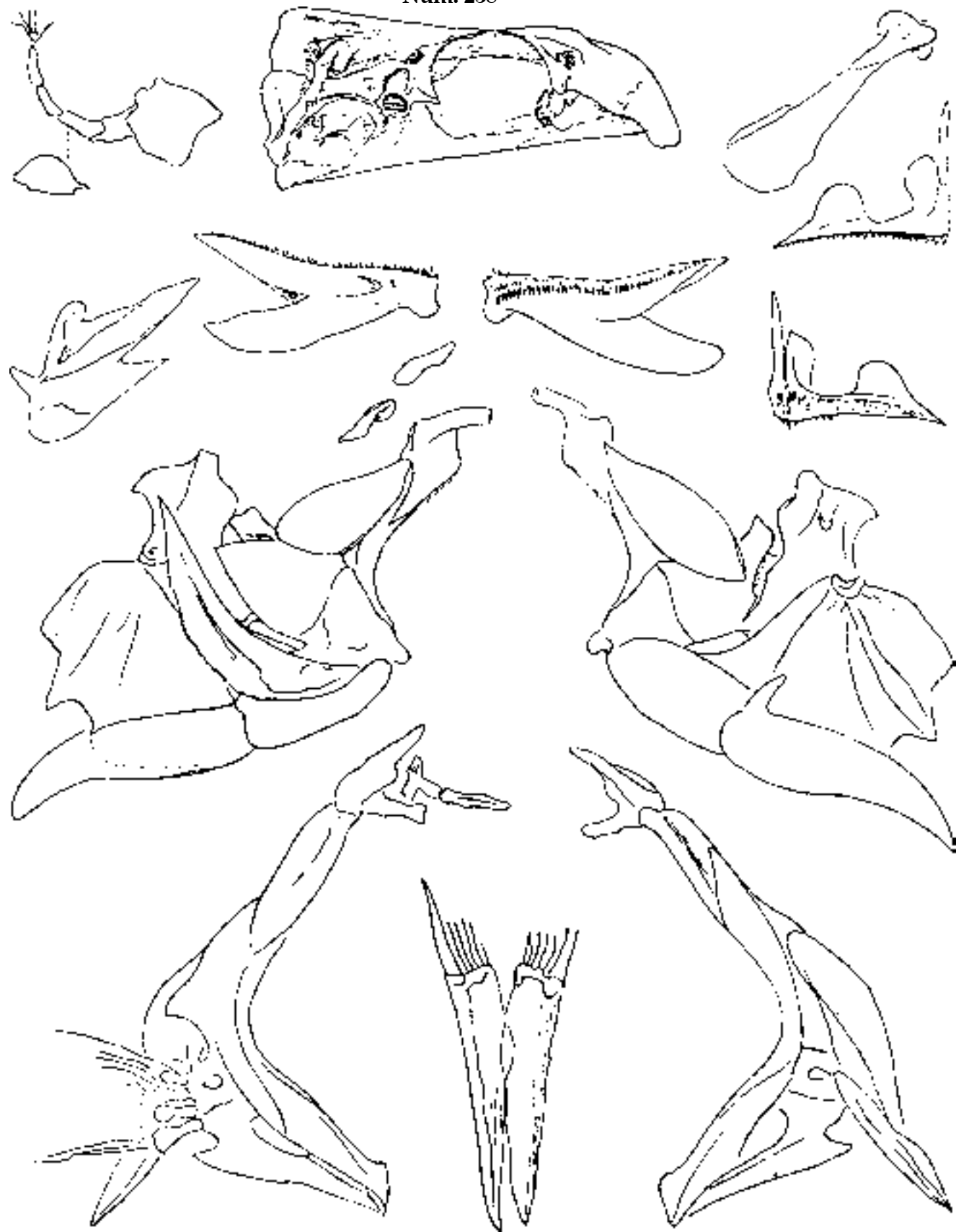
Fig. 1 *Epinephelus striatus*, 1864. C. 553 mm; D. 11,17; A. 3,8.

Fig. 2 *E. striatus*, 1875. C. 720 mm; D. 11,17; A. 3,8.

Fig. 3 *E. striatus*. C. 298 mm; D. 11,17; A. 3,8; cherna criolla.

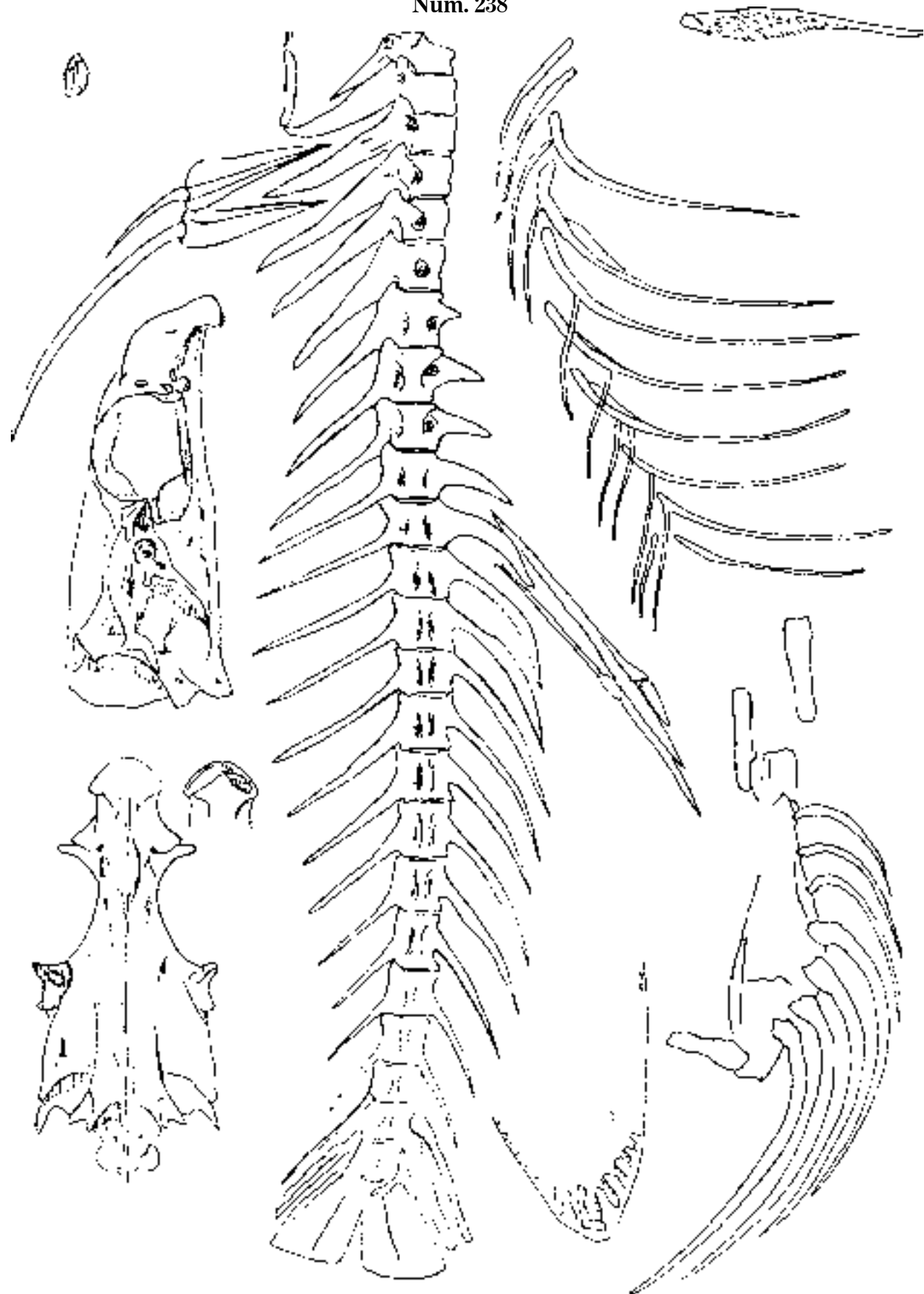
Lám. 22

Núm. 238



Epinephelus striatus. Osteología; cherna criolla.

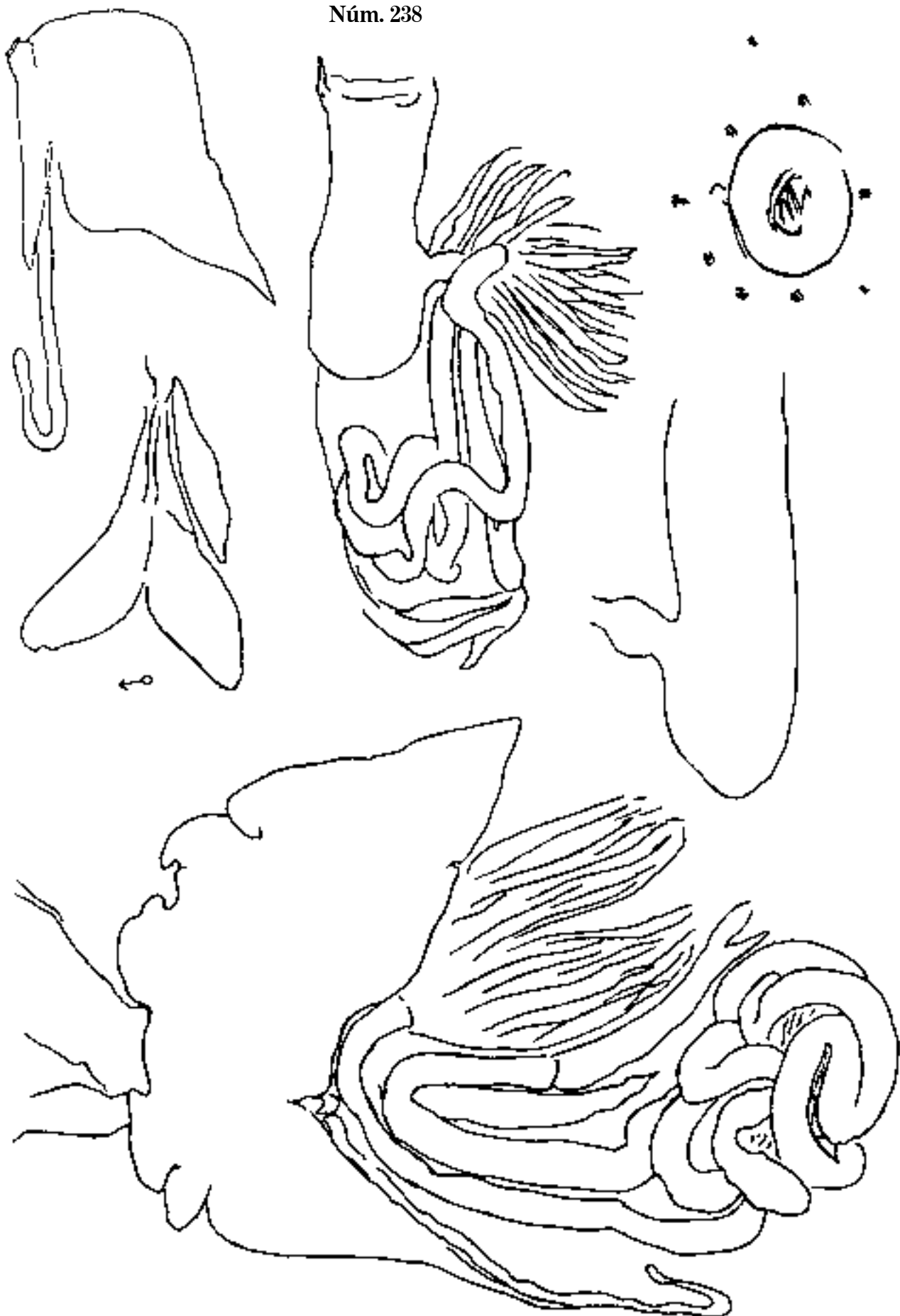
Núm. 238



Epinephelus striatus. Osteología; cherna criolla.

Lám. 24

Núm. 238



Epinephelus striatus. Órganos; cherna criolla.

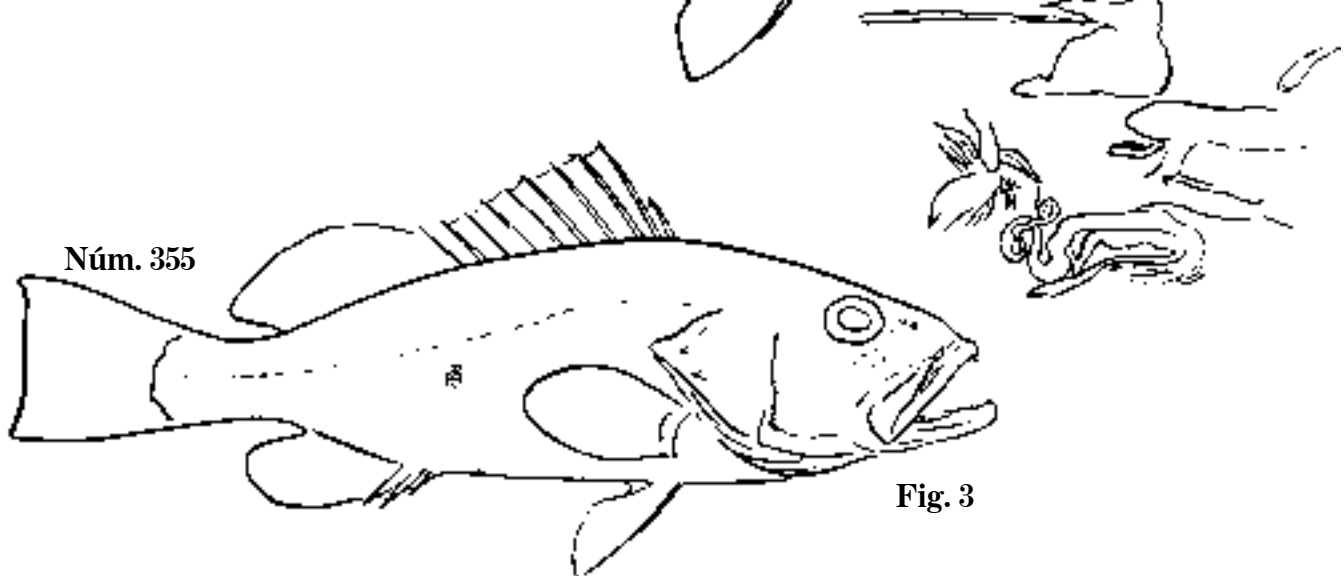
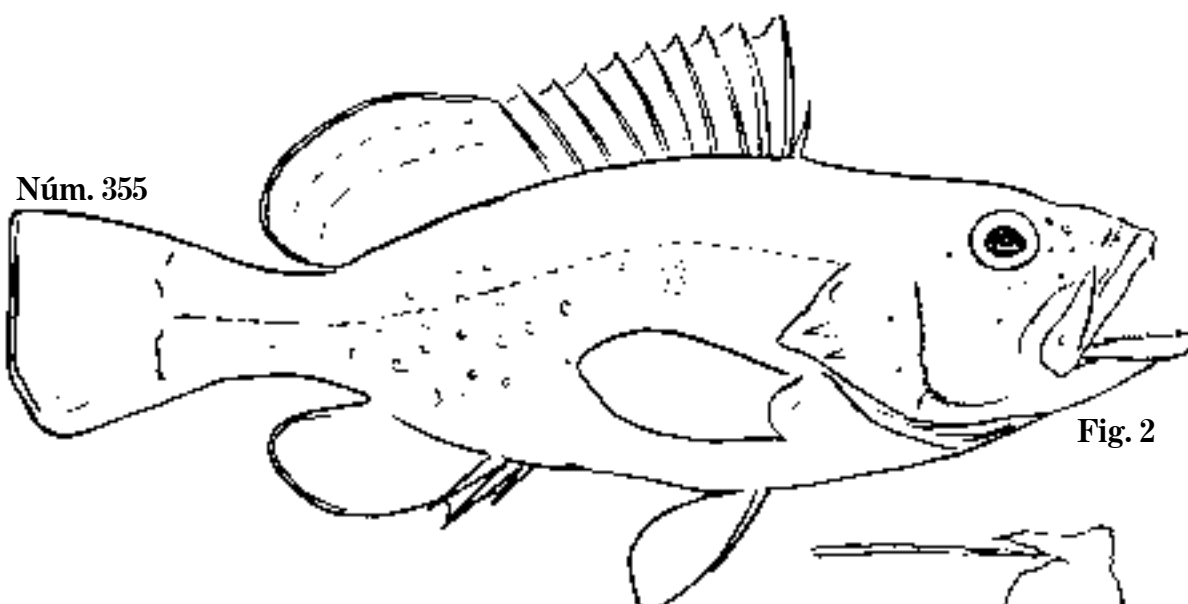
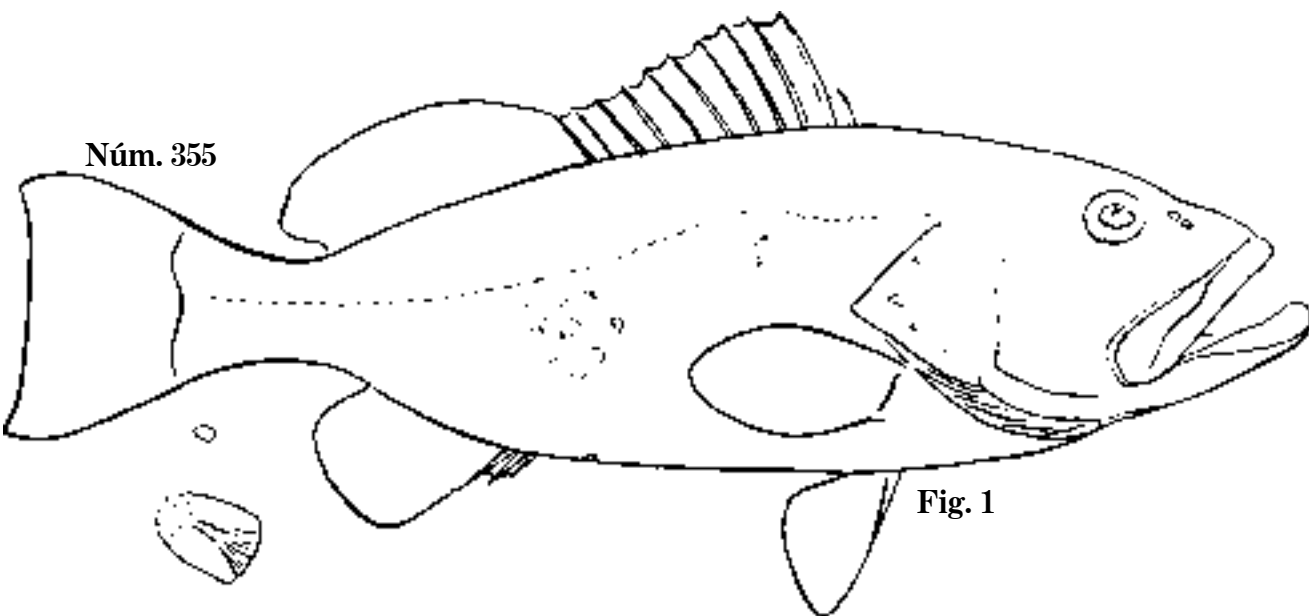


Fig. 1 *Epinephelus morio*, 1859. C. 551 mm; D. 11,17; A. 3,9.

Fig. 2 *E. morio*, 1859. C. 220 mm; D. 11,17; A. 3,9.

Fig. 3 *E. morio*, 1860. C. 363 mm; D. 11,16; A. 3,9; cherna de vivero.

Lám. 26

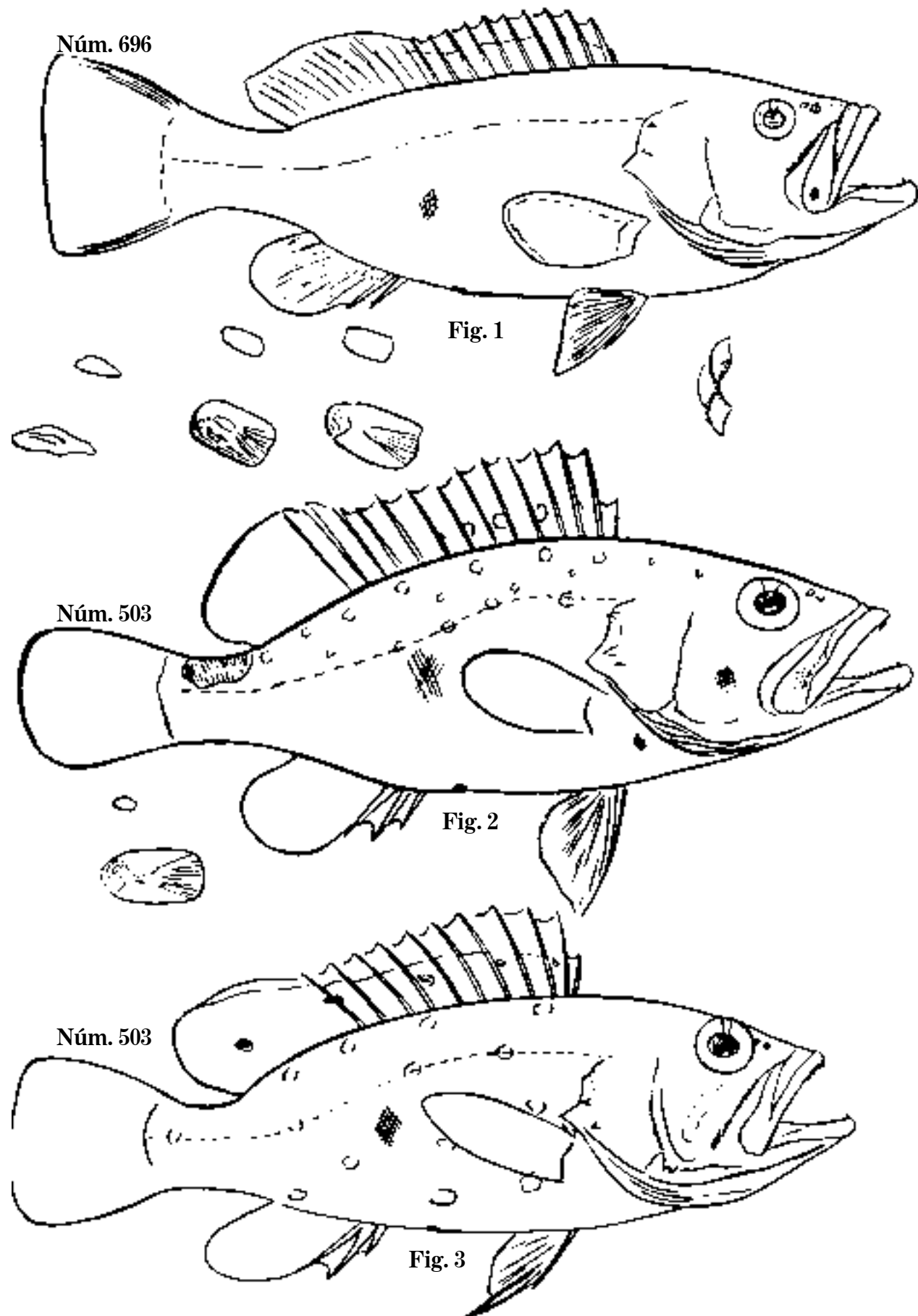


Fig. 1 *Epinephelus flavolimbatus*, 1863. C. 741 mm; D. 11,14; A. ?; mero de aletas amarillas.

Fig. 2 *E. niveatus*, 1865. C. 377 mm; D. 11,14; A. 3,9.

Fig. 3 *E. niveatus*, 1862. C. 179 mm; D. 11,14; A. 3,9; mero.

Núm. 503

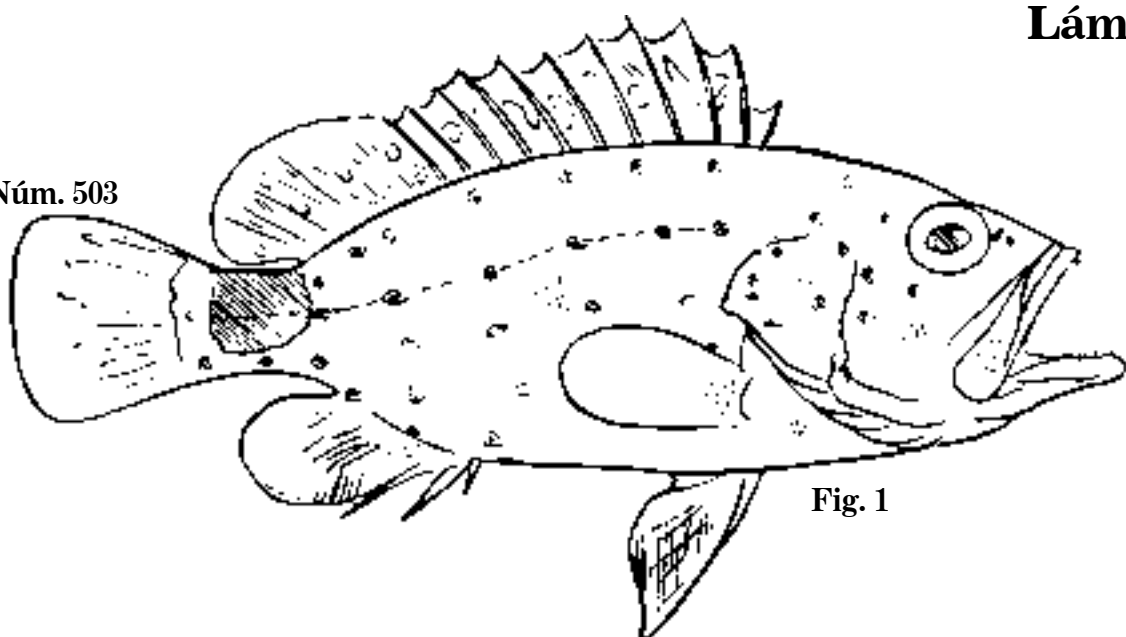


Fig. 1

Núm. 503

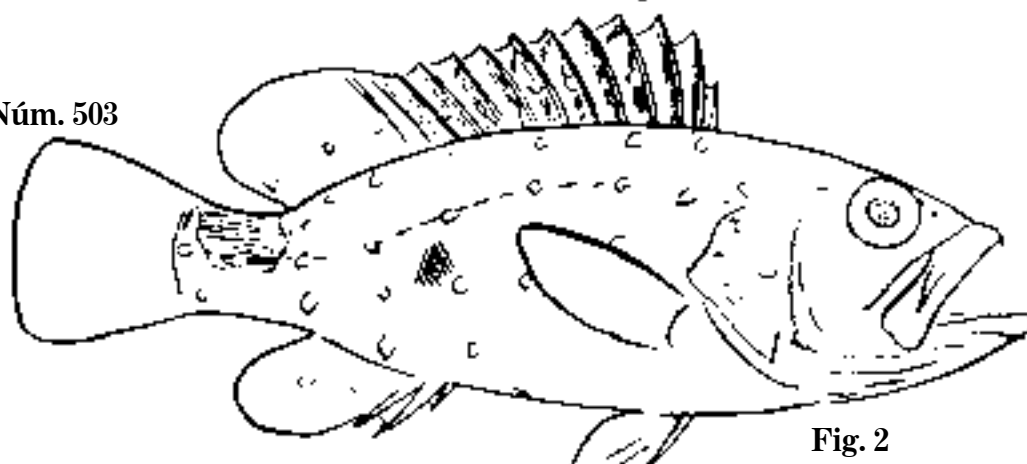


Fig. 2

Núm. 503

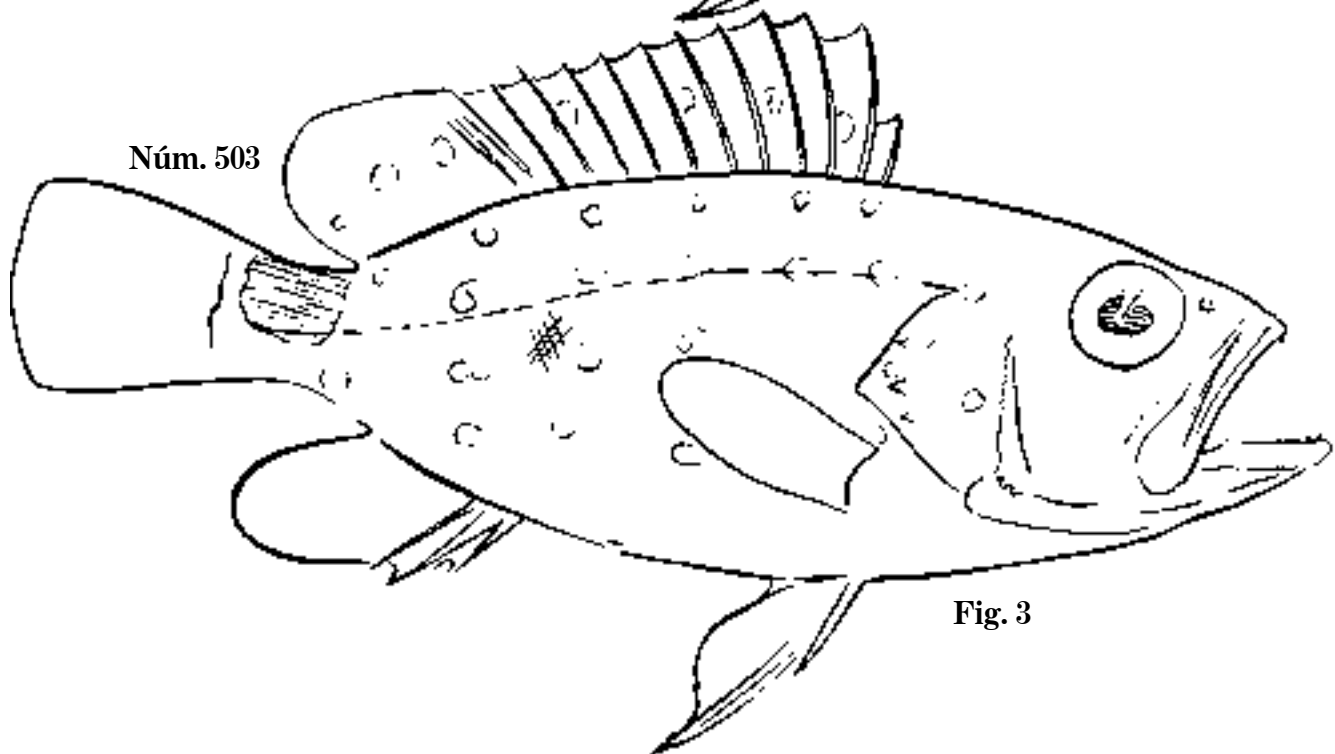


Fig. 3

Fig. 1 *Ephinephelus niveatus*, 1860. C. 195 mm; D. 11,14; A. 3,9.

Fig. 2 *E. niveatus*, 1862. C. 179 mm; D. 11,14; A. 3,9.

Fig. 3 *E. niveatus*, 1862. C. 116 mm; D. 11,14; A. 3,9; mero.

Lám. 28

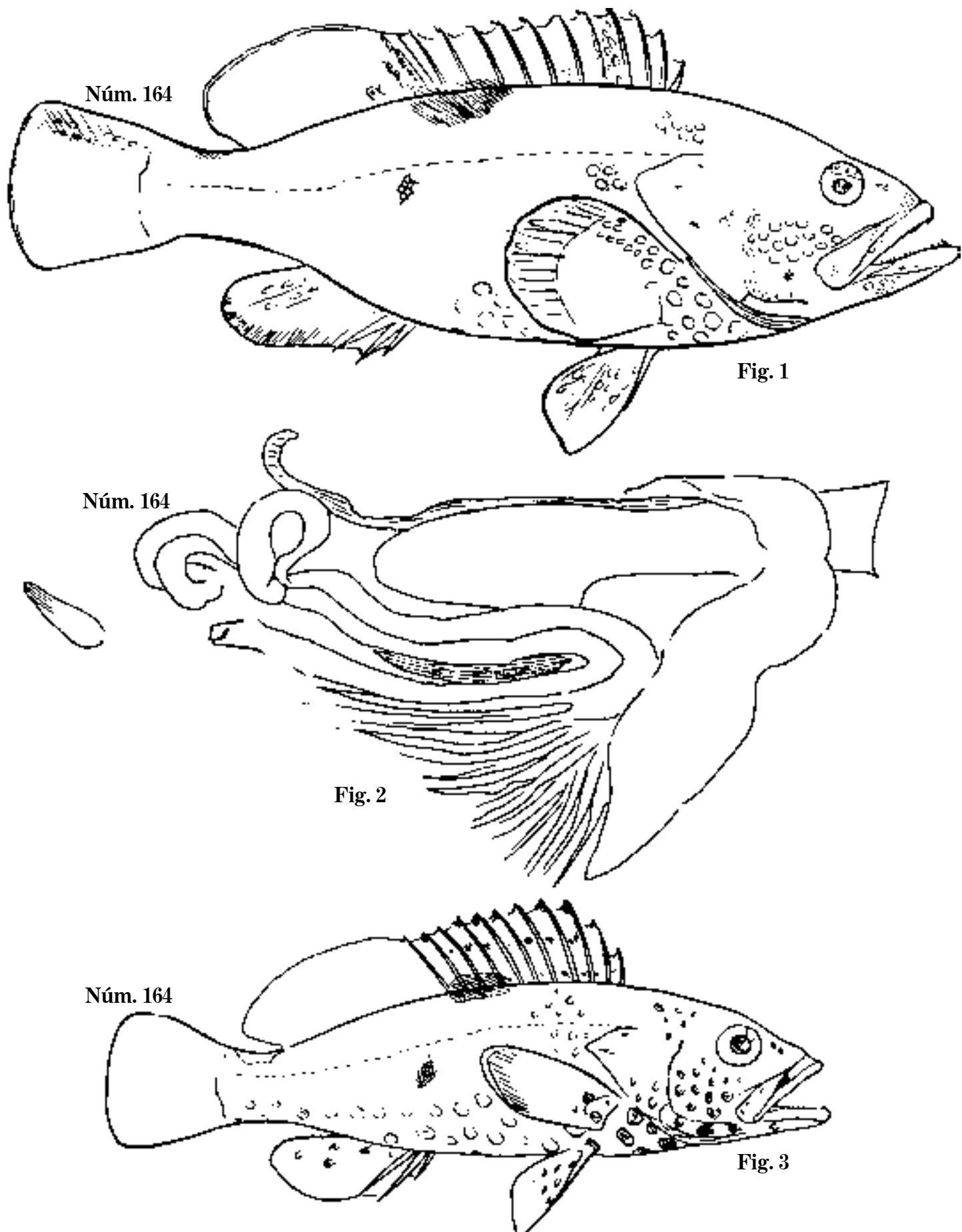


Fig. 1 *Epinephelus punctatus*, 1865. C. 500 mm; D. 11,17; A. 3,8.

Fig. 2 *E. punctatus*. Órganos y helminto.

Fig. 3 *E. punctatus*, 1871. C. 166 mm; D. 11,17; A. 3,8; cabra mora.

Lám. 29

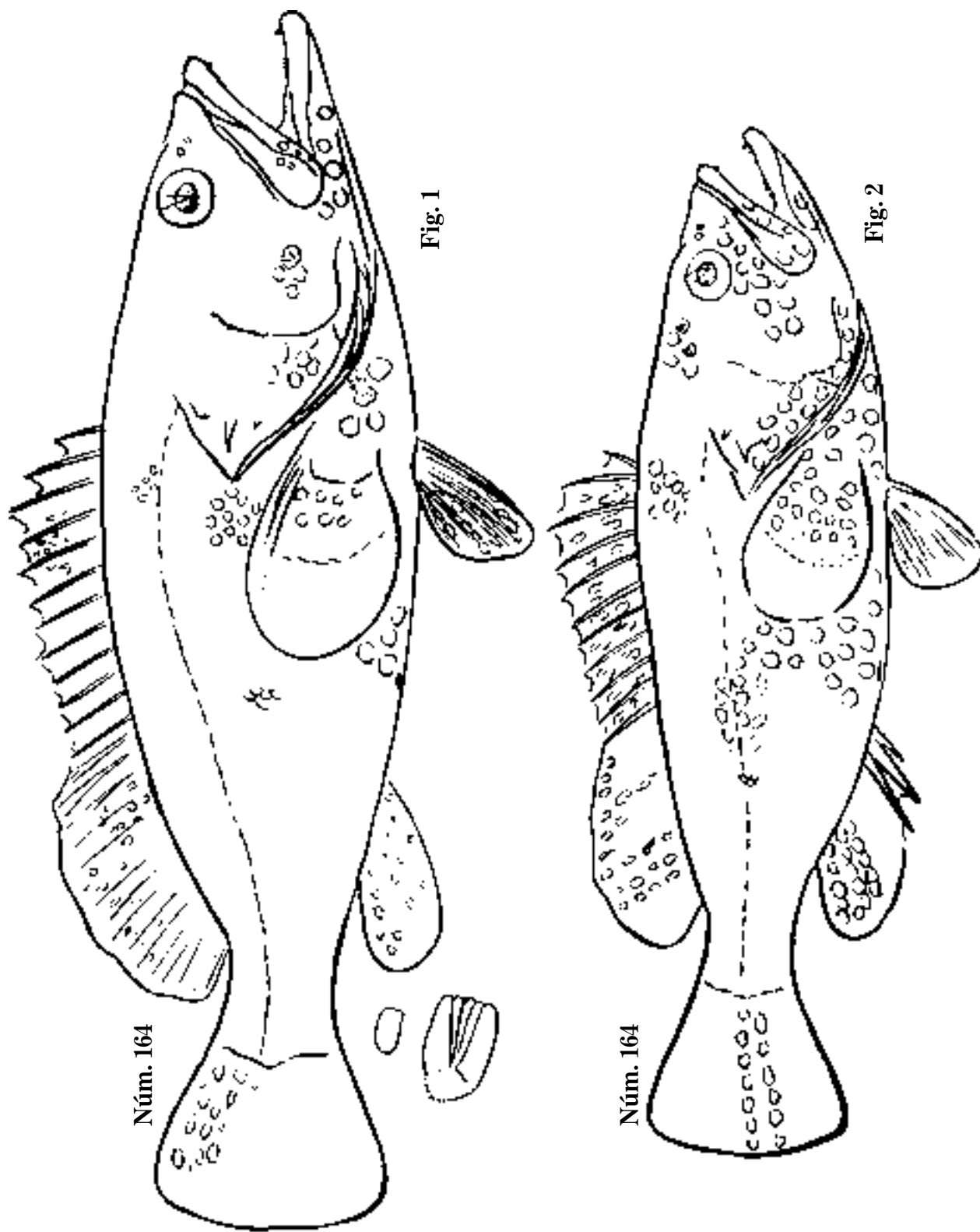
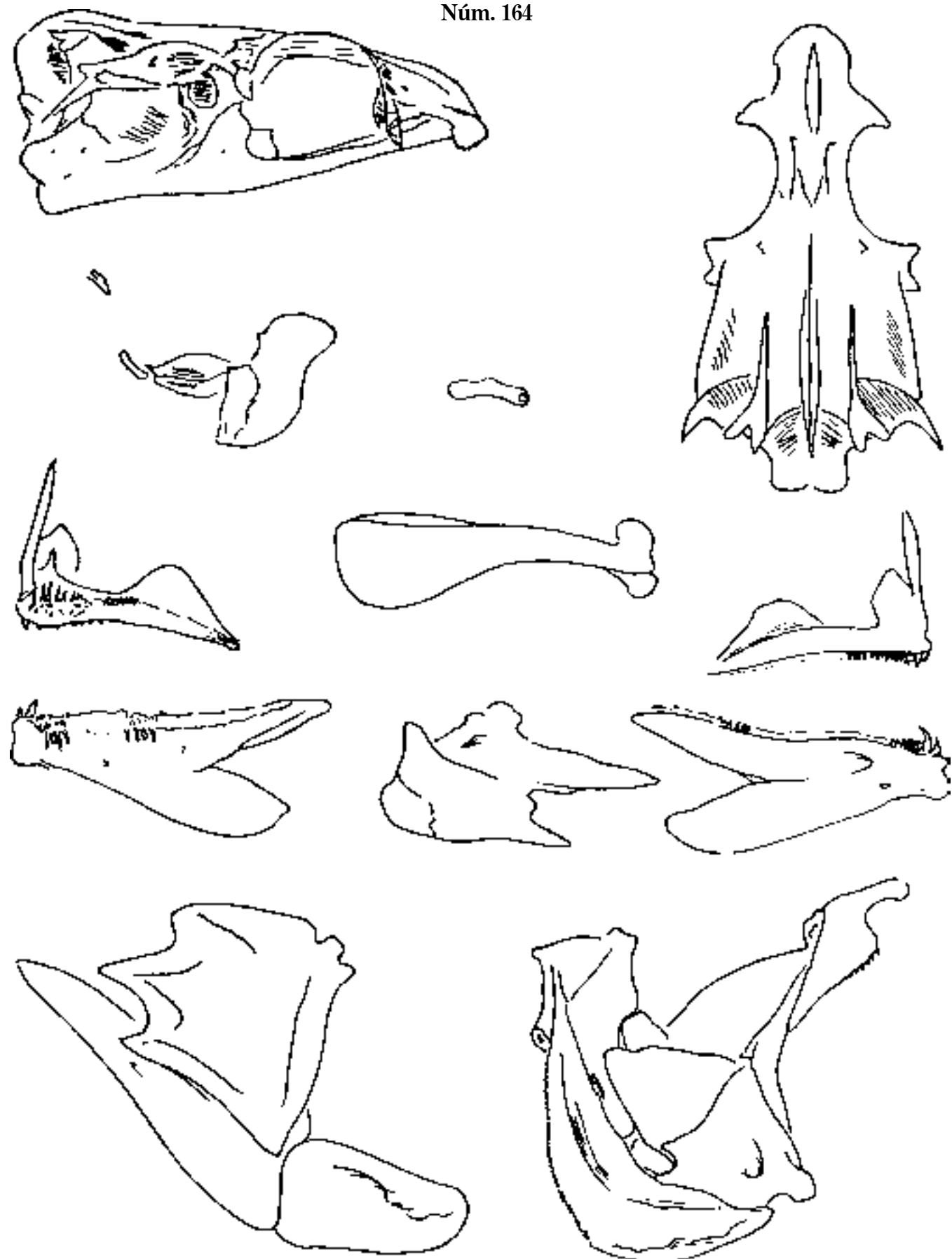


Fig. 1 *Epinephelus punctatus*, 1868. C. 413 mm; D. 12,17; A. ?
Fig. 2 *E. punctatus*, 1860. C. 349 mm; D. 11,17; A. 3,8; cabra mora.

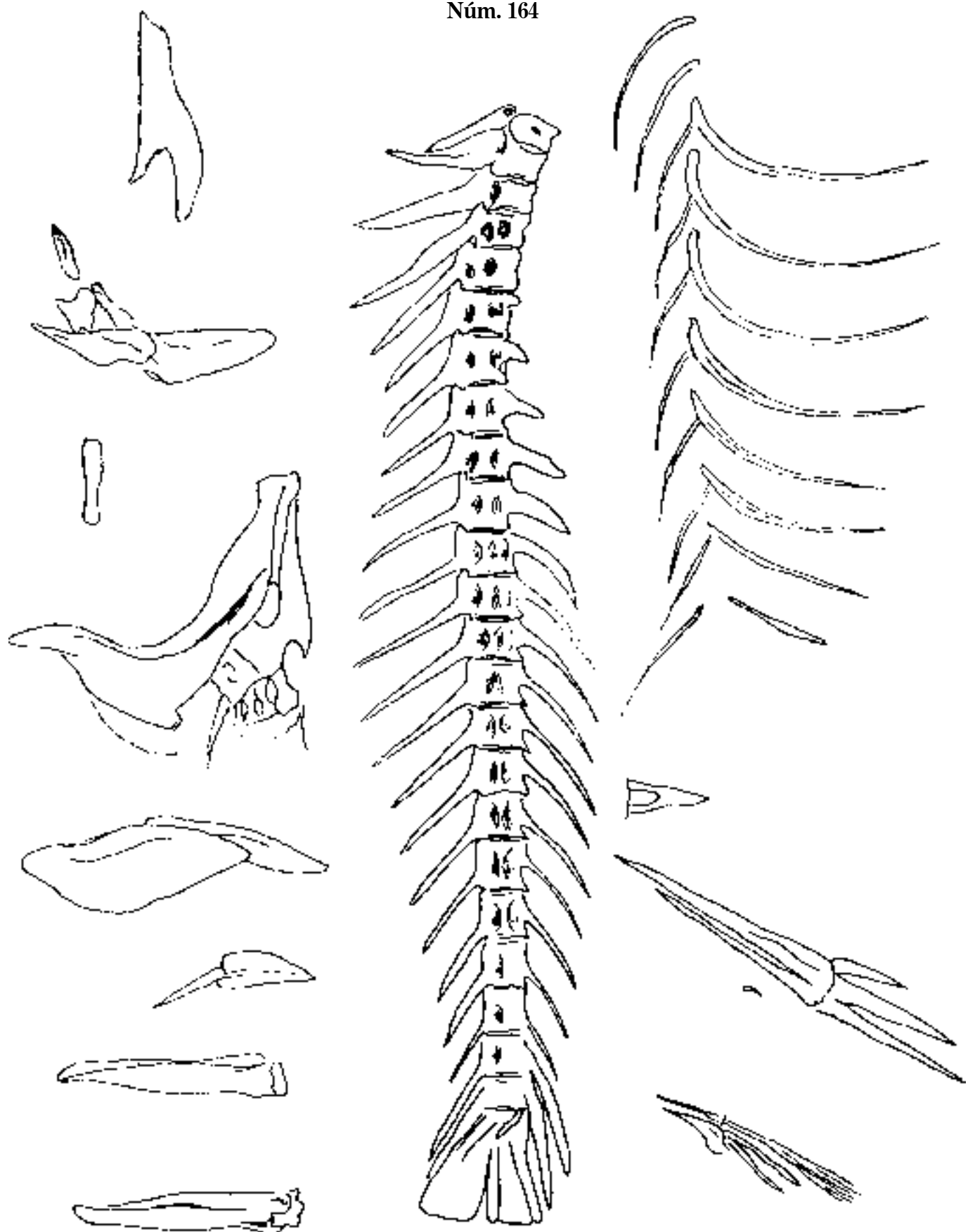
Lám. 30

Núm. 164



Epinephelus punctatus. Osteología; cabra mora.

Núm. 164



Epinephelus punctatus. Osteología; cabra mora.

Lám. 32

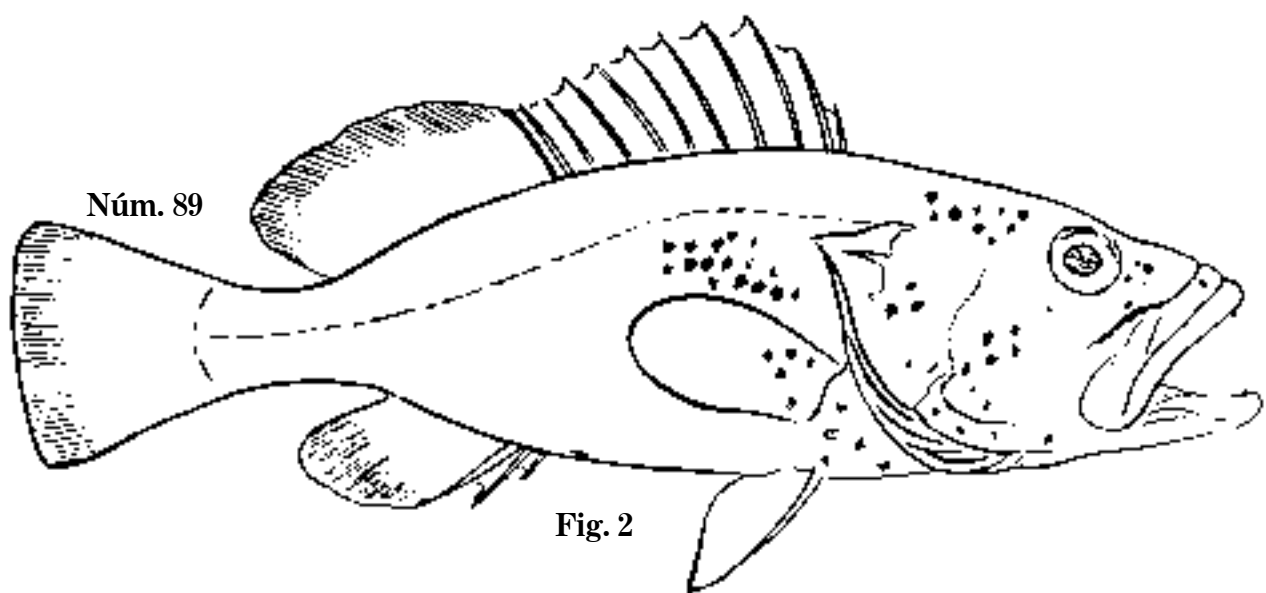
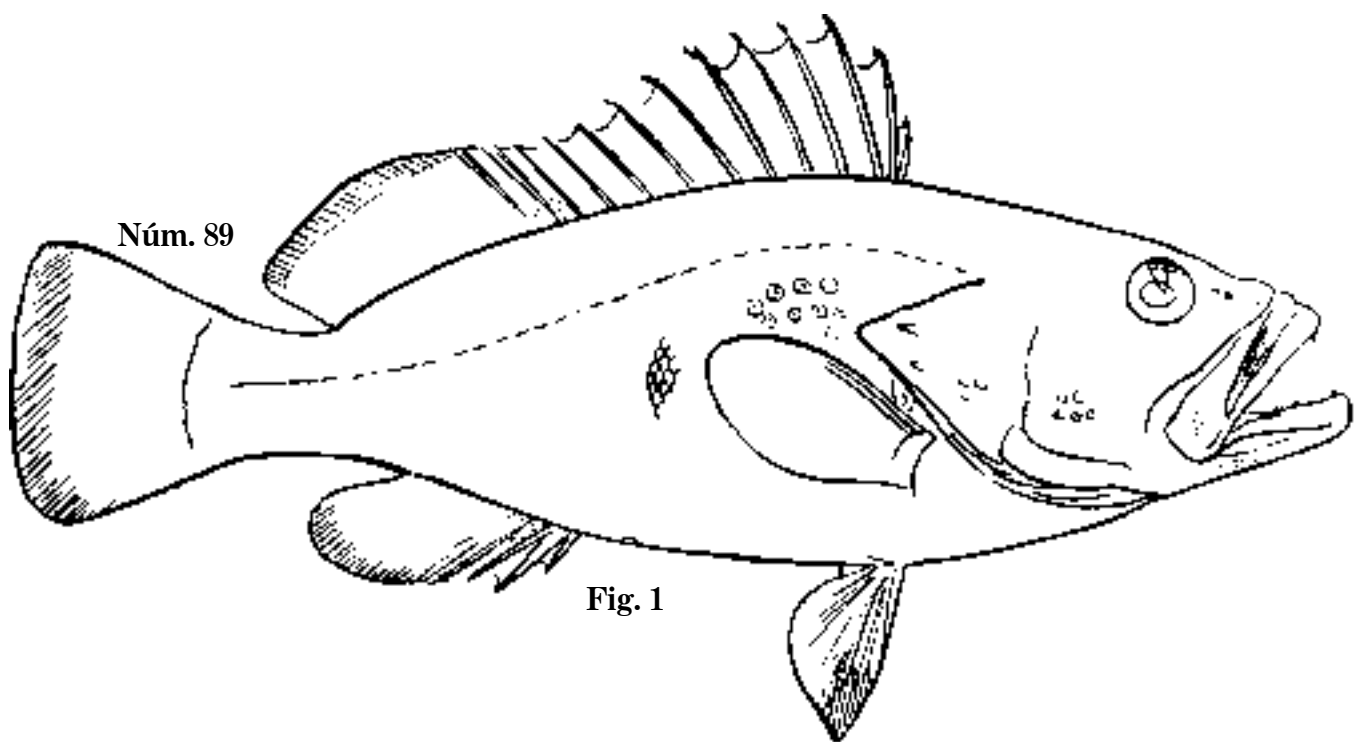


Fig. 1 *Epinephelus lunulatus*, 1871. C. 428 mm.

Fig. 2 *E. lunulatus*, 1860. C. 401 mm; D. 10,16; A. 3,8; cabrilla.

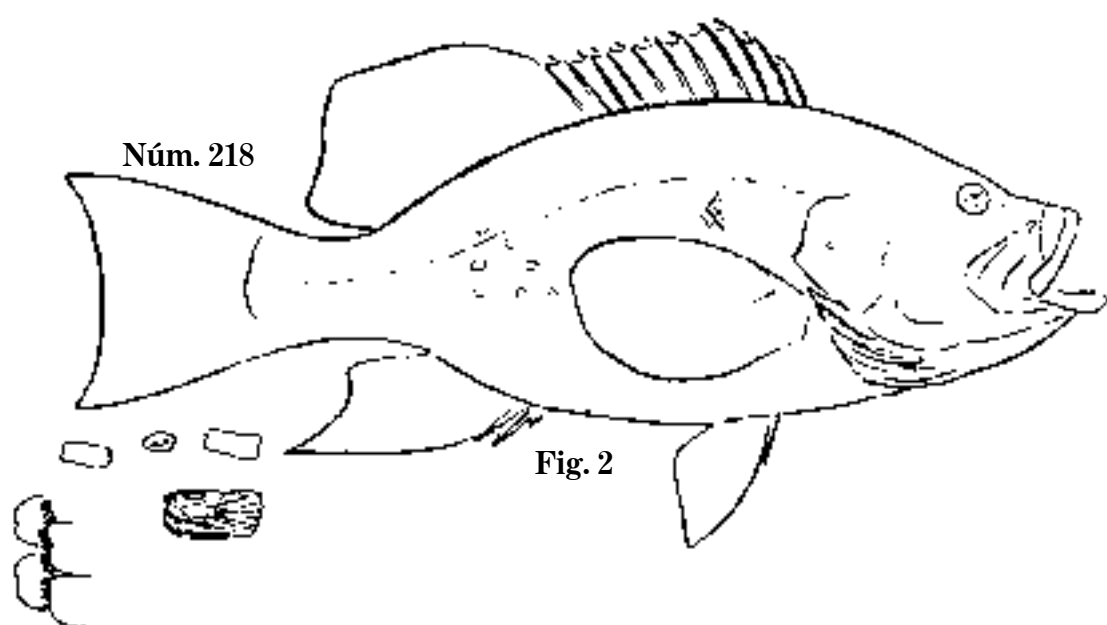
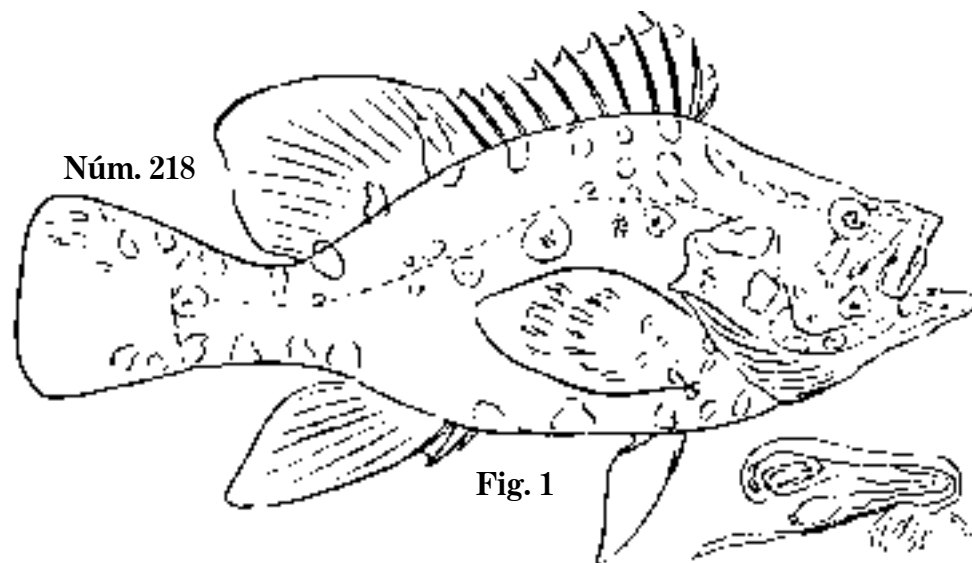


Fig. 1 *Lioperca inermis*. C. 395 mm; D. 11,19; A. 3,9.

Fig. 2 *L. inermis*, 1868. C. 680 mm; D. 11,19; A. 3,9; S.N.C. (sin nombre común).

Lám. 34

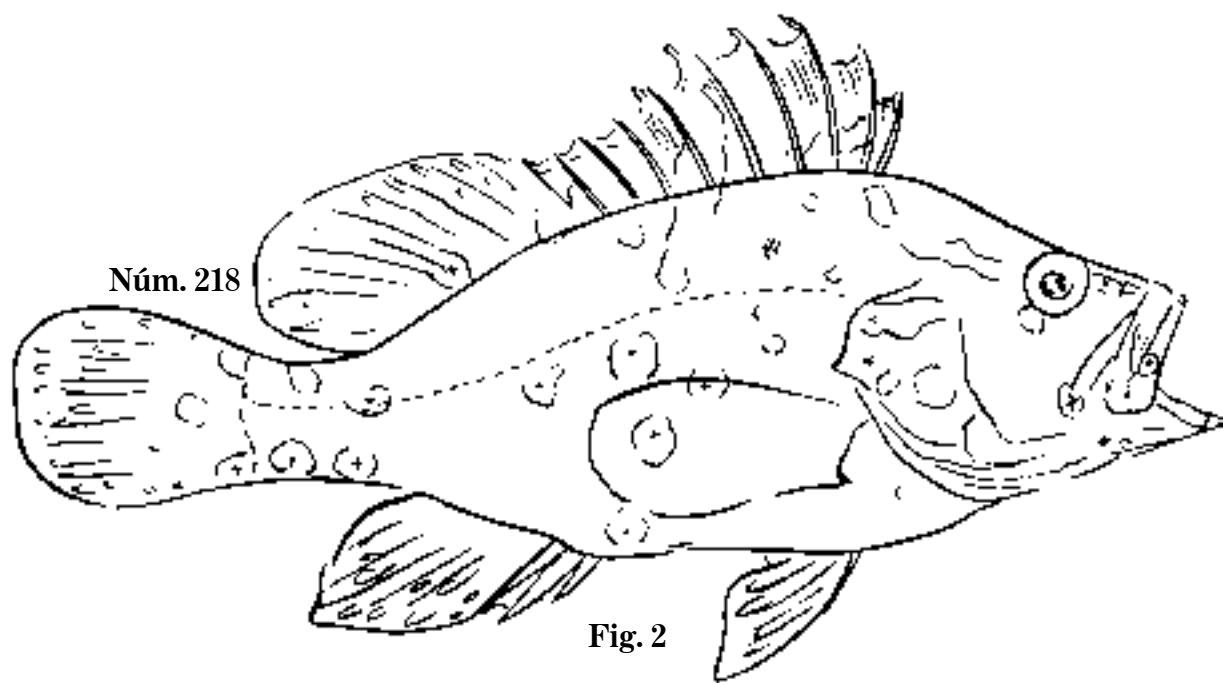
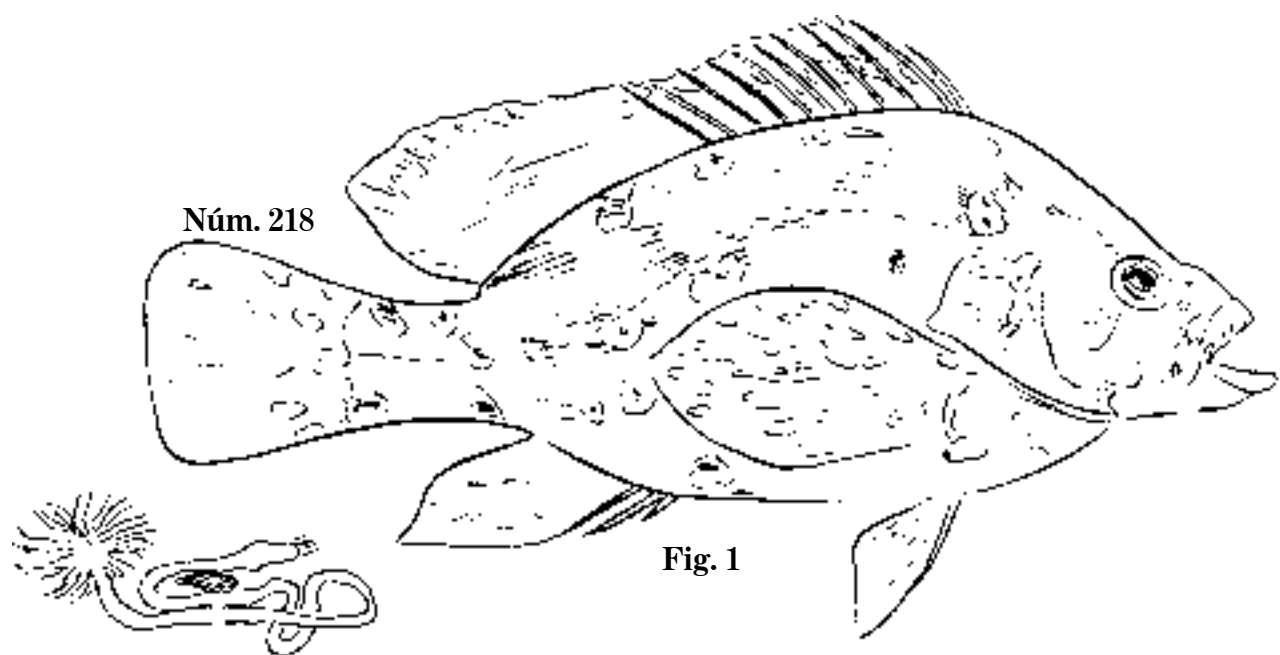


Fig. 1 *Lioperca inermis*, 1835. C. 241 mm; D. 11,?; A. ?
Fig. 2 *L. inermis*. C. 195 mm; D. 10,19; A. 3,8; S.N.C.

Lám. 35

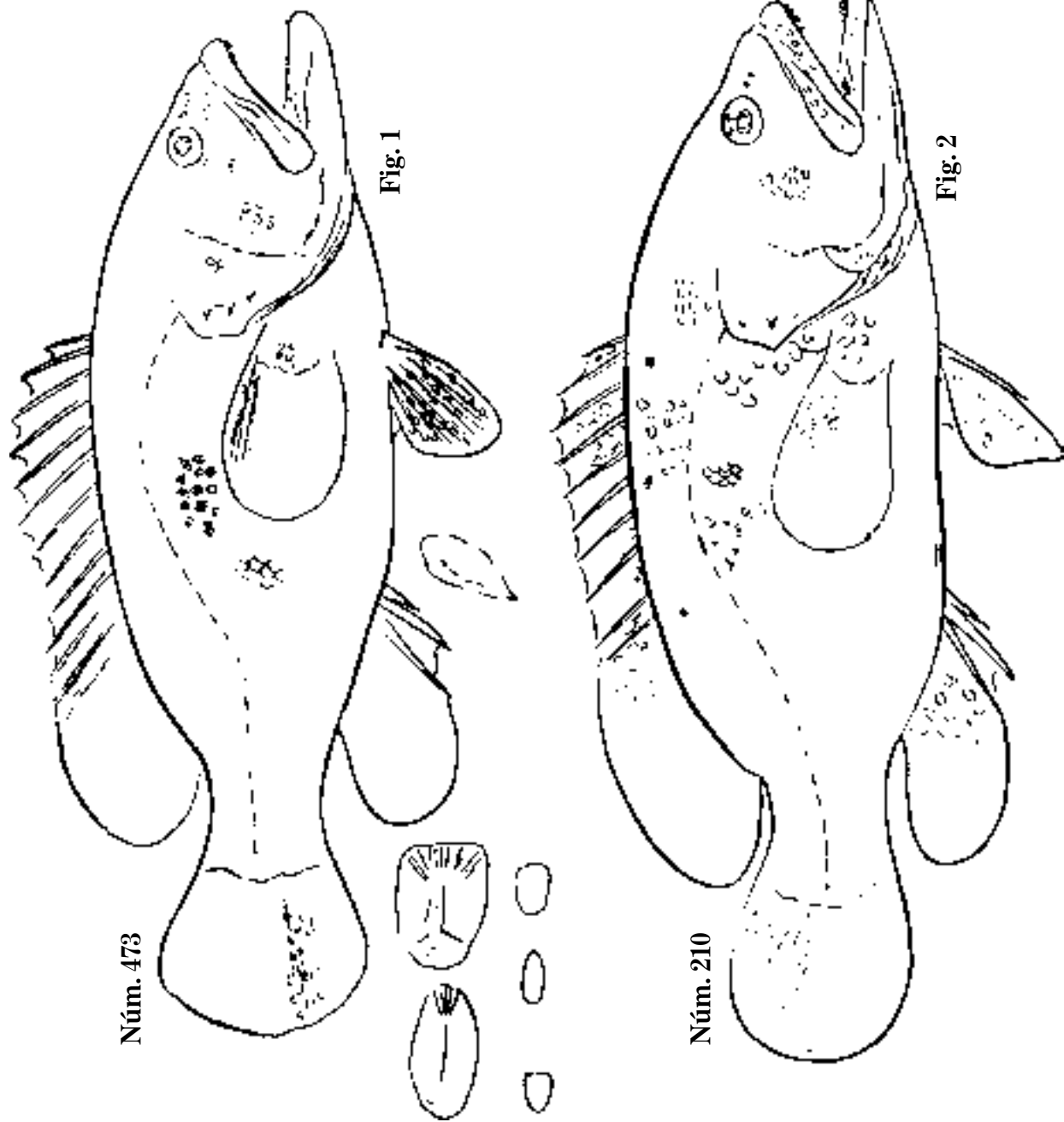
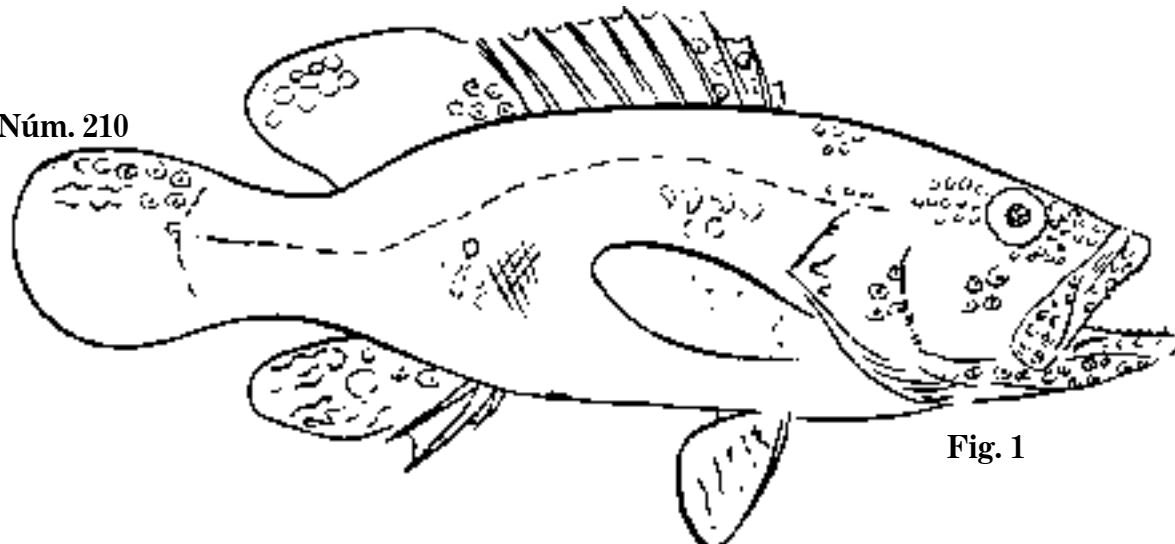


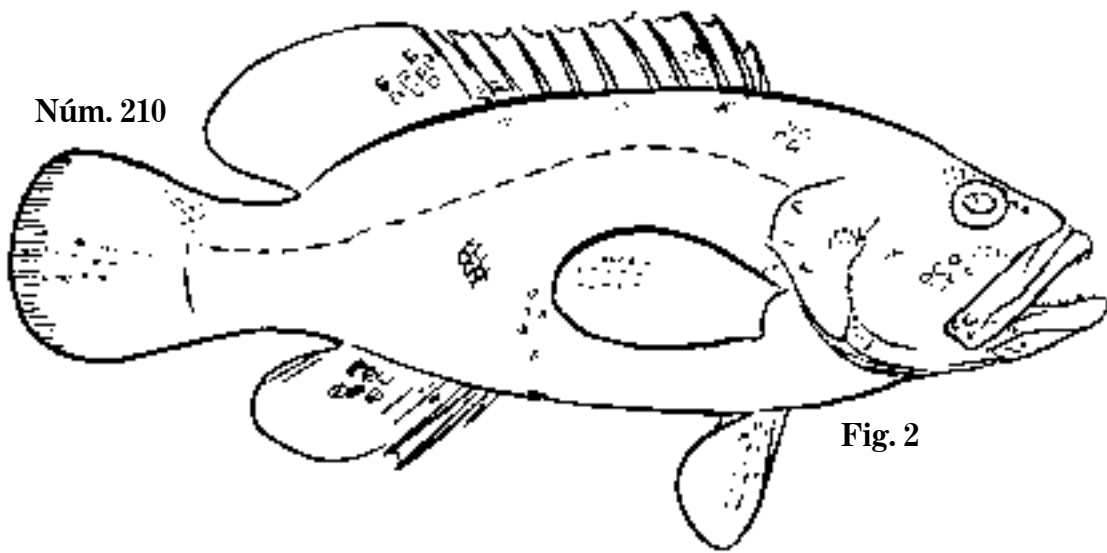
Fig. 1 *Petrometopon guttatum*, 1864. C. 281 mm; D. 9,14; A. 3,8.
Fig. 2 *P. apiarium*, 1870. C. 299 mm; D. 9,14; A. 3,8; enjambre.

Lám. 36

Núm. 210



Núm. 210



Núm. 210

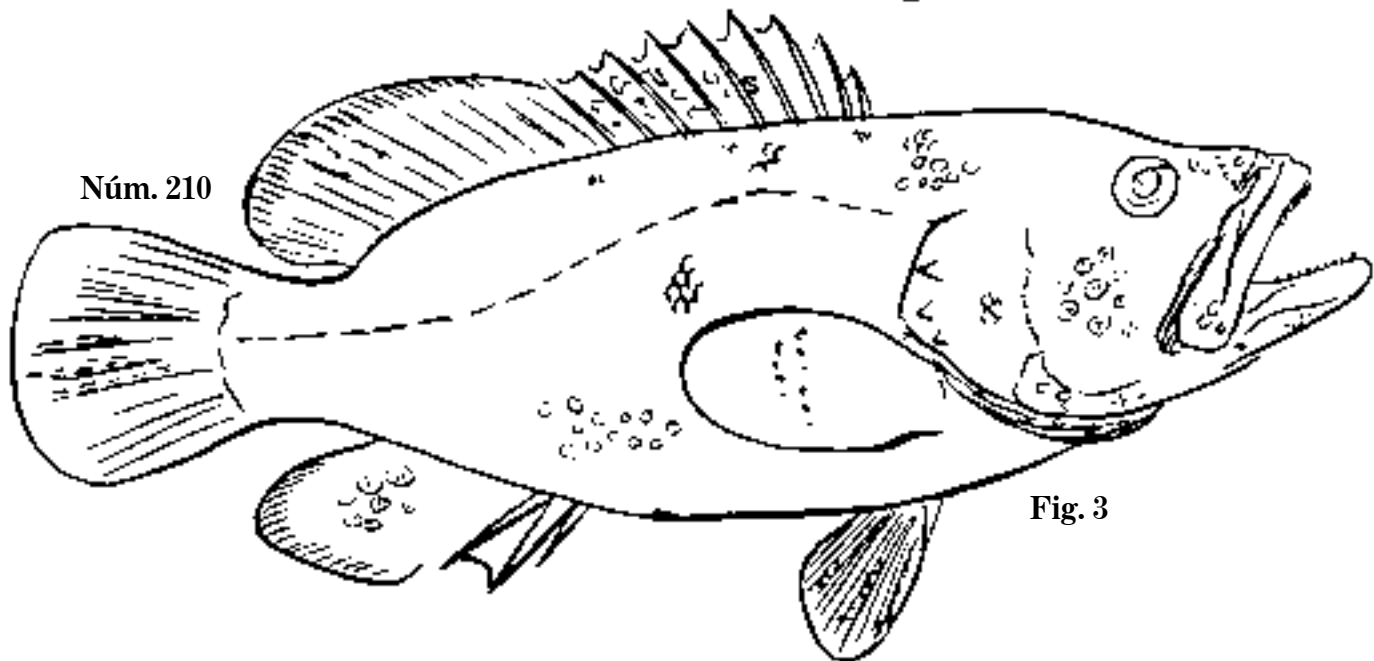
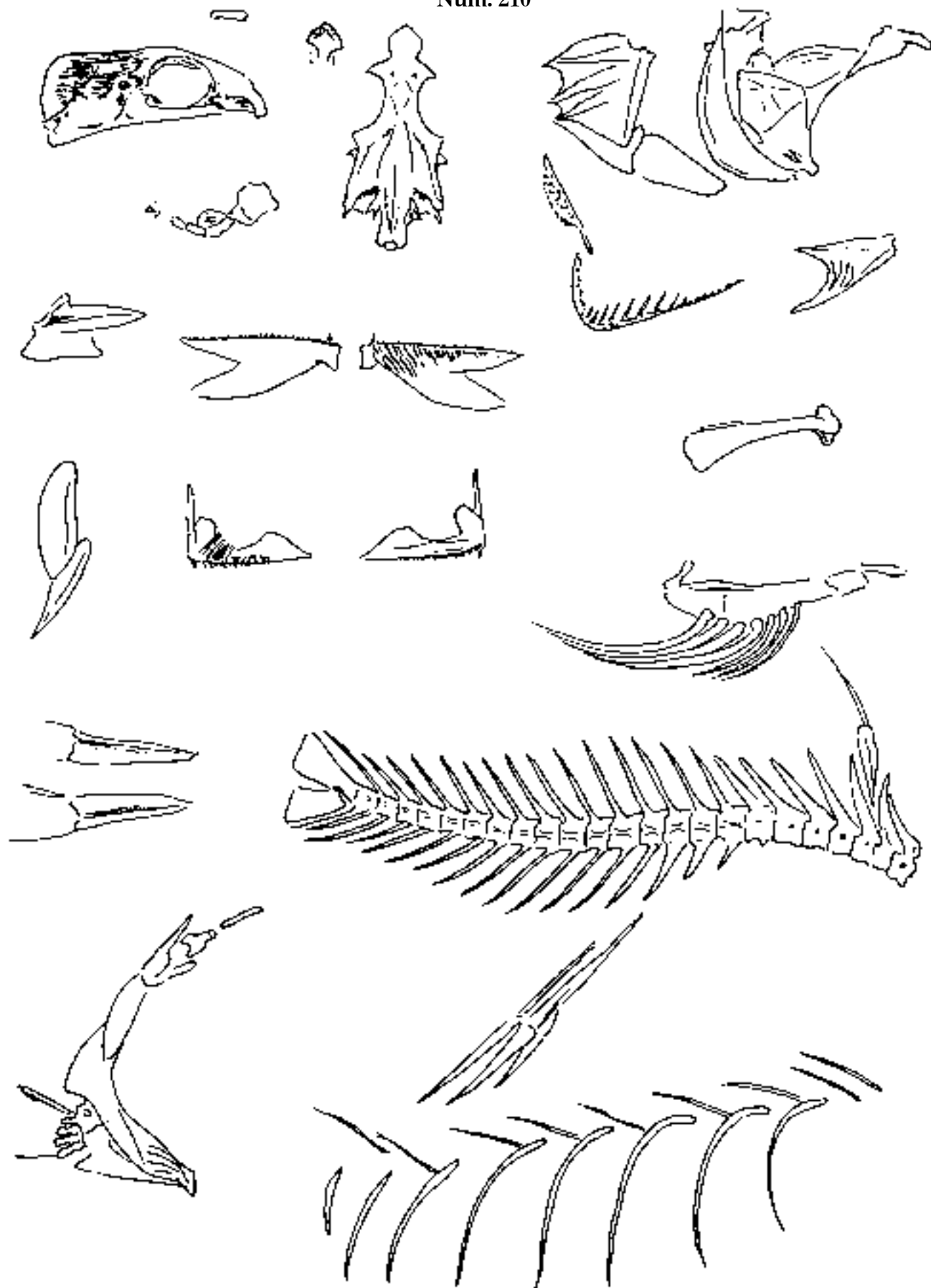


Fig. 1 *Petrometopon apiarium*, 1870. C. 247 mm.

Fig. 2 *P. apiarium*, 1870. C. 234 mm.

Fig. 3 *P. apiarium*, 1862. C. 291 mm; D. 9,14; A. 3,8; enjambre.

Núm. 210



Petrometopon apiarium. Osteología; enjambre.

Lám. 38

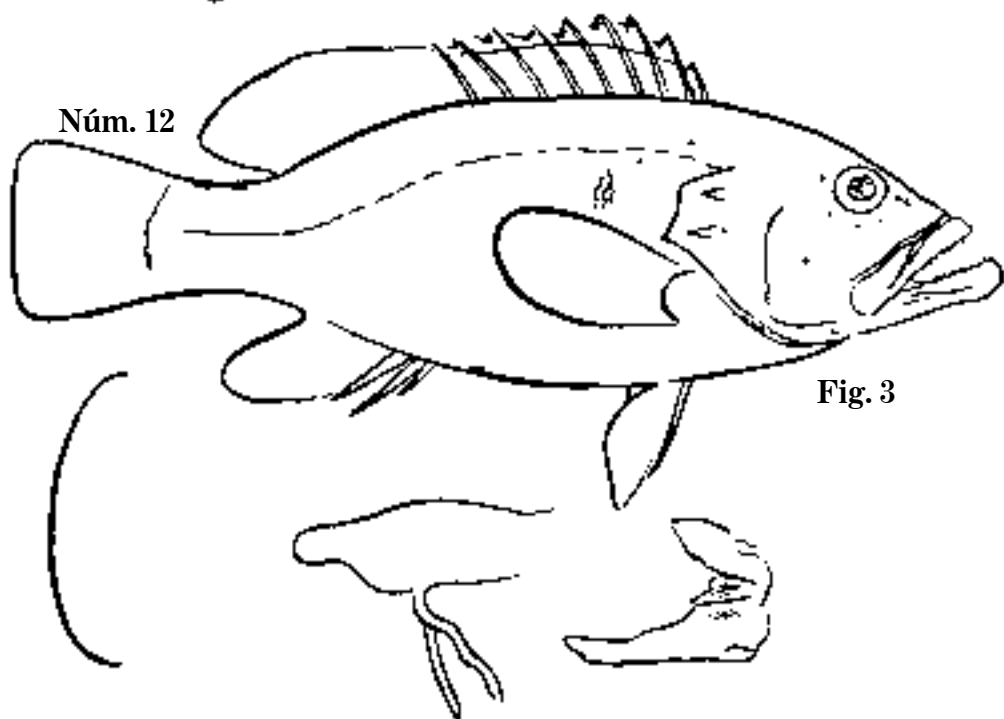
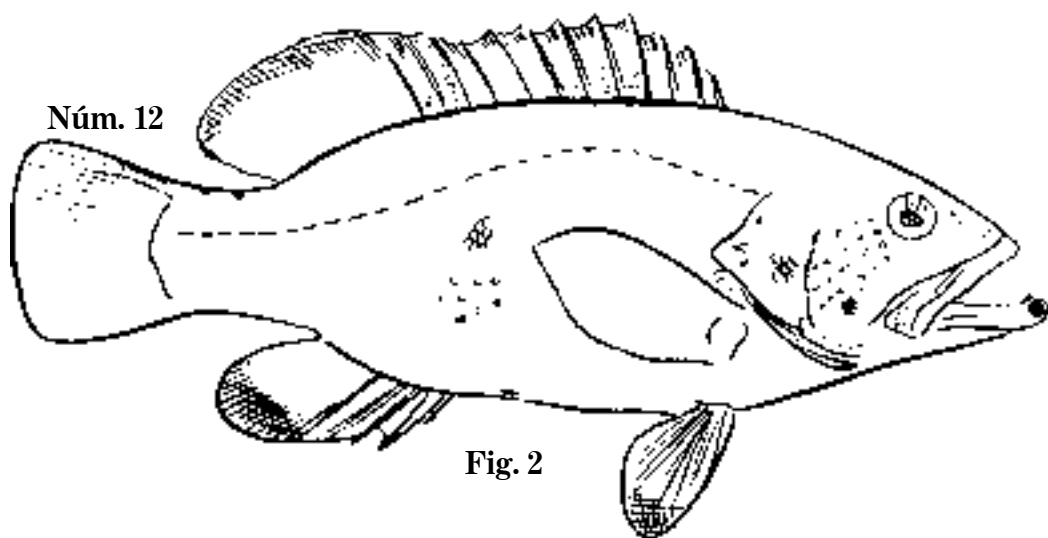
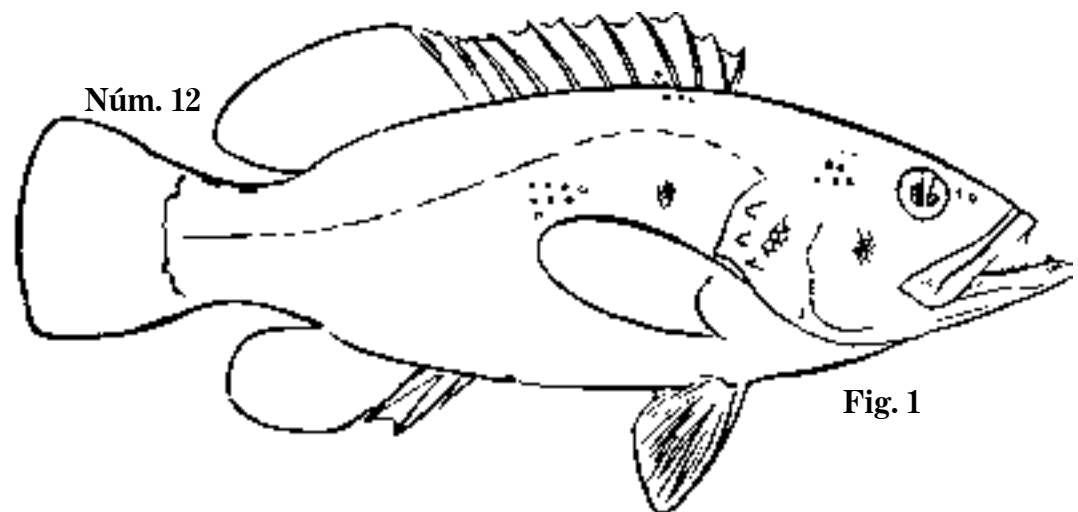


Fig. 1 *Enneacentrus punctulatus*, 1869. C. 281 mm; D. 9,15; A. 3,9.

Fig. 2 *E. punctulatus*, 1869. C. 277 mm; D. 9,15; A. 3,9; guatívere.

Fig. 3 *E. punctulatus*. C. 263 mm; D. 9,15; A. 3,8; guatívere canario.

Núm. 12

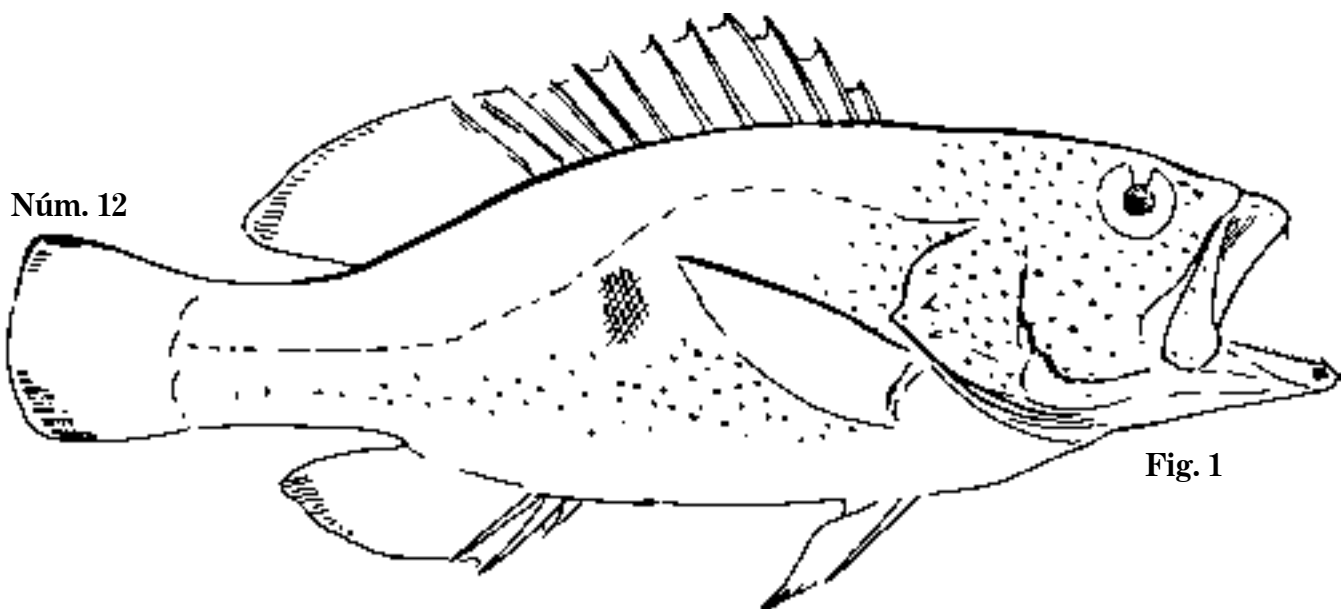


Fig. 1

Núm. 12

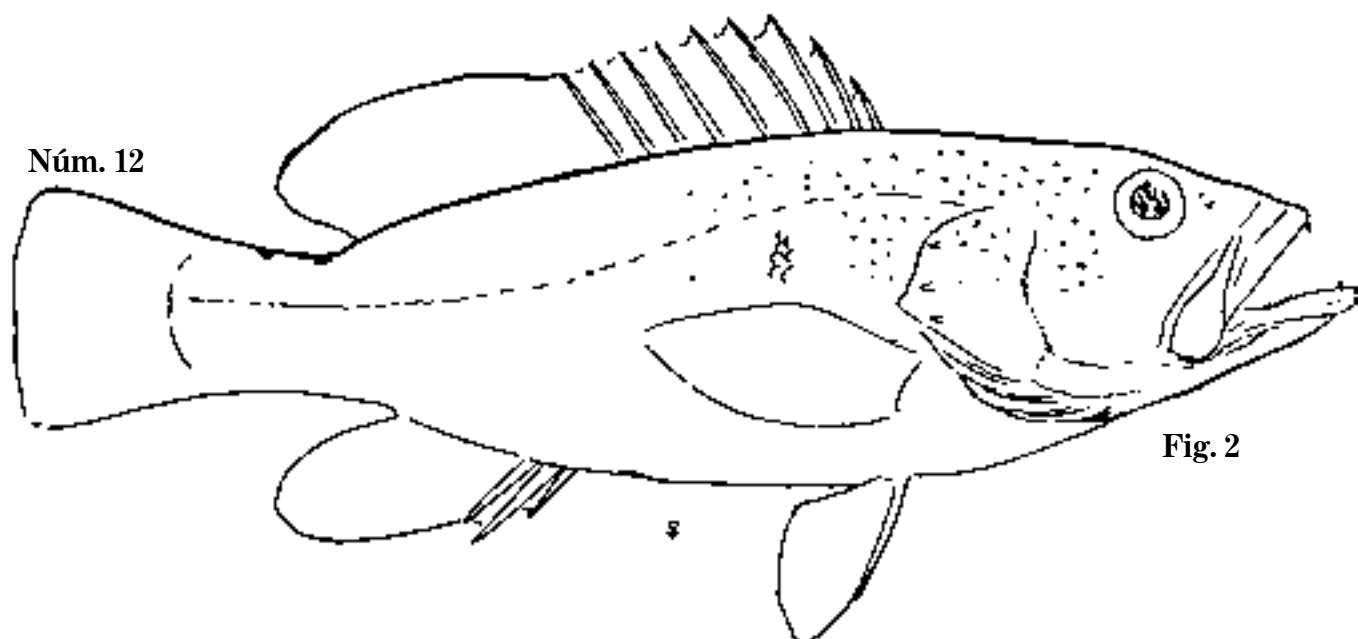


Fig. 2

Núm. 224

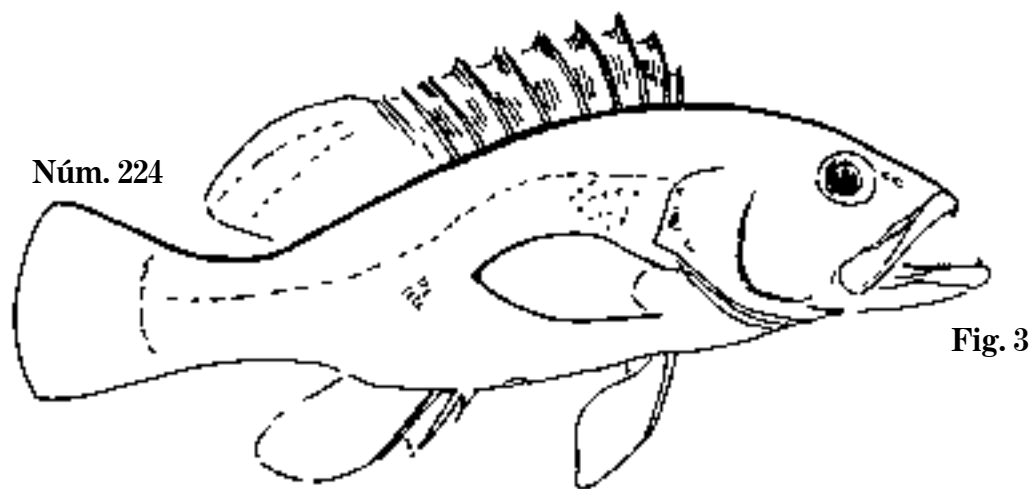


Fig. 3

Fig. 1 *Enneacentrus punctulatus*, 1862. C. 192 mm; D. 9,15; A. 3,8.

Fig. 2 *E. punctulatus*, 1862. P. 190 mm; D. 9,15; A. 3,8.

Fig. 3 *Enneacentrus*, 1860. C. 141 mm; D. 9,15; A. 3,9; guatívere.

Lám. 40

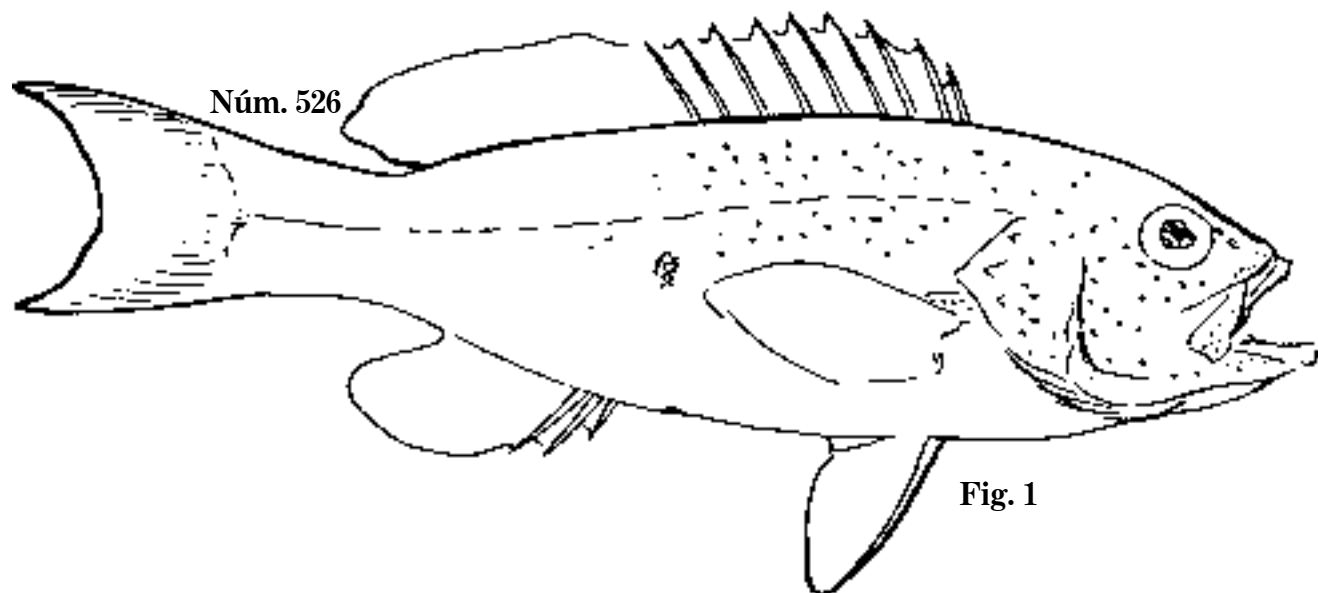


Fig. 1

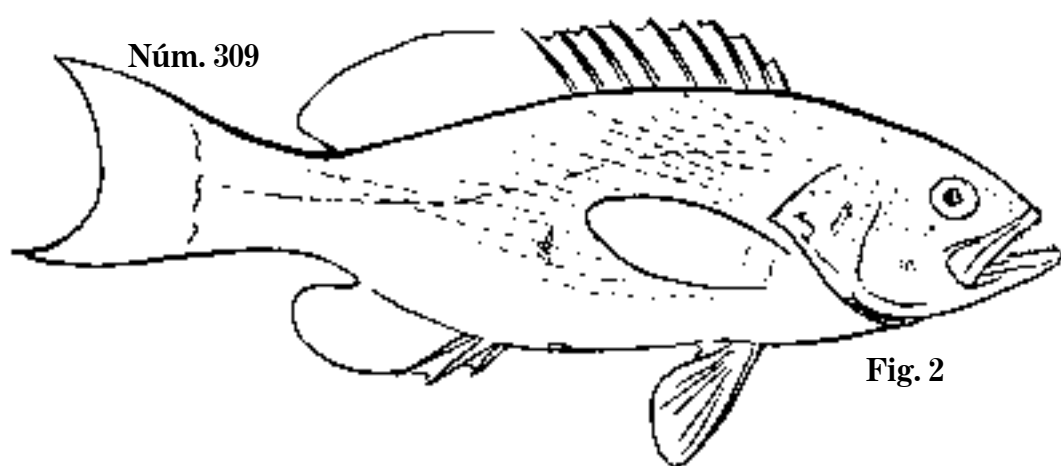


Fig. 2

Fig. 1 *Menophorus dubius*, 1859. C. 151 mm; D. 9,17; A. 3,9.
Fig. 2 *M. punctiferus*. C. 248 mm; D. 9,17; A. 3,8; S.N.C.

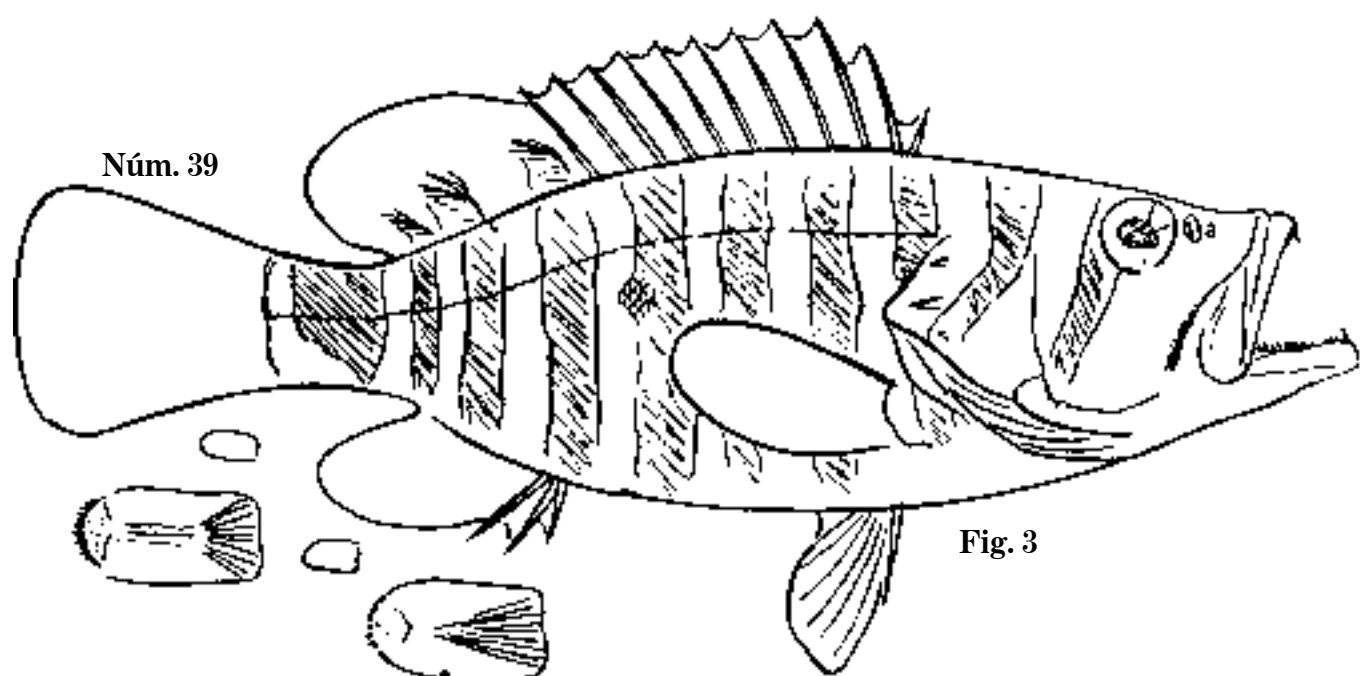
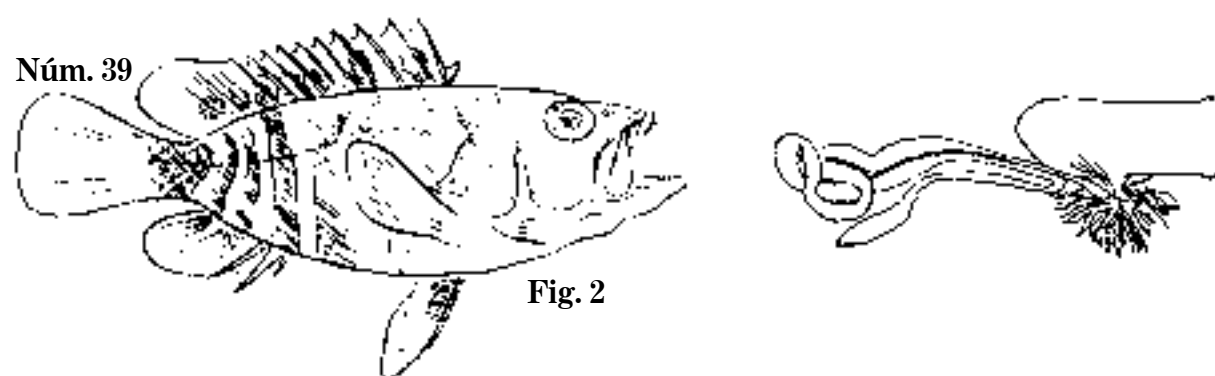
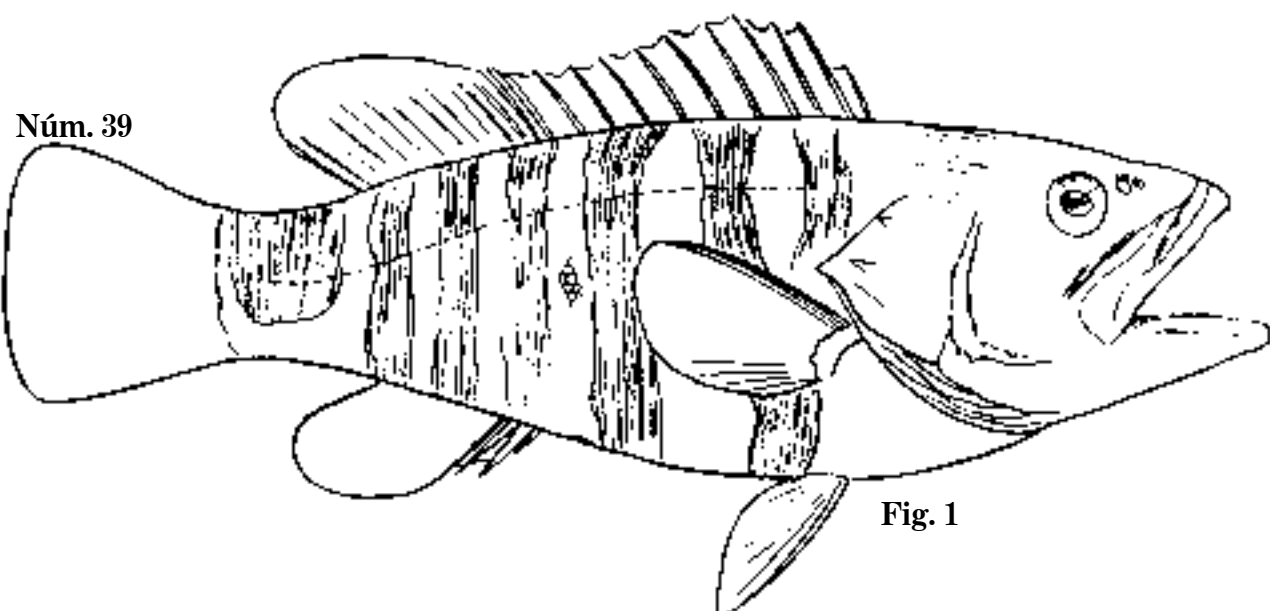


Fig. 1 *Schistorus mystacinus*, 1868. C. 716 mm; D. 11,14; A. 3,9.
Fig. 2 *S. mystacinus*, 1845. C. 151 mm; D. 11,14; A. 3,9.
Fig. 3 *S. mystacinus*. C. 490 mm; D. 11,15; A. 3,9; cherne.

Lám. 42

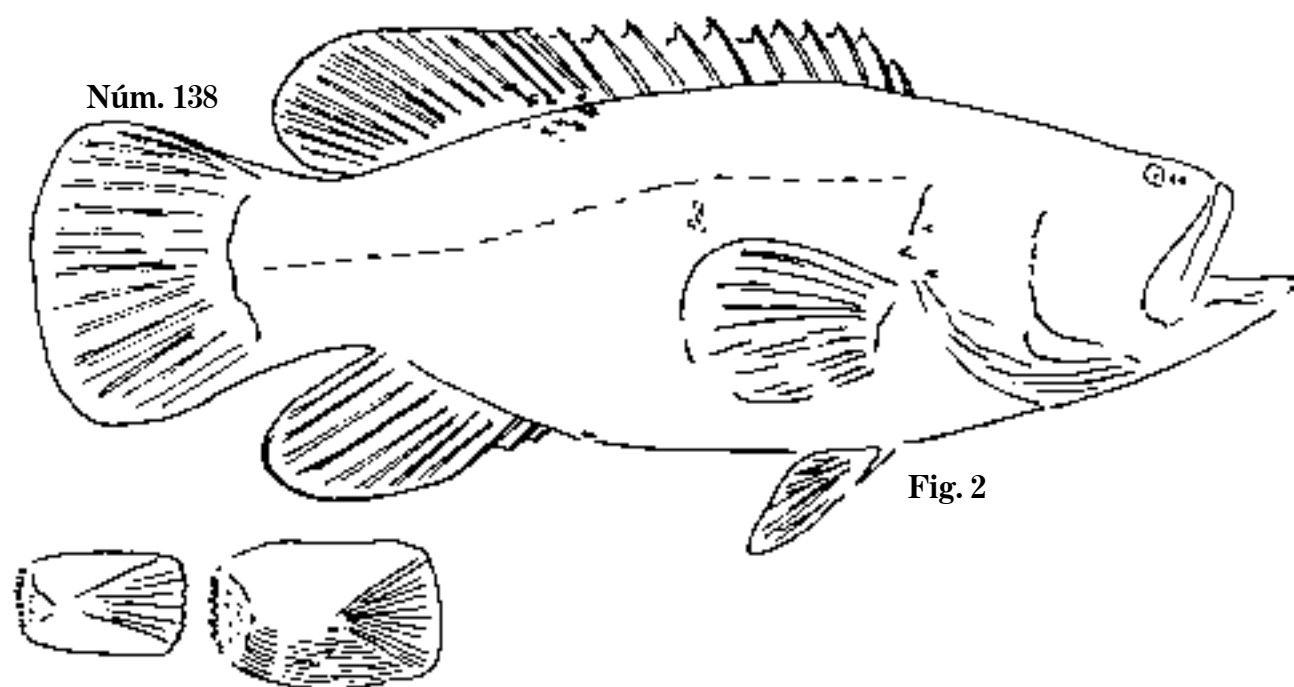
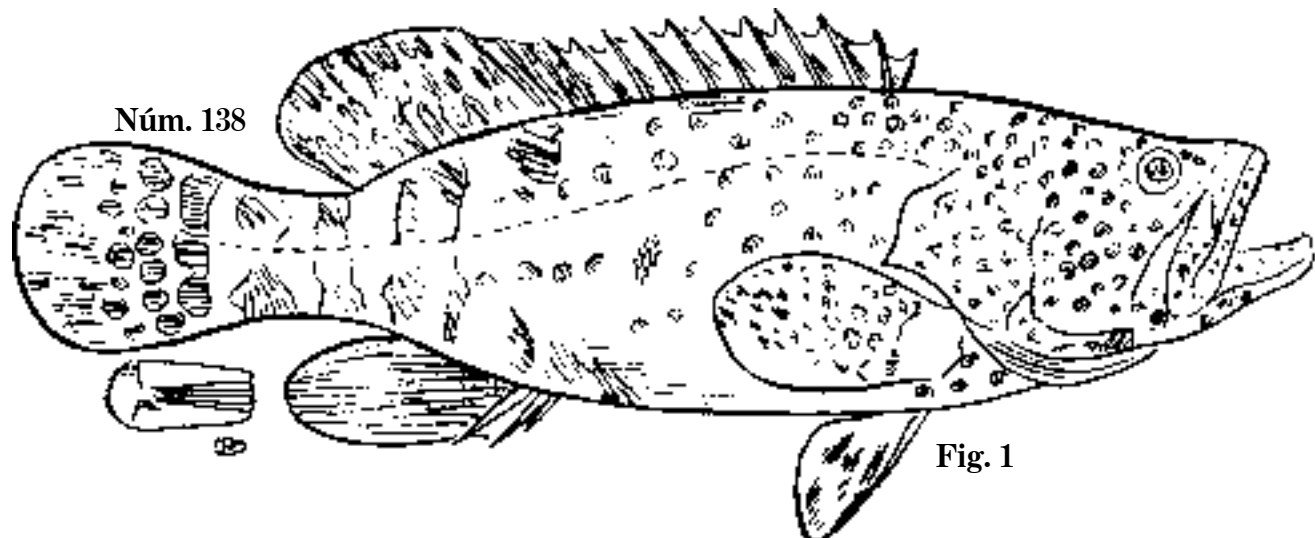
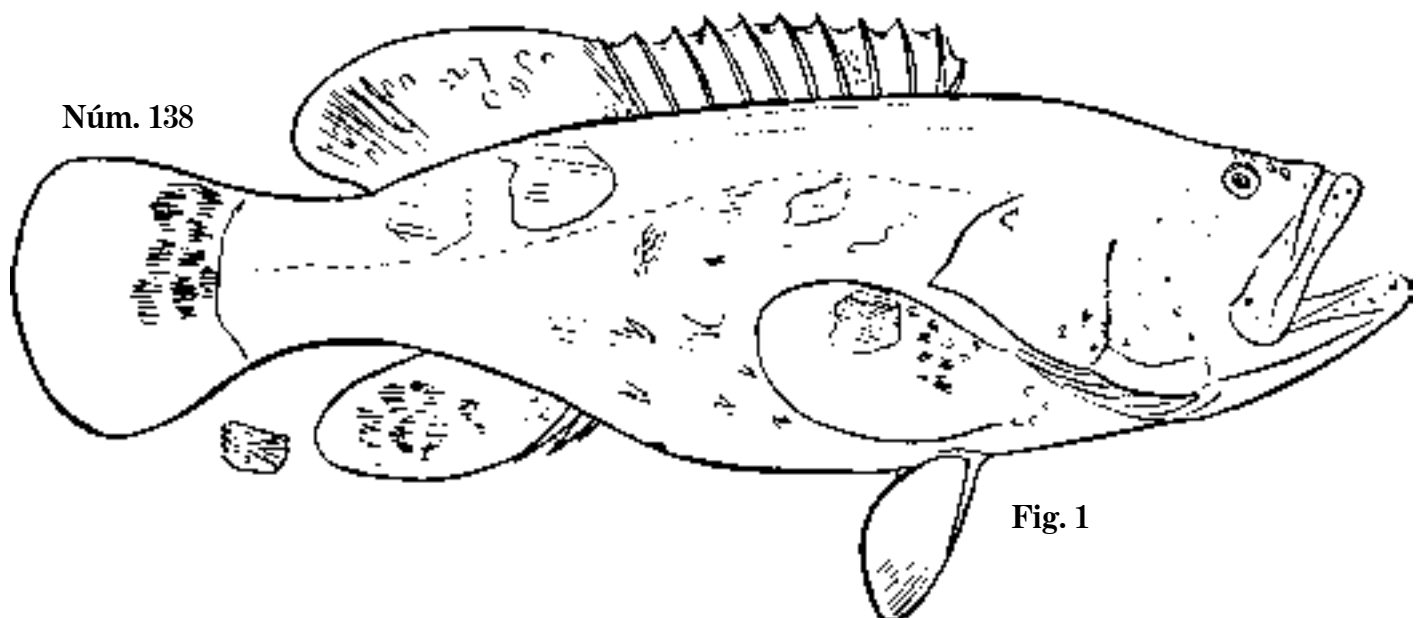


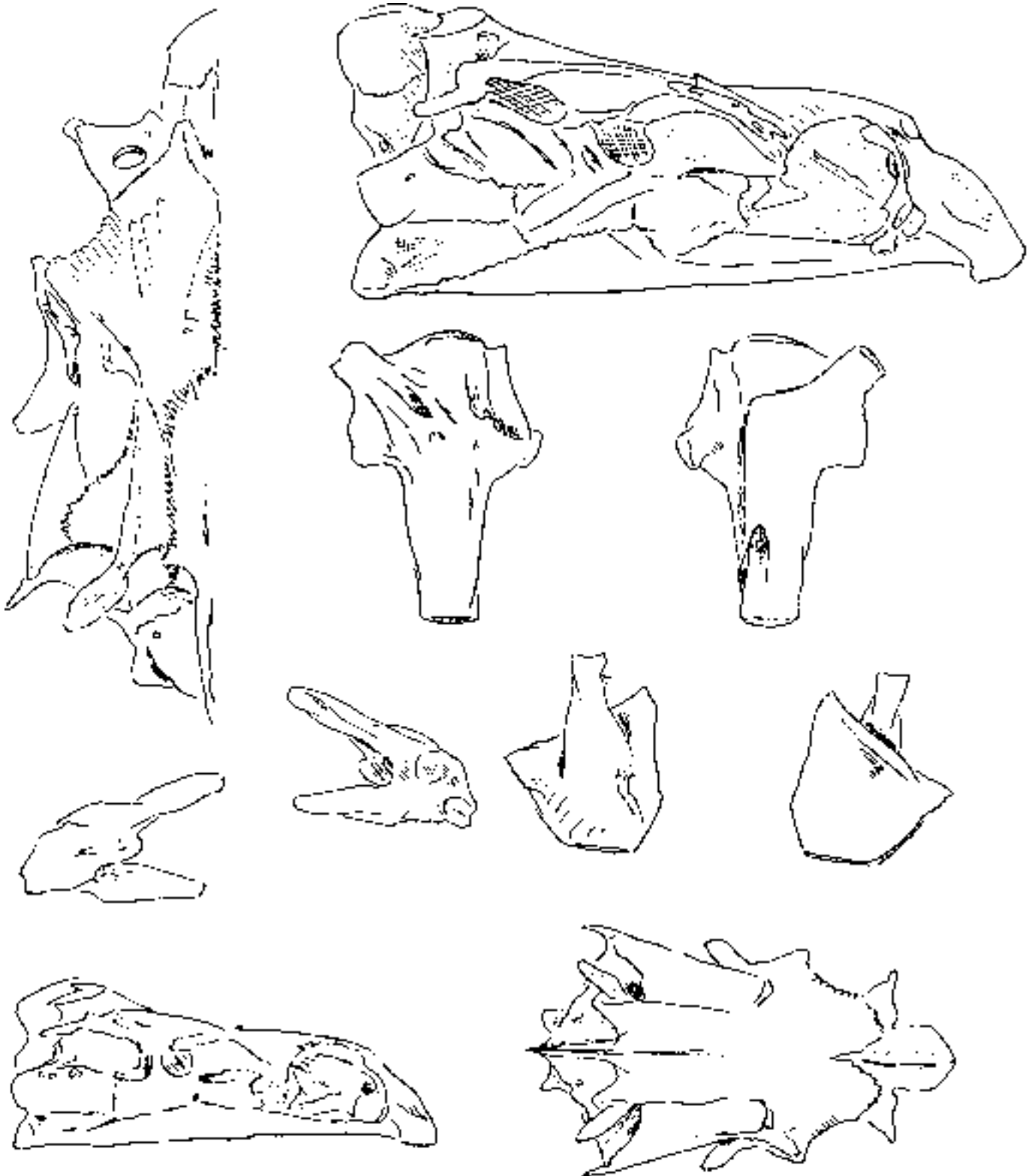
Fig. 1 *Promicrops guasa*, 1867. C. 491 mm; D. 11,16; A. 3,8.
Fig. 2 *P. guasa*, 1862. P. 1 930 mm; D. 11,15; A. 3,8; guasa.



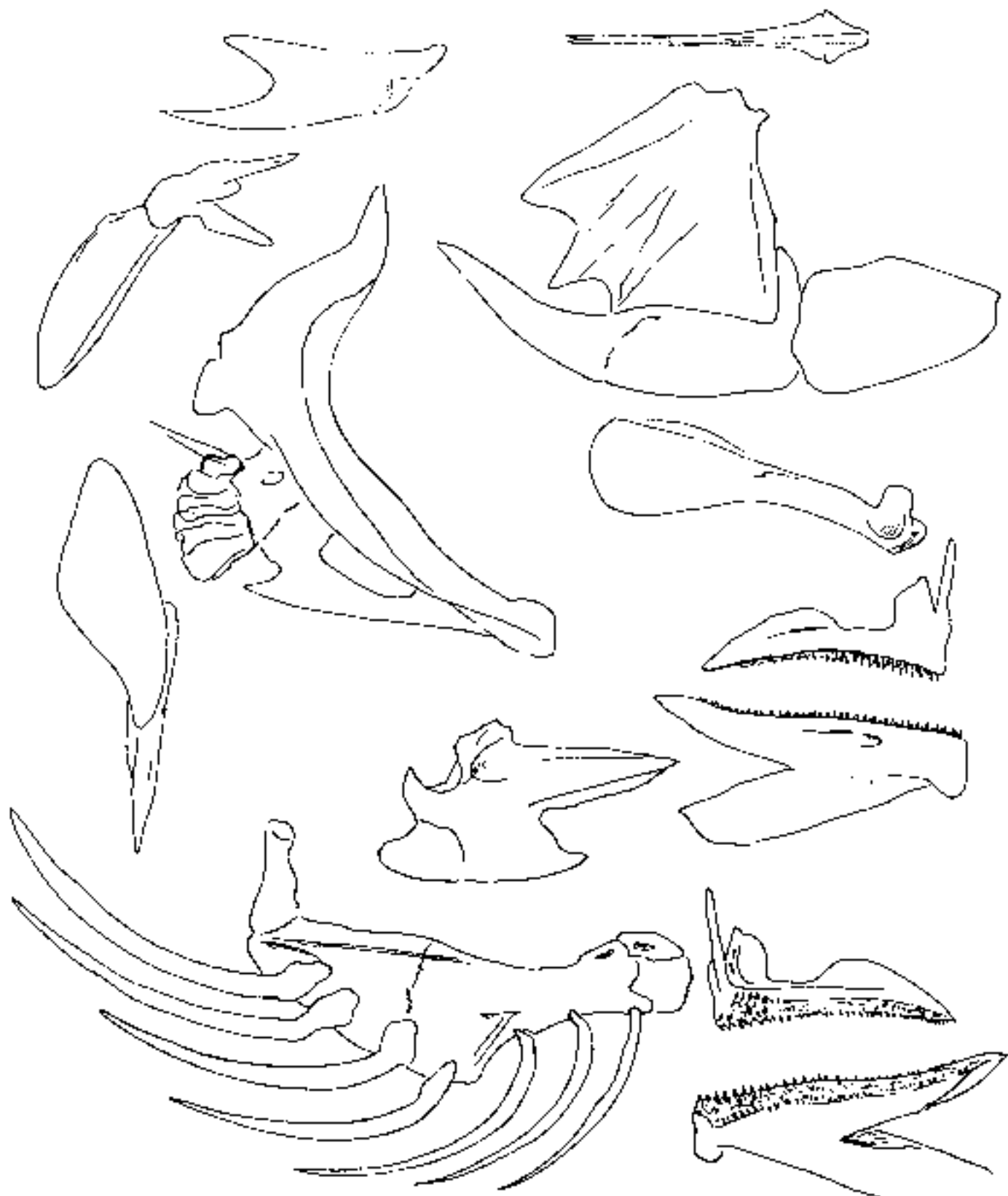
Promicrops guasa, 1860. P. 720 mm; D. 11,16; A. 3,8; guasa.

Lám. 44

Núm. 138



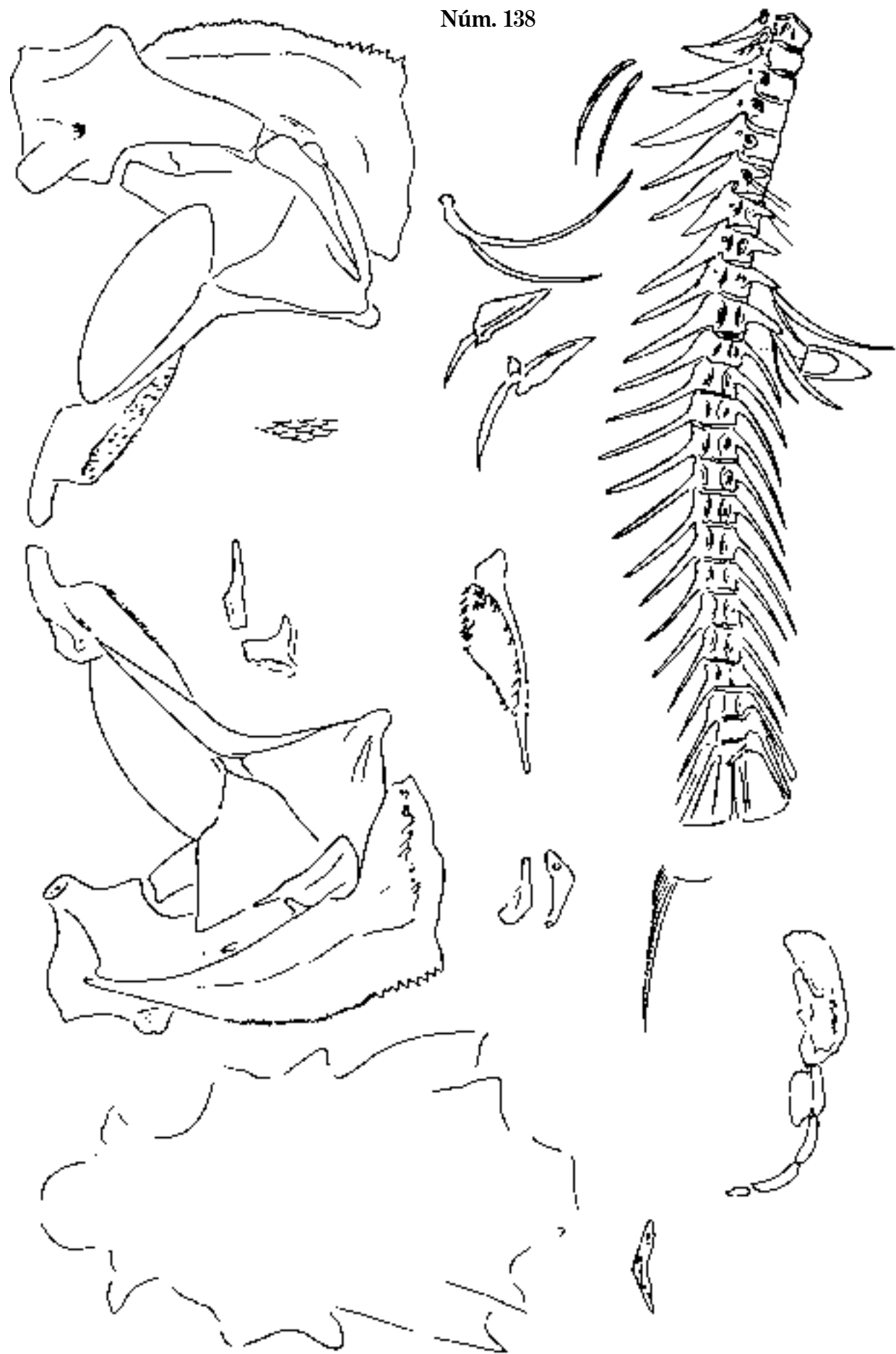
Núm. 138



Promicrops guasa. Osteología; guasa.

Lám. 46

Núm. 138



Promicrops guasa. Osteología; guasa.

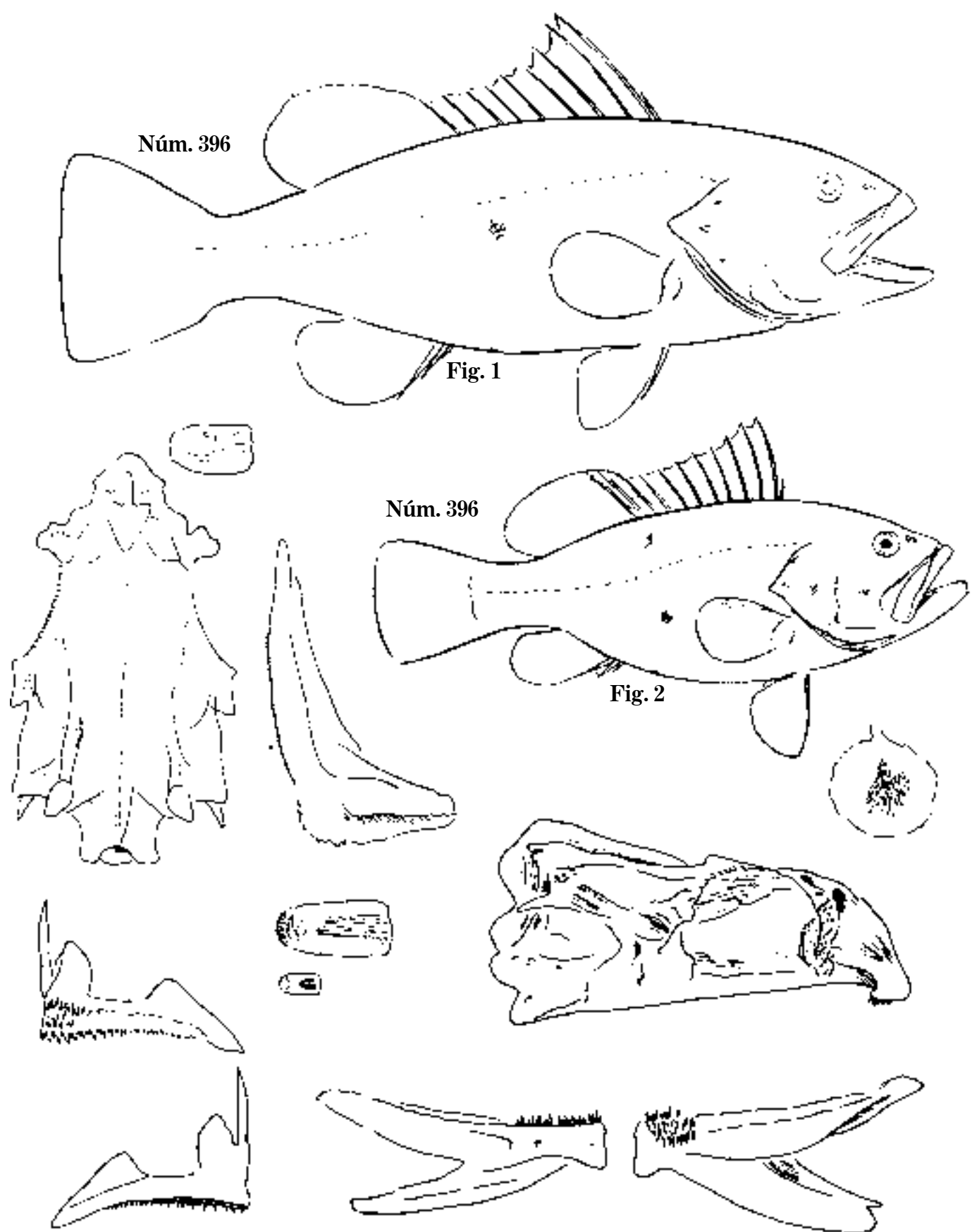


Fig. 1 *Promicrops Merus*, 1862. P. 1 200 mm; D. 10,14; A. 3,9.
Fig. 2 *P. Merus*, 1878. C. 723 mm; D. 10,14; A. 3,9; mero.

Lám. 48

Núm. 354

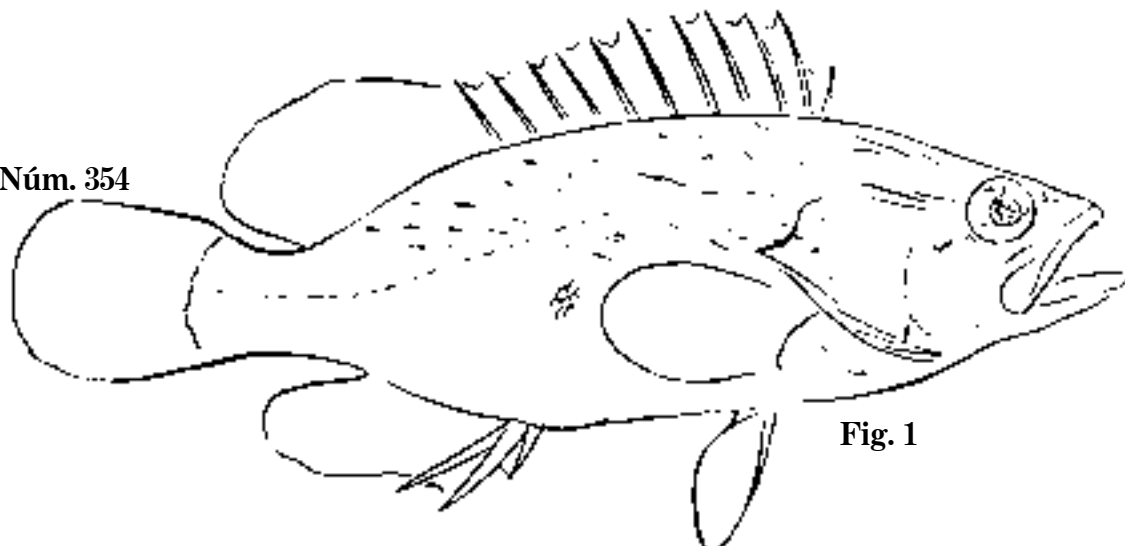


Fig. 1

Núm. 354

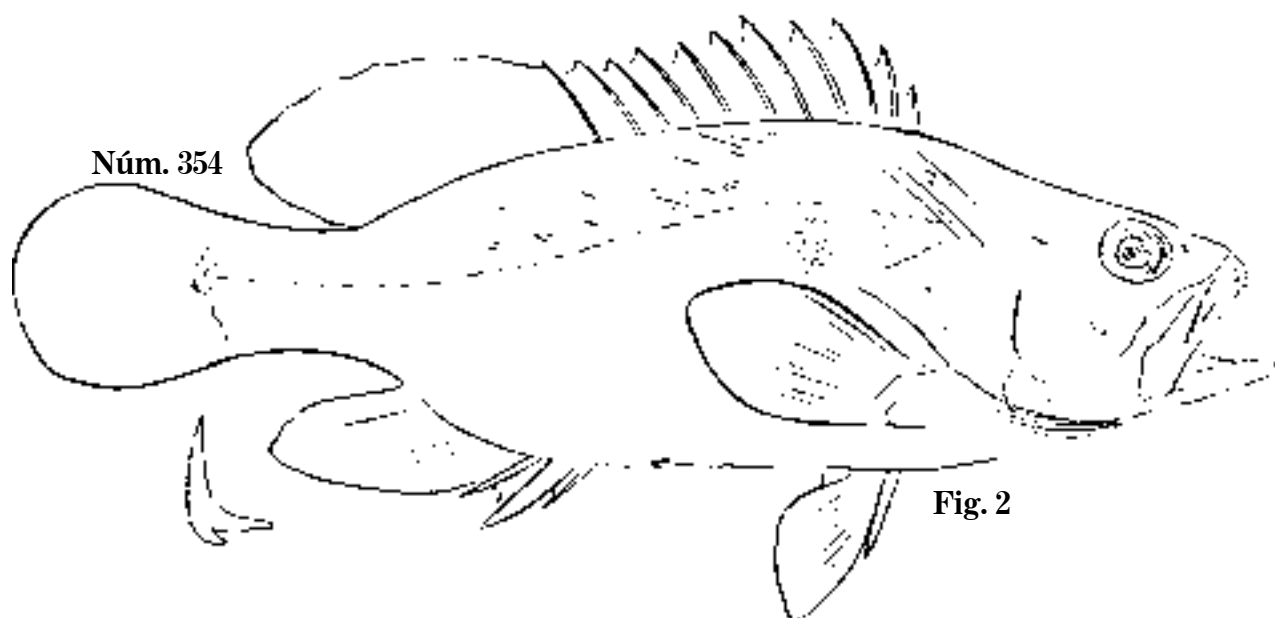


Fig. 2

Núm. 354

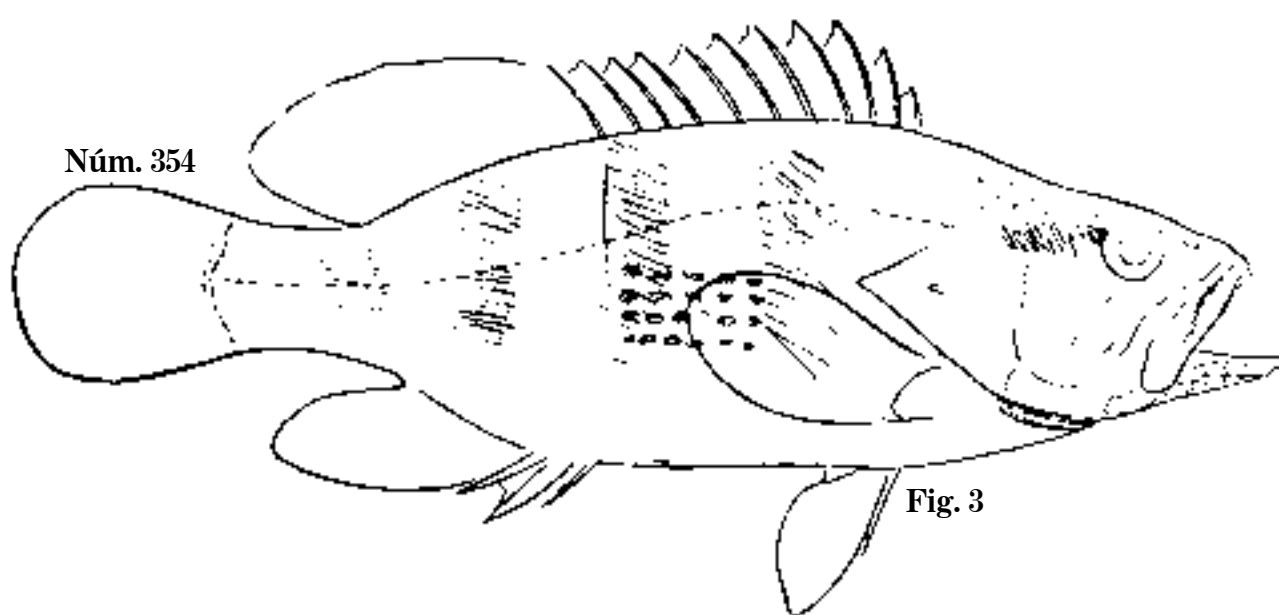


Fig. 3

Fig. 1 *Prospinus chloropterus*, 1841. C. 240 mm; D. 11,18; A. 3,9.

Fig. 2 *P. chloropterus*. C. 273 mm; D. 11,19; A. 3,9.

Fig. 3 *P. chloropterus*. Esquema a lápiz e incompleto; guaseta.

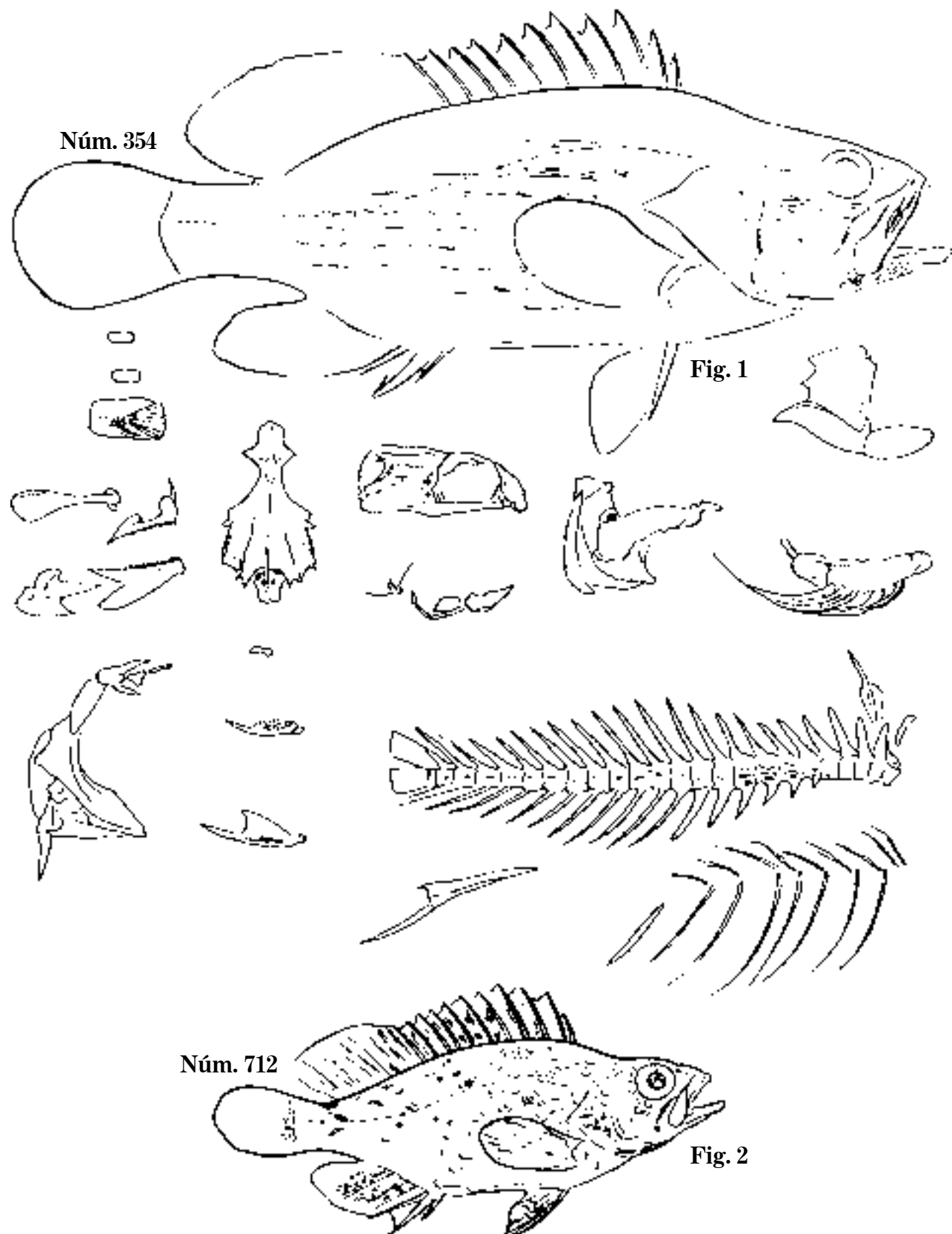


Fig. 1 *Prospinus chloropterus*, 1864. Esquema a lápiz e incompleto.
Fig. 2 *P. apiarius*, 1855. C. 149 mm; D. 11,16; A. 3,9; guaseta.

Lám. 50

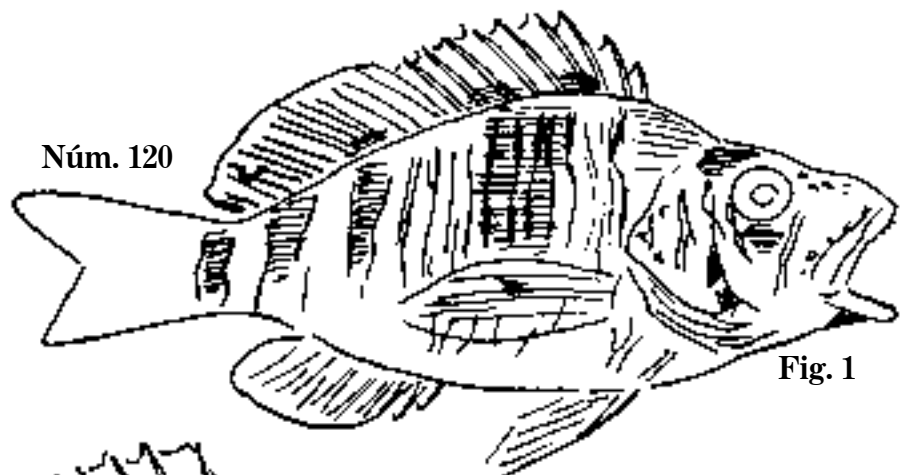


Fig. 1

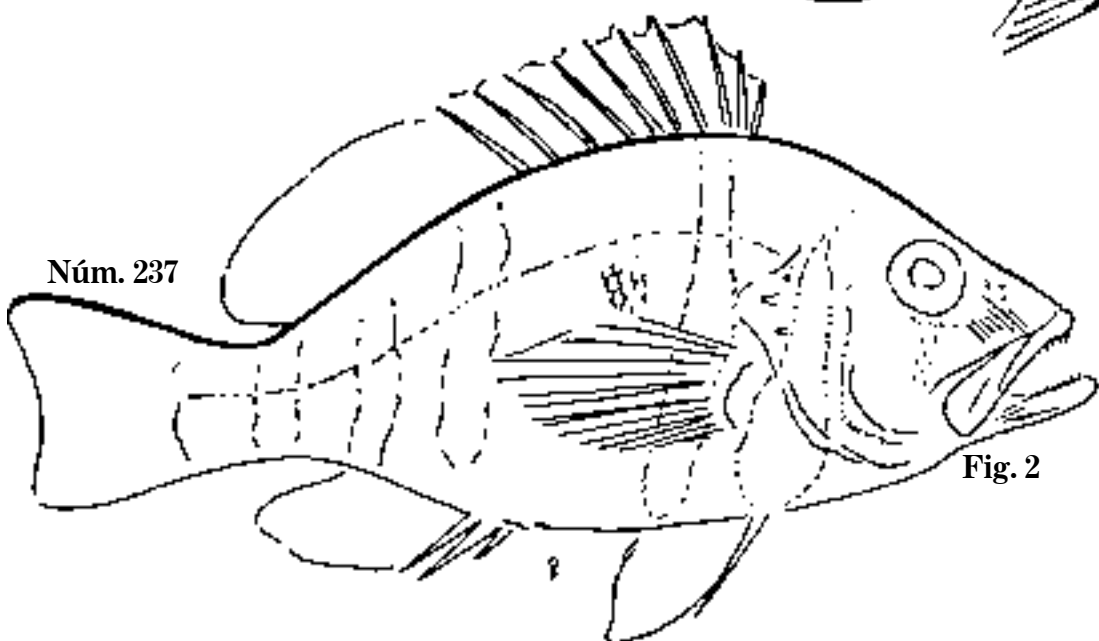


Fig. 2

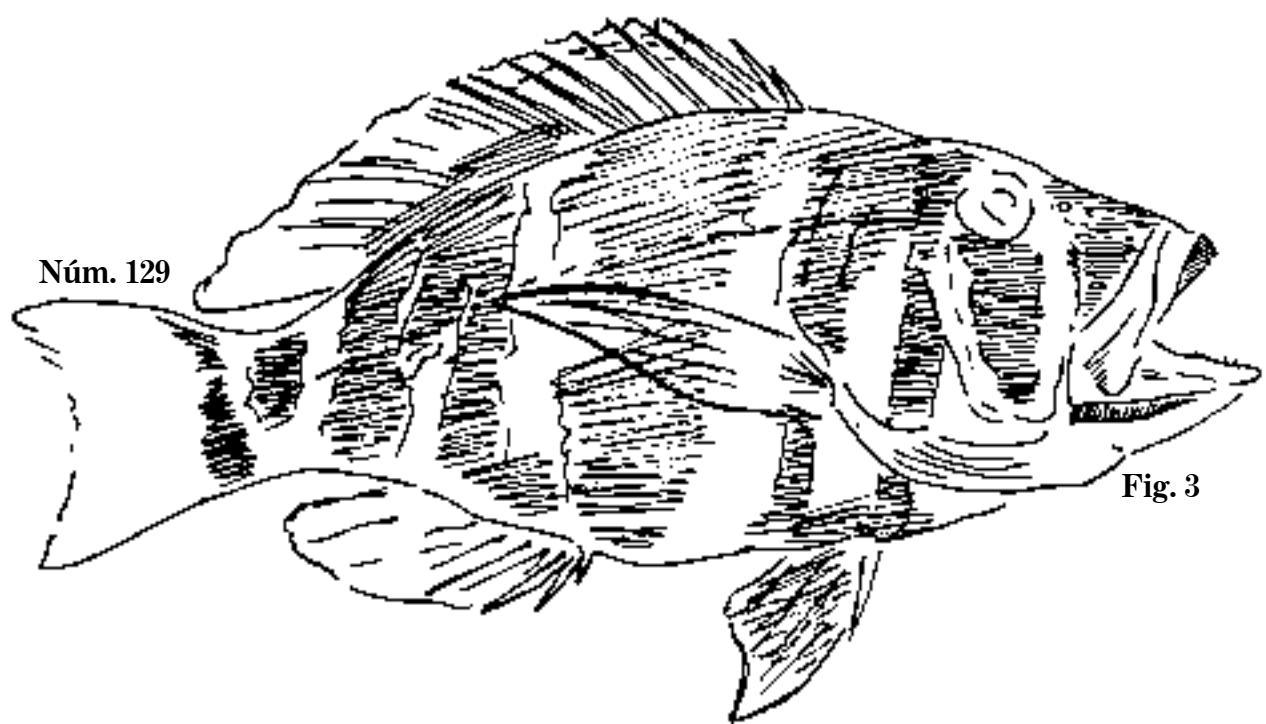


Fig. 3

Fig. 1 *Hypoplectrus puella*, 1850. C. 119 mm; D. 10,14; A. 3,7; vaca.

Fig. 2 *H. indigo*. C. 145 mm; D. 10,14; A. 3,6.

Fig. 3 *H. bovinus*, C. 167 mm; D. 10,15, A. 3,7; añil.

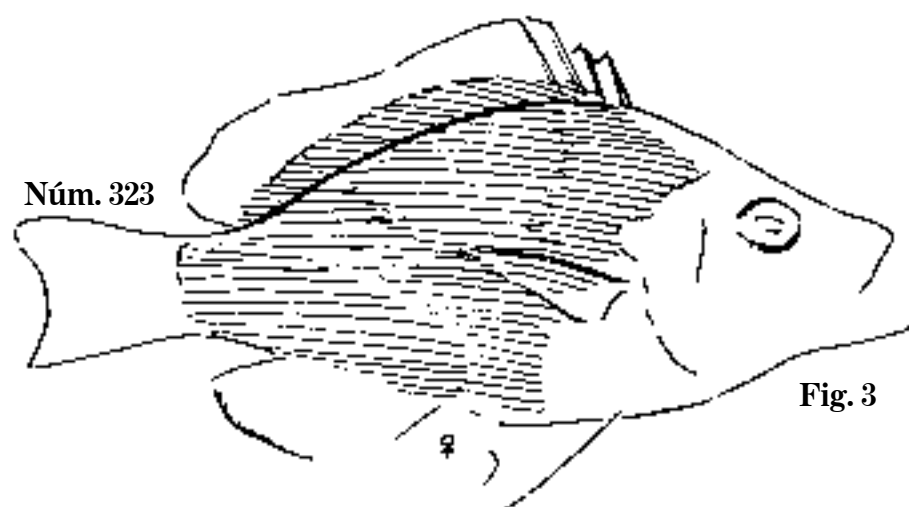
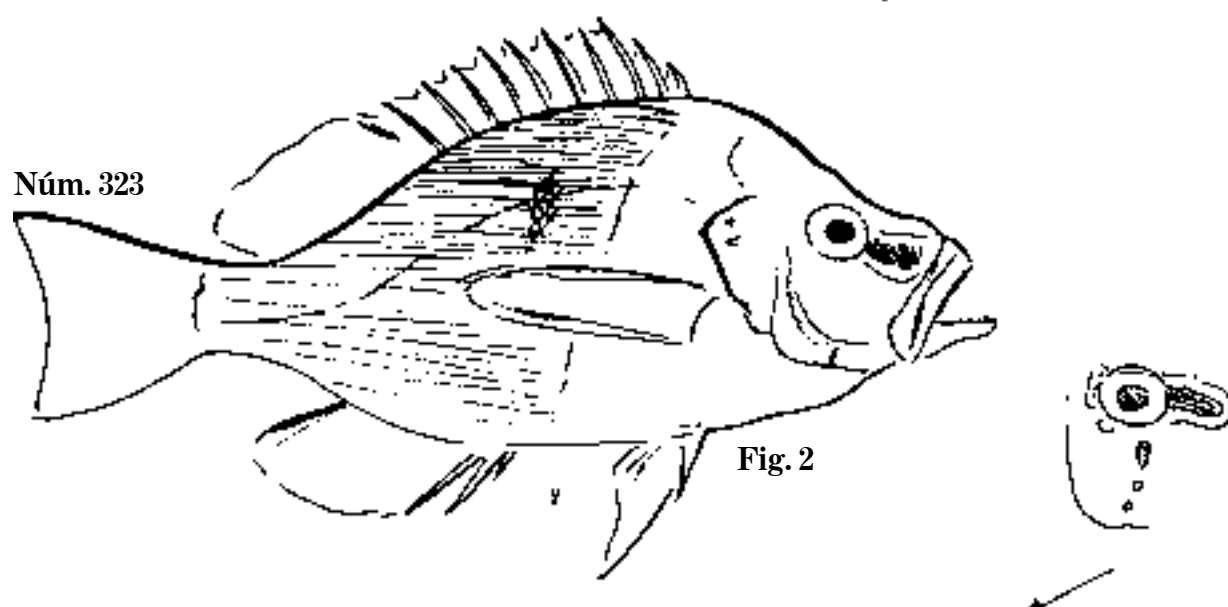
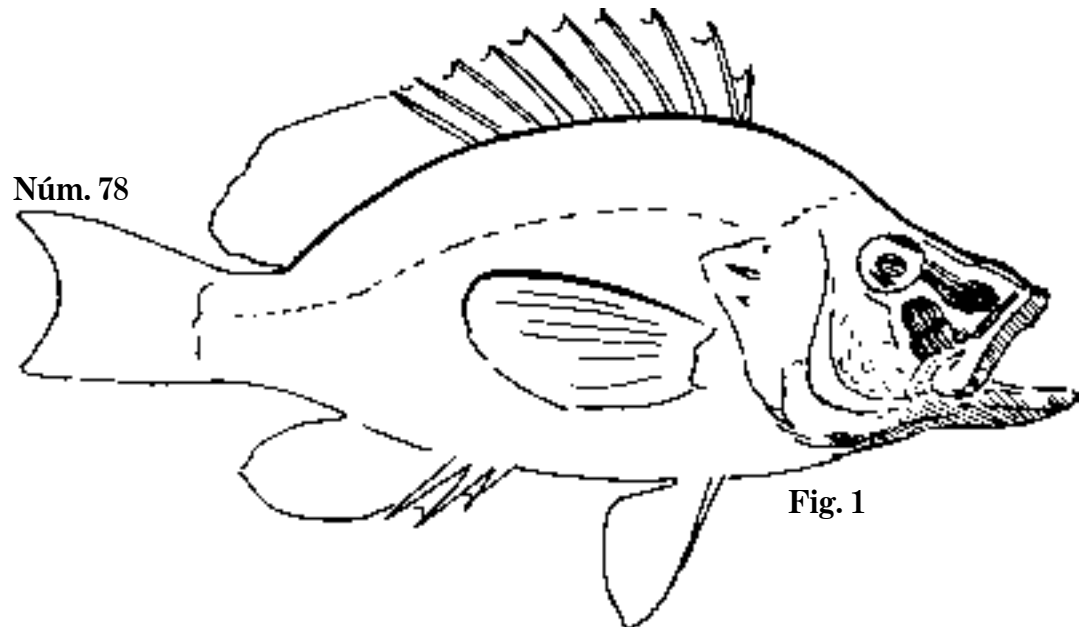


Fig. 1 *Hypoplectrus gummigutta*. C. 150 mm; D. 16,15; A. 3,7.
Fig. 2 *H. melanorhinus*. C. 135 mm; D. 10,14; A. 3,7.
Fig. 3 *H. melanorhinus*. C. 125 mm; D. 10,15; A. 3,7; vaca.

Lám. 52

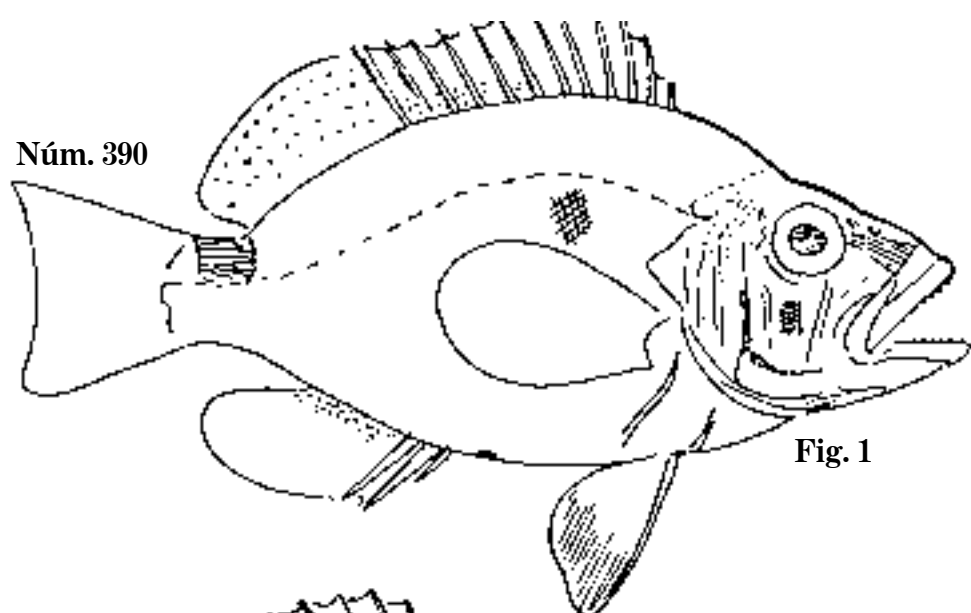


Fig. 1

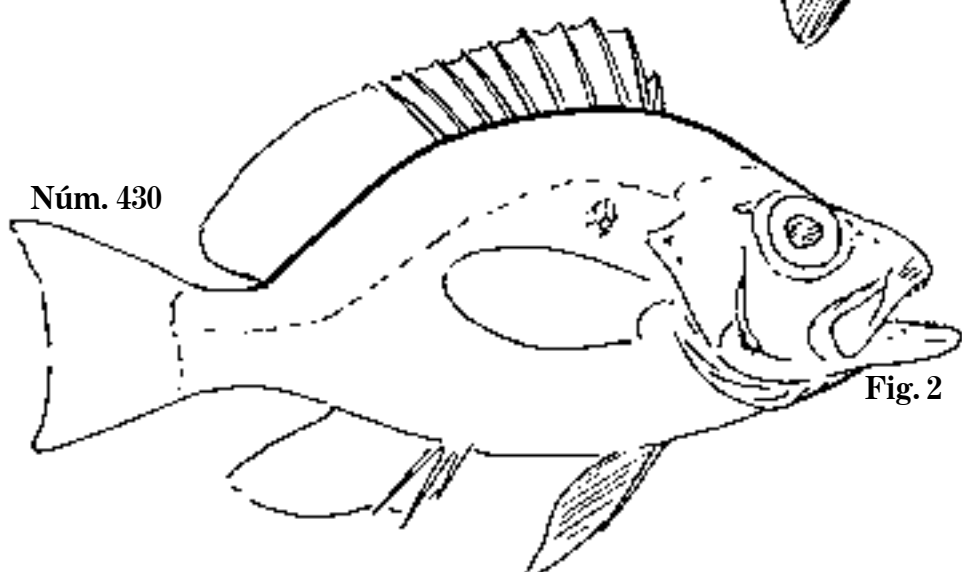


Fig. 2

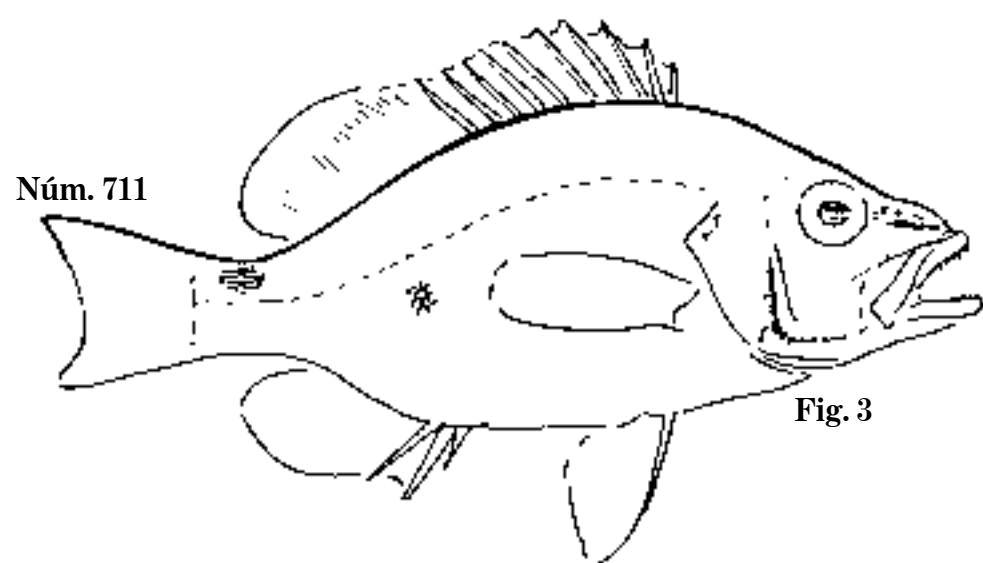


Fig. 3

Fig. 1 *Hypoplectrus maculiferus*, 1870. C. 128 mm; D. 10,15; A. 3,7.

Fig. 2 *H. nigricans*. C. 127 mm; D. 10,15; A. 3,7.

Fig. 3 *H. aberrans*, 1863. C. 125 mm; D. 10,15; A. 3,8; vaca.

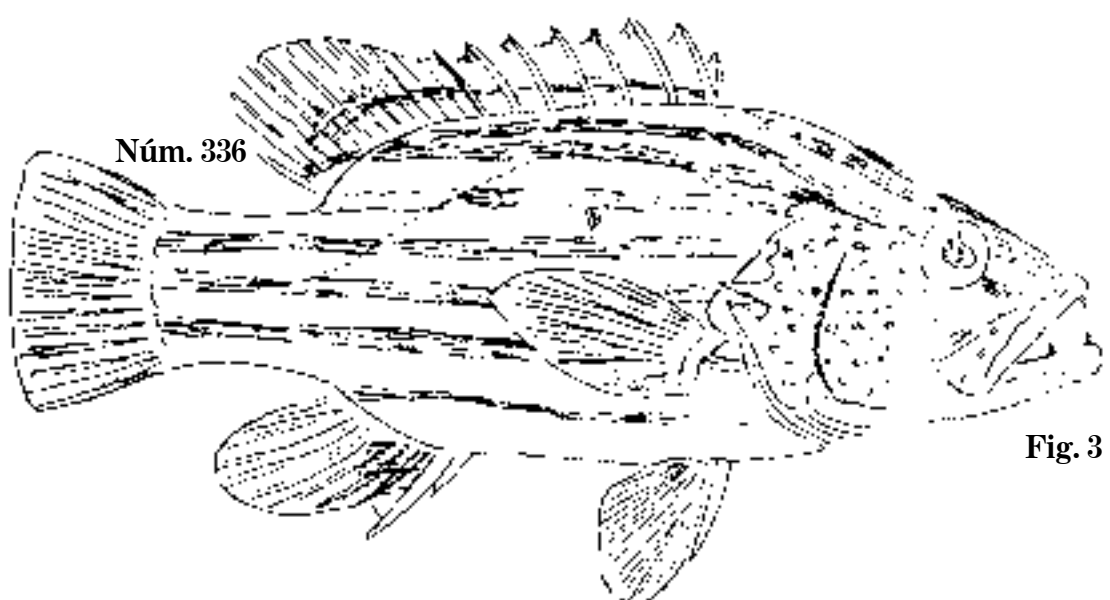
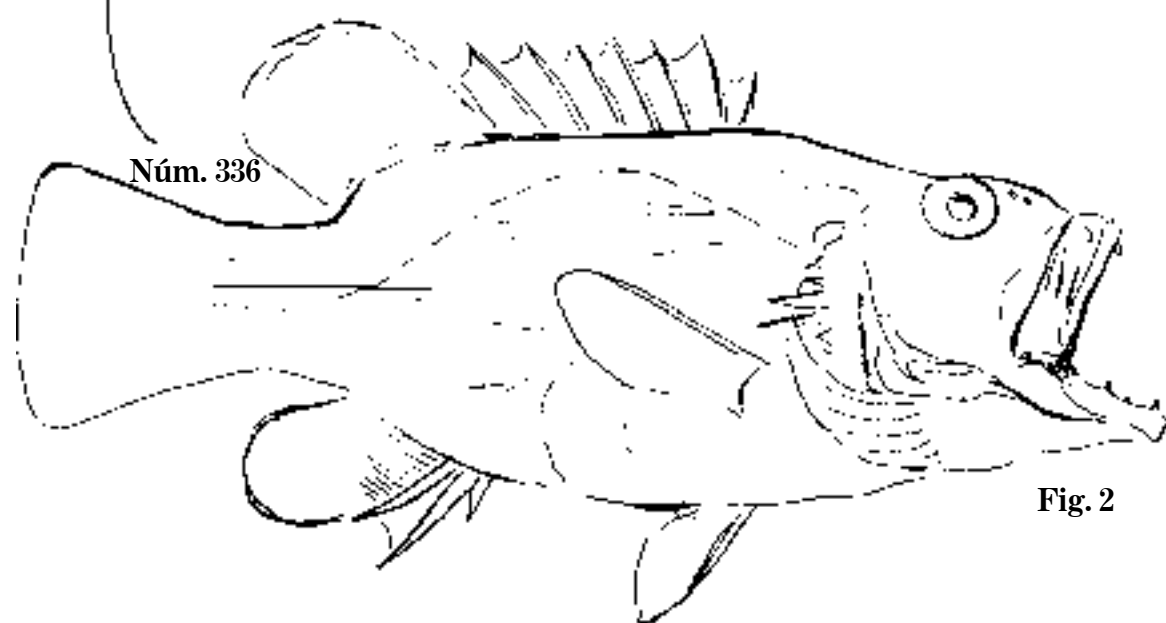
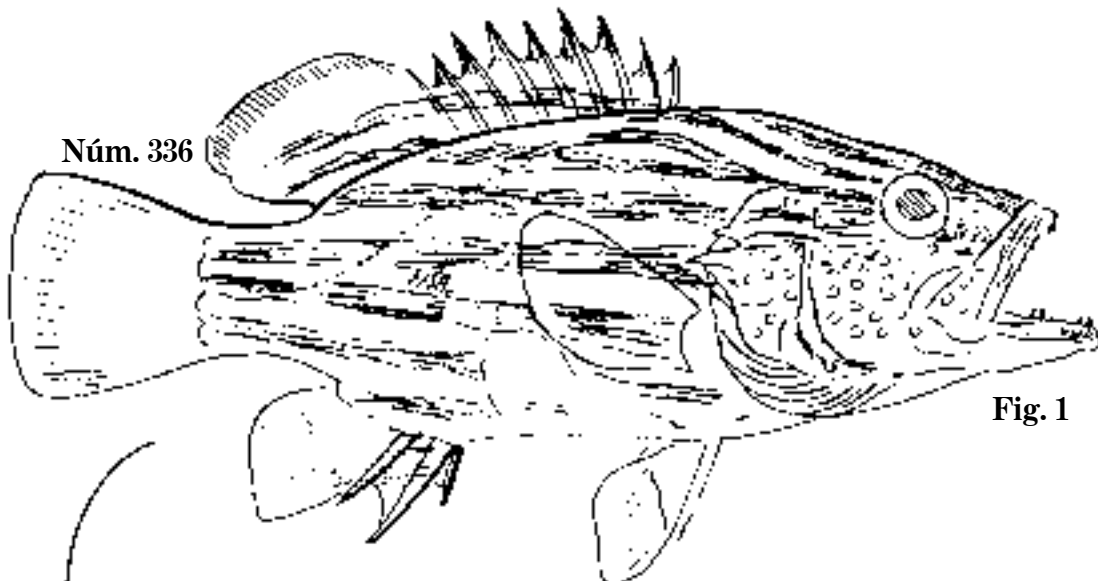


Fig. 1 *Gonioplectrus hispanus*, 1858. C. 186 mm; D. 8,3; A. 3,7.

Fig. 2 *G. hispanus*. C. 196 mm; D. 8,12; A. 3,7.

Fig. 3 *G. hispanus*, 1862. C. 186 mm; D. 8,13; A. 3,7; biajaiba de lo alto.

Lám. 54

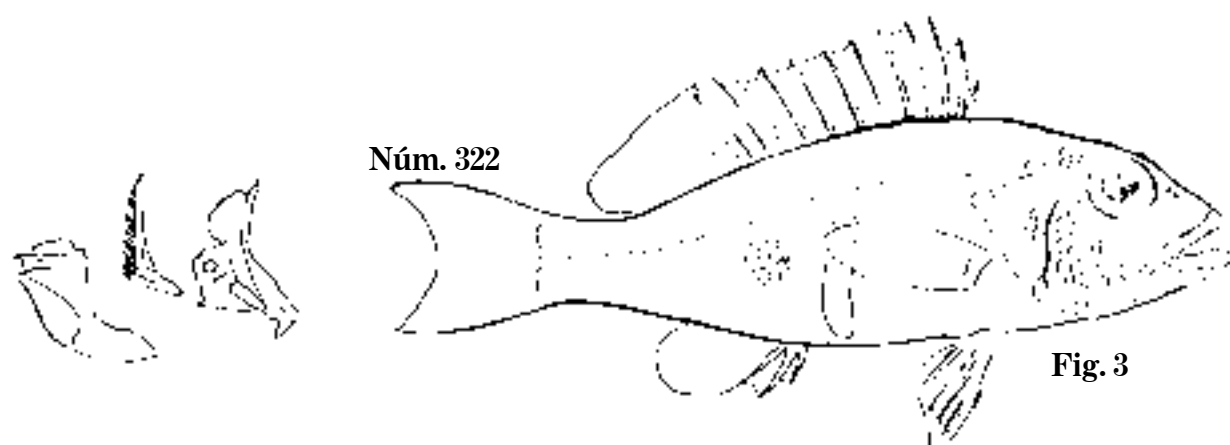
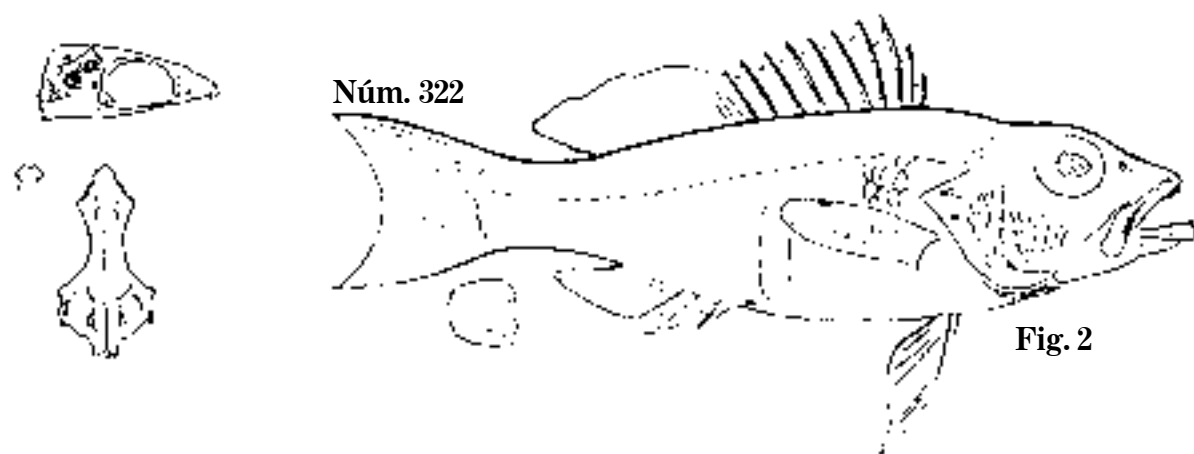
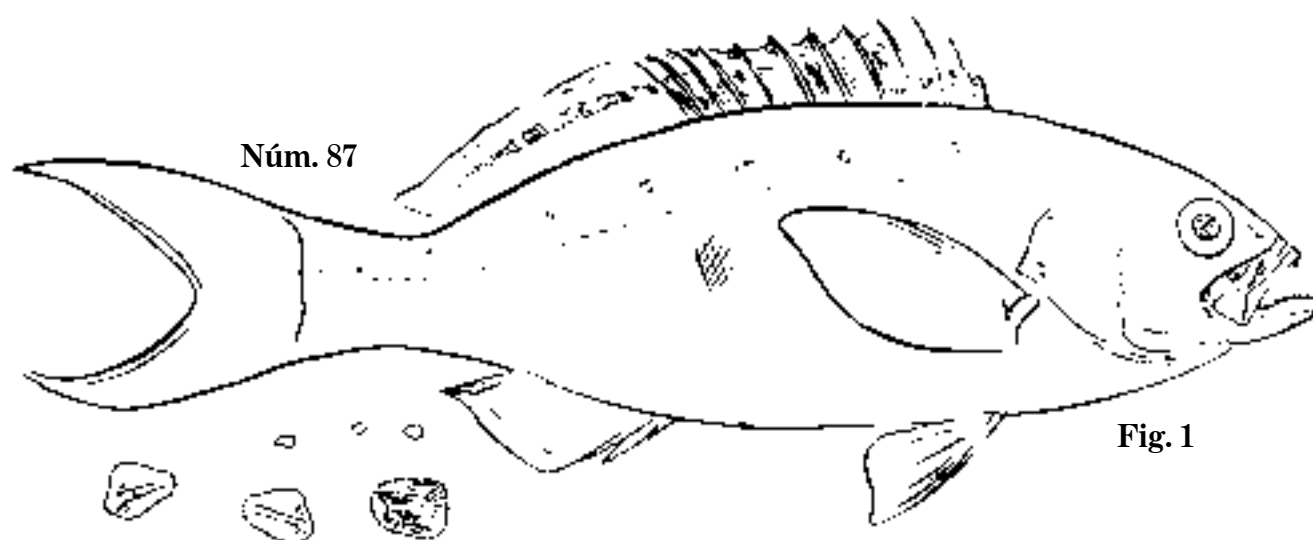


Fig. 1 *Brachyrhinus furcifer*, 1869. C. 295 mm; D. 9,19; A. 3,9; rabirrubia de lo alto.

Fig. 2 *Haliperca Phoebe*. C. 197 mm; D. 10,12; A. 3,7.

Fig. 3 *H. Phoebe*, 1871. C. 191 mm; serrano.

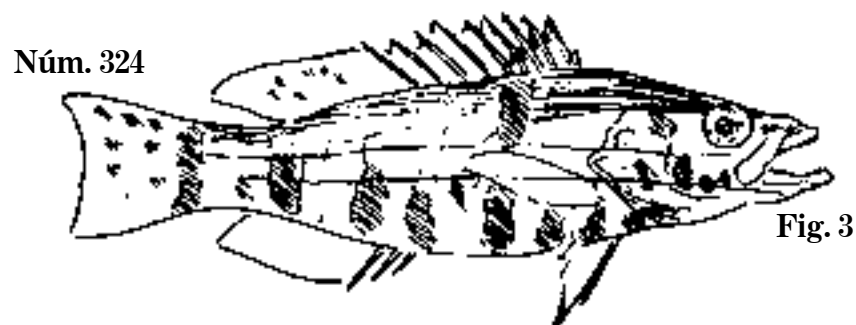
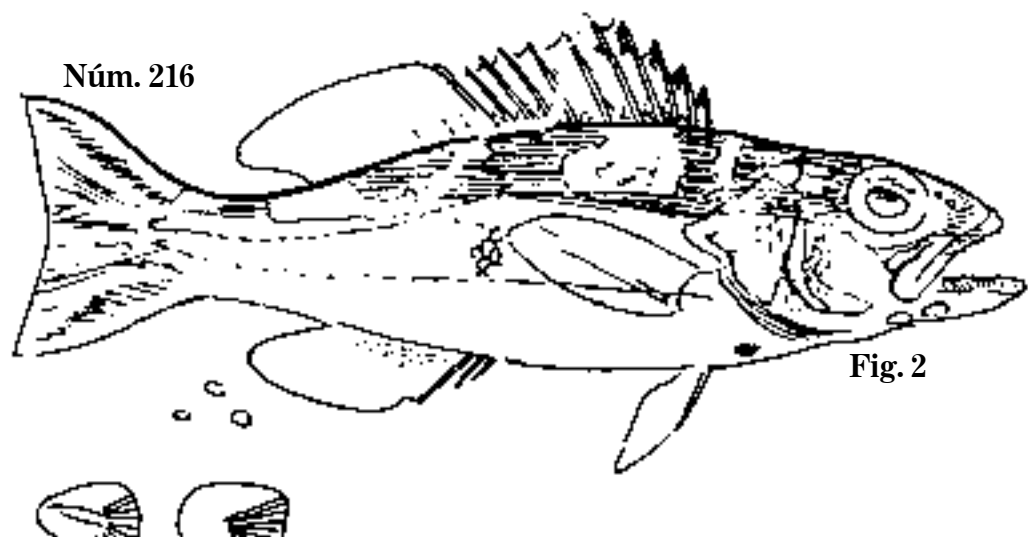
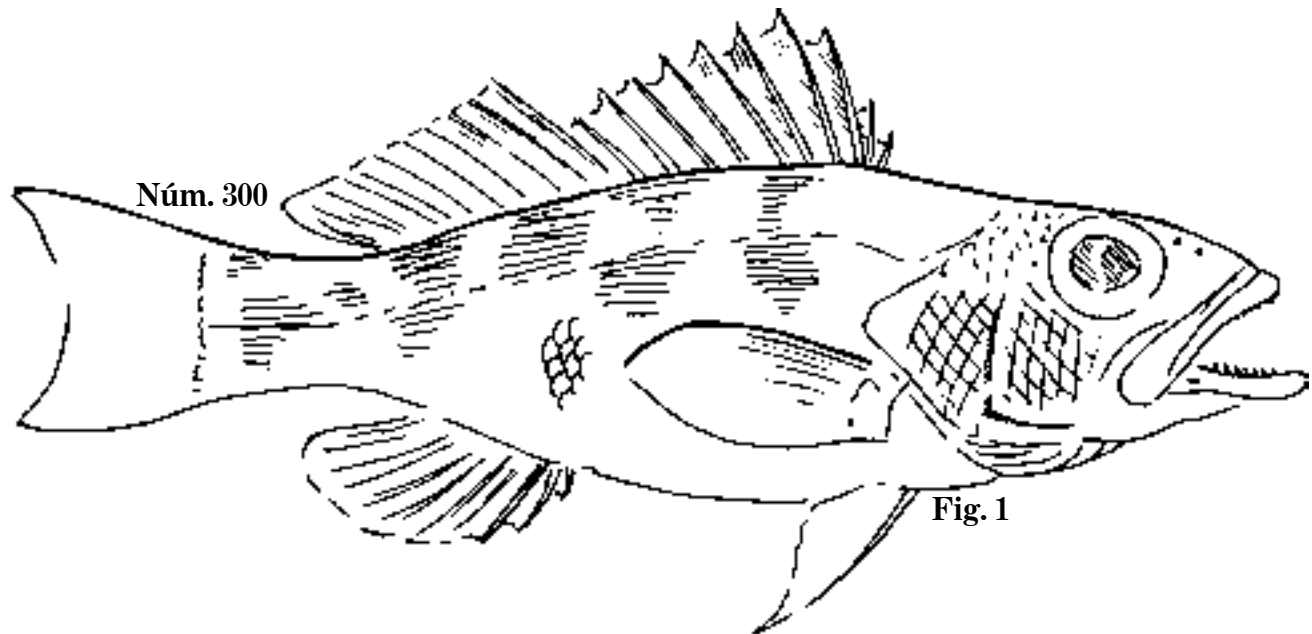


Fig. 1 *Haliperca fuscula*, 1860. C. 182 mm; D. 10,12; A. 3,7.

Fig. 2 *H. Jacome*. C. 141 mm; D. 10,12; A. 3,7.

Fig. 3 *H. praestigiator*. C. 117 mm; D. 10,?; A. ?; serrano.

Lám. 56

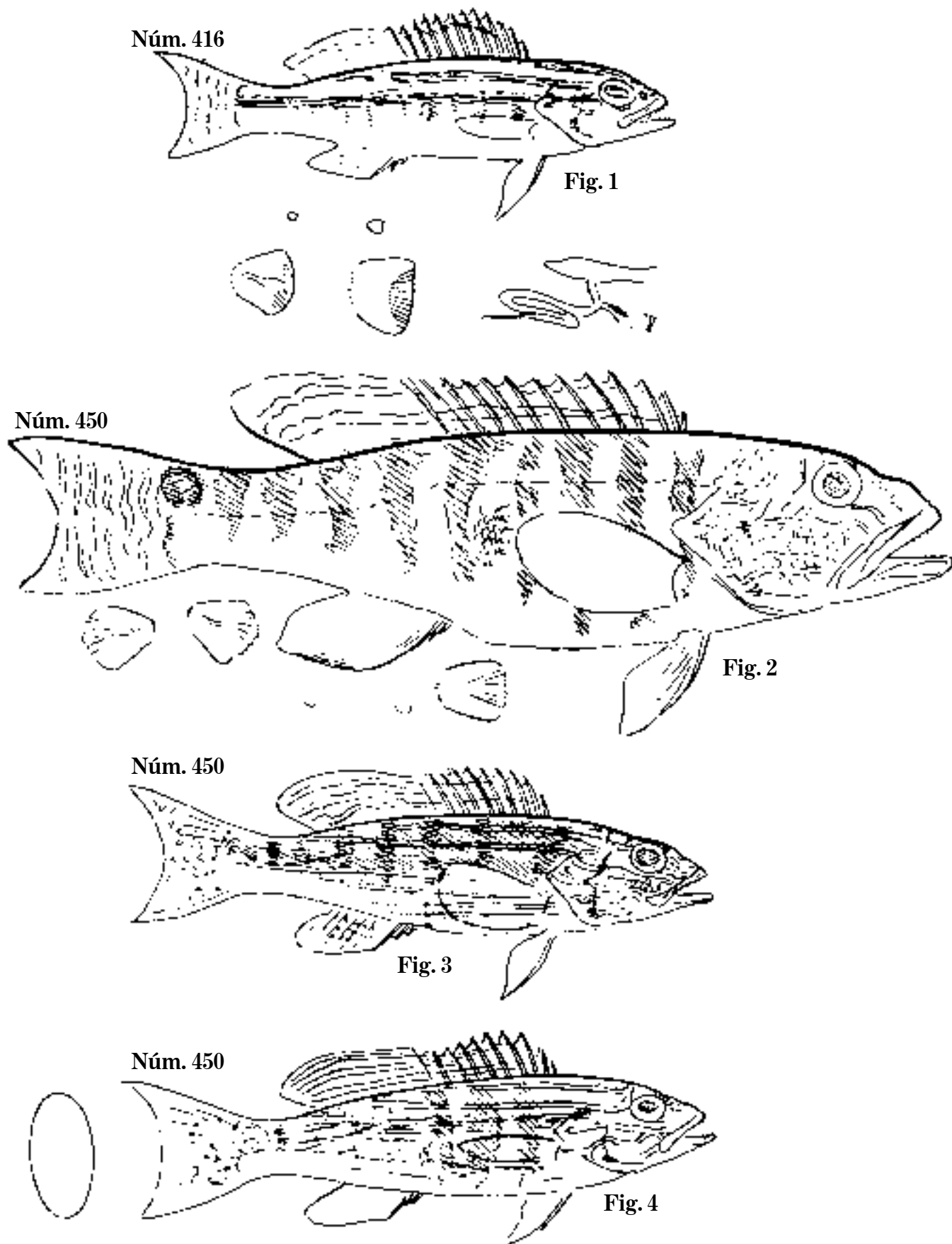


Fig. 1 *Haliperca bivittata*. C. 119 mm; D. 10,12; A. 3,7.

Fig. 2 *Diplectrum fasciculare*, 1860. C. 216 mm.

Fig. 3 *D. fasciculare*, 1852. C. 133 mm; D. 10,12; A. 3,7.

Fig. 4 *D. fasciculare*. C. 134 mm; D. 10,12; A. 3,7; serrano.

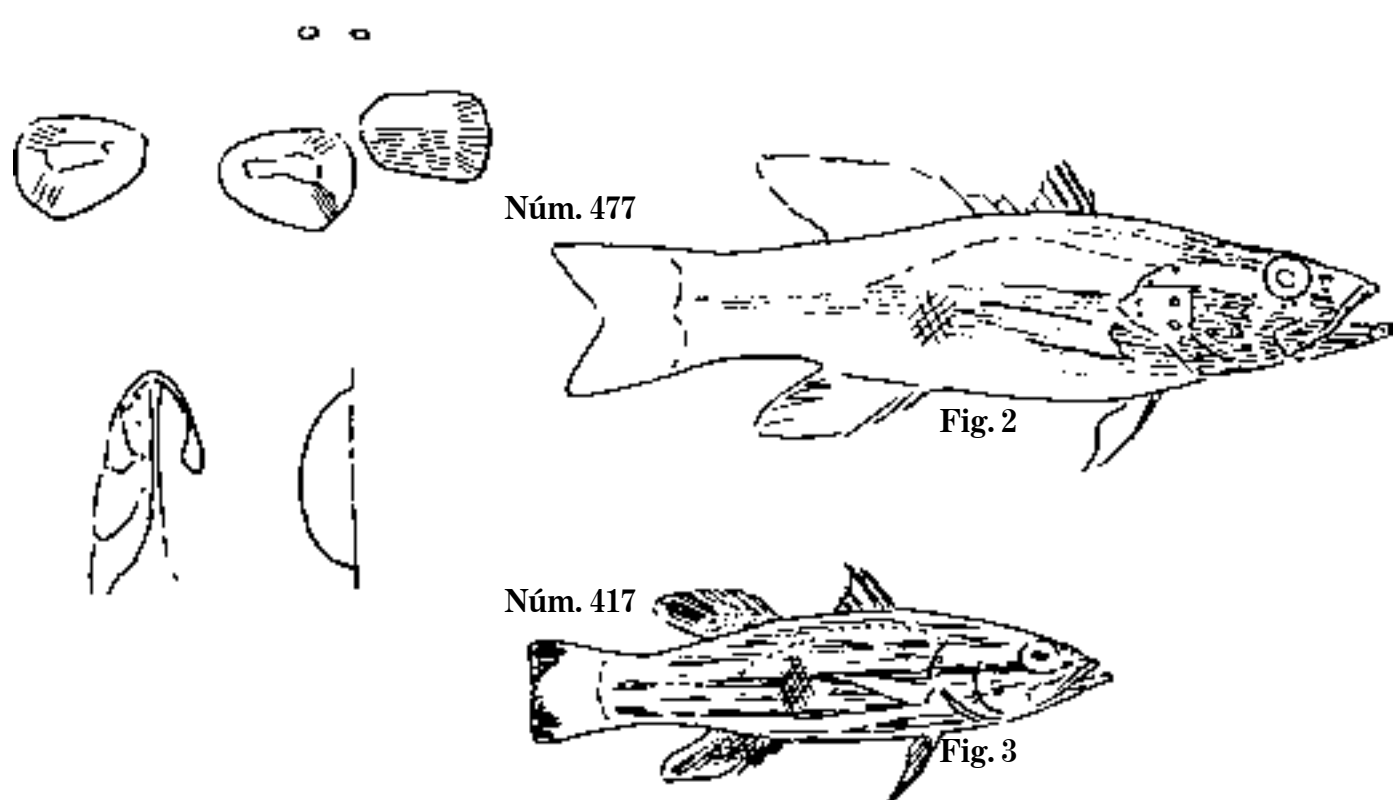
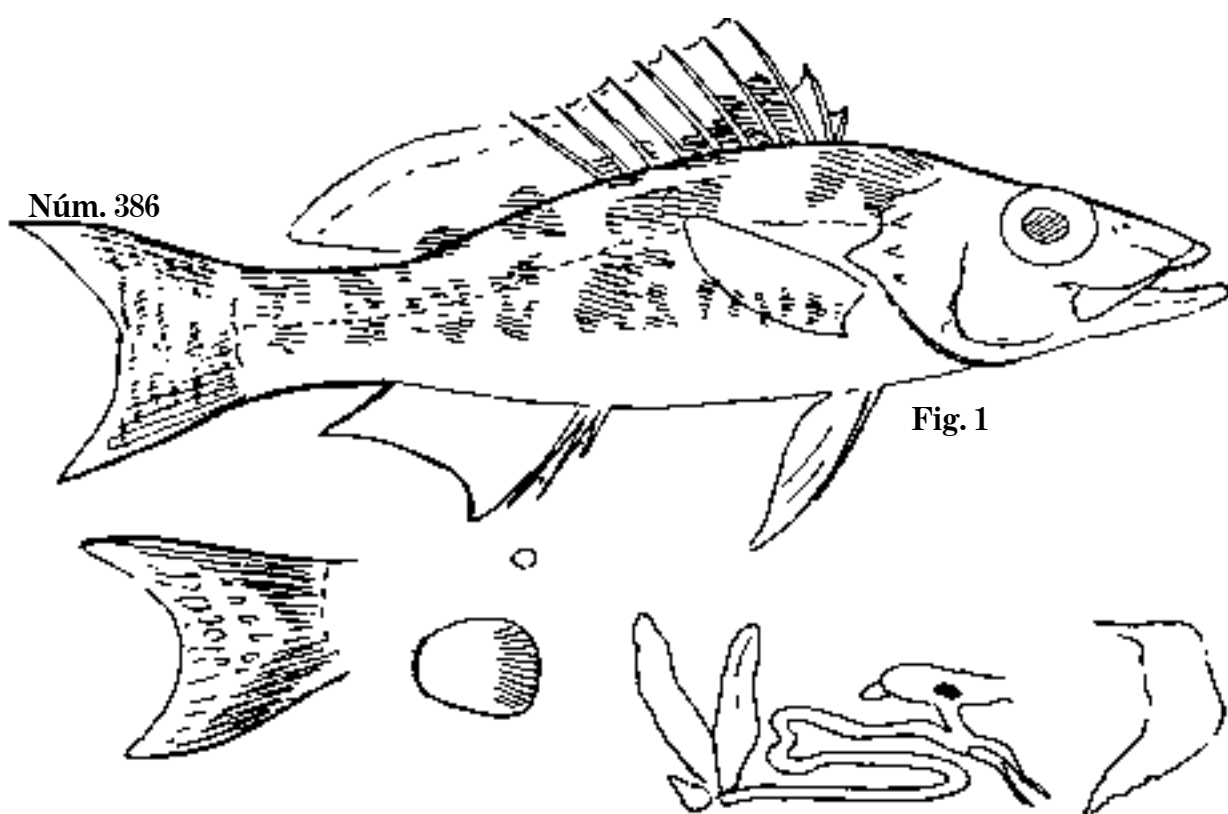


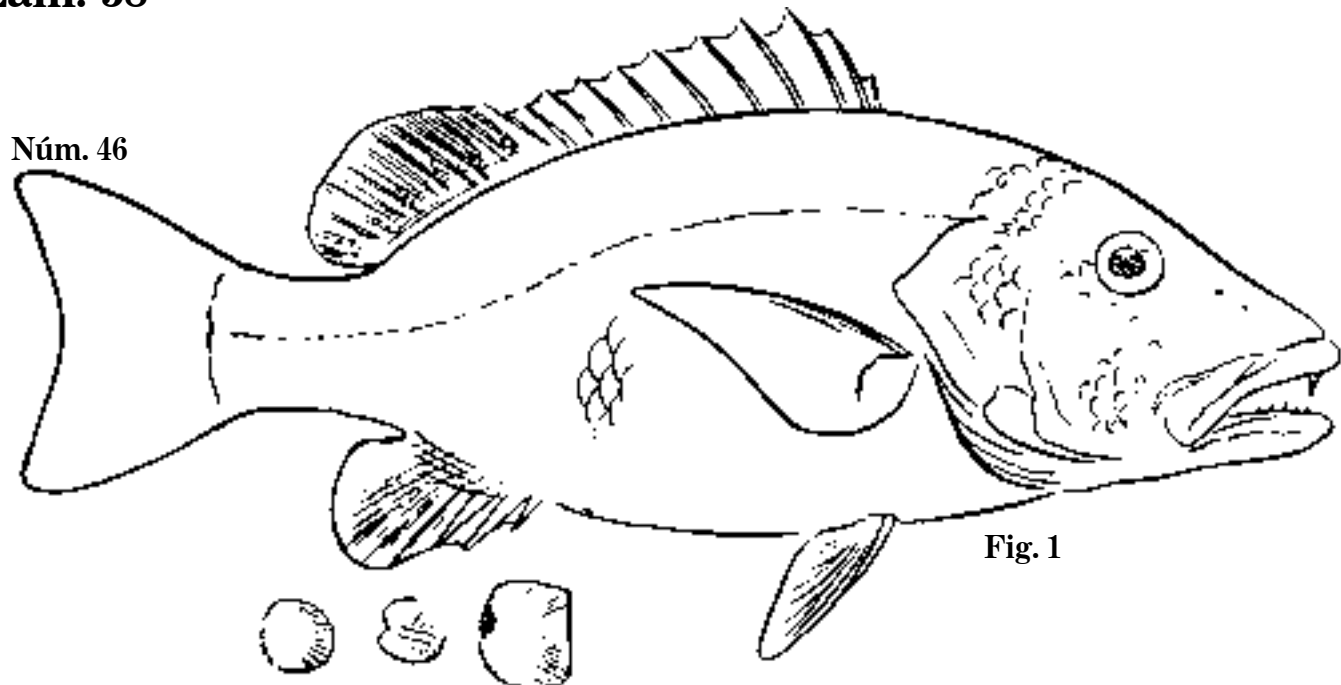
Fig. 1 *Mentiperca luciopercana*, 1850. C. 166 mm; D. 10,12; A. 3,7; serrano.

Fig. 2 *Liopropoma aberrans*. C. 115 mm; D. 9,12; A. 3,8.

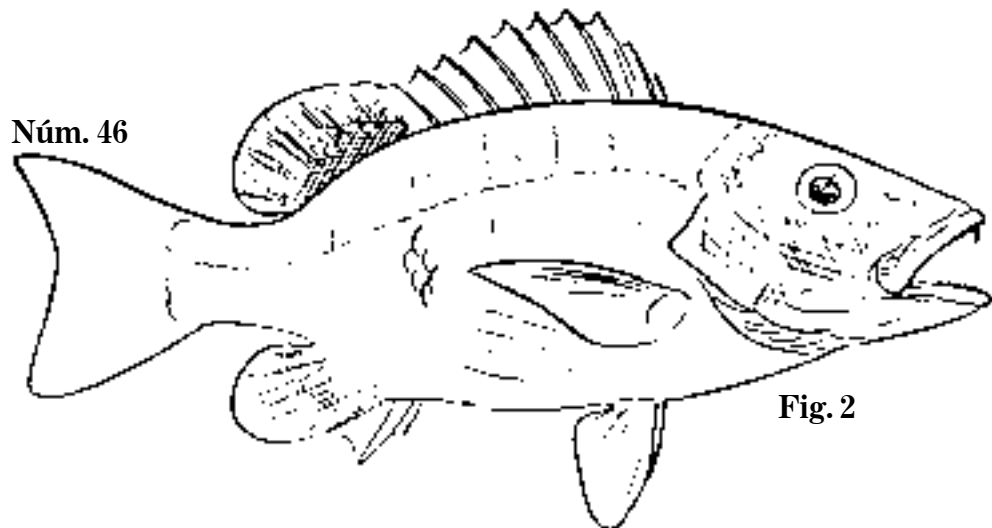
Fig. 3 *Chorististium rubrum*, 1861. C. 80 mm; D.?, 12; A. 3,8; S.N.C.

Lám. 58

Núm. 46



Núm. 46



Núm. 46

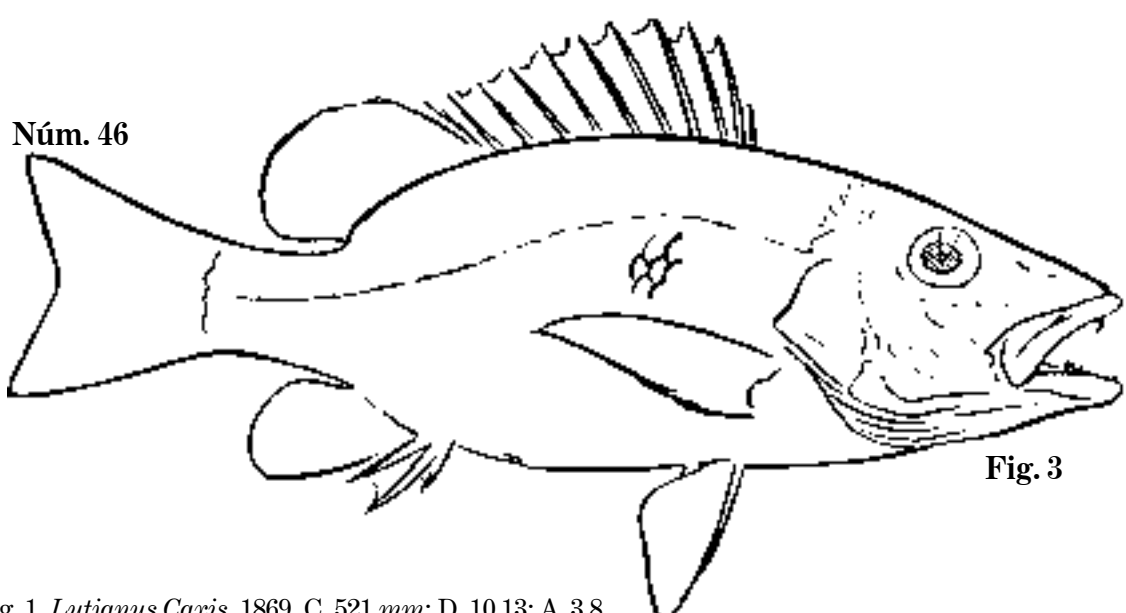


Fig. 1 *Lutjanus Caxis*, 1869. C. 521 mm; D. 10,13; A. 3,8.

Fig. 2 *L. Caxis*, 1869. C. 313 mm; D. 10,13; A. 3,8.

Fig. 3 *L. Caxis*, 1865. C. 296 mm; D. 10,14; A. 3,8; cají.

Núm. 46

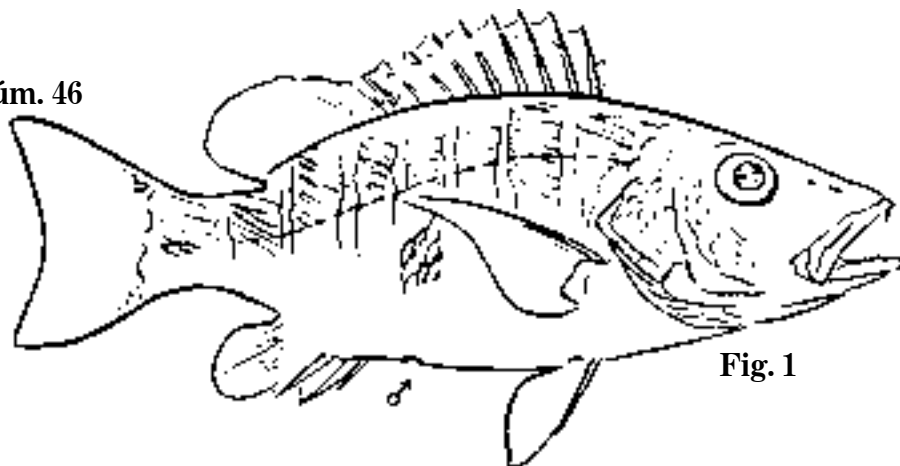


Fig. 1

Núm. 46

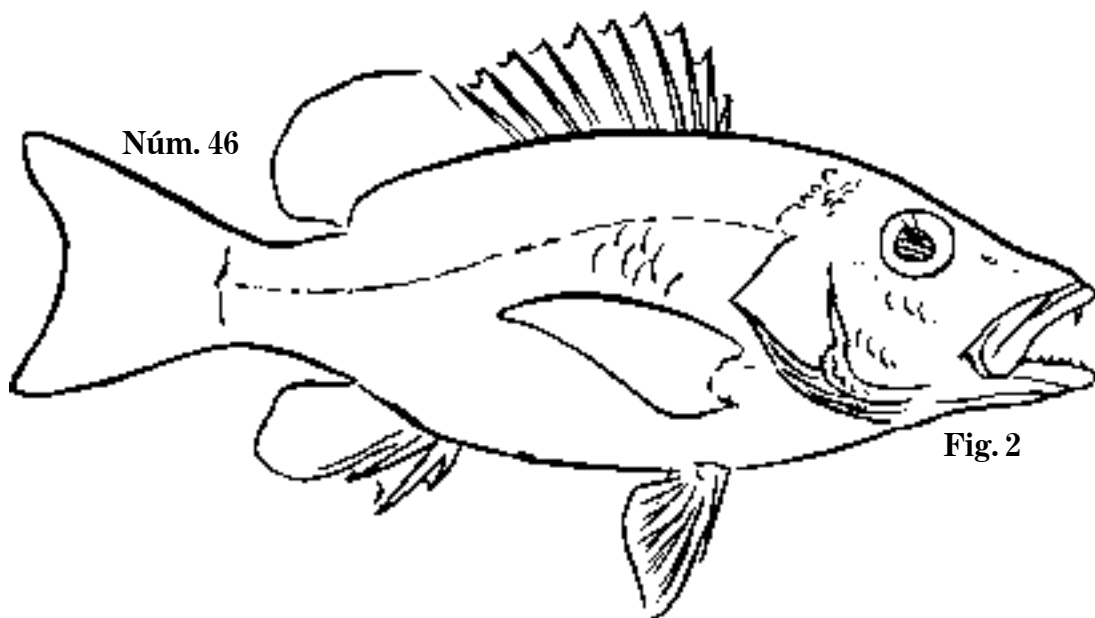


Fig. 2

Núm. 46

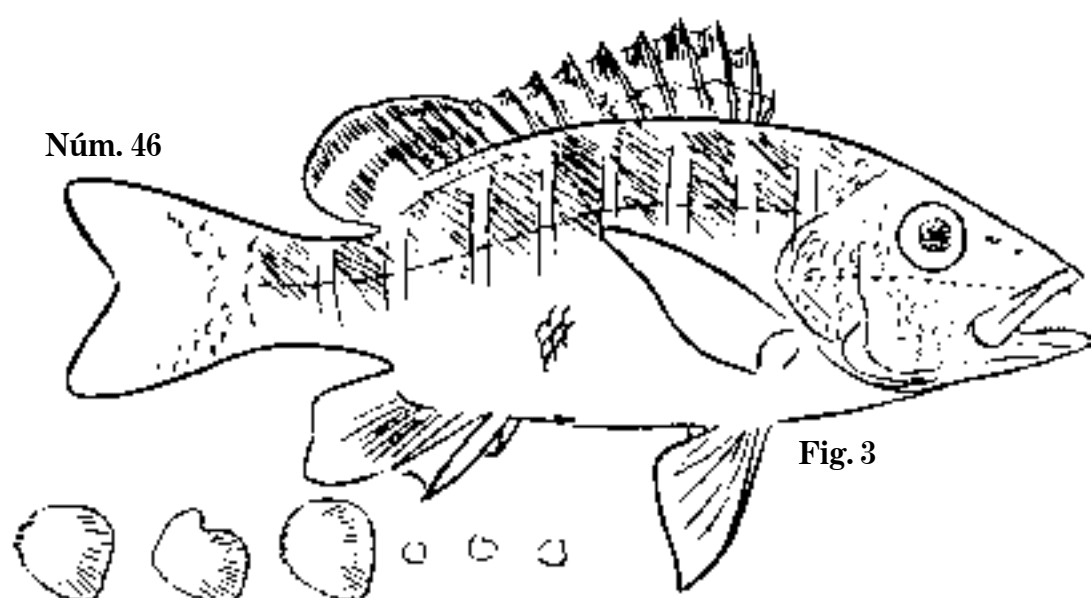


Fig. 3

Fig. 1 *Lutjanus Caxis*. C. 288 mm; D. 10,14; A. 3,8.

Fig. 2 *L. Caxis*, 1865. C. 289 mm; D. 10,13; A. 3,8.

Fig. 3 *L. Caxis*, 1859. C. 169 mm; D. 10,15; A. 3,8; cají.

Lám. 60

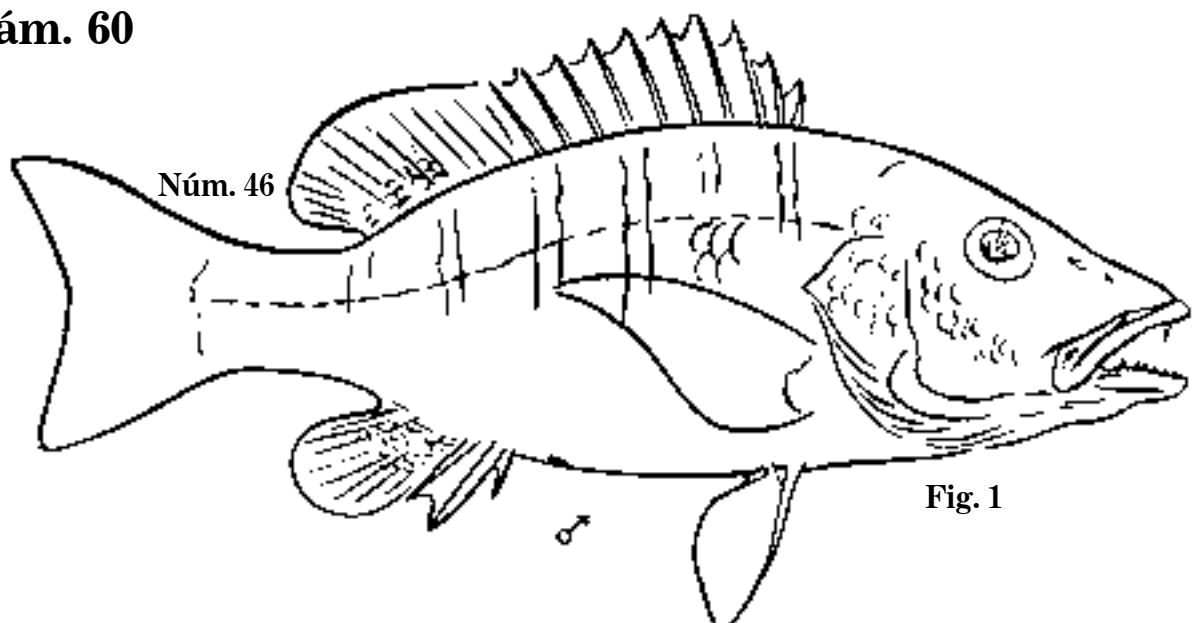


Fig. 1

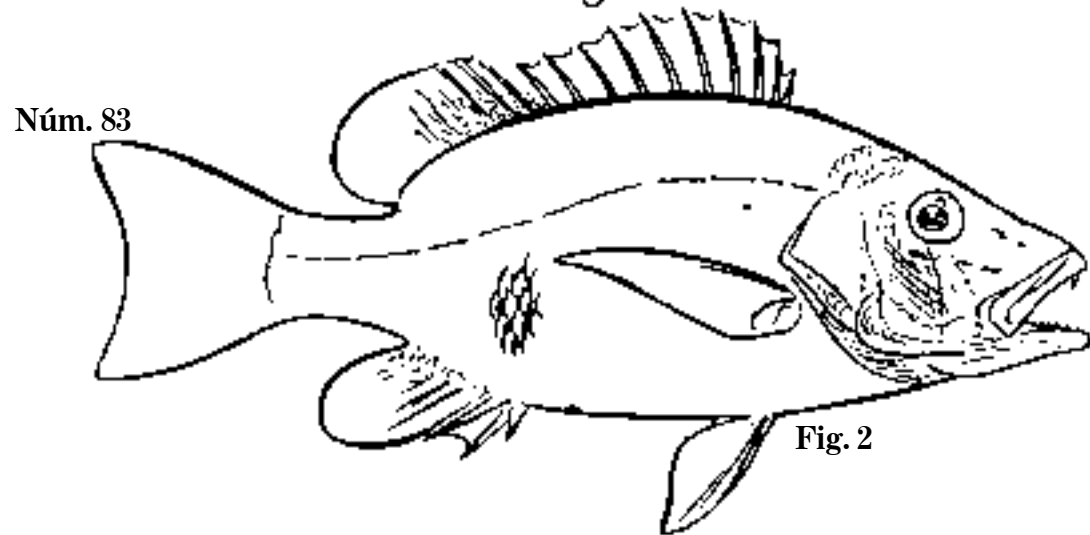


Fig. 2

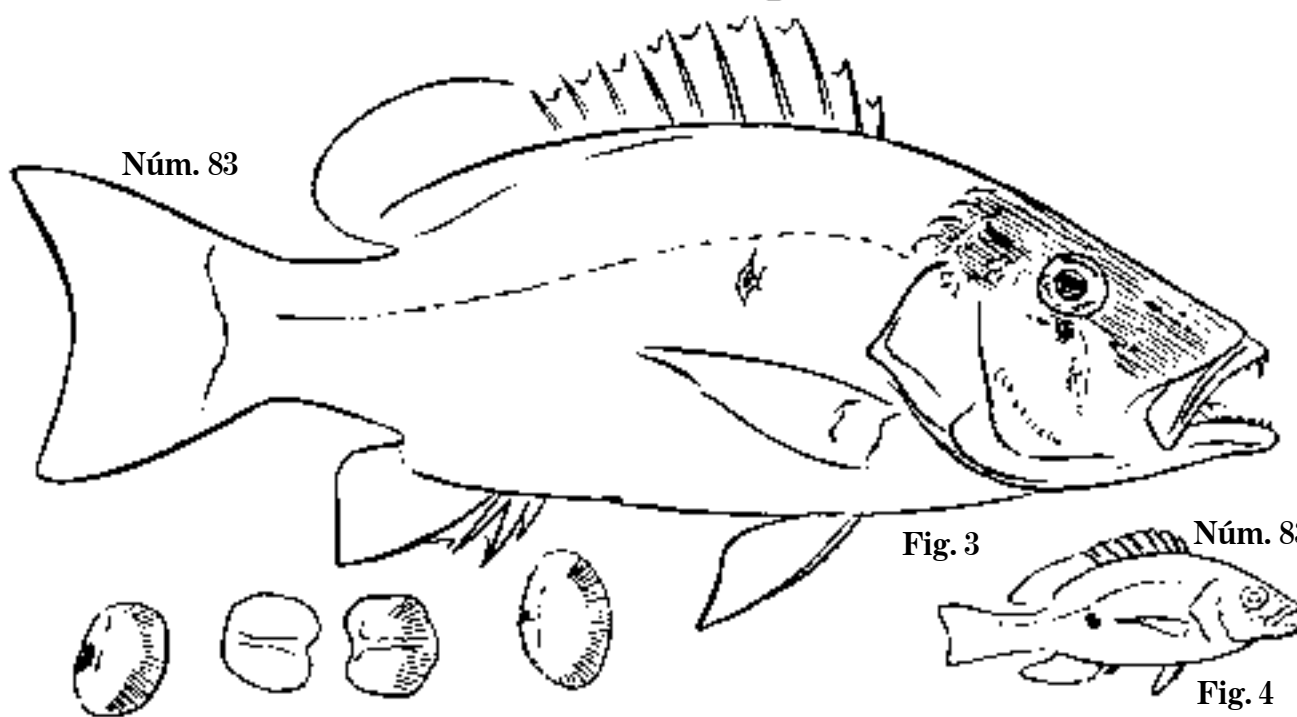


Fig. 3

Núm. 83

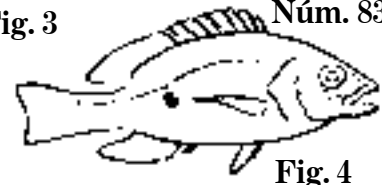


Fig. 4

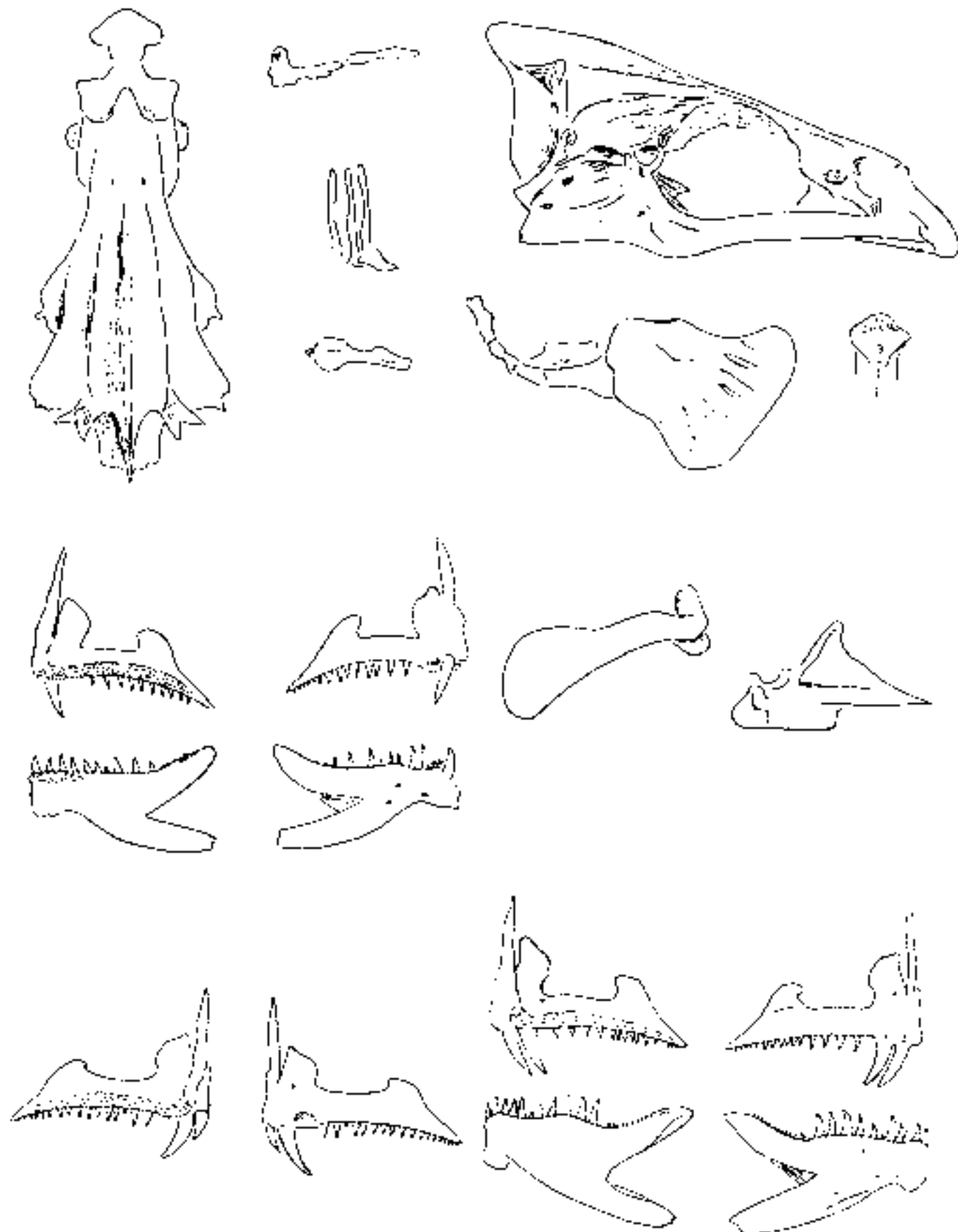
Fig. 1 *Lutjanus Caxis*, 1851. C. 381 mm; D. 10,14; A. 3,8; cají.

Fig. 2 *L. Jocu*, 1874. C. 330 mm; D. 10,14; A. 3,8.

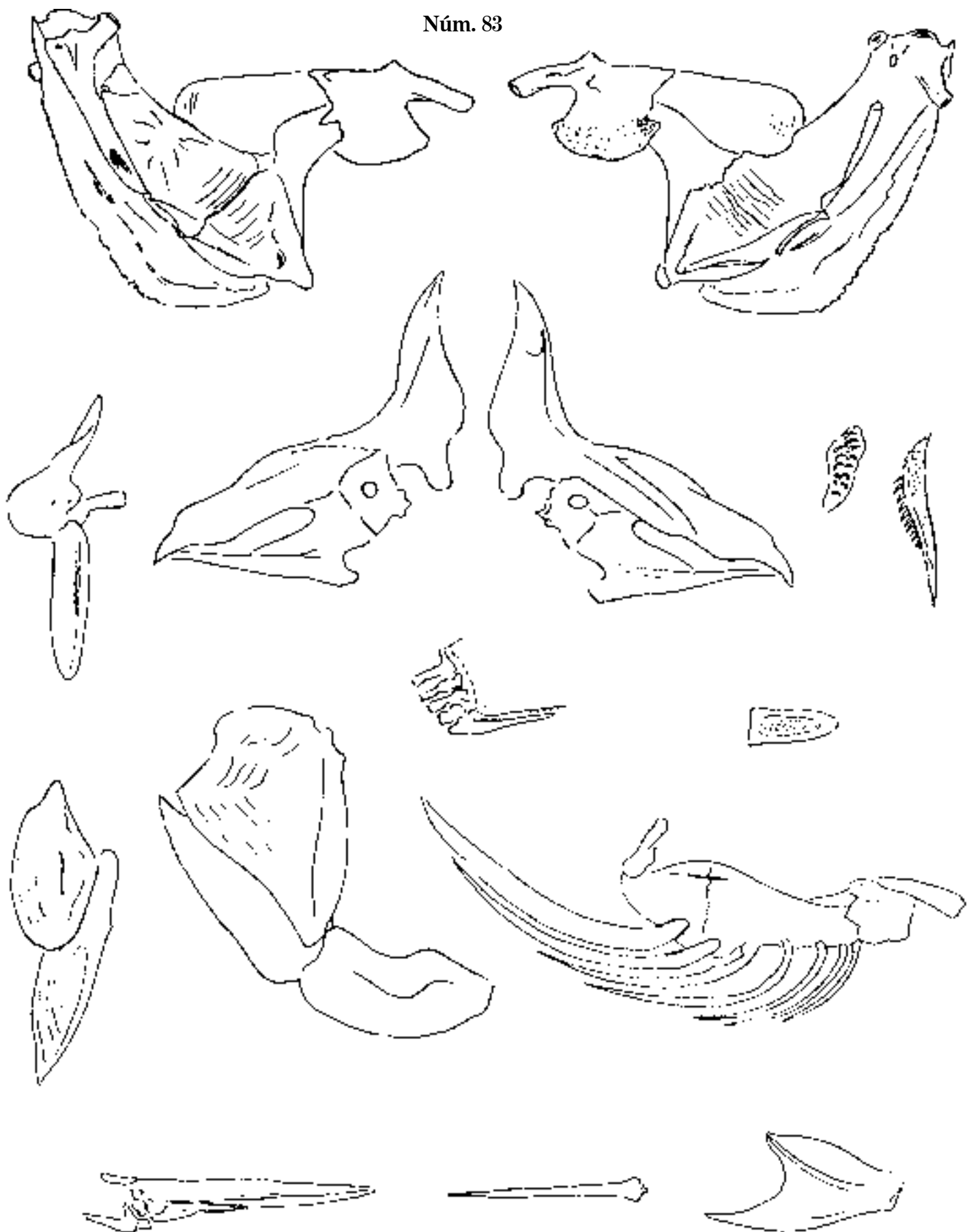
Fig. 3 *L. Jocu*. C. 512 mm; D. 10,14; A. 3,8.

Fig. 4 *L. Jocu*. C. 60 mm; jocú.

Núm. 83

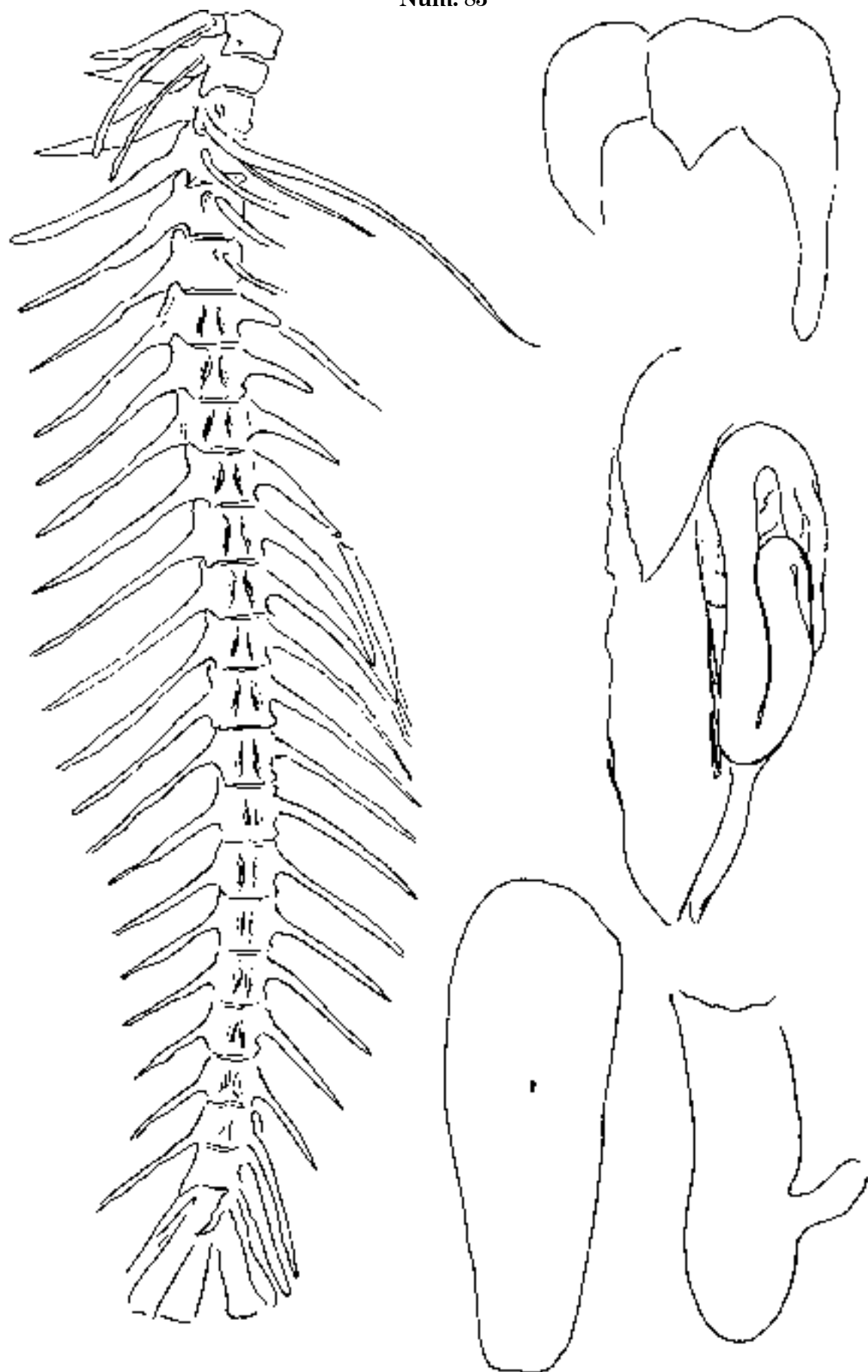


Lám. 62



Lutjanus jocu. Osteología; jocú.

Núm. 83



Lutjanus Jocu. Osteología y órganos; jocú.

Lám. 64

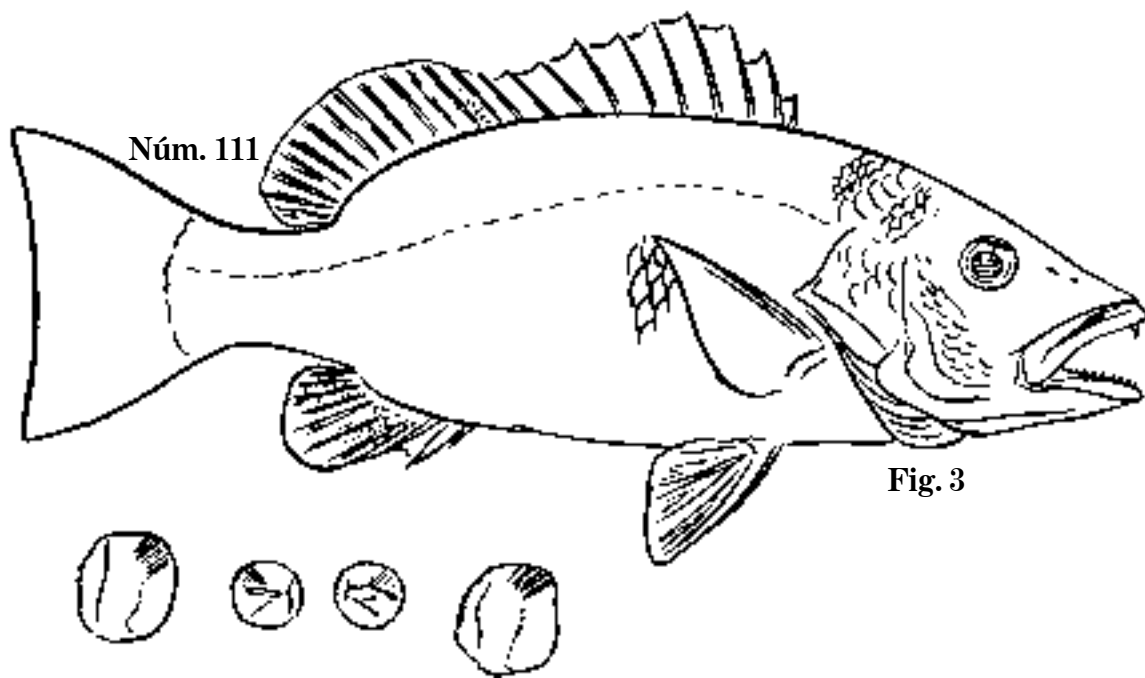
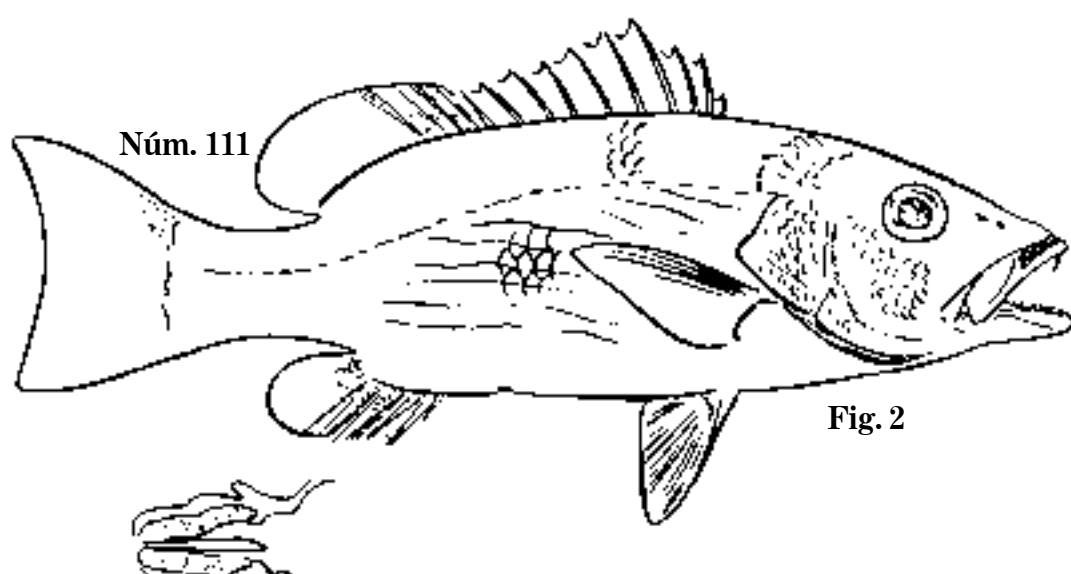
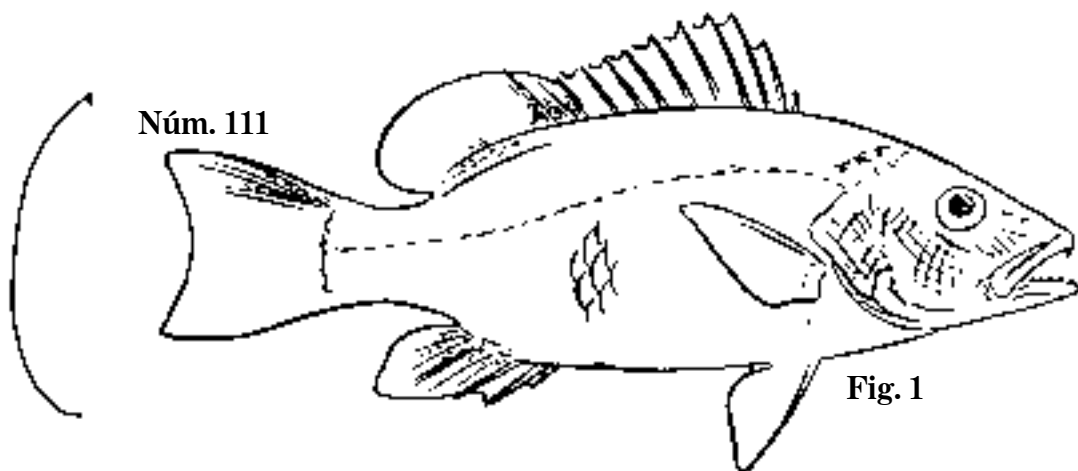


Fig. 1 *Lutjanus Caballerote*, 1870. C. 308 mm; D. 10,14; A. 3,8.

Fig. 2 *L. Caballerote*, 1862. P. 360 mm; D. 10,14; A. 3,8.

Fig. 3 *L. Caballerote*, 1862. C. 470 mm; D. 10,14; A. 3,8; caballerote.

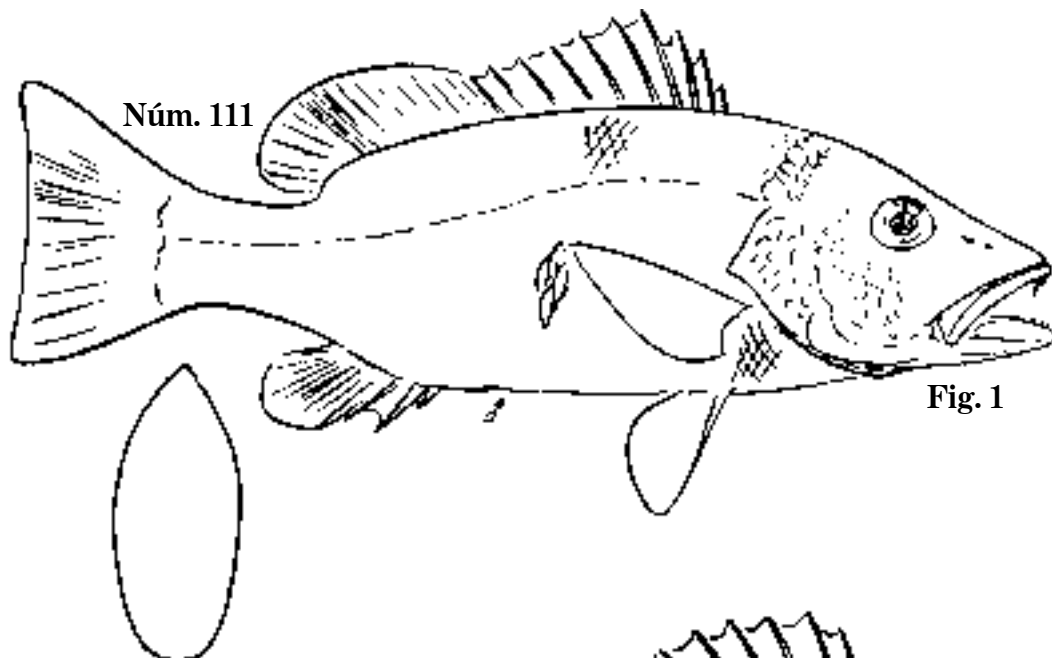


Fig. 1

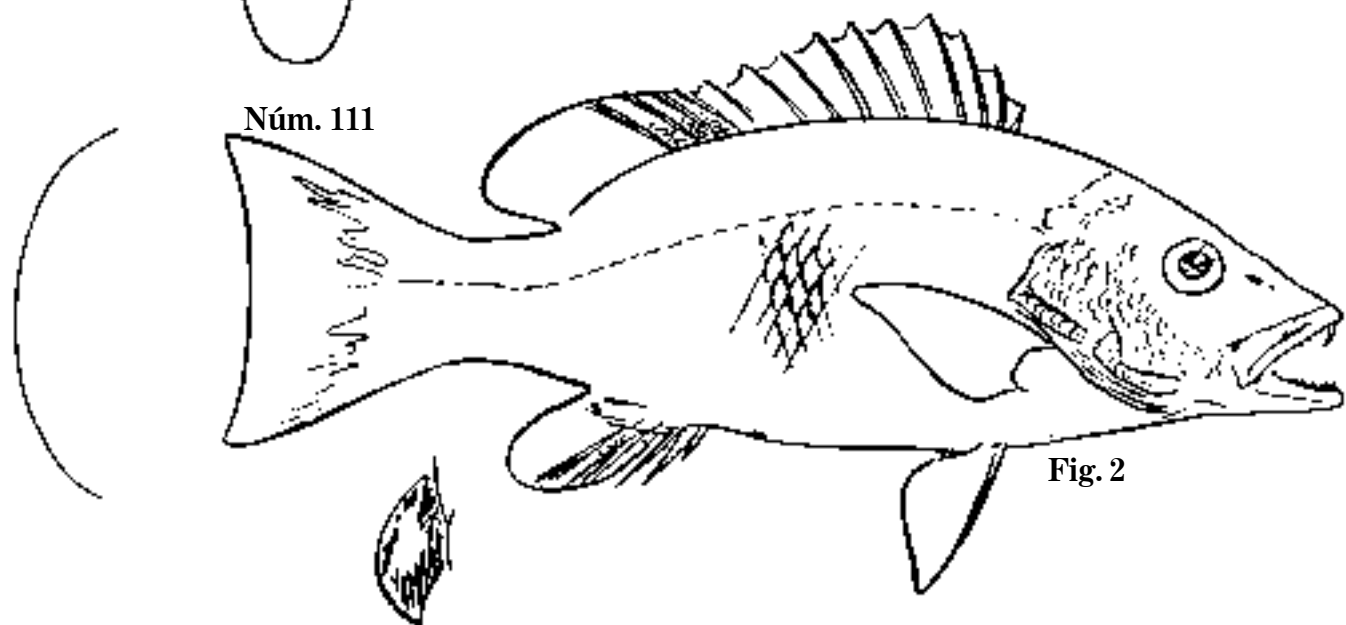


Fig. 2

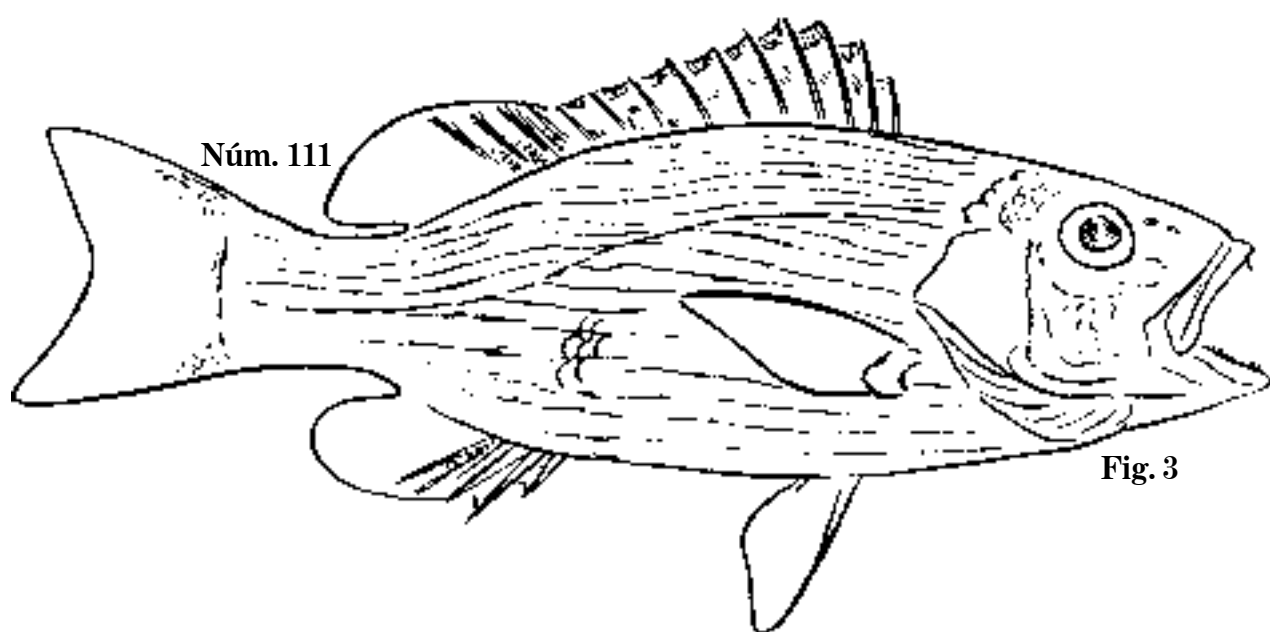


Fig. 3

Fig. 1 *Lutjanus Caballerote*, 1859. C. 350 mm; D. 10,14; A. 3,8.

Fig. 2 *L. Caballerote*, 1857. C. 386 mm; D. 10,14; A. 3,8.

Fig. 3 *L. Caballerote*, 1859. C. 201 mm; D. 10,14; A. 3,8; caballerote.

Lám. 66

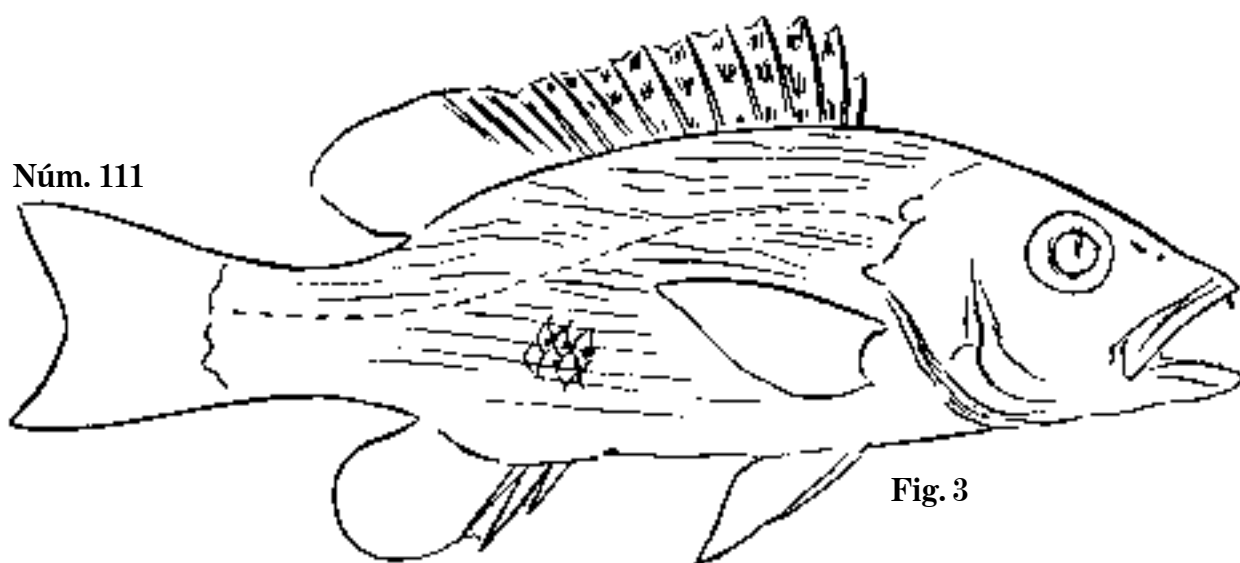
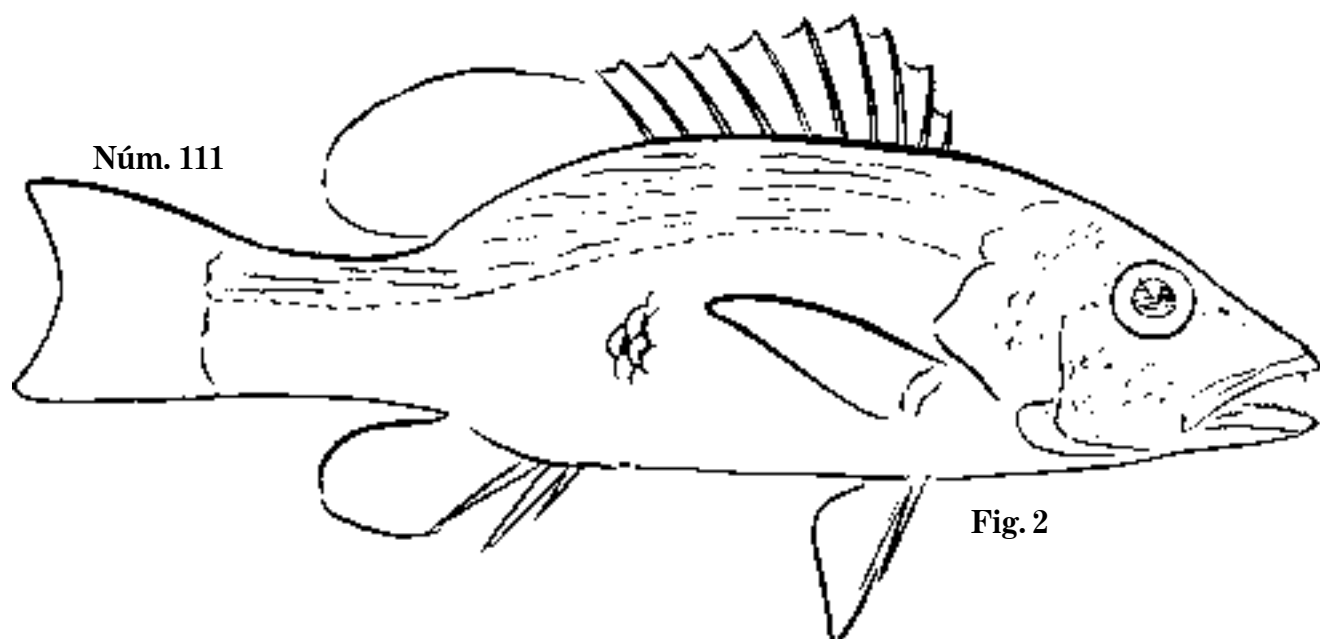
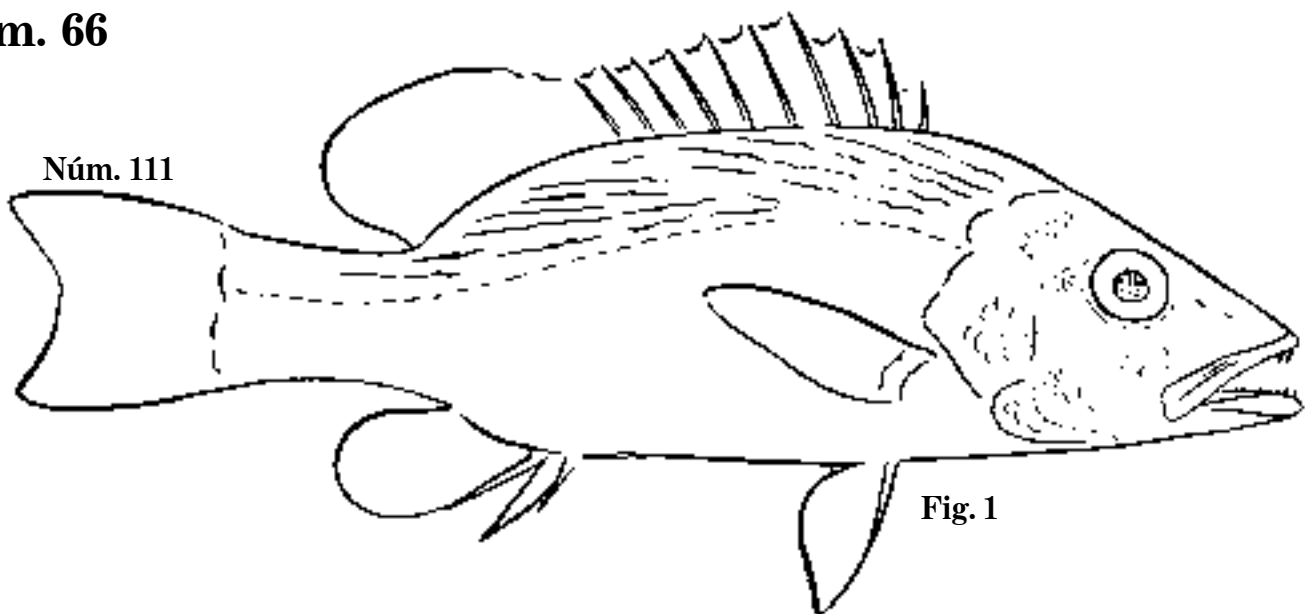


Fig. 1 *Lutjanus Caballerote*, 1860. C. 210 mm; D. 10,14; A. 3,8.

Fig. 2 *L. Caballerote*, 1860. C. 210 mm; D. 10,14; A. 3,8.

Fig. 3 *L. Caballerote*. C. 210 mm; D. 10,14; A. 3,8; caballerote.

Núm. 111

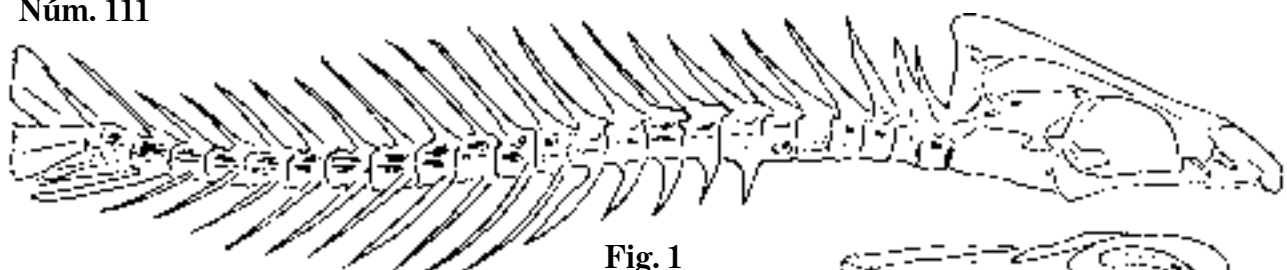


Fig. 1



Núm. 682

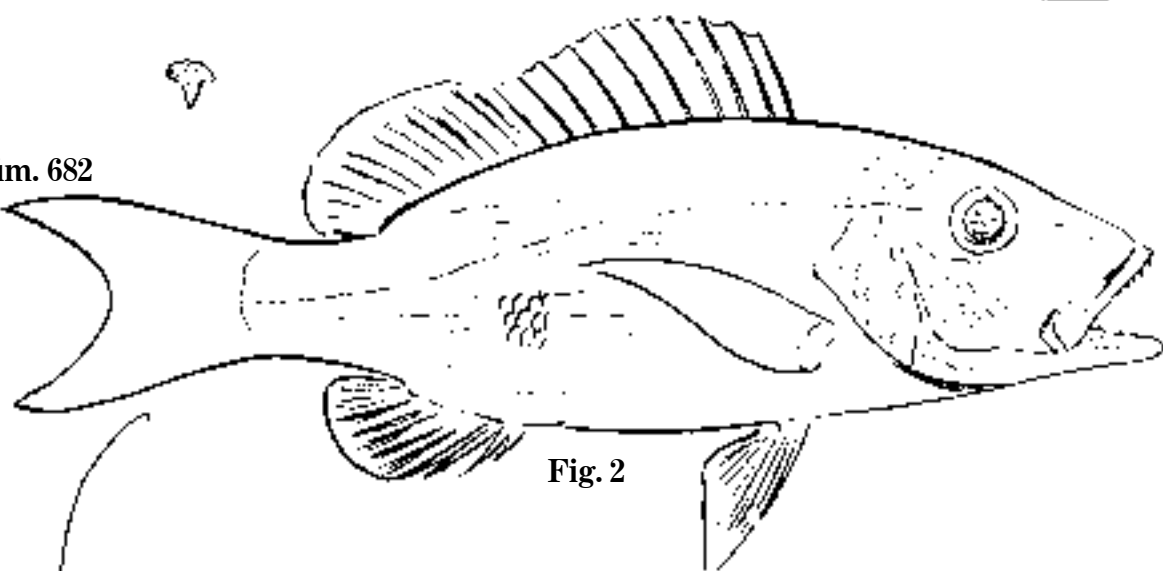


Fig. 2

Núm. 153

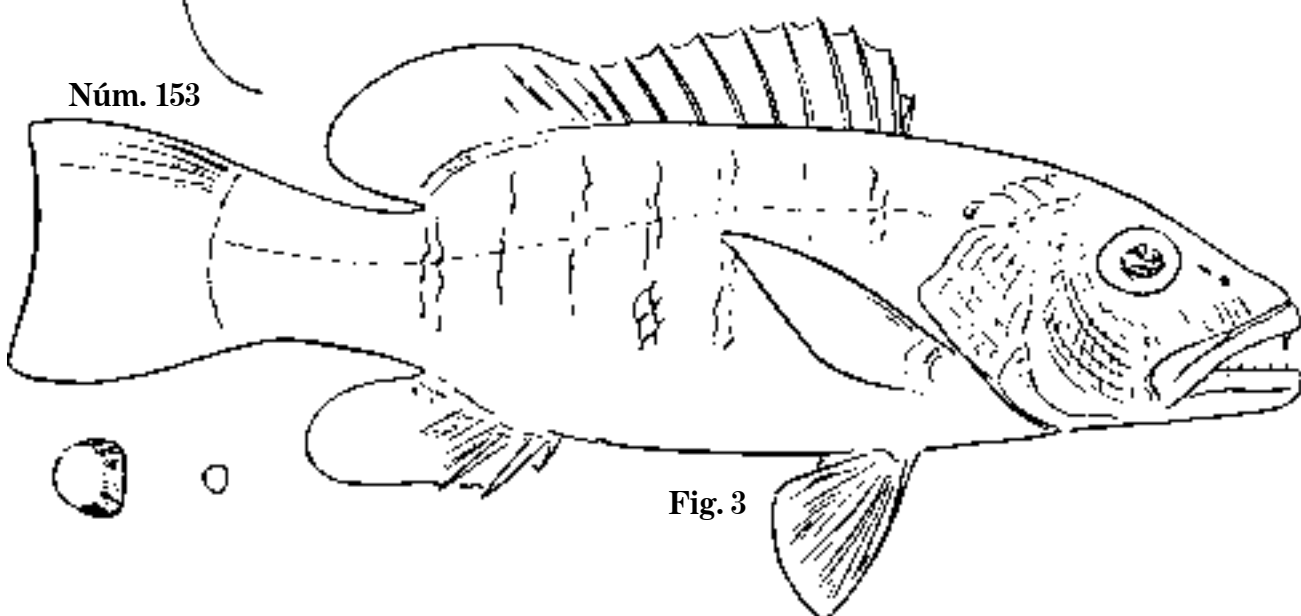


Fig. 3

Fig. 1 *Lutjanus Caballerote*. Osteología y órganos; caballerote.
Fig. 2 *L. undecimalis*, 1877. C. 248 mm; D. 11,13; A. 3,9; S.N.C.
Fig. 3 *L. Cubera*, 1870. C. 278 mm; D. 10,14; A. 3,8; cubera.

Lám. 68

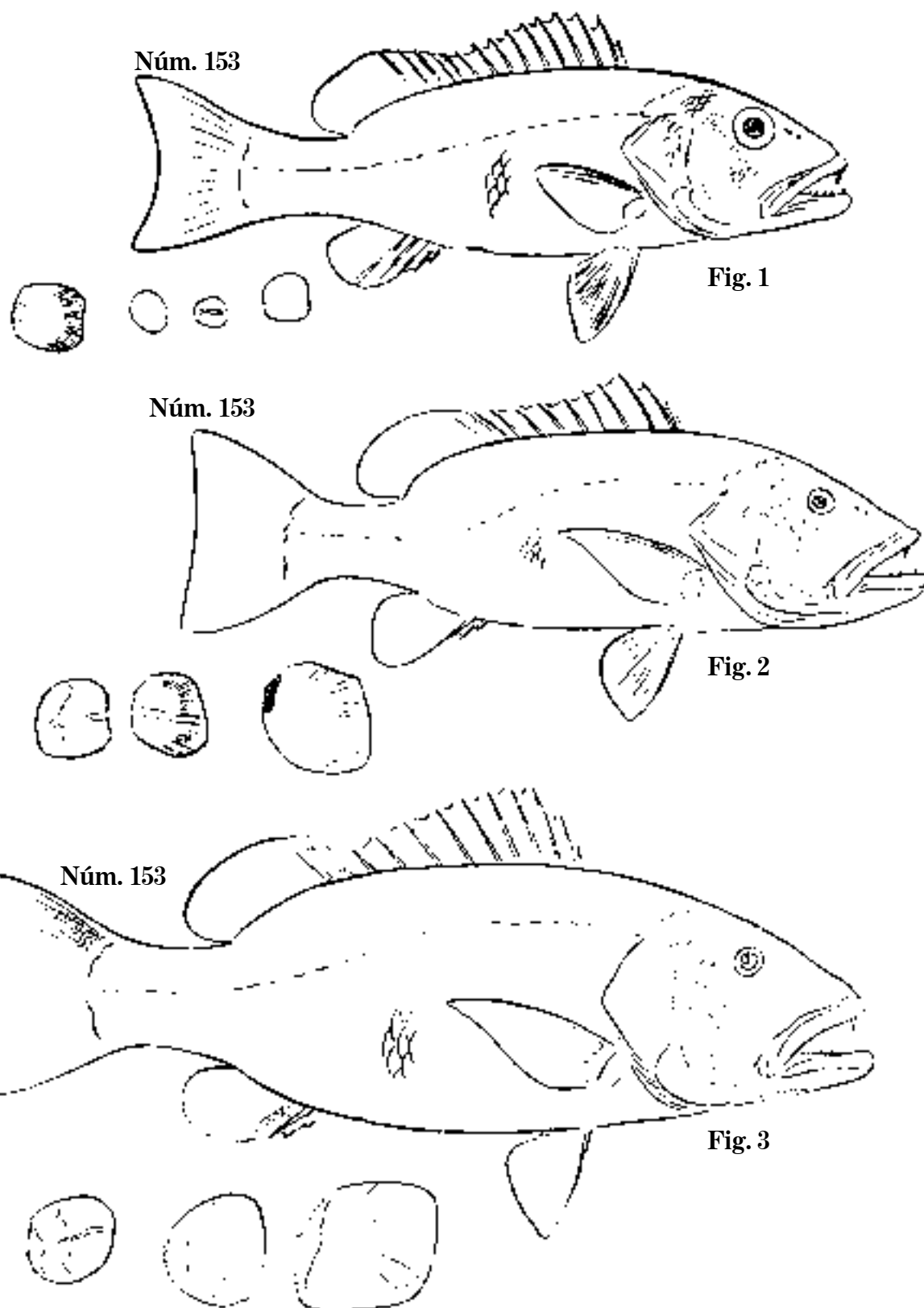


Fig. 1 *Lutjanus Cubera*, 1862. P. 350 mm; D. 10,14; A. 3,8.

Fig. 2 *L. Cubera*, 1865. C. 721 mm; D. 9,14; A. 3,8.

Fig. 3 *L. Cubera*, 1870. C. 879 mm; D. 10,14; A. 3,8; cubera.

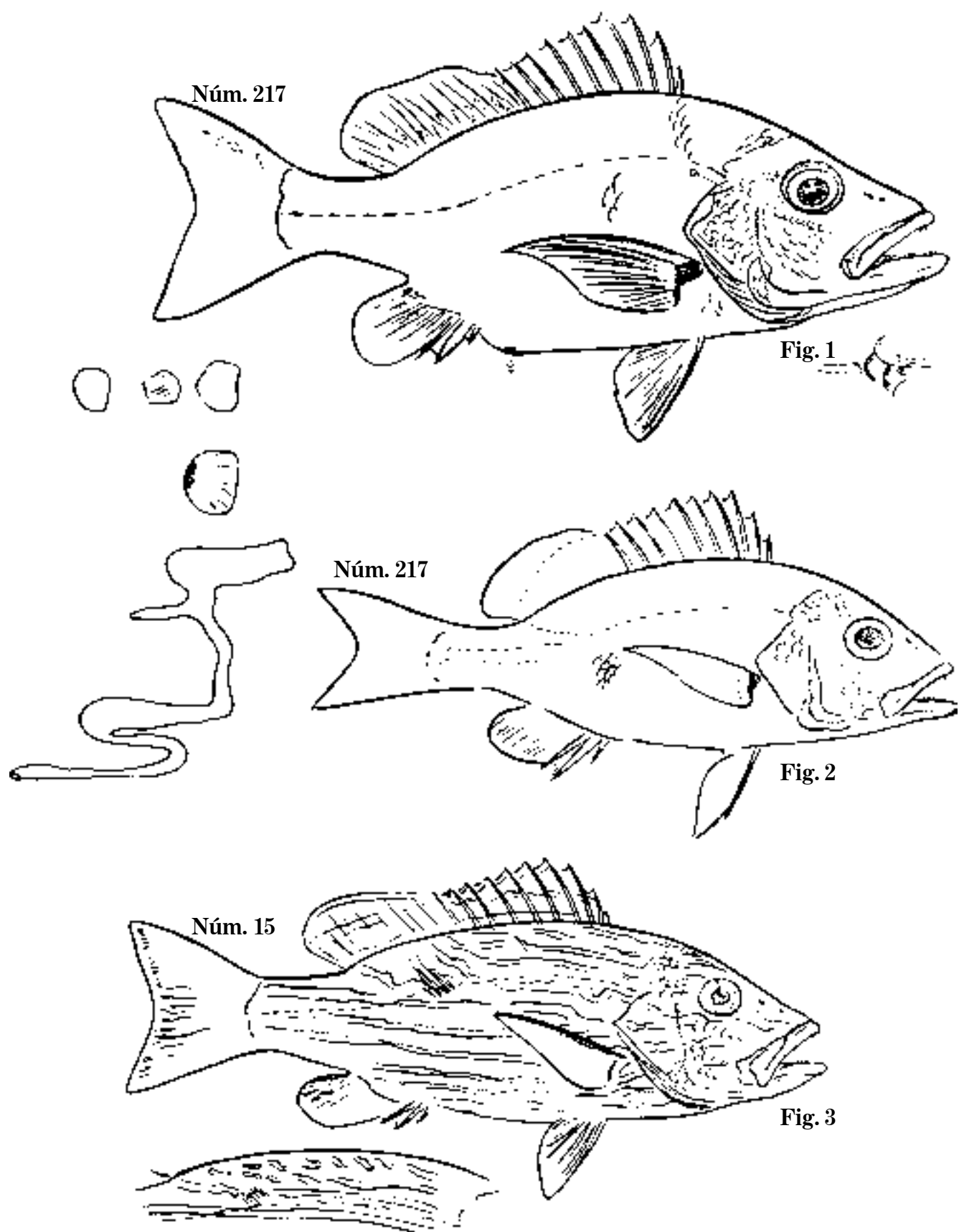


Fig. 1 *Lutjanus Buccanella*, 1859. C. 376 mm; D. 10,14; A. 3,8.
 Fig. 2 *L. Buccanella*, 1859. C. 153 mm.; D. 10,13; A. 3,8; sesí.
 Fig. 3 *L. Synagris*, 1863. C. 335 mm; D. 10,12; A. 3,8; biajaiba.

Lám. 70

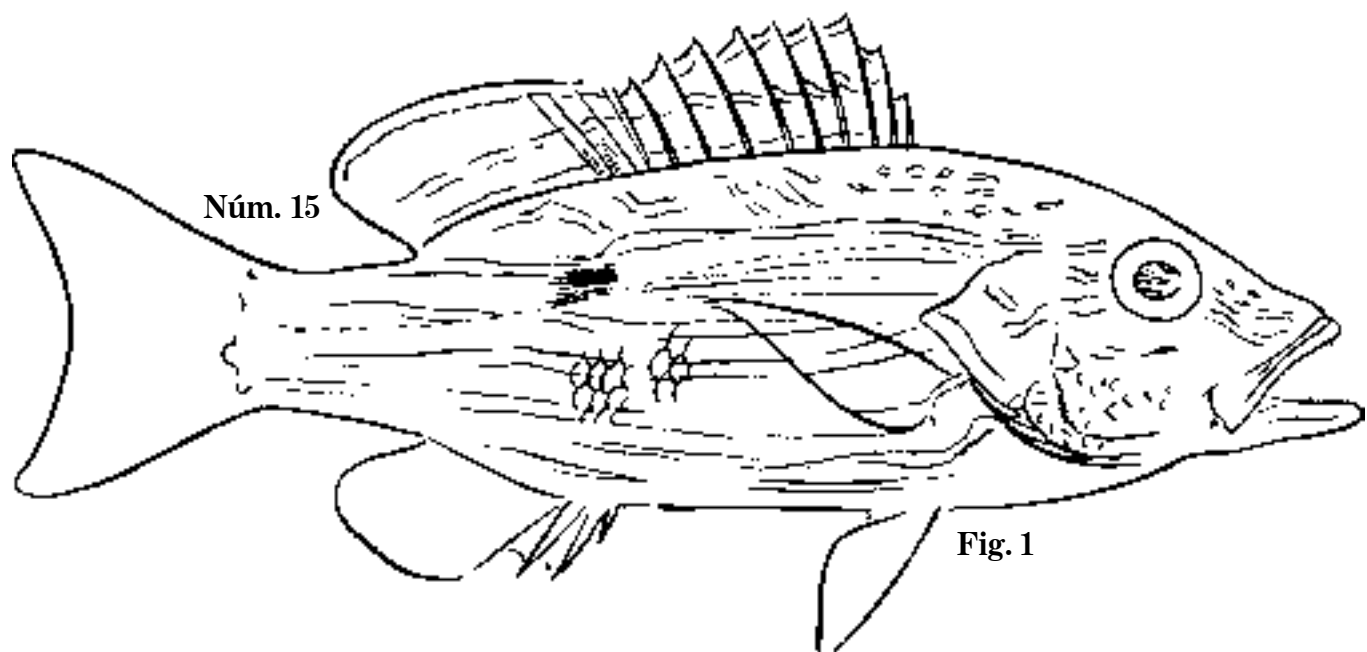


Fig. 1



Fig. 2

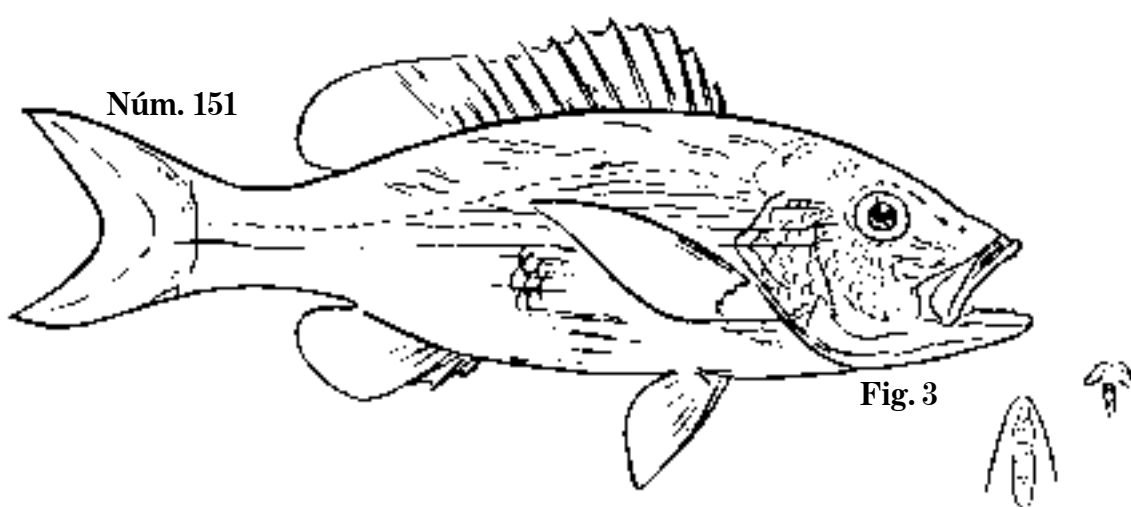


Fig. 3

Fig. 1 *Lutjanus Synagris*, 1850. C. 235 mm; D. 10,12; A. 3,8.

Fig. 2 *L. ambiguus*. C. 268 mm; D. 10,13; A. 3,9.

Fig. 3 *L. ambiguus*, 1870. C. 355 mm; D. 10,12; A. 3,9; biajaiba

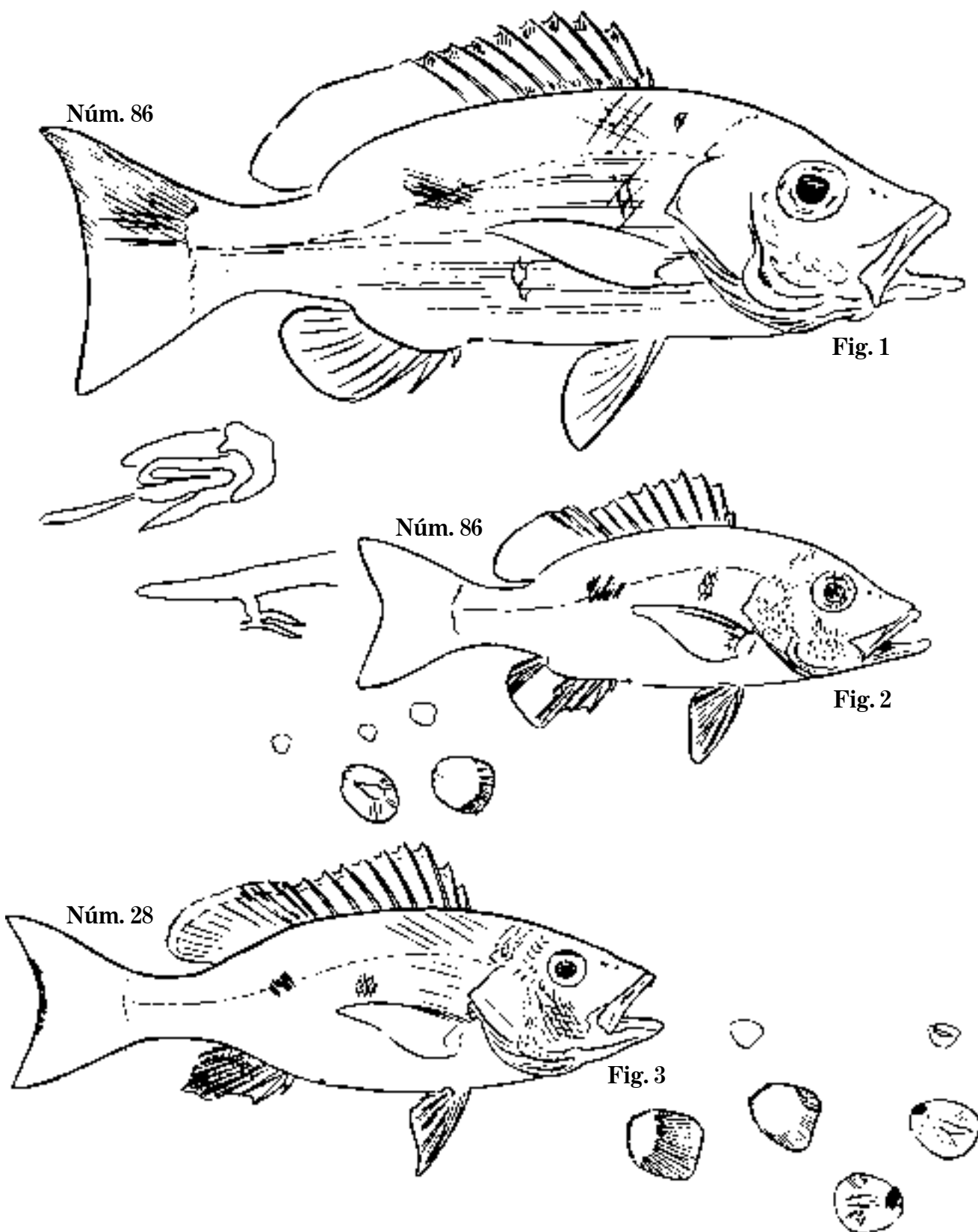


Fig. 1 *Lutjanus Ojanco*, 1850. C. 239 mm; D. 10,12; A. 3,8.

Fig. 2 *L. Ojanco*, 1869. C. 299 mm; D. 10,11; A. 3,8; ojanco.

Fig. 3 *L. profundus*, 1860. C. 429 mm; D. 10,14; A. 3,7; pargo de lo alto.

Lám. 72

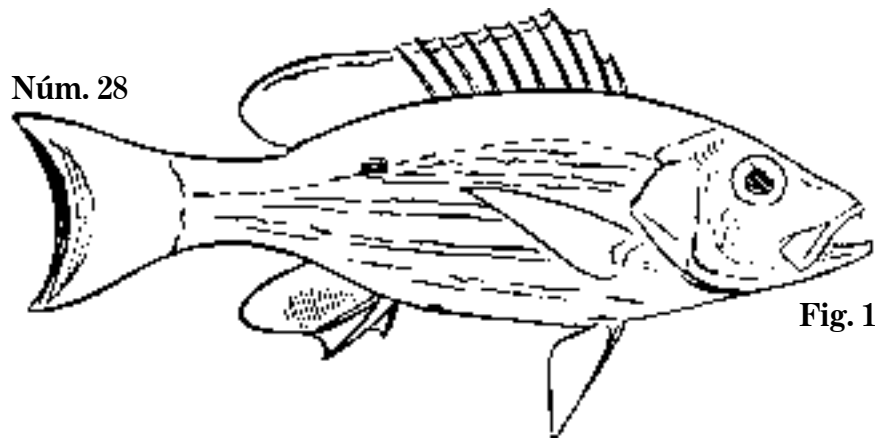


Fig. 1

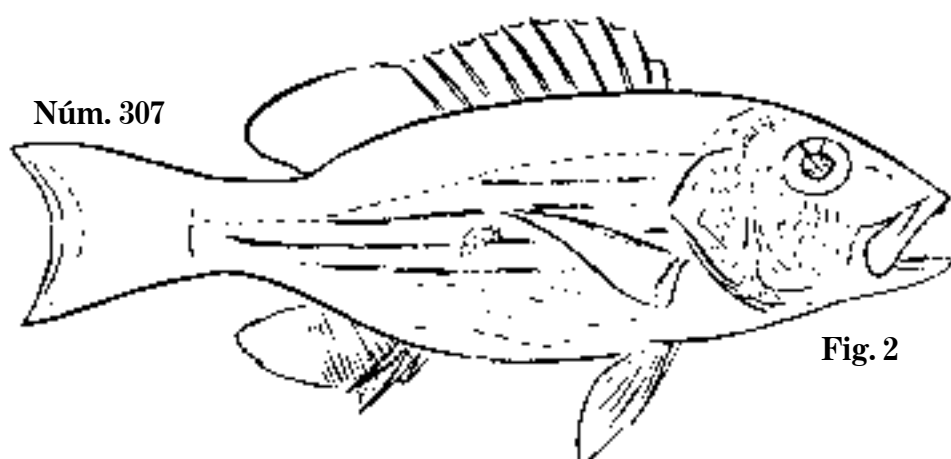


Fig. 2

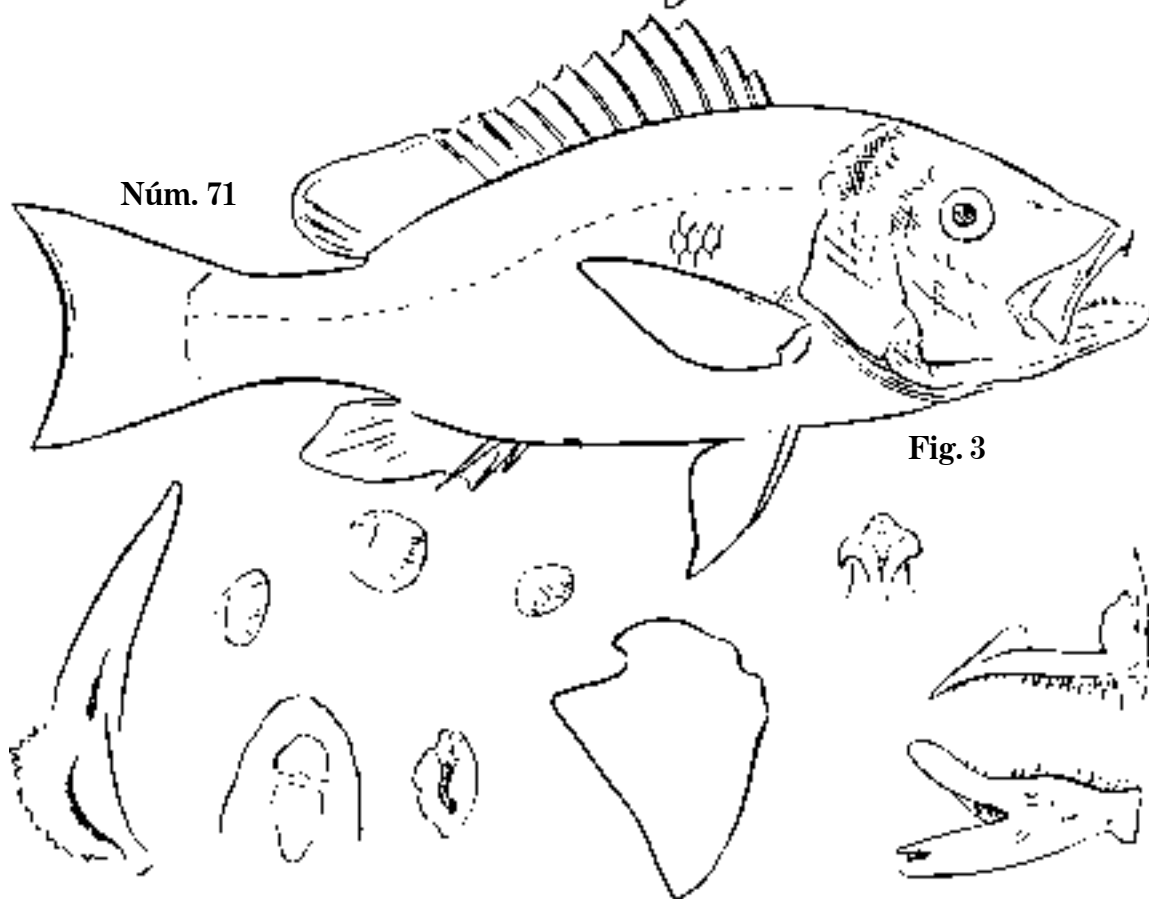


Fig. 3

Fig. 1 *Lutjanus profundus*, 1871. C. 169 mm; D. 10,14; A. 3,8.

Fig. 2 *L. Aya*, 1873. C. 184 mm; pargo de lo alto.

Fig. 3 *L. Campechianus*, 1861. C. 537 mm; D. 10,14; A. 3,8; pargo guachinango.

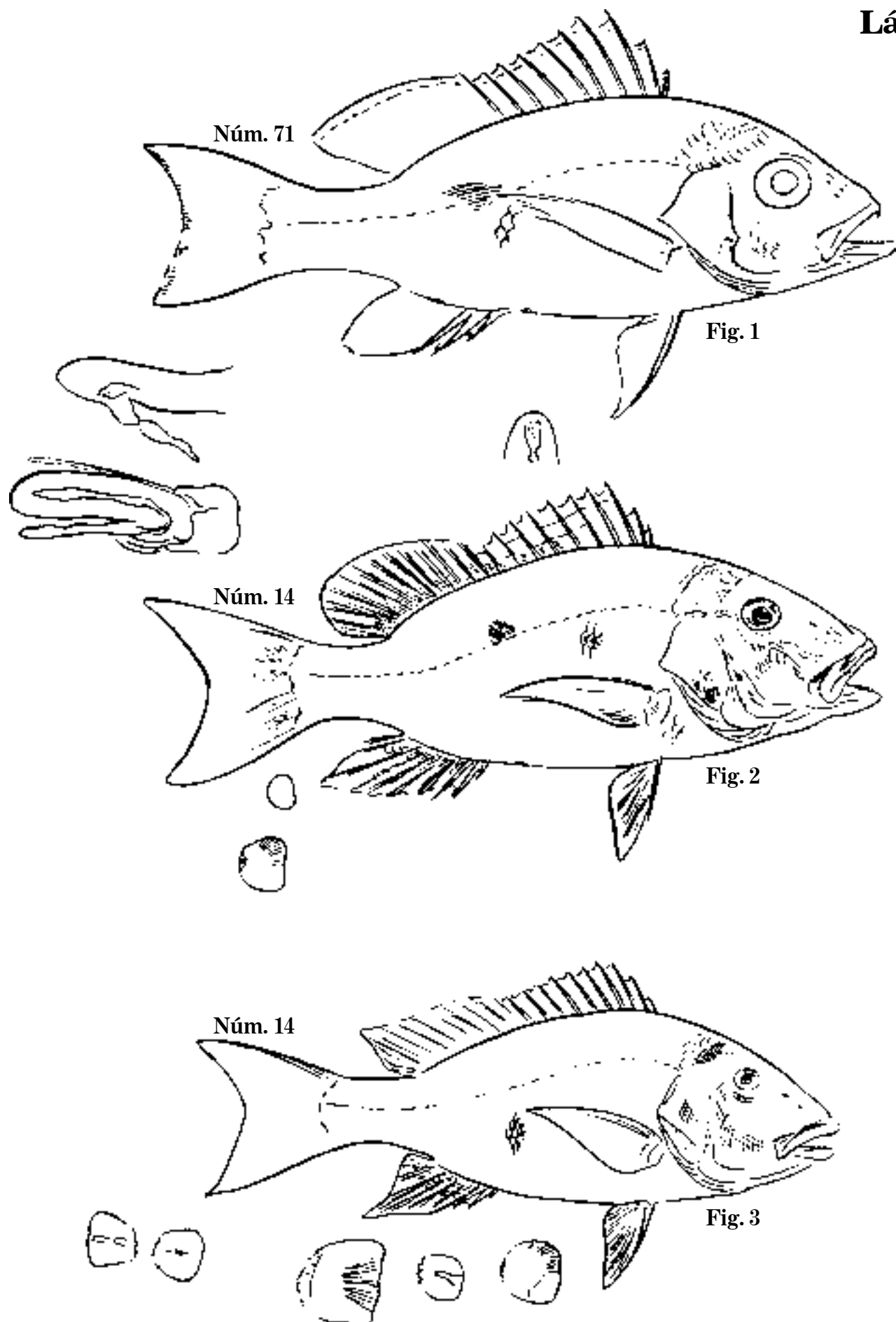


Fig. 1 *Lutjanus Campechianus*, 1850. C. 183 mm; D. 10,14; A. 3,8; pargo guachinango.

Fig. 2 *L. analis*, 1858. P. 360 mm; D. 10,14; A. 3,8.

Fig. 3 *L. analis*, 1869. C. 624 mm; D. 10,13; A. 3,8; pargo criollo.

Lám. 74

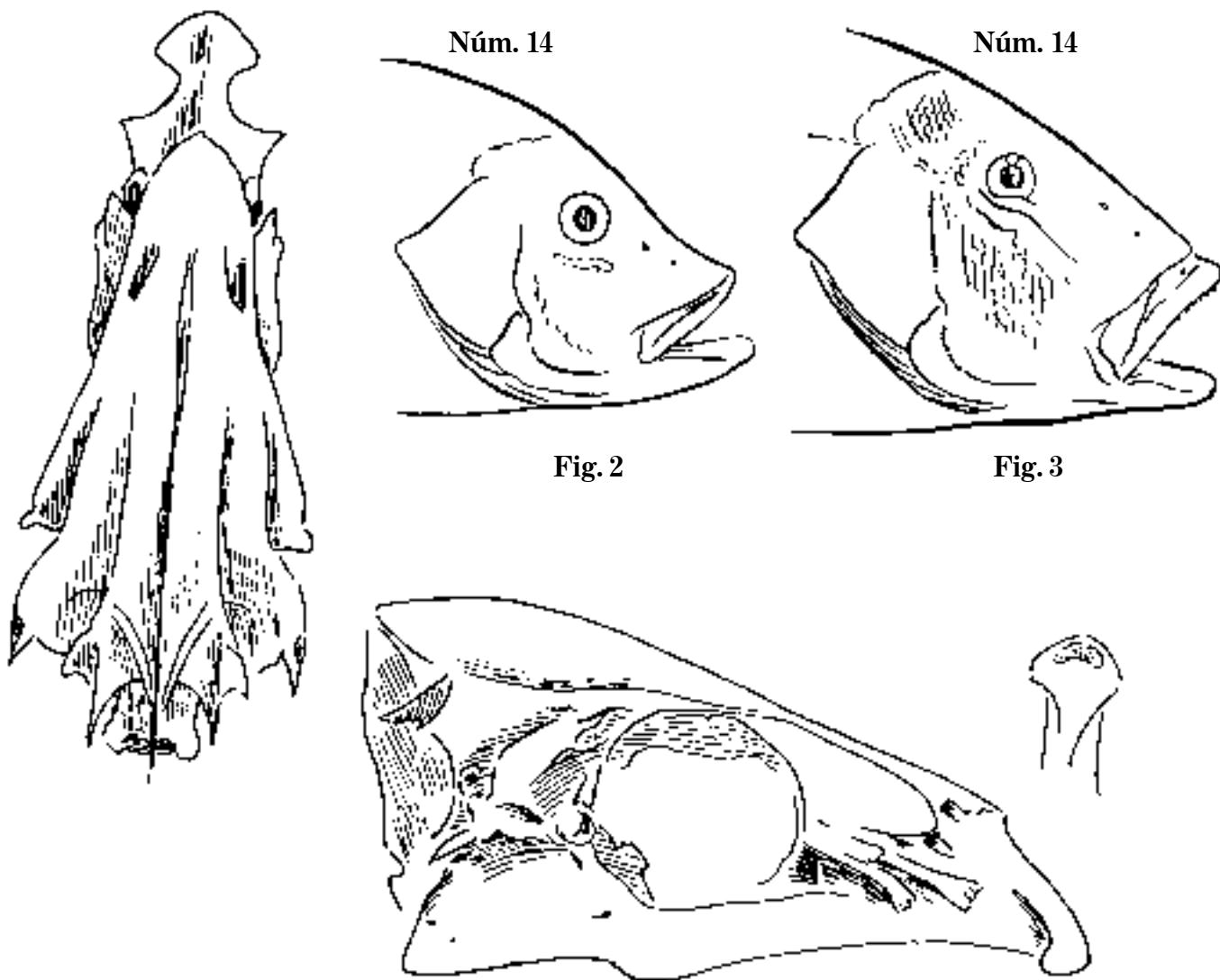
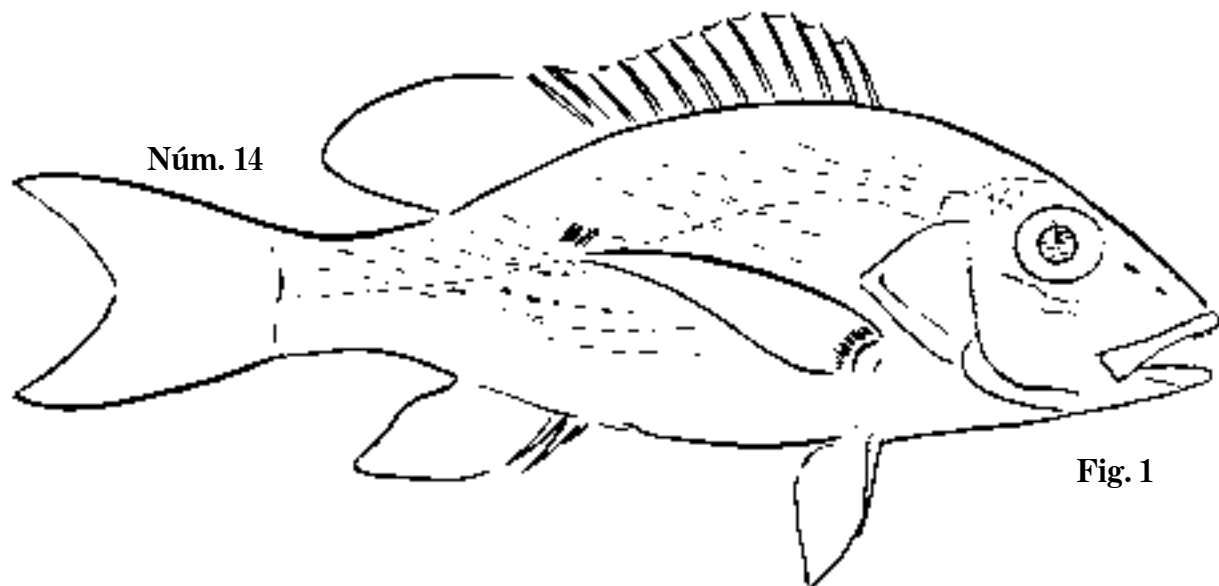
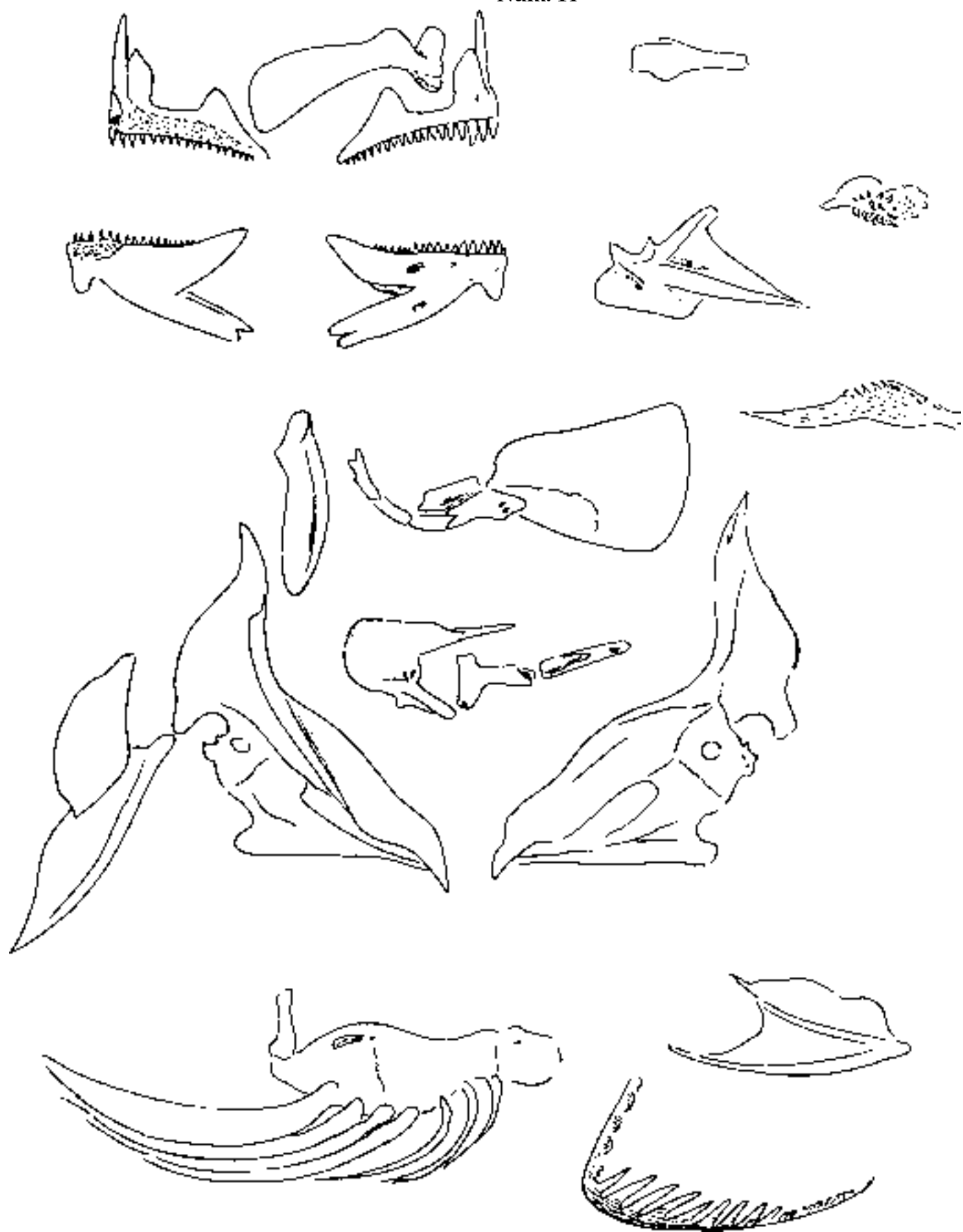


Fig. 1 *Lutjanus analis*, 1882. C. 205 mm.

Fig. 2 *L. analis*, 1870 (cabeza; *anomalus*).

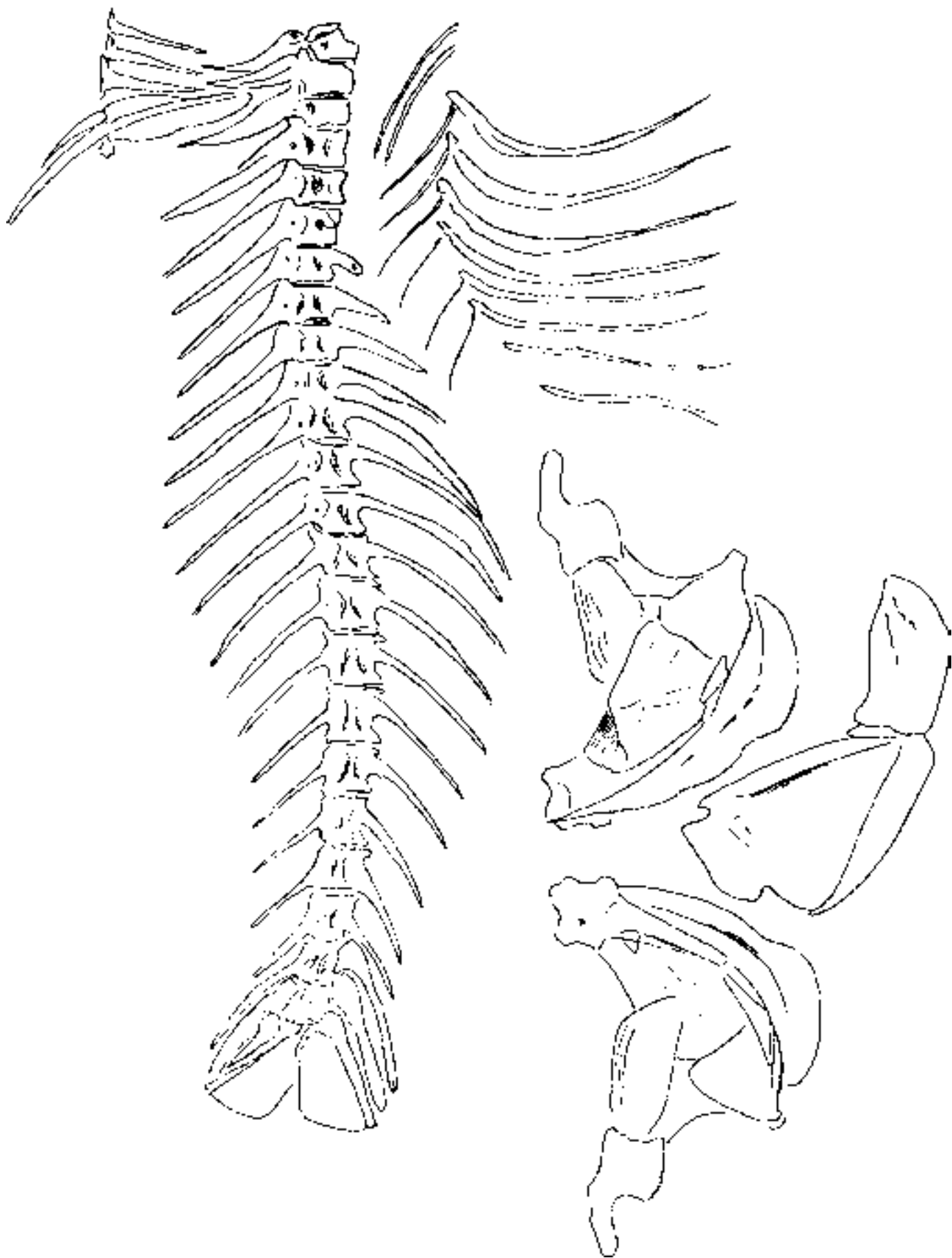
Fig. 3 *L. analis*, 1869 (cabeza). Pargo criollo.

Núm. 14



Lám. 76

Núm. 14



Lutjanus analis. Osteología; pargo criollo.

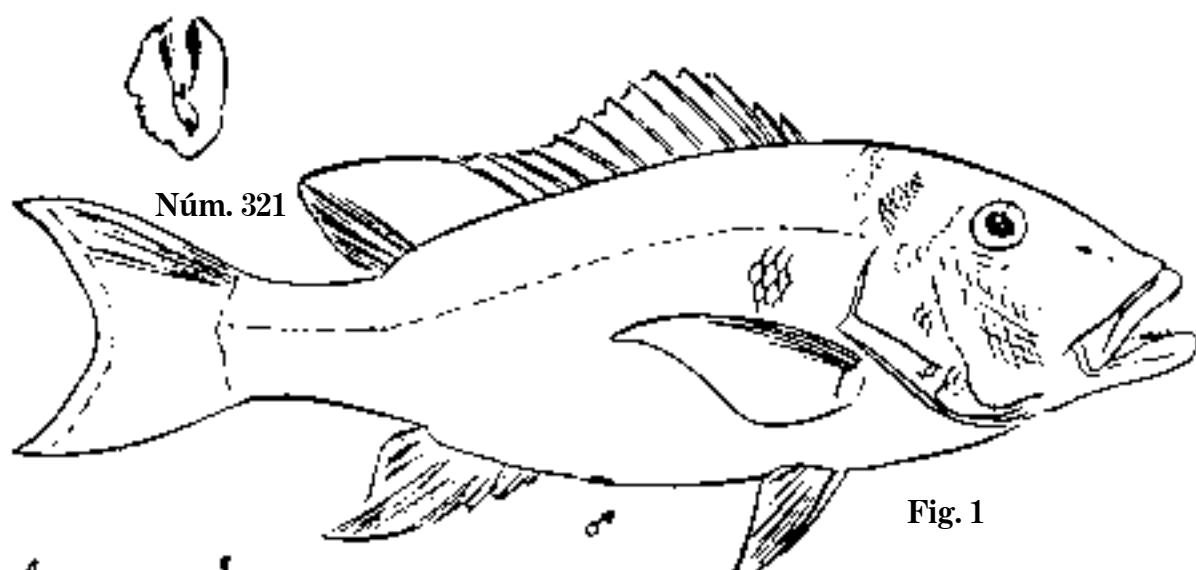


Fig. 1

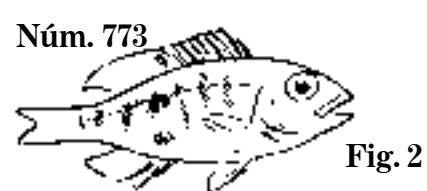
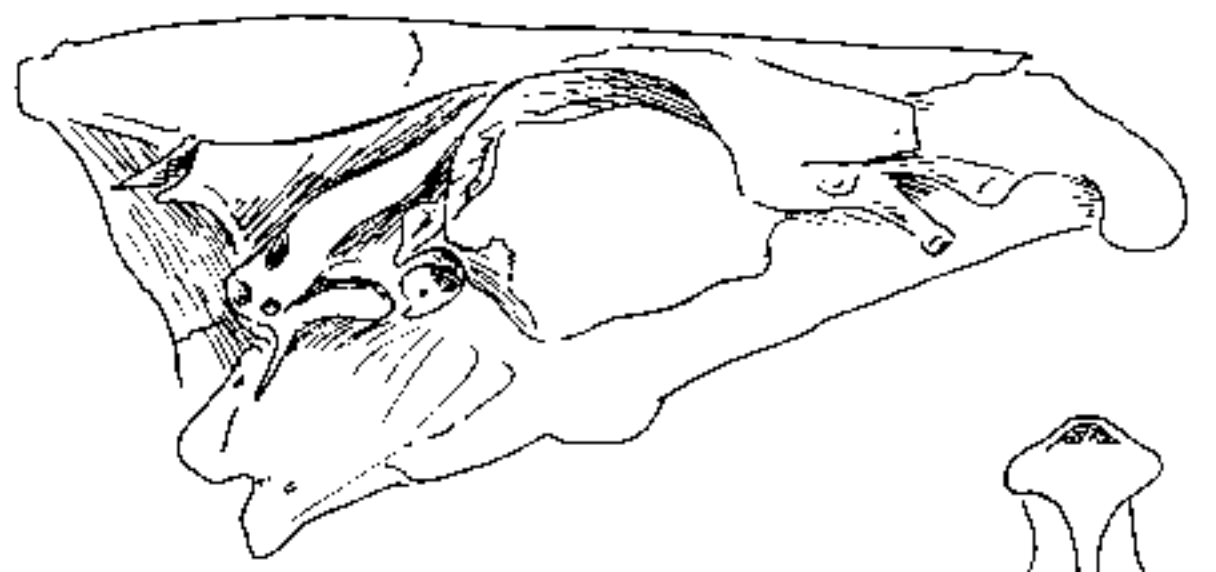


Fig. 2

Fig. 1 *Lutjanus rosaceus*, 1869. P. 800 mm; D. 10,14; A. 3,8; pargo.
Fig. 2 *Lutjanus*, 1877. C. 50 mm; D. 10,14; A. 3,8; S.N.C.

Lám. 78

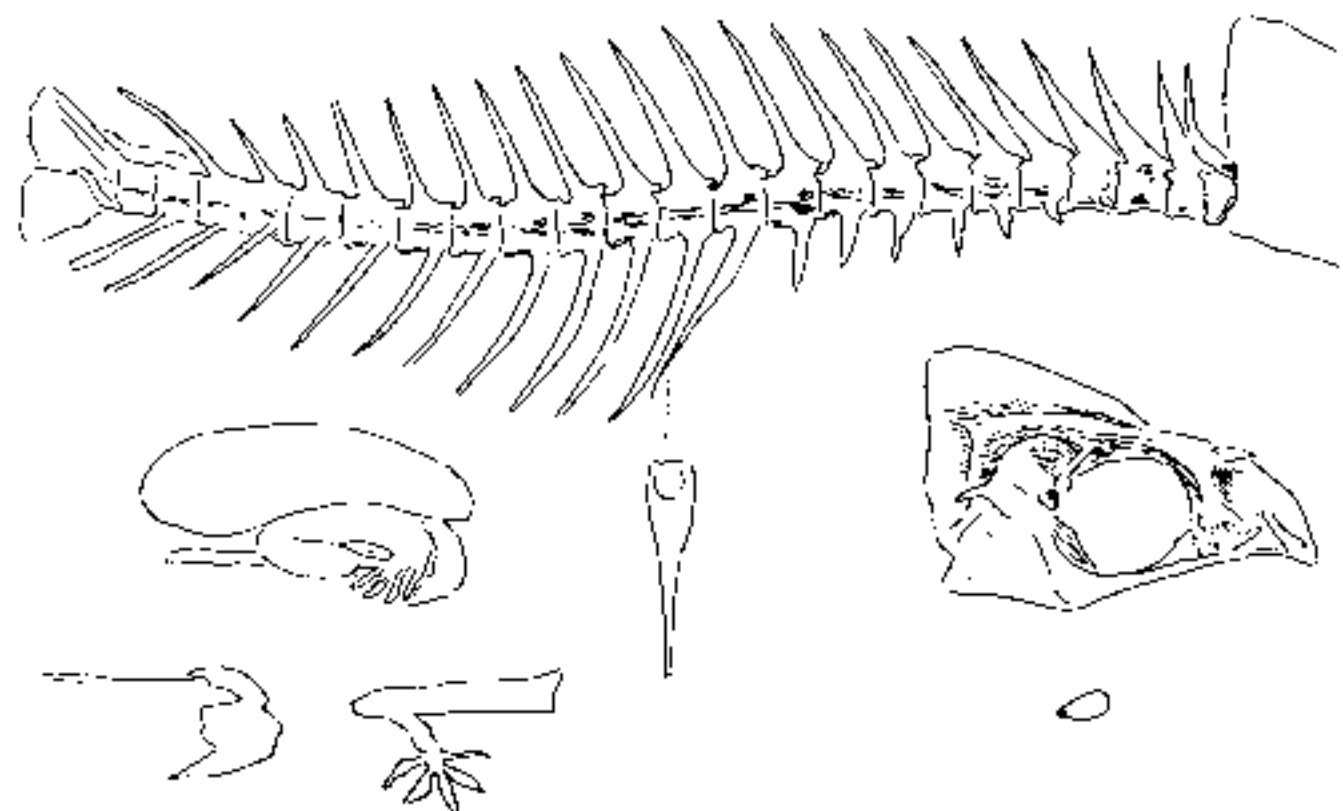
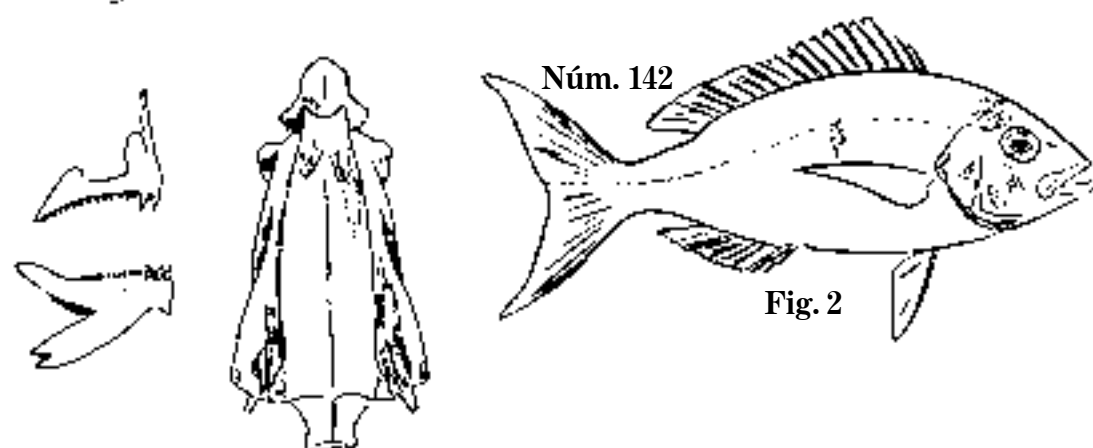
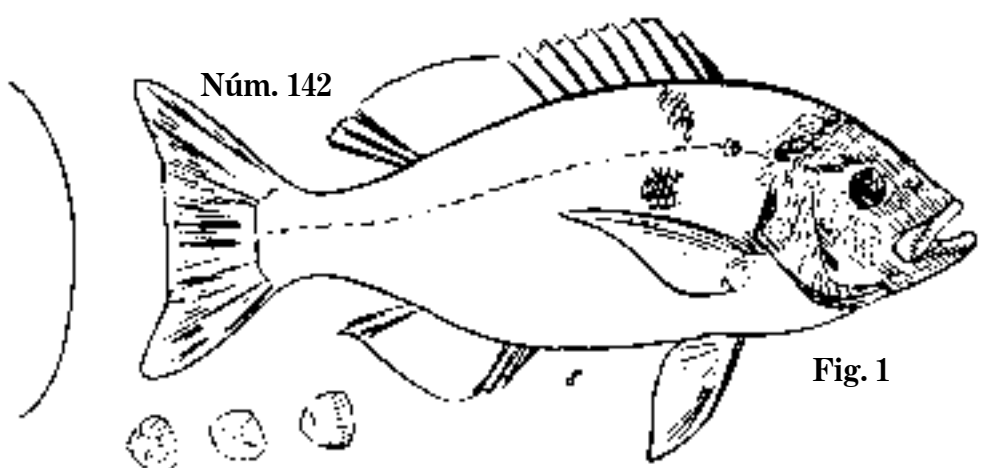
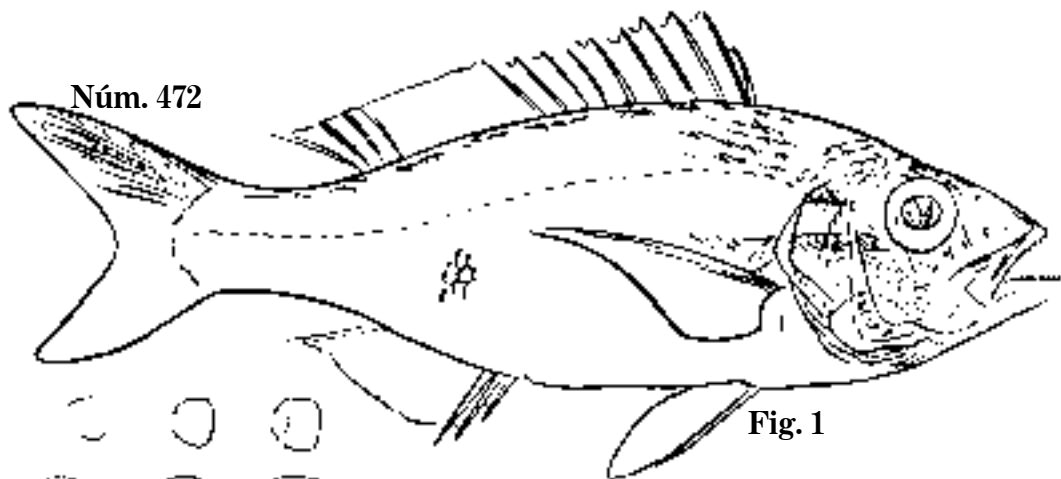
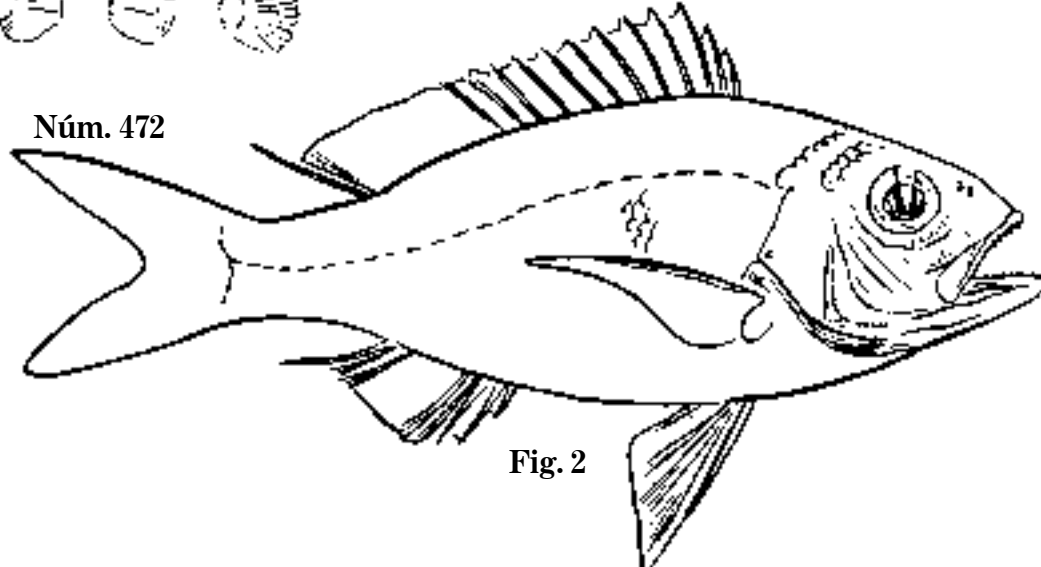


Fig. 1 *Tropidinthus Arnillo*. C. 274 mm; D. 10,10; A. 3,8.
Fig. 2 *T. Arnillo*, 1860. C. 507 mm; D. 10,10; A. 3,8; arnillo.

Núm. 472



Núm. 472



Núm. 472

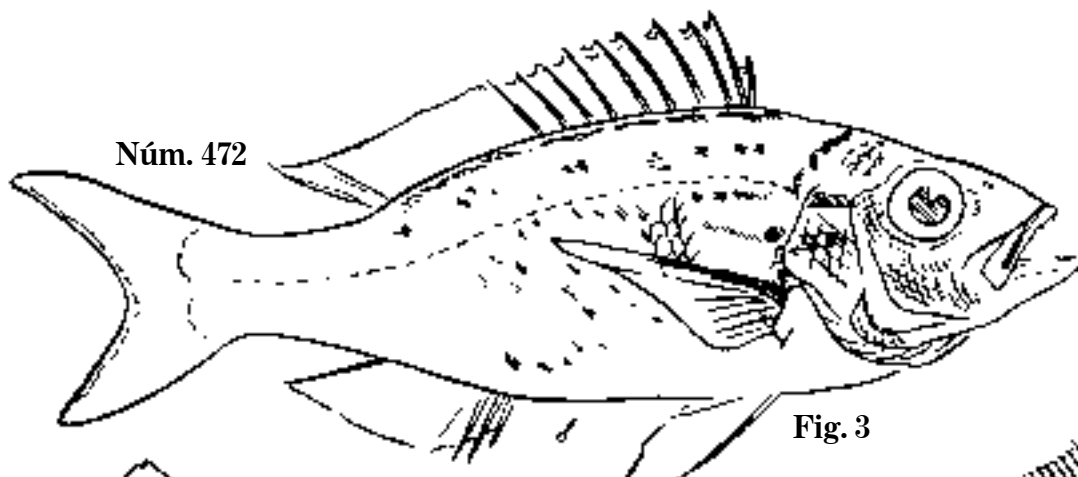


Fig. 1 *Platyinius vorax*, 1850. P. 364 mm; D. 10,11; A. 3,8.
 Fig. 2 *P. vorax*, 1869. C. 358 mm; D. 10,11; A. 3,8.
 Fig. 3 *P. vorax*, 1859. C. 369 mm; D. 10,11; A. 3,8.
 Fig. 4 *P. vorax*, 1875. P. 21 mm; D. 10,11; A. 3,7?; voraz.

Lám. 80

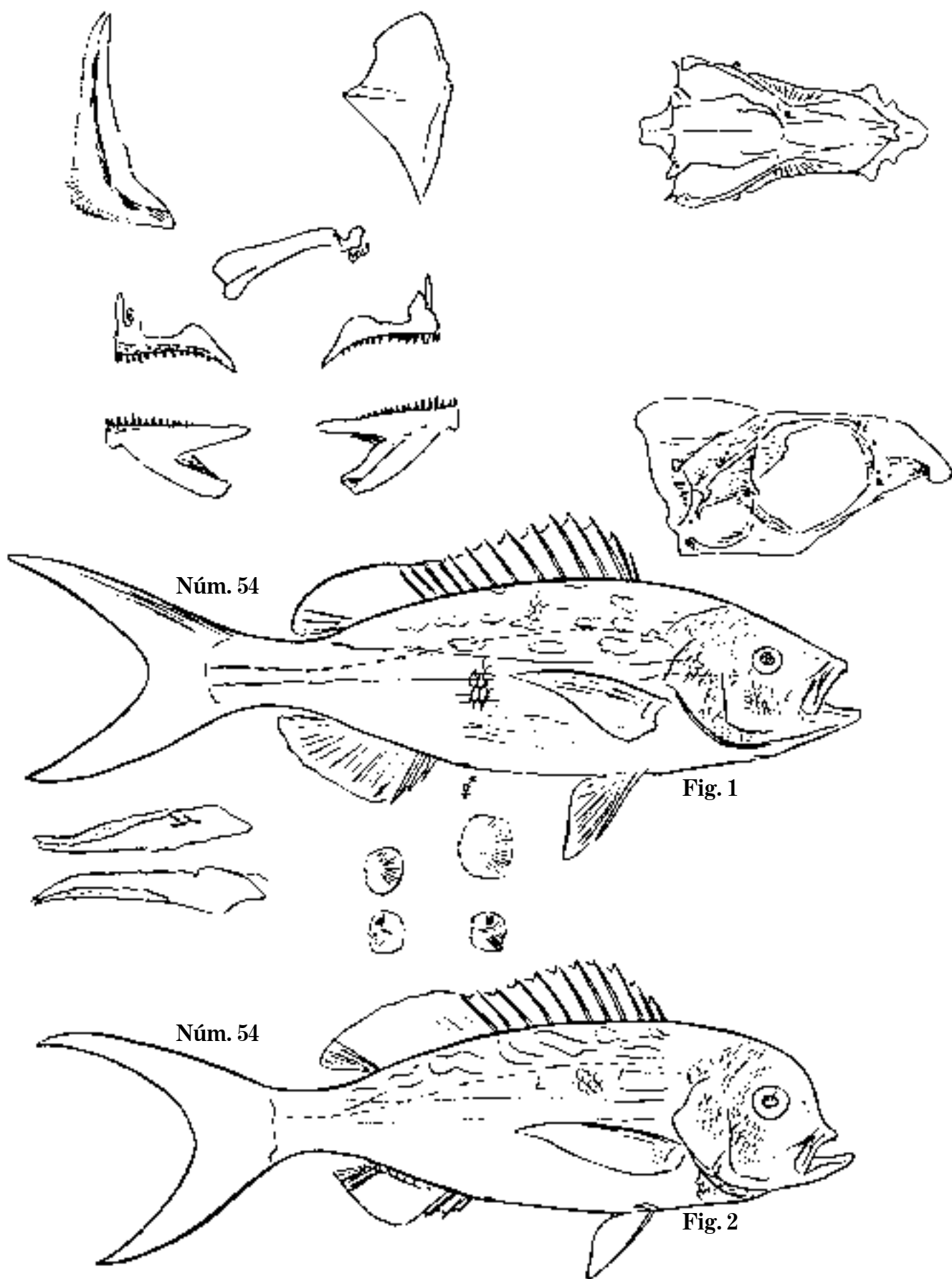
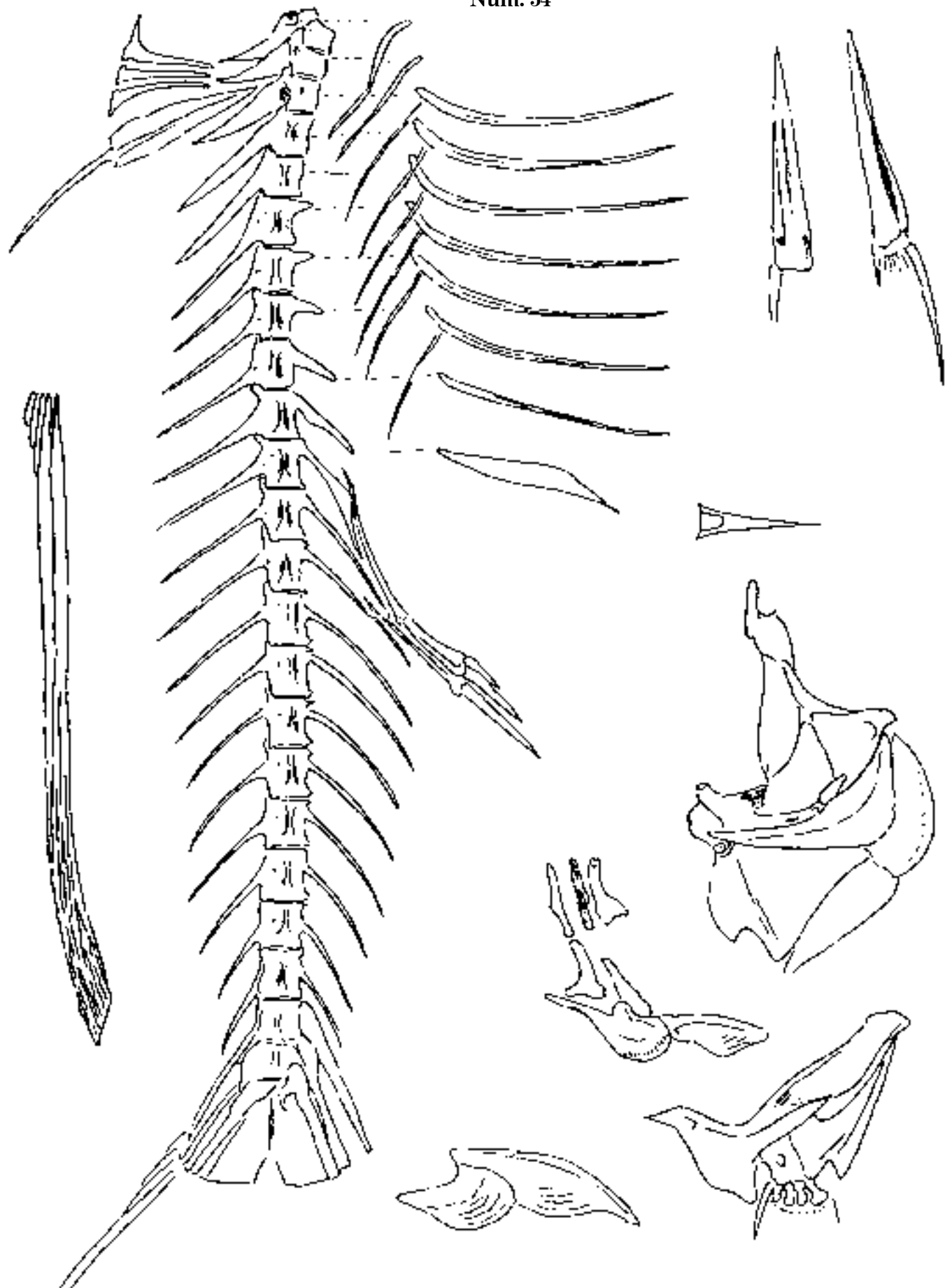


Fig. 1 *Ocyurus chrysurus*, 1861. P. 540 mm; D. 10,13; A. 3,9.

Fig. 2 *O. chrysurus* (monstruoso), 1871. C. 389 mm; D. 10,13; A. 3,9; rabirubia.

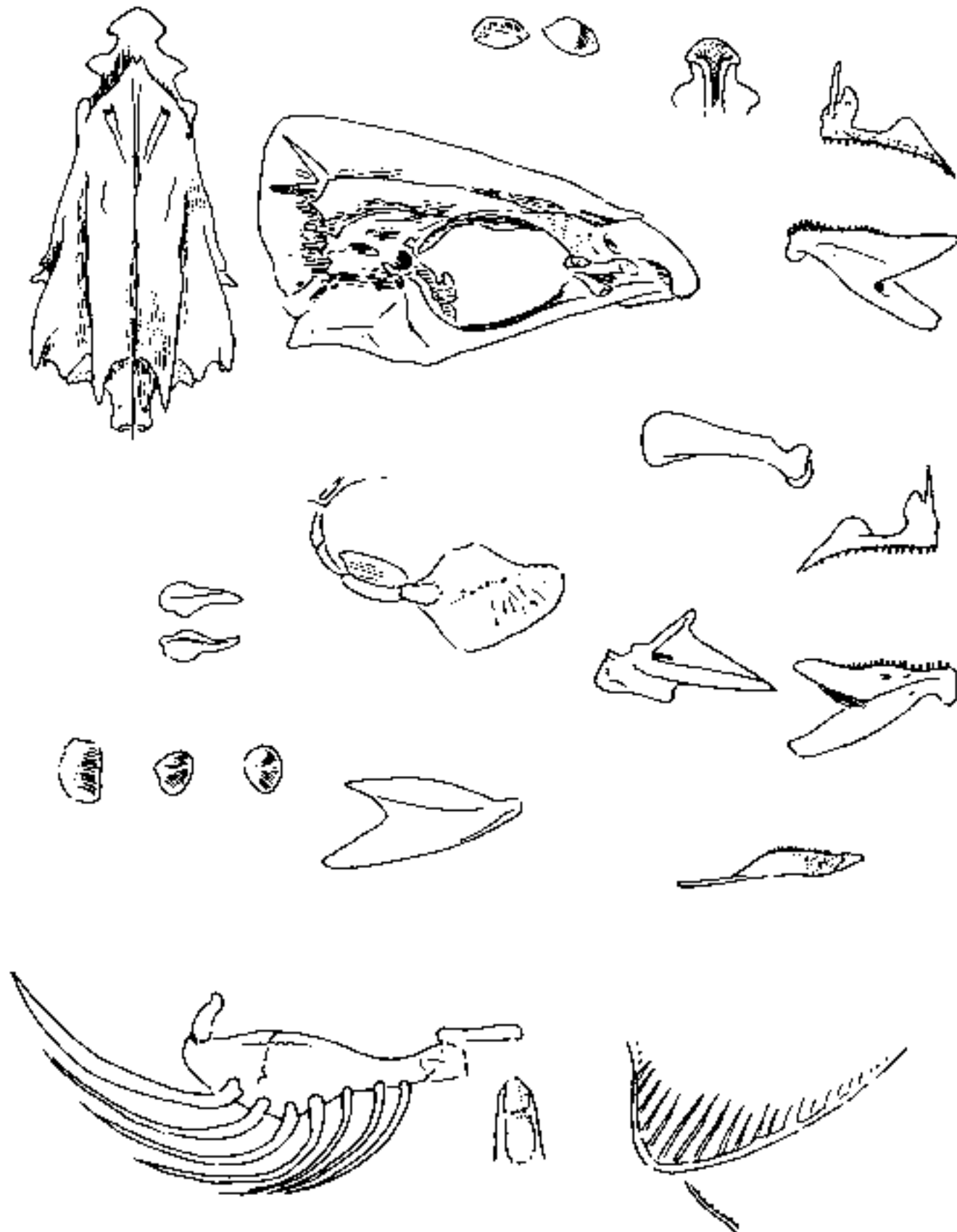
Núm. 54



Ocyurus chrysurus. Osteología; rabirrubia.

Lám. 82

Núm. 54



Ocyurus chrysurus. Osteología; rabirubia.

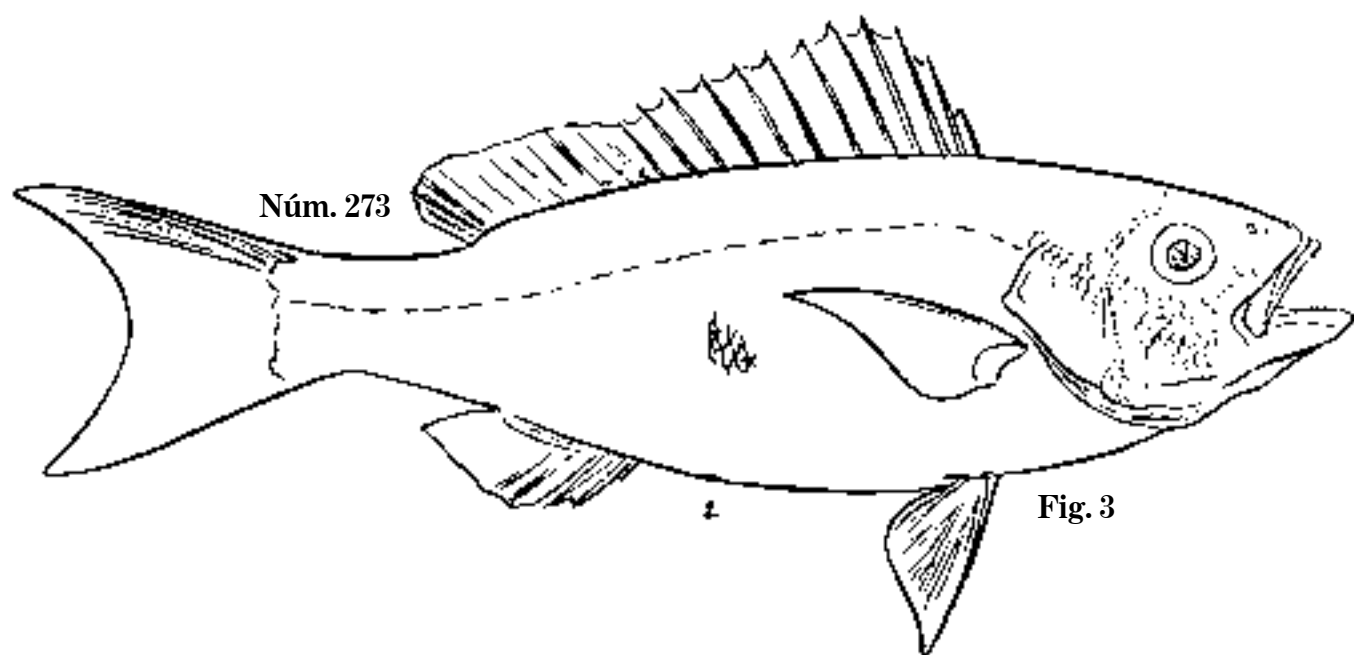
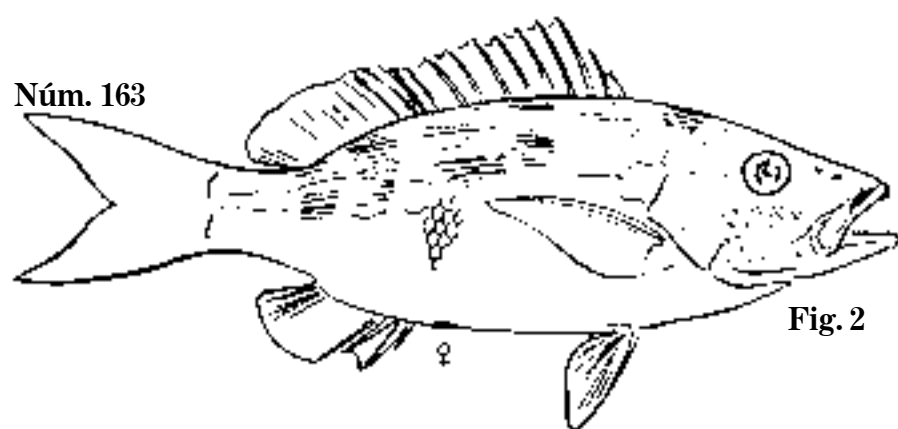
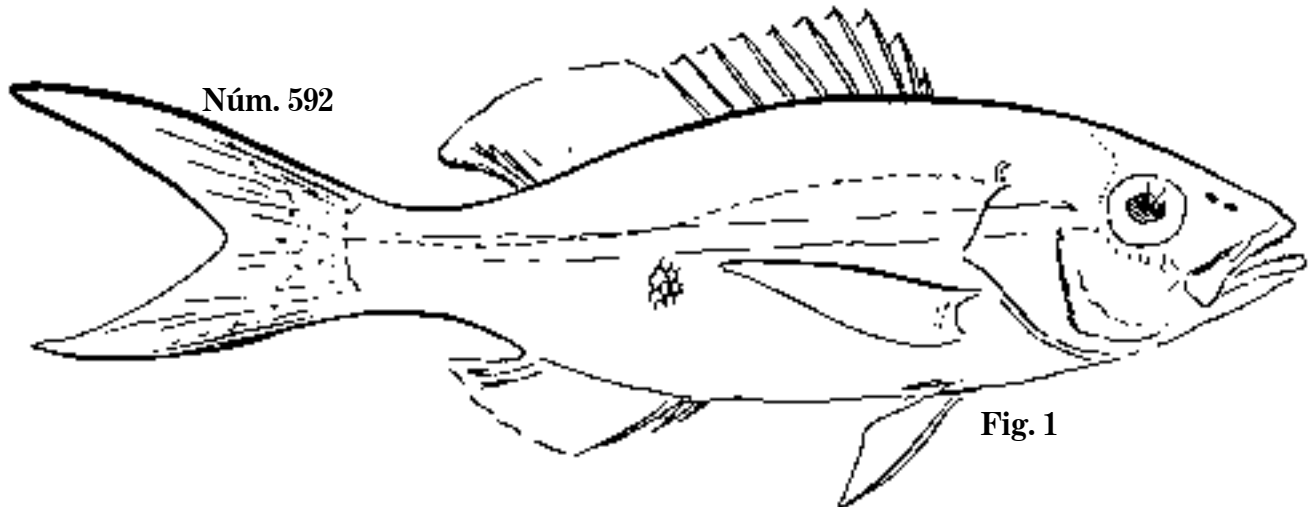


Fig. 1 *Ocyurus aurovittatus*, 1860. C. 209 mm; D. 10,13; A. 3,8.

Fig. 2 *O. lutjanoides*, 1869. C. 286 mm; D. 10,14; A. 3,8; S.N.C.

Fig. 3 *Rhomboplites elegans*, 1870. C. 433 mm; D. 12,11; A. 3,8; cagón.

Lám. 84

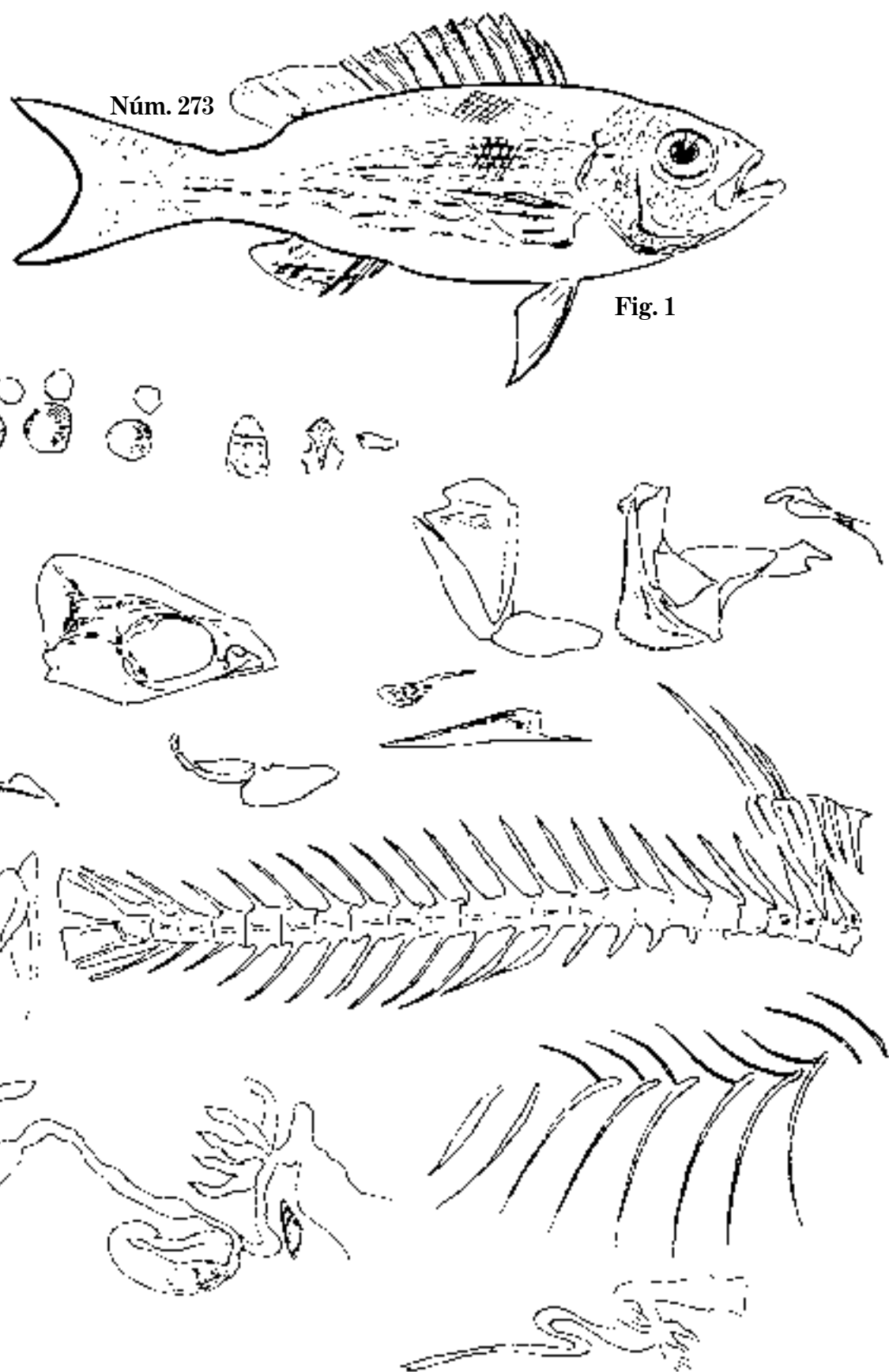


Fig. 1 *Rhomboplites elegans*, 1859. C. 232 mm; D. 12,11; A. 3,8; cagón.

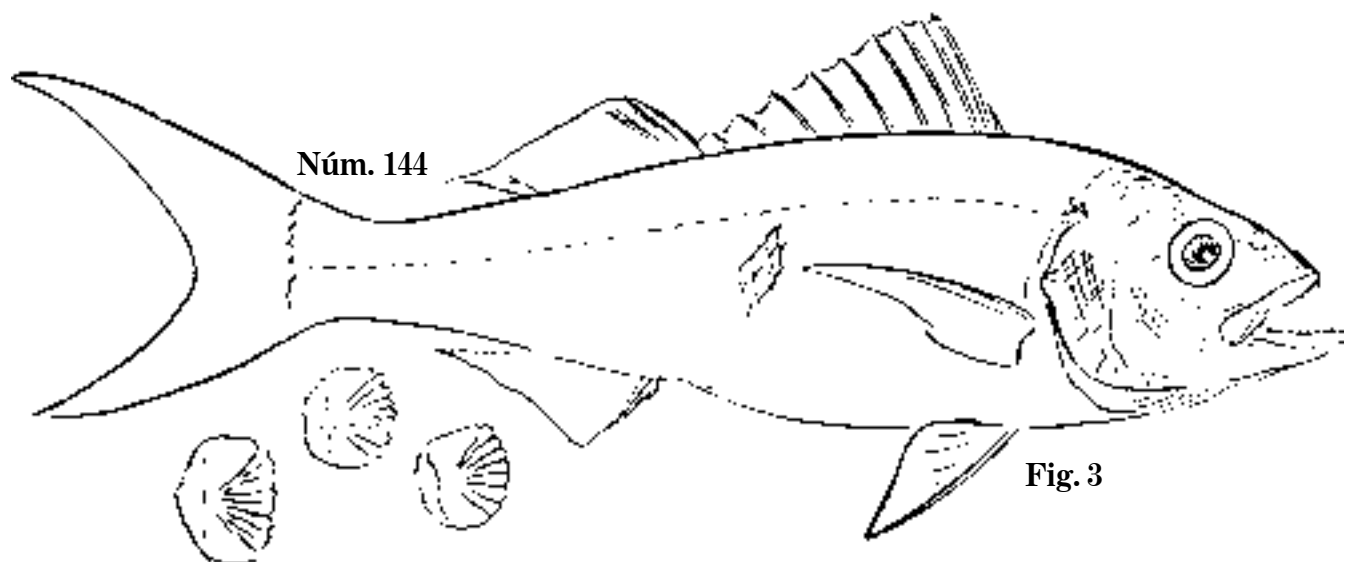
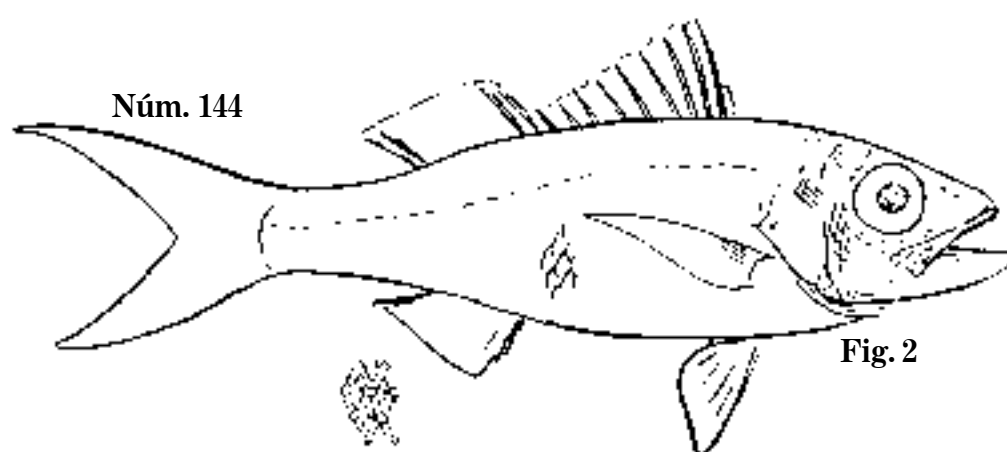
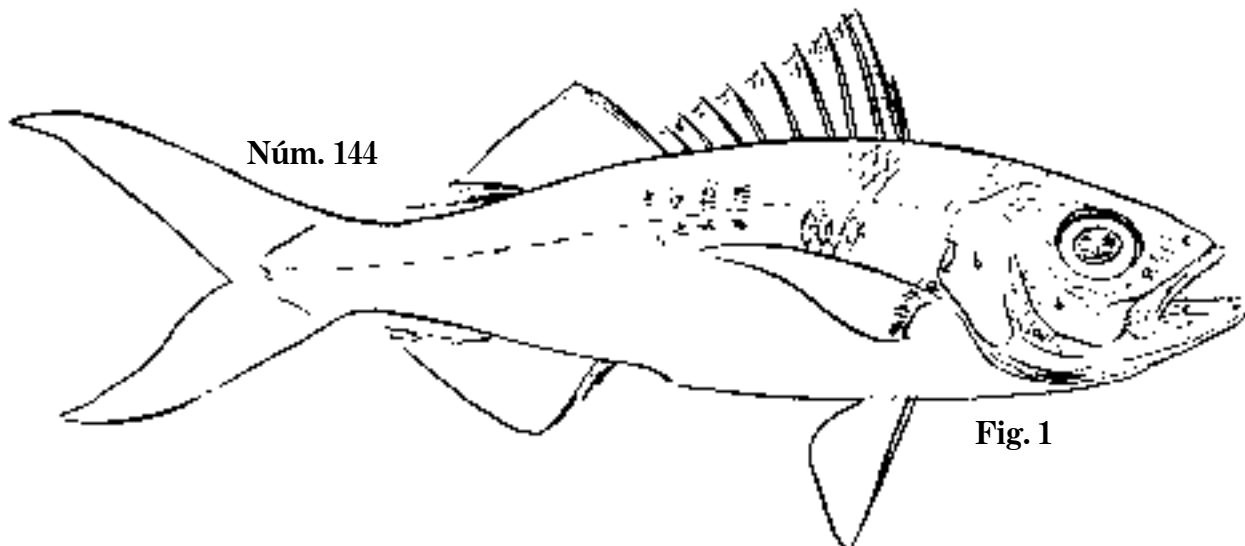


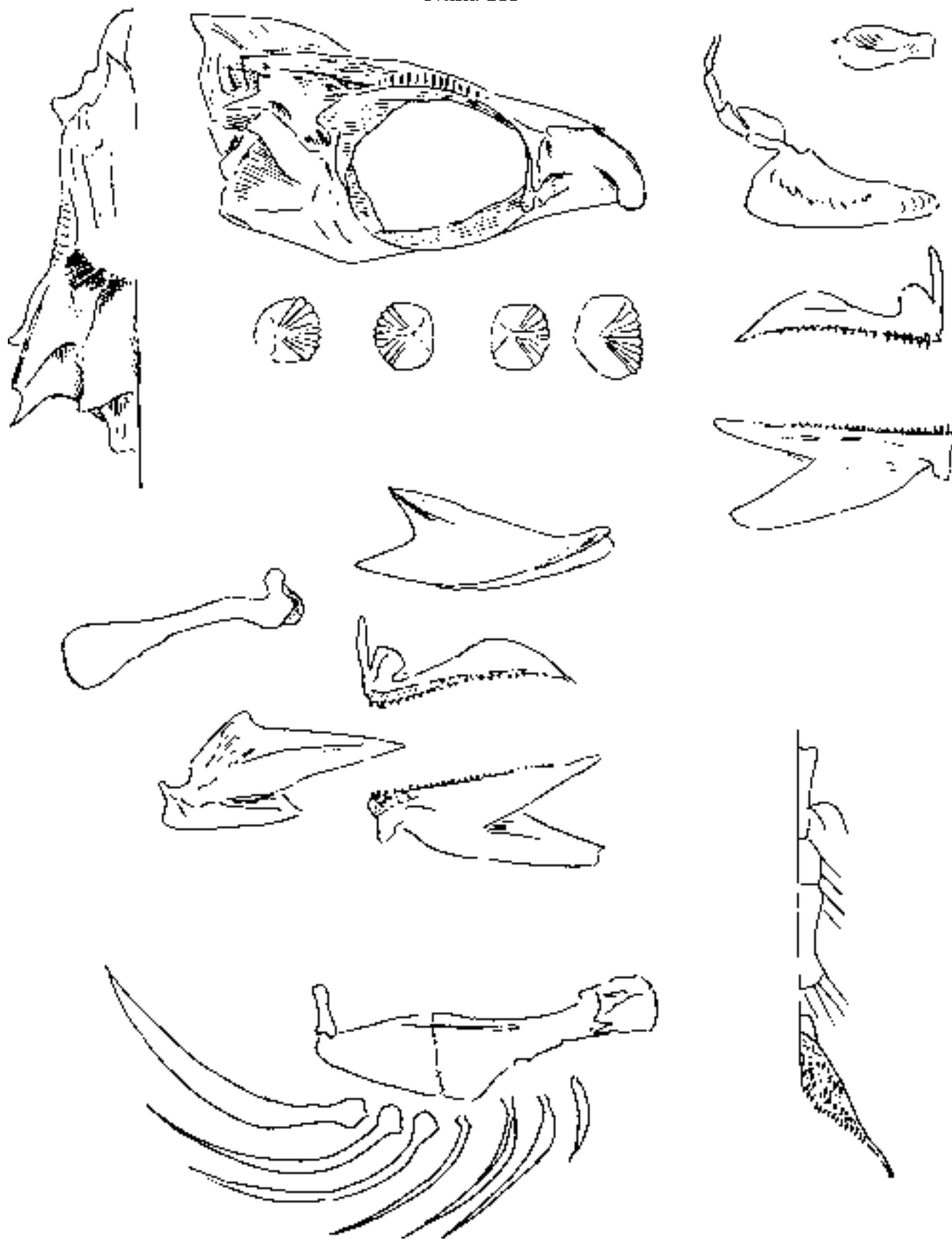
Fig. 1 *Etelis oculatus*. C. 436 mm; D. 10,14; A. 3,8.

Fig. 2 *E. oculatus*, 1874. C. 349 mm; D. 10,11; A. 3,8.

Fig. 3 *E. oculatus*, 1860. C. 750 mm; D. 10,11; A. 3,8; cachucho.

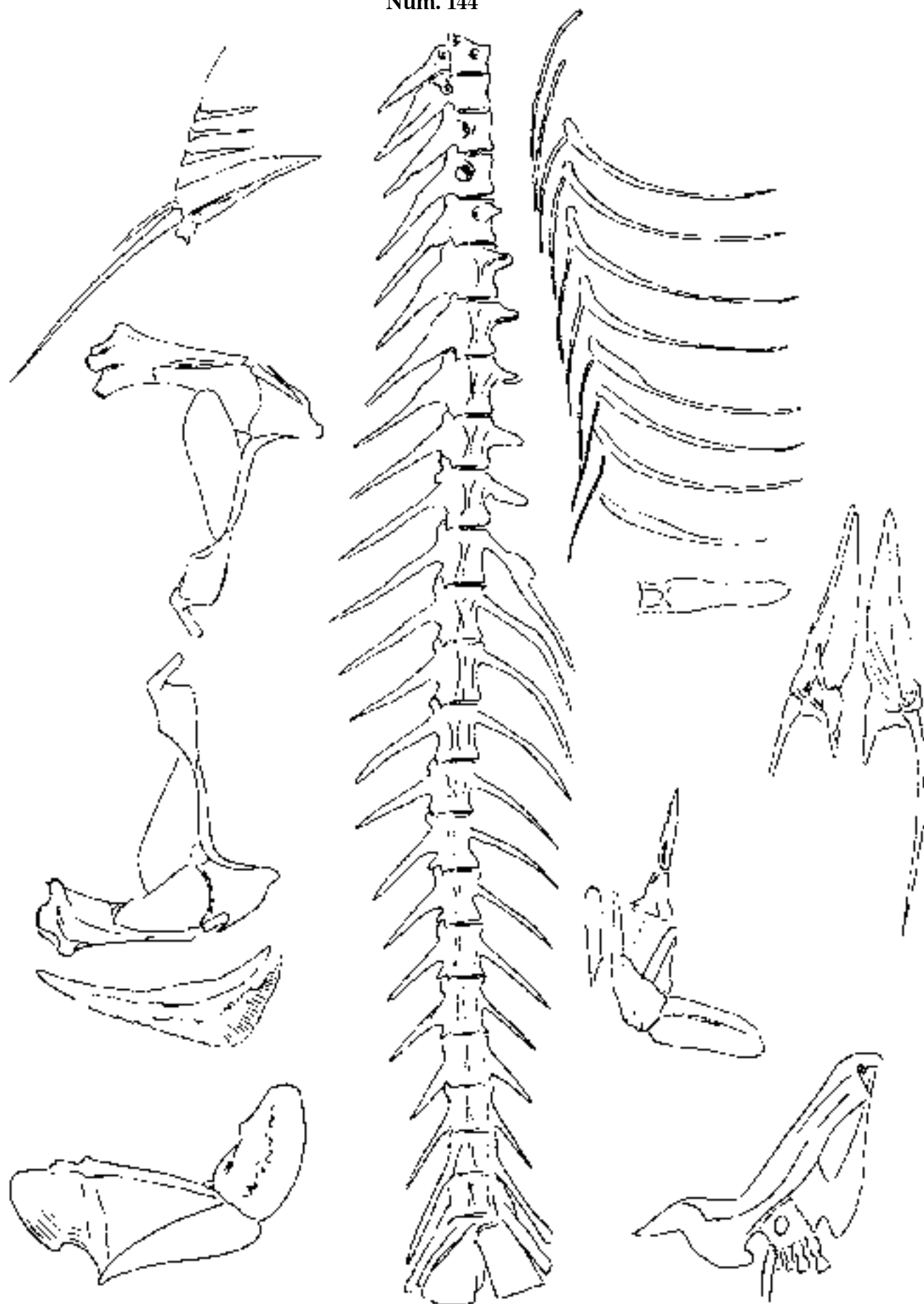
Lám. 86

Núm. 144



Etelis oculatus. Osteología; cachucho.

Núm. 144



Etelis oculatus. Osteología; cachucho.

Lám. 88

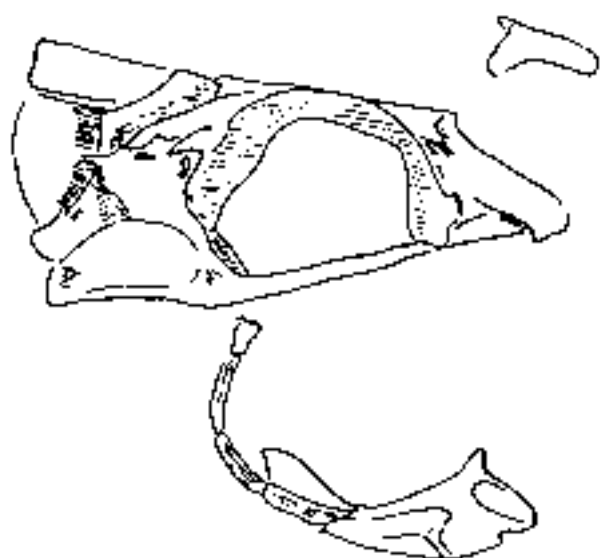
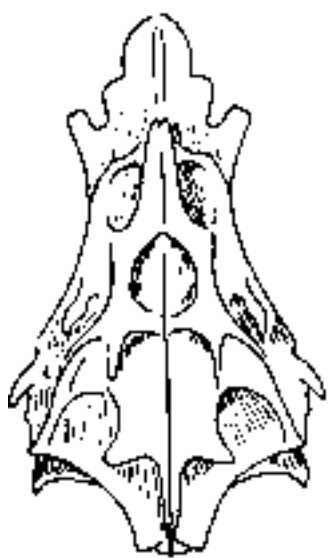
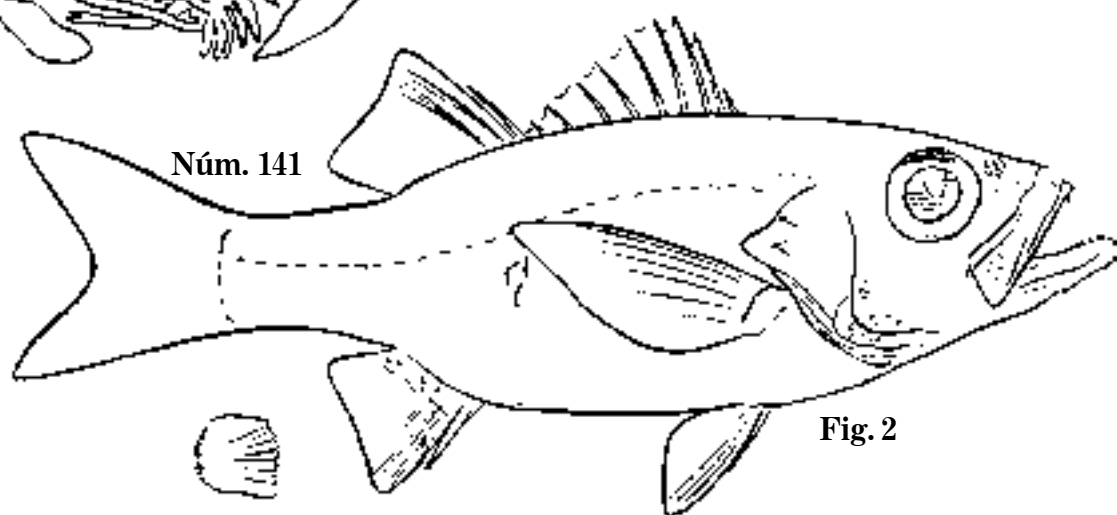
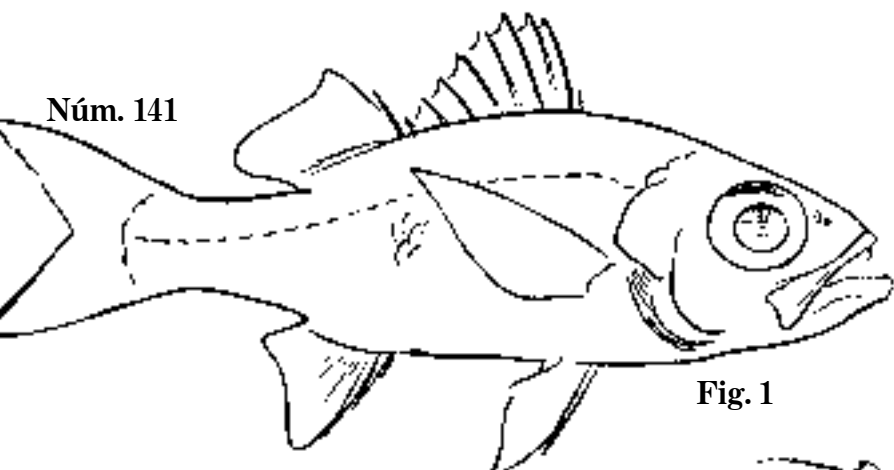
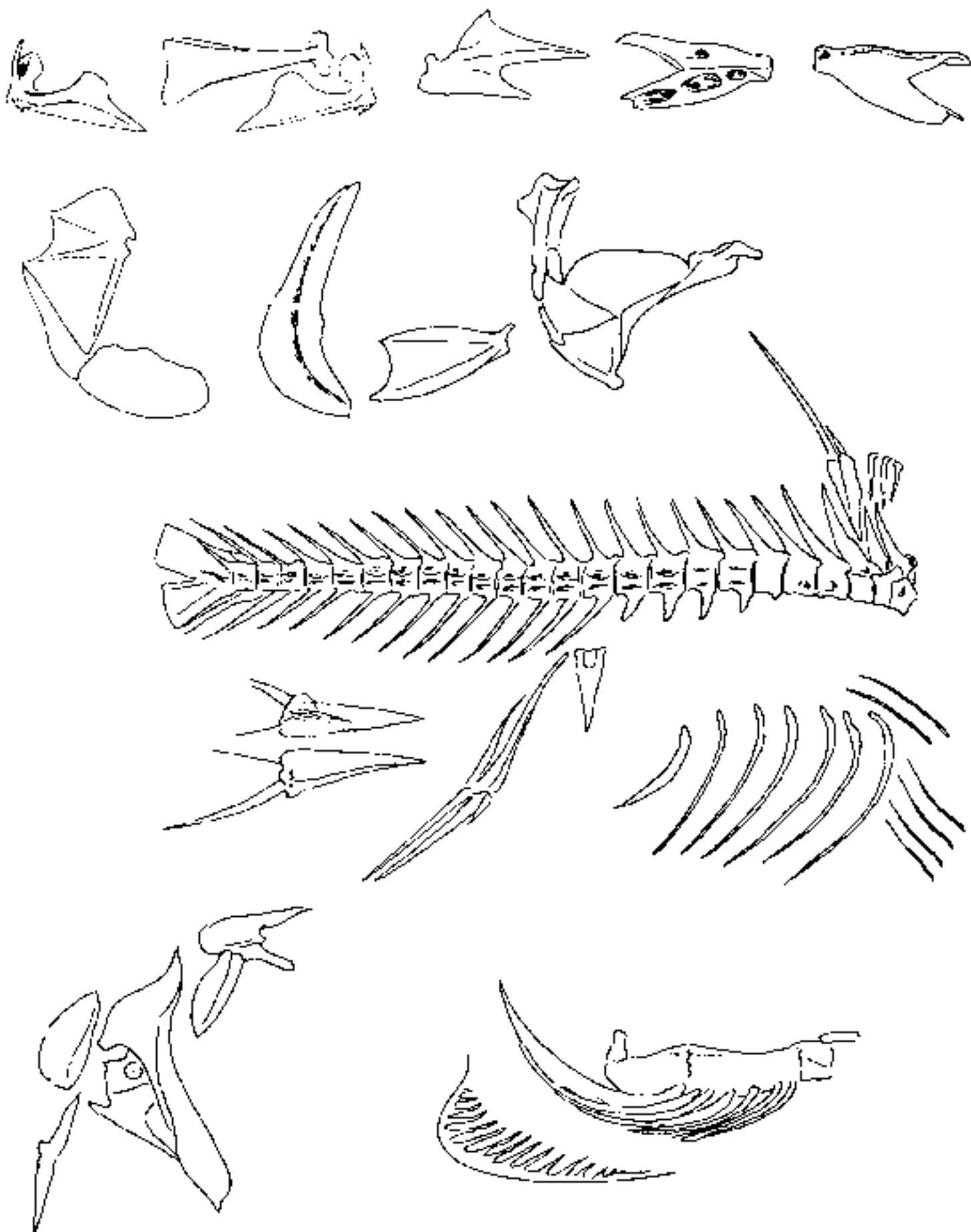


Fig. 1 *Verilus sordidus*, 1850. C. 293 mm; D. 10,11; A. 3,7.

Fig. 2 *V. sordidus*, 1868. C. 473 mm; D. 9+1,10; A. 3,7; escolar chino.

Núm. 141



Verilus sordidus. Osteología; escolar chino.

Lám. 90

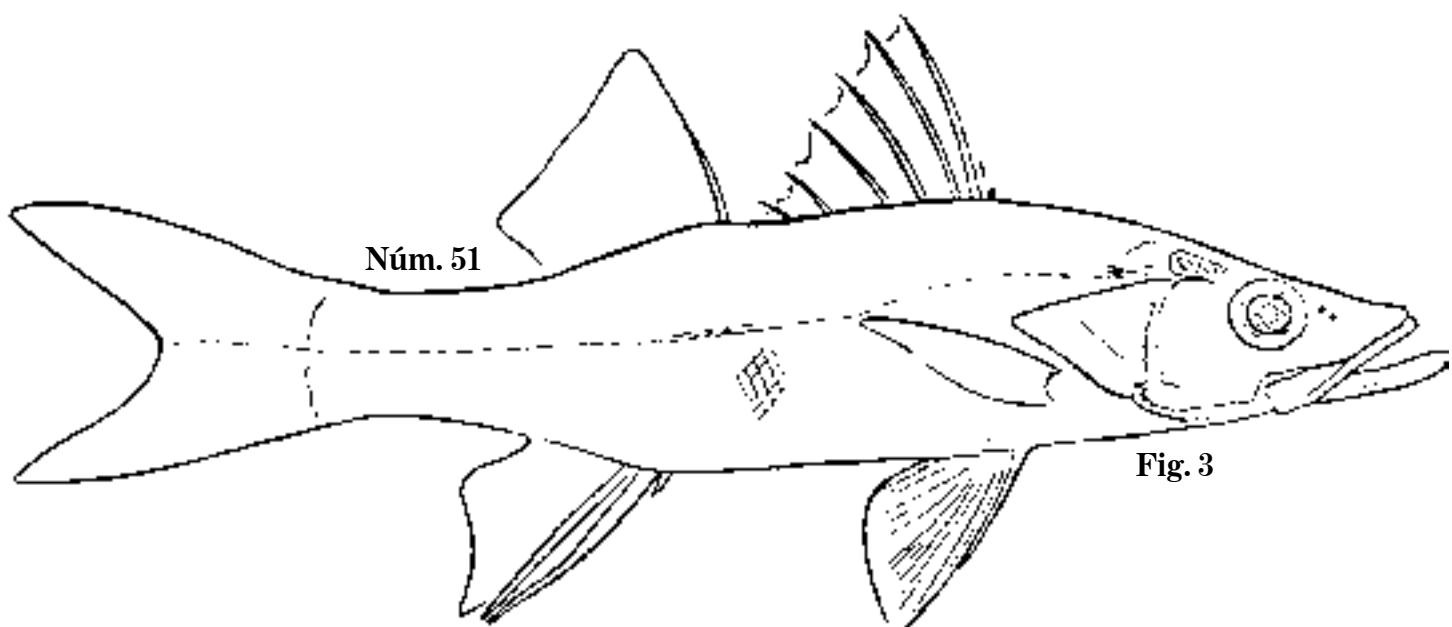
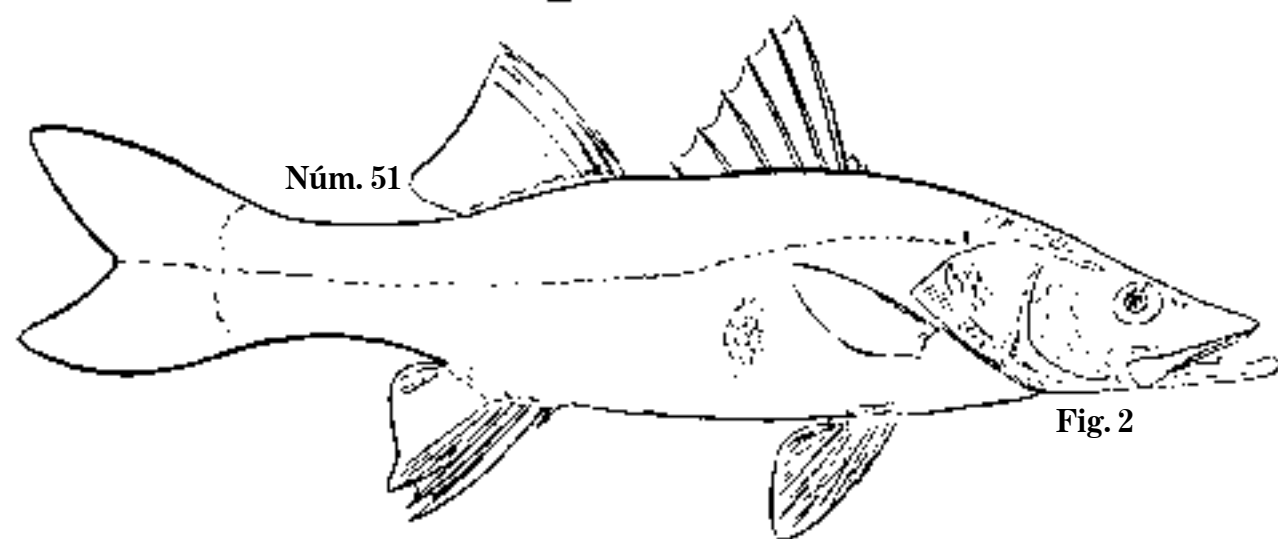
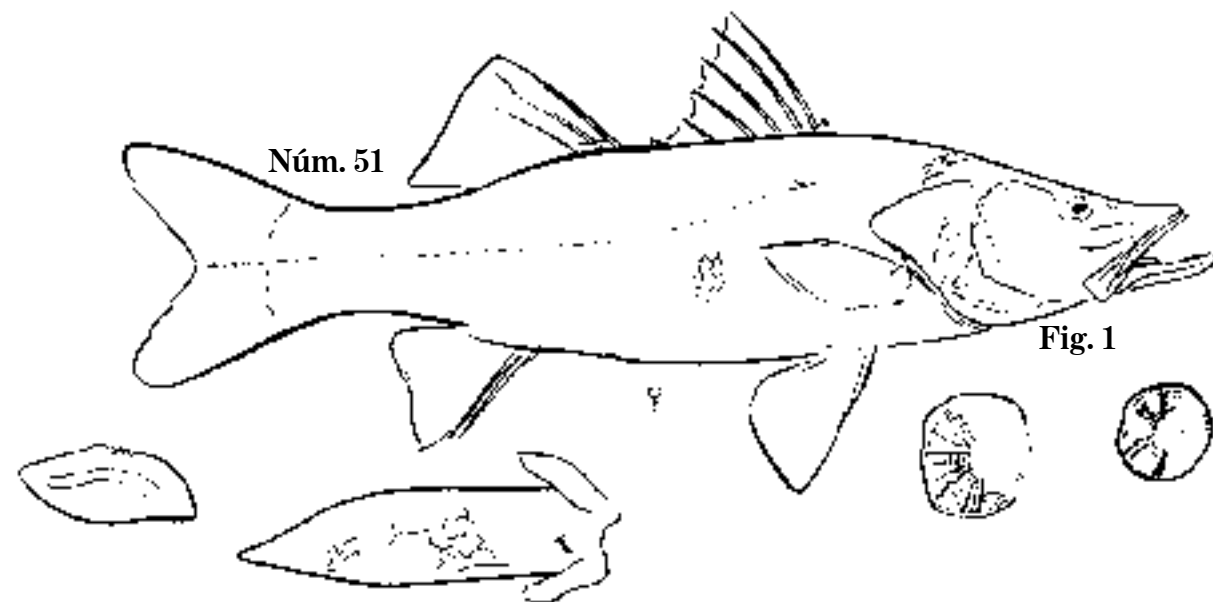
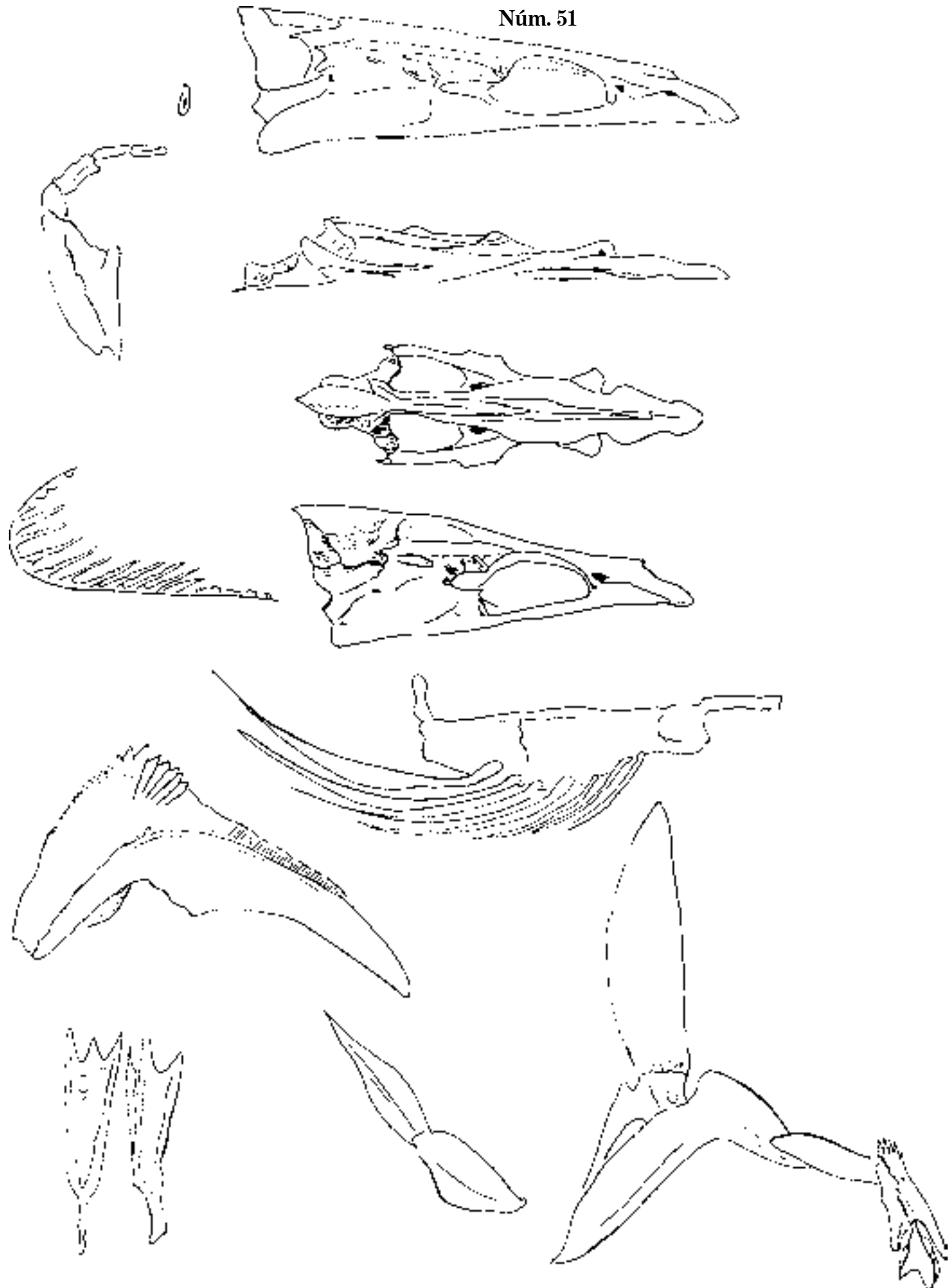


Fig. 1 *Centropomus appendiculatus*, 1858. C. 905 mm; D. 7,1,10; A. 3,6.

Fig. 2 *C. appendiculatus*, 1869. C. 413 mm; D. 8,1,10; A. 3,6.

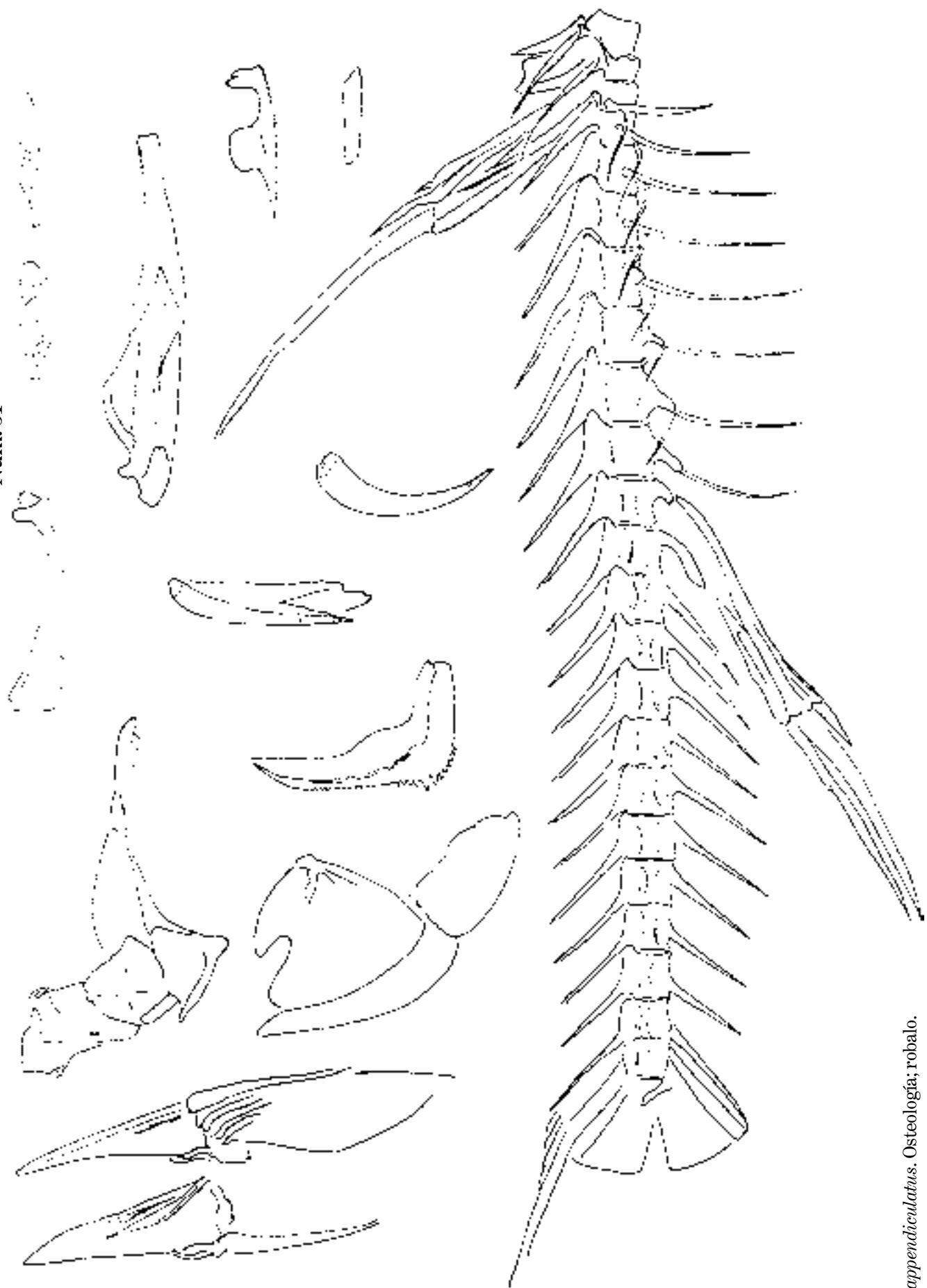
Fig. 3 *C. appendiculatus*, 1870. C. 236 mm; D. 8,1,10; A. 3,6; robalo.

Núm. 51



Centropomus appendiculatus. Osteología; robalo.

Núm. 51



Centropristes appendiculatus. Osteología; robalo.

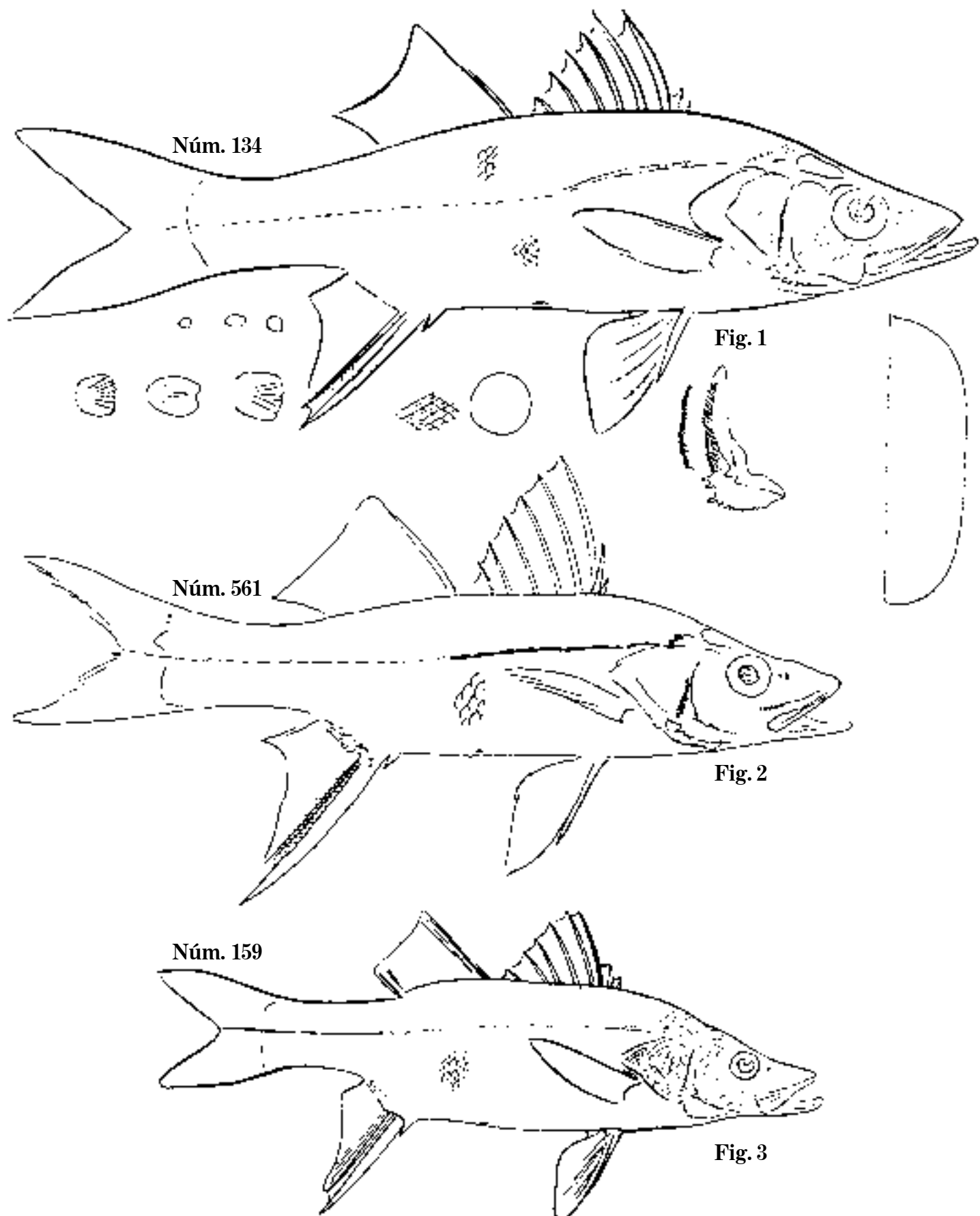


Fig. 1 *Centropomus parallelus*, 1859. C. 240 mm; D. 8,1,10; A. 3,6.

Fig. 2 *C. ensiferus*, 1857. C. 208 mm; D. 8,1,10; A. 3,6.

Fig. 3 *Centropomus*, 1873. C. 278 mm; D. 8,1,10; A. 3,6; robalo.

Lám. 94

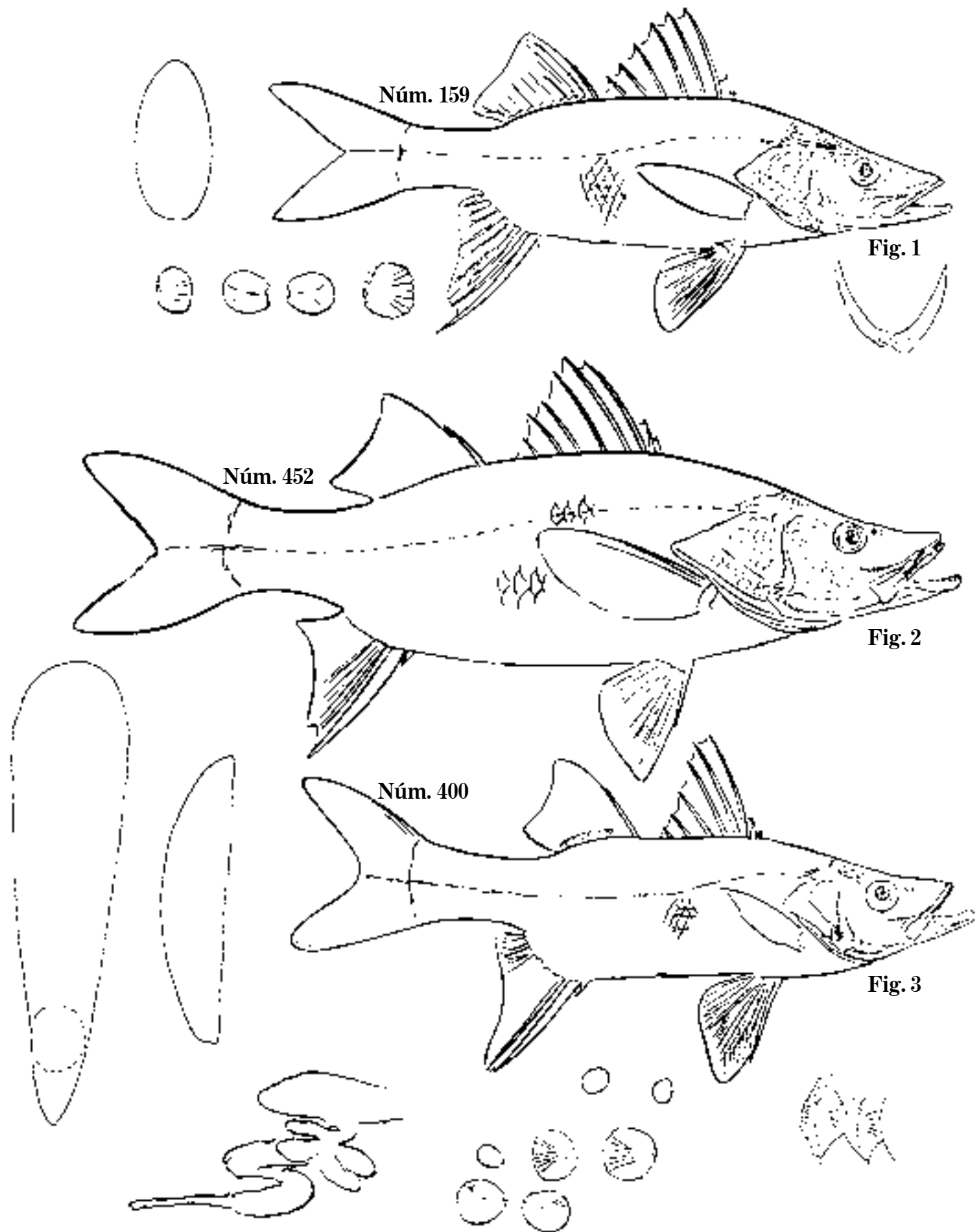


Fig. 1 *Centropomus*, 1869. C. 311 mm; D. 8,1,10; A. 3,6.

Fig. 2 *C. macrochirius*, 1862. C. 394 mm; D. 8,1,10; A. 3,6.

Fig. 3 *C. pectinatus*, 1857. C. 309 mm; D. 8,10; A. 3,7; robalo.

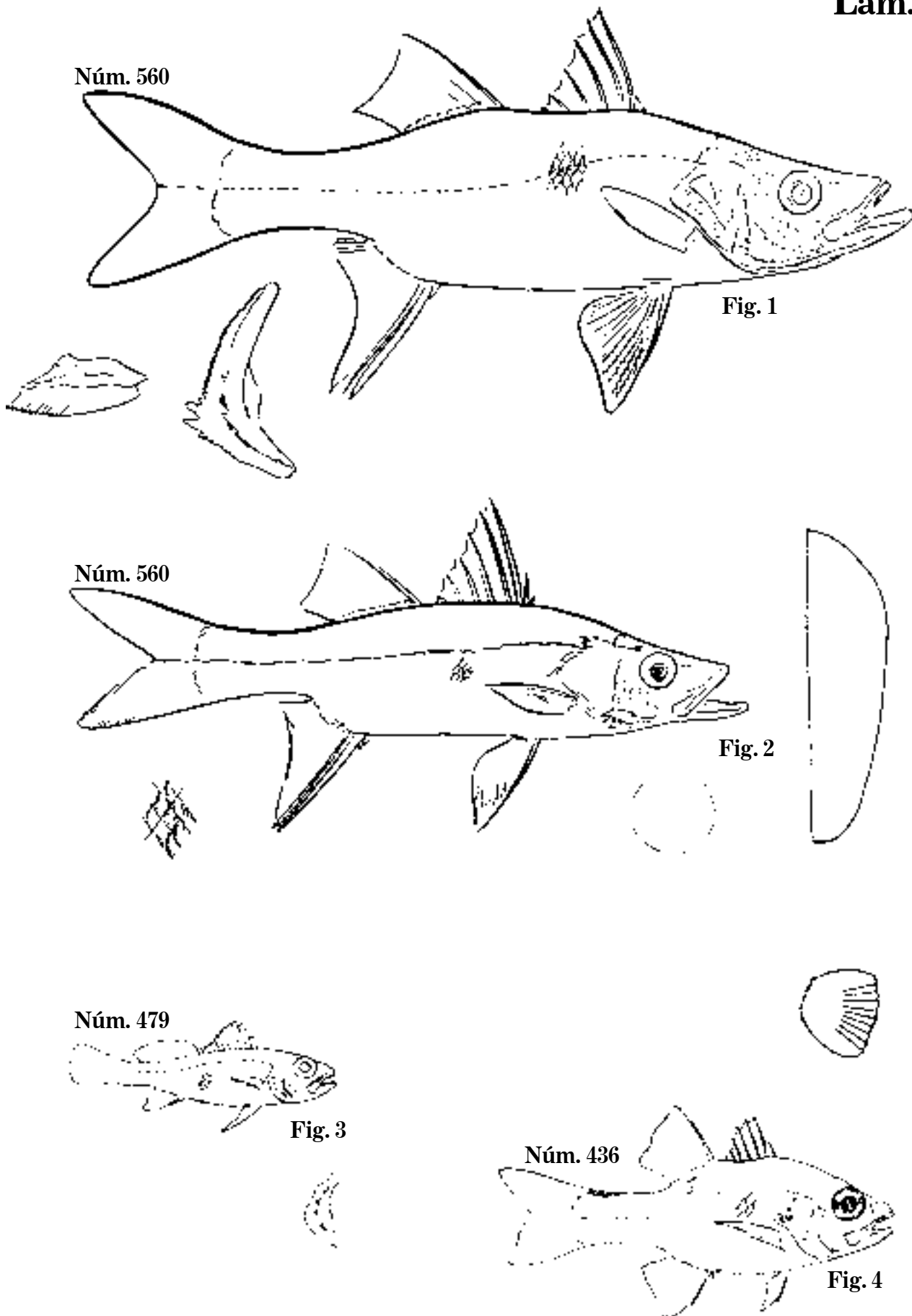


Fig. 1 *Centropomus pedimacula*, 1871. C. 383 mm; D. 8,1,10; A. 3,7.
 Fig. 2 *C. pedimacula*, 1857. C. 260 mm; D. 8,1,10; A. 3,7; robalo.
 Fig. 3 *Amiichthys diapterus*. C. 62 mm; D. 12?,1,22?; A. 3,8.
 Fig. 4 *Monoprion maculatus*. C. 90 mm; D. 7,1,8; A. 2,8; S.N.C.

Lám. 96

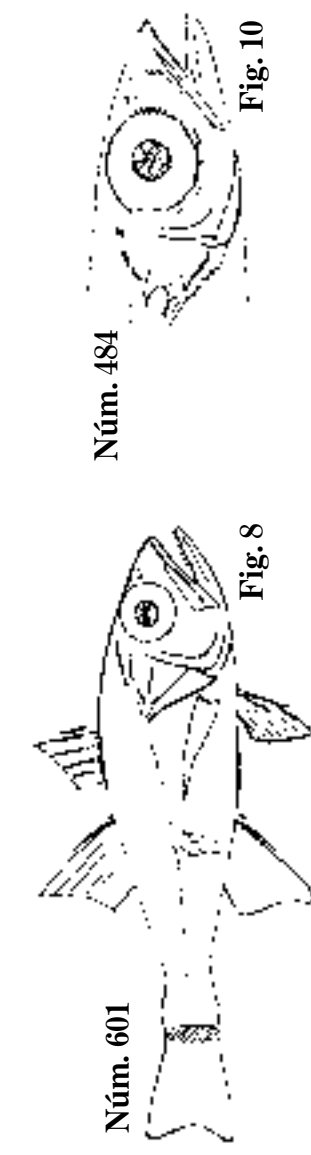
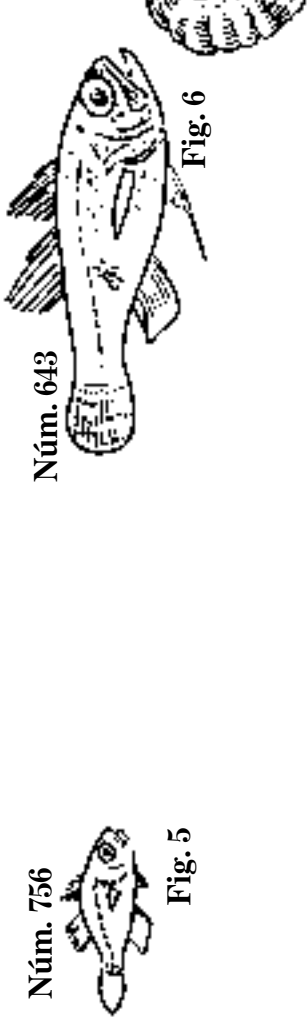
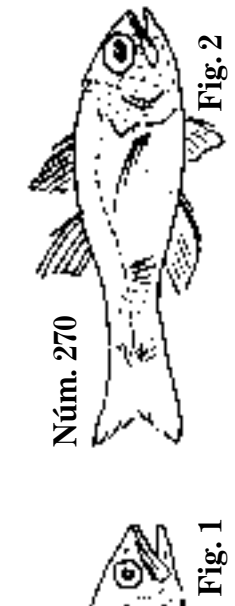
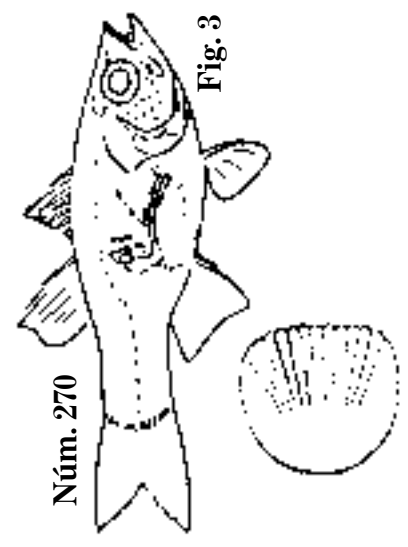
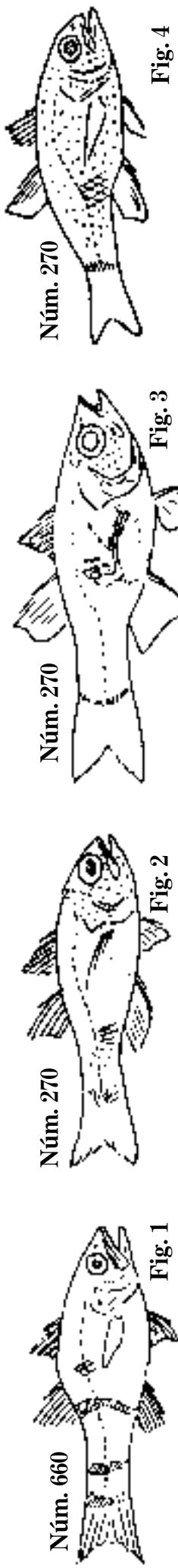


Fig. 1 *Monopriion binotatus*. C. 57 mm; D. 6,1,8; A. 2,8.

Fig. 2 *M. pigmentarius*. C. 57 mm; D. 6,1,8; A. 2,8.

Fig. 3 *M. pigmentarius*. C. 69 mm; D. 6,1,10; A. 2,8.

Fig. 4 *M. pigmentarius*. C. 57 mm; D. 6,1,8; A. 2,8.

Fig. 6 *Apogonichthys puncticulatus*. C. 54 mm; D. 6,1,9; A. 2,8.

Fig. 7 *A. puncticulatus*, 1877. C. 57 mm; D. 6,1,10; A. 2,9.

Fig. 8 *Chilodipterus affinis*. 1872. C. 81 mm; D. 6,1,9; A. 2,9.

Fig. 9 *Sphyraenops Bairdianus*, 1858. C. 80 mm; D. 7,1,10; A. 3,7.

Fig. 10 *S. Bairdianus* (cabeza); S.N.C.

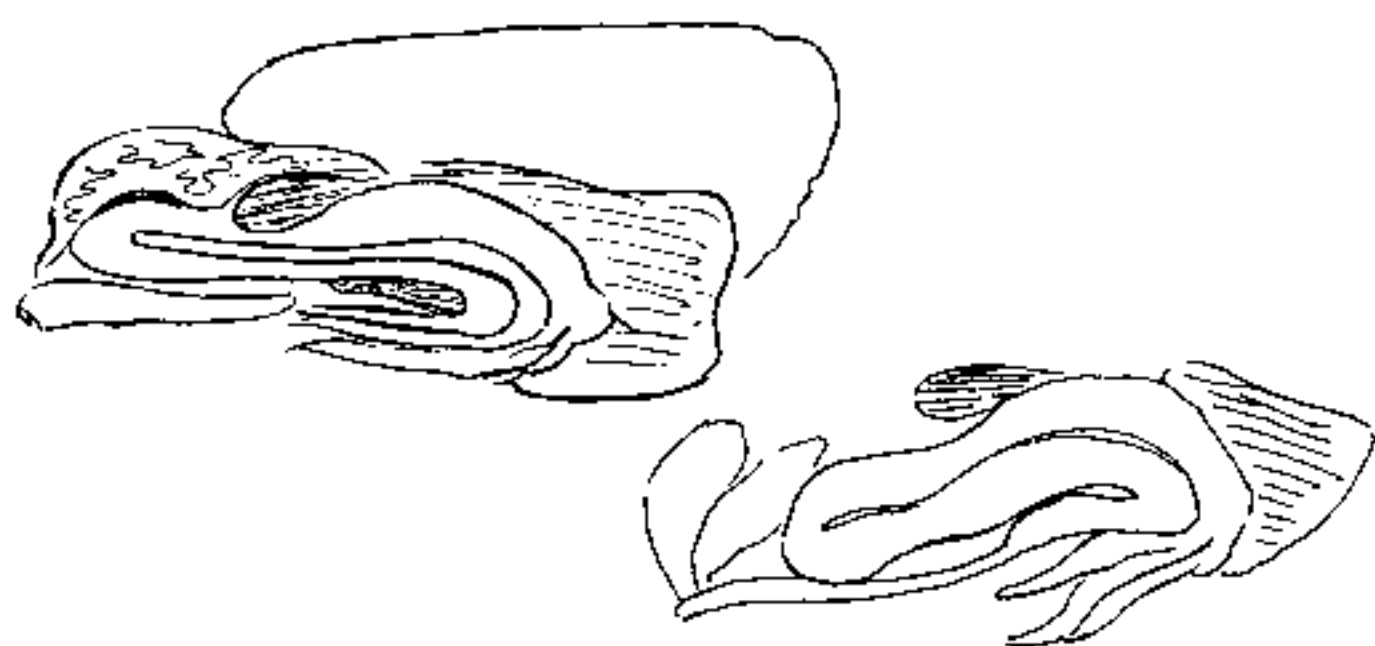
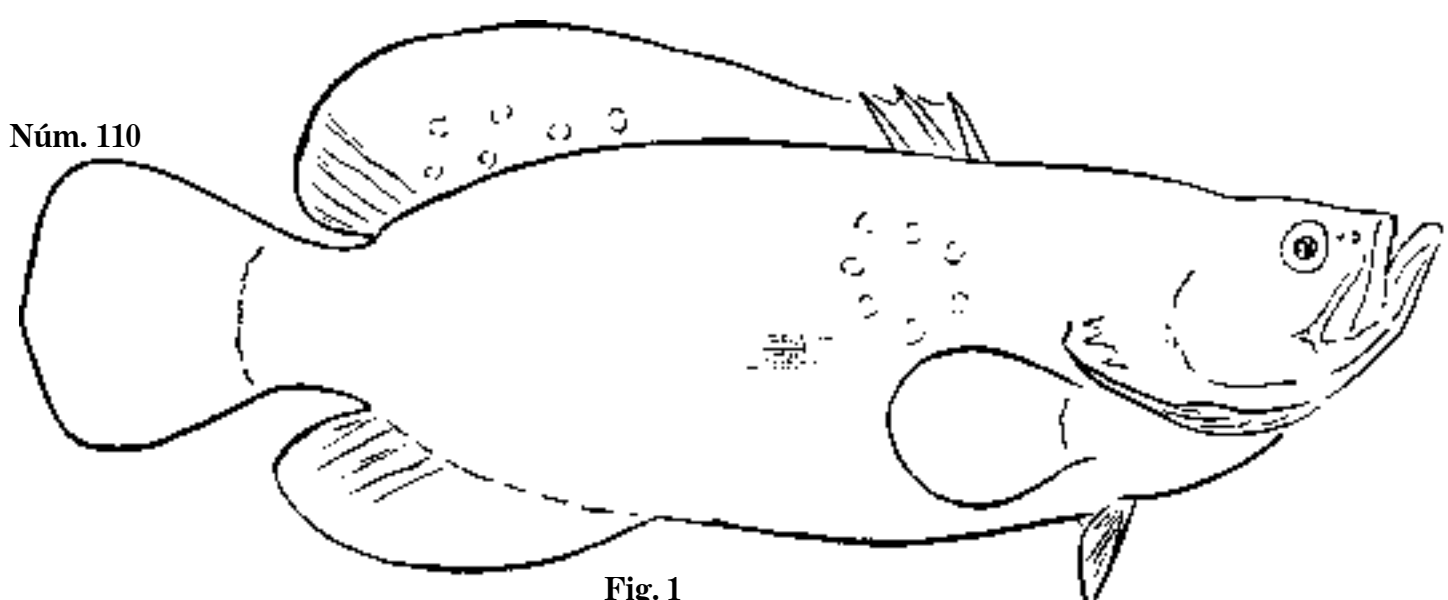
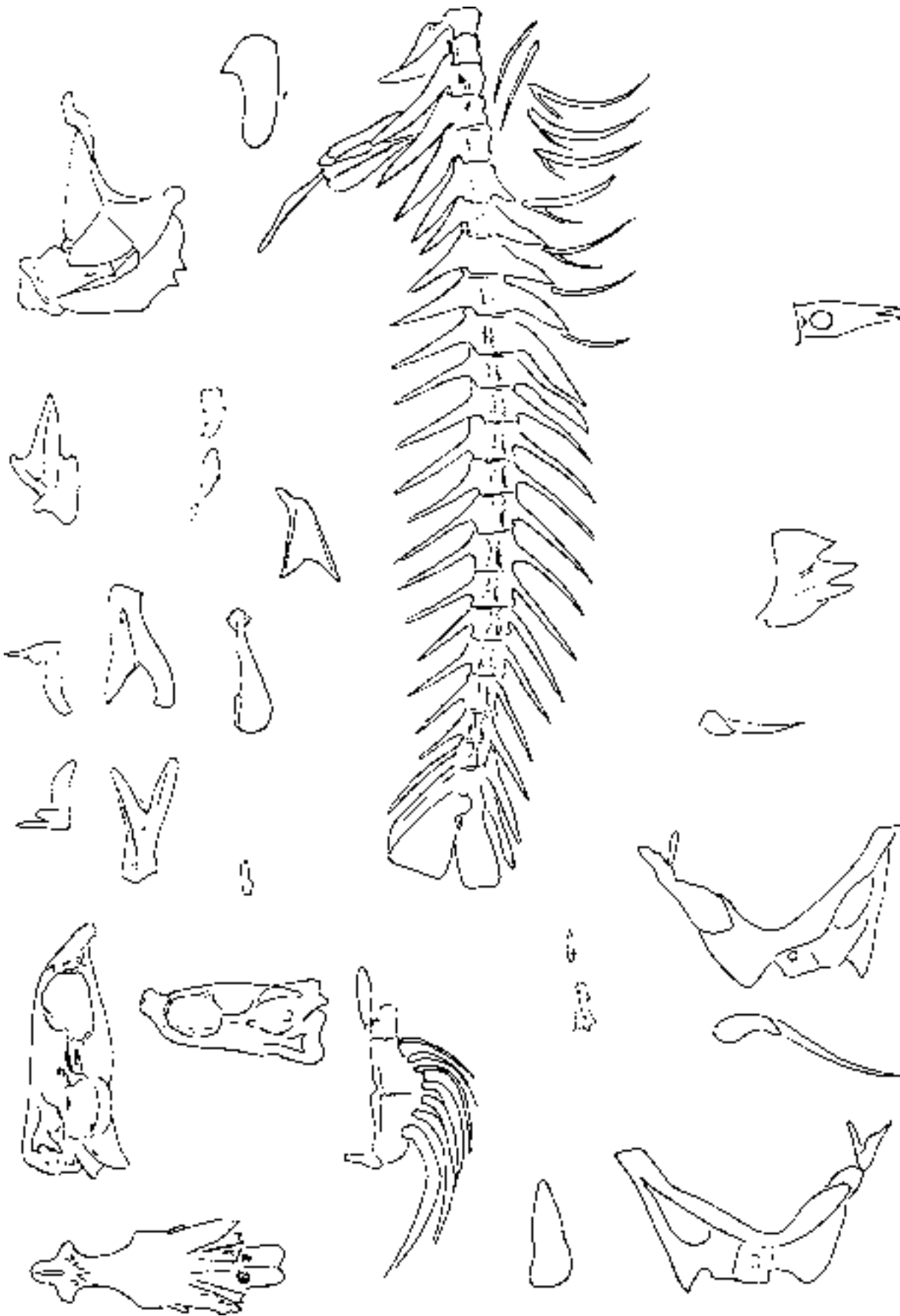


Fig. 1 *Rhypticus saponaceus*, 1869. C. 337 mm; D. 3,26; A. 15.
Fig. 2 *R. saponaceus*. C. 74 mm; jabón.

Núm. 110



Rhypticus saponaceus. Osteología; jabón.

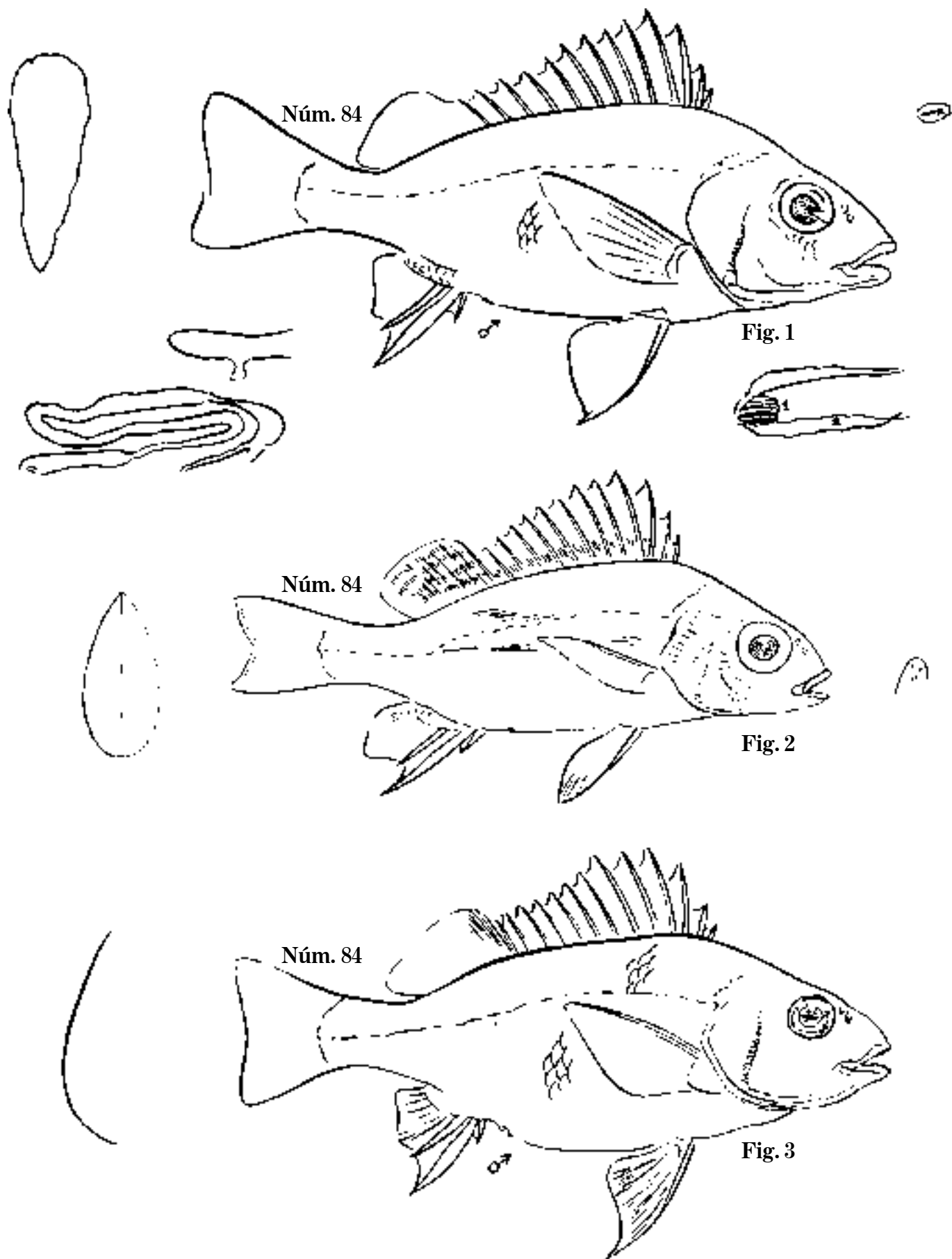
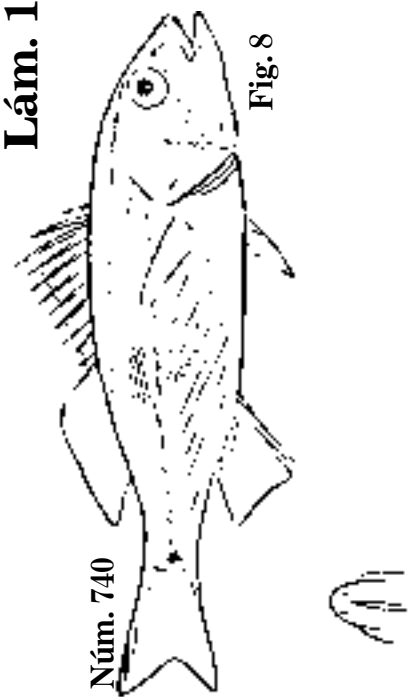
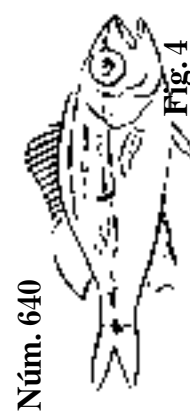
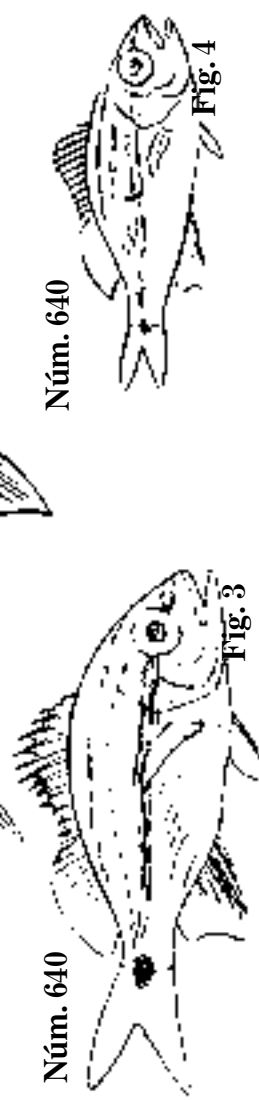
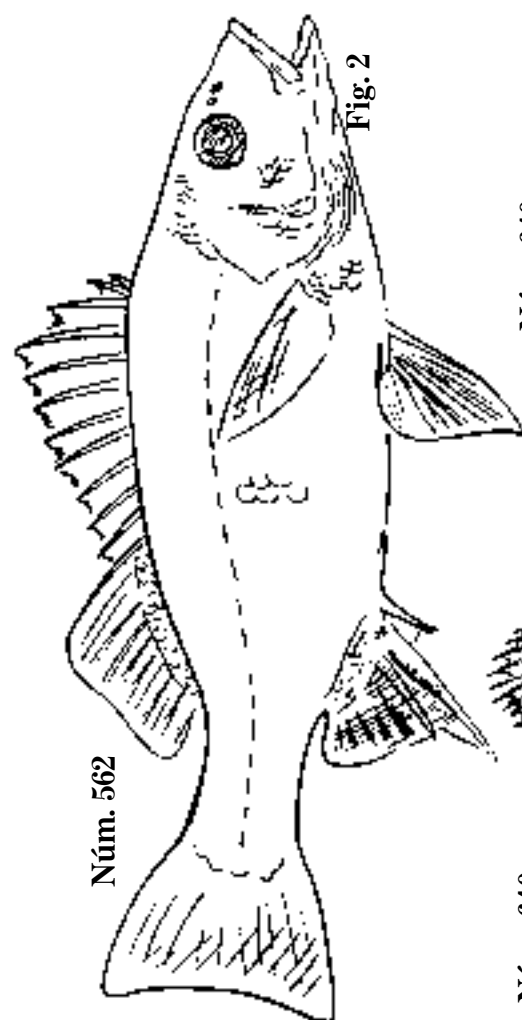
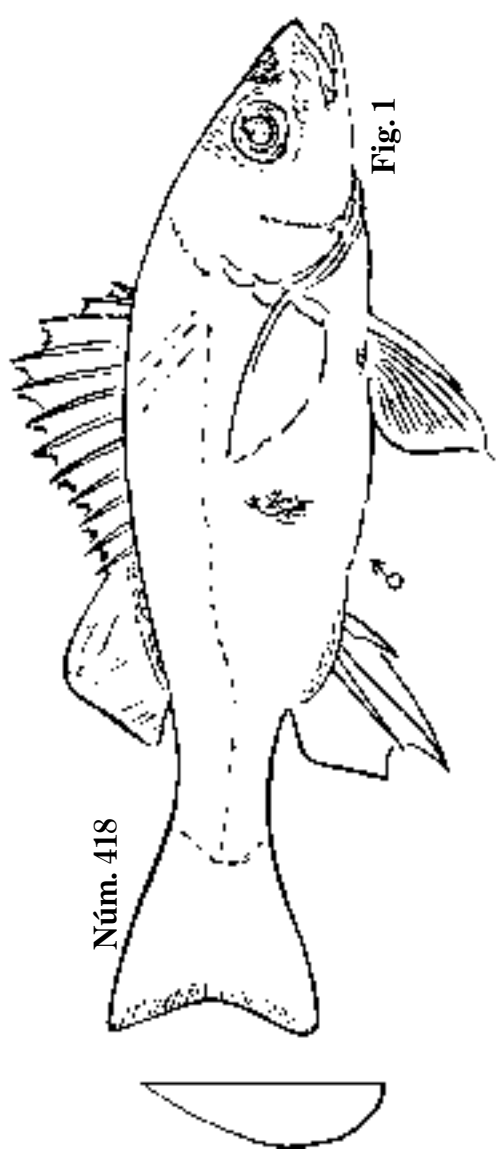


Fig. 1 *Pristipoma cultriferum*, 1850. C. 302 mm; D. 12,1,12; A. 3,7.

Fig. 2 *P. cultriferum*, 1860. C. 128 mm. D. 12,1,12; A. 3,7.

Fig. 3 *P. cultriferum*, 1855. C. 282 mm; D. 13,12; A. 3,7; S.N.C.

Lám. 100



- Fig. 1 *Pristipoma productum*, 1859. C. 270 mm; D. 12,1,12; A. 3,7.
 Fig. 2 *P. ramosum*, 1857. C. 267 mm.
 Fig. 3 *P. trilineatum*, 1872. P. 70 mm; D. 12,18; A. 3,8.
 Fig. 4 *P. trilineatum*. C. 49 mm.

- Fig. 5 *P. graphicum*, 1872. C. 78 mm; D. 12,19; A. 3,8.
 Fig. 6 *P.?* *brevi*. P. 32 mm;
 Fig. 7 *P.?* *brevi*, 1874. D. 12,16; A. 3,9.
 Fig. 8 *P. excurrens*, 1874. P. 45 mm; D. 12,15; A. 2,9; S.N.C.

Lám. 101

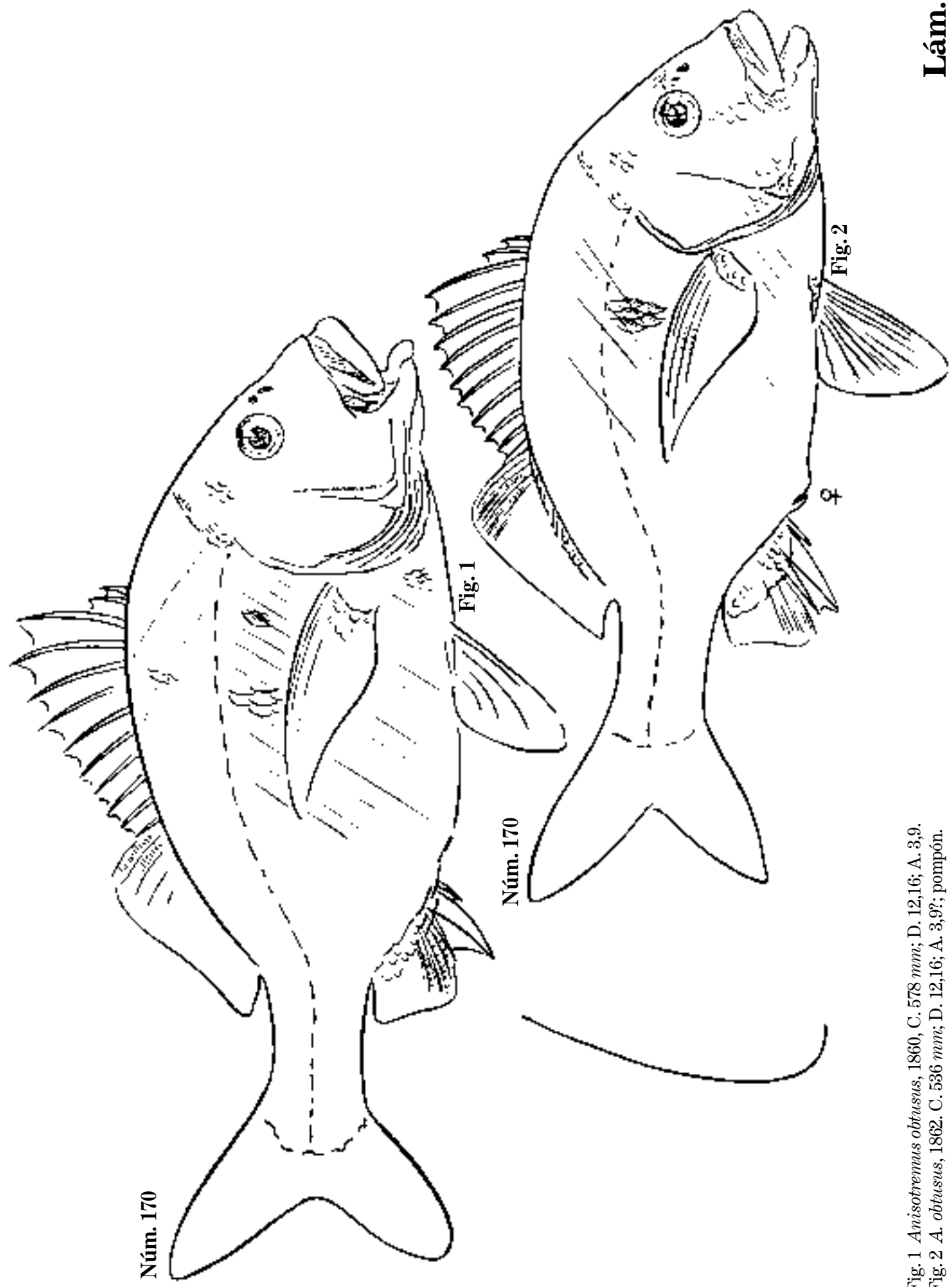


Fig. 1 *Anisotremus obtusus*, 1860. C. 578 mm; D. 12,16; A. 3,9.
Fig. 2 *A. obtusus*, 1862. C. 536 mm; D. 12,16; A. 3,9?; pompon.

Lám. 102

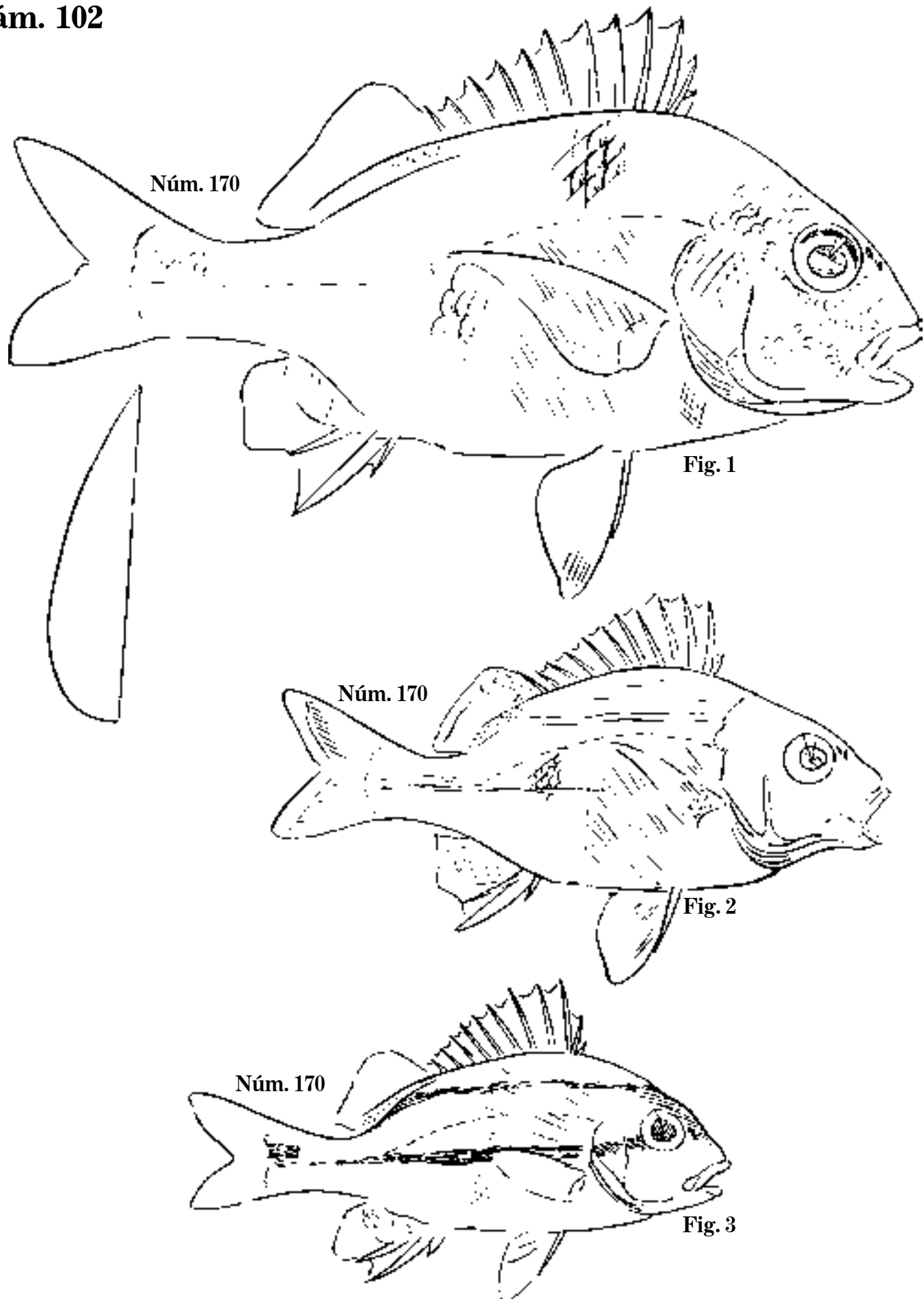
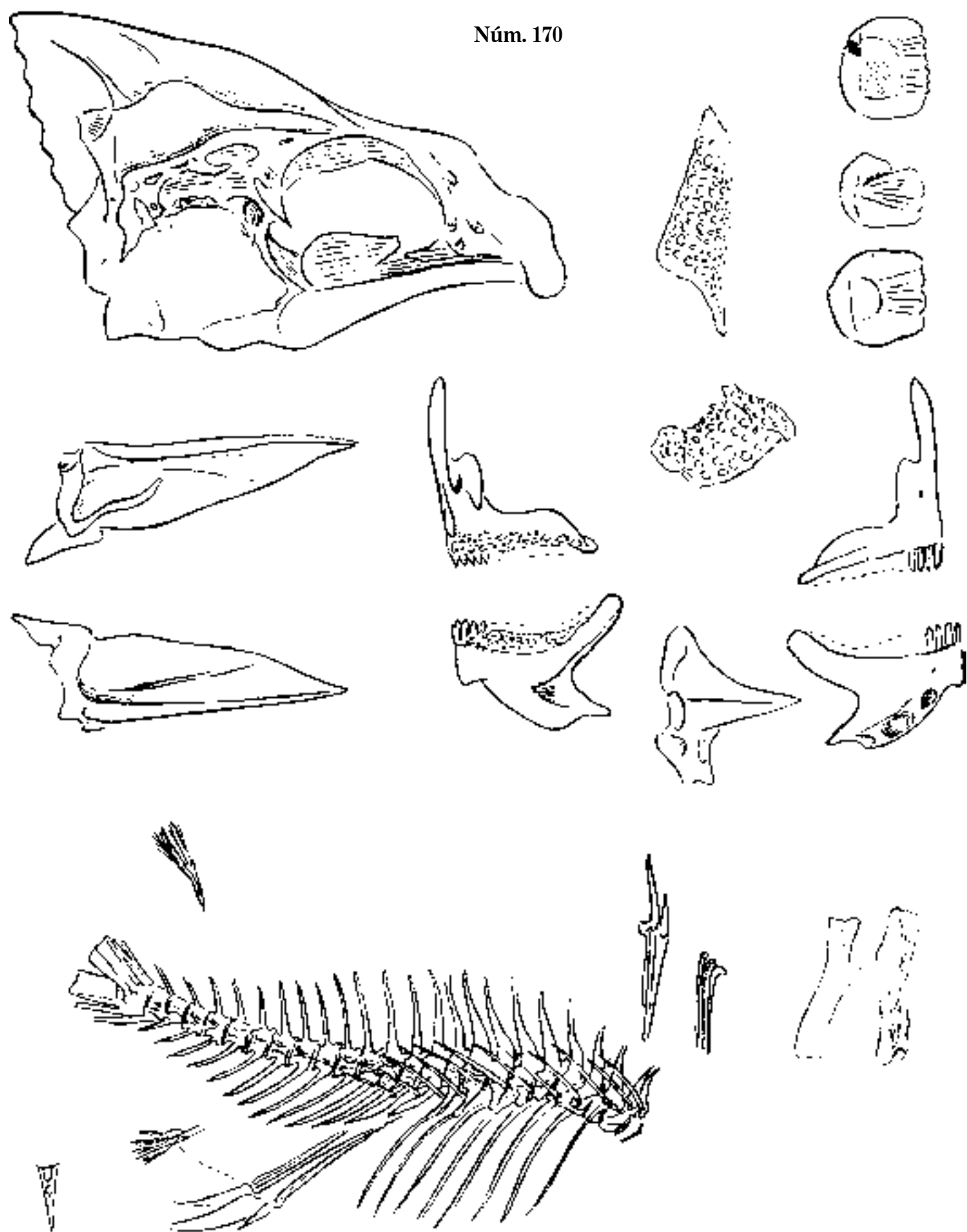


Fig. 1 *Anisotremus obtusus*, 1867. C. 204 mm; D. 12,16; A. 3,9.

Fig. 2 *A. obtusus*, 1868. C. 137 mm.

Fig. 3 *A. obtusus*, 1867. C. 120 mm; D. 12,17; A. 3,9; pompon.

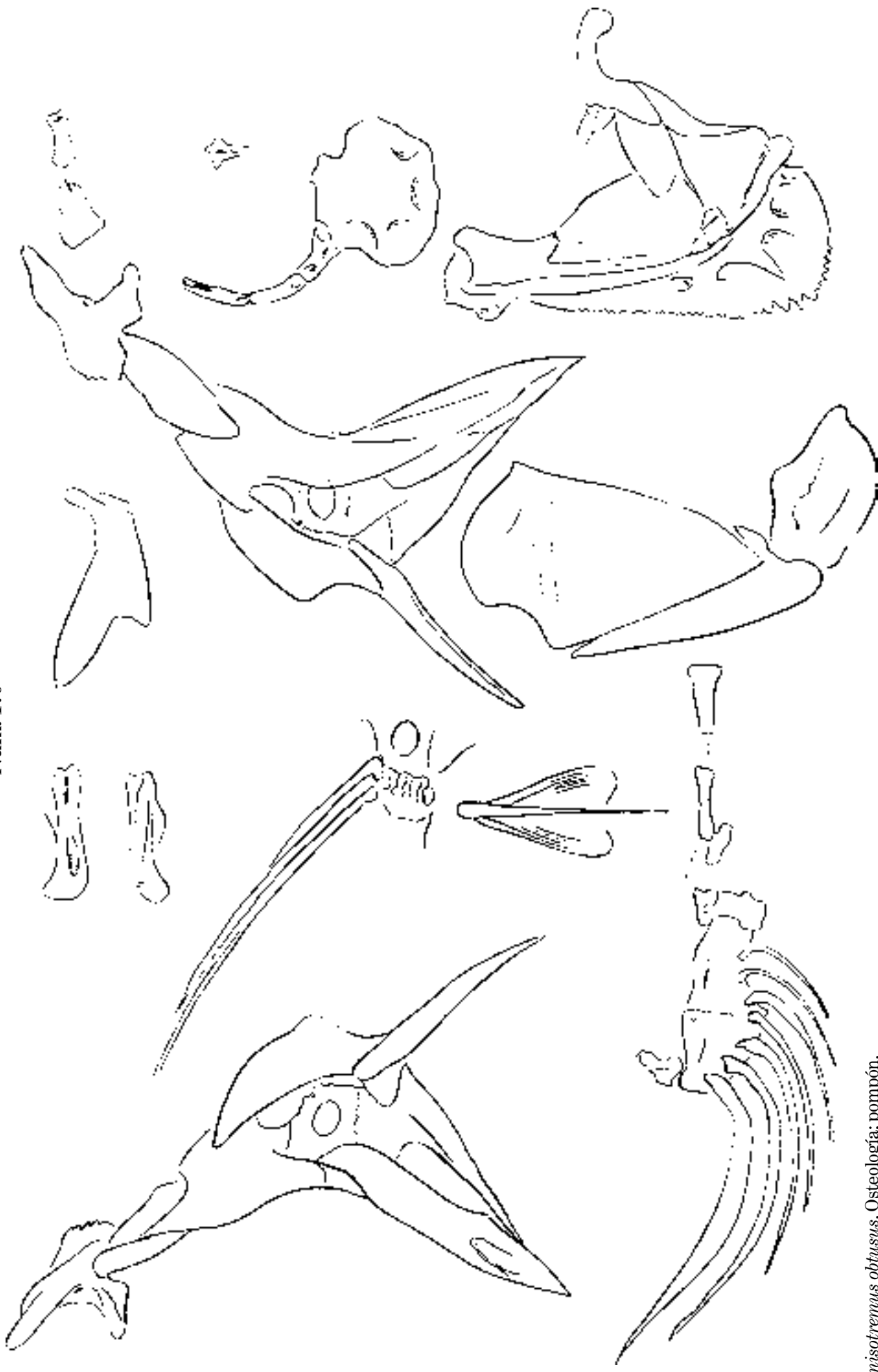
Núm. 170



Anisotremos obtusus. Osteología; pompón.

Lám. 104

Núm. 170



Anisotremus obtusus. Osteología; pompon.

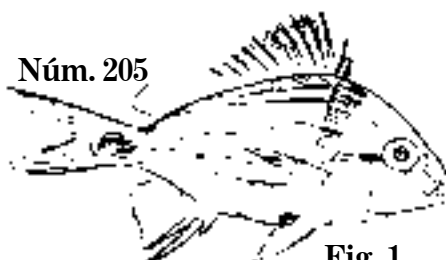


Fig. 1

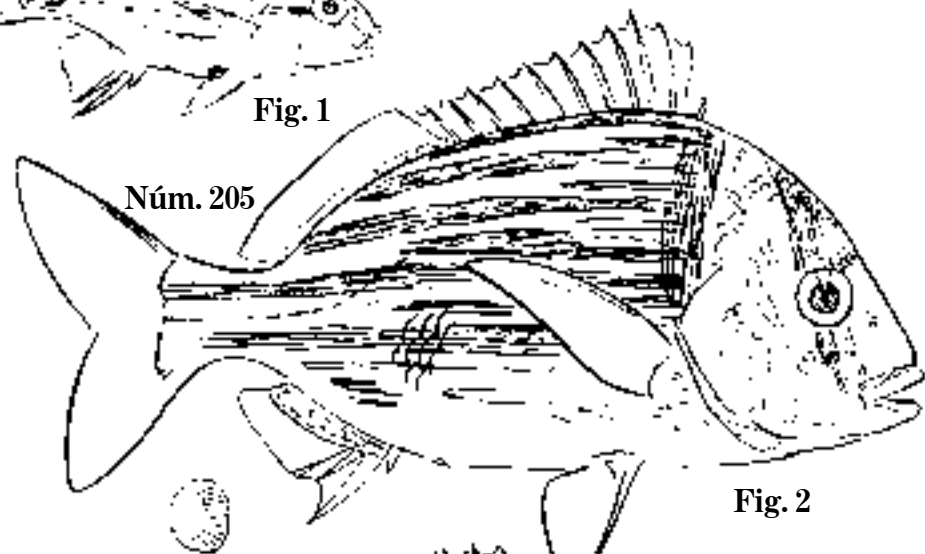


Fig. 2

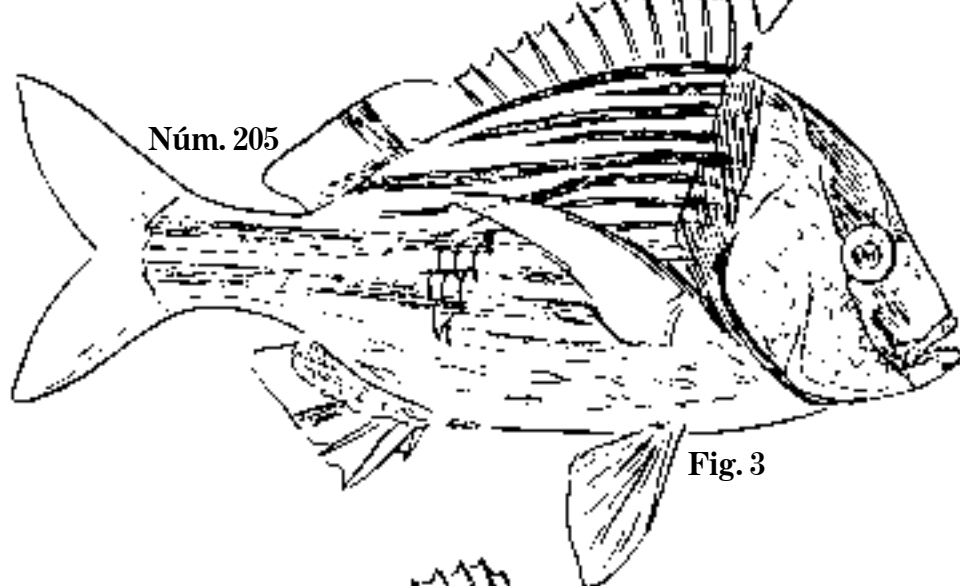


Fig. 3

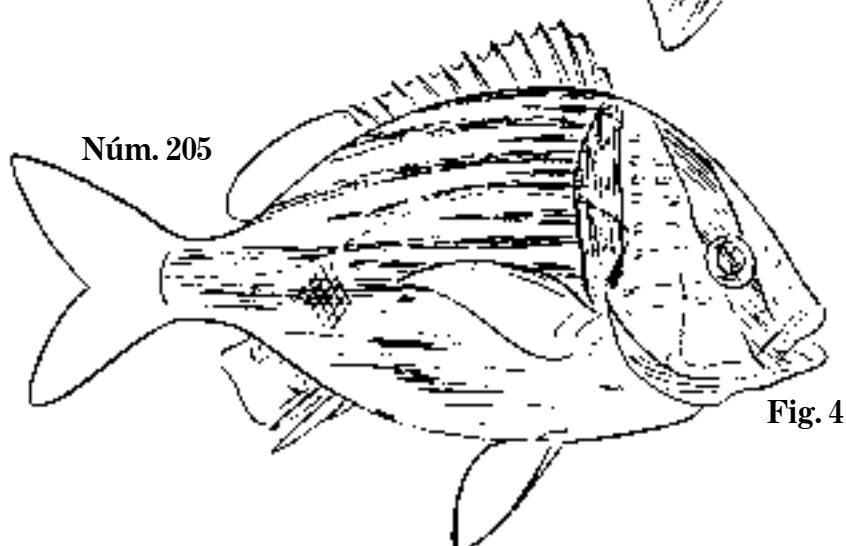


Fig. 4

Fig. 1 *Anisotremus virginicus*. C. 77 mm; D. 12,16; A. 3,10.

Fig. 2 *A. virginicus*, 1869. C. 315 mm.

Fig. 3 *A. virginicus*, 1859. C. 327 mm; D. 12,14; A. 3,10.

Fig. 4 *A. virginicus*, 1875. C. 283 mm; D. 12,17; A. 3,9; catalineta.

Lám. 106

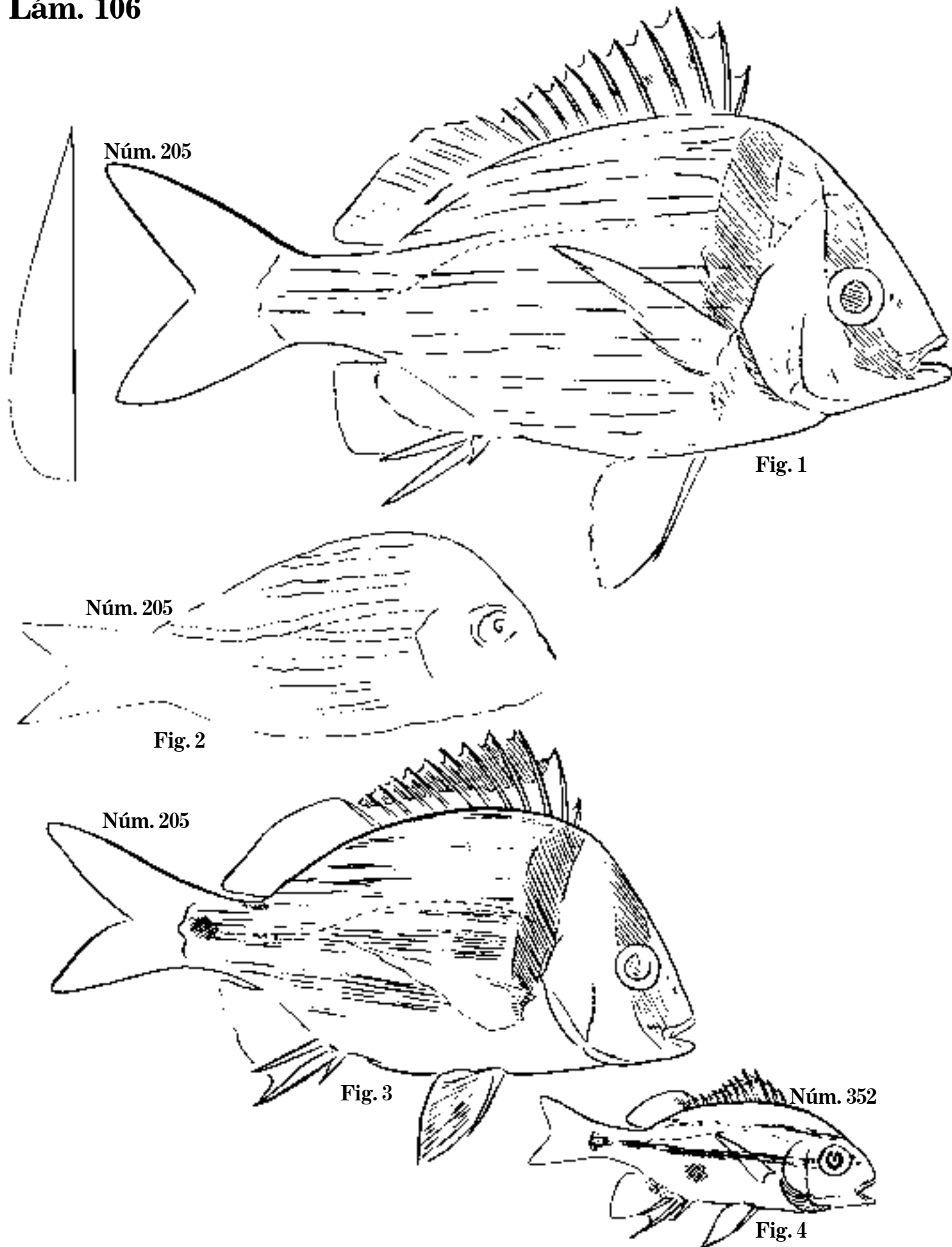


Fig. 1 *Anisotremus virginicus*, 1850. C. 165 mm; D. 12,16; A. 3,8.

Fig. 2 *A. virginicus*.

Fig. 3 *A. virginicus*, 1863. C. 131 mm; D. 12,18; A. 3,10.

Fig. 4 *A. serratus*. P. 68 mm; D. 12,17; A. 3,9; catalineta.

Fig. 1 *Orthopristis fulvo-maculatus*, 1850. C. 178 mm; D. 12,14; A. 3,12.
Fig. 2 O. Poeyi, 1870. C. 214 mm; D. 12,15; A. 3,13; S.N.C.

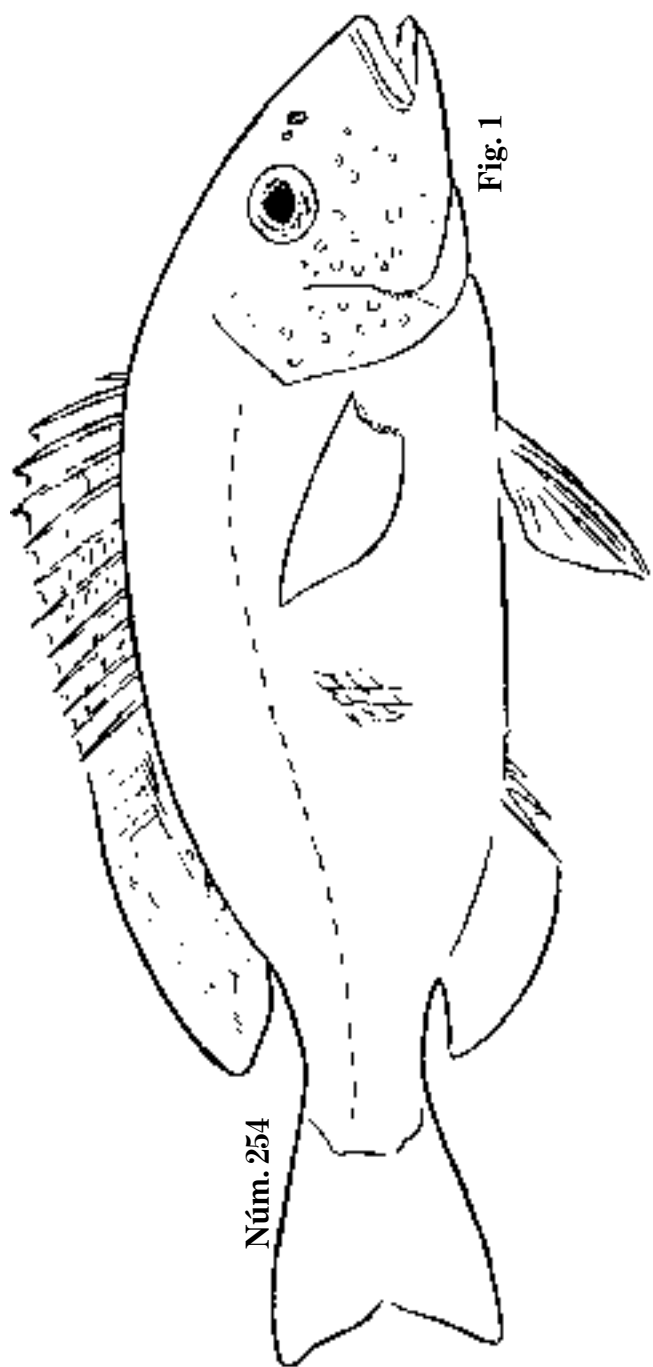


Fig. 1

Núm. 254

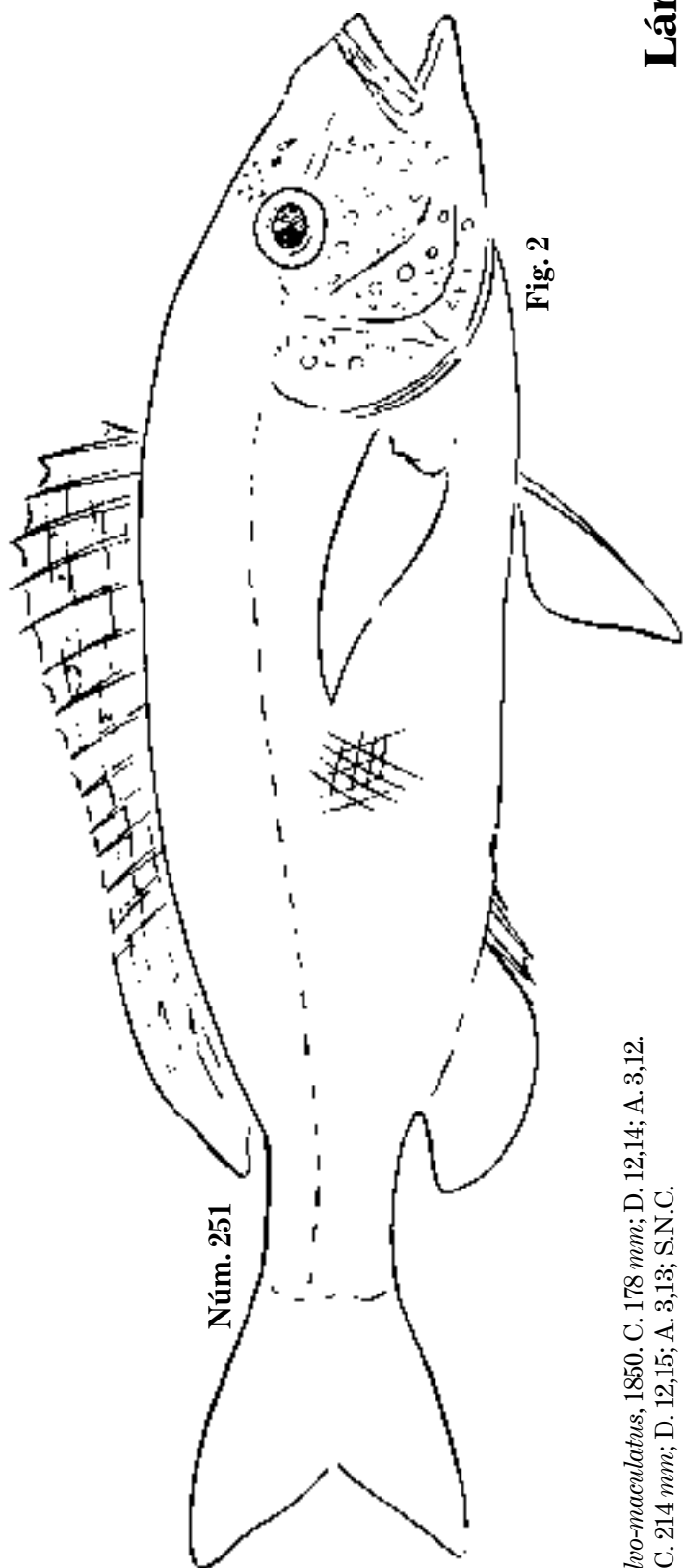


Fig. 2

Núm. 251

Lám. 108

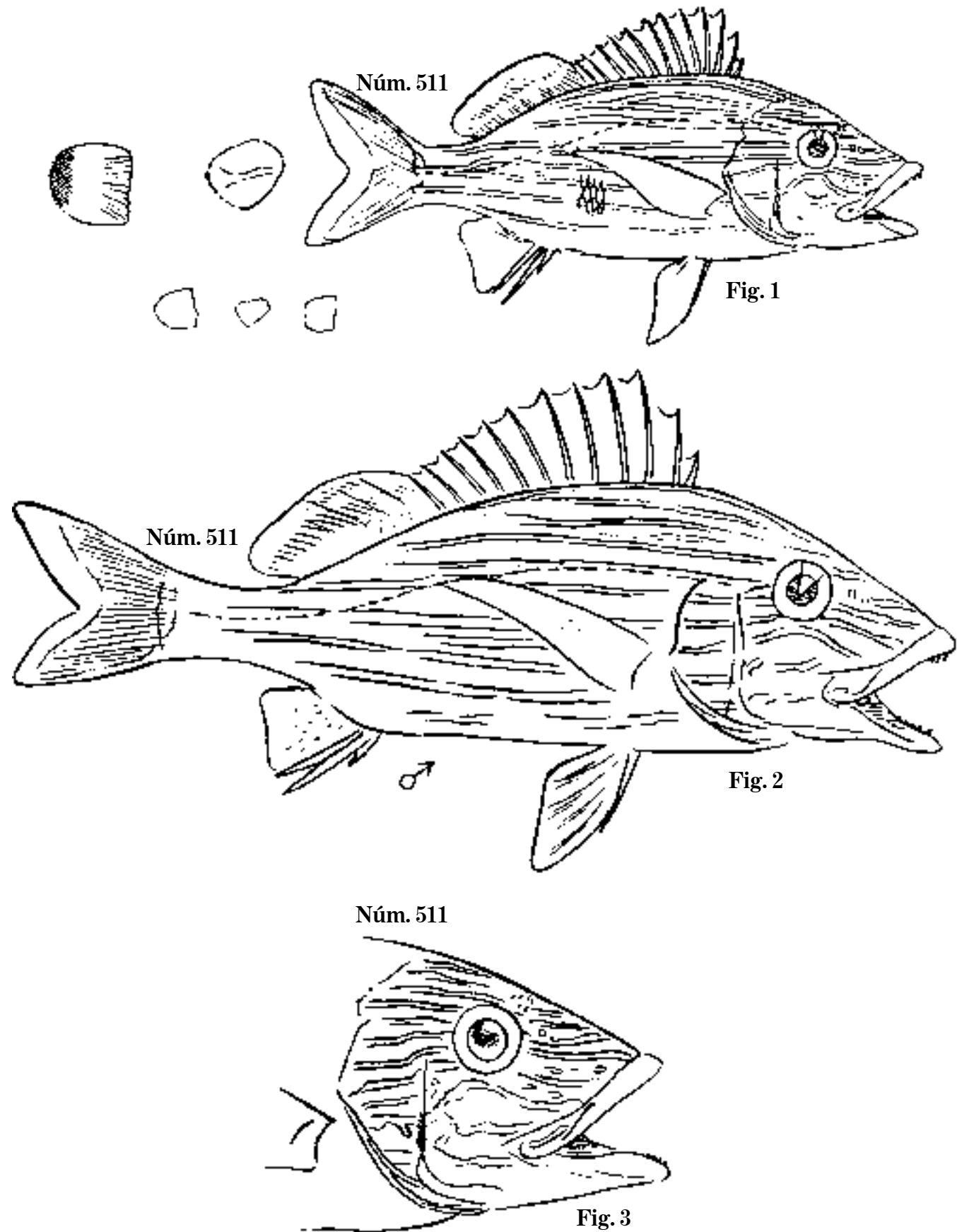


Fig. 1 *Haemulon luteum*, 1859, C. 271 mm; D. 12,16; A. 3,9.

Fig. 2 *H. luteum*. C. 246 mm; D. 12,?; A. 3,?

Fig. 3 *H. luteum* (cabeza); ronco amarillo.

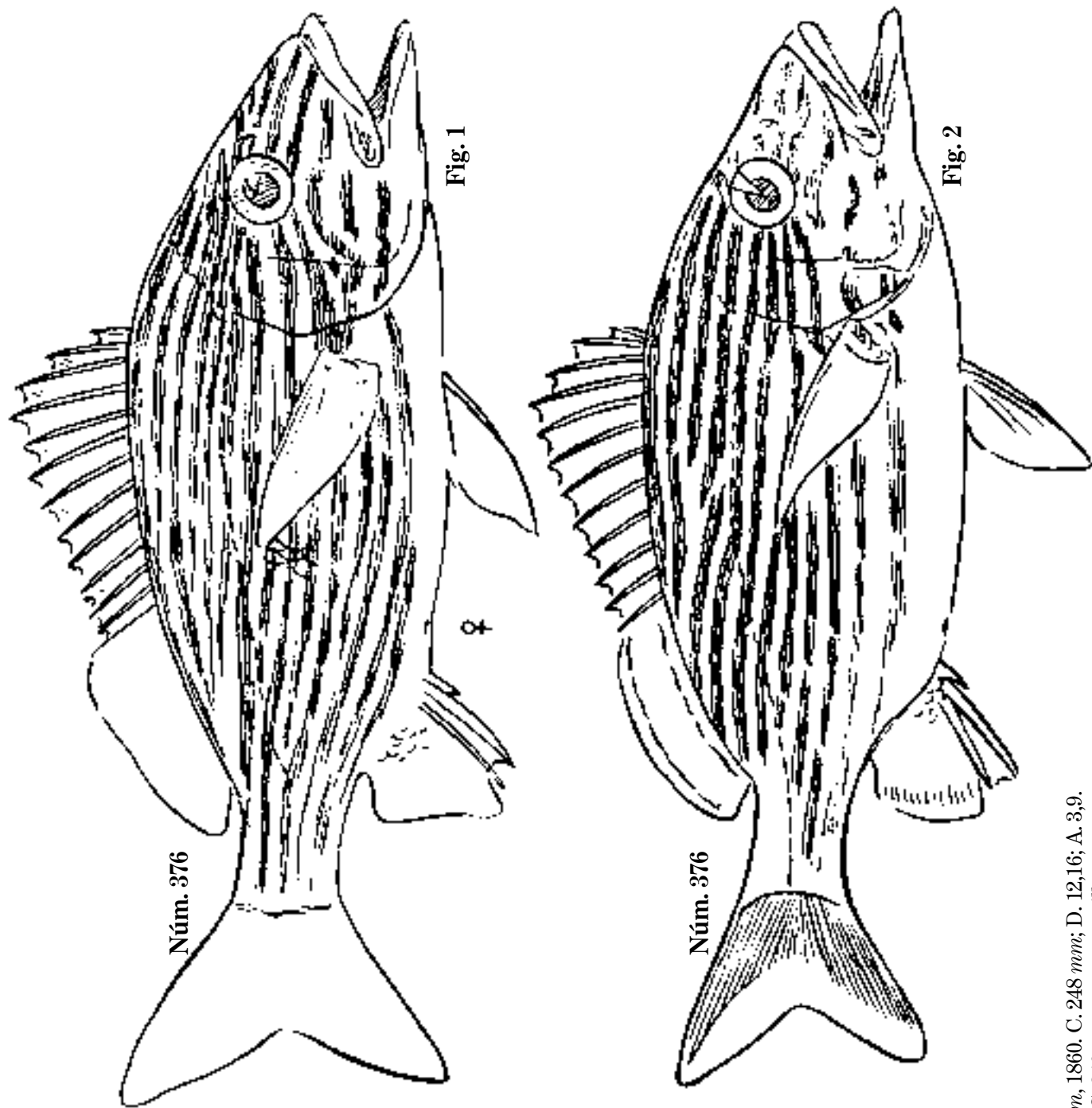
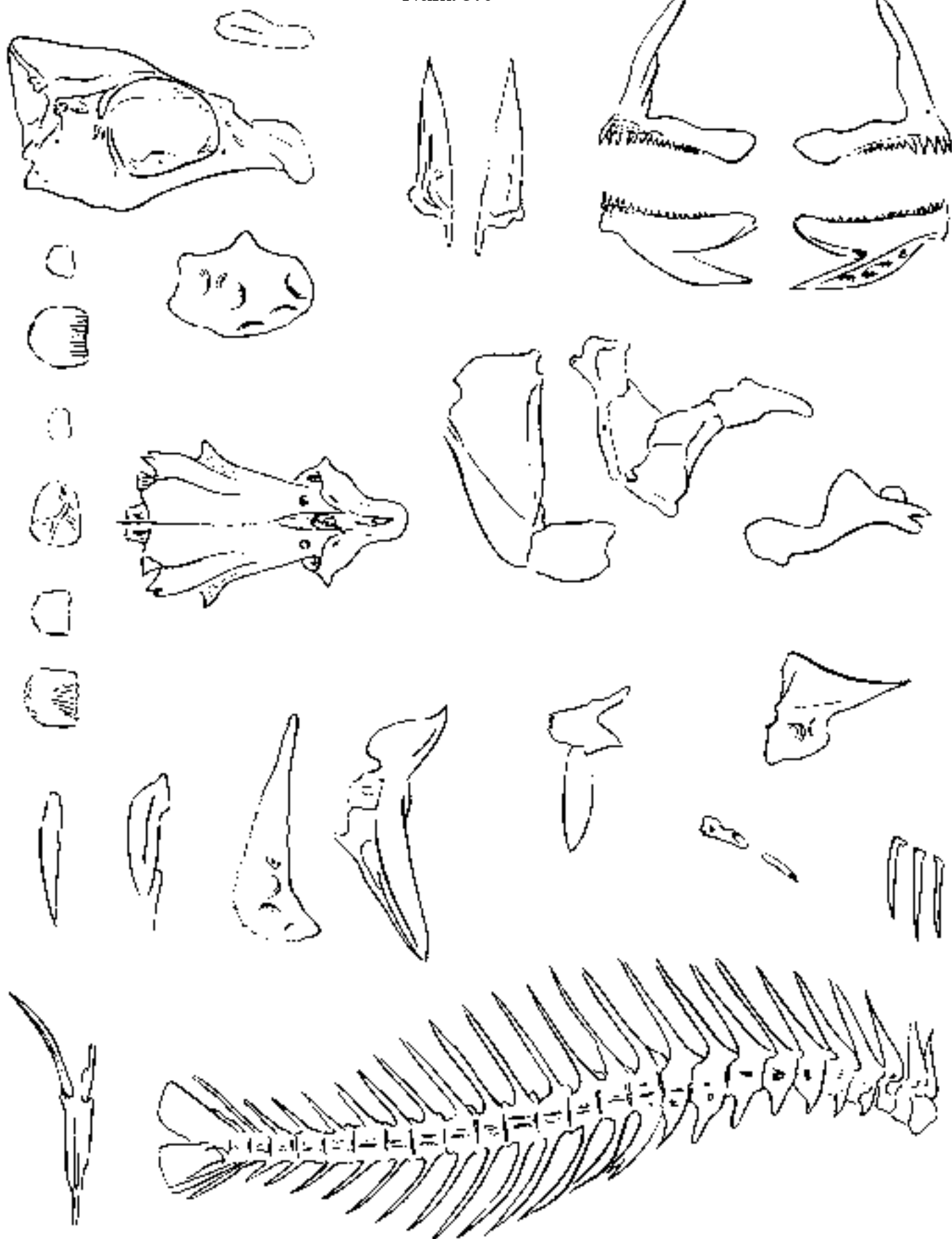


Fig. 1 *Haemulon multilineatum*, 1860. C. 248 mm; D. 12,16; A. 3,9.
Fig. 2 *H. multilineatum*, 1869. C. 246 mm; ronco amarillo.

Lám. 110

Núm. 376



Haemulon multilineatum. Osteología; ronco amarillo.

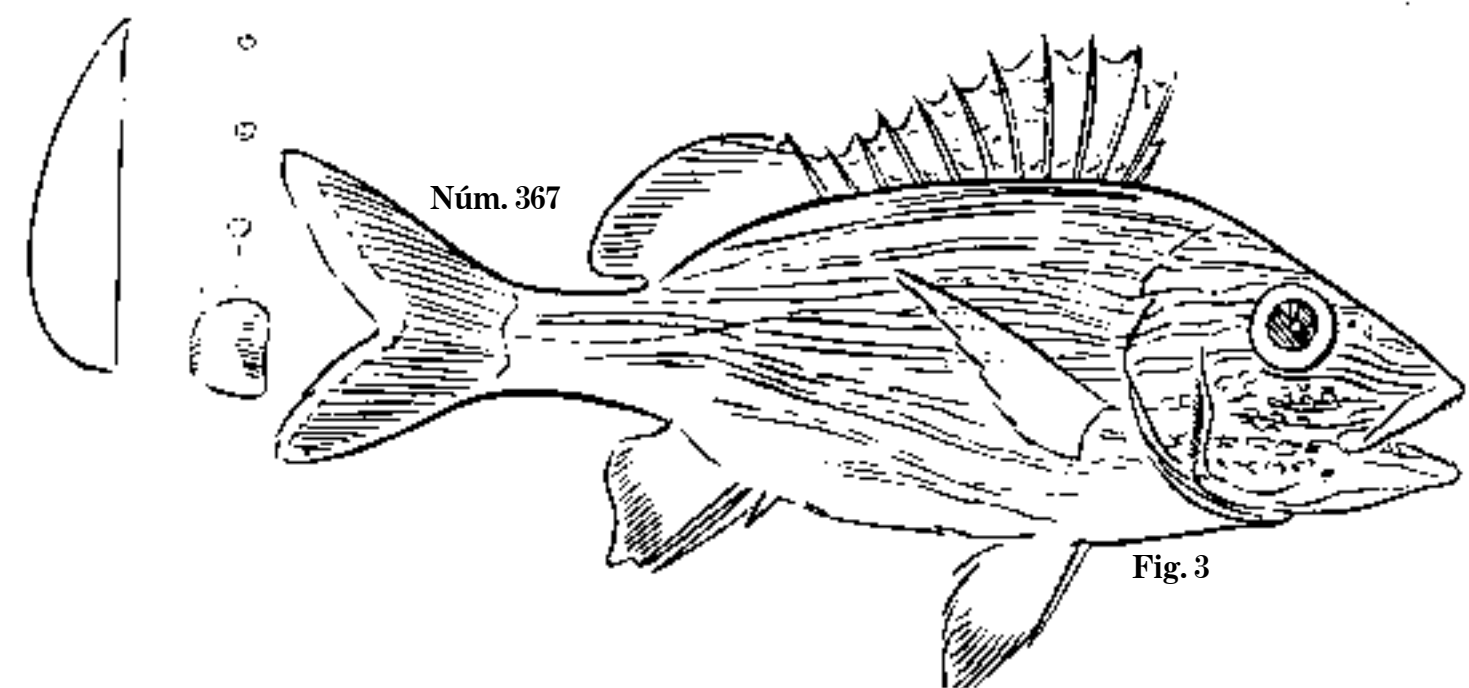
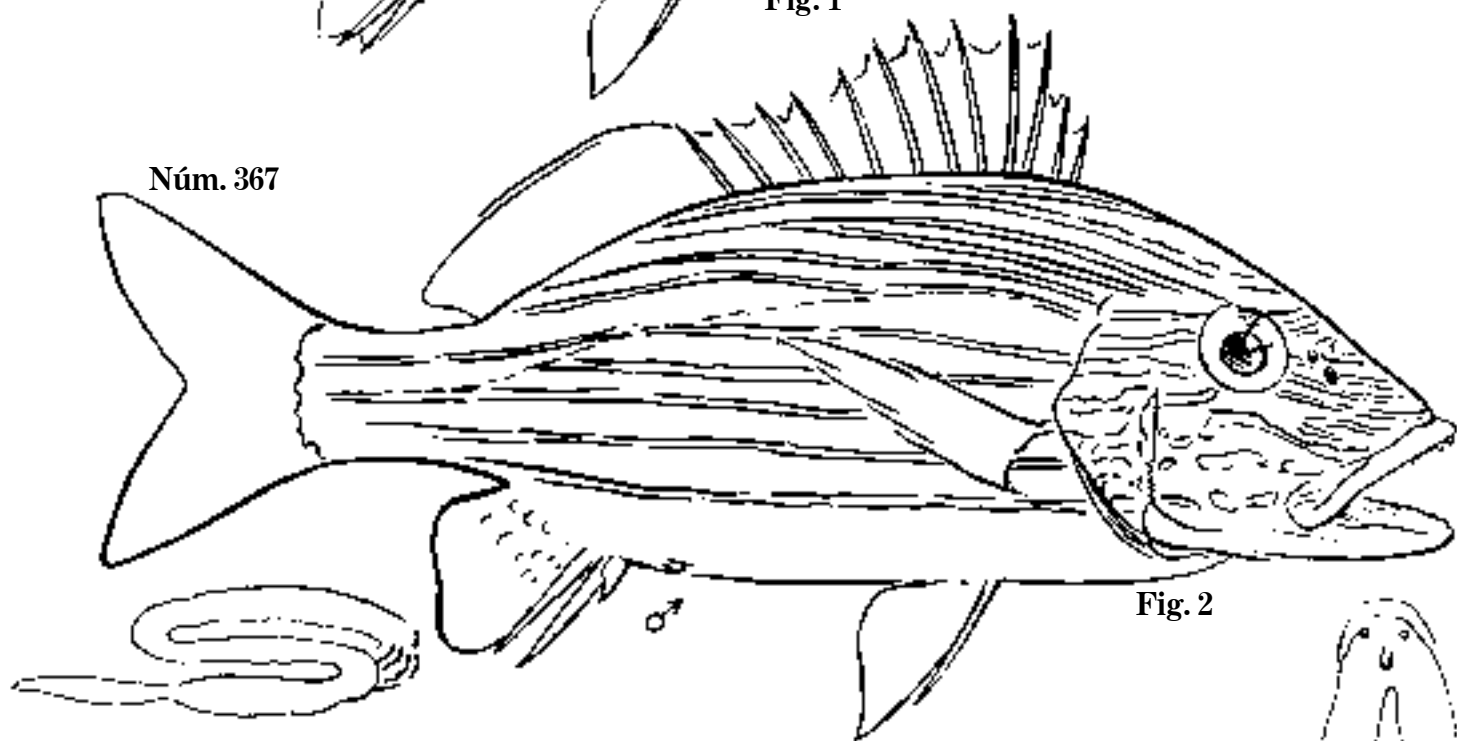
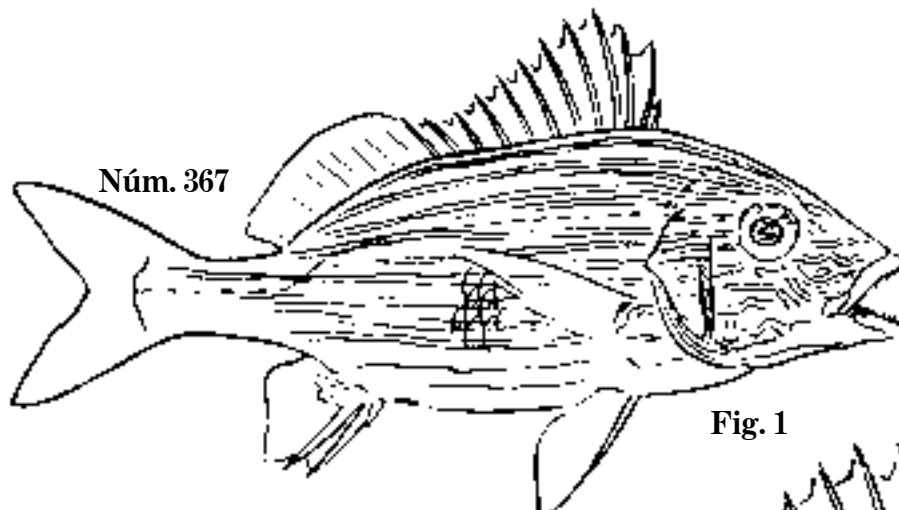


Fig. 1 *Haemulon carbonarium*. C. 296 mm; D. 12,16; A. 3,8.

Fig. 2 *H. carbonarium*. C. 272 mm; D. 12,16; A. 3,8.

Fig. 3 *H. carbonarium*, 1859. C. 239 mm. D. 12,15; A. 3,8; ronco carbonero.

Lám. 112

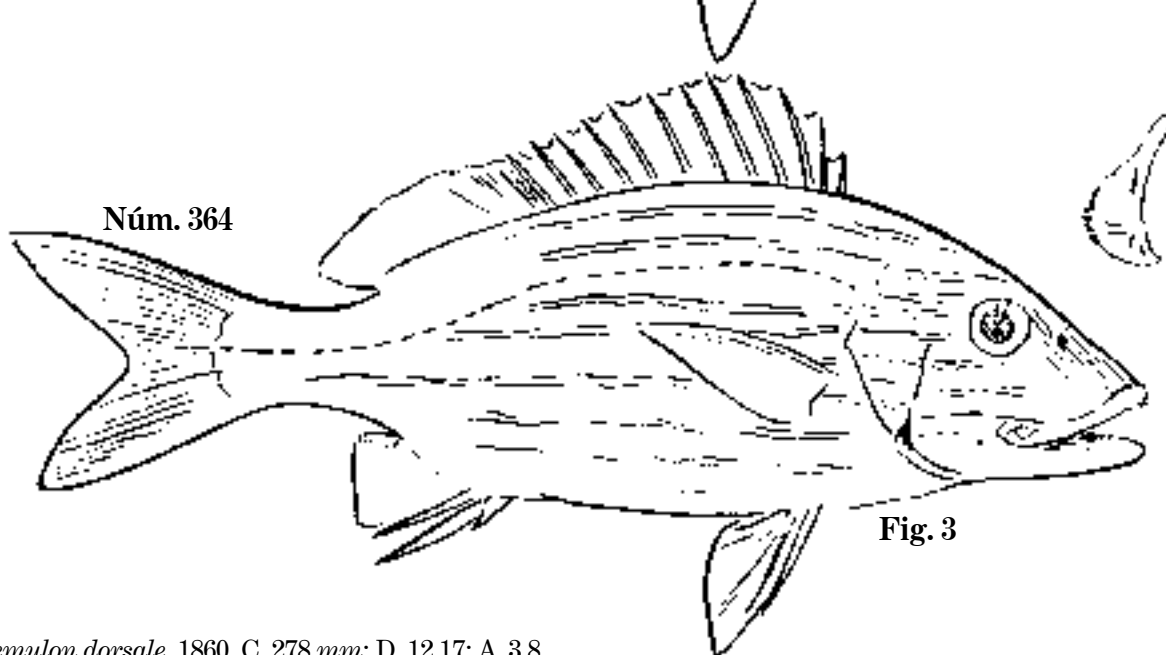
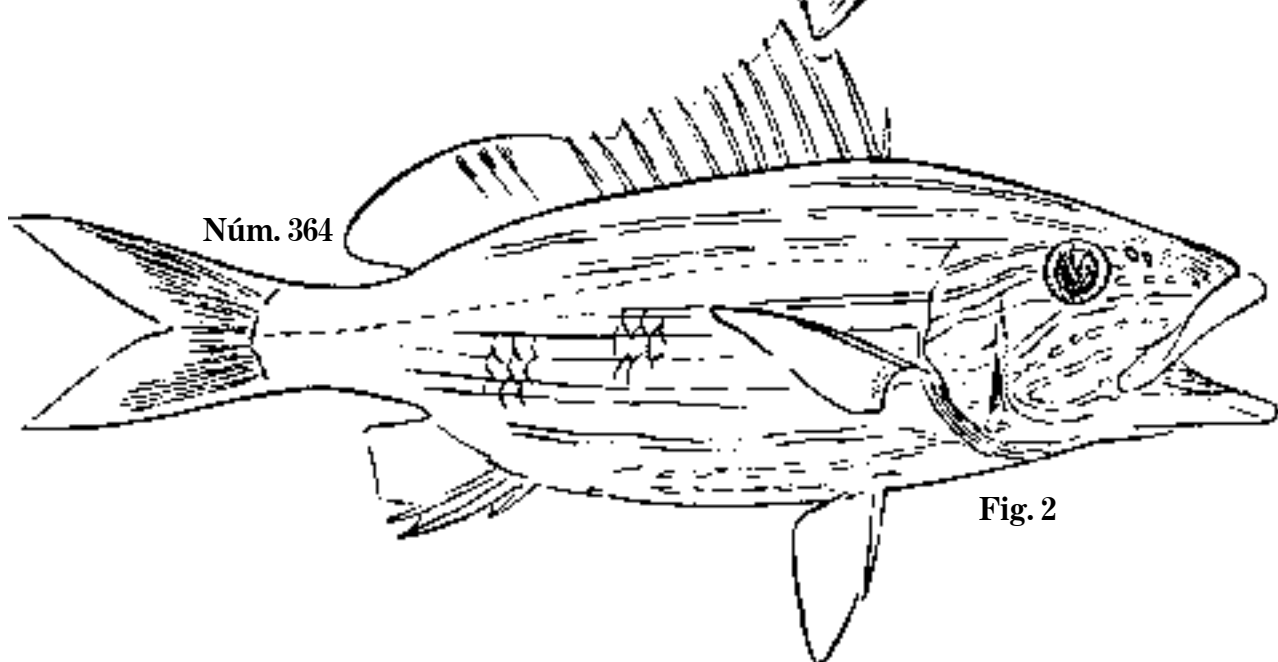
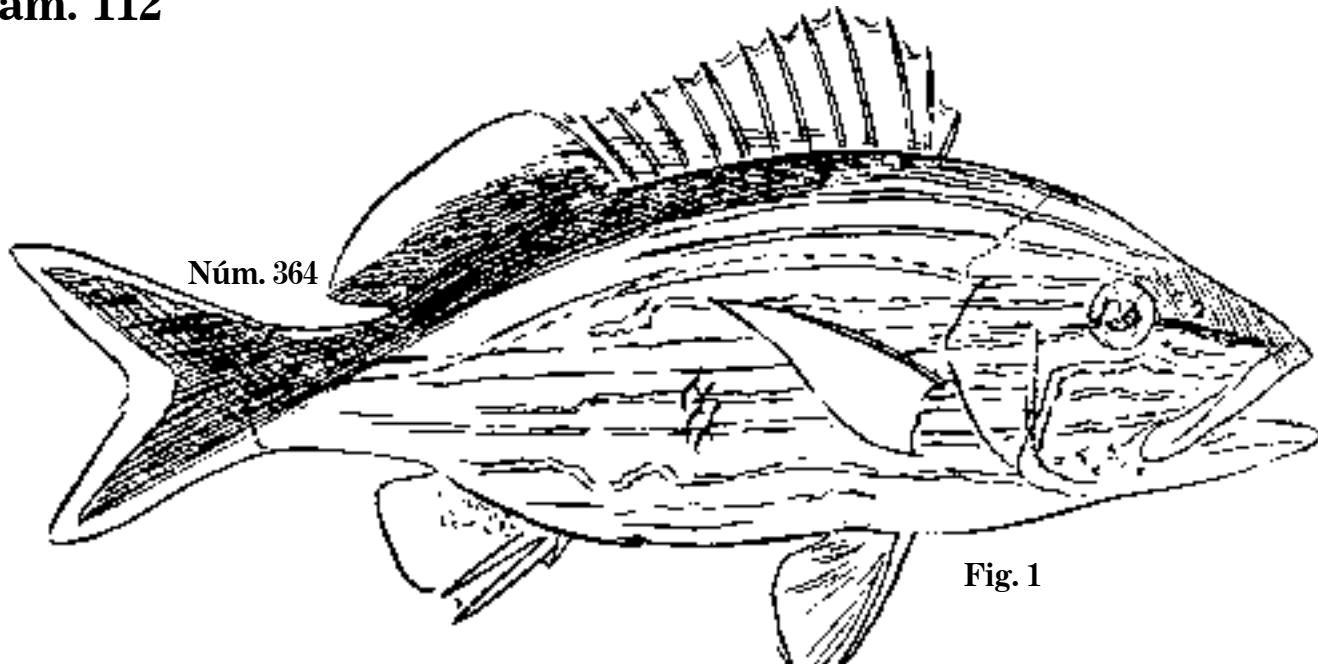


Fig. 1 *Haemulon dorsale*, 1860. C. 278 mm; D. 12,17; A. 3,8.

Fig. 2 *H. dorsale*, 1859. C. 267 mm; D. 12,16; A. 3,7.

Fig. 3 *H. dorsale*, 1868. C. 244 mm; D. 12,16; A. 3,8; jeniguana.

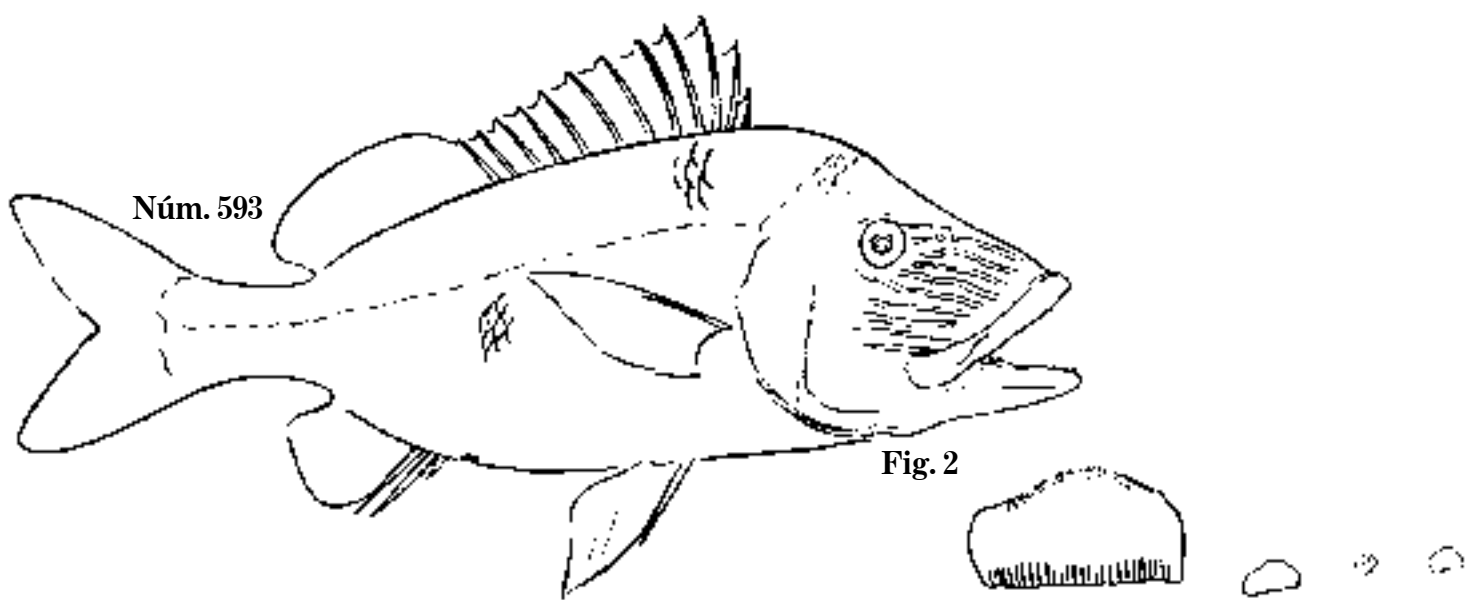
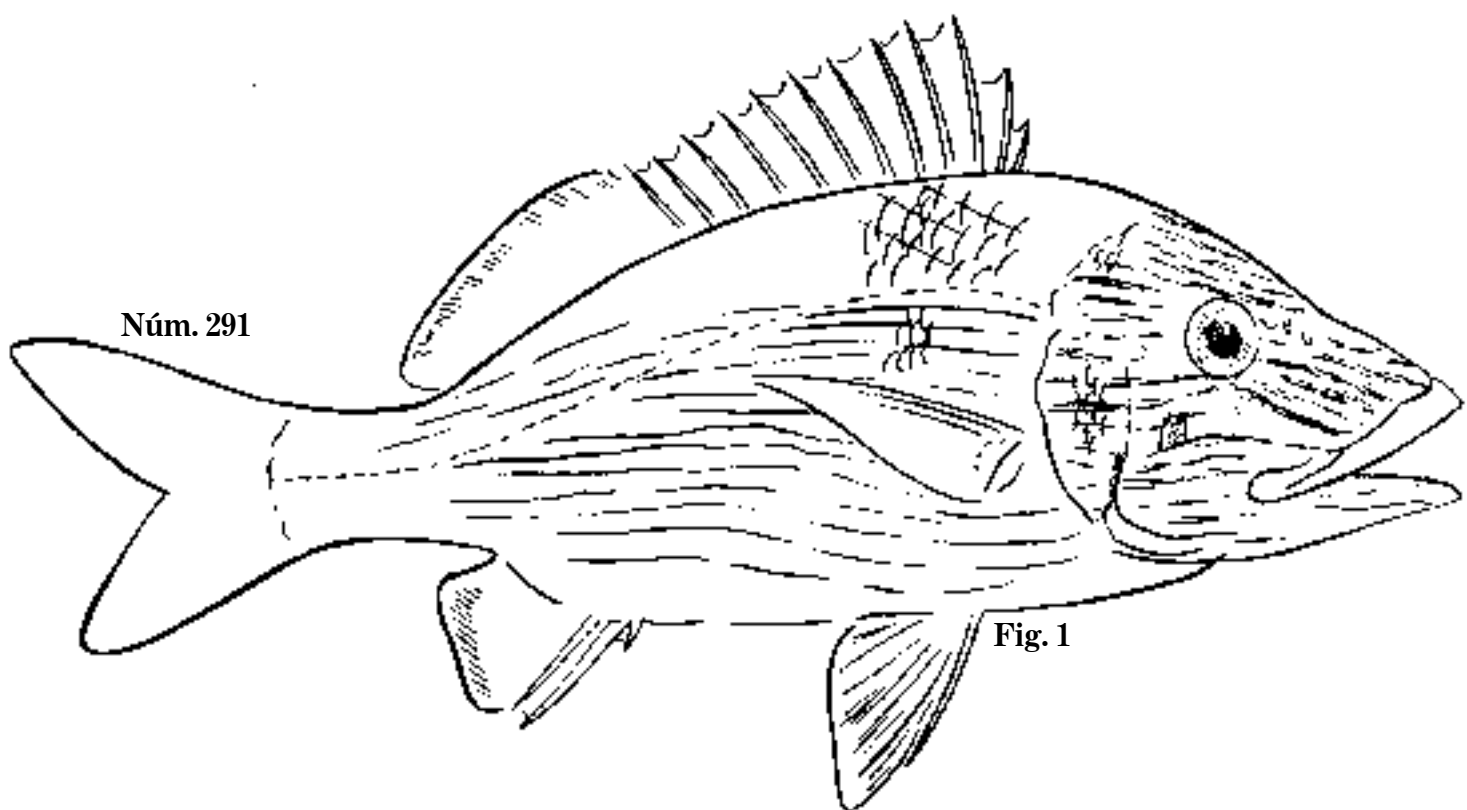


Fig. 1 *Haemulon Arara*, 1861. C. 309 mm; D. 12,17; A. 3,9; ronco arará.
Fig. 2 *H. subarcuatum*, 1860. C. 381 mm; D. 12,16; A. 3,9; ronco.

Lám. 114

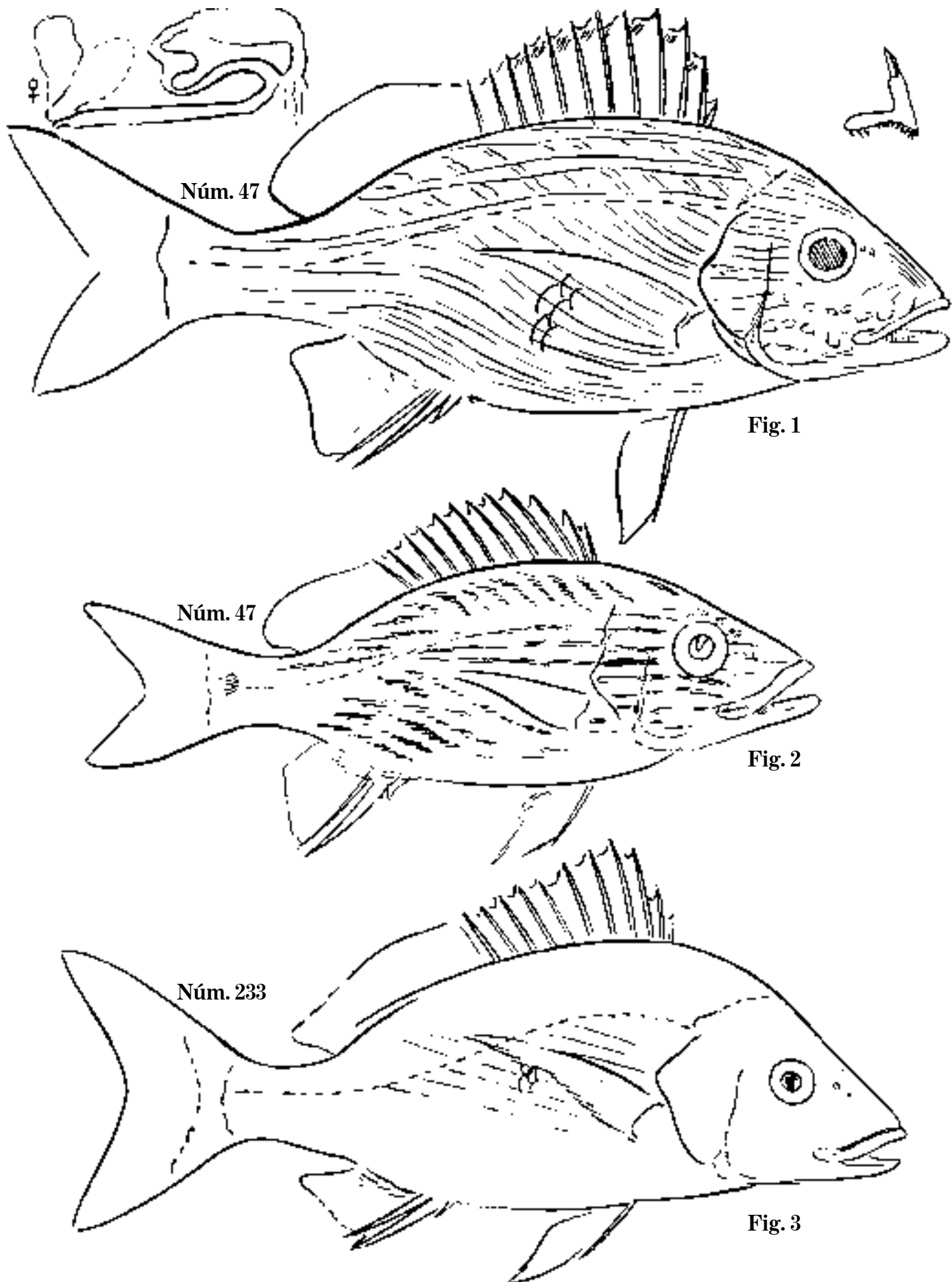


Fig. 1 *Haemulon flavolineatum*.

Fig. 2 *H. flavolineatum*. C. 149 mm; D. 12,16; A. 3,9; condenado.

Fig. 3 *H. album*. C. 252 mm; D. 12,16; A. 3,8; jallao.

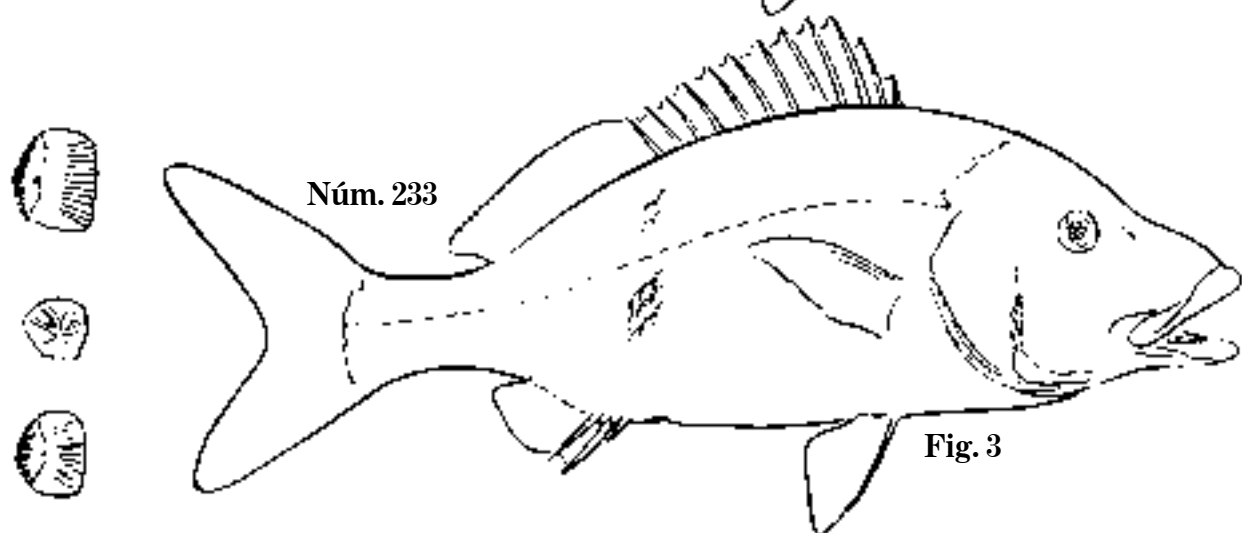
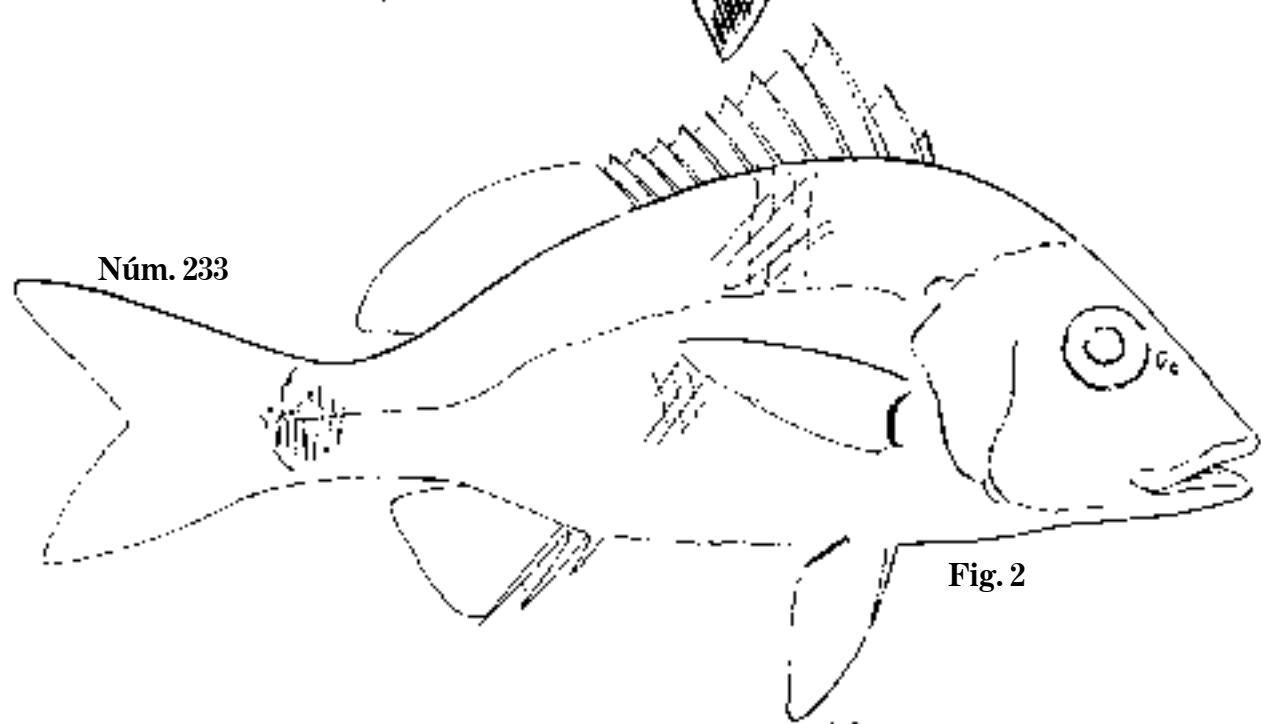
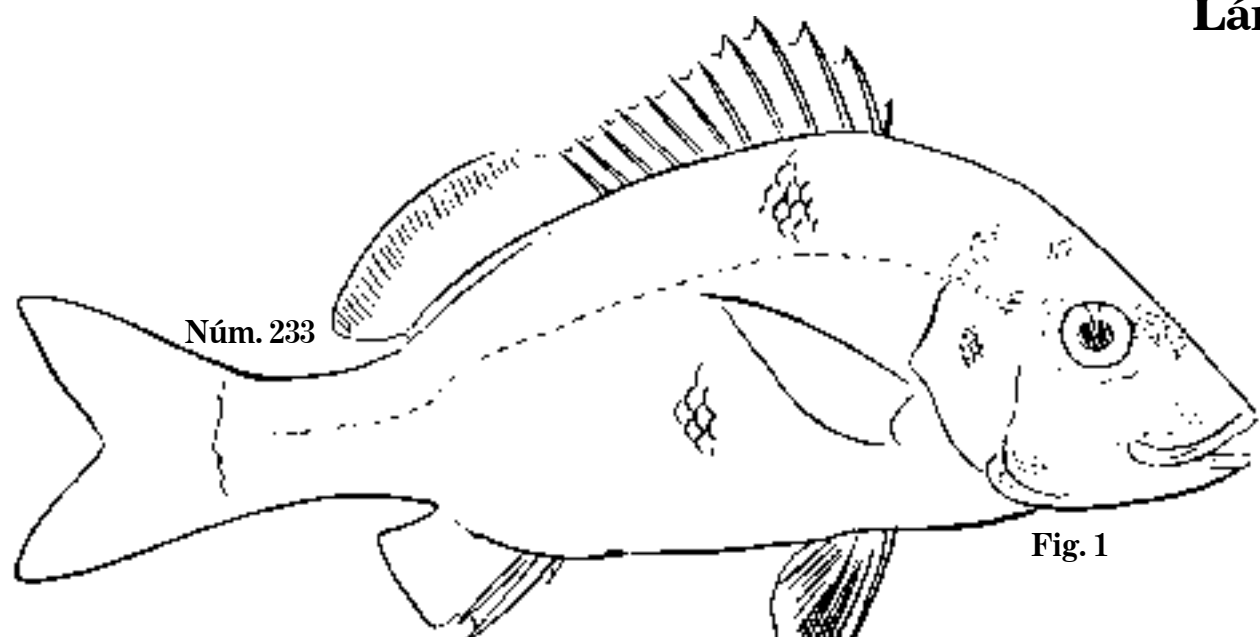


Fig. 1 *Haemulon album*, 1865. C. 210 mm; D. 12,16; A. 3,8.
Fig. 2 *H. album*, 1855. C. 208 mm; D. 12,16; A. 3,8.
Fig. 3 *H. album*, 1860. P. 550 mm; D. 12,16; A. 3,9; jallao.

Lám. 116

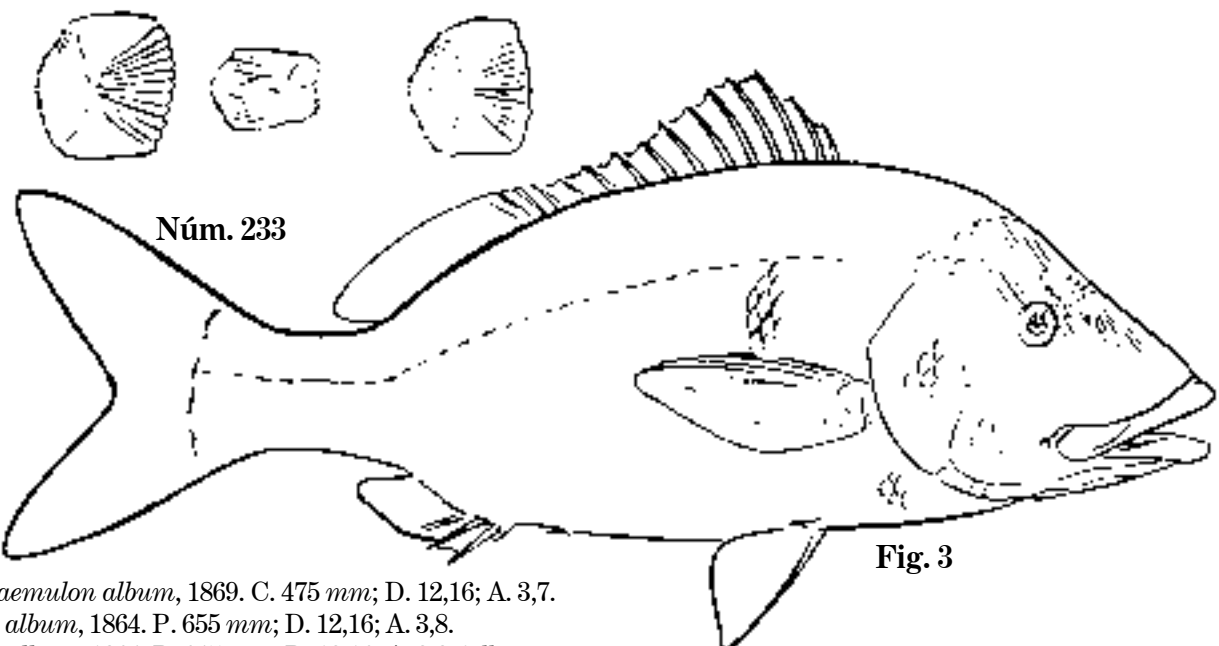
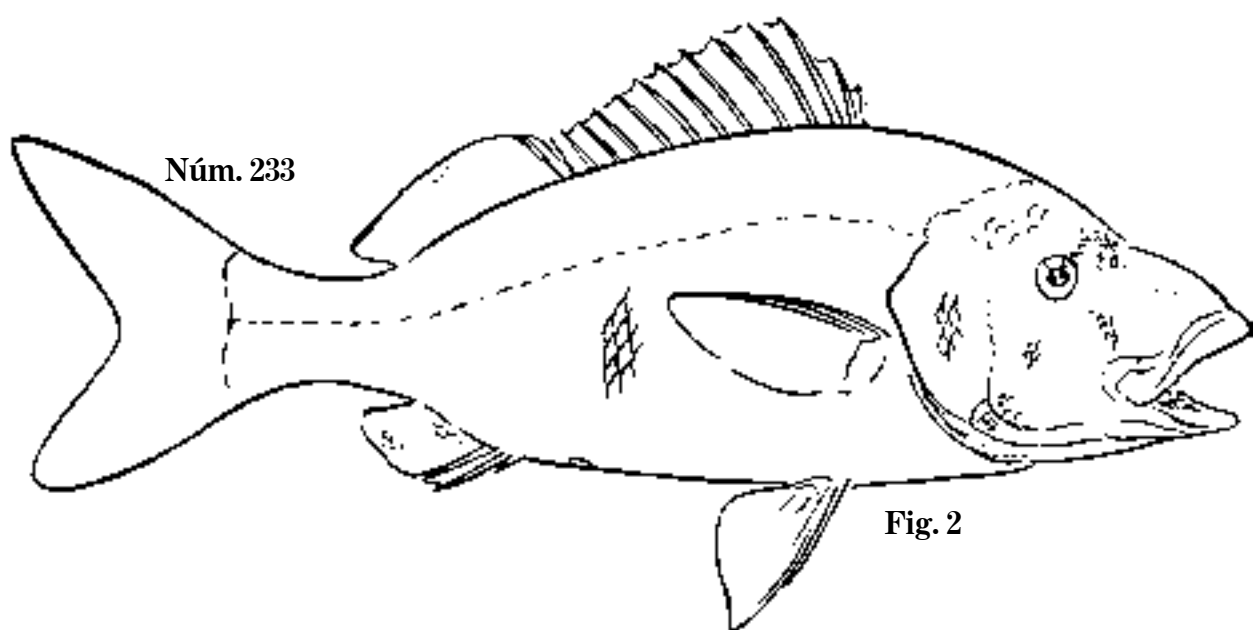
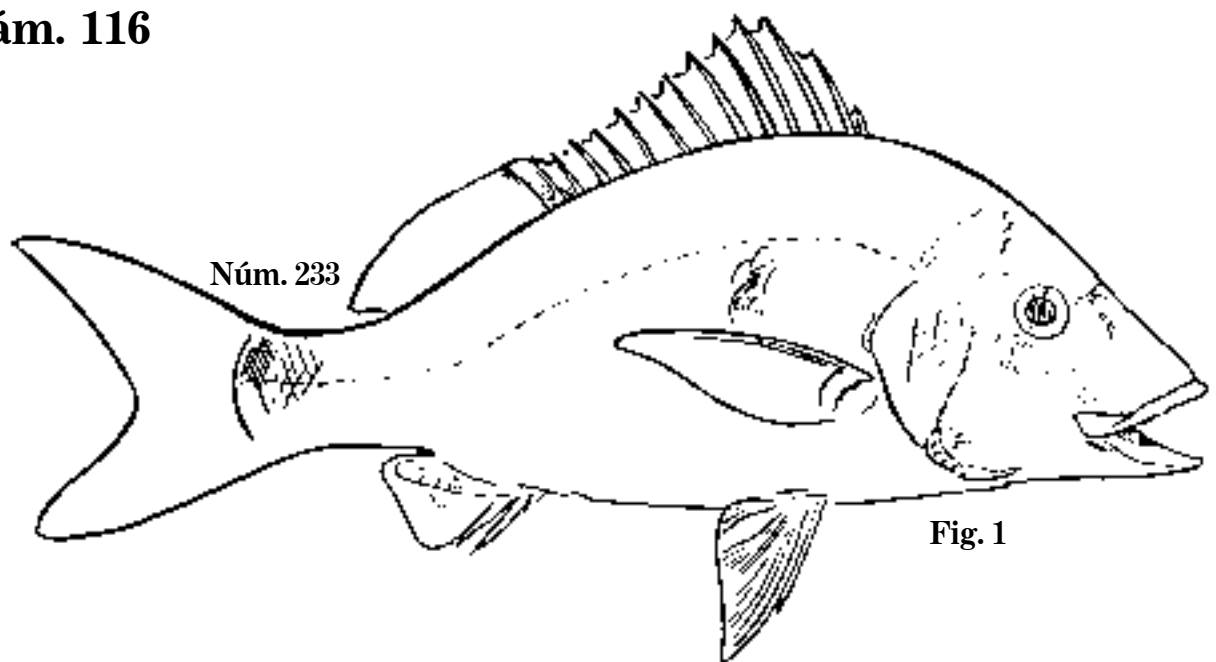
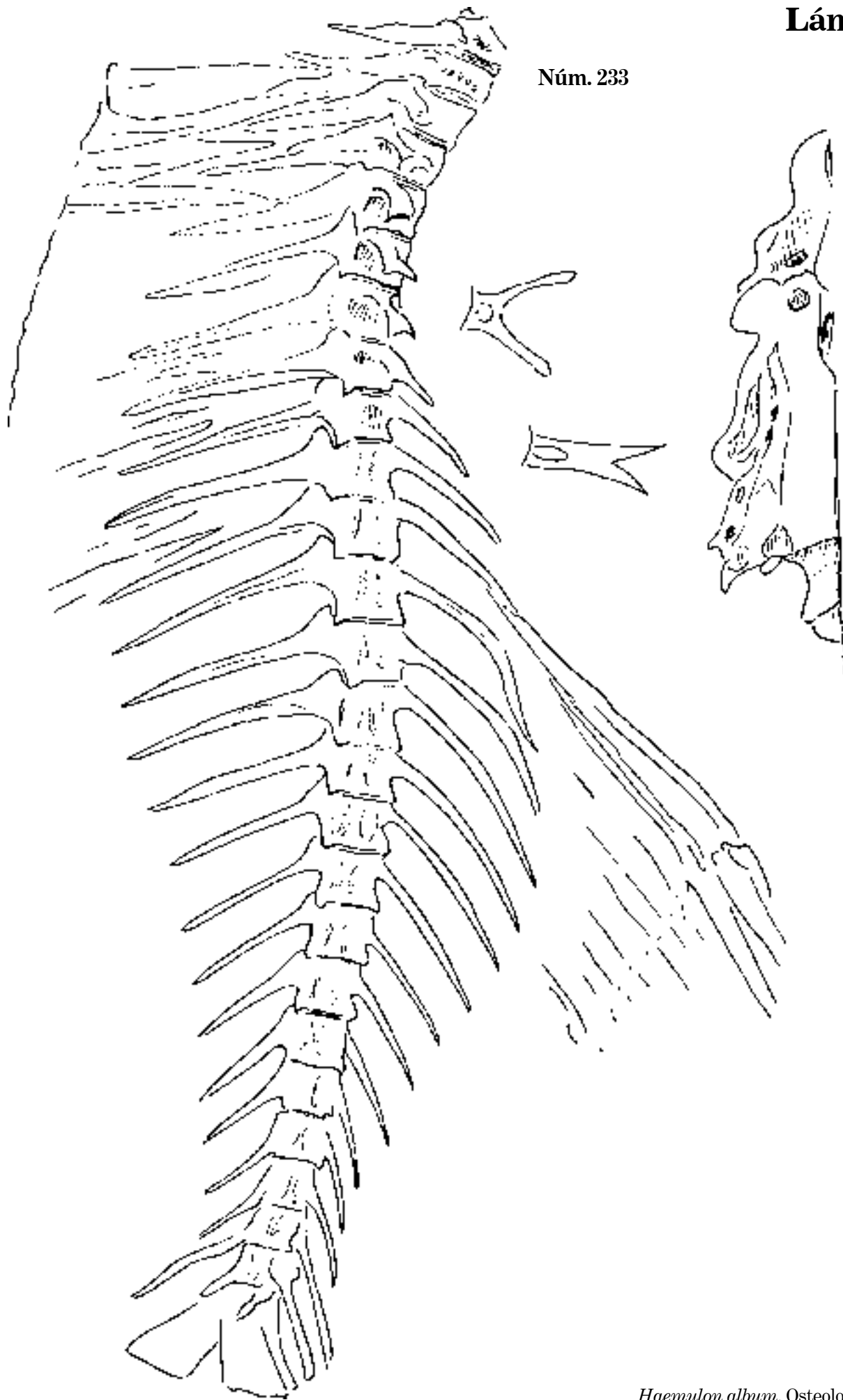


Fig. 1 *Haemulon album*, 1869. C. 475 mm; D. 12,16; A. 3,7.

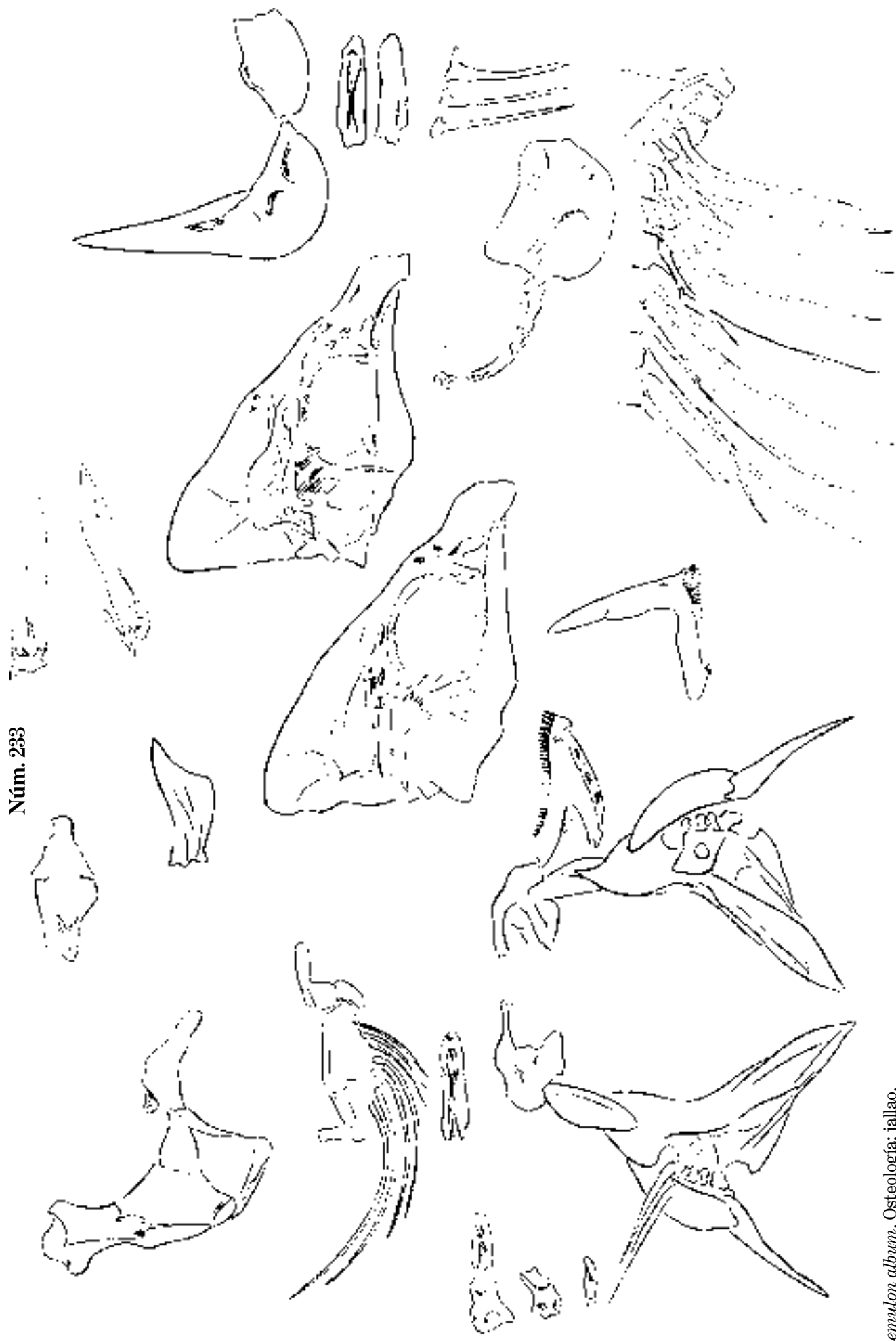
Fig. 2 *H. album*, 1864. P. 655 mm; D. 12,16; A. 3,8.

Fig. 3 *H. album*, 1864. P. 645 mm; D. 12,16; A. 3,8; jallao.

Núm. 233



Haemulon album. Osteología; jallao.



Haemulon album. Osteología; jallao.

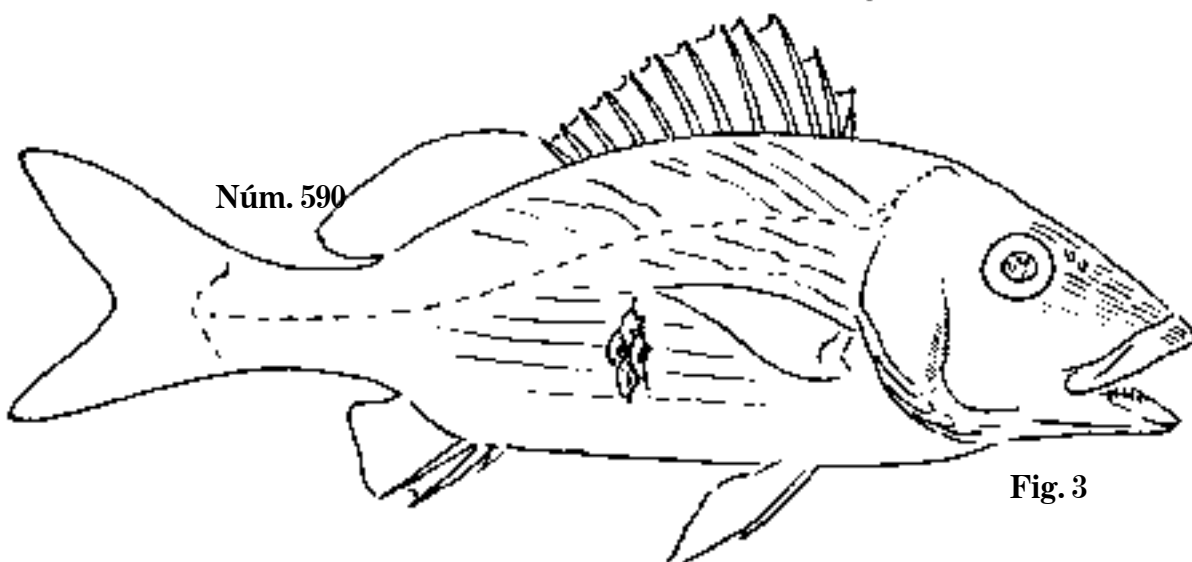
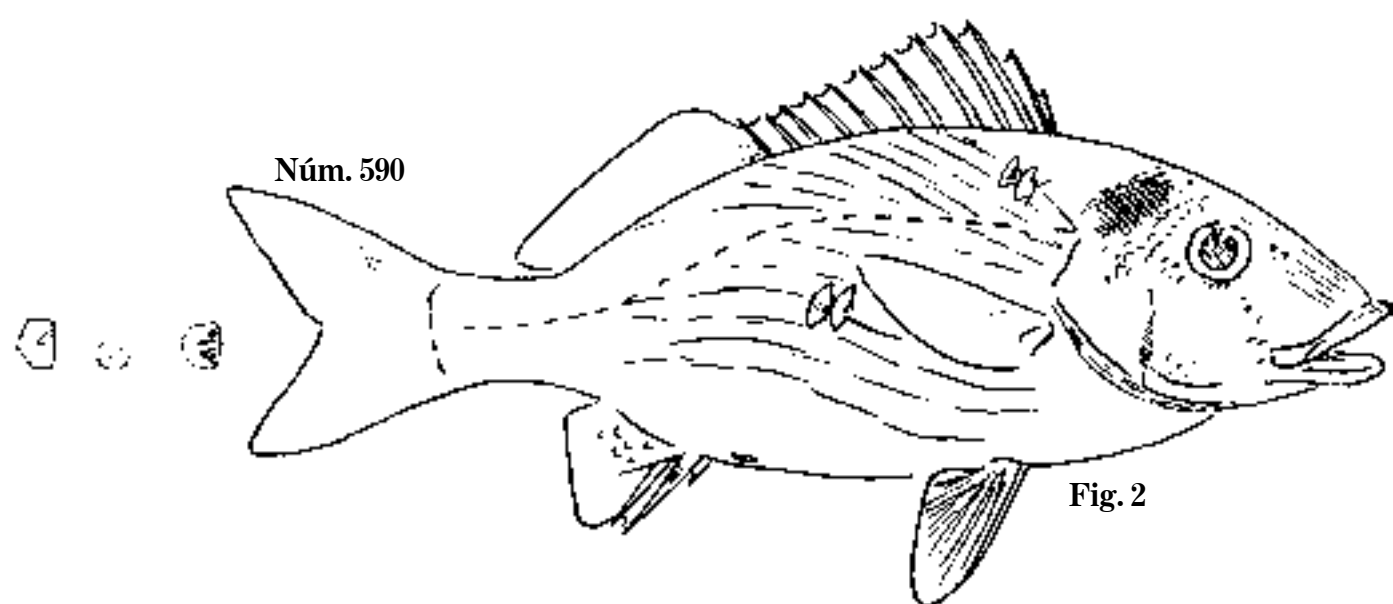
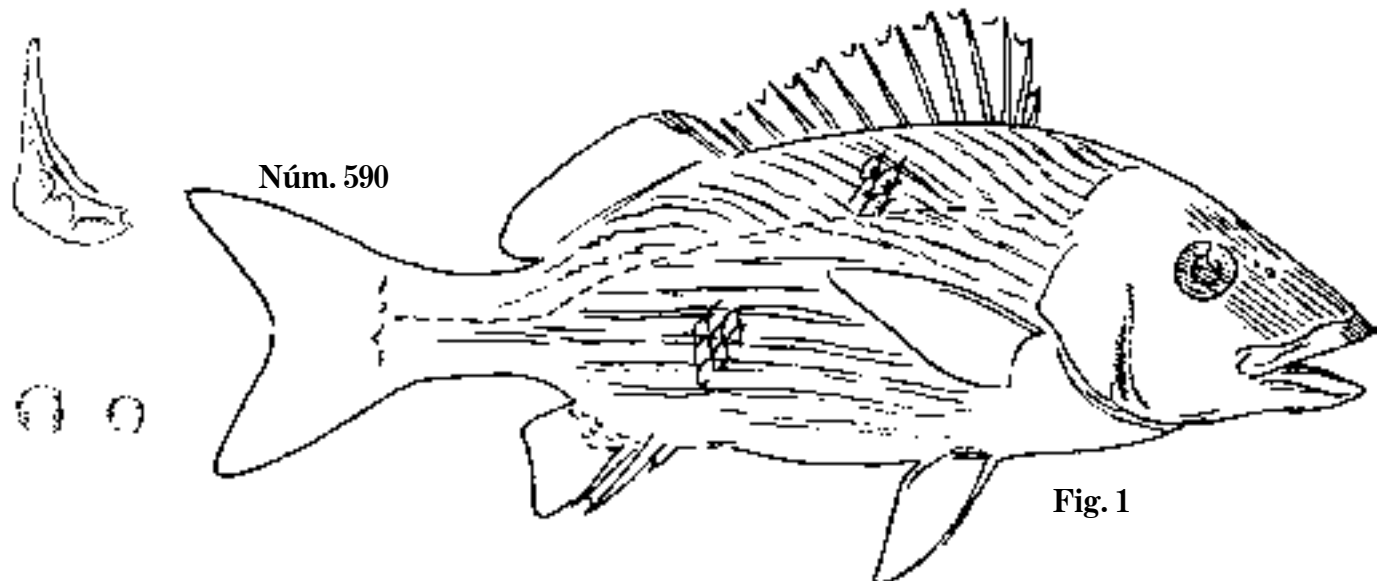


Fig. 1 *Haemulon acutum*, 1860. P. 340 mm; D. 12,17; A. 3,8.

Fig. 2 *H. acutum*. C. 328 mm; D. 12,17; A. 3,8.

Fig. 3 *H. acutum*, 1860. C. 335 mm; D. 12,17; A. 3,9; ronco.

Lám. 120

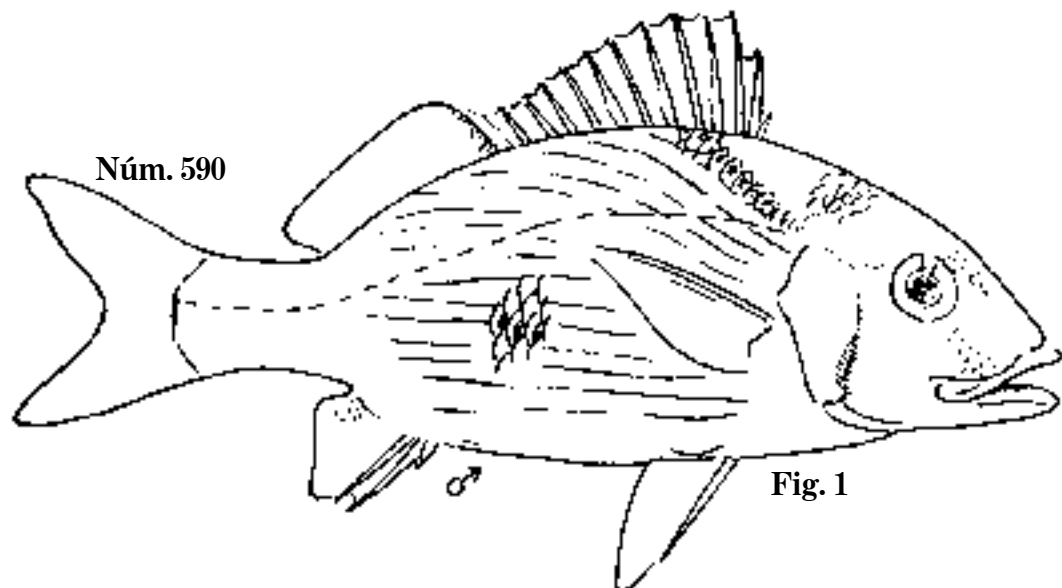


Fig. 1

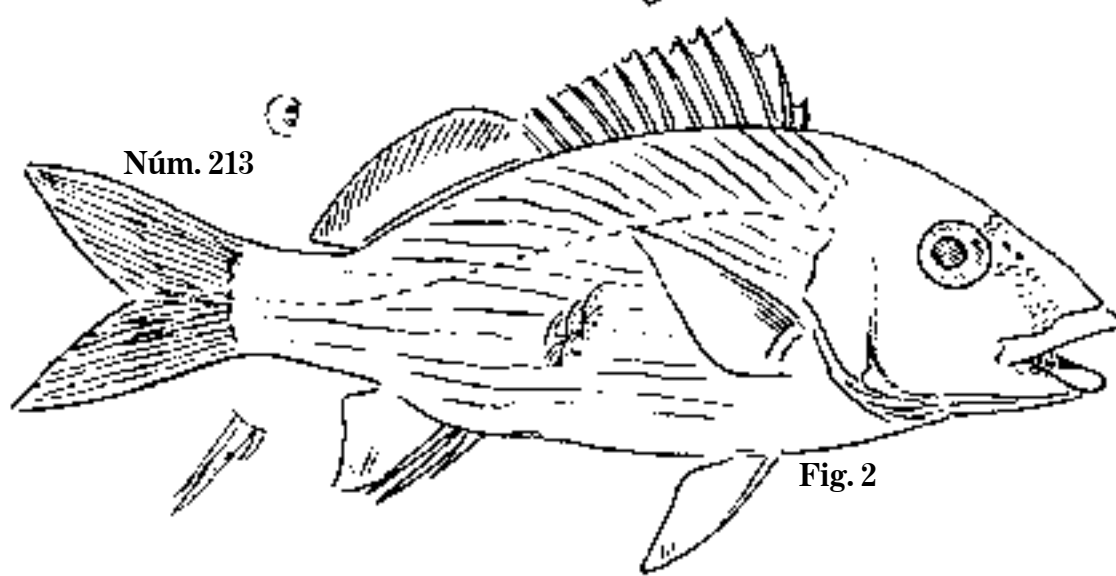


Fig. 2

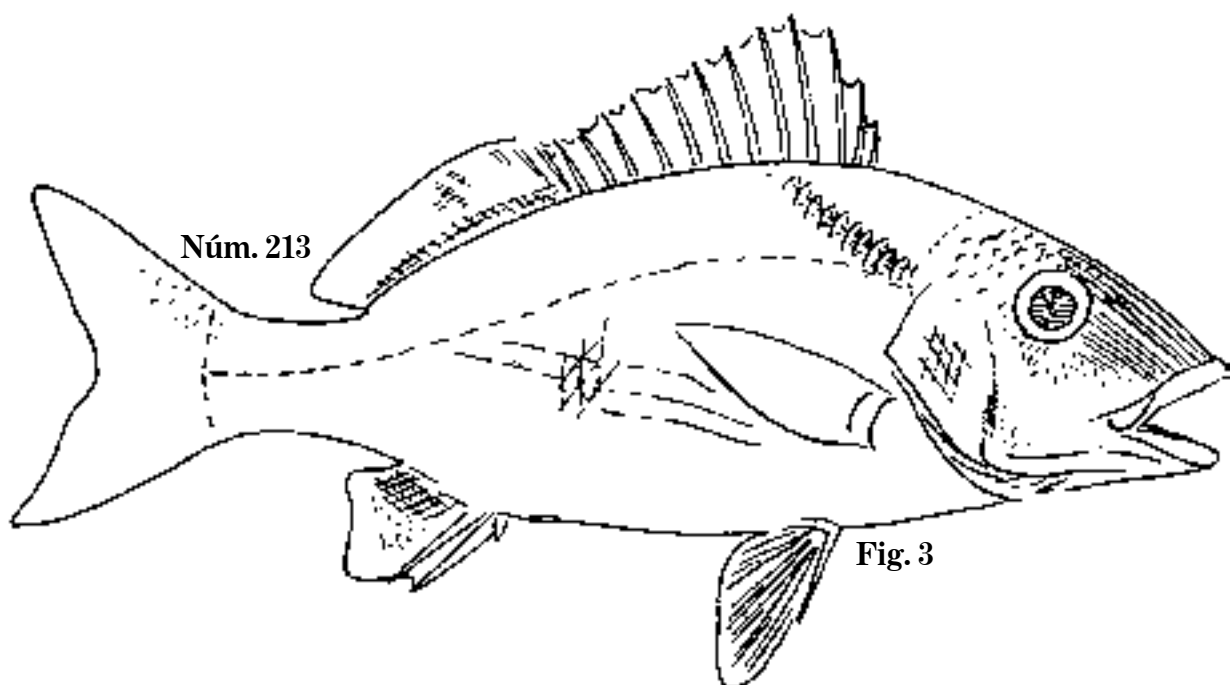


Fig. 3

Fig. 1 *Haemulon acutum*, 1862. P. 320 mm; D. 12,18; A. 3,7.

Fig. 2 *H. albidum*, 1859. P. 280 mm; D. 12,17; A. 3,8.

Fig. 3 *H. albidum*, 1870. C. 302 mm; D. 12,17; A. 3,8; ronco.

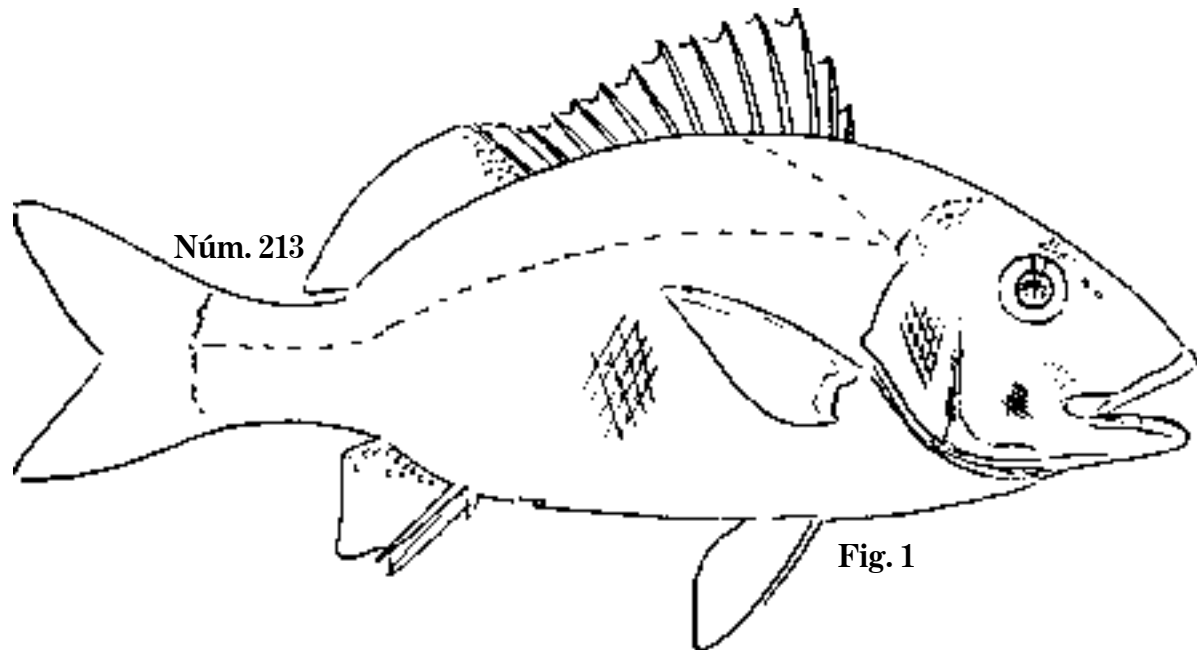


Fig. 1

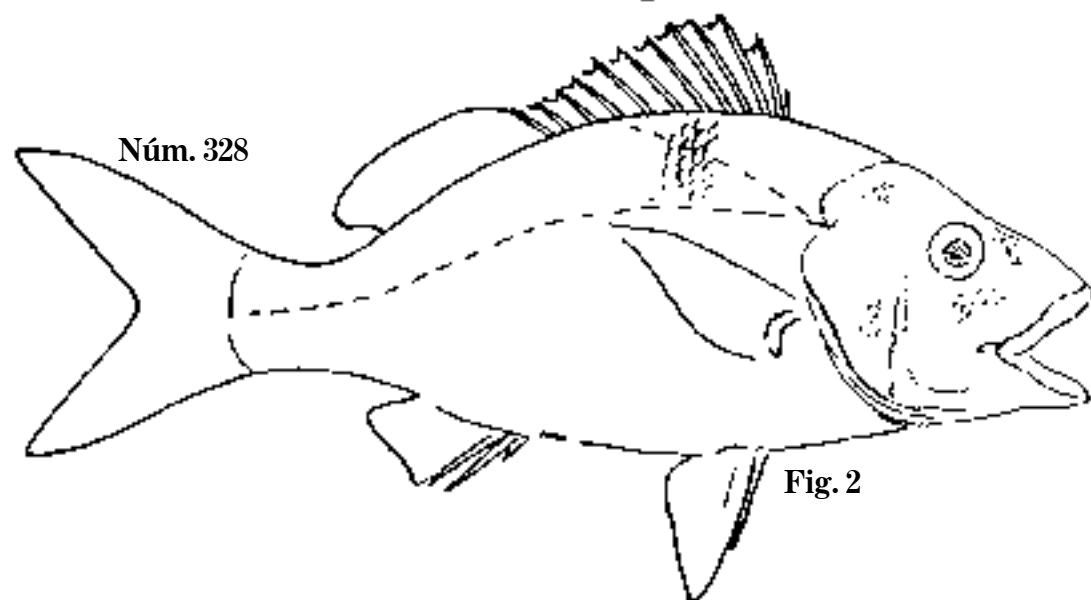


Fig. 2

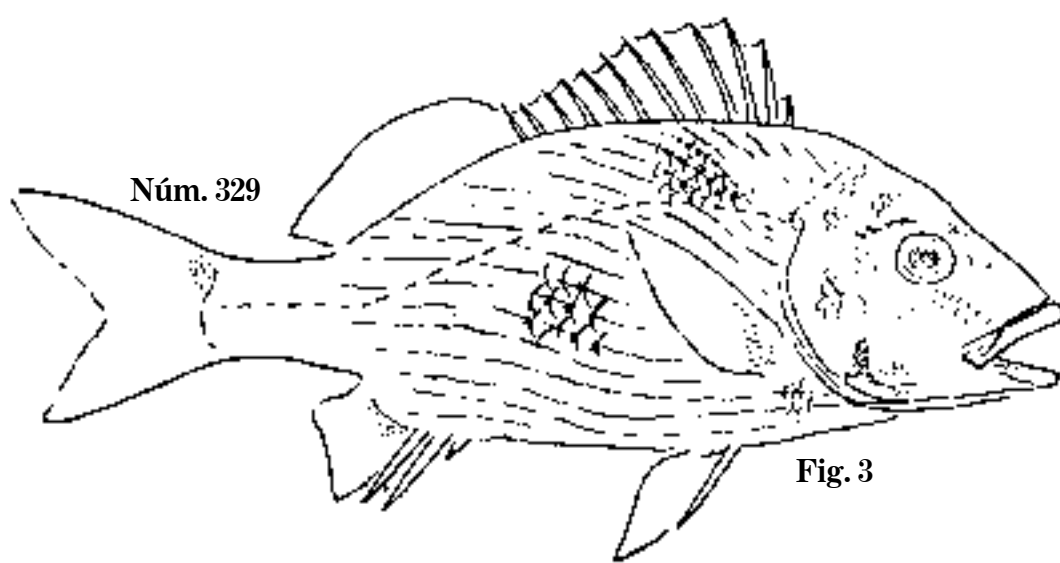


Fig. 3

Fig. 1 *Haemulon albidum*, 1869. C. 291 mm; D. 12,16; A. 3,8.

Fig. 2 *H. Jaguanum*. C. 265 mm; D. 12,16; A. 3,8.

Fig. 3 *H. serratum*, 1864. C. 259 mm; D. 12,17; A. 3,8; ronco.

Lám. 122

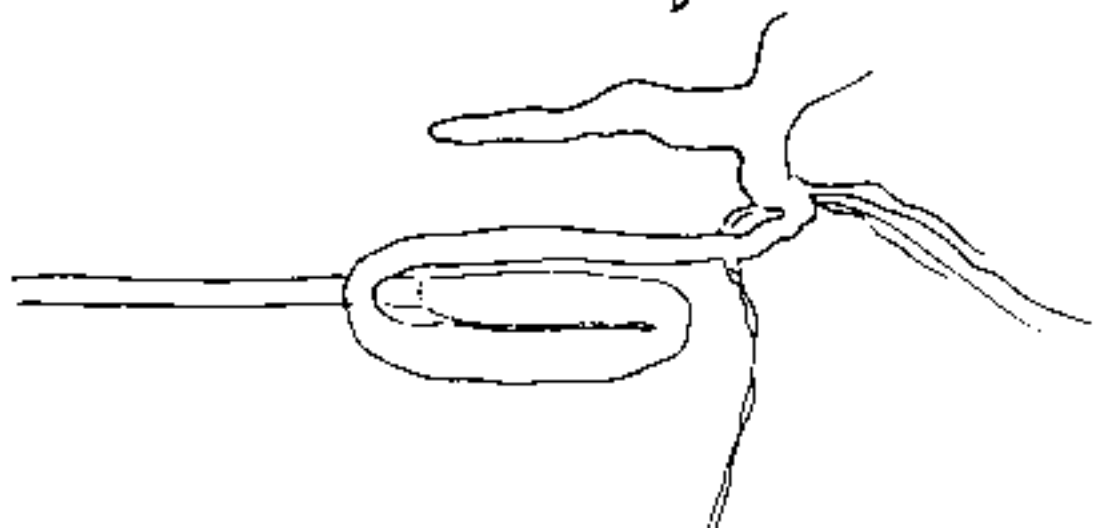
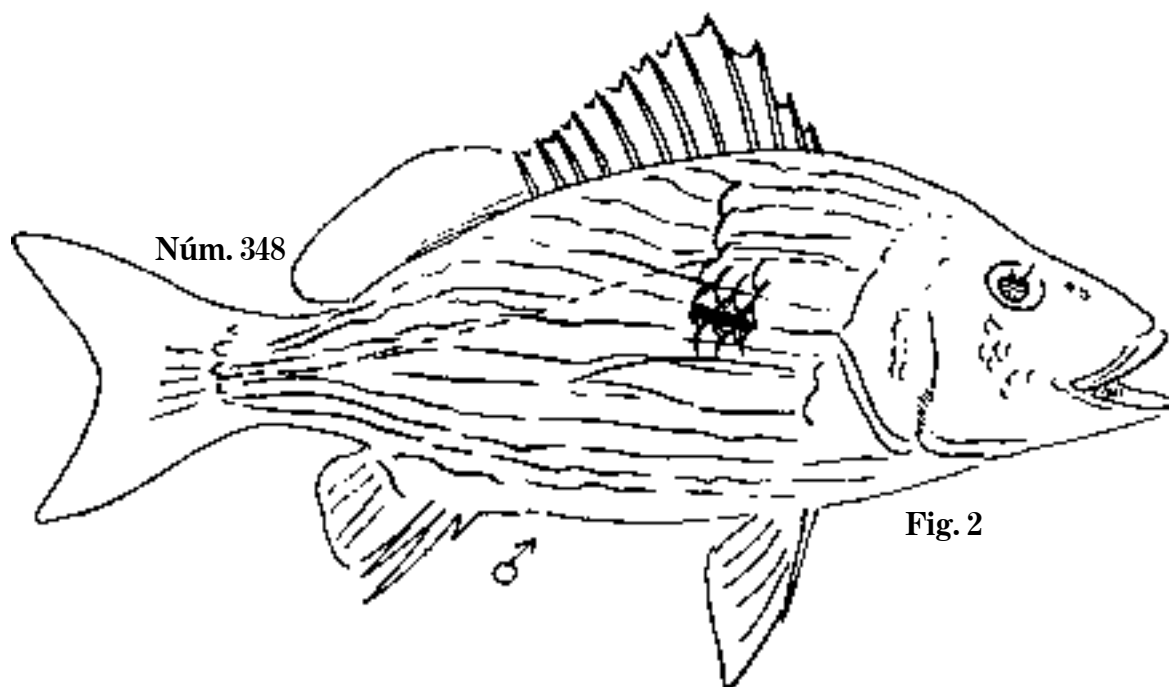
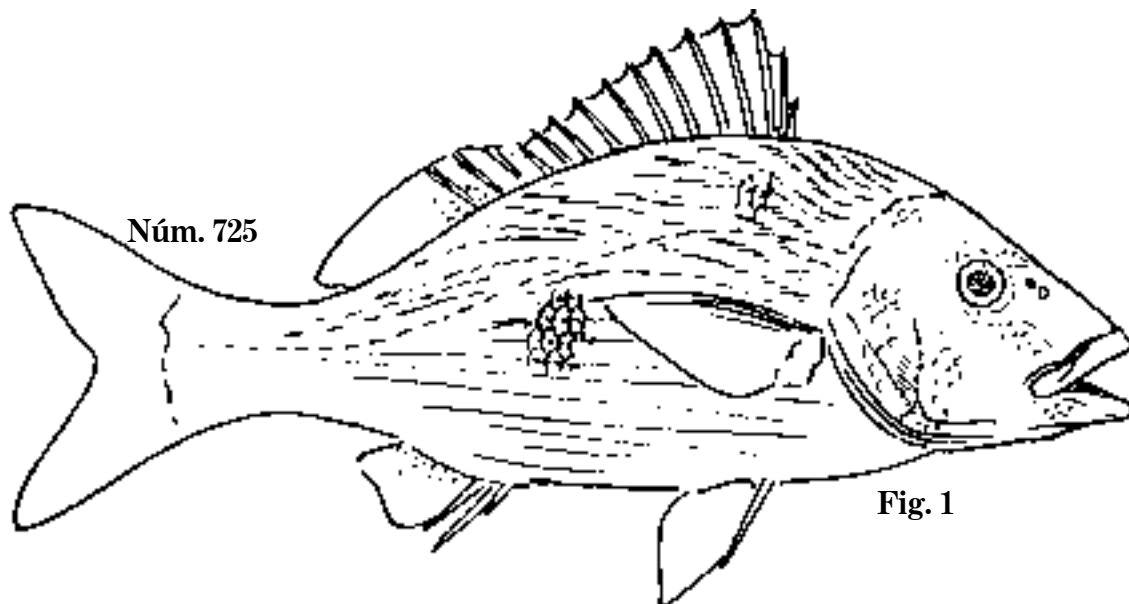


Fig. 1 *Haemulon retrocurrents*, 1864. P. 330 mm; D. 12,16; A. 3,8.
Fig. 2 *H. notatum*. C. 270 mm; D. 12,16; A. 3,8; ronco.

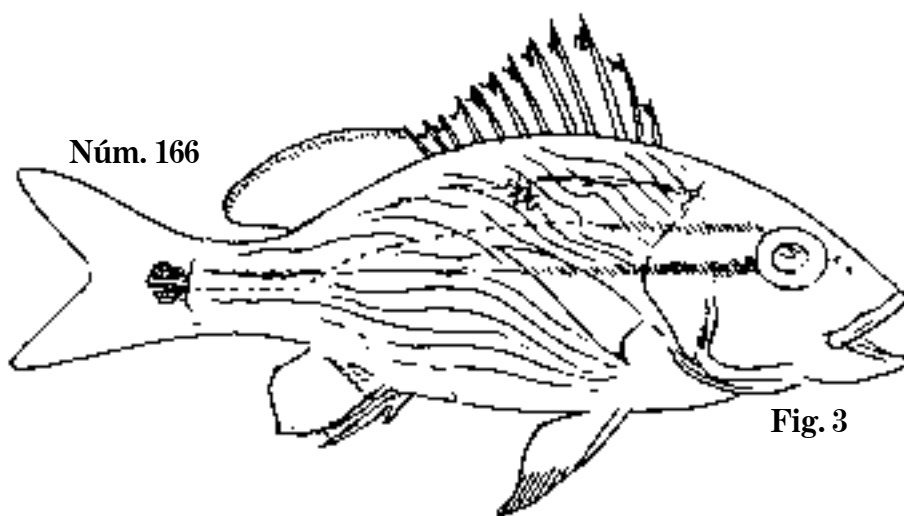
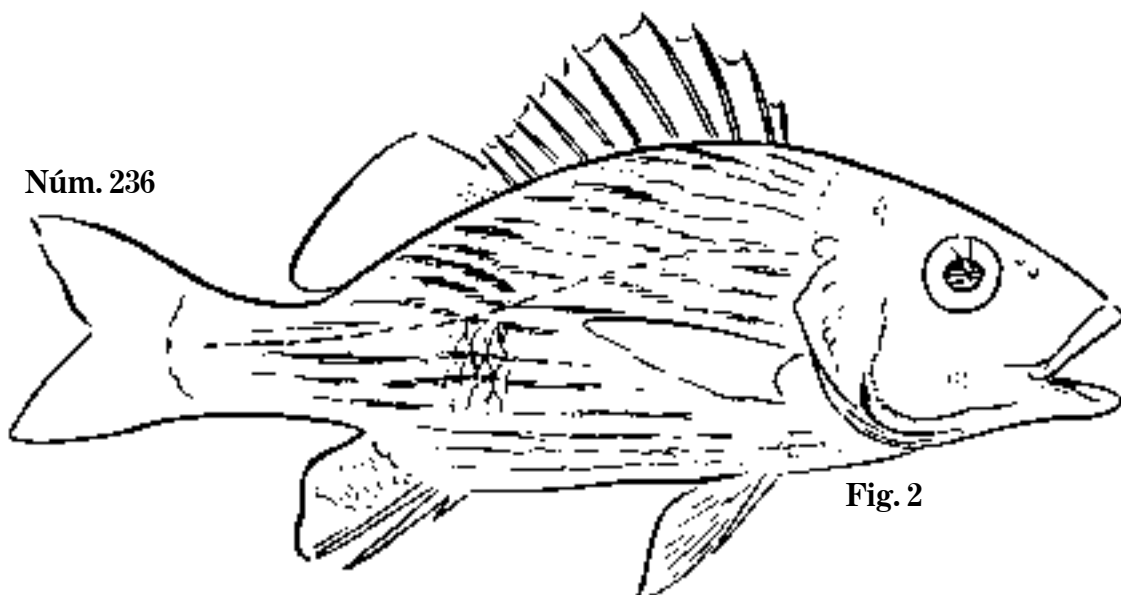
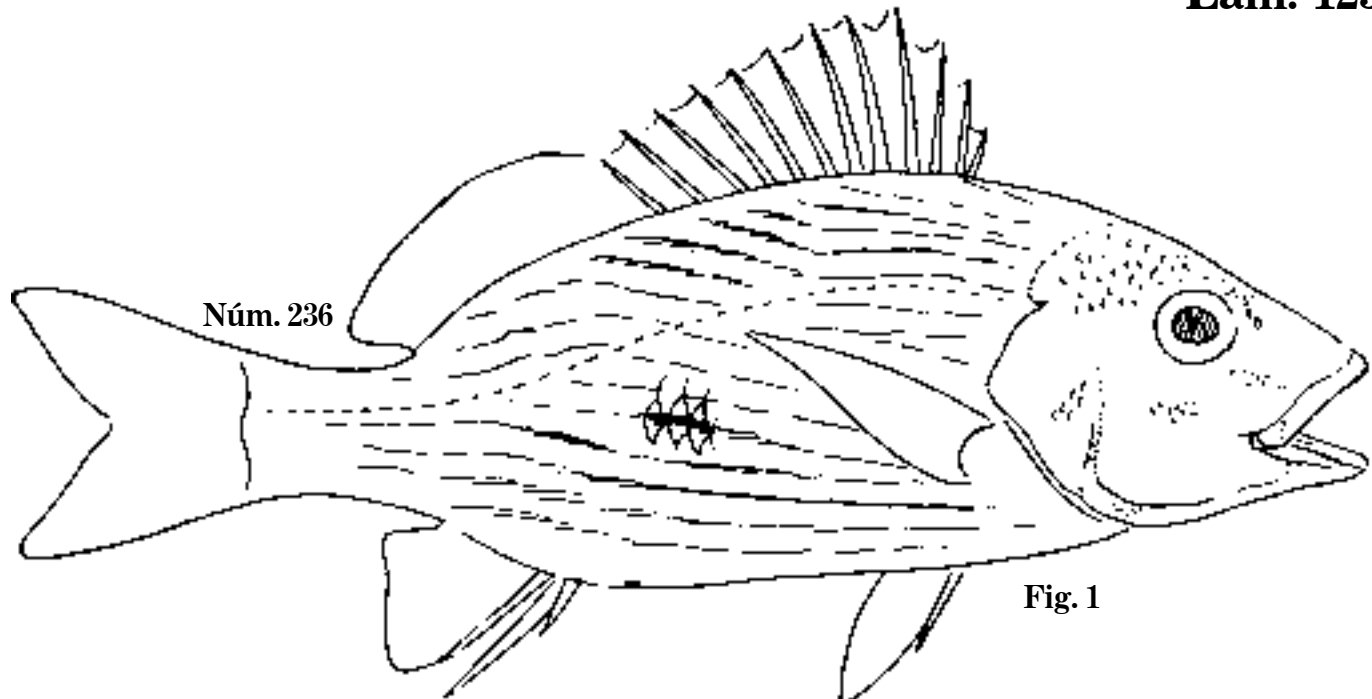


Fig. 1 *Haemulon continuum*, 1870. C. 180 mm; D. 12,15; A. 3,7.
Fig. 2 *H. continuum*, 1868. P. 148 mm; D. 11,17; A. 3,8.
Fig. 3 *H. Parrae*. C. 119 mm; D. 12,?; A. ?; ronco.

Lám. 124

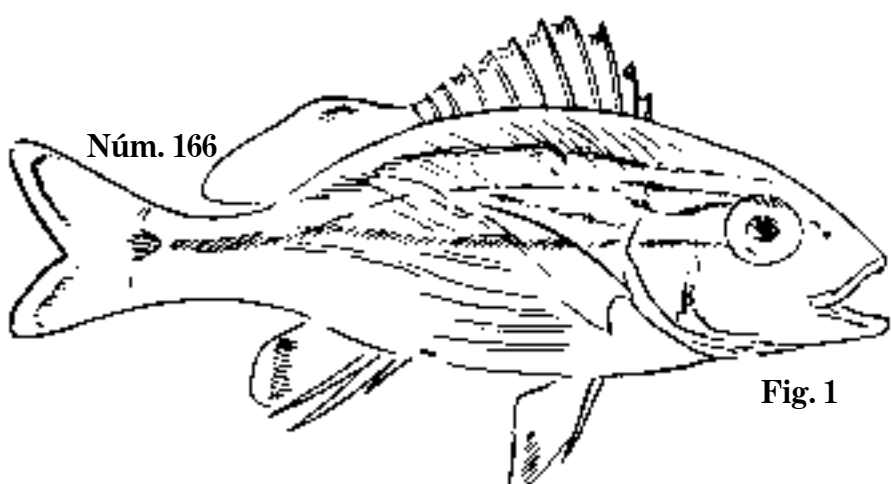


Fig. 1

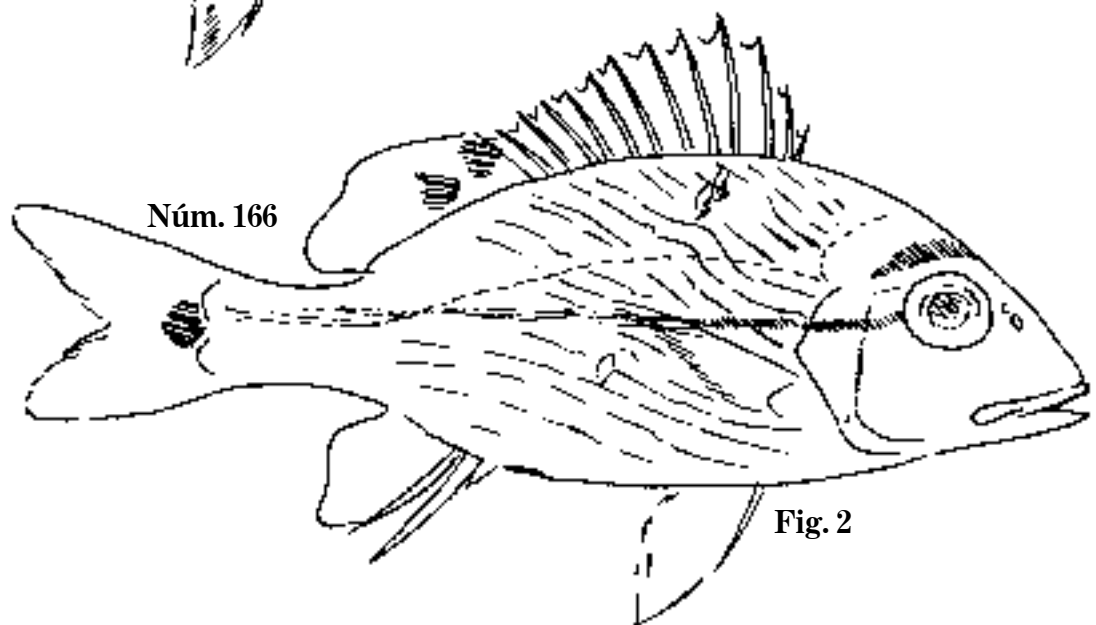


Fig. 2

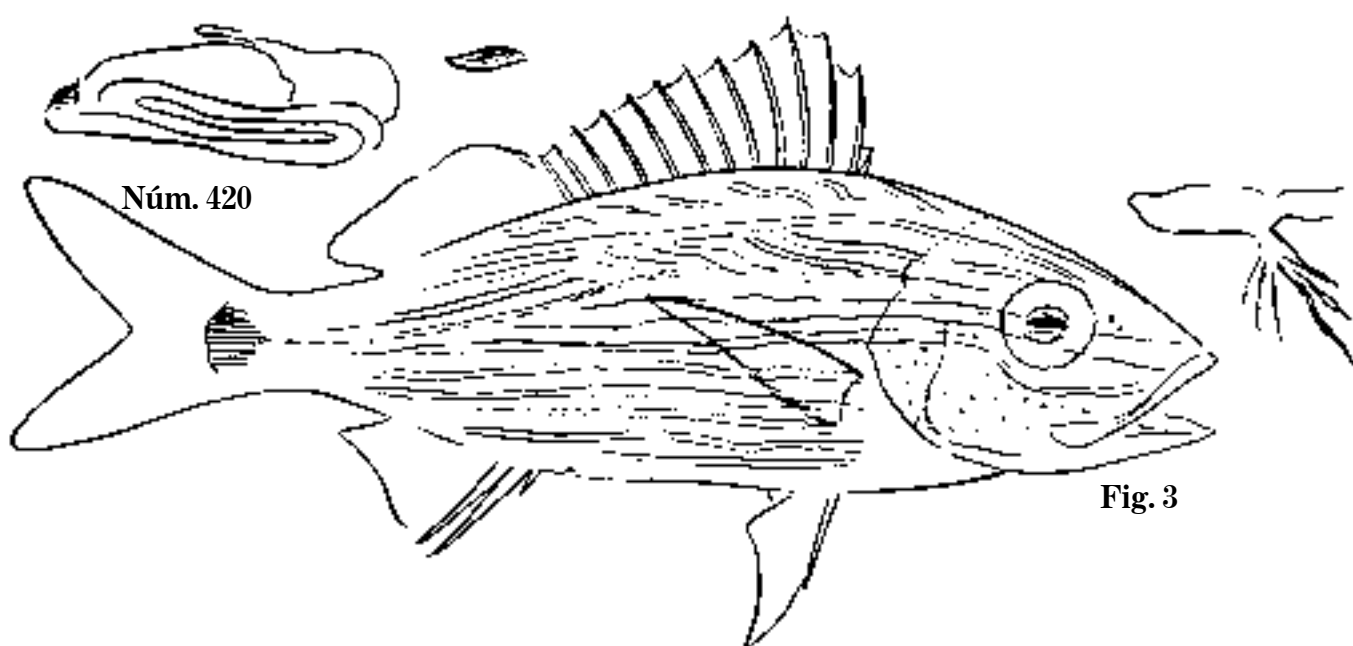


Fig. 3

Fig. 1 *Haemulon Parrae*. C. 117 mm; D. 12,17; A. 3,8?

Fig. 2 *H. Parrae*. C. 144 mm; D. 12,17; A. 3,8; ronco.

Fig. 3 *H. Jeniguano*, 1840. C. 159 mm; D. 13,14; A. 3,9; jeniguano.

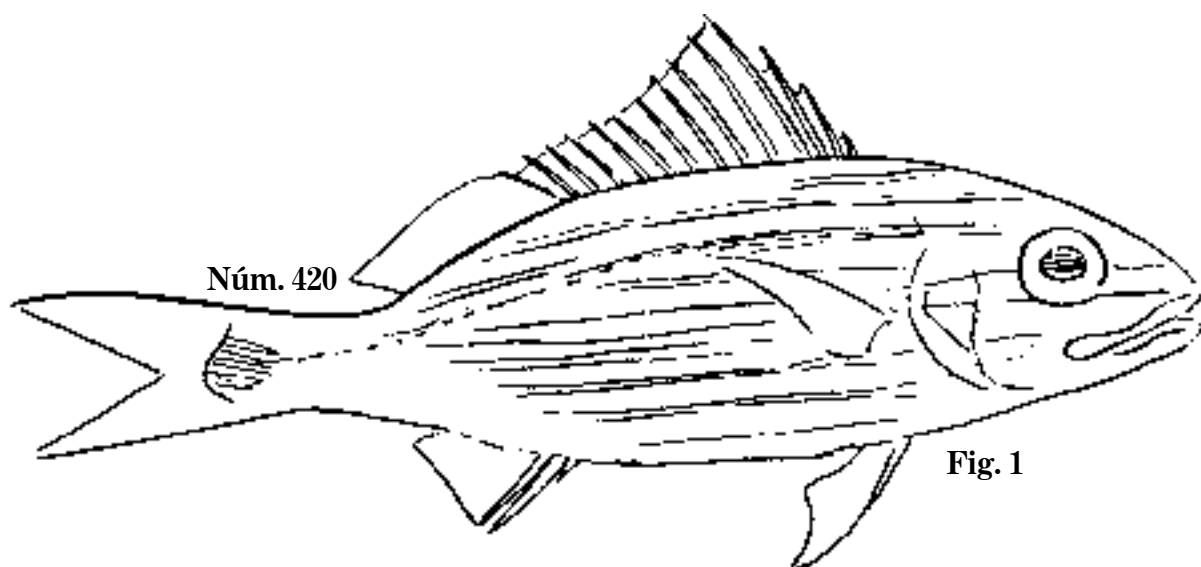


Fig. 1

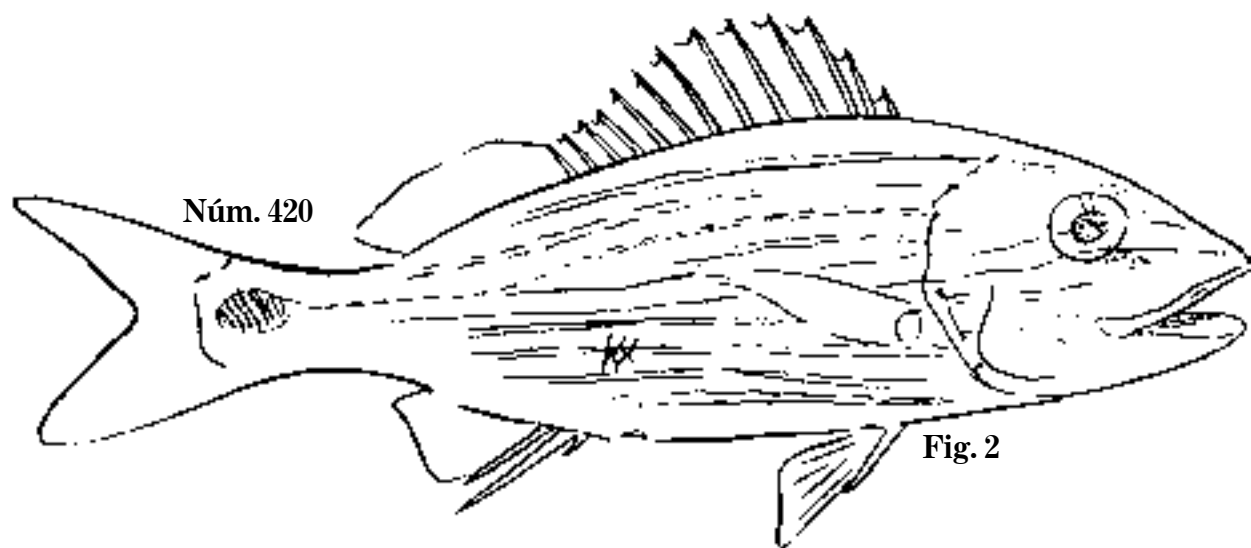


Fig. 2

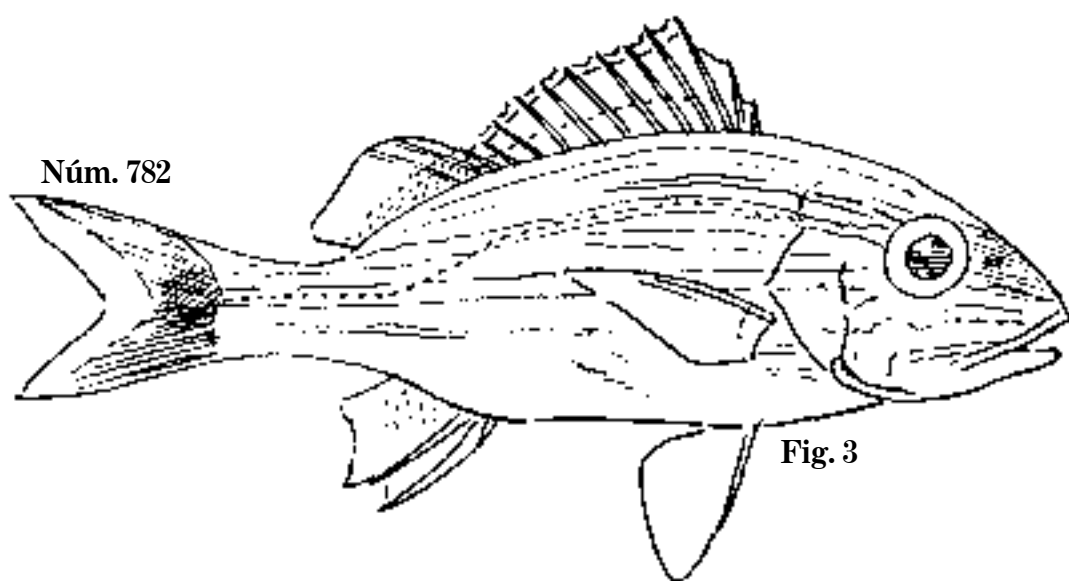


Fig. 3

Fig. 1 *Haemulon Jeniguano*, 1864. C. 127 mm; D. 13,14; A. 3,9.

Fig. 2 *H. Jeniguano*, 1869. C. 133 mm; D. 13,14; A. 3,9.

Fig. 3 *H. fur*, 1876. P. 113; D. 12,15; A. 3,8; jeniguano.

Lám. 126

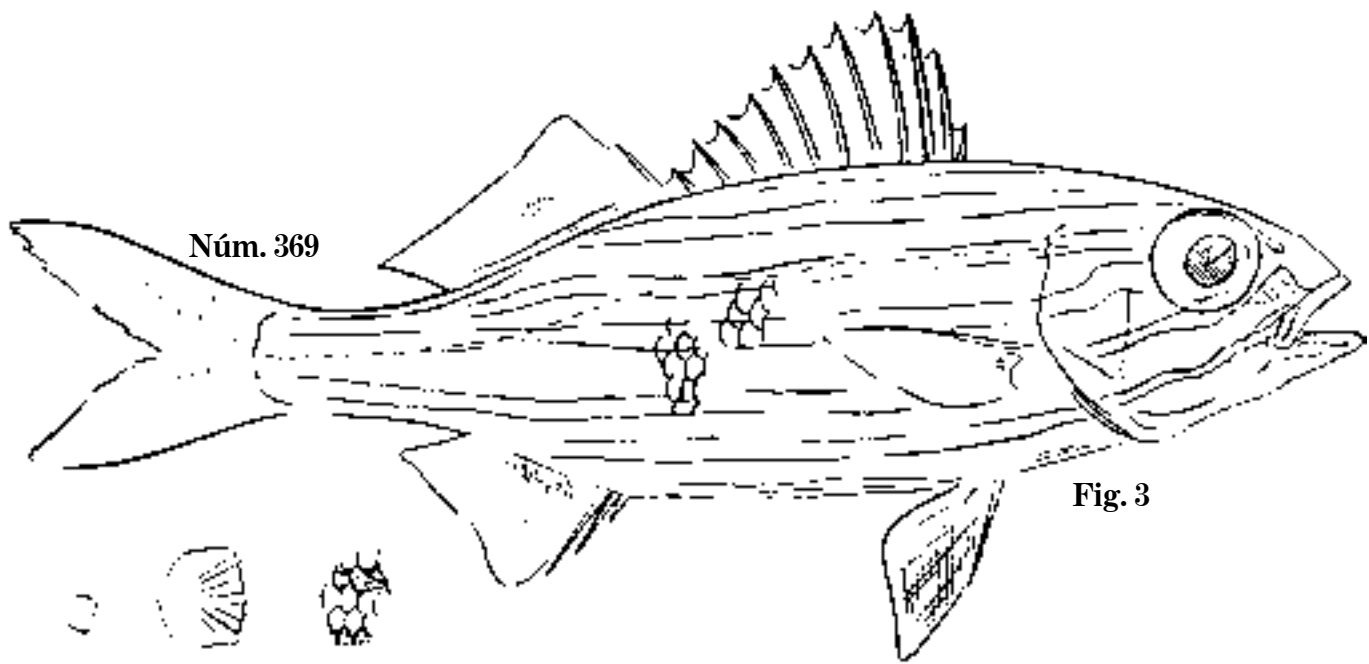
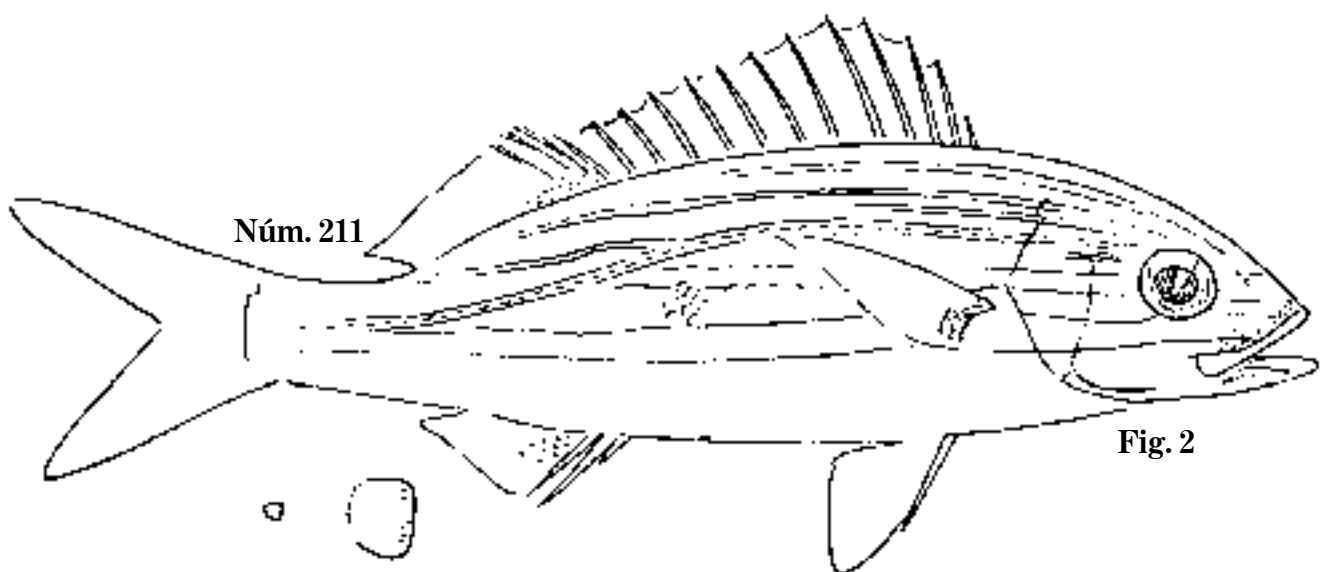
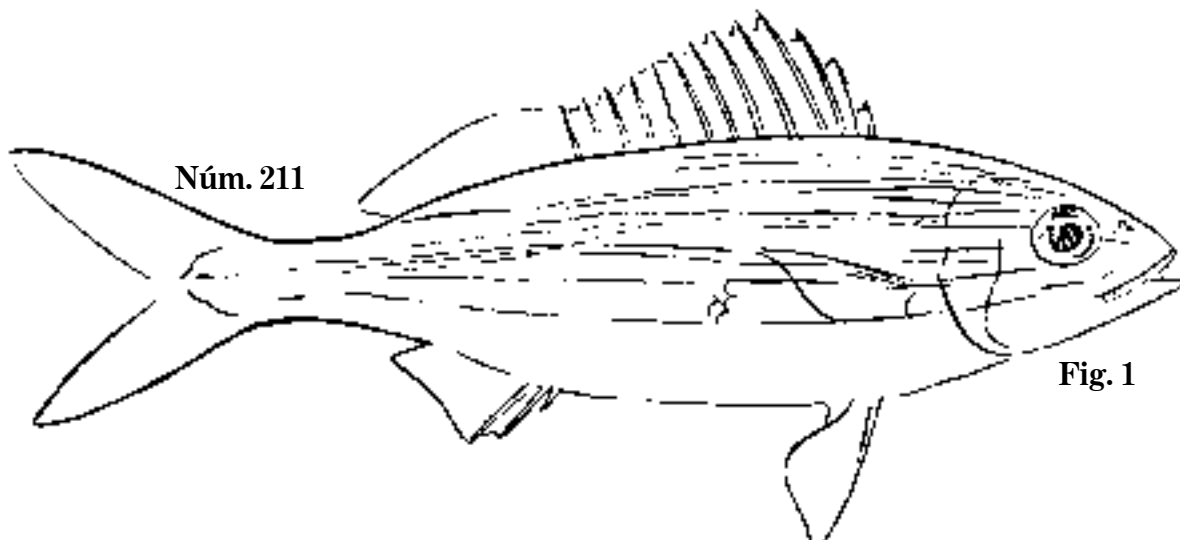


Fig. 1 *Haemulon quadrilineatum*. C. 170 mm; D. 13,14; A. 3,8.

Fig. 2 *H. quadrilineatum*, 1864. C. 193 mm; D. 13,14; A. 3,8.

Fig. 3 *H. taeniatum*. C. 199 mm; D. 11,1,13; A. 3,9; S.N.C.

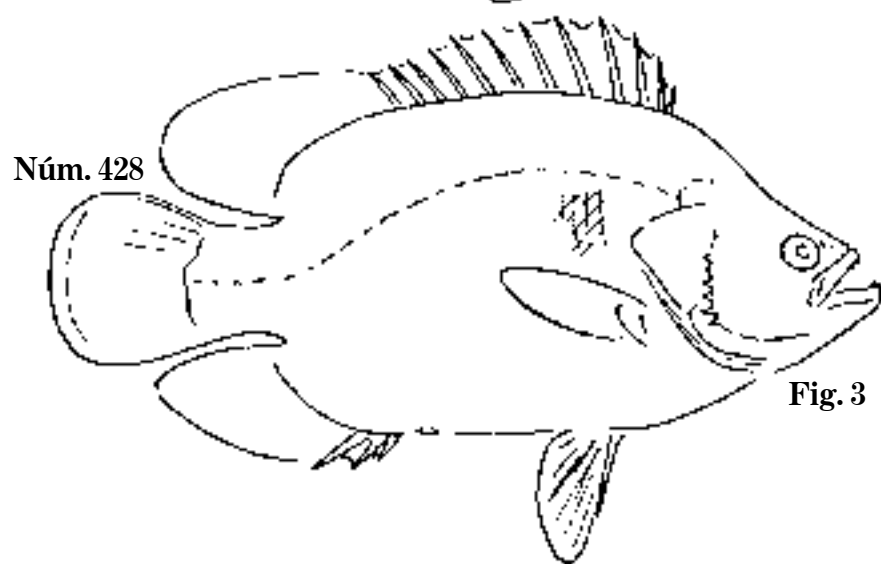
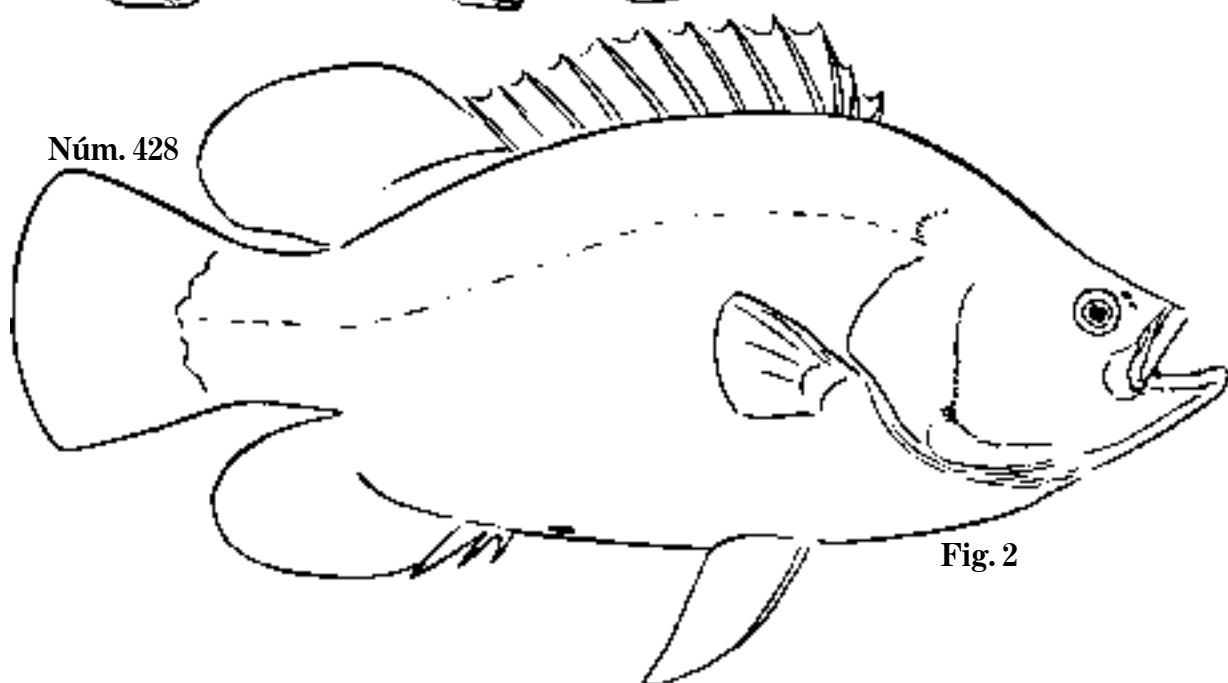
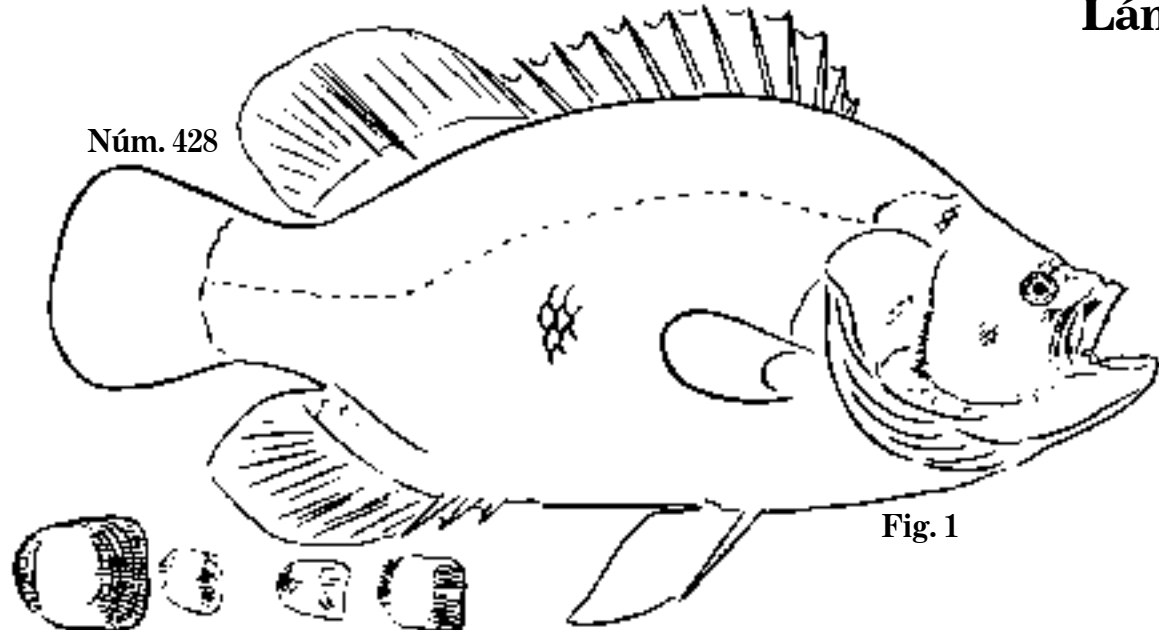


Fig. 1 *Lobotes surinamensis*, 1852. C. 496 mm; D. 12,15; A. 3,11.

Fig. 2 *L. surinamensis*, 1859. P. 530 mm.

Fig. 3 *L. surinamensis*. C. 248 mm; D. 12,16; A. 3,11; viajaca de la mar.

Lám. 128

Núm. 428

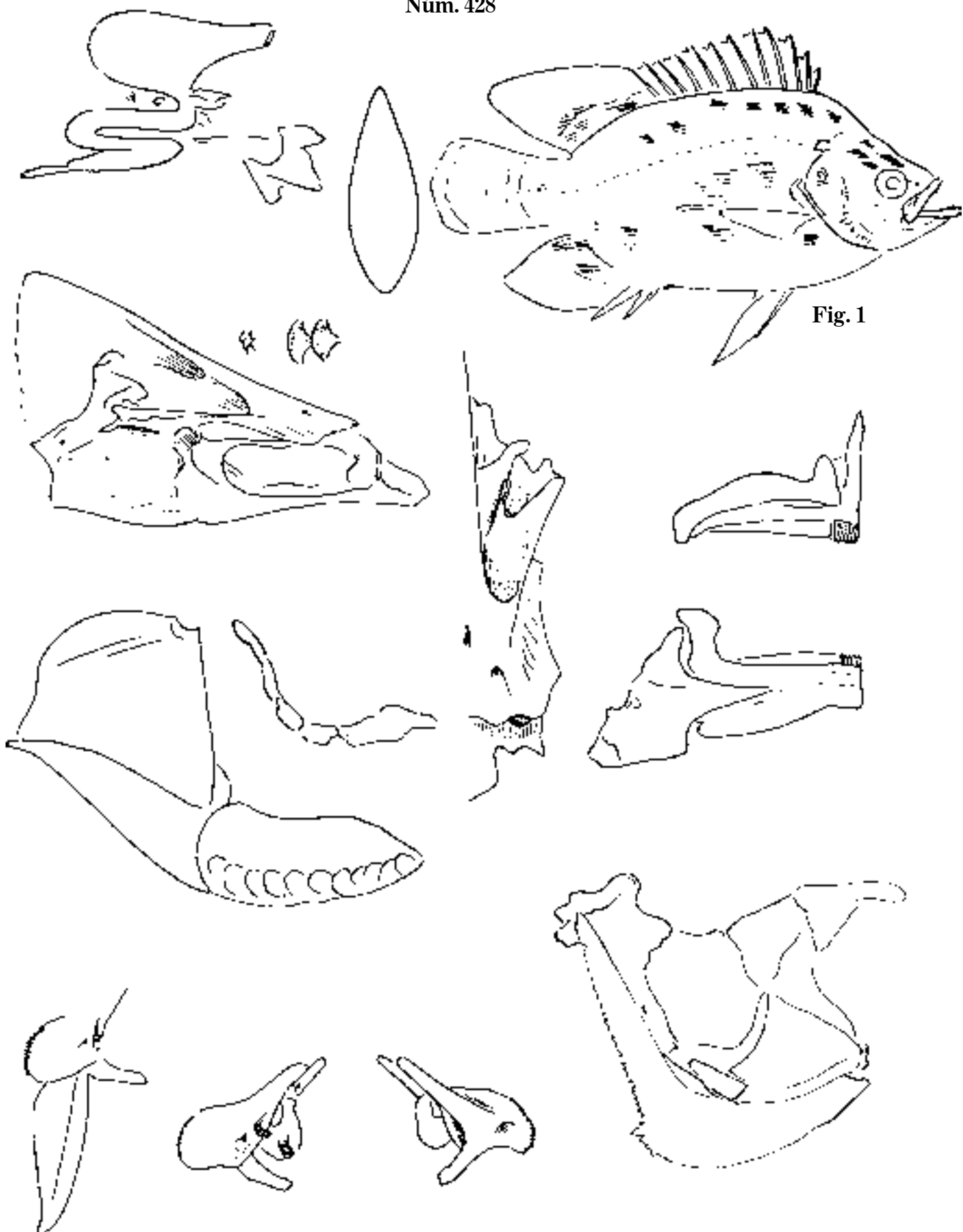


Fig. 1 *Lobotes surinamensis*, 1850. C. 132 mm; D. 12,16; A. 3,11; viajaca de la mar.

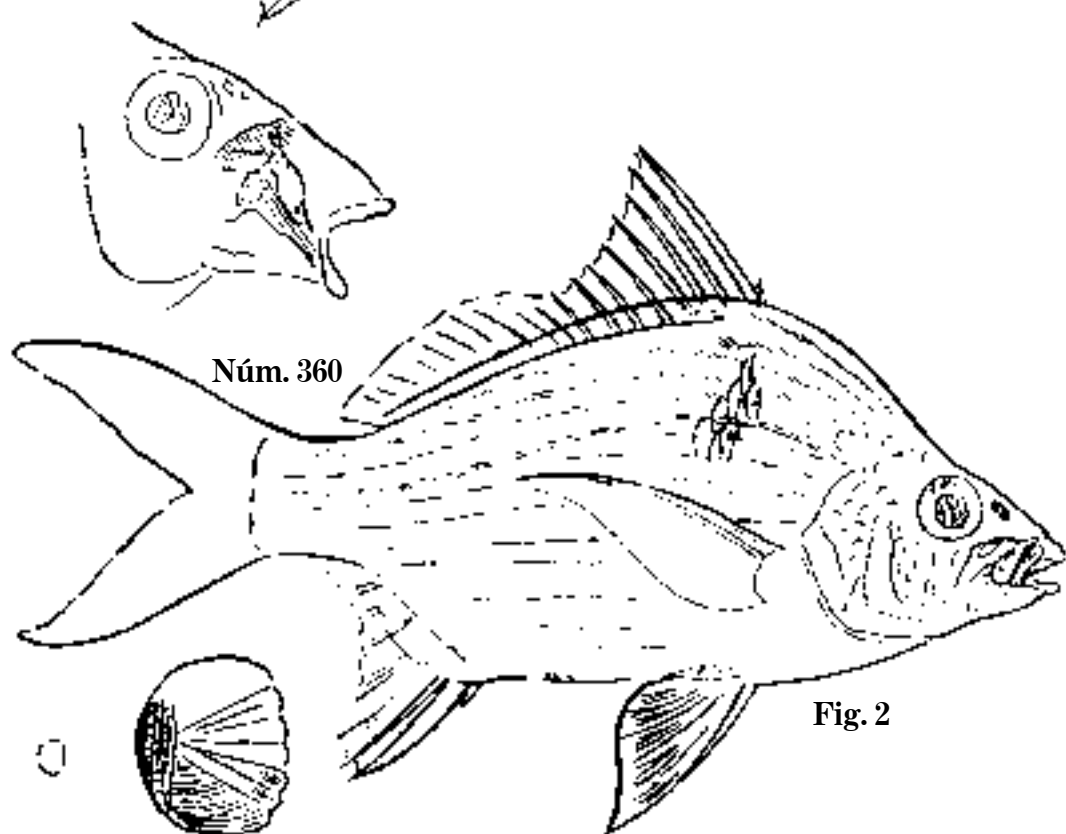
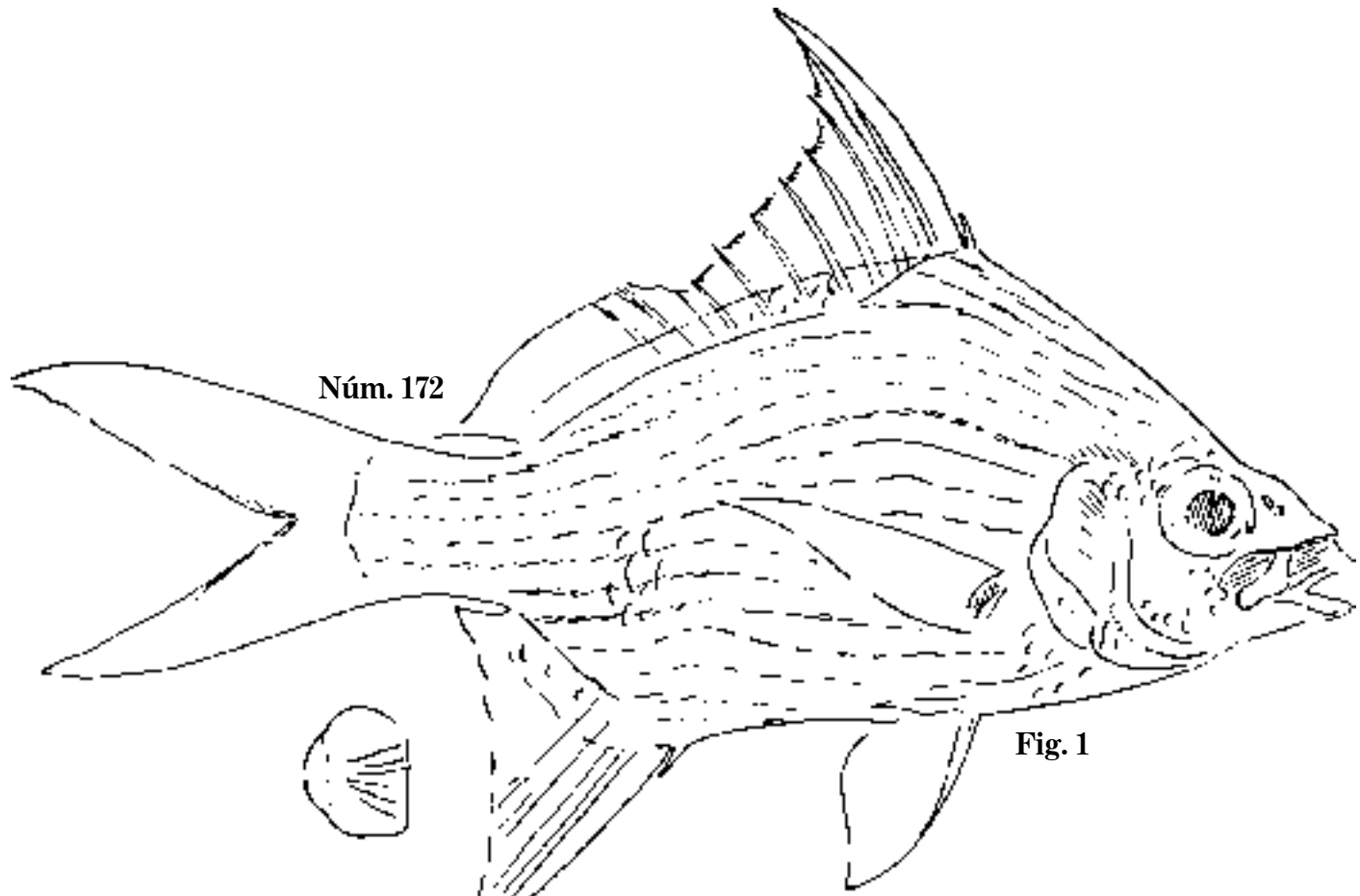
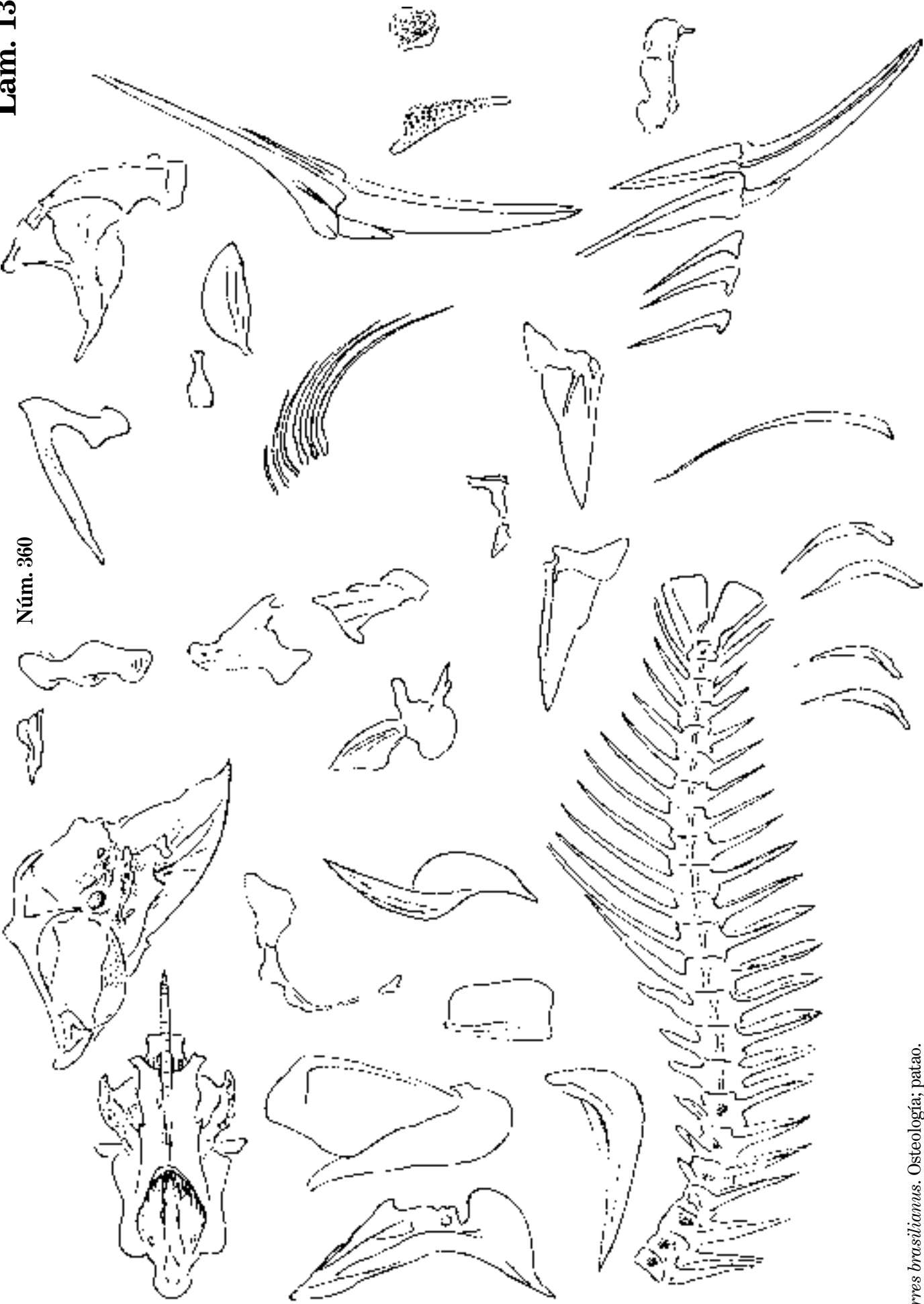


Fig. 1 *Gerres Plumieri*, 1859. C. 190 mm; D. 9,11; A. 3,9.

Fig. 2 *G. brasiliensis*, 1860. C. 291 mm; D. 9,10; A. 3,8; patao.

Lám. 130



Gerres brasiliensis. Osteología; patao.

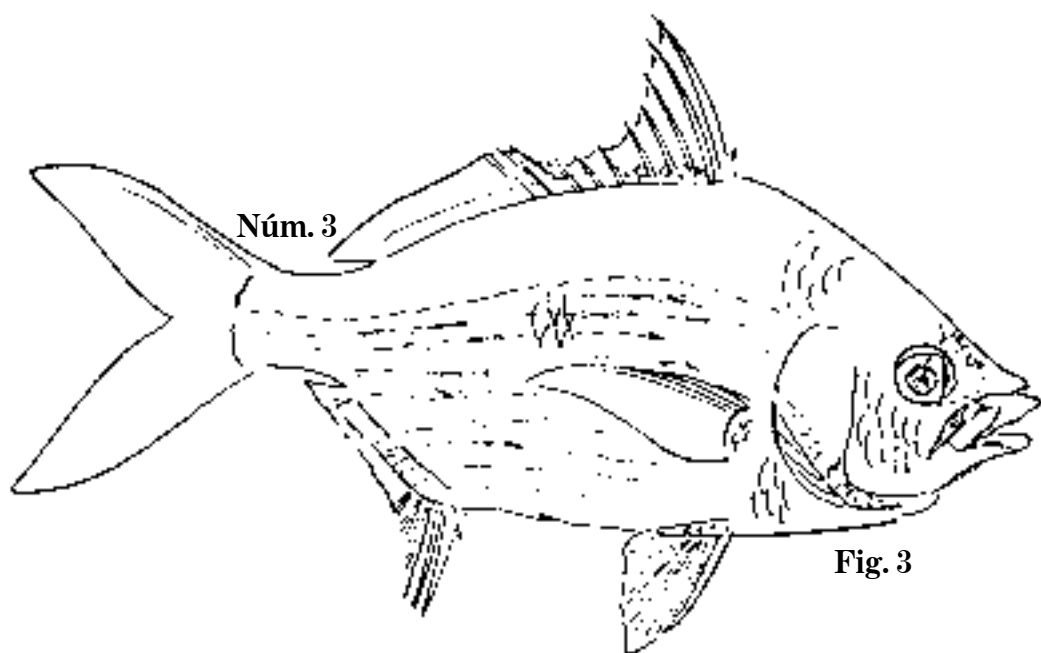
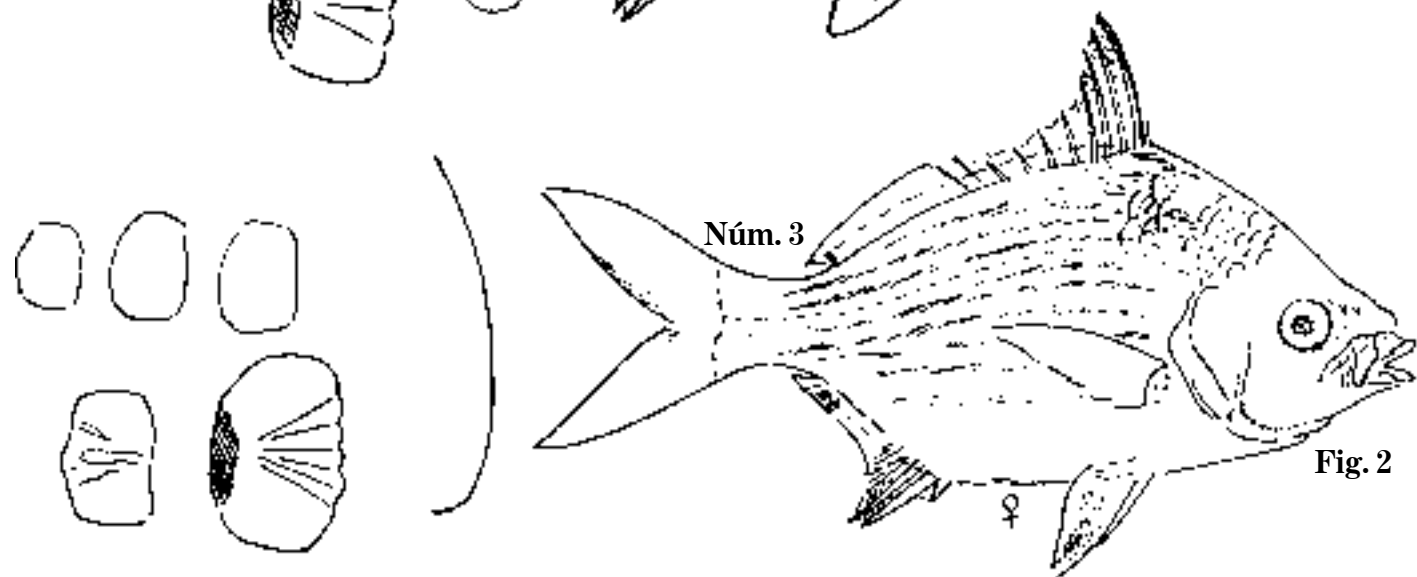
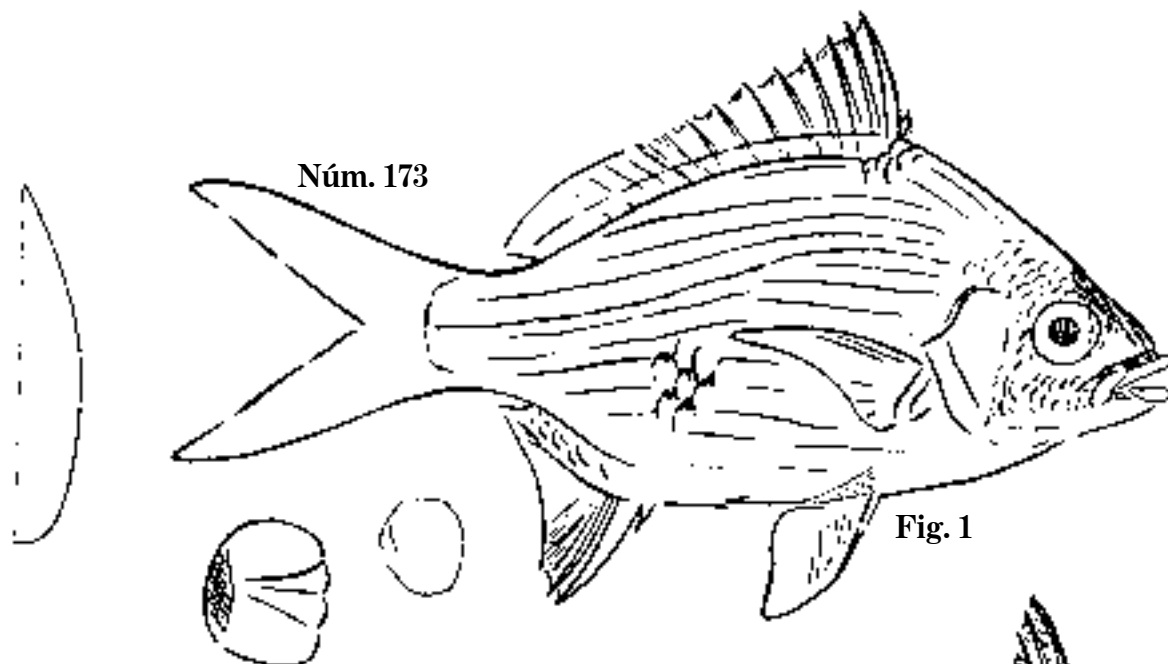


Fig. 1 *Gerres Patao*, 1859. C. 265 mm; D. 9,10; A. 3,7; patao.

Fig. 2 *Moharra rhombea*, 1860. C. 352 mm; D. 9,10; A. 3,8.

Fig. 3 *M. rhombea*, 1865. C. 411 mm; D. 9,10; A. 3,8; moharra.

Lám. 132

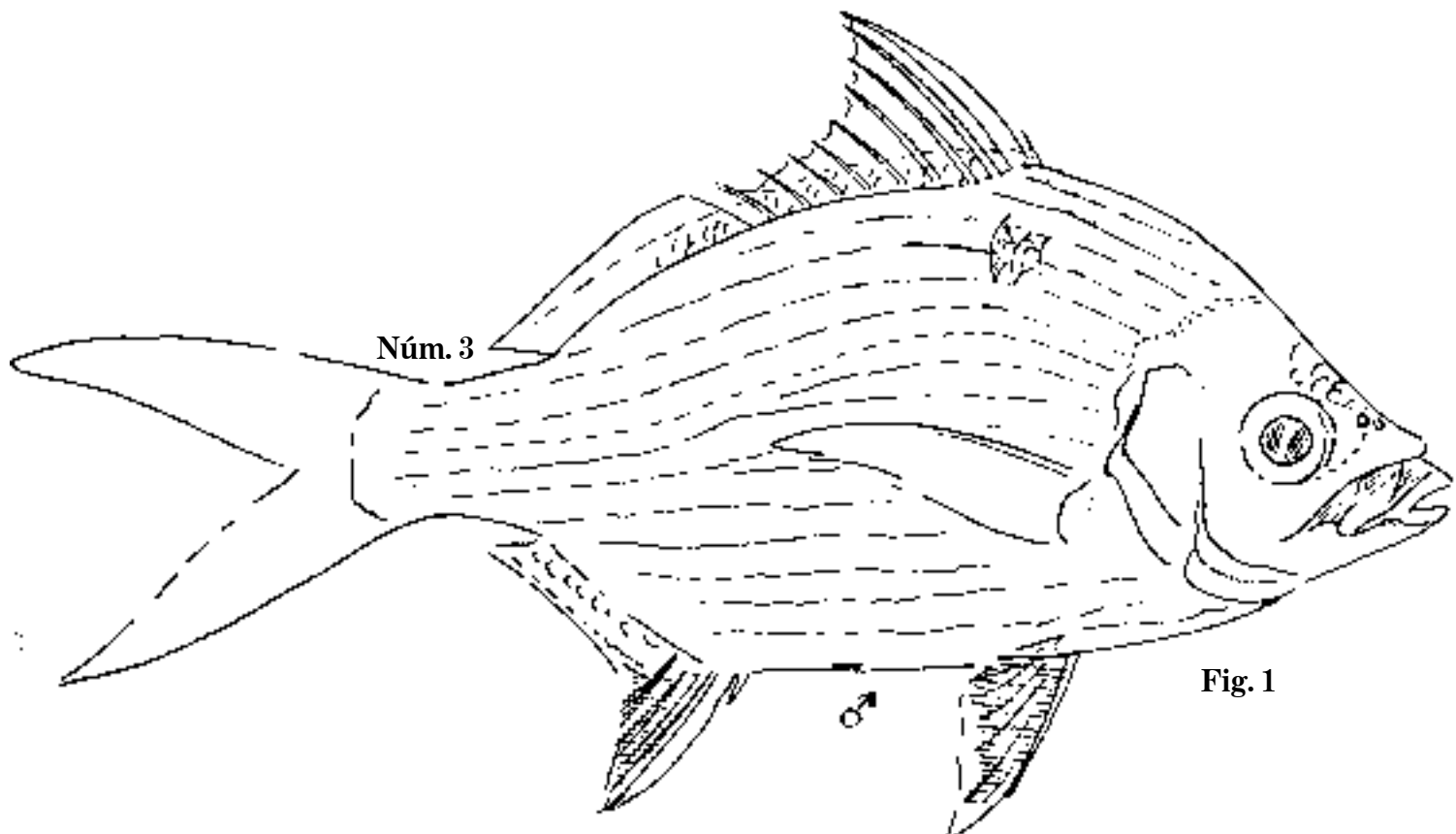


Fig. 1

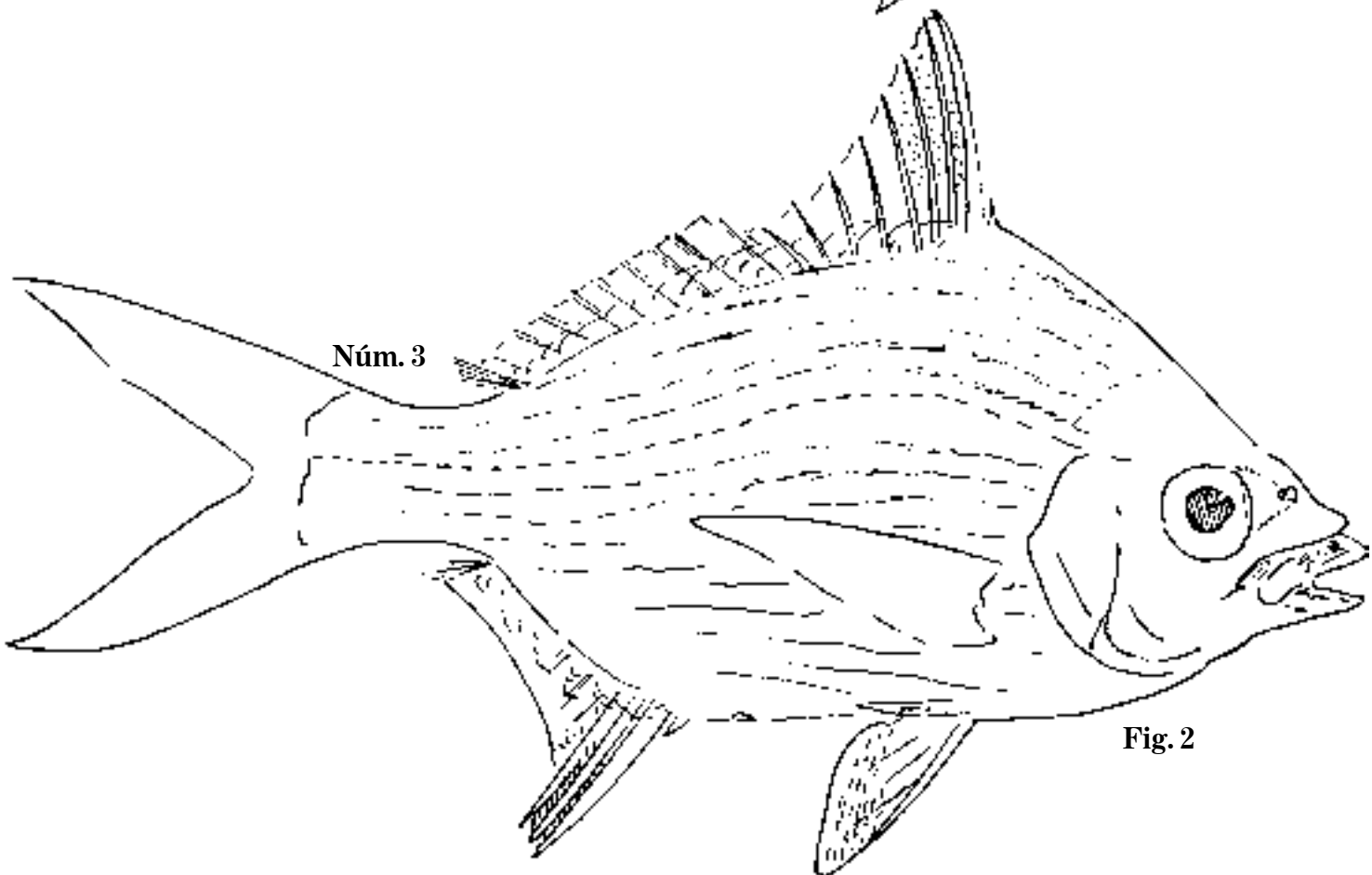


Fig. 2

Fig. 1 *Moharra rhombea*, 1859, C. 195 mm; D. 9,10; A. 3,8.

Fig. 2 *M. rhombea*, 1860. C. 195 mm; D. 9,10; A. 3,8; moharra.

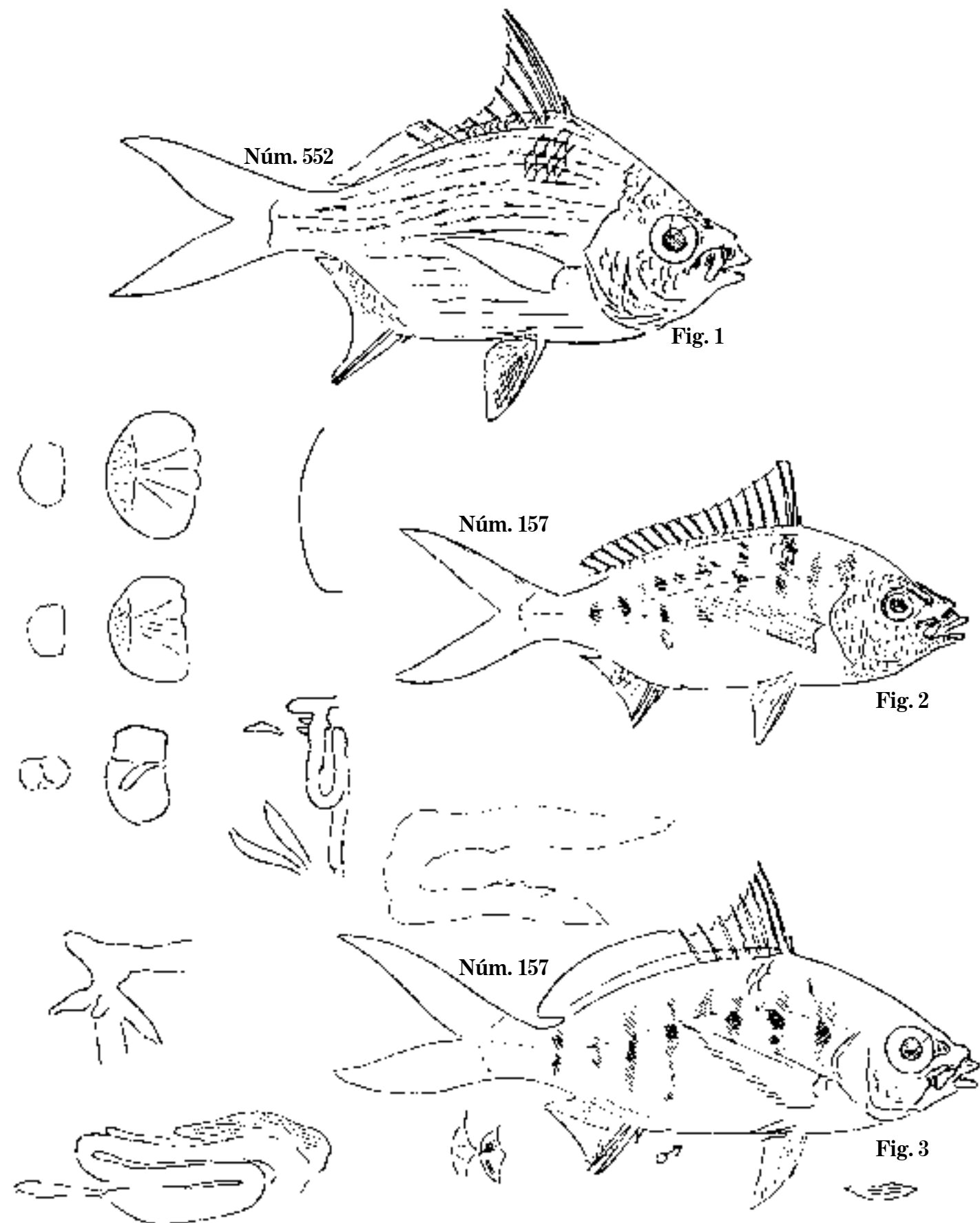
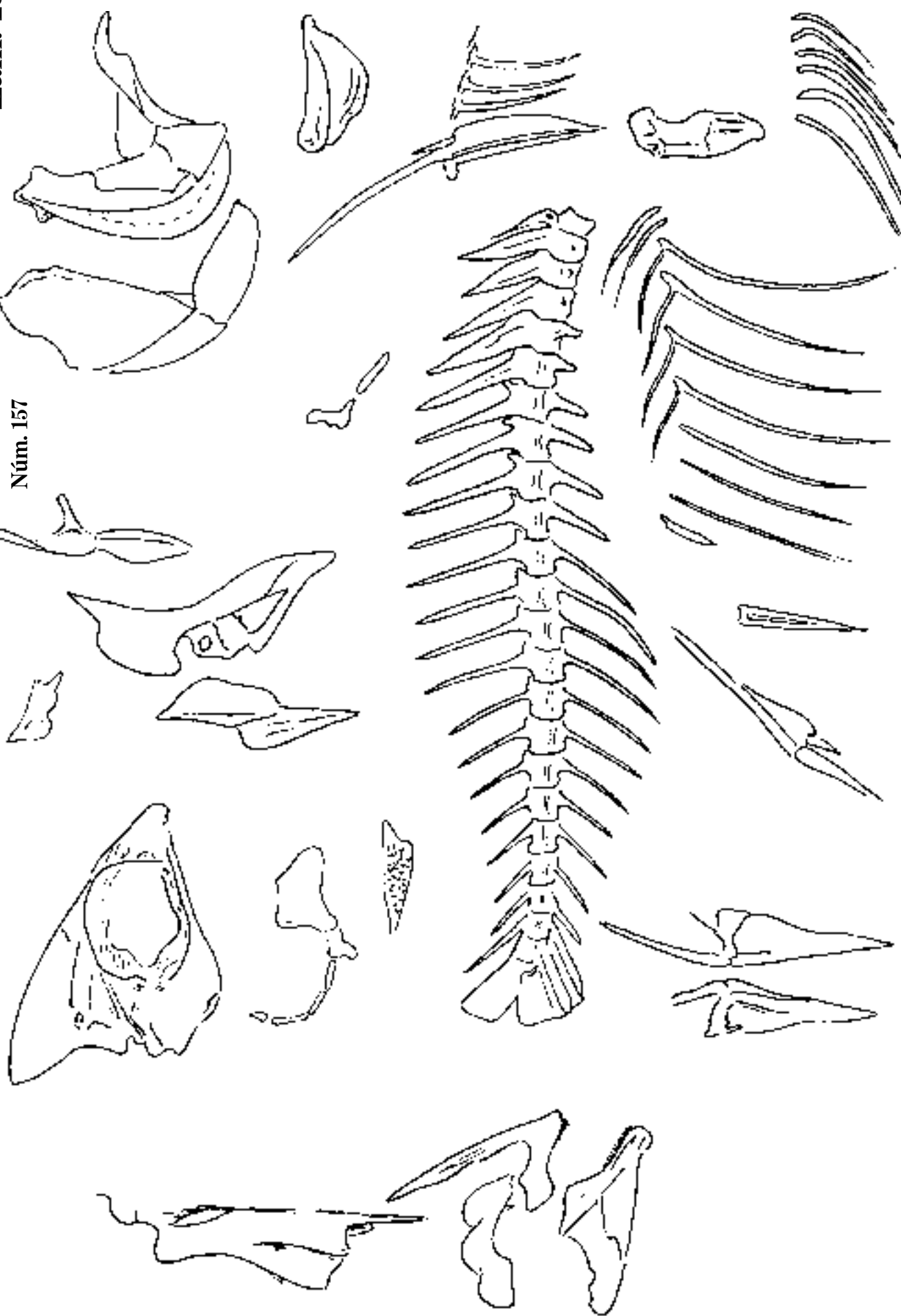


Fig. 1 *Moharra*, 1874. C. 215 mm; D. 9,10; A. 3,8; moharra.

Fig. 2 *Eucinostomus egregius*, 1855. C. 366 mm; D. 9,10; A. 3,7.

Fig. 3 *E. egregius*, 1850. C. 218 mm; D. 9,10; A. 3,7; moharra de casta.

Lám. 134



Eucinostomus egregius. Osteología; moharra de casta.

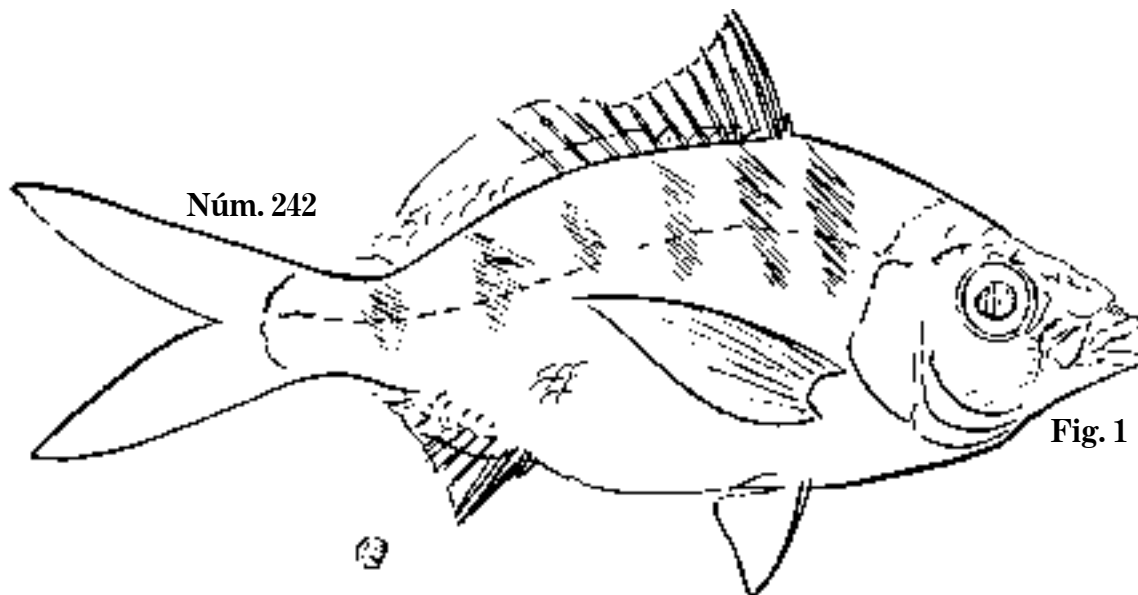


Fig. 1

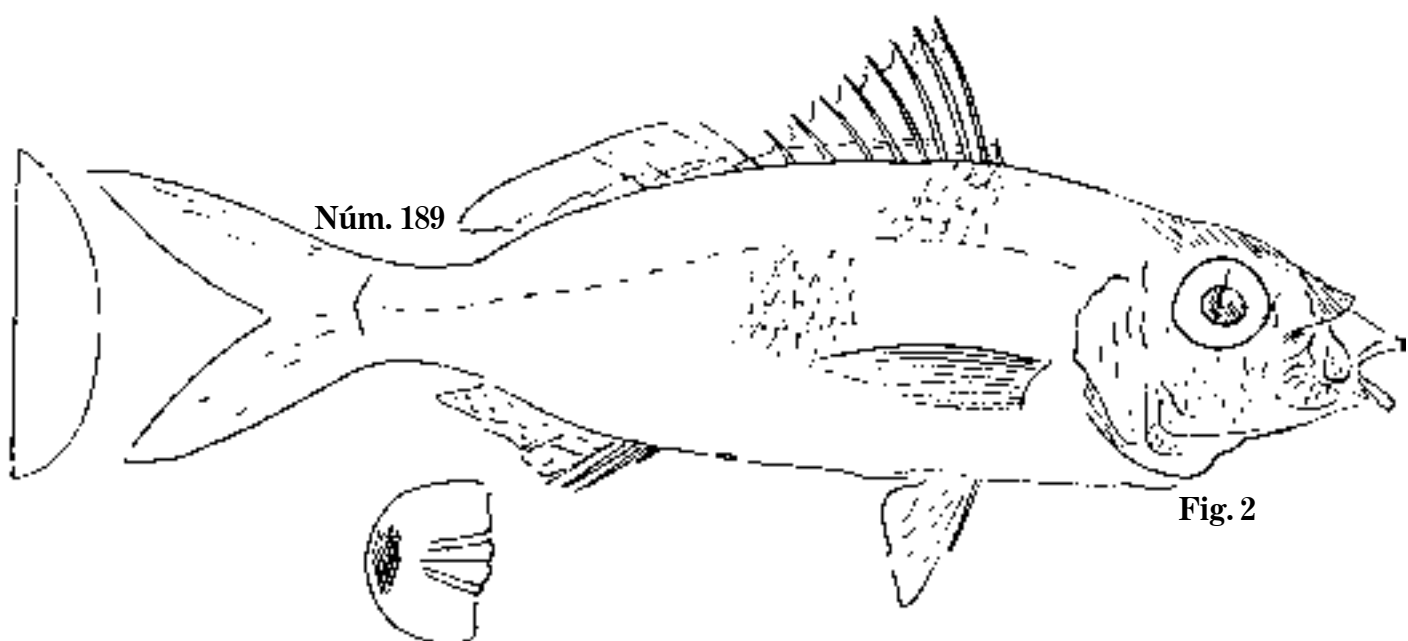


Fig. 2

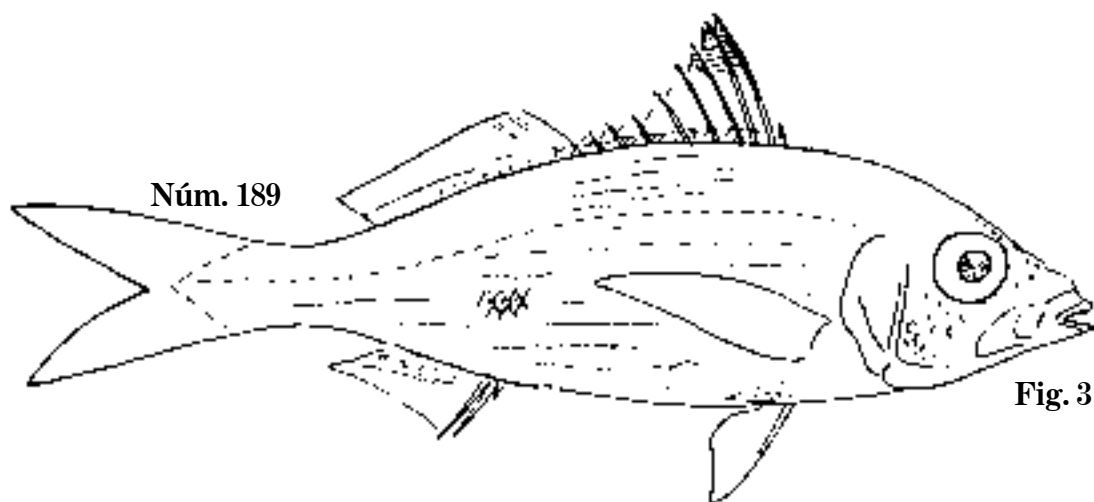


Fig. 3

Fig. 1 *Eucinostomus zebra*, 1859. P. 300 mm; D. 9,10; A. 3,7; moharra de casta.

Fig. 2 *E. pseudogula*, 1858. C. 175 mm; D. 9,10; A. 3,7.

Fig. 3 *E. pseudogula*, 1875. C. 143 mm; moharra de ley.

Lám. 136

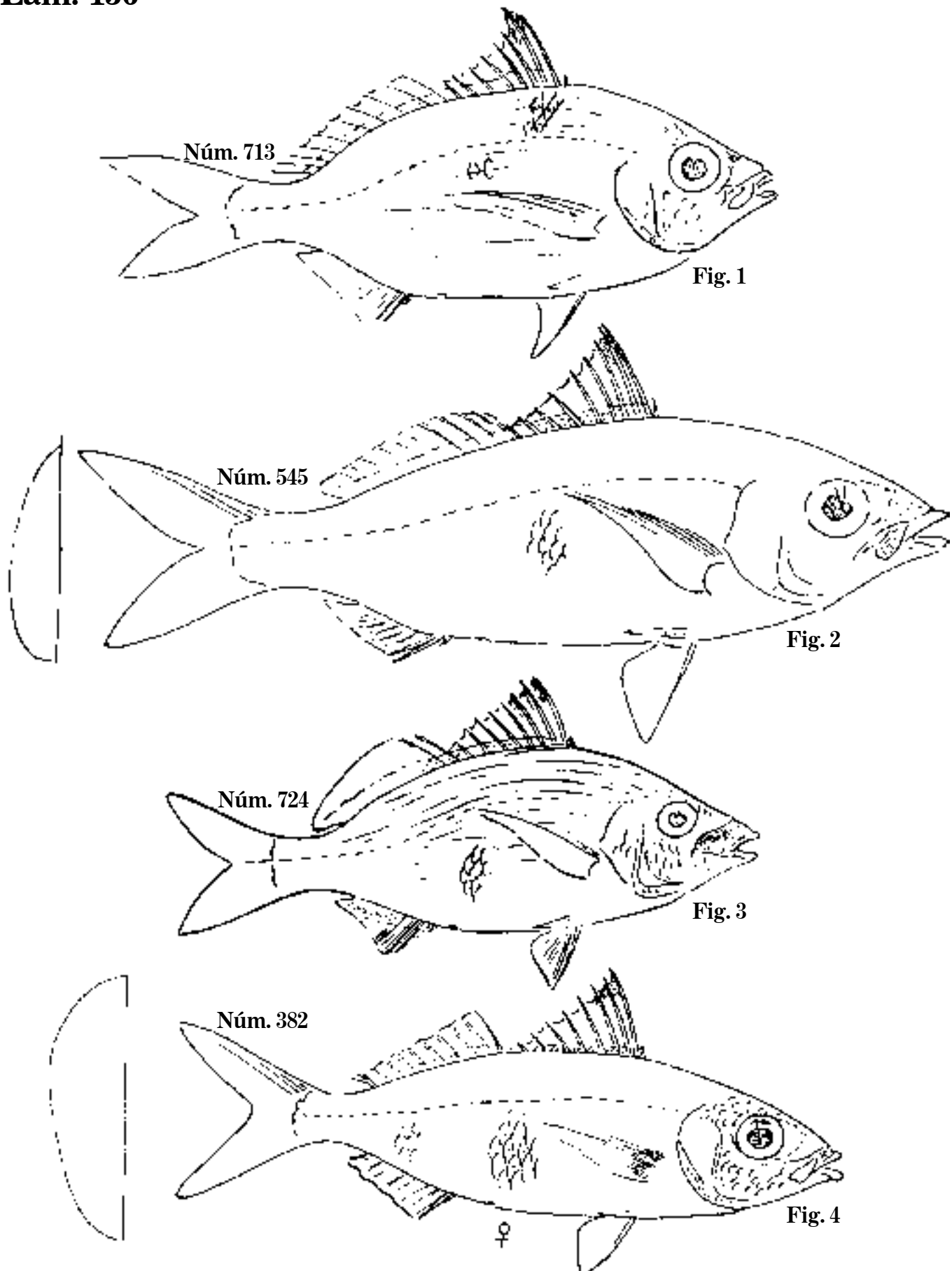


Fig. 1 *Eucinostomus gulula*, 1870. C. 138 mm; D. 9,10; A. ?

Fig. 2 *E. brachychirus*, 1865. C. 178 mm; D. ?; A. ?

Fig. 3 *E. altus*, 1869. C. 243 mm; D. 9,10; A. 3,7.

Fig. 4 *E. productus*, 1874. C. 223 mm; D. 9,10; A. 3,8; moharra de ley.

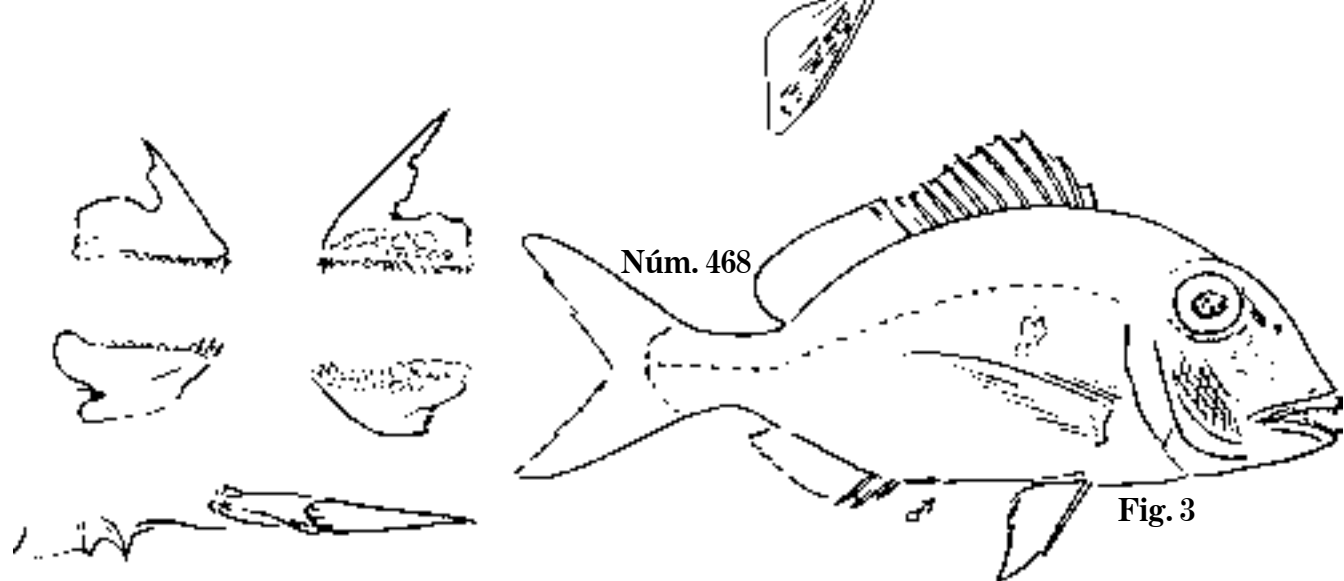
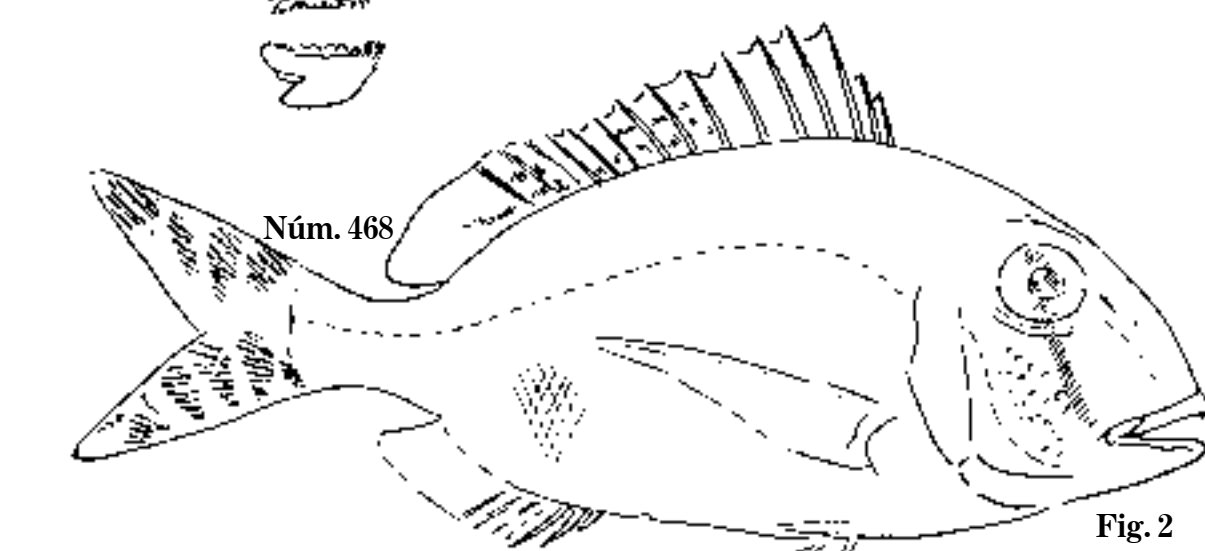
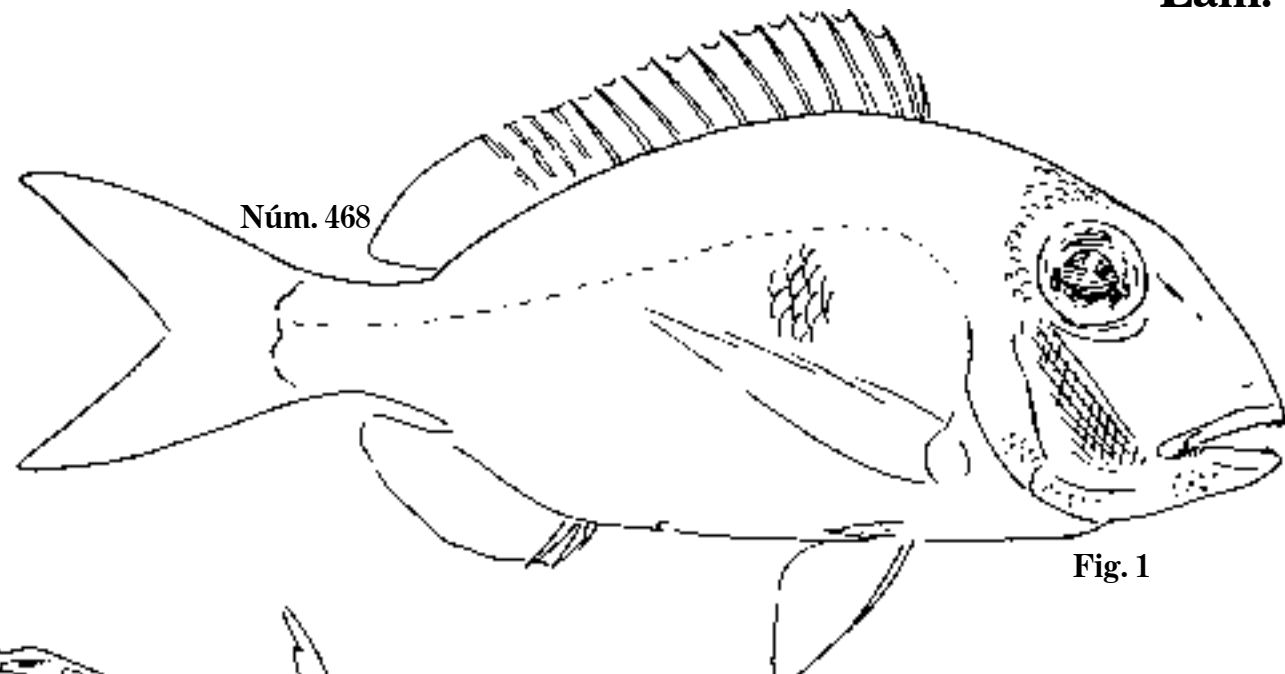


Fig. 1 *Calamus Bajonado*, 1871. C. 208 mm; D. 12,12; A. 3,10.

Fig. 2 *C. Bajonado*, 1869. C. 184 mm; D. 12,12; A. ?

Fig. 3 *C. Bajonado*. C. 273 mm; D. 12,12; A. 3,10; bajonado.

Lám. 138

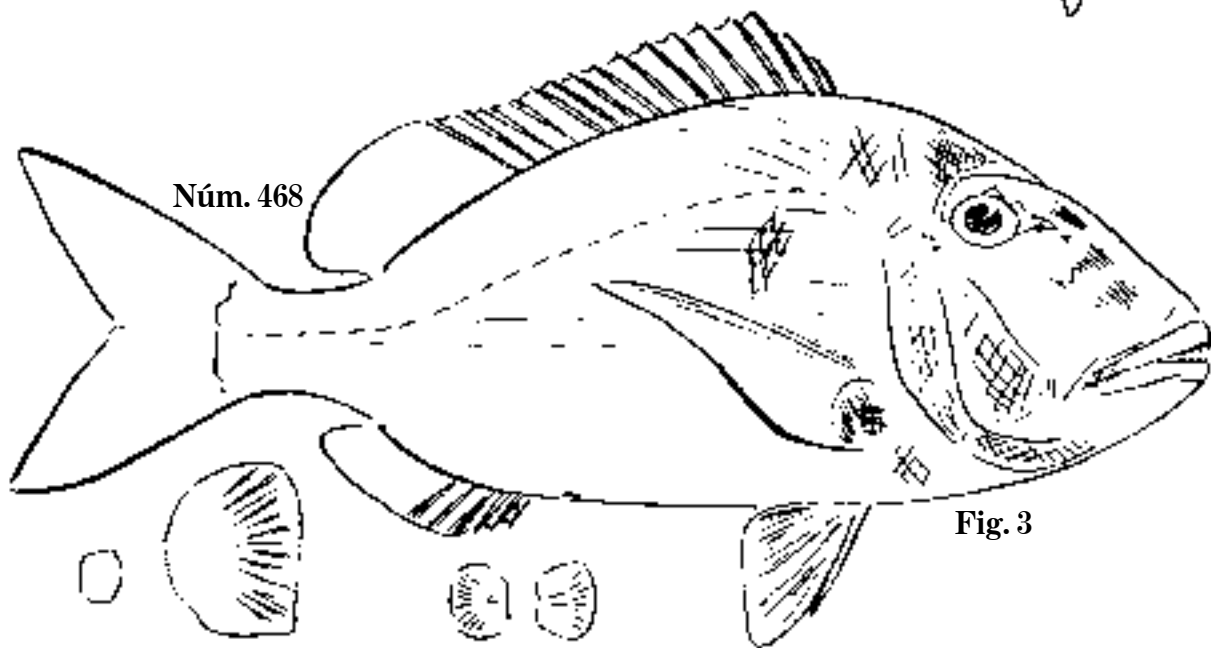
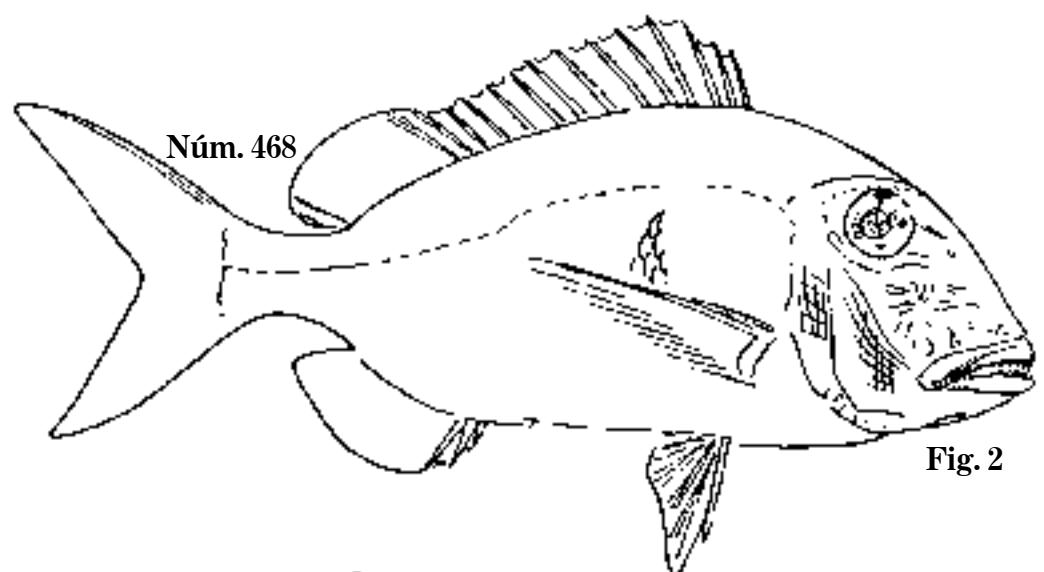
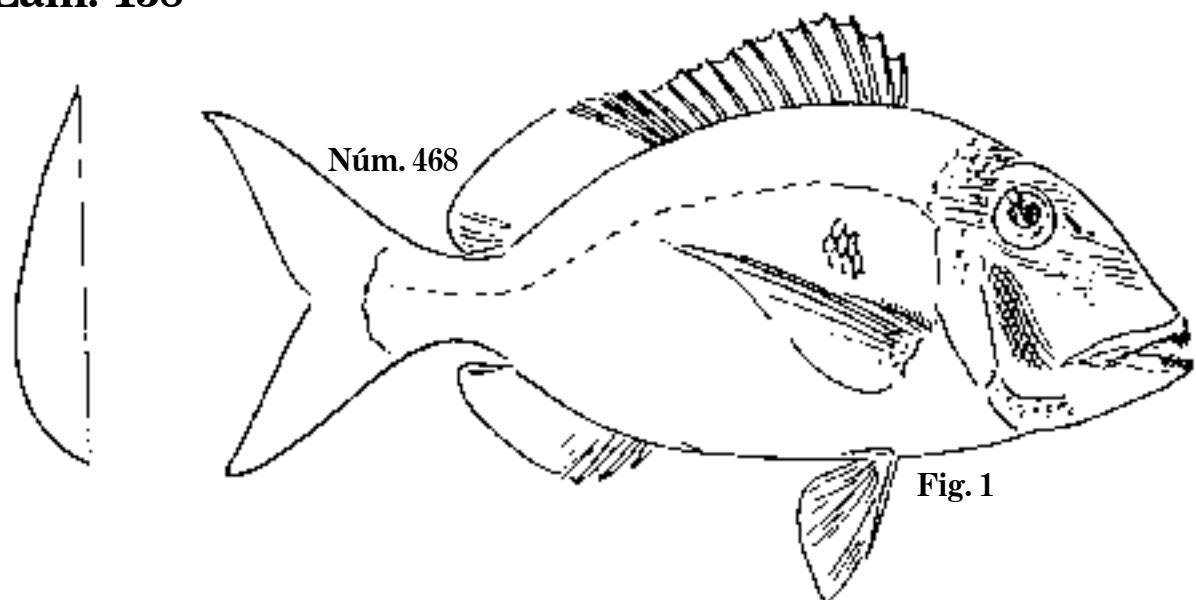
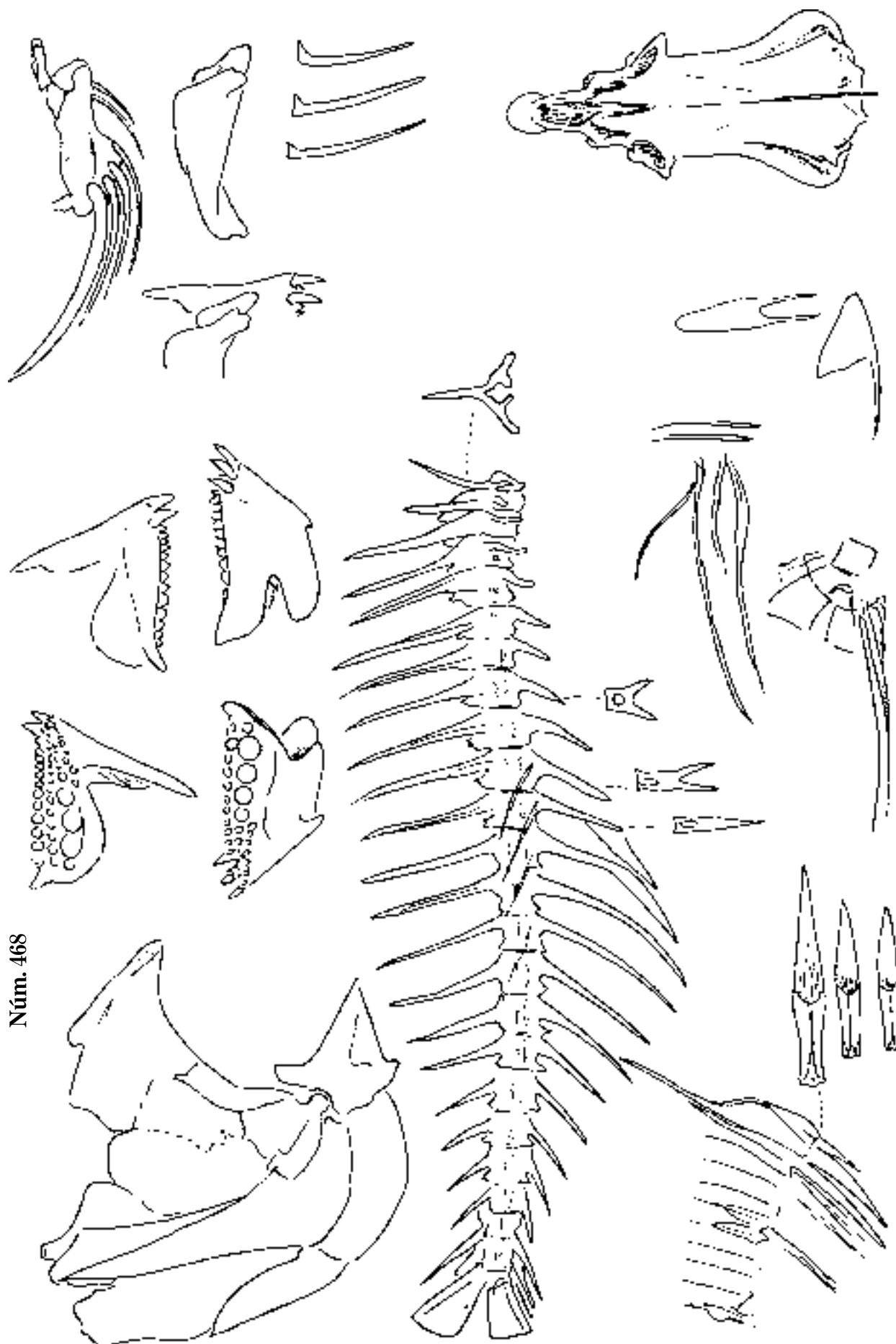


Fig. 1 *Calamus Bajonado*, 1866. C. 350 mm; D. 12,12; A. 3,10.

Fig. 2 *C. Bajonado*, 1864. C. 363 mm; D. 12,12; A. 3,10.

Fig. 3 *C. Bajonado*, 1853. P. 500 mm; D. 12,12; A. 3,10; bajonado.

Lám. 139



Núm. 468

Calamus Bajonado. Osteología; bajonado.

Lám. 140



Núm. 468



Calamus Bajonado. Osteología, bajonado.

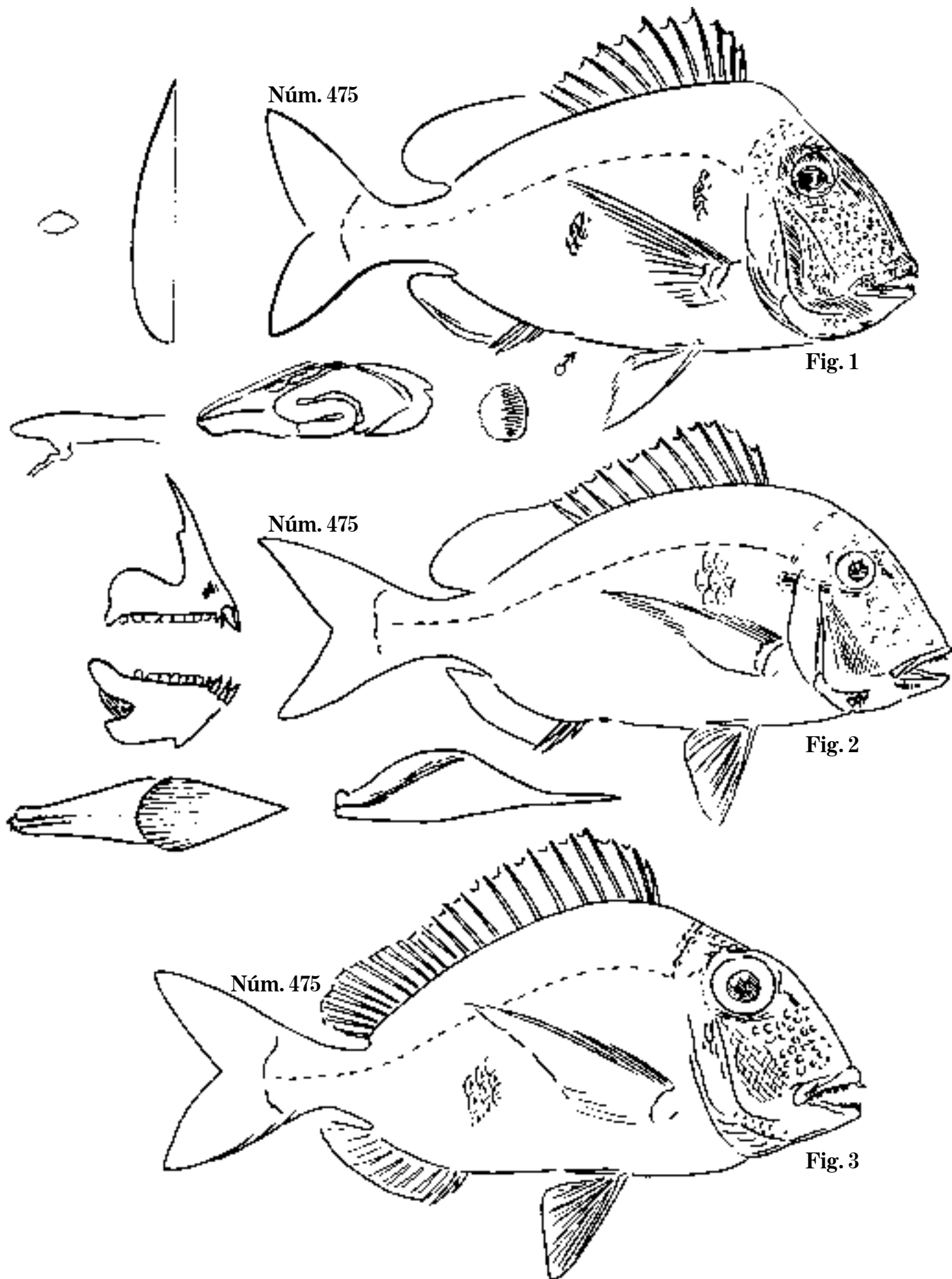


Fig. 1 *Calamus megacephalus*, 1860. C. 313 mm; D. 12,12; A. 3,11.

Fig. 2 *C. megacephalus*, 1872. C. 330 mm; D. 12,12; A. 3,10.

Fig. 3 *C. megacephalus*, 1876. C. 270 mm; D. 12,12; A. 3,11; pez de pluma.

Lám. 142

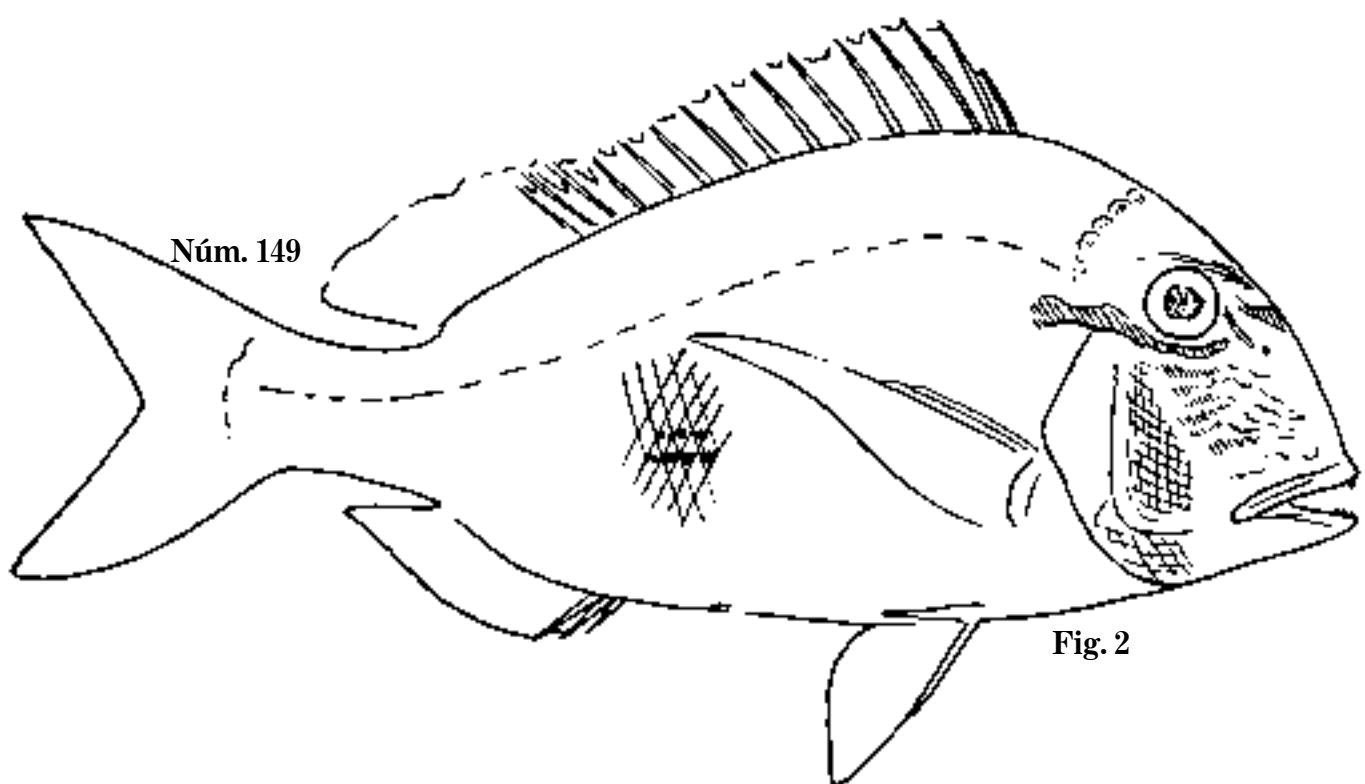
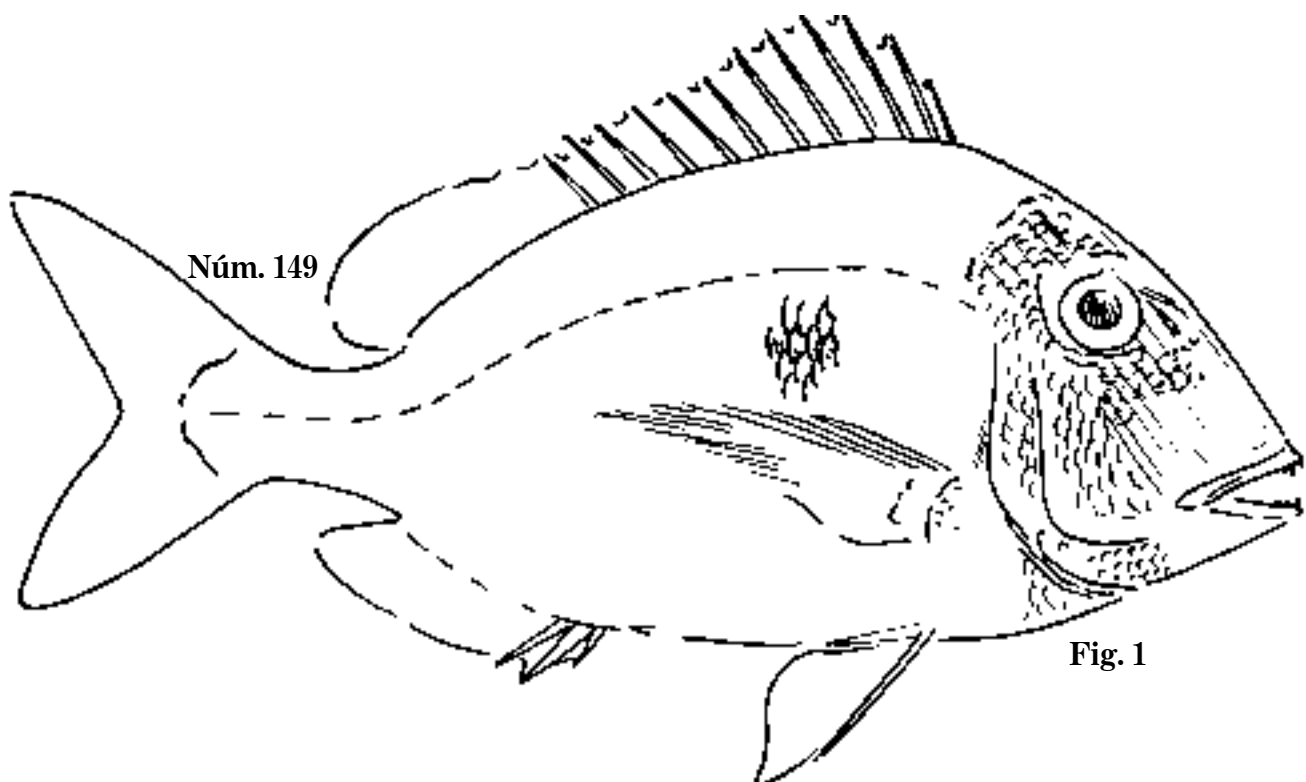


Fig. 1 *Calamus orbitarius*, 1860. C. 292 mm; D. 12,12; A. 3,11.

Fig. 2 *C. orbitarius*, 1870. C. 306 mm; D. 12,12; A. 3,10; pez de pluma.

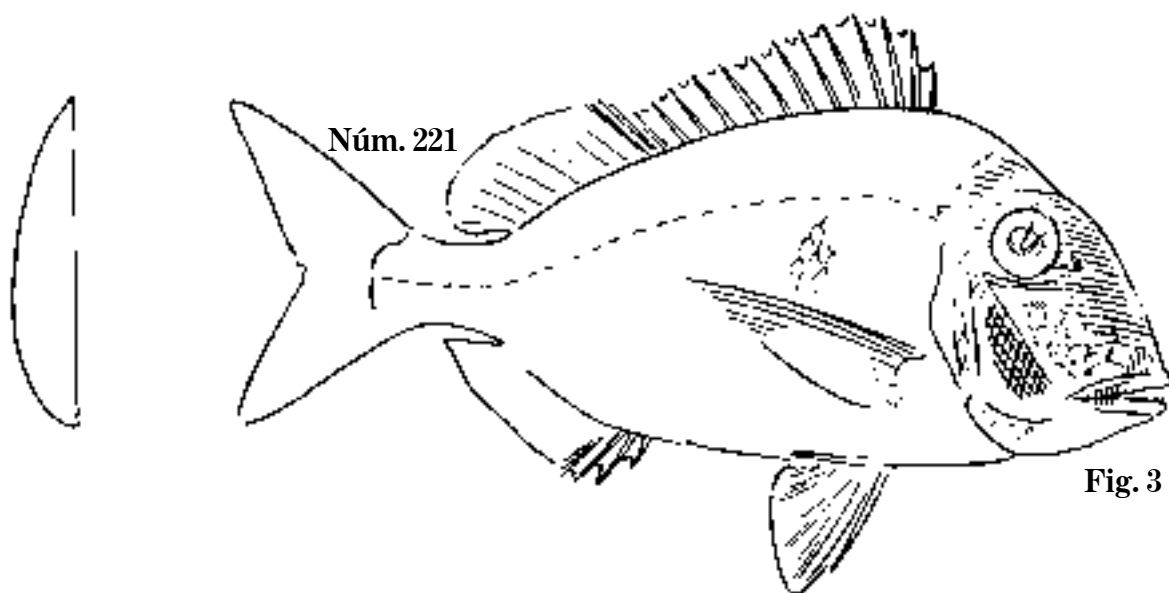
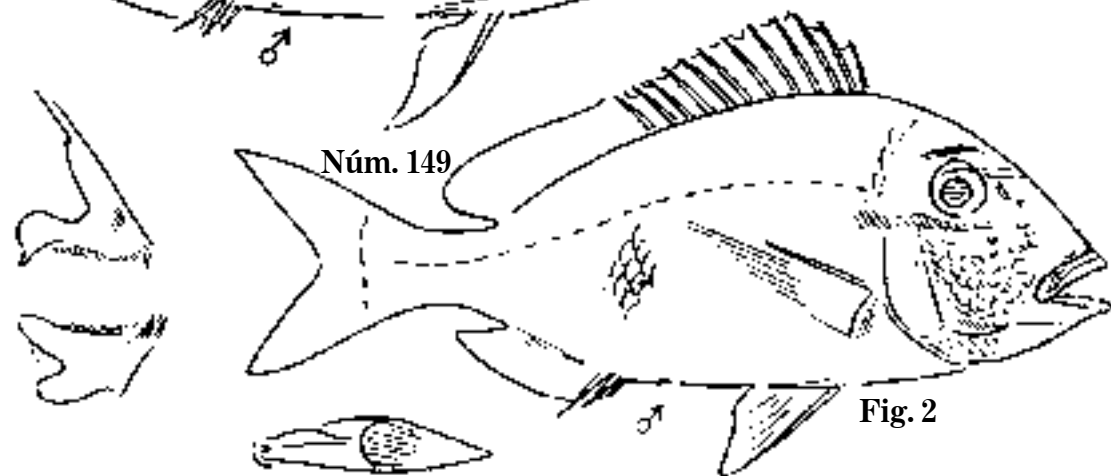
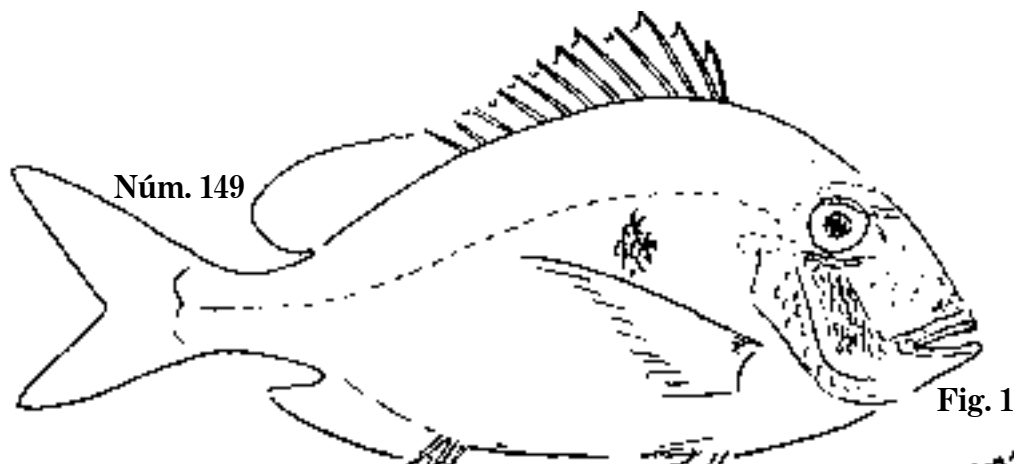


Fig. 1 *Calamus orbitarius*.

Fig. 2 *C. orbitarius*. C. 247 mm; D. 12,12; A. 3,10.

Fig. 3 *C. macrops*, 1866. C. 267 mm; D. 12,12; A. 3,11; pez de pluma.

Lám. 144

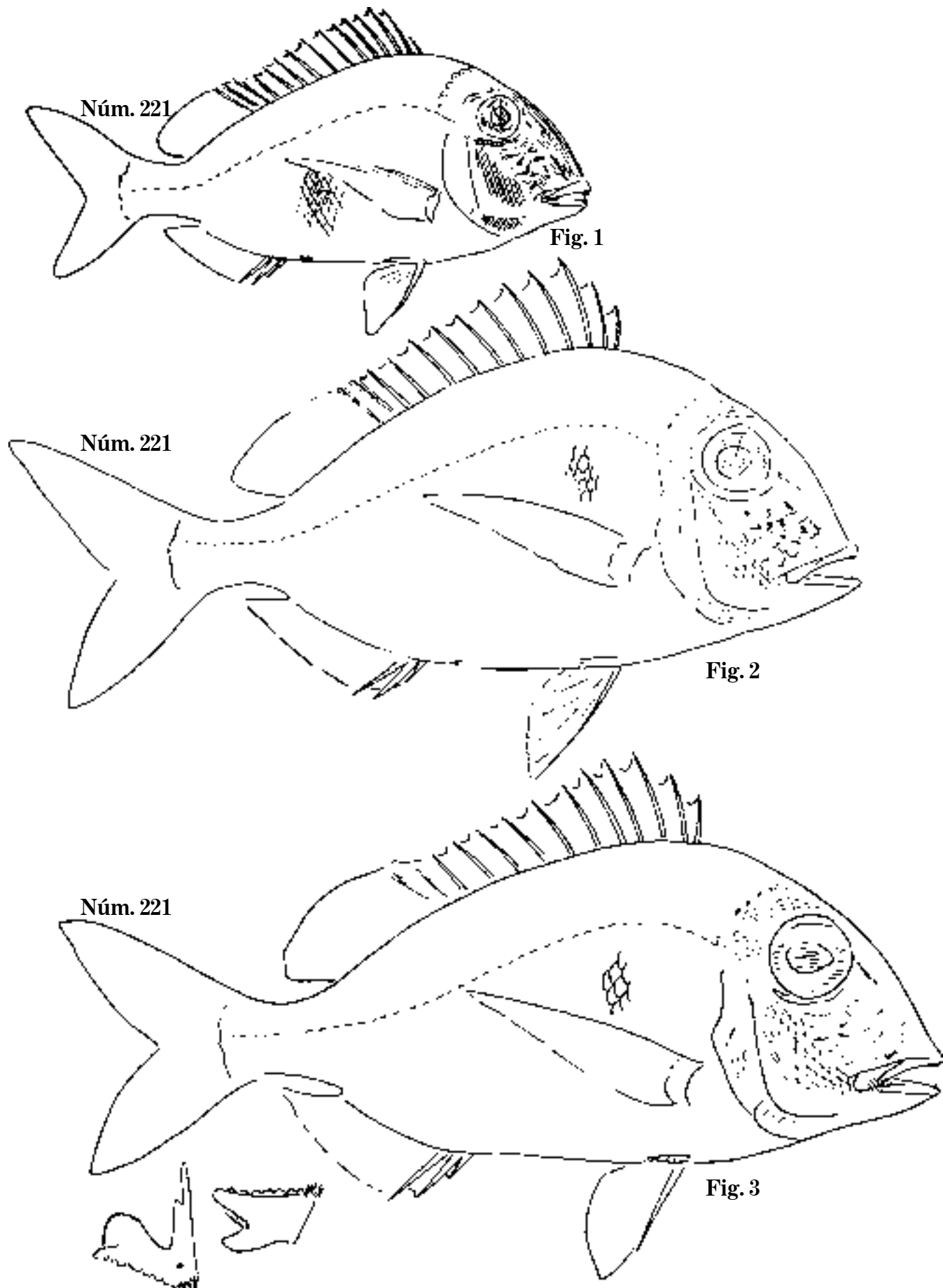


Fig. 1 *Calamus macrops*, 1870. C. 272 mm; D. 12,12; A. 3,11.

Fig. 2 *C. macrops*, 1871. C. 220 mm; D. 12,12; A. 3,11.

Fig. 3 *C. macrops*, 1871. C. 219 mm; D. 12,12; A. 3,11; pez de pluma.

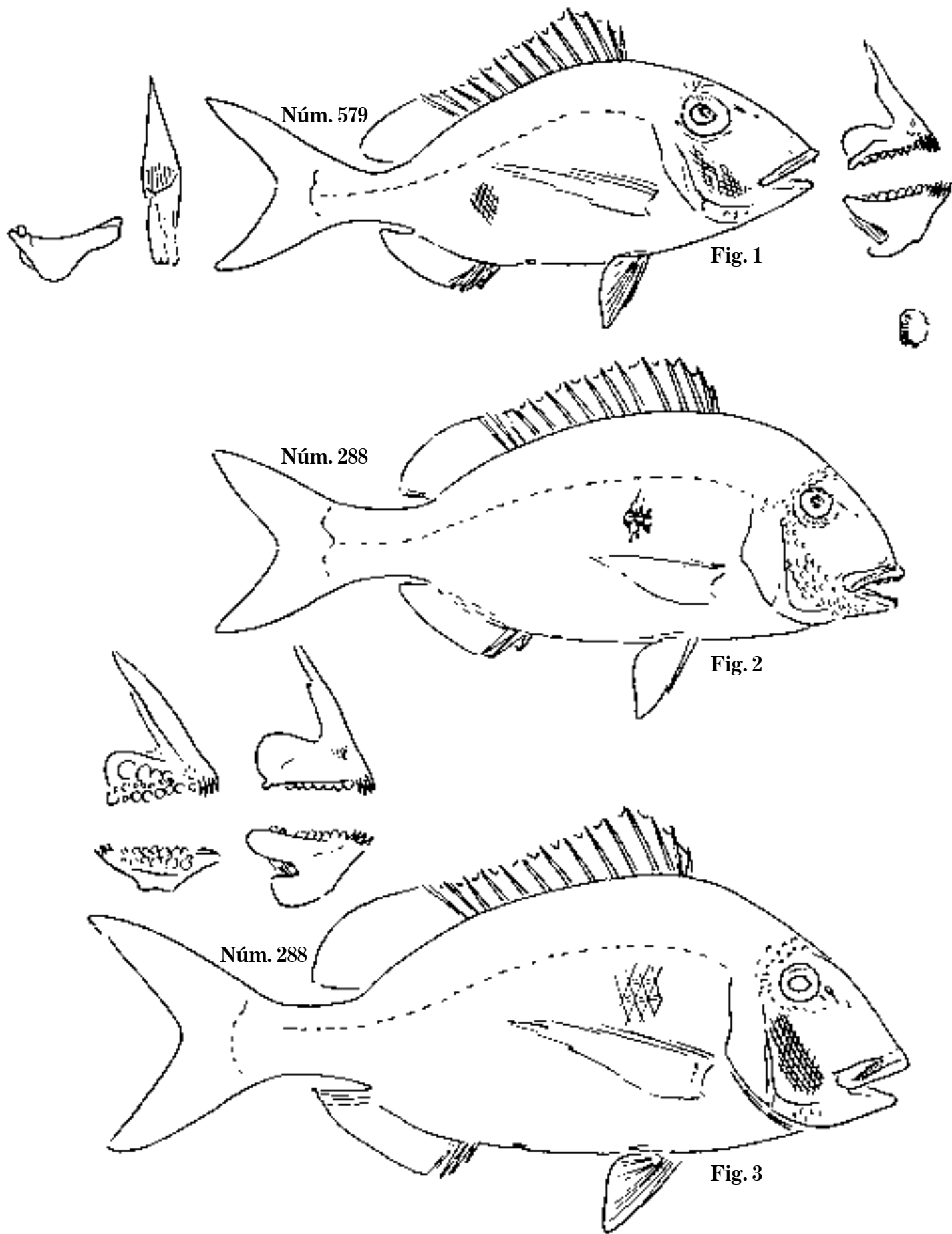


Fig. 1 *Calamus*, 1873. C. 243 mm; D. 12,12; A. 3,10.

Fig. 2 *Grammateus humilis*, 1860. P. 275 mm; D. 12,12; A. 3,11.

Fig. 3 *G. humilis*, 1873. C. 326 mm; D. 12,12; A. 3,10; pez de pluma.

Lám. 146

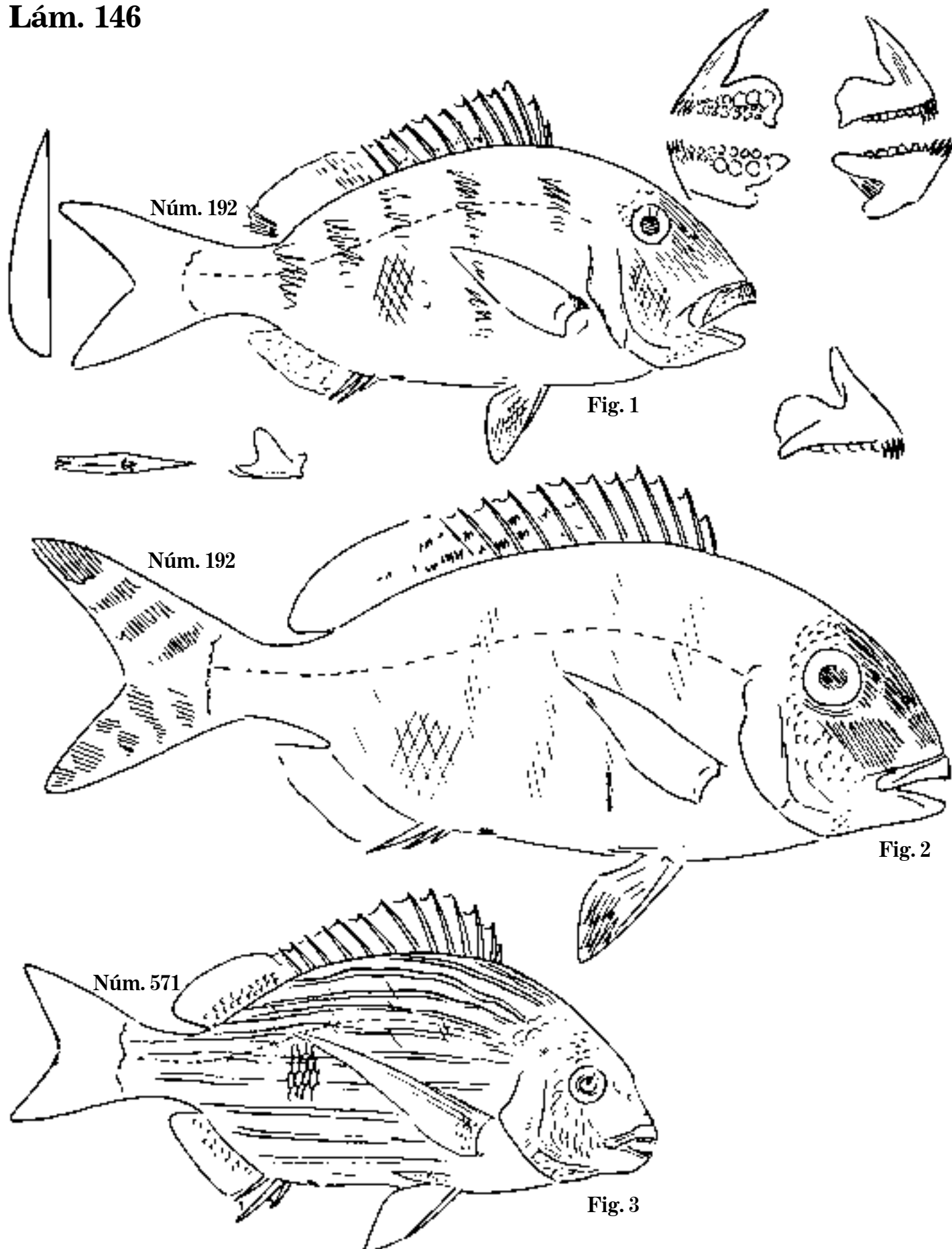


Fig. 1 *Grammateus medius*, 1860. C. 272 mm; D. 12,12; A. 3,10.

Fig. 2 *G. medius*, 1869. C. 186 mm; D. 12,12; A. 3,14; pez de pluma.

Fig. 3 *Sargus caribaeus*, 1860. C. 257 mm; D.13,? A. ?; sargo.

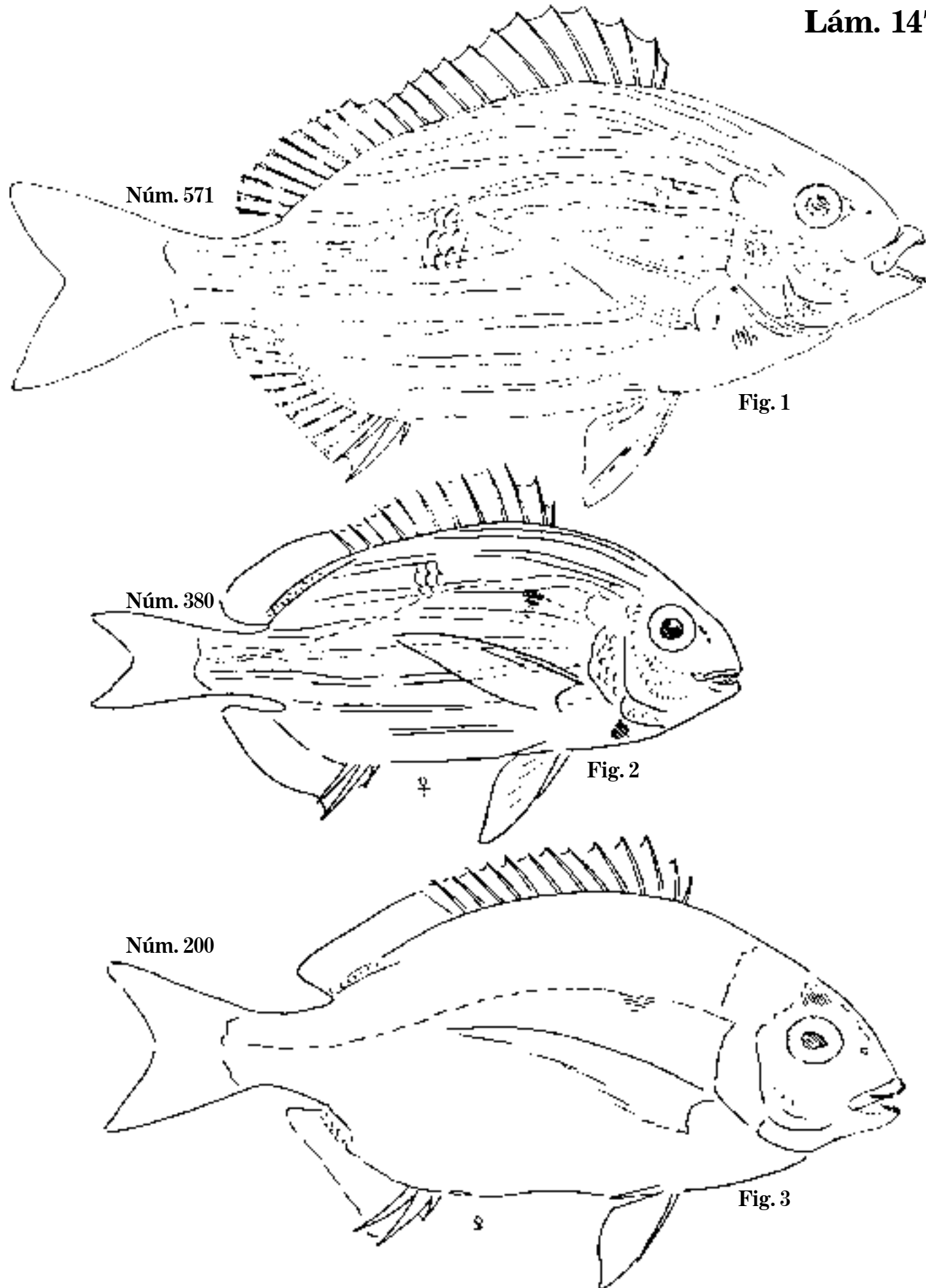


Fig. 1 *Sargus caribaeus*, 1866. C. 210 mm; D. 12,11; A. ?

Fig. 2 *S. tridens*. C. 150 mm; D. 12,10; A. 3,9.

Fig. 3 *S. analis*, 1859. C. 183 mm; D. 13,11; A. 3,10; sargo.

Lám. 148

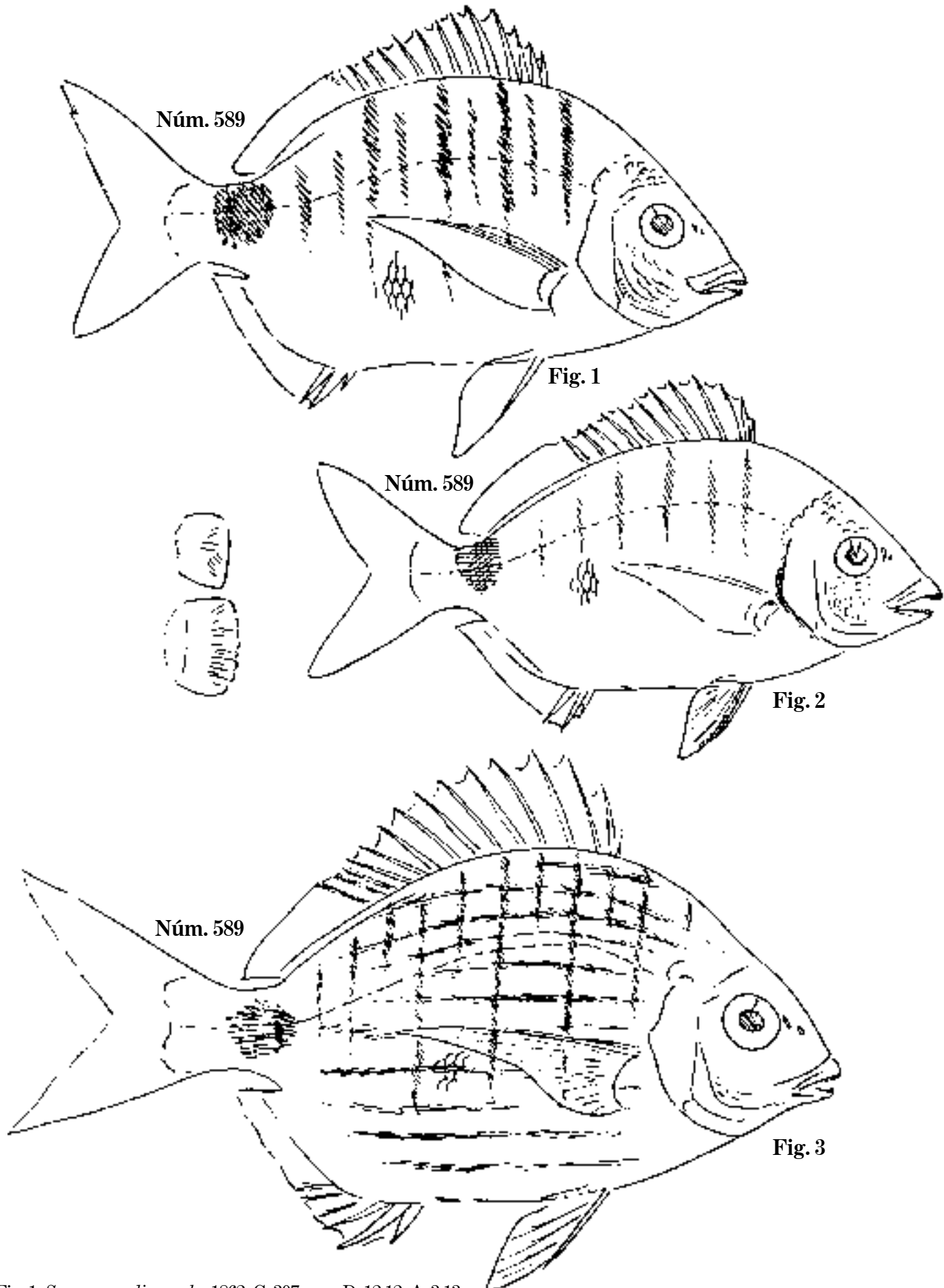
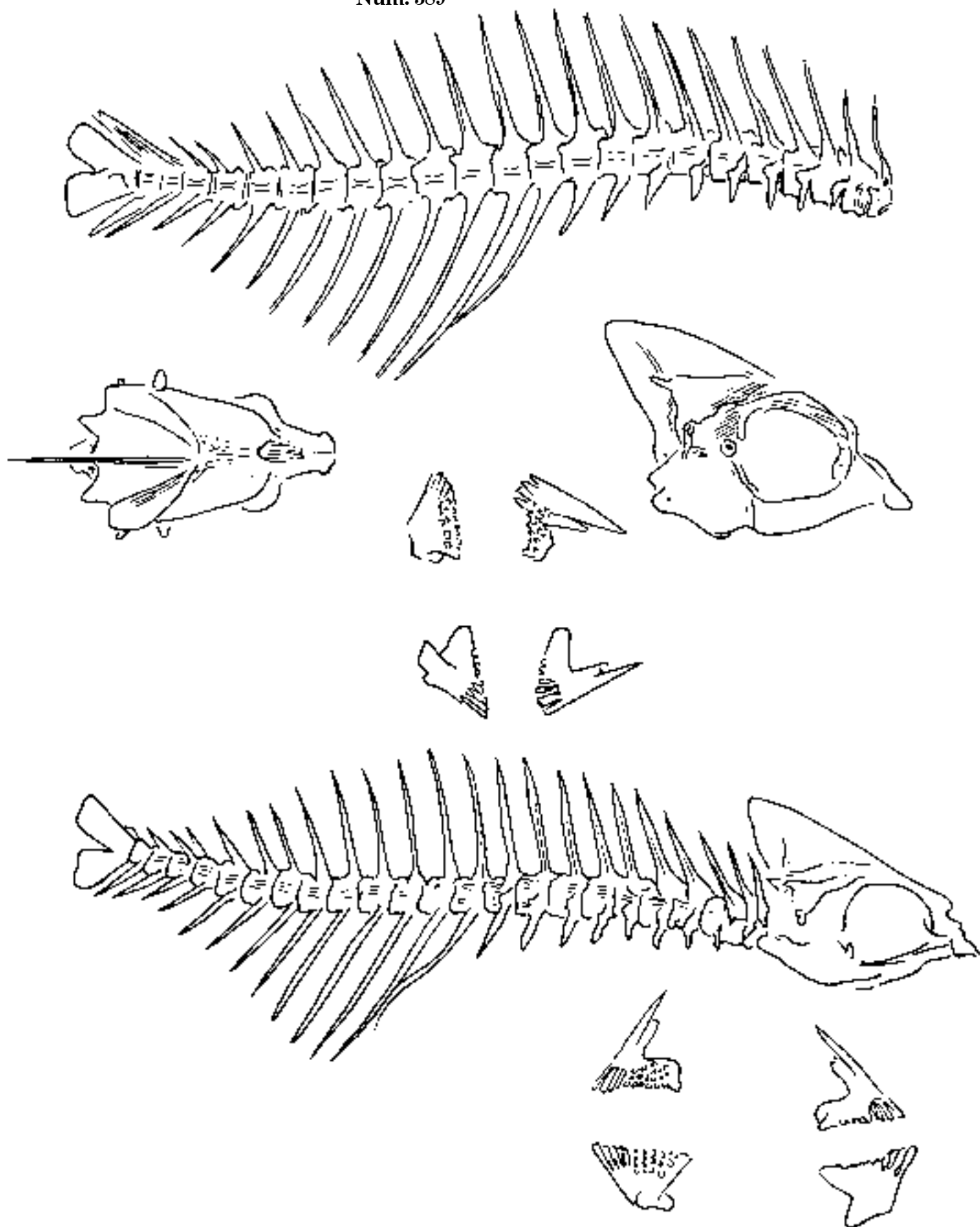


Fig. 1 *Sargus caudimacula*, 1862. C. 307 mm; D. 12,12; A. 3,13.

Fig. 2 *S. caudimacula*, 1868. C. 282 mm; D. ?; A. ?

Fig. 3 *S. caudimacula*, 1860. C. 185 mm; D. 12,14; A. 3,13; cotonera.

Núm. 589



Sargus caudimacula. Osteología; cotonera.

Lám. 150

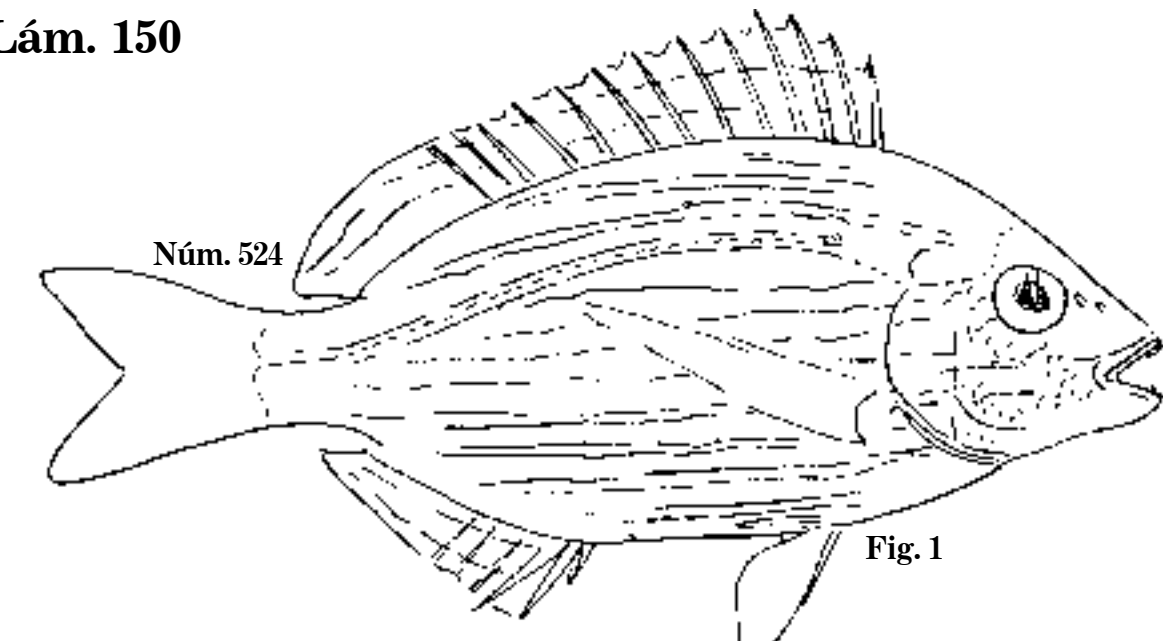


Fig. 1

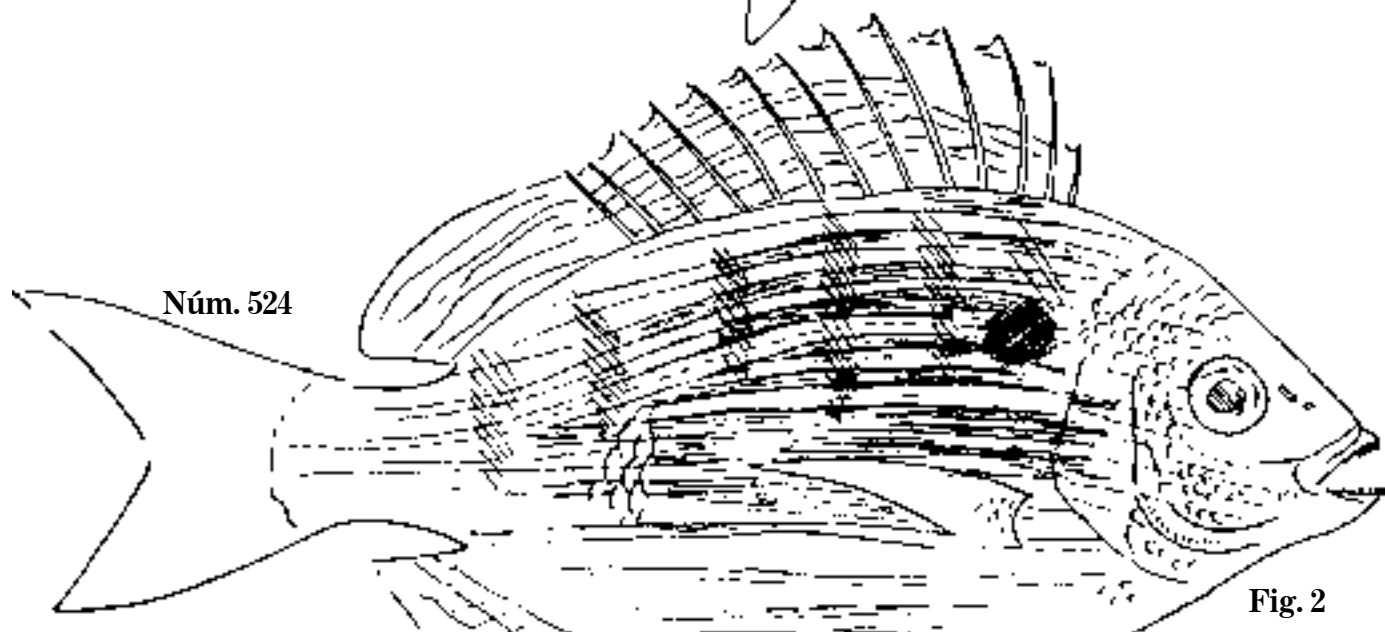


Fig. 2

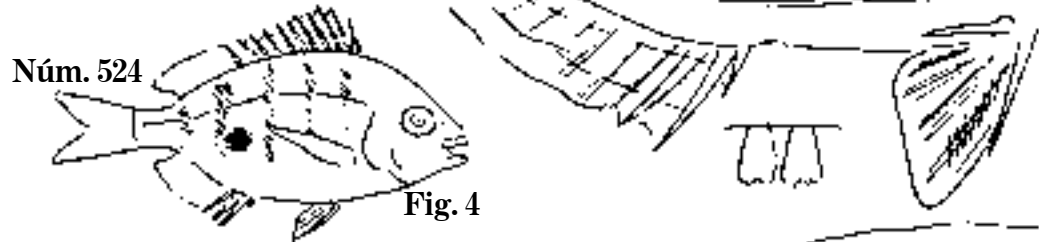


Fig. 4



Fig. 3

Fig. 1 *Lagodon rhomboides*. C. 172 mm; D. 11,11; A. 3,11.

Fig. 2 *L. rhomboides*, 1859. C. 207 mm; D. 12,11; A. 3,11.

Fig. 3 *L. rhomboides*. Disposición de las rayas.

Fig. 4 *L. rhomboides*, 1877. C. 63 mm; D. 12,11; A. 4,10; sargo.

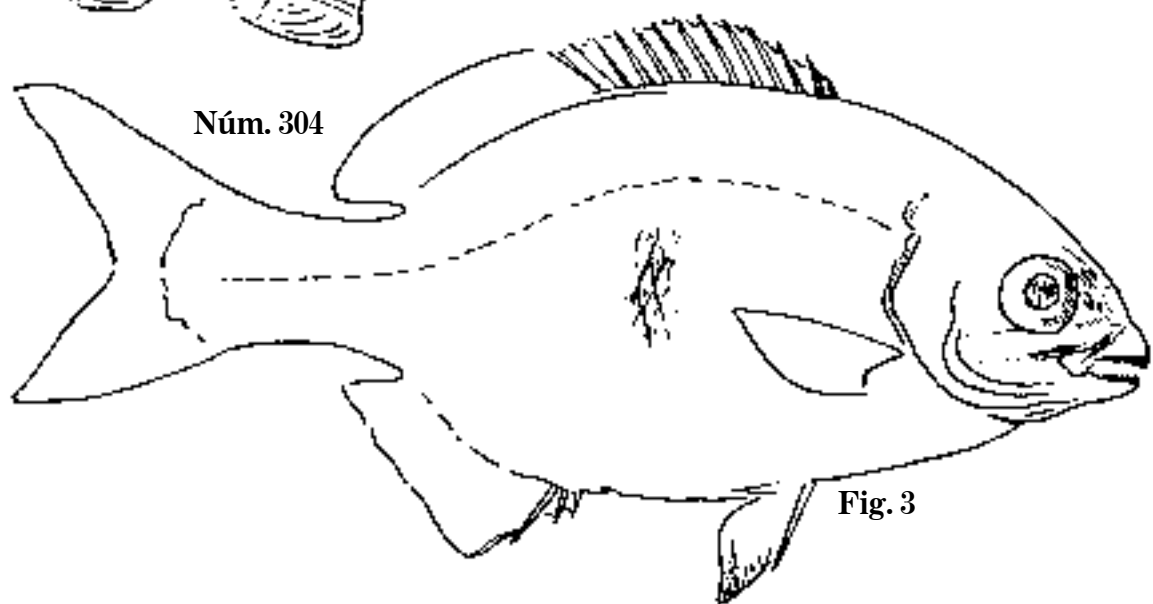
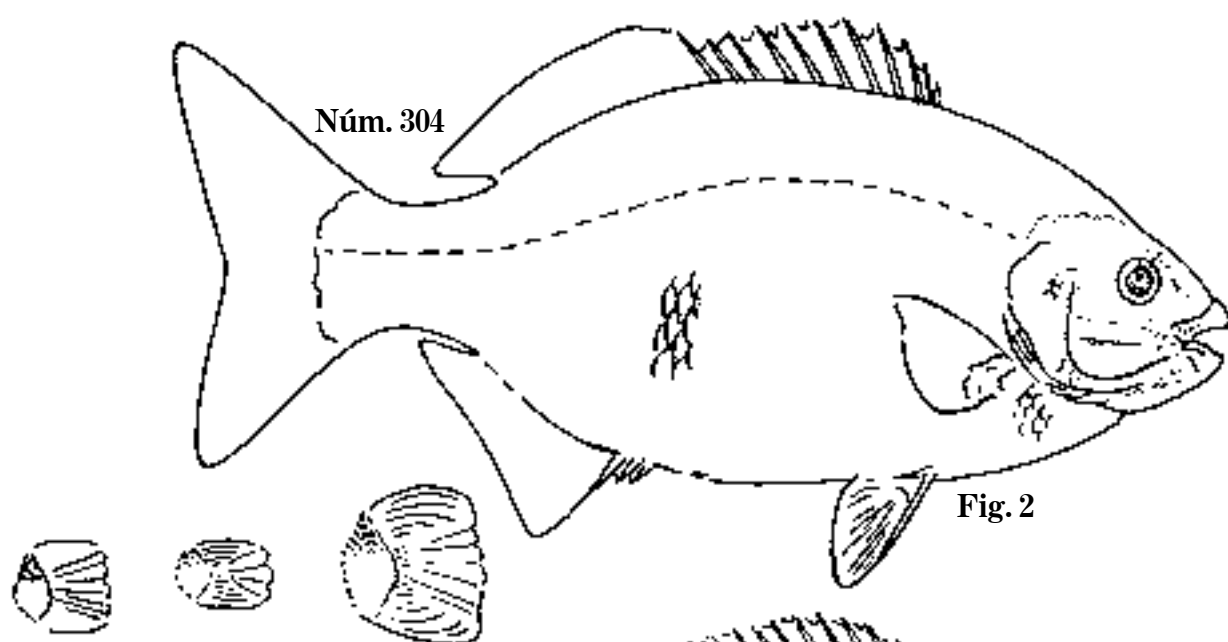
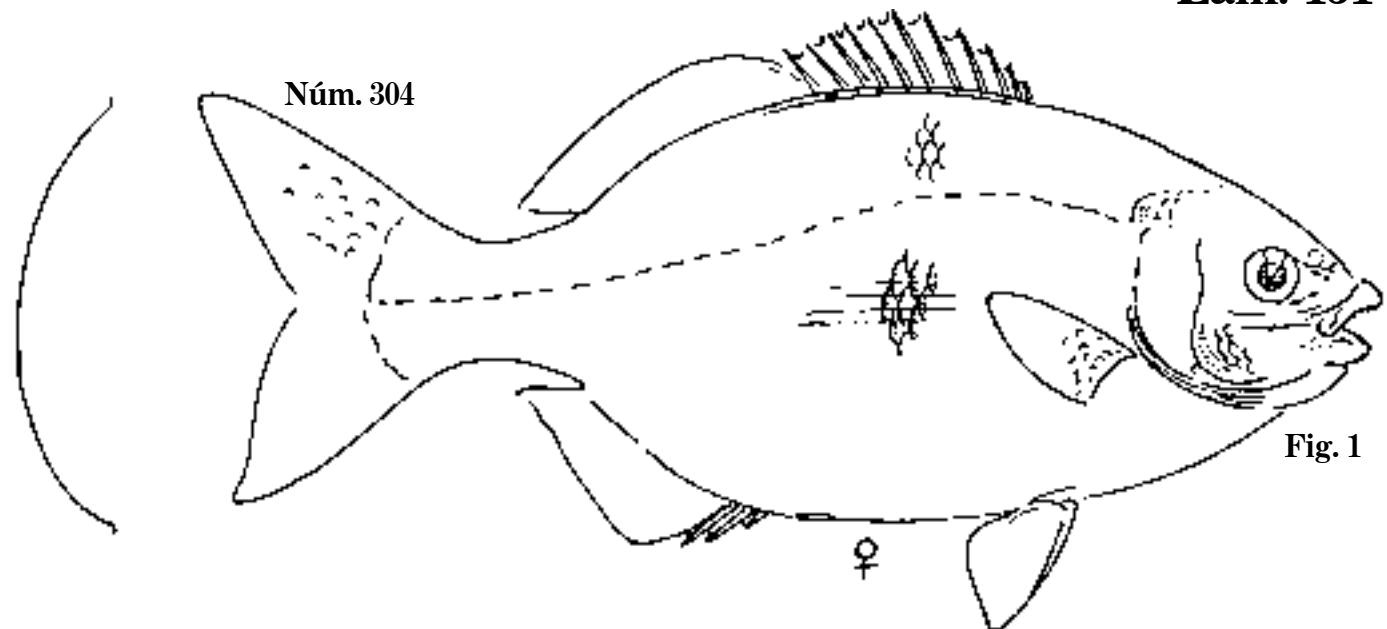


Fig. 1 *Pimelepterus Boscii*, 1862. C. 472 mm; D. 11,12; A. 3,14.

Fig. 2 *P. Boscii*, 1866. C. 567 mm.

Fig. 3 *P. Boscii*. C. 302 mm; D. 11,12; A. 3,11; chopa blanca.

Lám. 152

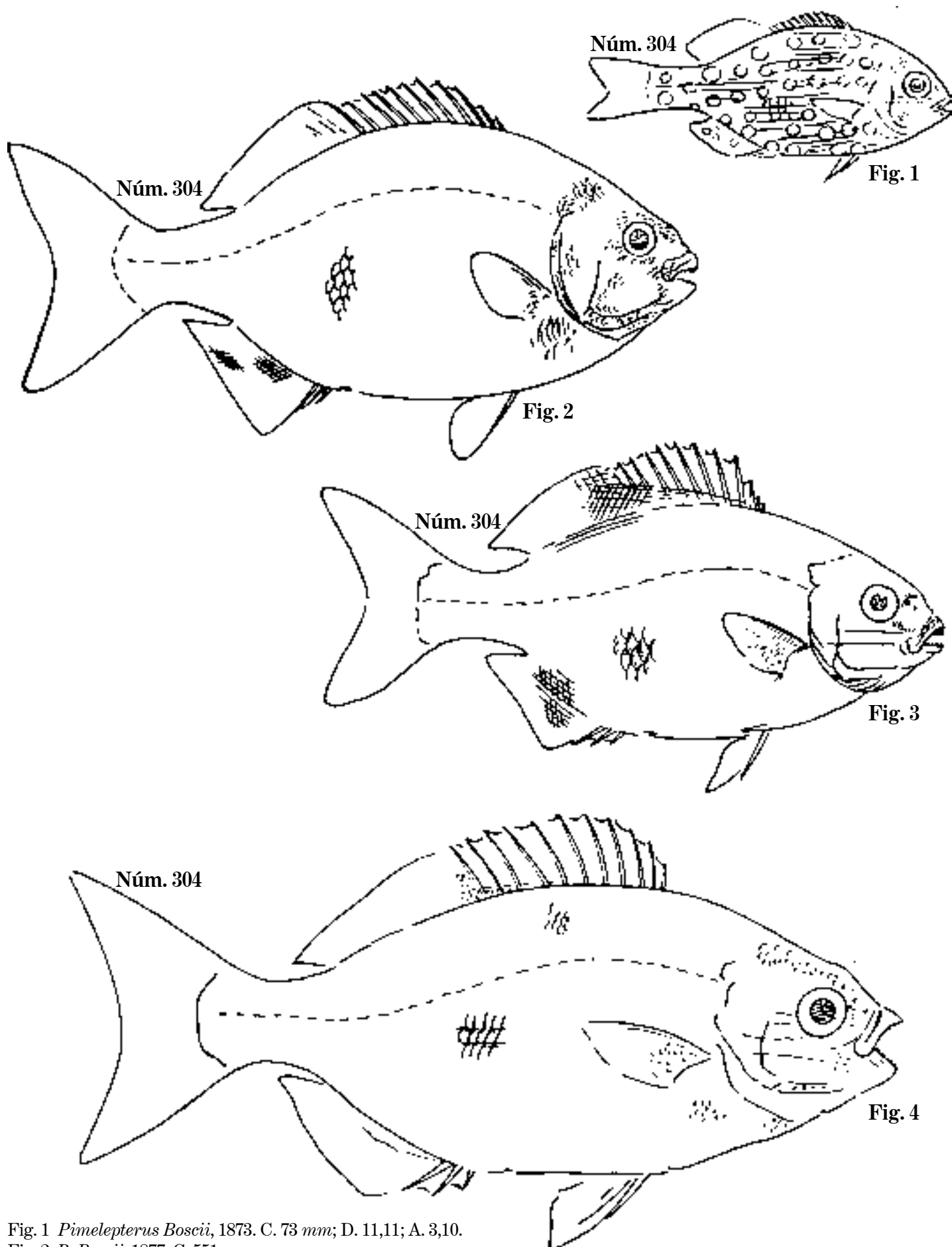


Fig. 1 *Pimelepterus Boscii*, 1873. C. 73 mm; D. 11,11; A. 3,10.

Fig. 2 *P. Boscii*, 1877. C. 551 mm.

Fig. 3 *P. Boscii*, 1860. C. 252 mm; D. 11,12; A. 3,1.

Fig. 4 *P. Boscii*, 1876. C. 167 mm; D. 11,12 A. 3,11; chopa blanca.

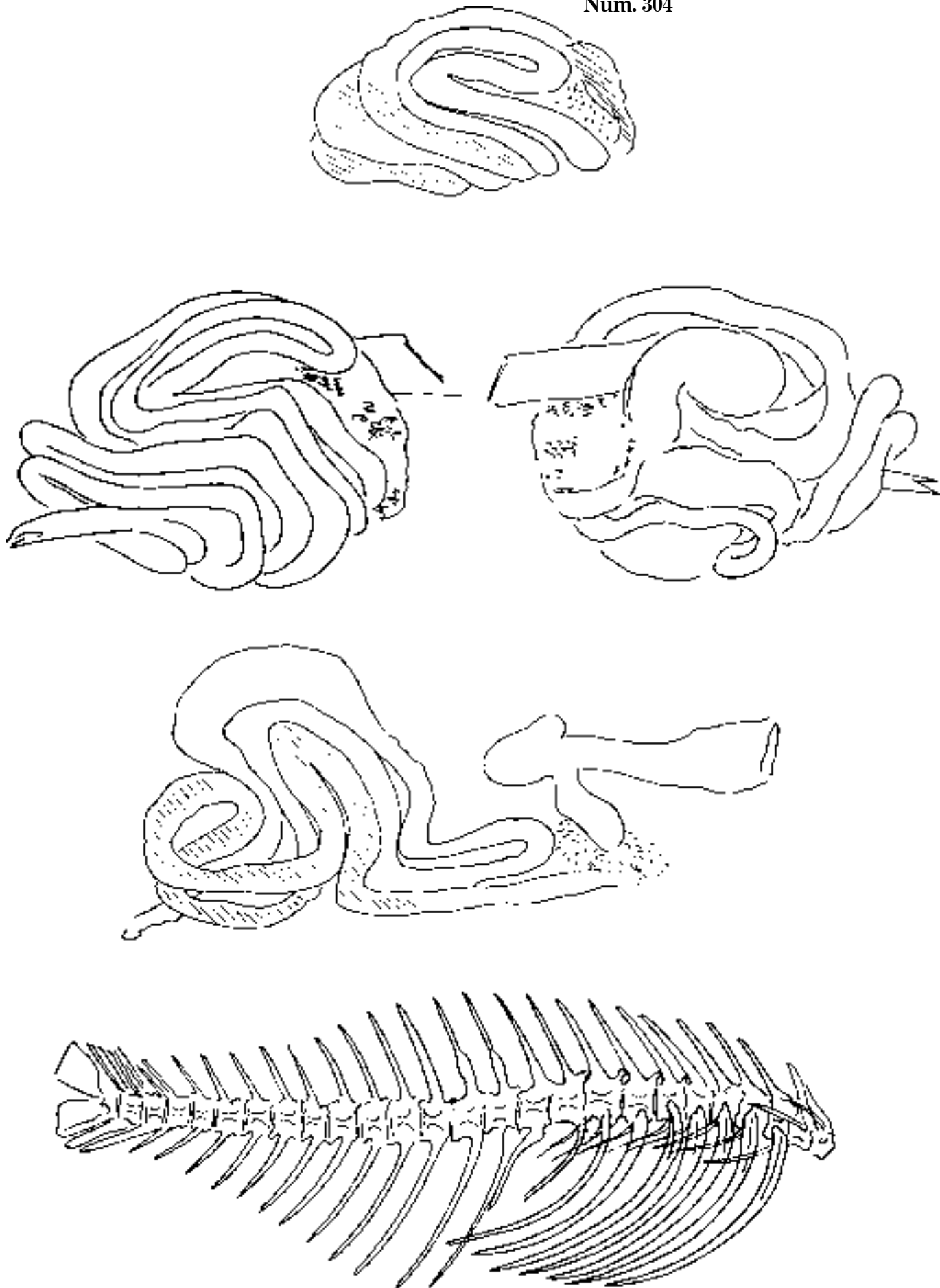
Pimelepterus Bosci. Osteología; chopa blanca.

Núm. 304



Lám. 154

Núm. 304



Pimelepterus Boscii. Osteología y órganos; chopa blanca.

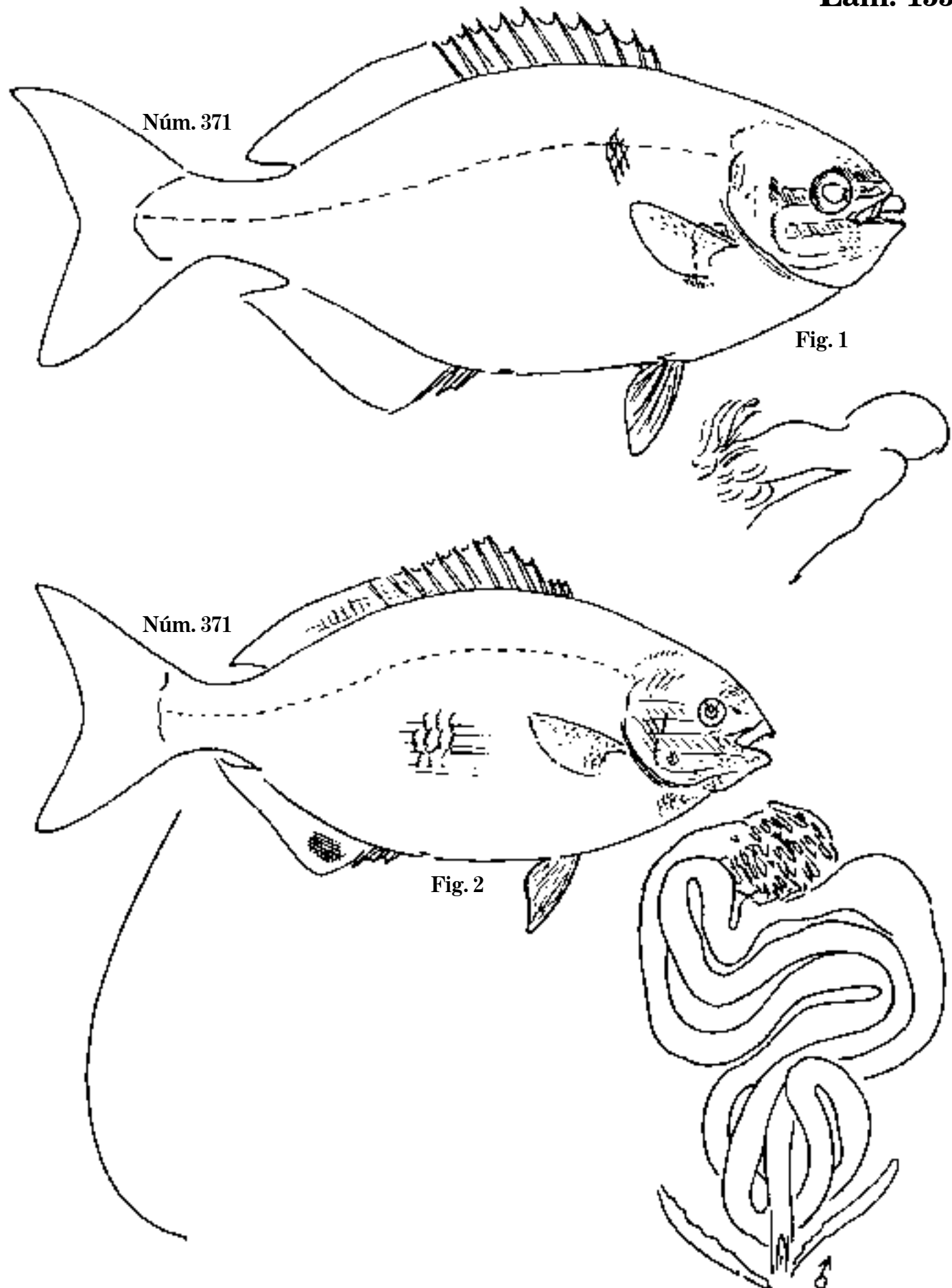


Fig. 1 *Pimelepterus flavolineatus*. C. 406 mm; D. 11,14; A. 3,13.
Fig. 2 *P. flavolineatus*, 1873. C. 549 mm; D. 11,14; A. 3,13; chopa amarilla.

Lám. 156

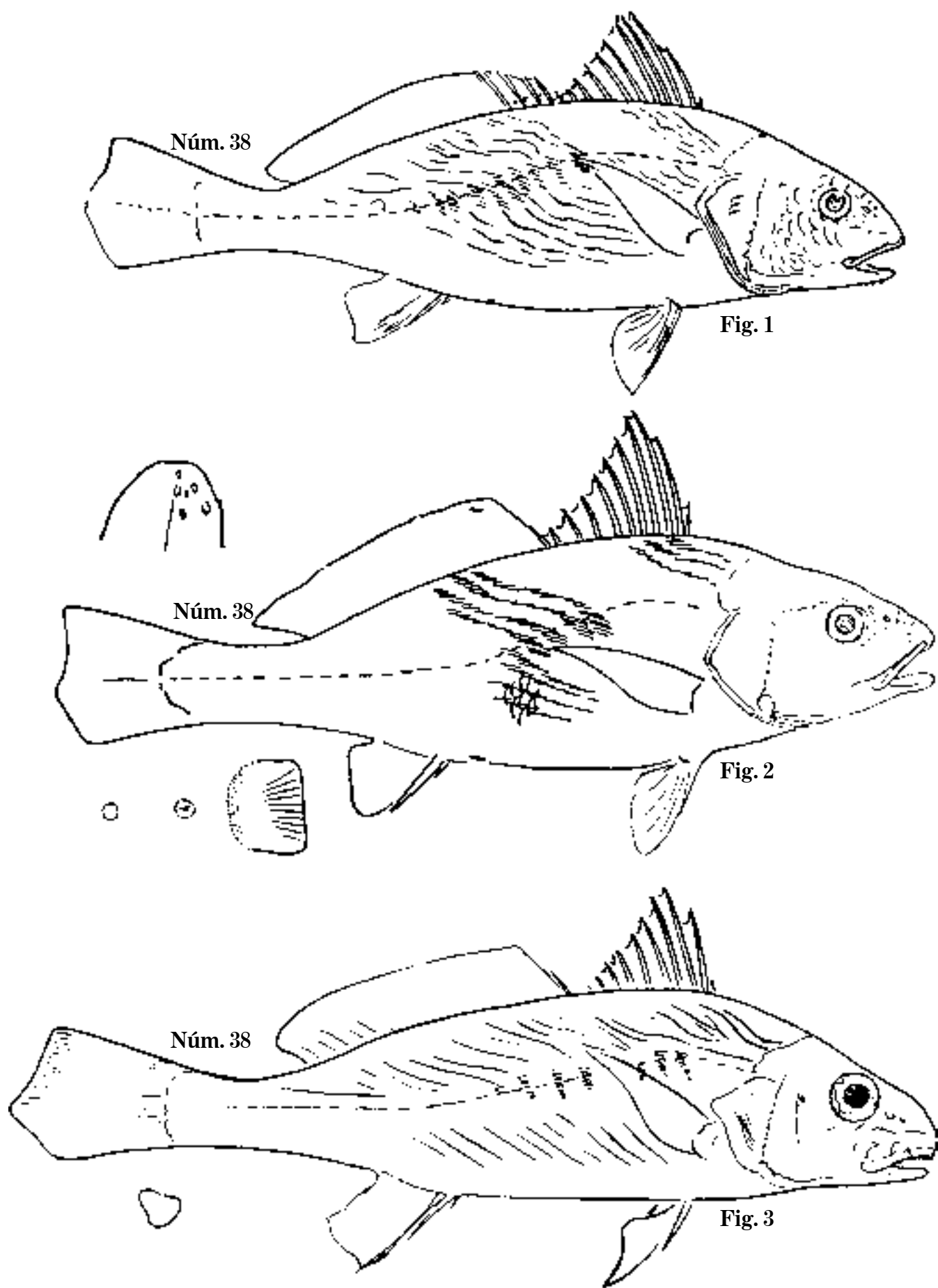


Fig. 1 *Micropogon undulatus*, 1869. C. 348 mm; D. 10,28; A. 2,8.

Fig. 2 *M. undulatus*, 1859. C. 299 mm; D. 10,1,29; A. 2,8.

Fig. 3 *M. undulatus*. C. 156 mm; A. 2,8?; verrugato.

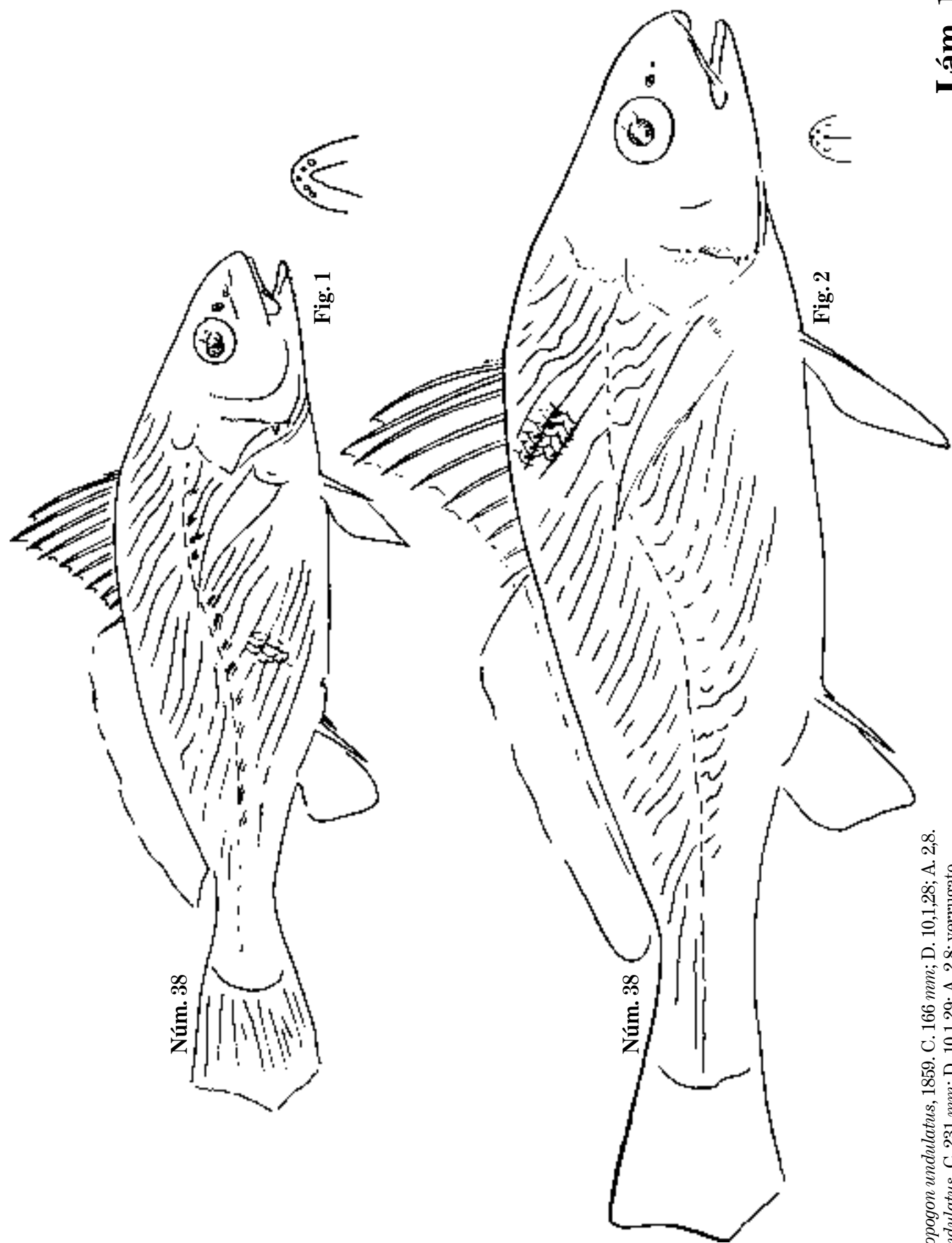
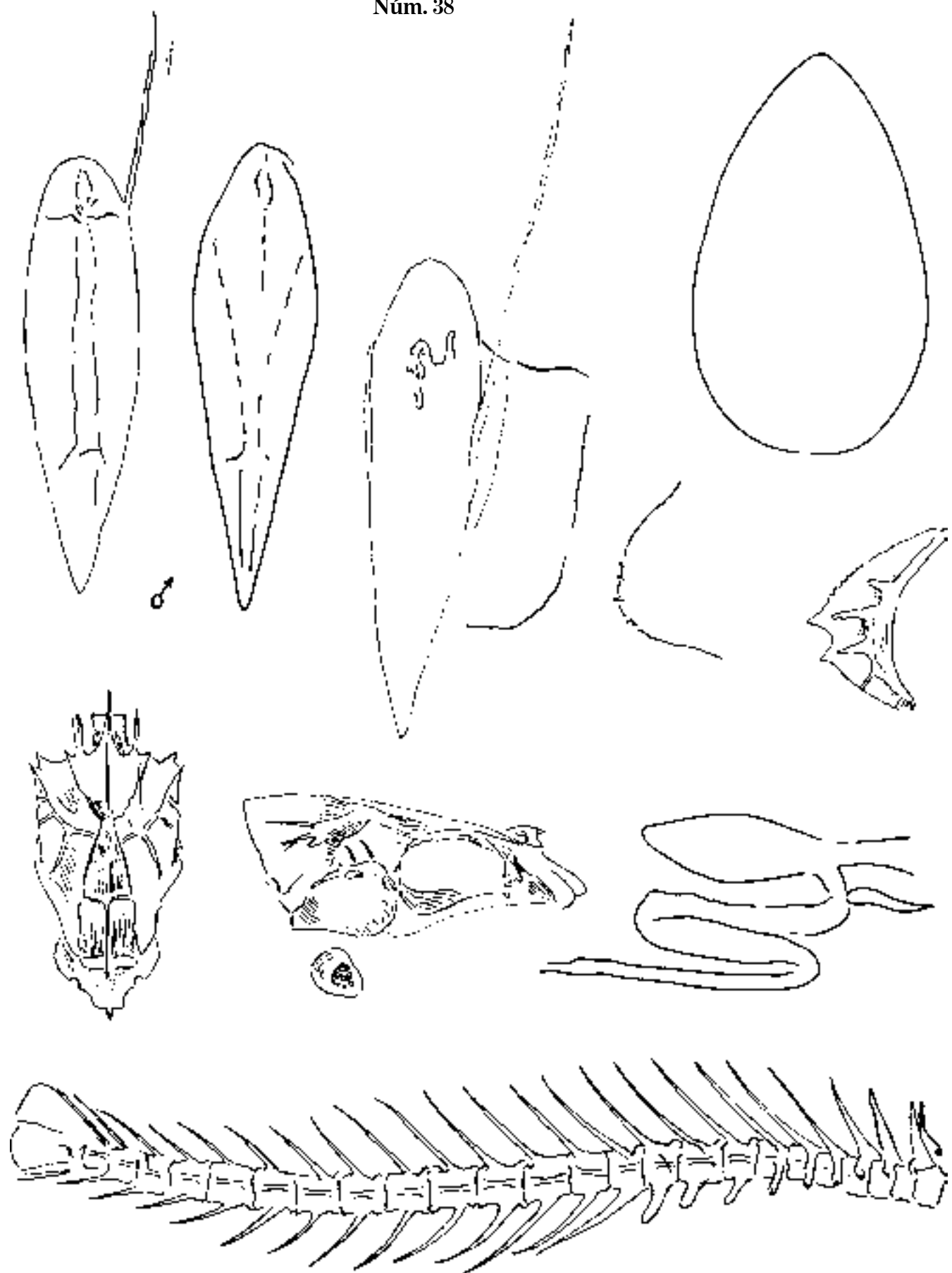


Fig. 1 *Micropon undulatus*, 1859. C. 166 mm; D. 10,1,28; A. 2,8.
Fig. 2 *M. undulatus*. C. 231 mm; D. 10,1,29; A. 2,8; verrugato.

Lám. 158

Núm. 38



Micropogon undulatus. Osteología; verrugato.

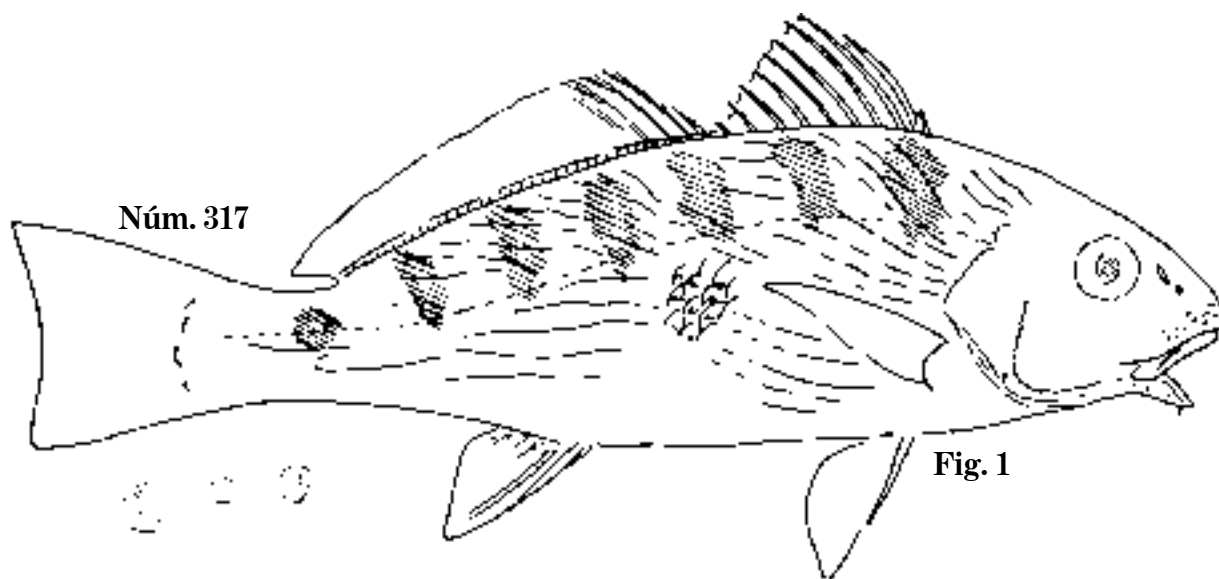


Fig. 1

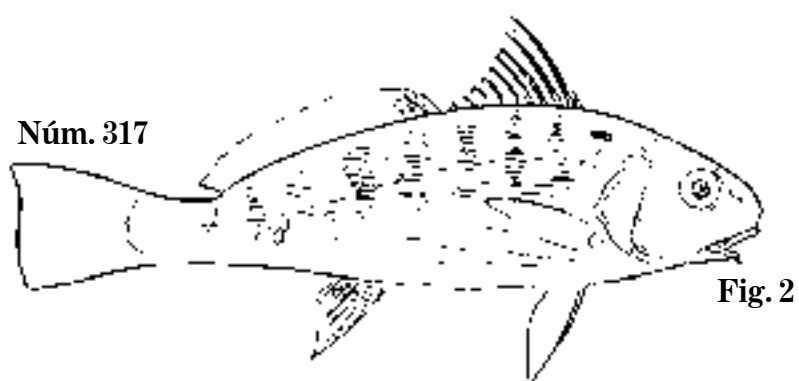


Fig. 2

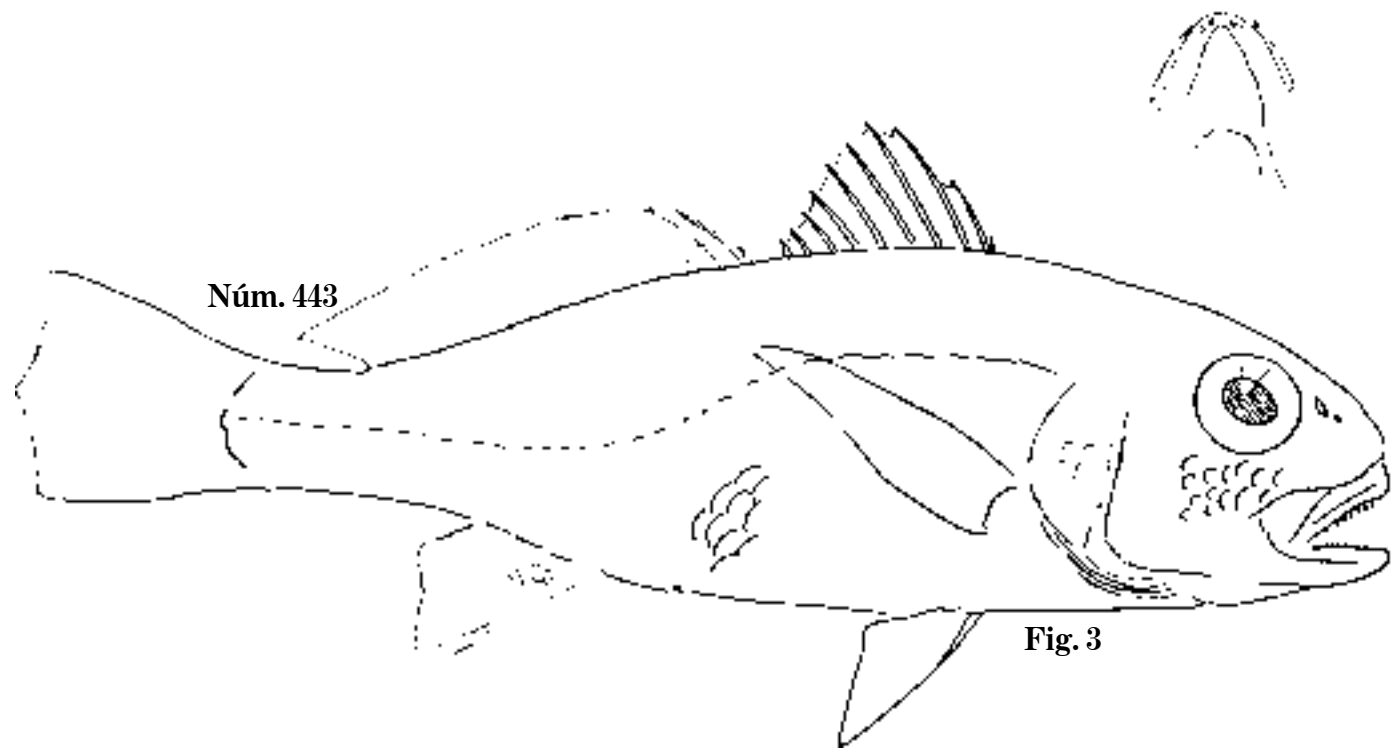


Fig. 3

Fig. 1 *Sciena coroides*, 1870. C. 213 mm; D. 10,1,26; A. 2,6.

Fig. 2 *S. coroides*, 1870. C. 132 mm; D. 10,1,29; A. 2,6.

Fig. 3 *Corvina subaequalis*. C. 241 mm; D. 10,1,25; A. 2,7; corbina.

Lám. 160

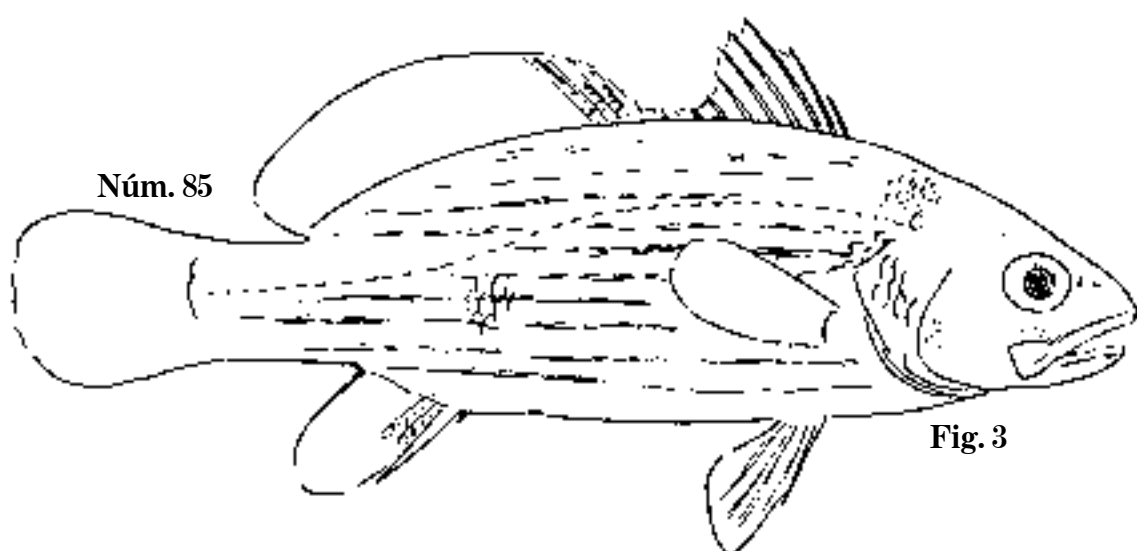
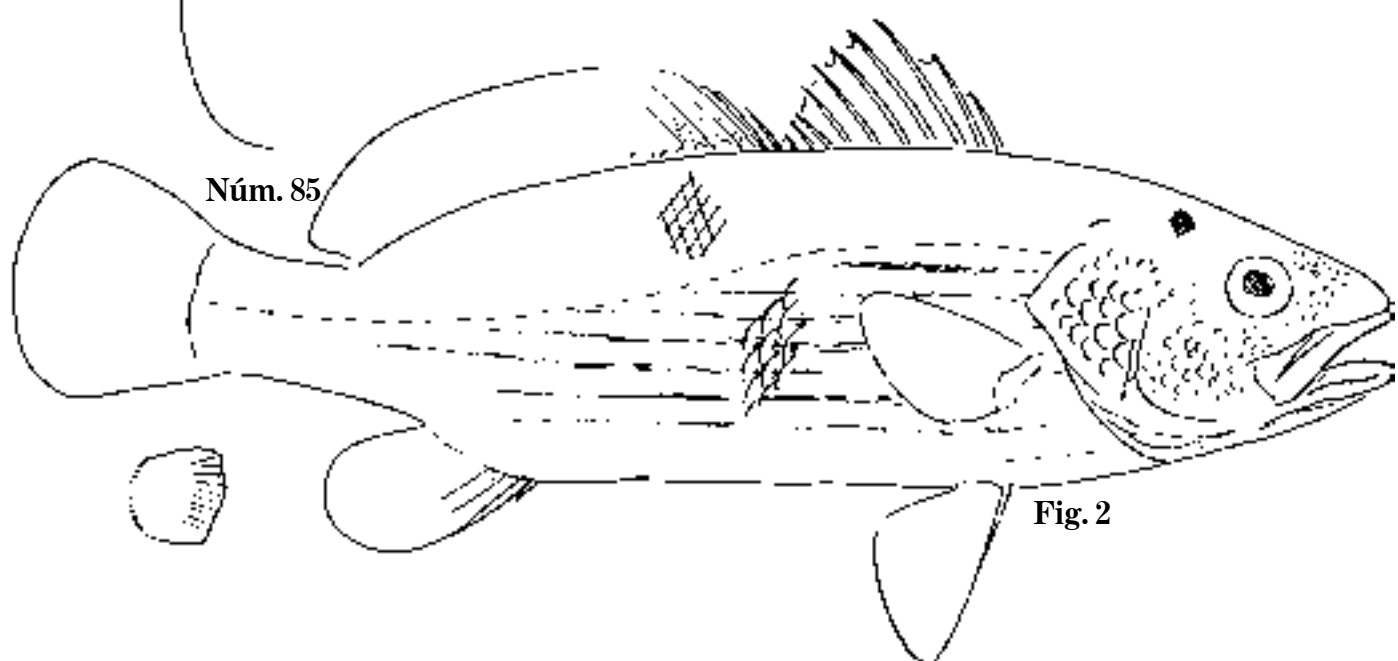
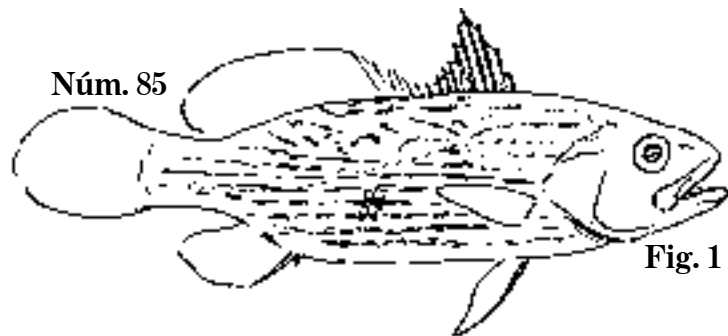


Fig. 1 *Johnius batabanus*, 1860. C. 120 mm; D. 11,1,26; A. 2,8.

Fig. 2 *J. batabanus*, 1870. C. 233 mm; D. 10,1,28; A. 2,9.

Fig. 3 *J. batabanus*, 1869. P. 190 mm; D. 10,1,25; A. 2,8; corbina.

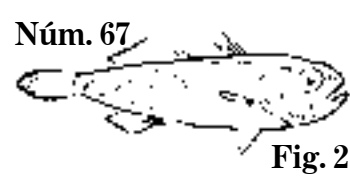
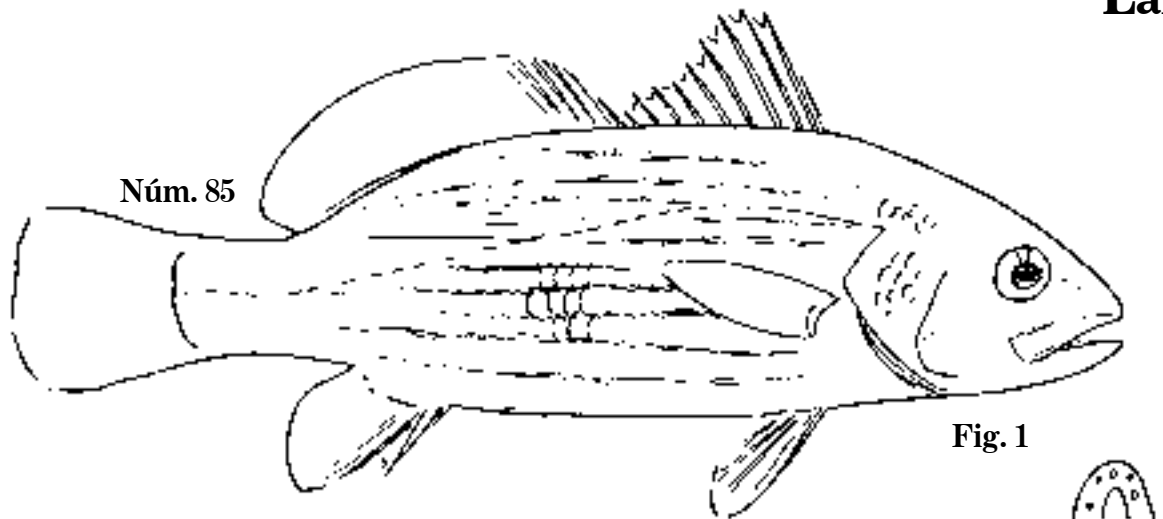
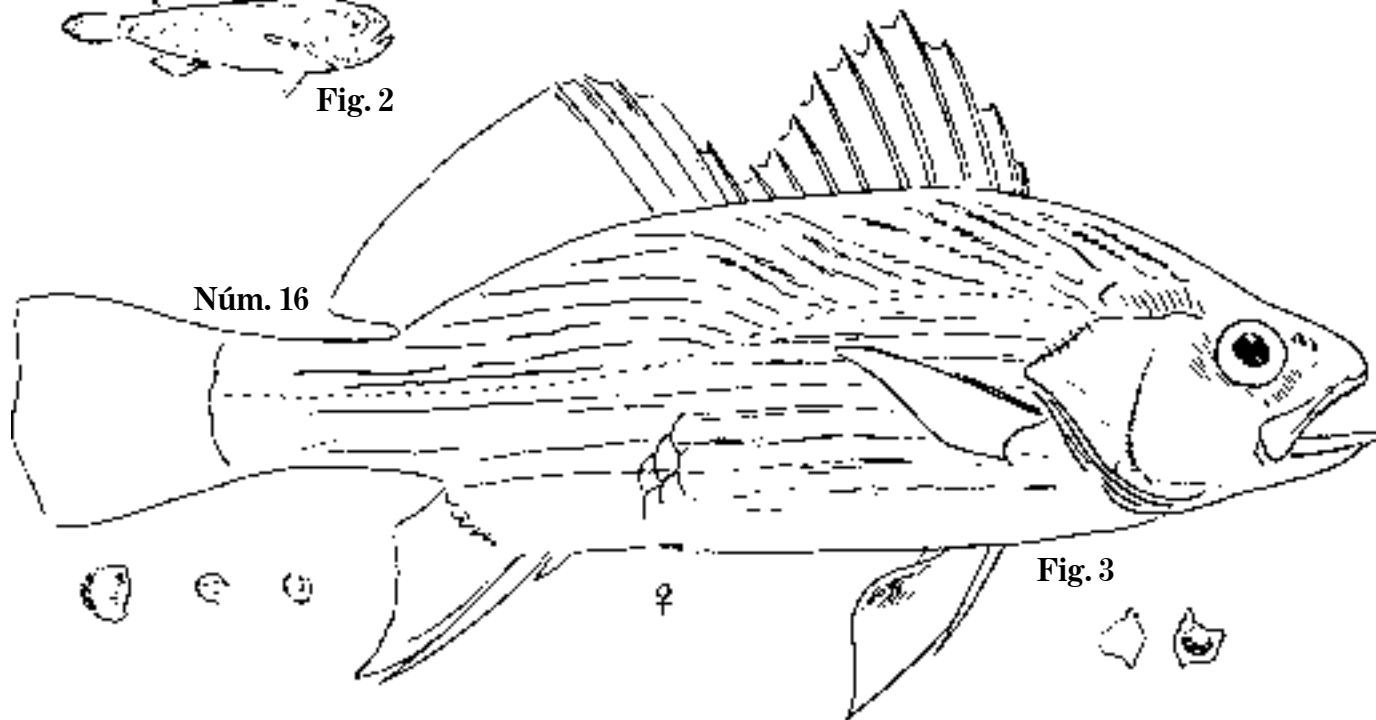


Fig. 2



Núm. 16

Fig. 3

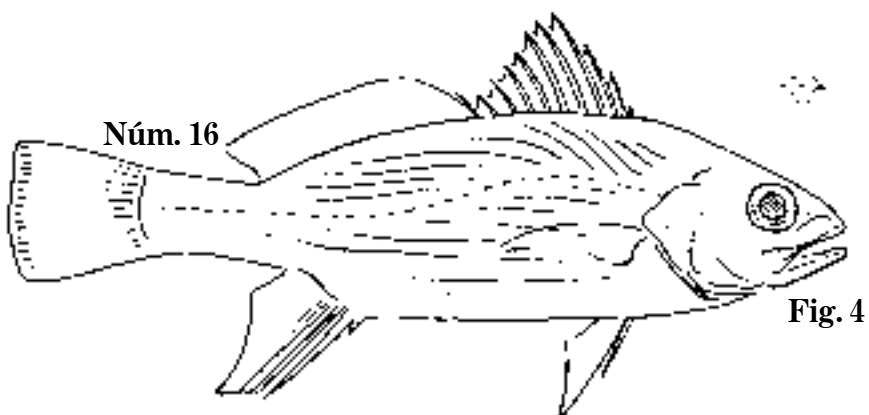


Fig. 1 *Johnius batabanus*, 1868. C. 189 mm; D. 10,1,26; A. 2,8.
 Fig. 2 *J. argenteus*. C. 56 mm; D. 10,1,24; A. 2,9.
 Fig. 3 *Bairdiella ronchus*, 1860. C. 232 mm; D. 10,1,23; A. 2,8.
 Fig. 4 *B. ronchus*. C. 143 mm; D. 11,23; A. 2,8; corvina.

Lám. 162

Núm. 399

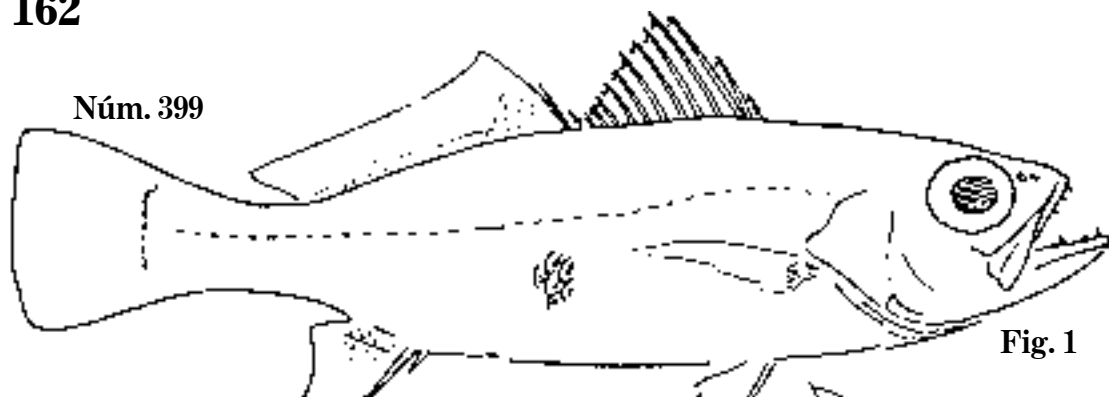


Fig. 1

Núm. 239

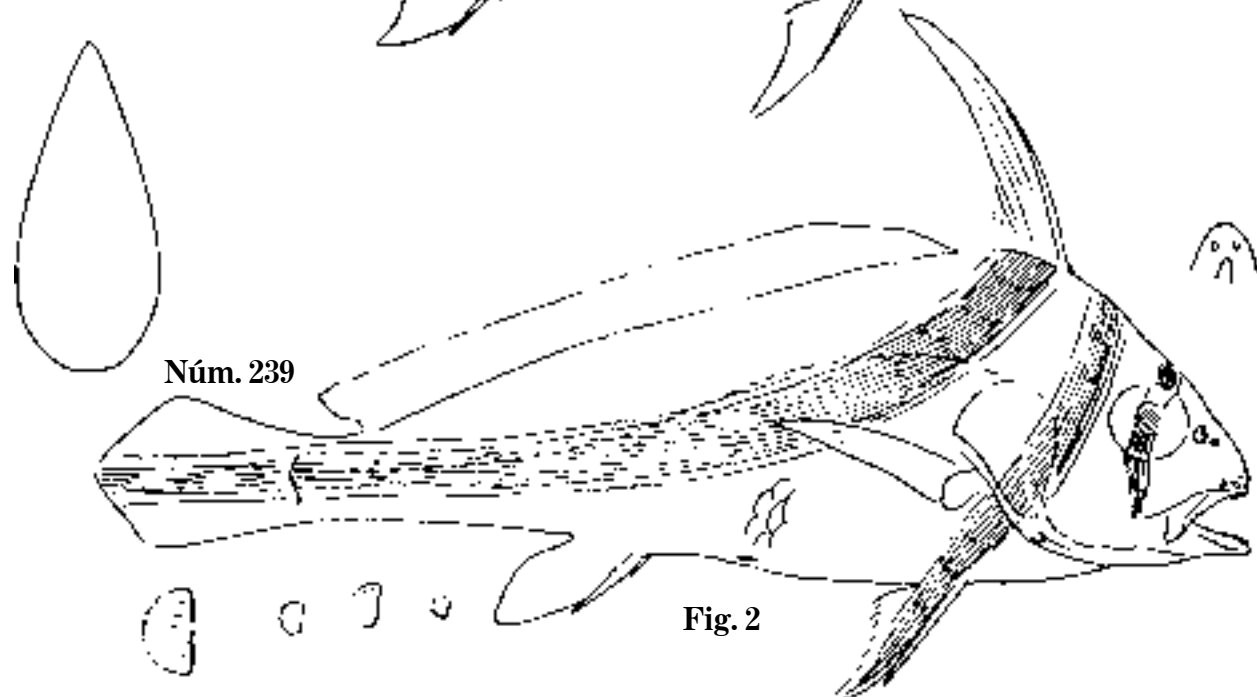


Fig. 2

Núm. 90

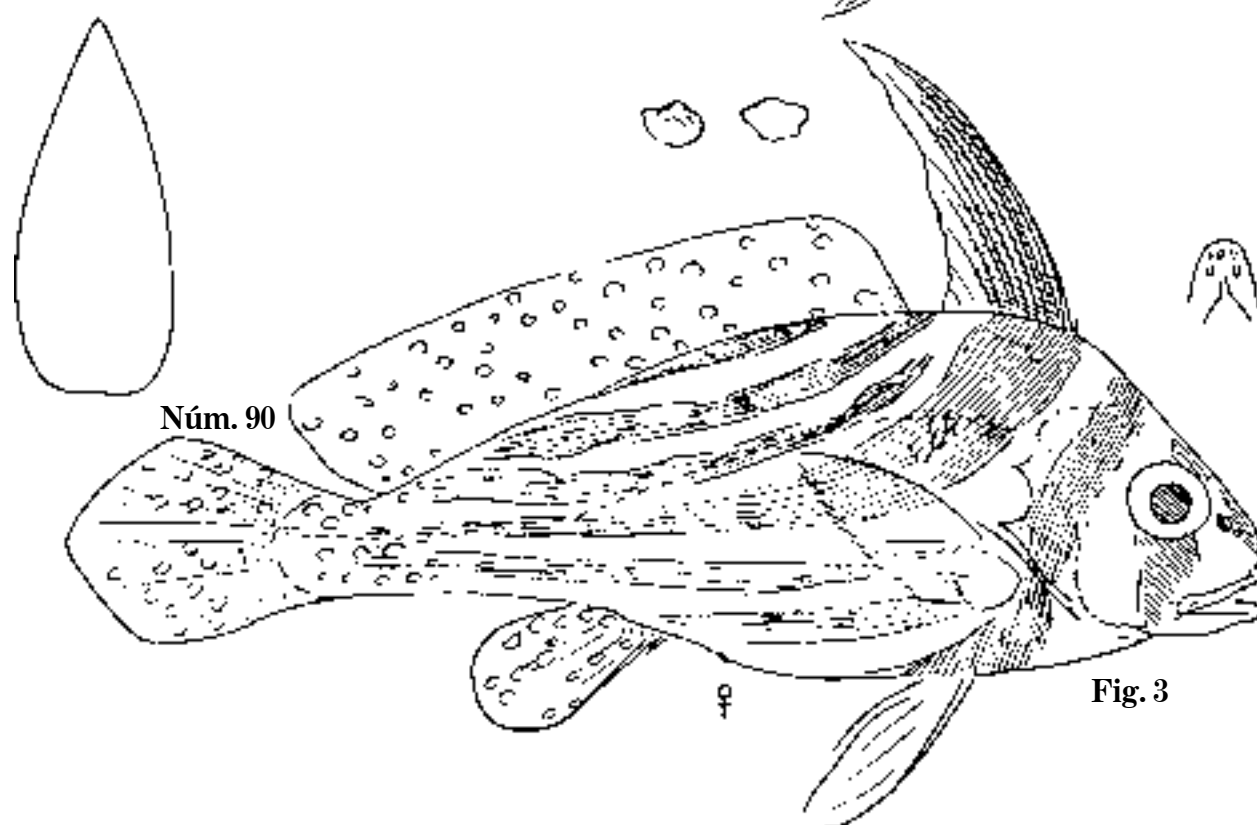


Fig. 3

Fig. 1 *Odontoscion dentex*. C. 181 mm; D. 14,25; A. 2,9; corvina.

Fig. 2 *Eques lanceolatus*. C. 192 mm.

Fig. 3 *E. punctatus*. C. 200 mm; D. 13,49?; A. 2,8; vaqueta.

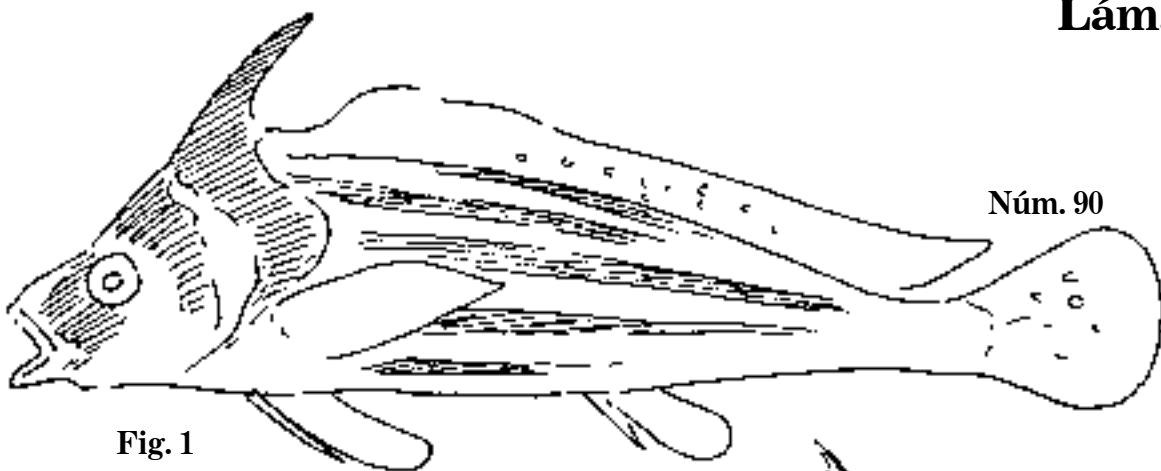
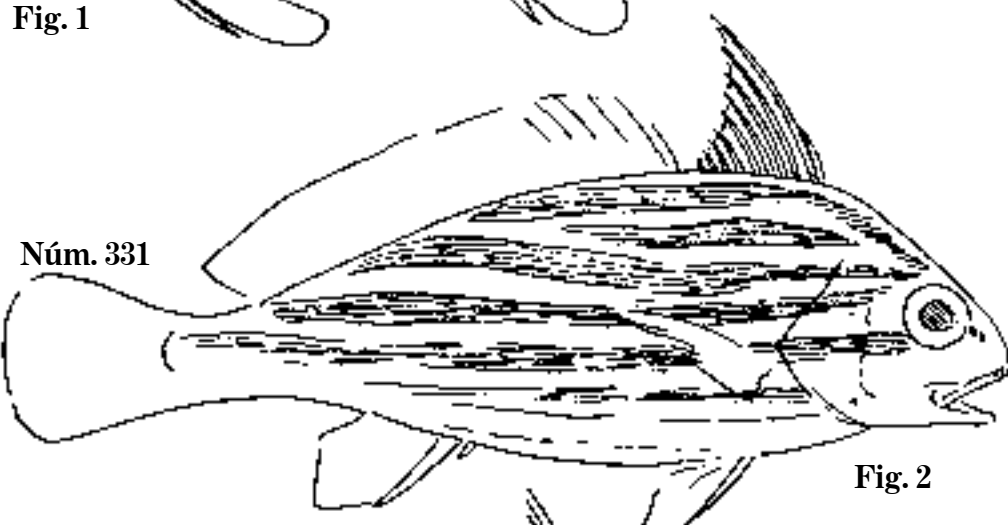
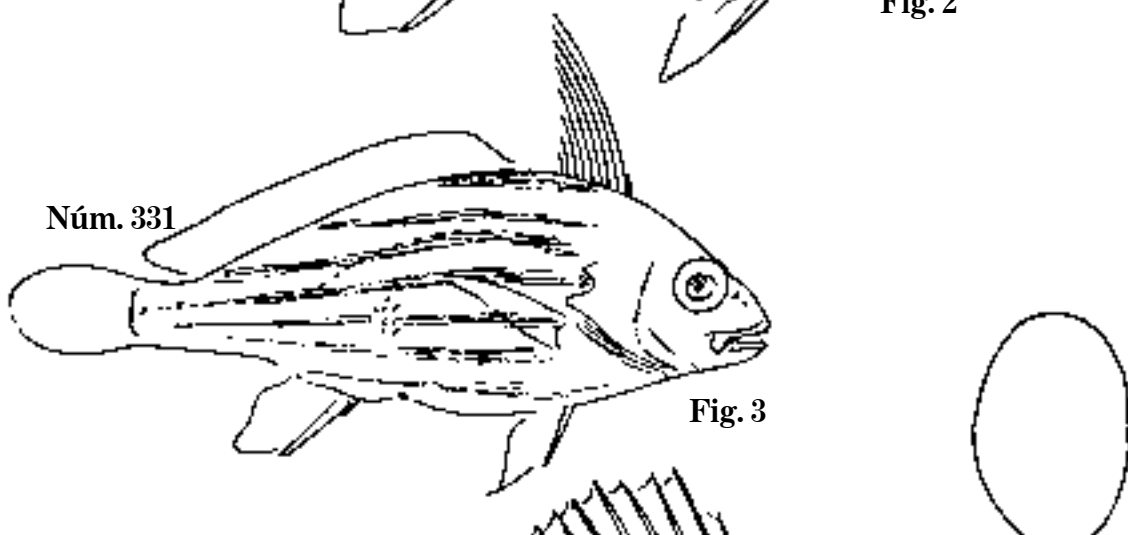


Fig. 1



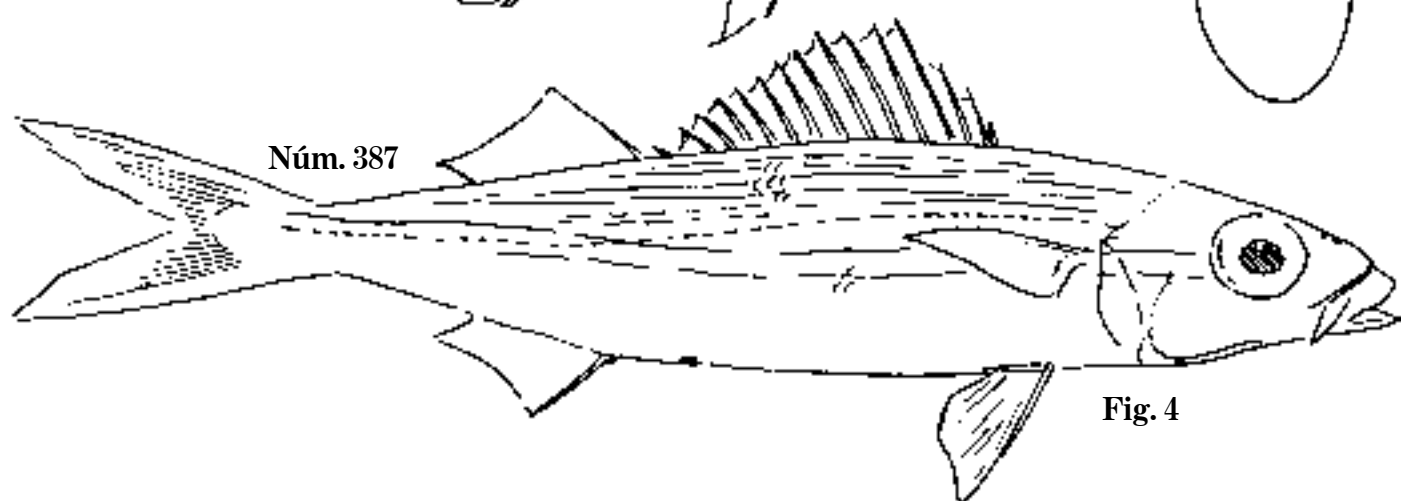
Núm. 331

Fig. 2



Núm. 331

Fig. 3



Núm. 387

Fig. 4

Fig. 1 *Eques punctatus*. C. 153 mm.

Fig. 2 *E. acuminatus*. C. 133 mm; D. 10,37; A. 2,7.

Fig. 3 *E. acuminatus*. C. 100 mm; D. 10,40?; A. 2,9?; vaqueta.

Fig. 4 *Dipterygonotus vittatus*, 1859. C. 183 mm; D. 14,1,10; A. 2,9; boga.

Lám. 164

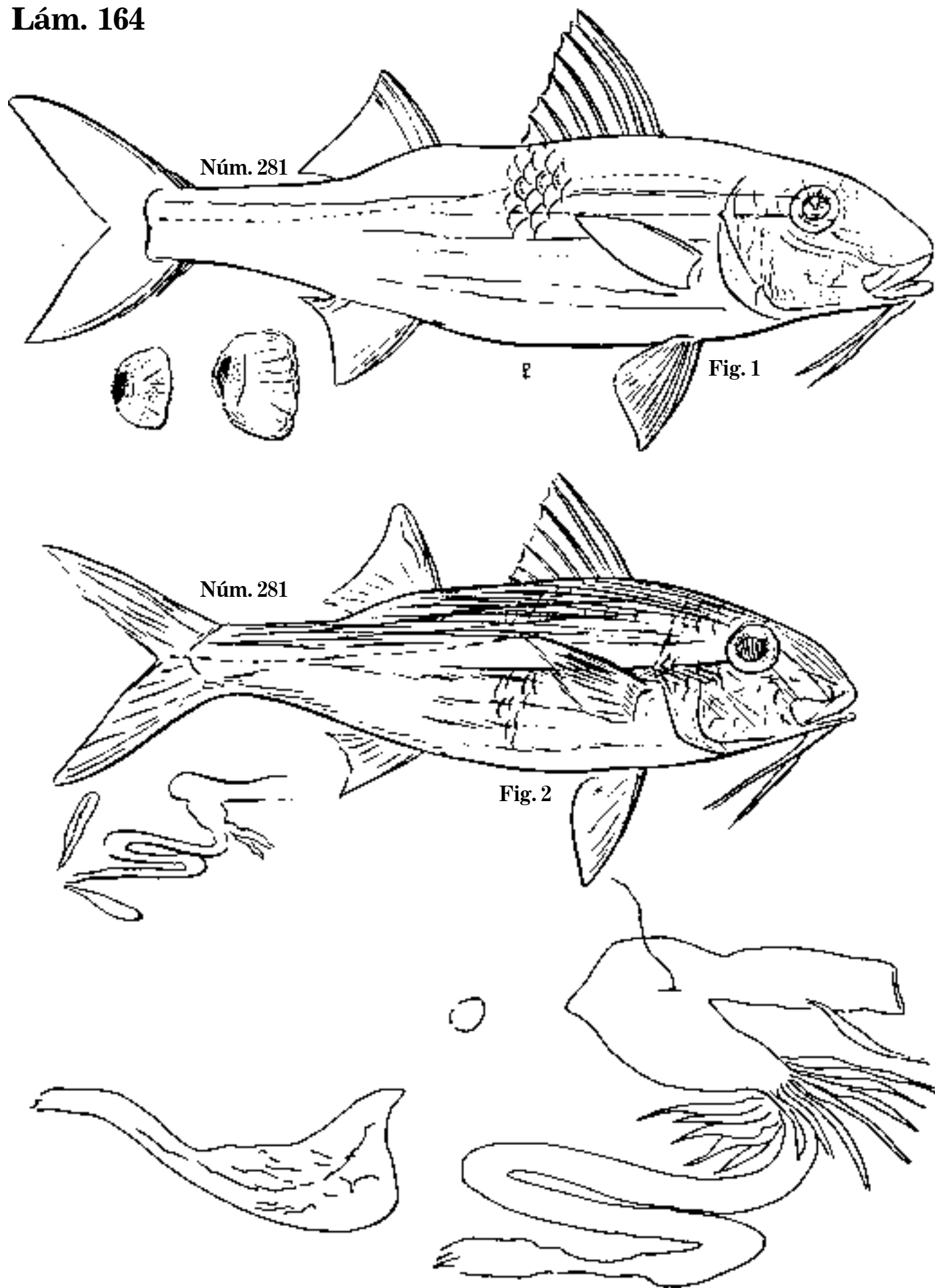
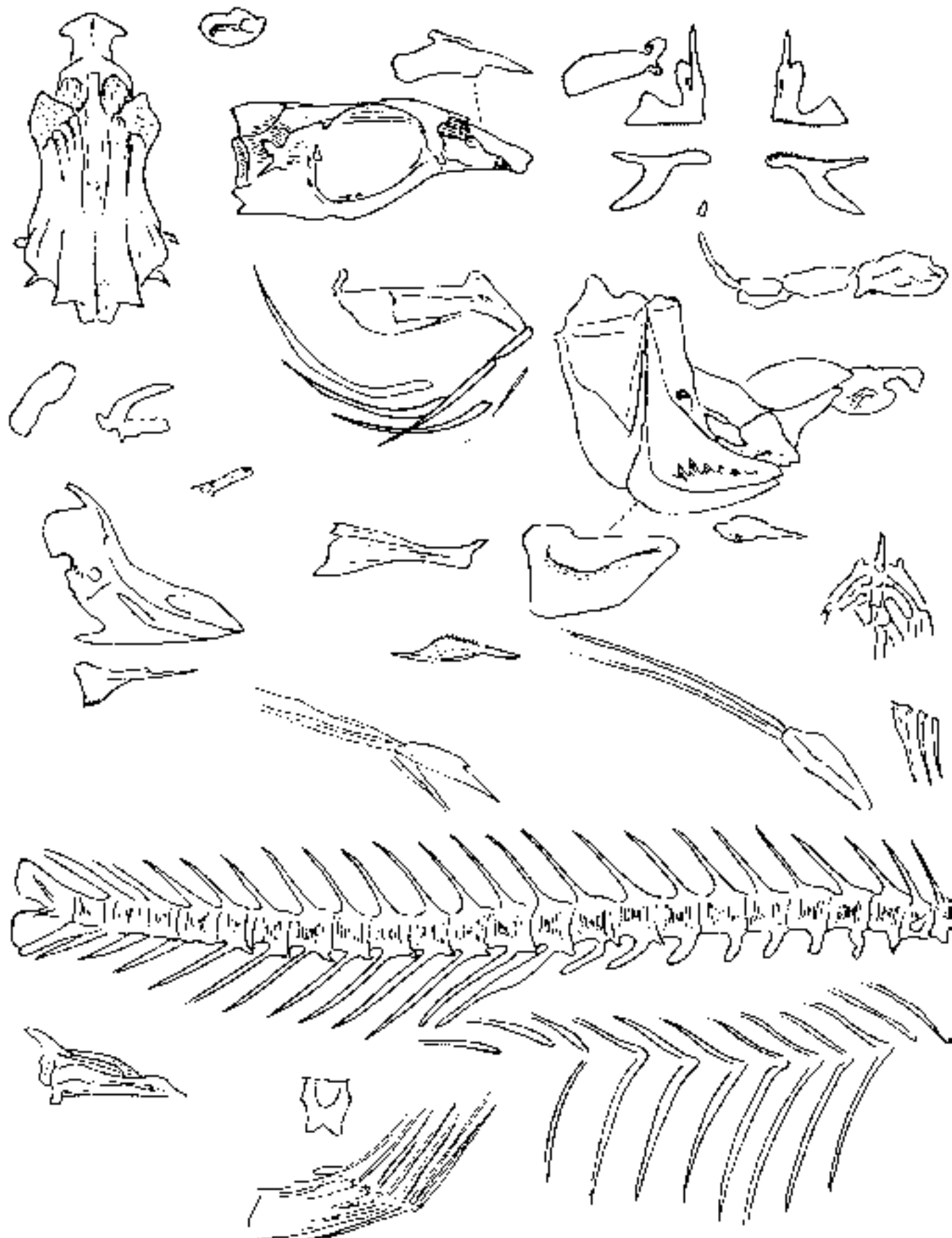


Fig. 1 *Mulloides flavovittatus*, 1871. C. 362 mm; D. 8,9; A. 1,7.

Fig. 2 *M. flavovittatus*, 1835. C. 267 mm; D. 7,1,8,5; A. 1,6,5; salmonete amarillo.

Núm. 281



Mulloidichthys flavovittatus. Osteología; salmonete amarillo.

Lám. 166

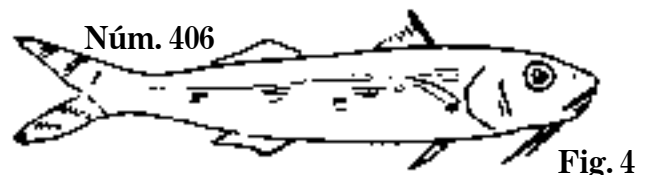
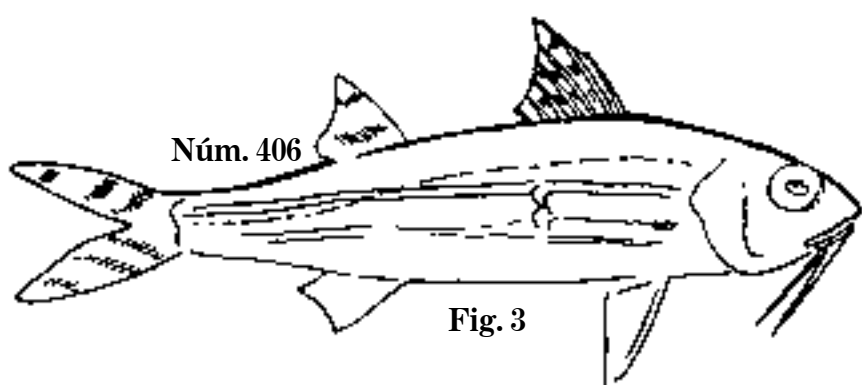
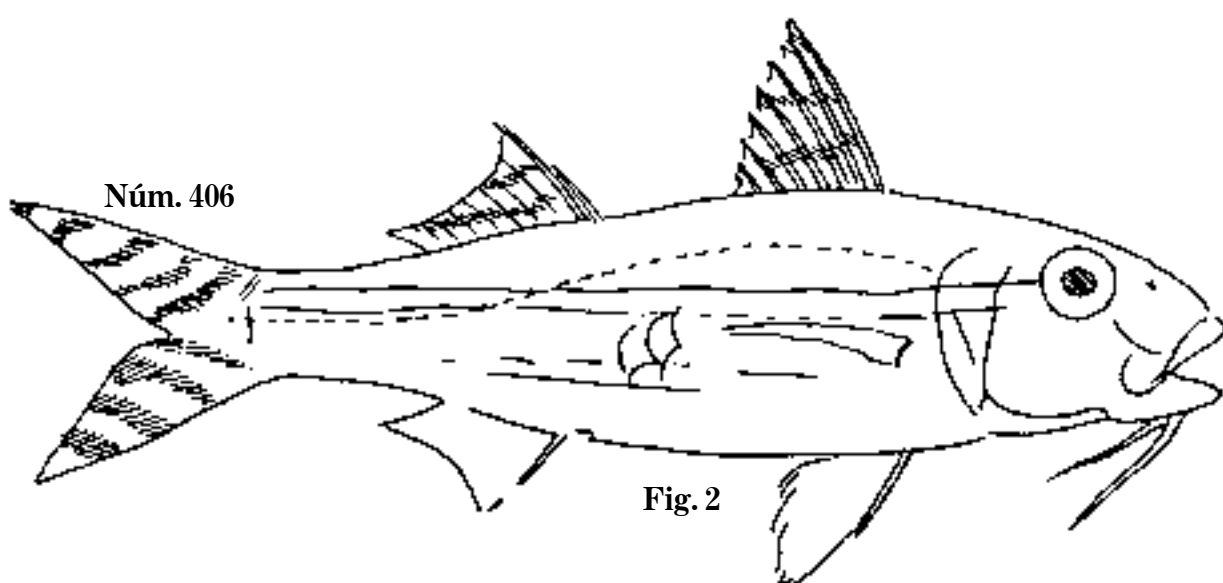
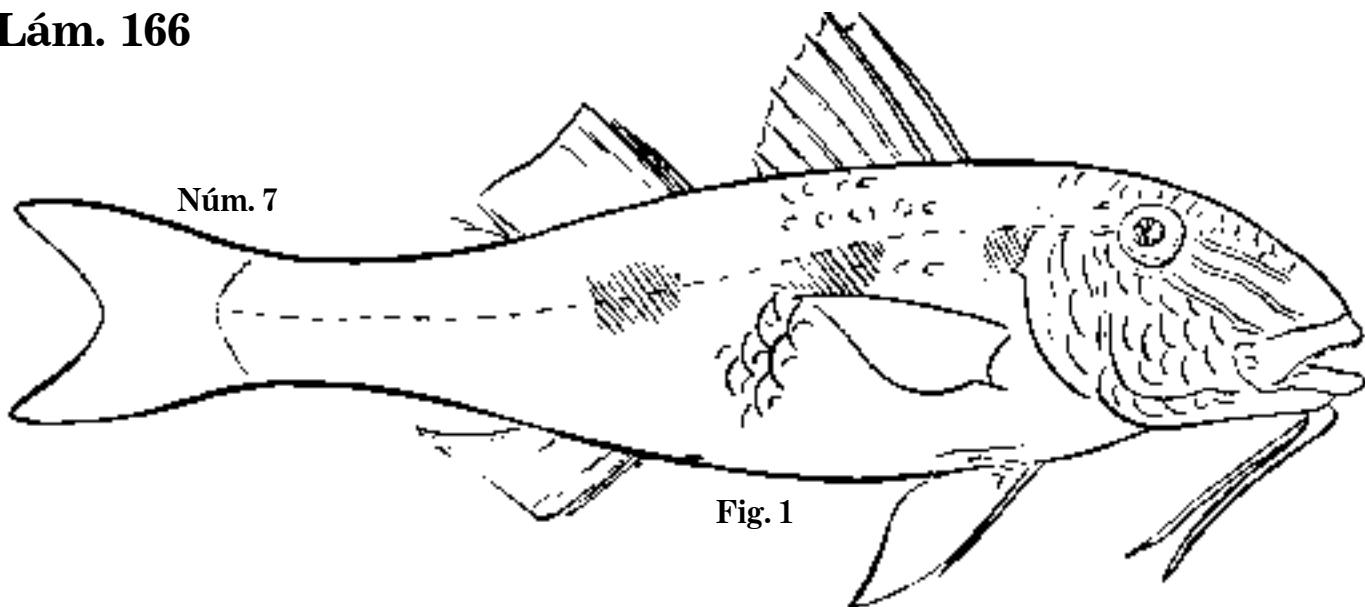


Fig. 1 *Mullhypeneus maculatus*, 1862. C. 280 mm; D. 7,1,10; A. 1,10; salmonete colorado.

Fig. 2 *Upeneus parvus*. C. 150 mm; D. 7,1,8; A. 1,7.

Fig. 3 *U. parvus*. C. 105 mm; D. 7,8; A. ?,7.

Fig. 4 *U. parvus*. C. 74 mm; salmonete.

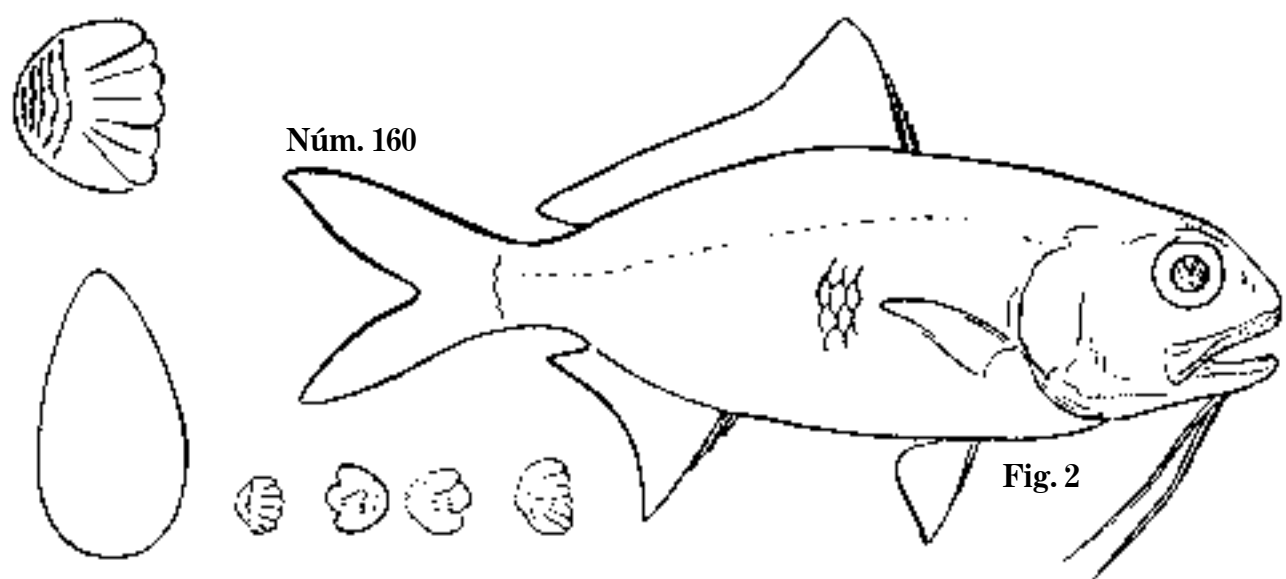
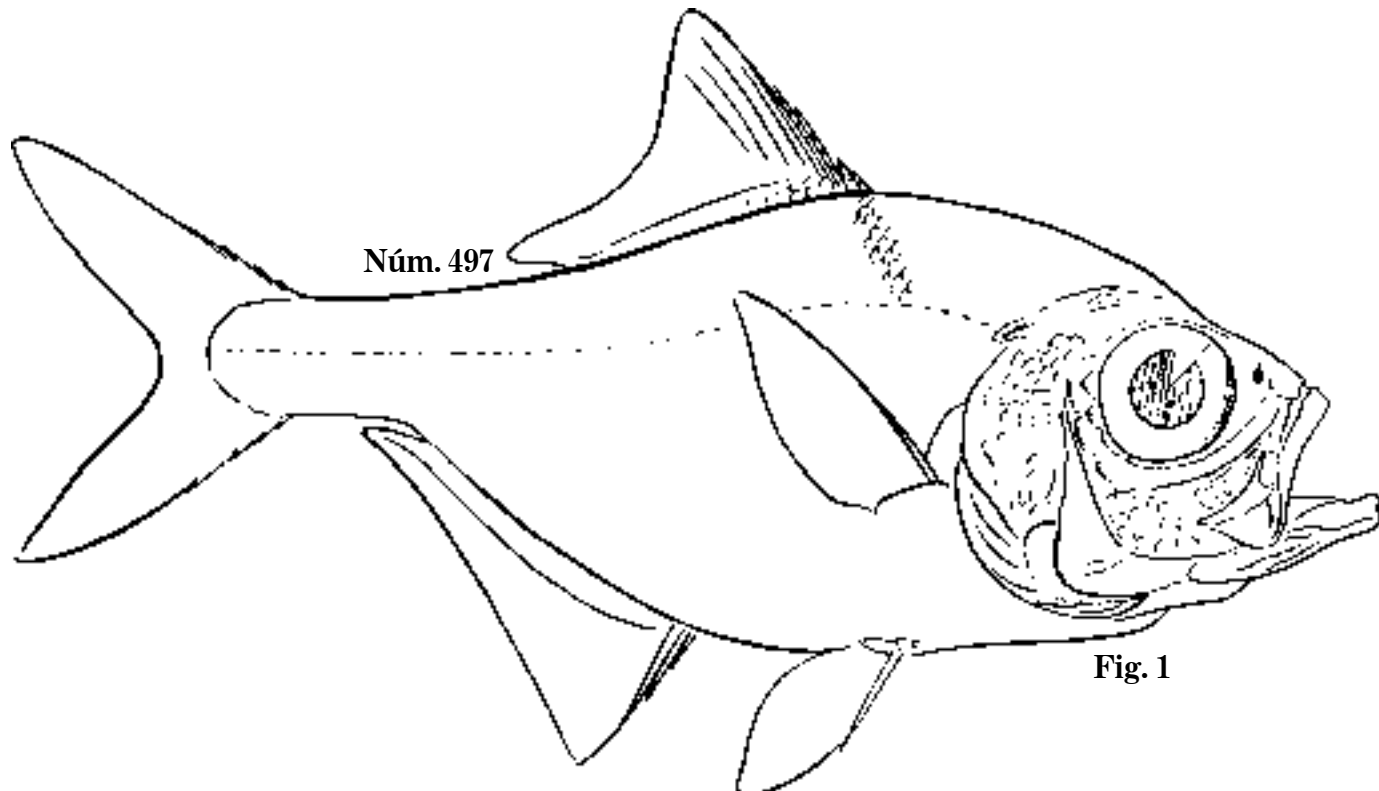


Fig. 2

Fig. 1 *Beryx decadactylus*. P. 570 mm; D. 4,19; A. 3,29; catalufa de lo alto.
Fig. 2 *Polymixia Lowei*, 1860. C. 330 mm; barbudo.

Lám. 168

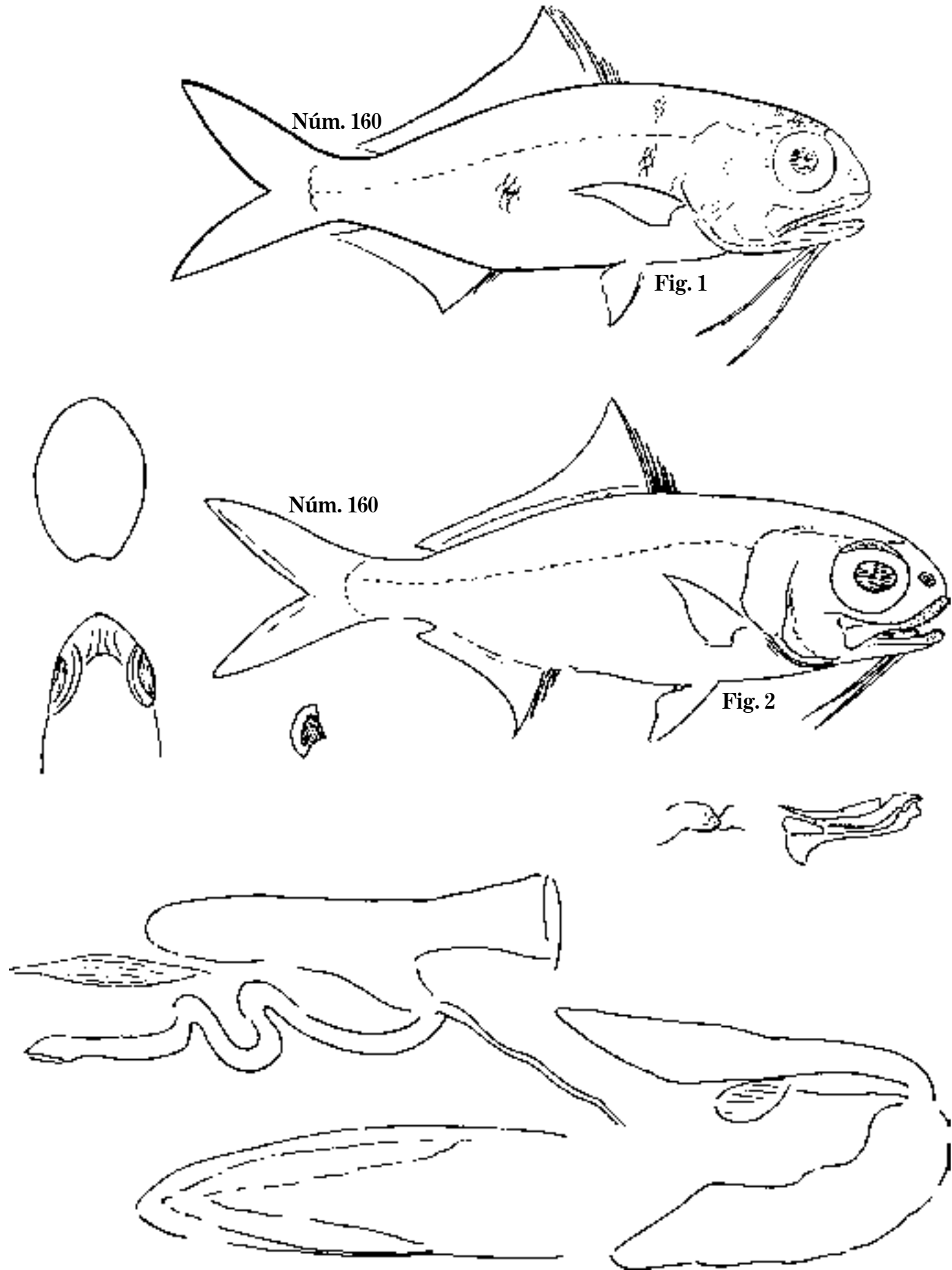


Fig. 1 *Polymixia Loweii*. C. 251 mm.

Fig. 2 *P. Loweii*. C. 158 mm; D. 5,28; A. 3,16; barbudo.

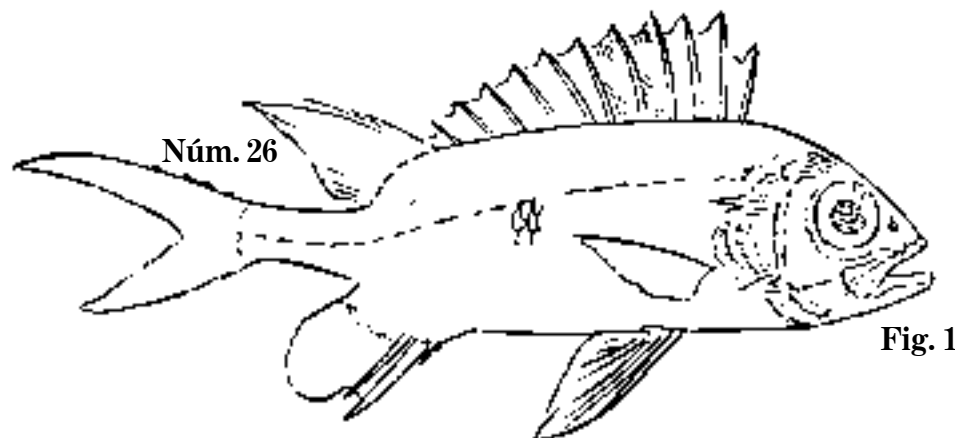


Fig. 1

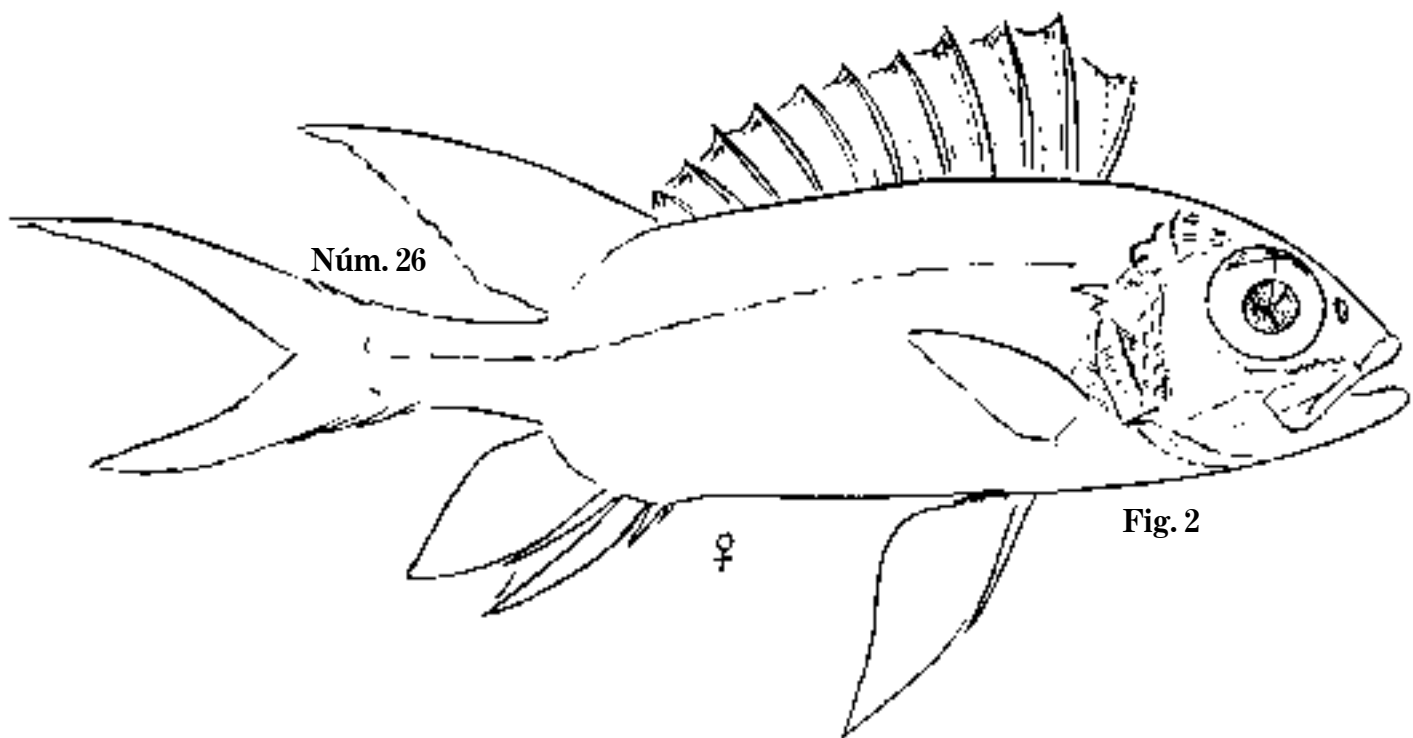


Fig. 2

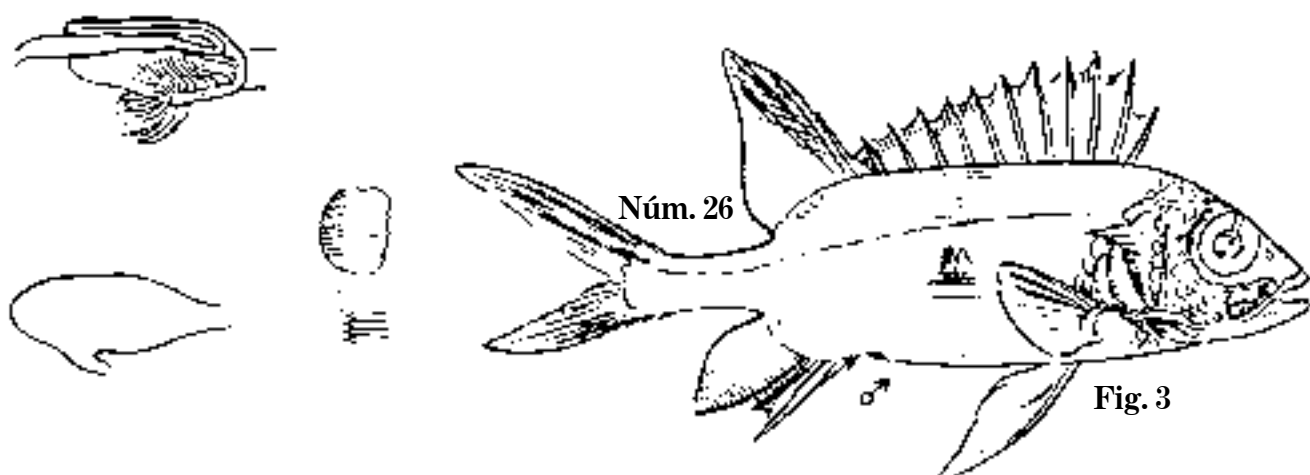


Fig. 3

Fig. 1 *Holocentrum Matejuelo*. C. 265 mm.

Fig. 2 *H. Matejuelo*, 1860. C. 203 mm; D. 11,15; A. 4,10.

Fig. 3 *H. Matejuelo*; matejuelo colorado.

Lám. 170

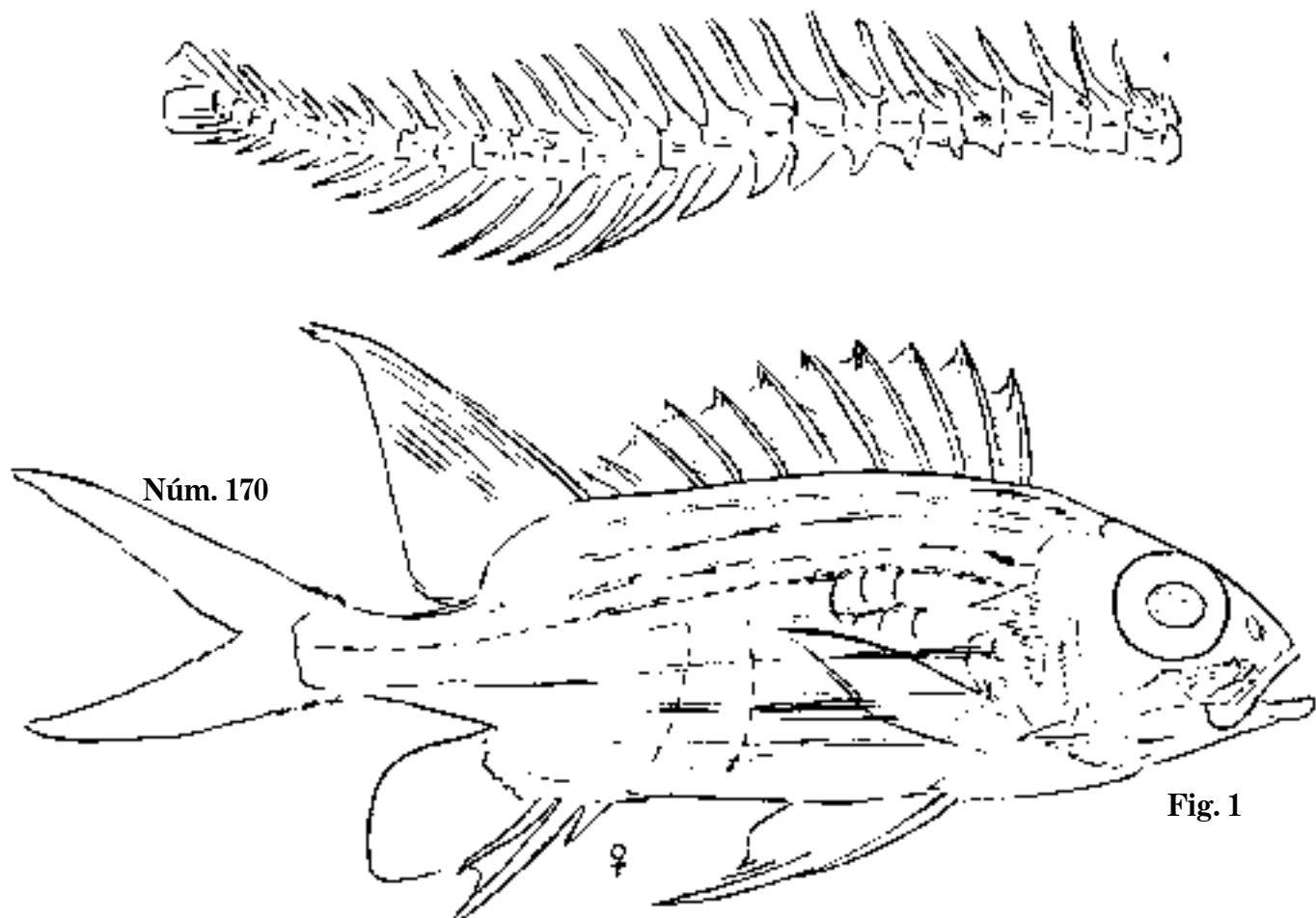


Fig. 1

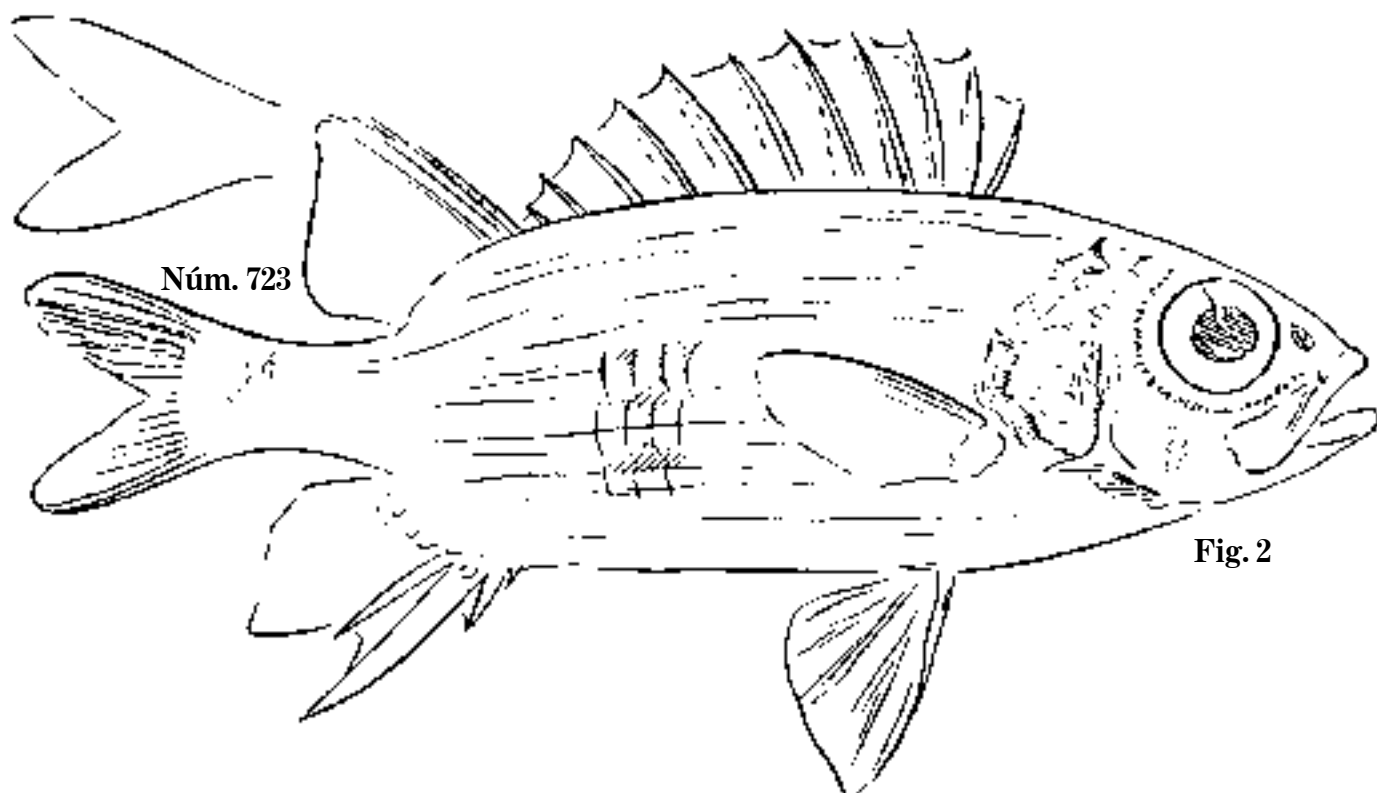


Fig. 2

Fig. 1 *Holocentrum osculum*. C. 195 mm; A. 4,9.

Fig. 2 *H. brachypterus*. C. 194 mm; D. 11,13; A. 4,8; matejuelo.

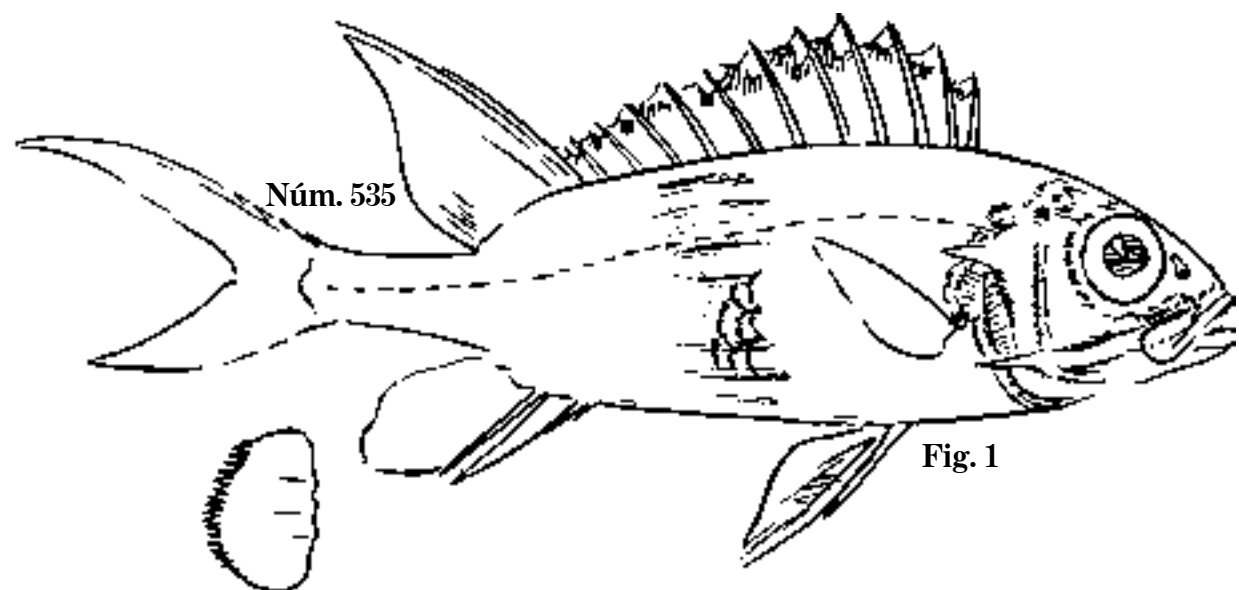


Fig. 1

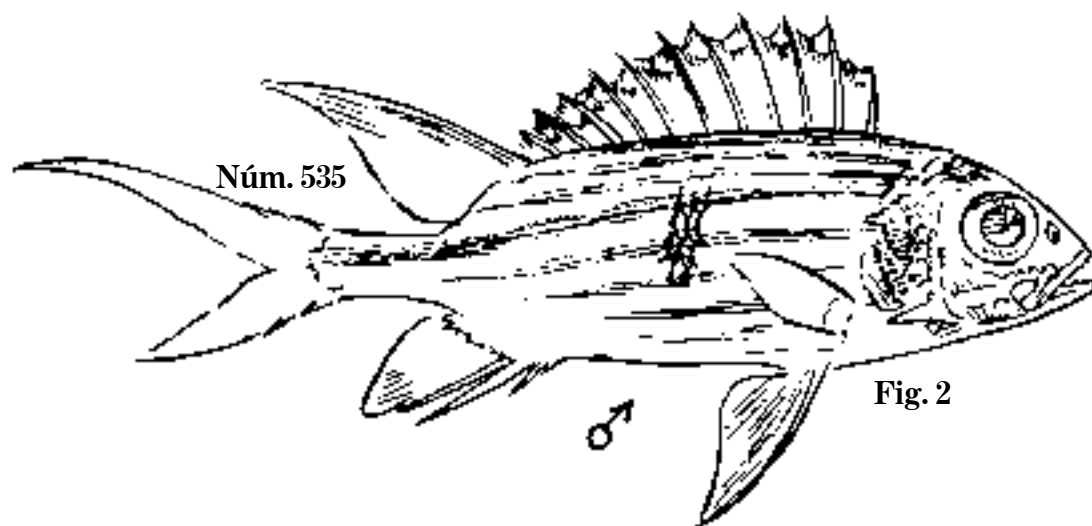


Fig. 2

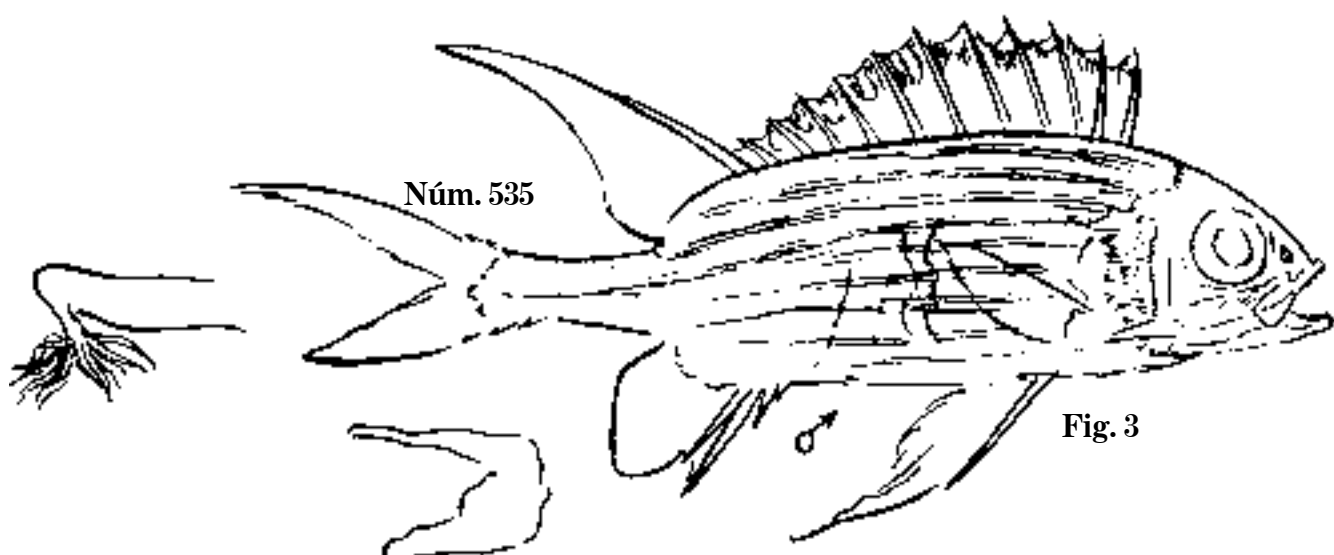


Fig. 3

Fig. 1 *Holocentrum perlatum*, 1861. C. 249 mm; D. 11,15; A. 4,10.

Fig. 2 *H. perlatum*. 1860. C. 214 mm; D. 11,15; A. 4,10.

Fig. 3 *H. perlatum*. C. 221 mm; D. 11,15; A. 4,10; matejuelo.

Lám. 172

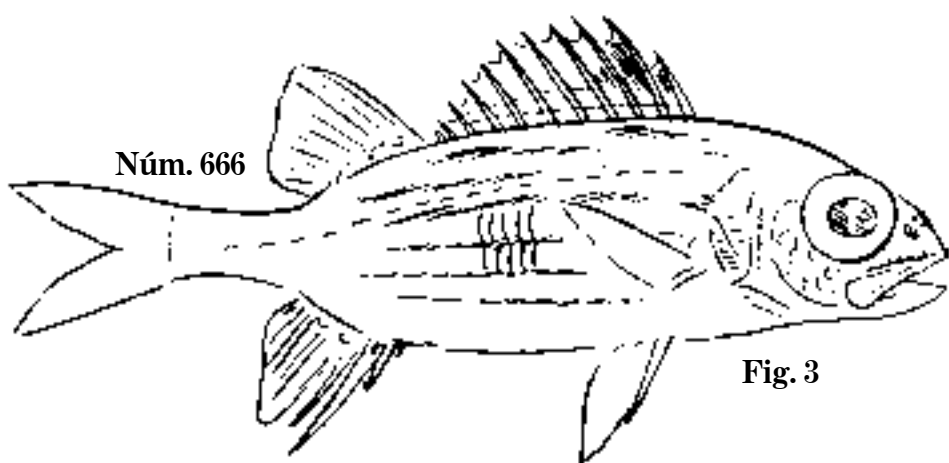
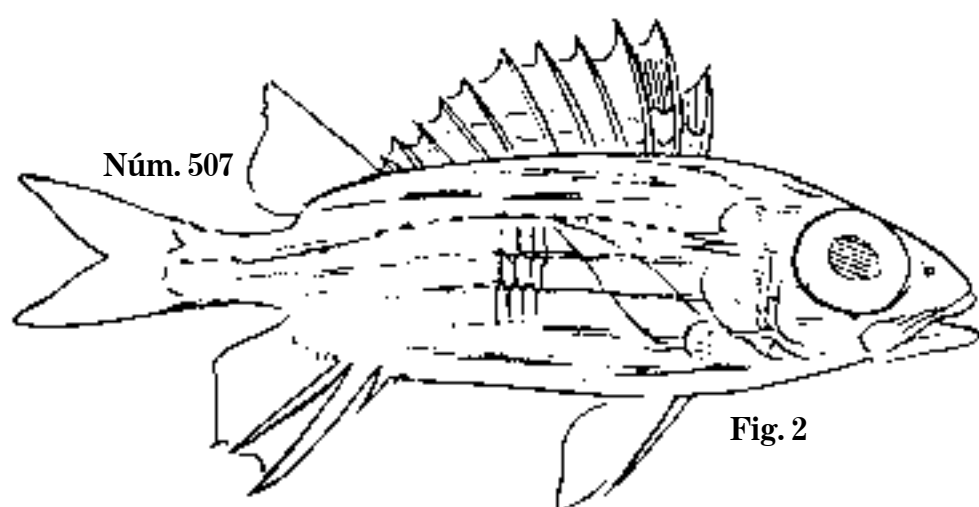
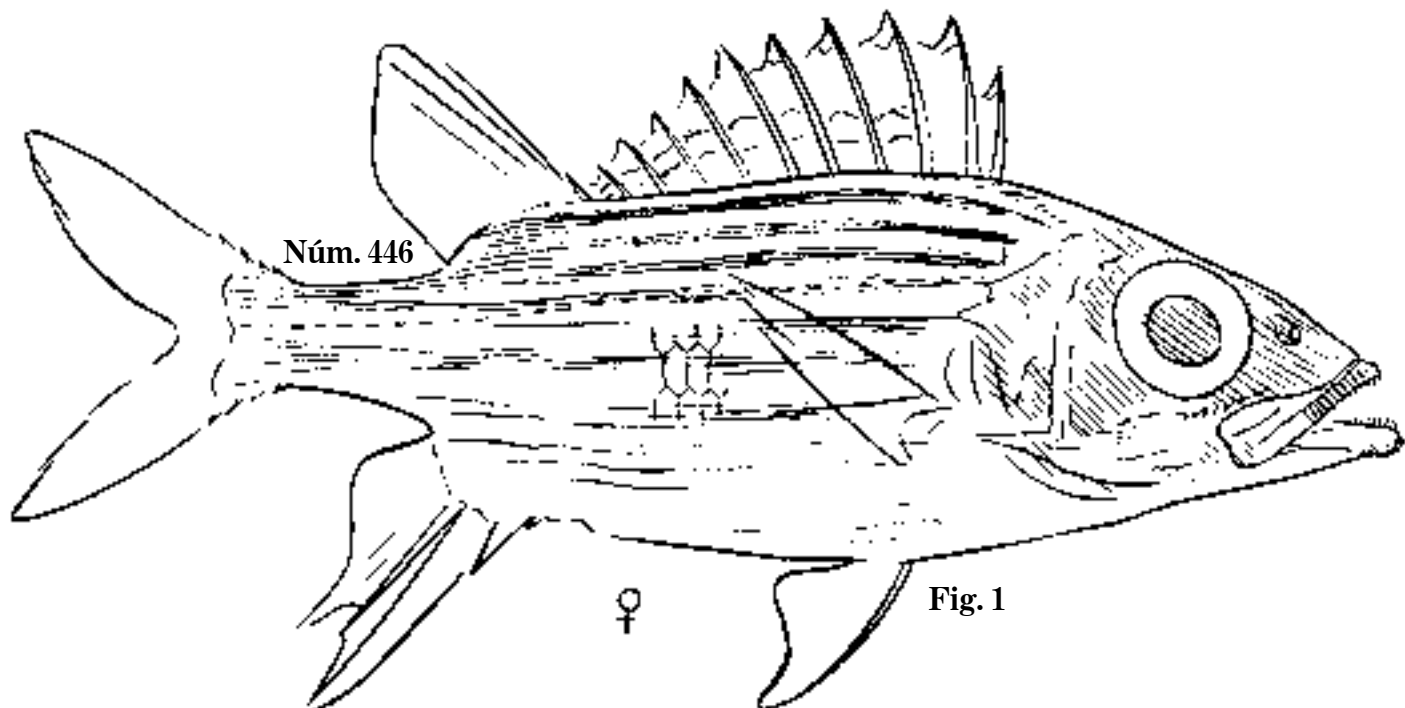


Fig. 1 *Holocentrum rostratum*. C. 168 mm; D. 11,13; A. 4,8.

Fig. 2 *H. coruscum*. P. 118 mm; D. 11,12; A. 4,8.

Fig. 3 *Holocentrum*. P. 113 mm; D. 11,1,12; A. 4,8; matejuelo.

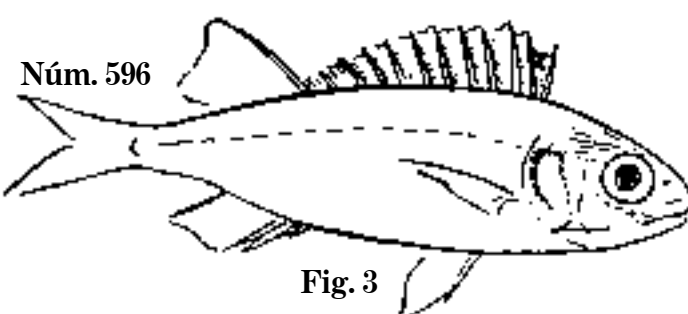
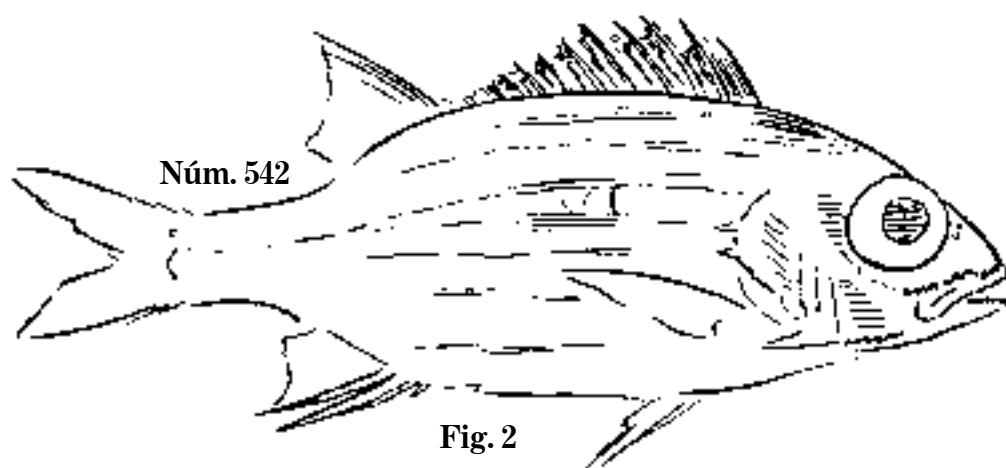
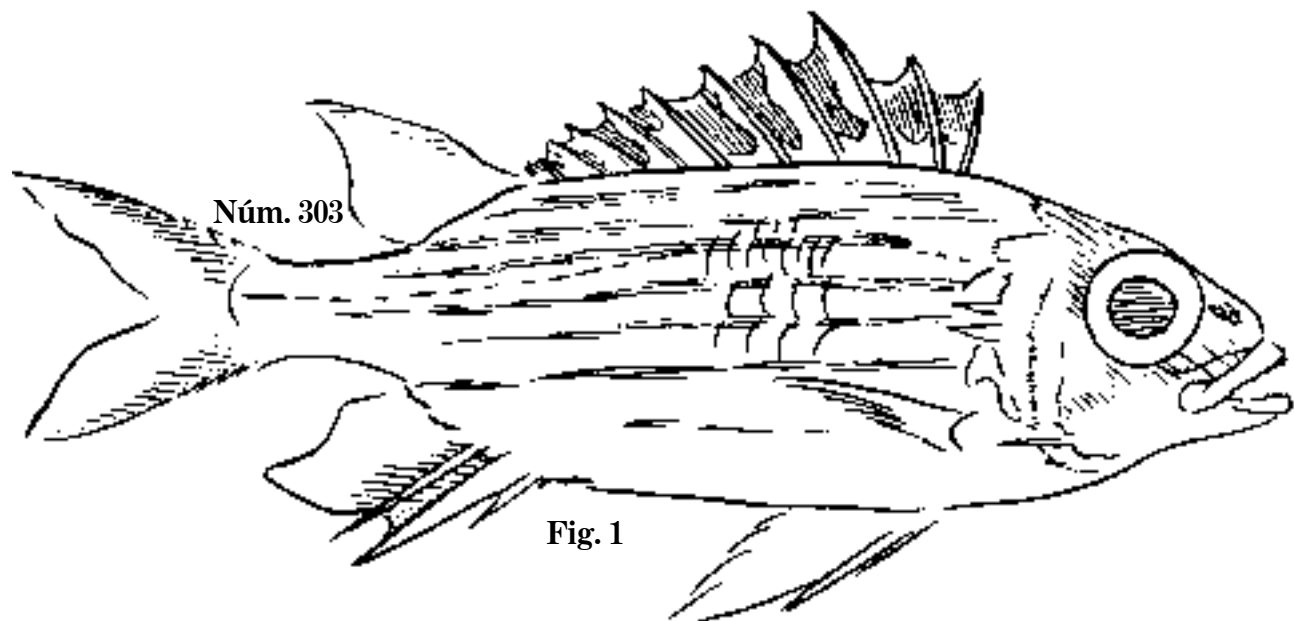


Fig. 1 *Holocentrum vexillarium*, 1859. P. 123 mm; D. 11,13; A. 4,8.

Fig. 2 *H. riparium*. C. 99 mm; D. 11,13; A. 4,9.

Fig. 3 *H. productum*, 1862; C. 68 mm; D. 11,15; A. 4,10; matejuelo.

Lám. 174

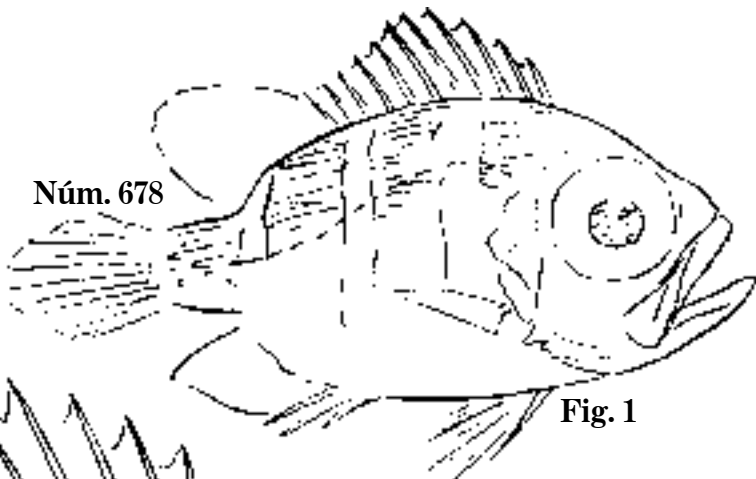


Fig. 1

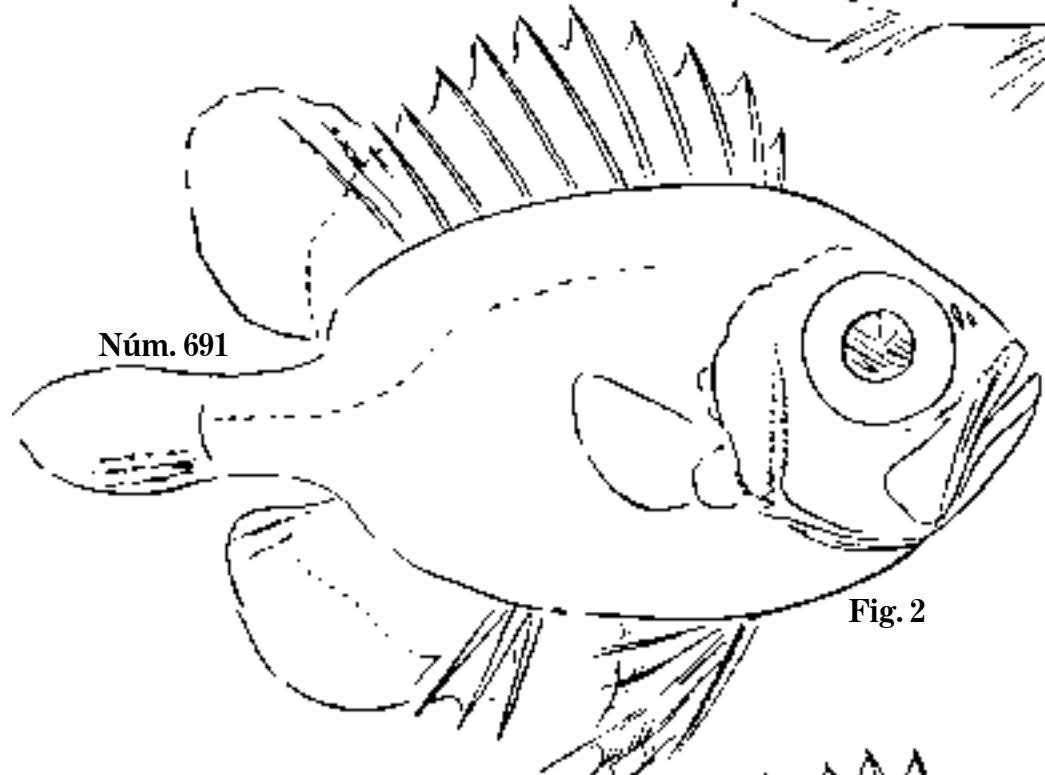


Fig. 2

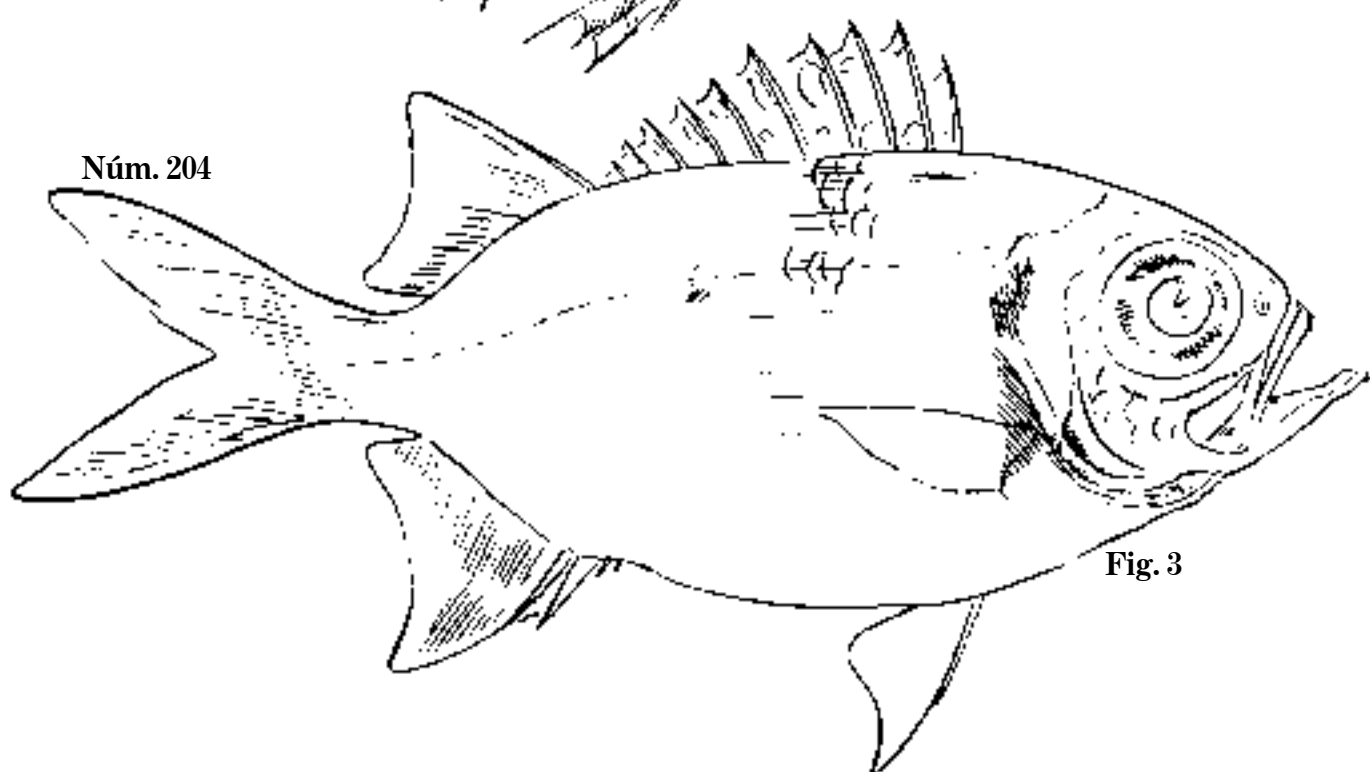


Fig. 3

Fig. 1 *Holocentrum?* P. 38 mm; D. 11,11?; A. 4,11?

Fig. 2 *Holocentrum?*, 1862. P. 52 mm; D. 10,12; A. 3,10; S.N.C.

Fig. 3 *Myripristis lychnus*, 1859. C. 218 mm; D. 10,13; A. 4,12; candil.

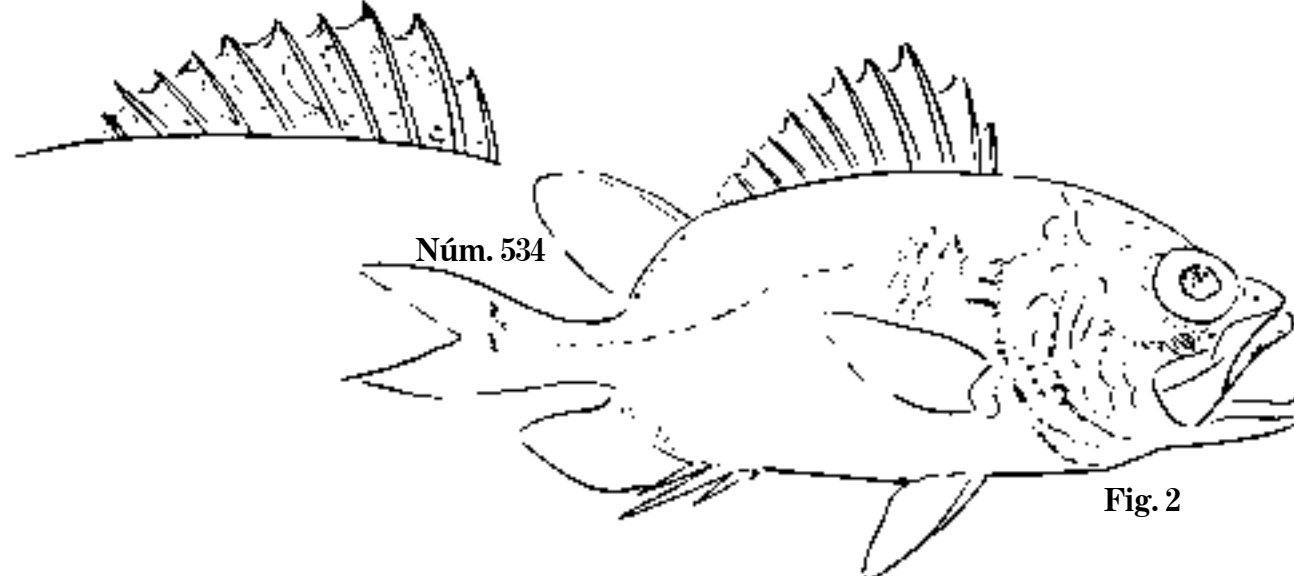
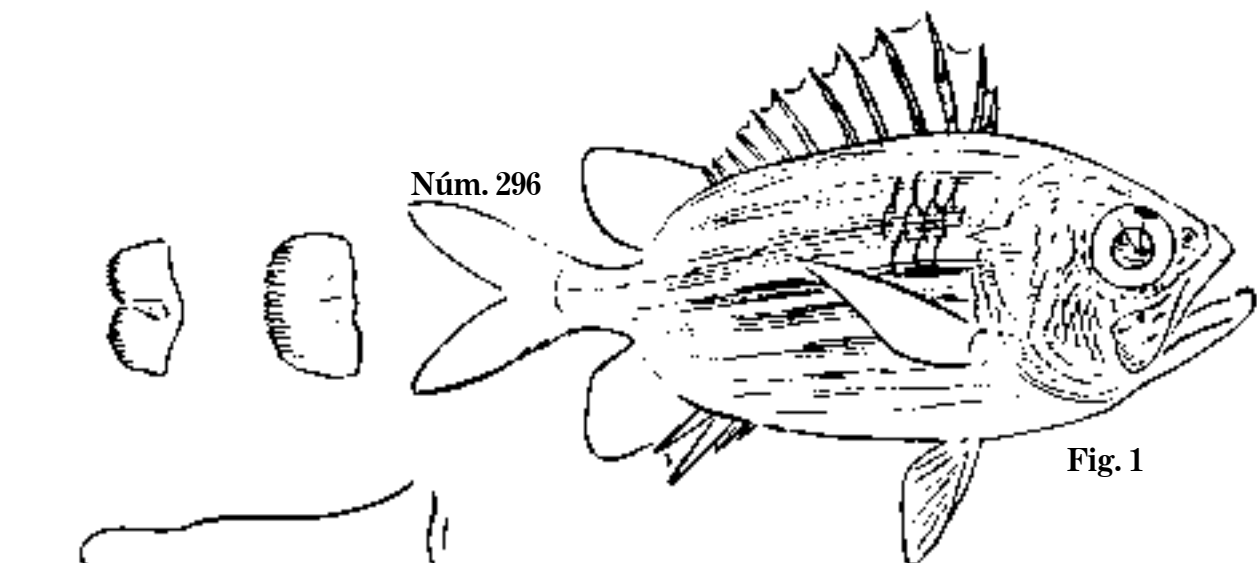


Fig. 1 *Myripristis trachypoma*, 1871. C. 225 mm; D. 12,14; A. 4,11.

Fig. 2 *Plectrypops prospinosus*, 1862. C. 127 mm; D. 11,14; A. 4,11; candil.

Lám. 176

Núm. 637

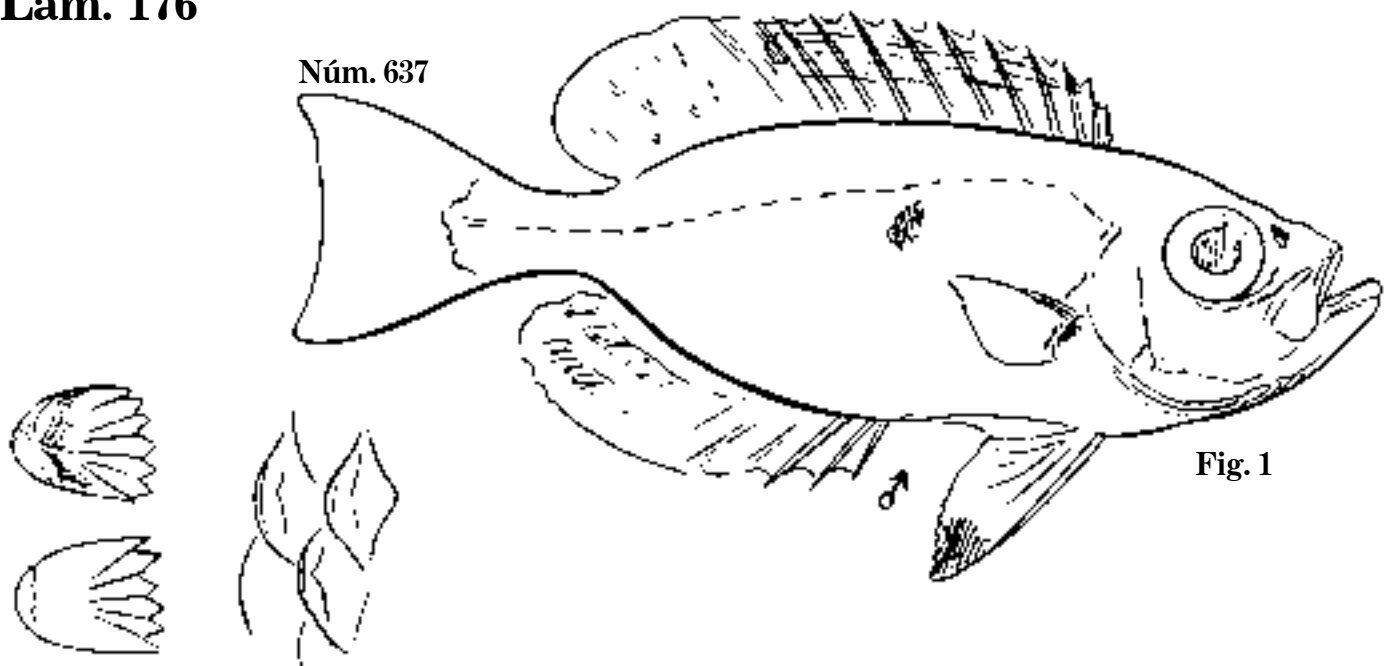


Fig. 1

Núm. 637

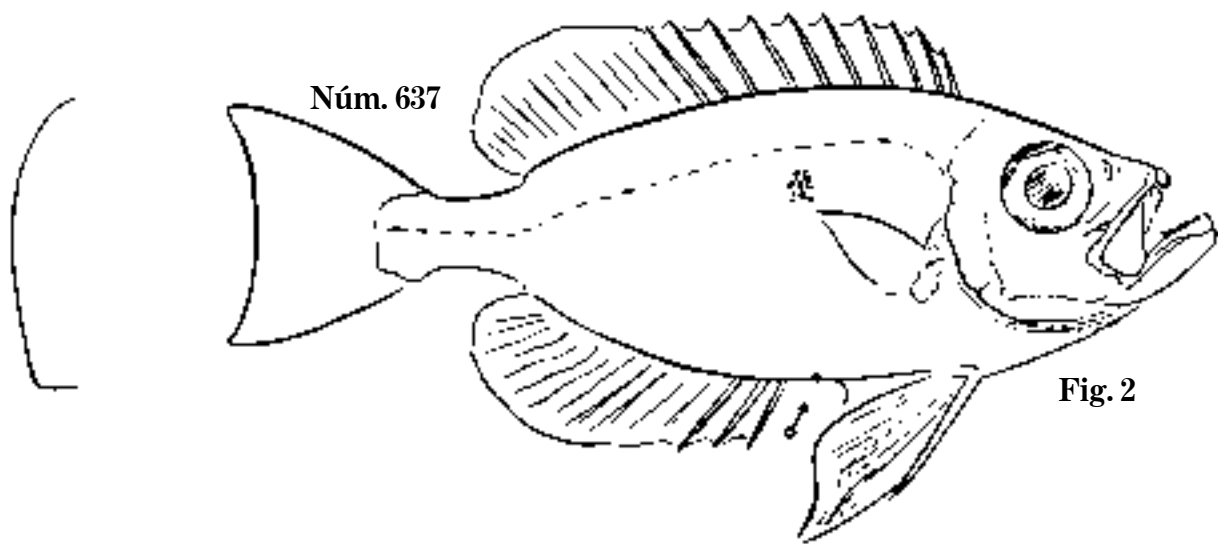


Fig. 2

Núm. 637

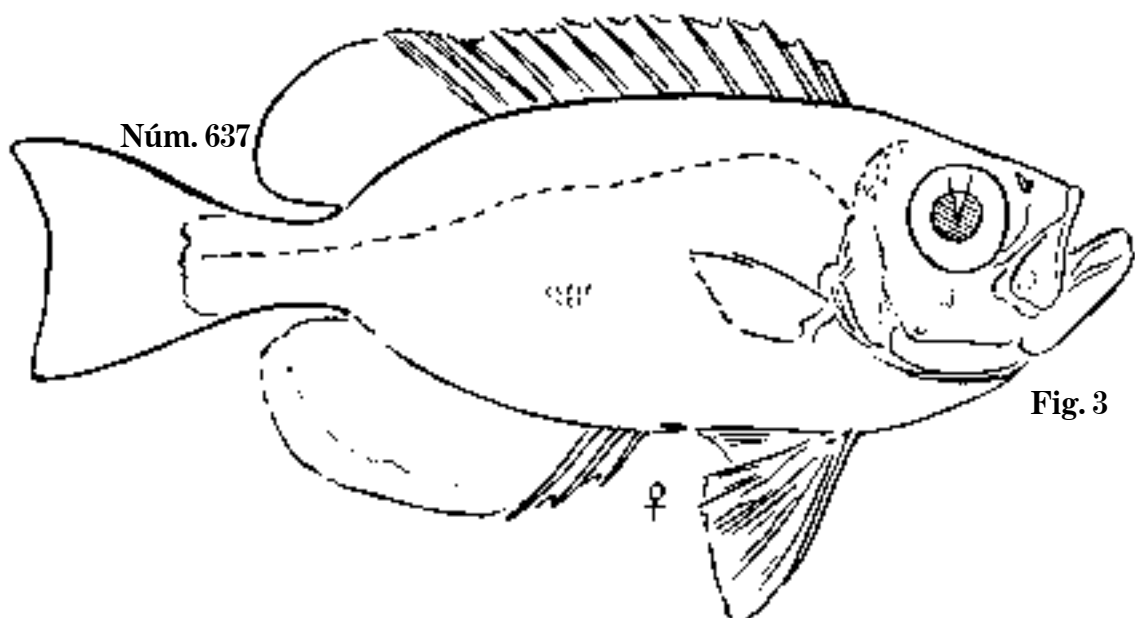
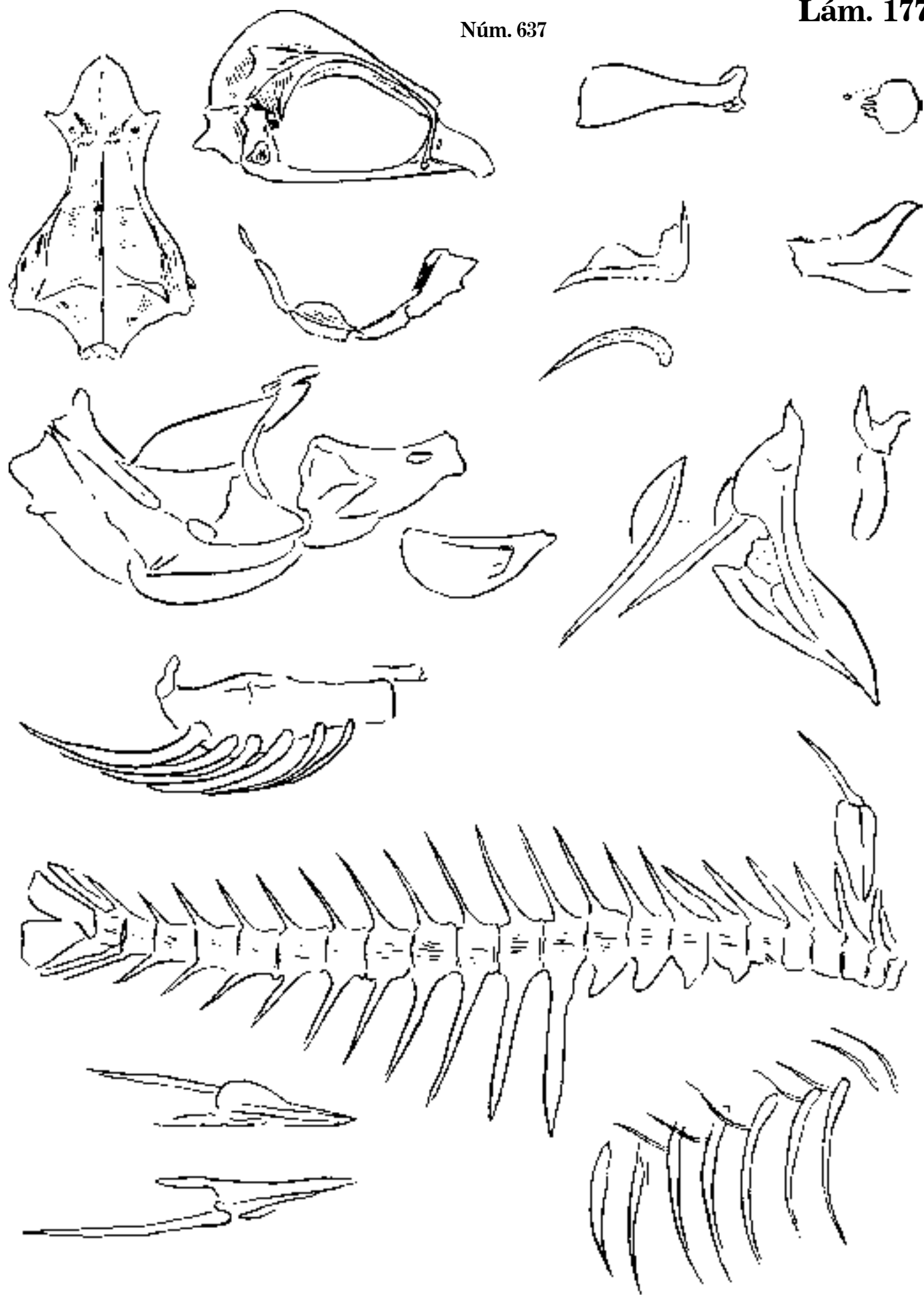


Fig. 3

Fig. 1 *Priacanthus Catalufa*, 1859. C. 366 mm; D. 10,14; A. 3,15.

Fig. 2 *P. Catalufa*, 1850. C. 332 mm; D. 10,14; A. 3,14.

Fig. 3 *P. Catalufa*, 1861. C. 300 mm; D. 10,14; A. 3,15; catalufa.



Priacanthus Catalufa. Osteología; catalufa.

Lám. 178

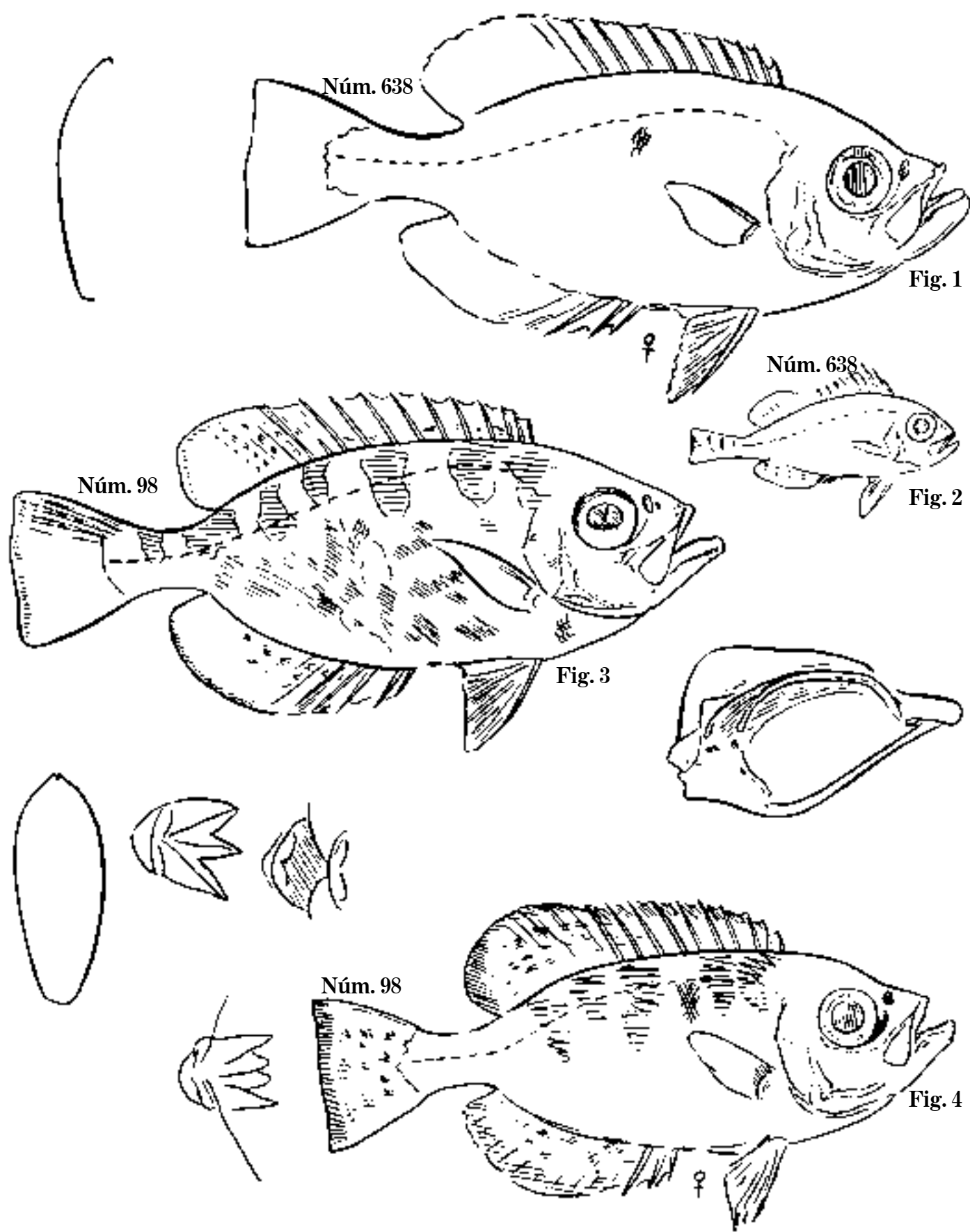


Fig. 1 *Priacanthus Cepedianus*, 1859. C. 277 mm; D. 10,13; A. 3,14.

Fig. 2 *P. Cepedianus*, 1873. C. 51 mm; D. 10,14; A. 3,15.

Fig. 3 *P. cruentatus*, 1870. C. 272 mm; D. 10,13; A. 3,14.

Fig. 4 *P. cruentatus*, 1859. C. 245 mm; D. 10,13; A. 3,14; catalufa.

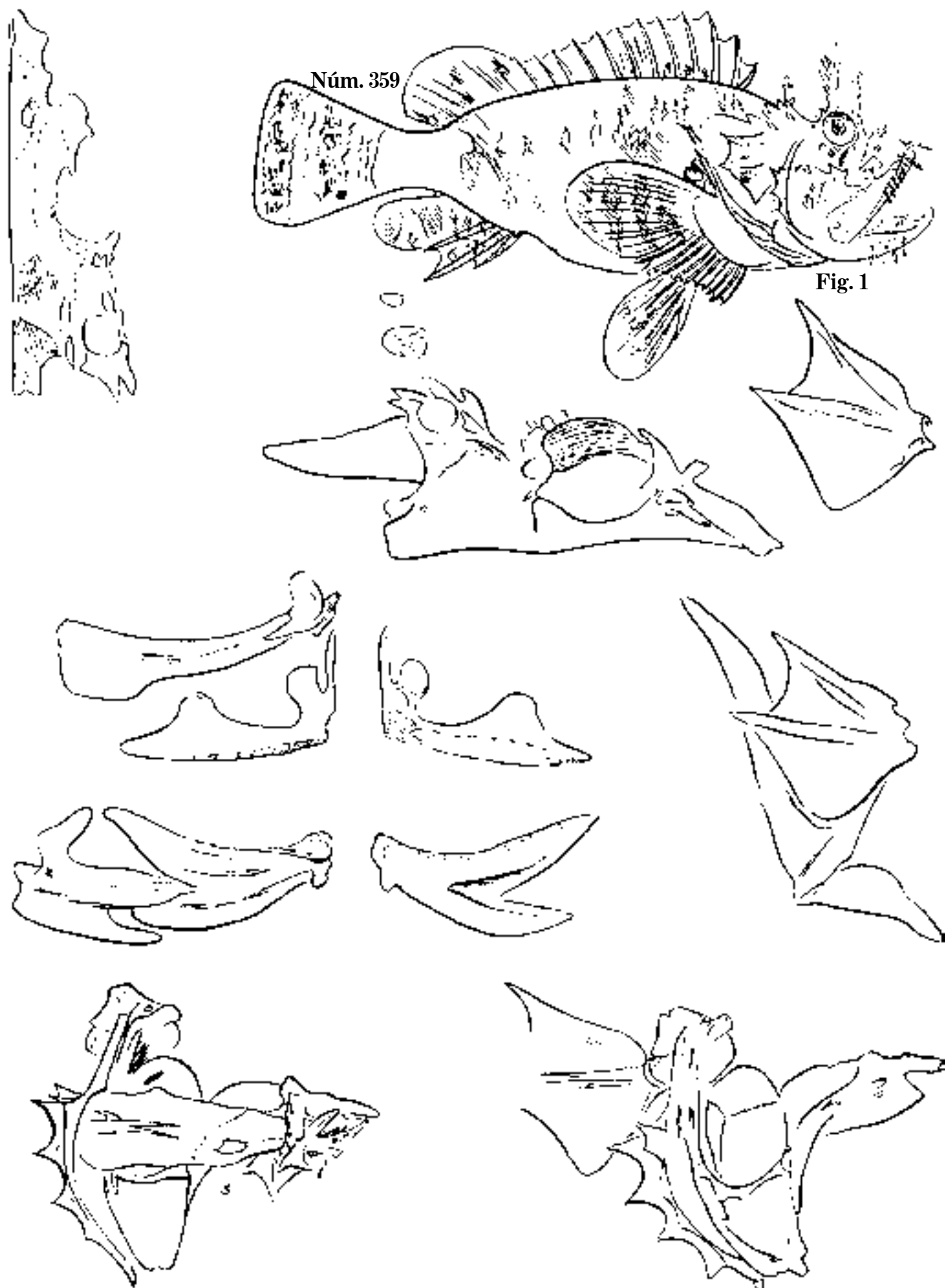
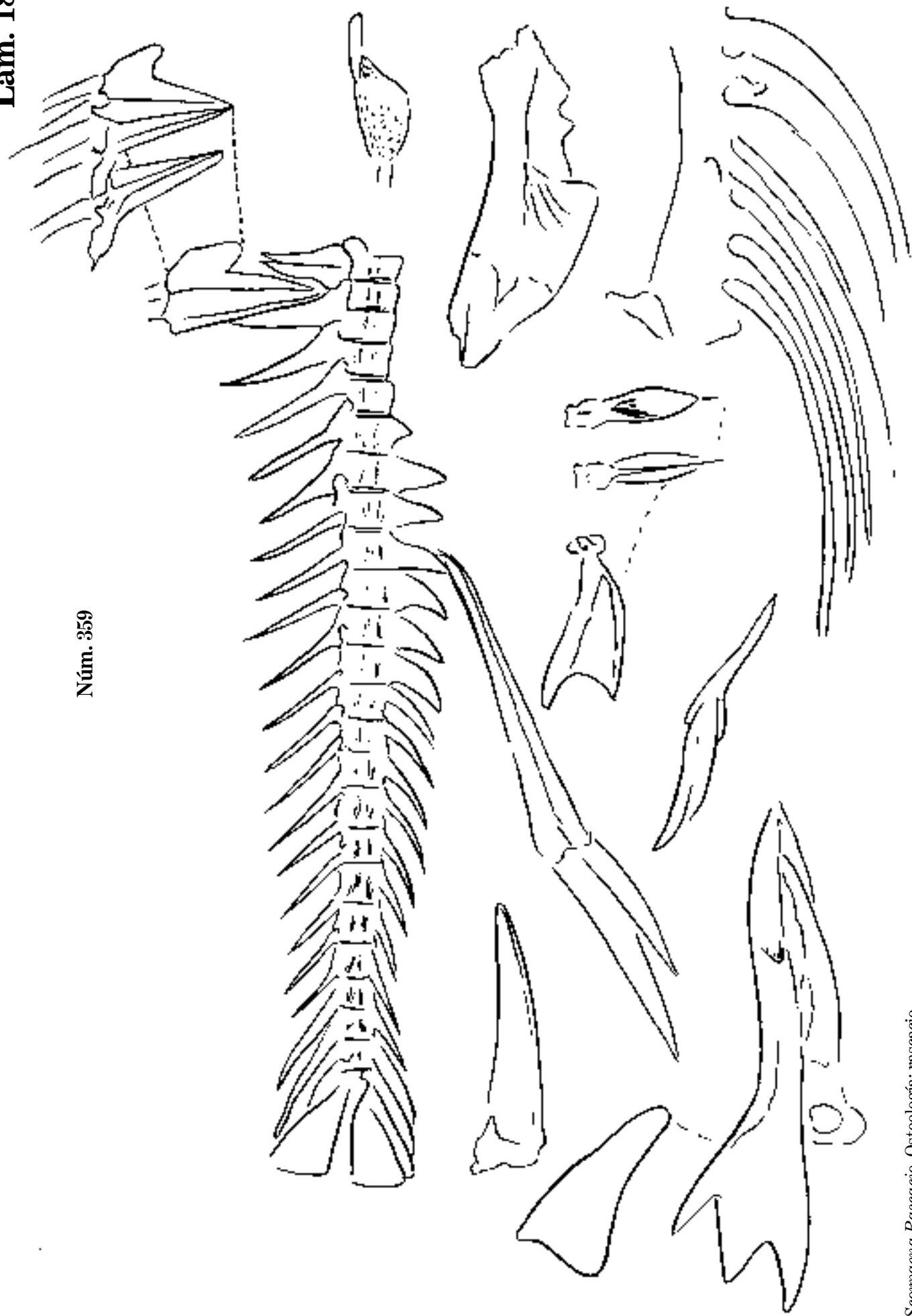


Fig. 1 *Scorpaena Rascacio*, 1858. C. 383 mm; D. 9,12; A. 3,5; rascacio.

Lám. 180

Núm. 359



Scorpaena Rascacio. Osteología; rascacio.

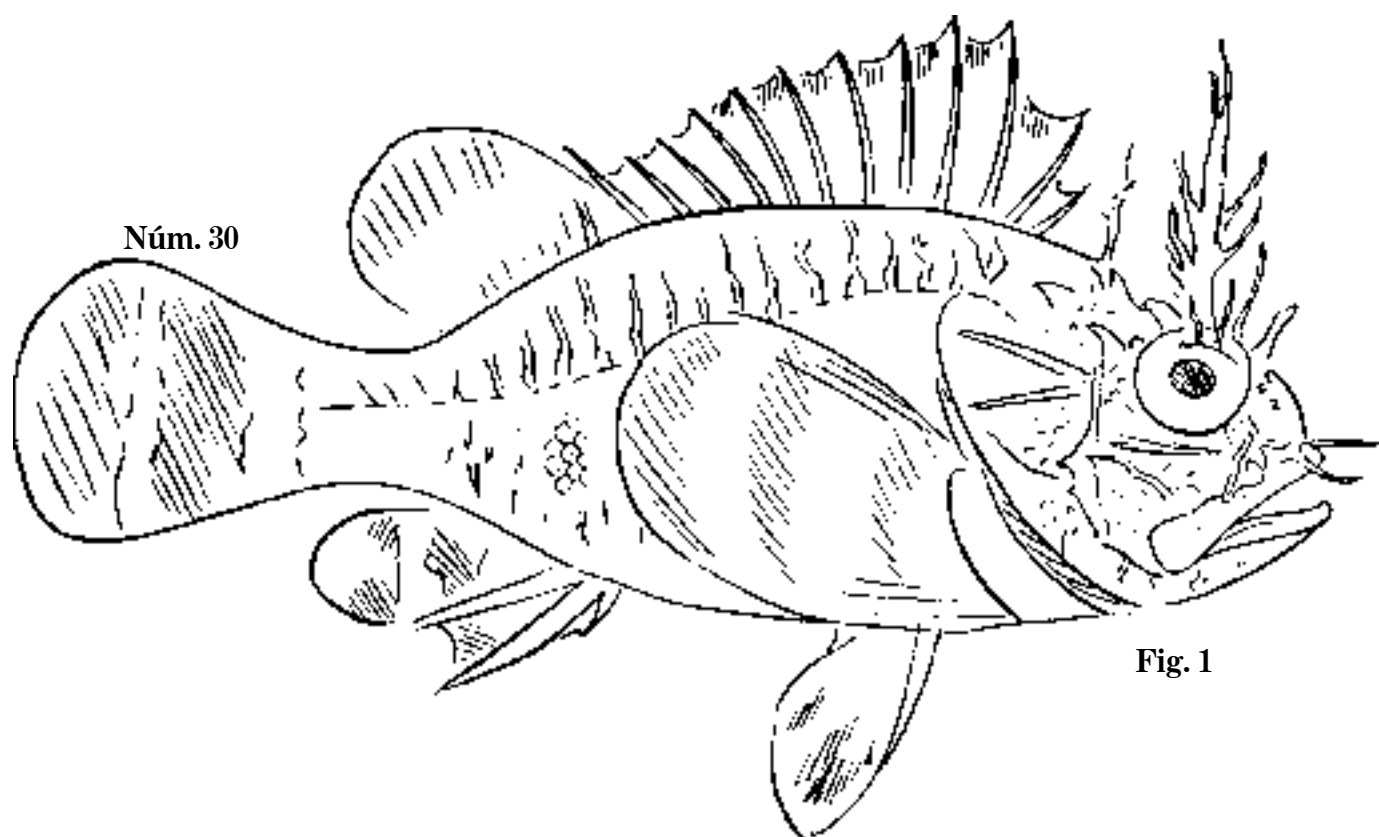
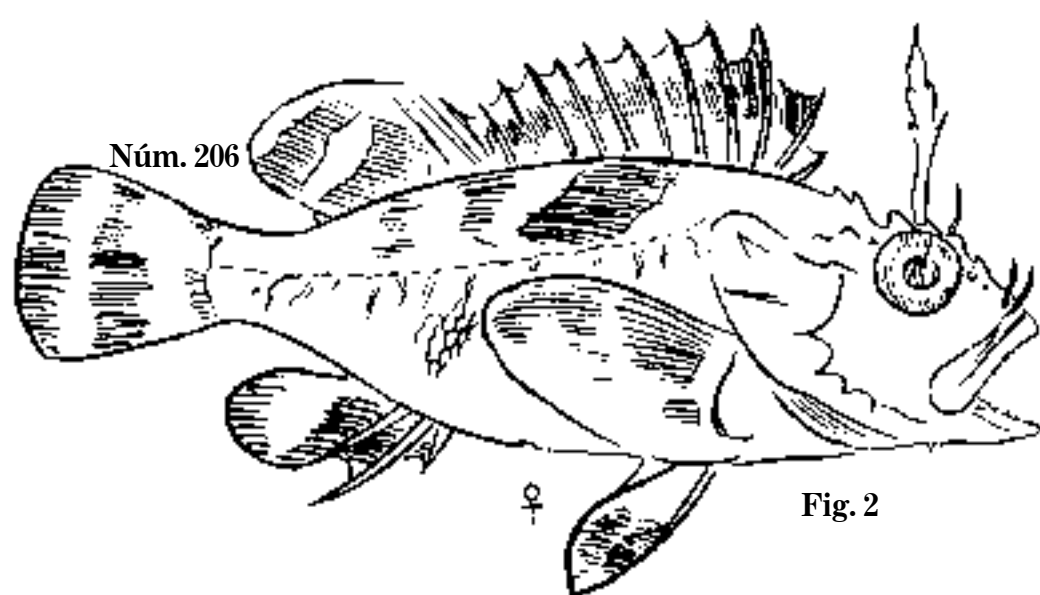


Fig. 1



♀

Fig. 2

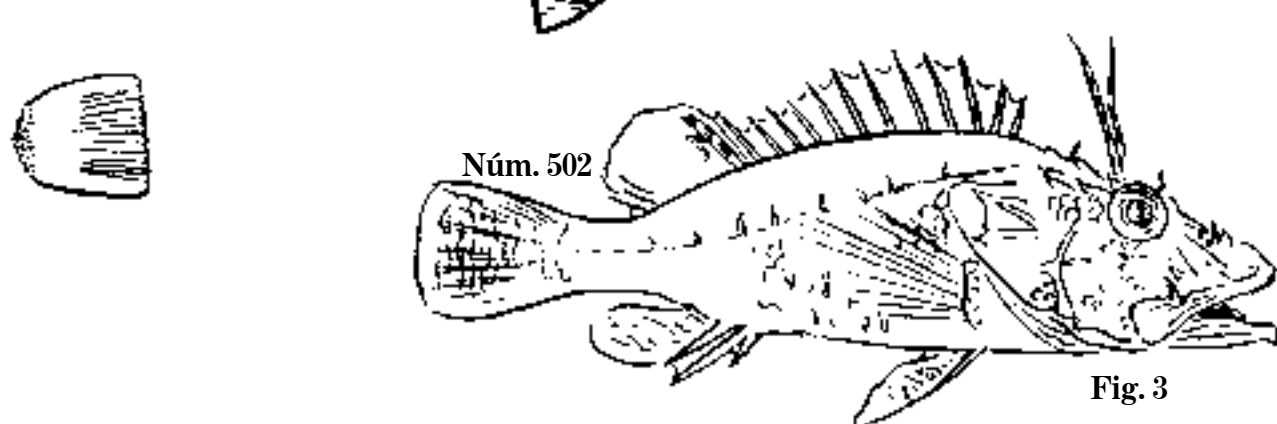


Fig. 3

Fig. 1 *Scorpaena grandicornis*, 1871. C. 167 mm; D. 9,12; A. 3,5.

Fig. 2 *Scorpaena*, 1865. C. 131 mm; rascacio.

Fig. 3 *Pontinus Castor*, 1857. C. 221 mm; D. 12,10; A. 3,5; rascacio de lo alto.

Lám. 182

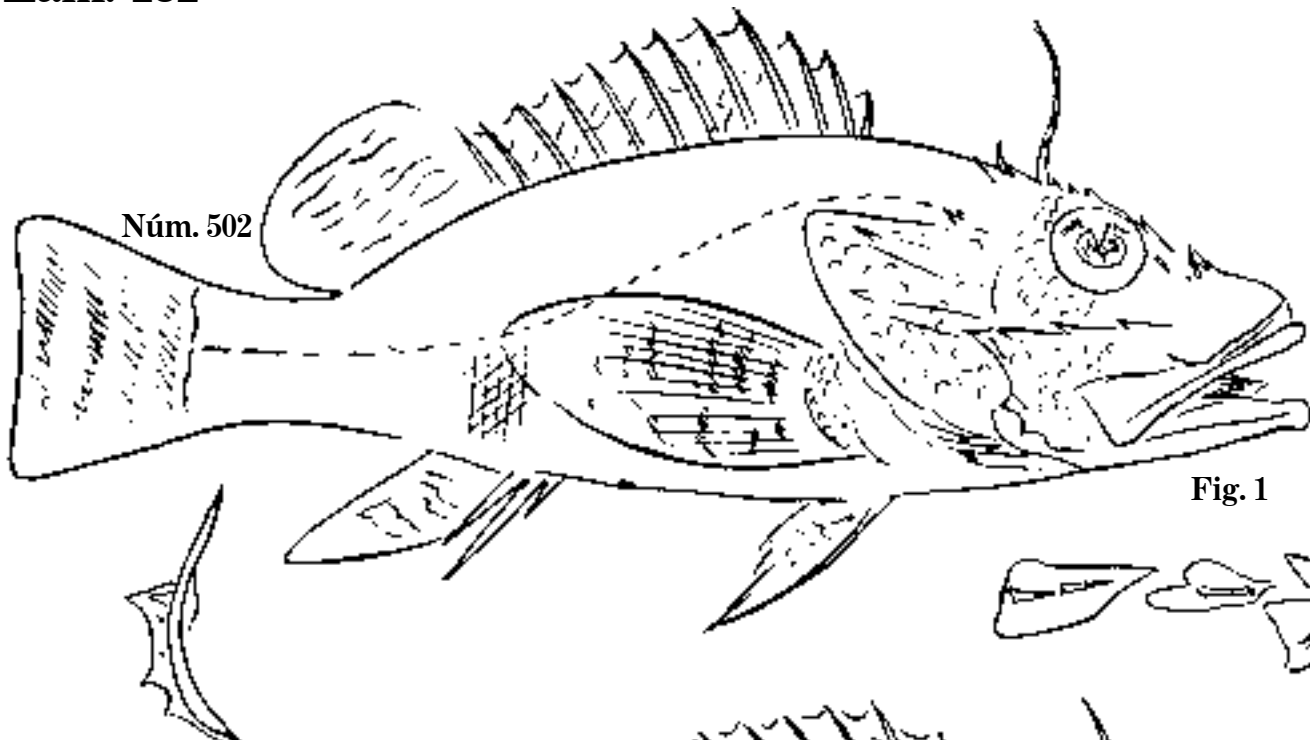


Fig. 1

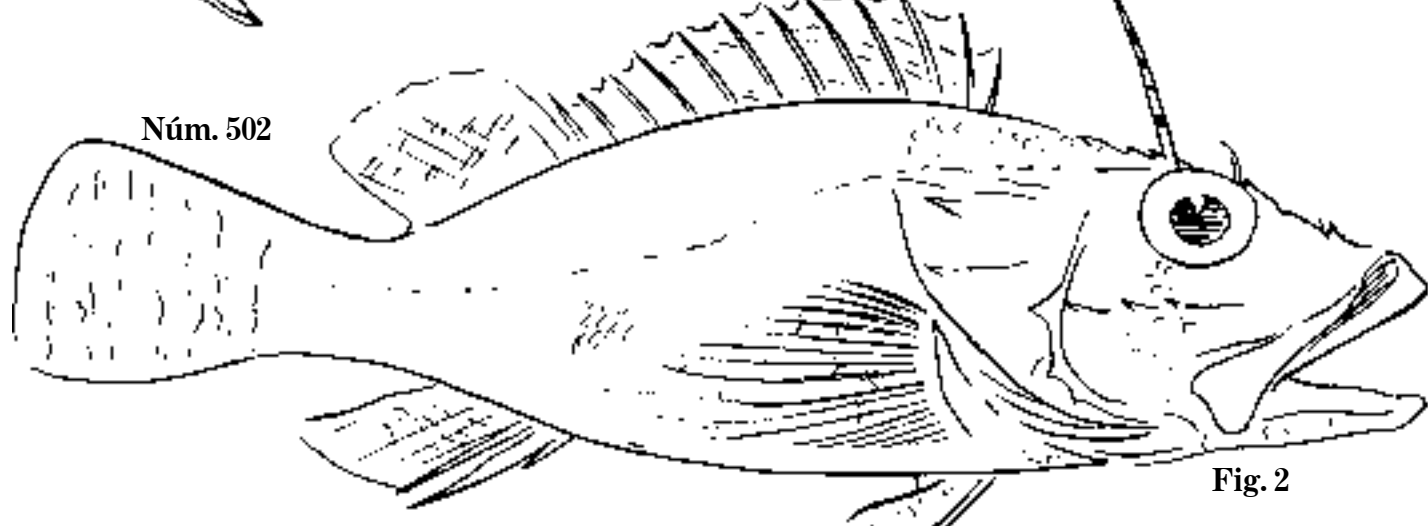


Fig. 2

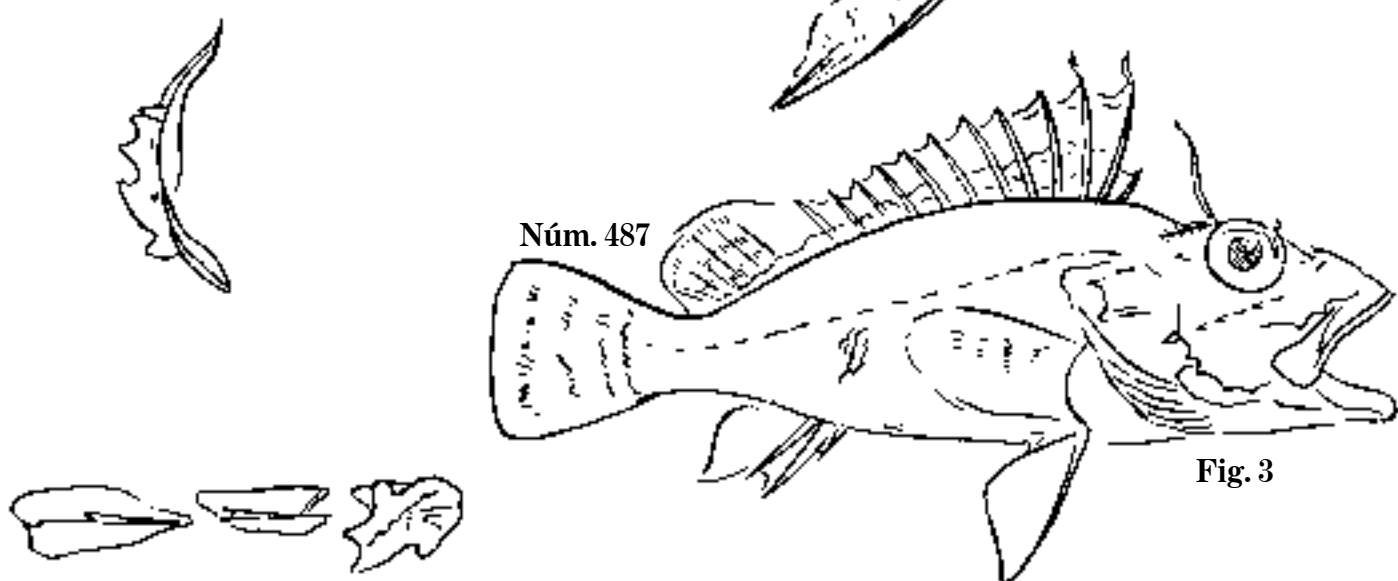


Fig. 3

Fig. 1 *Pontinus Castor*, 1869. C. 171 mm; D. 11,1,10; A. 3,5.

Fig. 2 *P. Castor*, 1875. C. 187 mm.

Fig. 3 *P. Pollux*, 1852. C. 239 mm; D. 12,10; A. 3,5; rascacio de lo alto.

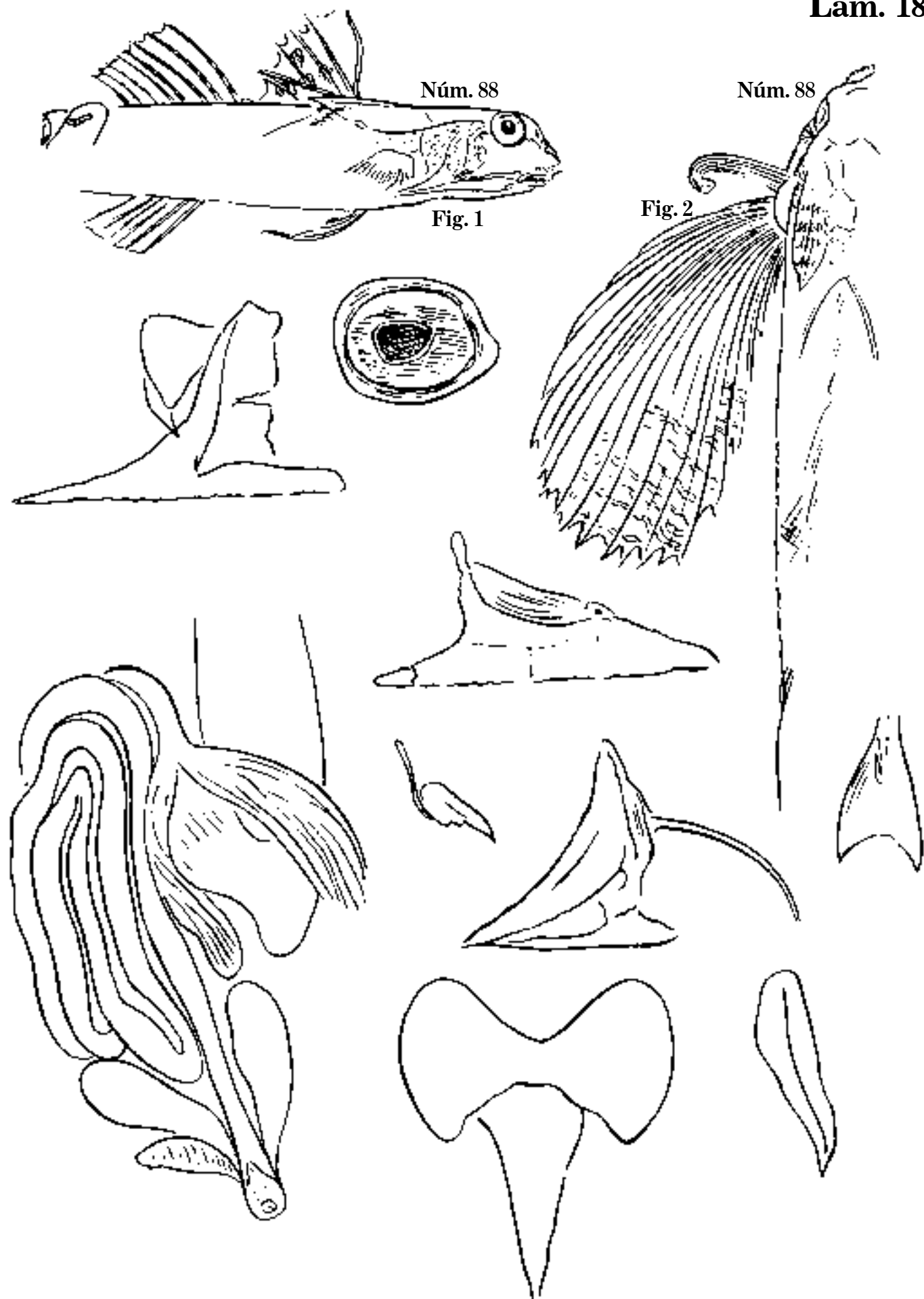


Fig. 1 *Dactylopterus volitans*. D. 2,4,1,8; A. 6.
Fig. 2 *D. volitans*. Murciélagos.

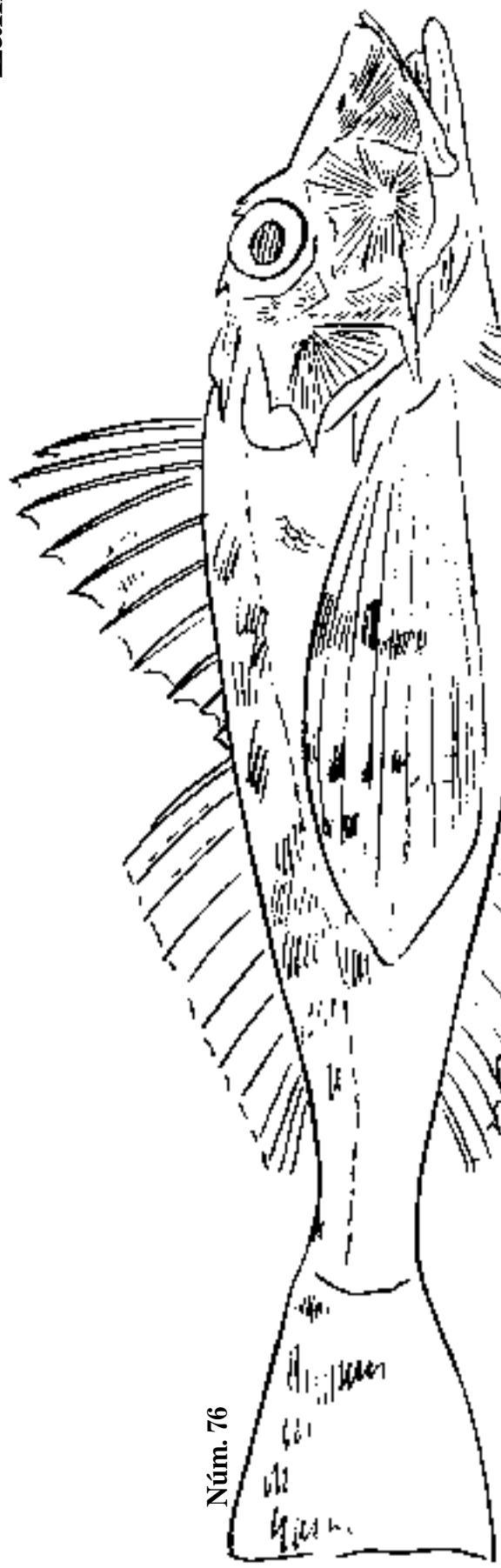


Fig. 1



Núm. 523



Núm. 523



Fig. 3



Fig. 2

Fig. 1 *Prionotus punctatus*. C. 195 mm; D. 10,12; A. 11; rubio volador.

Fig. 2 *Peristedion micronemum*. C. 70 mm.

Fig. 3 *P. micronemum*. S.N.C.

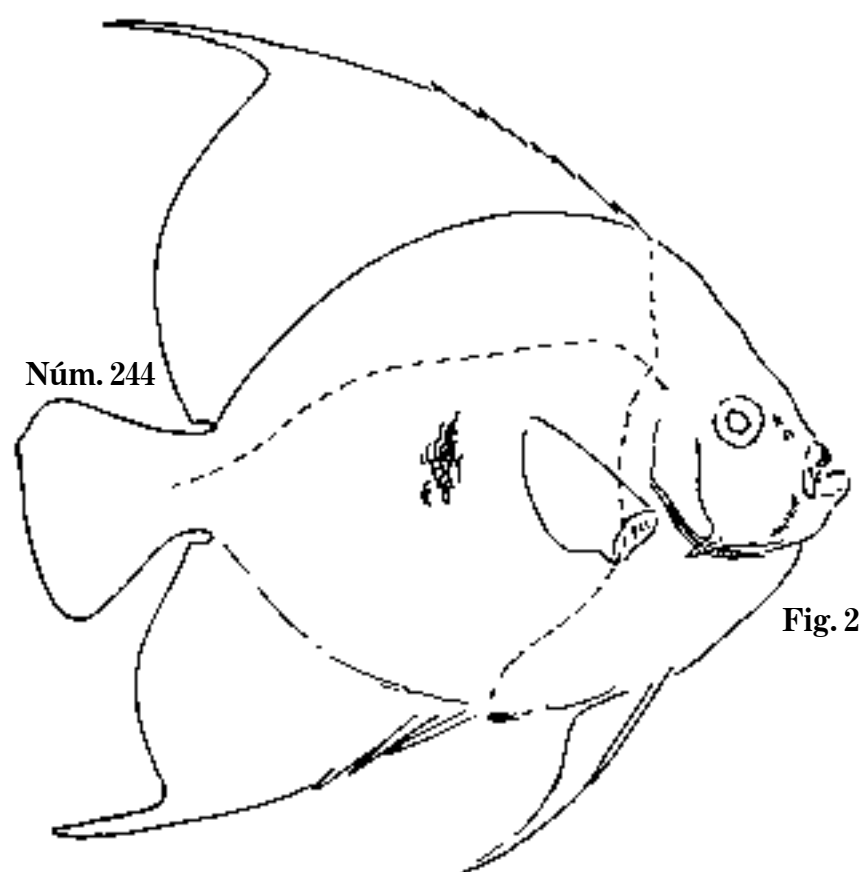
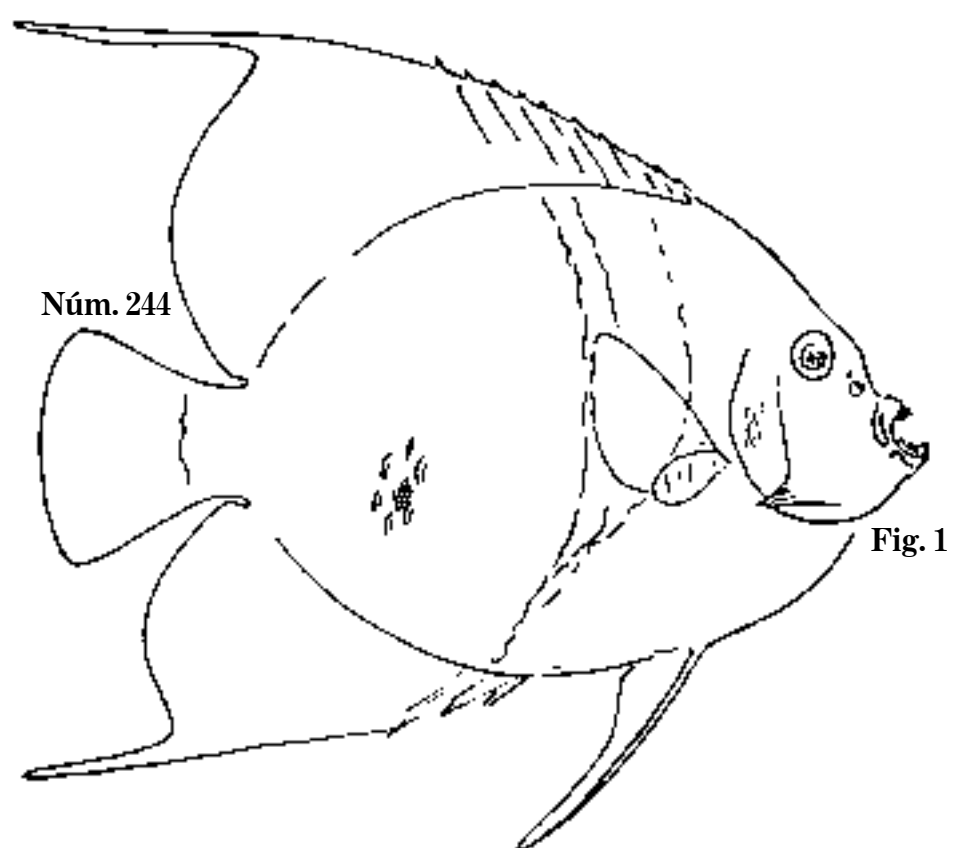


Fig. 1 *Chaetodon Paru*, 1869. P. 214 mm; D. 10,28; A. 22.
Fig. 2 *Ch. Paru*. P. 275 mm; chirivita.

Lám. 186

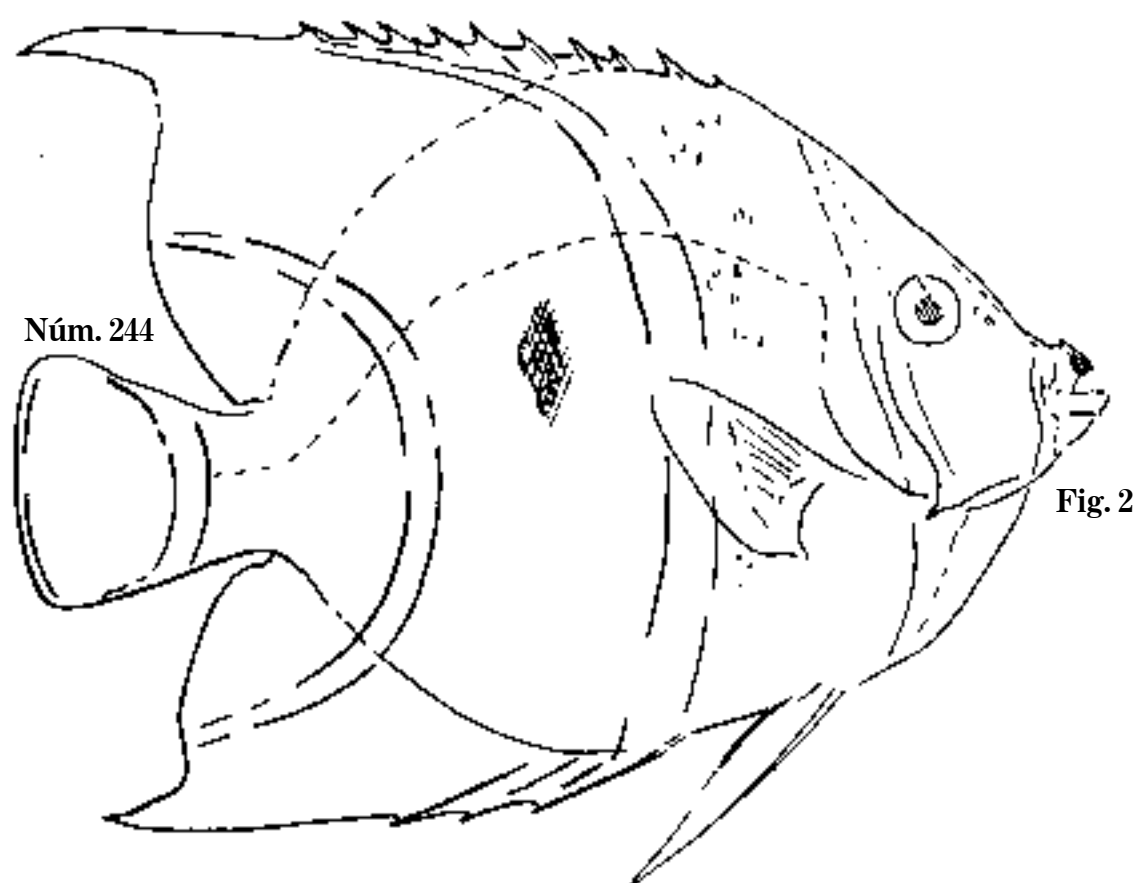
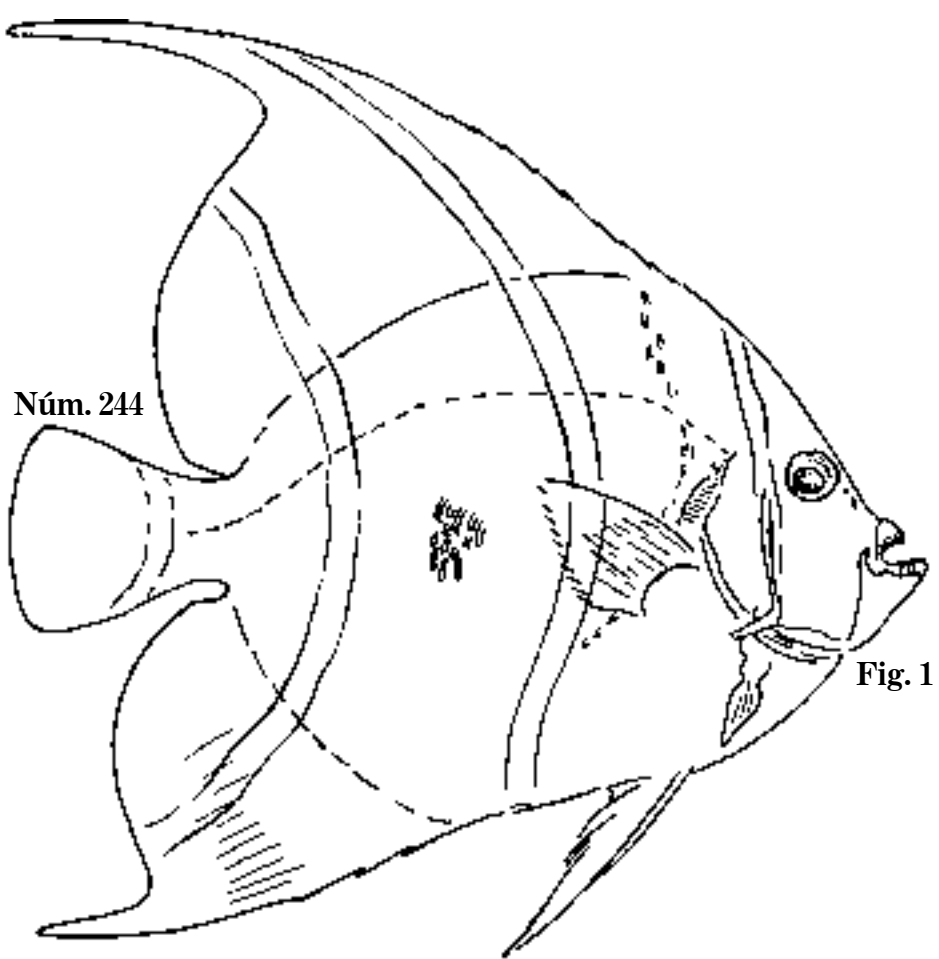


Fig. 1 *Chaetodon Paru*. P. 210 mm.

Fig. 2 *Ch. Paru*. P. 143 mm; chirivita.

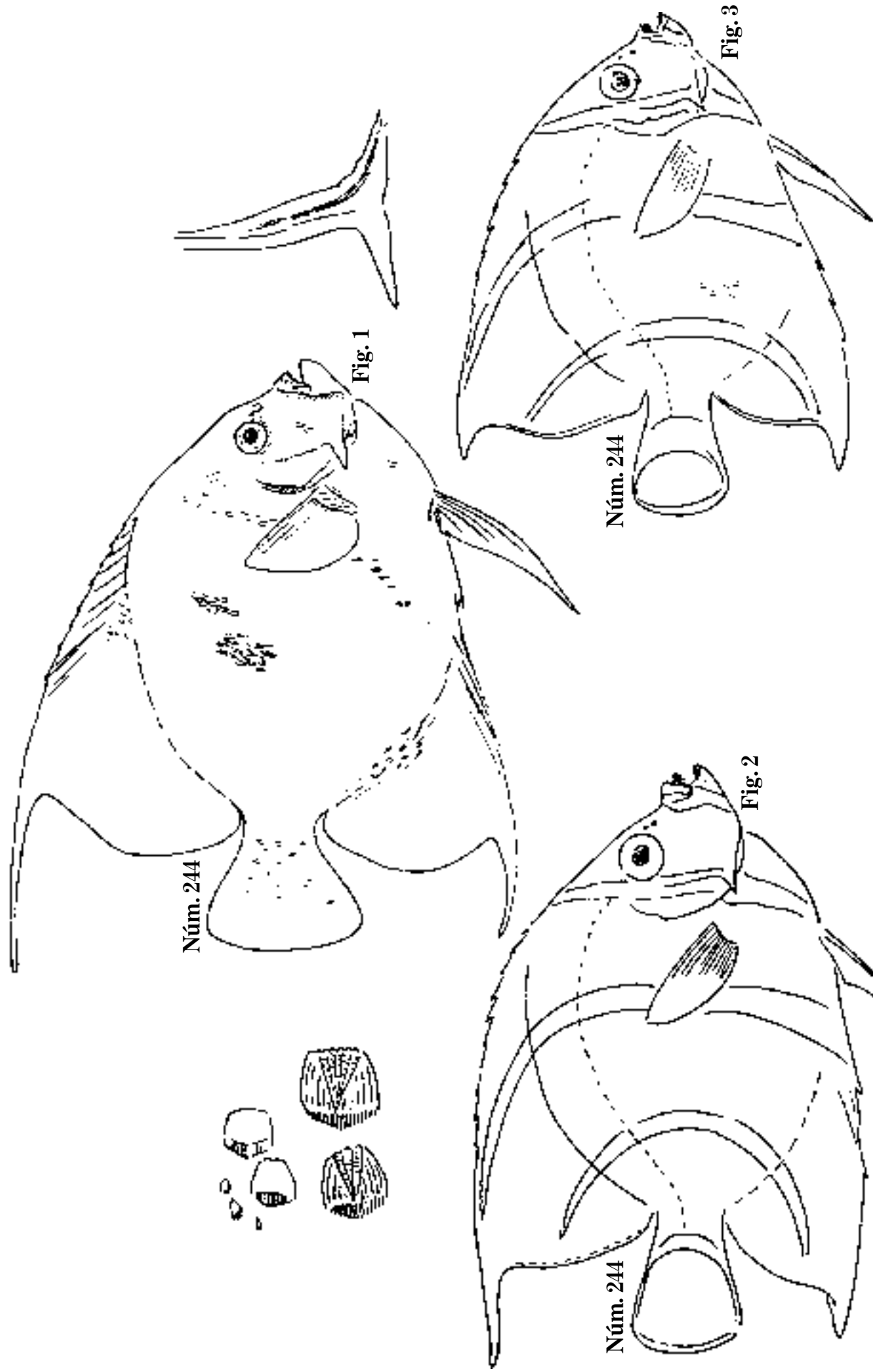
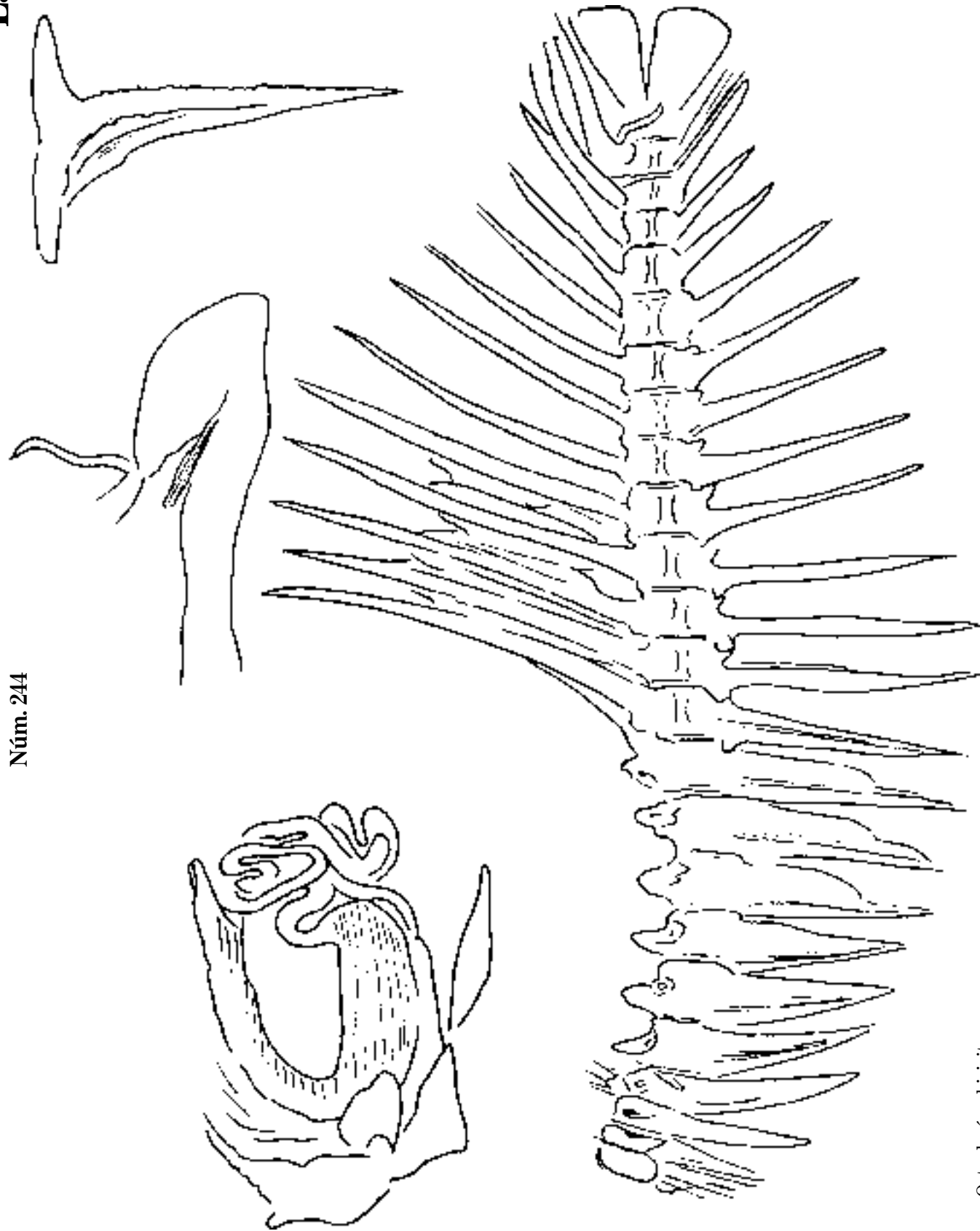


Fig. 1 *Chaetodon Paru*, 1860. P. 312 mm.
 Fig. 2 *Ch. Paru*, 1876. P. 122 mm; D. 10,29; A. 3,24.
 Fig. 3 *Ch. Paru*. P. 104 mm; D. 10,30; A. 3,23; chirimata.

Lám. 188



Núm. 244

Chaetodon Paru. Osteología; chirivita.

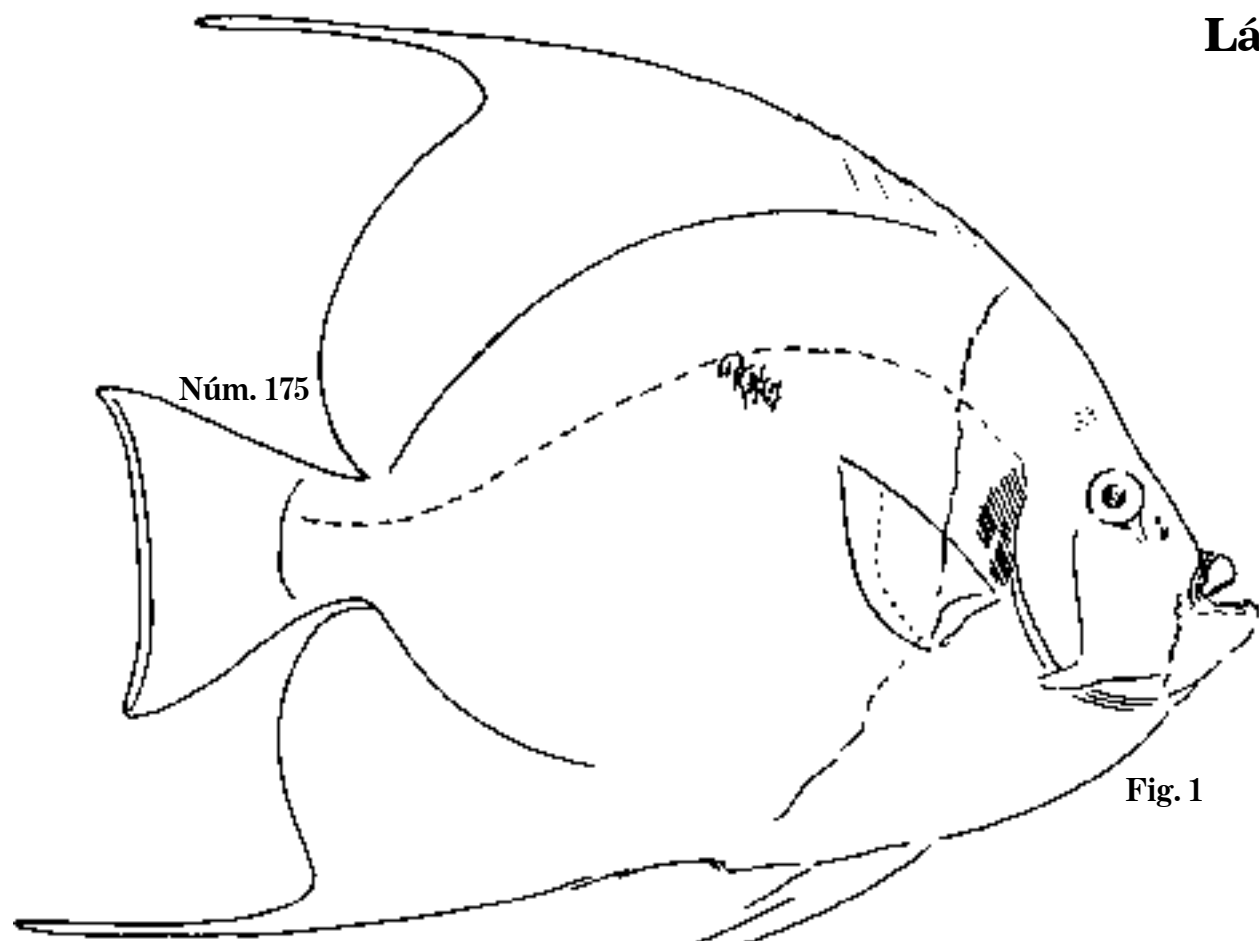


Fig. 1

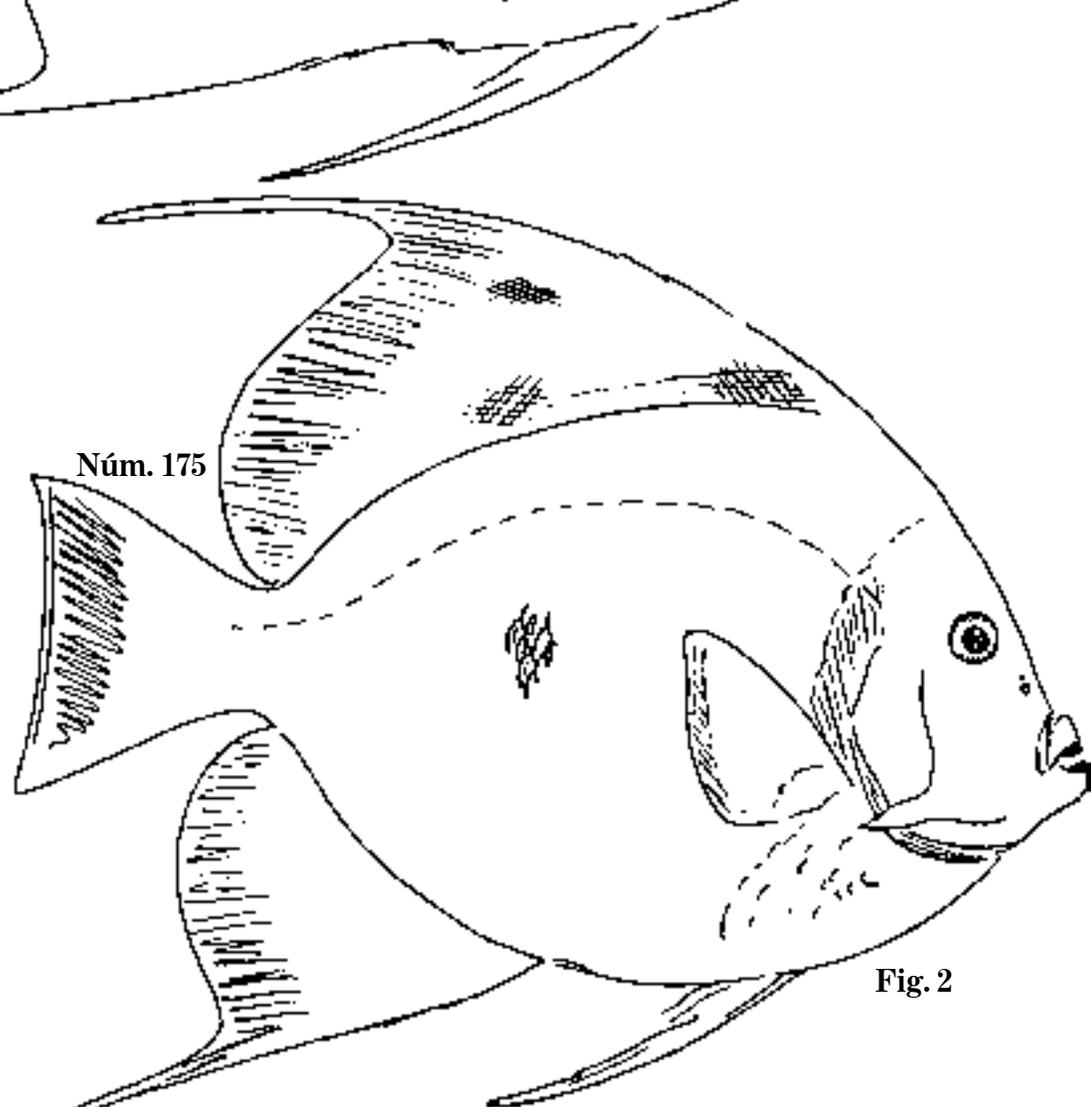


Fig. 2

Fig. 1 *Chaetodon aureus*, 1862. P. 470 mm.
Fig. 2 *Ch. aureus*, 1867. P. 440 mm; chirivita.

Lám. 190

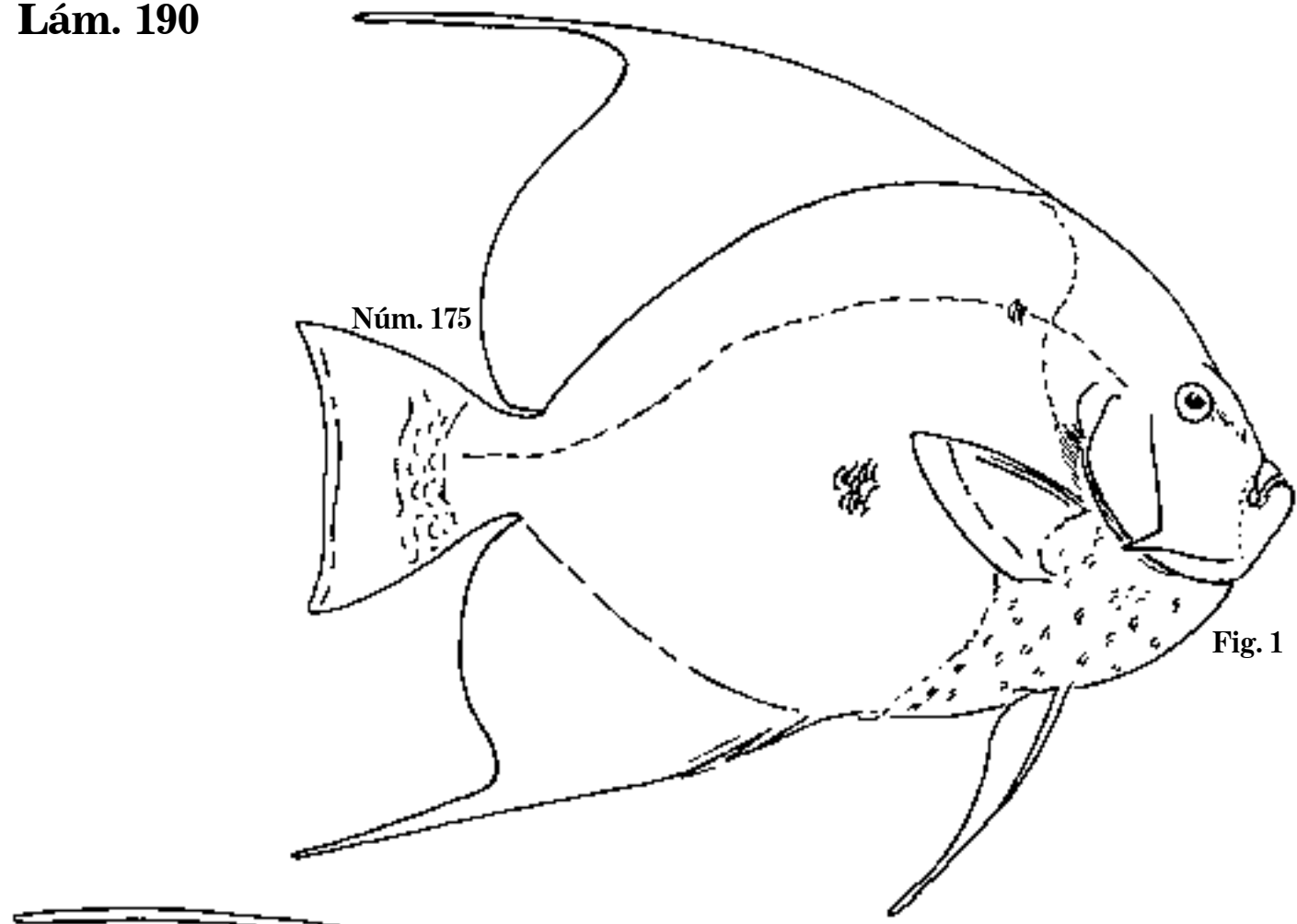


Fig. 1

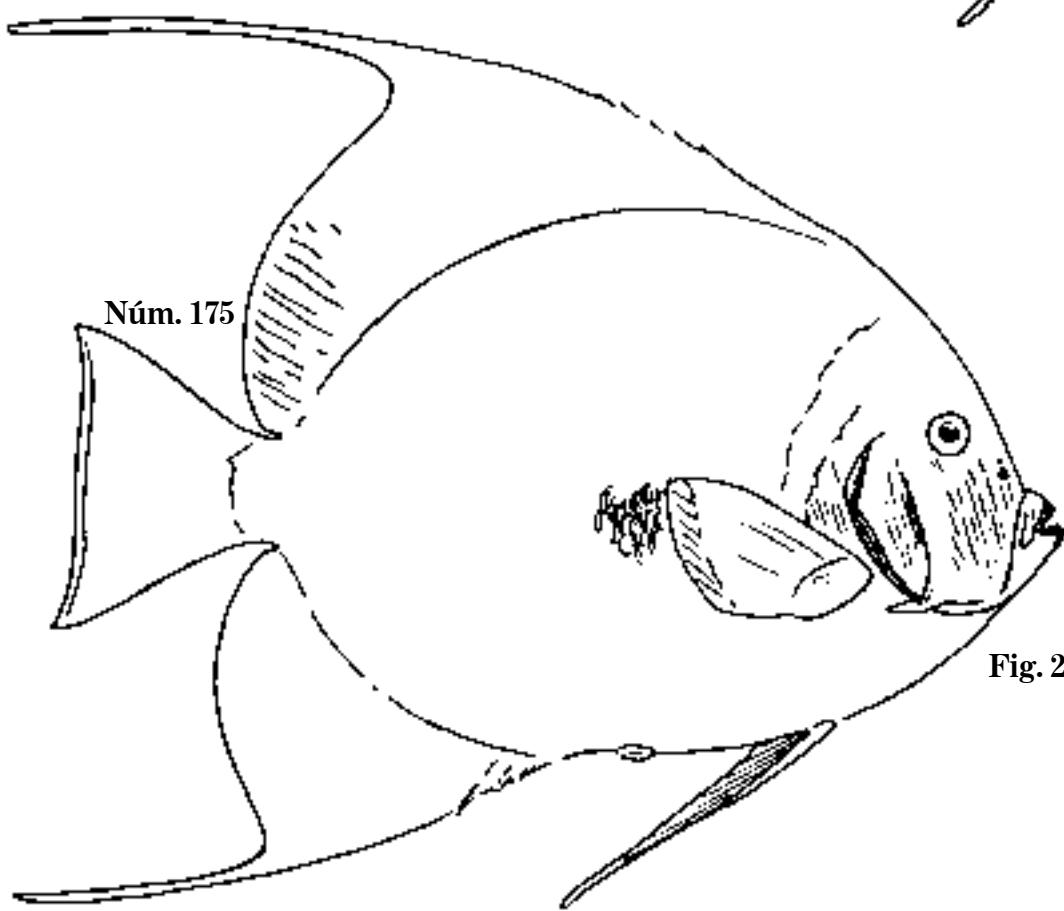


Fig. 2

Fig. 1 *Chaetodon aureus*, 1860. P. 430 mm.

Fig. 2 *Ch. aureus*, 1869. C. 403 mm; chirivita.



Fig. 2

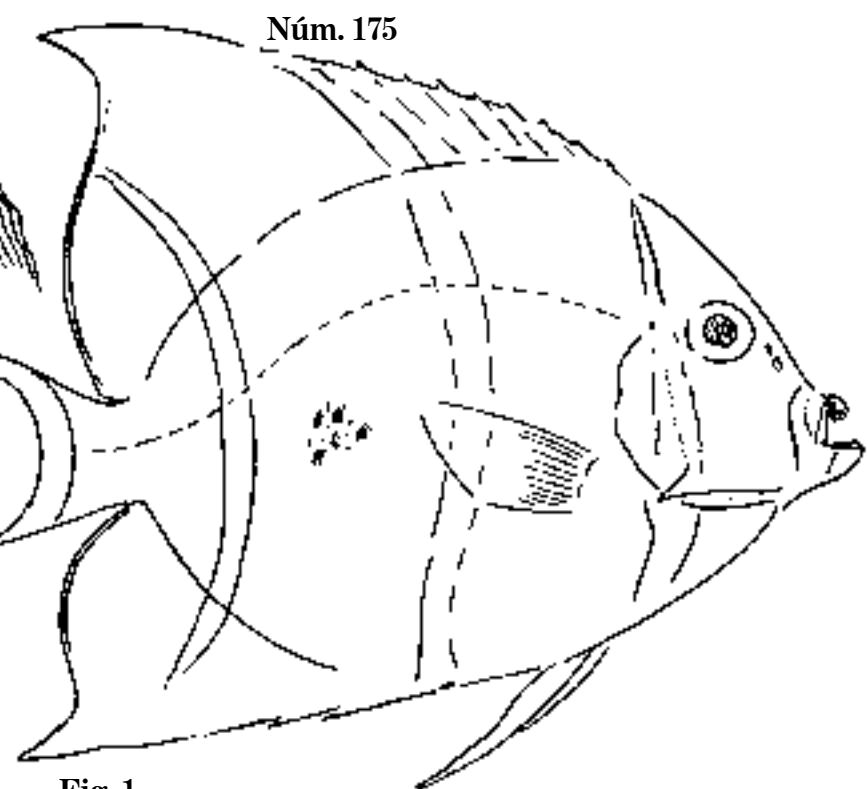


Fig. 1



Fig. 3

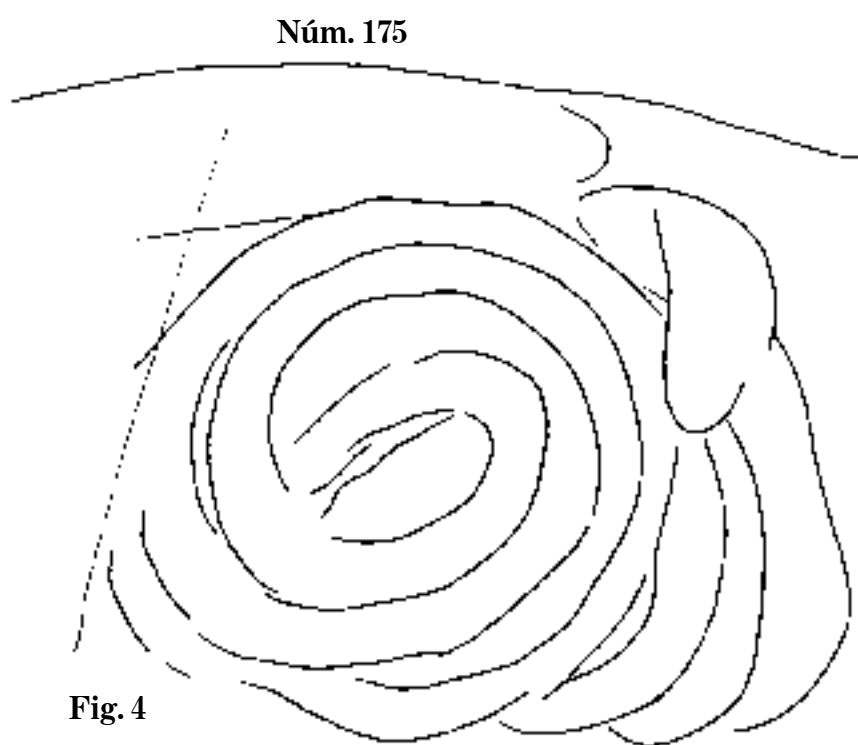


Fig. 4

Fig. 1 *Chaetodon aureus*, 1876. P. 130 mm; D. 9,32; A. 3,25.
 Fig. 2 *Ch. aureus*. Órganos.
 Fig. 3 *Ch. aureus*. Órganos.
 Fig. 4 *Ch. aureus*. Órganos; chirivita.

Lám. 192

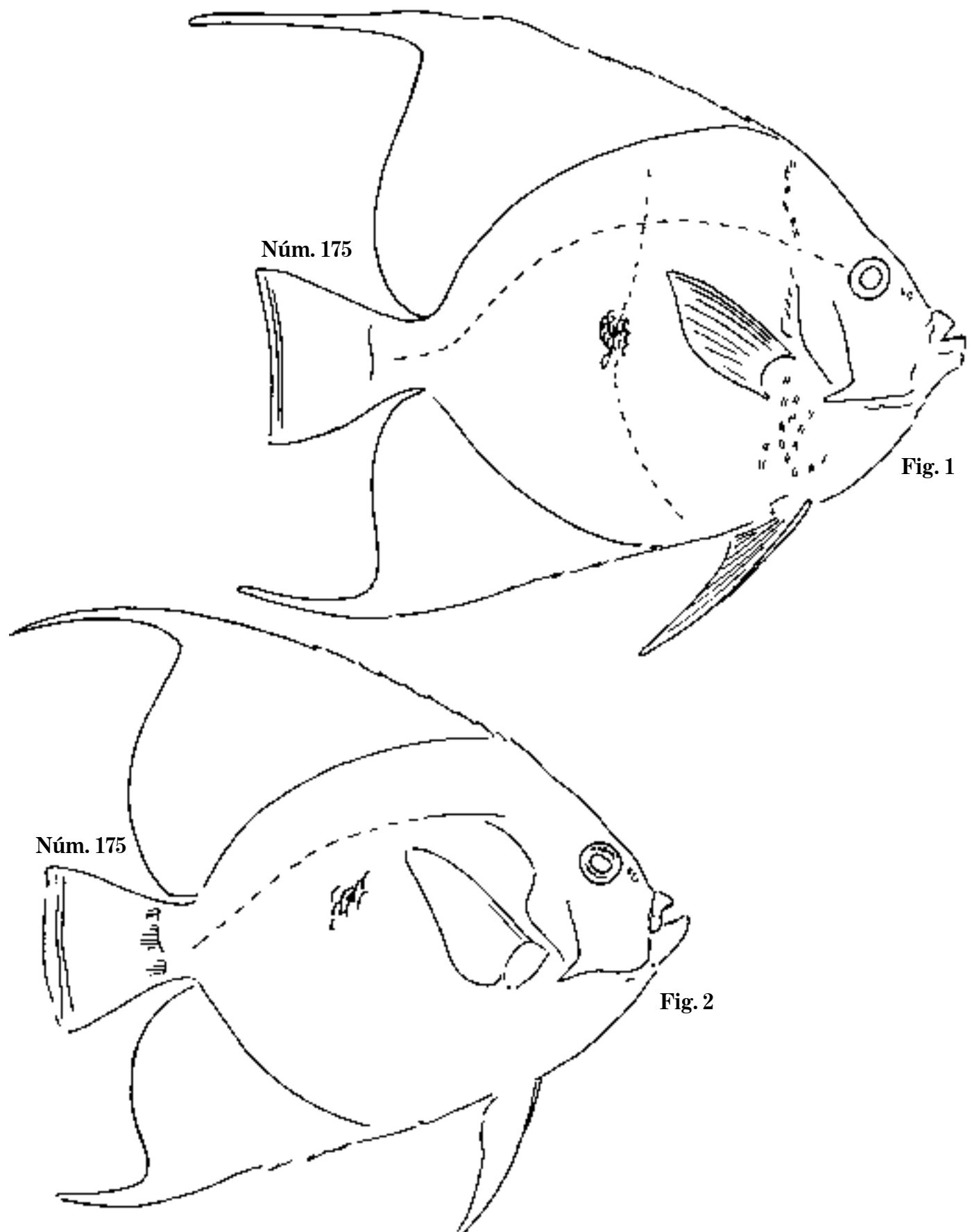


Fig. 1 *Chaetodon aureus*. P. 225 mm; D. 9,30?; A. 3,25?
Fig. 2 *Ch. aureus*. P. 205 mm; D. ?, 34; A. ?, 25; chirivita.

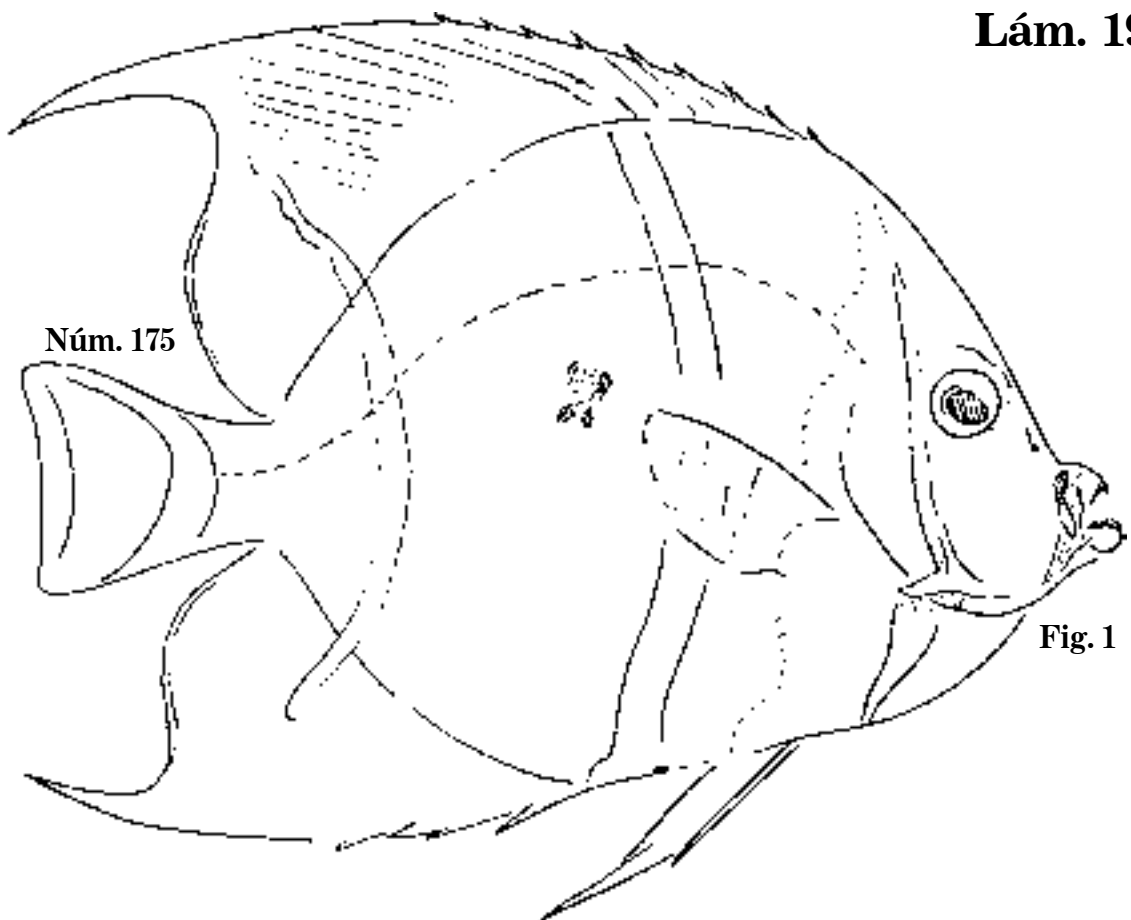


Fig. 1

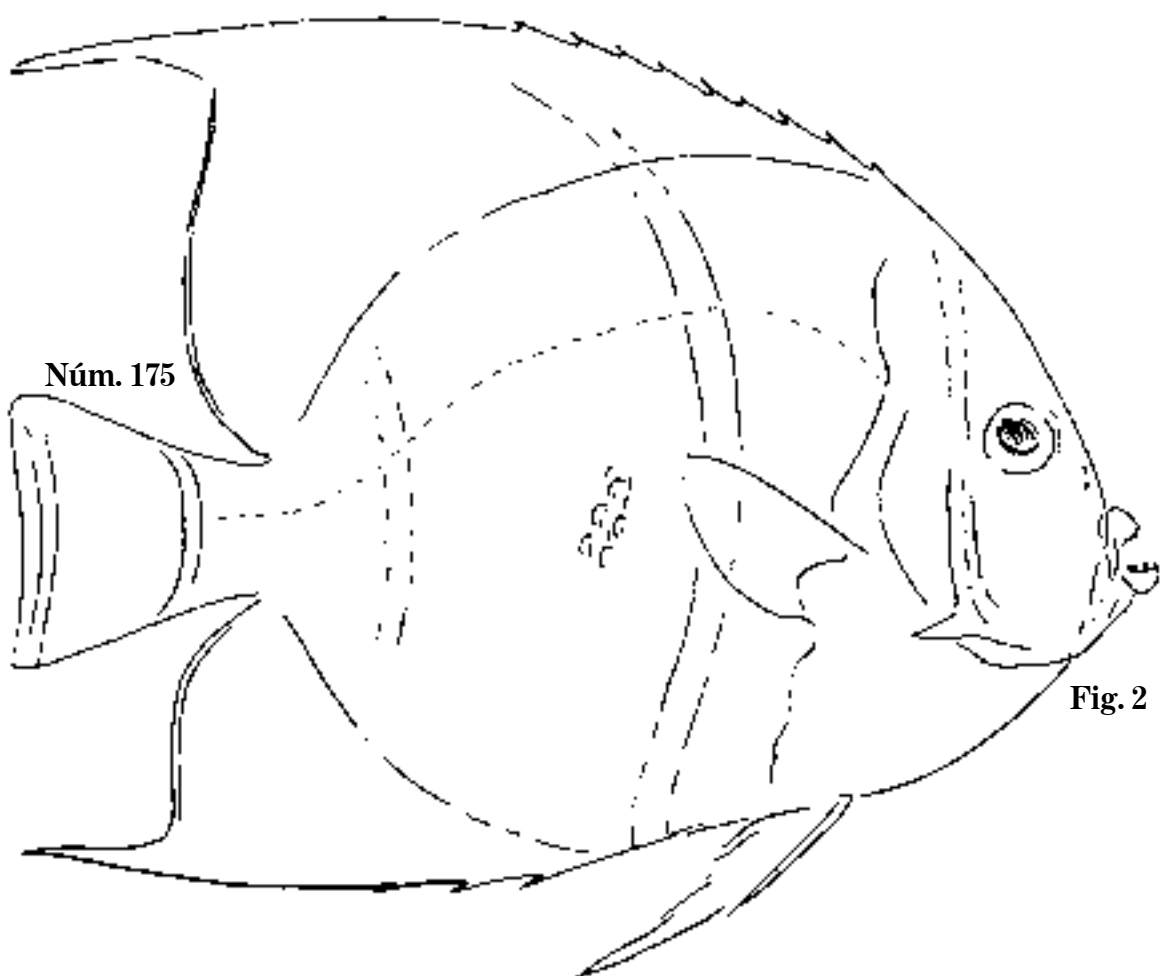
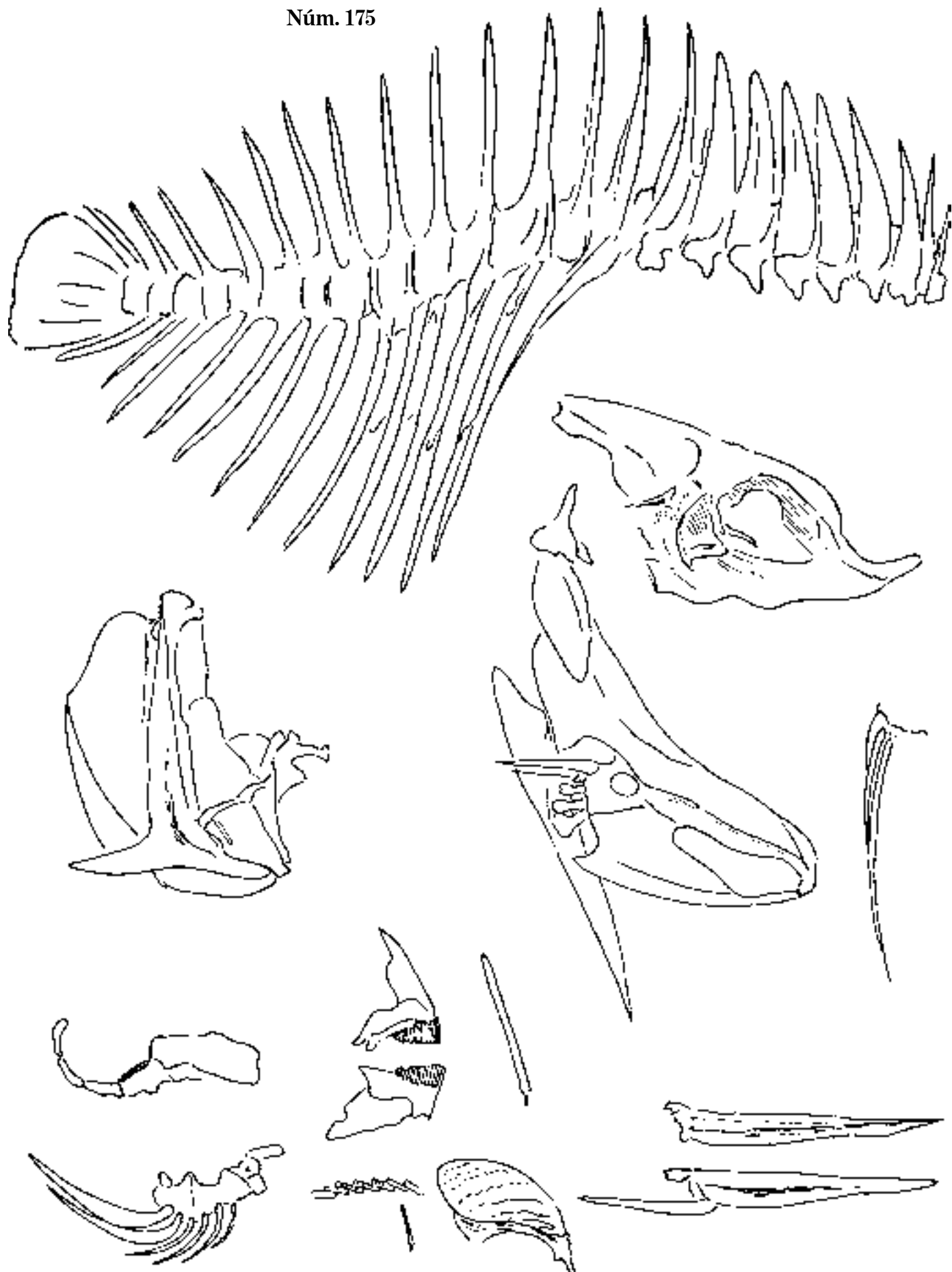


Fig. 2

Fig. 1 *Chaetodon aureus*, 1864. C. 165 mm; D. 9.
Fig. 2 *Ch. aureus*, 1864. C. 173 mm; D. 9; chirivita.

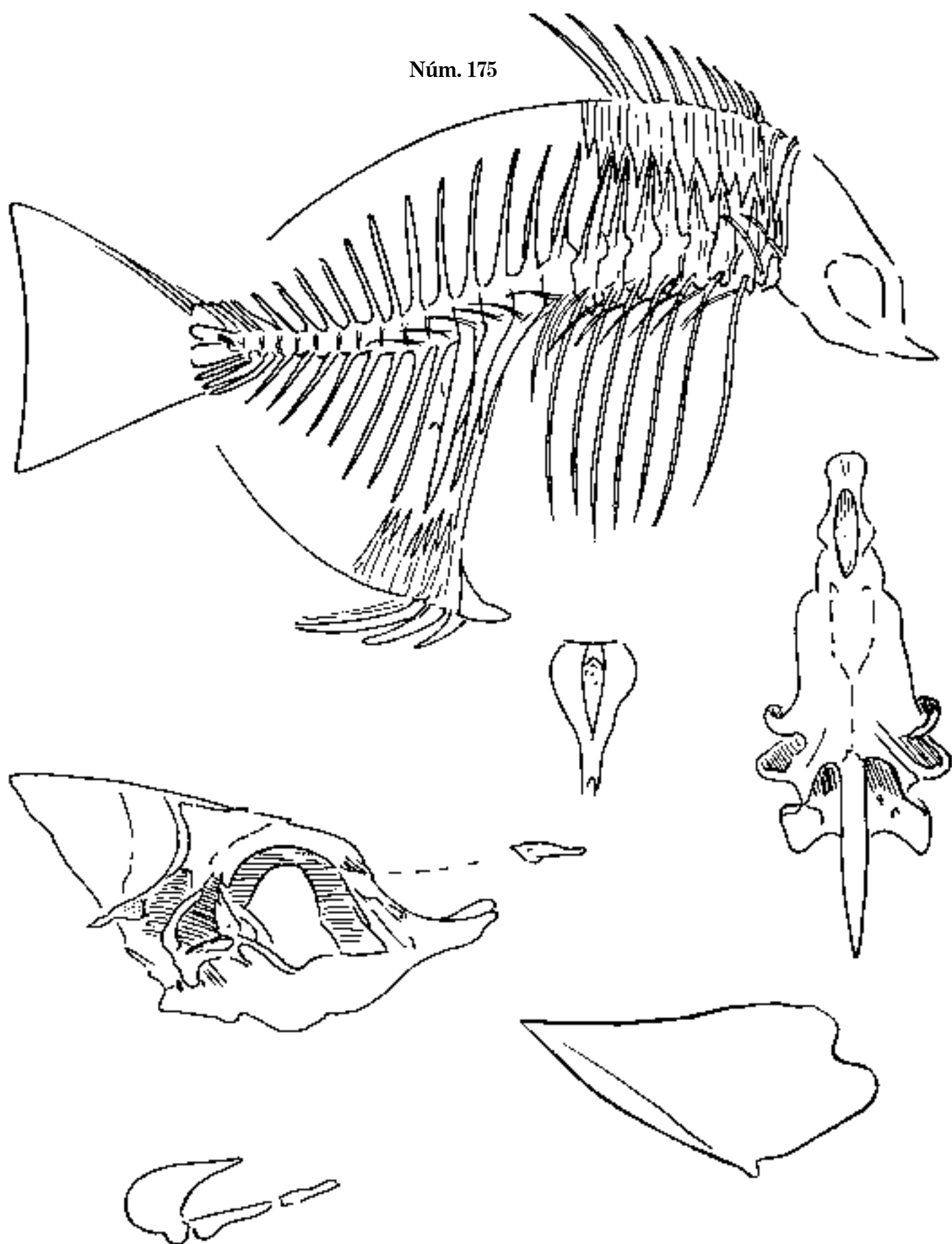
Lám. 194

Núm. 175



Chaetodon aureus. Osteología; chirivita.

Núm. 175



Chaetodon aureus. Osteología; chirivita.

Lám. 196

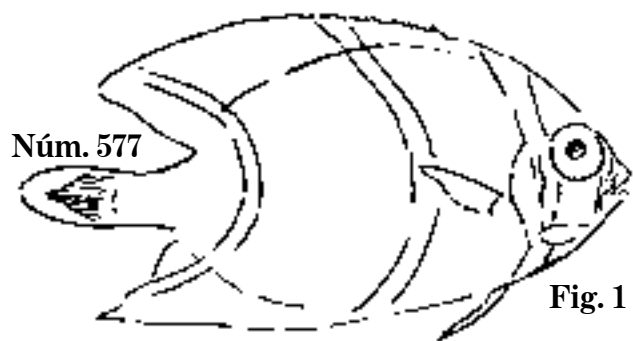


Fig. 1

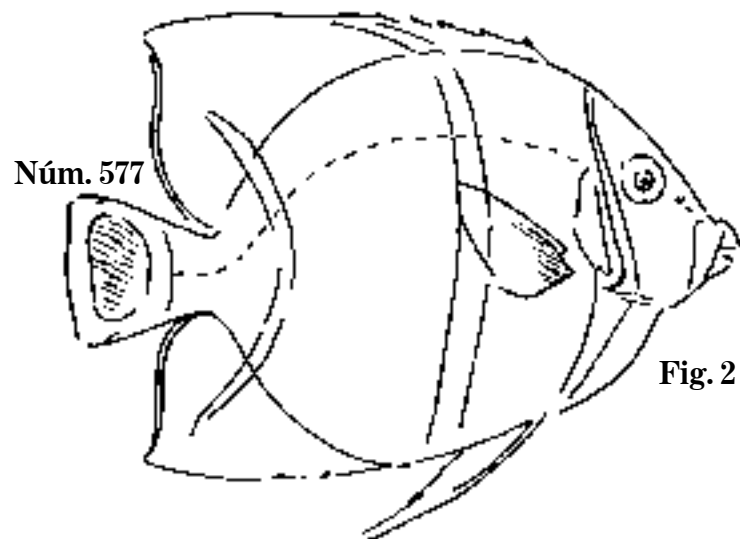


Fig. 2

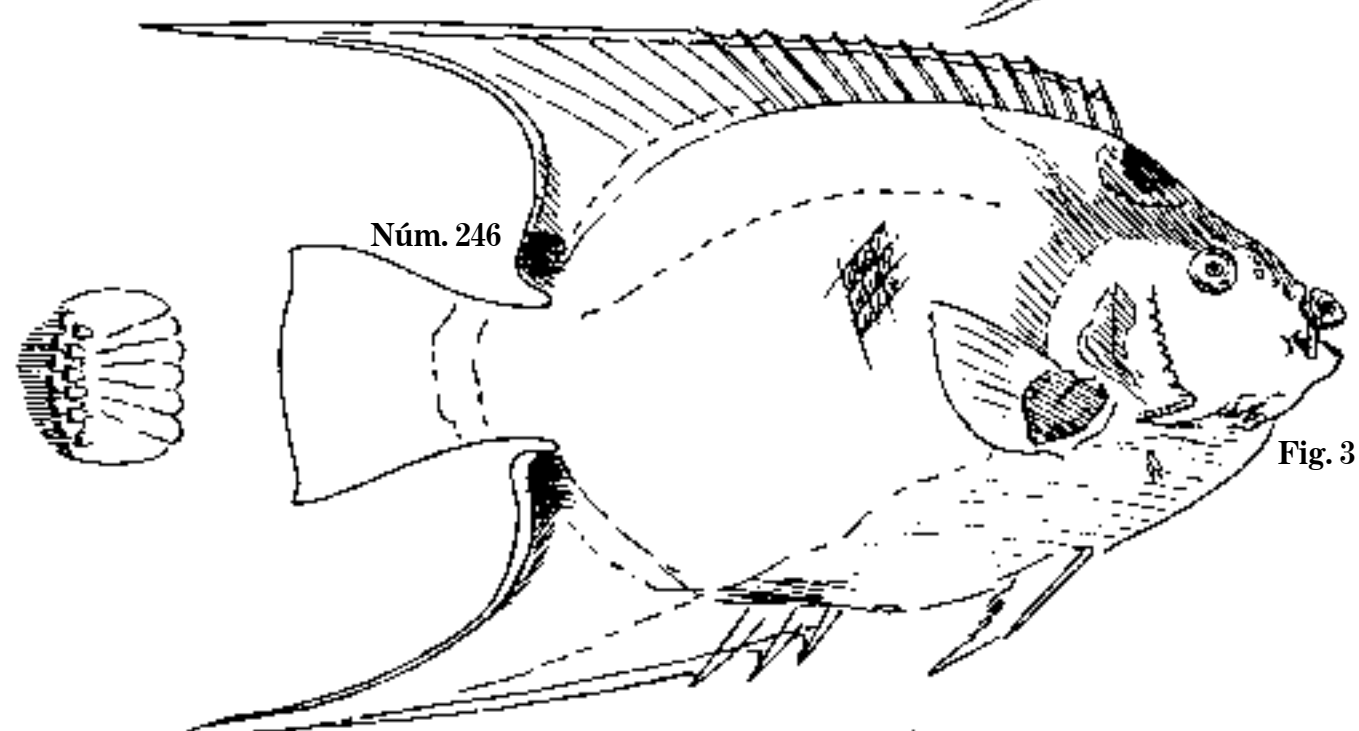


Fig. 3

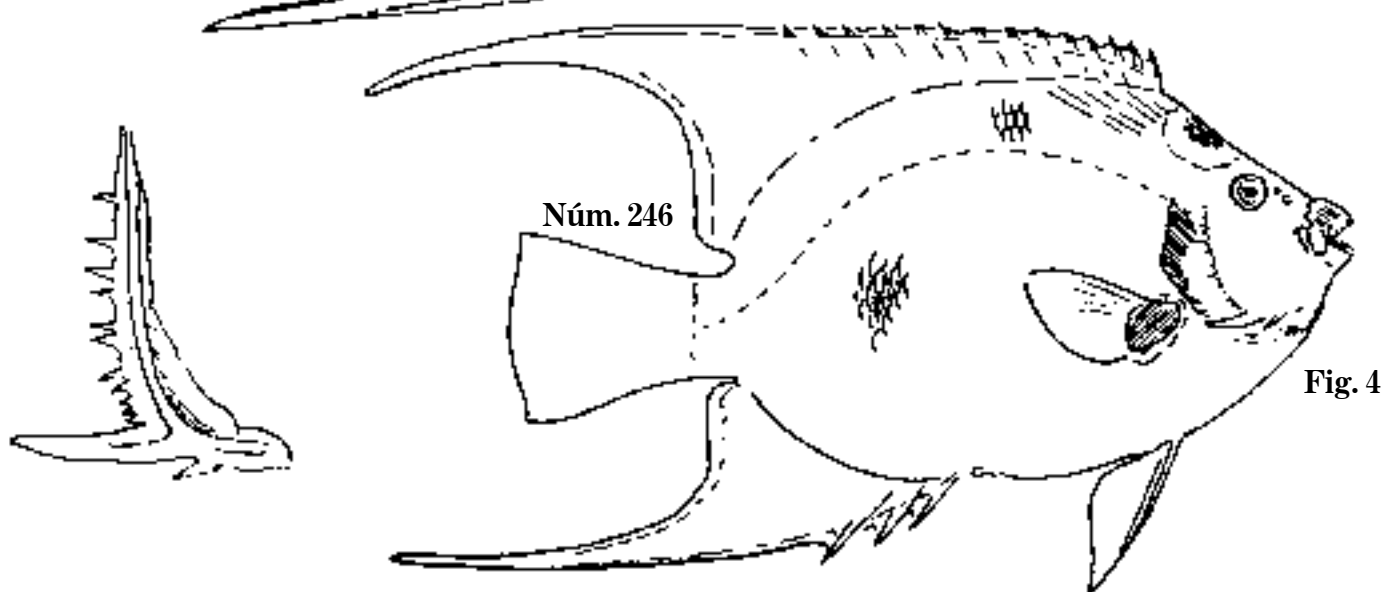


Fig. 4

Fig. 1 *Chaetodon littoricola*. P. 18 mm.

Fig. 2 *Ch. littoricola*, 1833. C. 95 mm; chirivita.

Fig. 3 *Holacanthus Parrae*. C. 377 mm; D. 14,19; A. 3,19.

Fig. 4 *H. Parrae*, 1875. C. 300 mm; isabelita.

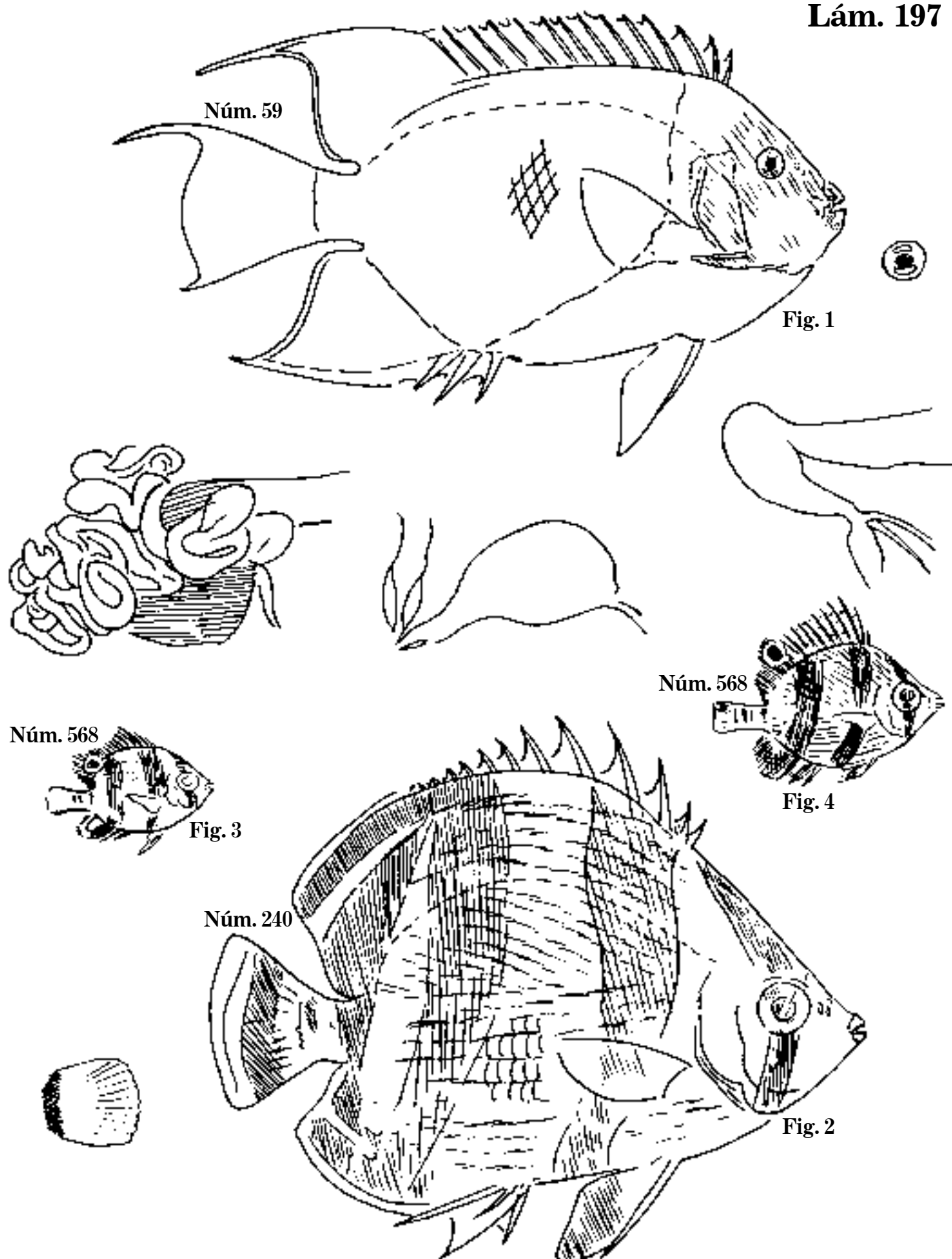


Fig. 1 *Holacanthus tricolor*. C. 239 mm; isabelita.

Fig. 2 *Sarothrodus striatus*. C. 126 mm.

Fig. 3 *Sarothrodus*, 1874. C. 33 mm; D. 12,20?; A. 3,18?

Fig. 4 *Sarothrodus*, 1877. C. 46 mm; D. 12,22; A. 3,17; parche.

Lám. 198

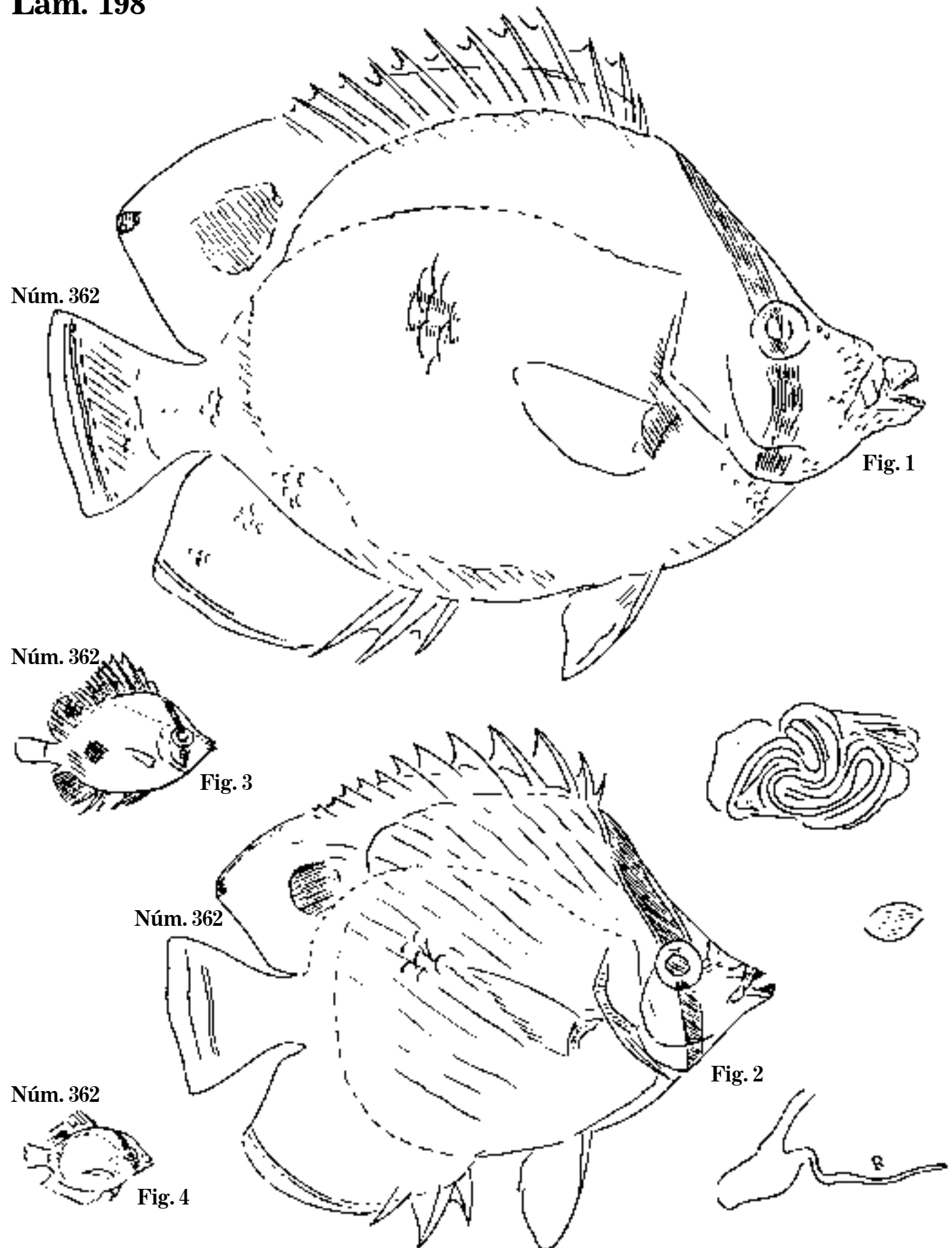


Fig. 1 *Sarothrodus bimaculatus*, 1864. C. 183 mm.

Fig. 2 *S. bimaculatus*. C. 128 mm.

Fig. 3 *S. bimaculatus*, 1877. C. 43 mm; D. 12,21; A. 33,17.

Fig. 4 *S. bimaculatus*, 1862. C. 26 mm; parche.

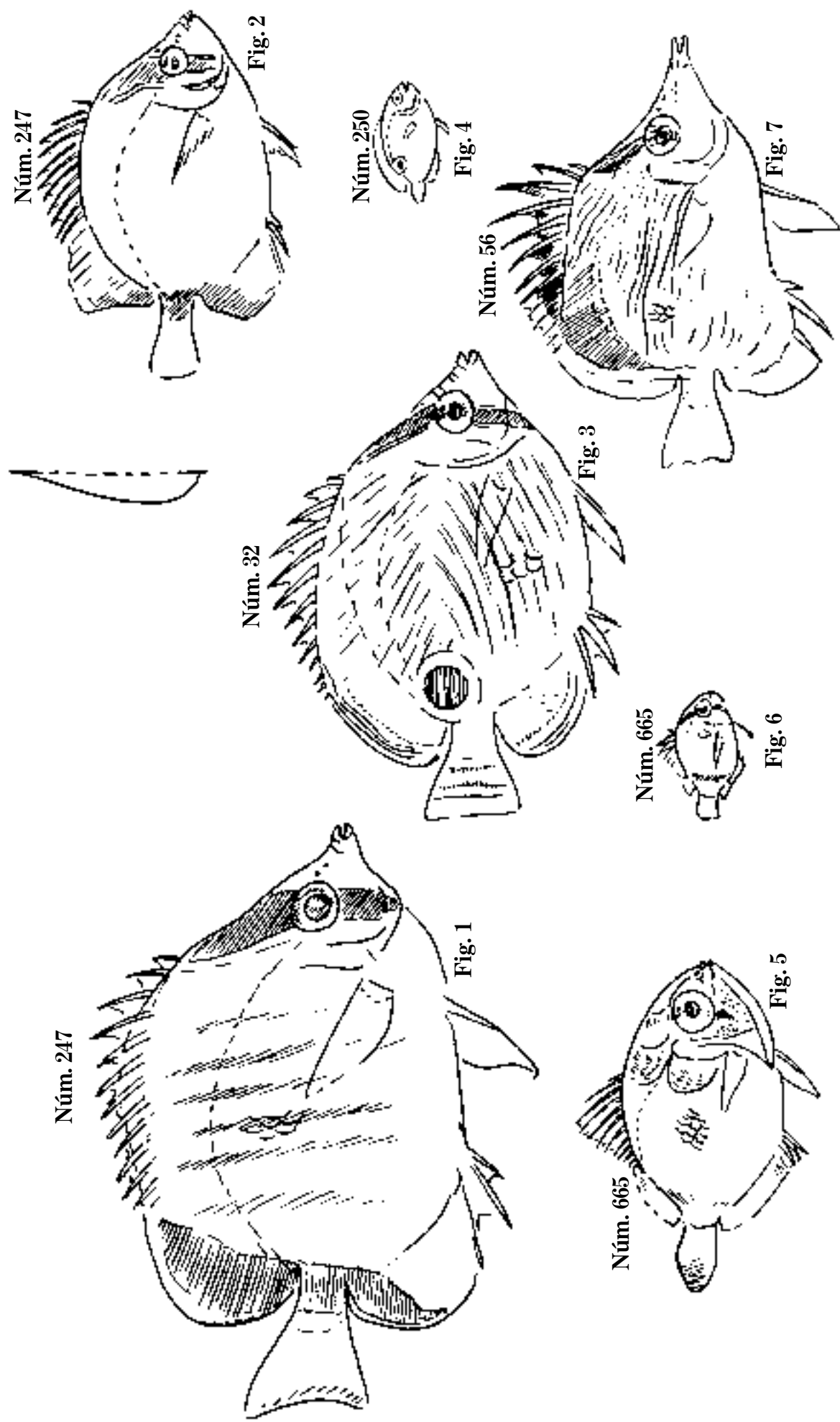


Fig. 1 *Sarothrodon sedentarius*. C. 109 mm.

Fig. 2 *S. sedentarius*. C. 68 mm.

Fig. 3 *S. capistratus*. C. 86 mm.

Fig. 4 *S. ataeinatus*. P. 22 mm.

Fig. 5 *Peripoma amplexicolle*, 1875. P. 20 mm; D. 12; A. 3?

Fig. 6 *P. amplexicolle*, 1862. P. 24 mm.

Fig. 7 *Prognathodes aculeatus*, 1860. C. 79 mm; parche.

Lám. 200

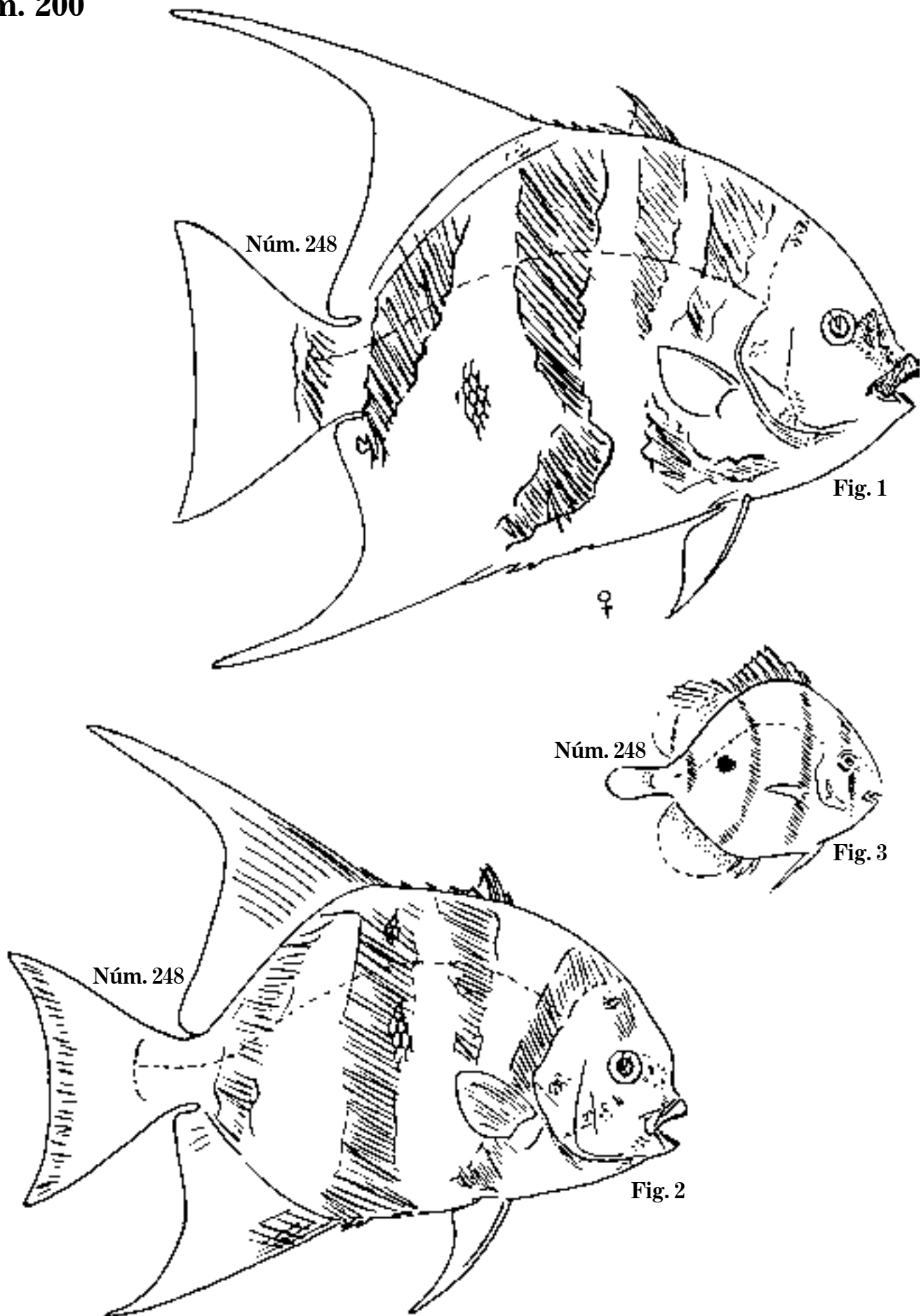
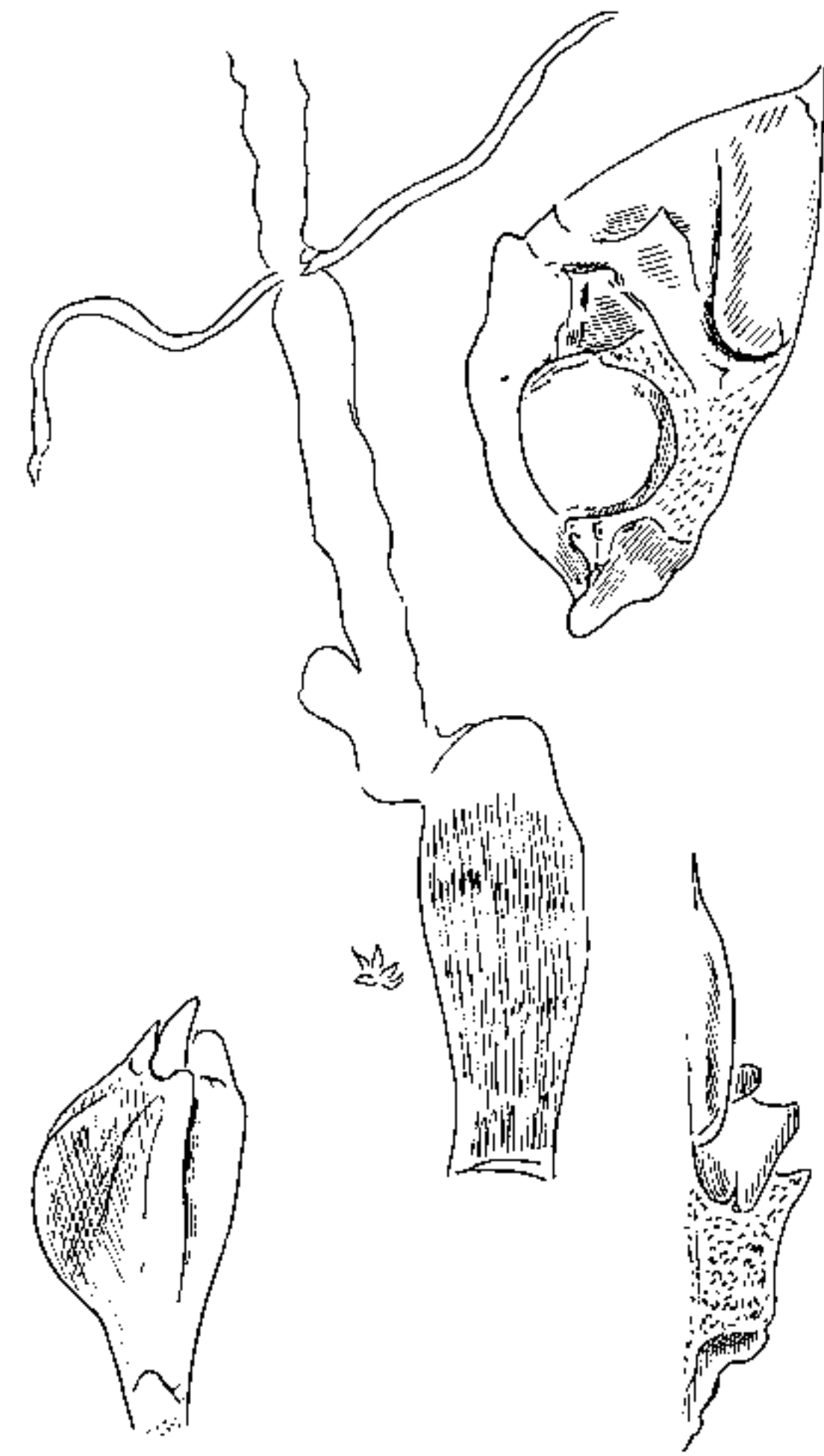
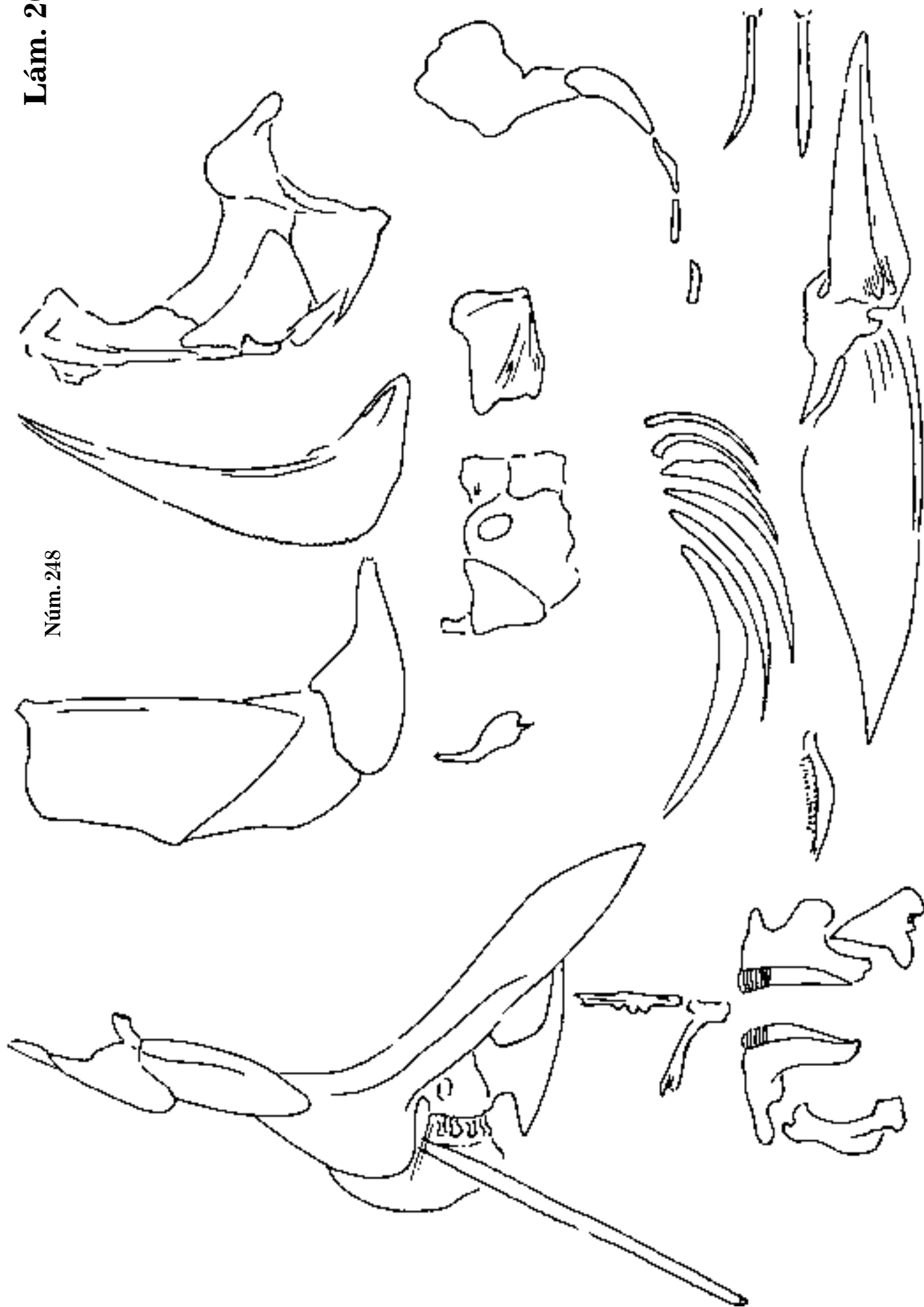


Fig. 1 *Chaetodipterus faber*, 1869. P. 430 mm; D. 8,22; A. 3,16.
Fig. 2 *Ch. faber*, 1862. P. 380 mm; D. 7-1, 22; A.?; 18.
Fig. 3 *Ch. faber (junior)*. C. 53 mm; D. 9, 22; A.?; palometa.



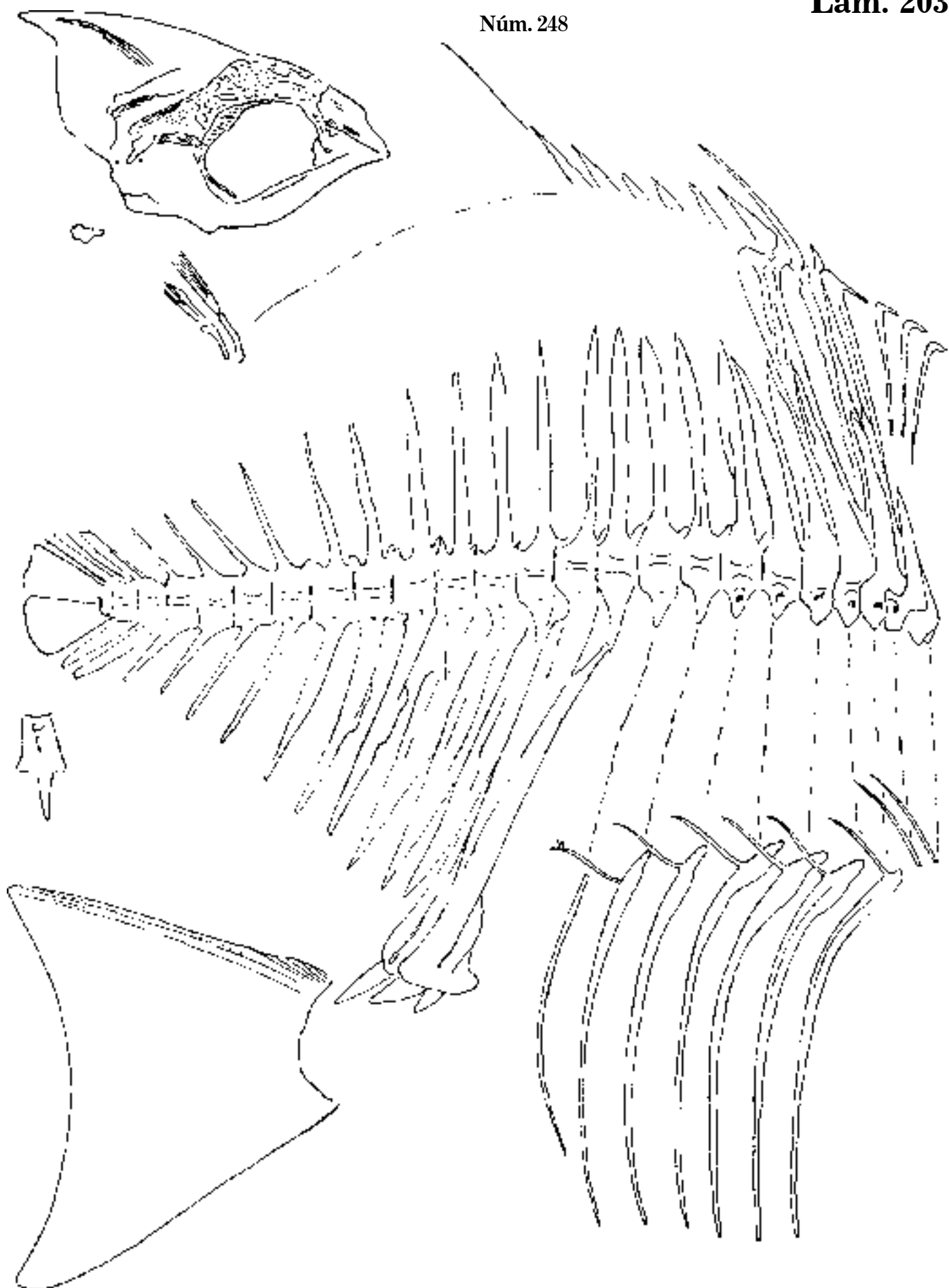
Núm. 248

Núm. 248



Chaetodipterus faber. Osteología; palometas.

Núm. 248



Chaetodipterus faber. Osteología; palometa.

Lám. 204

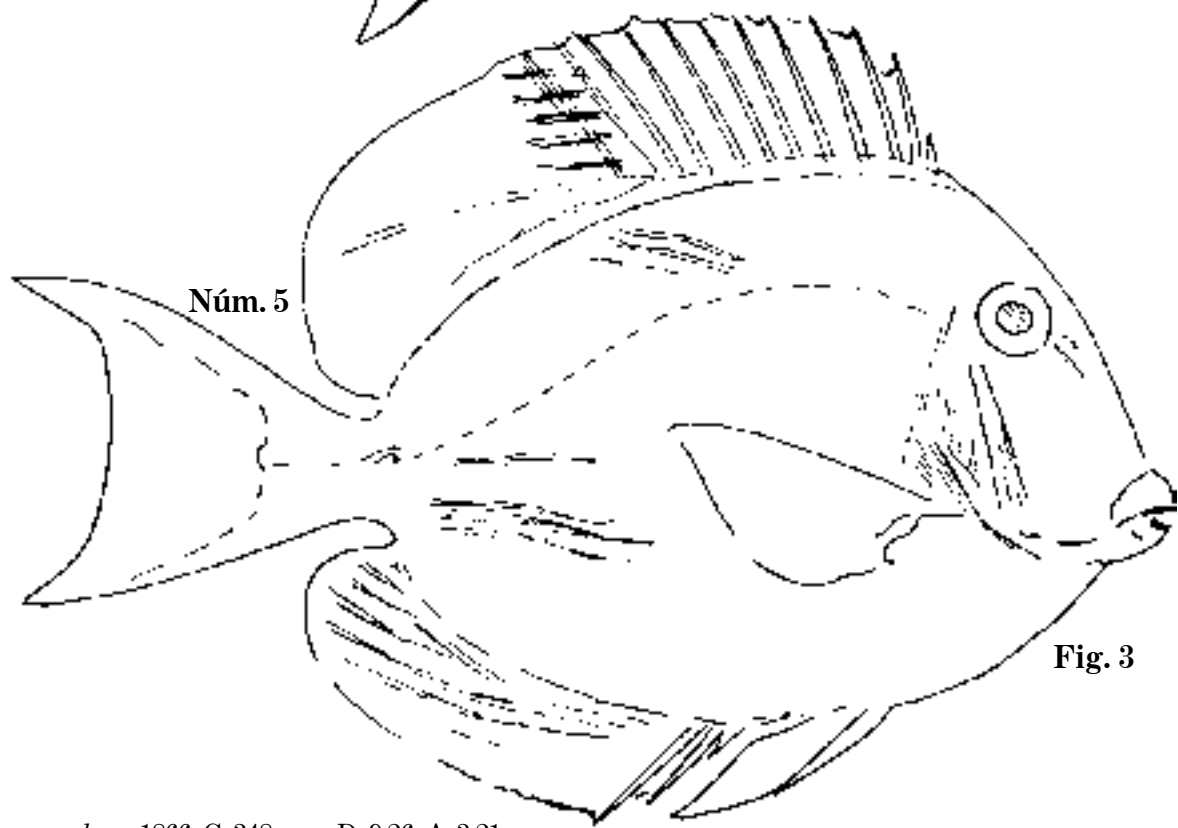
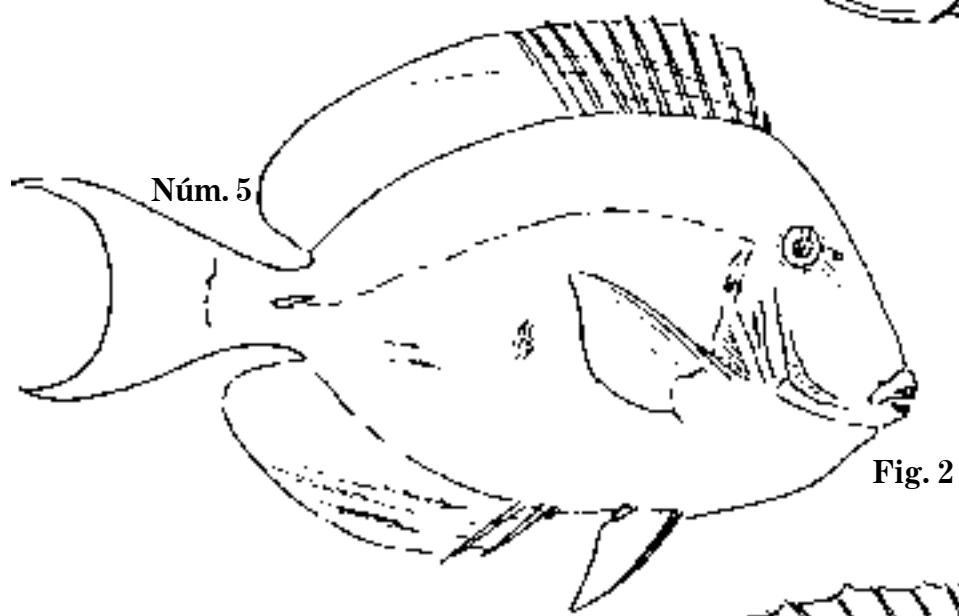
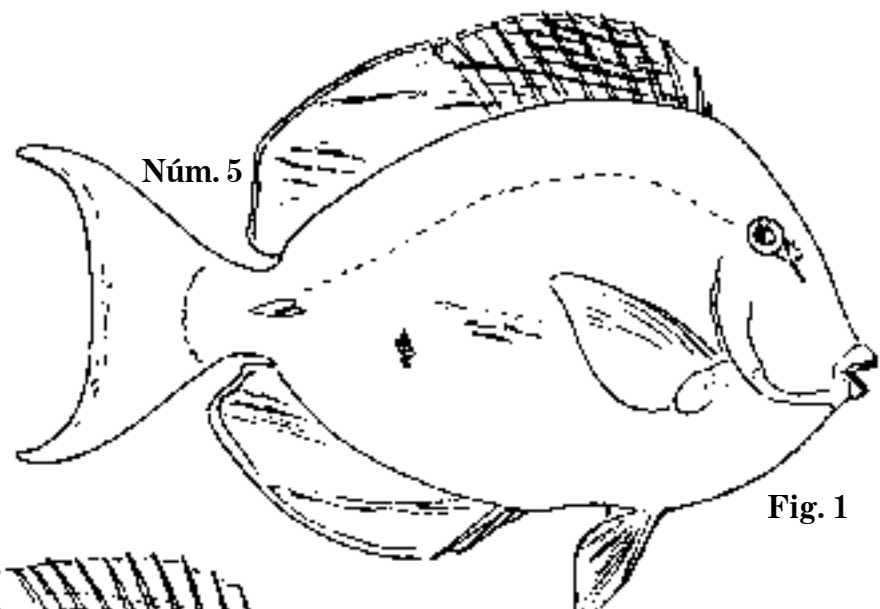


Fig. 1 *Acanthurus caeruleus*, 1866. C. 348 mm; D. 9,26; A. 3,21.

Fig. 2 *A. caeruleus*, 1865. C. 290 mm; D. 9,25; A. 3,24.

Fig. 3 *A. caeruleus*, 1860. C. 185 mm; barbero.

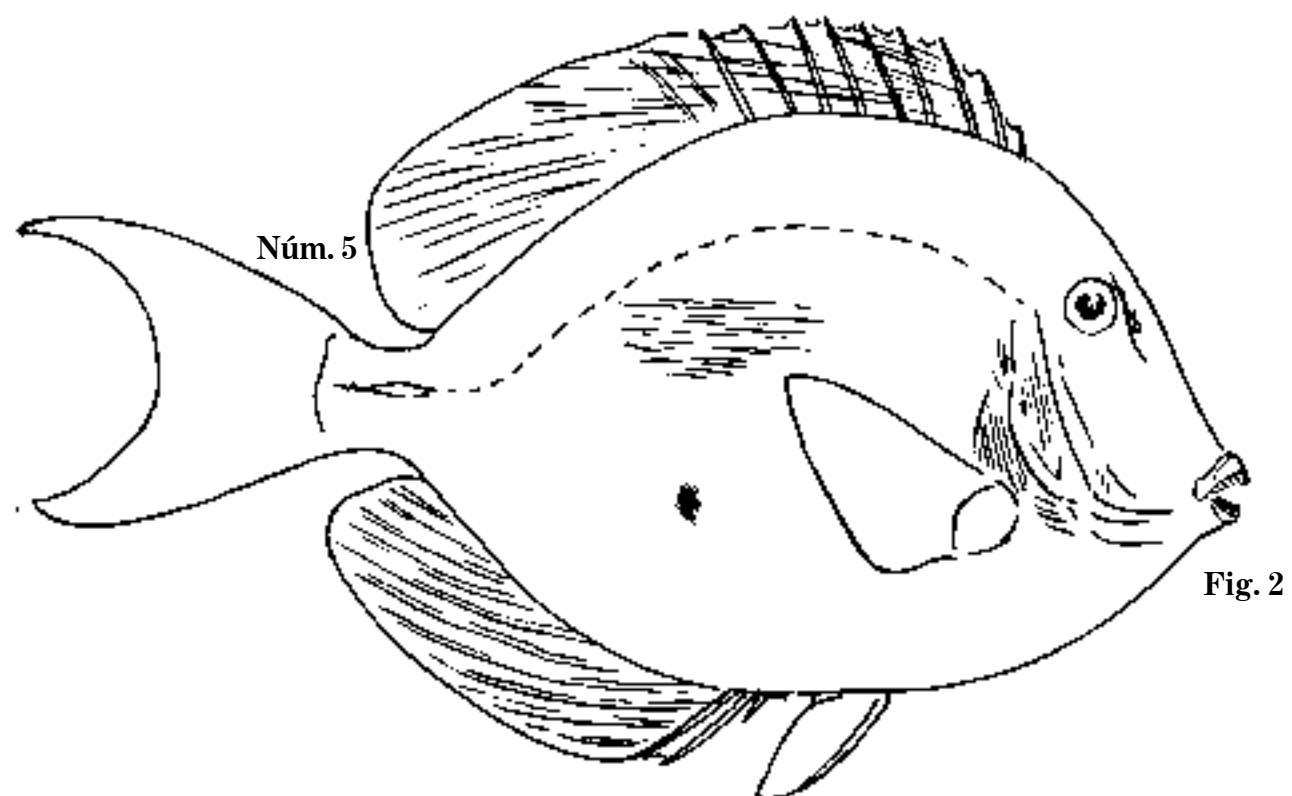
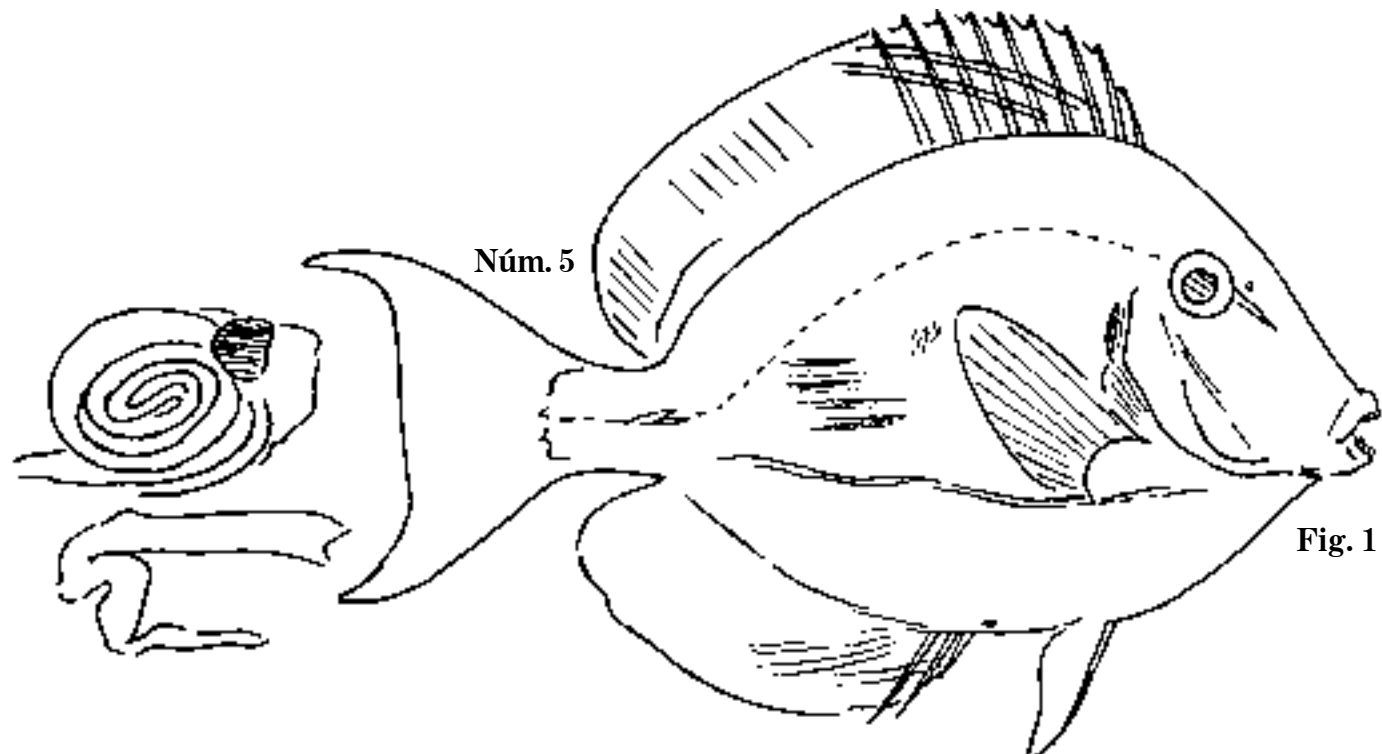
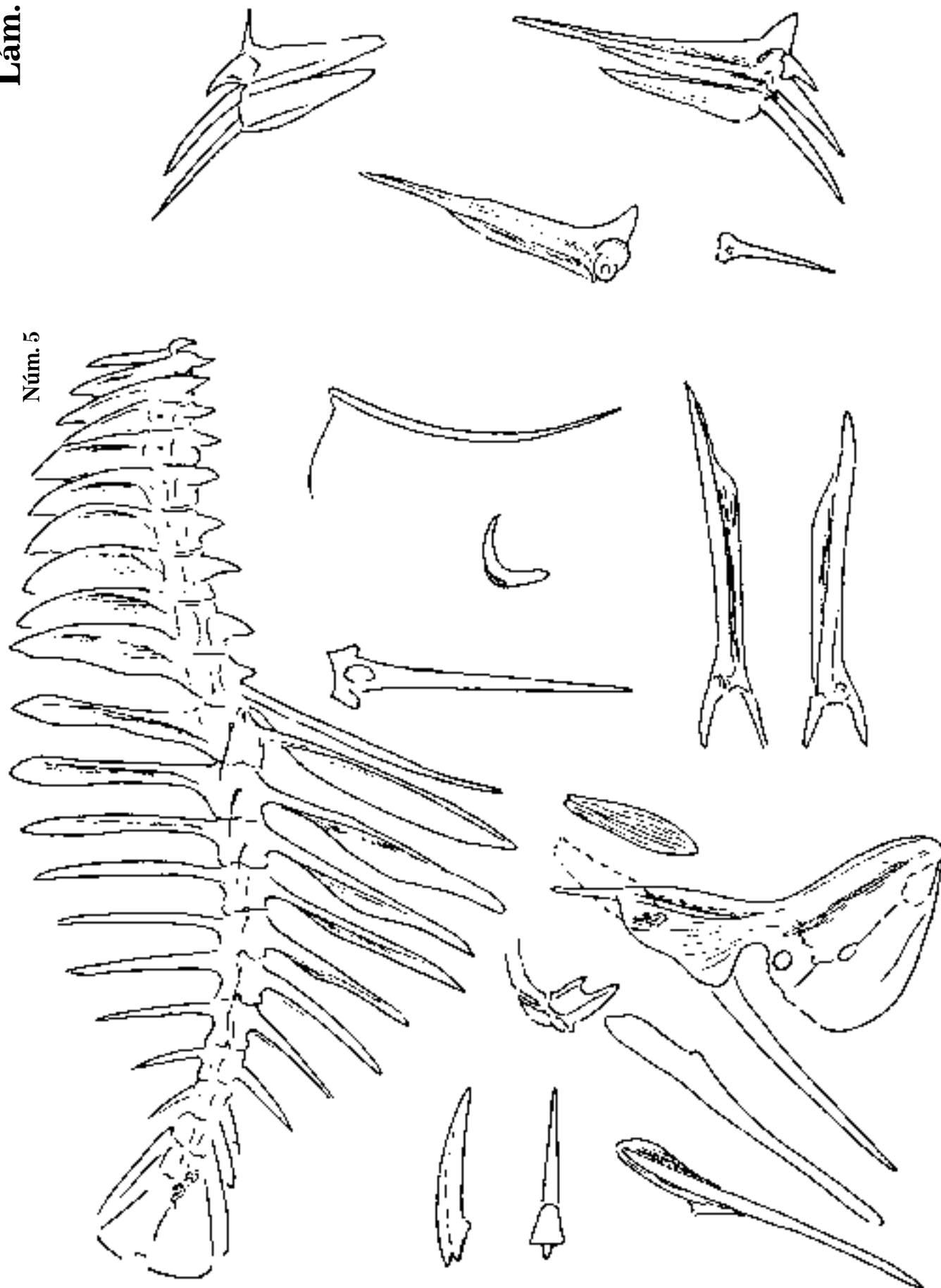


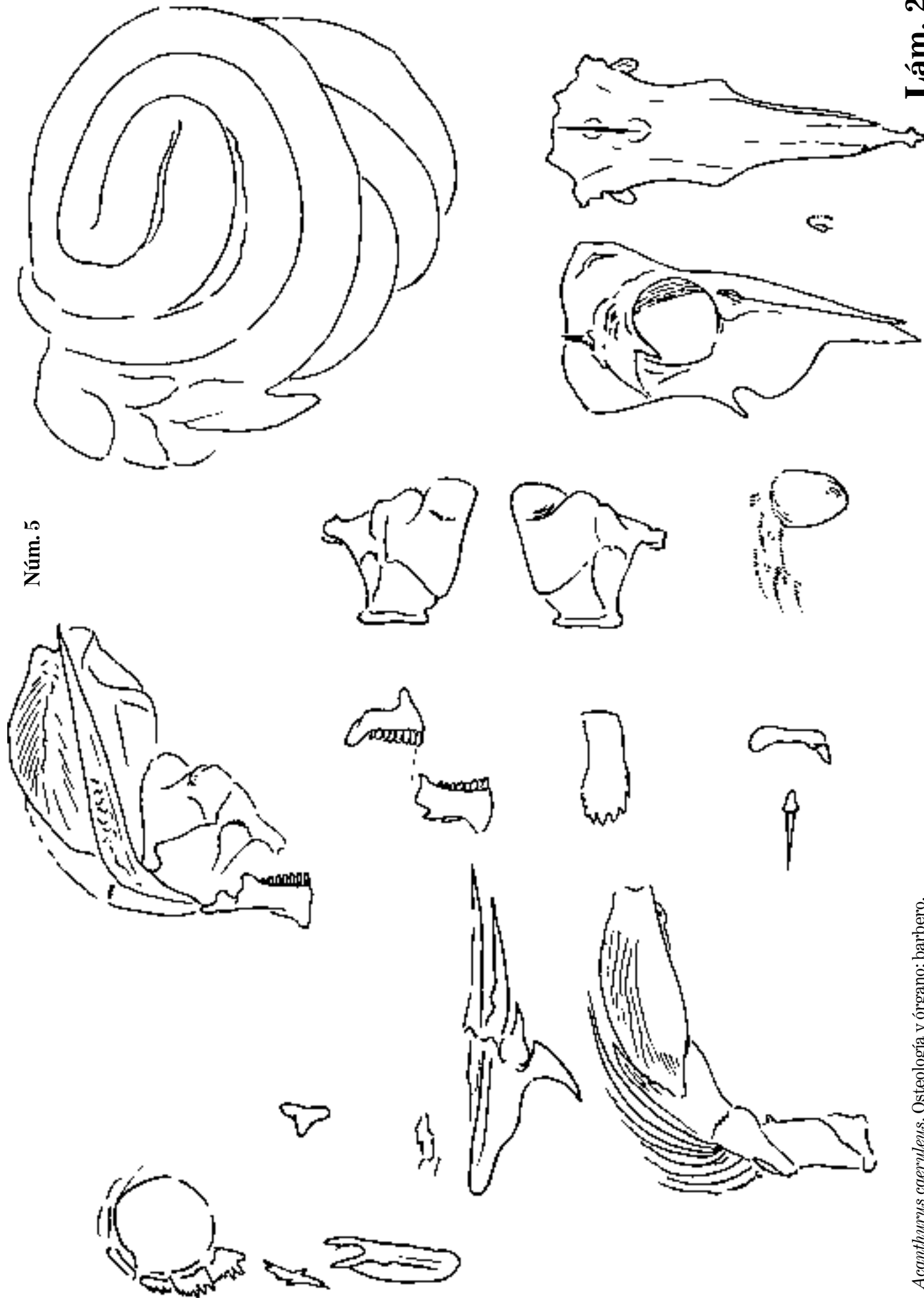
Fig. 1 *Acanthurus caeruleus*, 1850. C. 208 mm; D. 9?; A. 3,?
Fig. 2 *A. caeruleus*, 1875. C. 288 mm; D. 9,23; A. 3,23; barbero.

Lám. 206



Acanthurus caeruleus. Osteología; barbero.

Núm. 5



Acanthurus caeruleus. Osteología y órgano; barbero.

Lám. 208

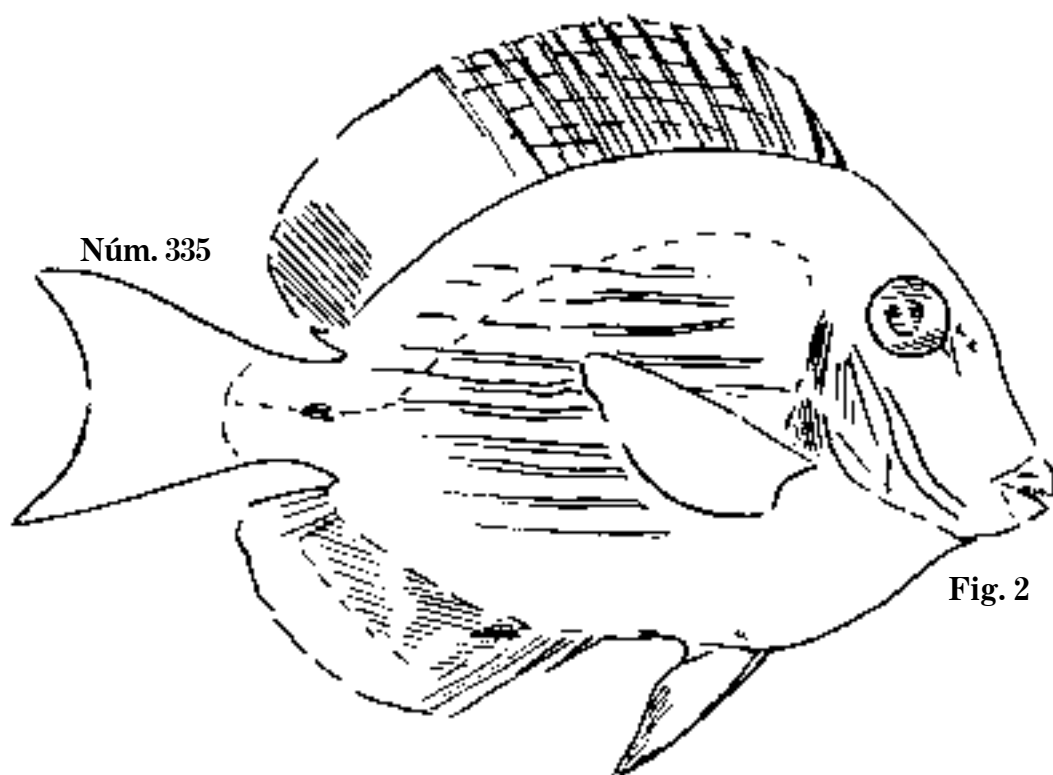
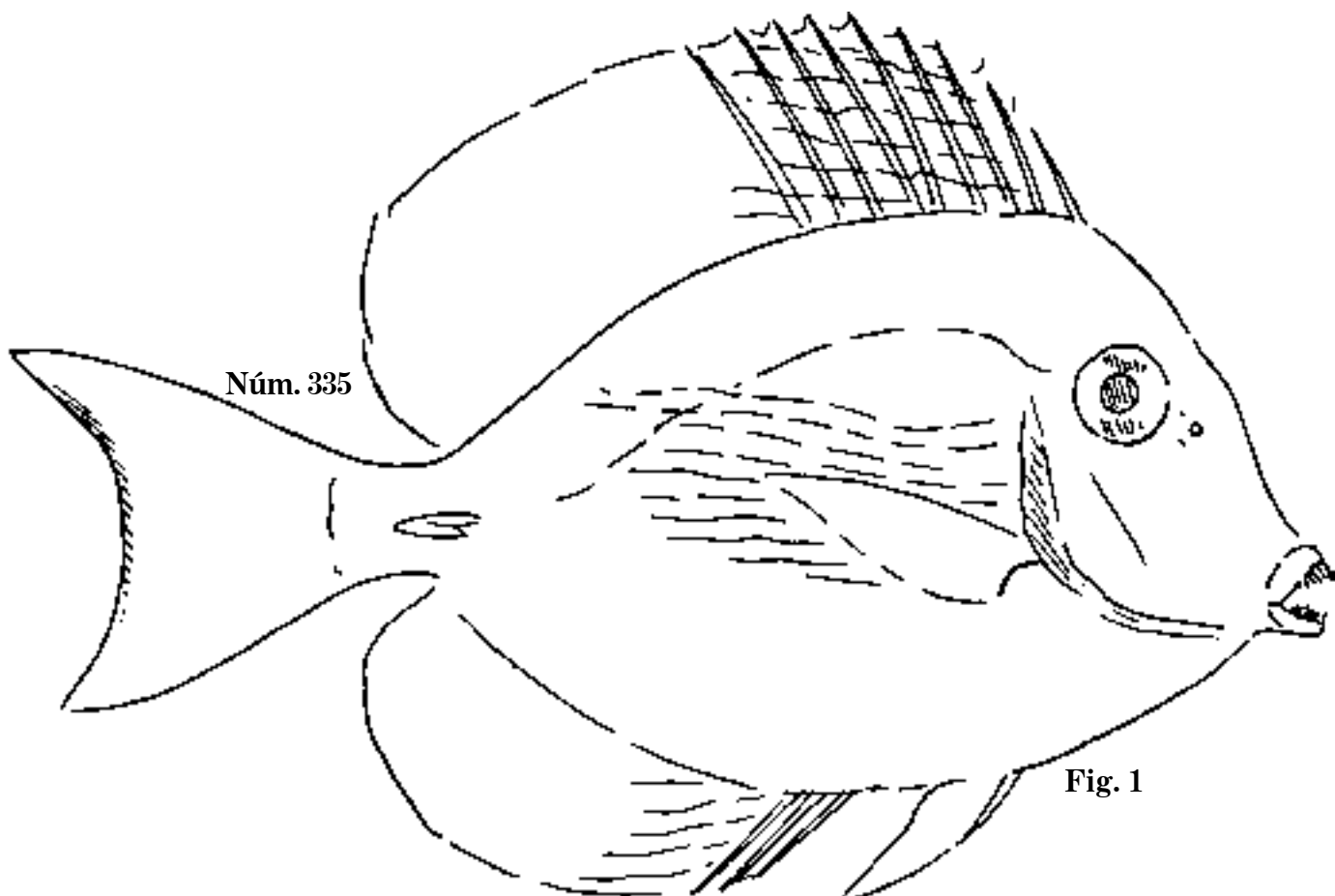


Fig. 1 *Acanthurus brevis*. C. 148 mm.

Fig. 2 *A. brevis*, 1862. C. 144 mm; D. 9,28; A. 3,25; barbero.

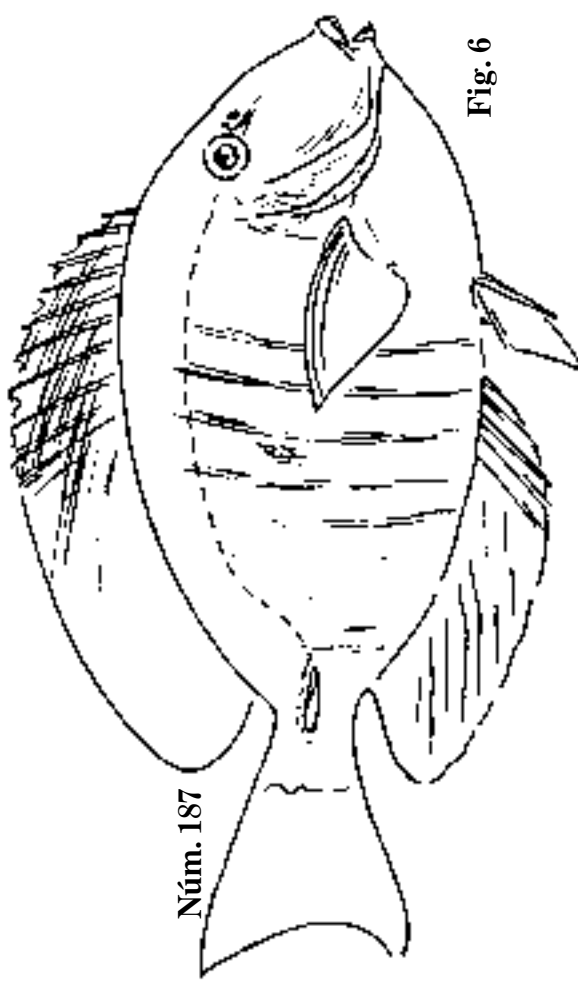
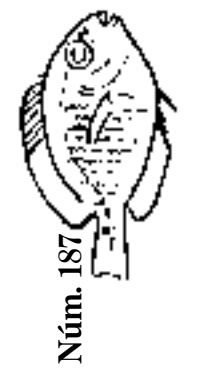
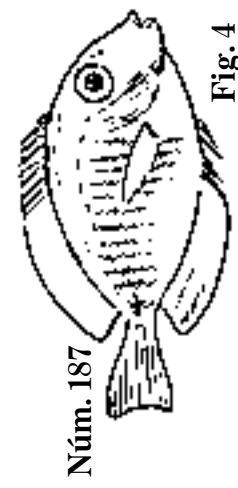
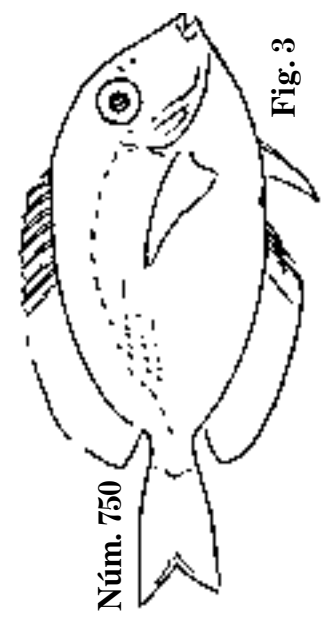
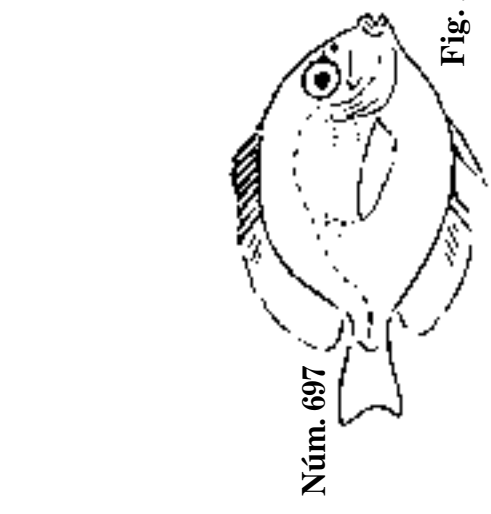


Fig. 1 *Acanthurus*, 1872. C. 67 mm.
Fig. 2 *Acanthurus*, 1874. C. 55 mm; D. 9,25; A. 3,25.
Fig. 3 *Acanthurus*, 1874. C. 78 mm.

Fig. 4 *A. chirurgus*, 1874. C. 53 mm; D. 9,25; A. 3,25.
Fig. 5 *A. chirurgus*, 1874. P. 35 mm.
Fig. 6 *A. chirurgus*, 1864. C. 255 mm; D. 9,24; A. 3,23; barbero.

Lám. 210

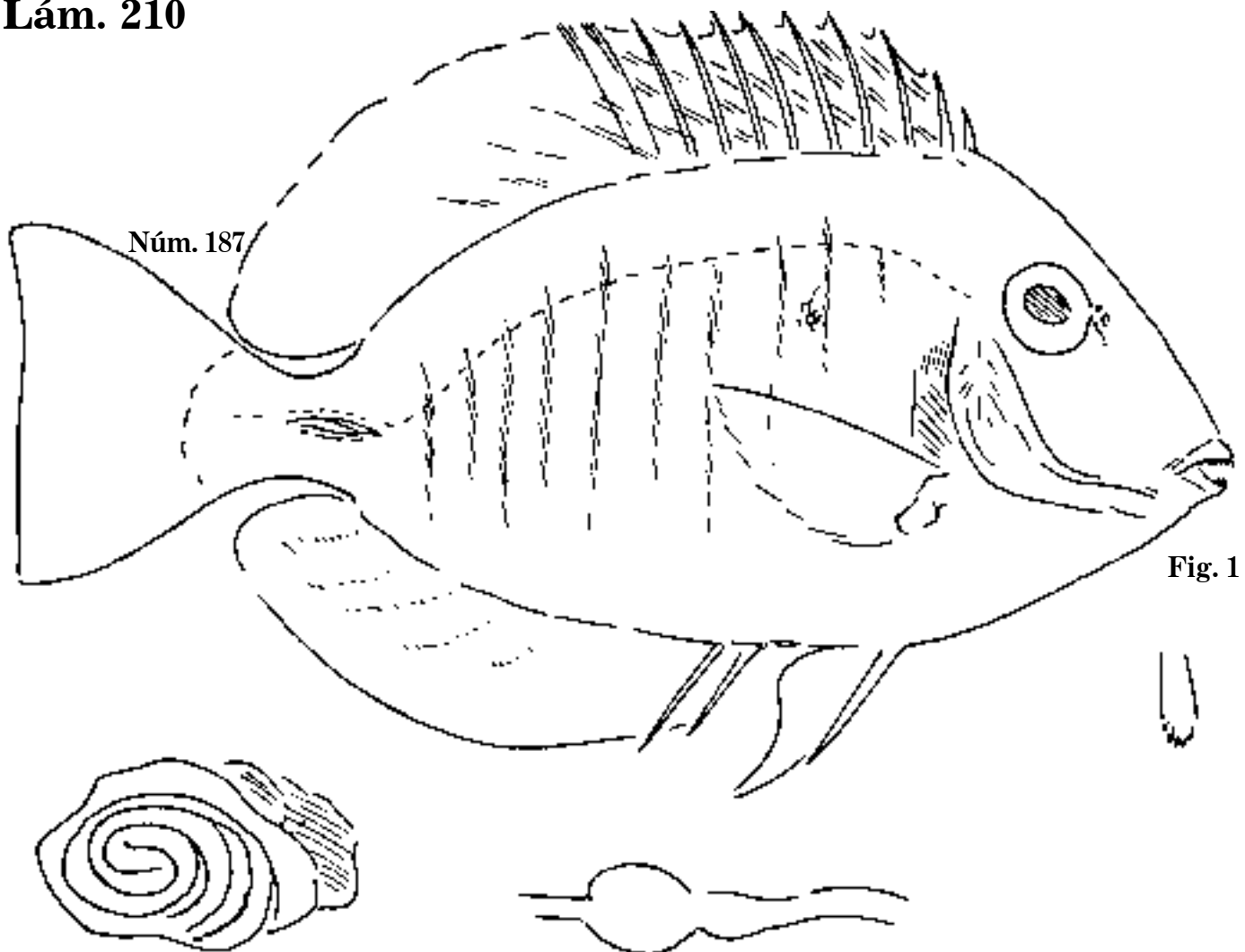


Fig. 1

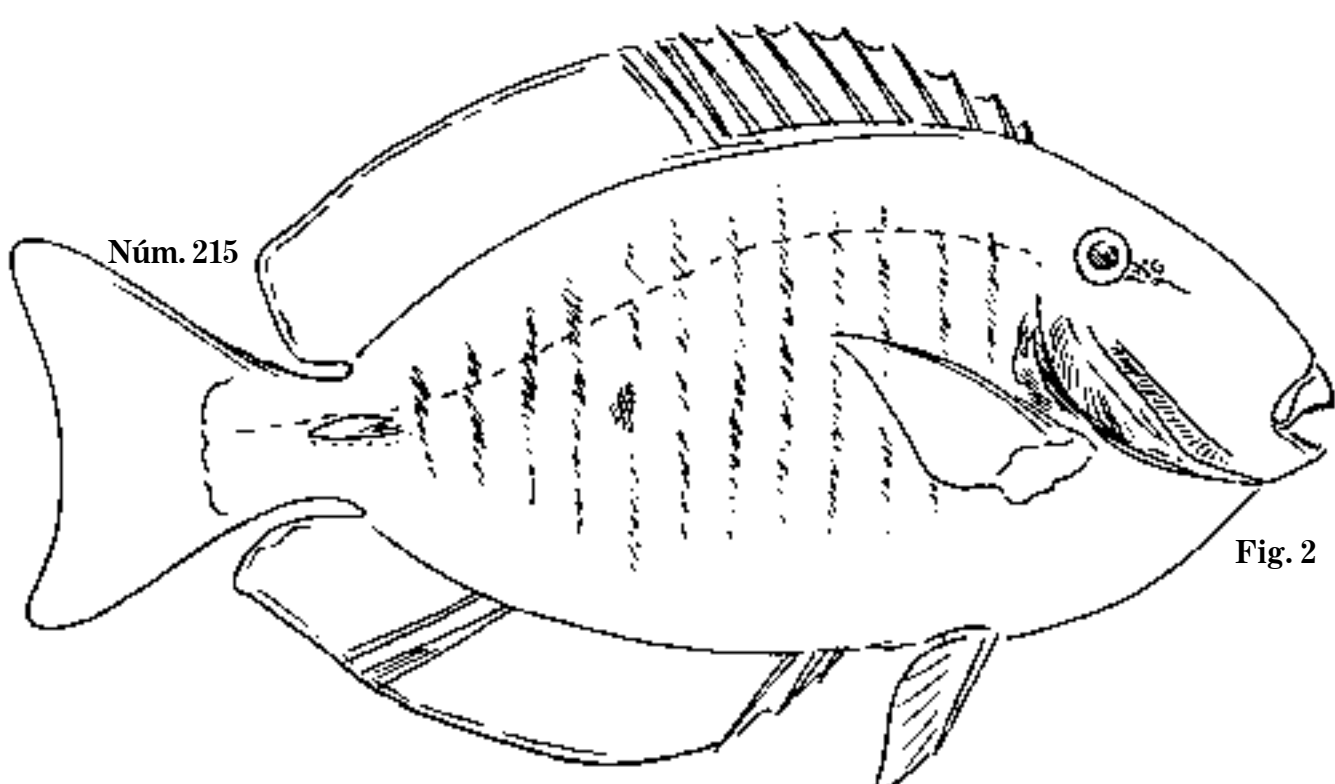
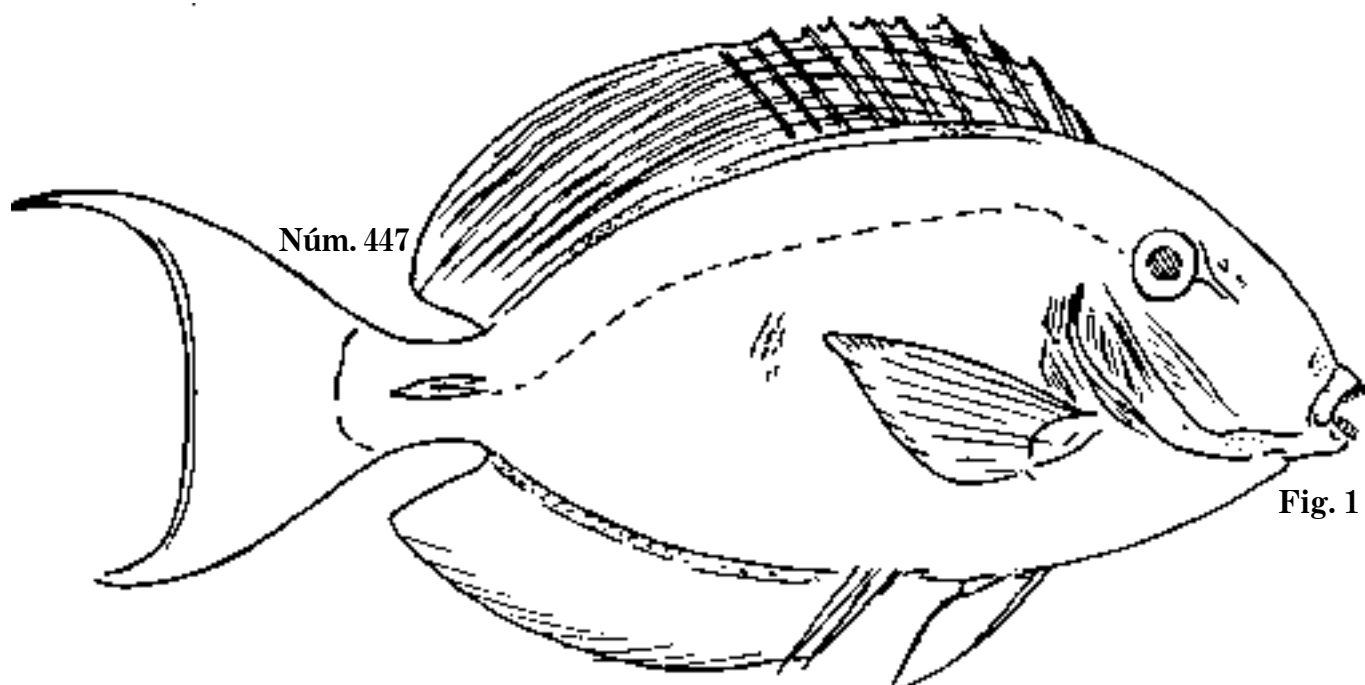


Fig. 2

Fig. 1 *Acanthurus chirurgus*, 1850. C. 170 mm; D. 9,24; A. 2,21.
Fig. 2 *A. nigricans*, 1866. C. 335 mm; D. 9,24; A. 3,22; barbero.



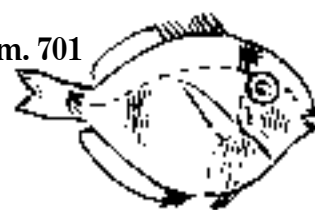
Núm. 671



Núm. 671



Núm. 701



Núm. 721



Núm. 512

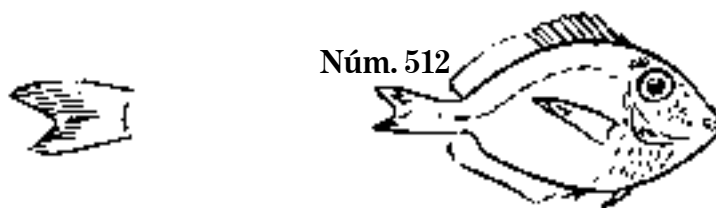


Fig. 1 *Acanthurus tractus*, 1850. C. 244 mm; D. 9,24; A. 3,23.

Fig. 2 *Acronurus carneus*. C. 37 mm.

Fig. 3 *A. carneus*. C. 32 mm.

Fig. 4 *Acronurus*, 1874. C. 32 mm.

Fig. 5 *A. caerulatus*, 1875. C. 36 mm.

Fig. 6 *A. nigriculus*, 1875. C. 31 mm; barbero.

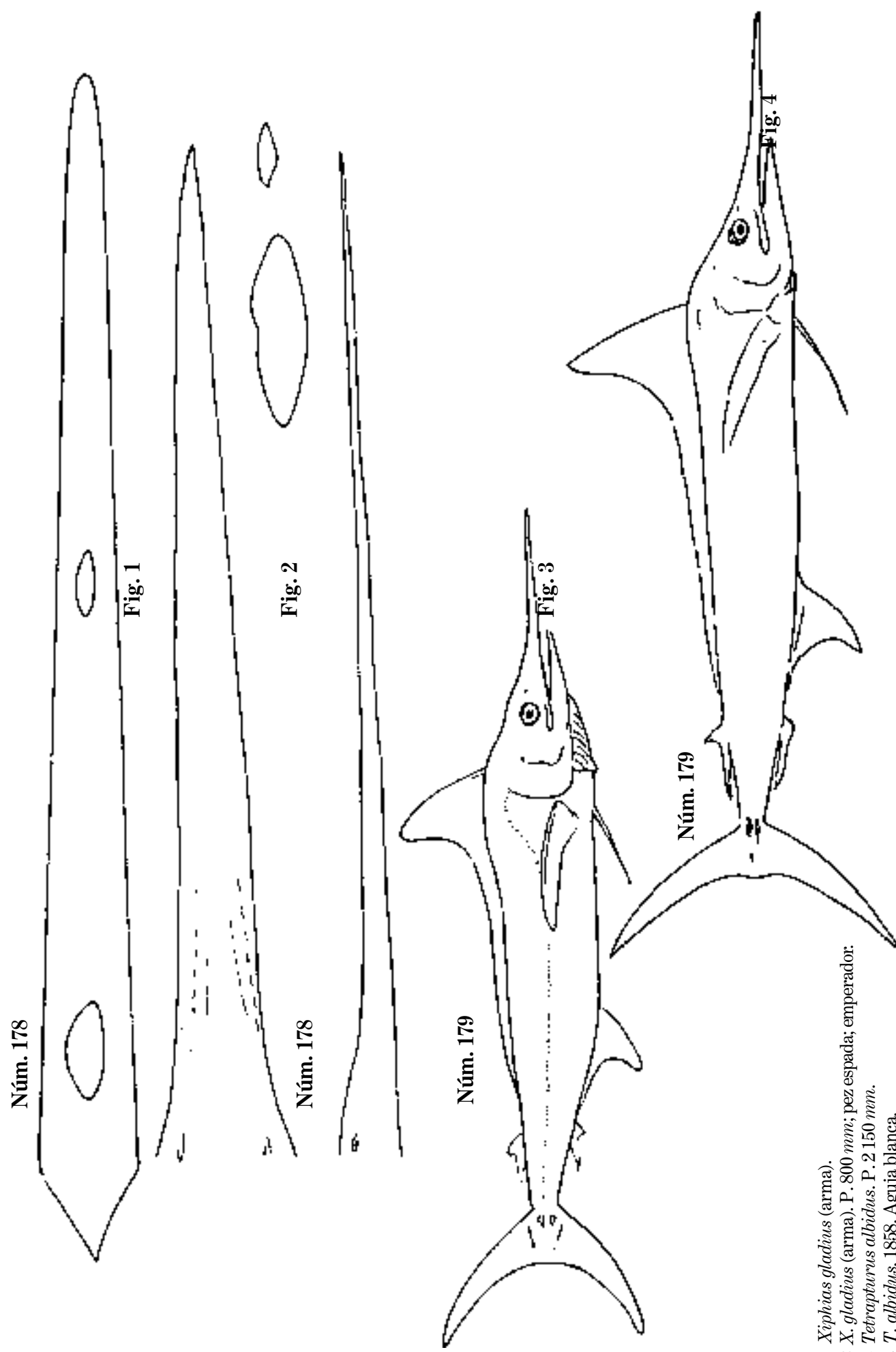


Fig. 1 *Xiphias gladius* (arma).
Fig. 2 *X. gladius* (arma). P. 800 mm; pez espada; emperador.
Fig. 3 *Tetrapurus albidus*. P. 2150 mm.
Fig. 4 *T. albidus*, 1858. Aguja blanca.

Lám. 213

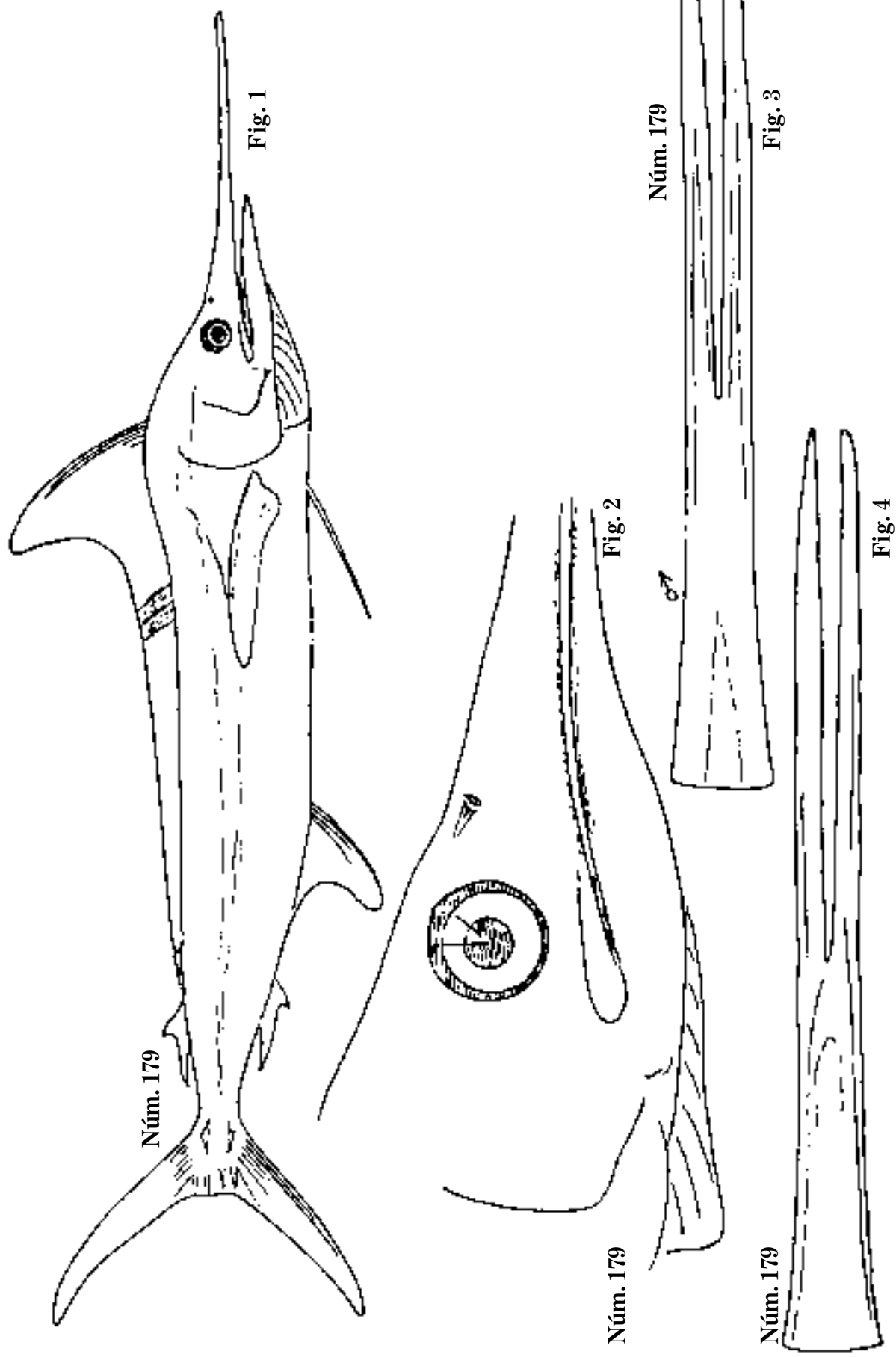


Fig. 1 *Tetraphururus albidus*, 1868?

Fig. 2 *T. albidus* (cabeza).

Fig. 3 *T. albidus* (arma bifida, vista por arriba).

Fig. 4 *T. albidus* (arma bifida, vista por debajo); aguja blanca.

Lám. 214

Núm. 179

Núm. 179



Fig. 1

Núm. 179

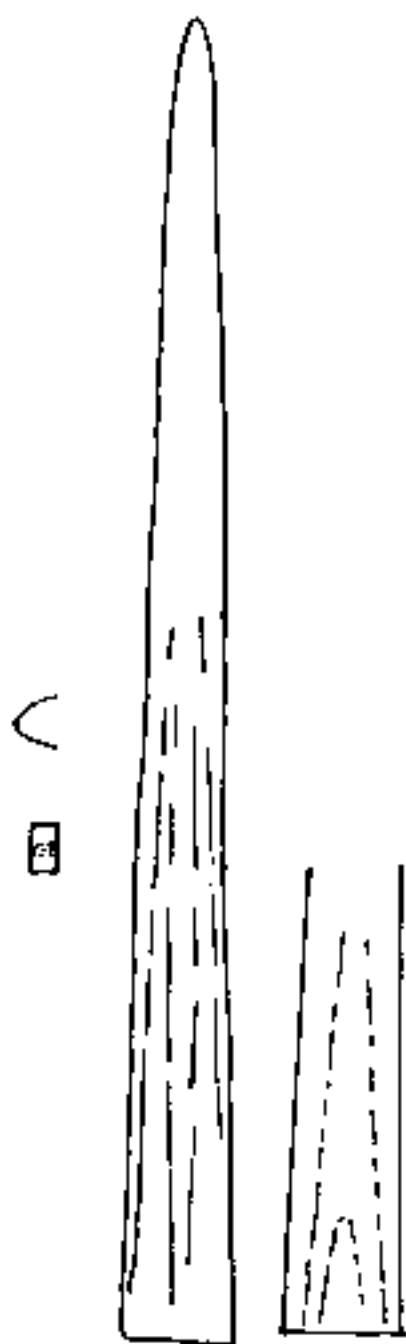


Fig. 2



Fig. 3

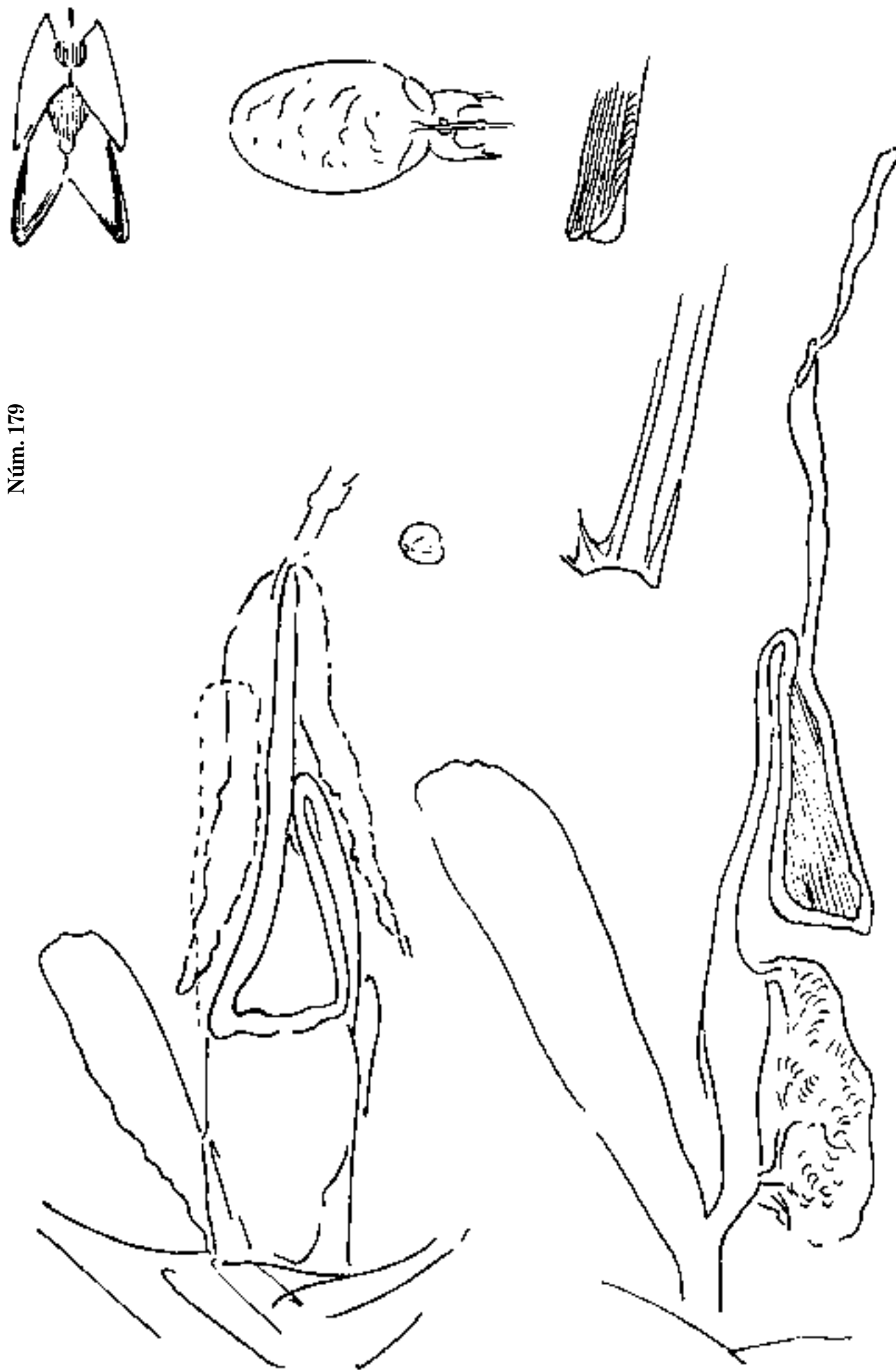


Fig. 1 *Tetrapturus albidus* (arma).

Fig. 2 *T. albidus* (arma).

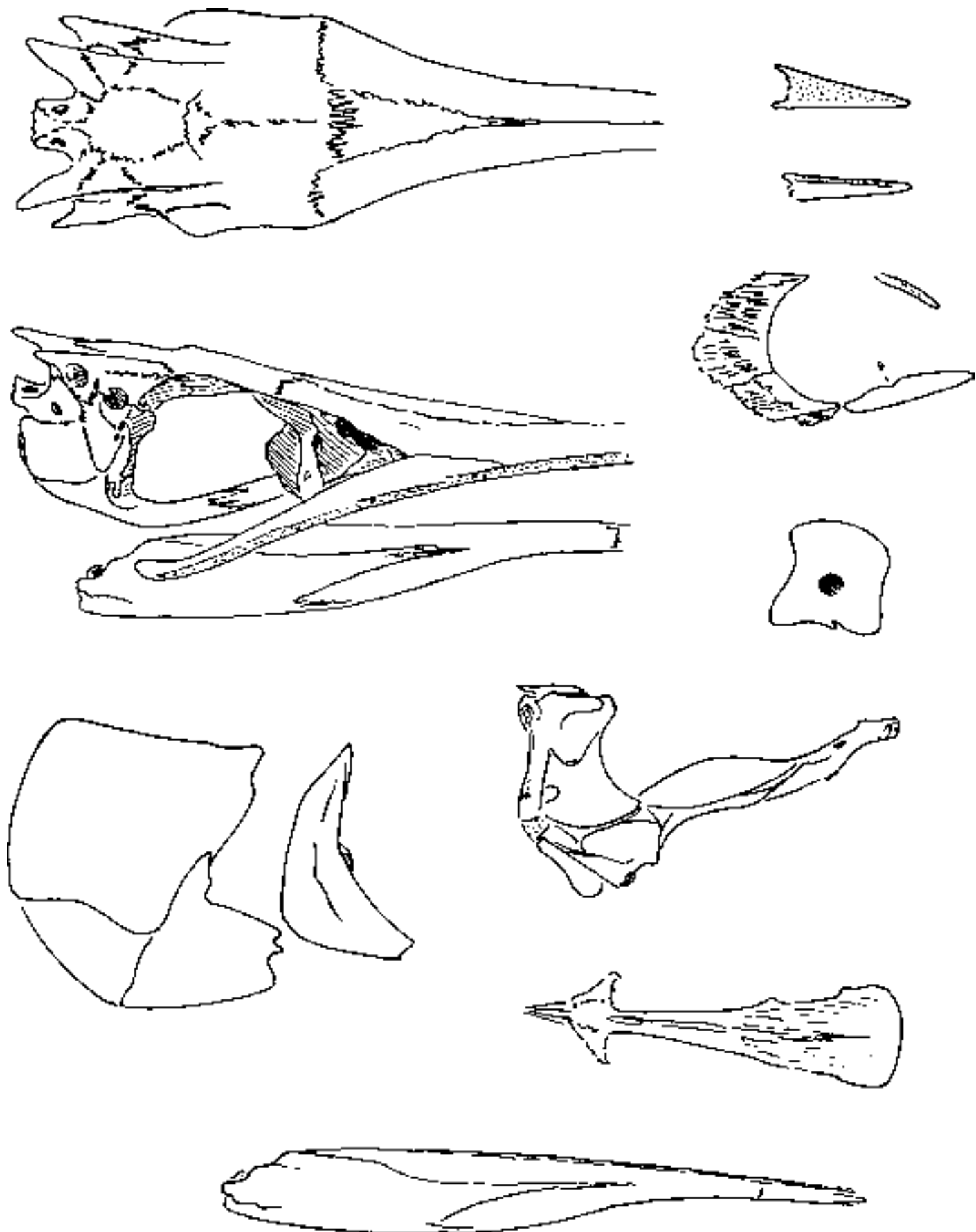
Fig. 3 *T. albidus* (arma); aguja blanca.

Tetrapturus albifrons. Órganos, aguja blanca.



Lám. 216

Núm. 179



Tetrapurus albidus. Osteología; aguja blanca.



Fig. 1

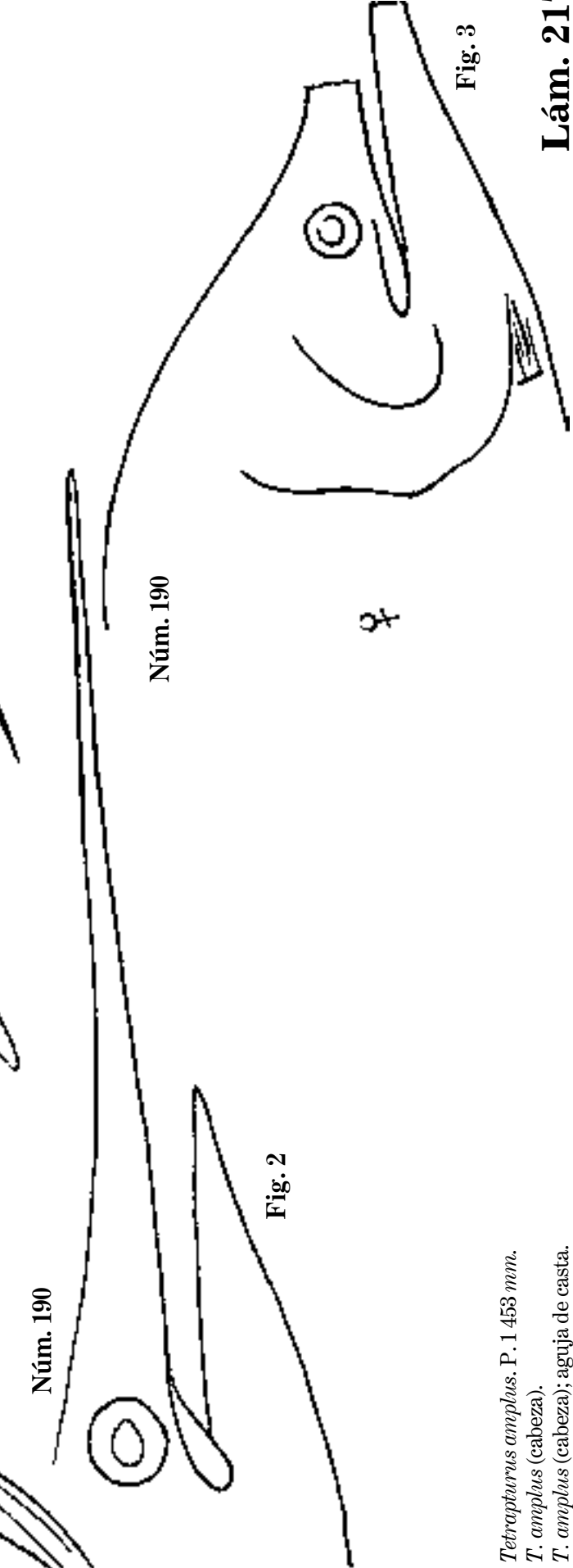


Fig. 2

Núm. 190

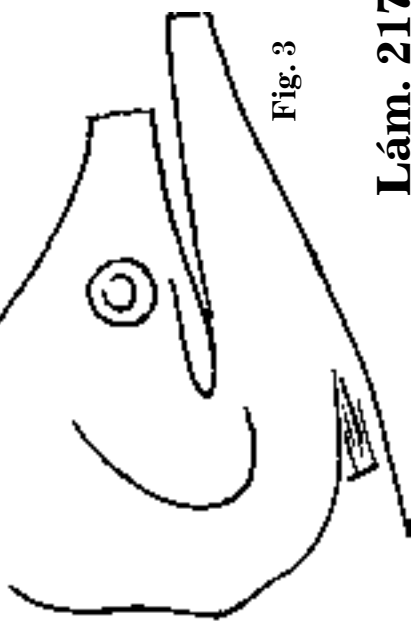


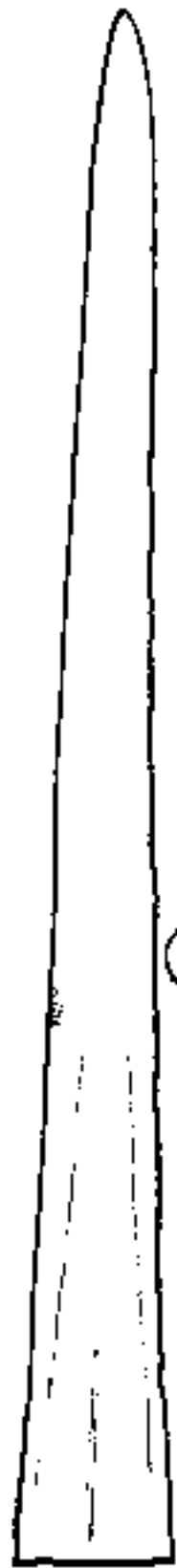
Fig. 3

Núm. 190

Fig. 1 *Tetrapodus amphorus*. P. 1453 mm.
Fig. 2 *T. amphorus* (cabeza).
Fig. 3 *T. amphorus* (cabeza); aguja de casta.

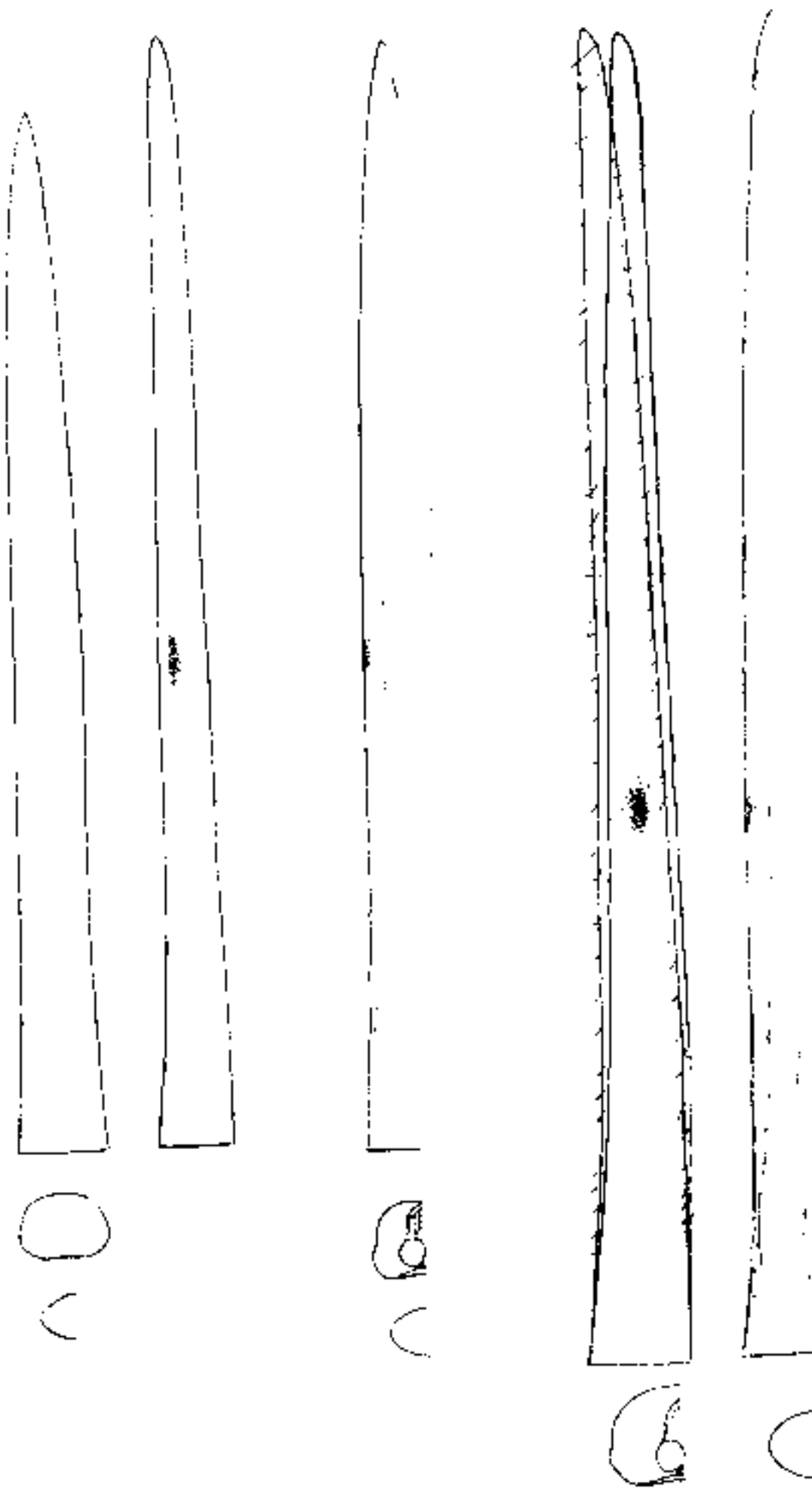
Lám. 217

Núm. 190



Tetrapurus amplus (armas); aguja de casta.

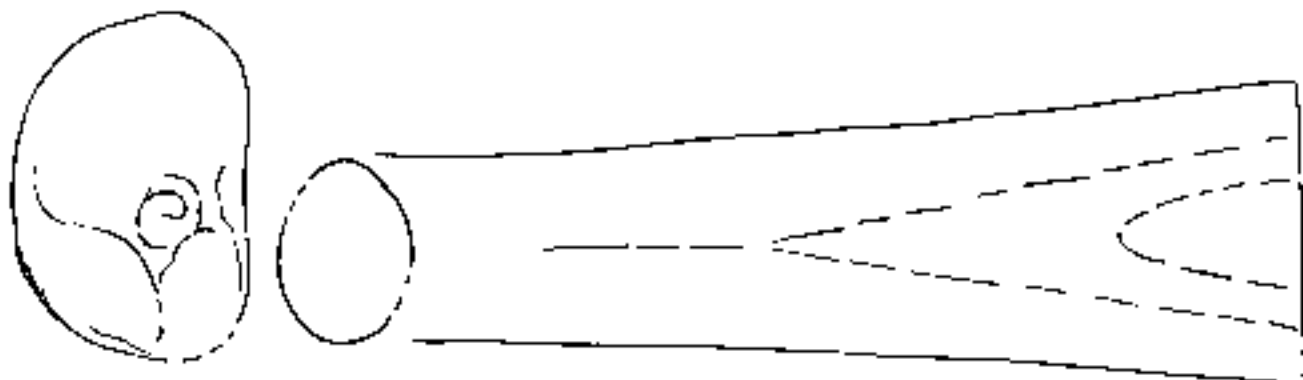
Núm. 190



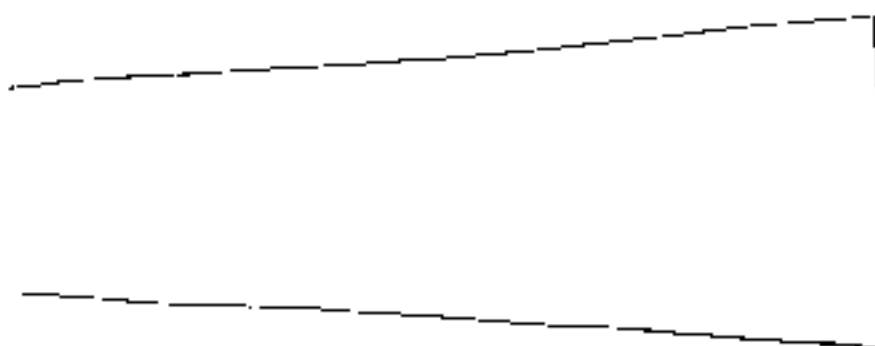
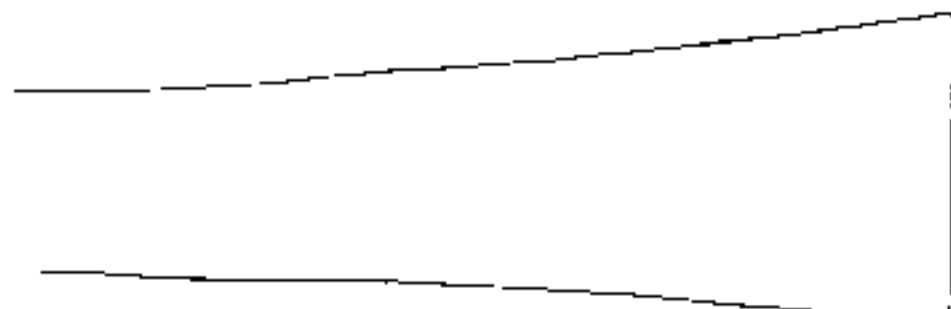
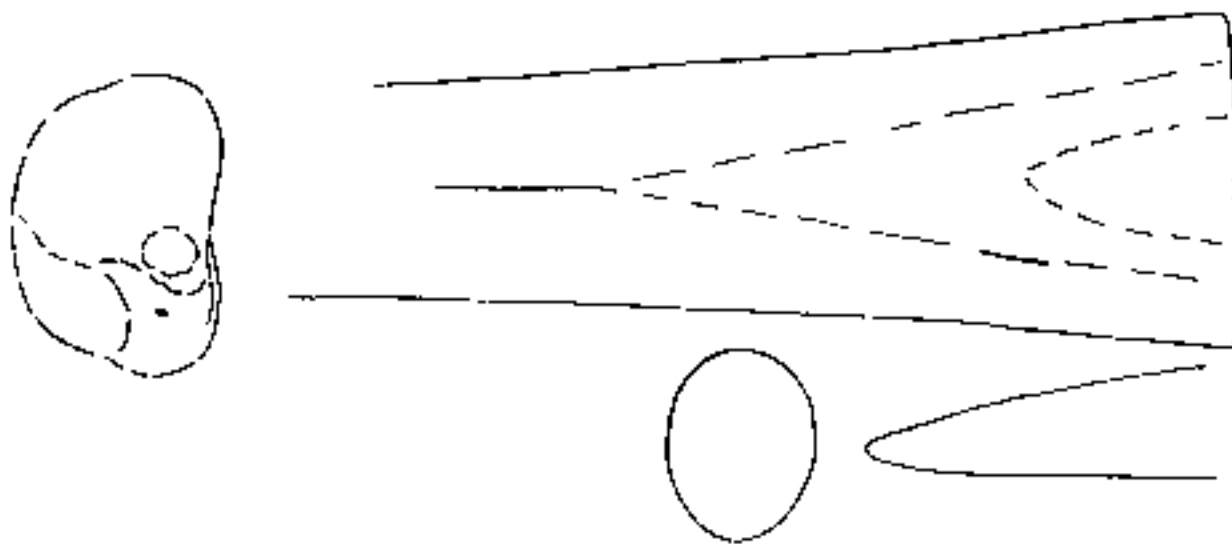
Tetrapurus amplus (armas); aguja de casta.

Lám. 219

Lám. 220

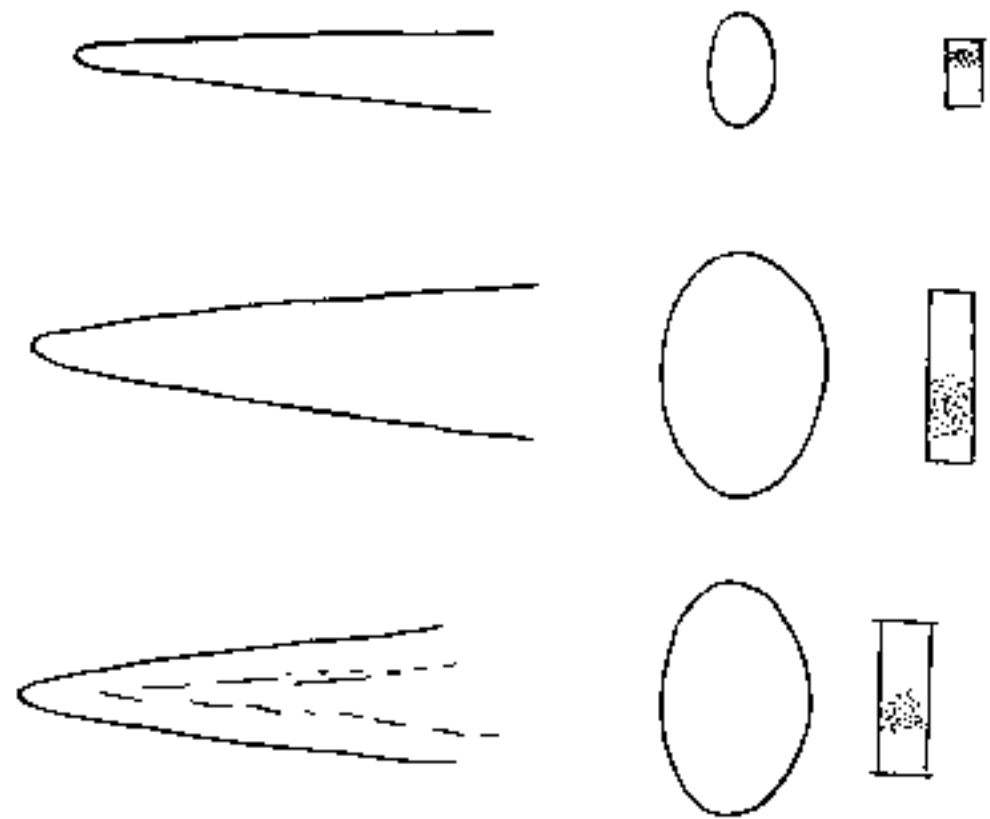
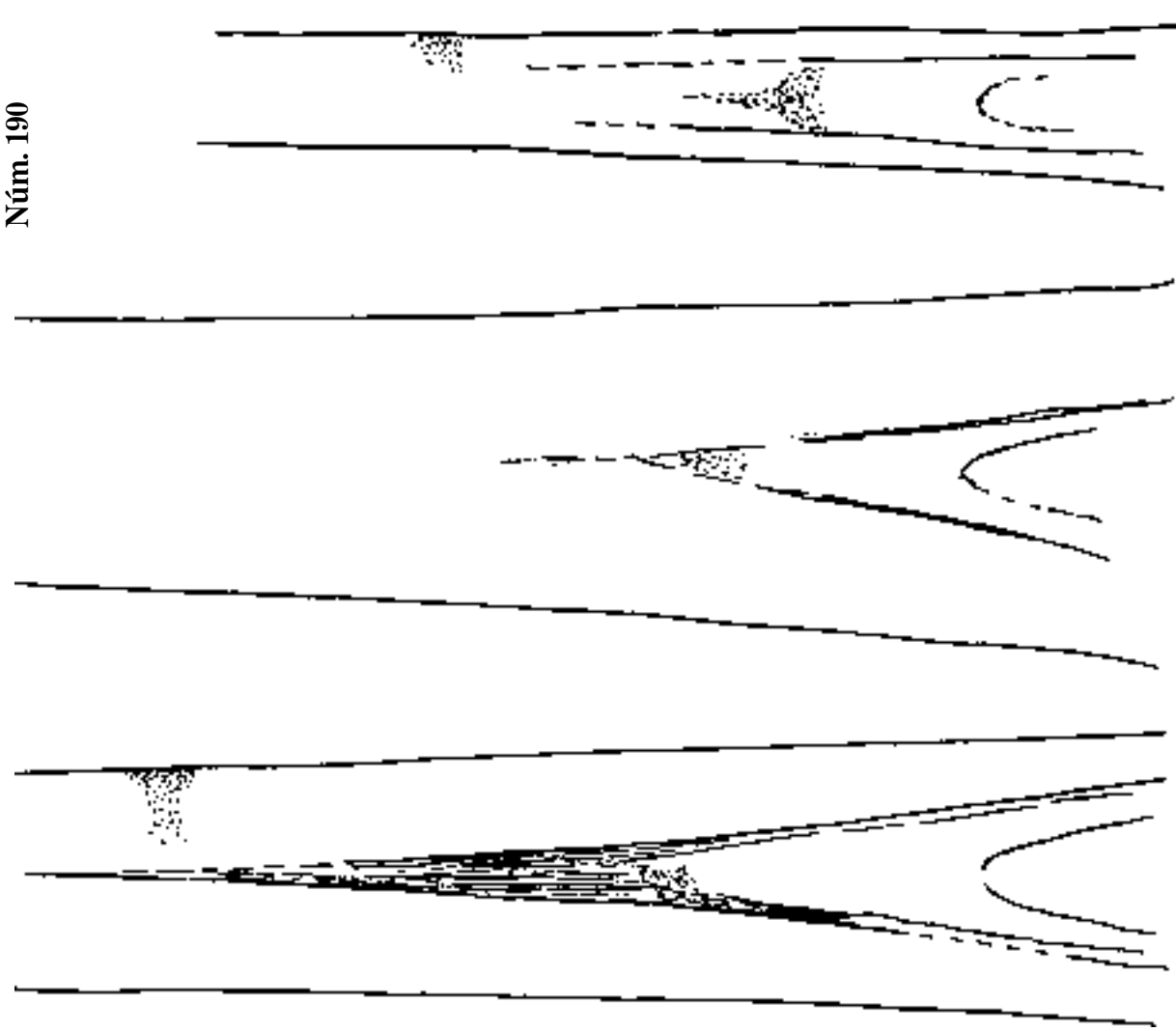


Núm. 190



Tetrapurus amplus (armas); aguja de casta.

Núm. 190

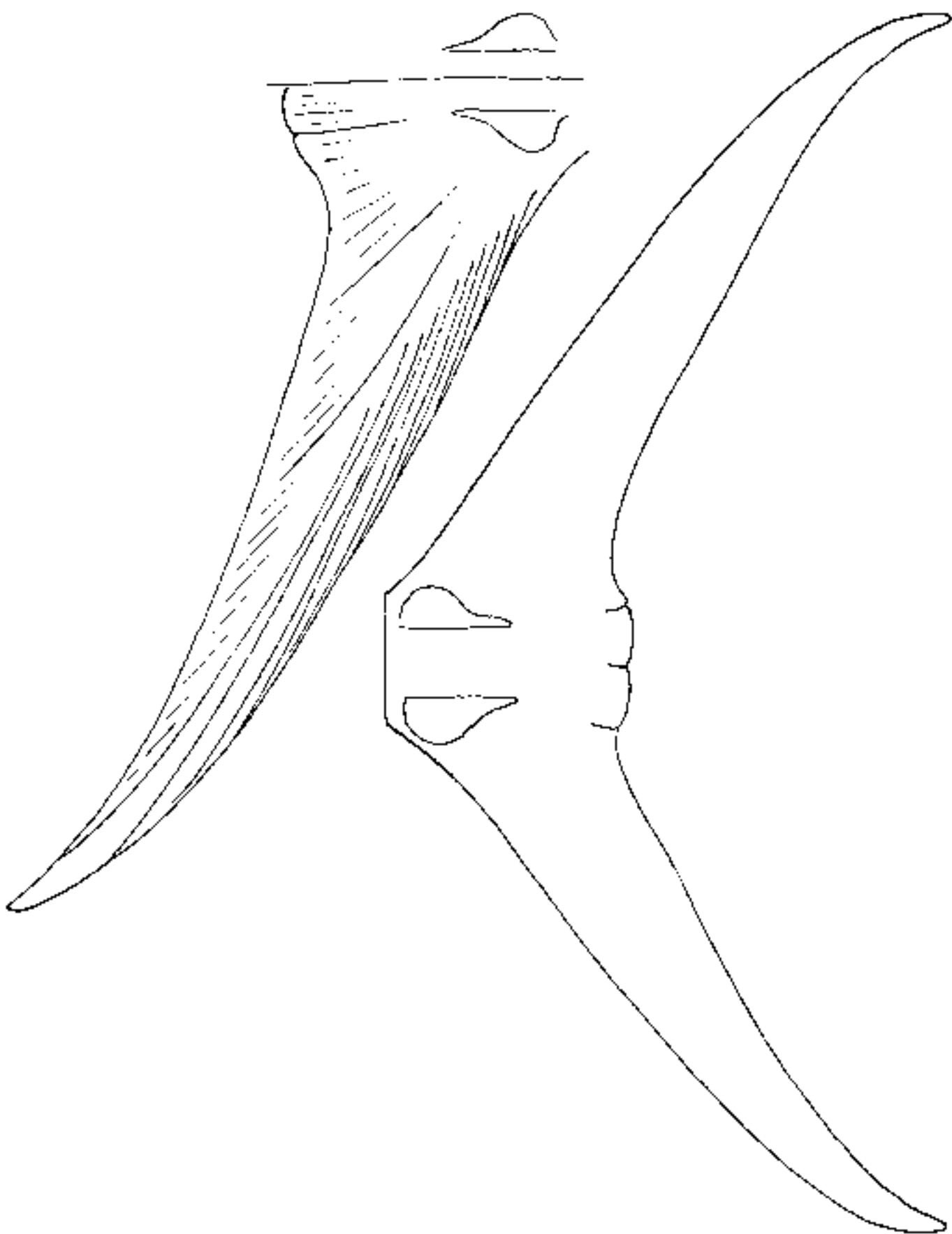


Tetrapurus amplus (arms); aguja de casta.

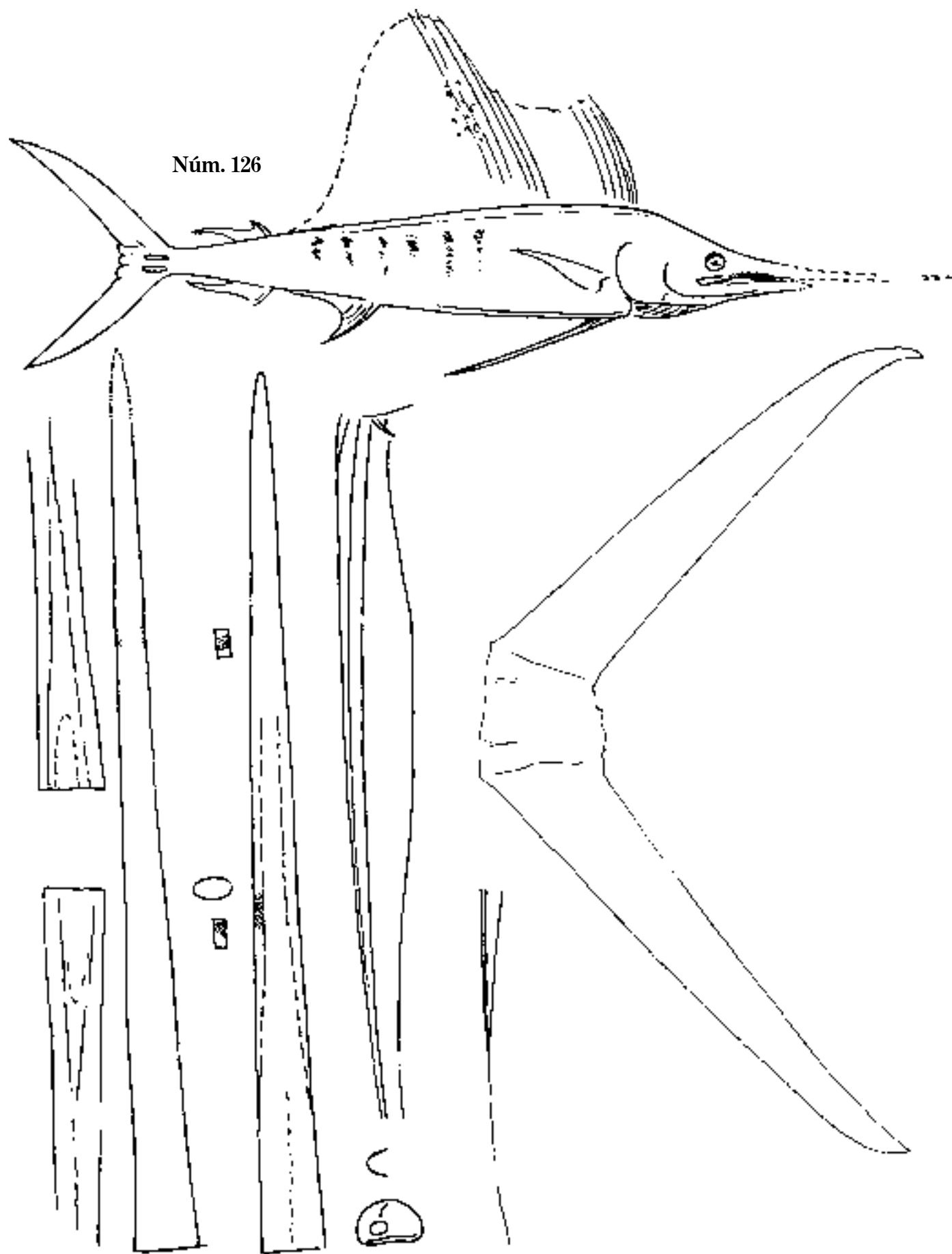
Lám. 221

Lám. 222

Núm. 190



Tetrapurus amplius (caudal); aguja de casta.



Histiophorus americanus, 1870. D. 1.41; D. 2.7; A. 1.11; A. 2.6; aguja voladora.

Lám. 224

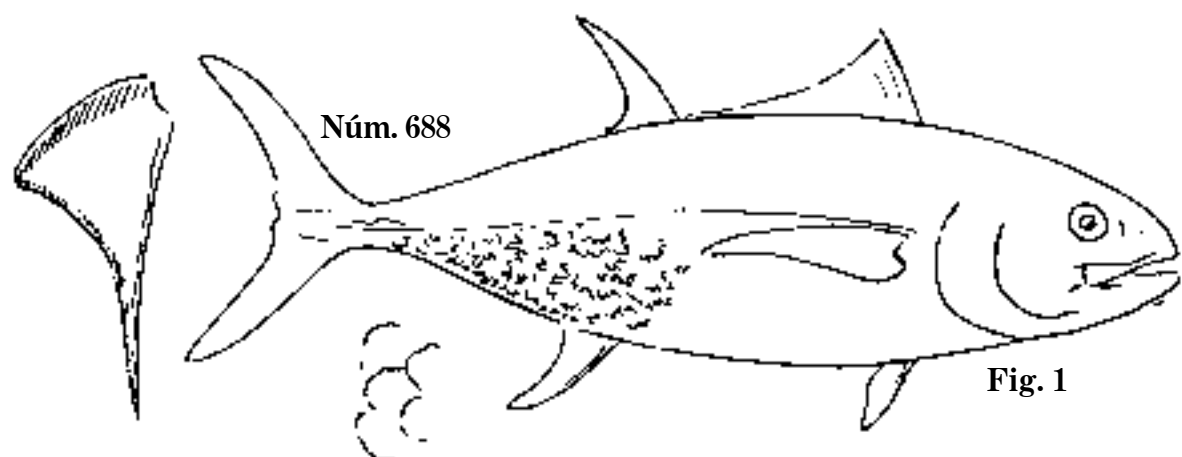


Fig. 1

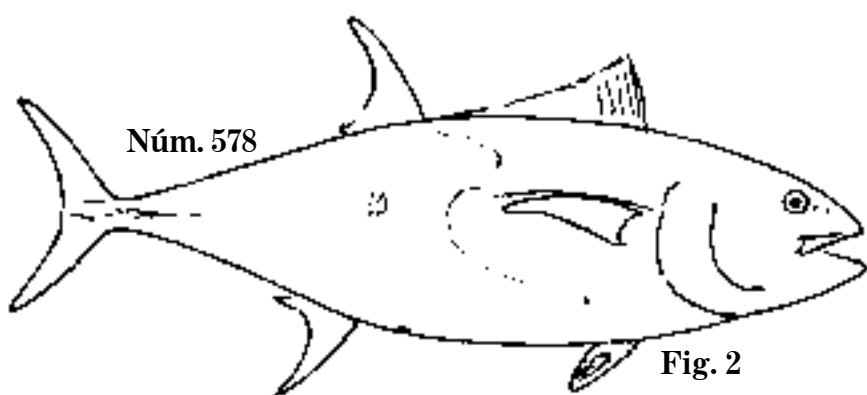


Fig. 2



Fig. 3

Fig. 1 *Orcynus thynnus*, 1859. P. 1 650 mm; D. 13,9; A. 9.

Fig. 2 *O. Secundi-dorsalis*, 1860. P. 2 890 mm.

Fig. 3 *O. Secundi-dorsalis*, 1867. P. 2 300 mm; atún.

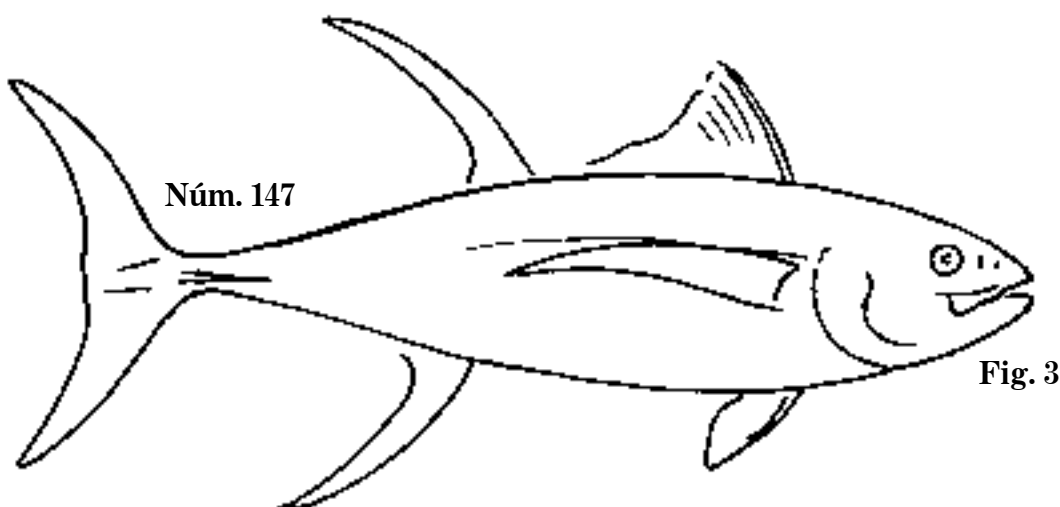
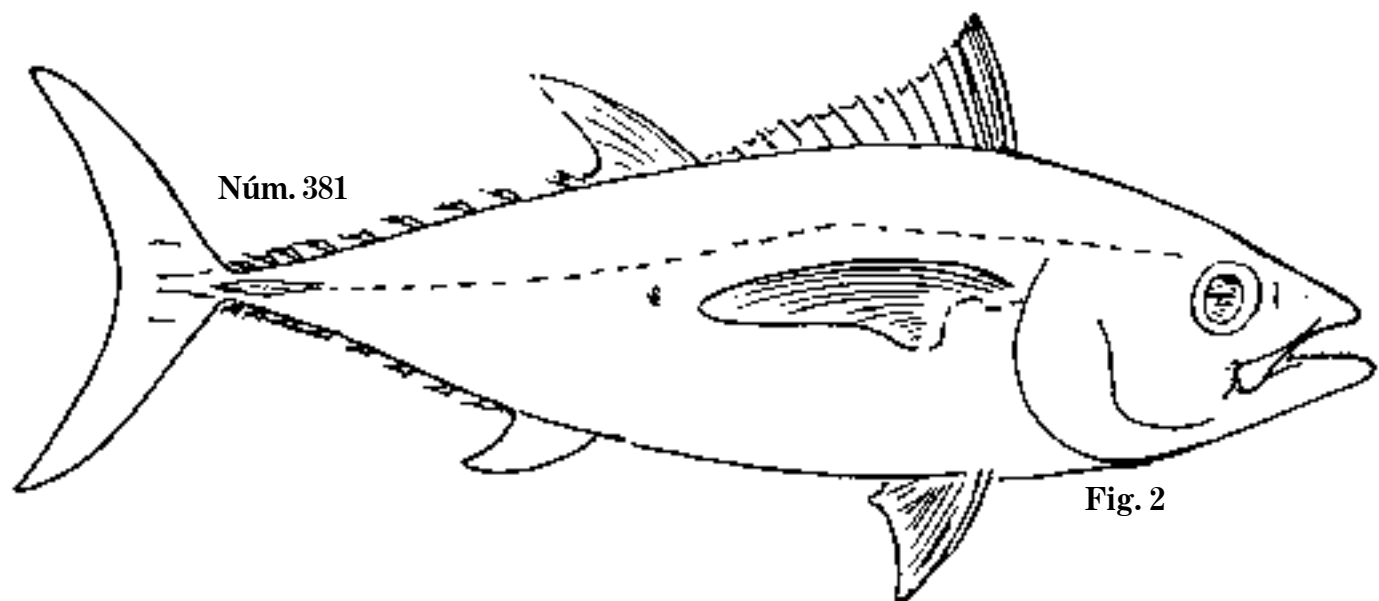
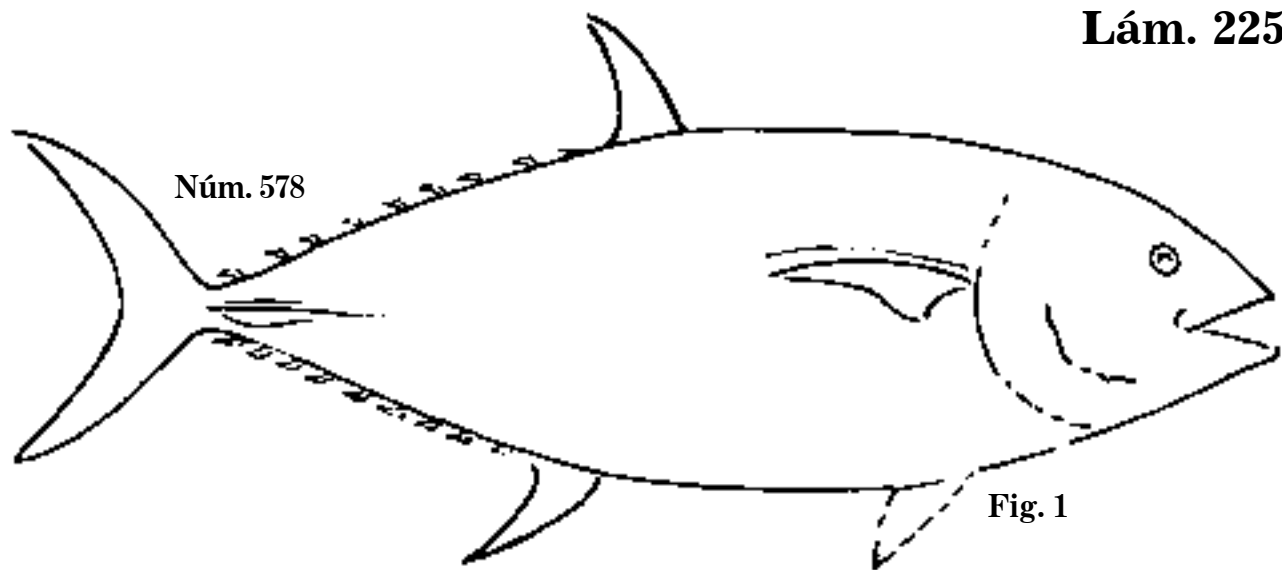


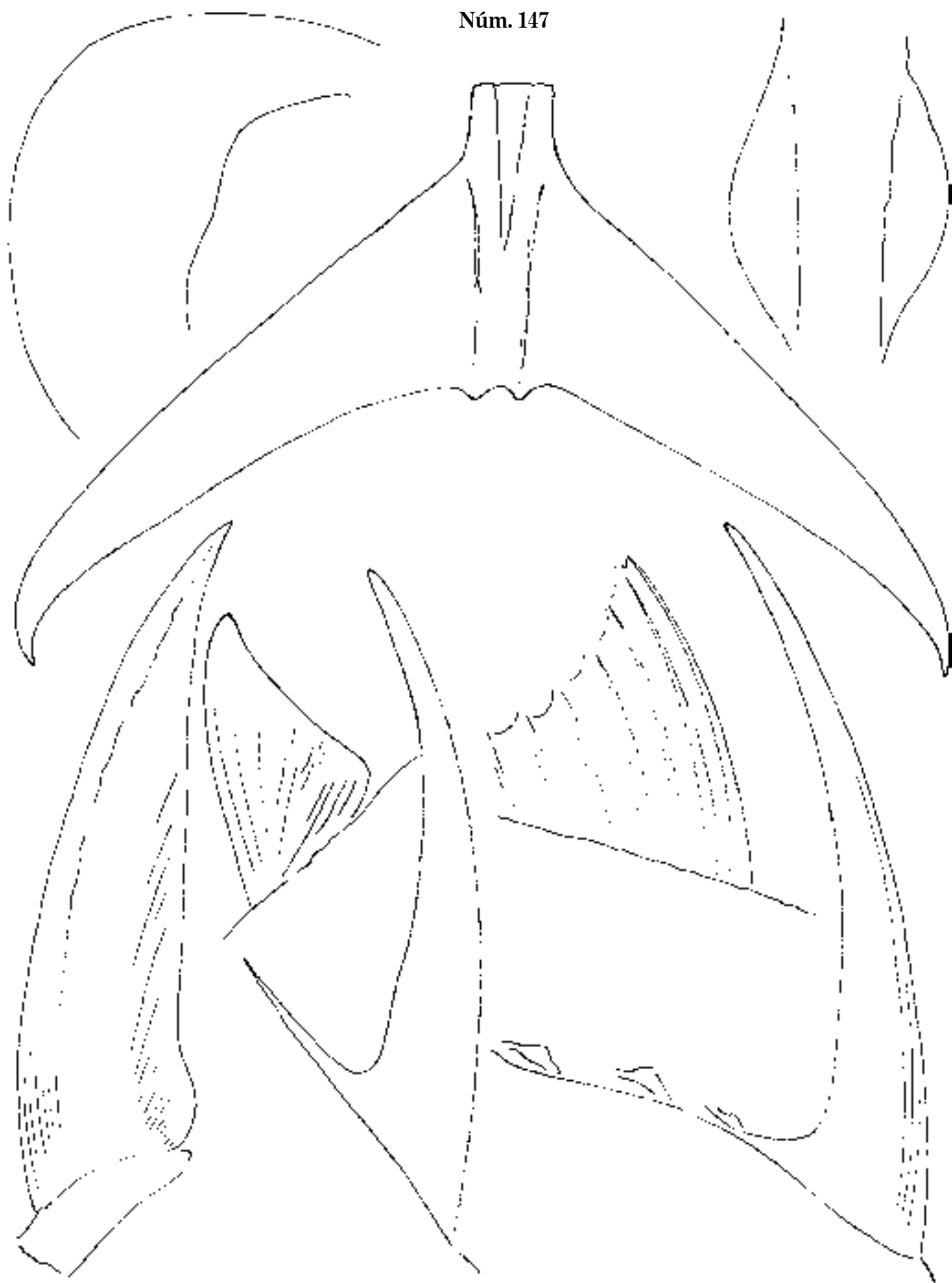
Fig. 1 *Orcynus secundi-dorsalis*, 1874. P. 2508 mm.

Fig. 2 *O. balteatus*, 1851. C. 633 mm; D. 14,10?; A. 10?

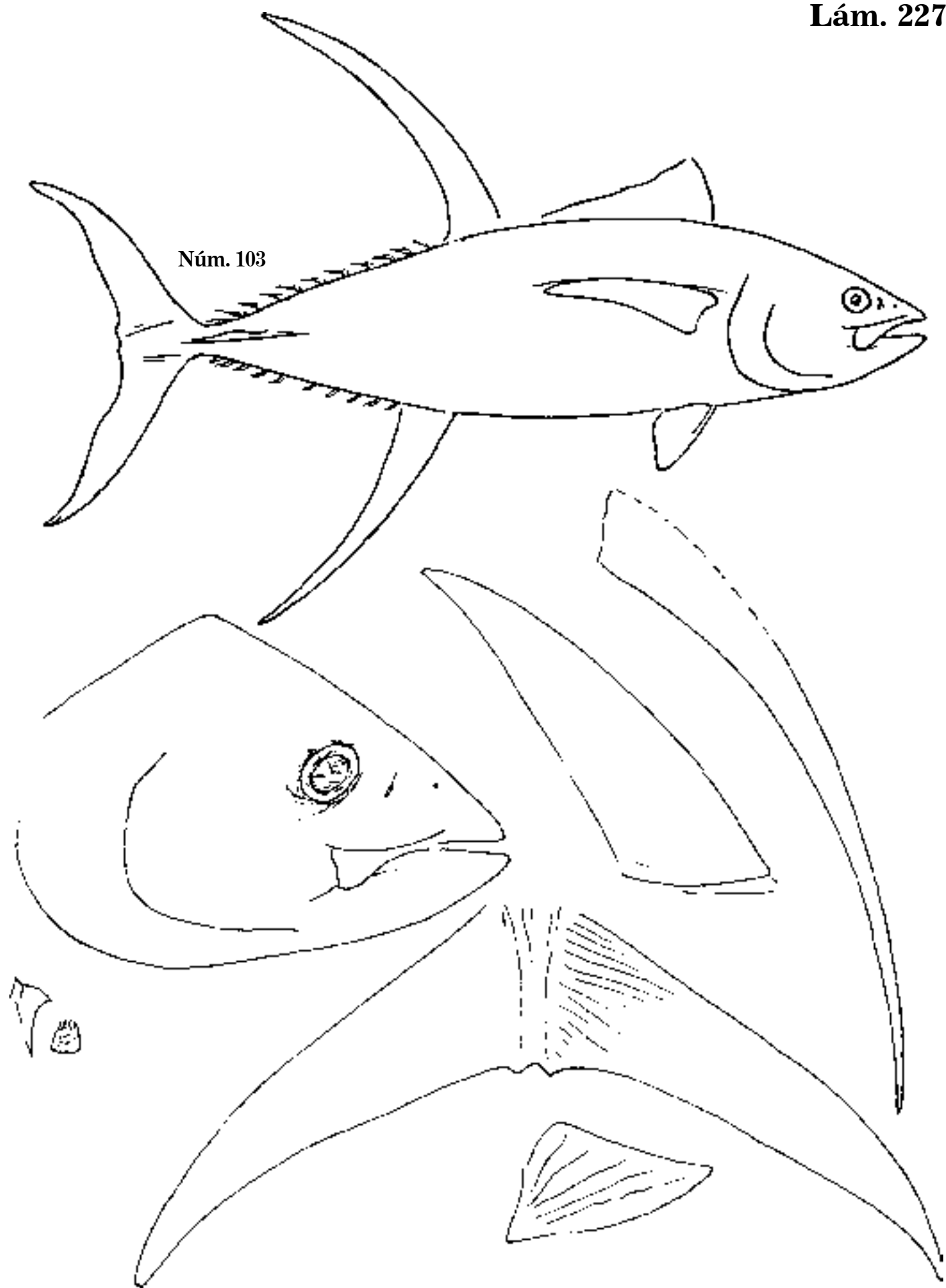
Fig. 3 *O. Albacora*, 1867. P. 1300 mm; atún.

Lám. 226

Núm. 147



Orcynus Albacora (aletas); atún.



Orcynus subulatus, 1867. P. 1 800 mm; atún.

Lám. 228

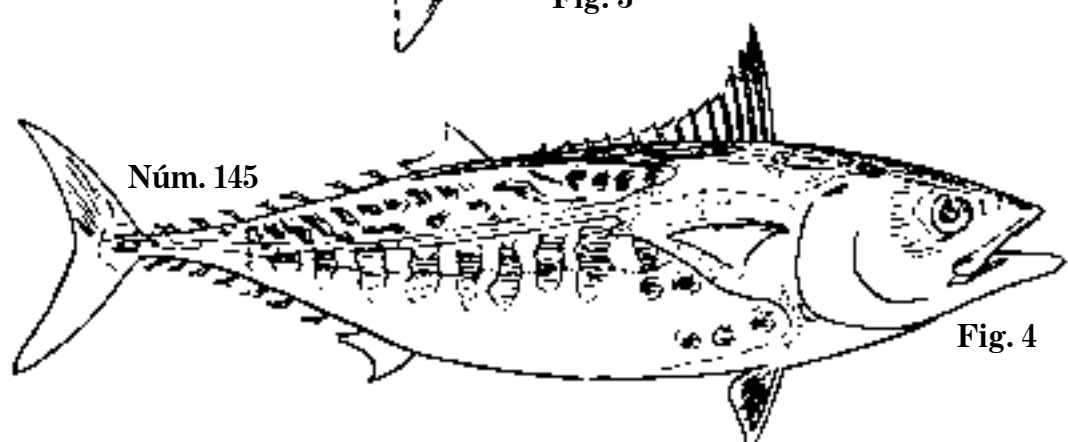
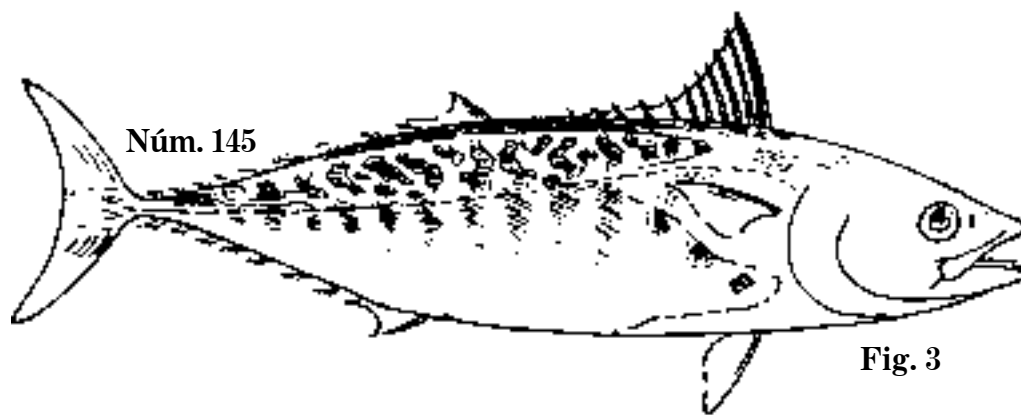
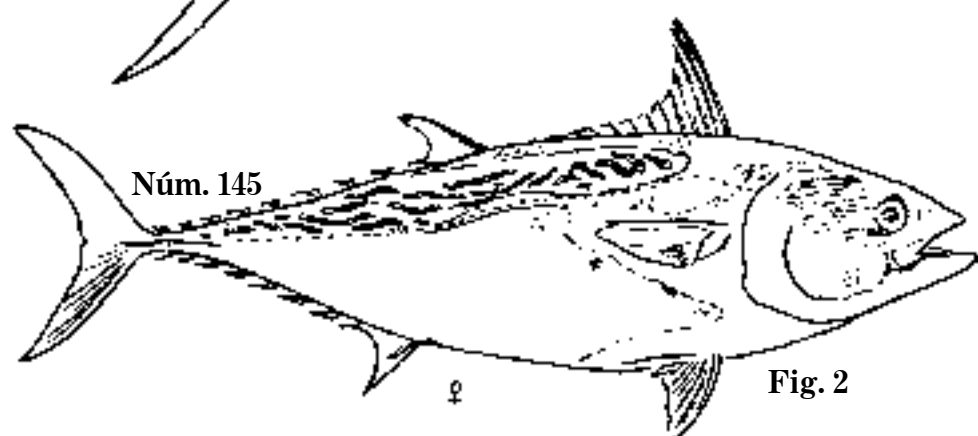
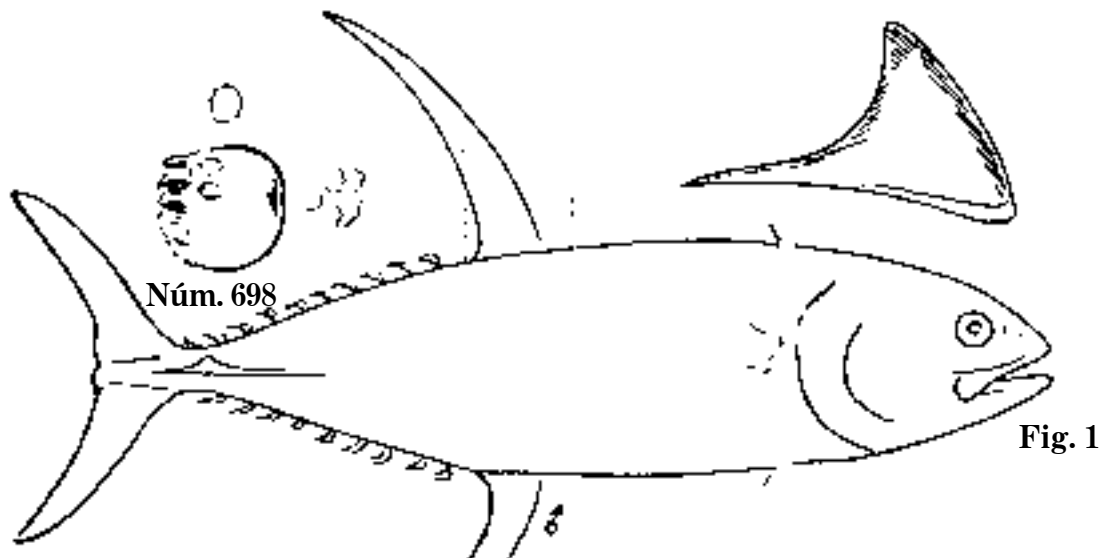


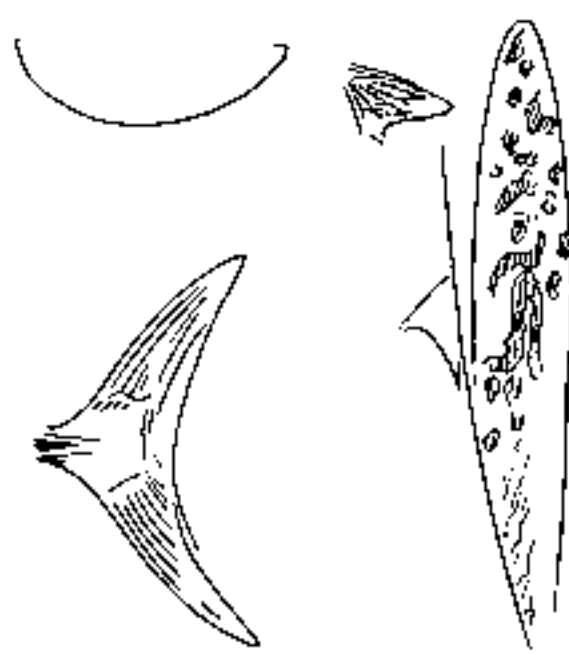
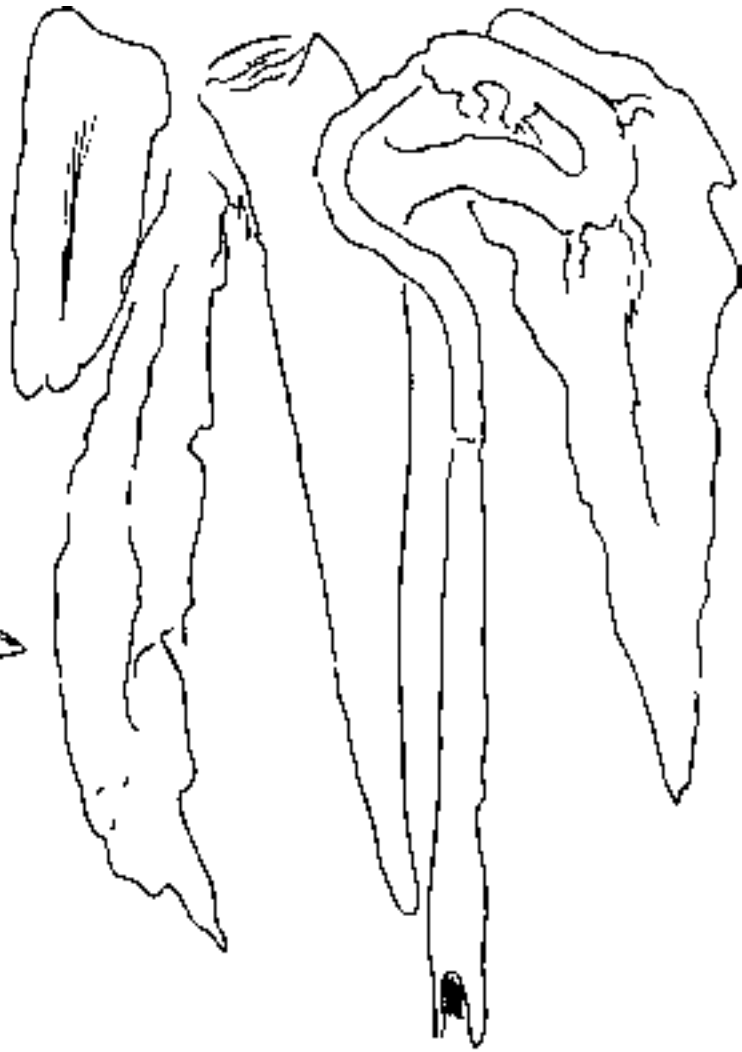
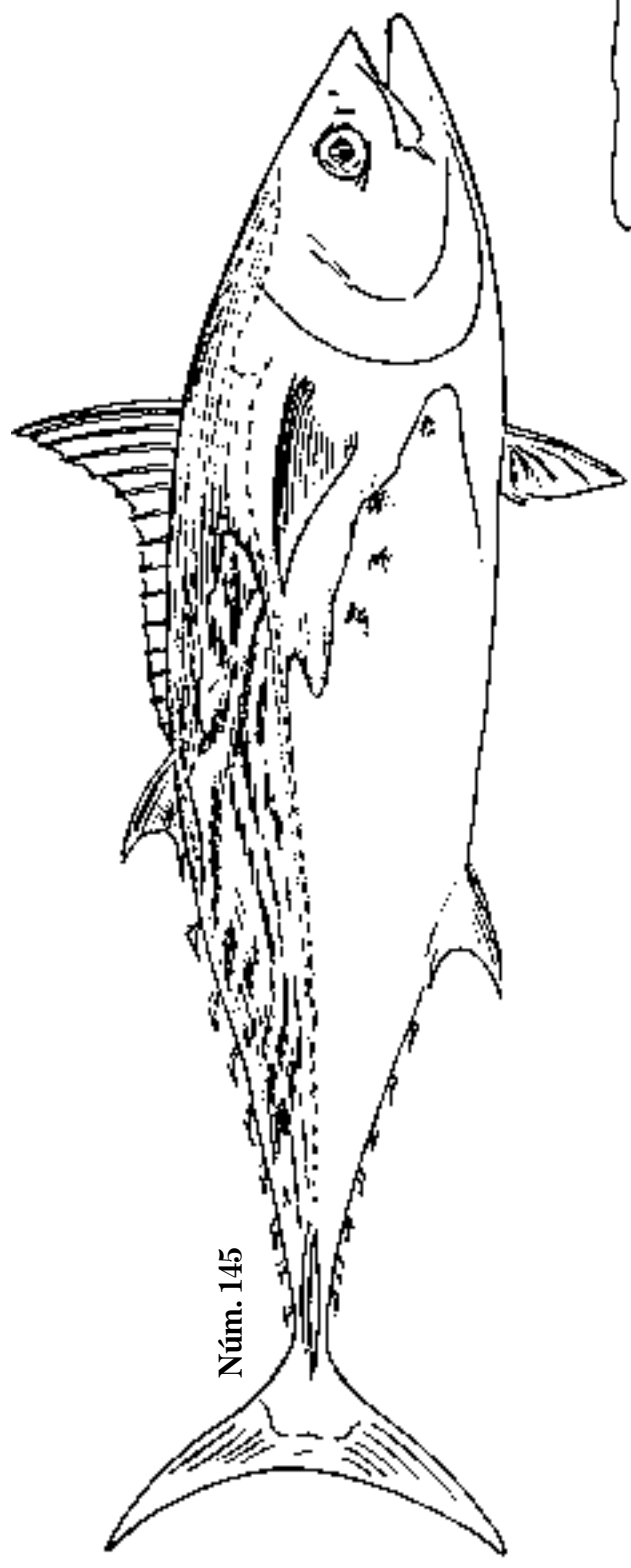
Fig. 1 *Orcynus*, 1859. Atún.

Fig. 2 *O. alliteratus*, 1860. C. 613 mm; D. 14,3,10; A. 3,11.

Fig. 3 *O. alliteratus*, 1864. C. 269 mm; D. 12, ?; A.?

Fig. 4 *O. alliteratus*, 1859. C. 278 mm; D. 15,1,11; A. 2,13; tonina.

Orcynus allitteratus. C. 499 mm; D. 143,10; A. 3,10; tonina.



Lám. 230

Núm. 177

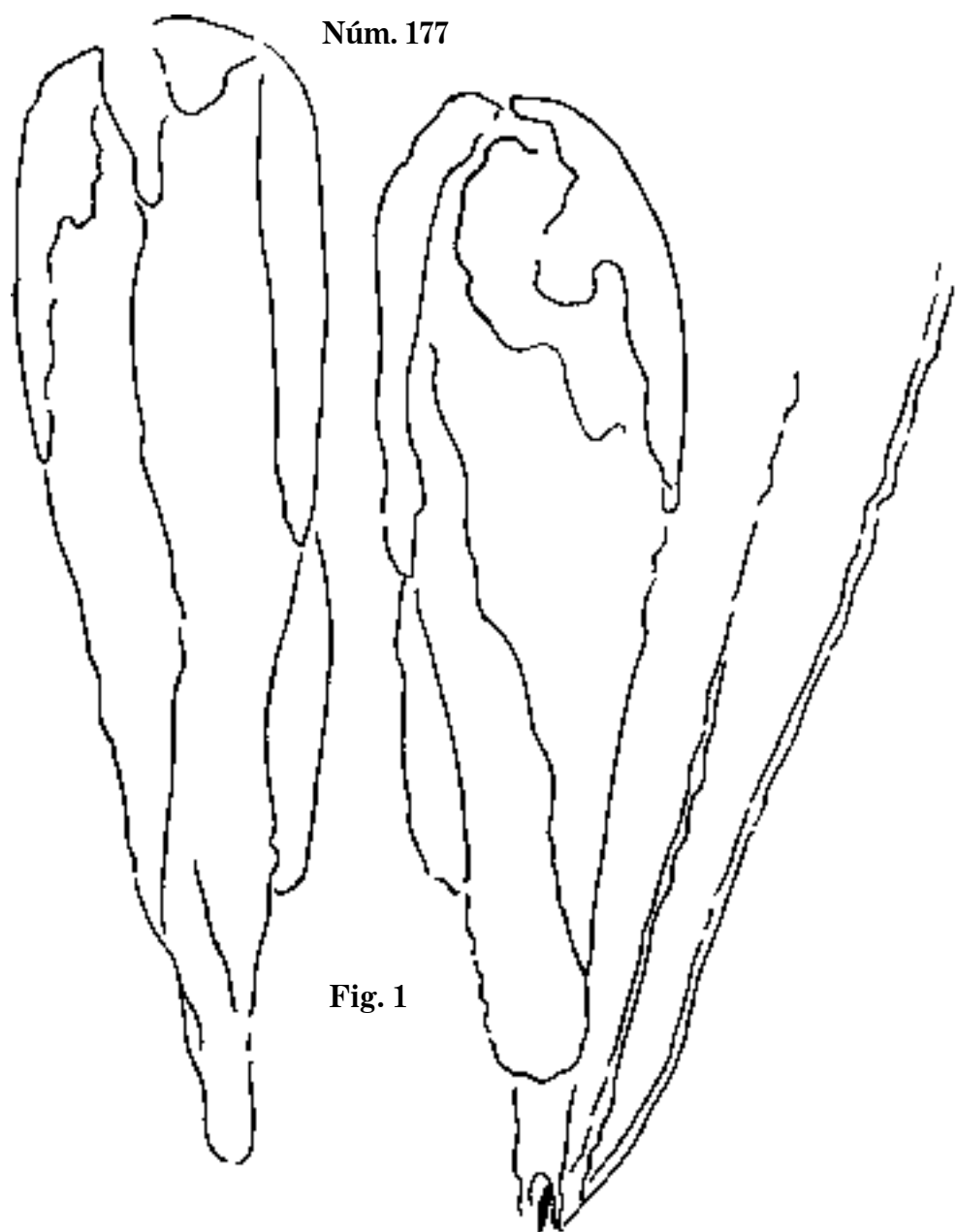
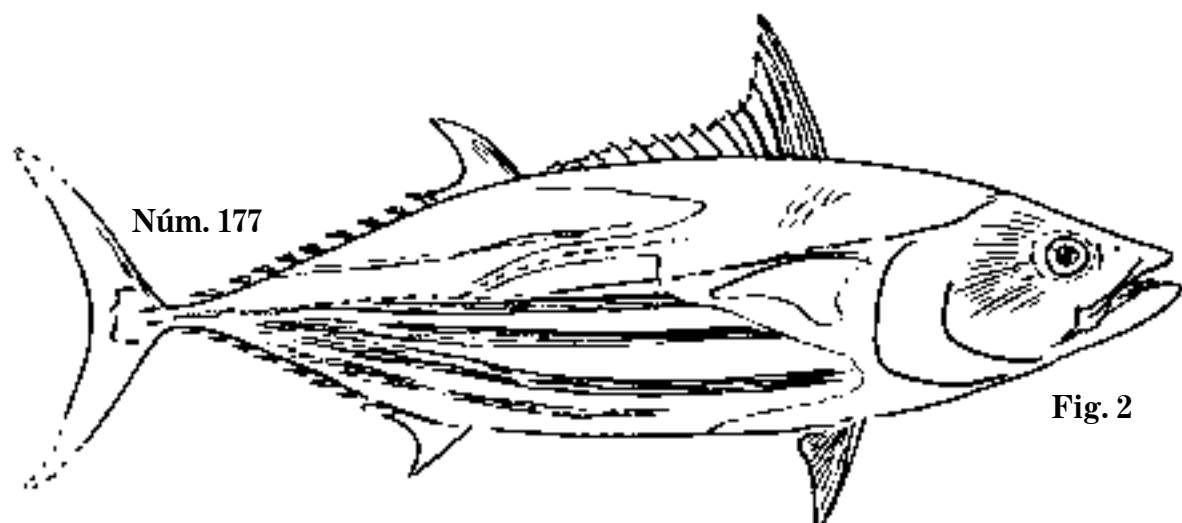


Fig. 1



Núm. 177

Fig. 2

Fig. 1 *Orcynus Pelamys*. Órganos.

Fig. 2 *O. Pelamys*, 1864. C. 620 mm; D. 15,12; A. 12,? S.N.C.

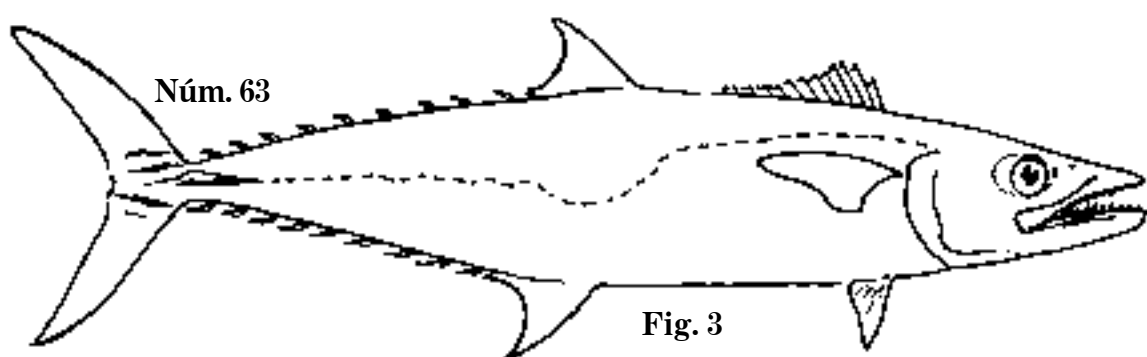
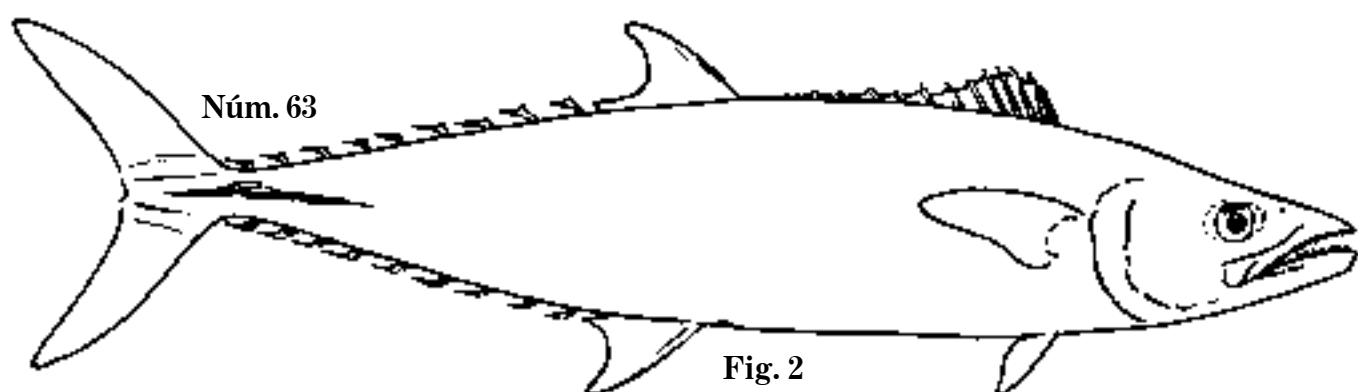
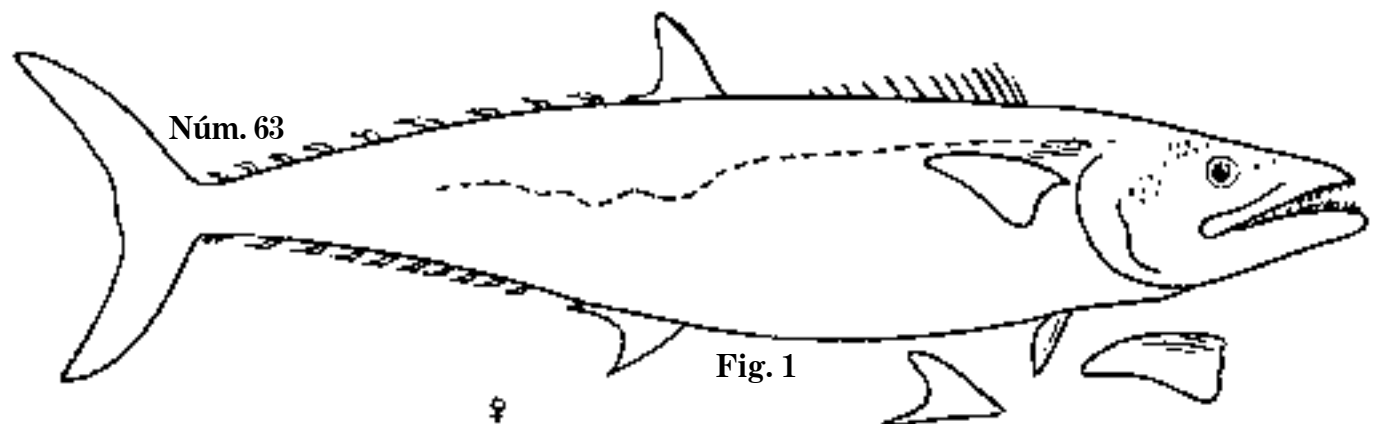


Fig. 1 *Cybium Caballa*. C. 1 400 mm; D. 13,1,17?; A. 17?

Fig. 2 *C. Caballa*, 1860. C. 1 065 mm; D. 14, ?; A.?

Fig. 3 *C. Caballa*, 1861. C. 905 mm; D. 13,16?; A. 17?; sierra.

Lám. 232

Núm. 63

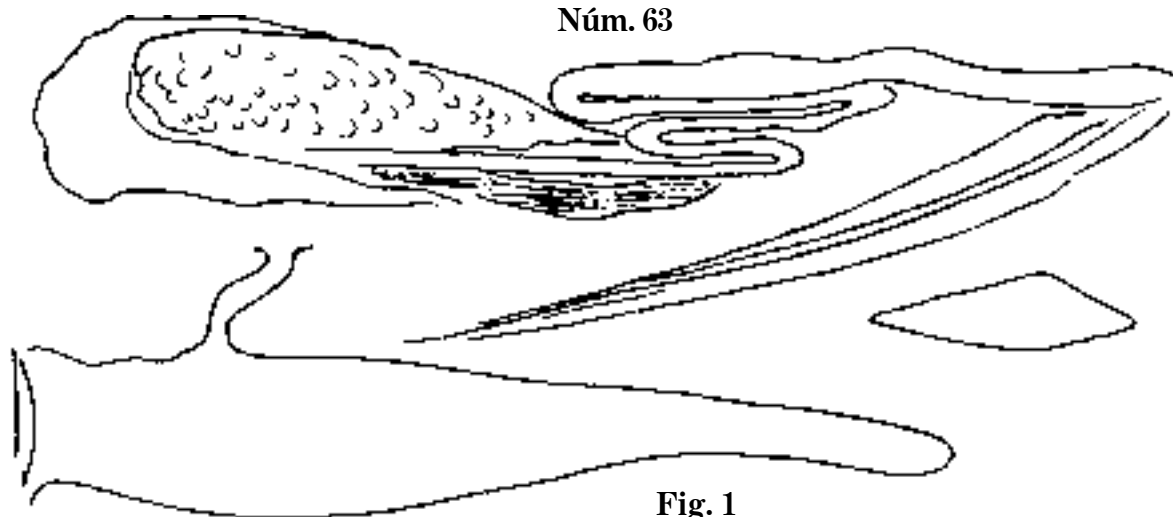


Fig. 1

Núm. 63

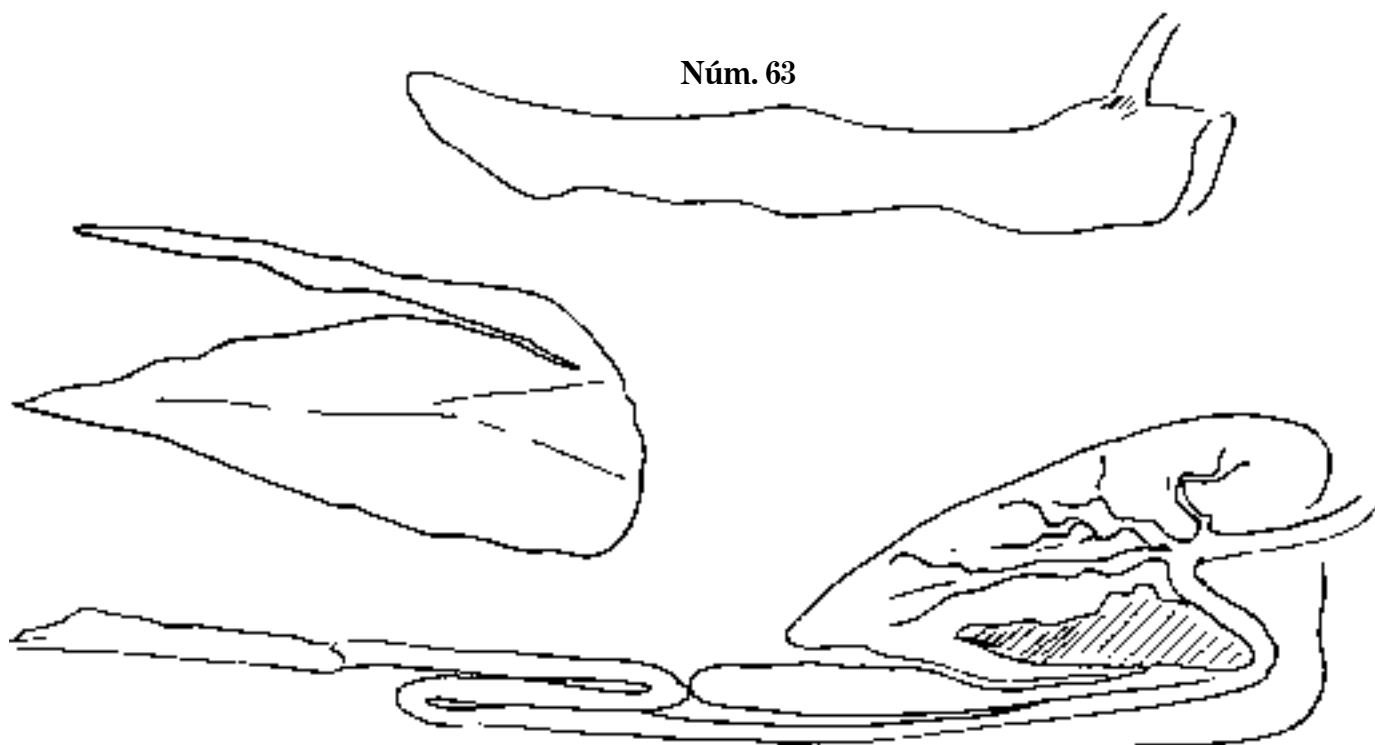


Fig. 2

Núm. 75

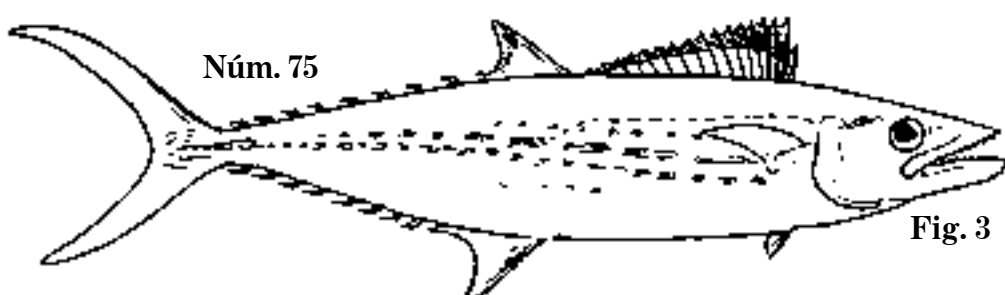


Fig. 3

Fig. 1 *Cybium Caballa*. Órganos.

Fig. 2 *C. Caballa*. Órganos; sierra.

Fig. 3 *C. regale*, 1869. C. 449 mm; D. 17,18; A. 18; pintada.

Núm. 75

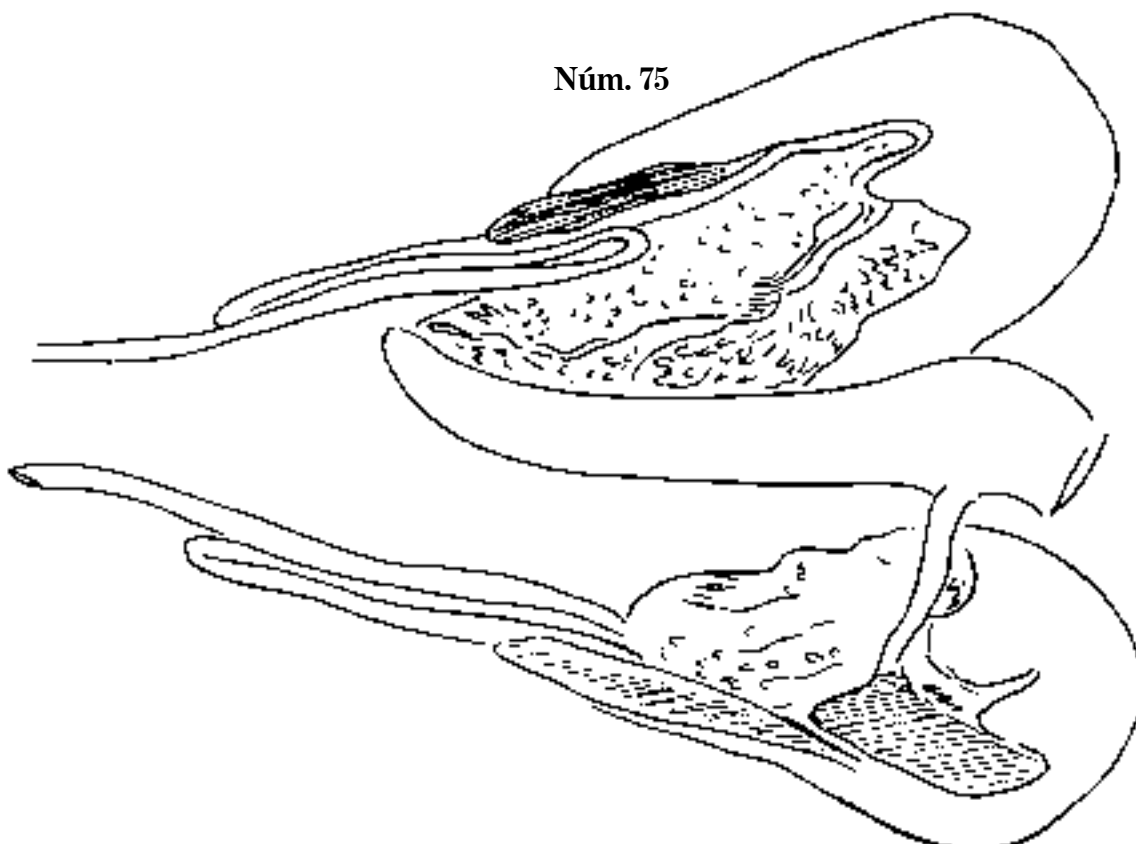


Fig. 1

Núm. 75

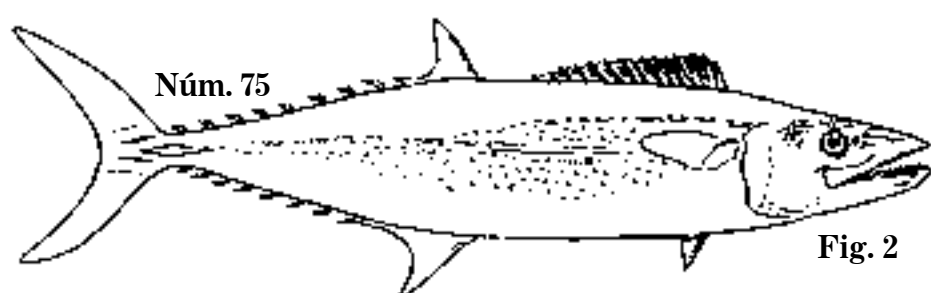


Fig. 2

Núm. 75

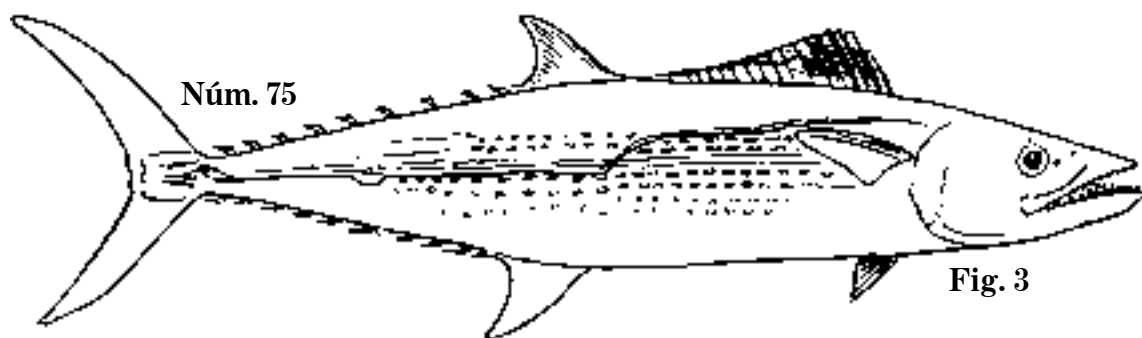


Fig. 3

Núm. 75

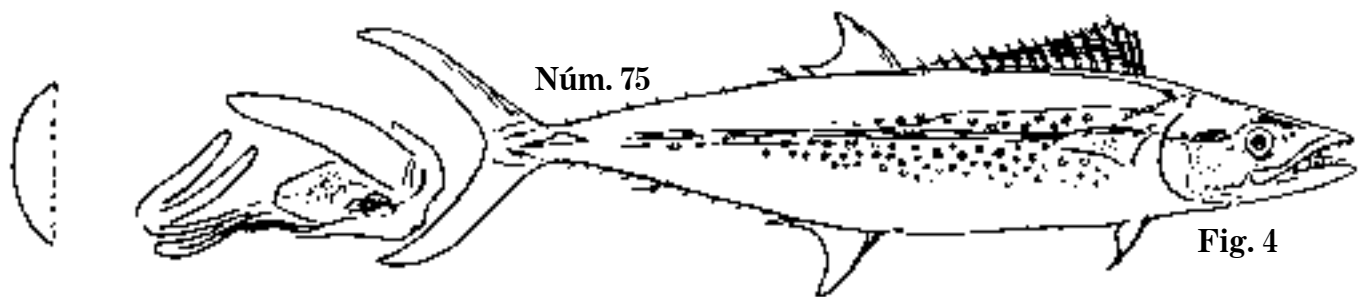


Fig. 4

Fig. 1 *Cybium regale*. Órganos.

Fig. 2 *C. regale*, 1871. C. 886 mm.

Fig. 3 *C. regale*, 1869. C. 744 mm; D. 17,16; A. 15.

Fig. 4 *C. regale*, 1855. C. 643 mm; D. 18,3,12; A. 3,13; pintada.

Lám. 234

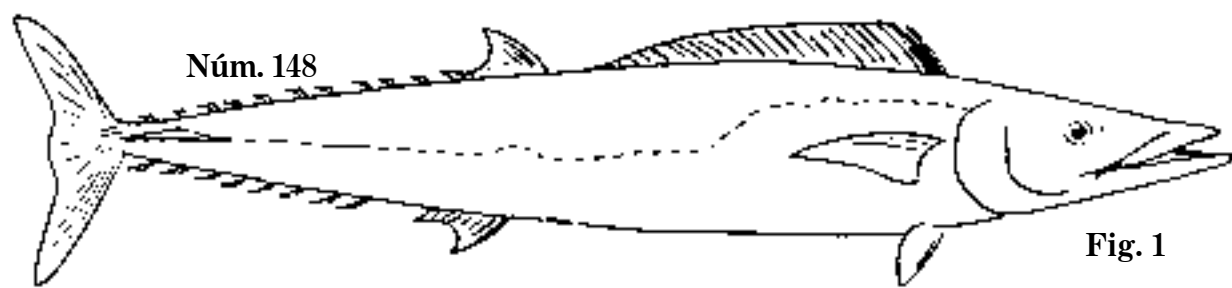


Fig. 1



Fig. 2

Núm. 148



Fig. 3

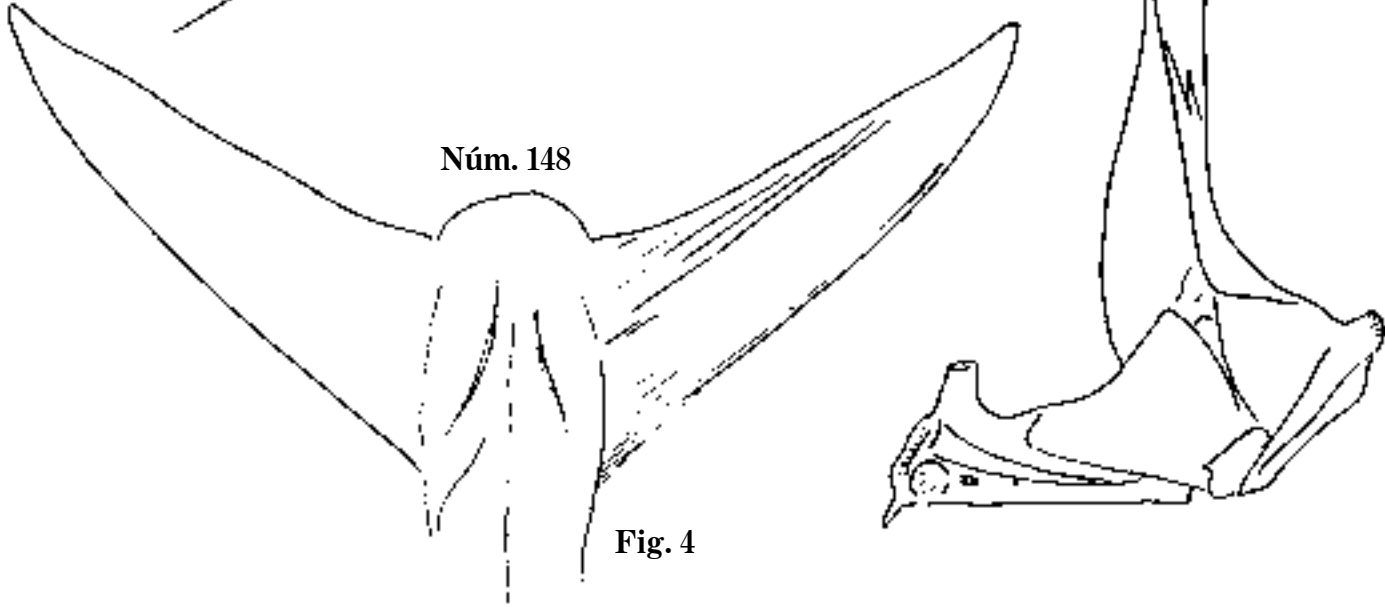


Fig. 4

Fig. 1 *Acanthocybium Petus*, 1861. C. 1 592 mm; D. 25,12?; A. 12?

Fig. 2 *A. Petus*; 1865. C. 1 161 mm.

Fig. 3 *A. Petus* (cabeza).

Fig. 4 *A. Petus* (caudal), peto.

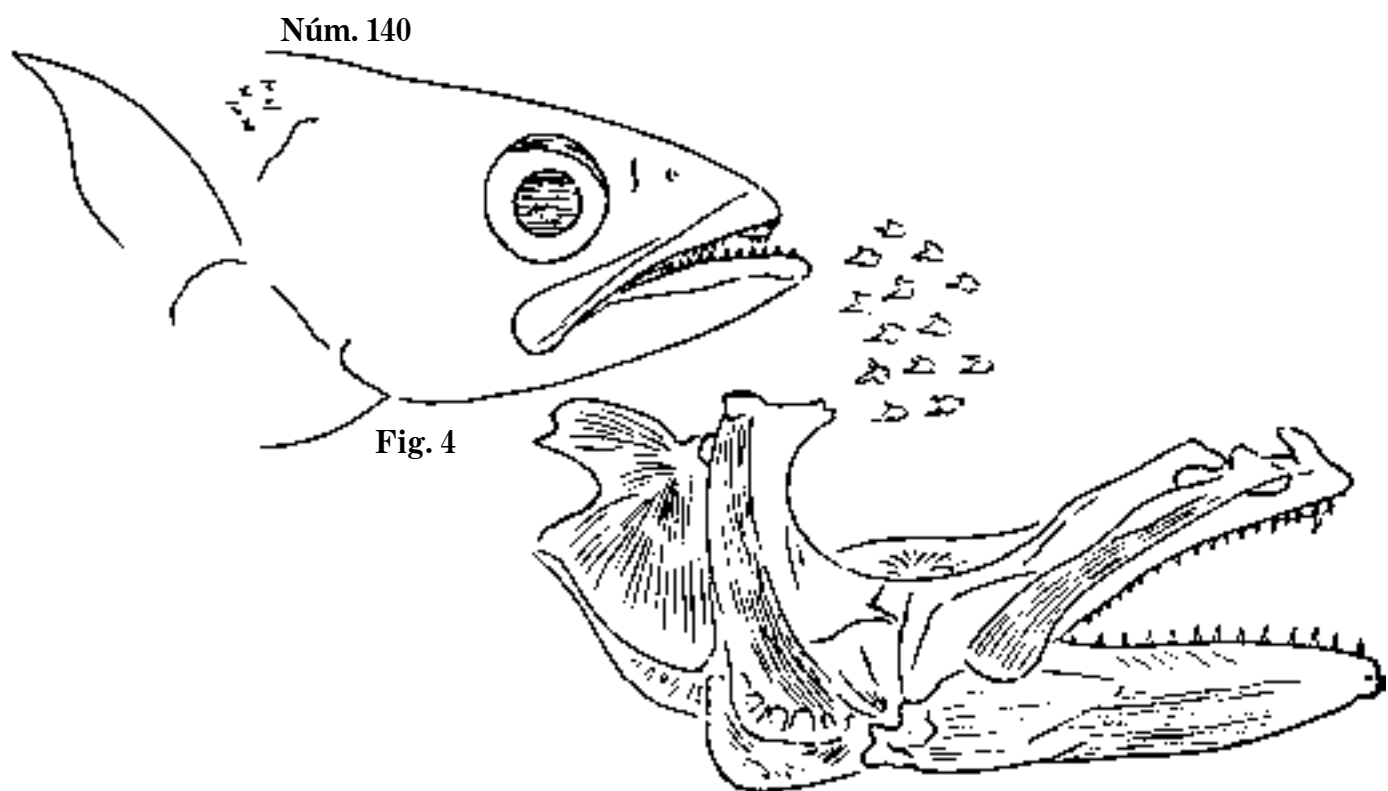
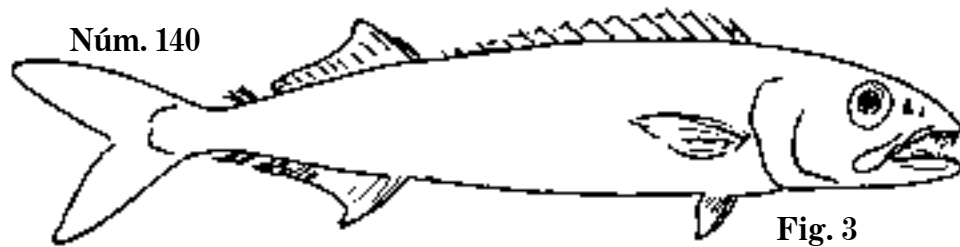
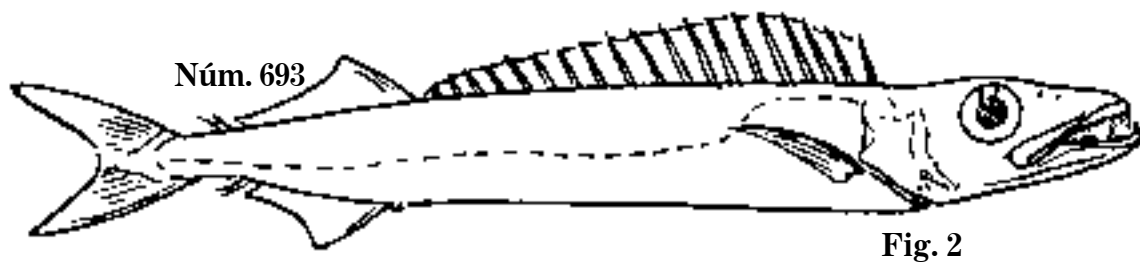
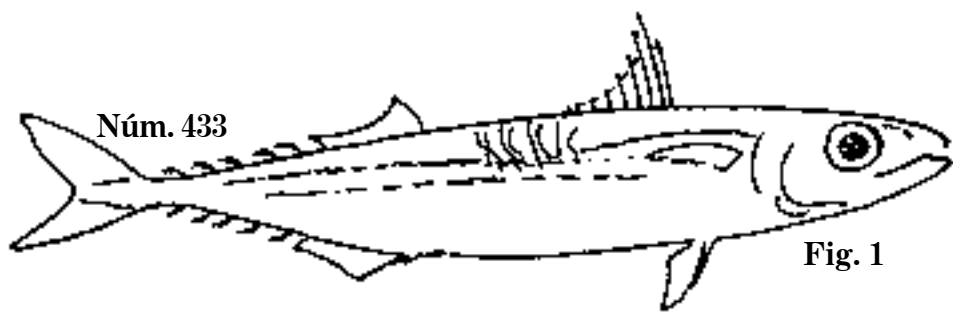


Fig. 1 *Scomber pneumatophorus*. C. 125 mm; D. 9,12; A. 1,12; caballa.
 Fig. 2 *Prometheus atlanticus*, 1862. C. 302 mm; D. 19,20; A. 2,17; S.N.C.
 Fig. 3 *Ruvettus pretiosus*. C. 763 mm; D. 14,18; A. 17.
 Fig. 4 *R. pretiosus* (cabeza); escolar.

Lám. 236

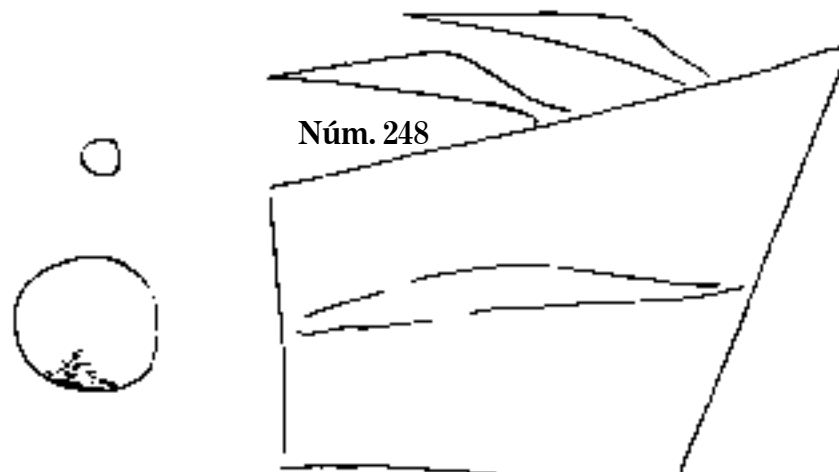


Fig. 1

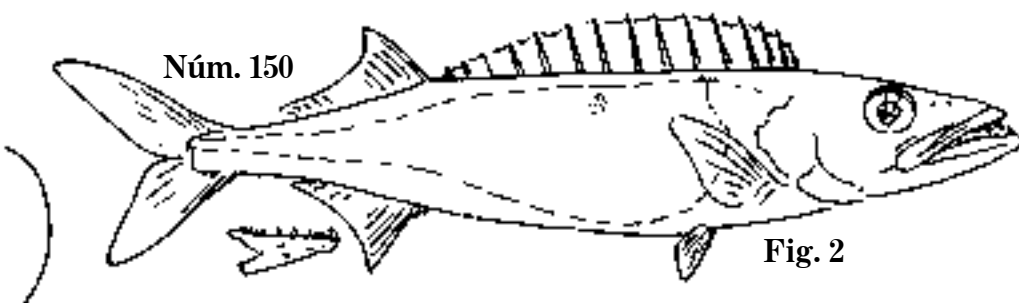


Fig. 2

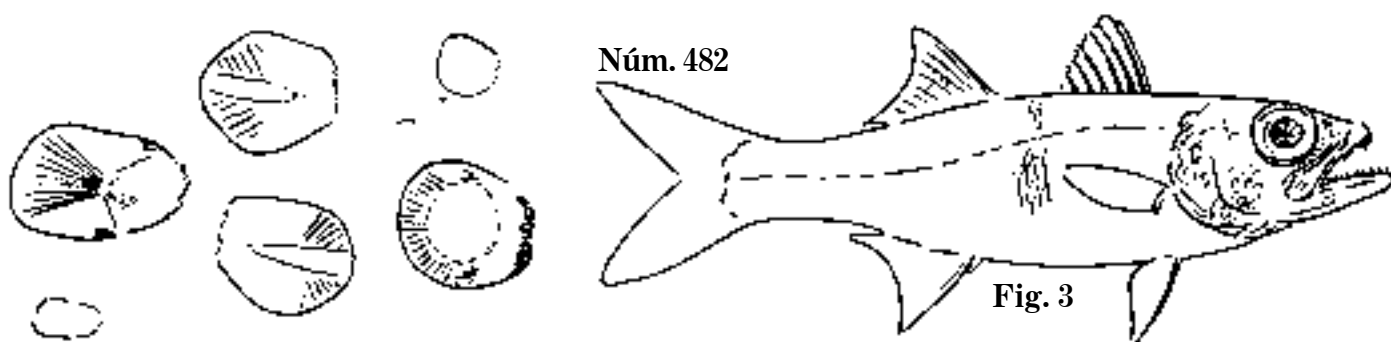


Fig. 3

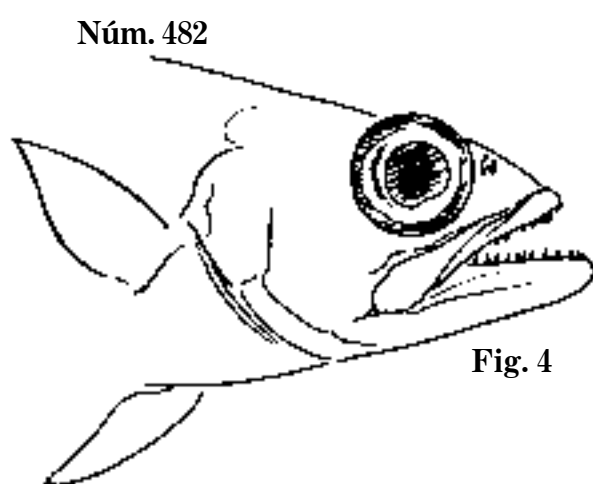


Fig. 4

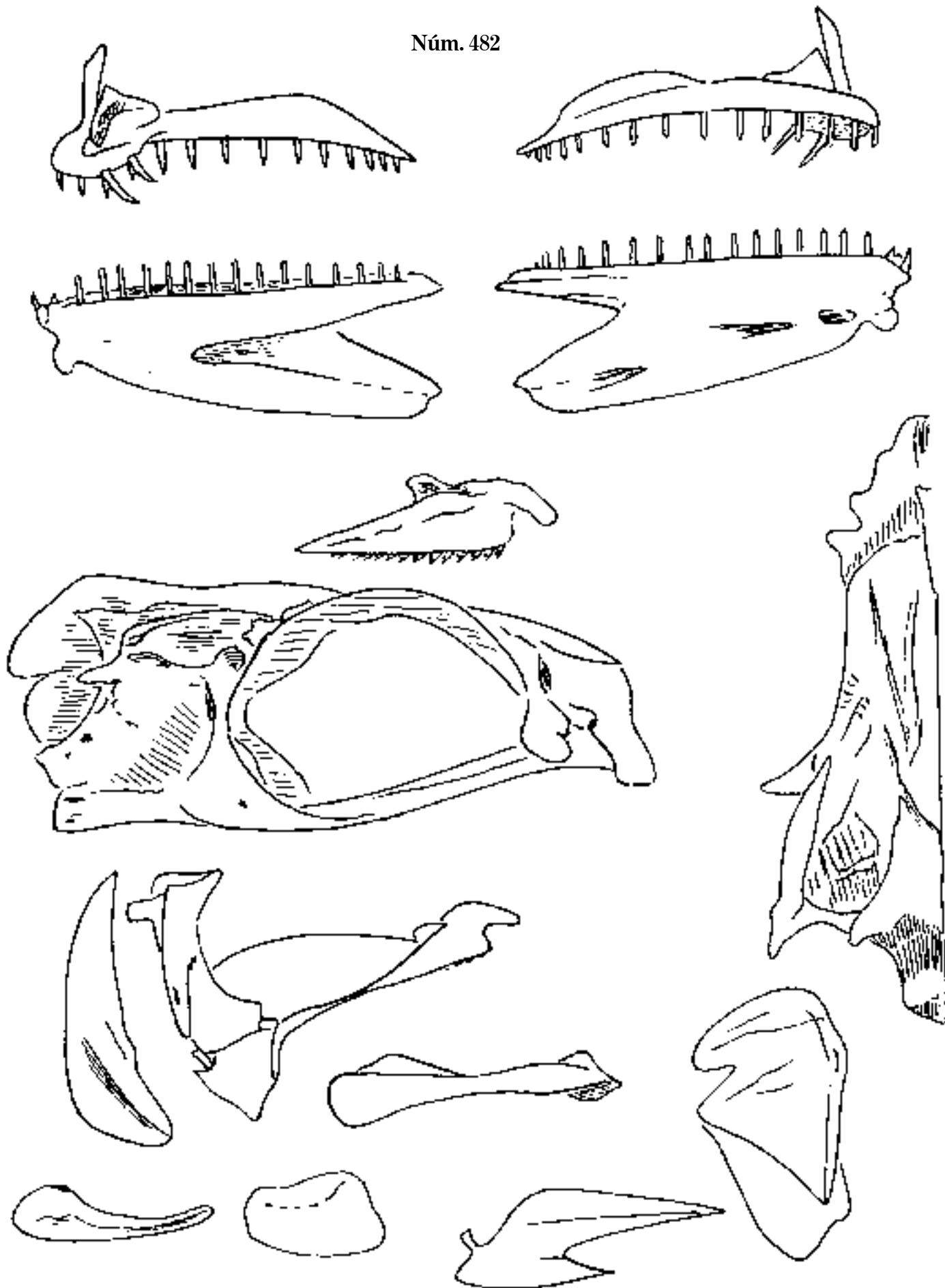
Fig. 1 *Thryrsites? niger*, 1865.

Fig. 2 *Epinnula magistralis*, 1854. P. 970 mm; D. 18,1,16; A. 3,17; S.N.C.

Fig. 3 *Latebrus oculatus*. C. 403 mm; D. 7,1,14; A. 3,12.

Fig. 4 *L. oculatus* (cabeza); escolar chino.

Núm. 482



Latebrus oculatus. Osteología; escolar chino.

Lám. 238

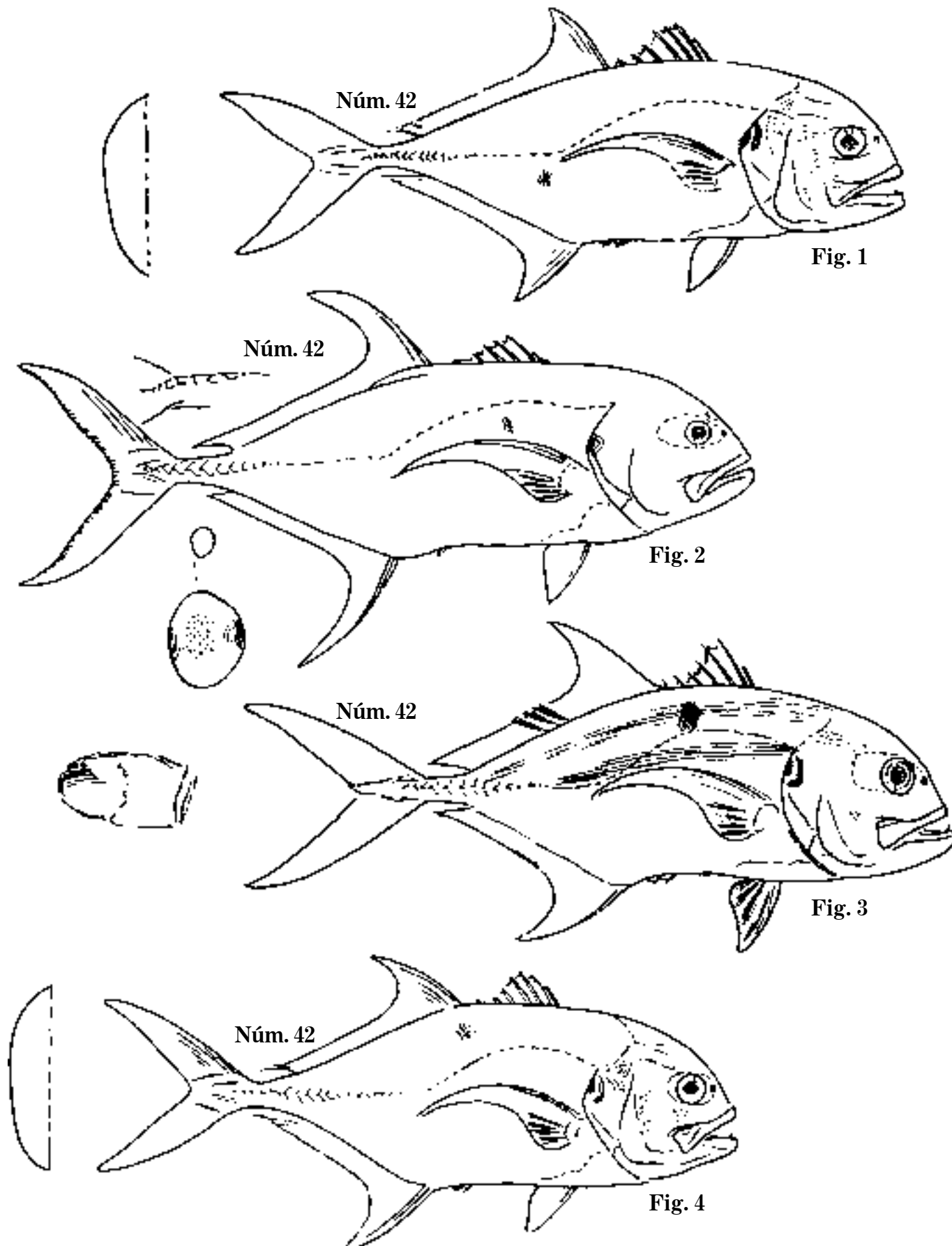


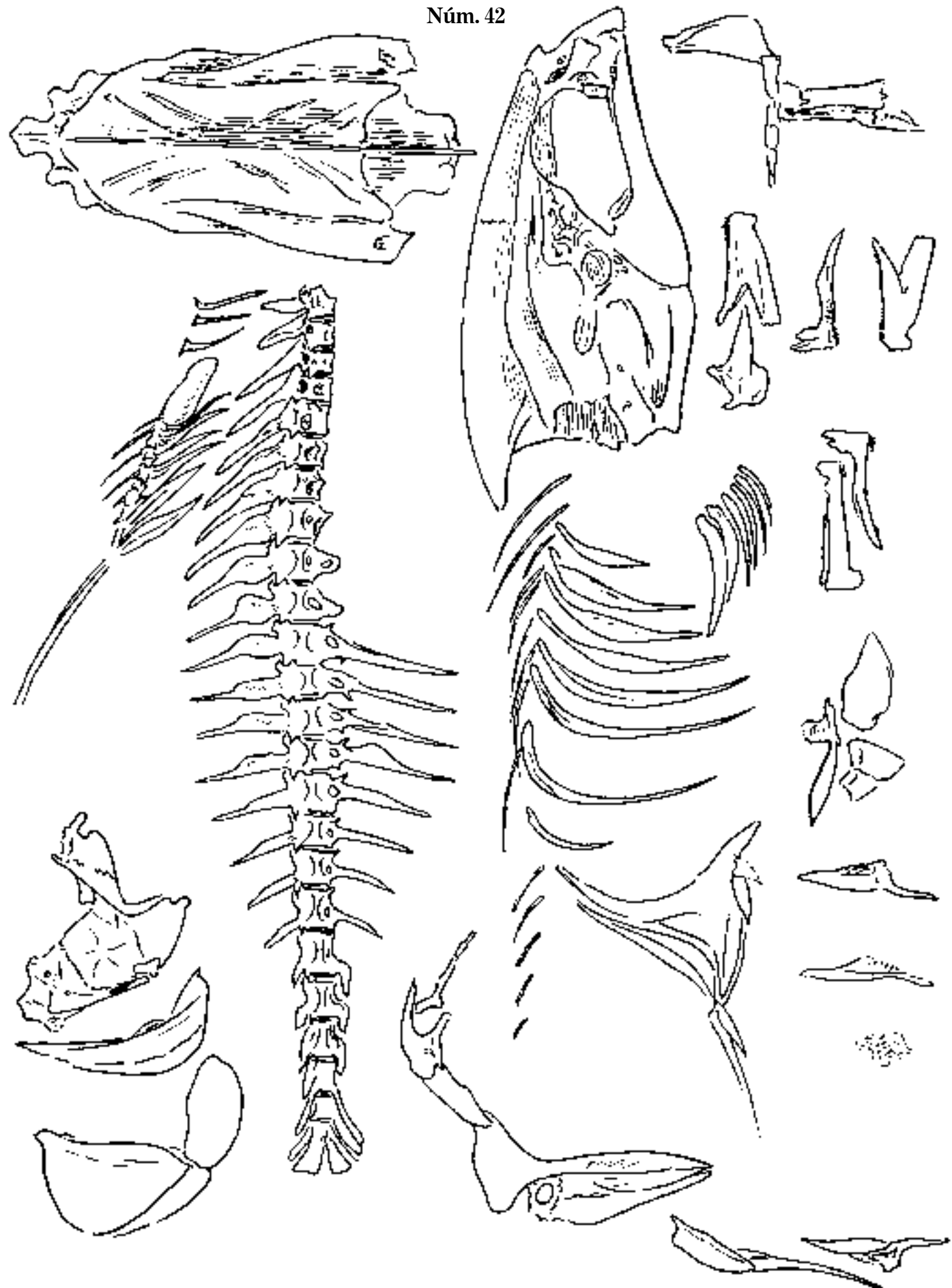
Fig. 1 *Carangus hippos*, 1865. C. 473 mm; D. 6,1,1,19; A. 2,1,17.

Fig. 2 *C. hippos*, 1870. C. 1 200 mm.

Fig. 3 *C. hippos*. C. 501 mm; D. 6,1,20; A. 2,1,17.

Fig. 4 *C. hippos*, 1865. C. 445 mm; D. 6,1,1,18; A. 2,1,16; jiguagua.

Núm. 42



Carangus hippos. Osteología; jiguagua.

Lám. 240

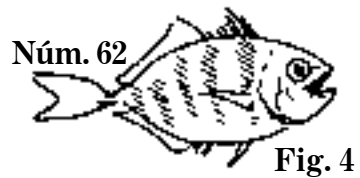
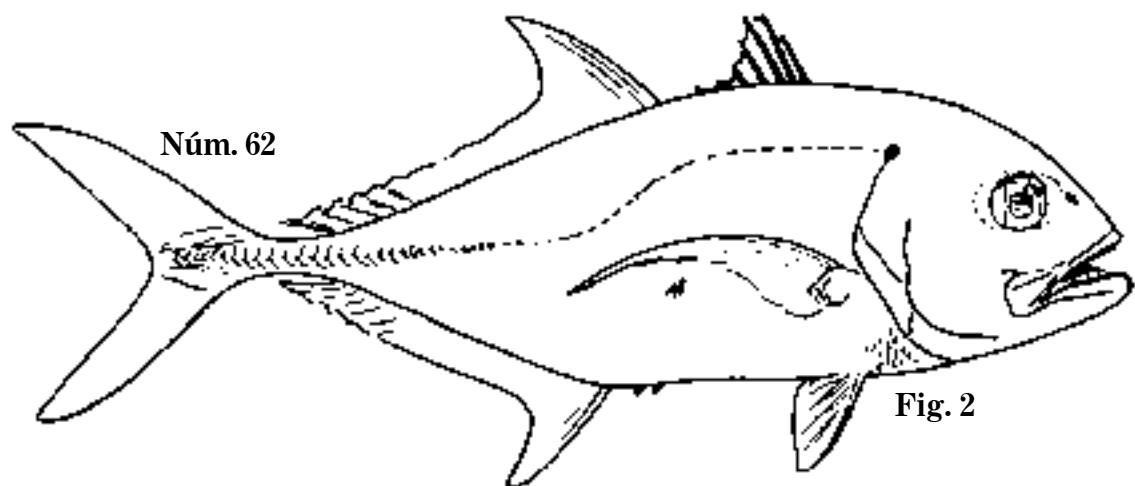
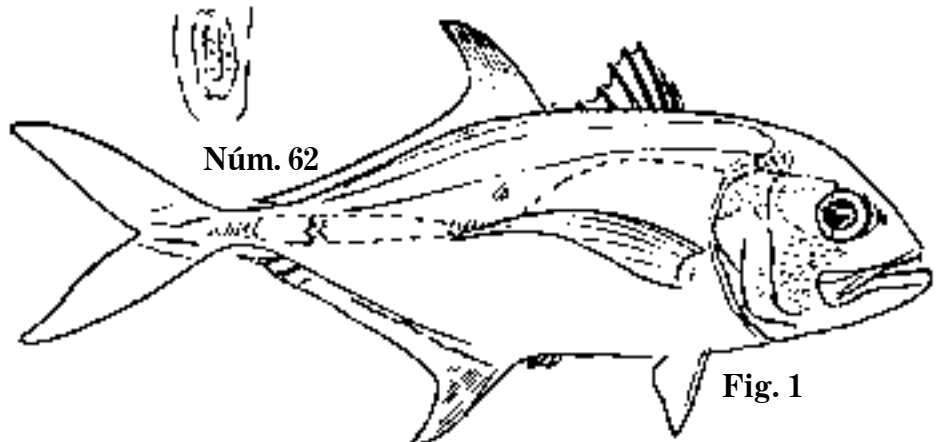


Fig. 4

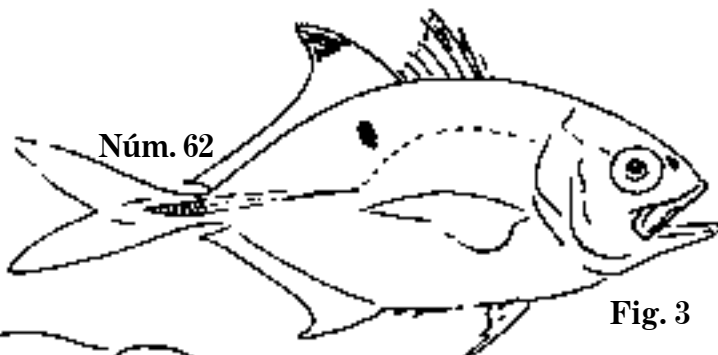


Fig. 1 *Carangus fallax*, 1859. P. 420 mm; D. 7,1,21; A. 2,1,17.

Fig. 2 *C. fallax*, 1860. P. 670 mm; D. 7,1,21; A. 2,1,16.

Fig. 3 *C. fallax*. P. 110 mm.

Fig. 4 *C. fallax*. P. 45 mm; jurel.

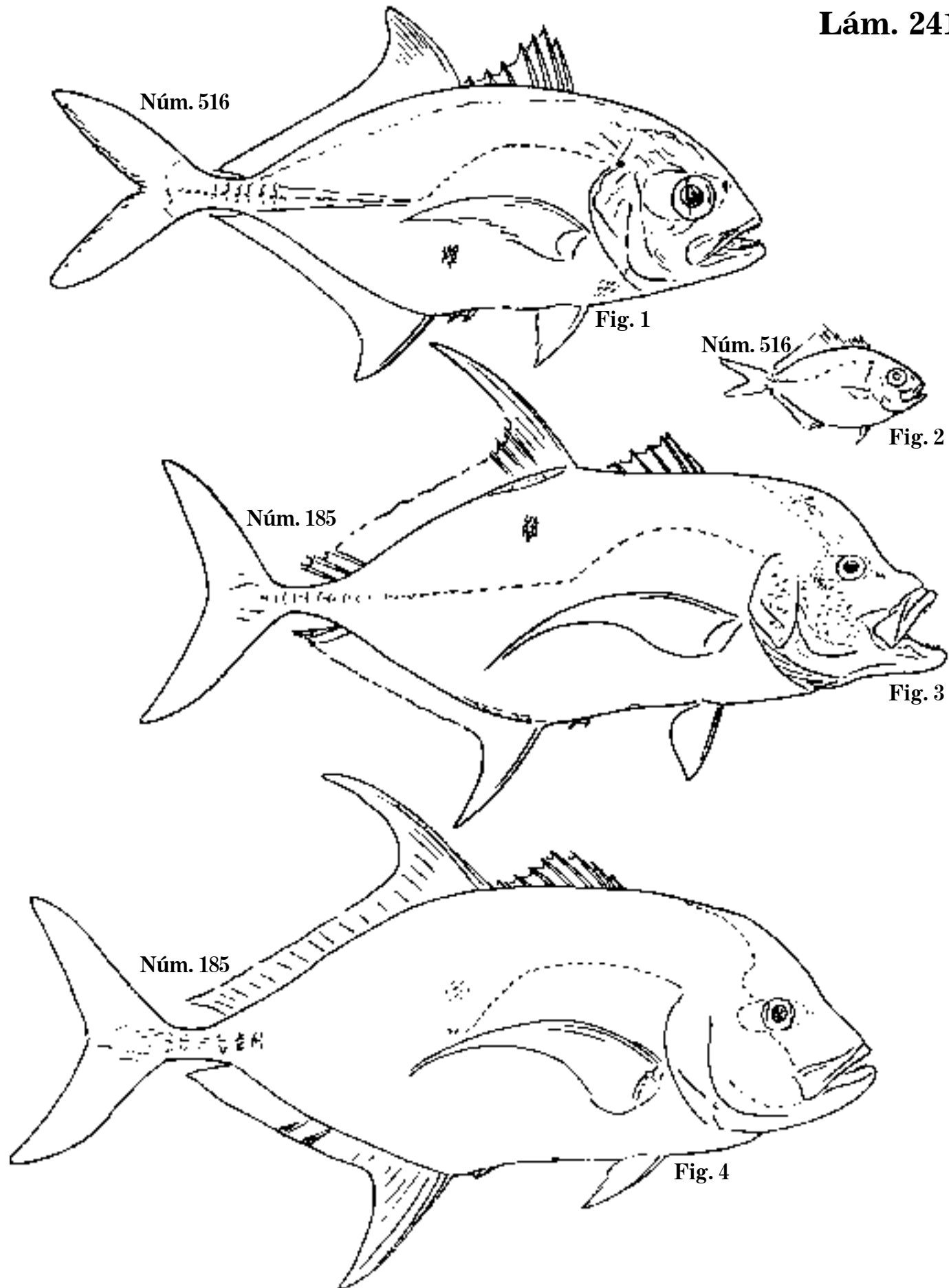


Fig. 1 *Carangus aureus*, 1862. P. 265 mm; D. 7,?; A.?

Fig. 2 *C. aureus*, 1877. C. 44 mm; D. 7,?; A.?: jurel.

Fig. 3 *C. lugubris*, 1872. P. 720 mm; D. 6,23; A. 2,1,19.

Fig. 4 *C. lugubris*. P. 760 mm; D. 8,1,22; A. 1,1,18; tiñosa.

Lám. 242

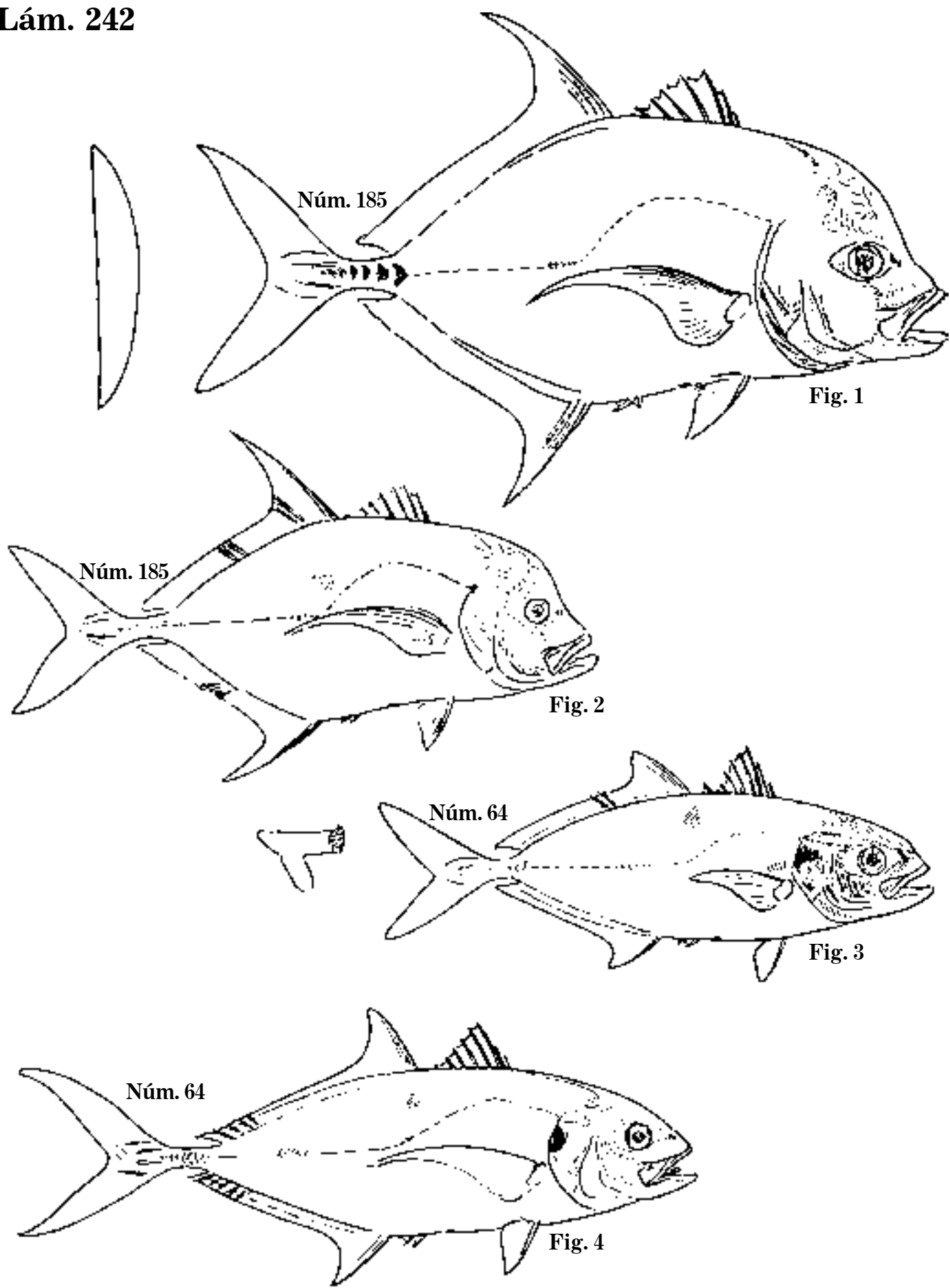


Fig. 1 *Carangus lugubris*, 1855. C. 421 mm; D. 7,1,21; A. 2,1,19.

Fig. 2 *C. lugubris*, 1864. C. 296 mm; D. 8,1,21; A. 2,1,18; tiñosa.

Fig. 3 *Paratractus chrysos*, 1858. C. 302 mm; D. 8,1,25; A. 2,1,22.

Fig. 4 *P. chrysos*, 1860. C. 568; D. 8,1,24; A. 2,1,20; cojinúa.

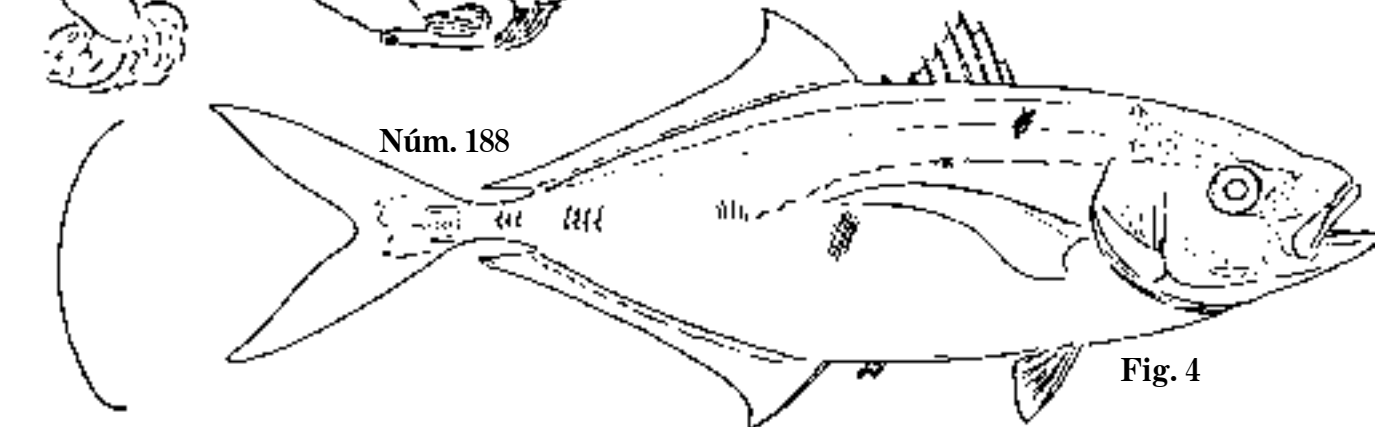
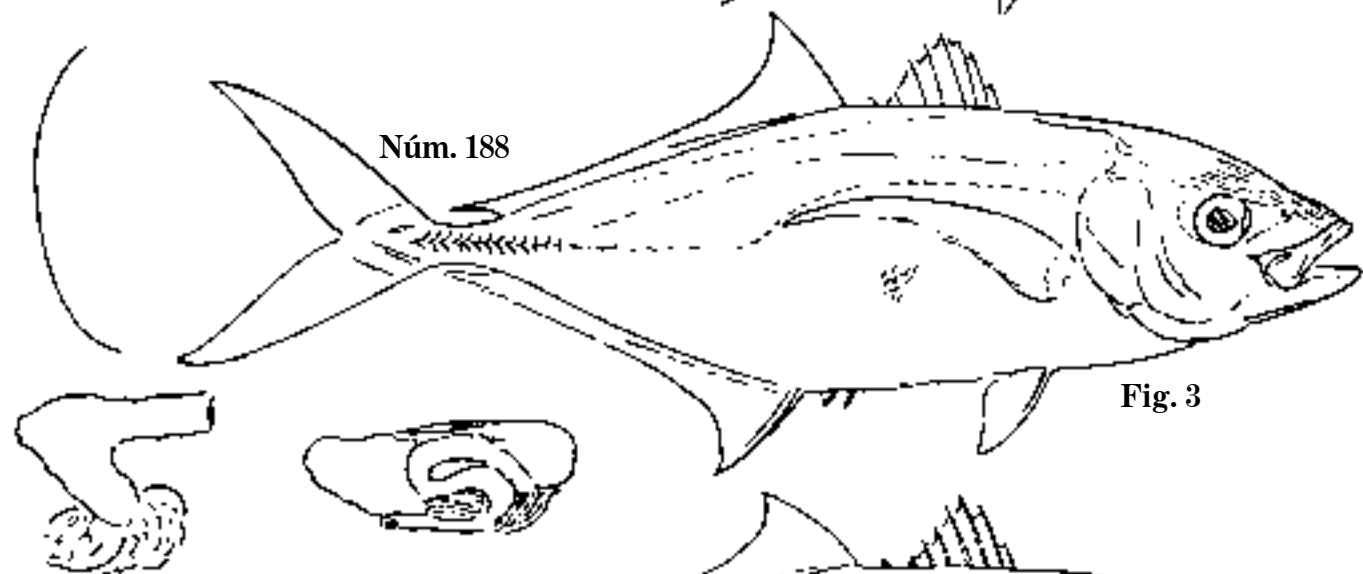
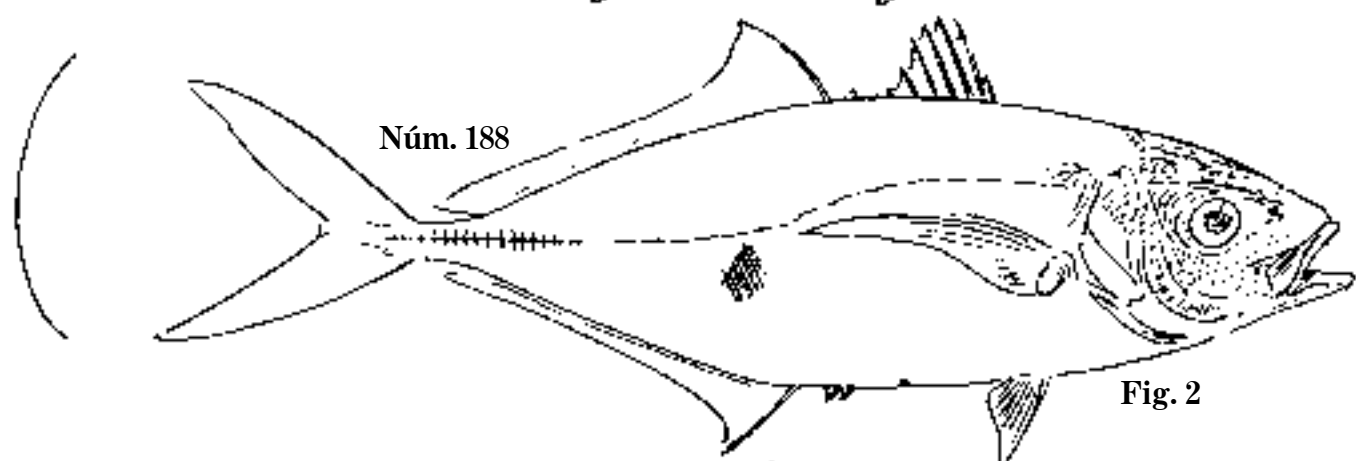
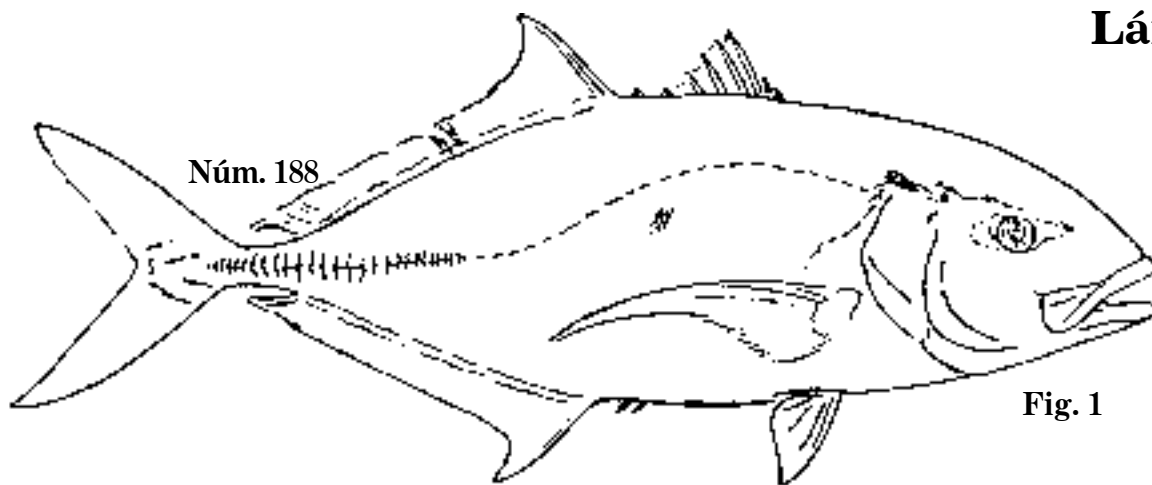


Fig. 1 *Carangoides iridinus*, 1860. C. 725 mm; D. 7,1,26; A. 2,1,23.

Fig. 2 *C. iridinus*, 1858. C. 379 mm; D. 7,1,1,28; A. 2,1,24.

Fig. 3 *C. iridinus*, 1850. C. 375 mm; D. 8,1,1,1,27; A. 2,1,23.

Fig. 4 *C. iridinus*, 1855. C. 368 mm; D. 7,1,1,28; A. 2,1,23; cibí carbonero.

Lám. 244

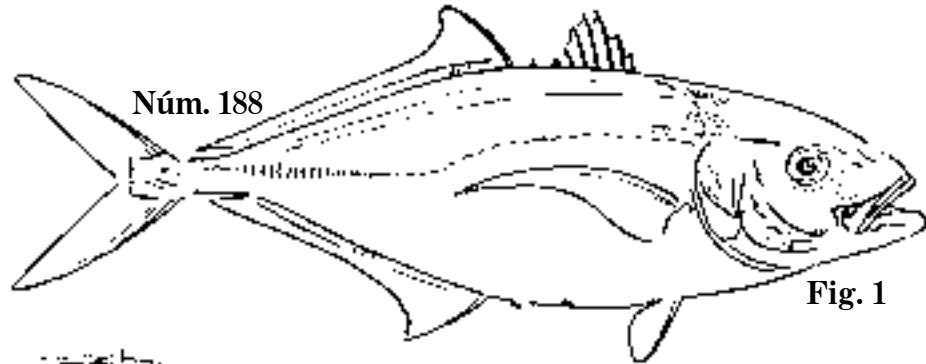


Fig. 1

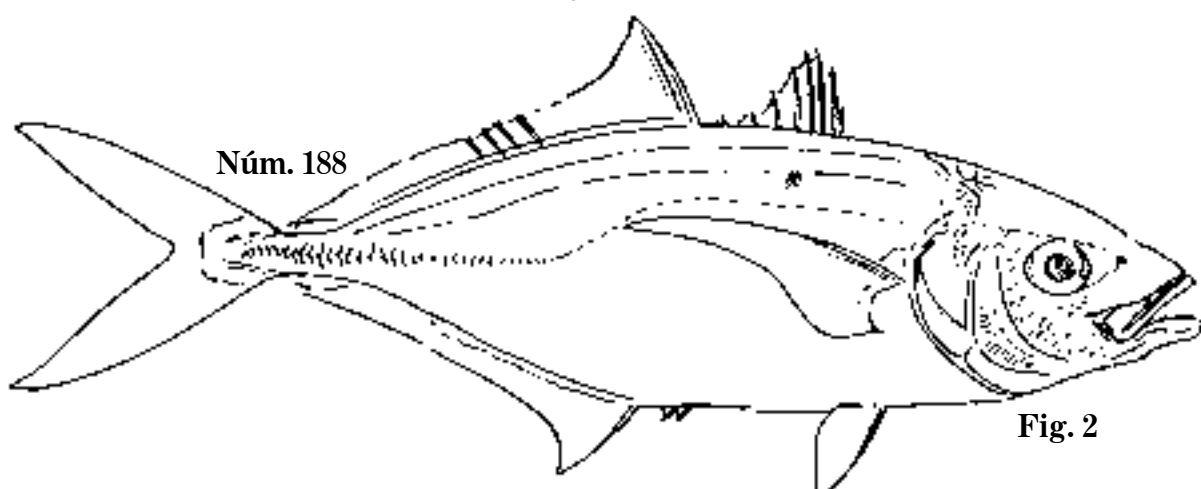


Fig. 2

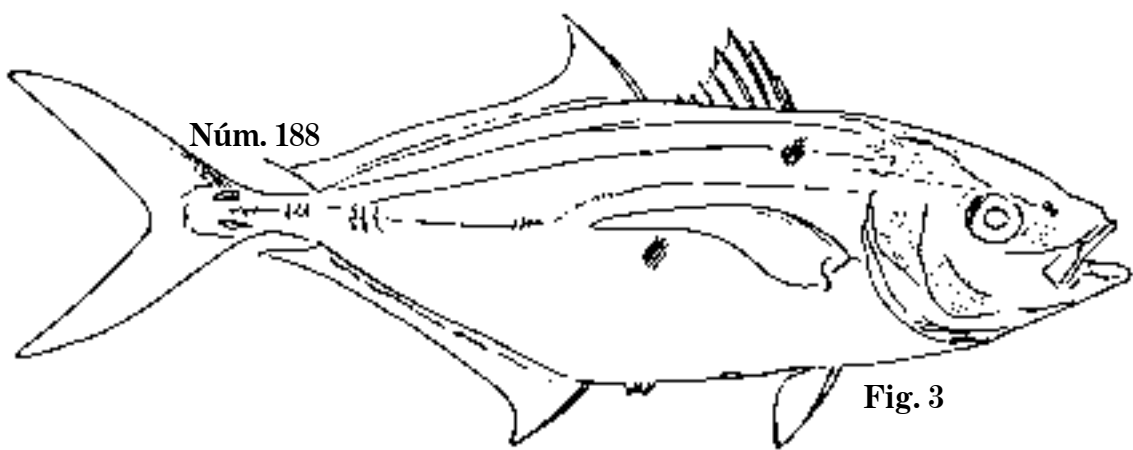
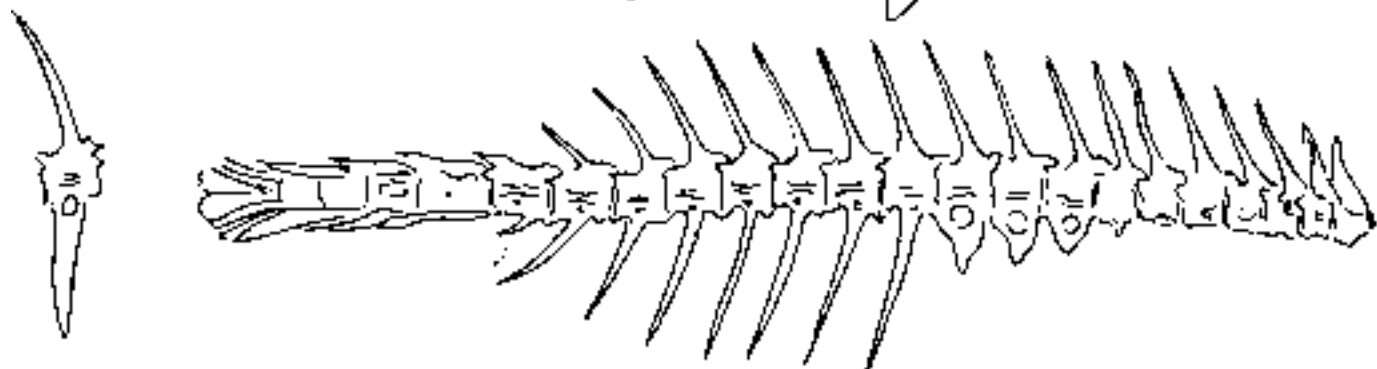


Fig. 3

Fig. 1 *Carangoides iridinus*, 1855. C. 452 mm; D. 7,1,1,28; A. 2,1,24.

Fig. 2 *C. iridinus*, 1860. C. 389 mm; D. ?1,28; A. 2,1,23.

Fig. 3 *C. iridinus*, 1855. C. 308 mm; D. 7,1,28; A. 2,1,24; cibí carbonero.

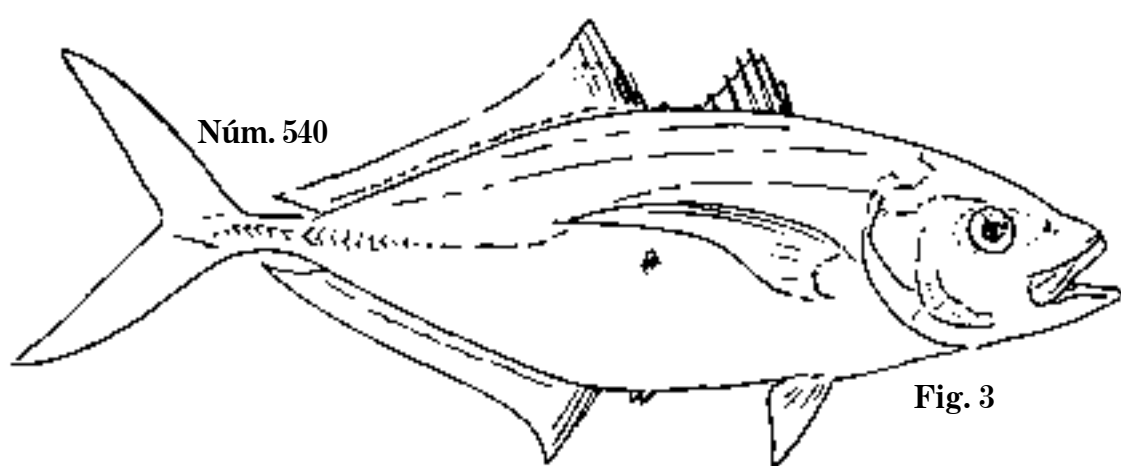
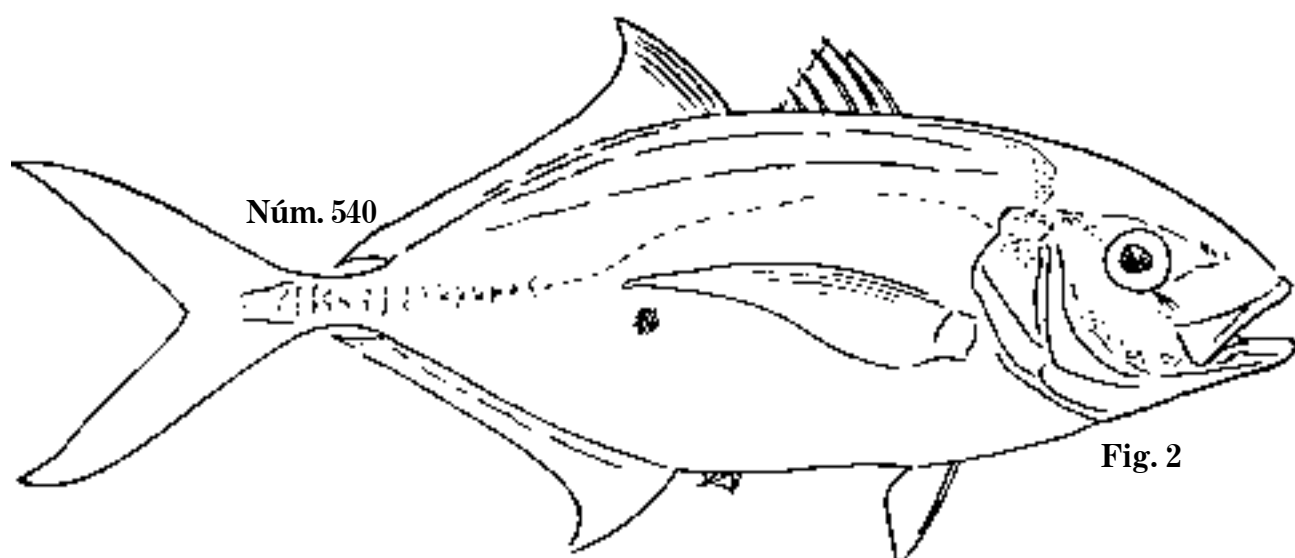
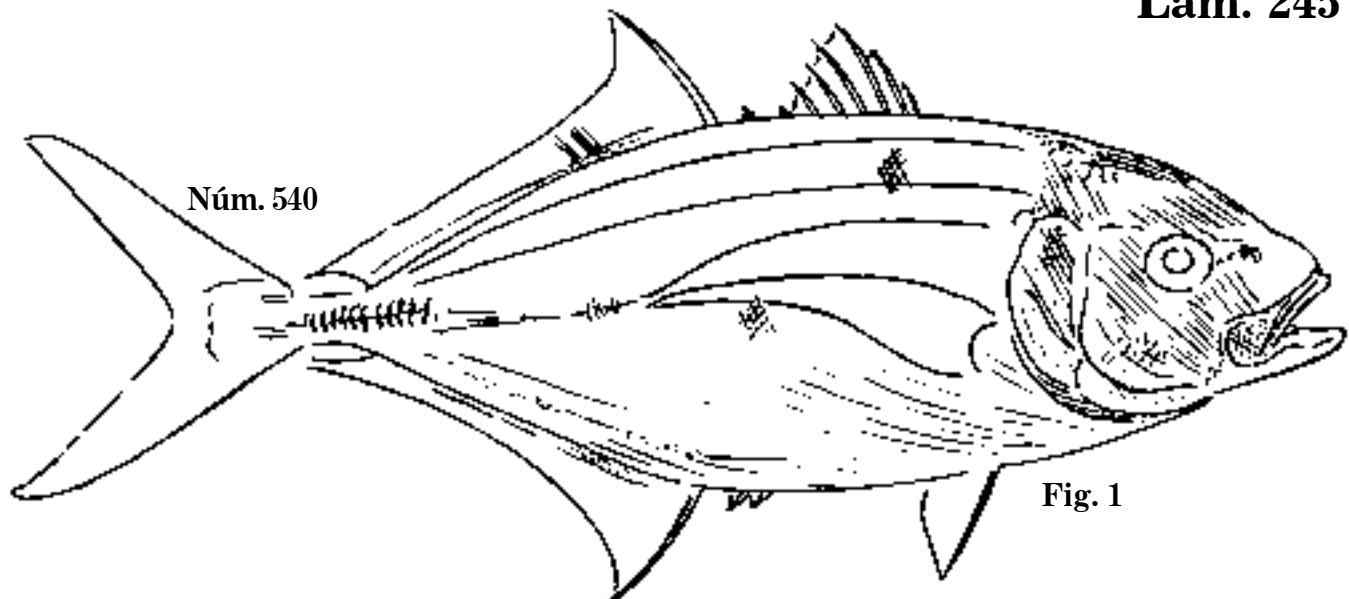


Fig. 1 *Carangoides Cibi*, 1855. C. 355 mm; D. 7,1,25; A. 2,1,23.

Fig. 2 *C. Cibi*, 1872. C. 284 mm.

Fig. 3 *C. Cibi*, 1861. C. 443 mm; D. 7,1,30; A. 2,1,26; cibí amarillo.

Lám. 246

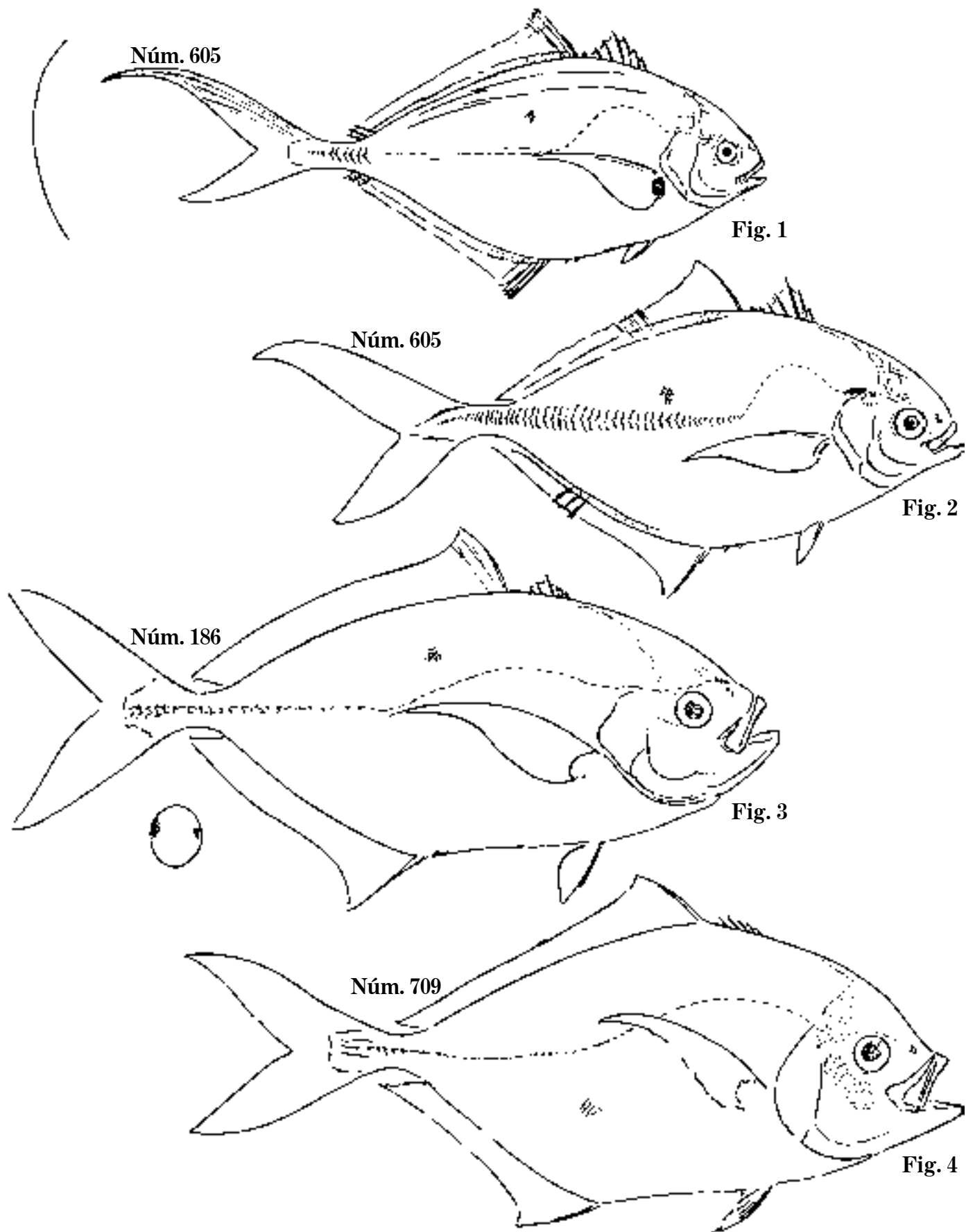


Fig. 1 *Carangops heteropygus*, 1870. C. 360 mm; D. 7,1,28; A. 2,1,26.

Fig. 2 *C. heteropygus*, 1860. C. 384 mm; D. 7,1,28; A. 2,1,24; S.N.C.

Fig. 3 *C. secundus*. P. 140 mm; D. 7,1,30; A. 2,1,22.

Fig. 4 *C. eminens*. P. 420 mm; segundo.

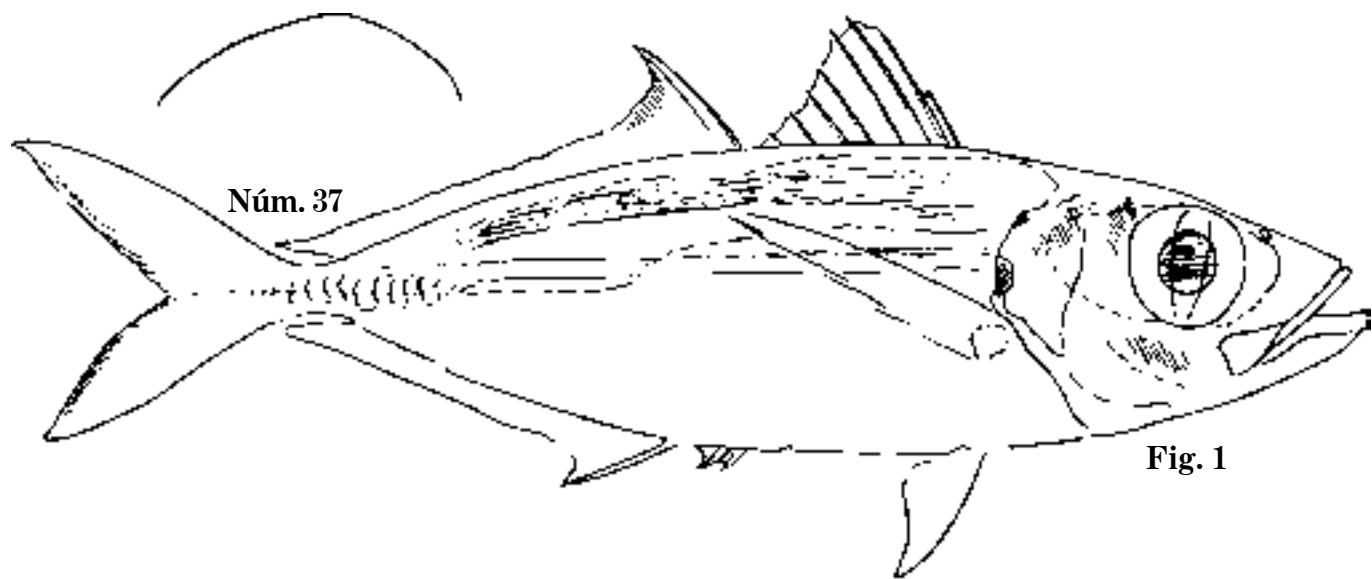


Fig. 1

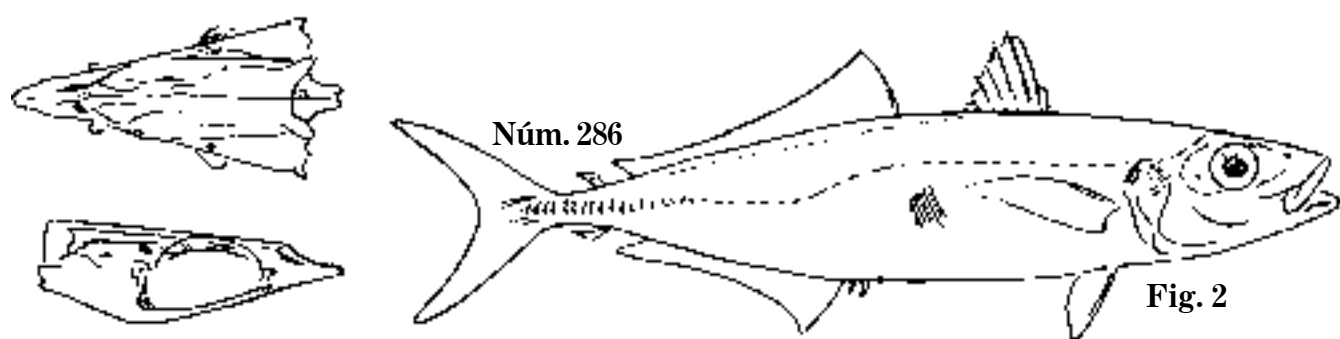


Fig. 2

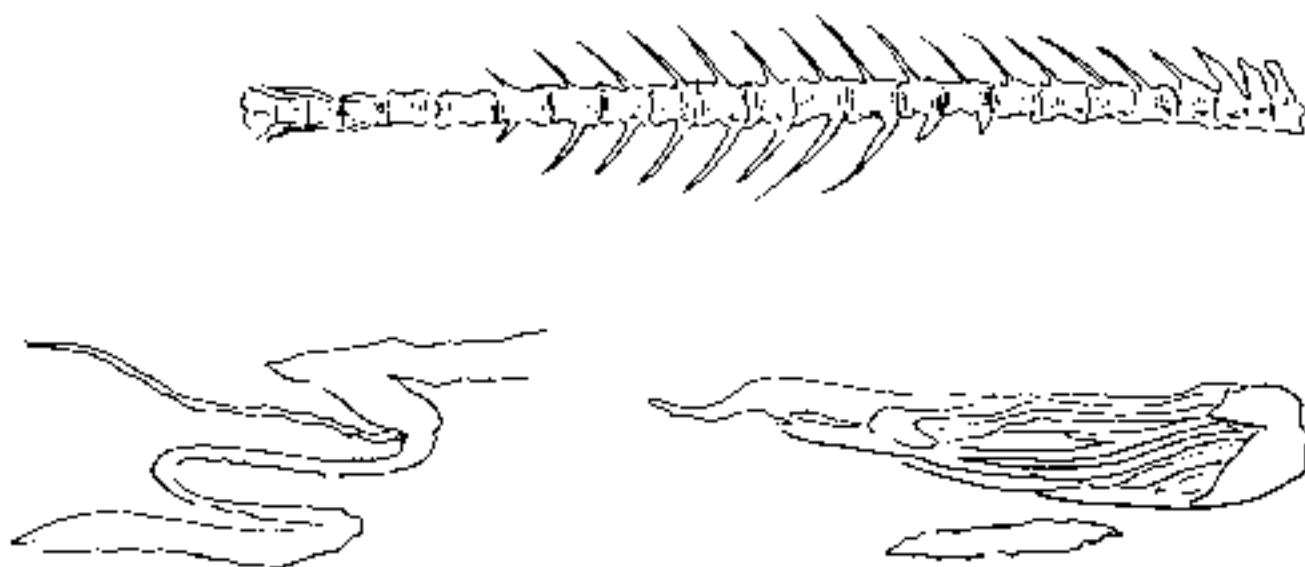


Fig. 1 *Thrachurops Plumieri*, 1850. C. 253 mm; D. 8,24; A. 2,26; chicharro.
Fig. 2 *Decapterus macarellus*, 1835. C. 294 mm; D. 8,38; A. 2,28; tonino.

Lám. 248

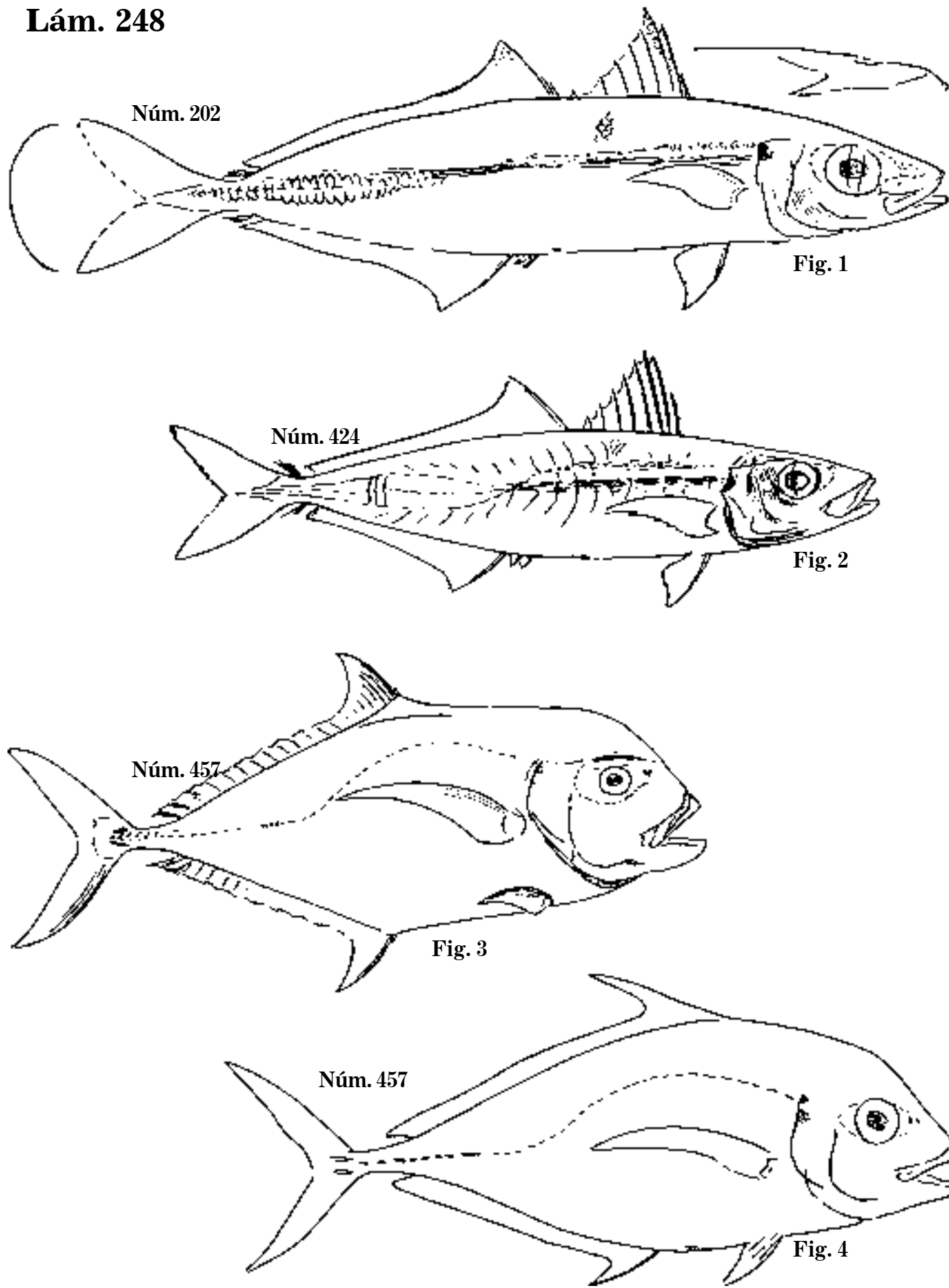


Fig. 1 *Decapterus Santae Helenae*. C. 205 mm.

Fig. 2 *D. punctatus*, 1860. C. 168 mm; D. 8,1,31; A. 2,1,26.

Fig. 3 *Hynnis cubensis*. P. 688 mm; D. 1,18; A. 1,17.

Fig. 4 *H. cubensis*, 1870. C. 997 mm; D. 1,19; A. 1,17; S.N.C.

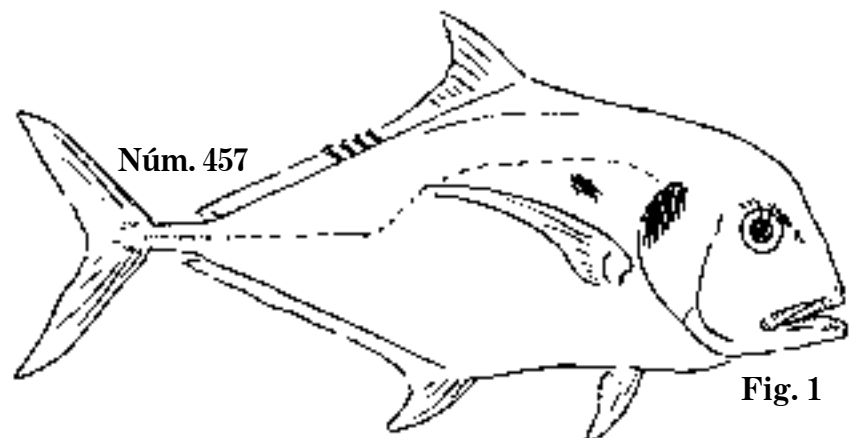


Fig. 1

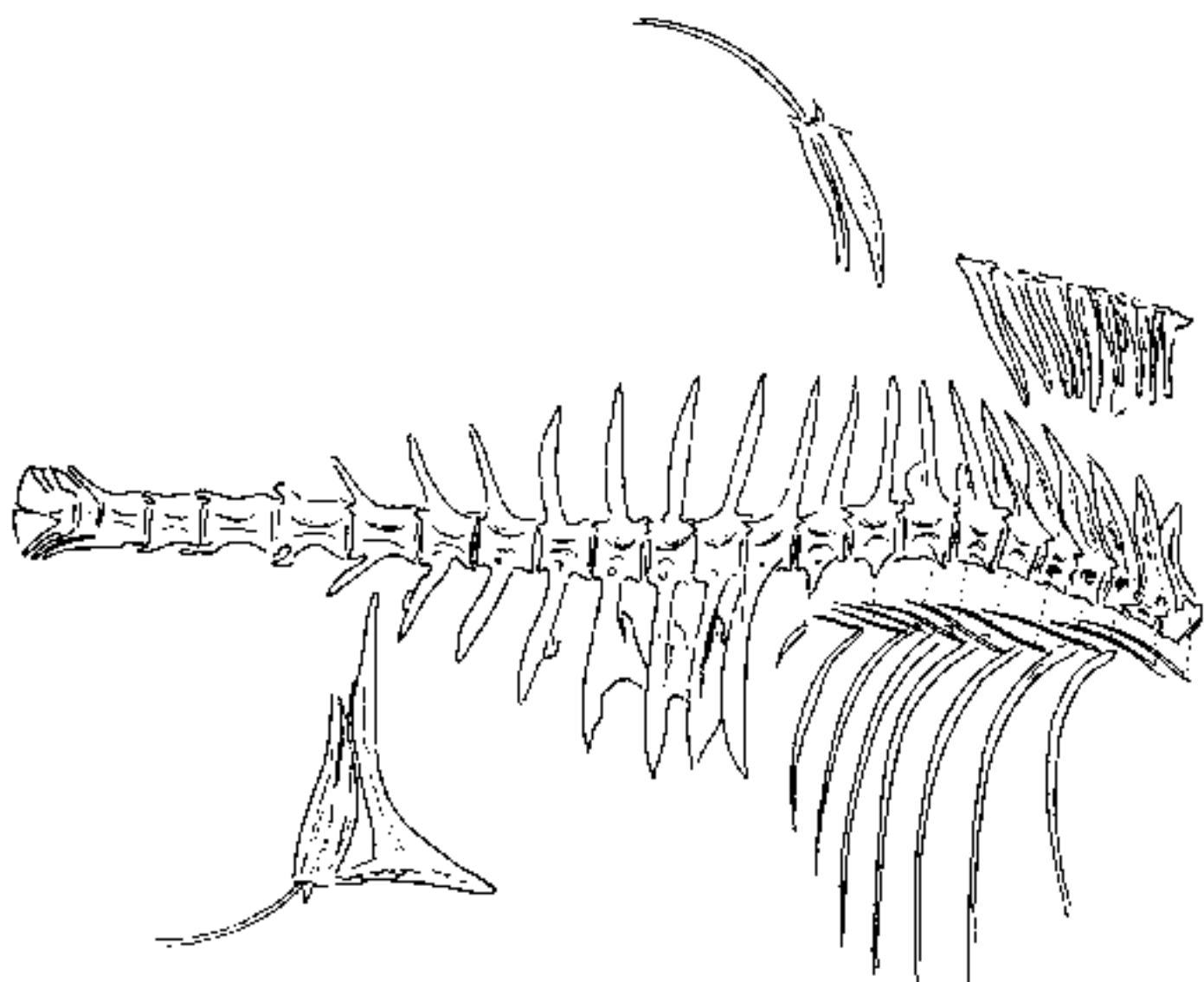
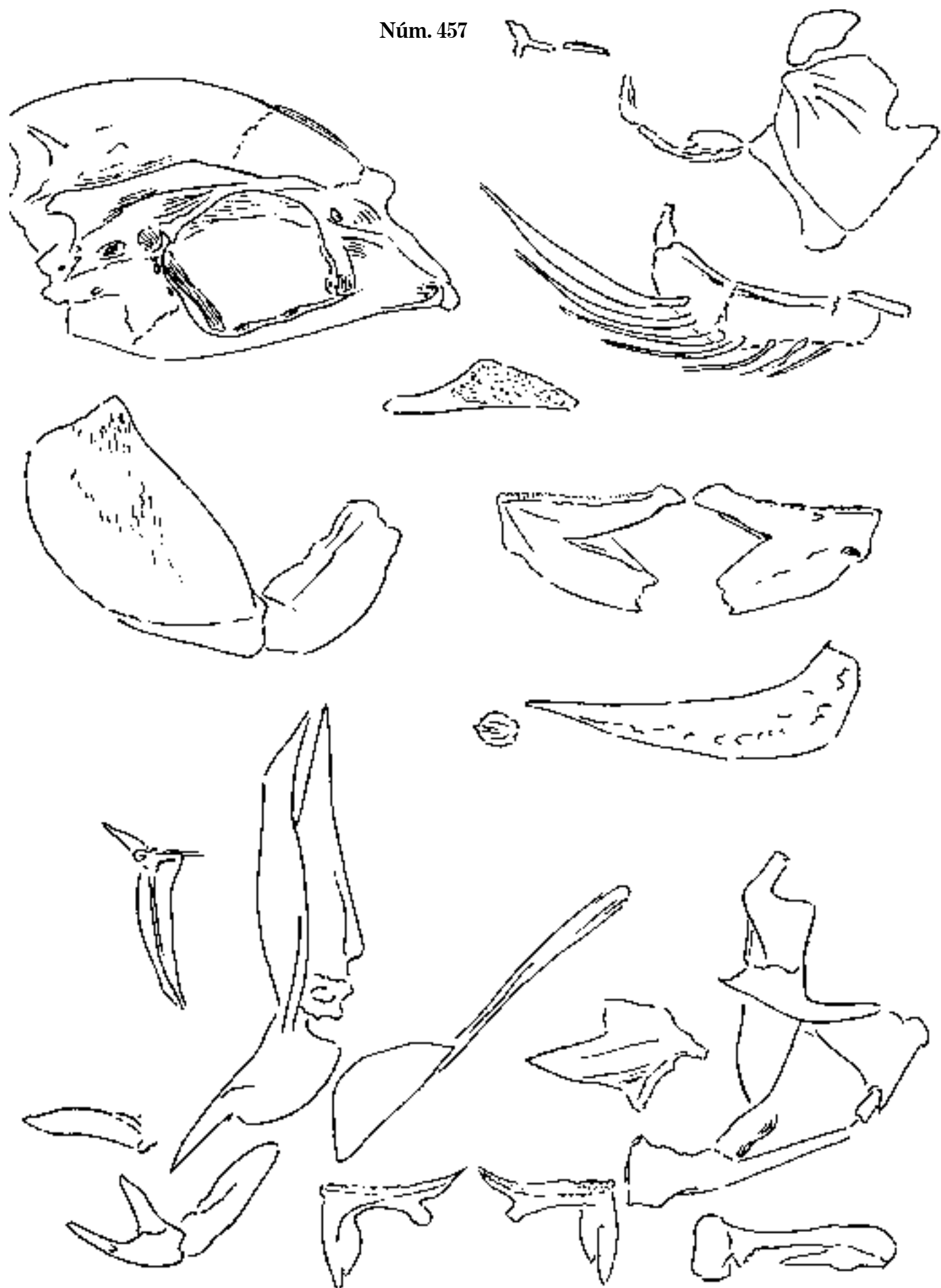


Fig. 1 *Hymnox cubensis*, 1858. C. 770 mm; D. 20; A. 17; S.N.C.

Lám. 250

Núm. 457



Hymnis cubensis. Osteología; S.N.C.

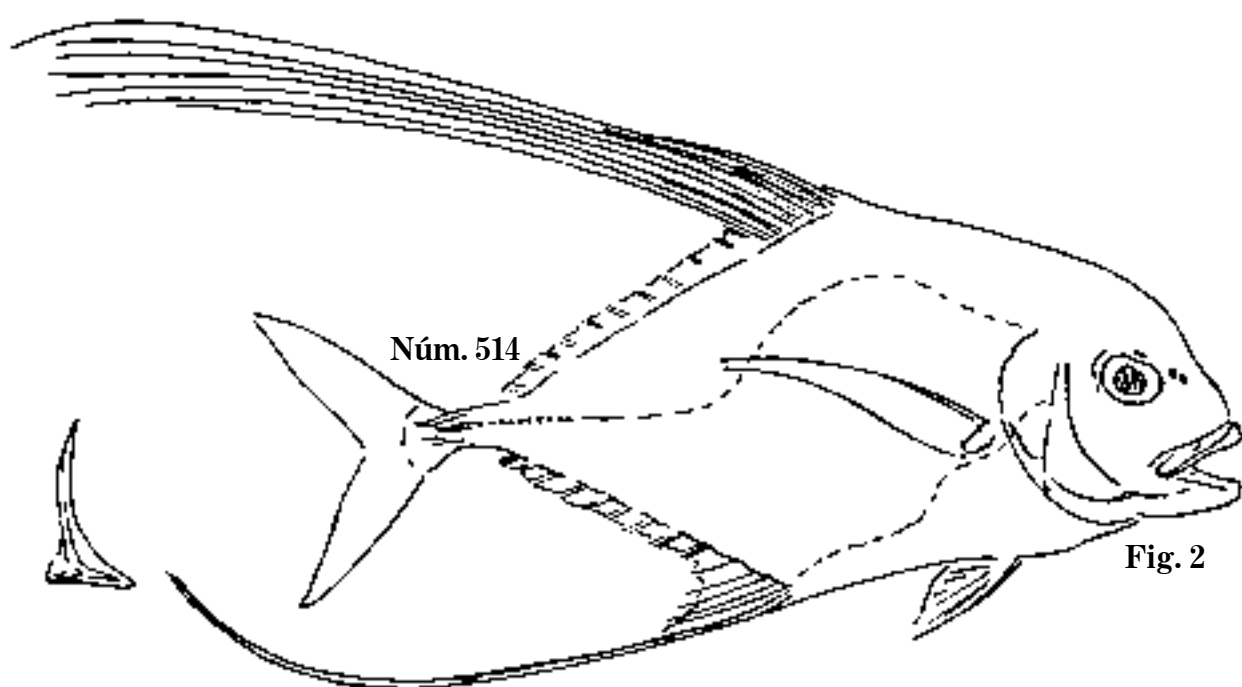
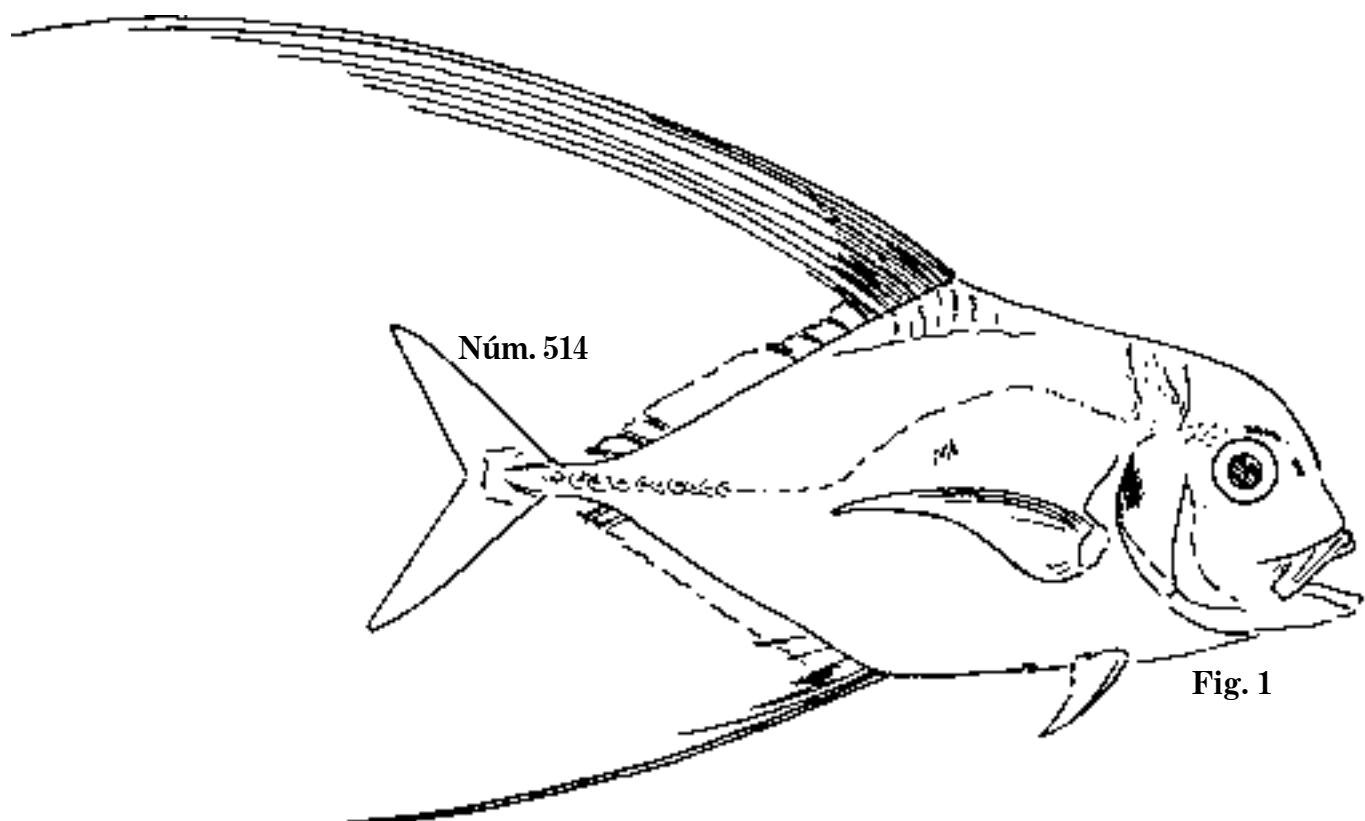


Fig. 1 *Blepharis crinitus*, 1860. C. 521 mm; D. 7,11; A. 1,3,13.
Fig. 2 *B. crinitus*. C. 515 mm; D. 1,19; A. 1,17; pámpano.

Lám. 252

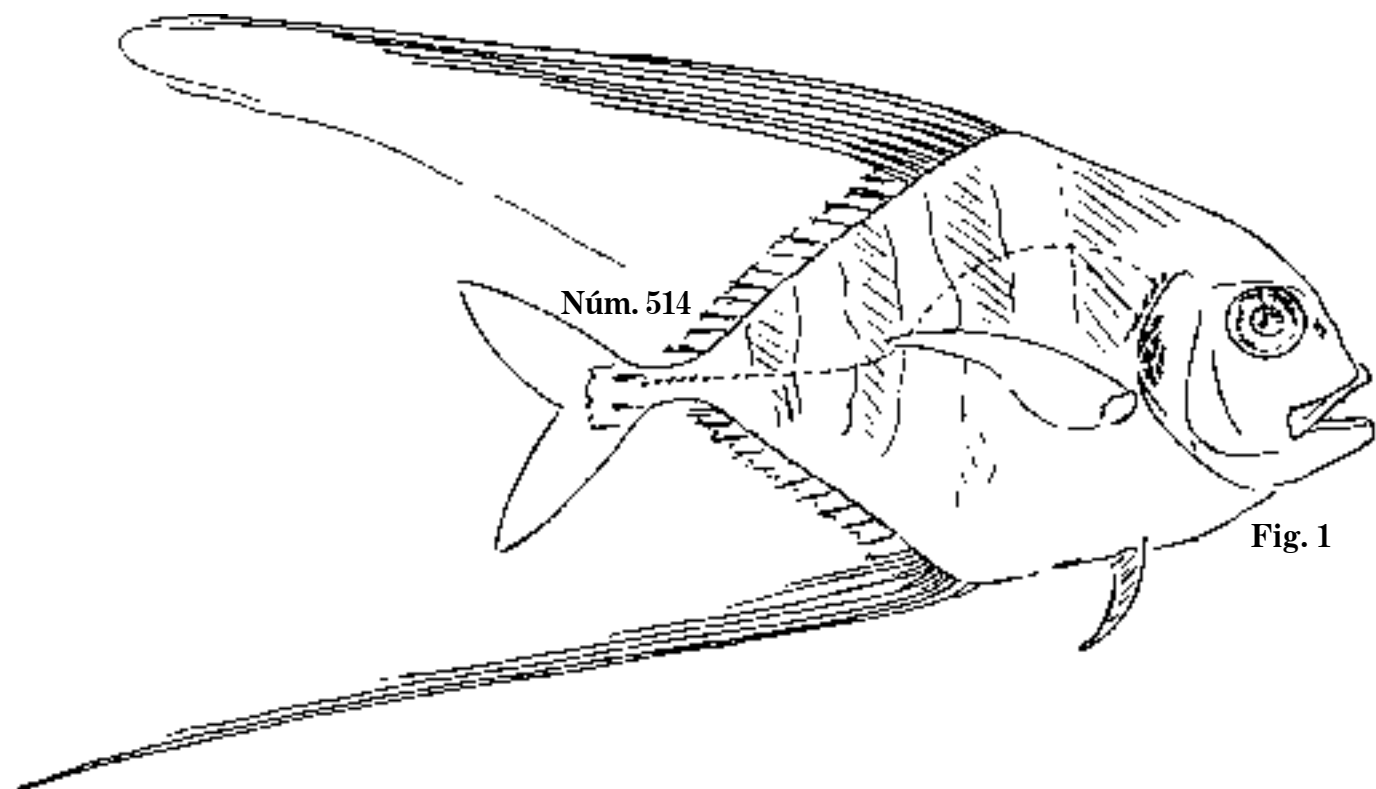


Fig. 1

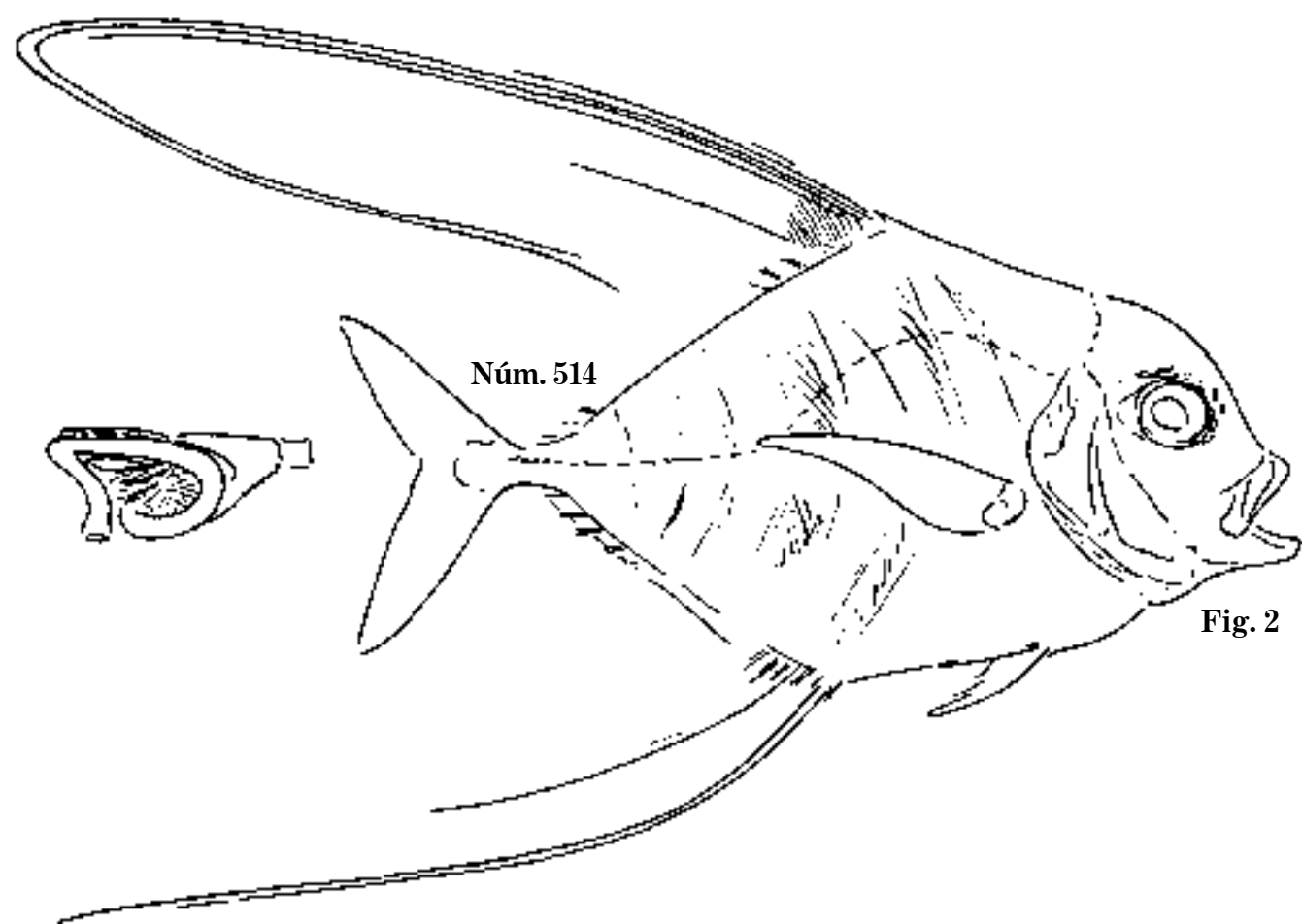


Fig. 2

Fig. 1 *Blepharis crinitus*, 1863. C. 272 mm; D. 1,7,12; A. 1,7,10.
Fig. 2 *B. crinitus*, 1863. C. 298 mm; D. 1,7,12; A. 1,5,11; pámpano.

Lám. 253

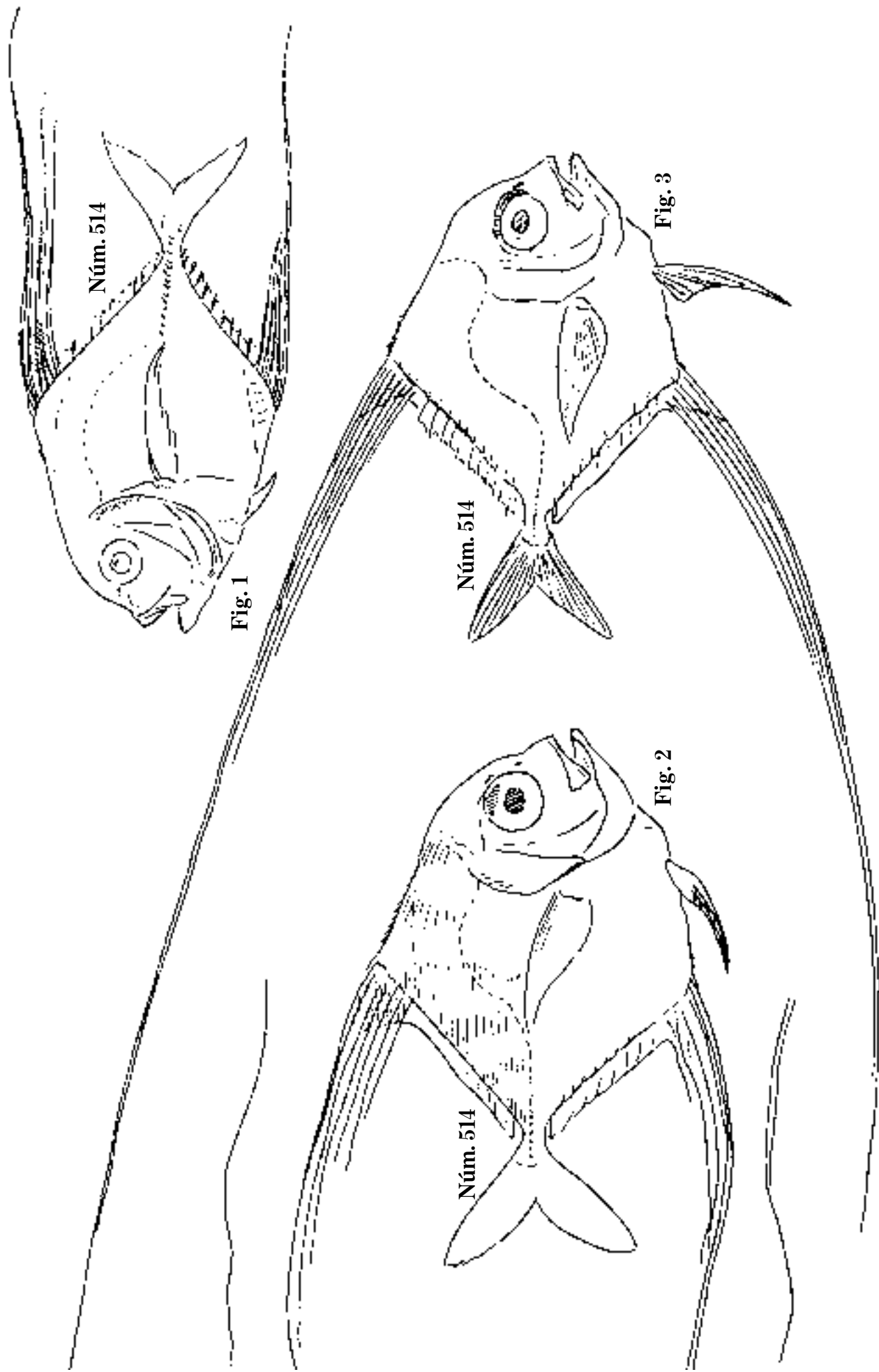


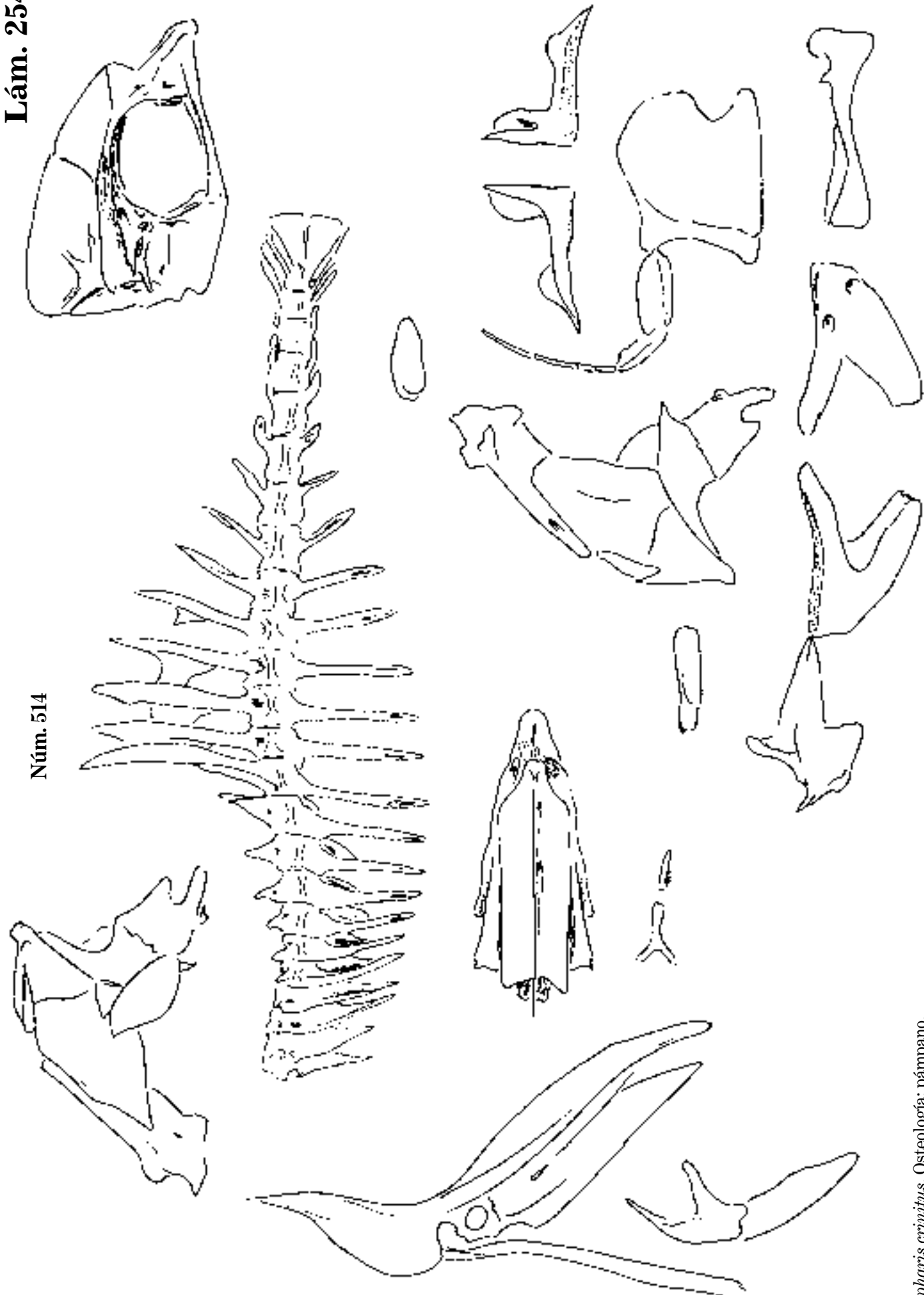
Fig. 1 *Blepharis crinitus*. C. 240 mm; D. 8,11?; A. 6,11?

Fig. 2 *B. crinitus*. C. 128 mm; D. 7,1,20; A. 1,17.

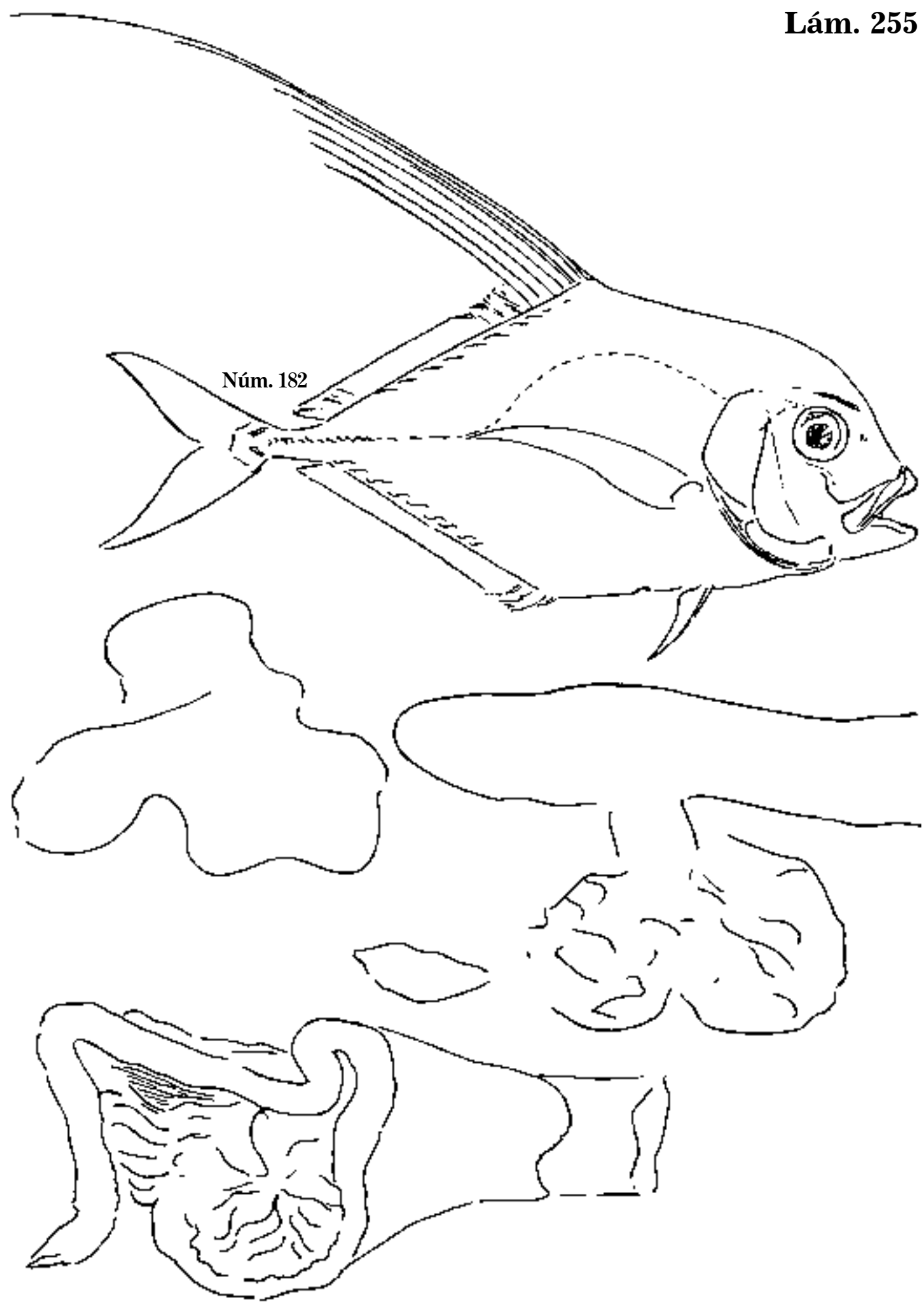
Fig. 3 *B. crinitus*. C. 117 mm; D. 8,1,20; A. 2,1,17; pámpano.

Lám. 254

Núm. 514



Blepharis crinitus. Osteología; pámpano.



Scyrus analis. P. 495 mm; D. 21; A. 15; pámpano.

Lám. 256

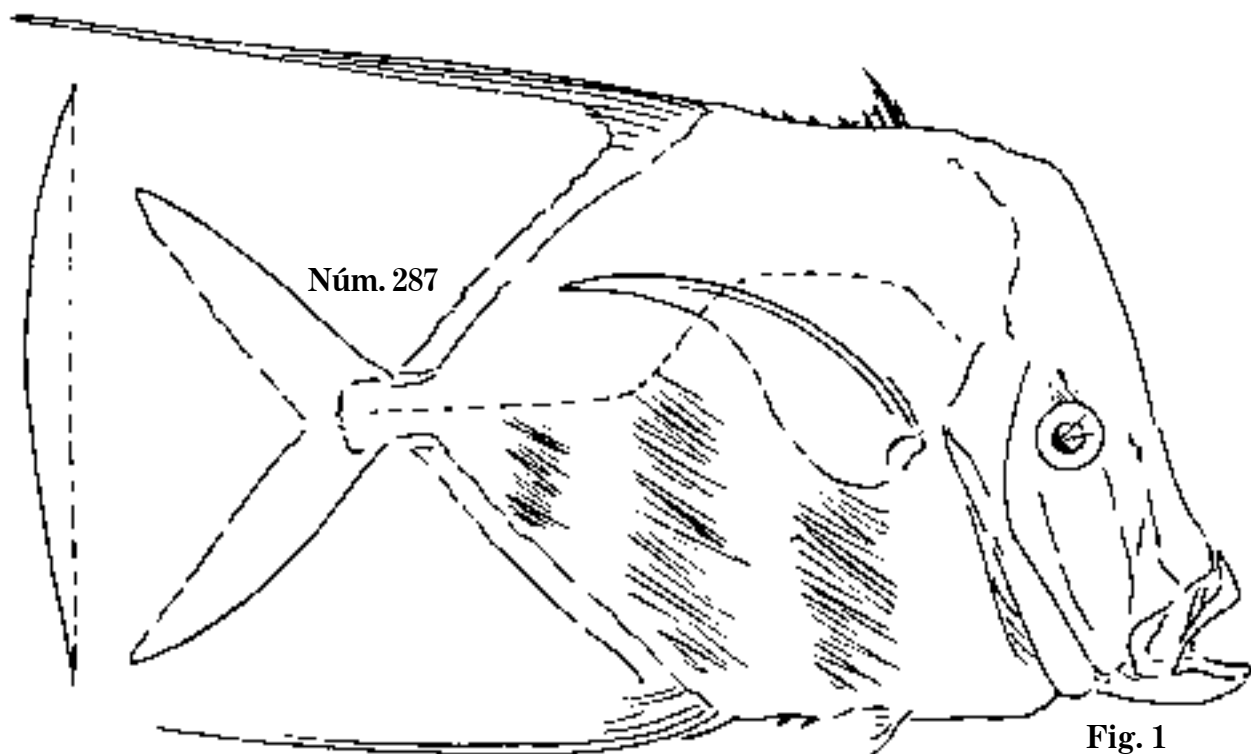


Fig. 1

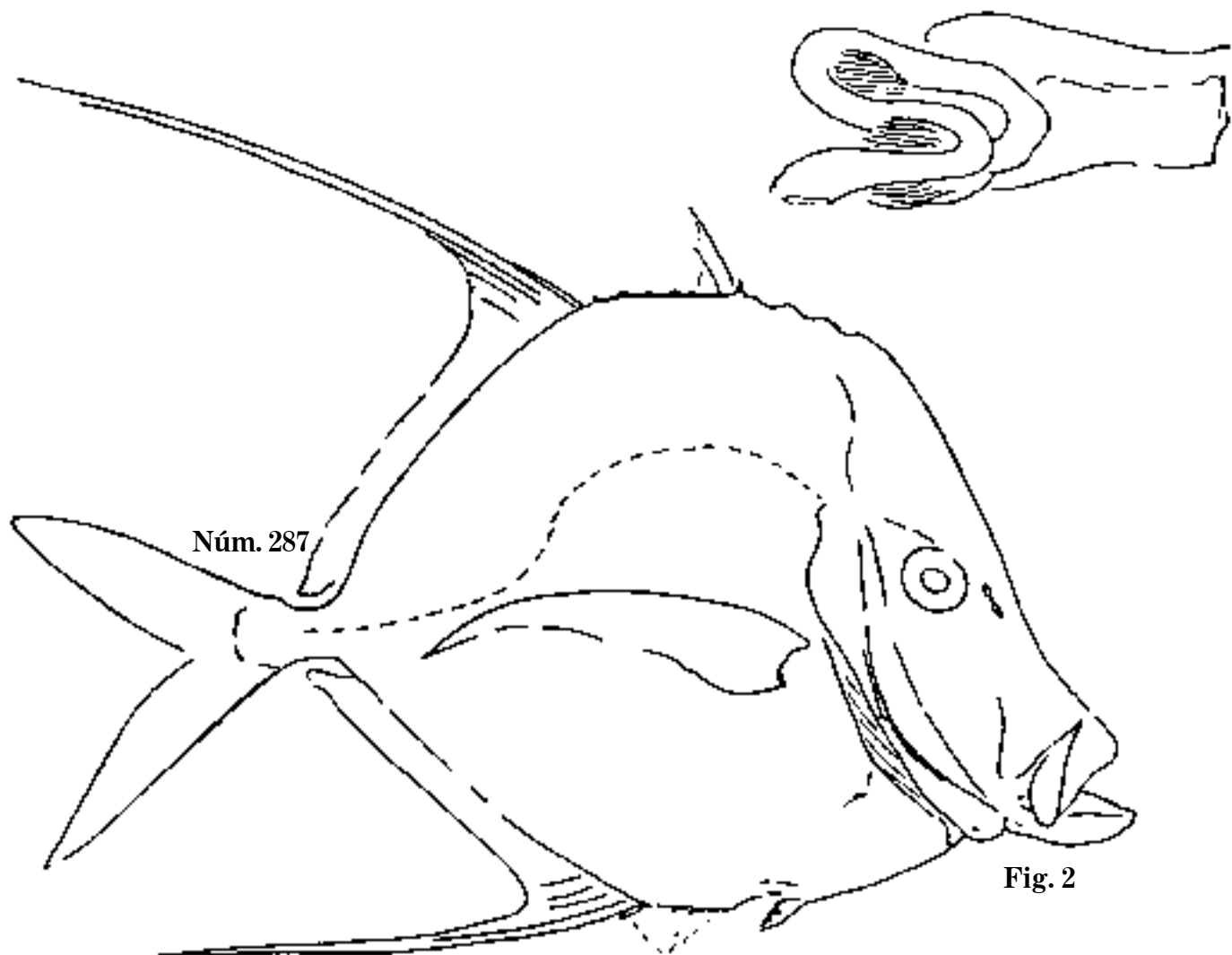


Fig. 2

Fig. 1 *Selene argentea*. C. 259 mm; D. 8,1,22; A. 1,18.

Fig. 2 *S. argentea*, 1850. C. 172 mm; D. 8,1,22; A. 2,1,19; jorobado.

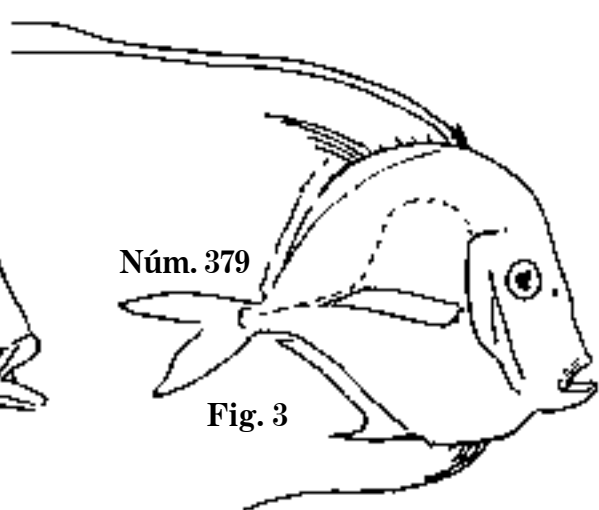
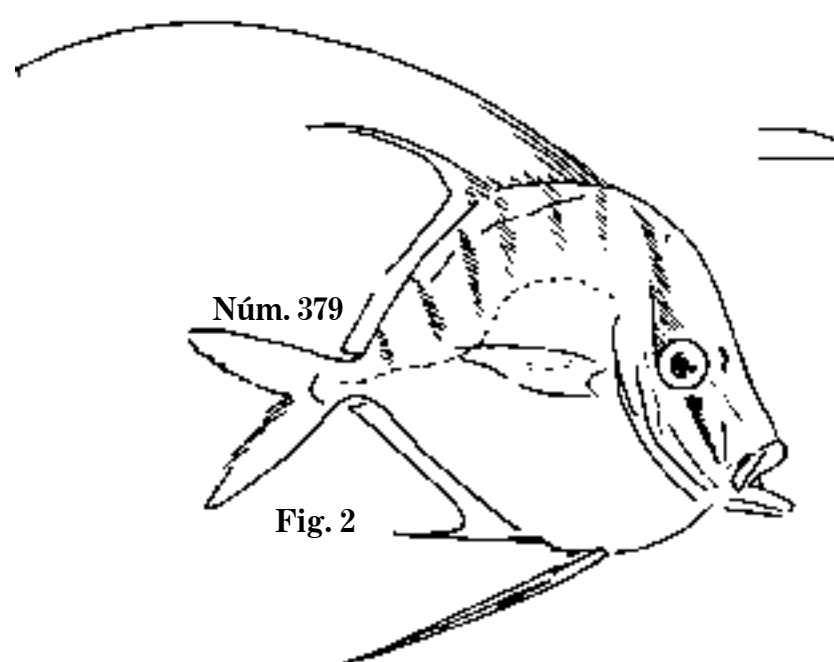
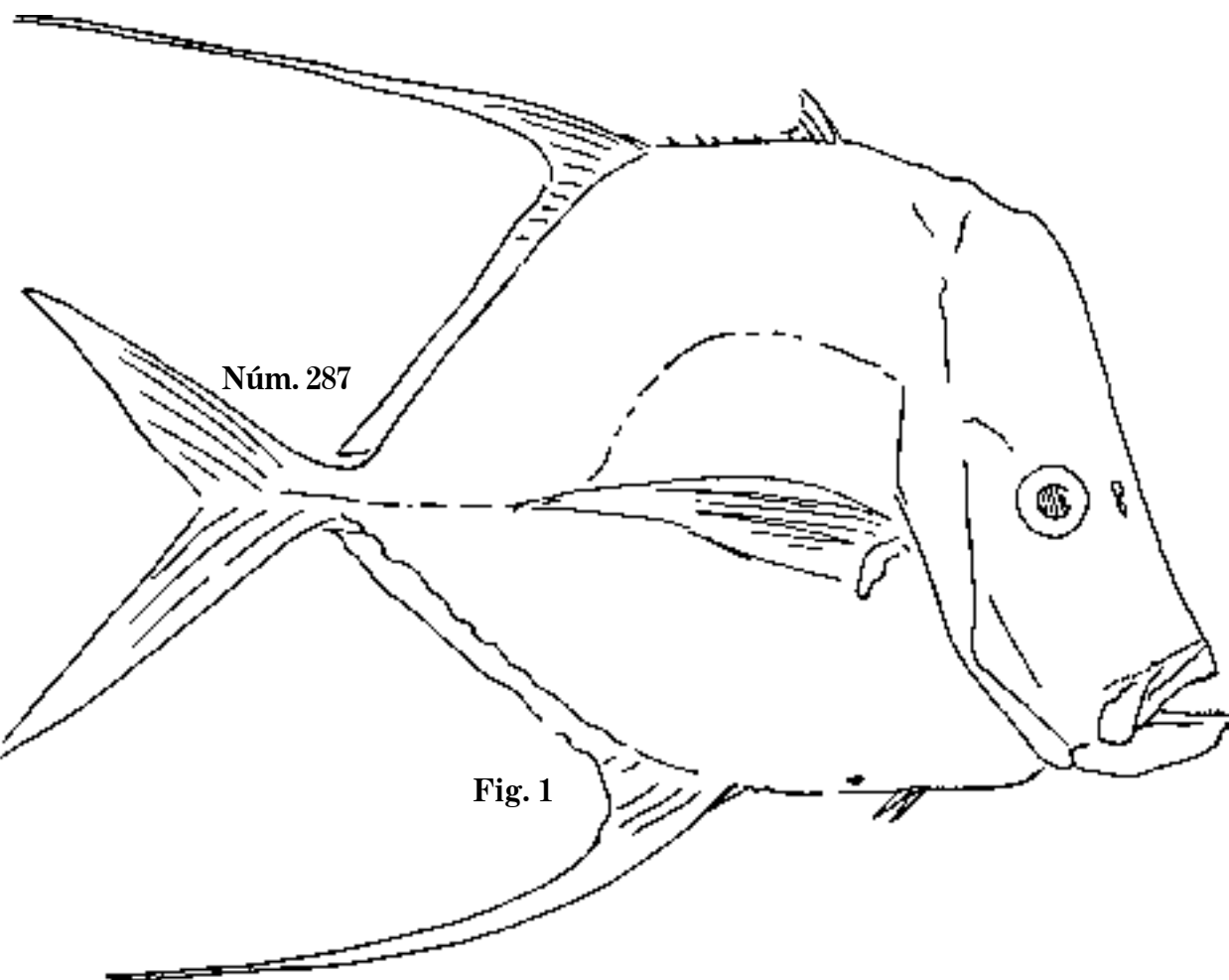


Fig. 1 *Selene argentea*. C. 169 mm.

Fig. 2 *Argyreiosus Vomer*. C. 85 mm; D. 9,?; A. 2,1,?

Fig. 3 *A. Vomer*, 1862. C. 65 mm; D. 7,1,22; A. 2,1,19; jorobado.

Lám. 258

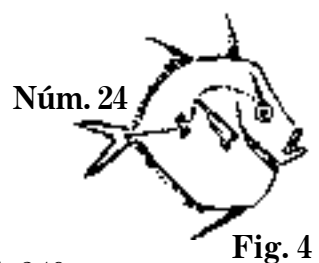
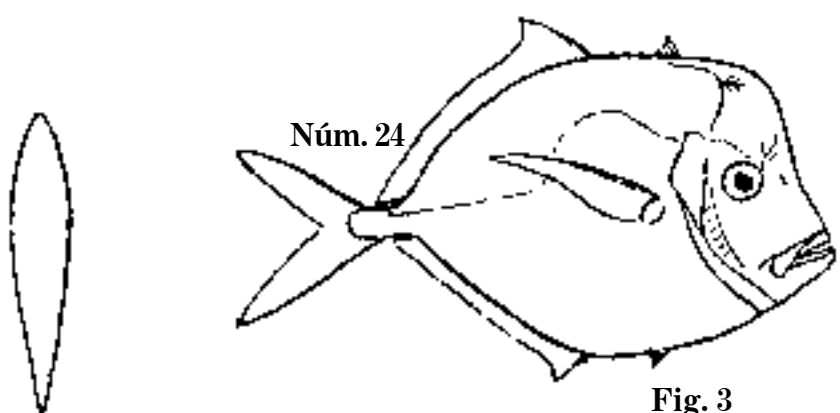
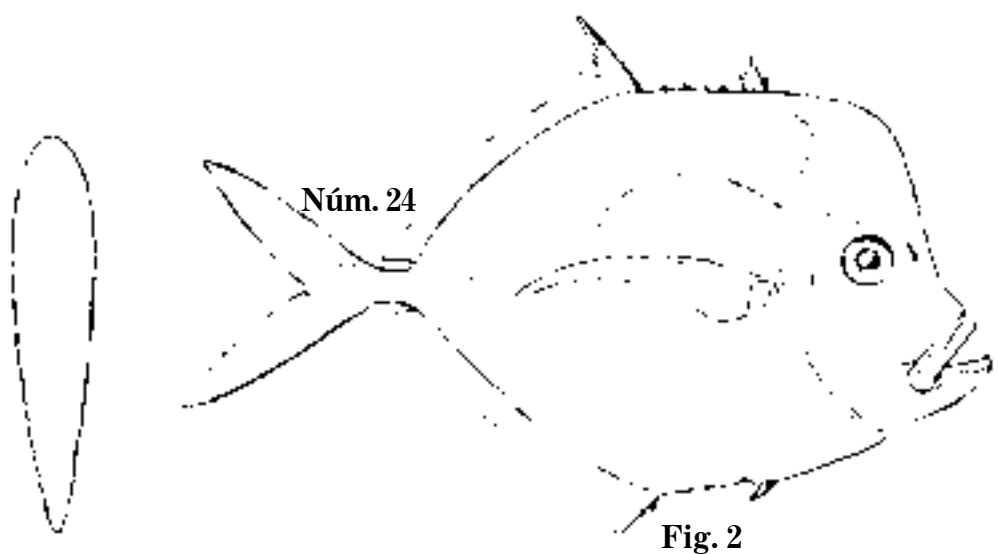
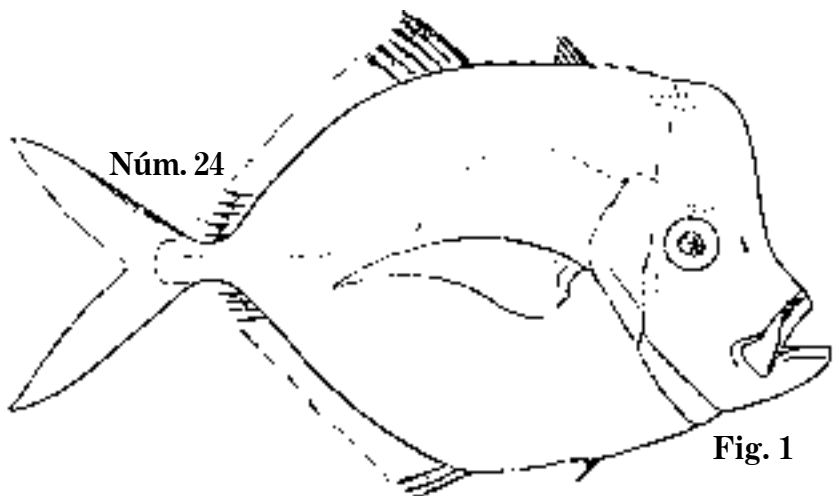


Fig. 1 *Vomer setipinnis*, 1869. C. 284 mm; D. 5,3,23; A. 2,19.

Fig. 2 *V. setipinnis*, 1859. C. 220 mm; D. 8,1,22; A. 2,1,18.

Fig. 3 *V. setipinnis*, 1872. C. 144 mm; D. 5,3,1,23; A. 2,1,18.

Fig. 4 *V. setipinnis*. C. 33 mm; jorobado.

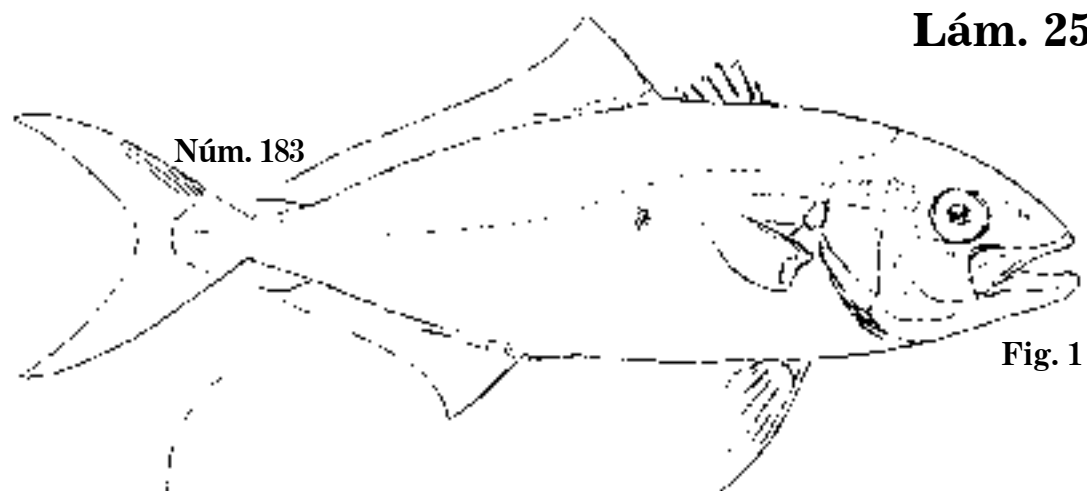


Fig. 1 *Seriola gigas*, 1862. P. 300 mm; D. 7,1,23; A. 2,1,21.

Fig. 2 *S. gigas*, 1860. C. 1 223 mm; D. 7,1,32; A. 2,1,21; coronado.

Lám. 260

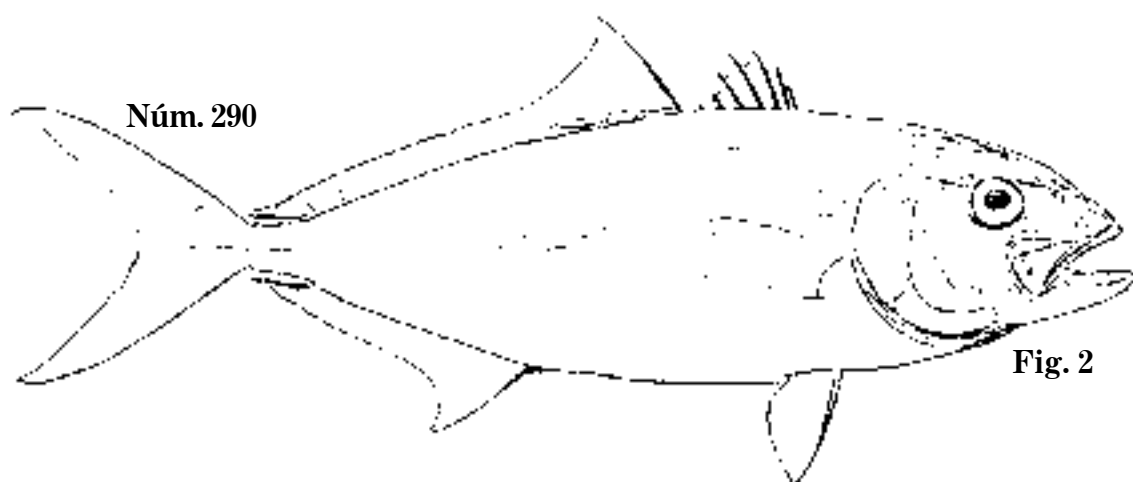
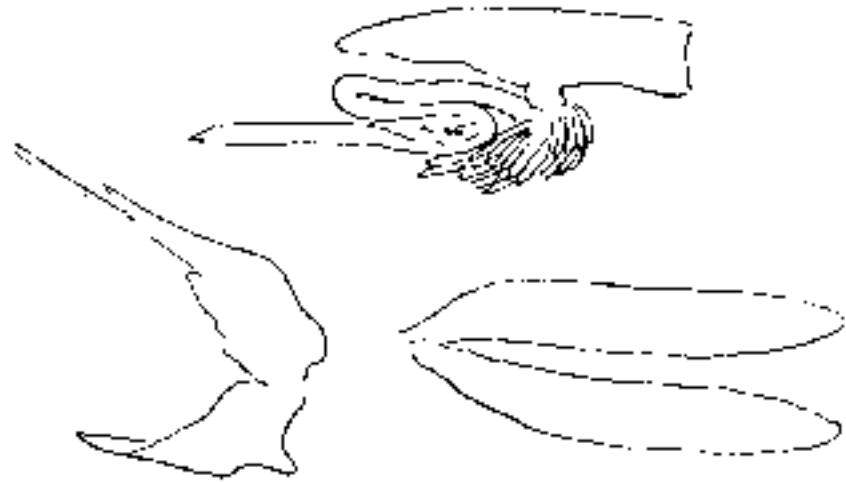
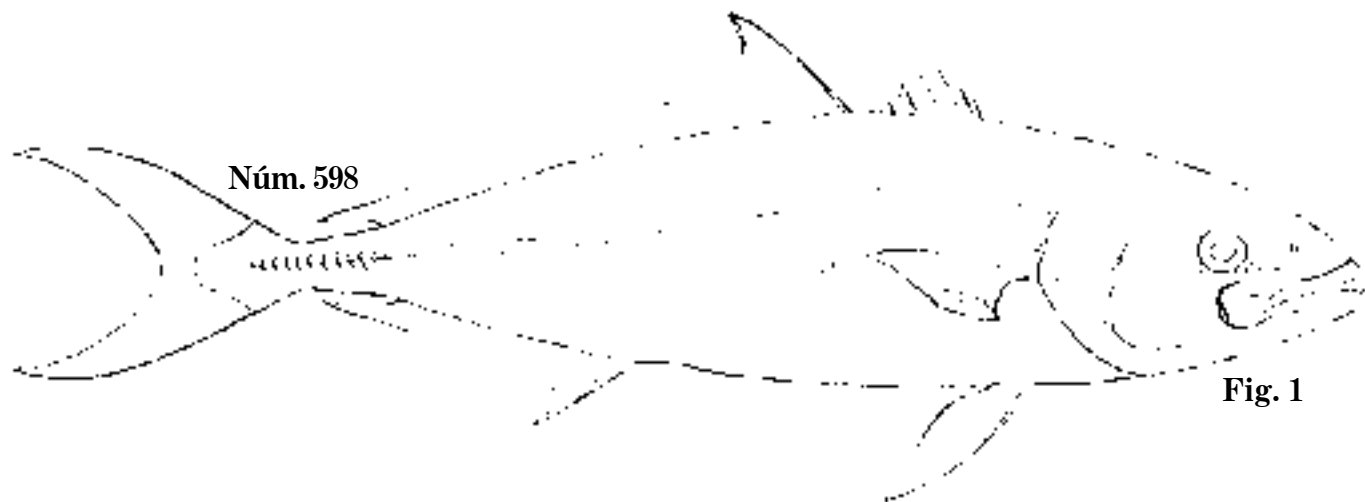


Fig. 1 *Seriola dubia*, 1850. C. 564 mm; D. 6,1,34; A. 2,1,19.
Fig. 2 *S. proxima*. C. 554 mm; D. 7,1,33; A. 3,18; coronado.

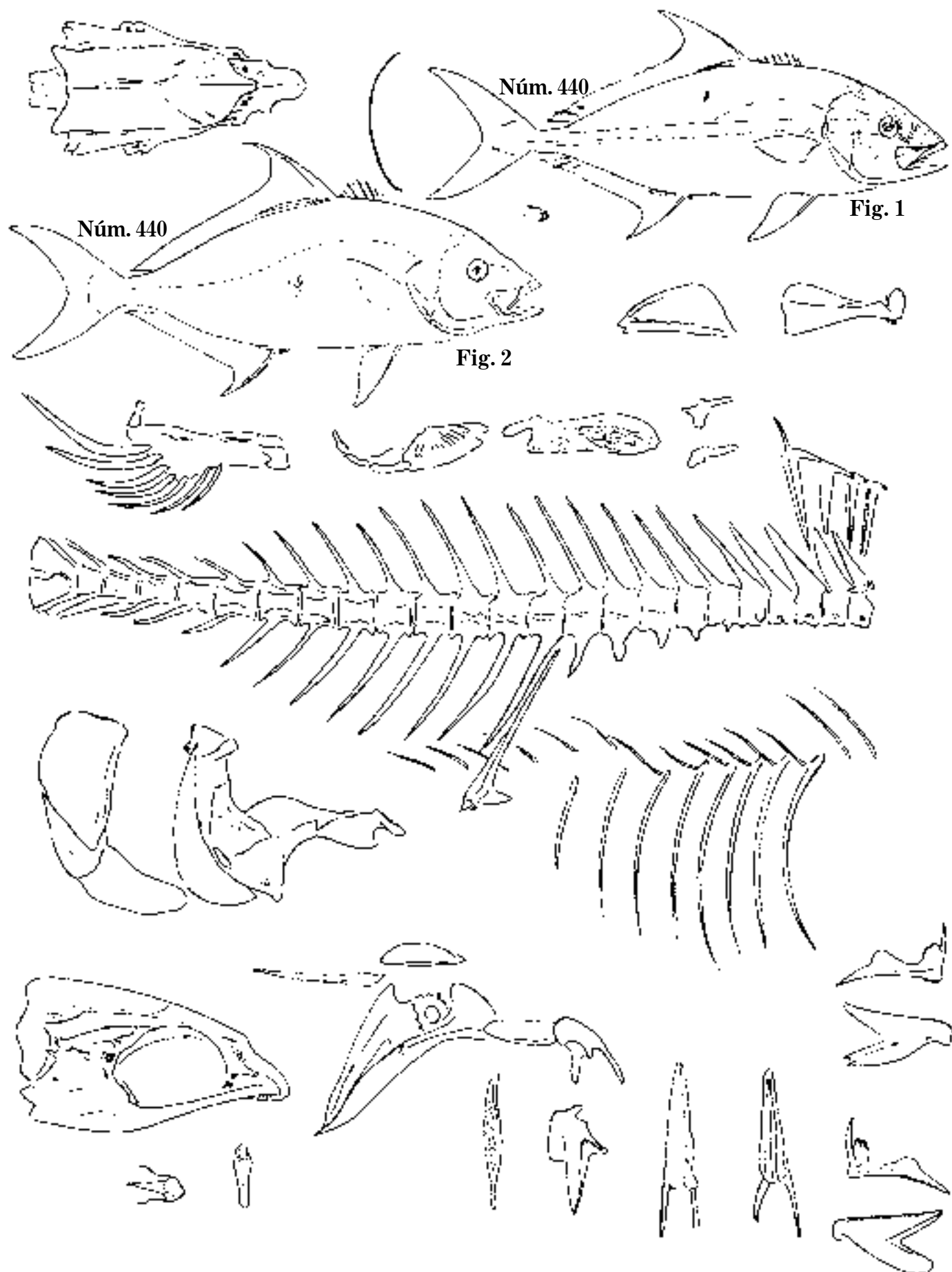


Fig. 1 *Seriola ligulata*, 1860. C. 645 mm; D. 7,1,28; A. 1,1,19.
Fig. 2 *S. ligulata*. C. 495 mm; D. 7,1,30; A. 2,1,21; medregal.

Lám. 262

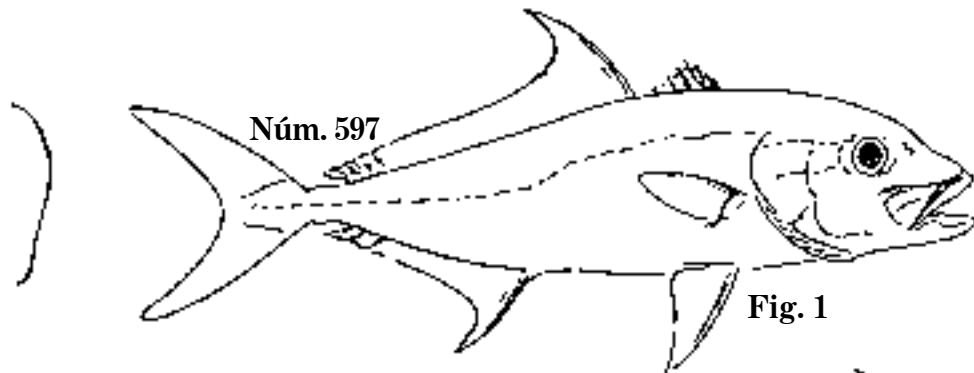


Fig. 1

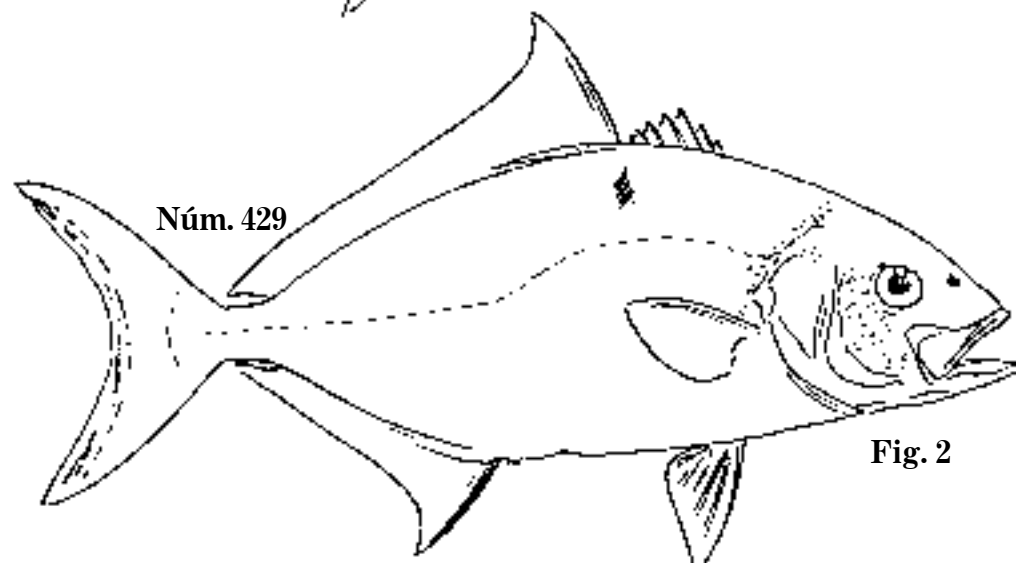


Fig. 2

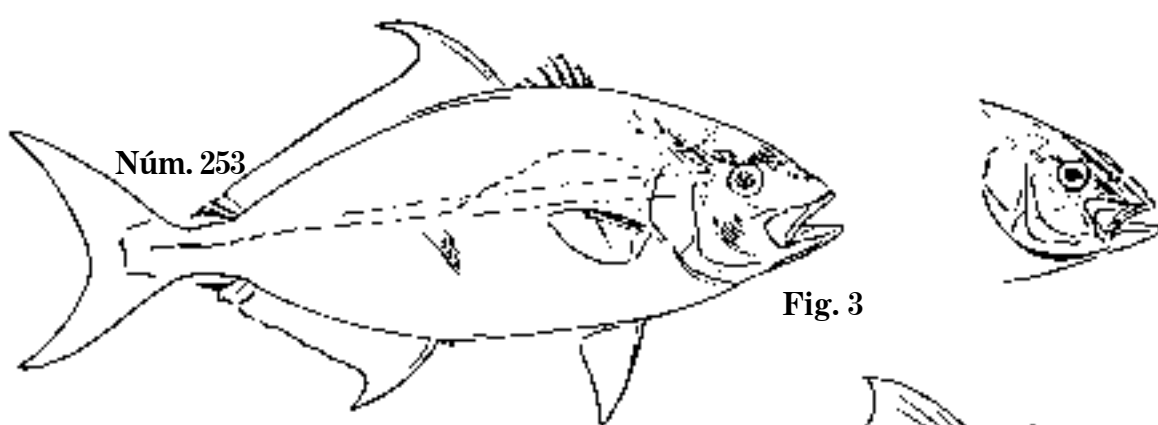


Fig. 3

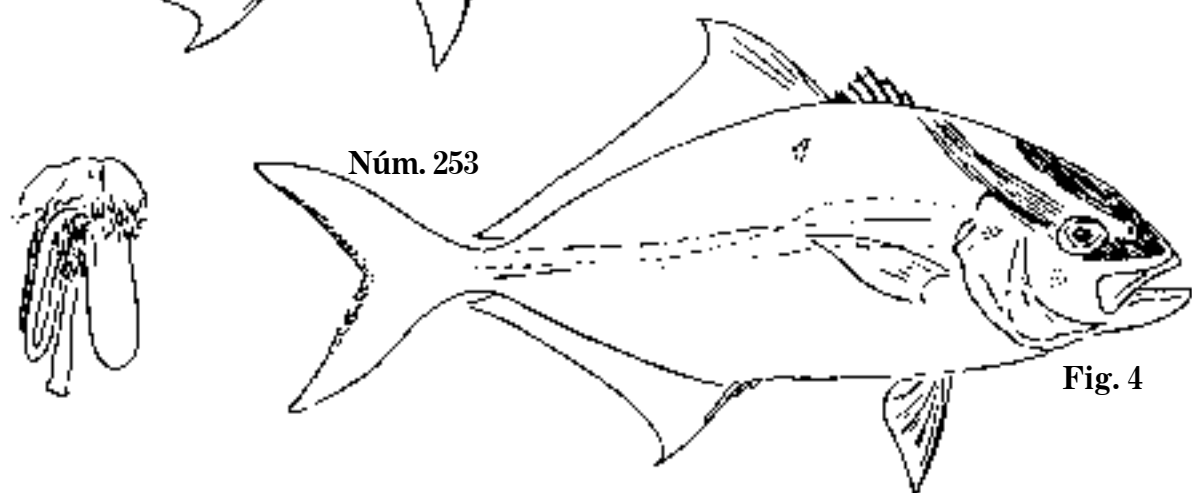


Fig. 4

Fig. 1 *Seriola declivis*, 1860. D. 7,1,27; A. 2,1,17.

Fig. 2 *S. caudalis*, 1857. C. 352 mm; D. 7,1,31; A. 2,1,20.

Fig. 3 *Zonichthys coronatus*, 1849. C. 335 mm; D. 7,1,30; A. 2,1,20.

Fig. 4 *Z. coronatus*, 1870. C. 451 mm; D. 7,28; A. 2,20; medregal.

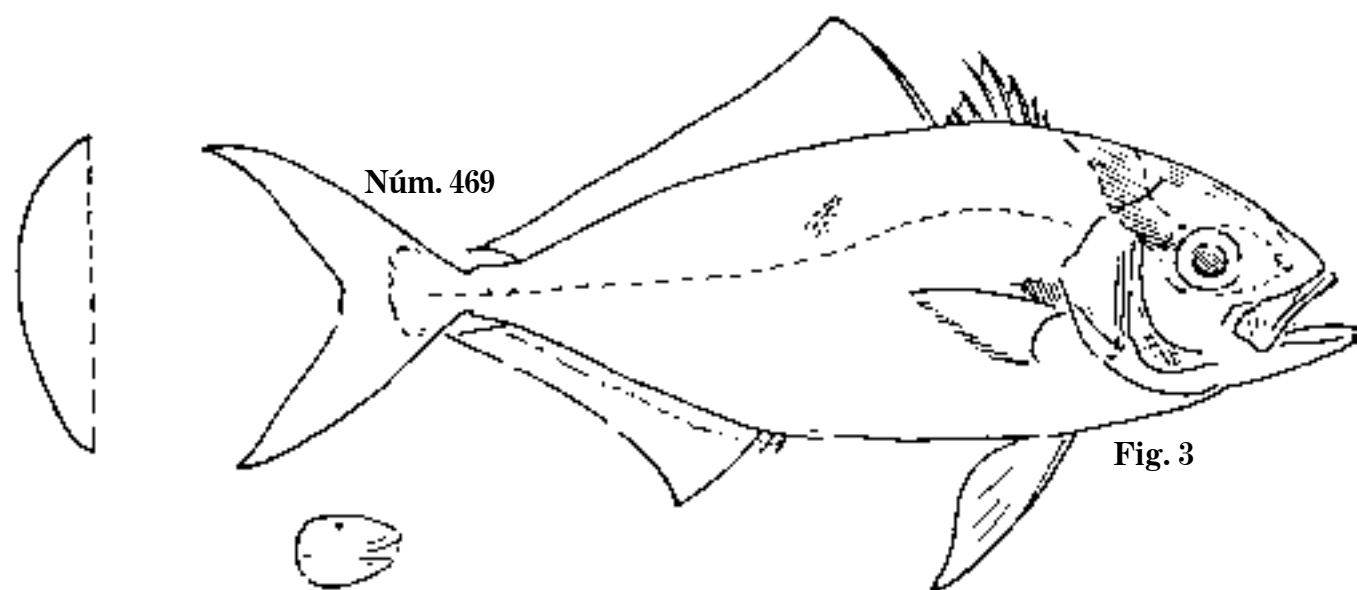
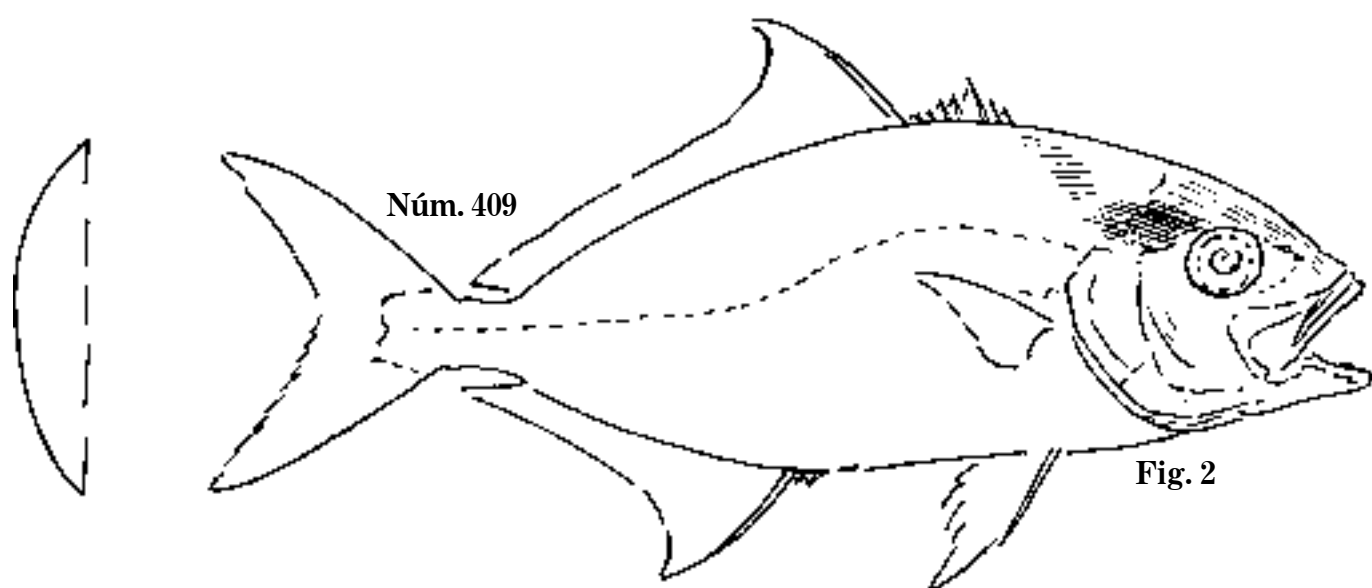
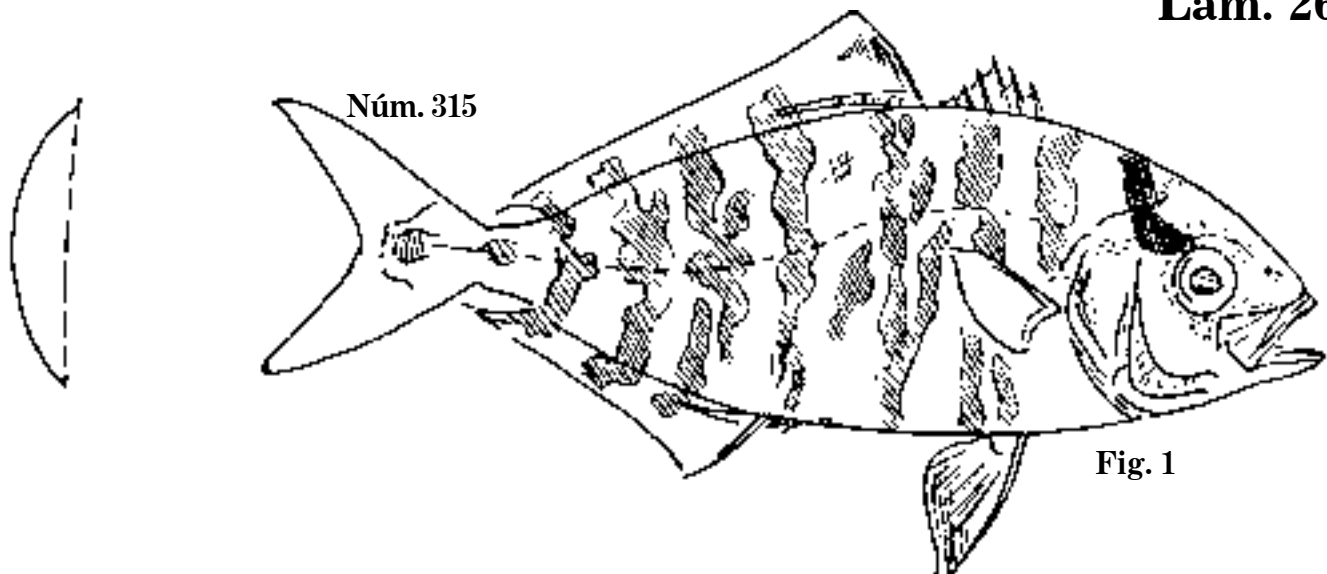


Fig. 1 *Zonichthys fasciatus*, 1862. C. 225 mm; D. 7,1,31; A. 2,1,19.

Fig. 2 *Z. subcoronatus*. C. 246 mm; D. 7,1,29; A. 2,1,21.

Fig. 3 *Z. semicoronatus*. C. 242 mm; D. 8,1,32; A. 2,1,20; medregal.

Lám. 264

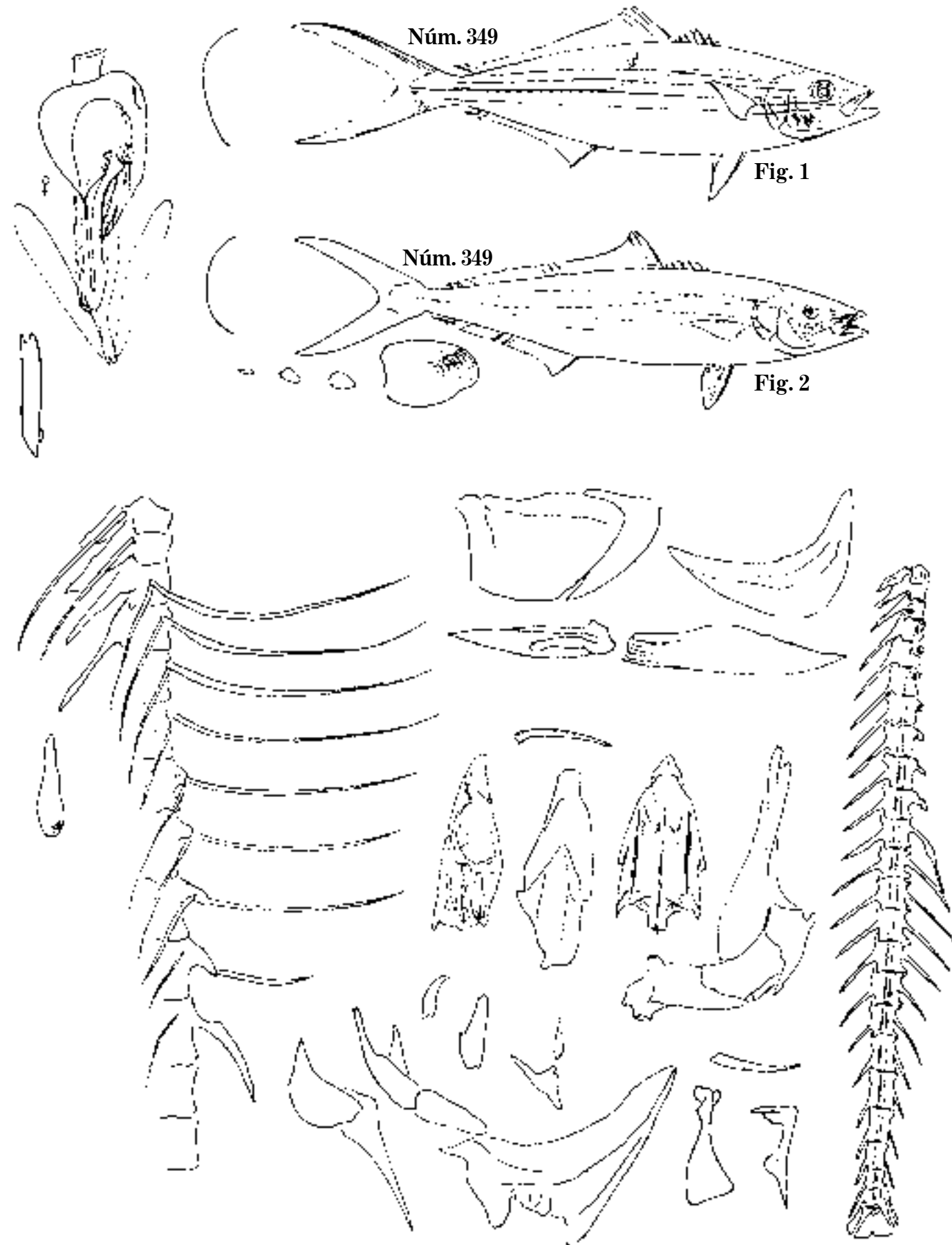


Fig. 1 *Elagatis bipinnulatus*. C. 377 mm; D. 6,1,25,2; A. 1,1,17,2.

Fig. 2 *E. bipinnulatus*, 1859. C. 741 mm; D. 6,1,26-2; A. 1,17,2; salmón.

Lám. 265

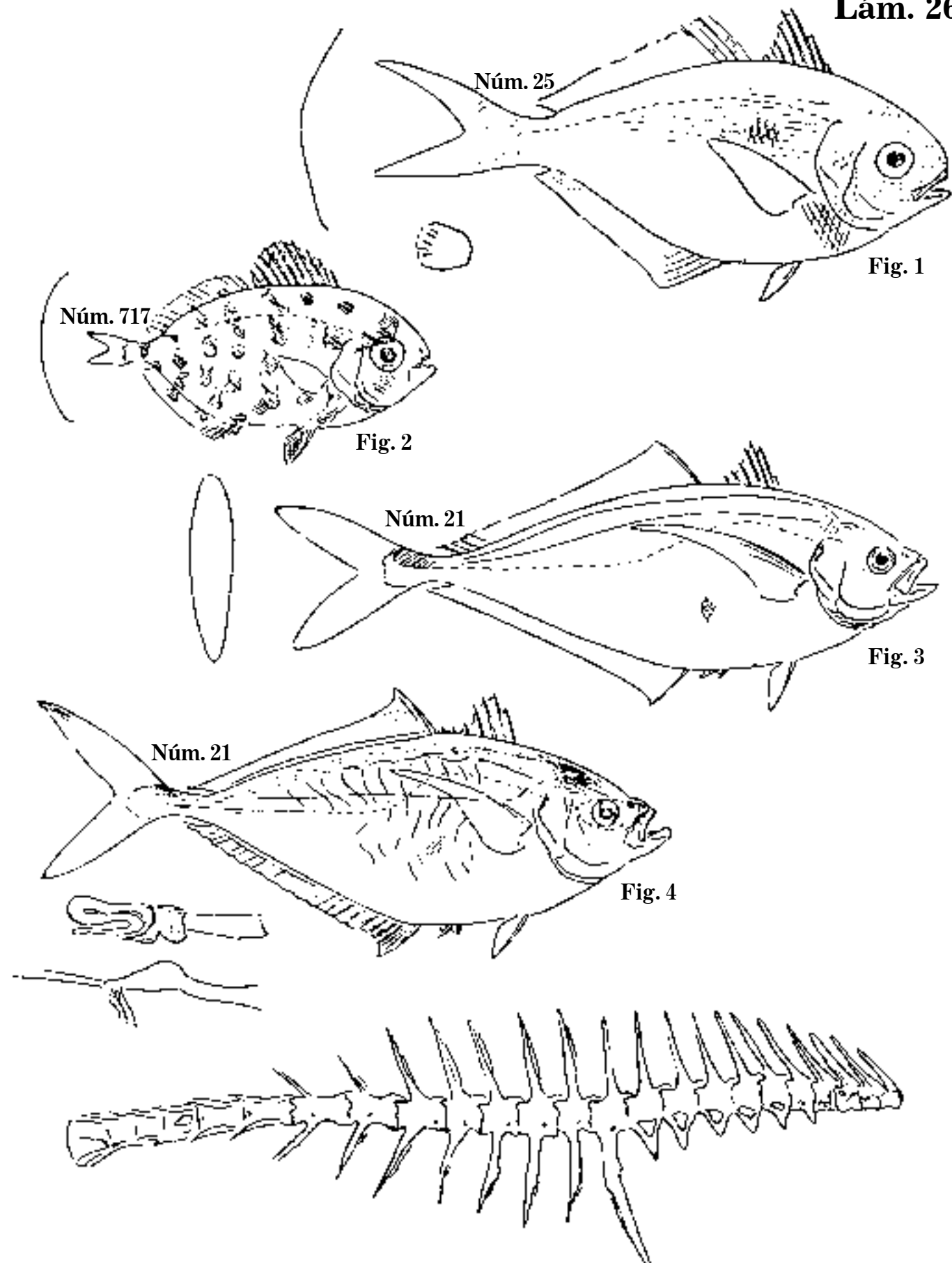


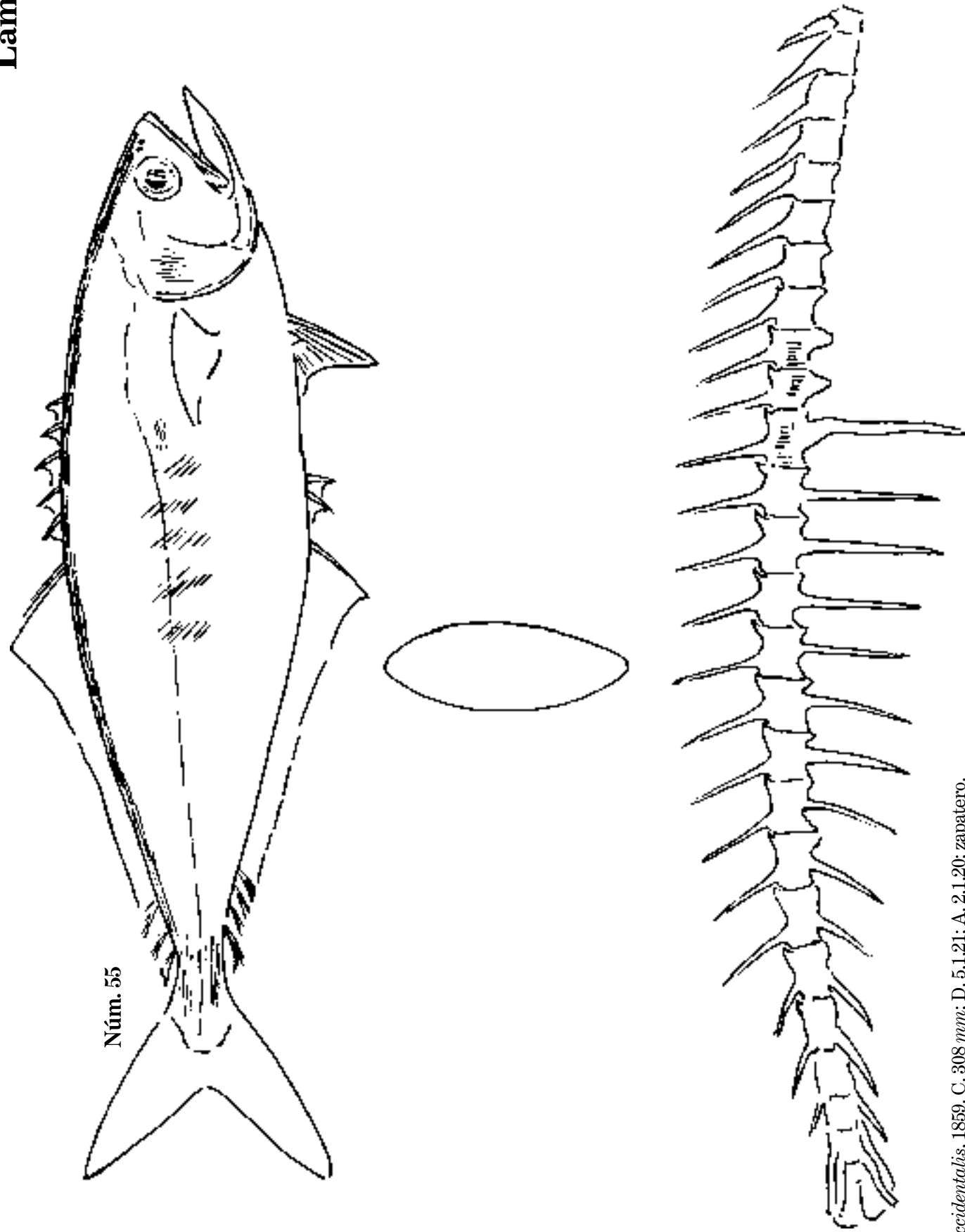
Fig. 1 *Psenes javanicus*, 1870. C. 150 mm; D. 9,1,26; A. 2,27.

Fig. 2 *P. regulus*. C. 90 mm; D. 11,15; A. 3,15; S.N.C.

Fig. 3 *Chloroscombrus chrysurus*, 1859. C. 345 mm; D. 7,1, 28; A. 2,1,27.

Fig. 4 *Ch. chrysurus*. C. 277 mm; D. 7,?; A.?; casabe.

Lám. 266



Oligoplites occidentalis, 1859. C. 308 mm; D. 5,1,21; A. 2,1,20; zapatero.

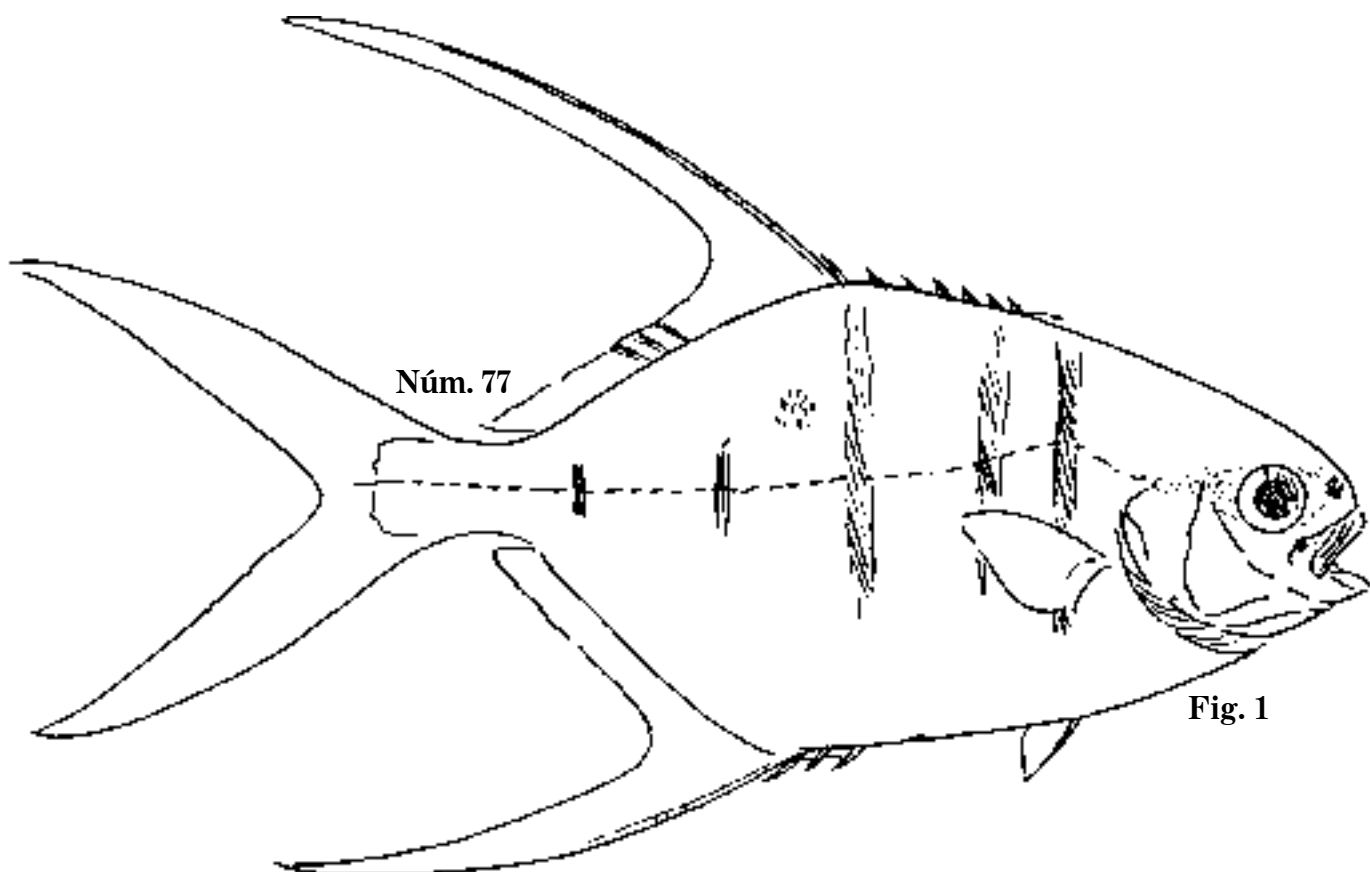


Fig. 1

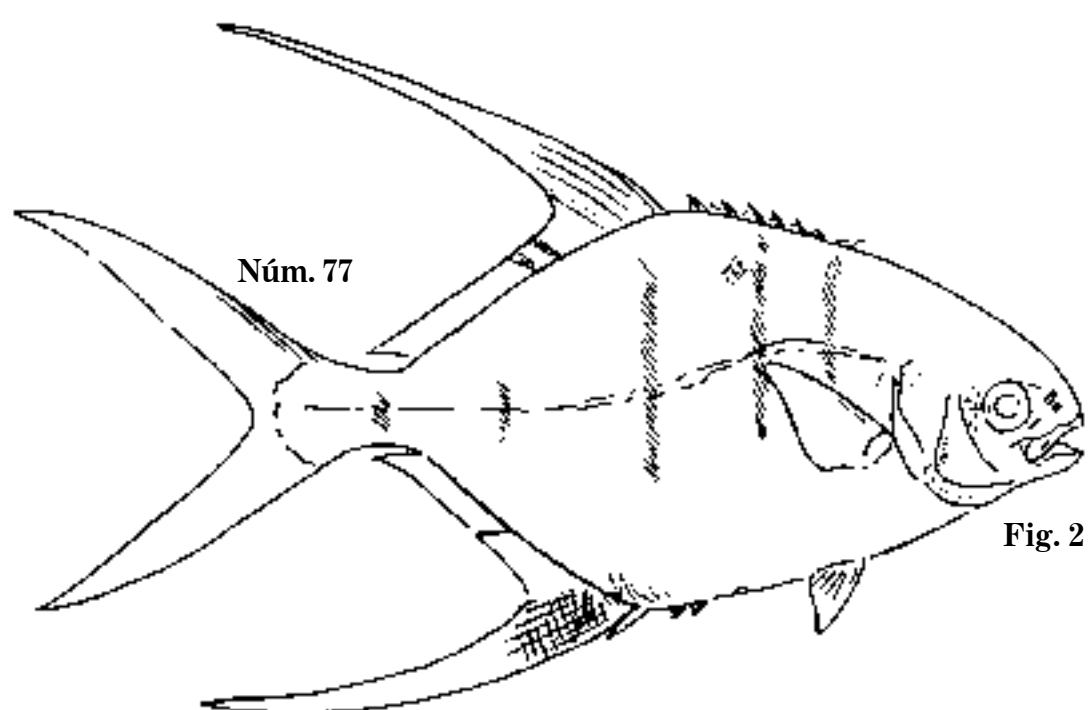


Fig. 2

Fig. 1 *Trachynotus glaucus*, 1865. C. 384 mm; D. 7,1,19; A. 2,1,17.
Fig. 2 *T. glaucus*, 1855. C. 292 mm; D. 7,1,20; A. 2,1,17; palometa.

Lám. 268

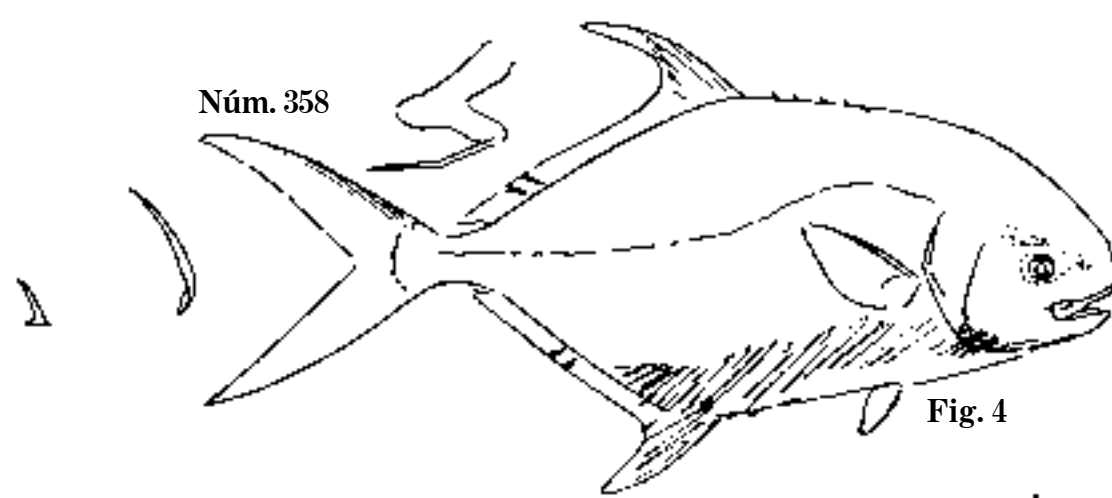
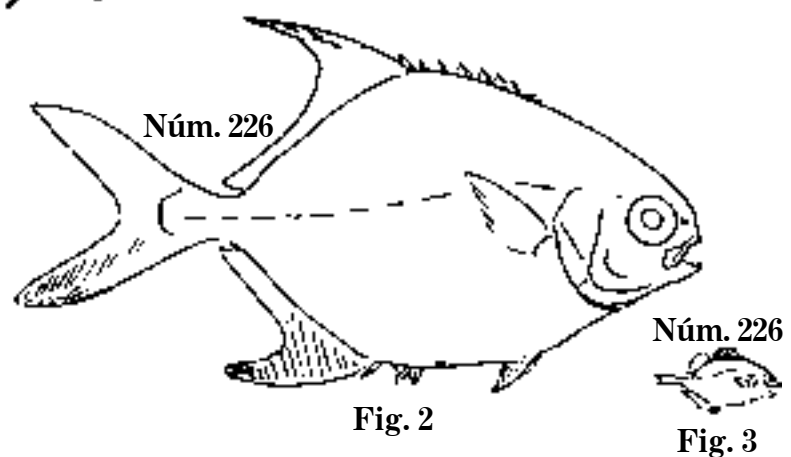
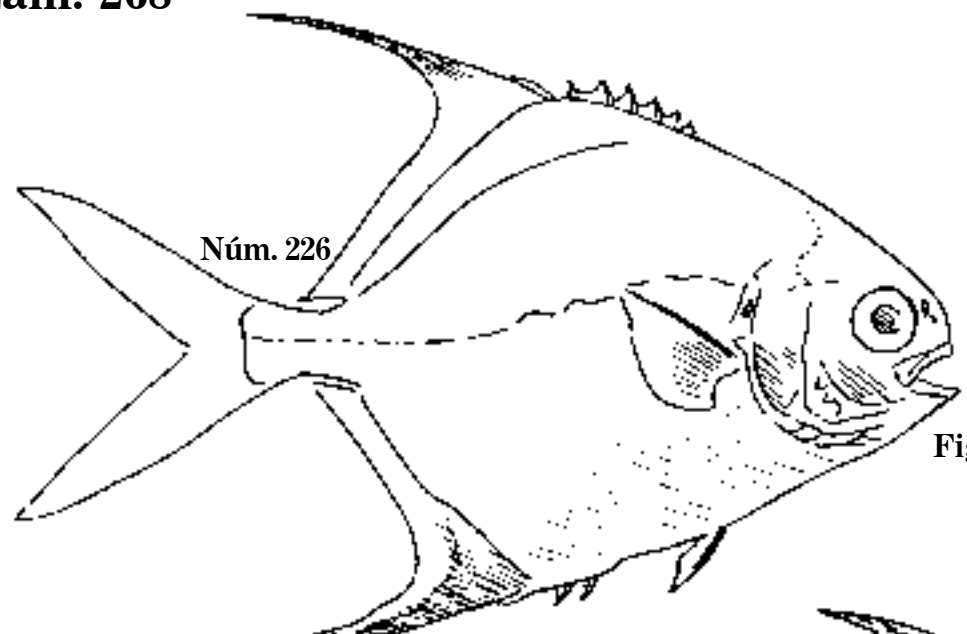


Fig. 1 *Trachynotus ovatus*, 1860. P. 153 mm; D. 6,1,19; A. 2,1,17.

Fig. 2 *T. ovatus*, 1859. P. 112 mm.

Fig. 3 *T. ovatus*. C. 20 mm; D. 7,?; A. 3,?

Fig. 4 *T. carolinus*, 1855. P. 900 mm; D. 5,1,19; A. 2,1,18; palometa.

Lám. 269

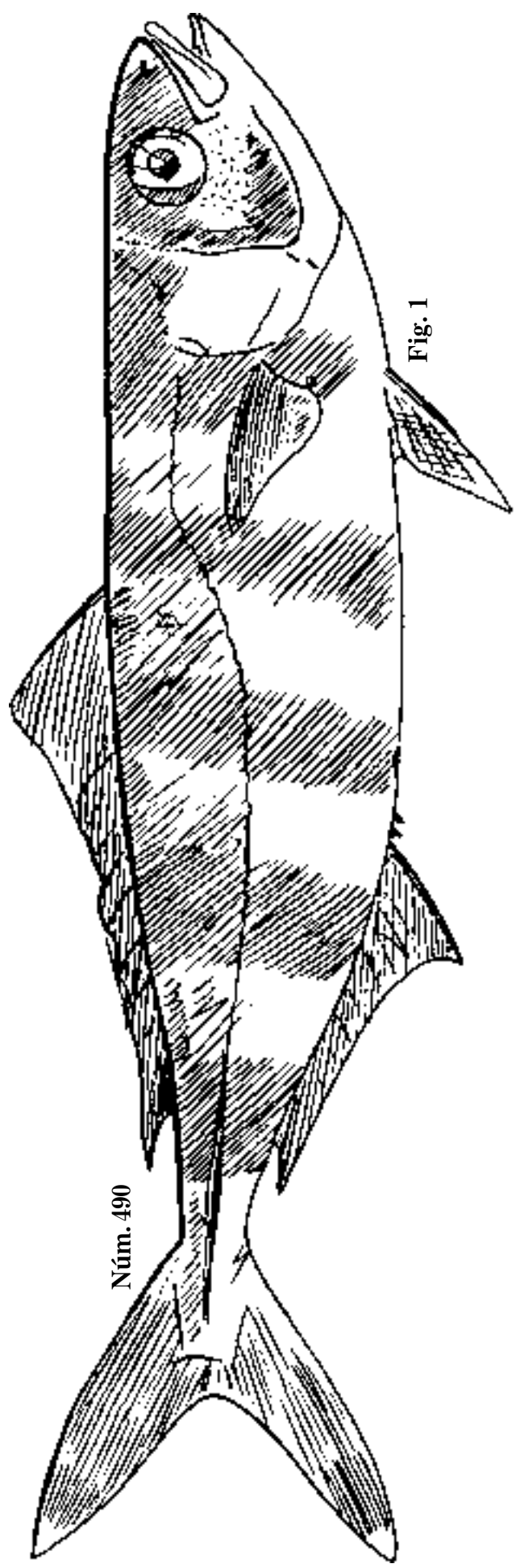


Fig. 1

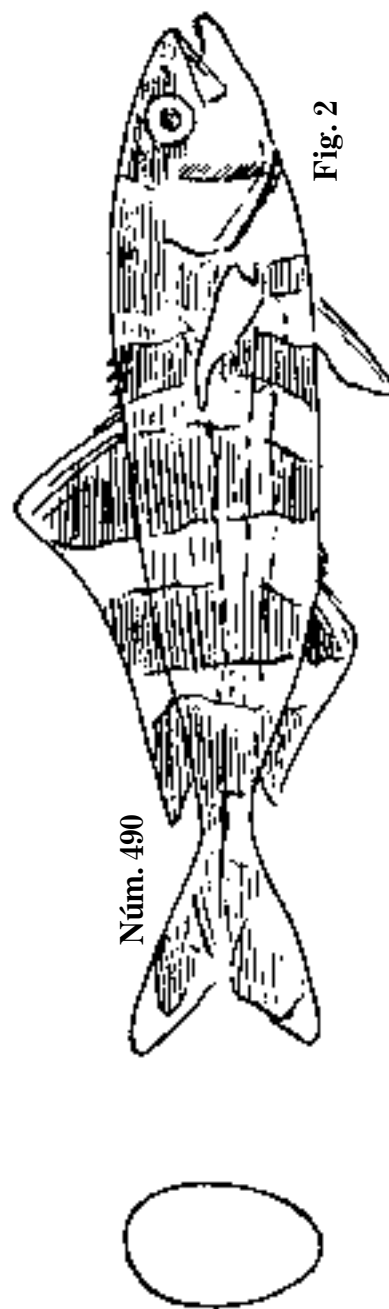
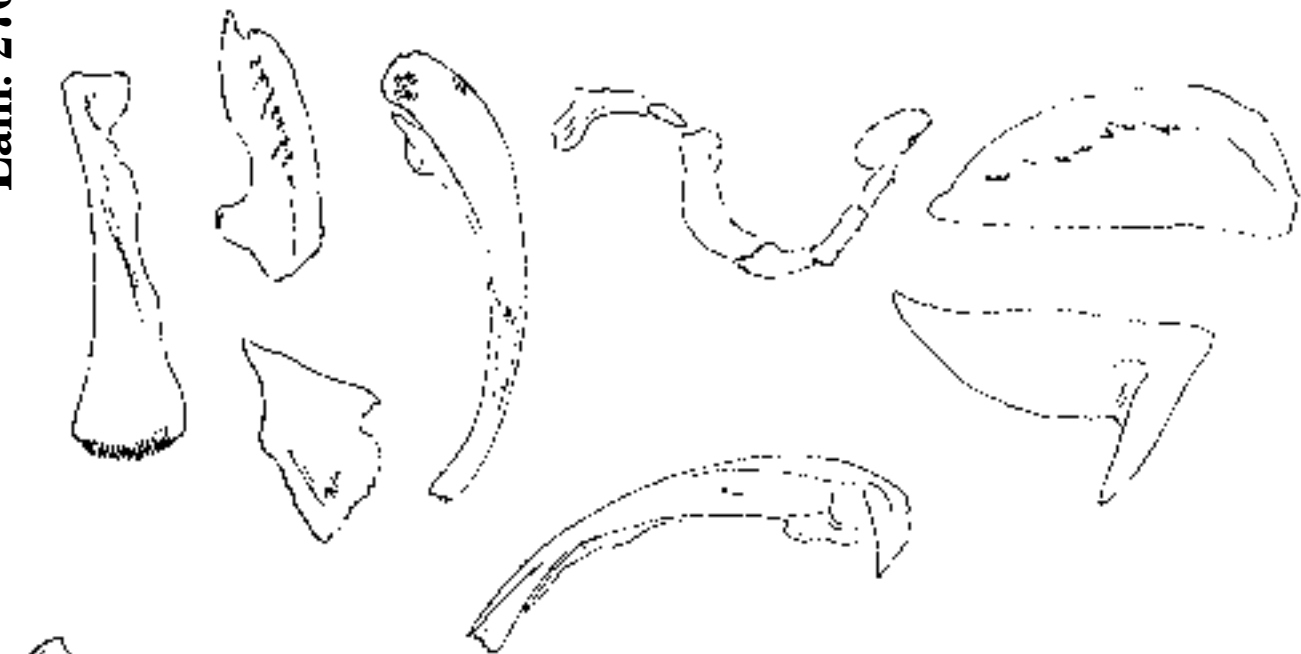


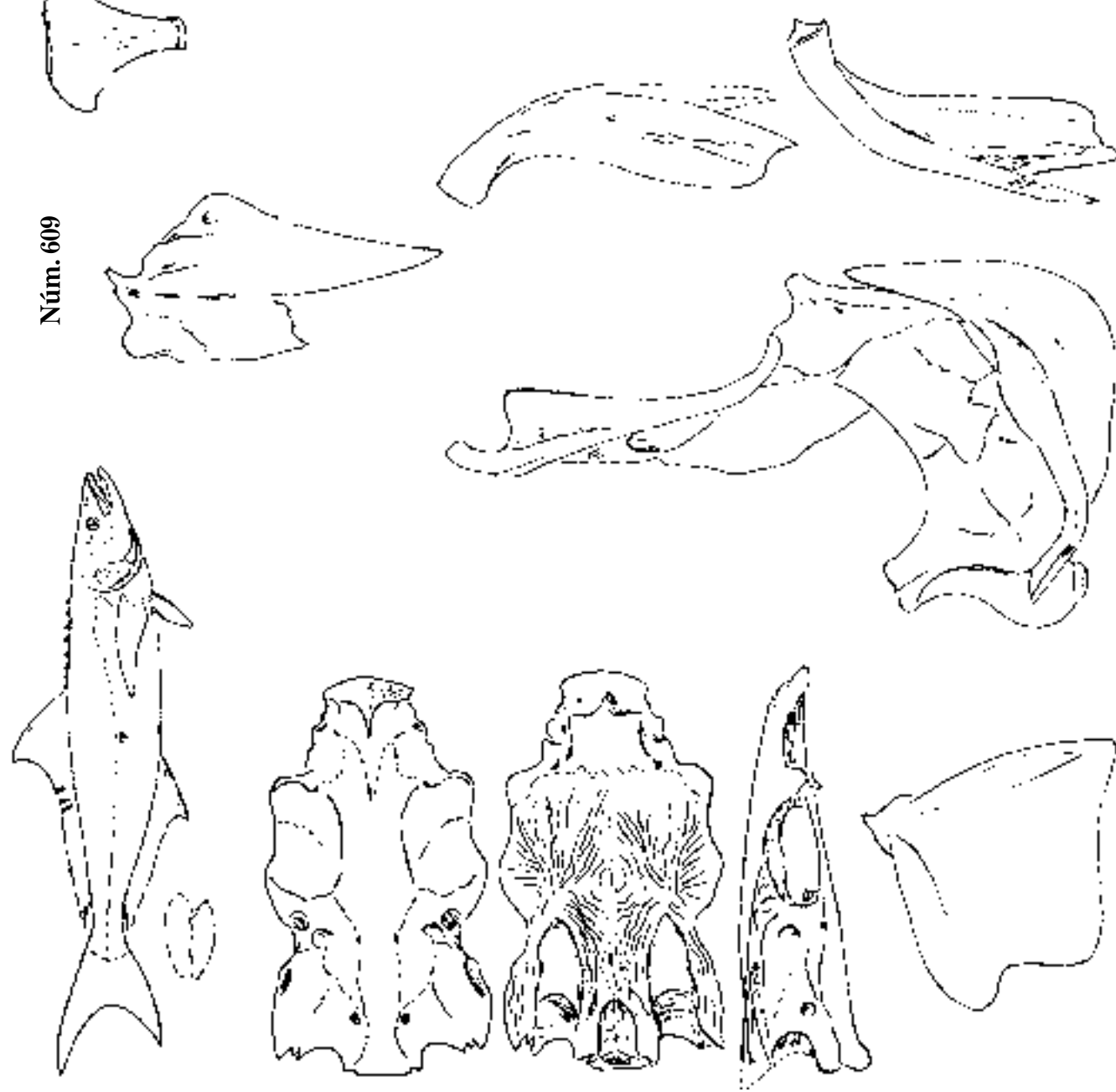
Fig. 2

Fig. 1 *Nauvirates ductor*, 1859. C. 320 mm; D. 4,1,24; A. 2,1,16.
Fig. 2 *N. ductor*, 1877. C. 103 mm; D. 4,1,26; A. 2,17; piloto.

Lám. 270



Núm. 609



Elacate canada, 1860. C. 868 mm; D.83,28; A.3,21; bacalao.

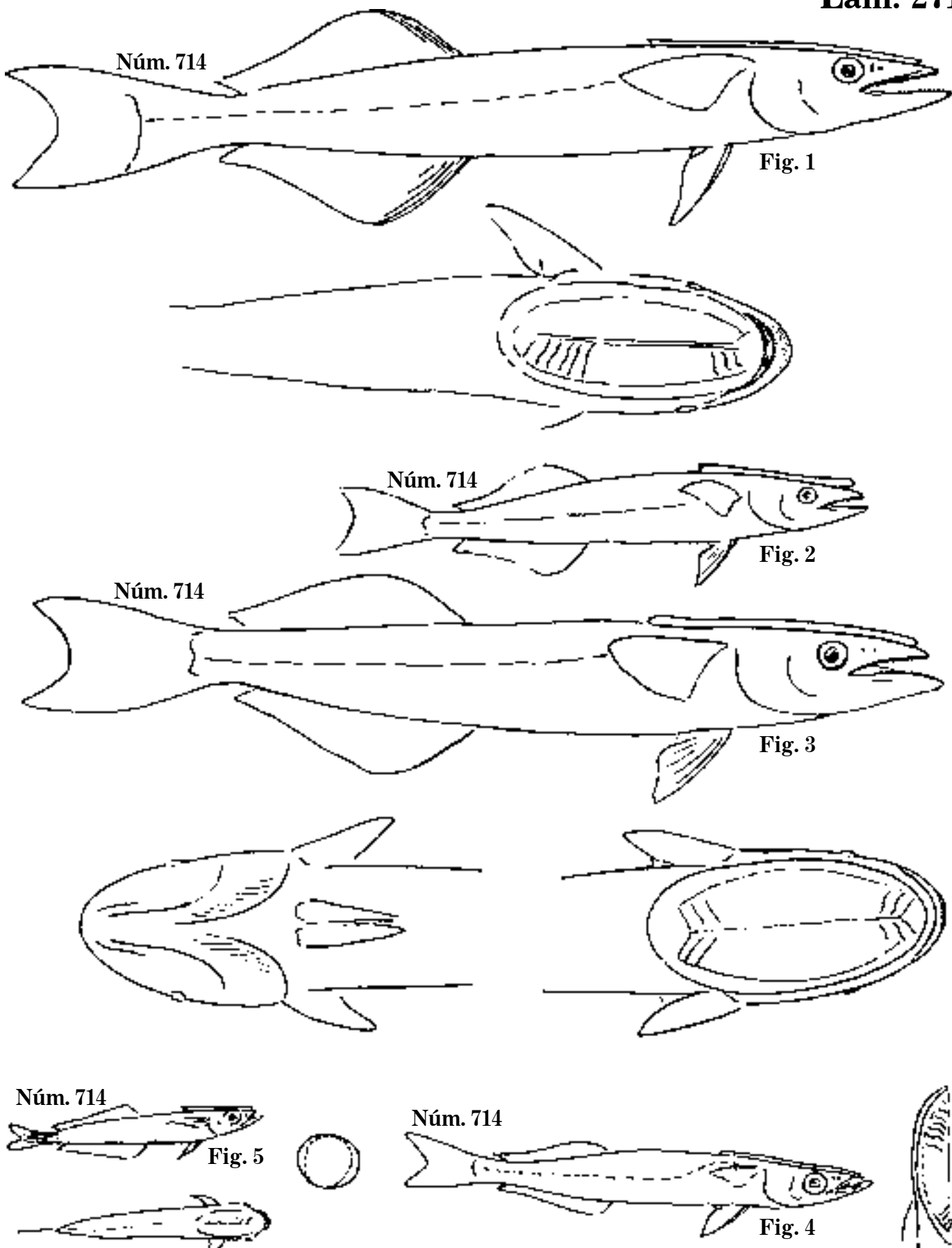
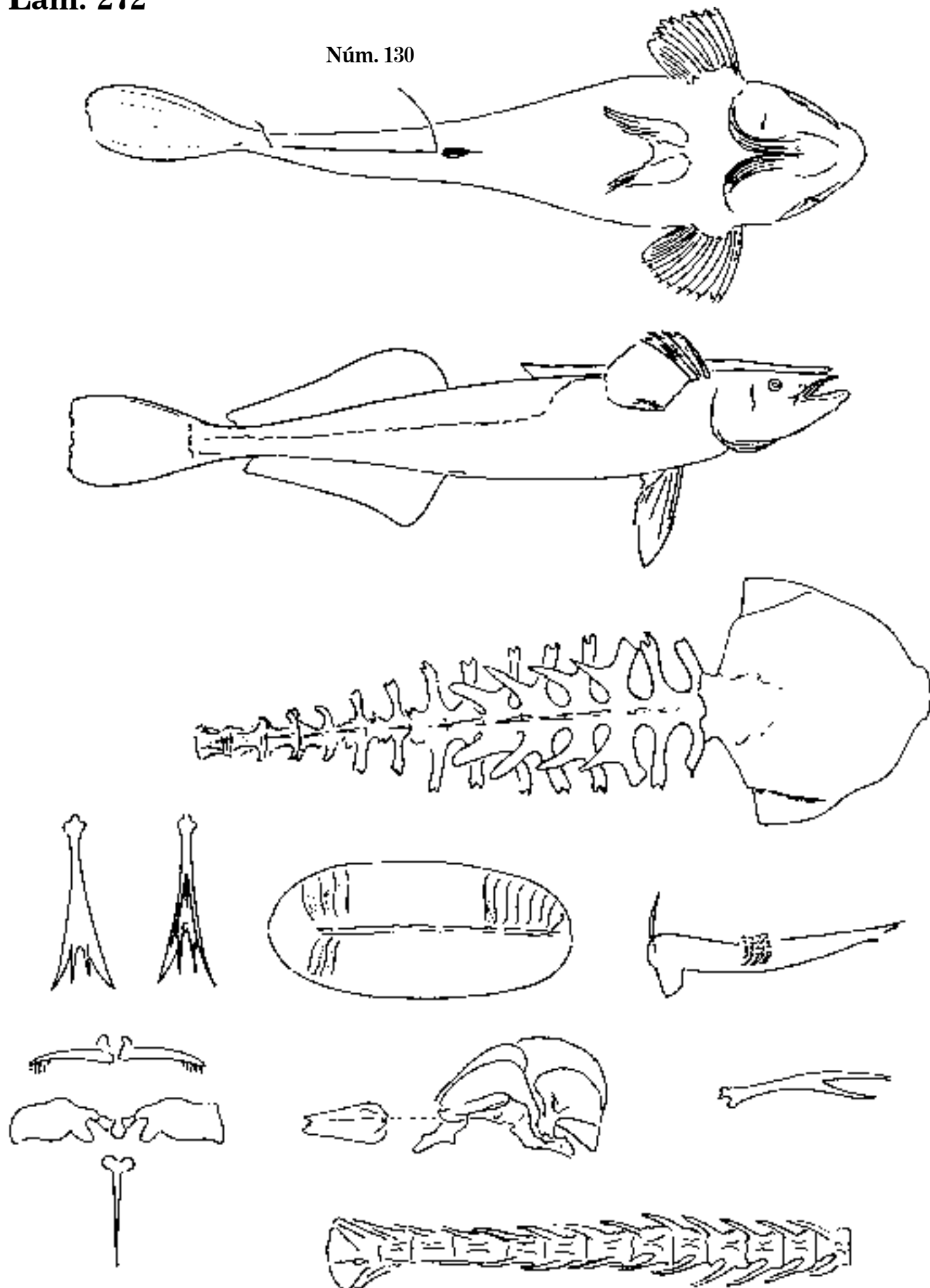


Fig. 1 *Echeneis remora*. C. 209 mm; D. 21,?; A. 22,?
 Fig. 2 *E. remora*, 1869. C. 118 mm.
 Fig. 3 *E. remora*, 1869. C. 203 mm; D. 22,?; A. 21,?

Fig. 4 *E. remora*. C. 113 mm.
 Fig. 5 *E. remora*, 1877. C. 56 mm; pega.

Lám. 272

Núm. 130



Rhombichirus tetrapleurorum, 1865. C. 396 mm; pega.

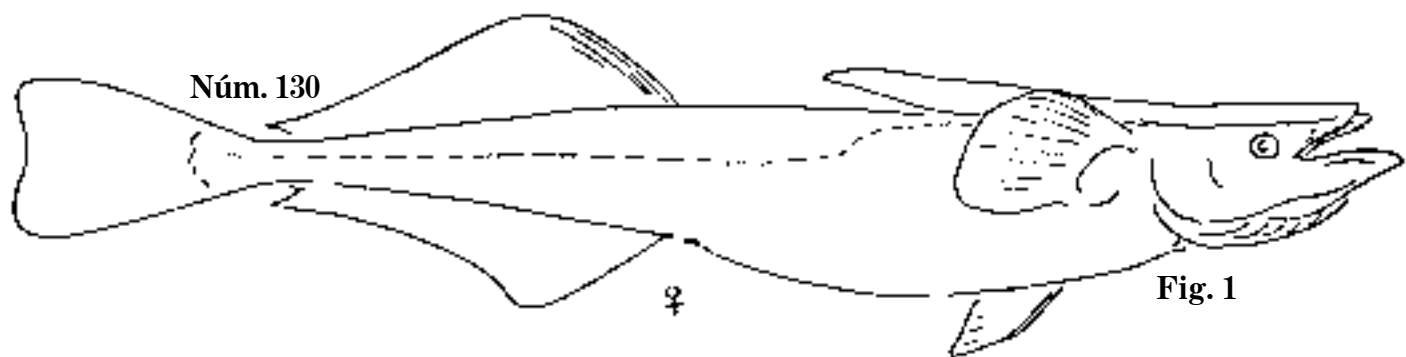


Fig. 1

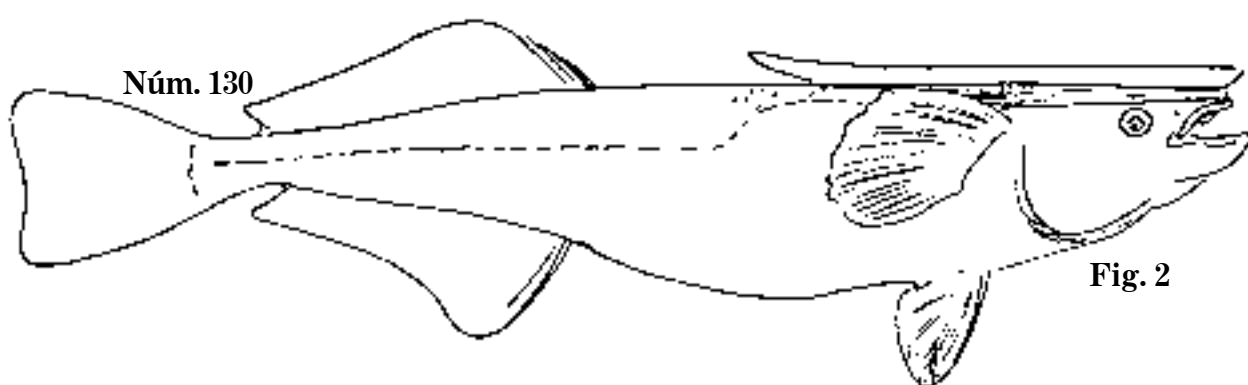


Fig. 2



Fig. 1 *Rhombochirus tetrapeltatus*. C. 223 mm; D. 23; A. 23.
Fig. 2 *R. tetrapeltatus*. C. 201 mm; D. 23; A. 21; pega.

Lám. 274

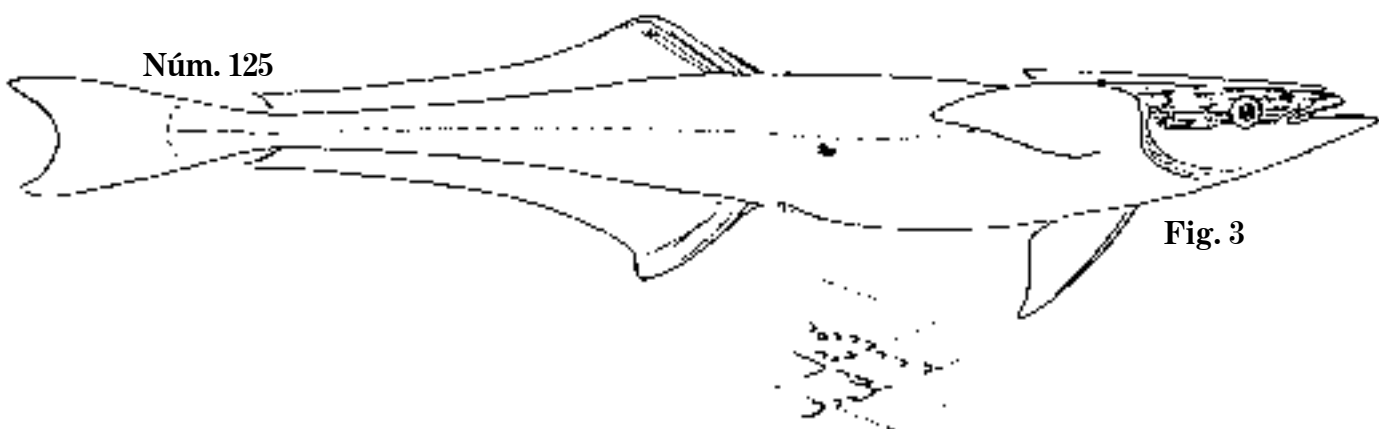
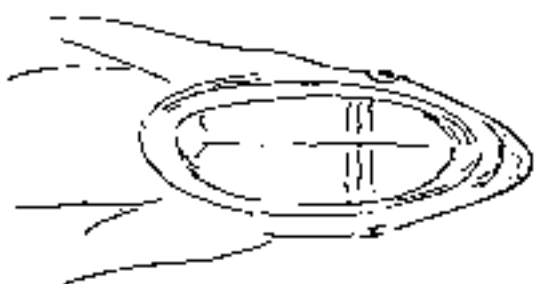
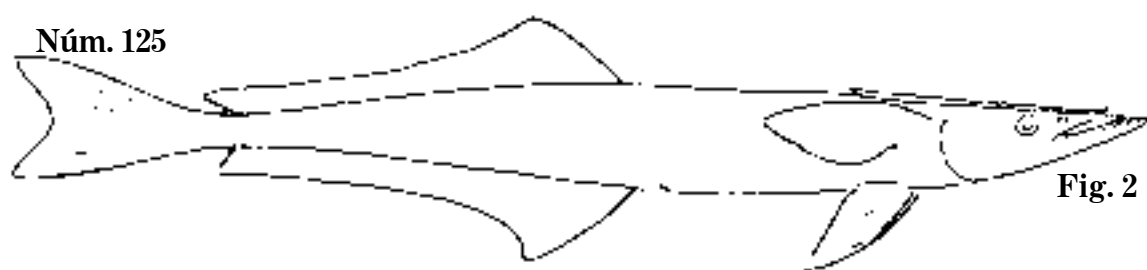
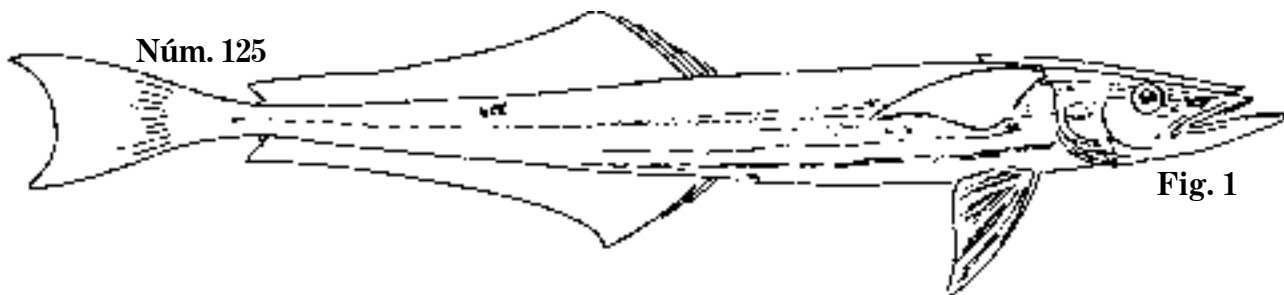


Fig. 1 *Leptecheneis Naucrates*, 1860. P. 680 mm; D. 41; A. 40.

Fig. 2 *L. Naucrates*, 1859. P. 800 mm; D. 34; A. 34.

Fig. 3 *L. Naucrates*, 1875. C. 718 mm; D. 35; A. 36; pega.

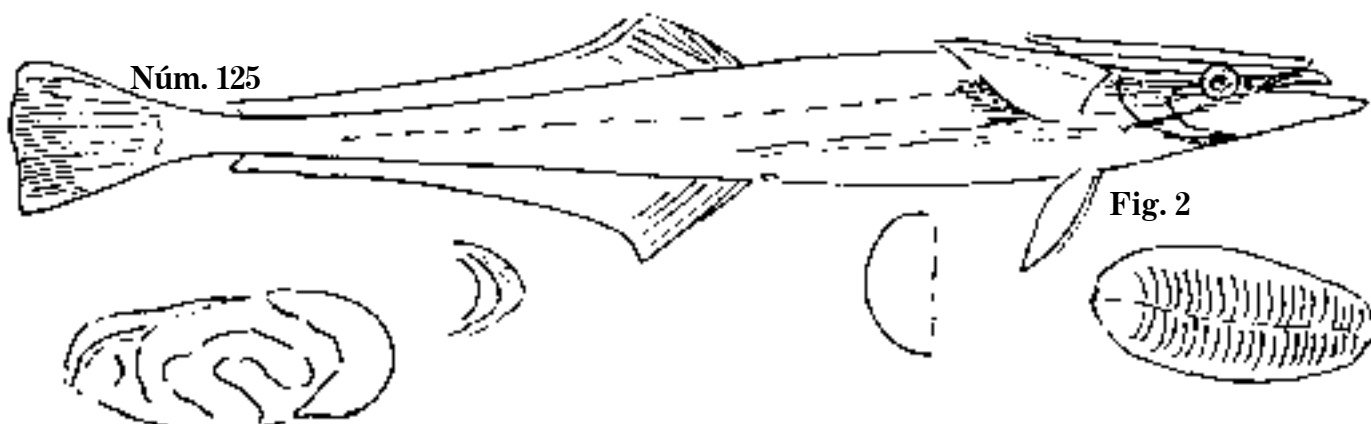
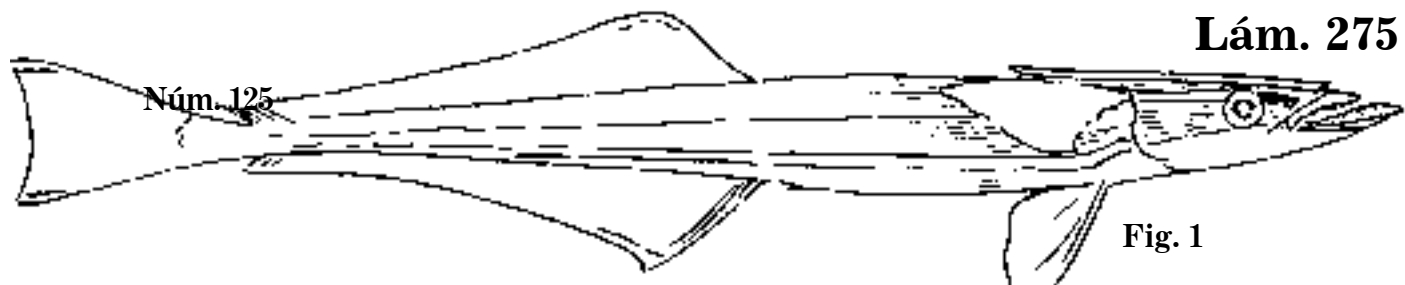


Fig. 2

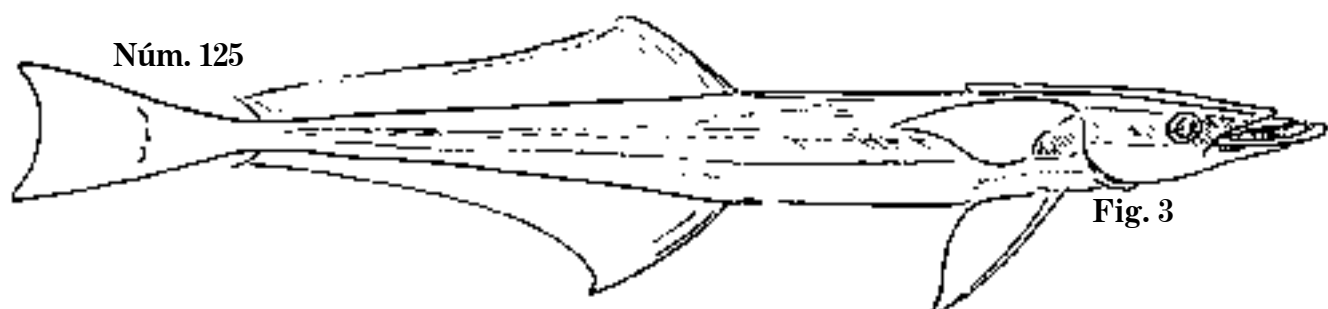


Fig. 3

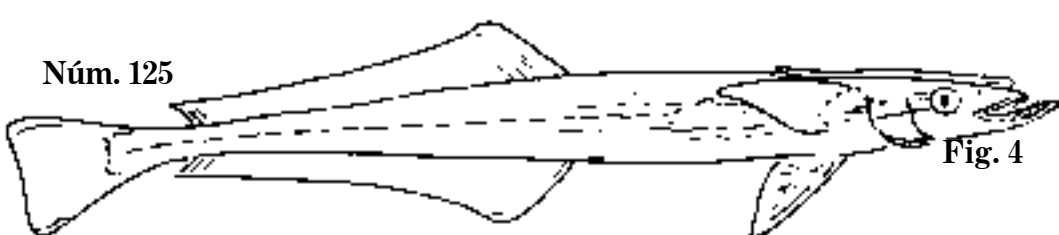
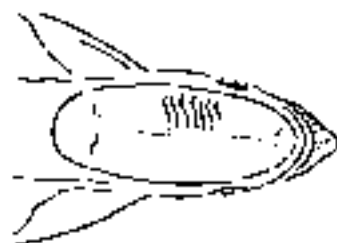


Fig. 4

Fig. 1 *Leptecheneis Naucrates*, 1864. C. 390 mm; D. 35; A. 34.

Fig. 2 *L. Naucrates*, 1876. C. 380 mm; D. 2,32; A. 2,33.

Fig. 3 *L. Naucrates*, 1862. P. 535 mm; D. 36; A. 34.

Fig. 4 *L. Naucrates*, 1864. P. 440 mm; D. 37; A. 37; pega.

Lám. 276

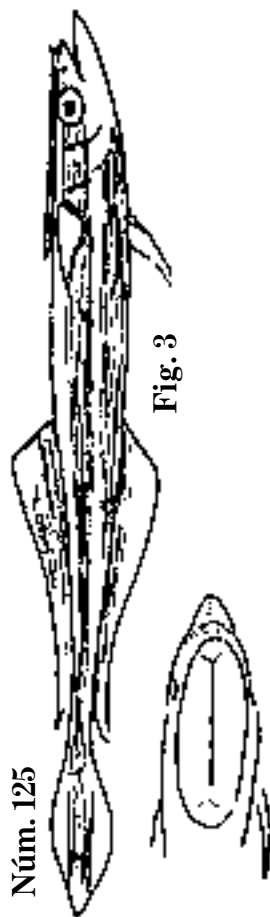
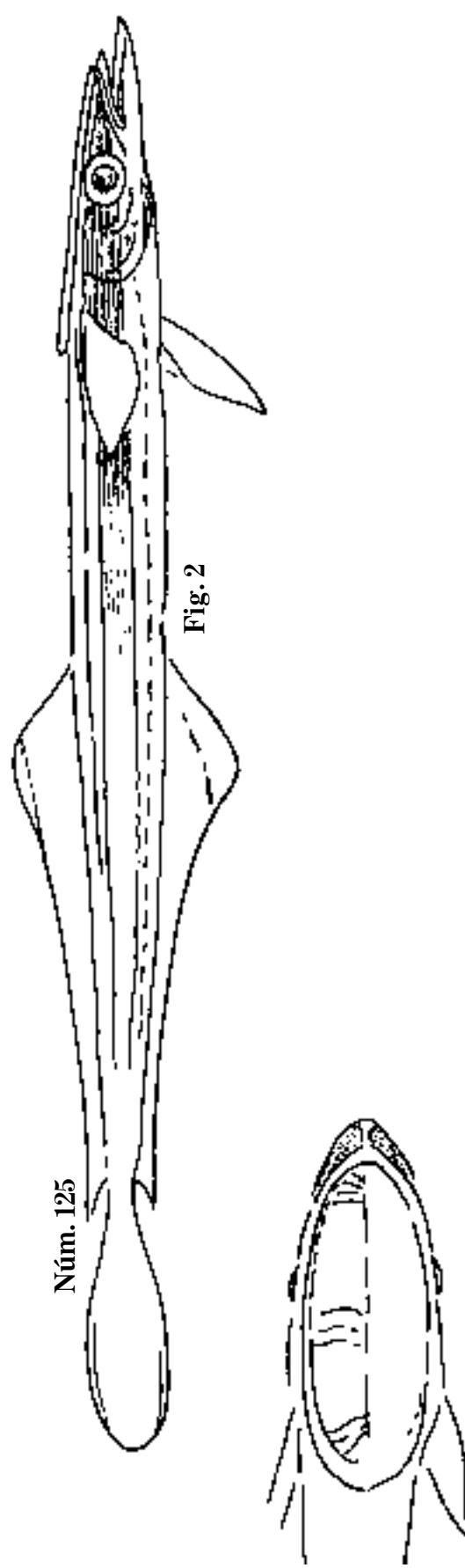
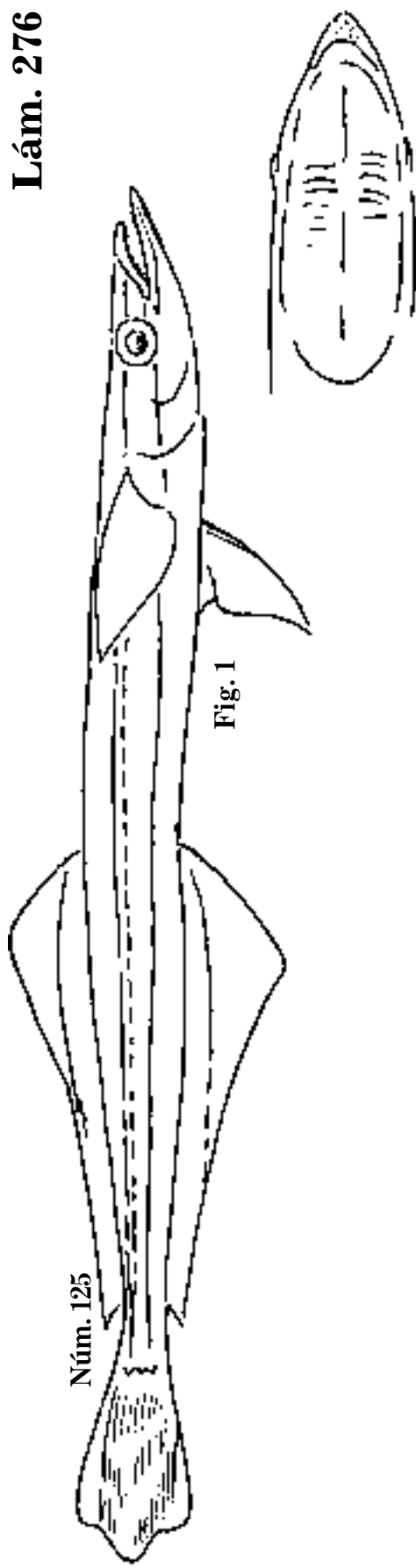
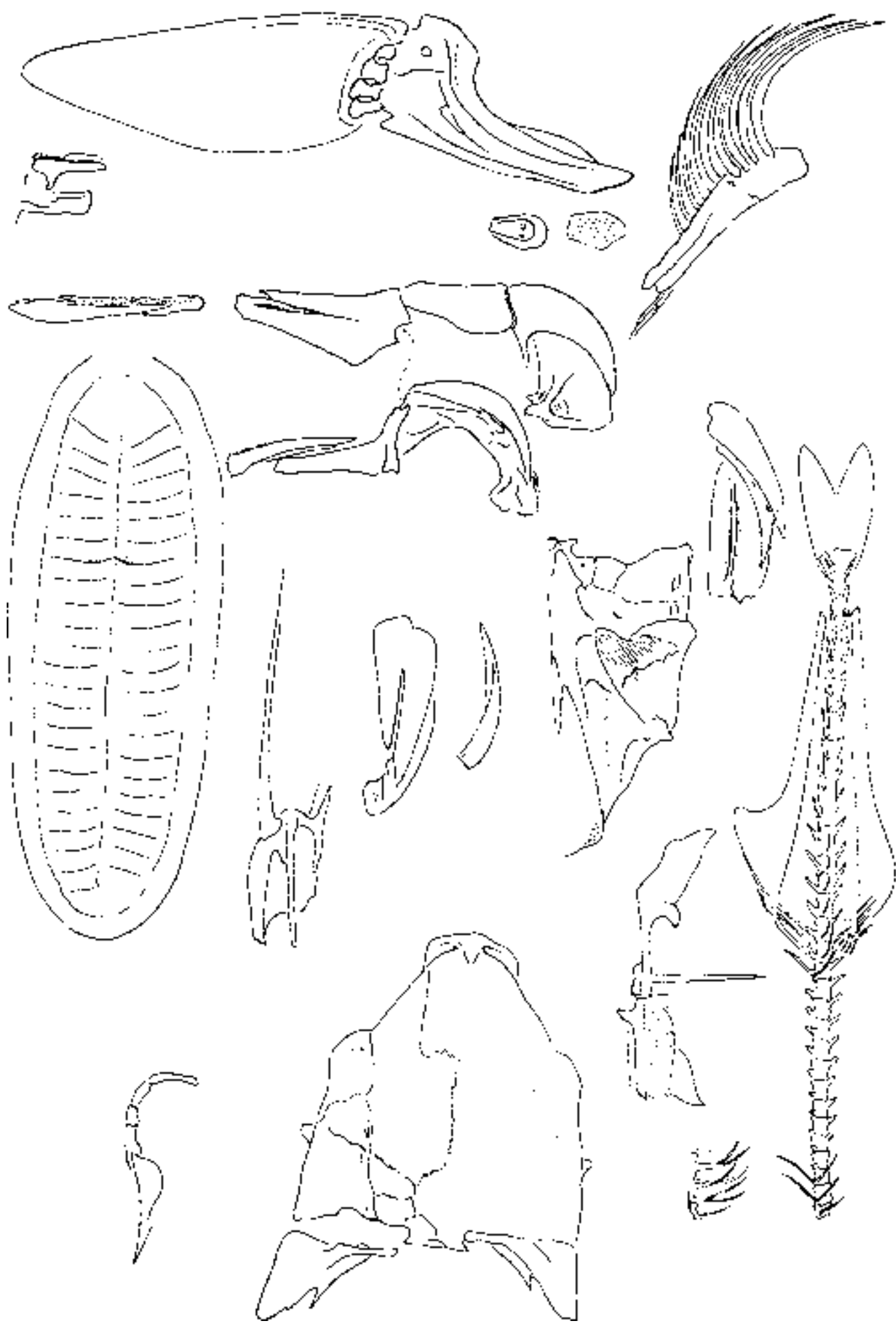


Fig. 1 *Leptecheneis Naukrates*, 1866. C. 190 mm; D. 31; A. 31.

Fig. 2 *L. Naukrates*. P. 200 mm.

Fig. 3 *L. Naukrates*. C. 108 mm; pega.

Núm. 125



Leptocheneis naufragatus. Osteología; pega.

Lám. 277

Lám. 278

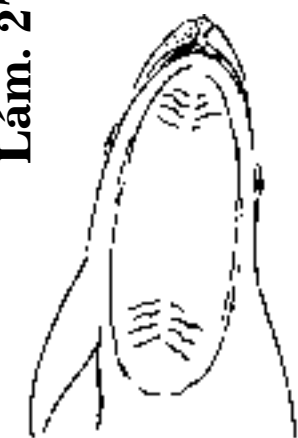
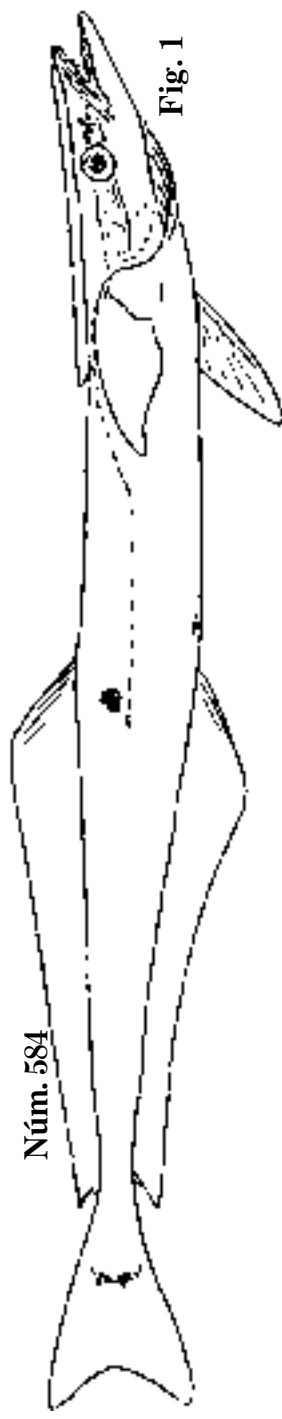


Fig. 1



Núm. 600

Fig. 2

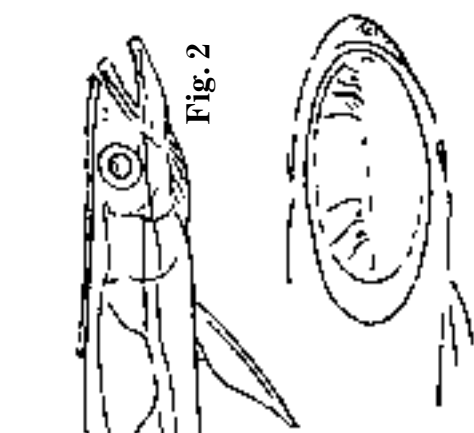


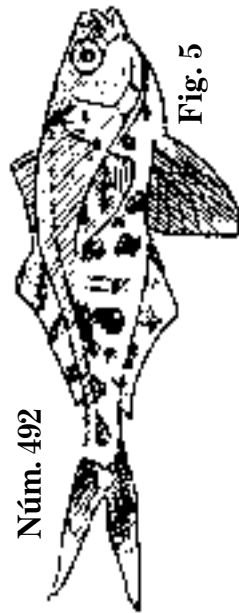
Fig. 3

Núm. 603



Núm. 492

Fig. 4



Núm. 492

Fig. 5

Fig. 1 *Leptecheneis metallica*, 1860. P. 600 mm; D. 40; A. 37.

Fig. 2 *Phtheirichthys lineatus*. C. 263 mm.

Fig. 3 *Phtheirichthys sphyraenarum*. C. 71 mm; pega.

Fig. 4 *Nomus oxyurus*, 1877. C. 156 mm; D. 9,17; A. 29.

Fig. 5 *N. oxyurus*. C. 88 mm; D. 9,22; A. 2,30; S.N.C.

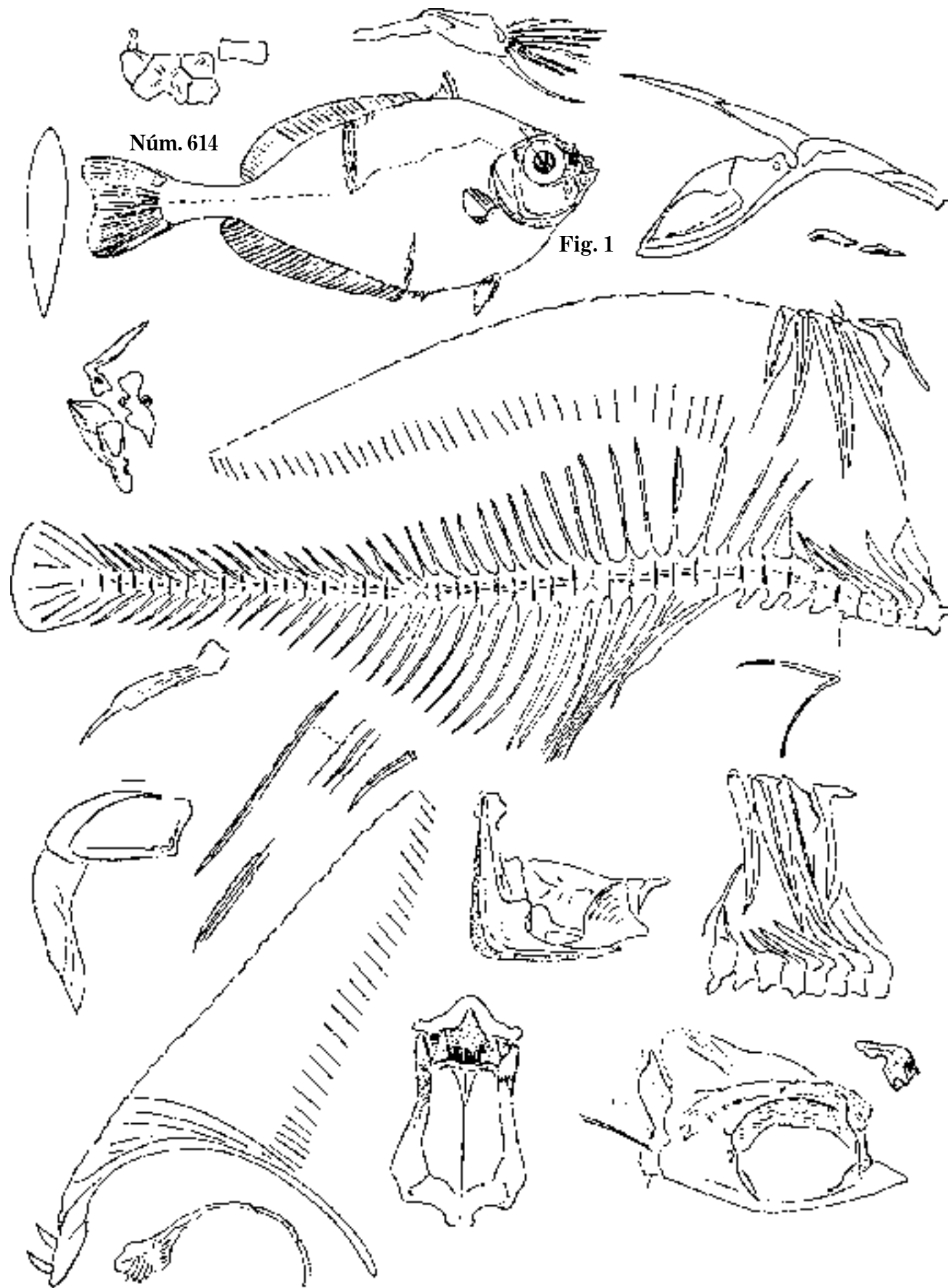


Fig. 1 *Grammicolepis brachiusculus*, 1872. P. 470 mm; D. 6,34; A. 2,33; S.N.C.

Lám. 280

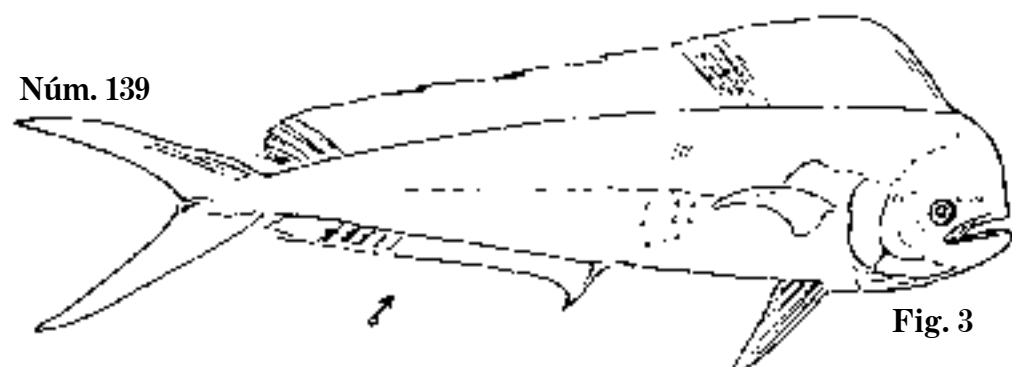
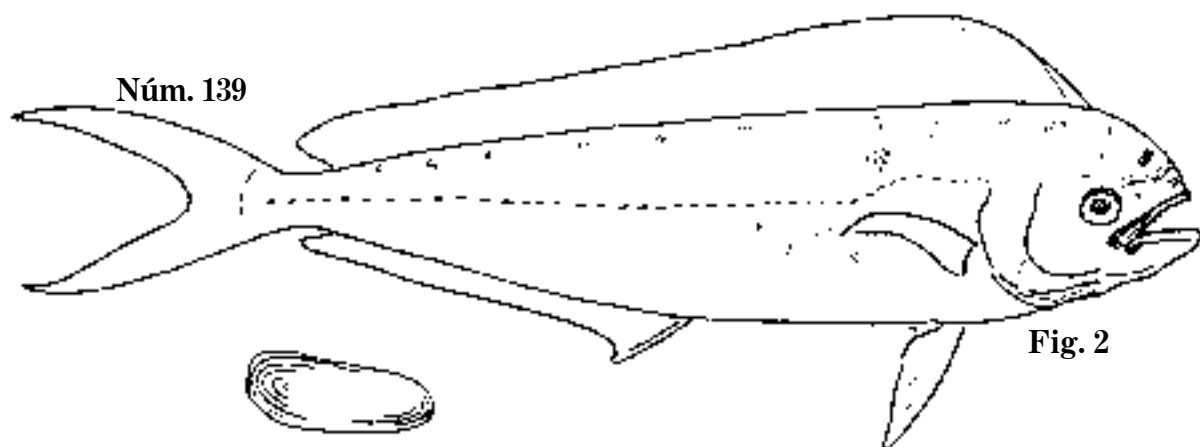
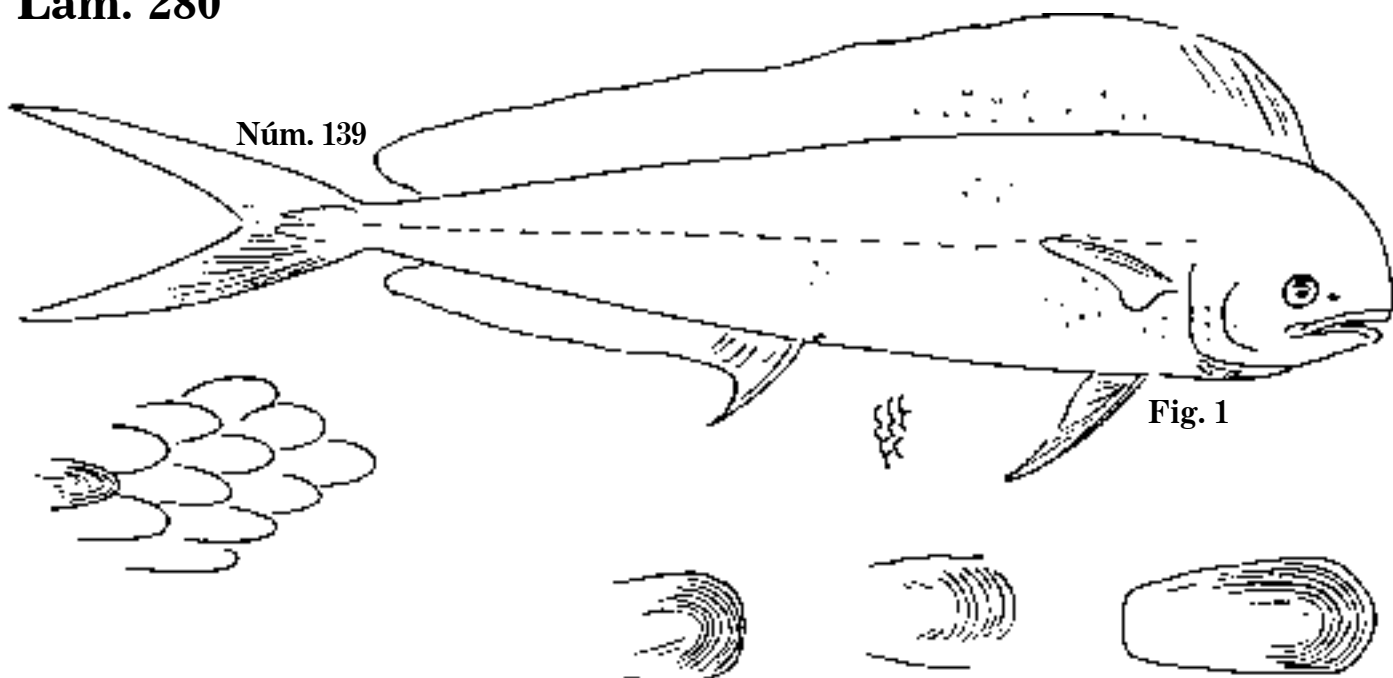
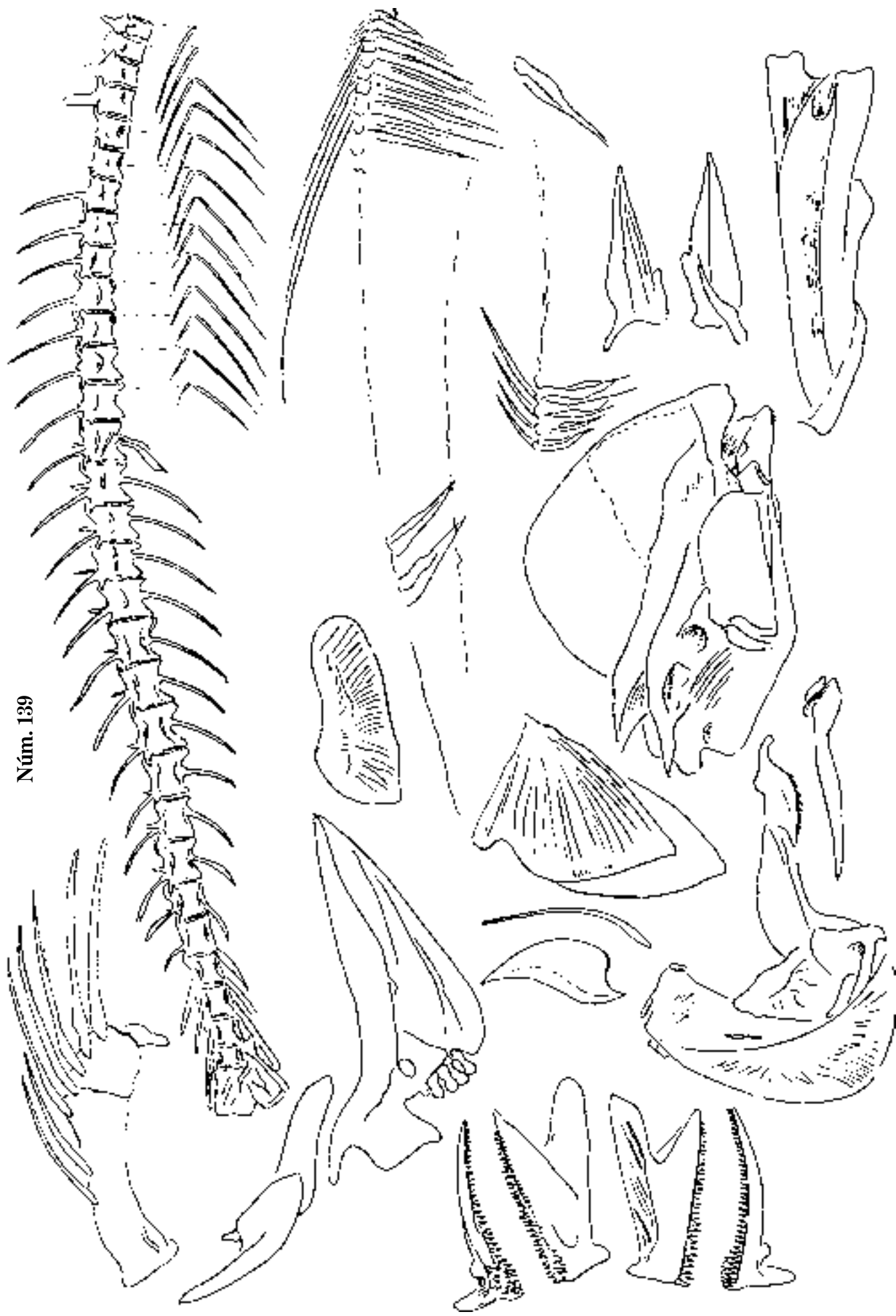


Fig. 1 *Coryphaena hippurus*, 1857. P. 1 035 mm; D. 58; A. 25.

Fig. 2 *C. hippurus*. C. 513 mm; D. 60; A. 26.

Fig. 3 *C. hippurus*, 1864. C. 895 mm; D. 58; A. 26; dorado.



Lám. 282

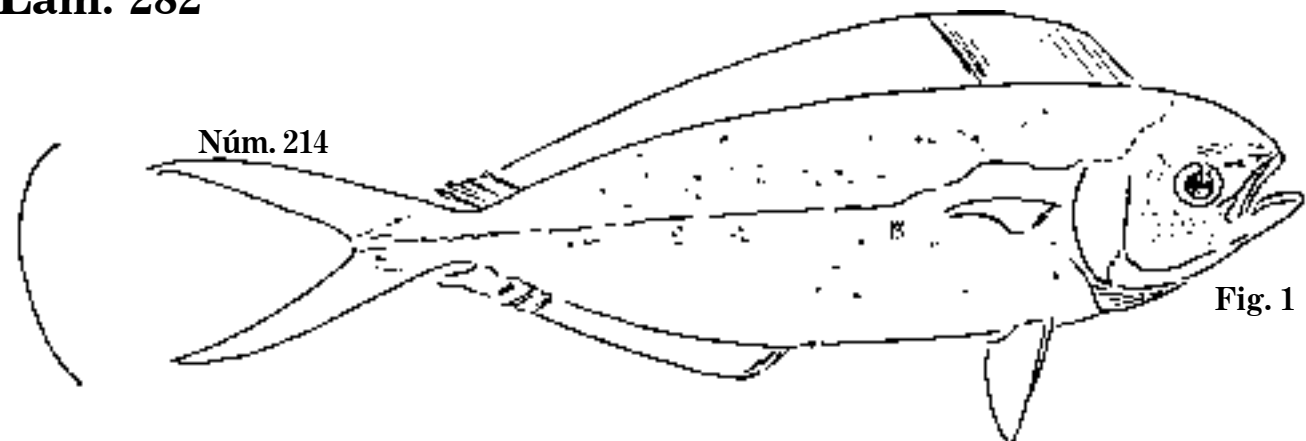


Fig. 1

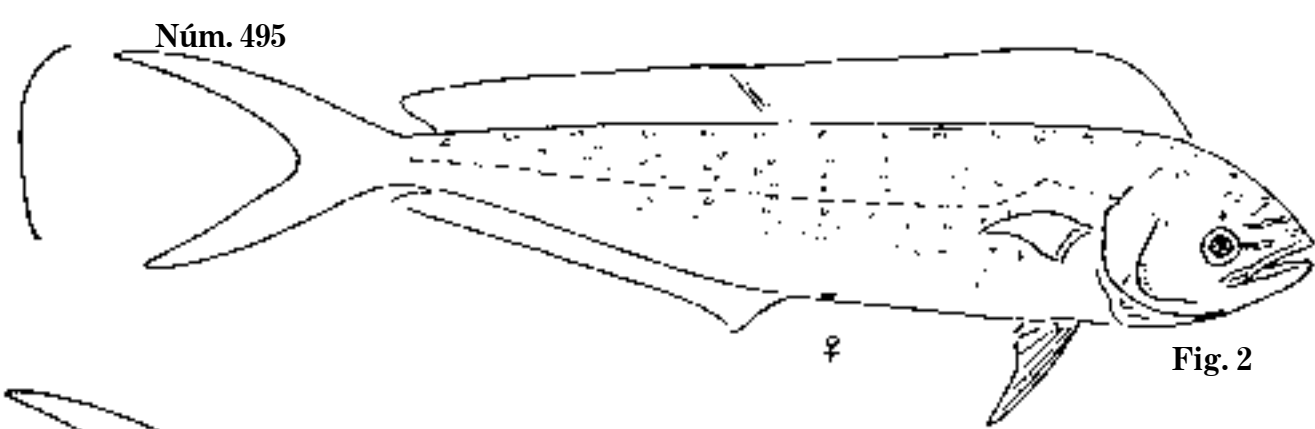
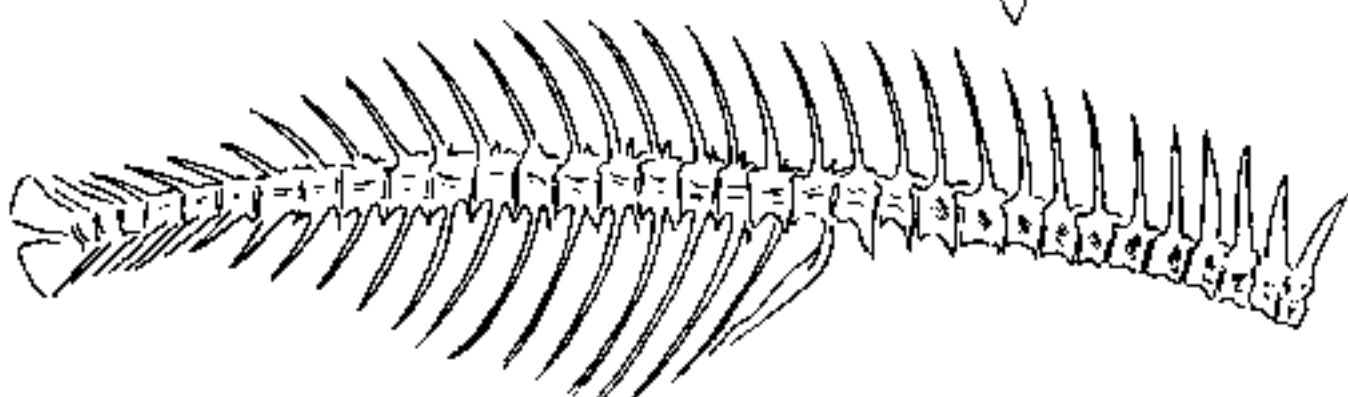


Fig. 2

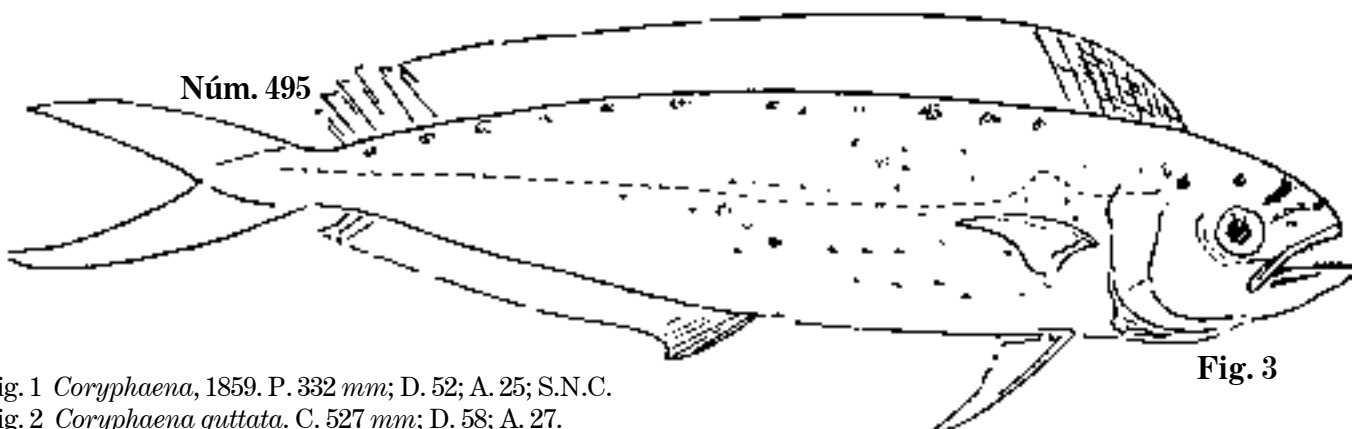


Fig. 3

Fig. 1 *Coryphaena*, 1859. P. 332 mm; D. 52; A. 25; S.N.C.

Fig. 2 *Coryphaena guttata*. C. 527 mm; D. 58; A. 27.

Fig. 3 *C. guttata*, 1864. C. 389 mm; D. 60; A. 28; dorado.

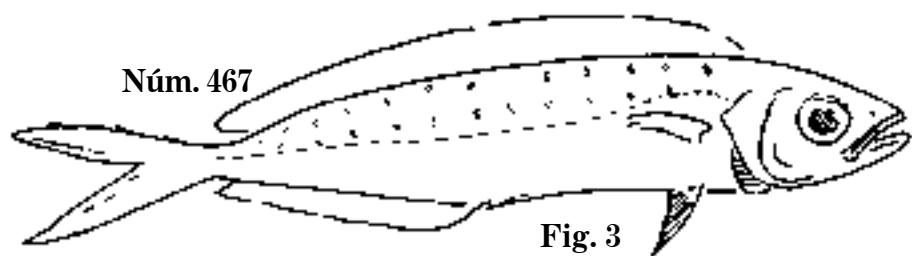
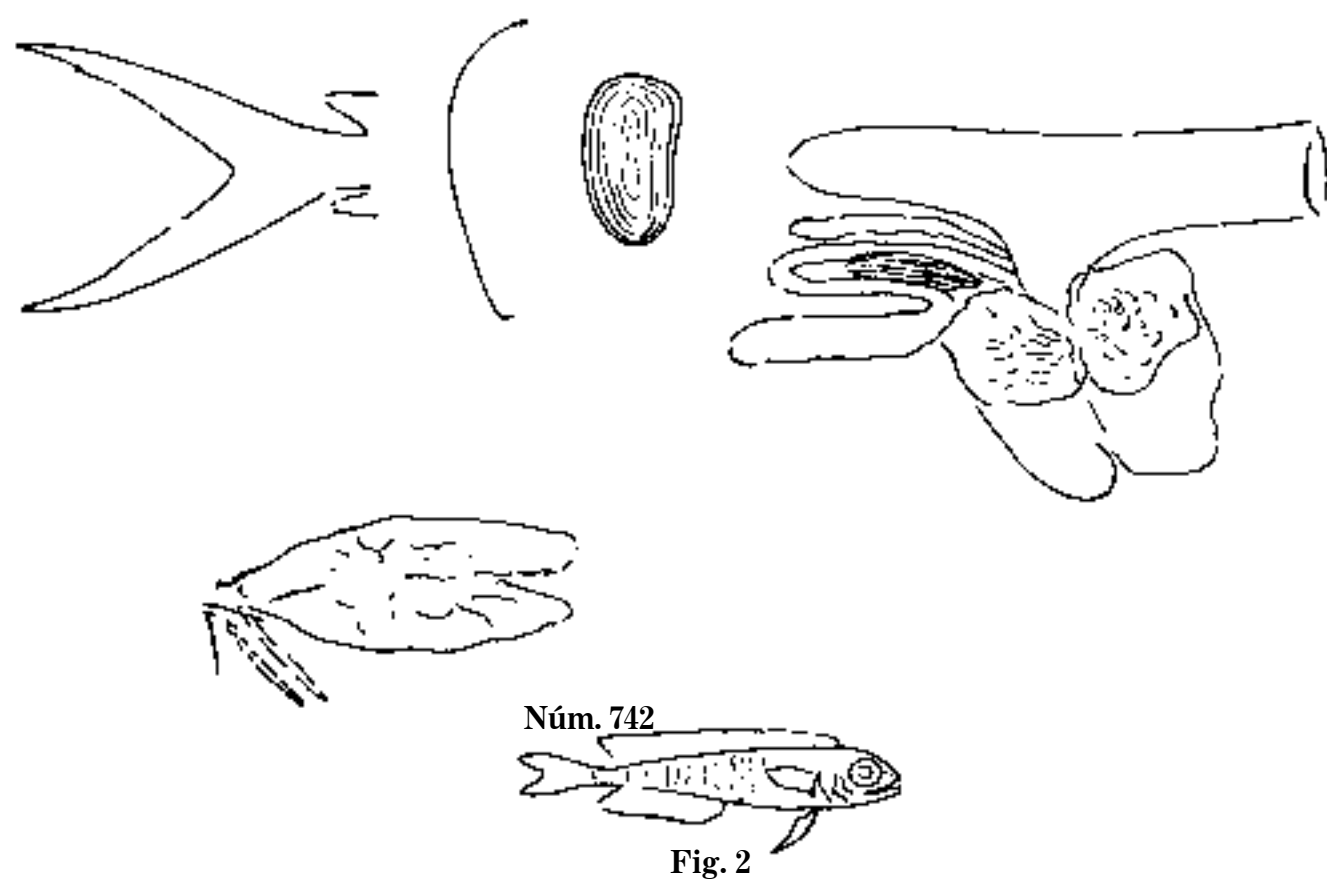
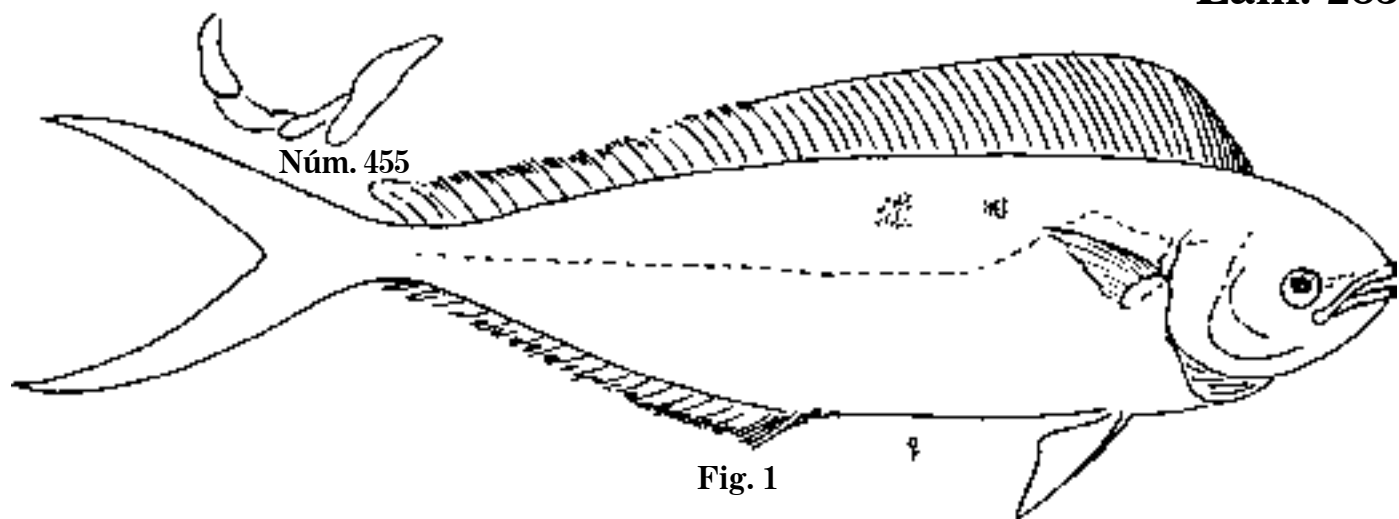


Fig. 1 *Coryphaena concolor*, 1850. P. 560 mm; D. 53; A. 22; dorado.
Fig. 2 *Coryphaena?* C. 52 mm; D. 45; A. 27.
Fig. 3 *Lampugus punctatus*, C. 120 mm; D. +60; A. ?; S.N.C.

Lám. 284

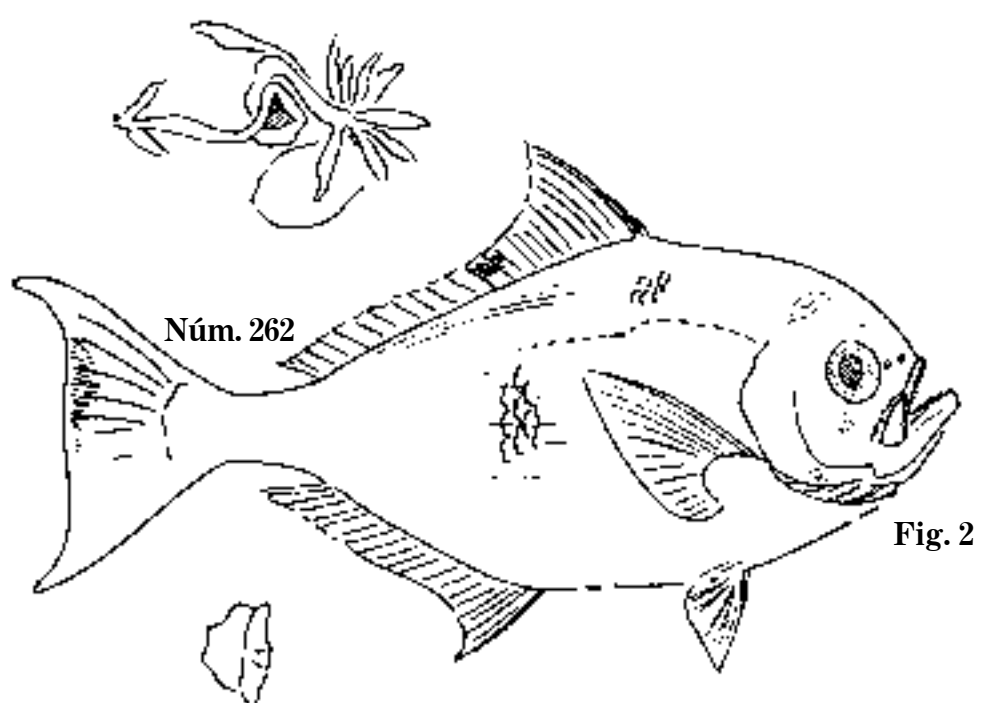
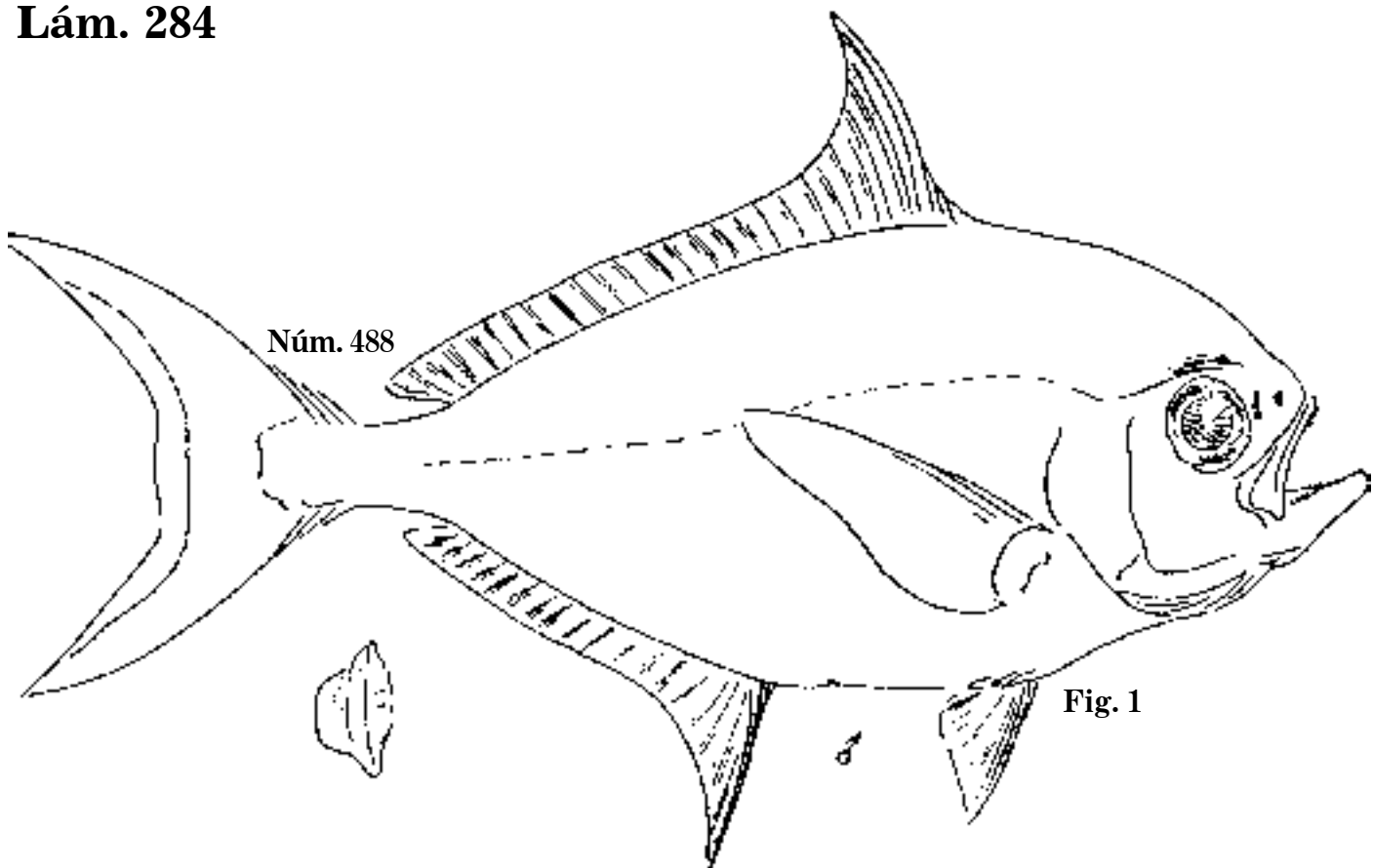


Fig. 1 *Brama Agassizi*. C. 619 mm; D. 3,29; A. 2,21.

Fig. 2 *B. Brevoorti*, 1849. C. 418 mm; D. 3,27; A. 1,21; catalufa de lo alto.

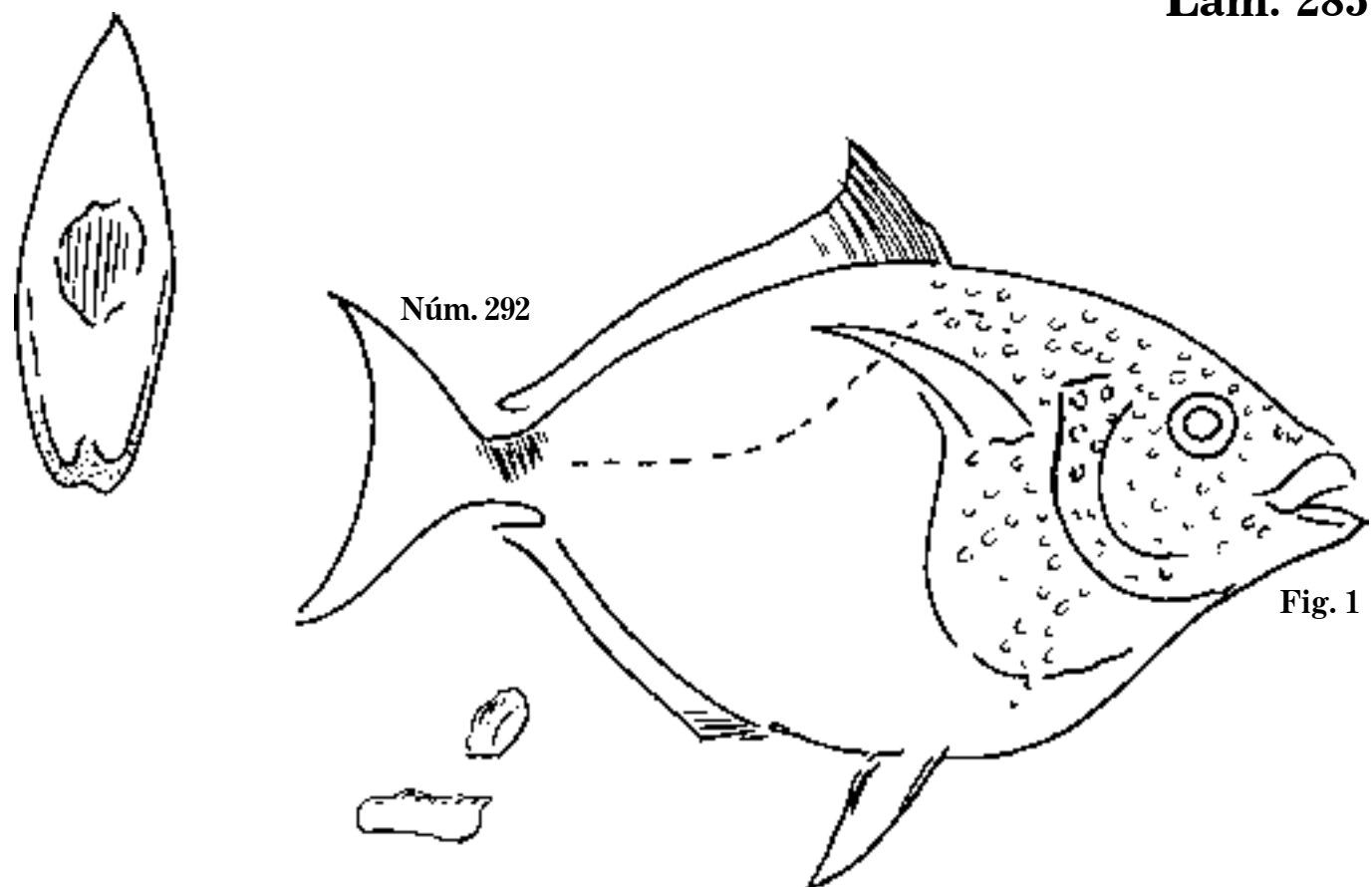


Fig. 1

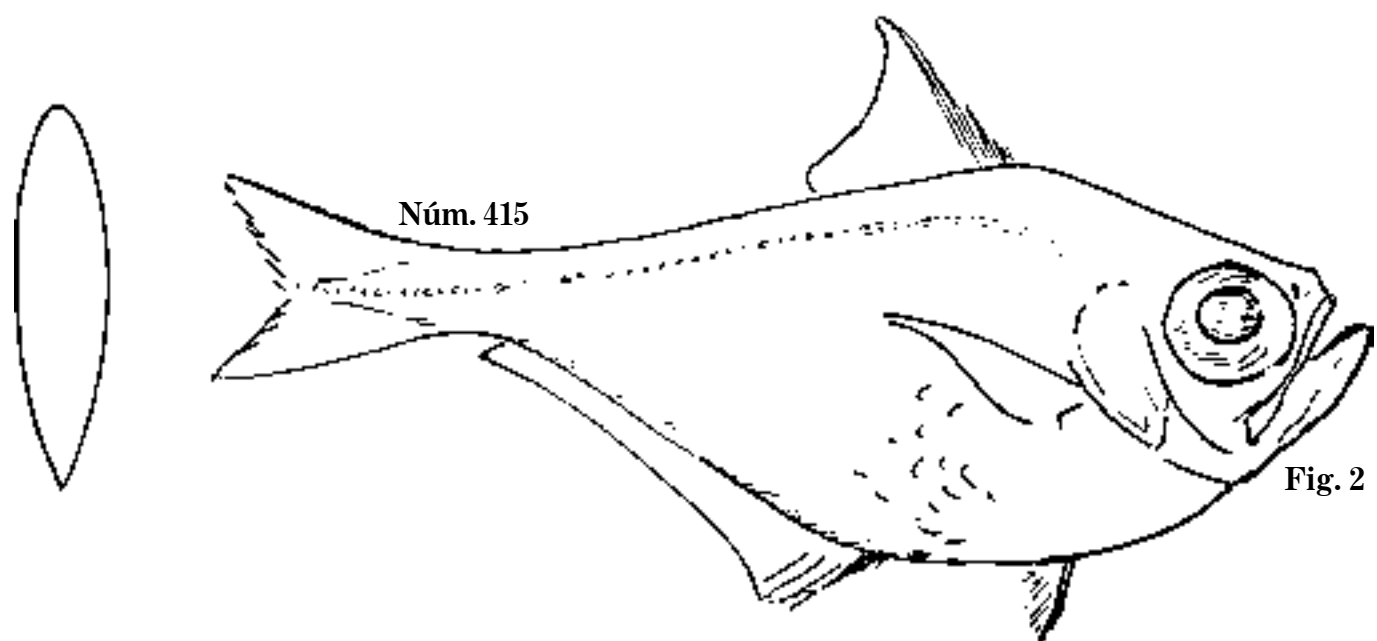


Fig. 2

Fig. 1 *Lampris guttata*, 1851. P. 1 044 mm; mariposa.

Fig. 2 *Pempheris Müllerii*. C. 115 mm; D. 14; A. 3,31; S.N.C.



Fig. 1

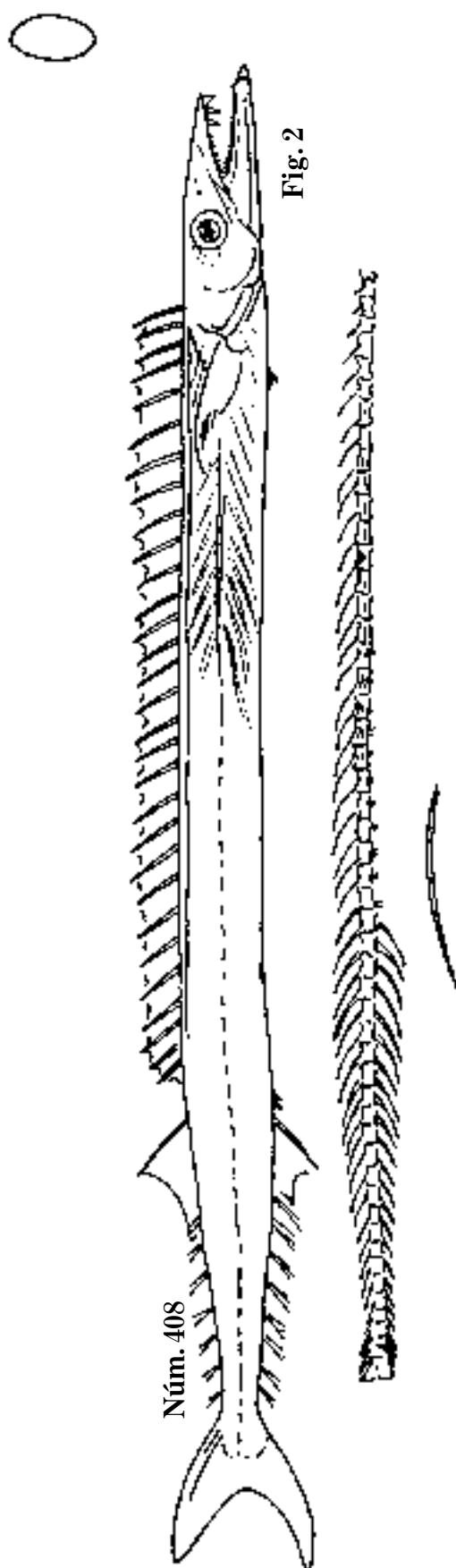


Fig. 2

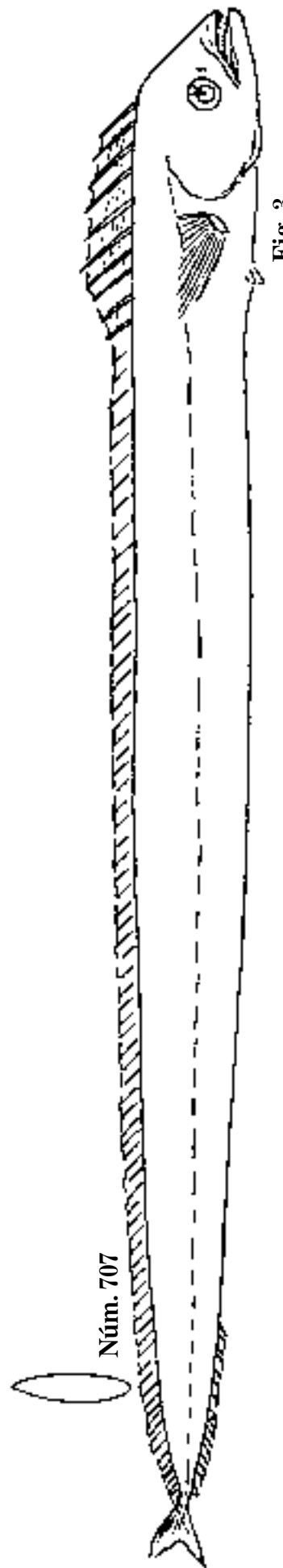


Fig. 3

Fig. 1 *Lepturus lepturus*, 1858. C. 568 mm; D. 130; A. ?; sable.

Fig. 2 *Nealotus ophidianus*, 1859. C. 810 mm; D. 30, 1, 13; A. 1, 11; S.N.C.

Fig. 3 *Evoxymetopon taeniatum*, 1863. P. 1140 mm; D. 87; A. 19; tirante.

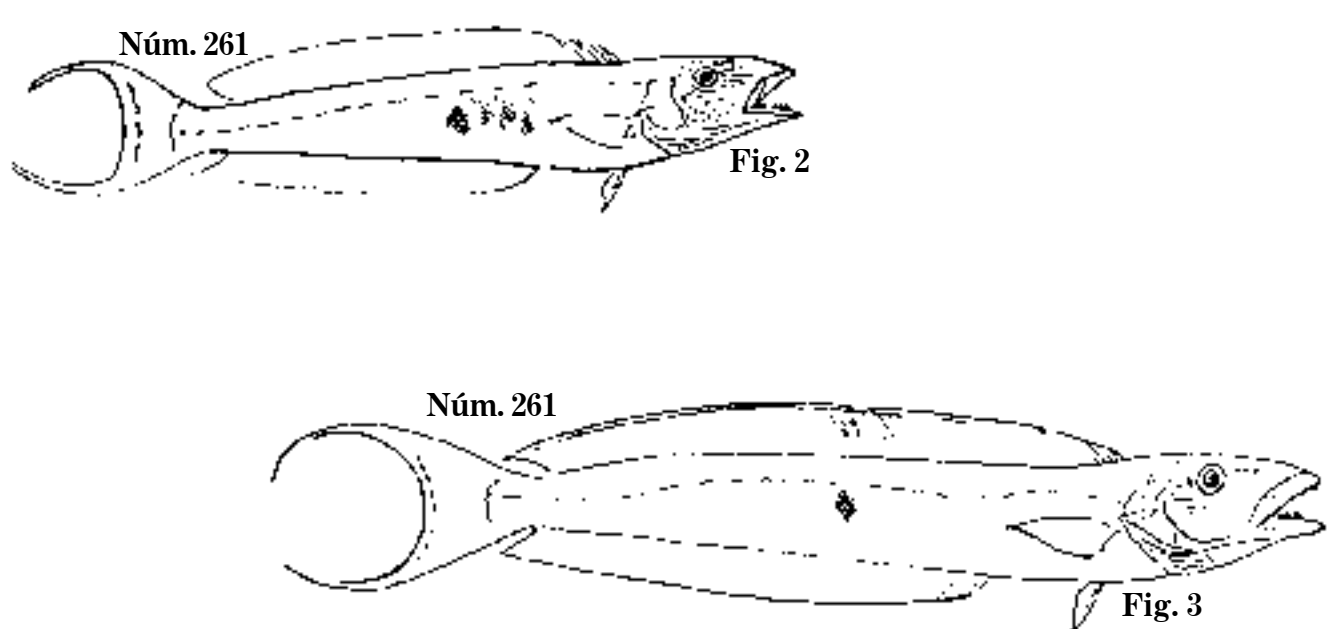
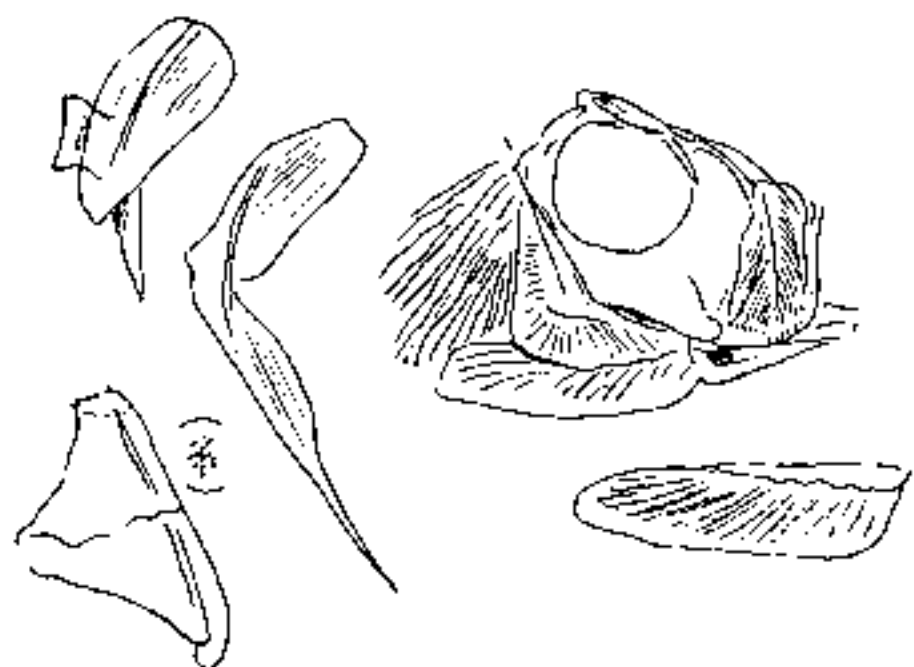
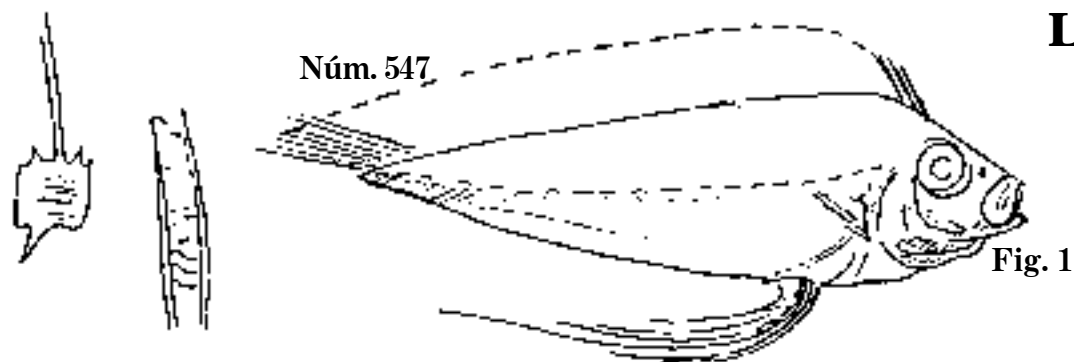
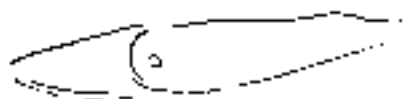
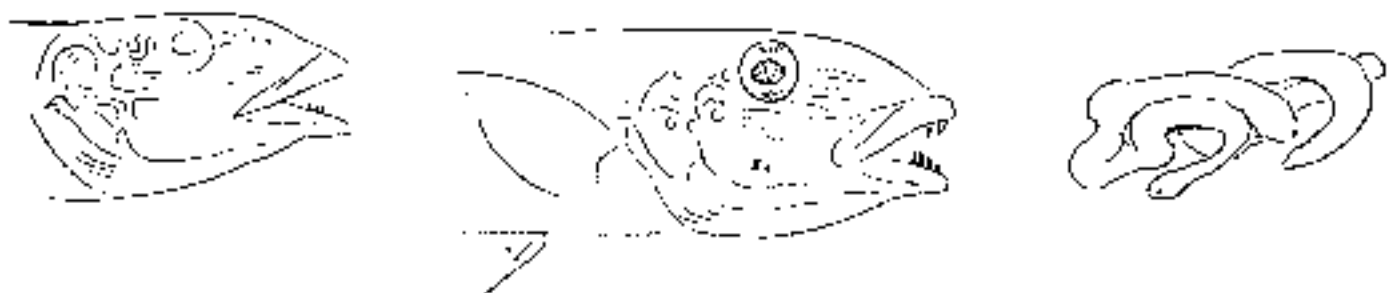
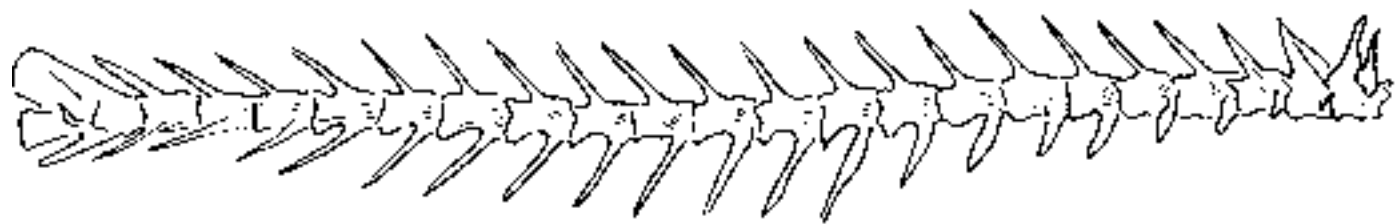


Fig. 1 *Trachypterus trachyurus*. C. 112 mm; D. 82; A. 0; S.N.C.
 Fig. 2 *Malacanthus Plumieri*, 1872. C. 458 mm; D. 60; A. 51.
 Fig. 3 *M. Plumieri*. C. 302 mm; D. 61; A. 52; matejuelo blanco.

Lám. 288

Núm. 261



Malacanthus Plumieri. Osteología, cabezas, cola, órganos; matejuelo blanco.

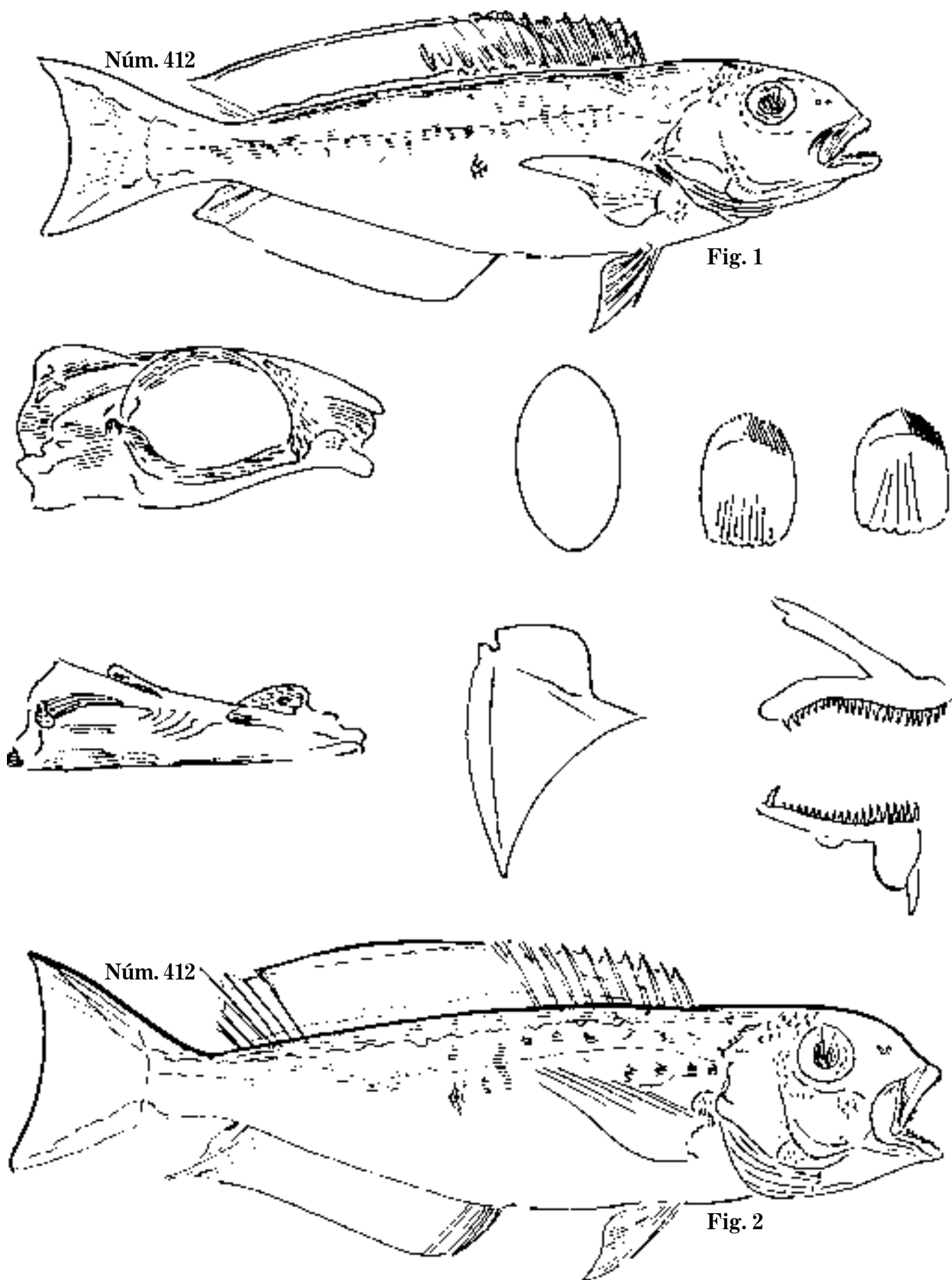


Fig. 1 *Latilus cyanops*, 1859. C. 398 mm; D. 7,24; A. 1,22.
Fig. 2 *L. cyanops*, 1863. C. 291 mm; D. 7,24; A. 1,21; tumba.

Lám. 290

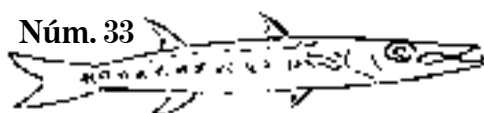
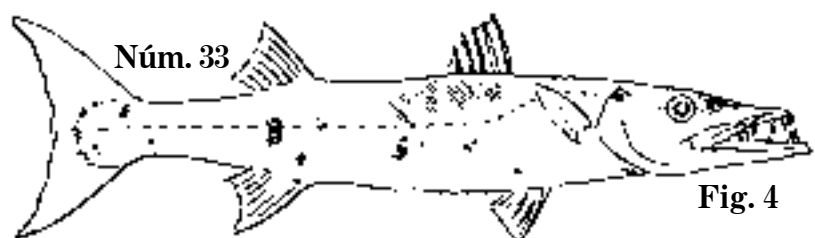
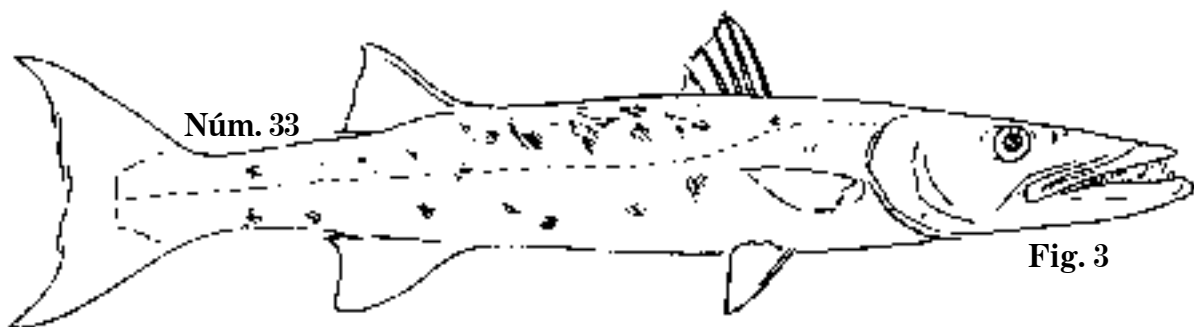
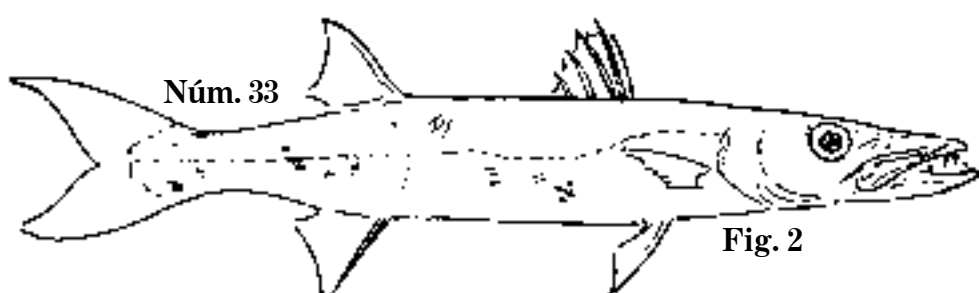
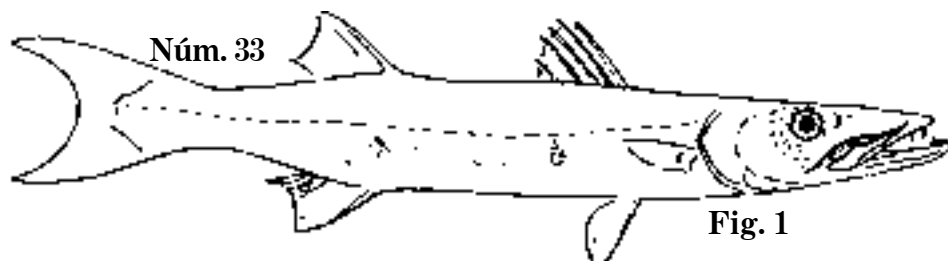
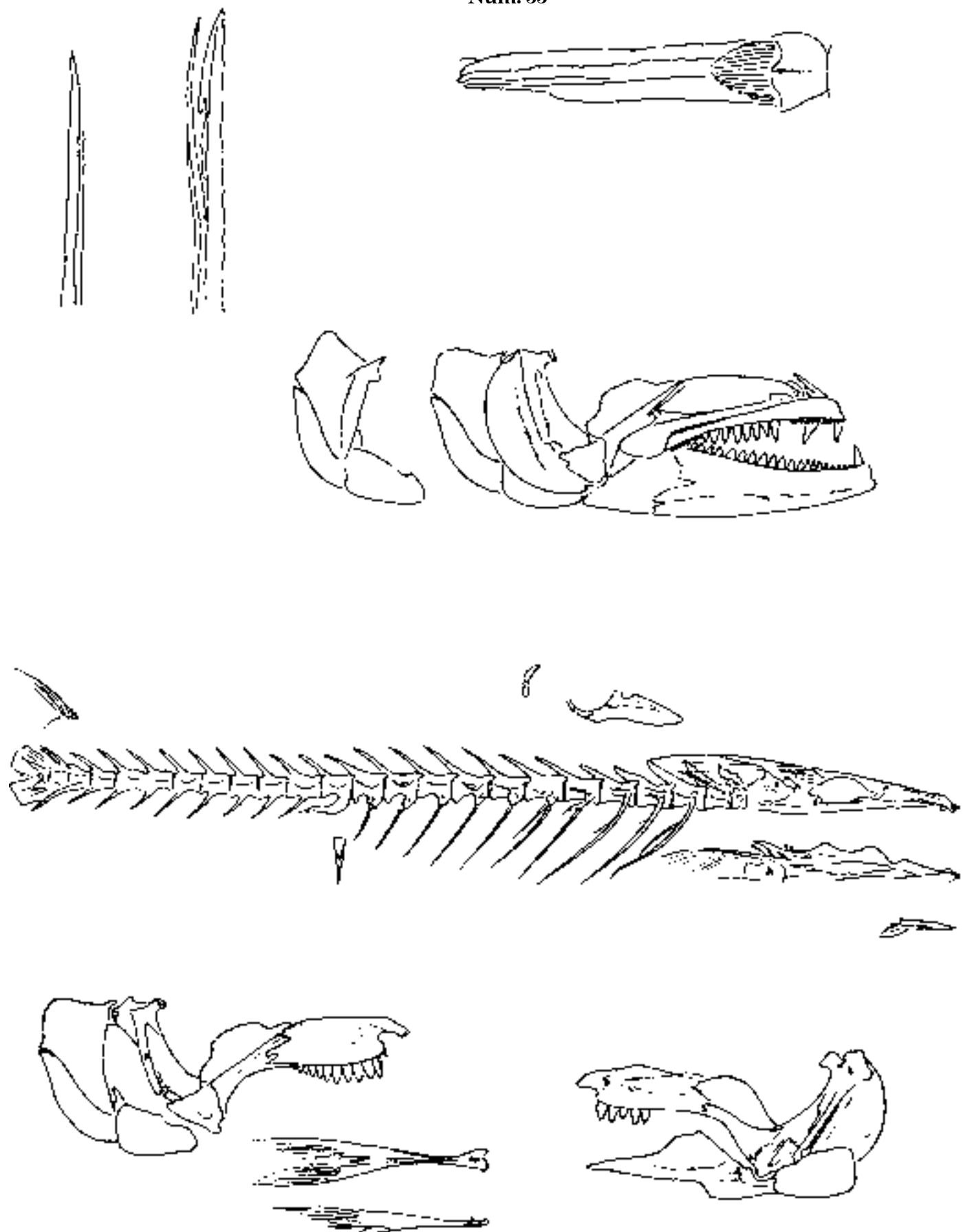


Fig. 1 *Sphyraena Picuda*, 1870. C. 421 mm; D.; A.
Fig. 2 *S. Picuda*, 1850. C. 432 mm; D. 5,1,9; A. 1,9.
Fig. 3 *S. Picuda*, 1860. C. 1 060 mm; D.; A.

Fig. 4 *S. Picuda*. C. 733 mm; D.; A.
Fig. 5 *S. Picuda*. C. 72 mm; D.; A.; picuda.

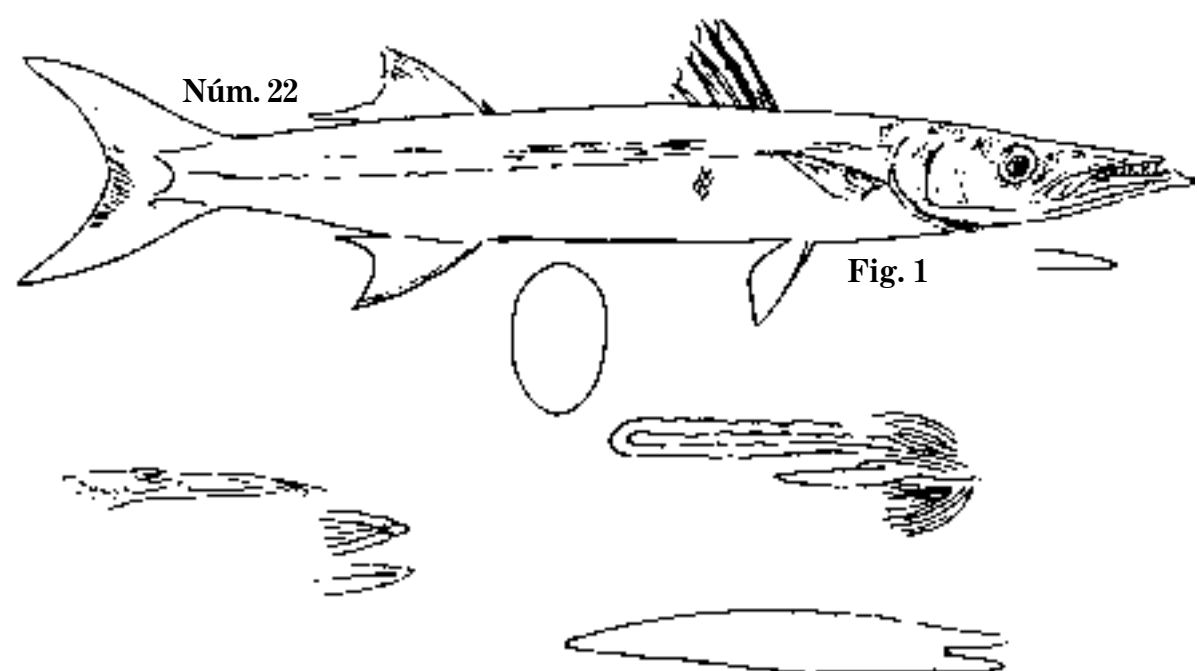
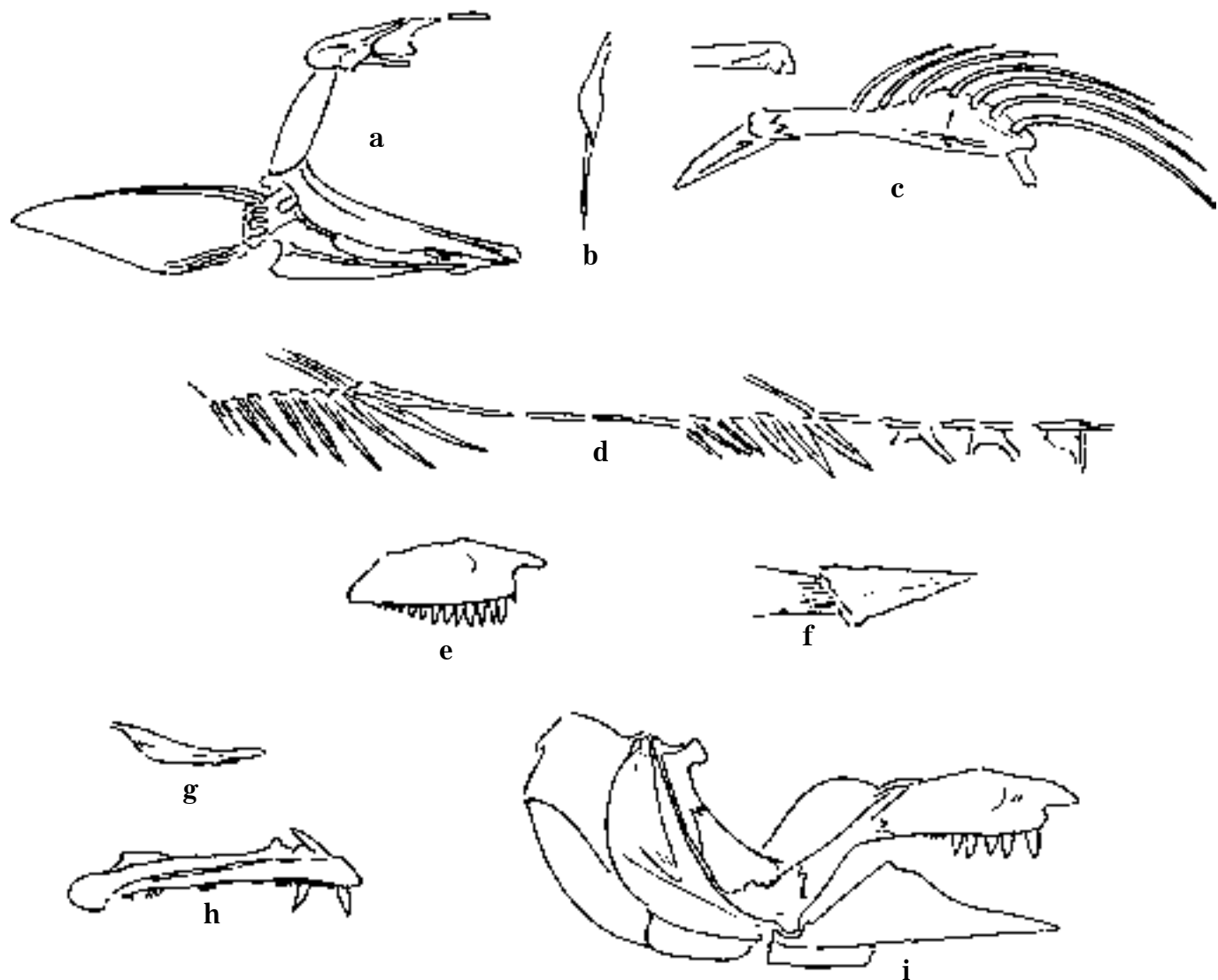
Núm. 33



Sphyraena Picuda. Osteología; picuda.

Lám. 292

Núm. 33



a-i. *Sphyraena Picuda*. Osteología; picuda.

Fig. 1 *S. Guaguanche*. C. 511 mm; D. 5,?; A. ?; guaguanche.

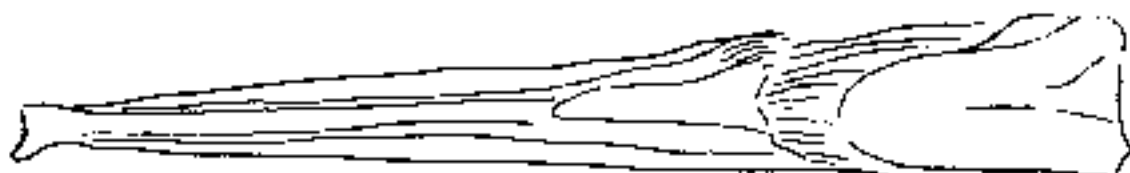
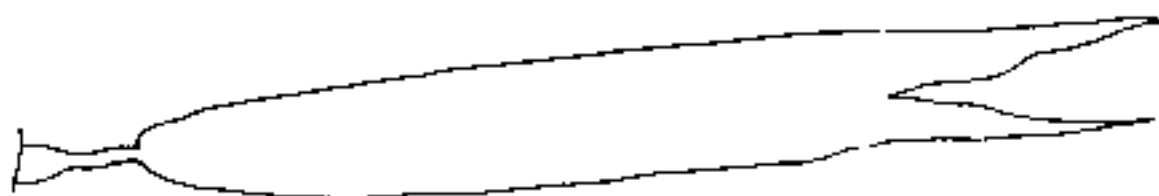
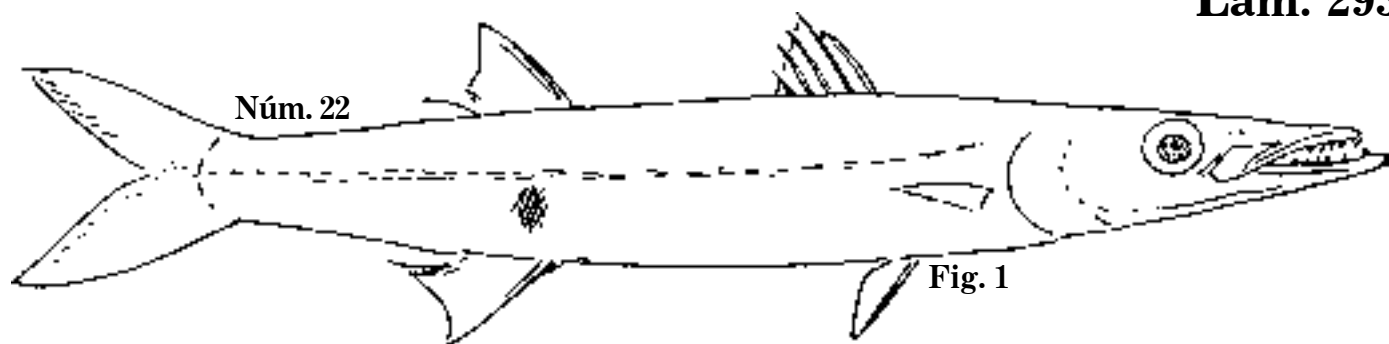


Fig. 1 *Sphyraena Guaguanche*. C. 209 mm; D. ?; A. 10; guaguanche.
Fig. 2 *S. Picudilla*, 1860. C. 411 mm; D. ?,10; A. 10; picudilla.



Fig. 1

Núm. 710



Fig. 2

Núm. 778

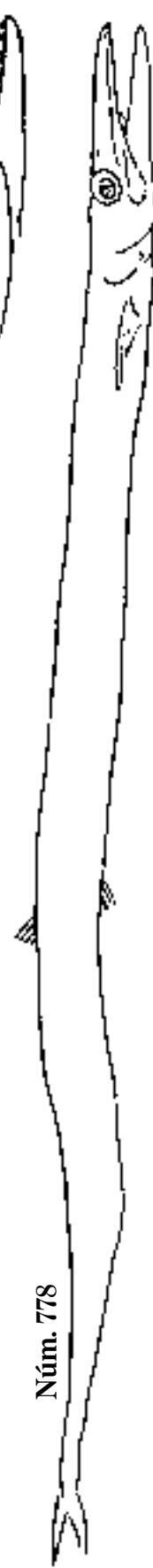


Fig. 3

Núm. 337

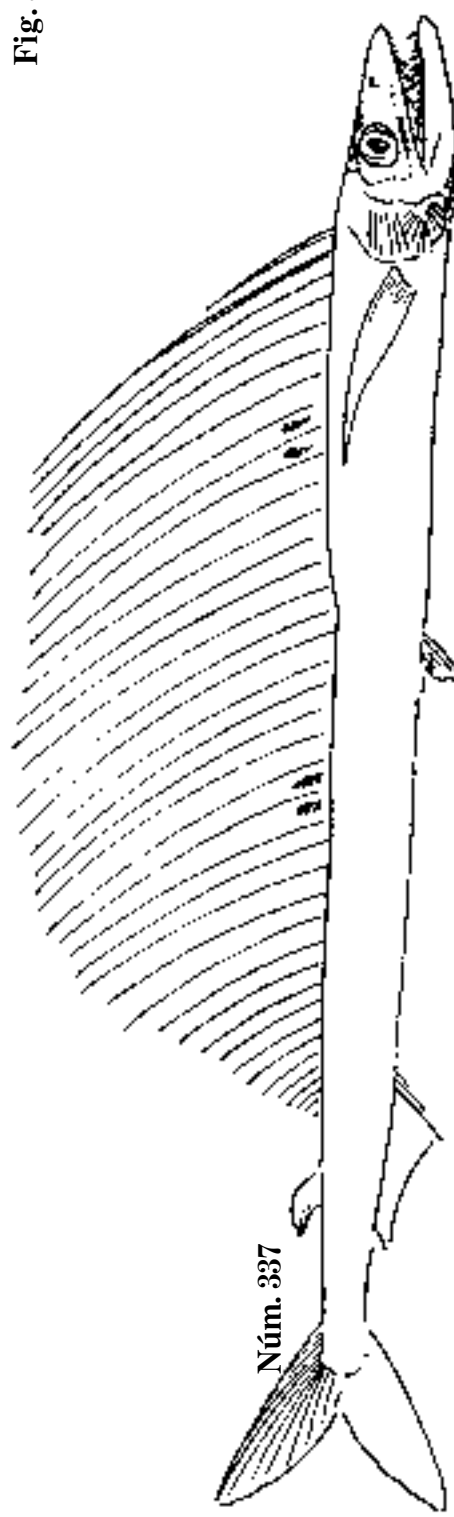


Fig. 4

Fig. 1 *Paralepidis intermedius*, 1867. P. 236 mm; D.; A.

Fig. 2 *P. suboppositus*, 1872. C. 230 mm; D.; A.

Fig. 3 *P. suboppositus*, 1872. C. 123 mm; D.; A.; S.N.C.

Fig. 4 *Alepidosaurus activelis*. C. 994 mm; D. 40; A. 17; conejo.



Fig. 1

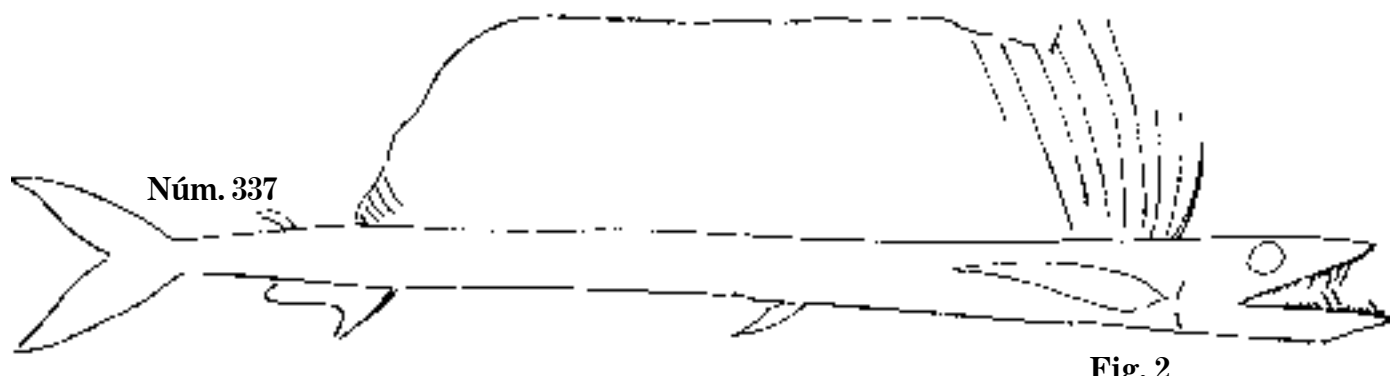


Fig. 2

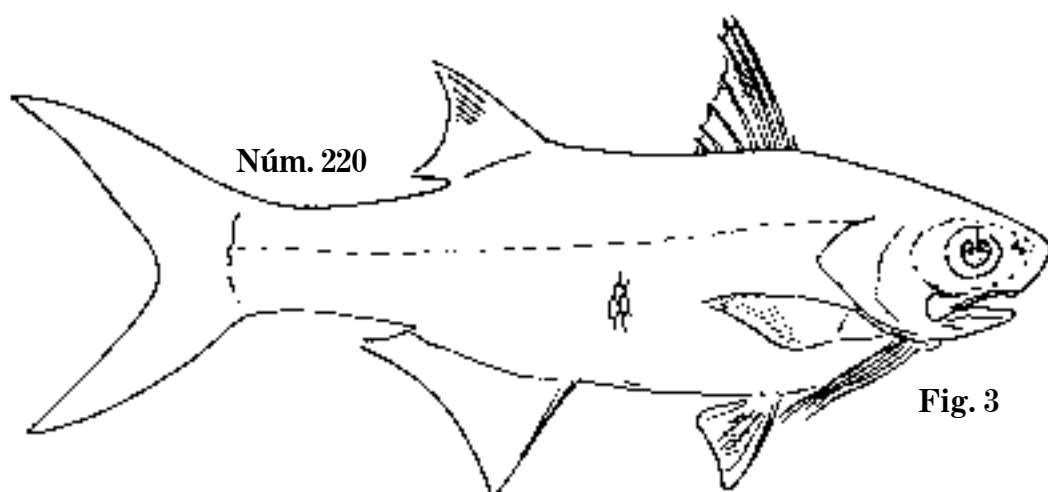


Fig. 3

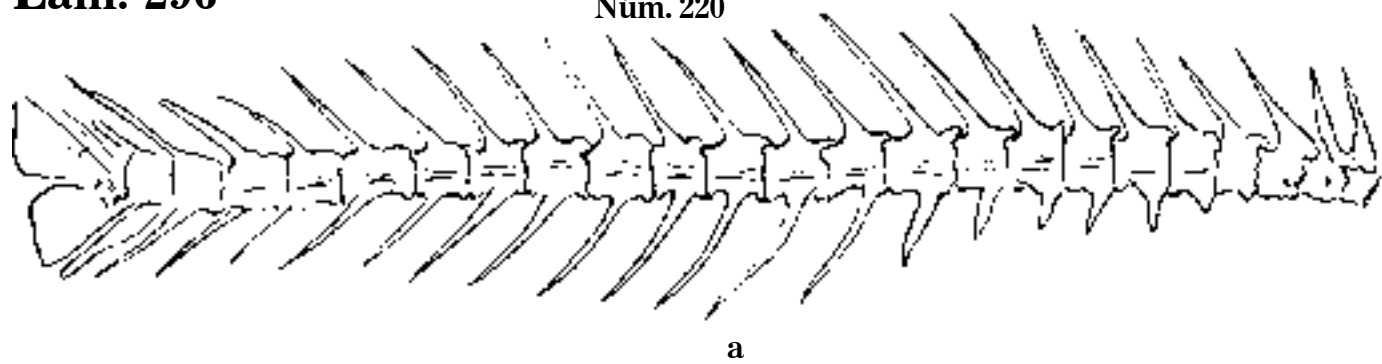
Fig. 1 *Alepidosaurus altivelis*. C. 1 076 mm; D.; A.

Fig. 2 *A. altivelis*, 1863. C. 1 043 mm; D. 40; A. 16; conejo.

Fig. 3 *Trichidion Plumieri*, 1868. C. 343 mm; D. 8,1,11,12?; A. 1,14; barbudo.

Lám. 296

Núm. 220



a



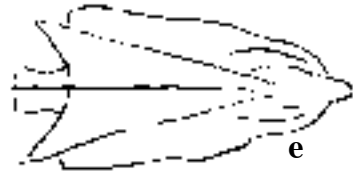
b



c



d



e

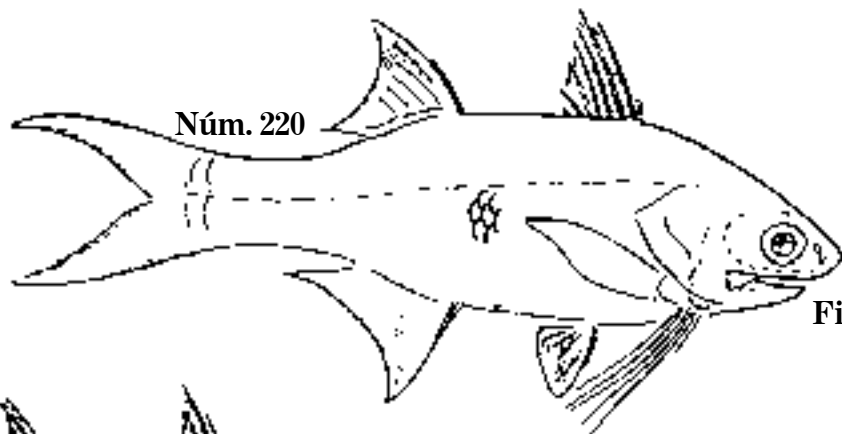


Fig. 1

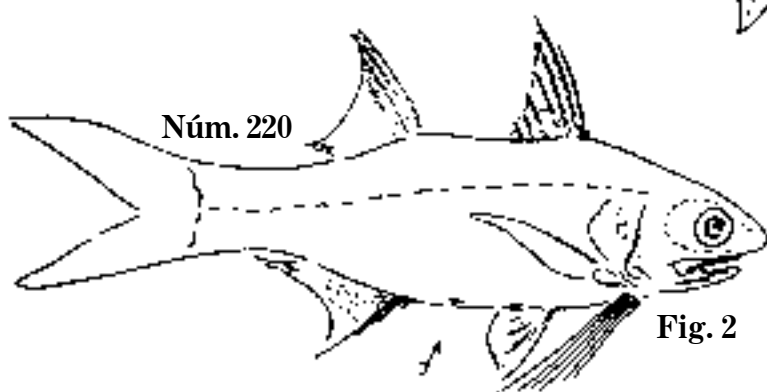


Fig. 2

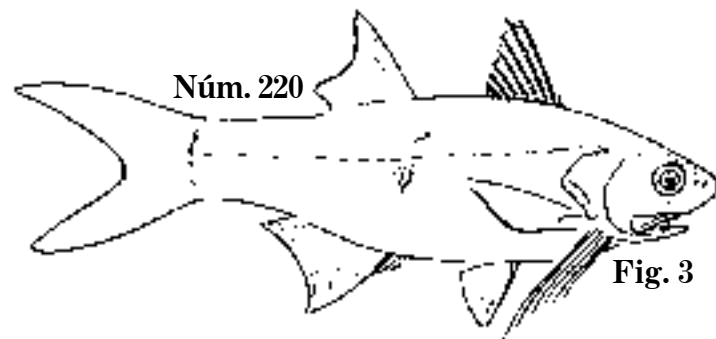


Fig. 3

a-e. *Trichidion Plumieri*. Osteología.

Fig. 1 *T. Plumieri*. C. 254 mm; D. 8,1,12; A. 3,12.

Fig. 2 *T. Plumieri*, 1868. P. 230 mm; D. 8,1,12; A. 3,13.

Fig. 3 *T. Plumieri*, 1872. C. 213 mm; D. 8,12; A. 3,14, barbudo.

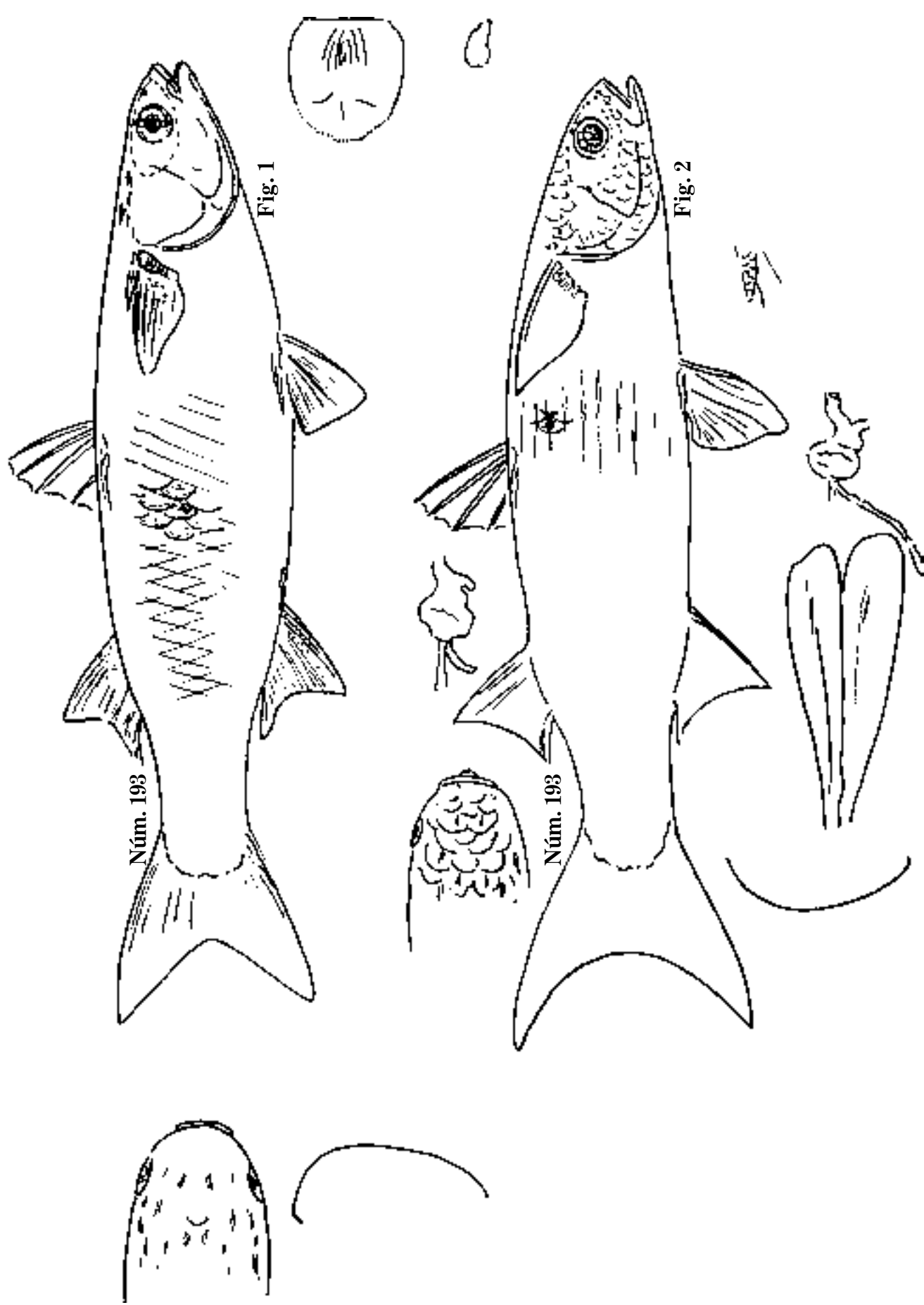


Fig. 1 *Mugil Lebranchus*, 1860. C. 504 mm; D.; A.
Fig. 2 *M. Lebranchus*, 1855. C. 511 mm; D. 4,1,8; A. 3,8; IIZa.

Lám. 298

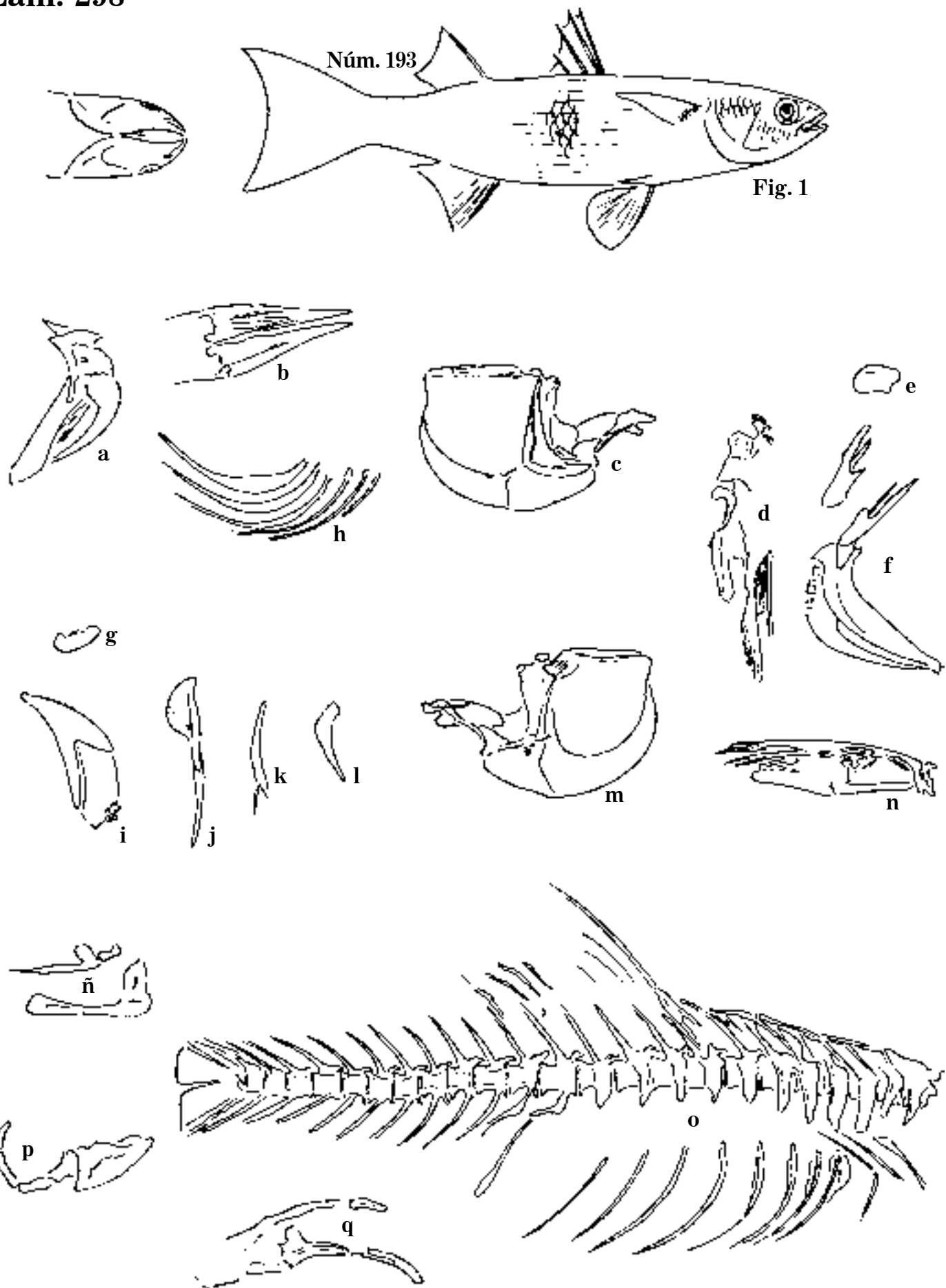
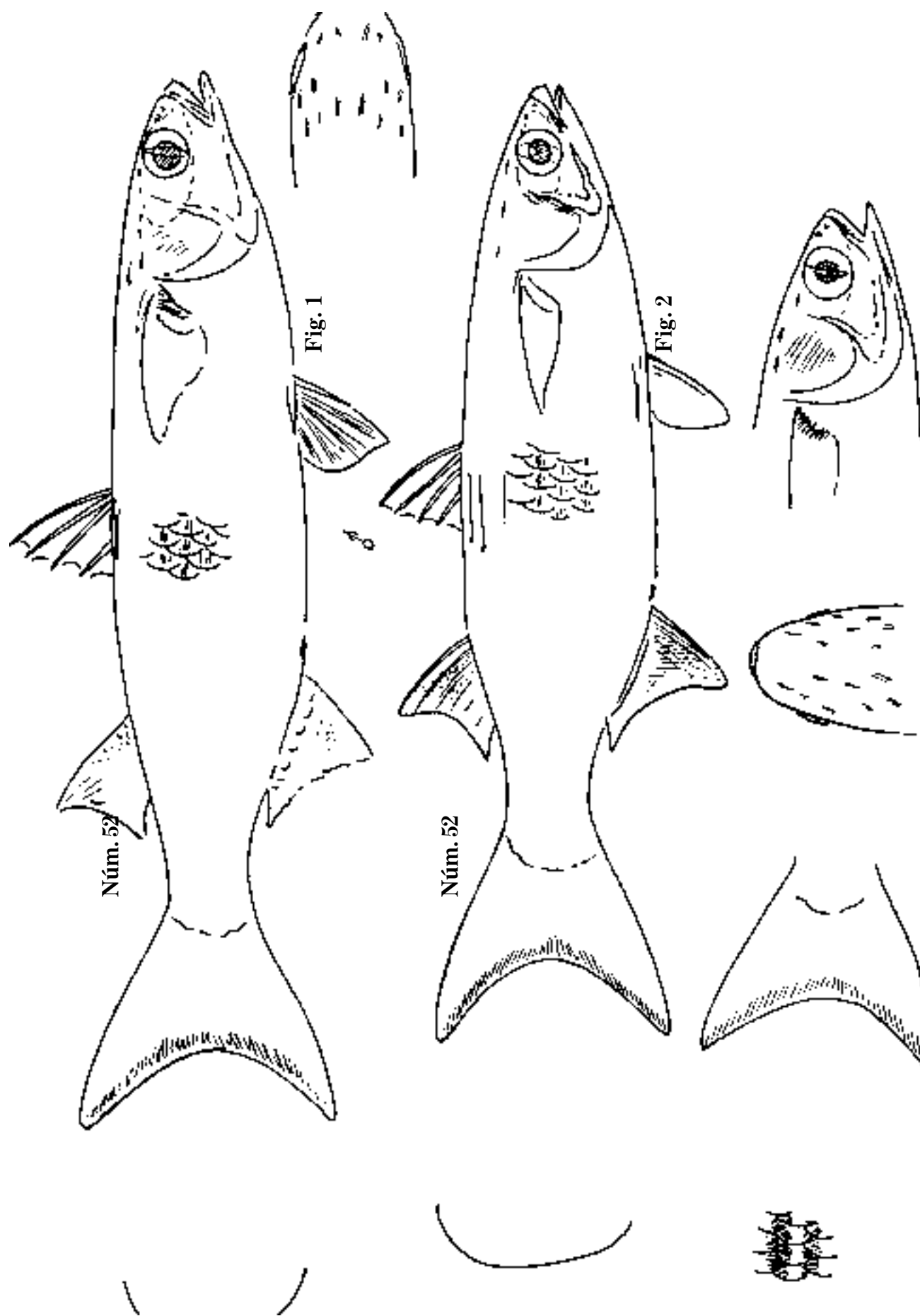
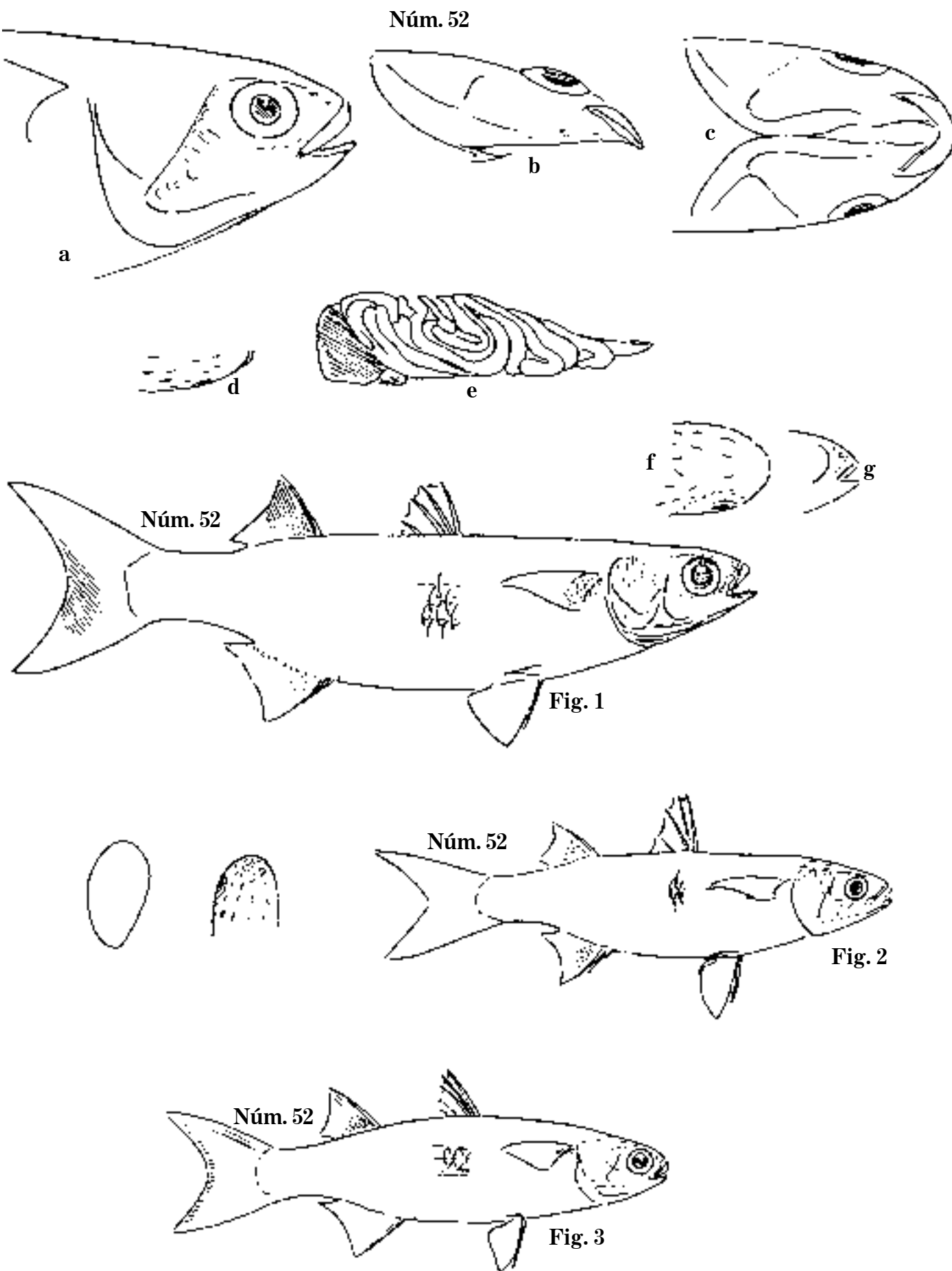


Fig. 1 *Mugil Lebranchus*, 1869. C. 287 mm; D. 4,9; A. 3,8.
a-q. *M. Lebranchus*. Osteología; liza.

Fig. 1 *Mugil Poeyi*, 1860. C. 356 mm; D.; A.
Fig. 2 *M. Poeyi*, 1874. C. 323 mm; D. 4,1,8; A. 3,9; plateado.



Lám. 300



a-g. *Mugil Poeyi*. Cabeza y órganos.

Fig. 1 *M. Poeyi*, 1860. C. 368 mm; D. 4,1,8; A. 3,9.

Fig. 2 *M. Poeyi*. C. 253 mm; D. 4,1,8; A. 3,9.

Fig. 3 *M. Poeyi*, 1862. C. 245 mm; D. 4,?; A.?; plateado.

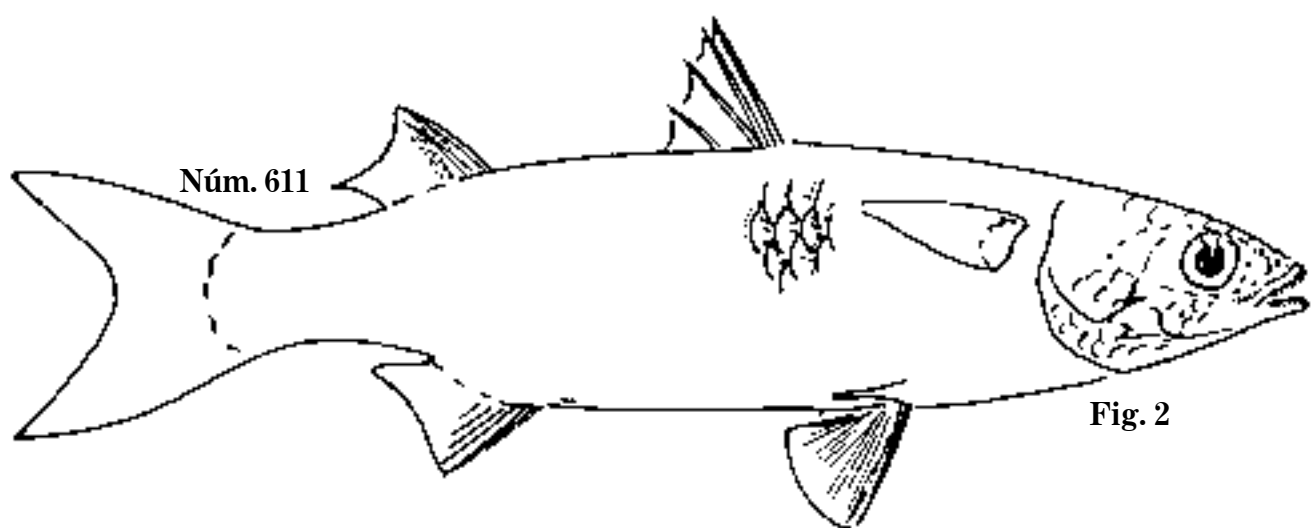
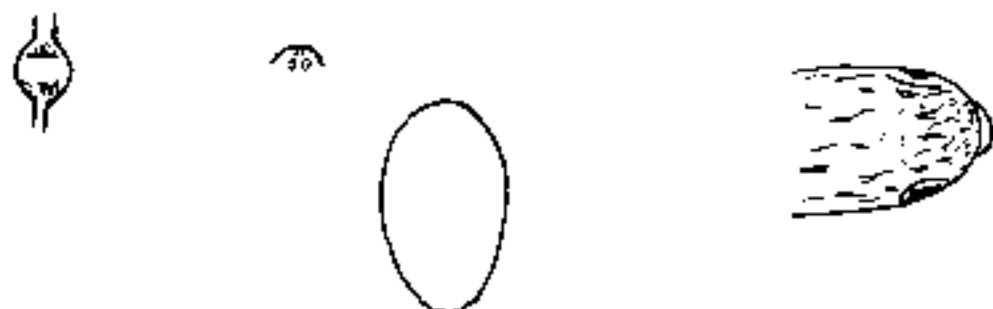
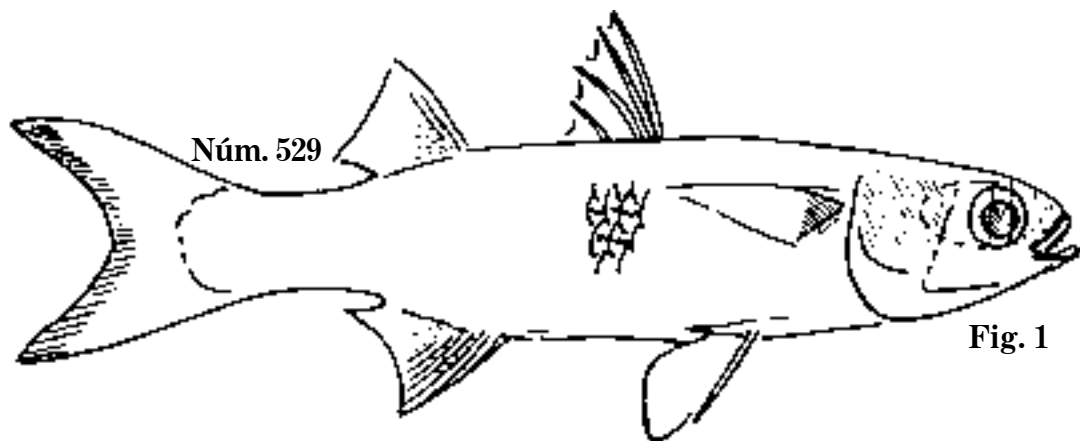


Fig. 1 *Mugil brasiliensis*, 1862. C. 224 mm; D.; A.
Fig. 2 *M. trichodon*, 1872. C. 276 mm; D. 4,1,8; A. 3,8; plateado.

Lám. 302

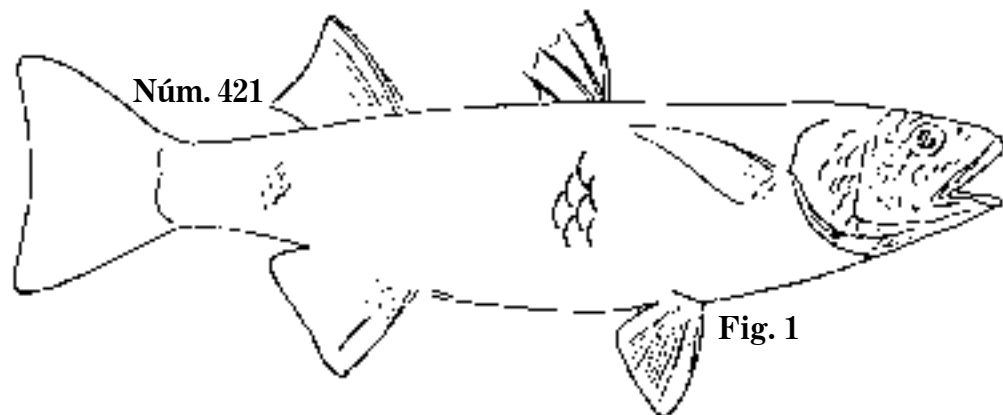


Fig. 1

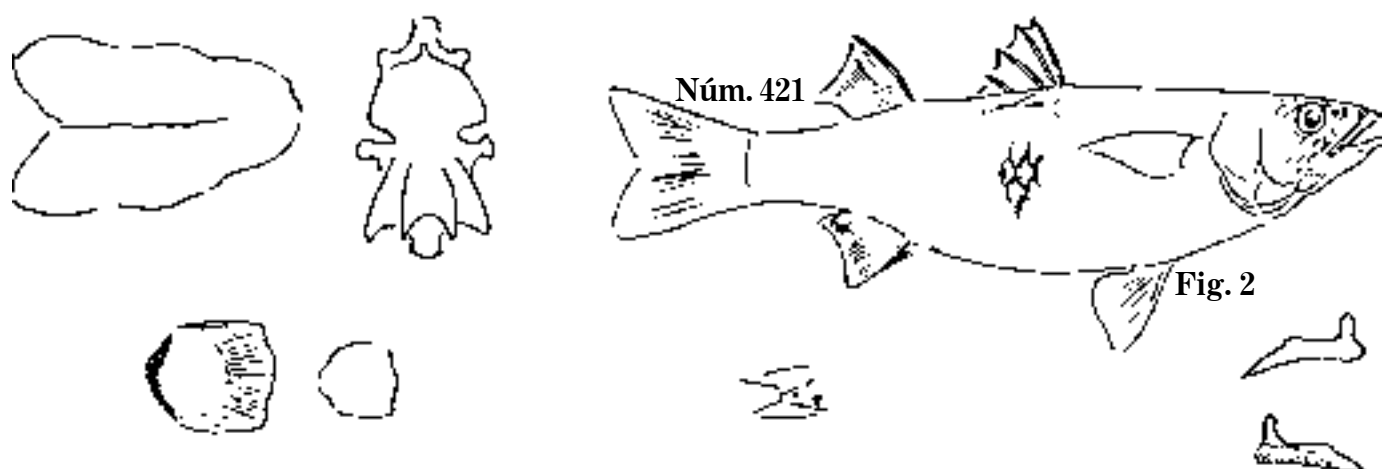


Fig. 2

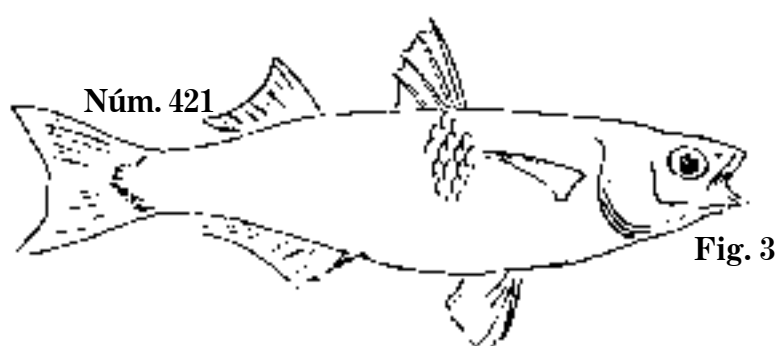


Fig. 3

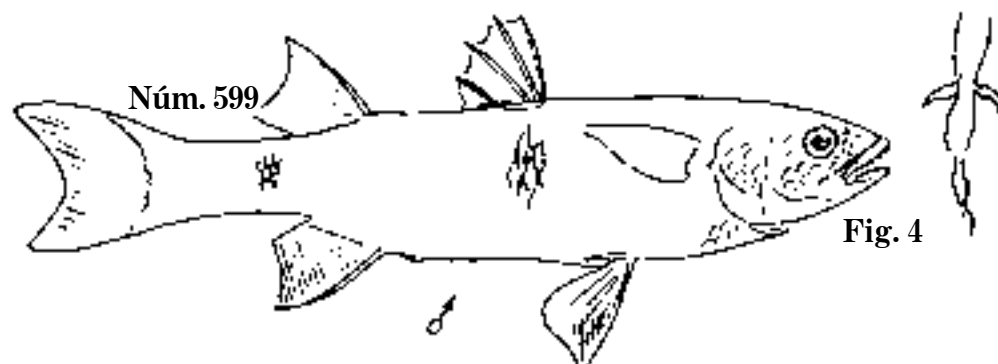


Fig. 4

Fig. 1 *Agonostomus monticola*, 1870. C. 305 mm; D. 4,9; A. 2,9.

Fig. 2 *A. monticola*, 1859. C. 238 mm; D. 4,8; A. 2,10.

Fig. 3 *A. monticola*. C. 114 mm; D. 4,9; A. 2,10.

Fig. 4 *Agonostomus*, 1860. C. 269 mm; D. 4,1,8; A. 3,9; dajao.

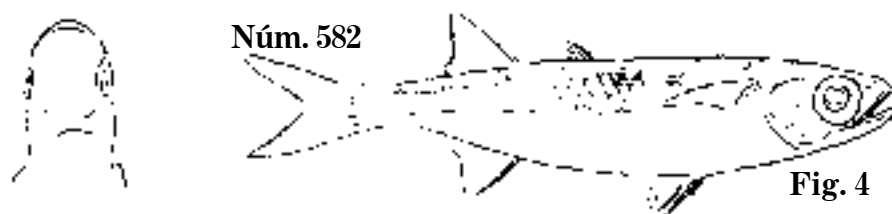
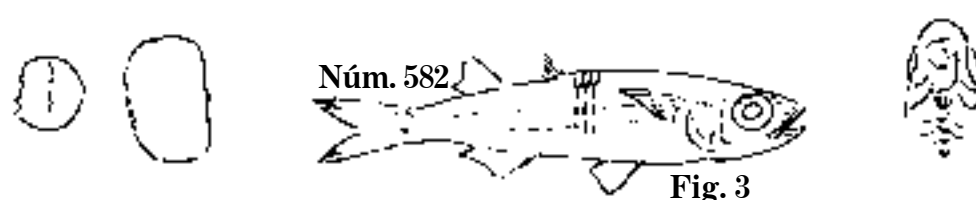
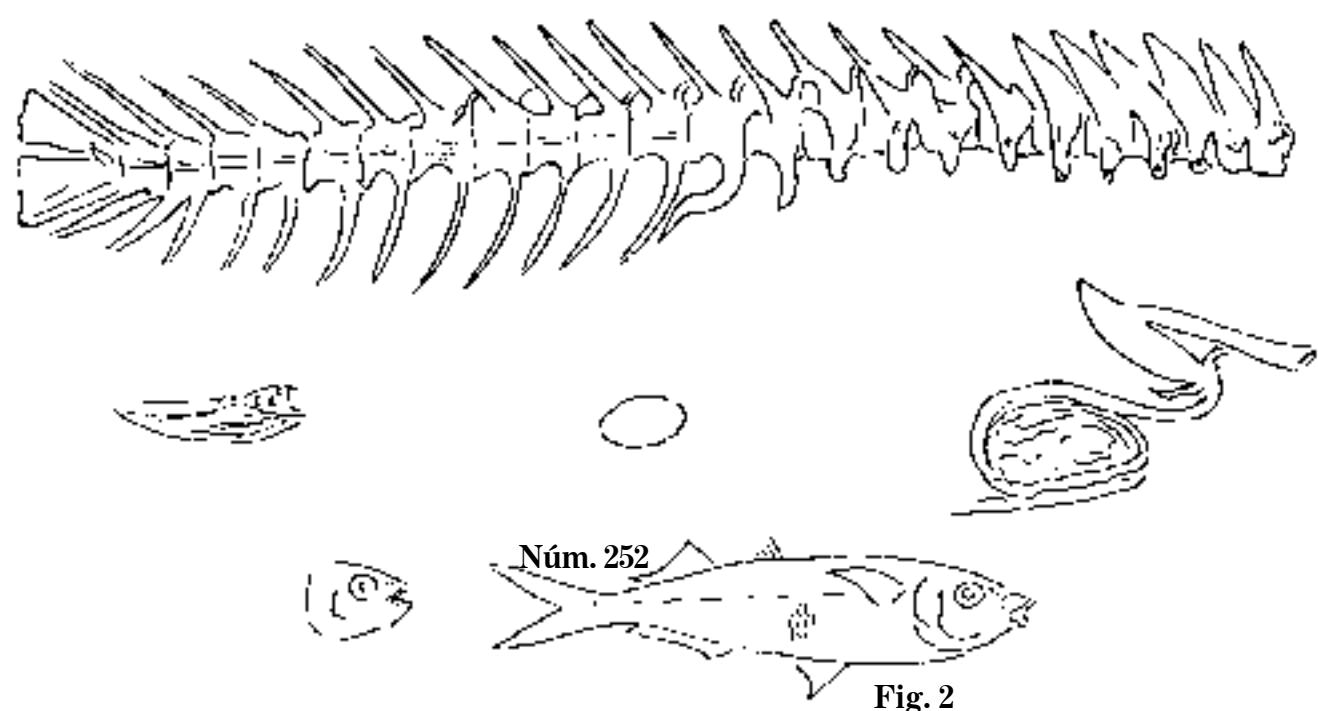
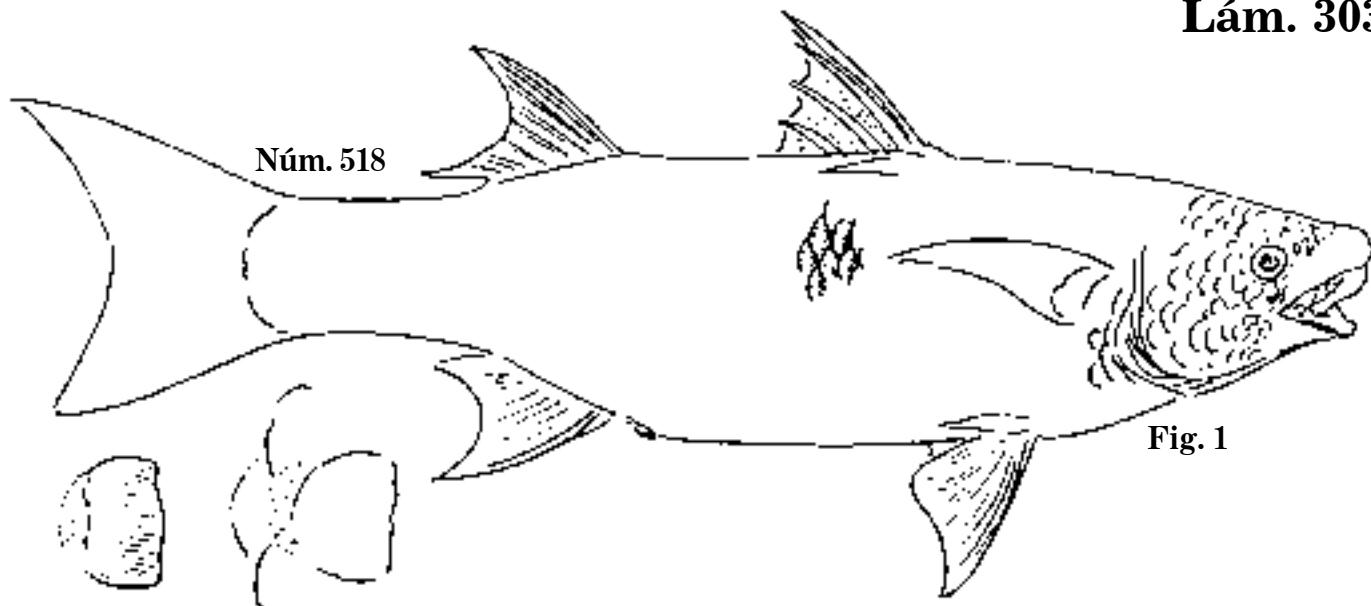


Fig. 1 *Joturus Pichardi*. C. 403 mm; D. 4,10; A. 1,10; joturo.
 Fig. 2 *Atherina microps*. C. 81 mm; D. 5,1,15; A. 1,12.
 Fig. 3 *A. laticeps*, 1860. C. 74 mm; D. 5,1,09; A. 1,12.
 Fig. 4 *A. laticeps*. C. 98 mm; D. 5,1,09; A. 1,12; cabezote.

Lám. 304

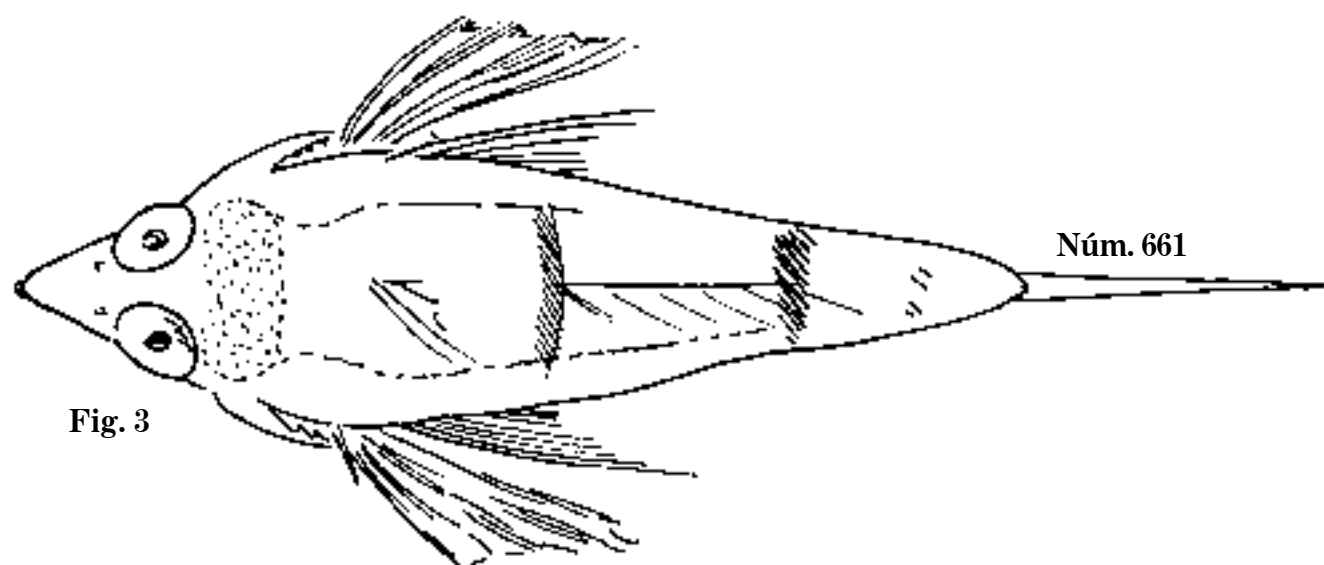
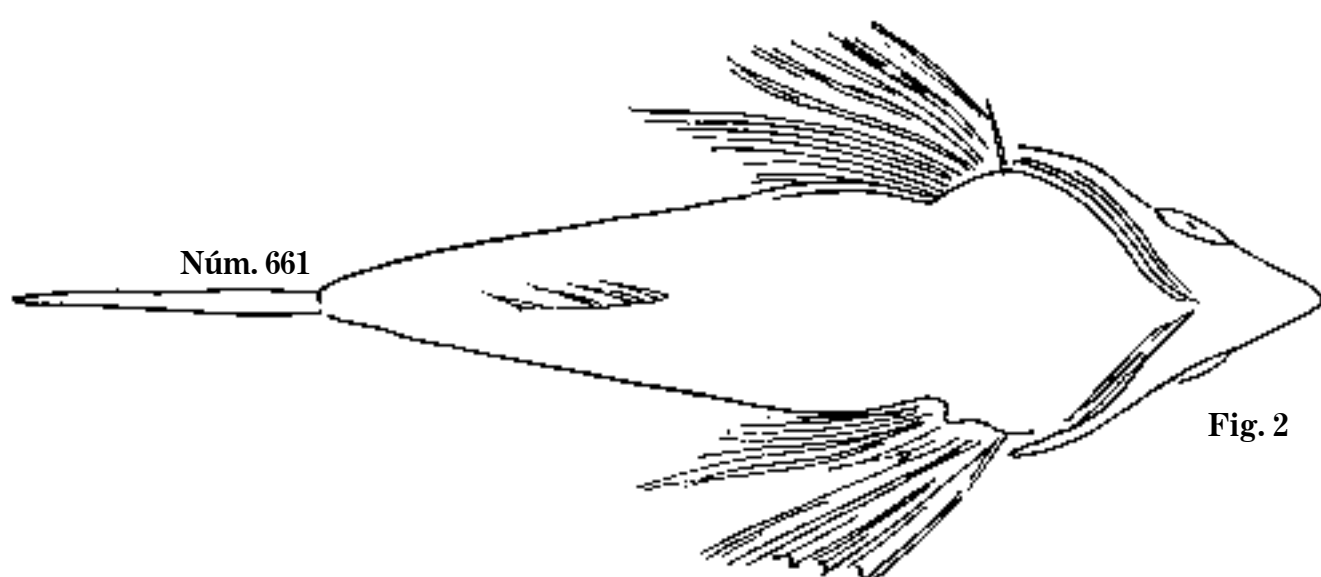
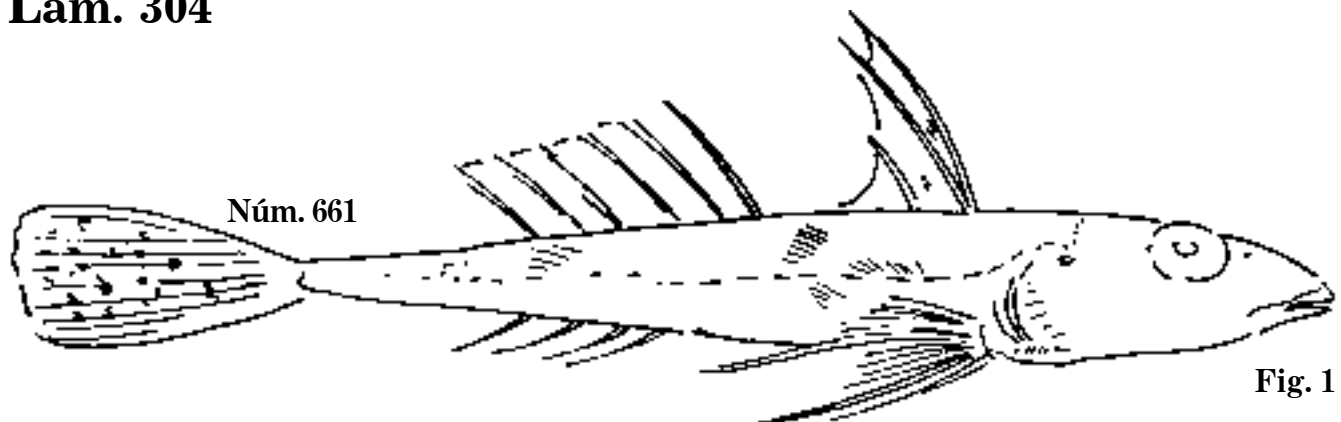


Fig. 1 *Callionymus pauciradiatus*, 1862. P. 38 mm; D. 3-6; A. 4.

Fig. 2 *C. pauciradiatus*, 1862. P. 38 mm; D. 3-6; A. 4.

Fig. 3 *C. pauciradiatus*, 1862. P. 38 mm; D. 3-6; A. 4; S.N.C.

Lám. 305

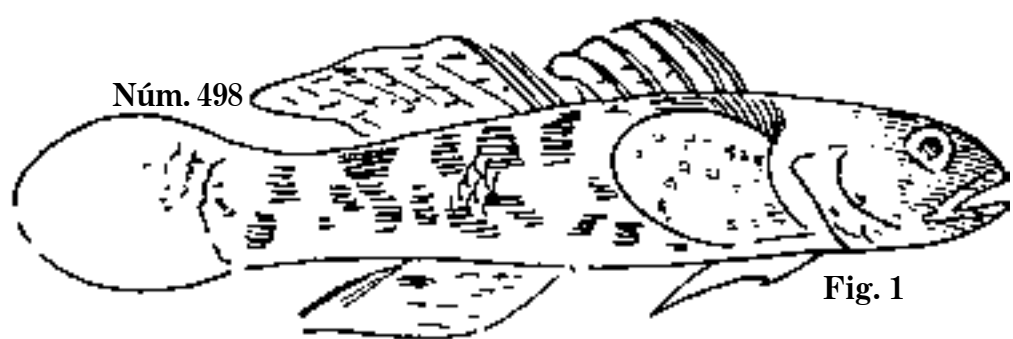
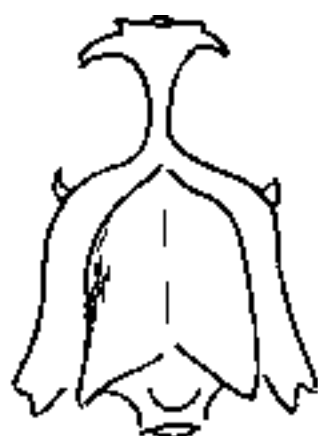


Fig. 1

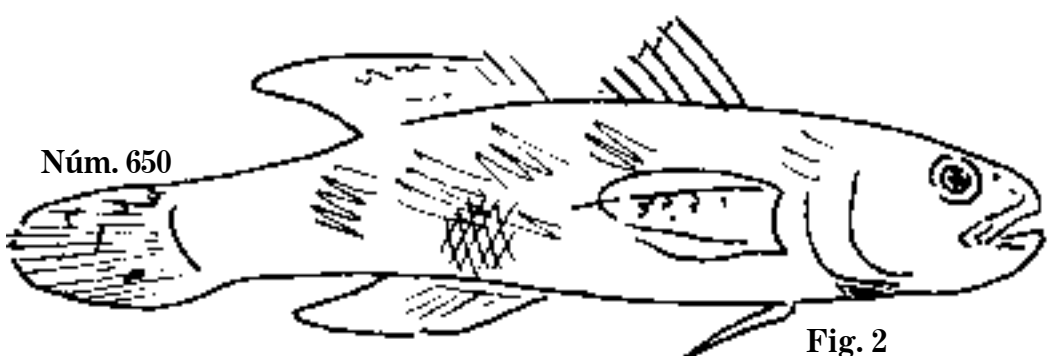


Fig. 2

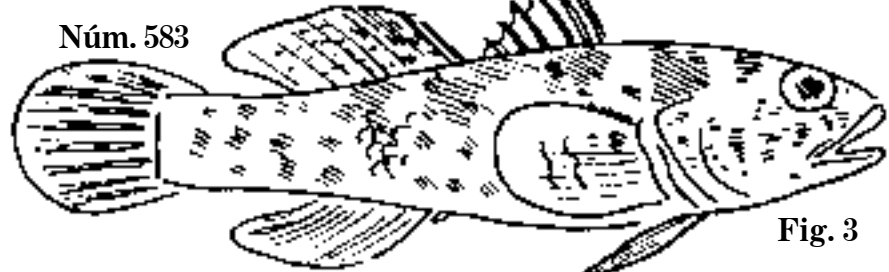


Fig. 3

Fig. 1 *Gobius Mapo*. C. 102 mm; D. 6-1,09; A. 1,08.

Fig. 2 *G. brunneus*. C. 107 mm; D. 6-?; A. ?

Fig. 3 *G. lacertus*, 1860. C. 90 mm; D. 6-1,09; A. 1,08; mapo.

Lám. 306

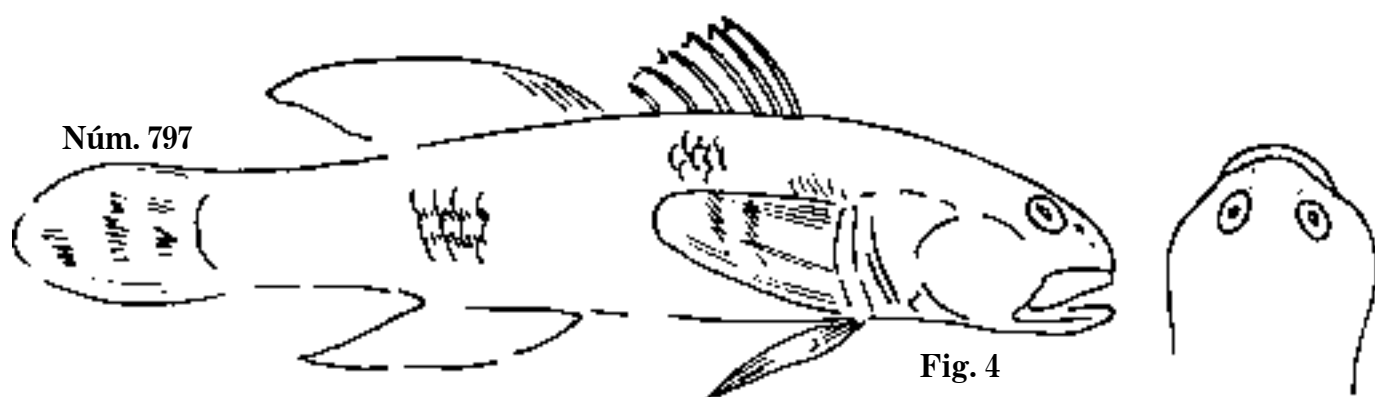
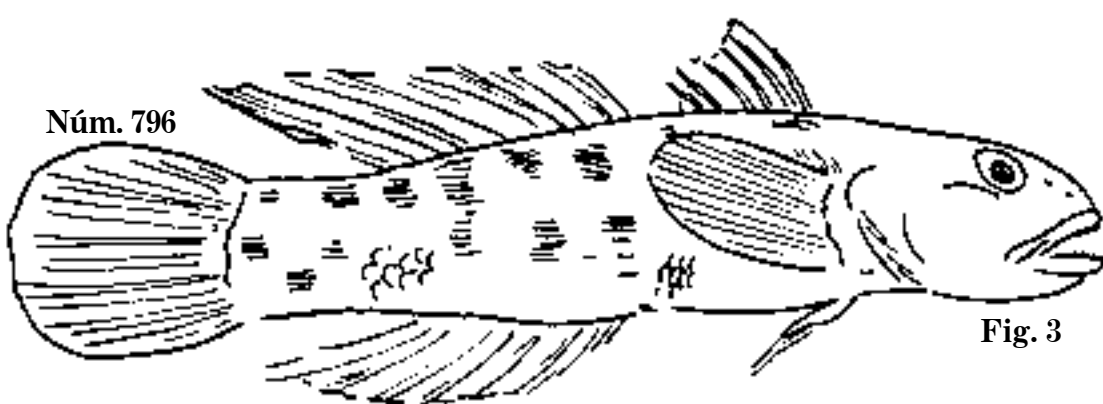
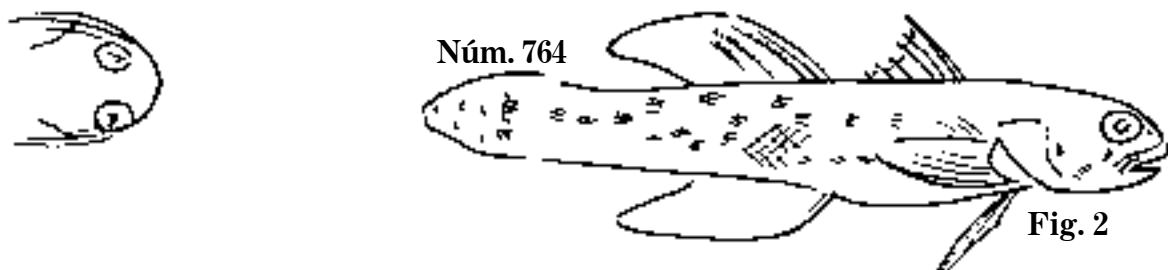
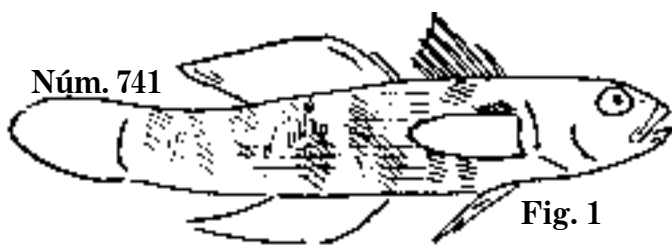


Fig. 1 *Gobius tessellatus*. C. 71; D. 6-10; A. 10.

Fig. 2 *Gobius*, 1878. C. 81 mm; D. 5-10; A. 10.

Fig. 3 *Gobius*. C. 118 mm; D. 6-1,09; A. 09.

Fig. 4 *Gobius*. C. 119 mm; D. 6,10; A. 09; mapo.



Fig. 1

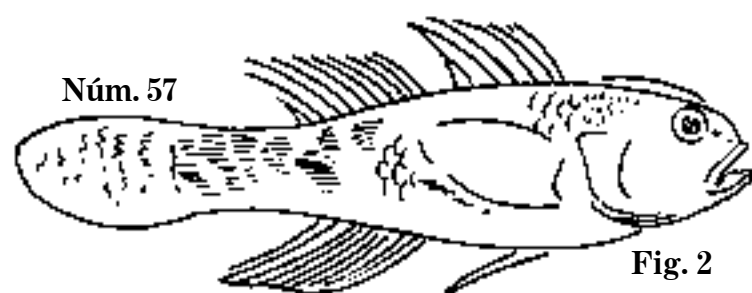


Fig. 2

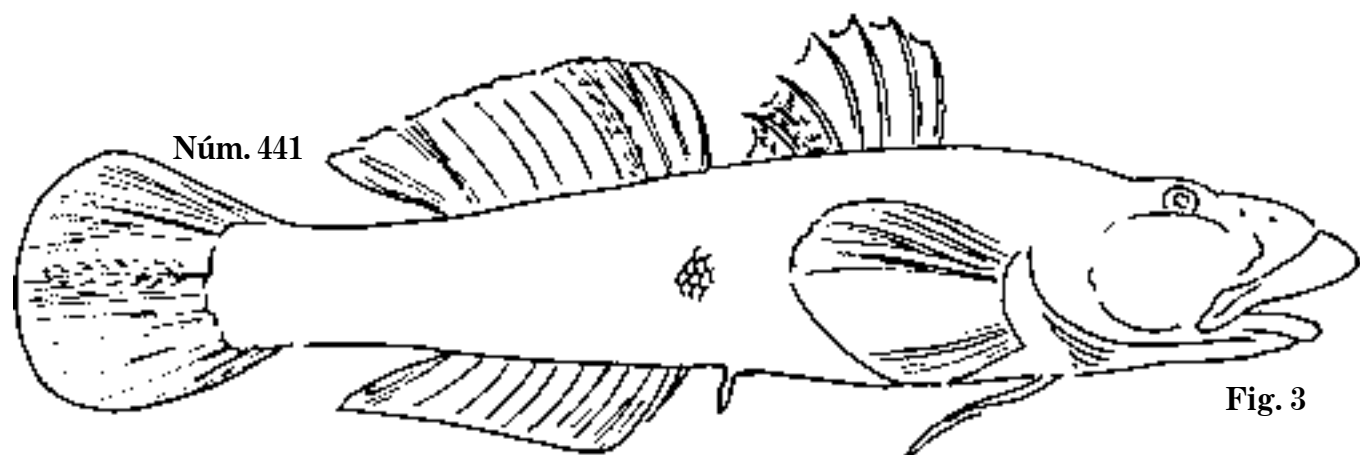


Fig. 3

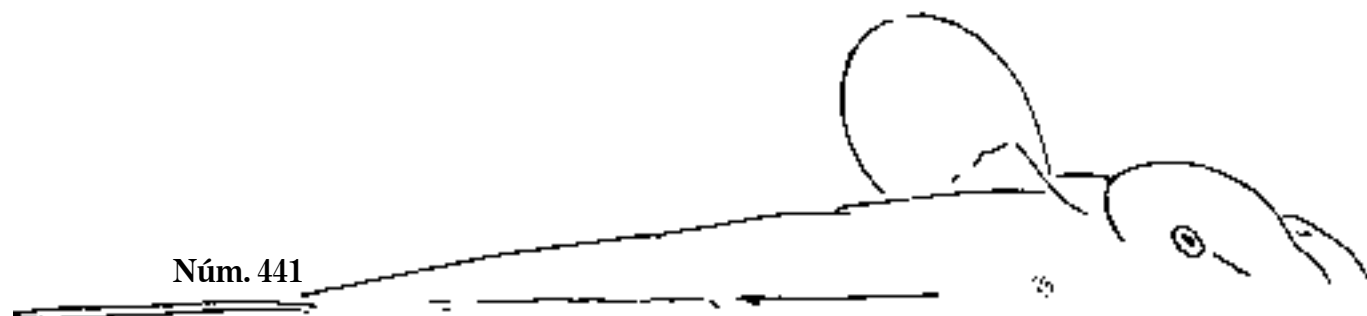


Fig. 4

Fig. 1 *Gobius*, 1879. C. 98 mm; D. 6,10; A. 09.

Fig. 2 *Lophogobius crista-galli*. P. 90 mm; D. 6,10; A. 09; mapo.

Fig. 3 *Chonephorus bucculentus*, 1865. C. 325 mm; D. 6,11; A. 11.

Fig. 4 *Ch. bucculentus*. Vista superior; guavina hoyera.

Lám. 308

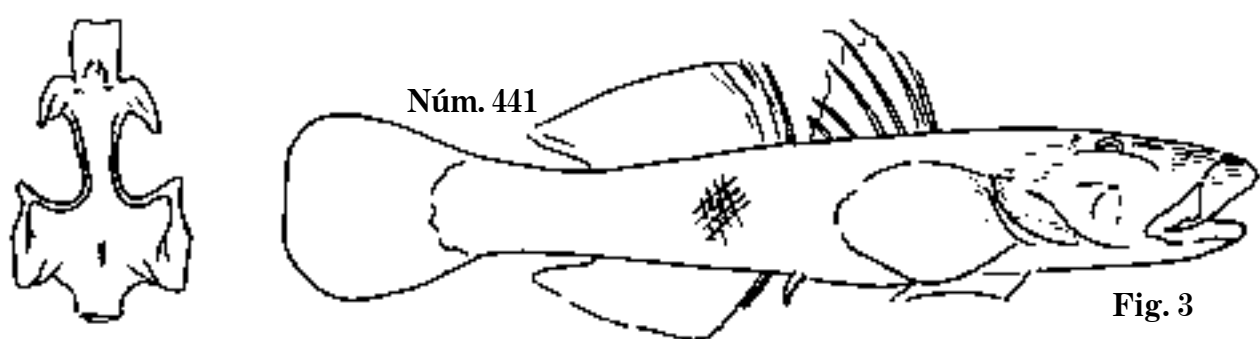
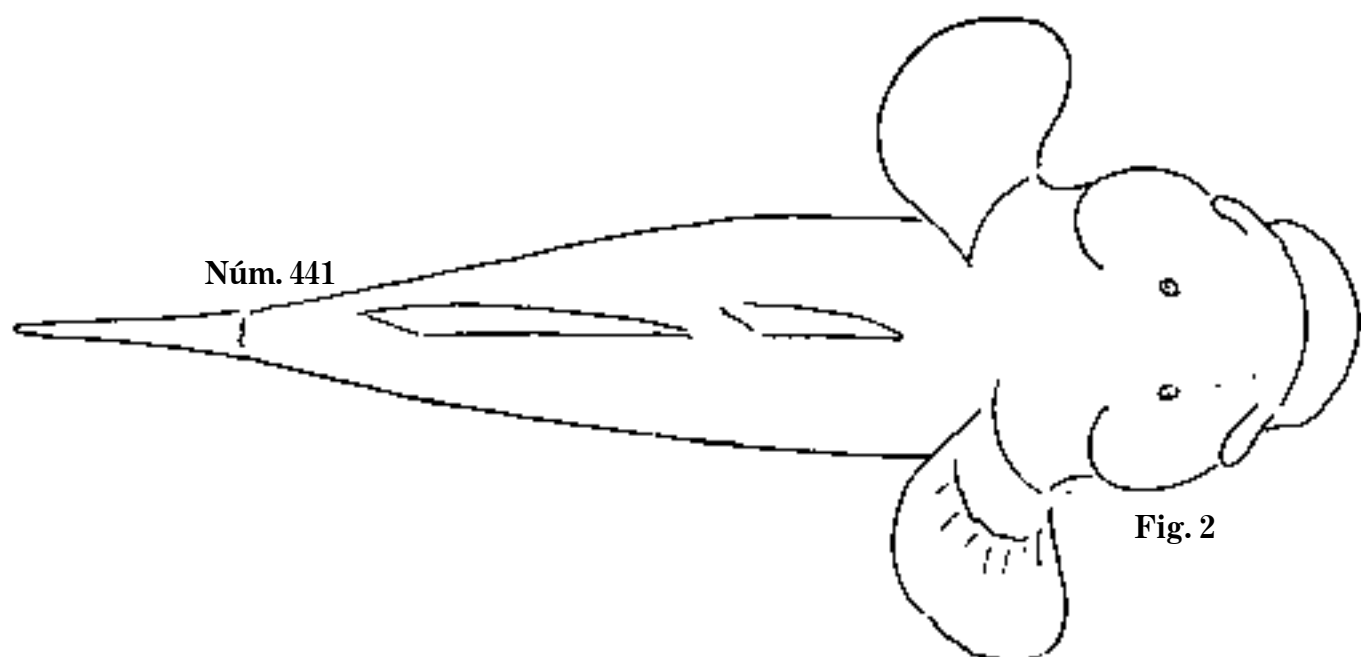
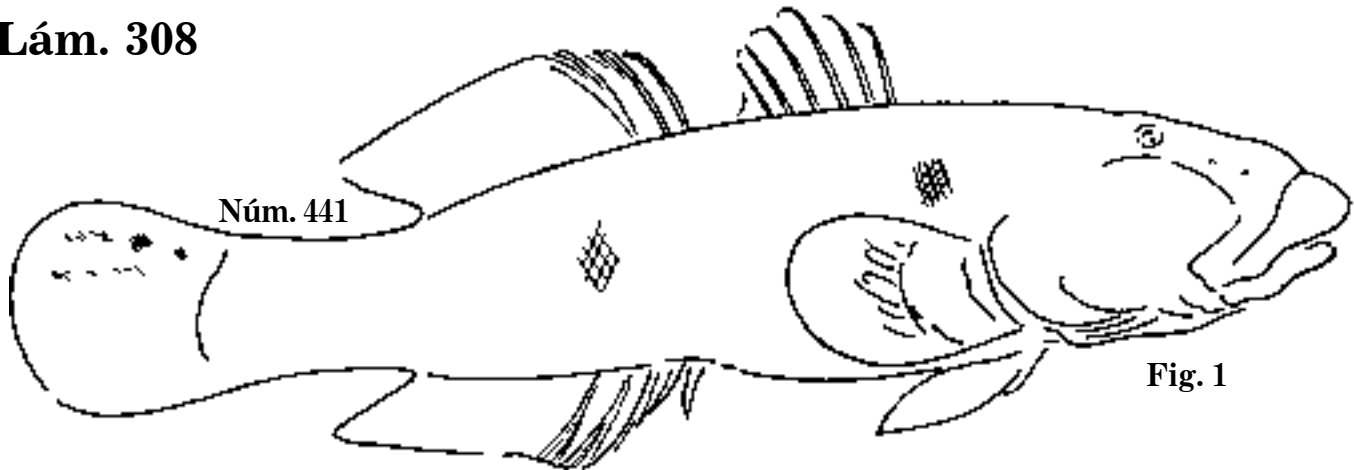
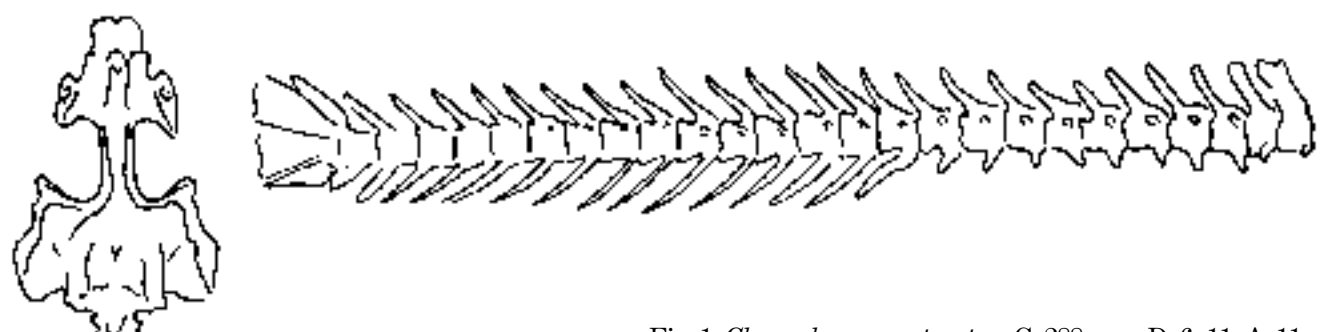
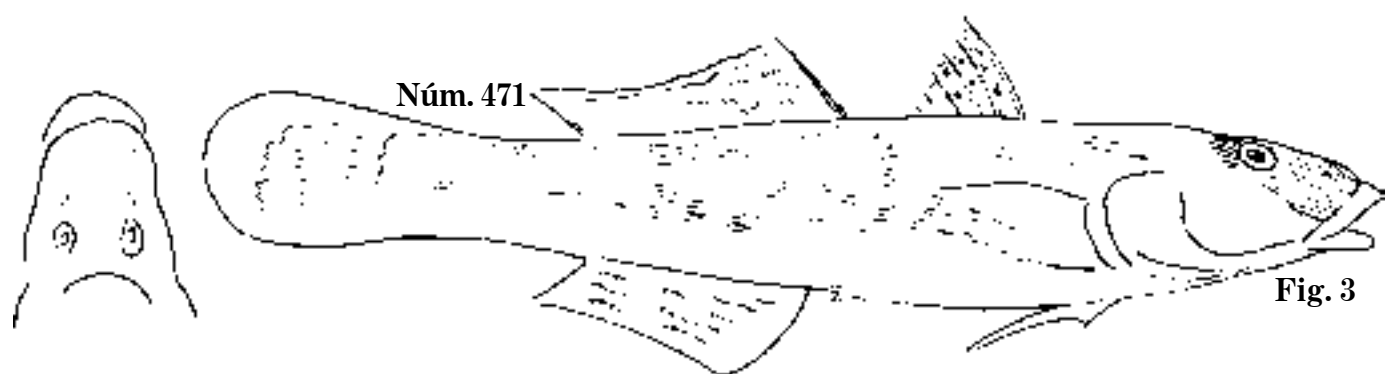
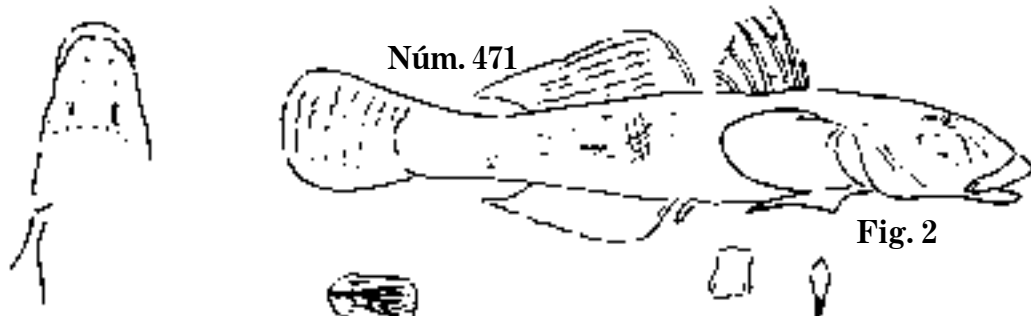
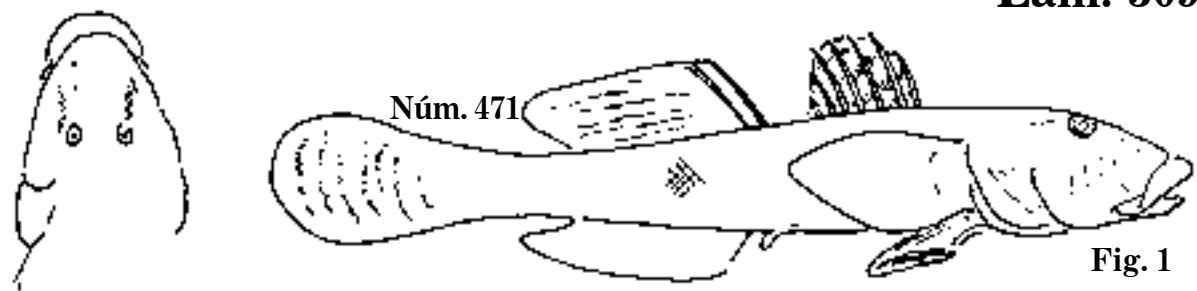


Fig. 1 *Chonephorus bucculentus*, 1869. C. 364 mm; D. 6,11; A.?

Fig. 2 *Ch. bucculentus*. Vista superior.

Fig. 3 *Ch. bucculentus*. C. 264 mm; D. 6-11; A. 11; guavina hoyera.



Lám. 310

Núm. 294

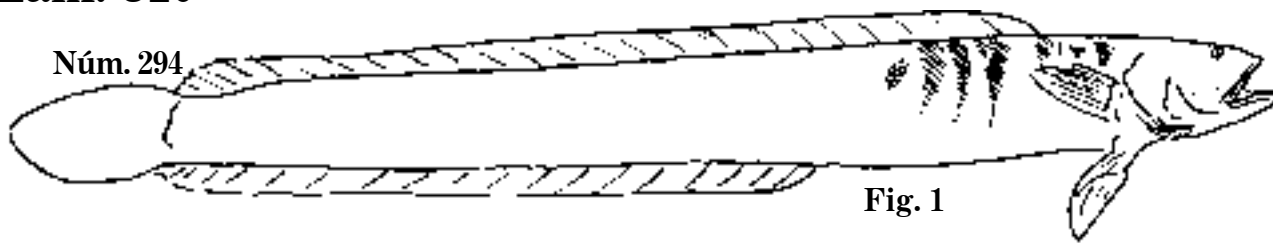


Fig. 1

Núm. 294



Fig. 2

Núm. 196

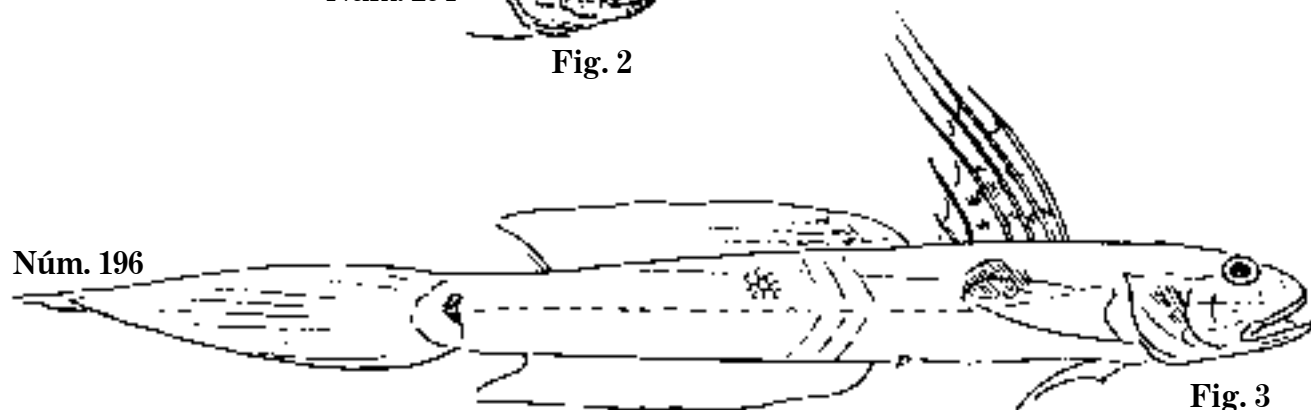


Fig. 3

Núm. 344

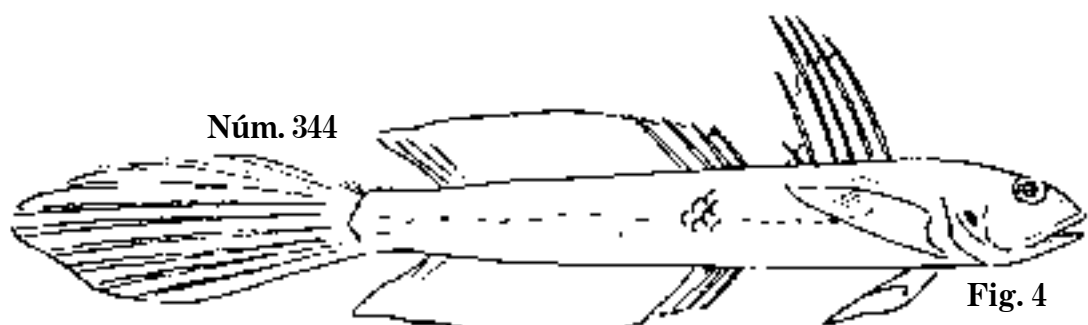


Fig. 4

Núm. 683

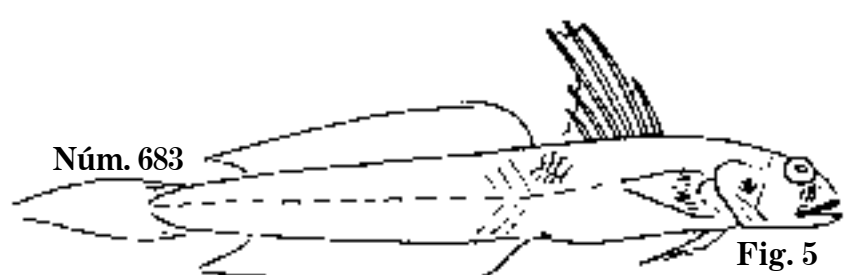


Fig. 5

Núm. 27



Fig. 6

Fig. 1 *Gobiooides Barreto*. C. 563 mm; D. 7,20; A. 18.

Fig. 2 *G. Barreto*. Cabeza; esmeralda de río.

Fig. 3 *Gobionellus lanceolatus*, 1850. C. 194 mm; D. 6,1,13; A. 14.

Fig. 4 *G. bacalaus*, 1850. C. 159 mm; D. 6,14; A. 15.

Fig. 5 *Gobionellus*. C. 124 mm; D. 6,1,13; A. 1,13; esmeralda.

Fig. 6 *G. smaragdus*. C. 122 mm. D.; A.; esmeralda cabezona.

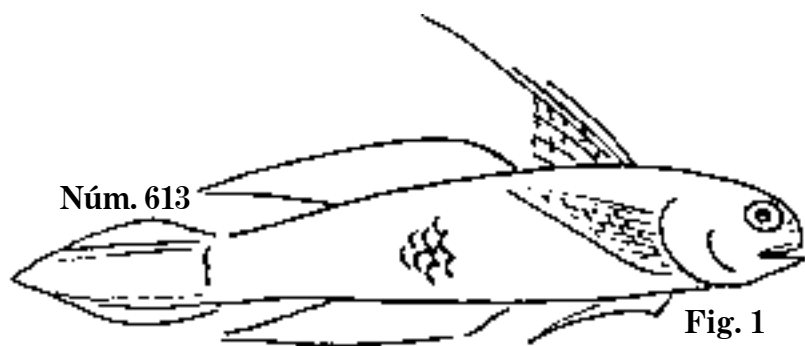


Fig. 1

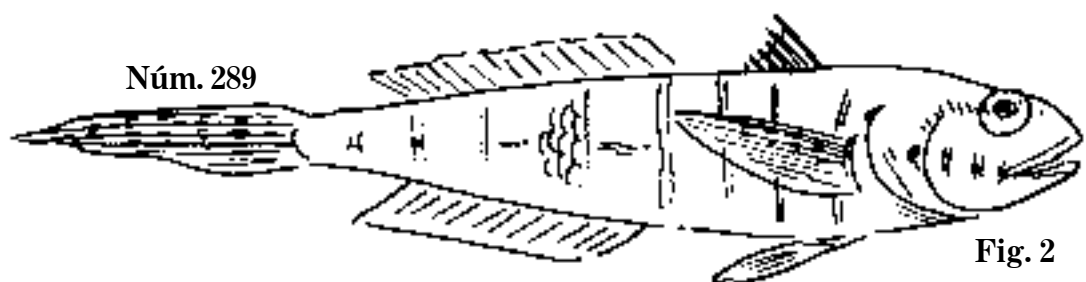


Fig. 2

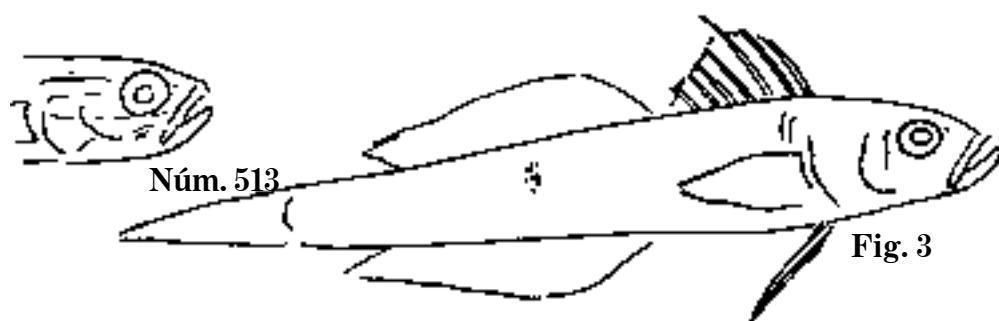


Fig. 3



Fig. 4

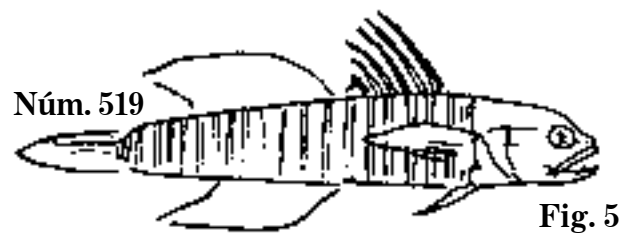


Fig. 5



Fig. 6

Fig. 1 *Gobionellus Costalesi*. P. 85 mm; D.; A.

Fig. 2 *G. stigmaticus*. P. 60 mm; D. 6-12; A. 13?; esmeralda.
Fig. 3 *Microgobius signatus*. C. 47 mm; D. 7-19; A. 21.

Fig. 4 *M. lineatus*. C. 41 mm; D. 7-12? A.?

Fig. 5 *M. lineatus*. P. 32 mm; D. 7-11; A. 9; S.N.C.

Fig. 6 *Sicydium Siragus*. C. 67 mm; D. 6,1,10; A. 1,10; sirajo.

Lám. 312

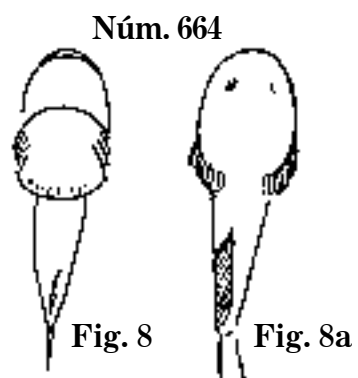
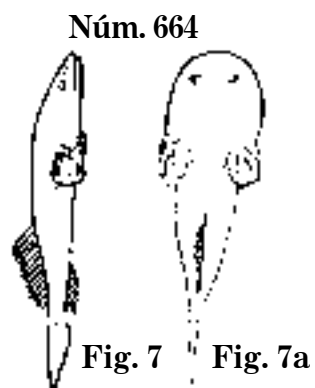
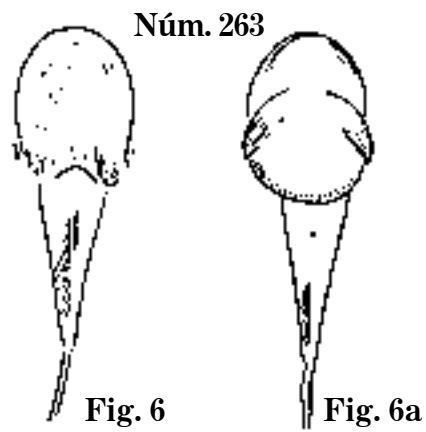
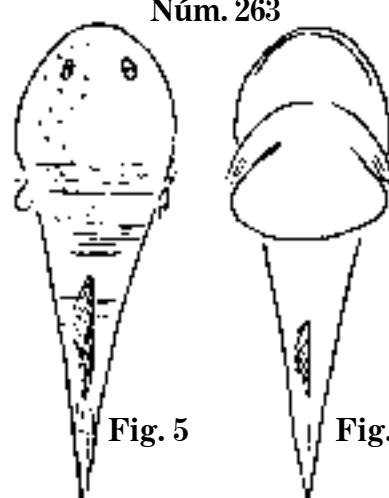
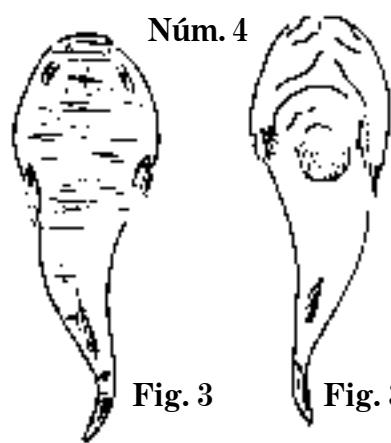
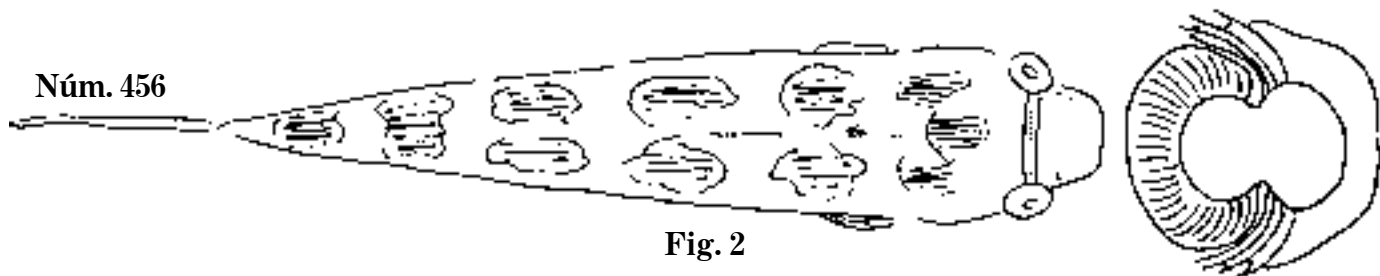
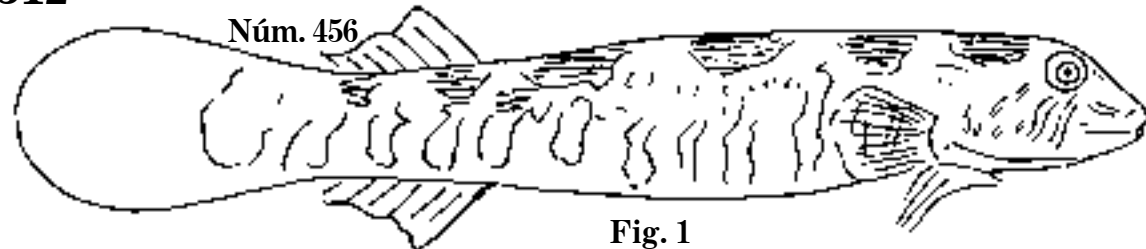


Fig. 1 *Sicyases rupestris*. C. 35 mm; D. 7; A. 7.
 Fig. 2 *S. rupestris*. Vista superior.
 Fig. 3 *S. rubiginosus*. C. 13 mm; D. 6; A. 6.
 Fig. 4 *S. punicens*. C. 27 mm; D.; A.

Fig. 5 *S. punctulatus*. P. 38 mm; D. 10; A. 6.
 Fig. 6 *S. punctulatus*. P. 37 mm; D. 10; A. 6.
 Fig. 7 *S. concolor*. C. 53 mm; D. 12; A. 6.
 Fig. 8 *S. concolor*. P. 52 mm; D. 12; A. 6; S.N.C.

Lám. 313

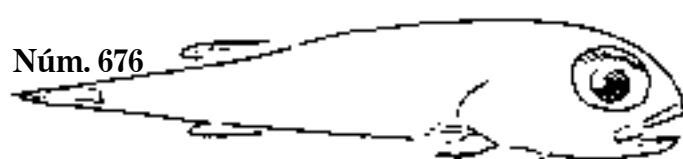


Fig. 1

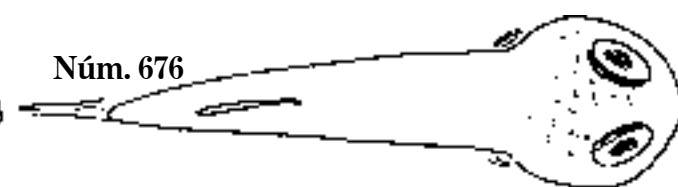


Fig. 2



Fig. 3

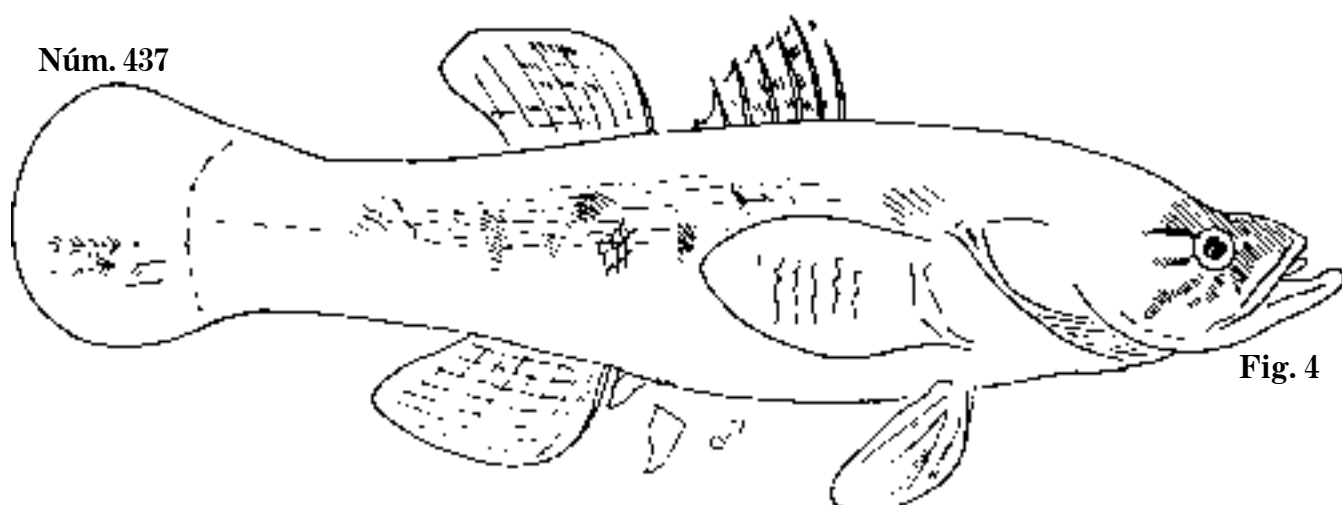


Fig. 4

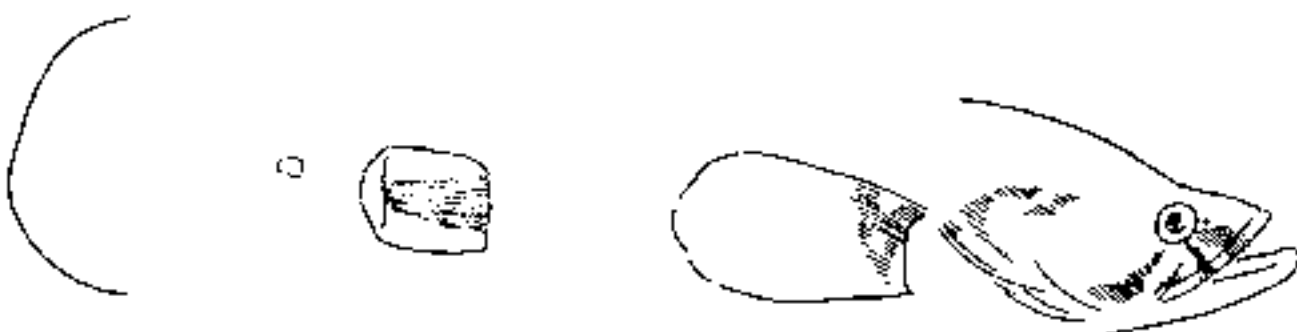


Fig. 1 *Sicyases carneus*. P. 21 mm; D.; A.

Fig. 2 *S. carneus*. Vista superior.

Fig. 3 *S. carneus*. Vista inferior; S.N.C.

Fig. 4 *Eleotris gyrinus*. C. 202 mm; D. 6-9; A. 9; S.N.C.

Lám. 314

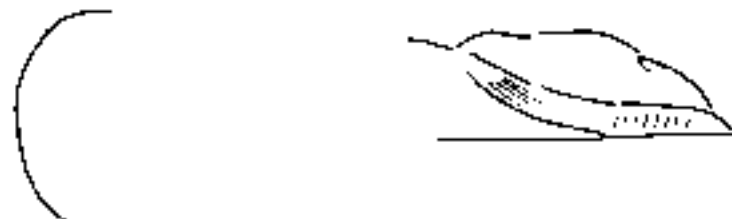
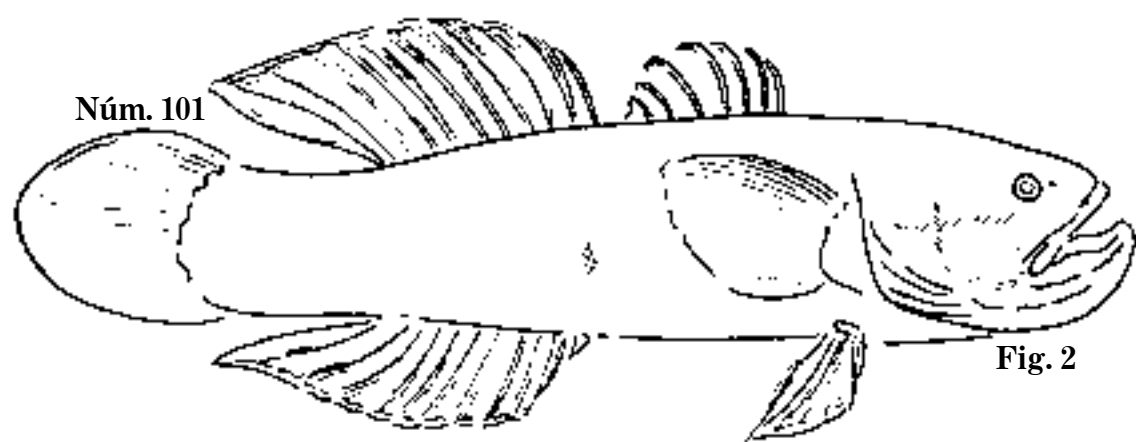
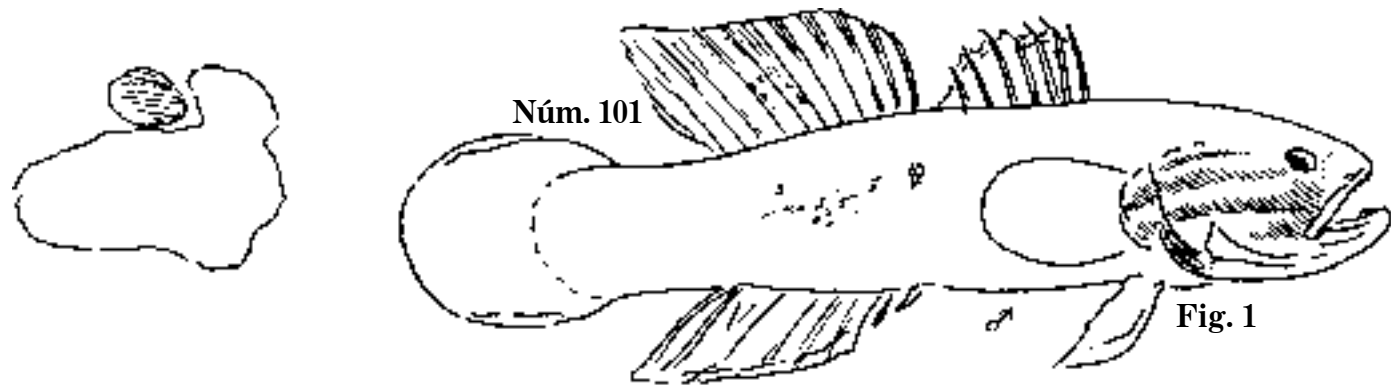


Fig. 1 *Eleotris Guavina*, 1850. C. 280 mm; D. 7-11; A. 11.

Fig. 2 *E. Guavina*, 1865. C. 315 mm; D. 7-11; A. 11; guasábaco.

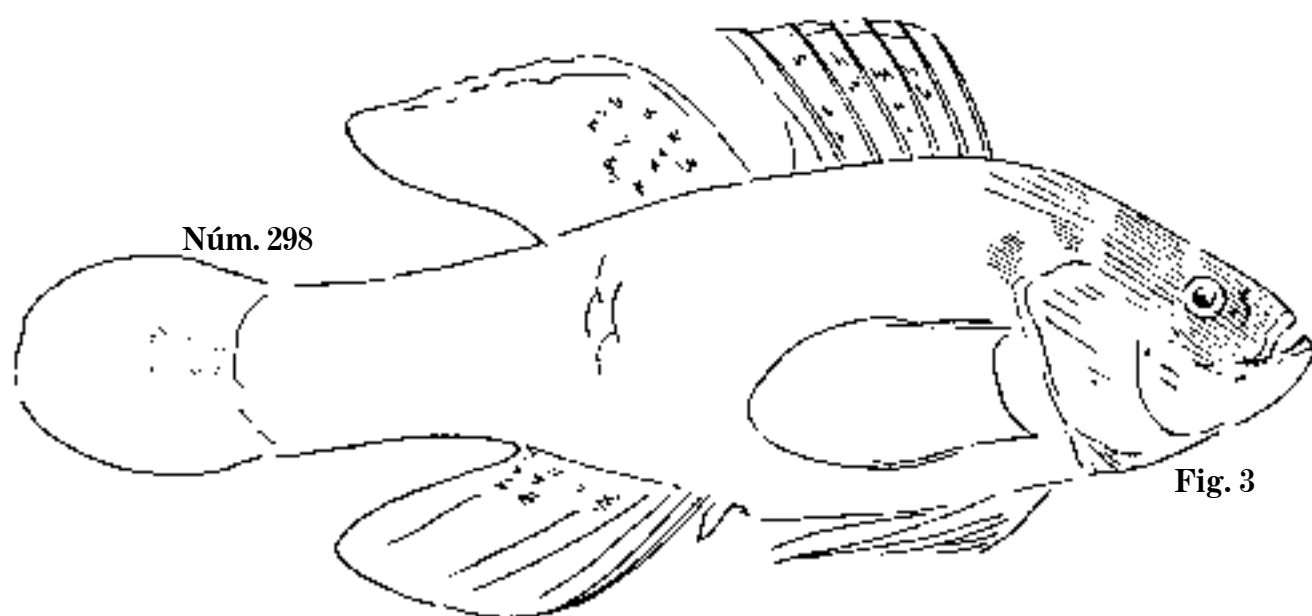
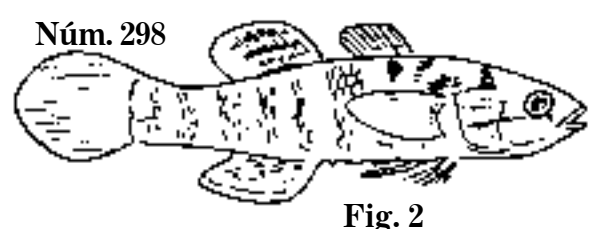
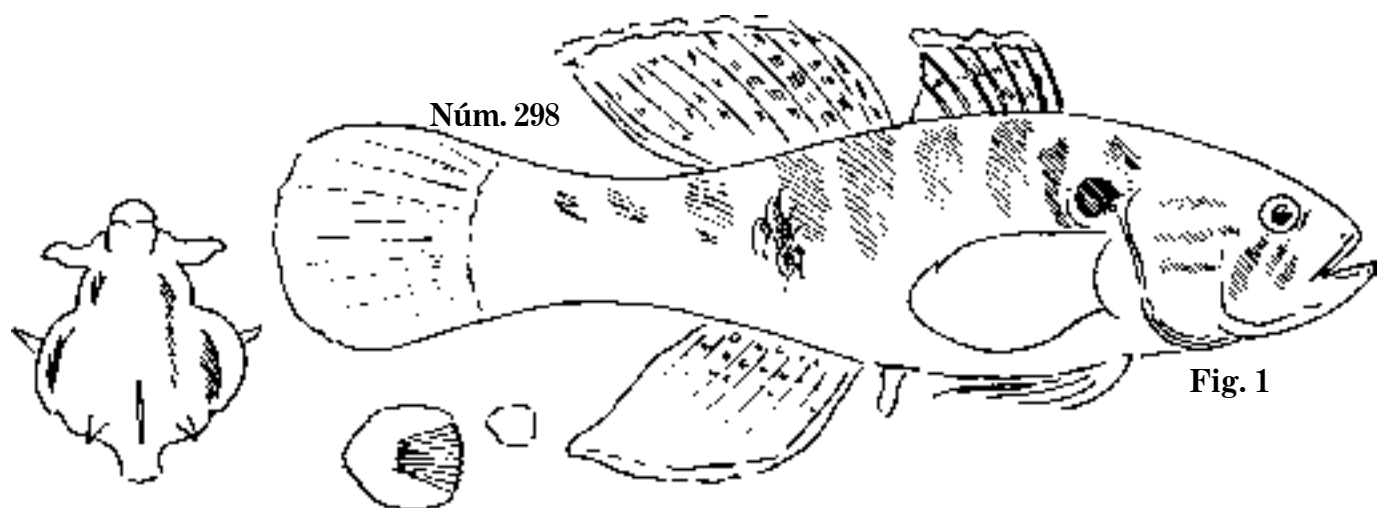


Fig. 1 *Dormitator omocyanus*, 1860. P. 170 mm; D. 7-1,8; A. 1,10.

Fig. 2 *D. omocyanus*. C. 87 mm; D. 7-1,9; A. 1,10.

Fig. 3 *D. omocyanus*. C. 201 mm; D. 7-1,8; A. 1,9; guavina mapo.

Lám. 316

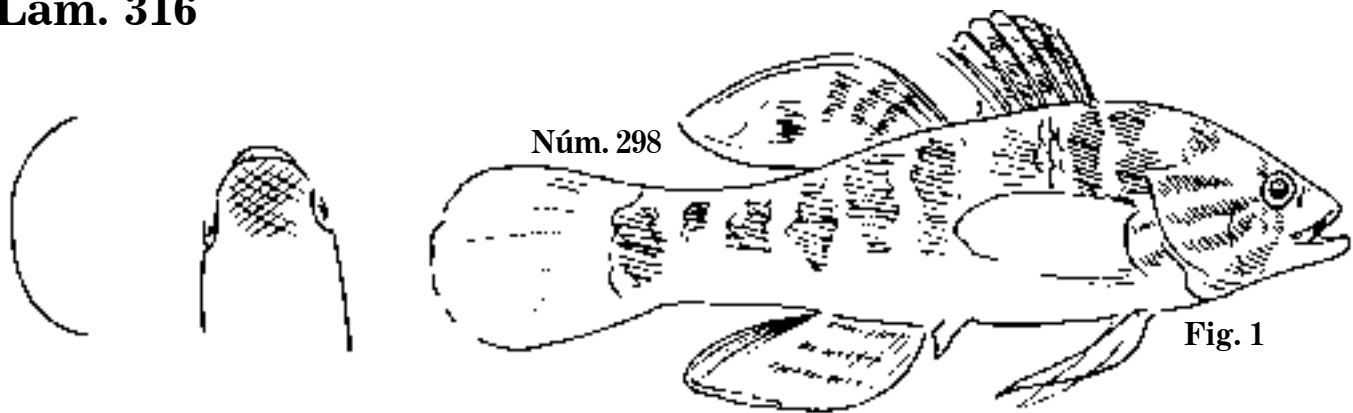


Fig. 1

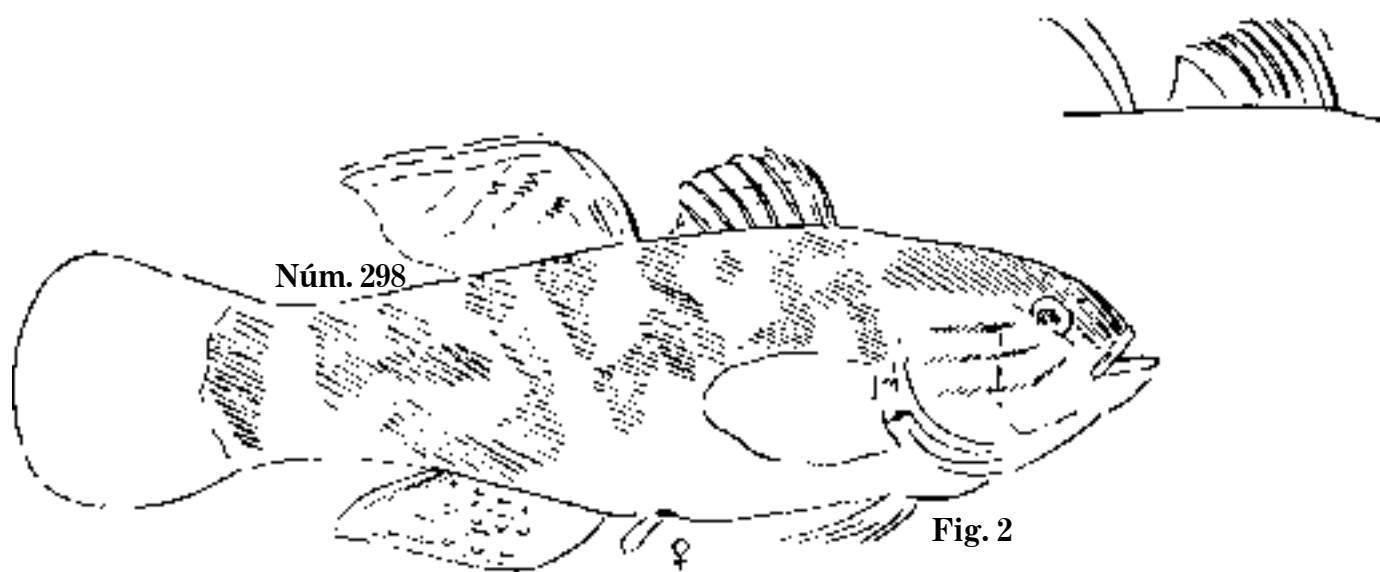


Fig. 2

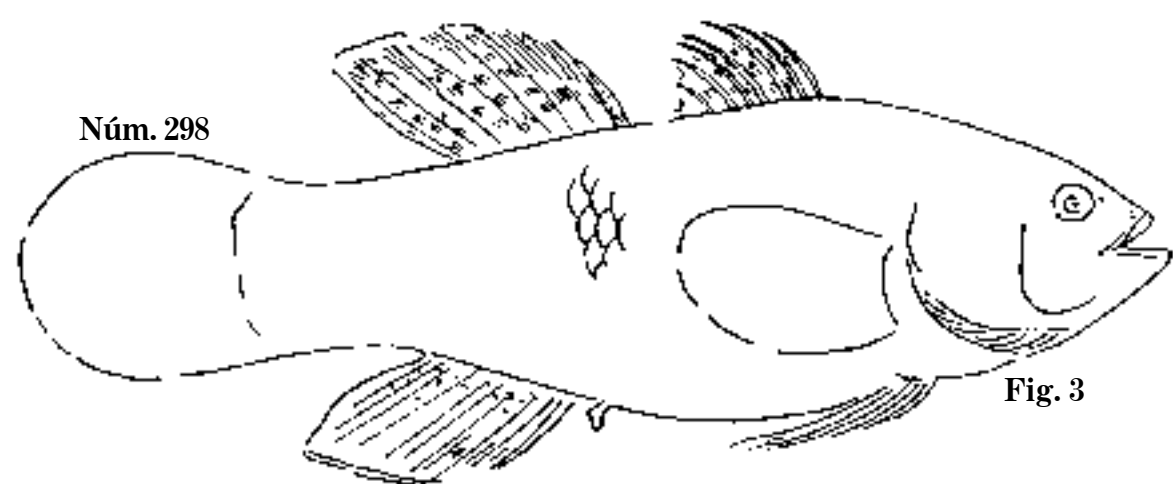


Fig. 3

Fig. 1 *Dormitator omocyaneus*. C. 134 mm; D. 7-9; A. 10.

Fig. 2 *D. omocyaneus*. P. 165 mm; D. 7-1,8; A. 1,9.

Fig. 3 *D. omocyaneus*. P. 166 mm; D. 7-1,8; A. 1,10; guavina mapo.

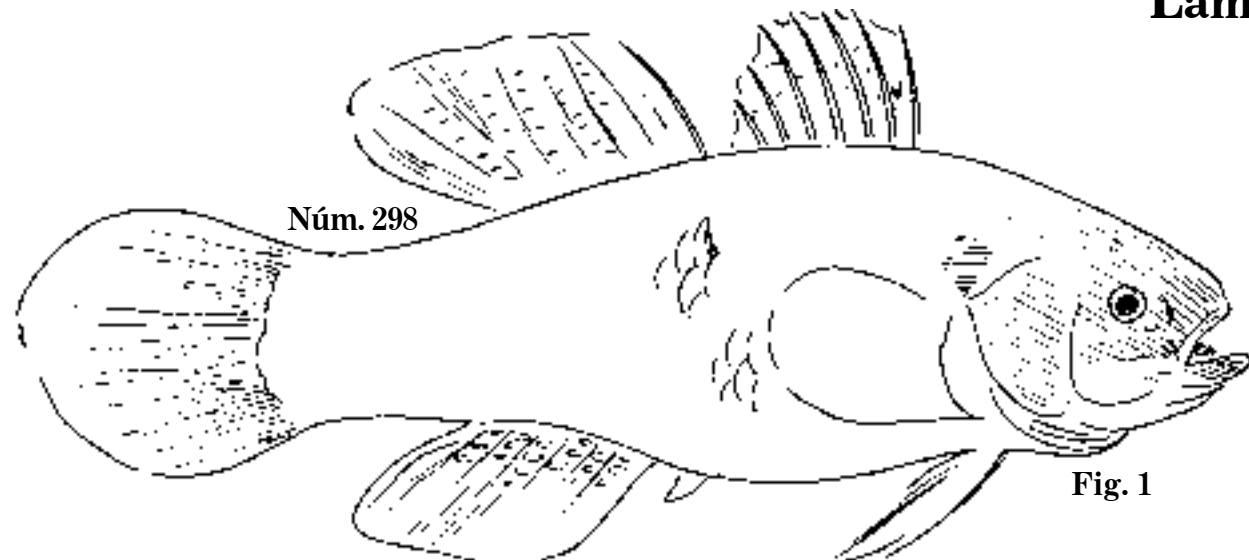


Fig. 1

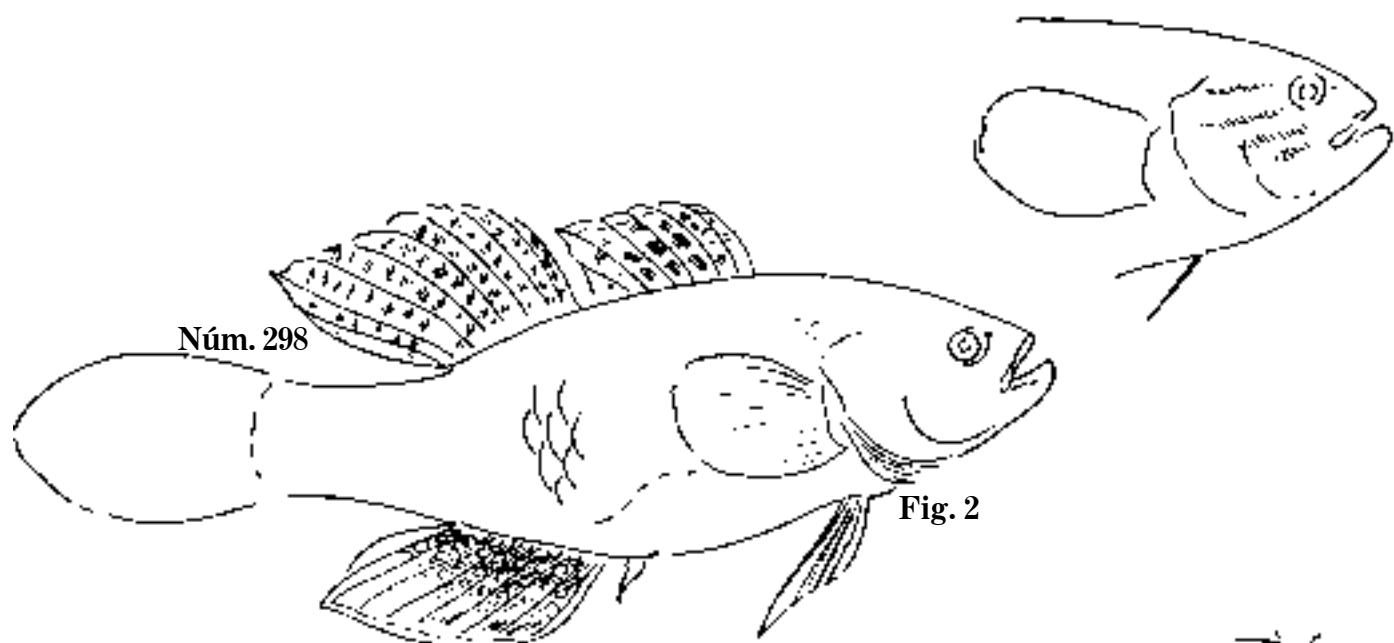


Fig. 2

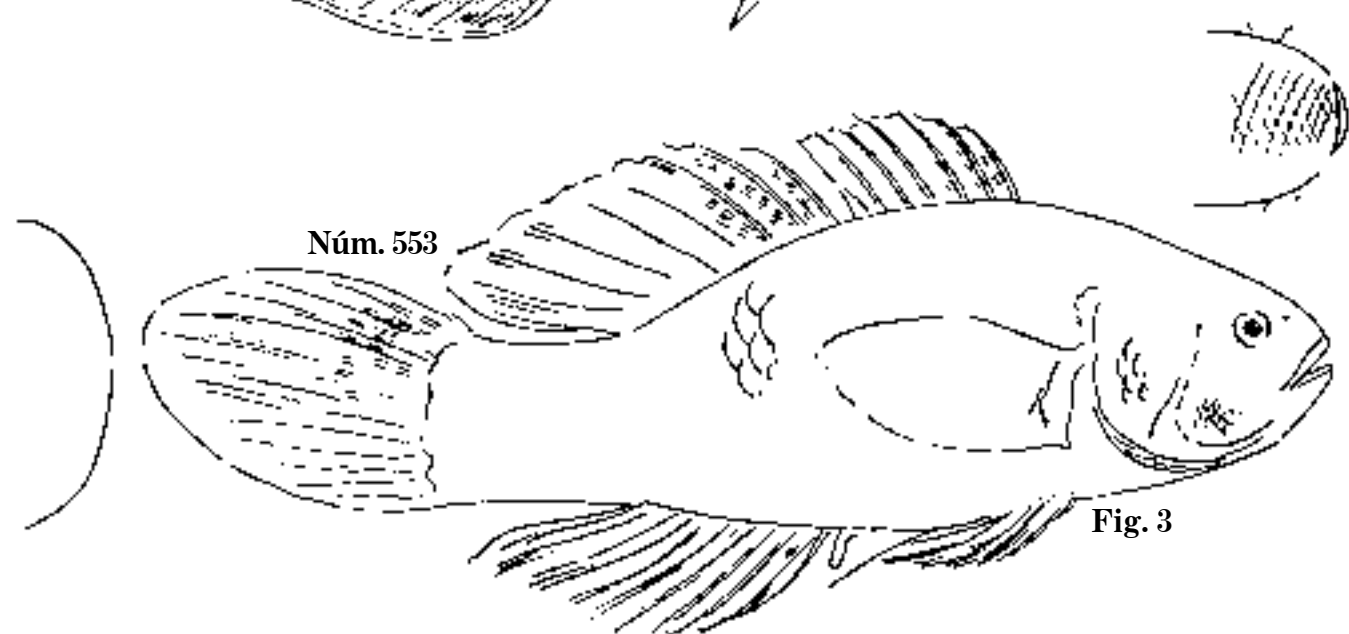


Fig. 3

Fig. 1 *Dormitator omocyaneus*. P. 193 mm; D. 7-1,8; A. 1,10.

Fig. 2 *D. omocyaneus*, 1862. P. 162 mm; D. 7-1,9; A. 10.

Fig. 3 *D. Gundlachi*, 1860; C. 188 mm; D. 7-1,8; A. 1,10; guavina mapo.

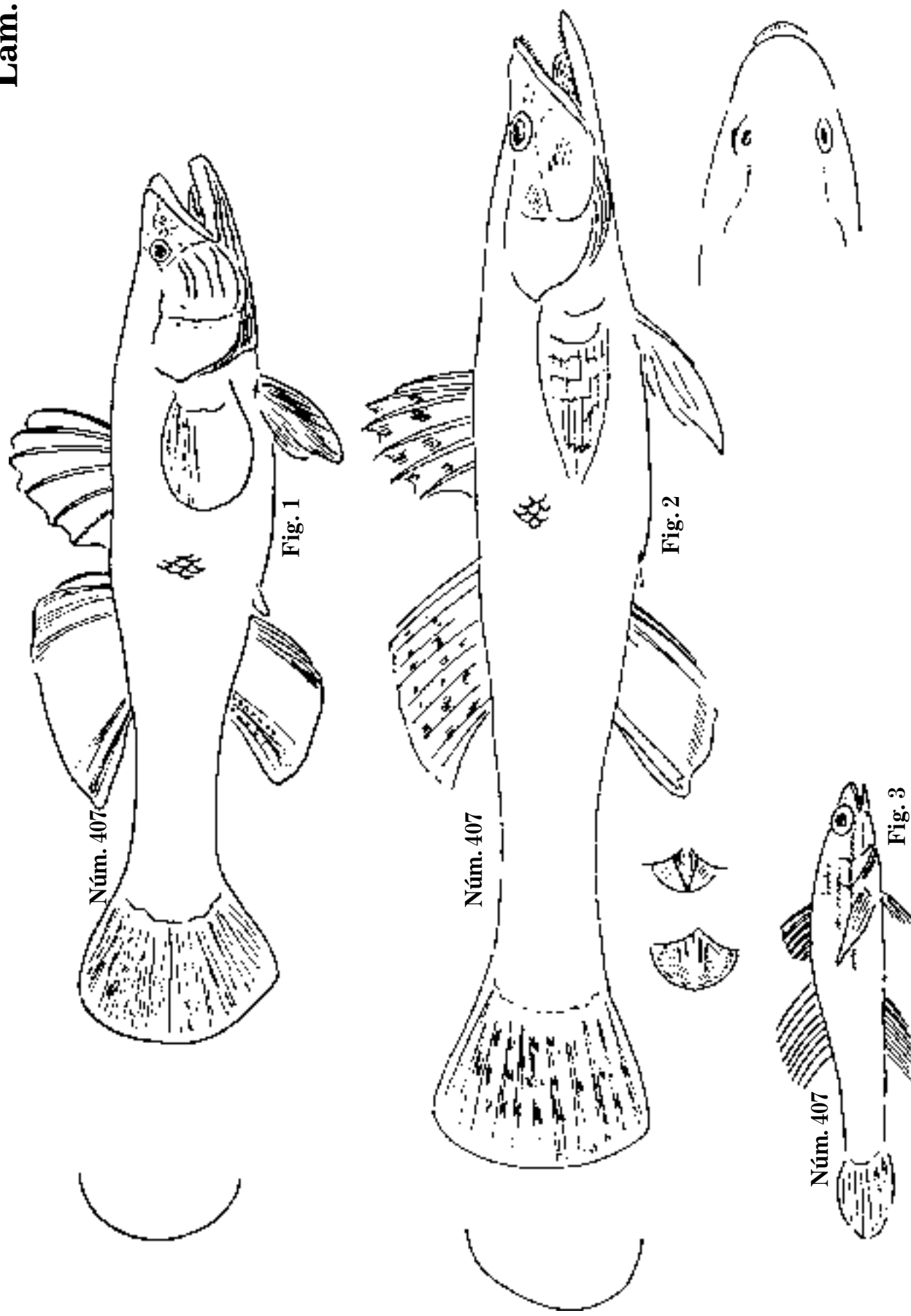


Fig. 1 *Phyllophorus dormitor*. C. 544 mm; D. 6-1,9; A. 1,9.

Fig. 2 *Ph. dormitor*. C. 235 mm; D. 6-10; A. 10.

Fig. 3 *Ph. dormitor*, 1862. C. 31 mm; D. 6-9; A. 10; guavina.

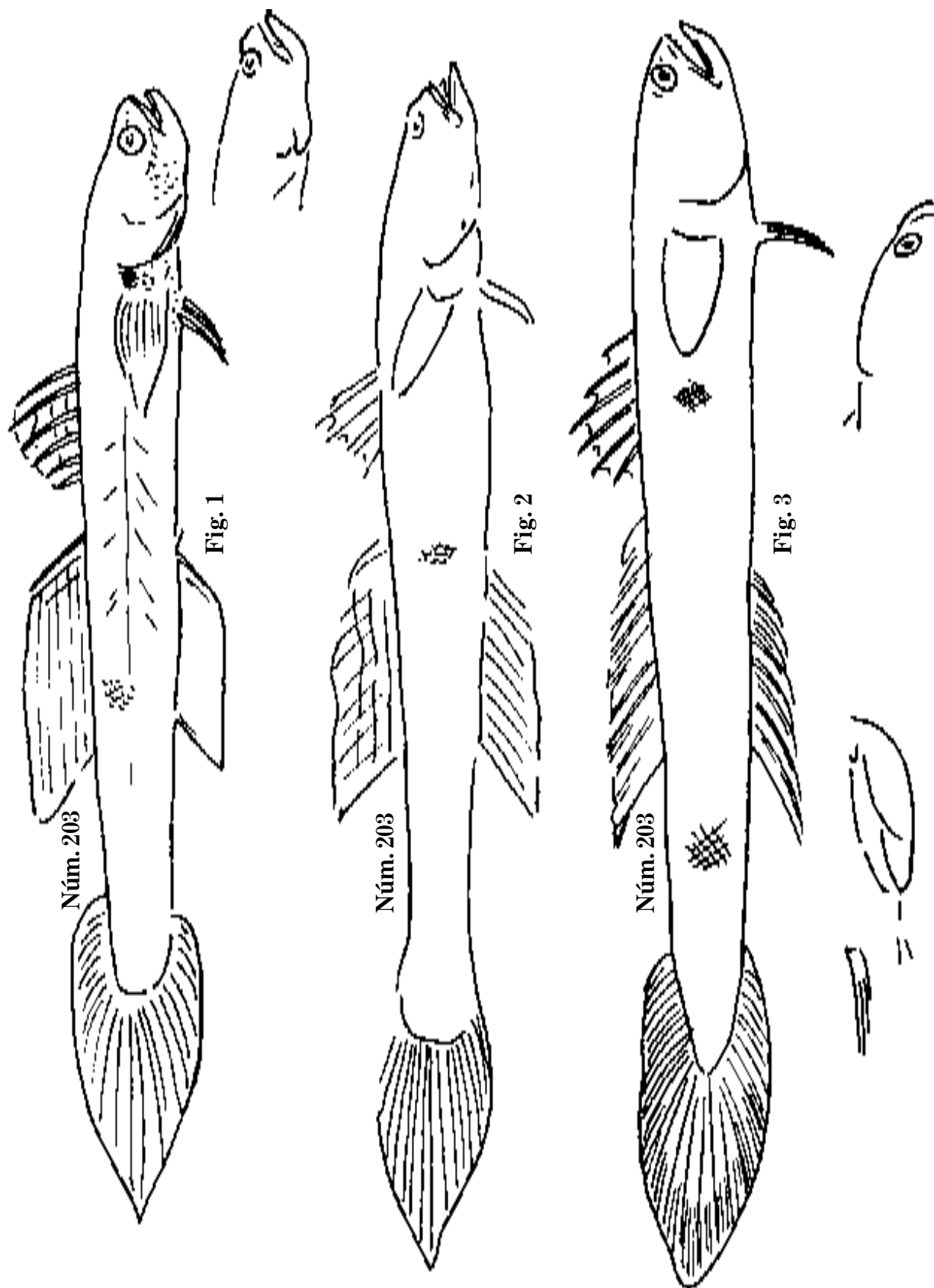


Fig. 1 *Erotelis Valenciennesi*, 1860. C. 148 mm; D. 6-1,10; A. 10.

Fig. 2 *E. Valenciennesi*. C. 158 mm; D. 6-11; A. 10.

Fig. 3 *E. Valenciennesi*. C. 166 mm; D. 6-11; A. 10; esmeralda negra.

Lám. 320

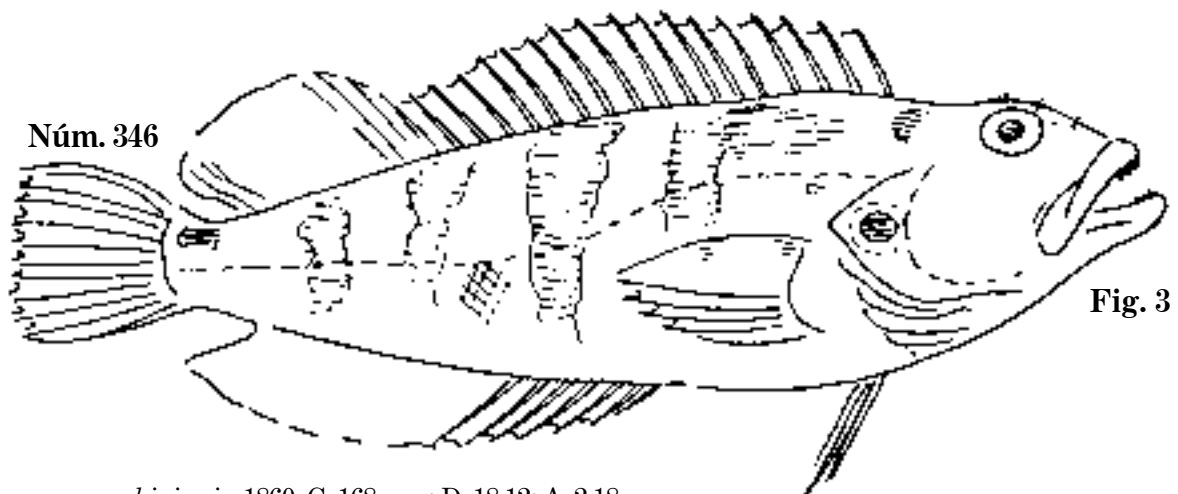
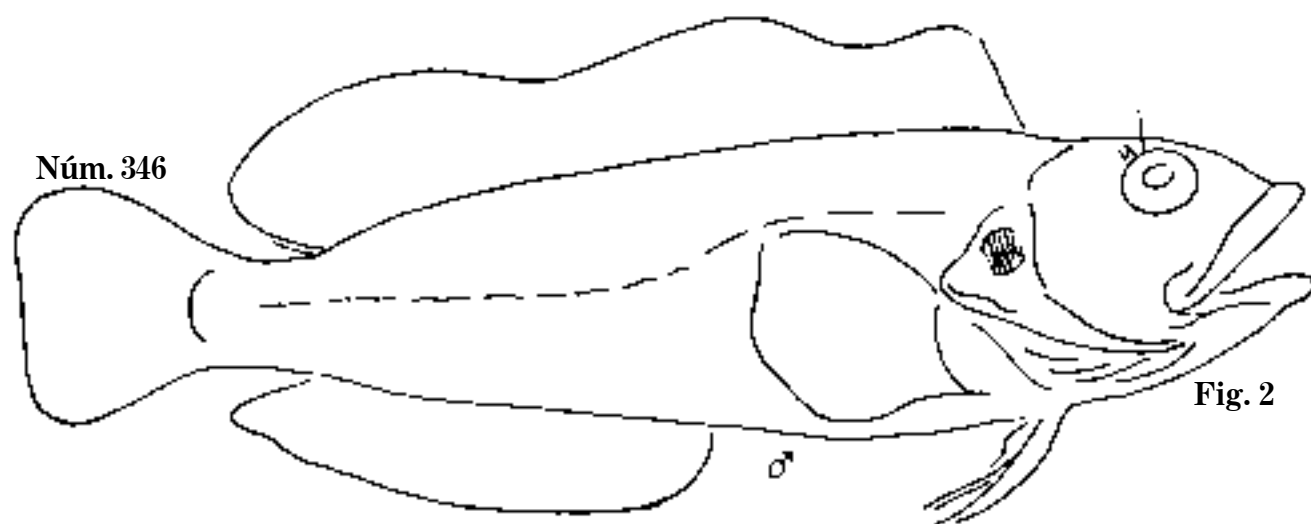
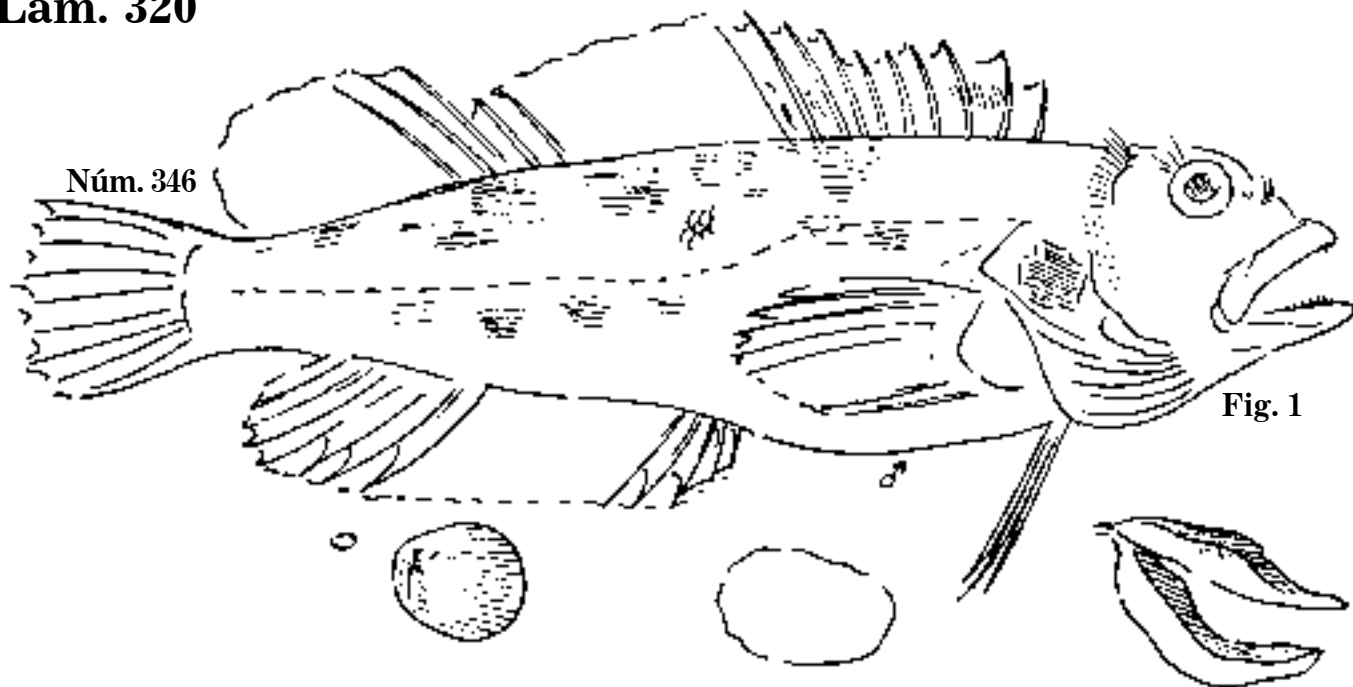


Fig. 1 *Labrosomus muchipinnis*, 1860. C. 168 mm; D. 18,12; A. 2,18.

Fig. 2 *L. muchipinnis*. C. 163 mm; D. 18,12; A. 2,18.

Fig. 3 *L. muchipinnis*, 1878. C. 147 mm; D. 18,12; A. 20; S.N.C.



Núm. 346

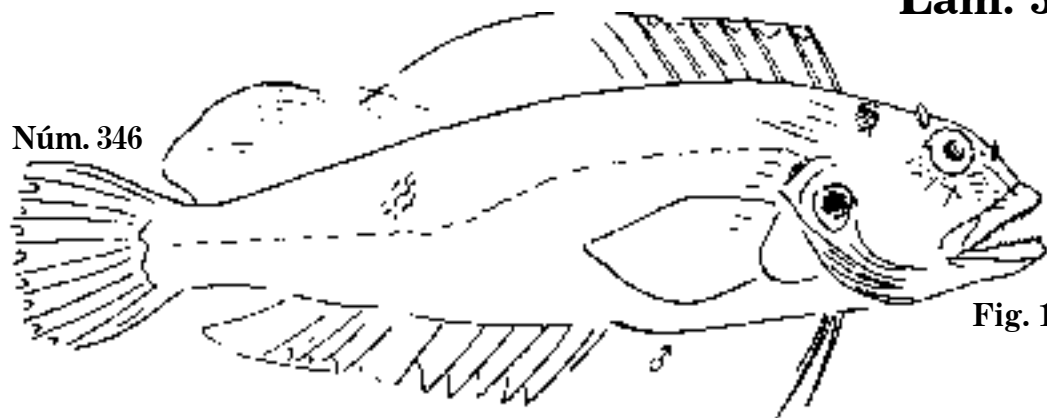


Fig. 1



Núm. 346



Fig. 2

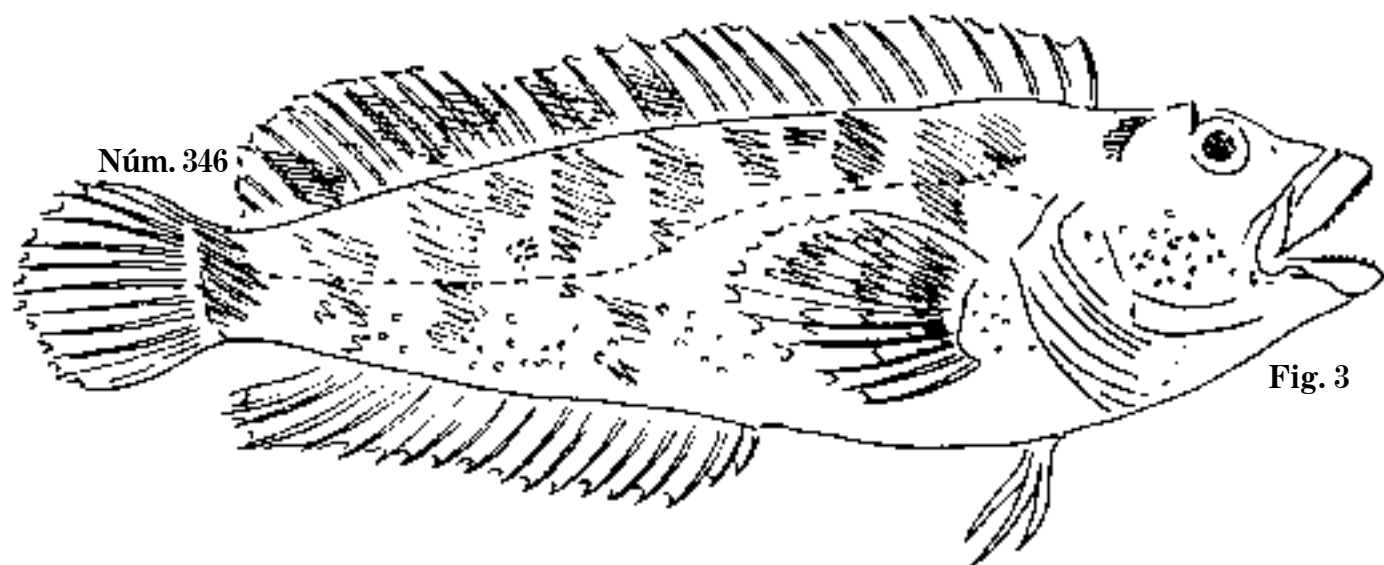


Fig. 3

Fig. 1 *Labrosomus muchipinnis*, 1850. C. 148 mm; D. 18,12; A. 19.

Fig. 2 *L. muchipinnis*. P. 39 mm; D. 19,11; A. 20.

Fig. 3 *L. muchipinnis*, 1876. C. 194 mm; D. 9,10,12; A. 19; S.N.C.

Lám. 322

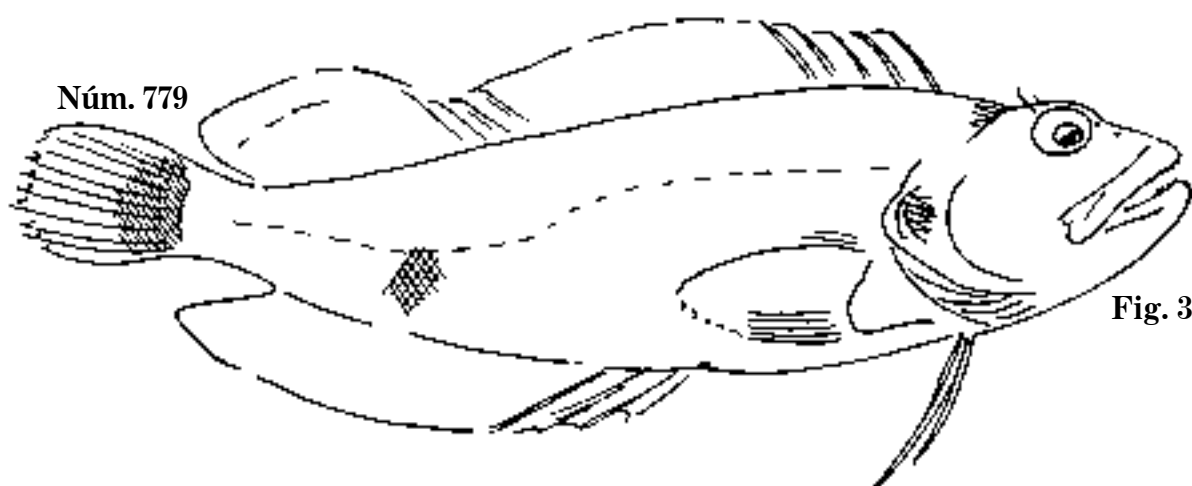
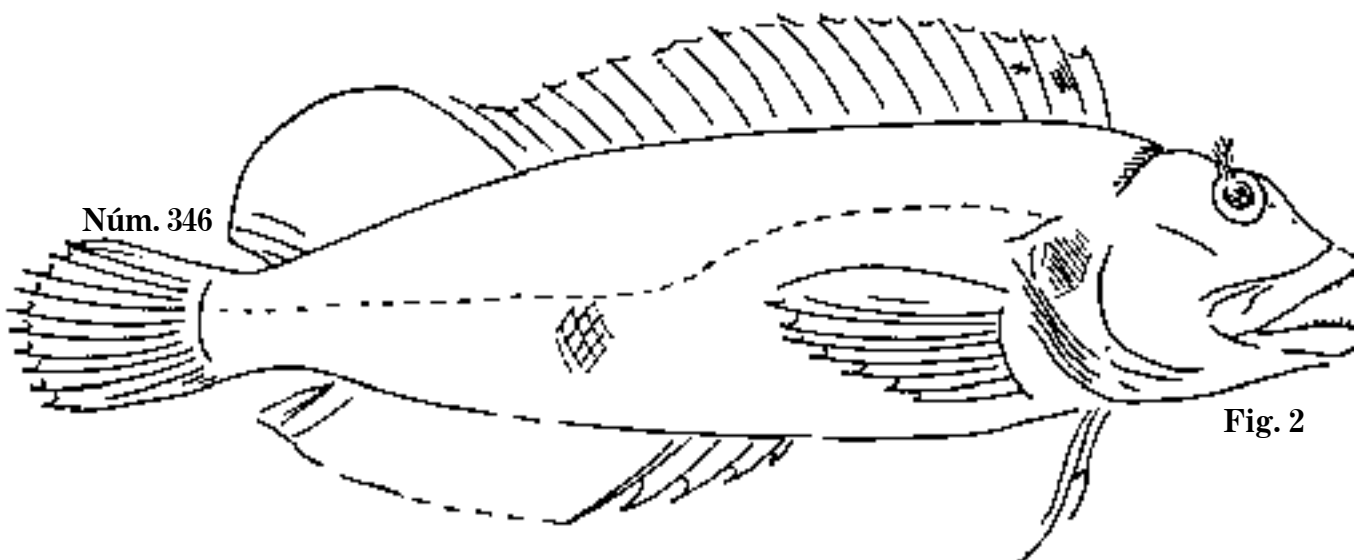
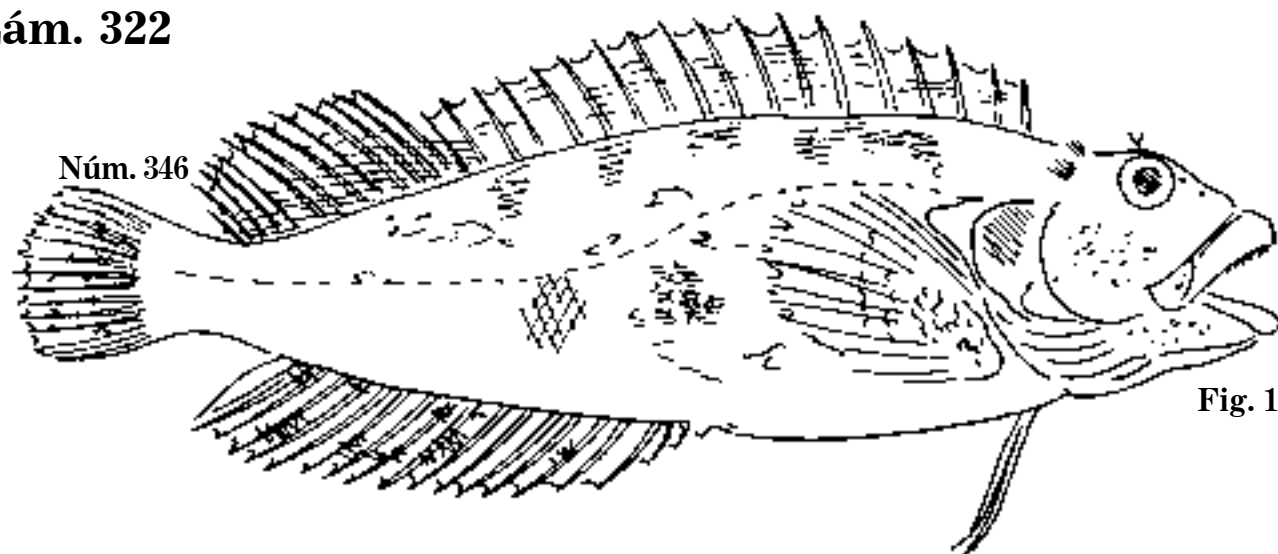


Fig. 1 *Labrosomus muchipinnis*, 1875. C. 161 mm; D. 18,12; A. 20.

Fig. 2 *L. muchipinnis*, 1878. C. 171 mm; D. 18,12; A. 20.

Fig. 3 *Labrosomus*, 1877. C. 149 mm; D. 18,12; A. 19.

Fig. 4 *L. bucciferus*. P. 50 mm; D. 19,1,11; A. 2,19; S.N.C.

Lám. 323

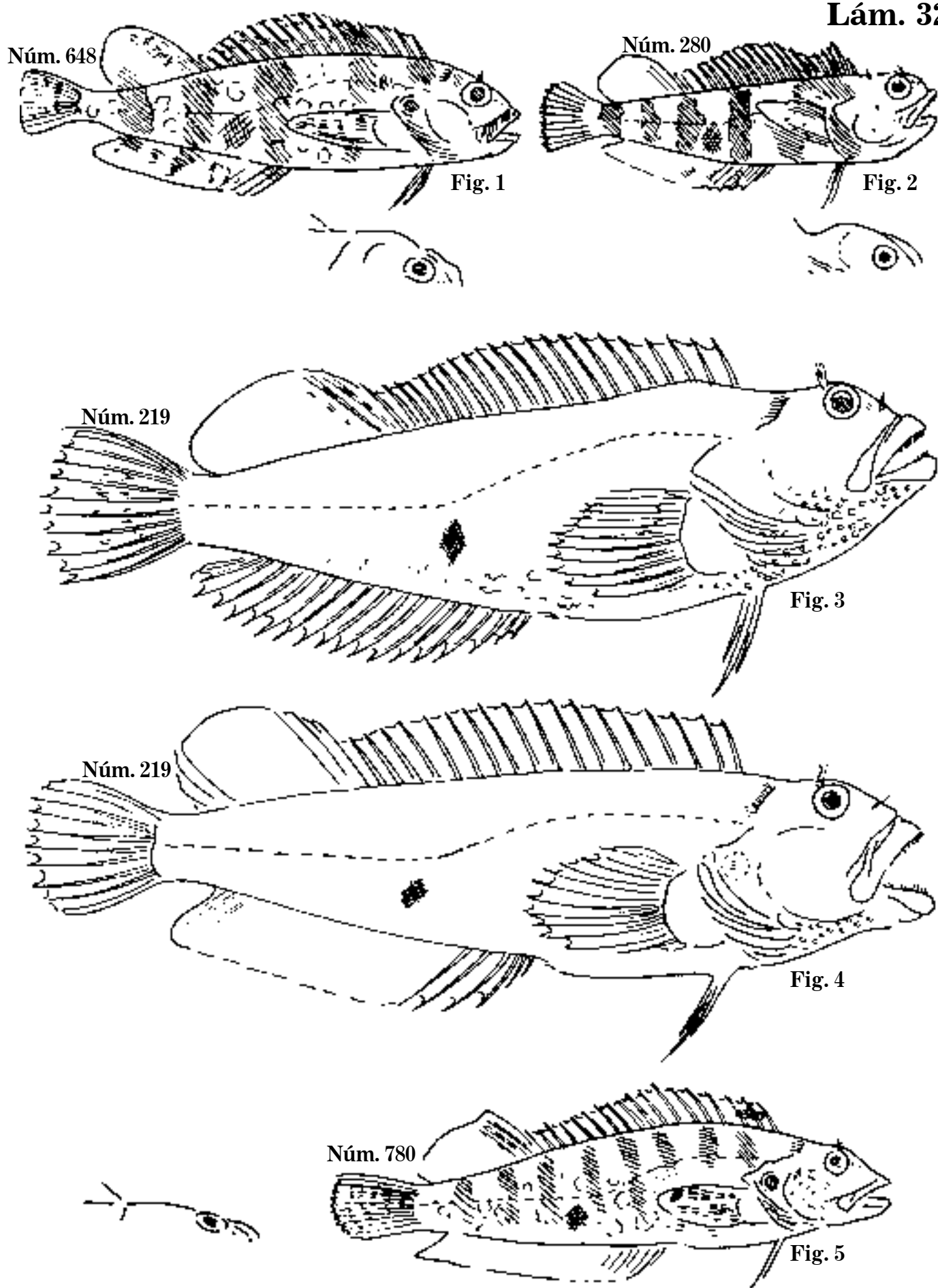


Fig. 1 *Labrosomus*, 1877. C. 98 mm; D. 19,11; A. 1,19.

Fig. 2 *Labrosomus*, 1876; C. 78 mm; D. 3,17,11; A. 2,19.

Fig. 3 *L. microlepidotus*, 1878. C. 174 mm; D. 4,14,12; A. 19.

Fig. 4 *L. microlepidotus*, 1878. C. 176 mm; D. 18,12; A. 19.

Fig. 5 *L. maculiferus*, 1877. C. 109 mm; D. 18,12; A. 2,17; S.N.C.

Lám. 324

Núm. 458



Fig. 1

Núm. 458

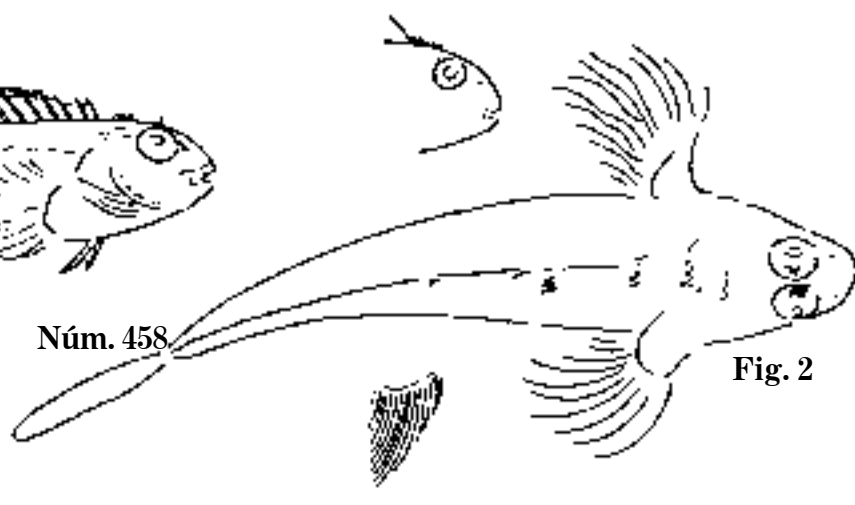


Fig. 2

Núm. 812

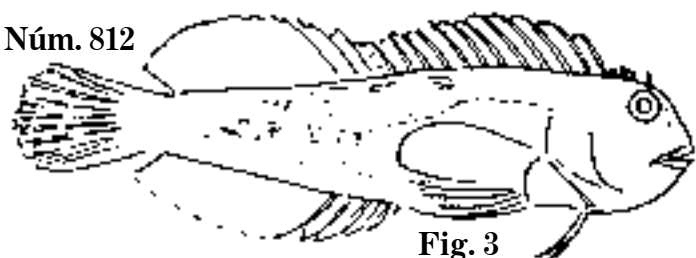


Fig. 3

Núm. 767

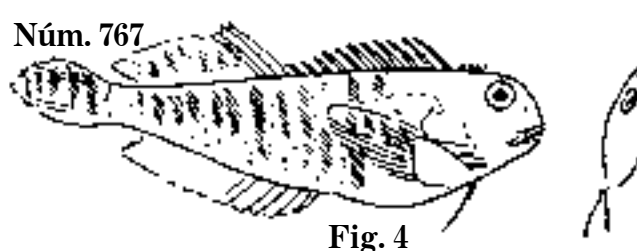


Fig. 4

Núm. 746



Fig. 5

Núm. 768

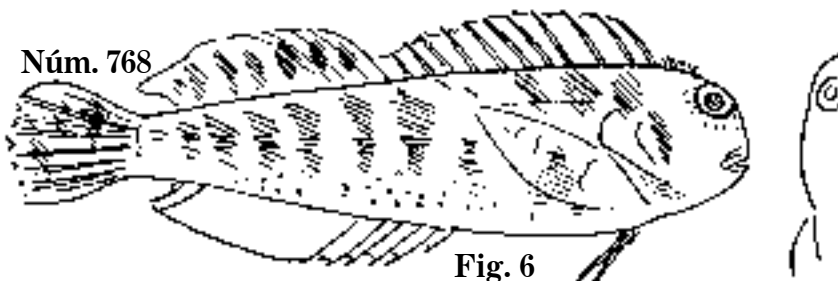


Fig. 6

Núm. 616

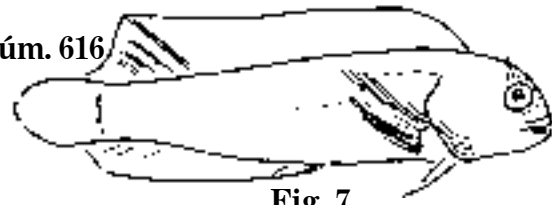


Fig. 7

Núm. 618



Fig. 8

Fig. 1 *Blennius microstomus*. P. 45 mm; D. 12,15; A. 17.

Fig. 2 *B. microstomus*. Vista superior.

Fig. 3 *Blennius*, 1879. C. 105 mm; D. 12,15; A. 17;

Fig. 4 *B. descendens*, 1877. C. 82 mm; D. 12,15; A. 17?

Fig. 5 *B. arcuatus*, 1877. C. 73 mm; D.; A.

Fig. 6 *B. obtusus*. C. 116 mm; D. 12,15; A. 17.

Fig. 7 *B. vinctus*, 1867. P. 42 mm; D. 12,13; A. 1,18.

Fig. 8 *B. truncatus*, 1861. C. 72 mm; D. 12,19; A. 1,20; S.N.C.

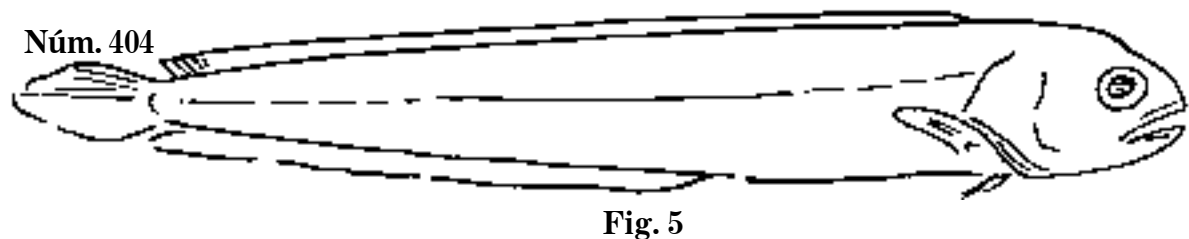
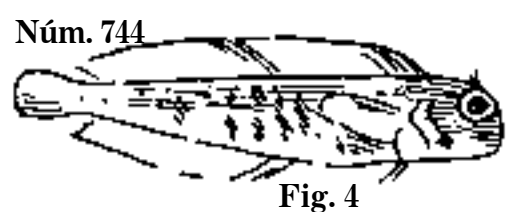
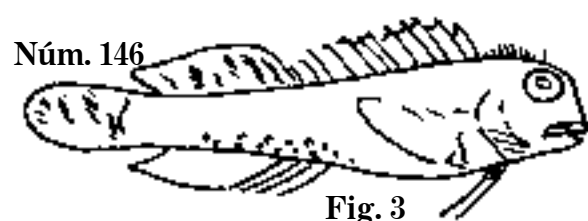
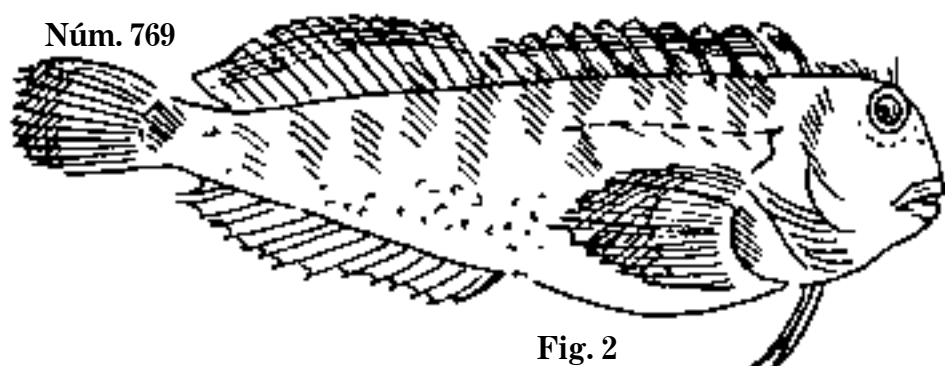
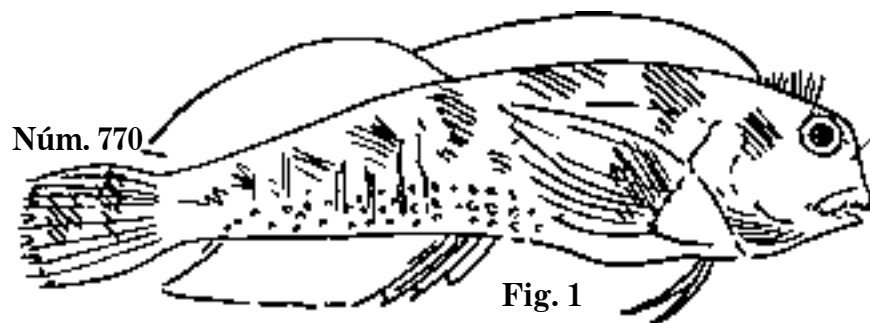


Fig. 1 *Blennius cadens*, 1877. C. 90 mm; D. 12,15; A. 15.
 Fig. 2 *B. signatus*. C. 99 mm; D. 12,15; A. 15.
 Fig. 3 *B. ascendens*. C. 59 mm; D. 12,15? A. 15?

Fig. 4 *B. marmoratus*, 1877. C. 51 mm; D. 12,18; A. 20?
 Fig. 5 *Blennius?*, 1866. P. 20.5 mm; D.; A.; S.N.C.

Lám. 326

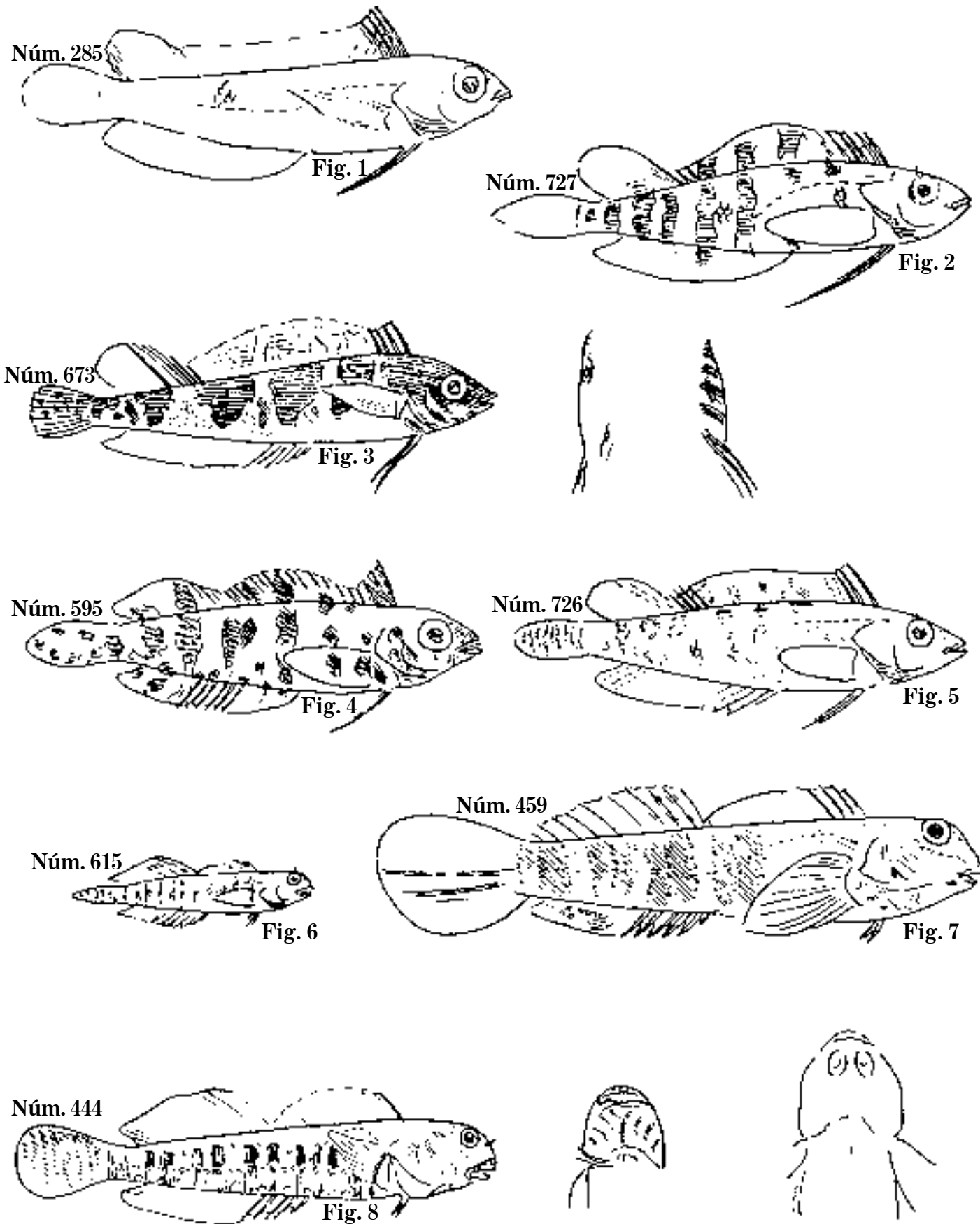


Fig. 1 *Myxodes macropus*, P. 38 mm; D. 20,1,10; A. 1,20.
 Fig. 2 *M. lugubris*, 1875? P. 56 mm; D. 18,09; A. 20.
 Fig. 3 *M. paradoxus*, 1876. P. 55 mm; D. 3,16,1,12; A. 2,18.
 Fig. 4 *M. versicolor*, 1871. P. 54 mm; D. 18,12; A. 20.

Fig. 5 *M. varius*, 1876? P. 58 mm; D. 20,12; A. 18.
 Fig. 6 *Salarias margaritaceus*. C. 57 mm; D. 12,14; A. 1,14.
 Fig. 7 *Entomacrodus decoratus*. P. 50 mm; D. 12,19; A. 16.
 Fig. 8 *E. retrolabiatus*, 1876. P. 56 mm; D. 14,12; A. 17; S.N.C.

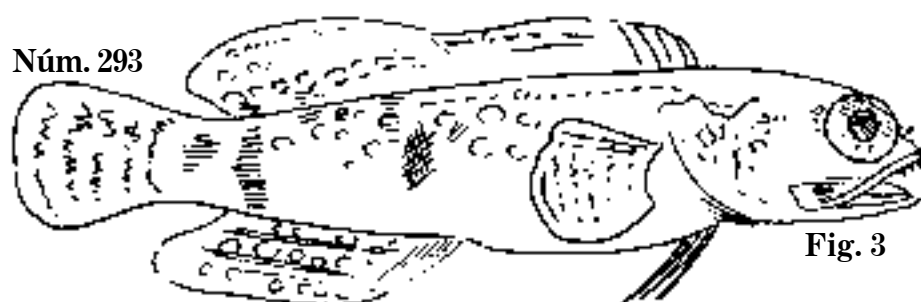
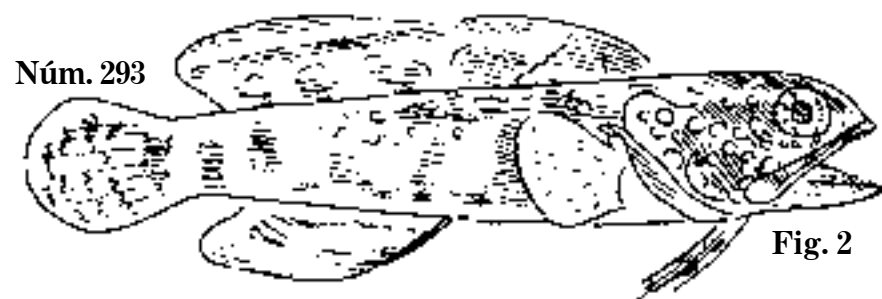
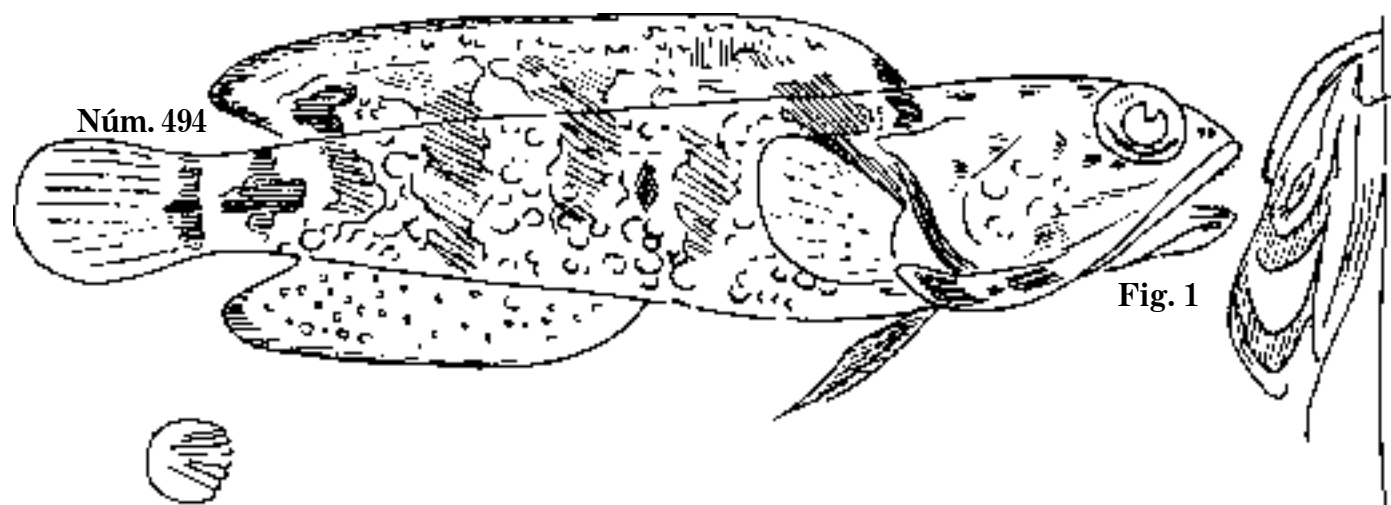


Fig. 1 *Opistognathus macrognathus*. C. 176 mm; D. 11,16; A. 2,17.
 Fig. 2 *Gnathopops maxillosus*. C. 123 mm; D. 8,18; A. 17.
 Fig. 3 *G. maxillosus*. C. 131 mm; D. 11,15; A. 17.
 Fig. 4 *G. macrops*. C. 132 mm; D. 11,16; A. 2,15; S.N.C.

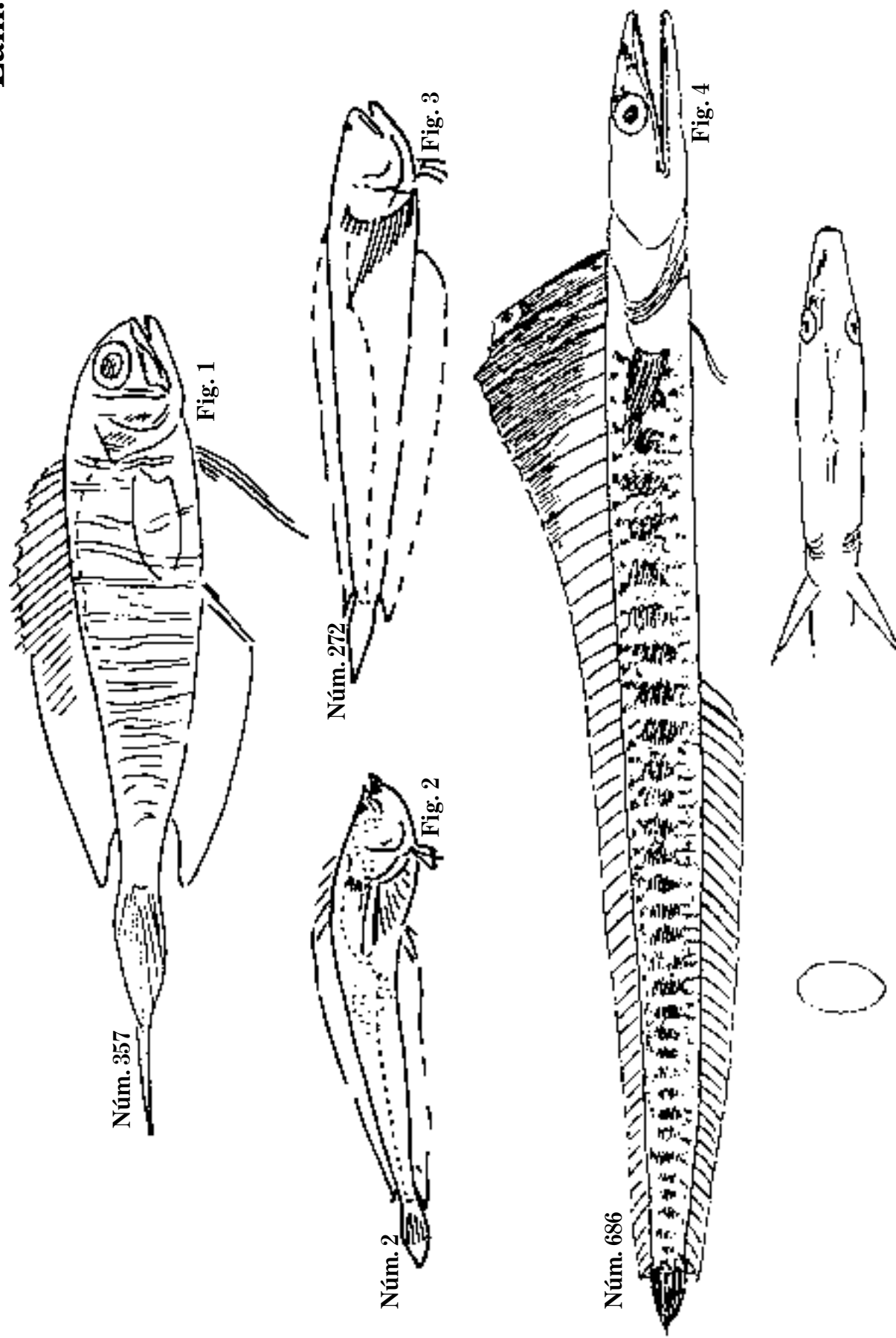


Fig. 1 *Longhopisthus micrognathus*. C. 109 mm; D. 11,17; A. 3,17.

Fig. 2 *Dactyloscopus Poeyi*. C. 65 mm; D. 40?; A. 30?

Fig. 3 *D. tridigitatus*. C. 77 mm; D; A.

Fig. 4 *Chaenopsis ocellatus*, 1862. P. 120 mm; D. 53; A. 37; S.N.C.

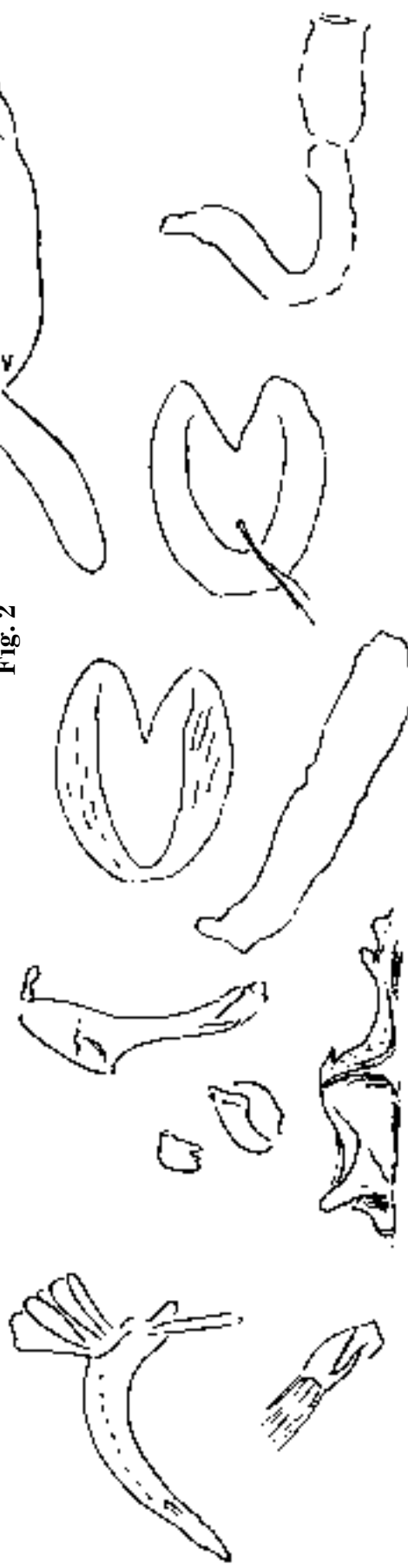
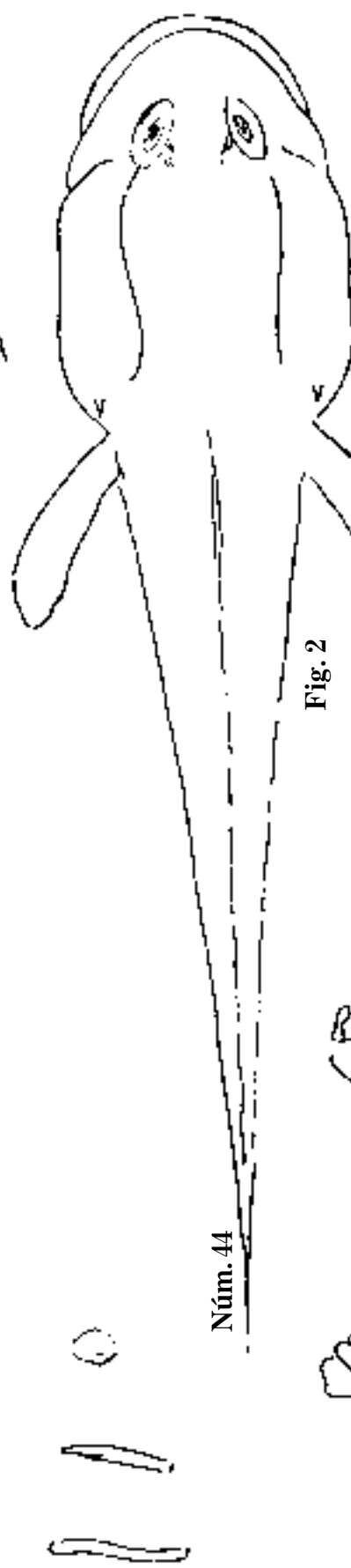
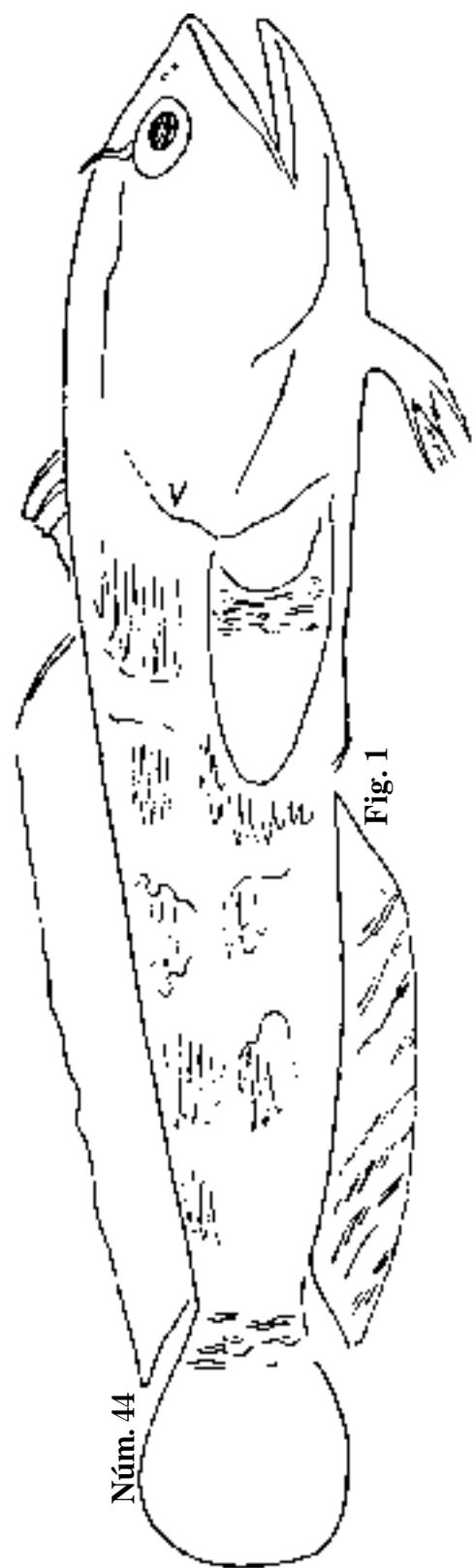


Fig. 1 *Batrachus tau*, 1872. C. 234 mm; D; A.
Fig. 2 *B. tau*. Vista superior; sapo.

Lám. 330

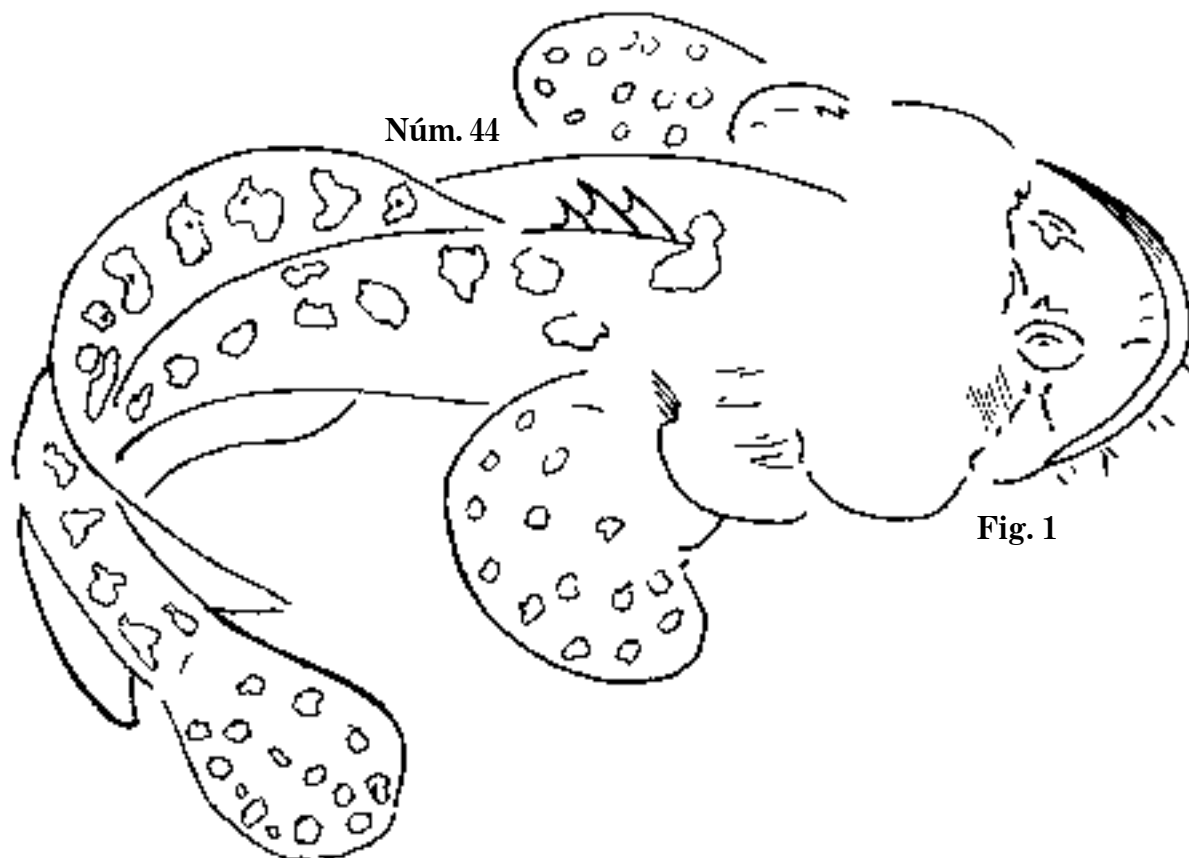


Fig. 1 *Batrachus tau*; sapo.

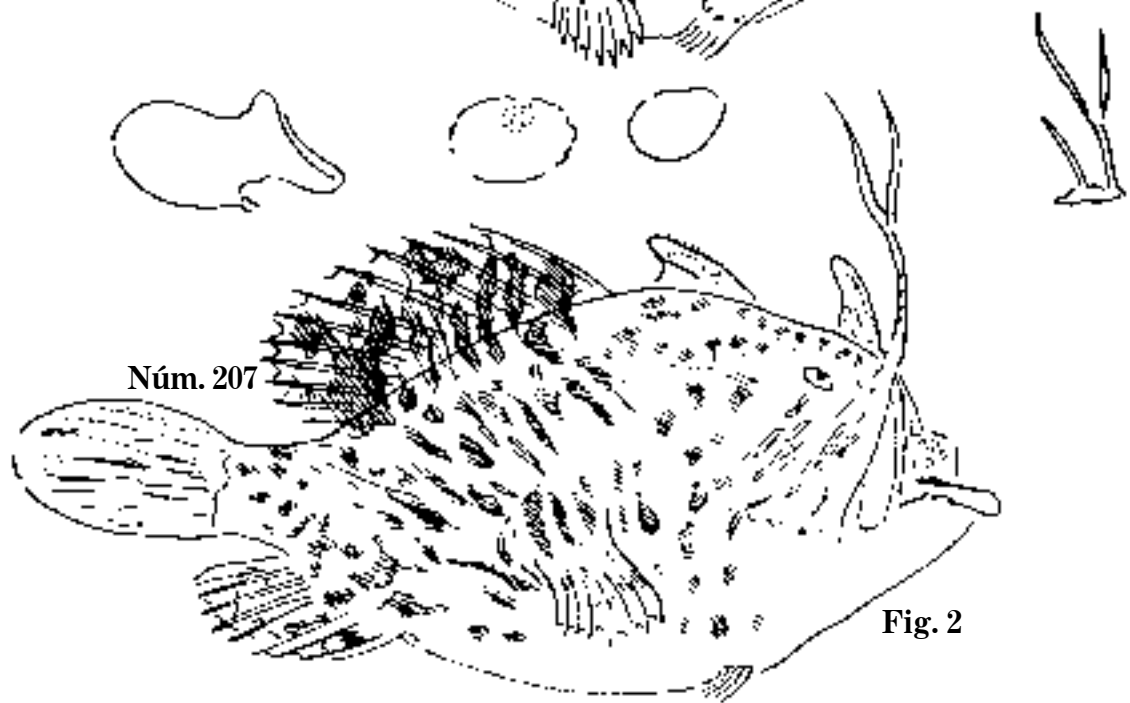


Fig. 1 *Antennarius tigris*. C. 121 mm; D. 1,1,12; A. 7.

Fig. 2 *A. tigris*. C. 130 mm; D. 3,12; A. 7.

Fig. 3 *A. argus*, 1875. C. 113 mm; D. 3,12; A. 7; pescador.

Lám. 332

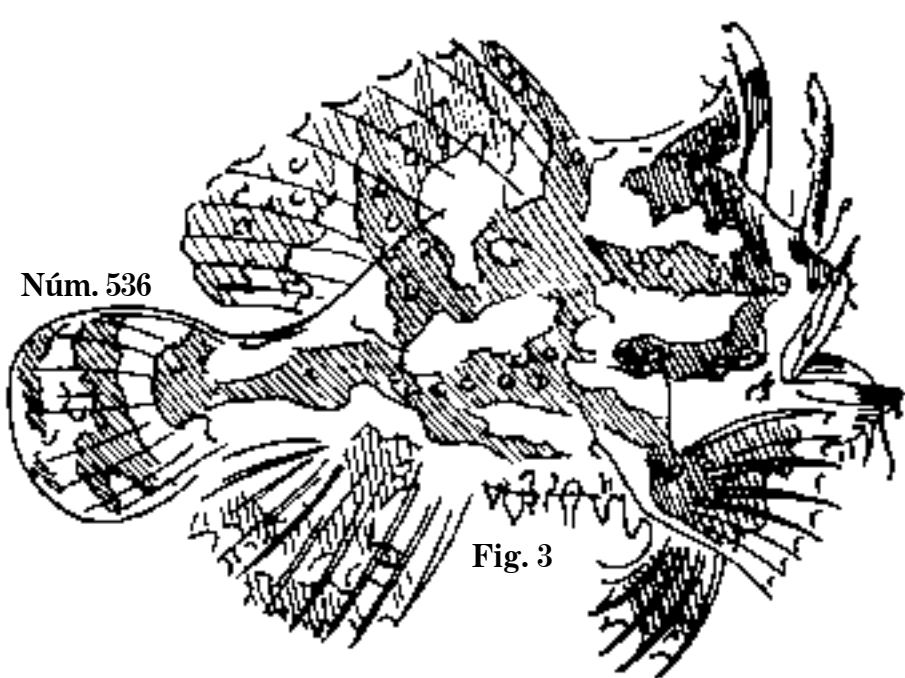
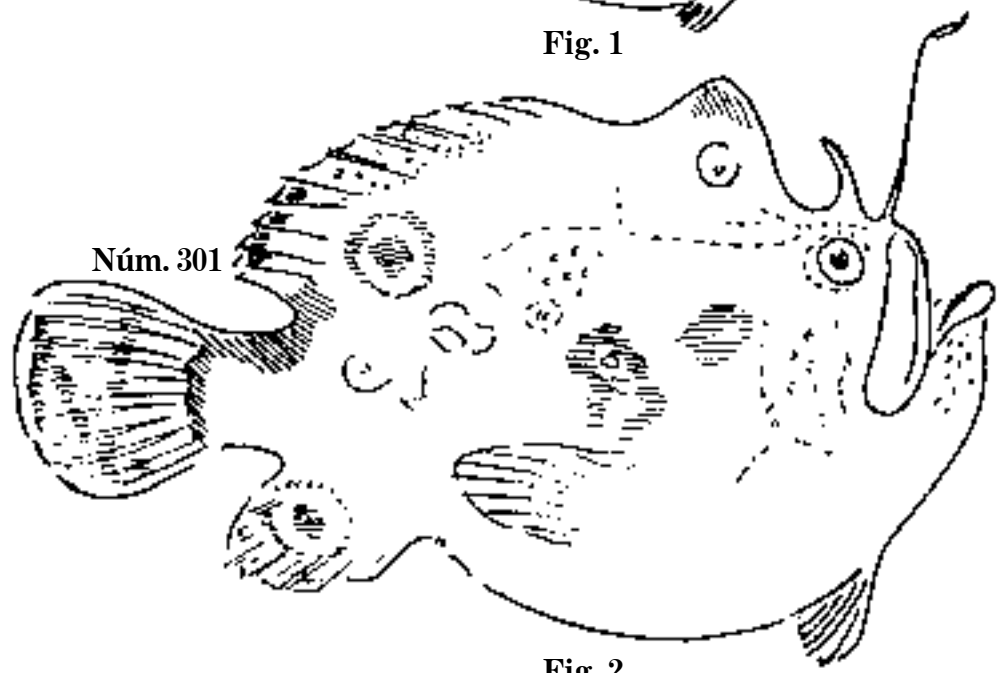
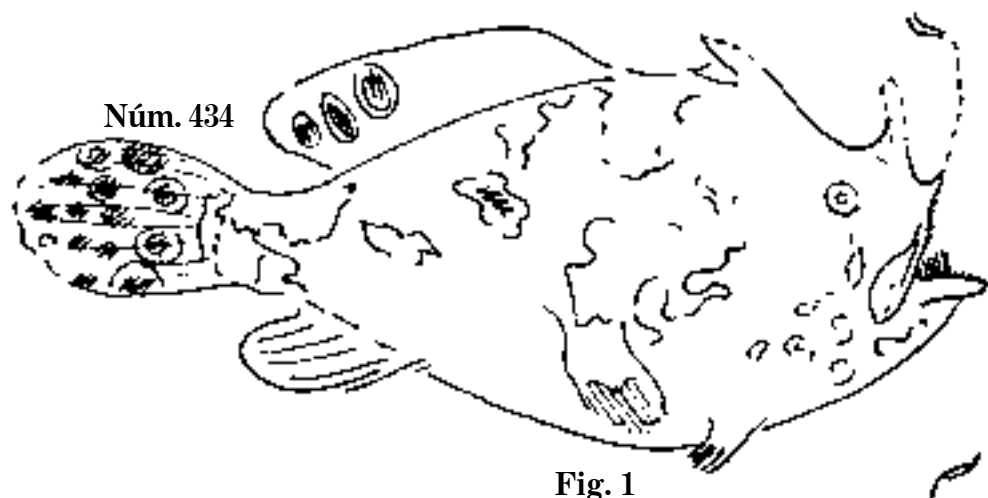


Fig. 1 *Antennarius tenebrosus*. C. 96 mm; D. 3,12; A. 7.

Fig. 2 *A. corallinus*, 1865. C. 97 mm; D. 3,12; A. 7.

Fig. 3 *Pterophryne laevigatus*. C. 88 mm; D. 3,12; A. 7; pescador.

Núm. 92

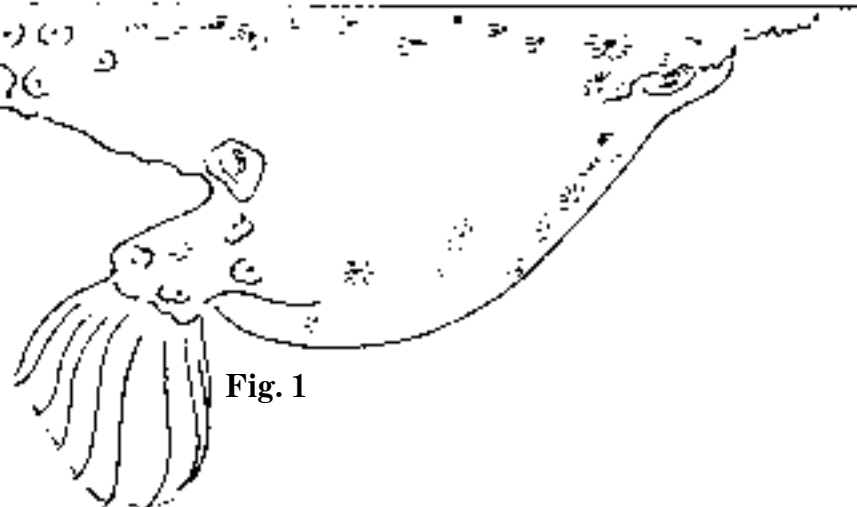


Fig. 1

Núm. 92

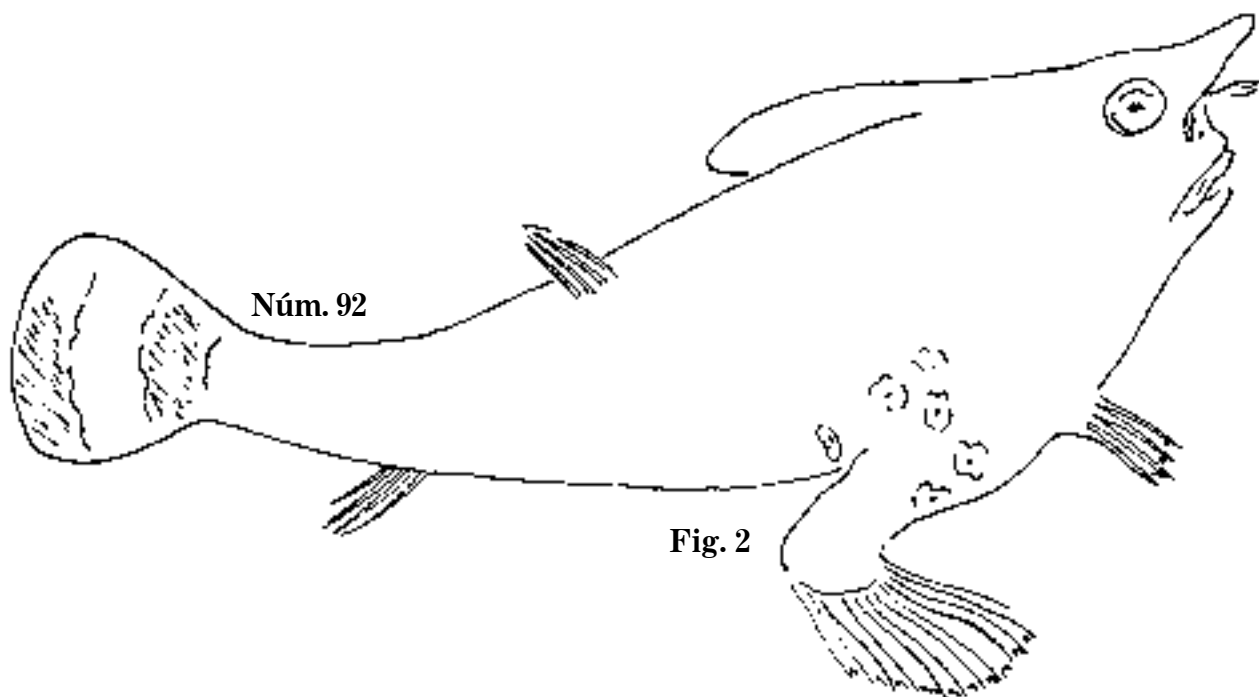


Fig. 2

Fig. 1 *Malthe vespertilio*, 1861. C. 314 mm; D.; A. Vista superior.
Fig. 2 *M. vespertilio*; diablo.

Lám. 334

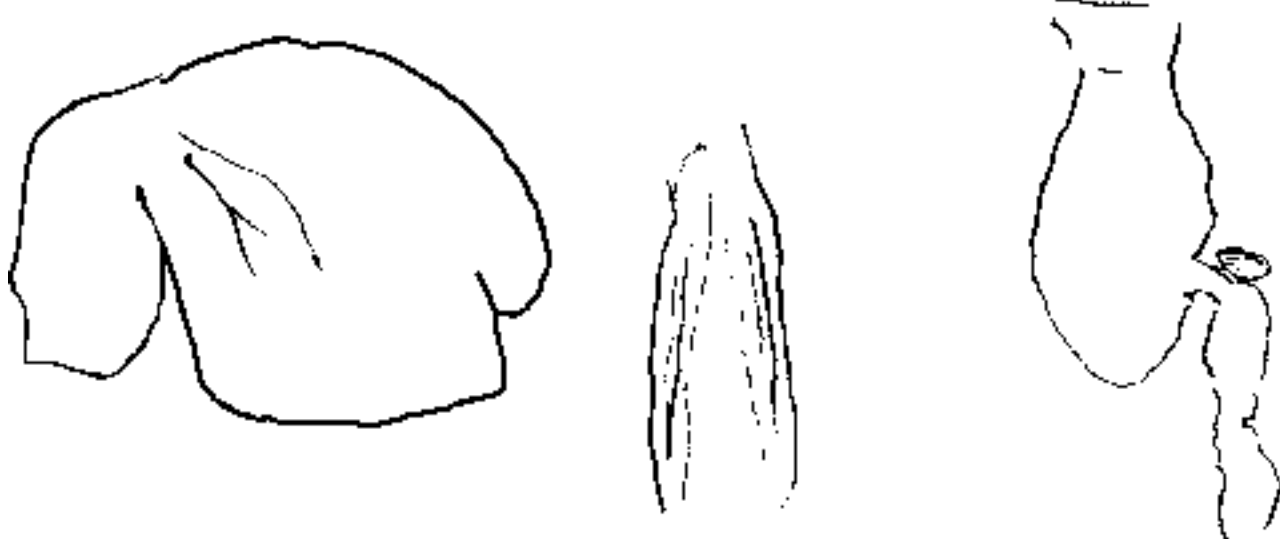
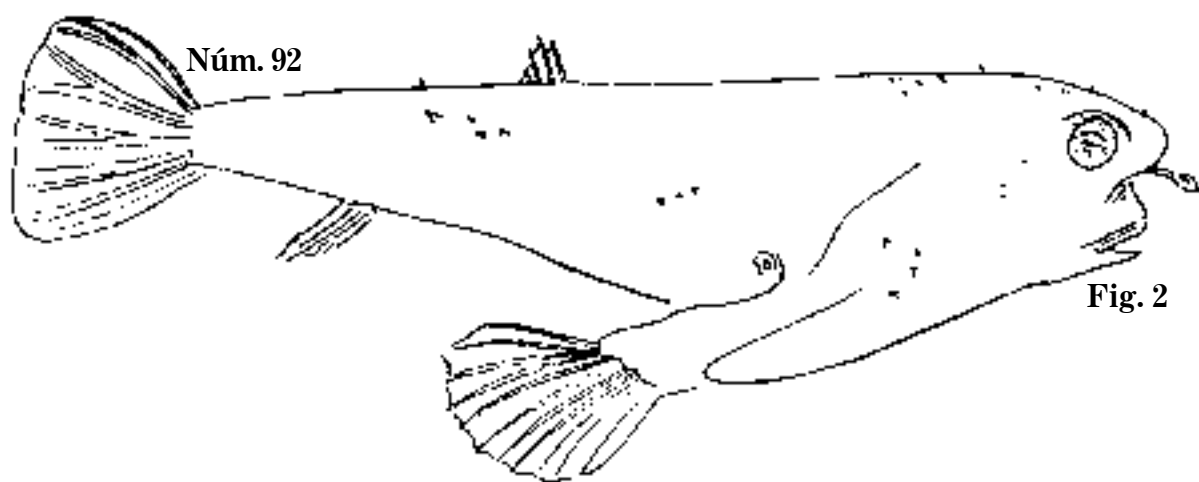
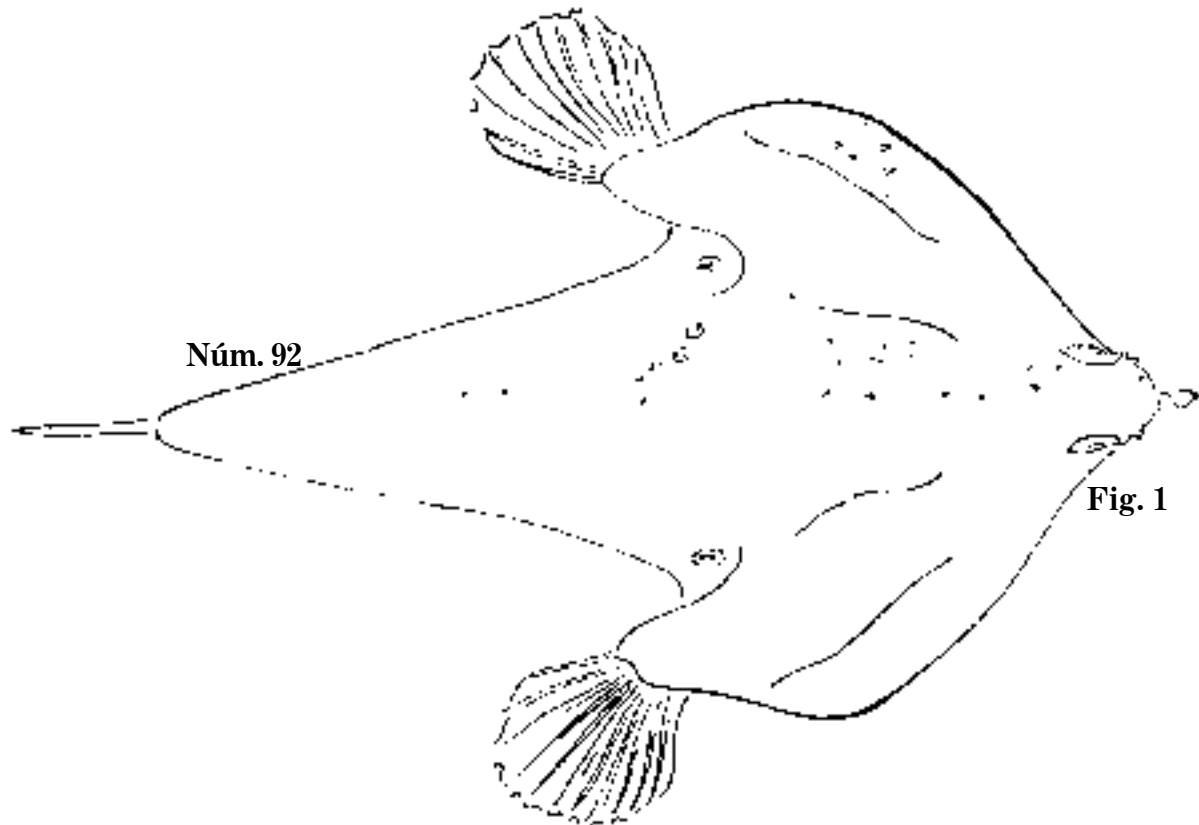


Fig. 1 *Malthe vespertilio*, 1870. C. 356 mm; D.; A. Vista superior.
Fig. 2 *M. vespertilio*. D. 4; A. 4; diablo.

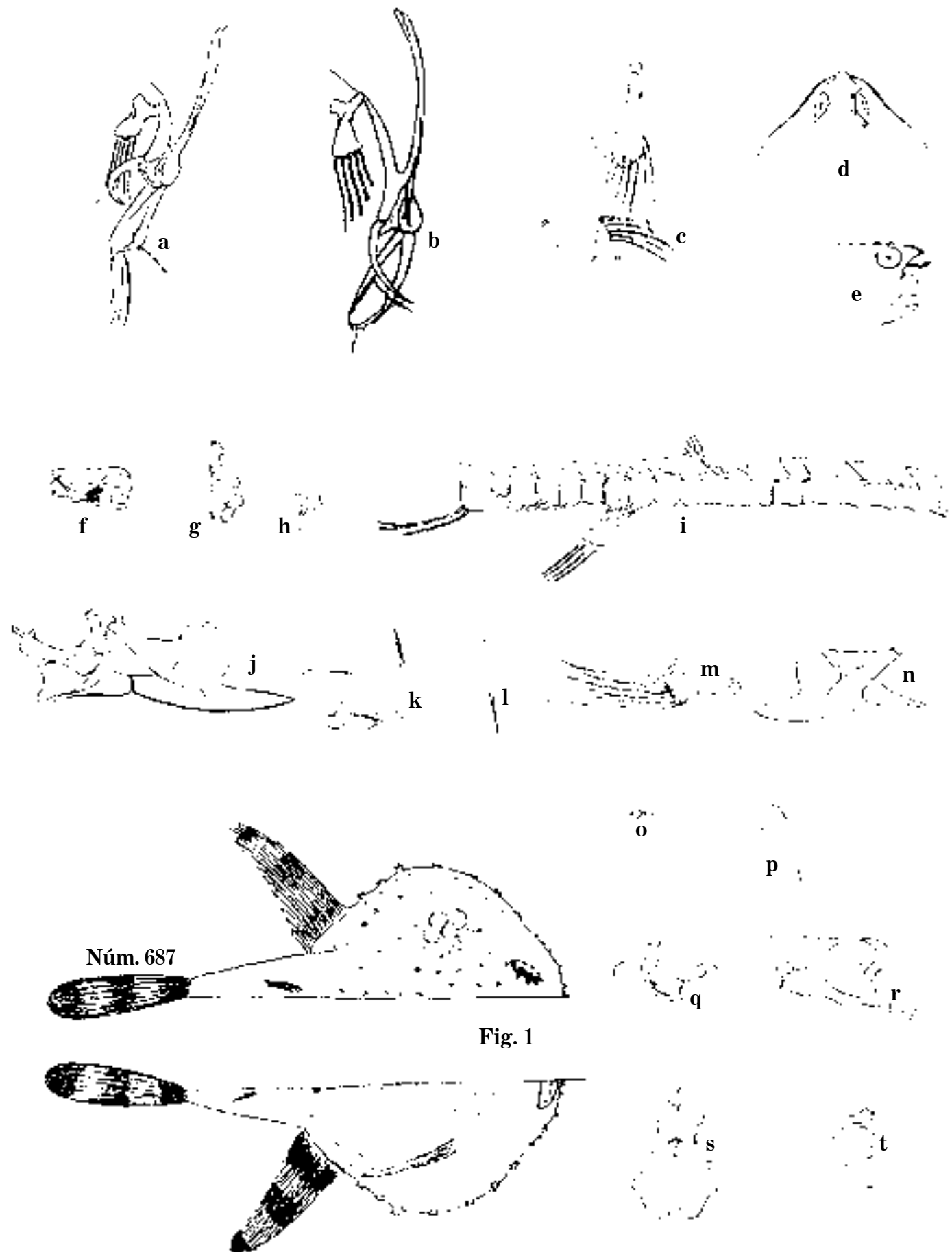


Fig. 1

a-t. *Malthe vespertilio*. Osteología; diablo.

Fig. 1 *Halieutichthys aculeatus*, 1862. C. 44 mm; D.; A. Vistas superior e inferior; S.N.C.

Lám. 336

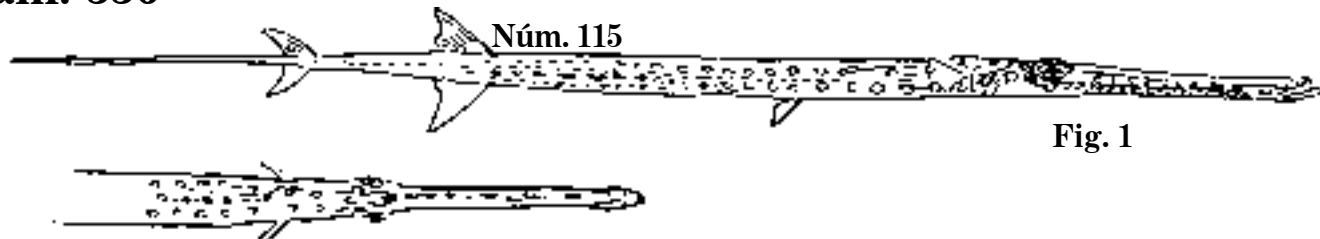


Fig. 1

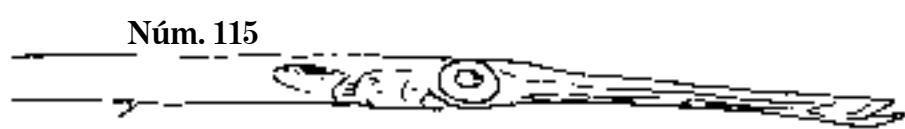
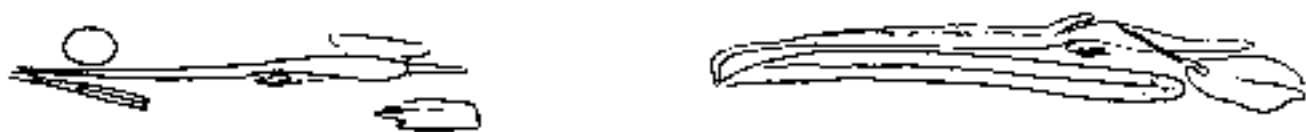


Fig. 2

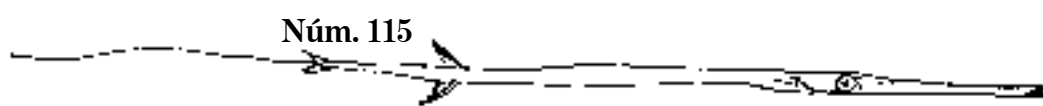
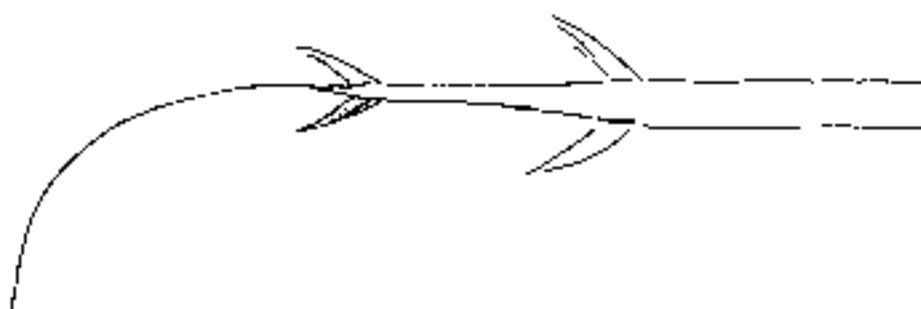


Fig. 3

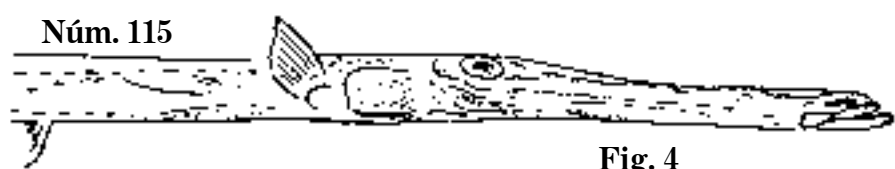


Fig. 4

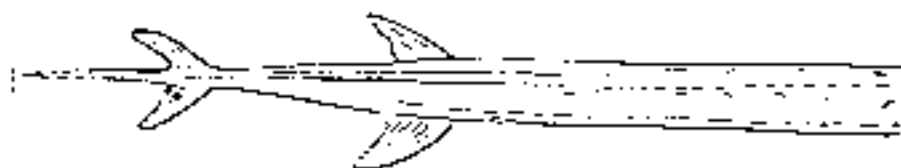


Fig. 1 *Fistularia tabacaria*, 1858. L. horq.; C. 661 mm; D.; A.

Fig. 2 *F. tabacaria*, 1778. L. horq.; C. 234 mm; D. 25?; A. 25?

Fig. 3 *F. tabacaria*, 1878. L. horq.; C. 117 mm; D. 25; A. 25?

Fig. 4 *F. tabacaria*. L. horq.; C. 1 012 mm; D. 15; A. 15; trompetero.

Núm. 115

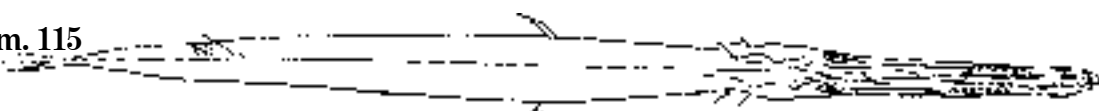


Fig. 1

Núm. 115



Fig. 2

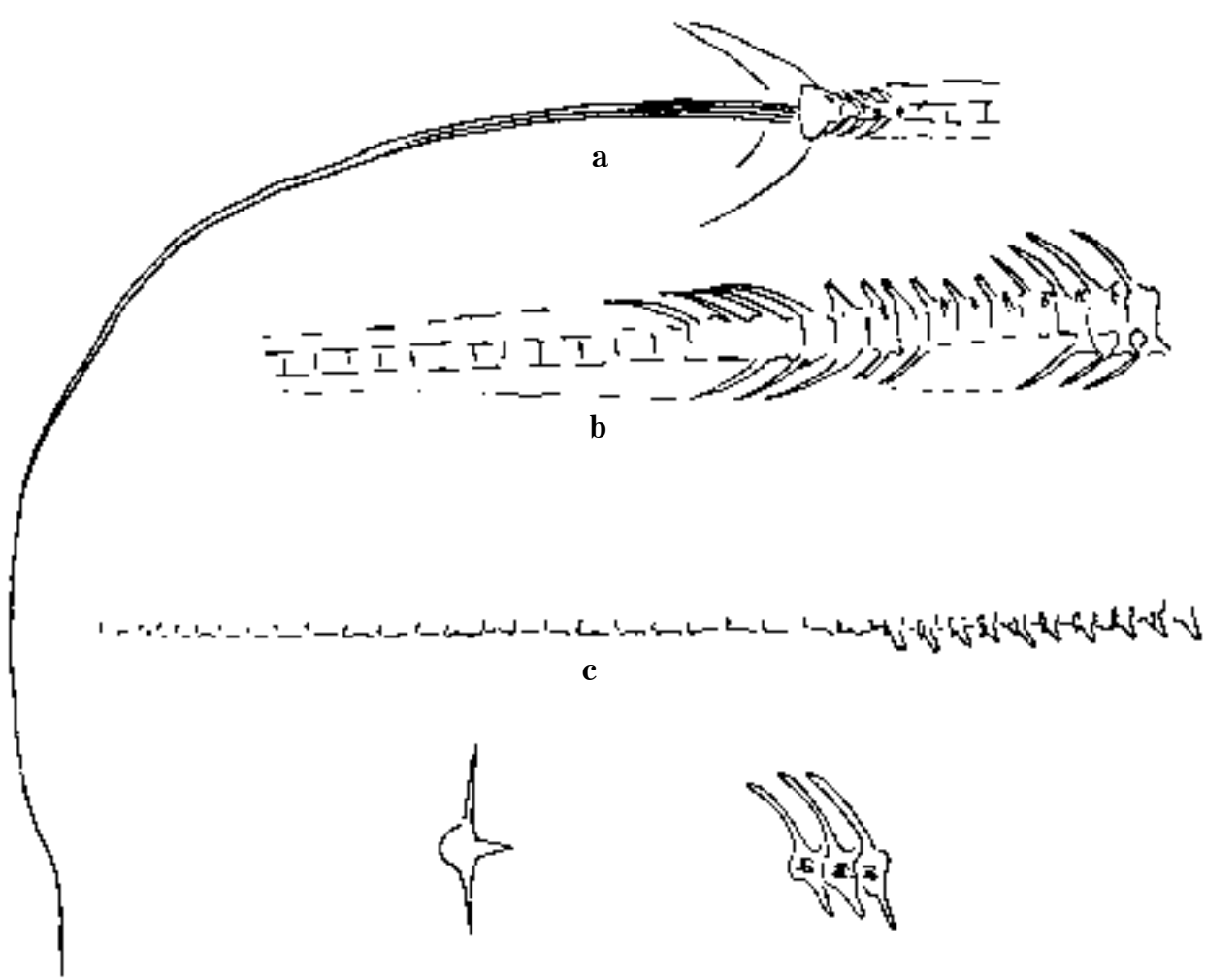
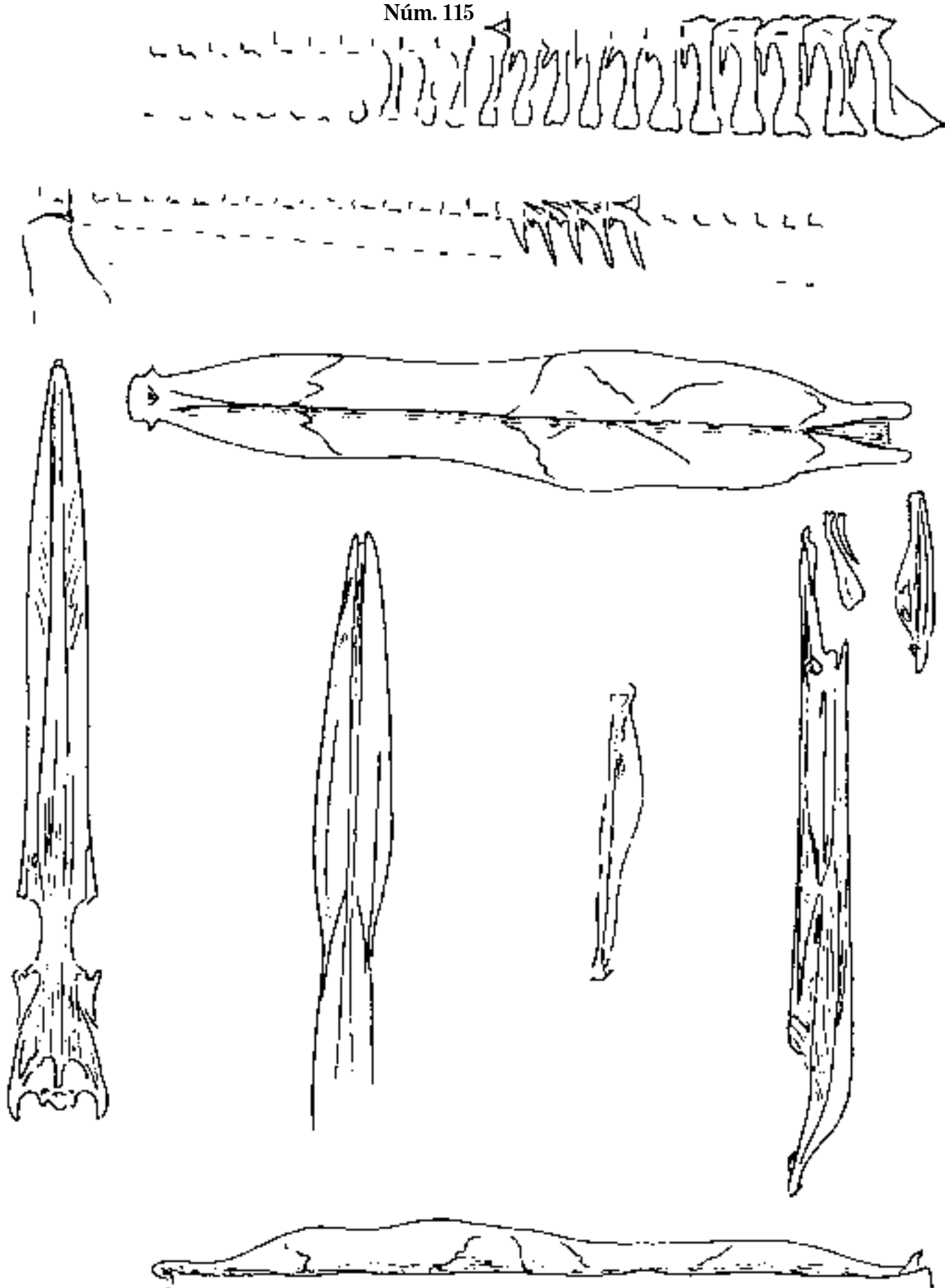


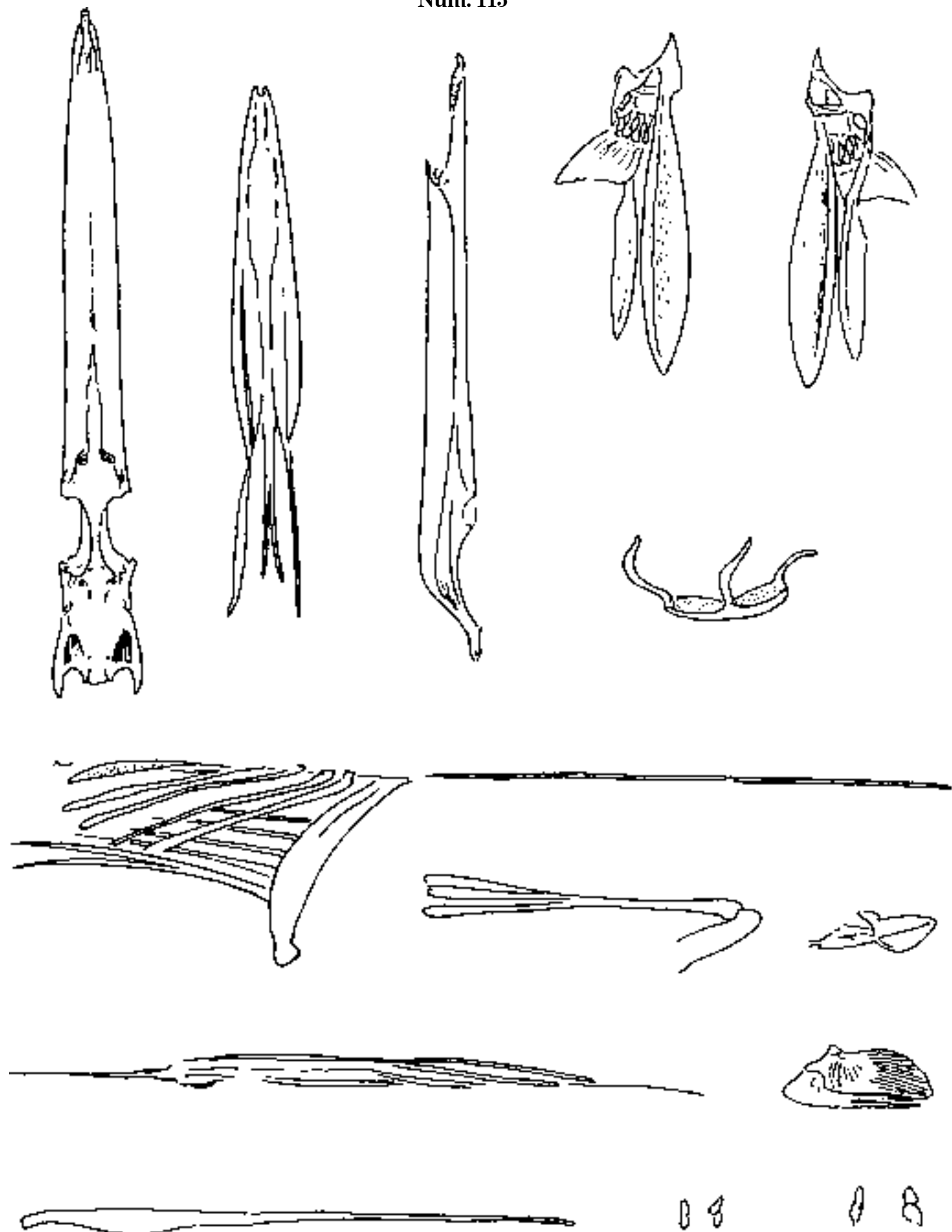
Fig. 1 *Fistularia tabacaria*. L. horq.; C. 1 012 mm; D. 15; A. 15; vista superior.
Fig. 2 *F. tabacaria*, 1860. L. horq.; C. 1 190 mm; D. 15; A. 15; trompetero.

Lám. 338

Núm. 115



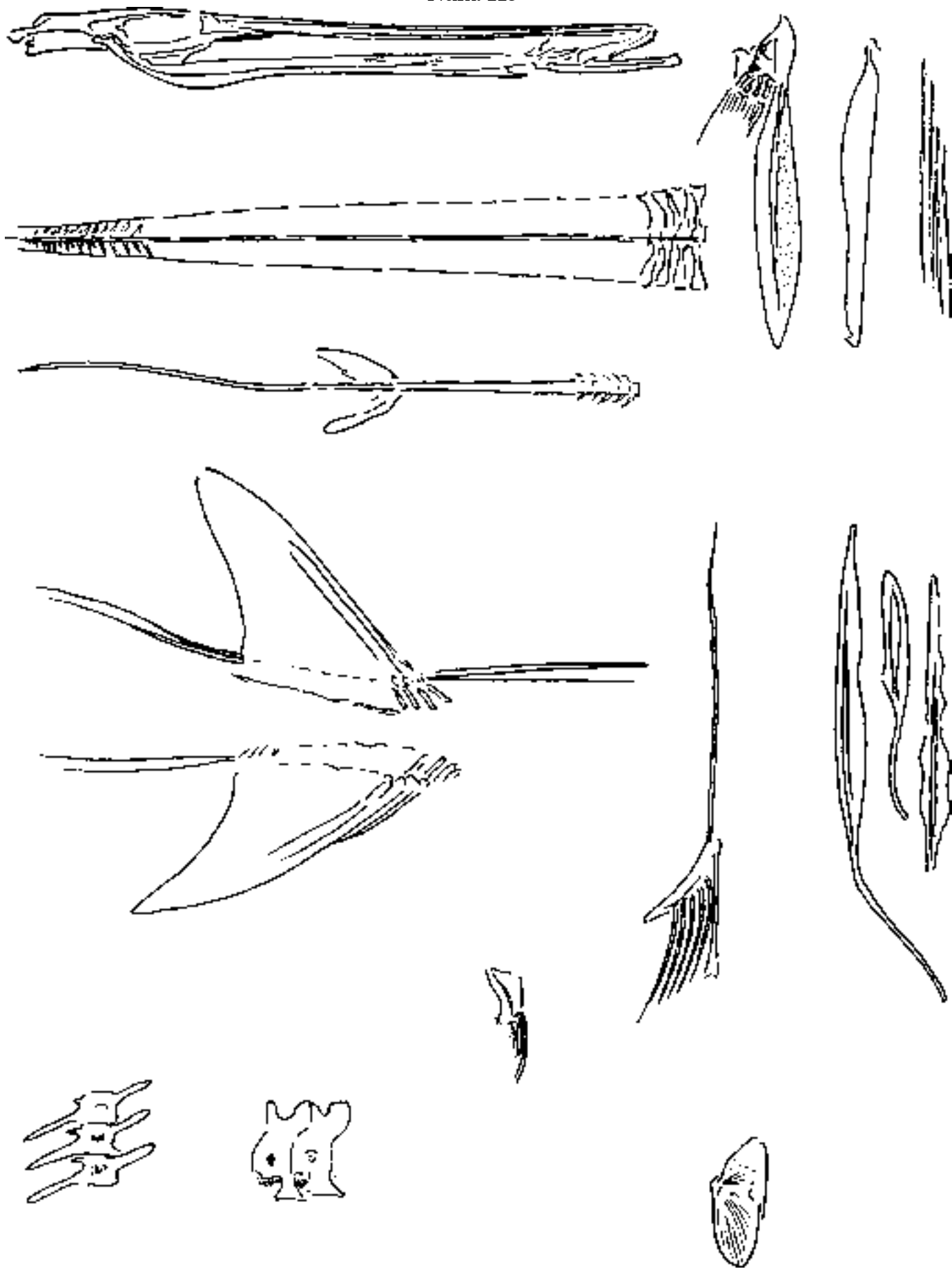
Fistularia tabacaria. Osteología; trompetero.



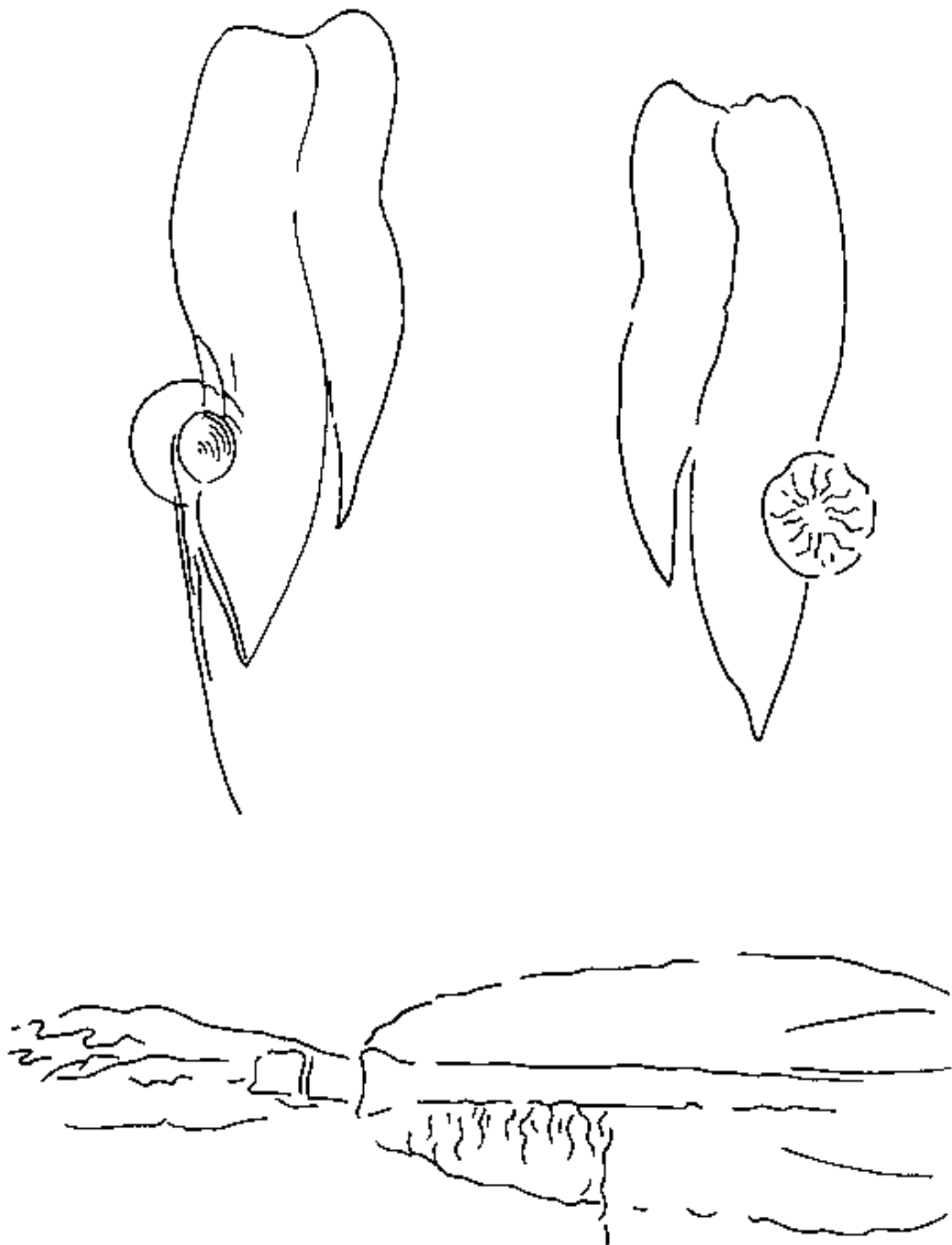
Fistularia tabacaria. Osteología; trompetero.

Lám. 340

Núm. 115



Fistularia tabacaria. Osteología; trompetero.



Fistularia tabacaria. Órganos; trompetero.

Lám. 342

Núm. 104



Fig. 1

Núm. 538



Fig. 2

Núm. 538

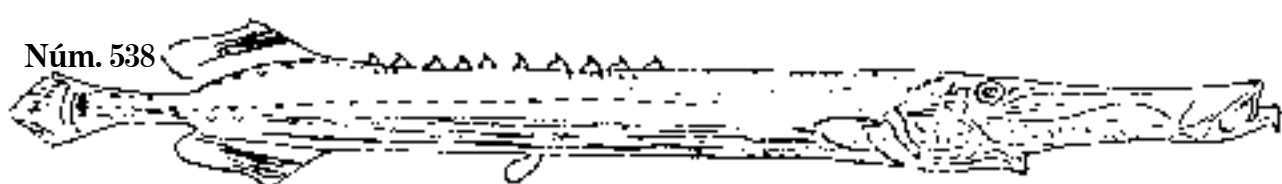


Fig. 3

Núm. 538

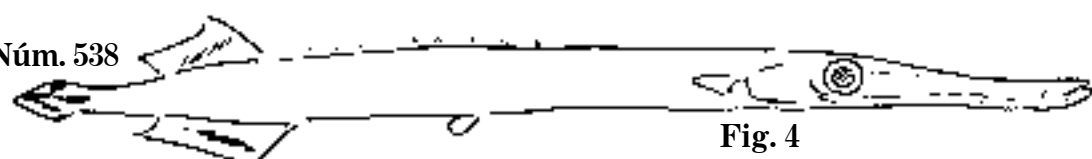


Fig. 4

a



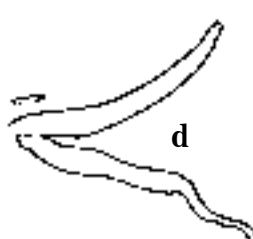
b



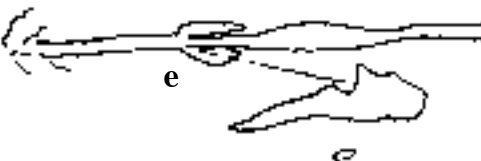
c



d



e



Núm. 325

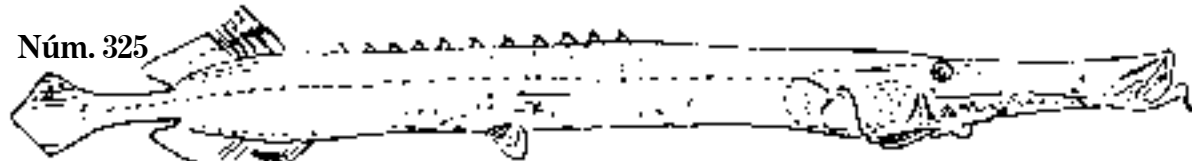


Fig. 5

Fig. 1 *Fistularia serrata*, 1864. L. horq.; C. 436 mm; D. 15; A. 15; trompetero.

Fig. 2 *Aulostoma maculatum*, 1860. P. 550 mm; D. 28; A. 26. Fig. 3 *A. maculatum*. C. 591 mm; D. 24; A. 25.

Fig. 4 *A. maculatum*, 1878. C. 162 mm; D.; A. 15; trompetero colorado.

Fig. 5 *A. cinereum*, 1864. P. 725 mm; D. 25; A. 25; trompetero.

Lám. 343

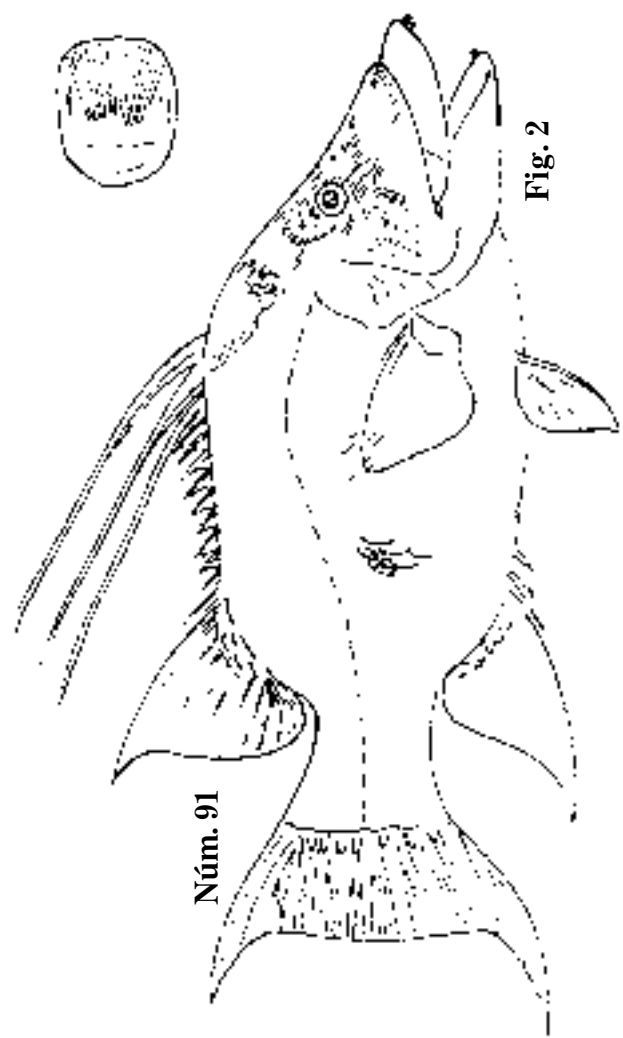


Fig. 2

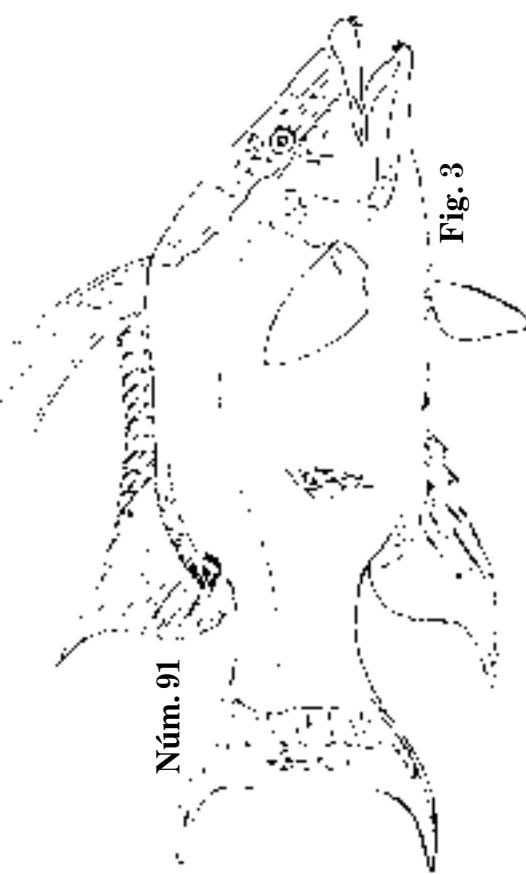


Fig. 4

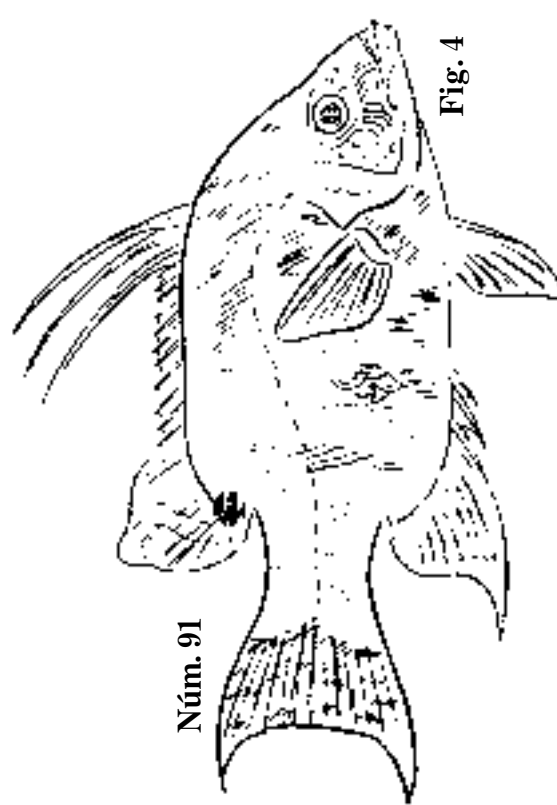


Fig. 1 *Lachnolæmus svillius*, 1860. C. 460 mm; D. 3,11,11; A. 3,11.
Fig. 2 *L. svillius*, 1866. C. 667 mm; D. 3,11,11; A. 3,10.
Fig. 3 *L. svillius*, 1866. C. 561 mm; D. 3,11,11; A. ?
Fig. 4 *L. svillius*. C. 258 mm; D. 3,11,12; A. 3,12; perro.

Lám. 344

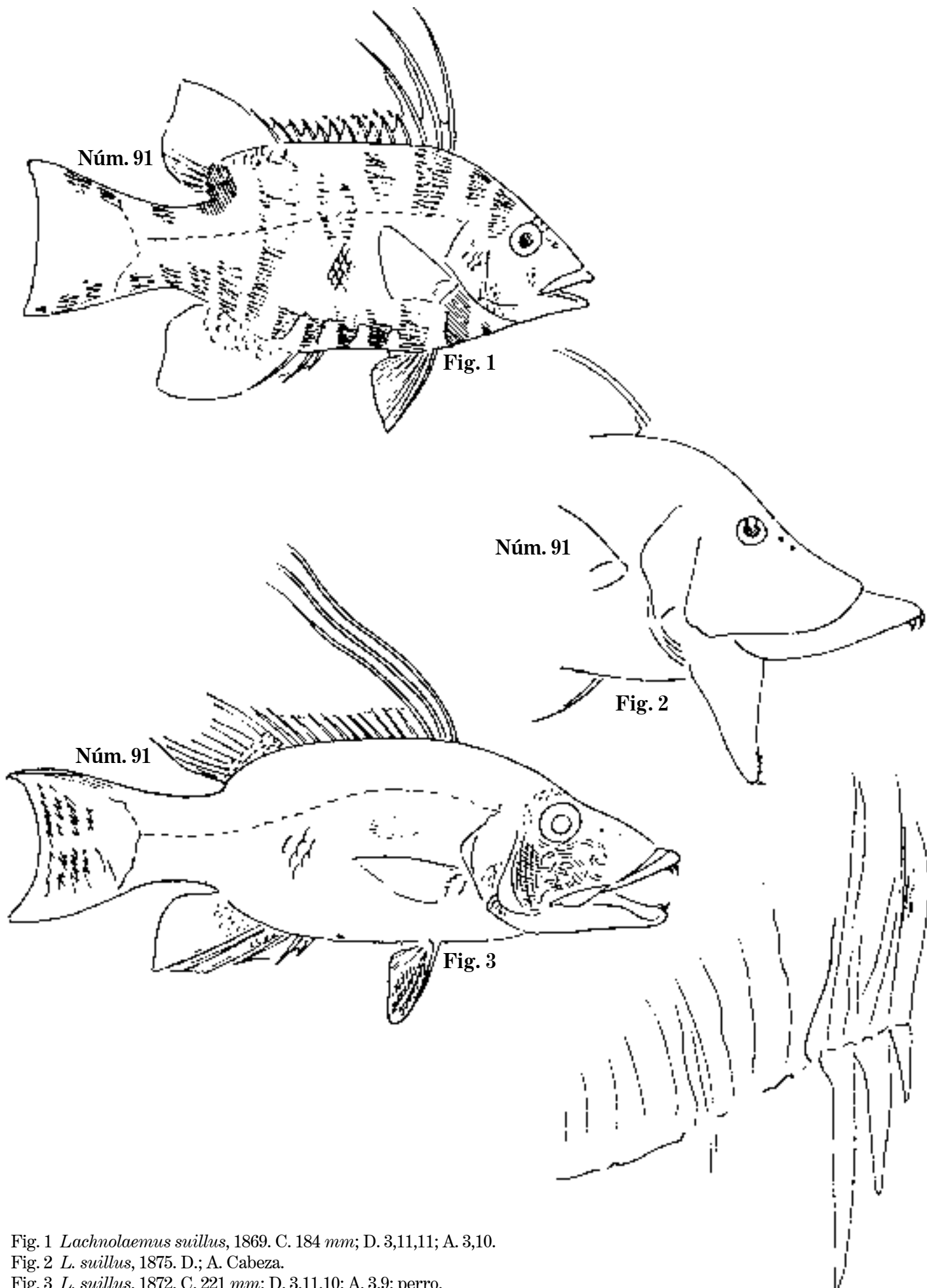
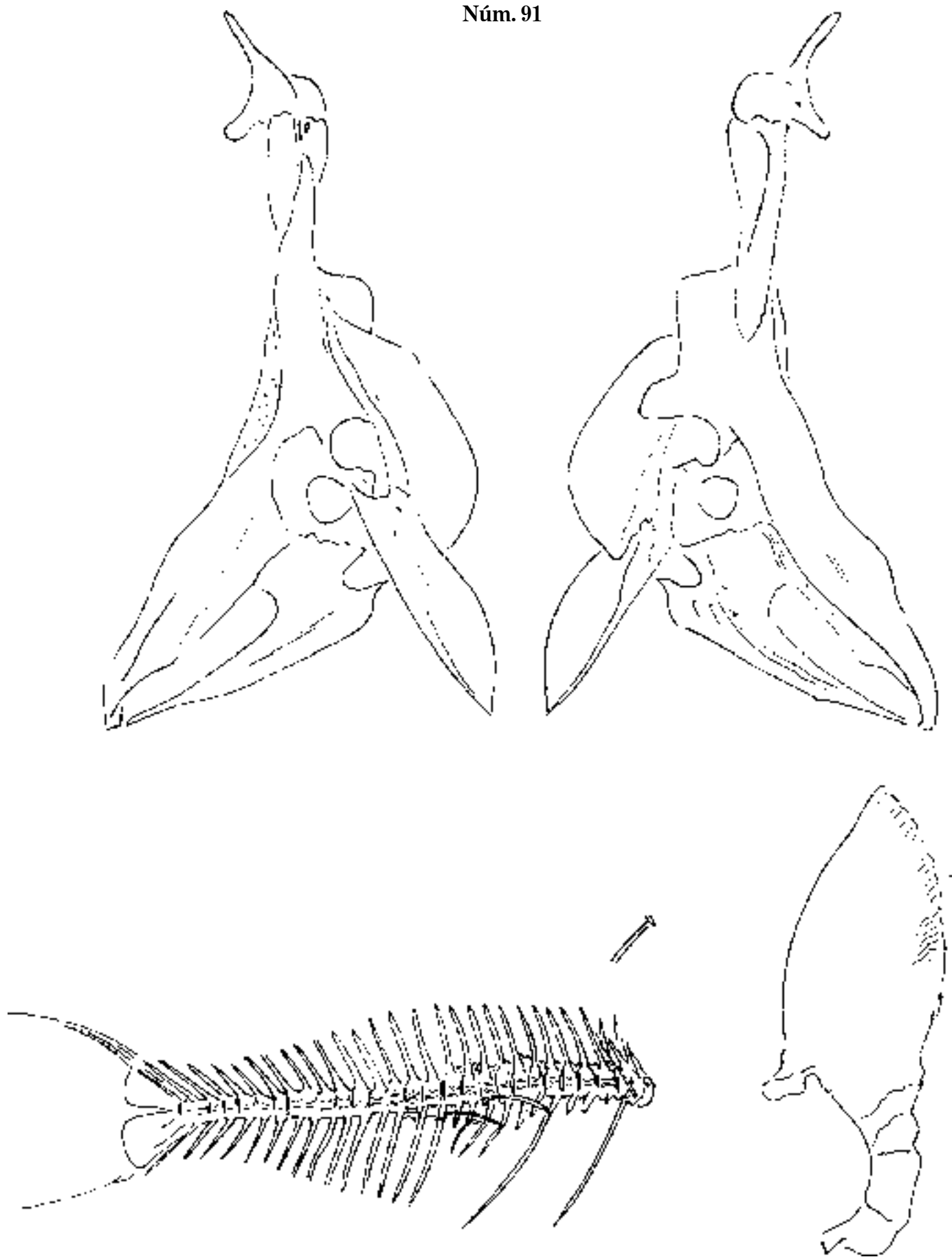


Fig. 1 *Lachnolaeus suillus*, 1869. C. 184 mm; D. 3,11,11; A. 3,10.

Fig. 2 *L. suillus*, 1875. D.; A. Cabeza.

Fig. 3 *L. suillus*, 1872. C. 221 mm; D. 3,11,10; A. 3,9; perro.

Núm. 91



Lachnolaemus suillus. Osteología; perro.

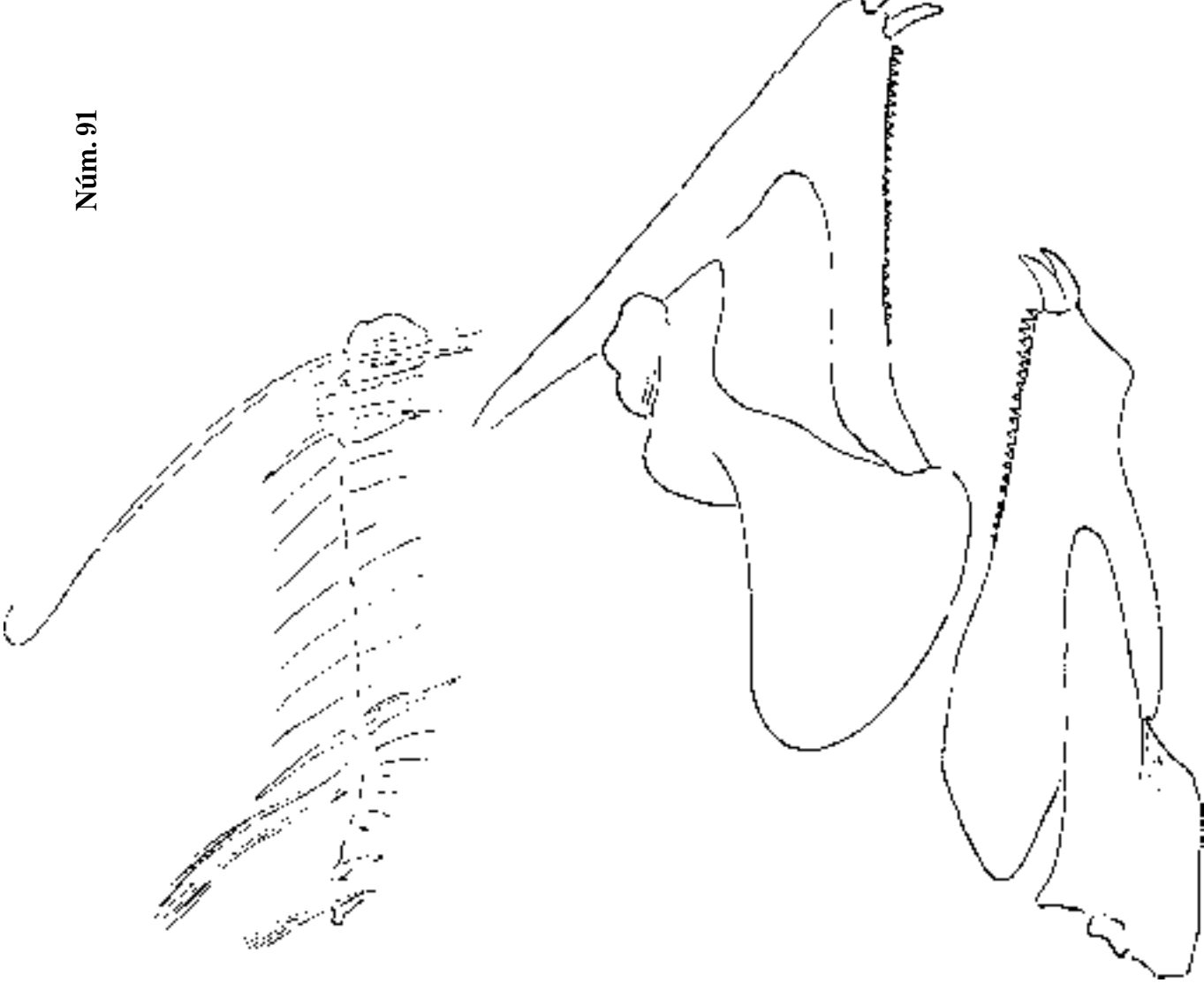
Lám. 346

Núm. 91



Lachnolaemus suillus. Osteología; perro.

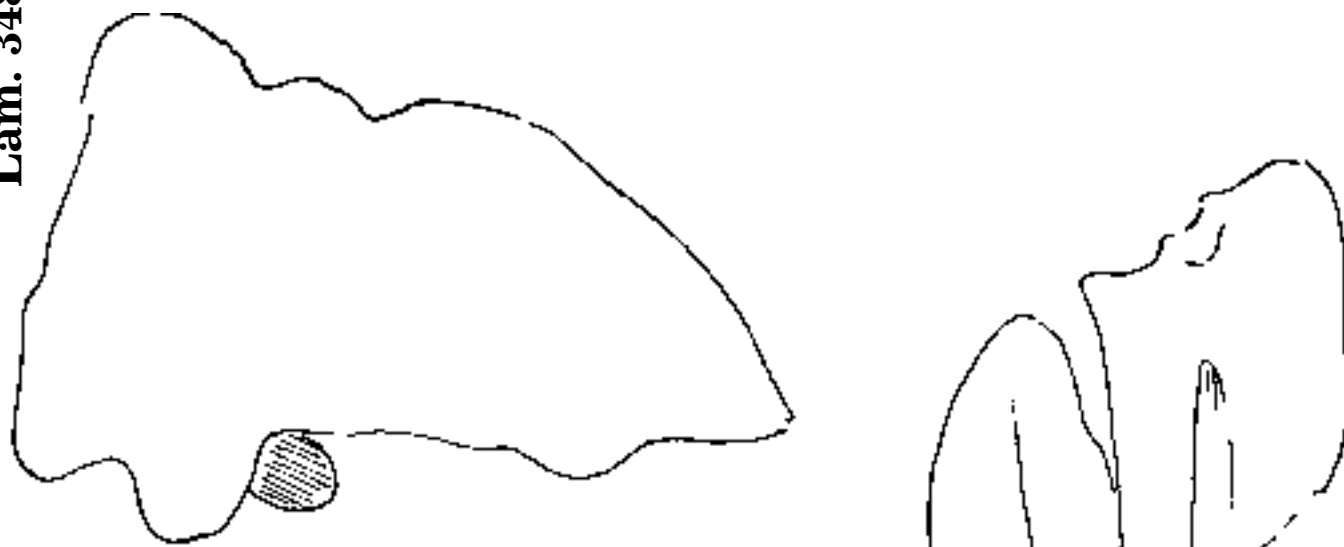
Lachnolaimus multiplicatus. Osteología y órgano; perro.



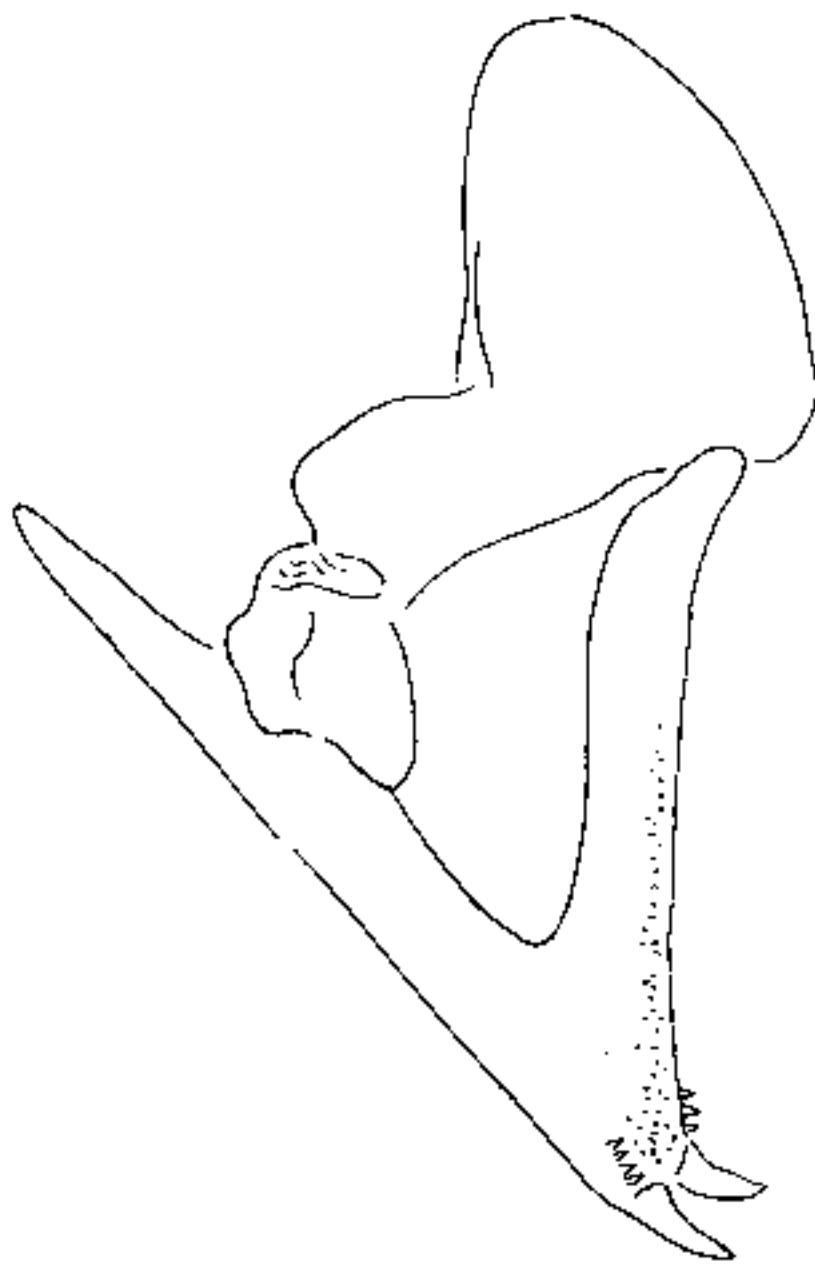
Núm. 91



Lám. 348



Núm. 91



Lachnolaemus suillus. Osteología; perro.

Lám. 349

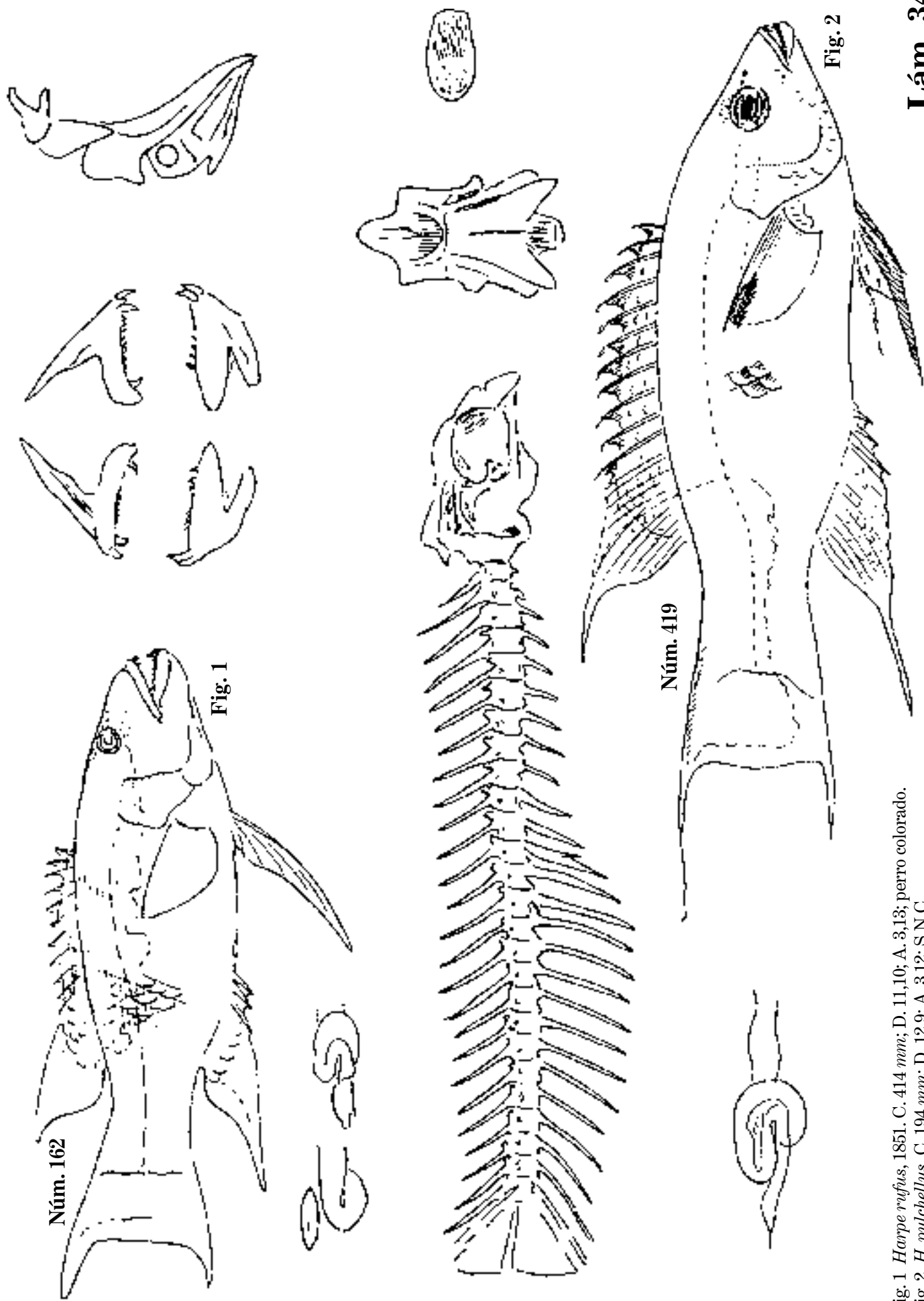


Fig. 1 *Harpe rufus*, 1851. C. 414 *nova*; D. 11,10; A. 3,13; perro colorado.
Fig. 2 *H. pulchellus*. C. 194 *nova*; D. 12,9; A. 3,12; S.N.C.

Lám. 350

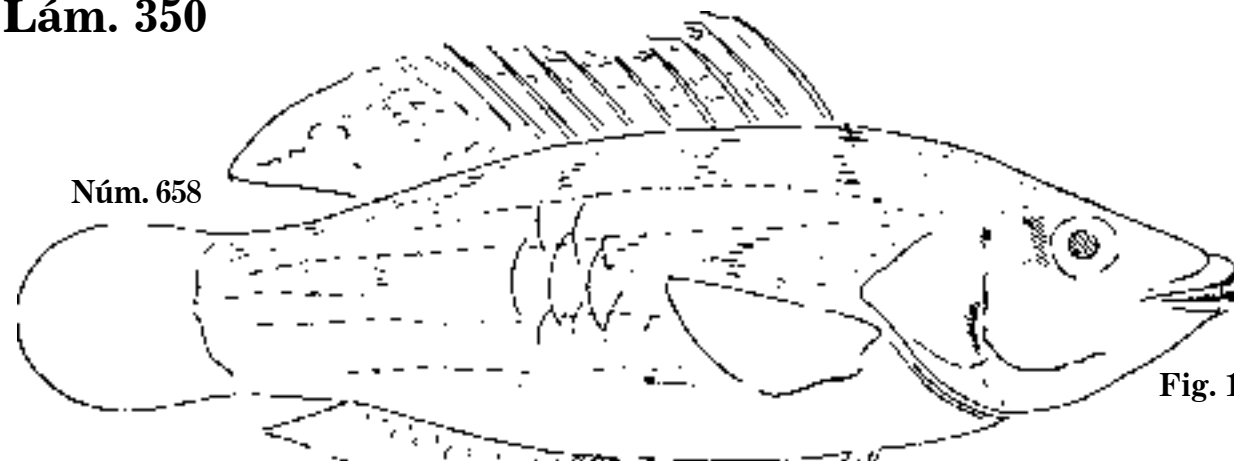


Fig. 1

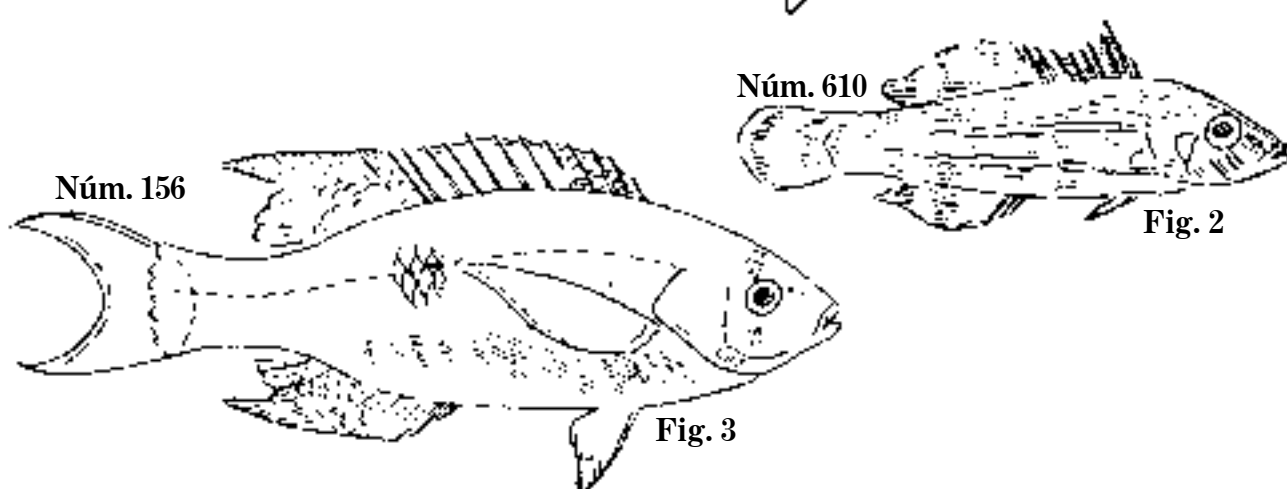


Fig. 2

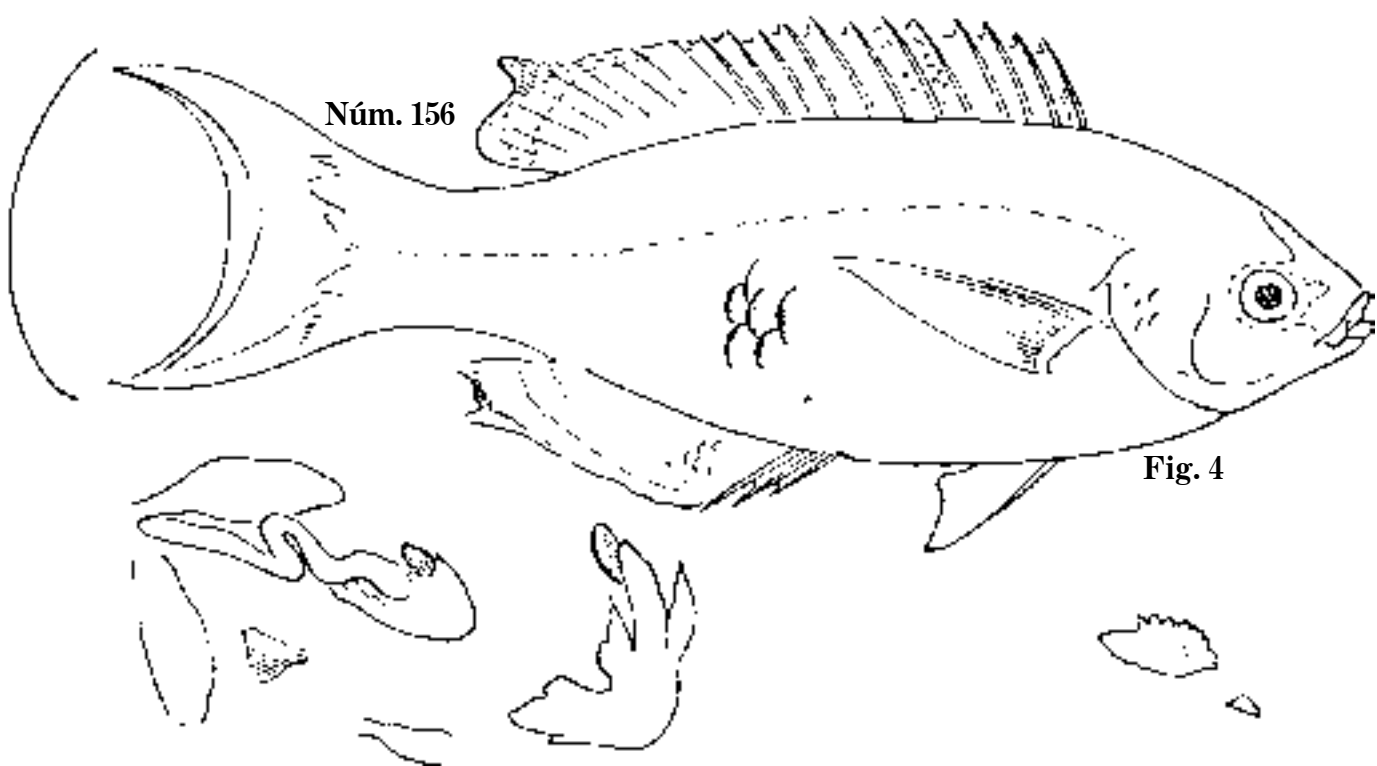


Fig. 4

Fig. 1 *Harpe?*, 1862. P. 60 mm; D. 9,9; A. 3,10?

Fig. 2 *Harpe?* P. 40 mm; D. 9,10; A. 3,9; S.N.C.

Fig. 3 *Clepticus genizara*, 1870. C. 242 mm; D. 12,10; A. 3,12.

Fig. 4 *C. genizara*, 1850. C. 190 mm; D. 12,9; A. 3,11; rabirrubia genízara.

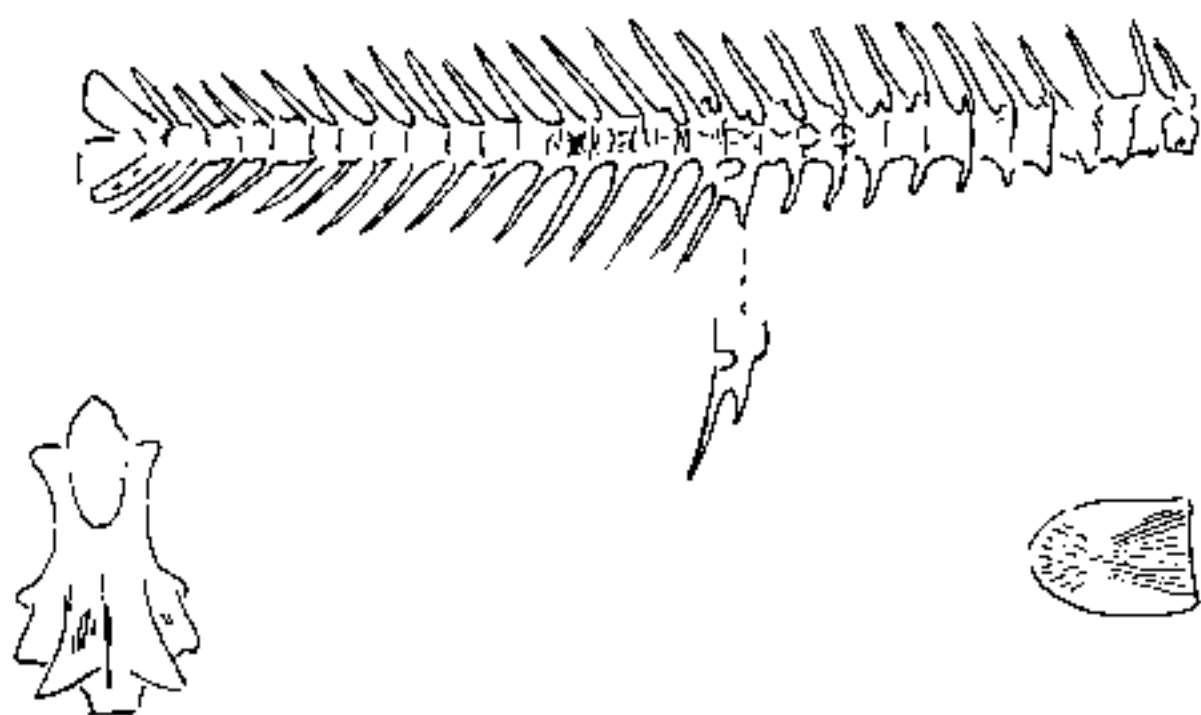
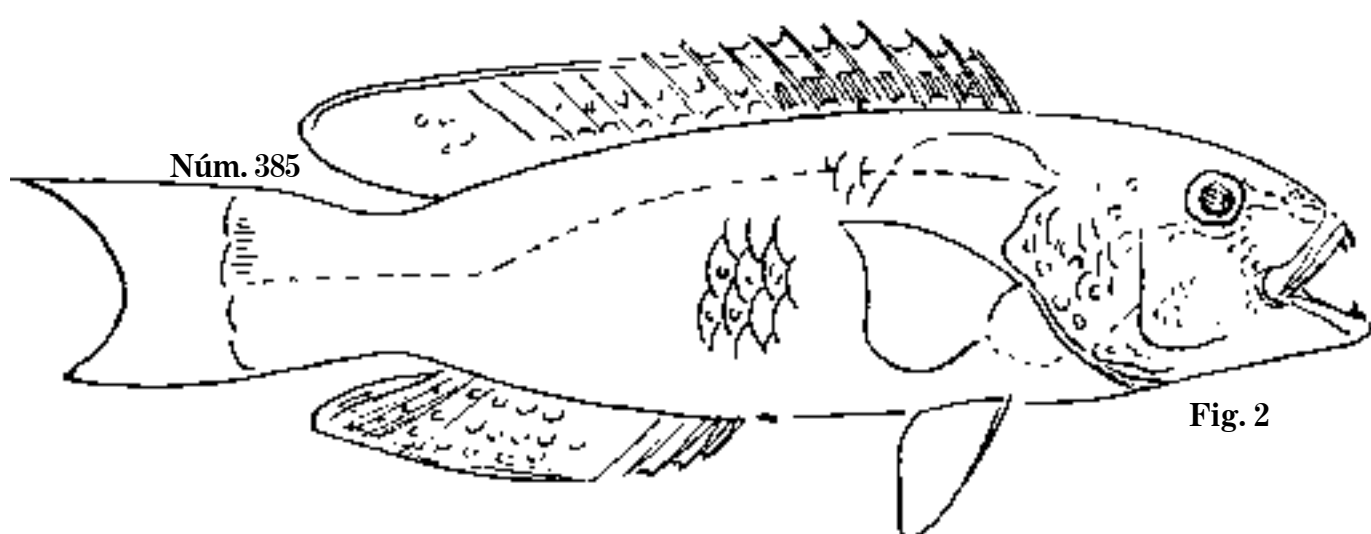
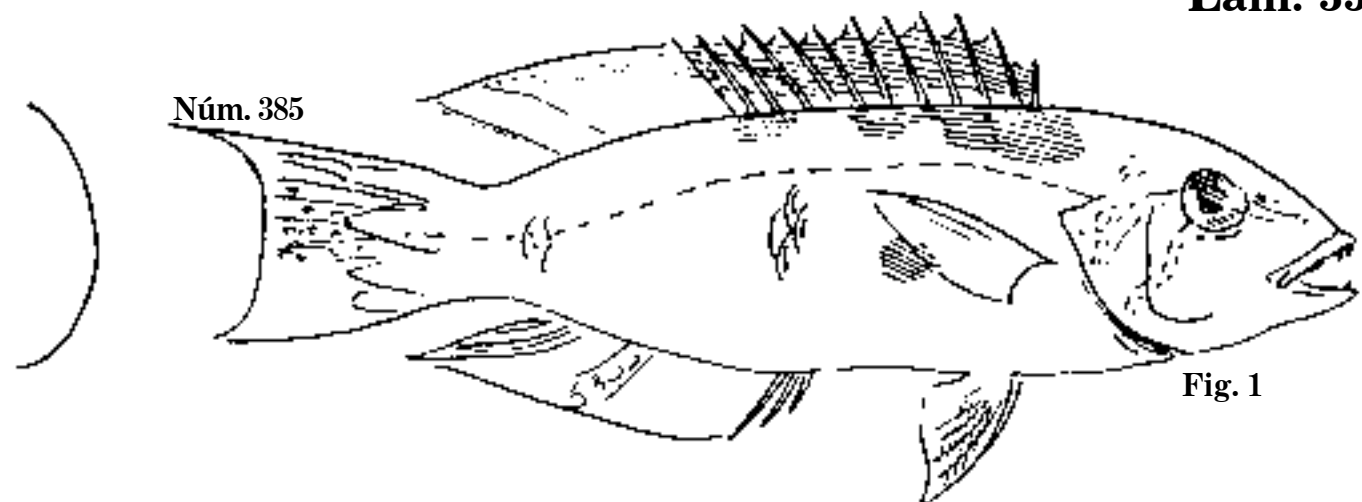


Fig. 1 *Decodon puellaris*. C. 204 mm; D. 11,10; A. 3,10.
Fig. 2 *D. puellaris*, 1873? C. 232 mm; D. 11,10; A. 3,10; S.N.C.

Lám. 352

Núm. 11

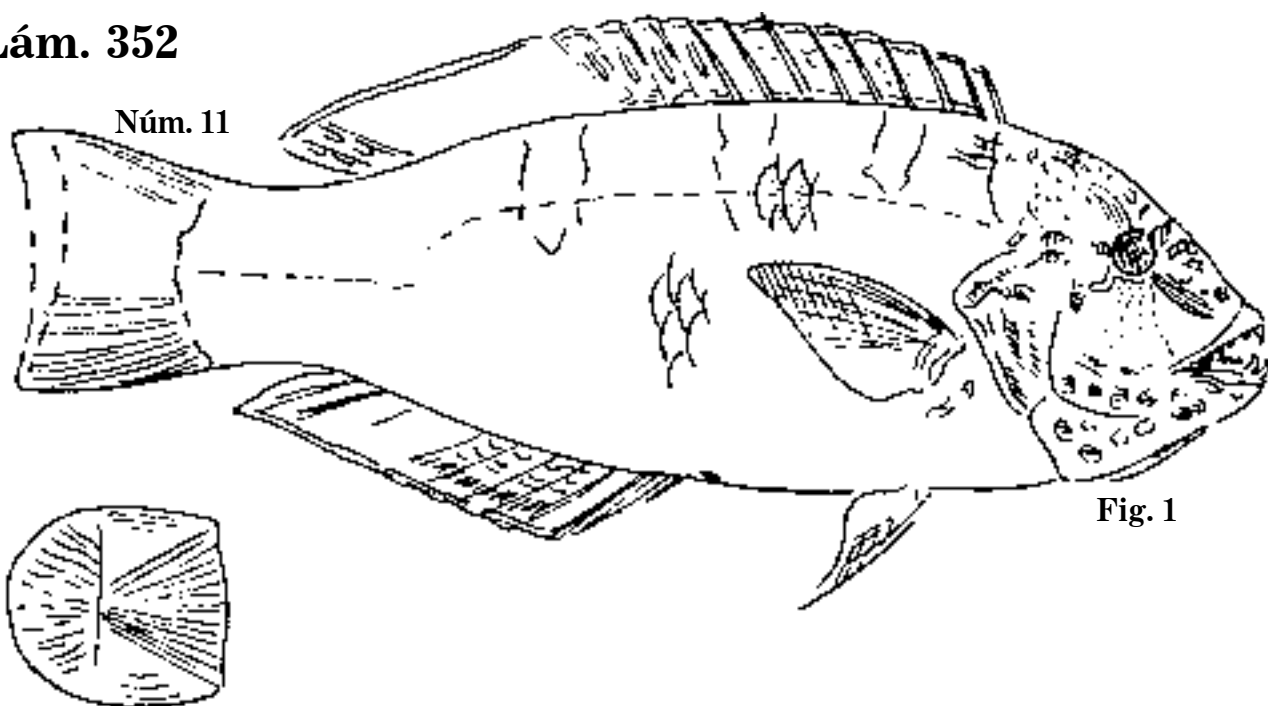


Fig. 1

Núm. 11

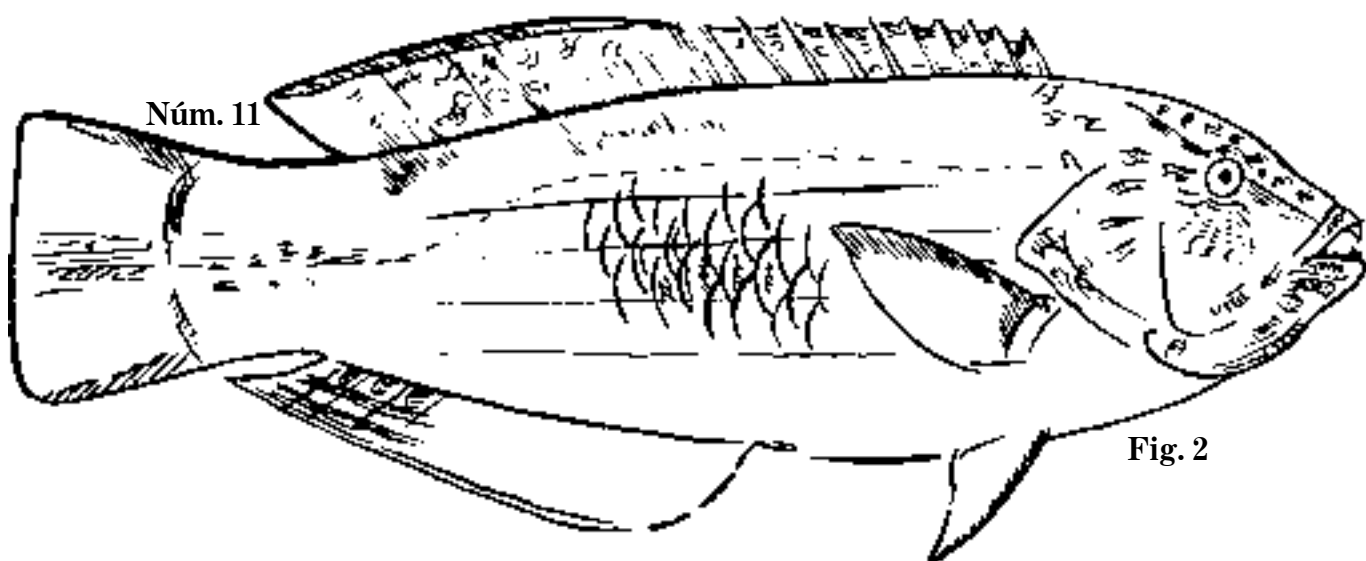


Fig. 2

Núm. 11

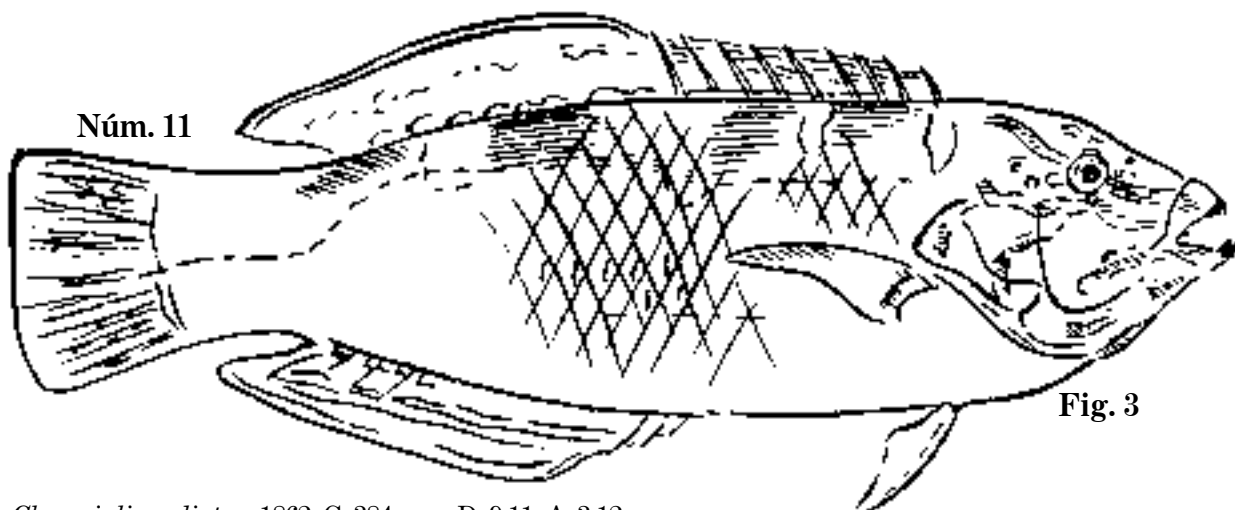


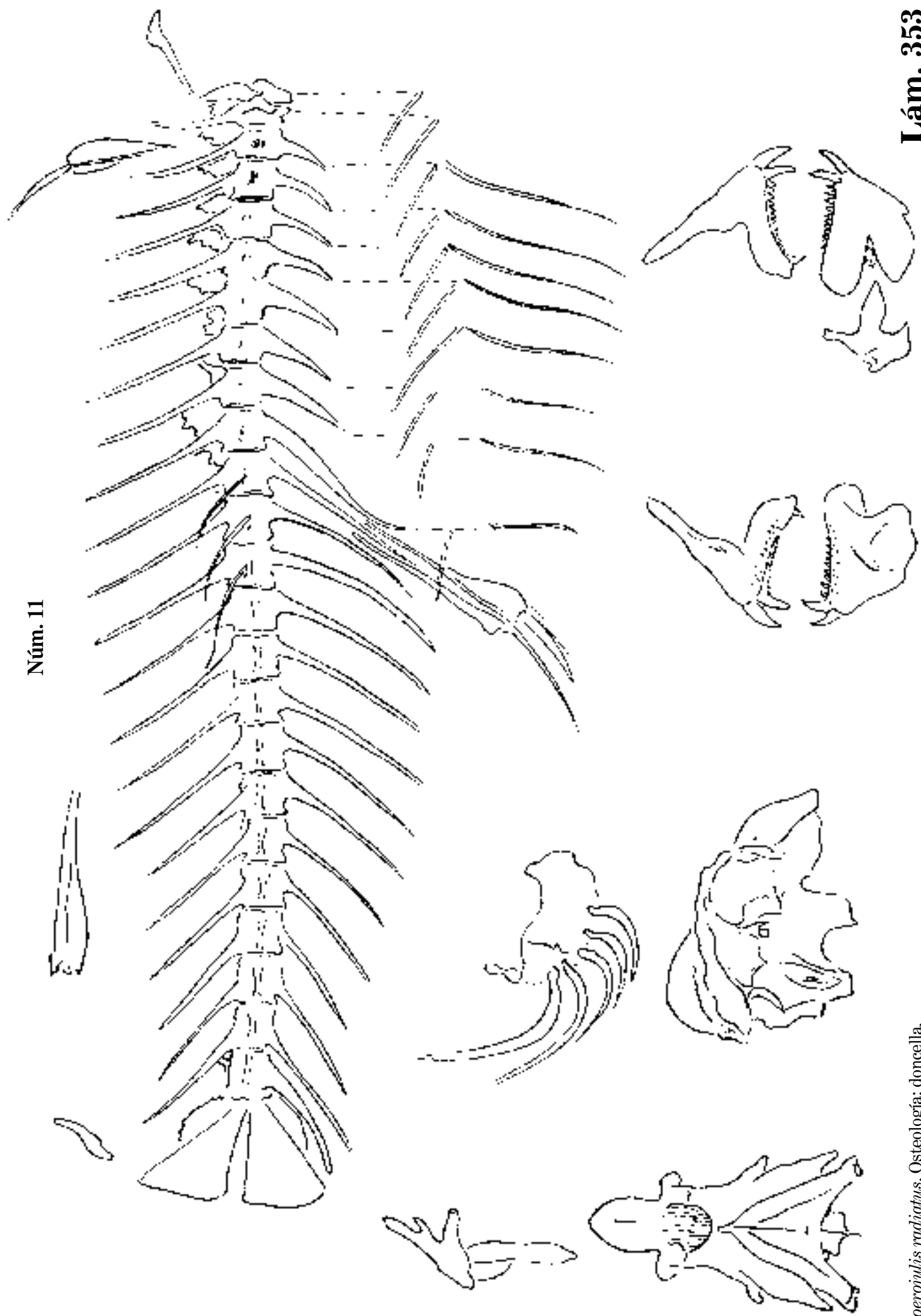
Fig. 3

Fig. 1 *Choerojulis radiatus*, 1862. C. 384 mm; D. 9,11; A. 3,12.

Fig. 2 *Ch. radiatus*, 1860. C. 273 mm; D. 9,12; A.?

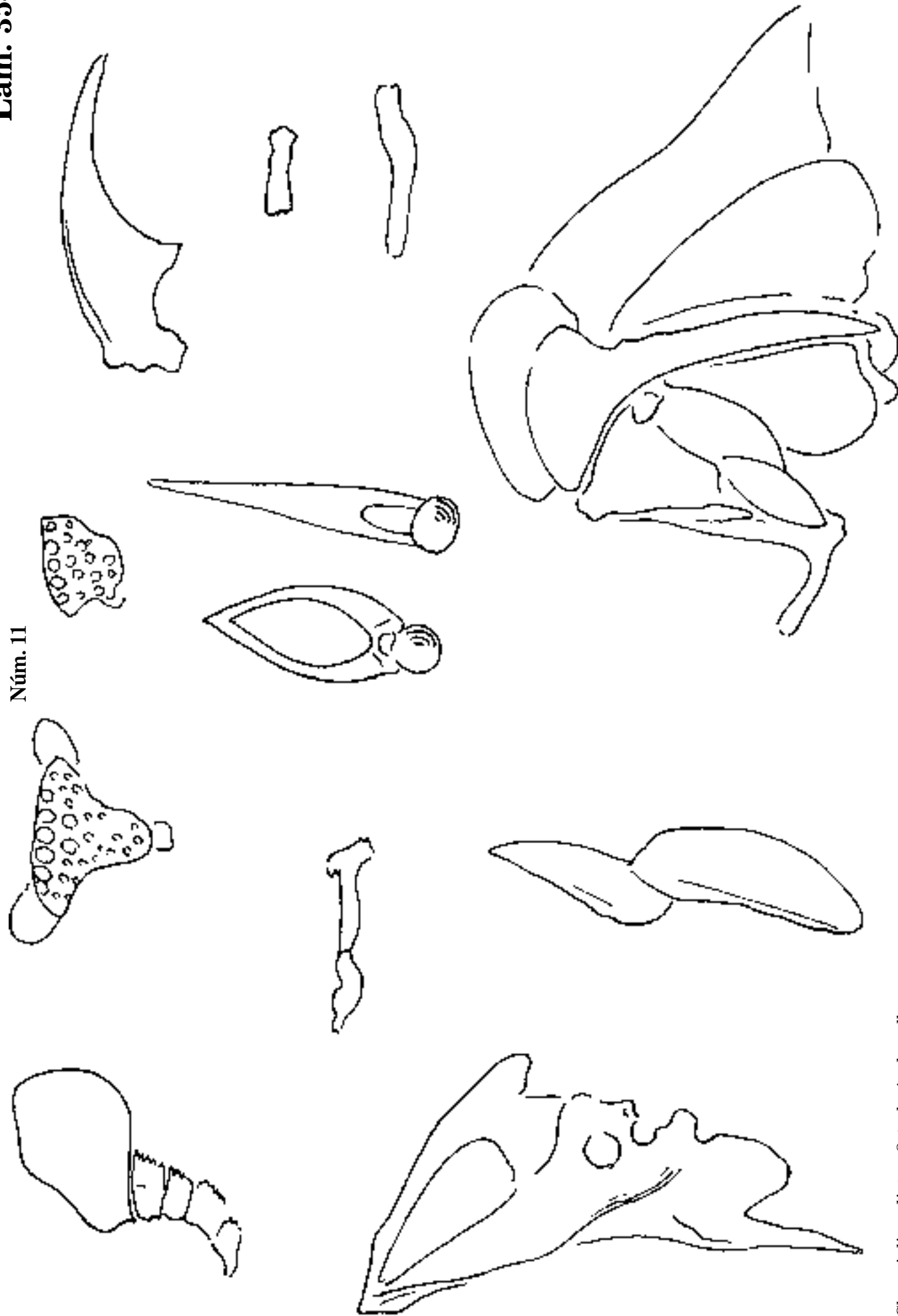
Fig. 3 *Ch. radiatus*. C. 245 mm; D.; A.; doncella.

Núm. 11



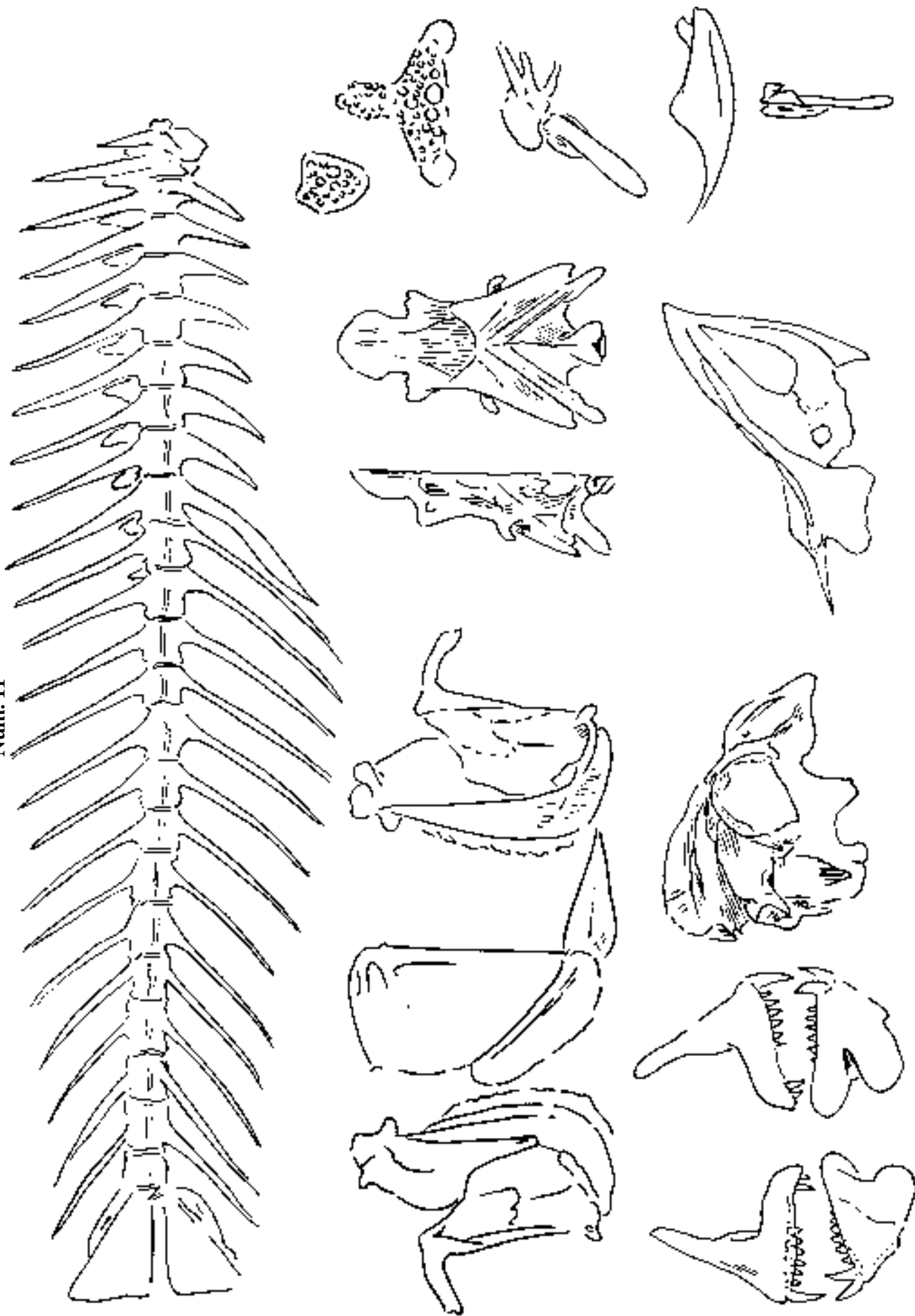
Lám. 354

Núm. 11



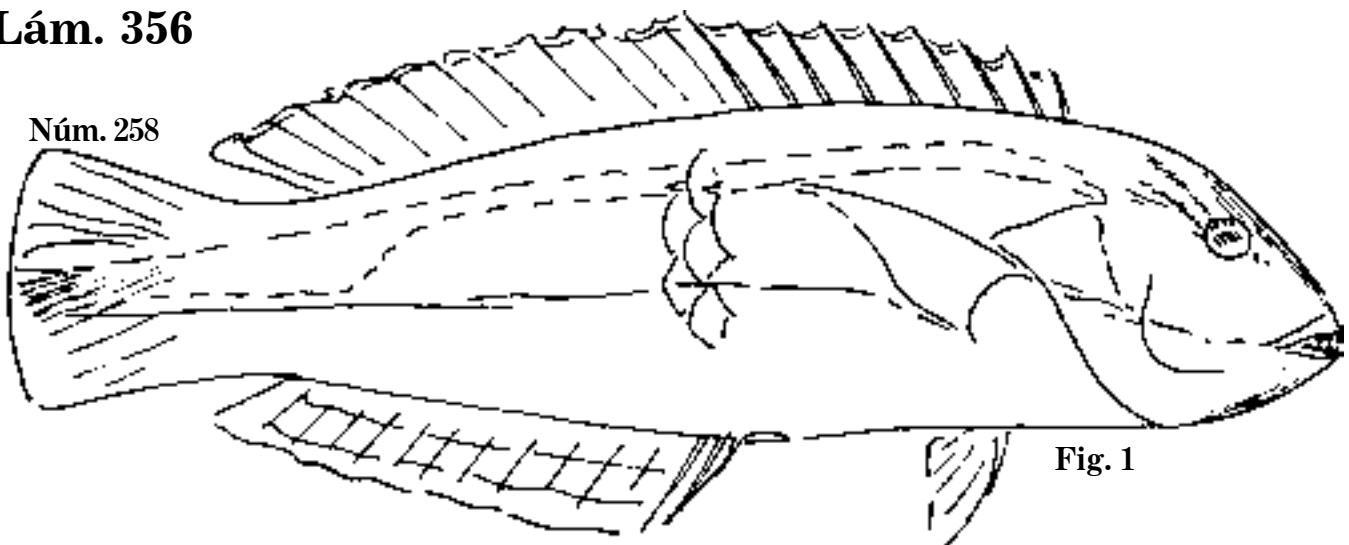
Choeronyx radiatus. Osteología; doncella.

Núm. 11

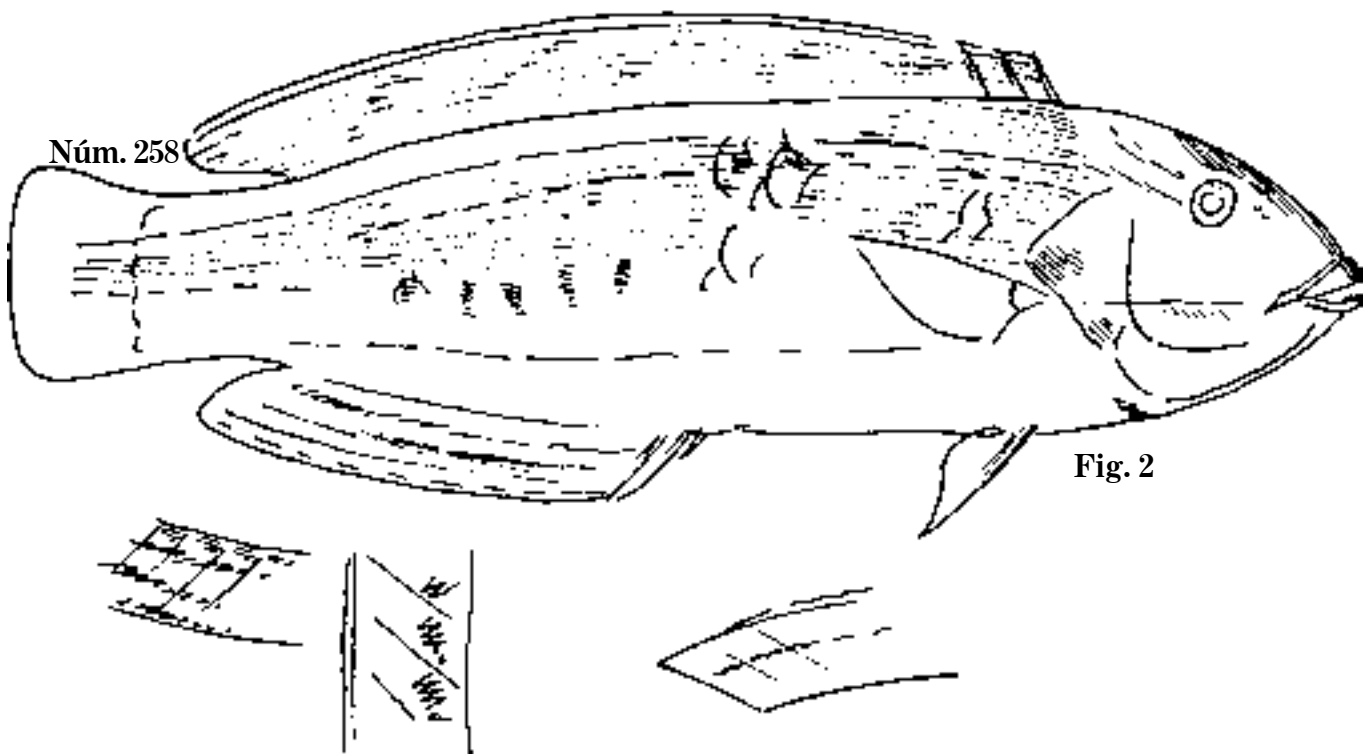


Lám. 356

Núm. 258



Núm. 258



Núm. 338

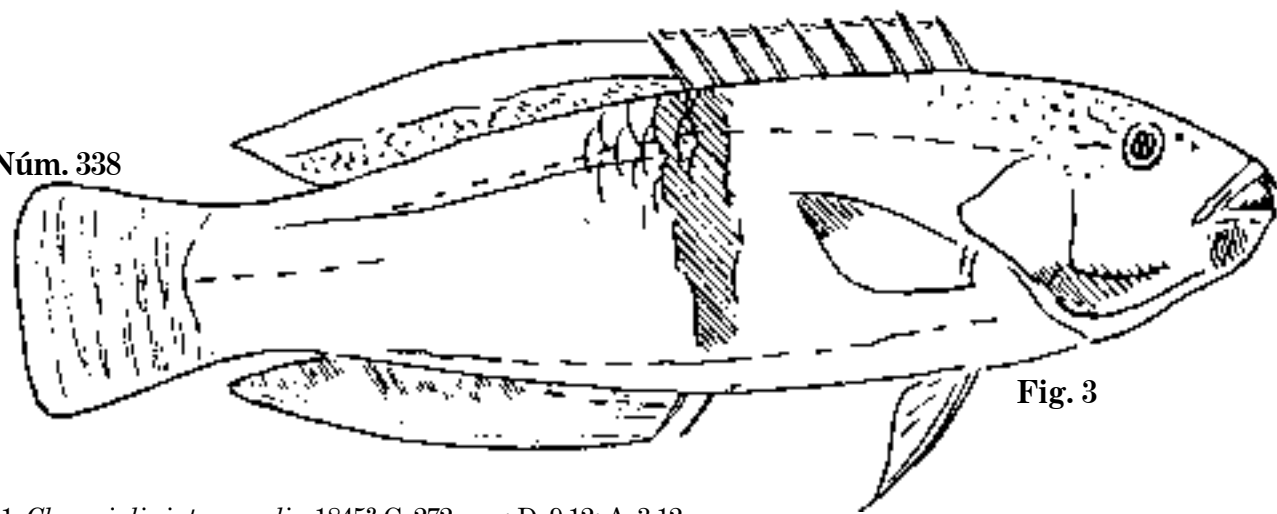


Fig. 1 *Choerojulis internasalis*, 1845? C. 272 mm; D. 9,12; A. 3,12.

Fig. 2 *Ch. internasalis*. C. 219 mm; D. 9,12; A. 3,12.

Fig. 3 *Ch. cinctus*, 1870. C. 204 mm; D. 9,?; A.?; doncella.

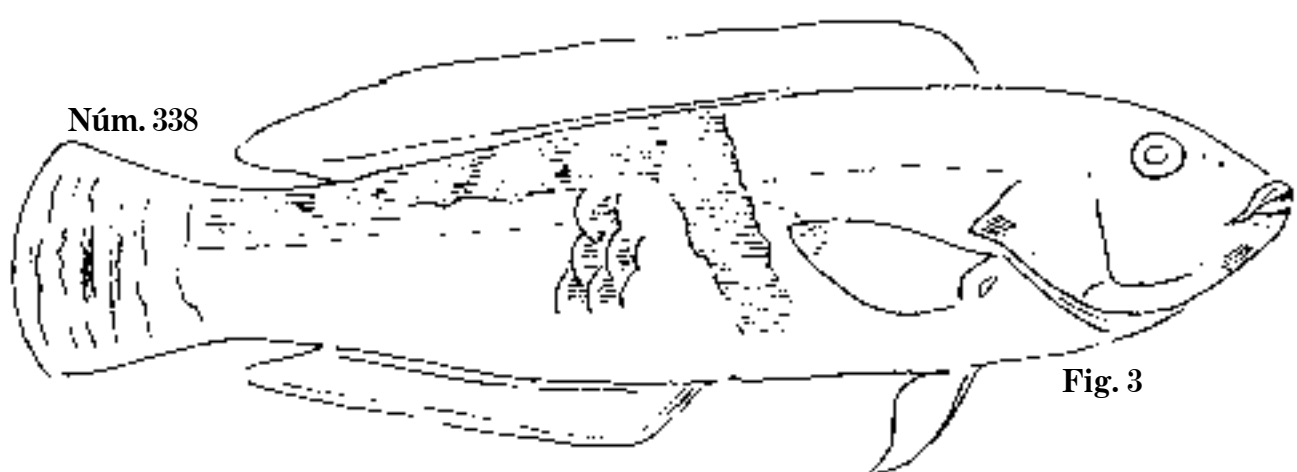
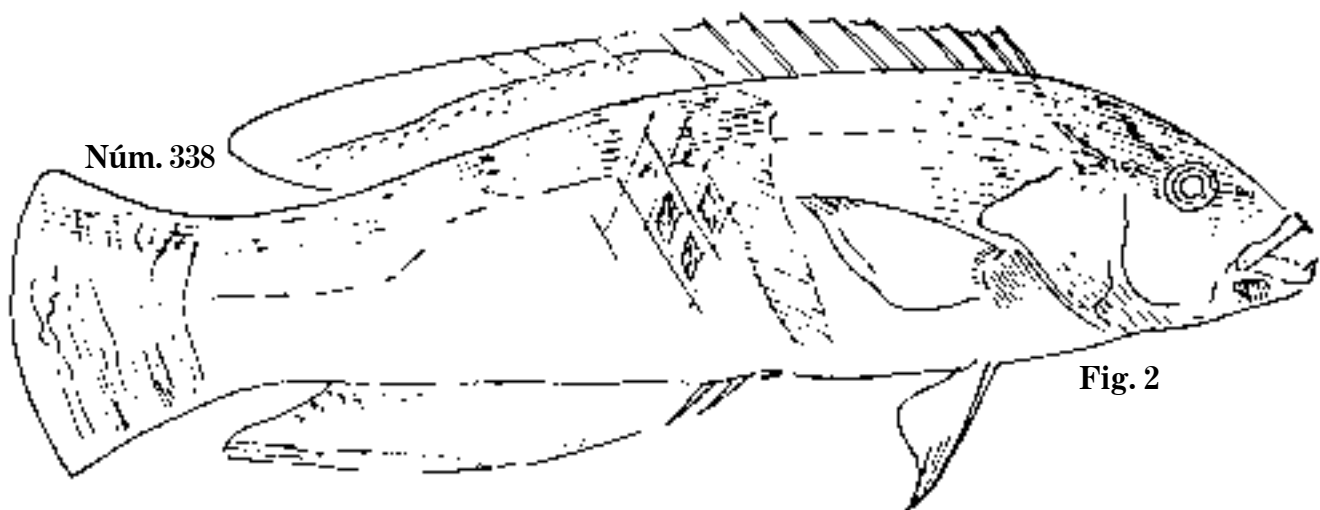
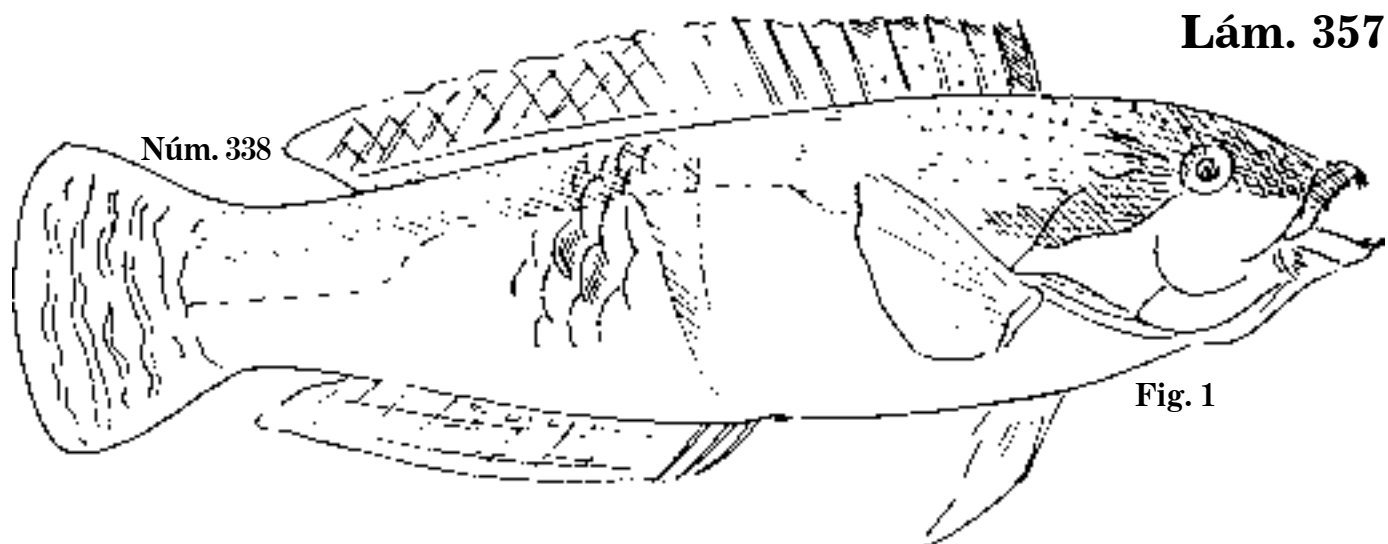


Fig. 1 *Choerojulis cinctus*, 1835. C. 169 mm; D. 9,11; A. 3,12.

Fig. 2 *Ch. cinctus*. P. 164 mm; D. 9,11; A. 3,12.

Fig. 3 *Ch. cinctus*, 1860. C. 159 mm; D.; A.; doncella.

Lám. 358

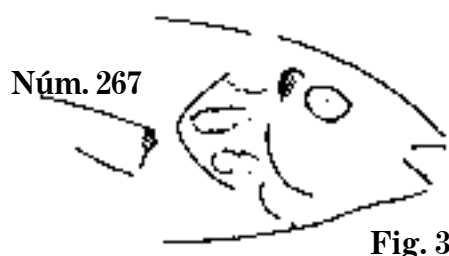
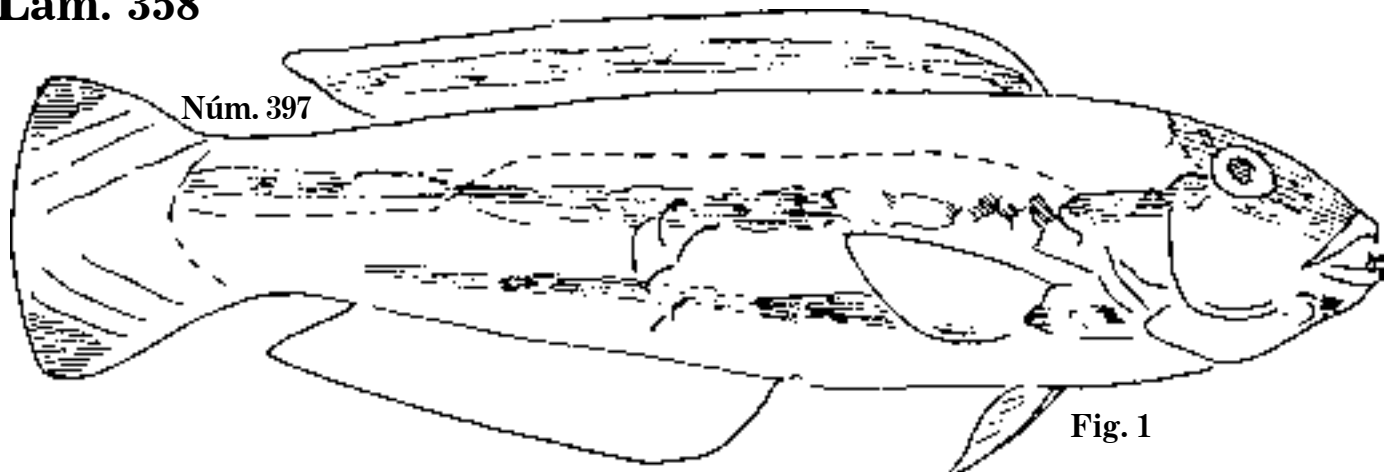


Fig. 1 *Choerodonzoster humeralis*. P. 150 mm; D. 9,11; A. 3,12.

Fig. 2 *Ch. crotaphus*. P. 125 mm; D.; A.

Fig. 3 *Ch. crotaphus*. Cabeza.

Fig. 4 *Ch. crotaphus*. Cabeza; doncella.

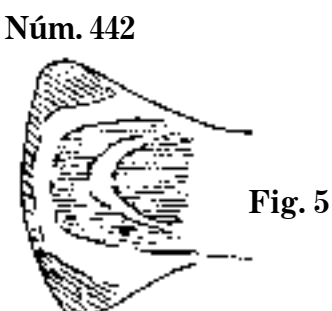
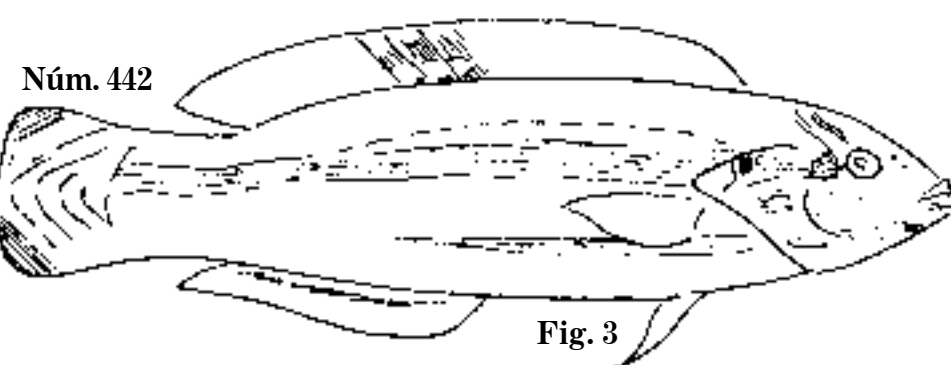
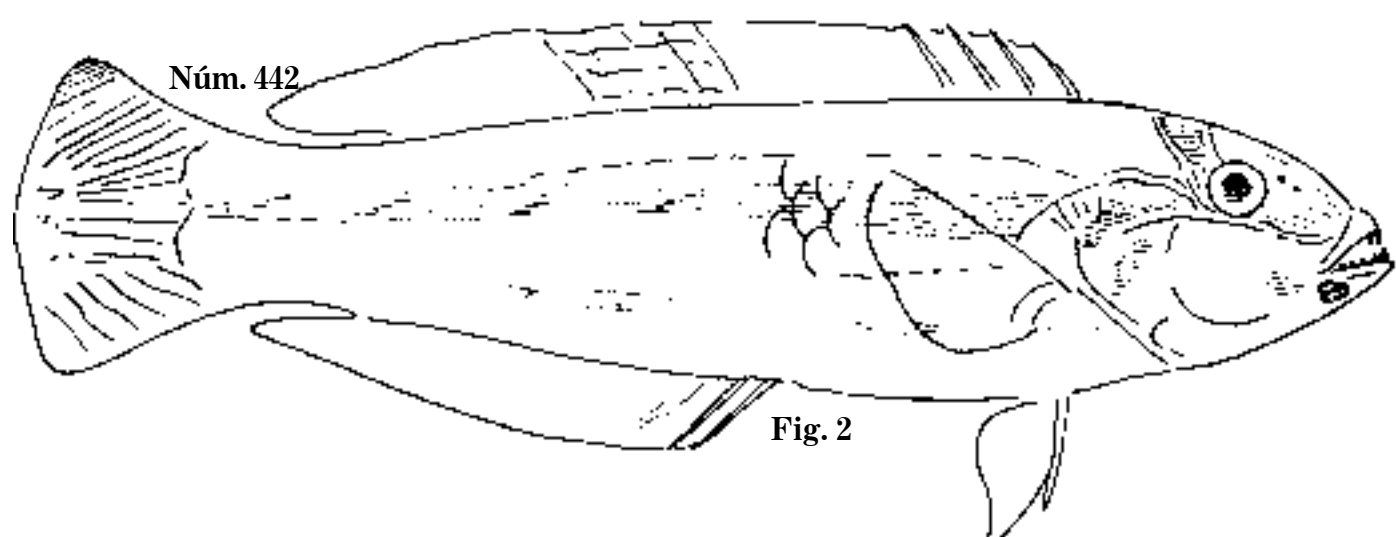
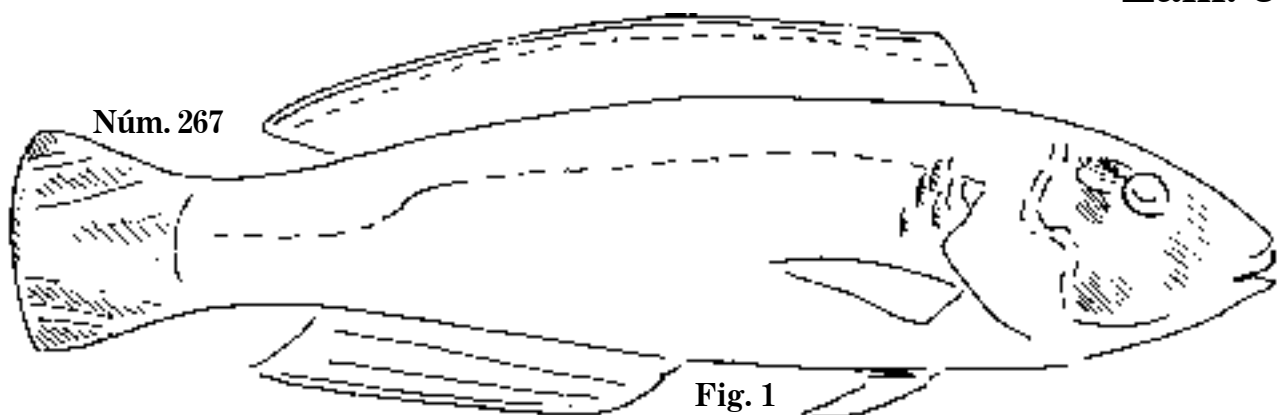


Fig. 1 *Choerojulus crotaphus*, 1860. P. 147 mm; D. 9,11; A. 2,12.
Fig. 2 *Ch. bivittatus*. C. 164 mm; D. 9,11; A. 2,12.
Fig. 3 *Ch. bivittatus*. C. 114 mm; D.; A.

Fig. 4 *Ch. bivittatus*. Cola.
Fig. 5 *Ch. bivittatus*. Cola. Doncella.

Lám. 360

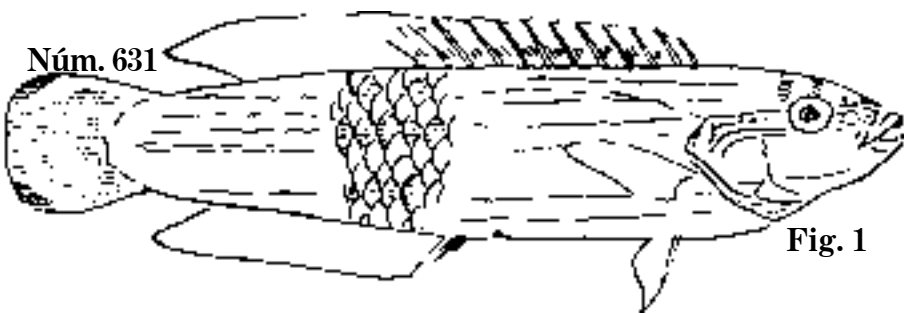


Fig. 1

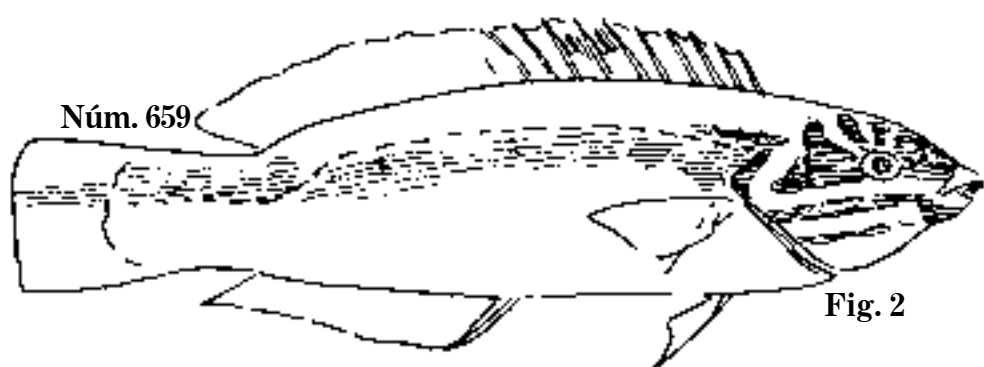


Fig. 2

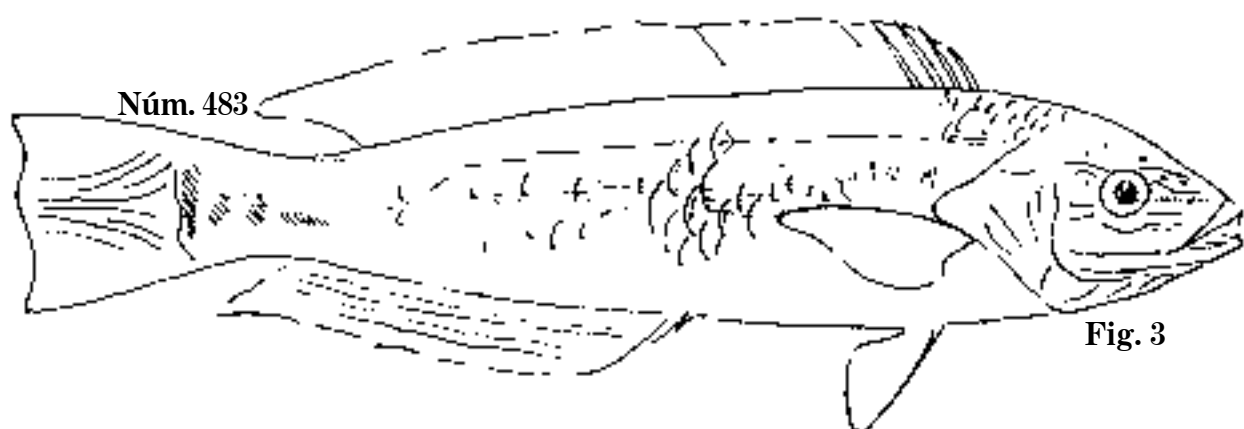


Fig. 3

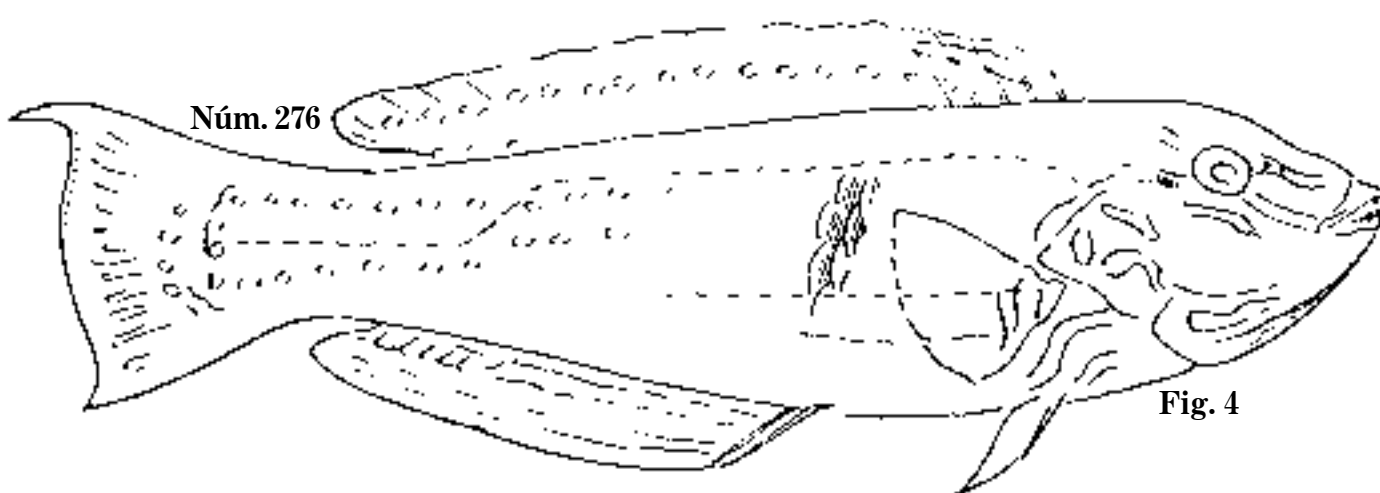


Fig. 4

Fig. 1 *Choerojulis Arangoi*. C. 106 mm; D. 9,11; A. 3,11.

Fig. 2 *Ch. maculipinnis*, 1862. C. 115 mm; D. 9,11; A. 3,11.

Fig. 3 *Ch. pictus*. C. 146 mm; D. 9,11; A. 3,12.

Fig. 4 *Ch. caudalis*. C. 161 mm; D.; doncella.



Fig. 1



Fig. 2

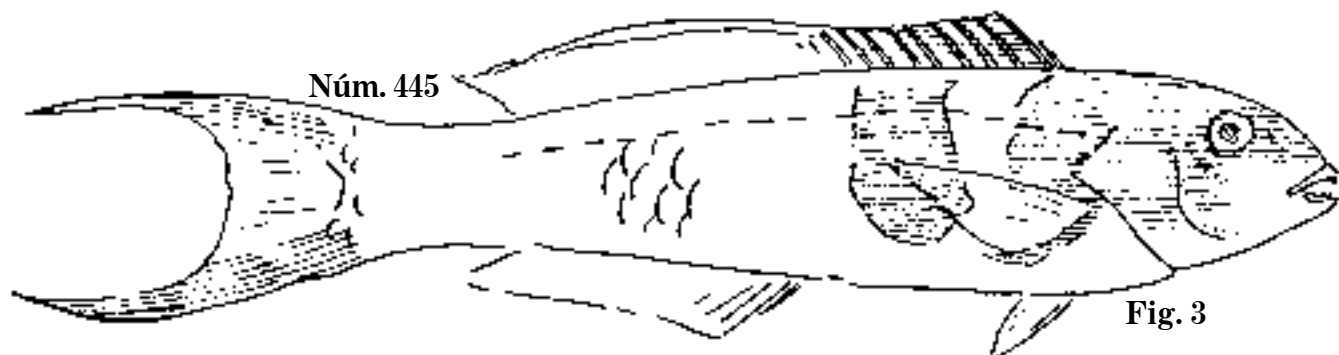


Fig. 3

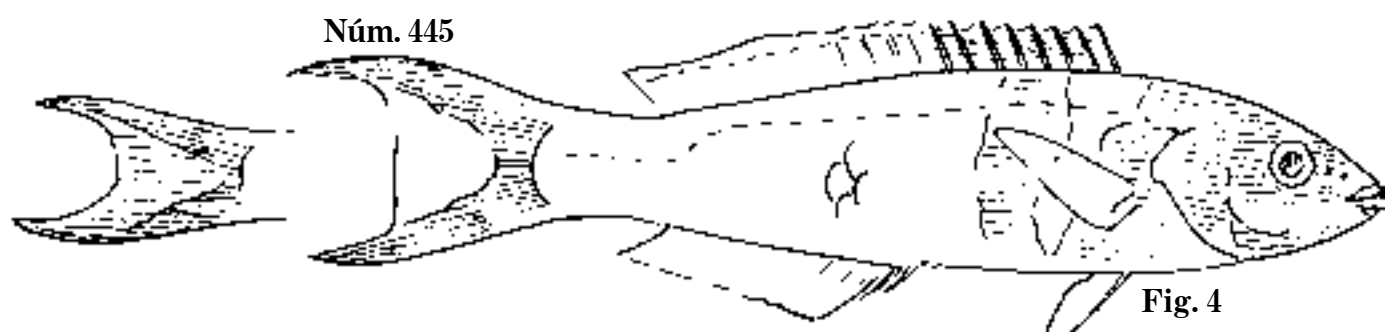


Fig. 4



Fig. 5

Fig. 1 *Choerodus*. D.; A.

Fig. 2 *Ch. signifer*. C. 57 mm; D.; A.

Fig. 3 *Julis bifasciatus*, 1877. C. 154 mm; D. 8,11; A. 3,11.

Fig. 4 *J. bifasciatus*, 1870. C. 127 mm. D. 8,13; A. 2,11.

Fig. 5 *J. bifasciatus*, 1850. C. 117 mm; D.; A.; doncella.

Lám. 362

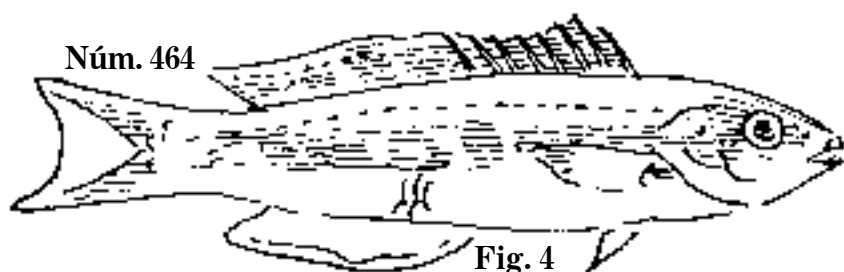
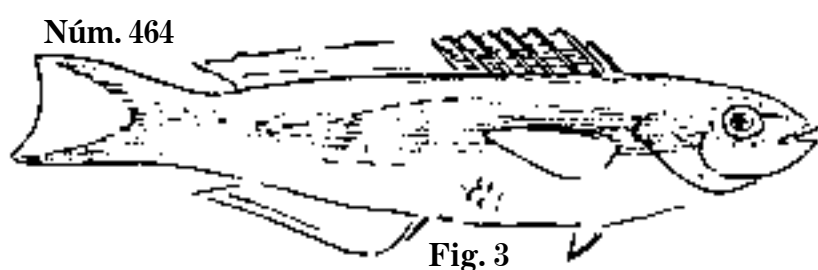
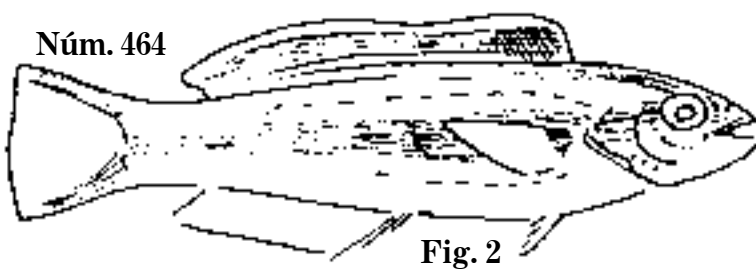
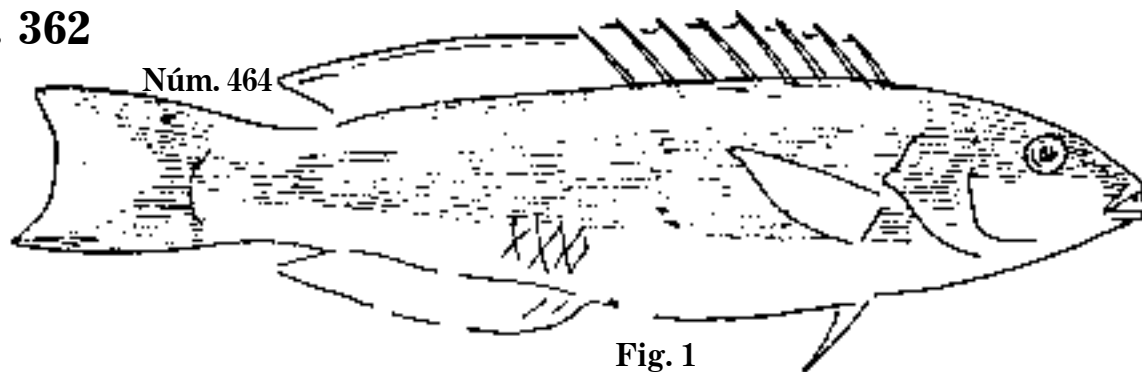


Fig. 1 *Julis latifasciatus*, 1877. C. 112 mm; D. 8,13; A. 1,11.
Fig. 2 *J. latisfasciatus*. C. 73 mm; D. 8,13; A. 3,11.
Fig. 3 *J. latisfasciatus*, 1874. C. 80 mm; D. 8,12; A. 2,11.

Fig. 4 *J. latifasciatus*, 1869. C. 83 mm; D.; A.
Fig. 5 *J. latisfasciatus*, 1876. P. 15 mm; D.; A.; doncella.

Lám. 363

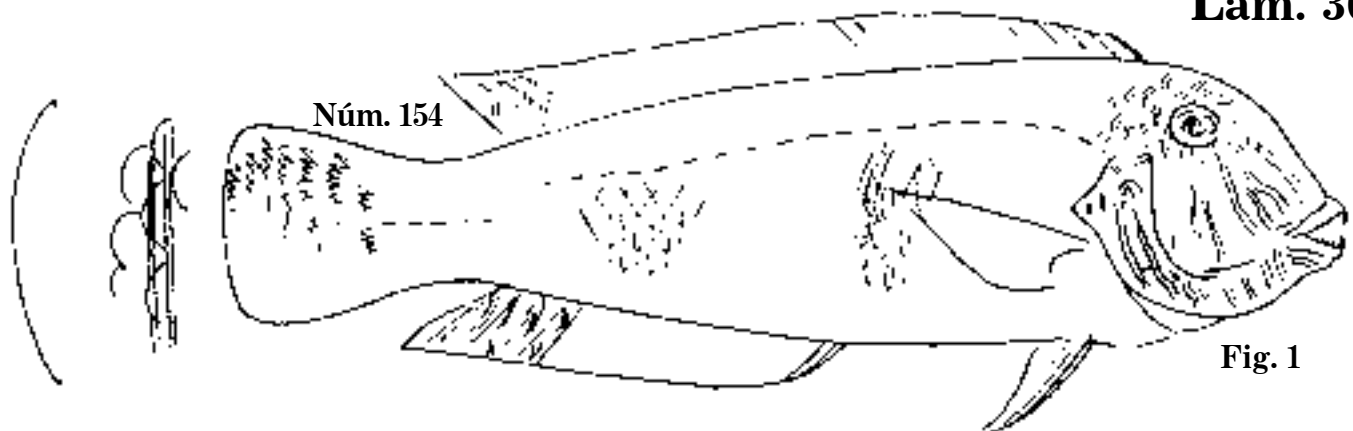


Fig. 1

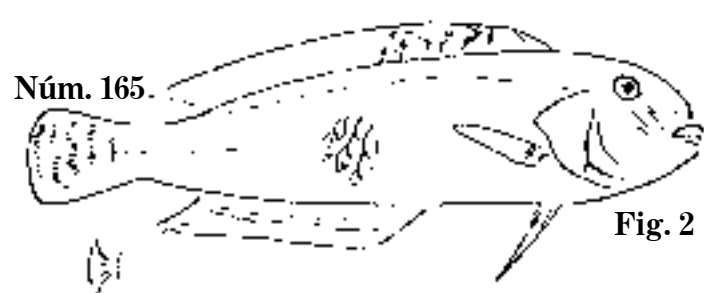


Fig. 2

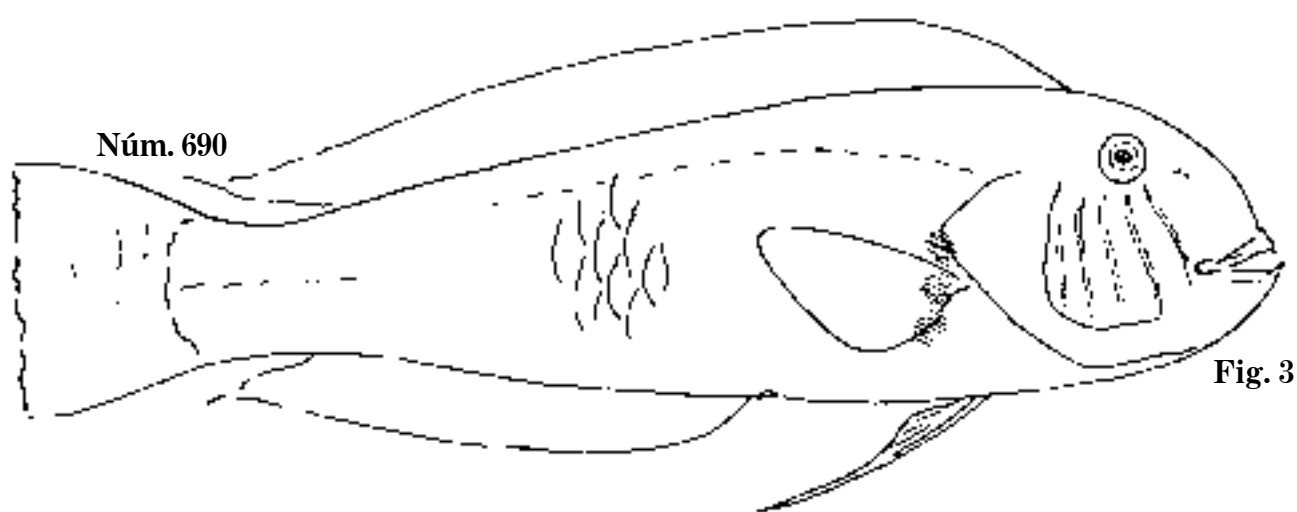


Fig. 3



Fig. 4

Fig. 1 *Xyrichtys vermiculatus*. P. 154 mm; D. 9,13; A. 3,12.
Fig. 2 *X. deficiens*, 1869. C. 91 mm; D. 21; A. 16.
Fig. 3 *X. modestus*, 1866. P. 170 mm; D. 9,12; A. 3,12.
Fig. 4 *X. venustus*, 1874. C. 96 mm; D. 21; A. 3,12; S.N.C.

Lám. 364

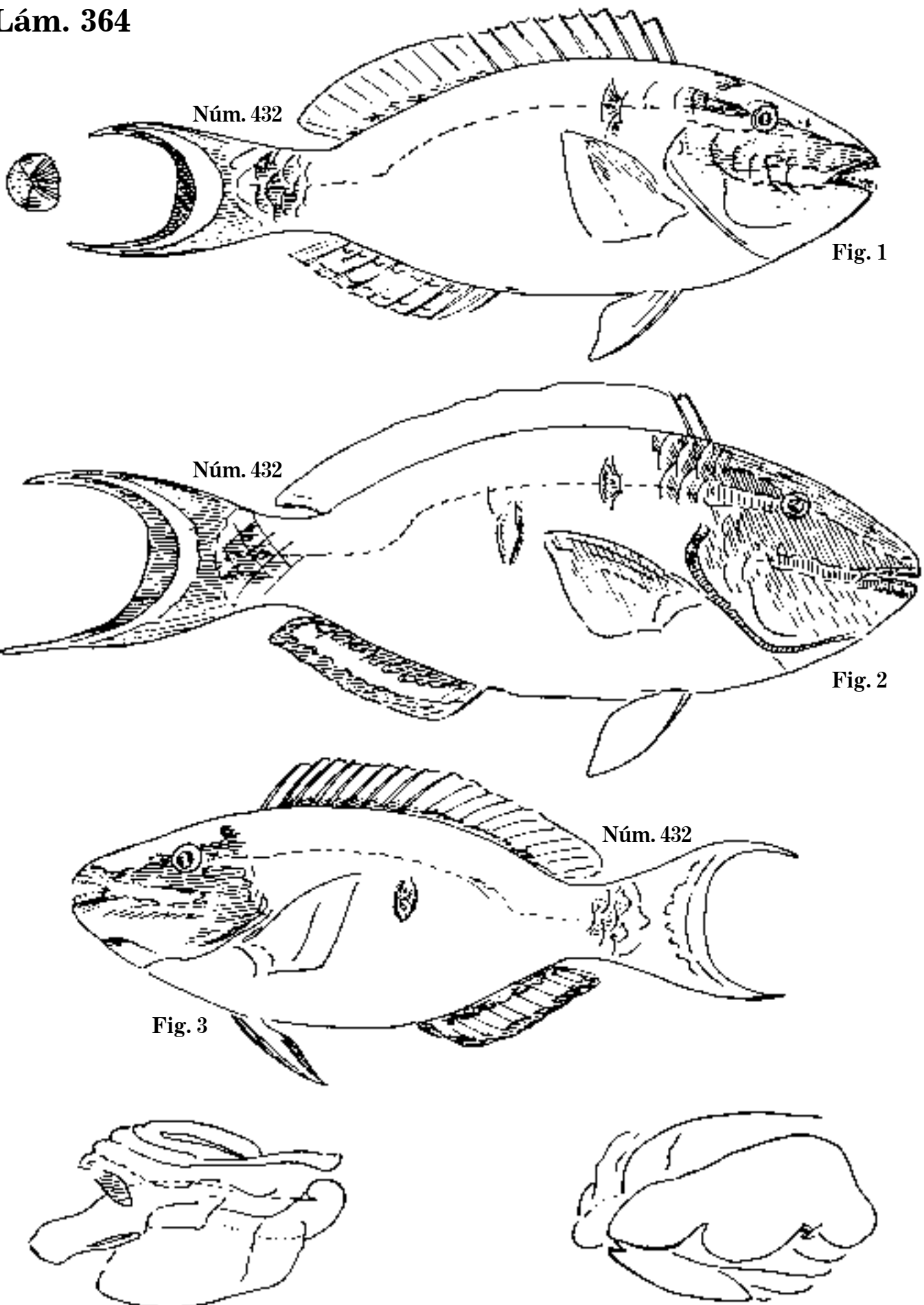


Fig. 1 *Scarus Catesbyi*, 1868. C. 465 mm; D. 9,10; A. ?

Fig. 2 *S. Catesbyi*, 1860. C. 530 mm; D. 9,9; A. 3,9.

Fig. 3 *S. Catesbyi*, 1850. C. 418 mm; D. 9,10; A. 12; loro.

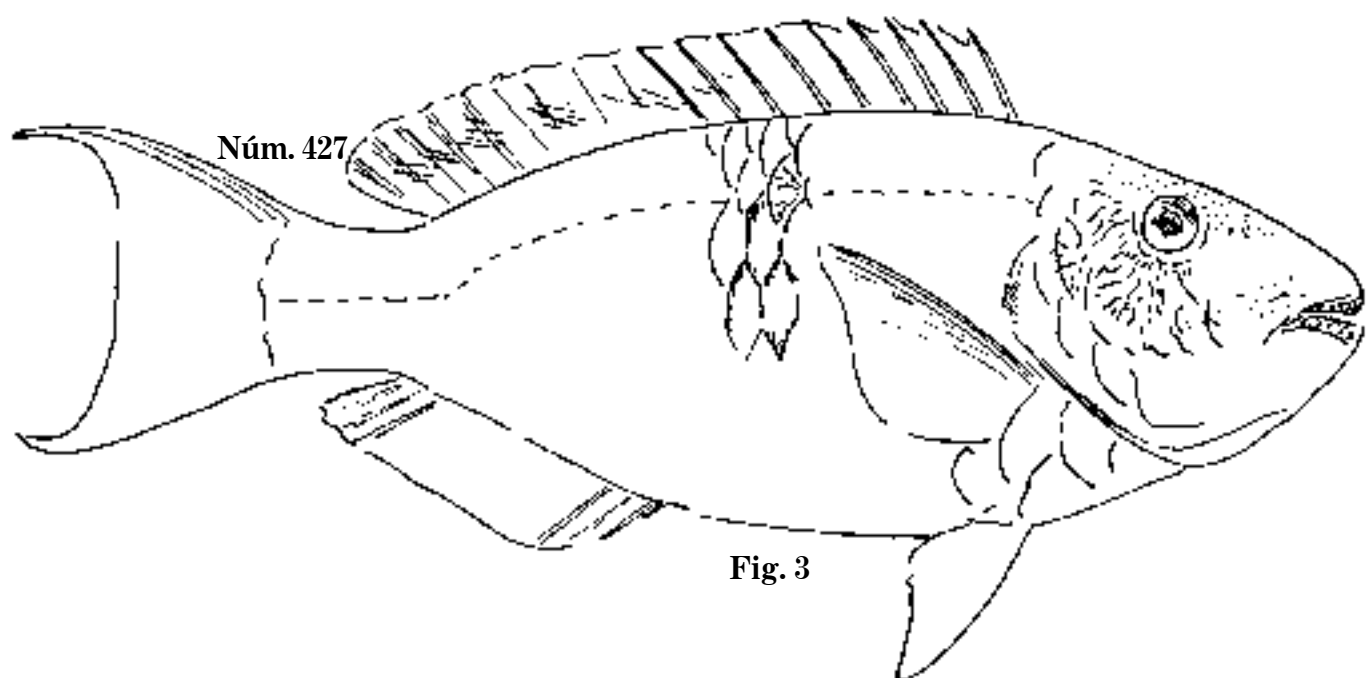
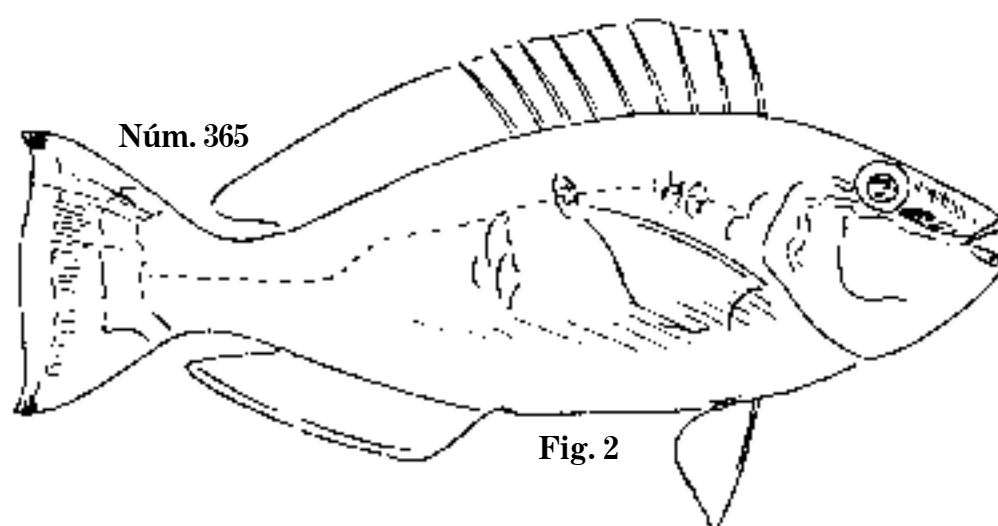
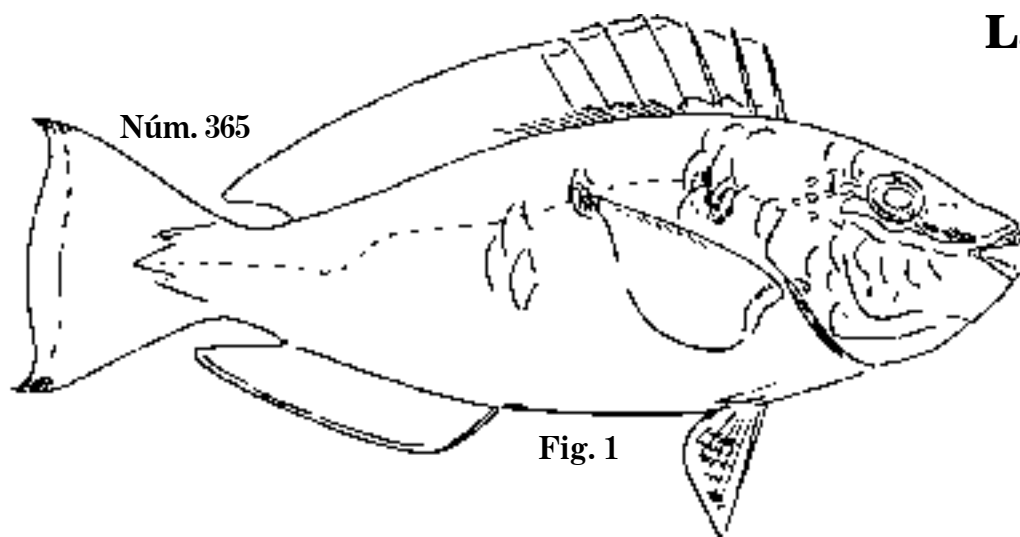


Fig. 1 *Scarus miniofrenatus*, 1850. C. 232 mm; D. 9,10; A. 10.

Fig. 2 *S. miniofrenatus*. C. 233 mm; D. 9,10; A. 11.

Fig. 3 *S. Abildgaardii*, 1864. C. 376 mm; D.; A.; vieja.

Lám. 366

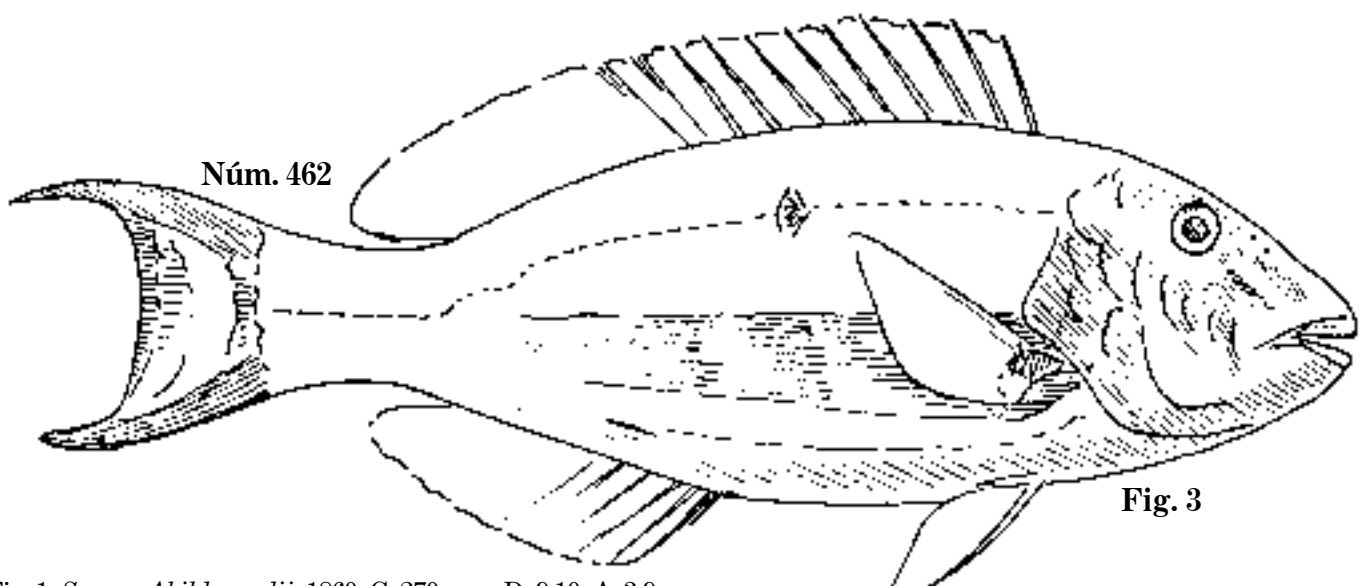
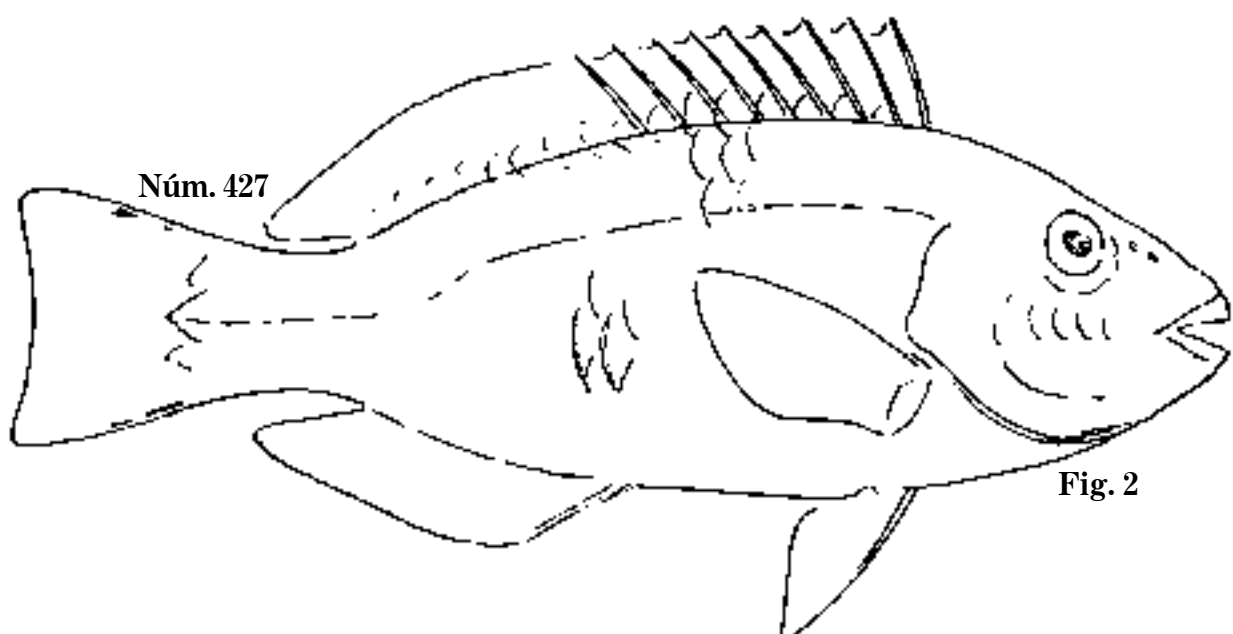
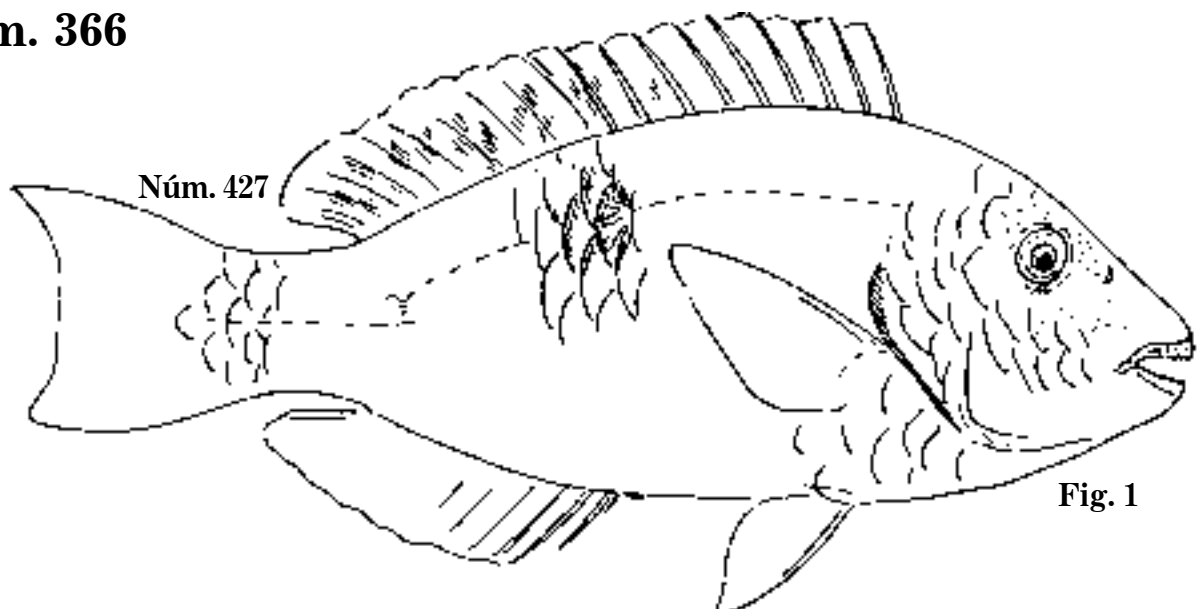


Fig. 1 *Scarus Abildgaardii*, 1860. C. 270 mm; D. 9,10; A. 3,9.

Fig. 2 *S. Abildgaardii*, 1869. C. 164 mm; D.; A.

Fig. 3 *S. lateralis*, 1860. C. 363 mm; D. 9,10; A. 3,9; vieja.

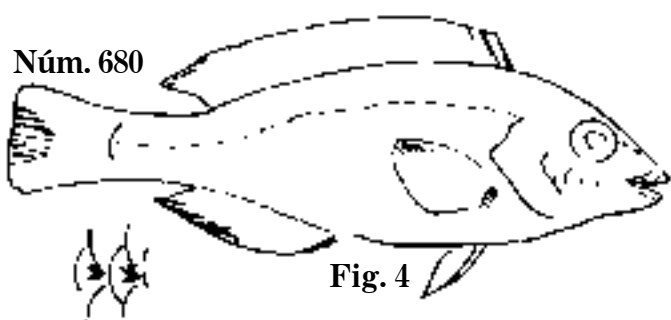
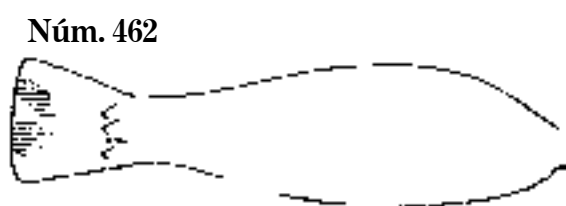
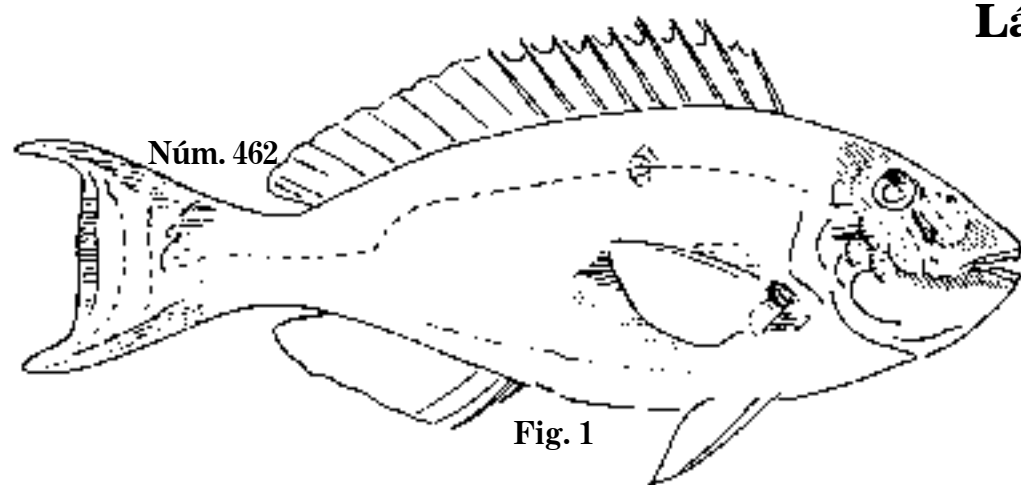


Fig. 1 *Scarus lateralis*, 1850. C. 298 mm; D. 9,10; A. 3,9.
Fig. 2 *S. lateralis*, 1869. C. 113 mm; D.; A.
Fig. 3 *S. lateralis*. D.; A.
Fig. 4 *Scarus*. C. 97 mm; D.; A.; vieja.

Lám. 368

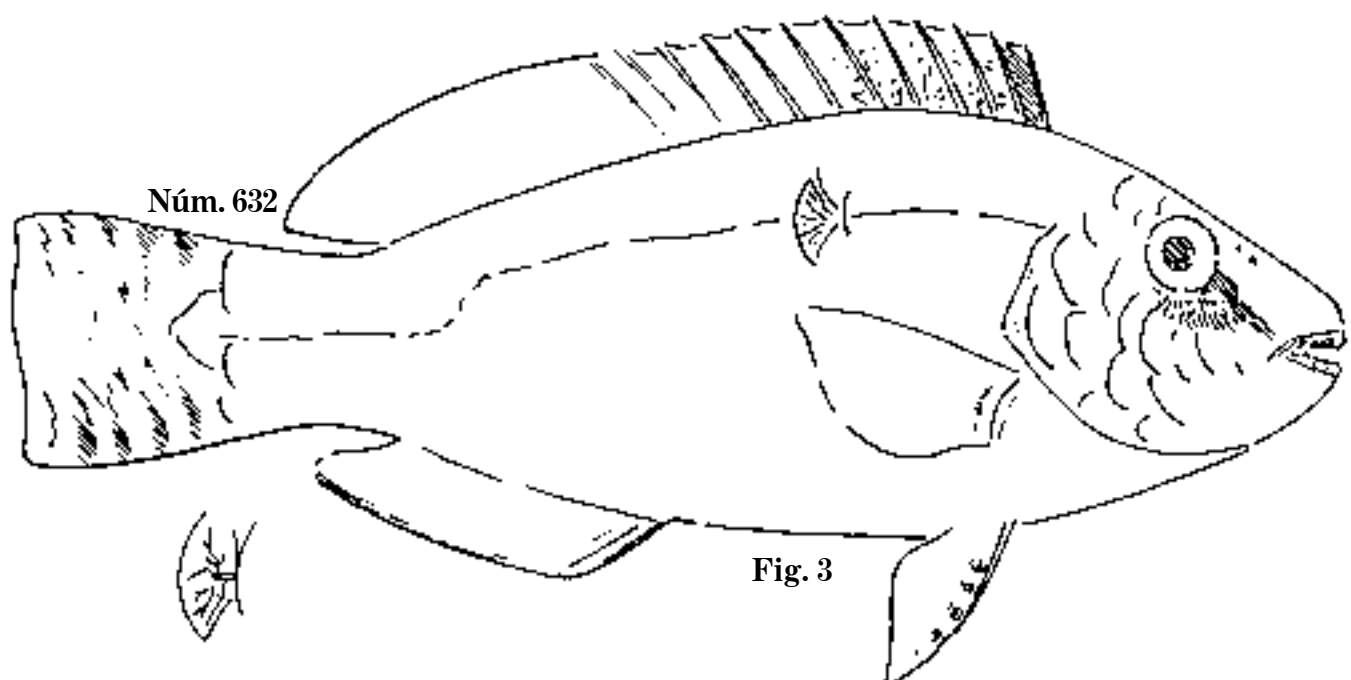
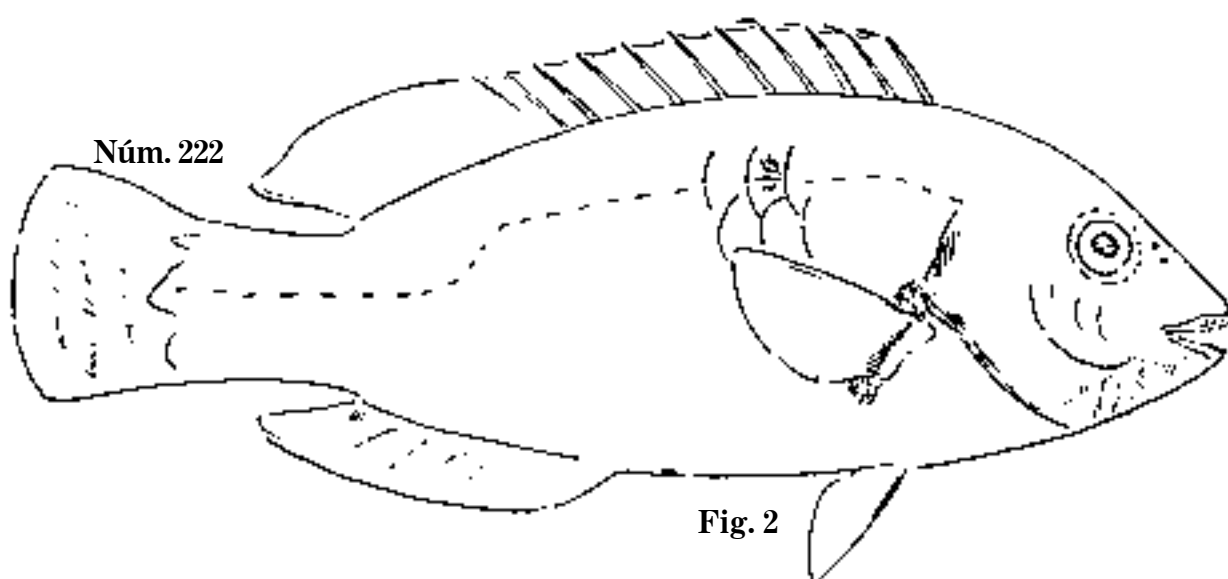
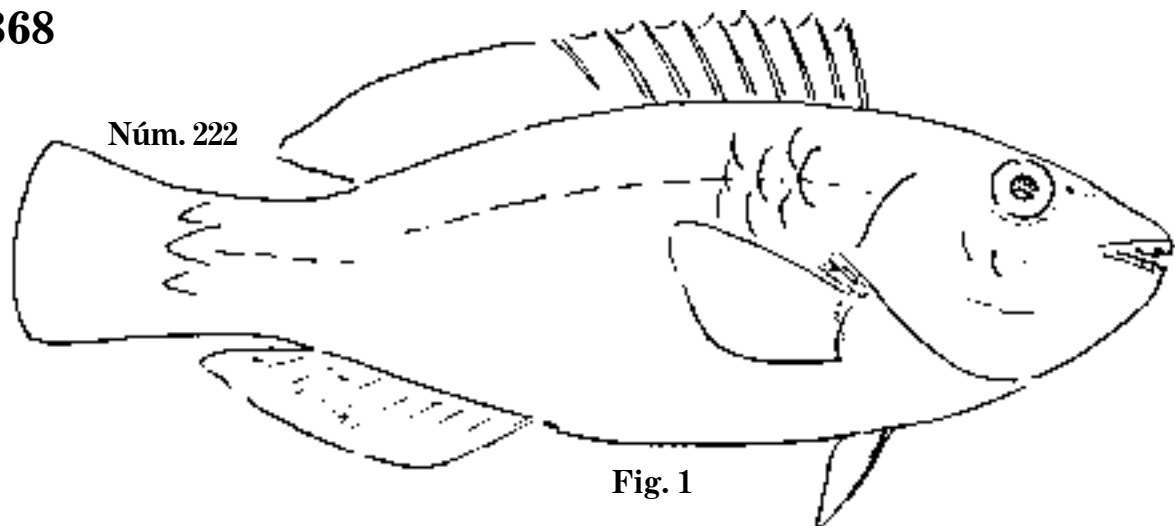


Fig. 1 *Scarus humeralis*. C. 153 mm; D.; A.

Fig. 2 *S. humeralis*, 1869. C. 161 mm; D.; A.

Fig. 3 *S. lacrimosus*, 1861. P. 175 mm; D. 9,10; A. 3,9; vieja.

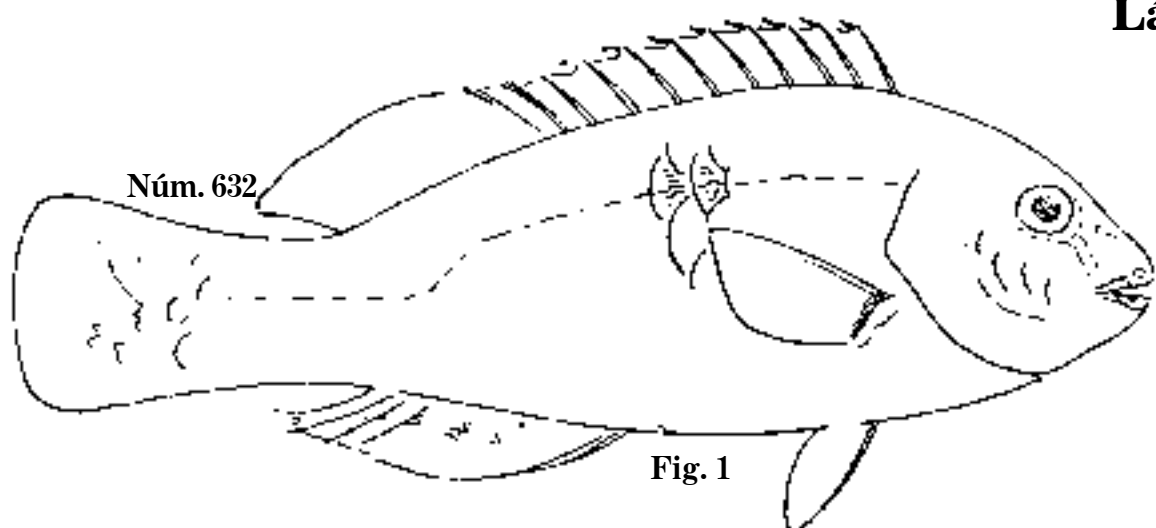


Fig. 1

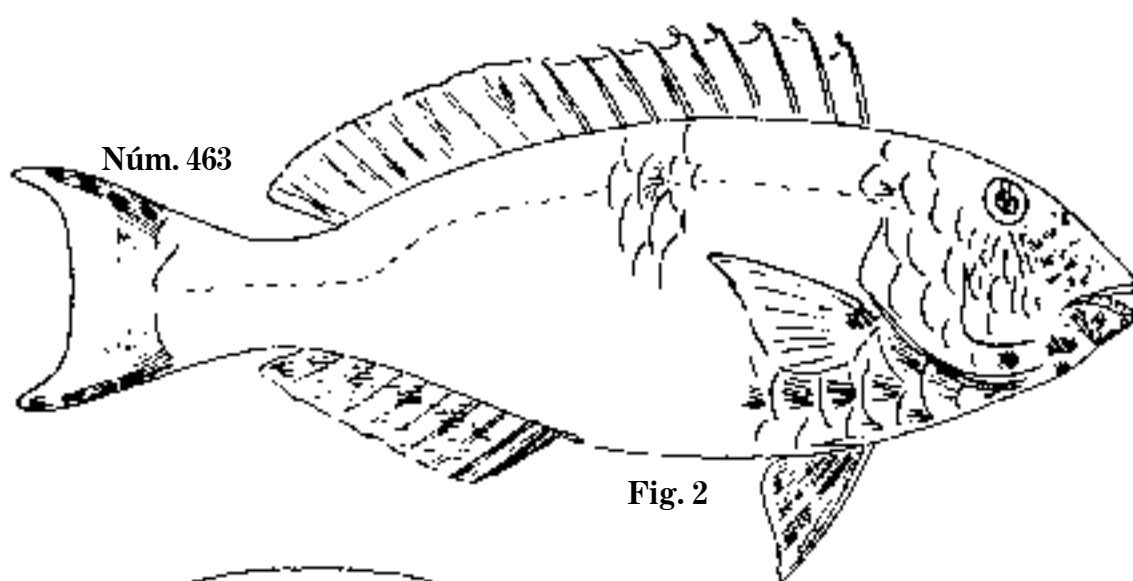


Fig. 2

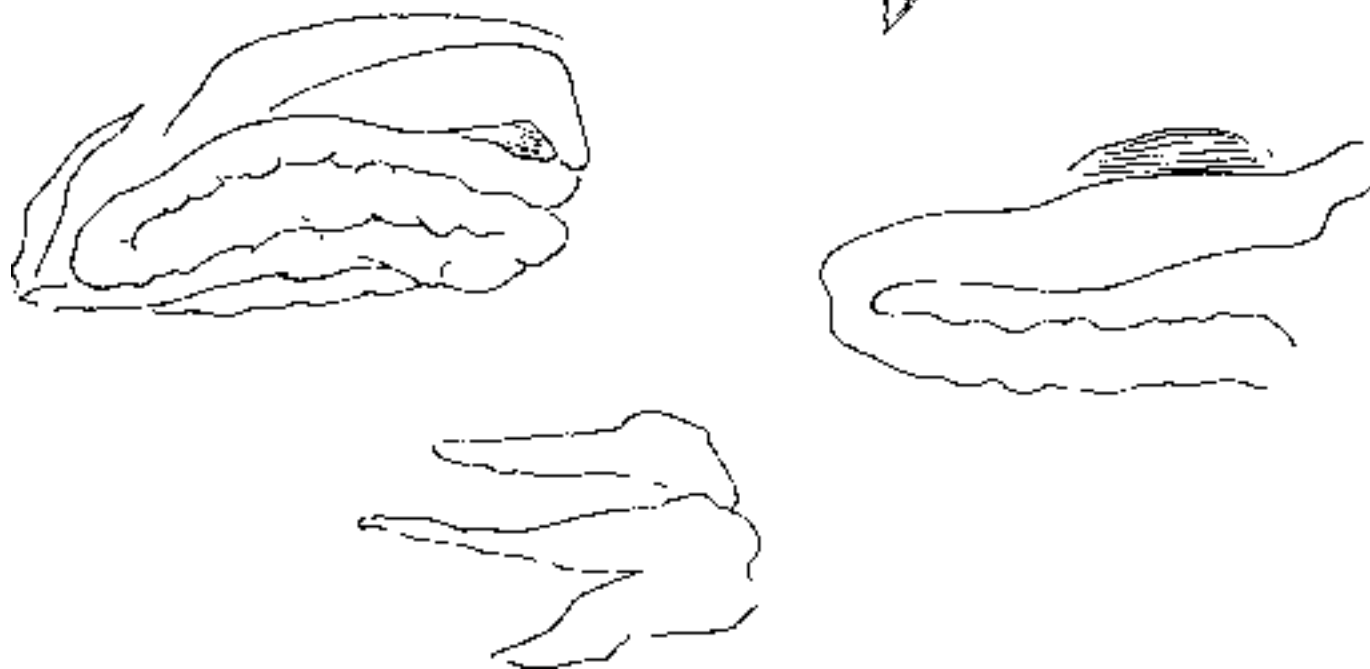


Fig. 1 *Scarus lacrimosus*, 1869. C. 163 mm; D.; A.

Fig. 2 *S. squamidus*, 1862. P. 324 mm; D. 9,10; A. 3,9; vieja mugre.

Lám. 370

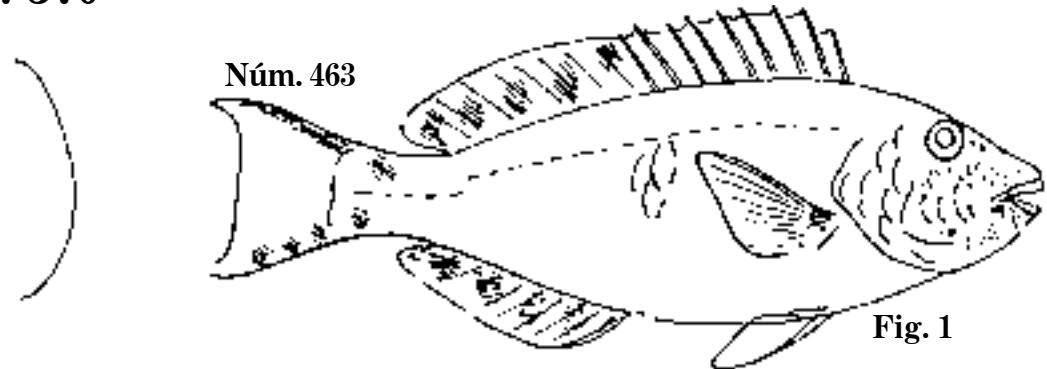


Fig. 1

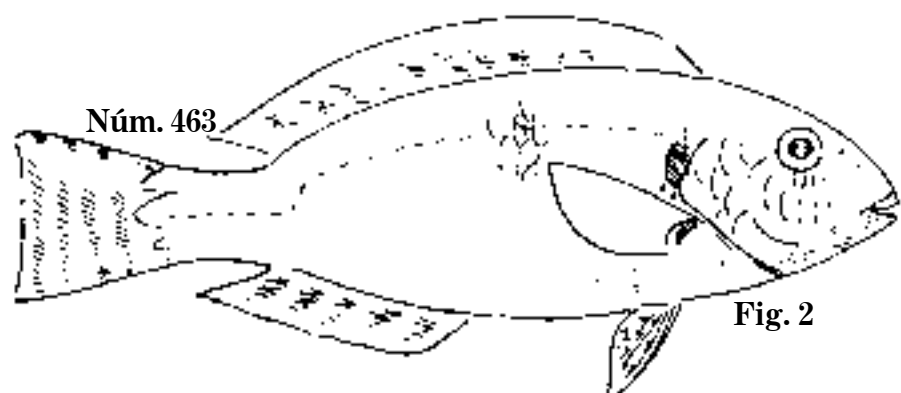


Fig. 2

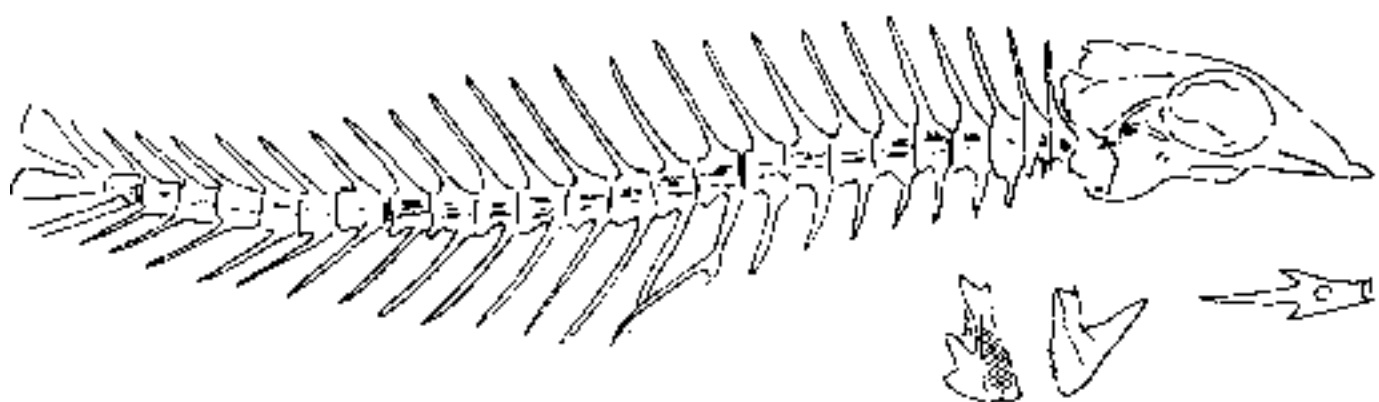


Fig. 1 *Scarus squalidus*. P. 260 mm; D. 9,10; A. 12.

Fig. 2 *S. squalidus*, 1869. C. 137 mm; D.; A.; vieja mugre.

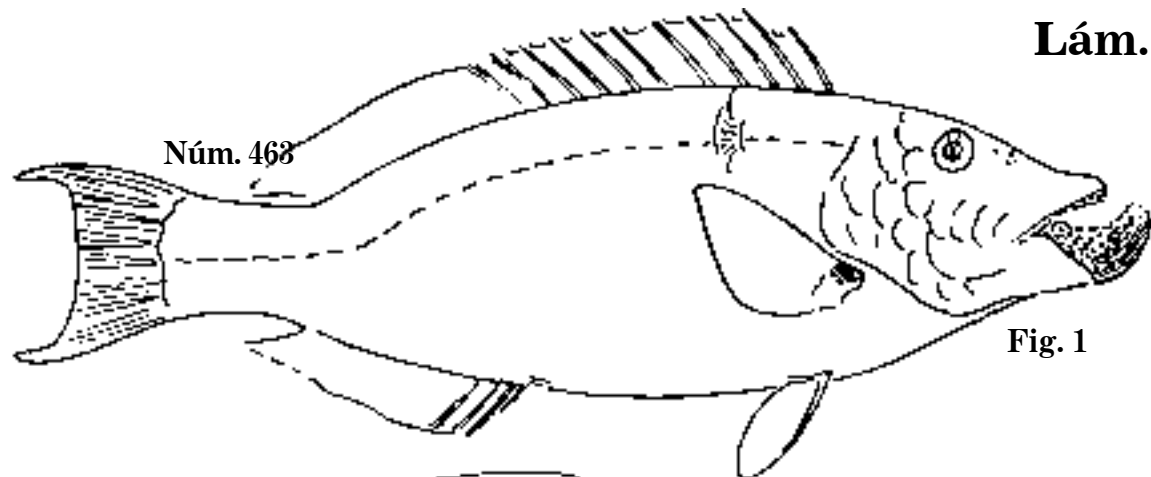


Fig. 1

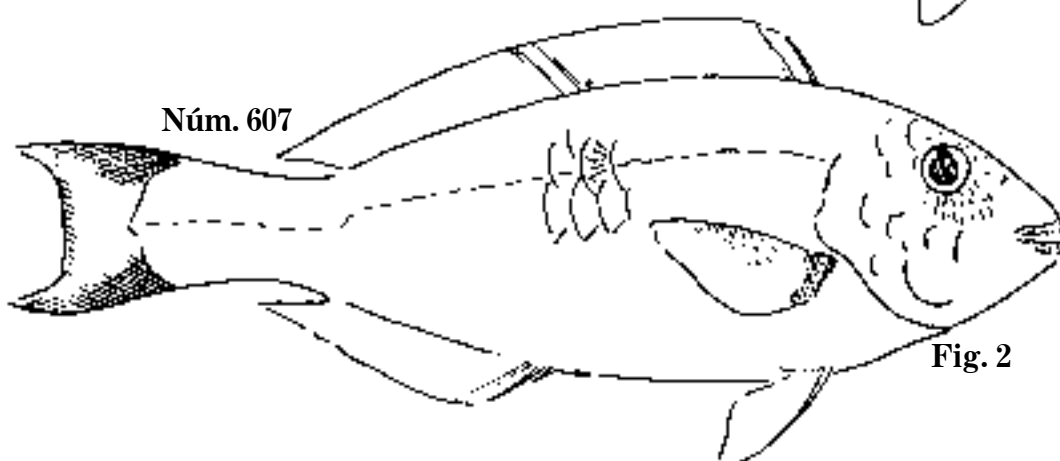


Fig. 2

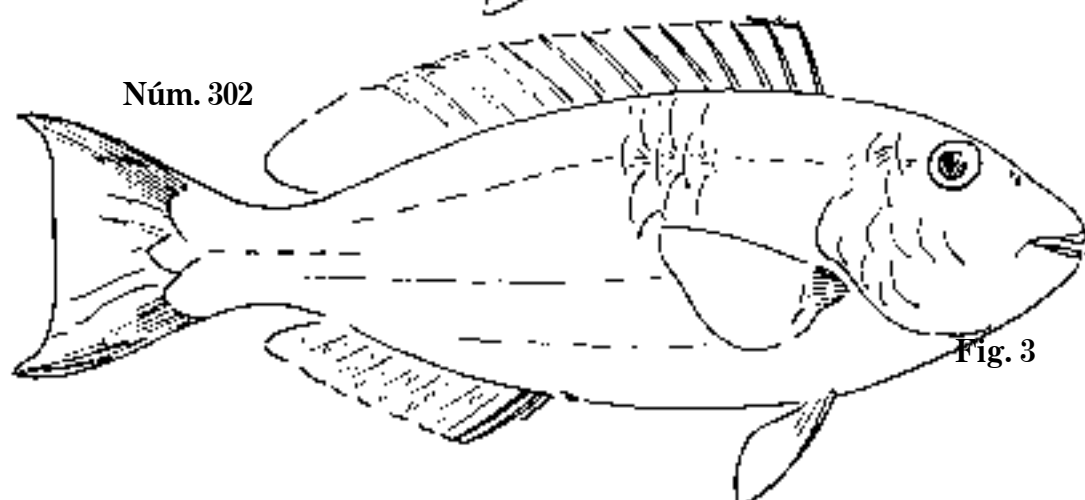


Fig. 3

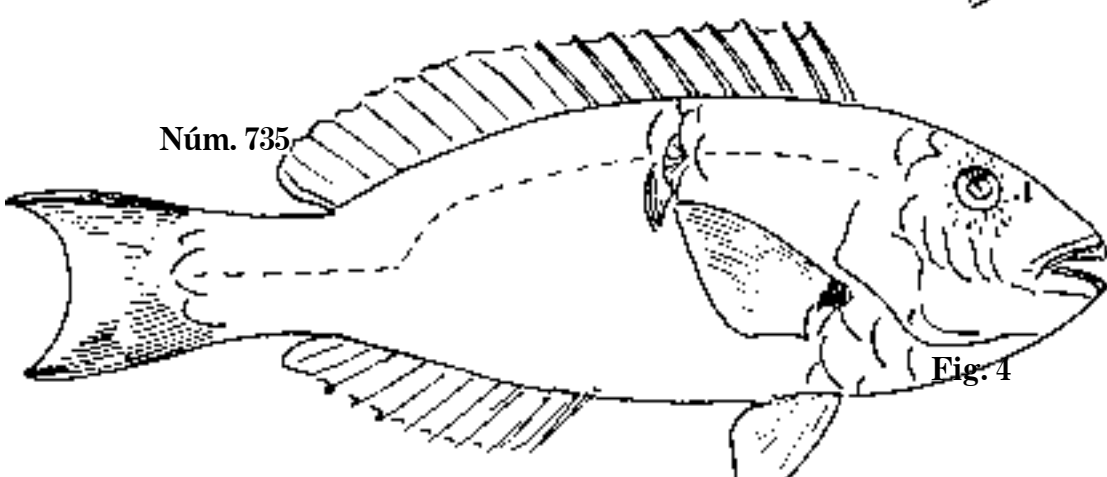


Fig. 4

Fig. 1 *Scarus squalidus*, 1865. C. 444 mm; D. 9,10; A. 12.

Fig. 2 *S. brachialis*, 1860. C. 230 mm; D. 9,10; A. 3,9.

Fig. 3 *Scarus*, 1867. C. 236 mm; D. 9,10; A. 3,9.

Fig. 4 *S. brachivarius*, 1869. C. 284 mm; D. 9,10; A. 2,9; vieja.

Lám. 372

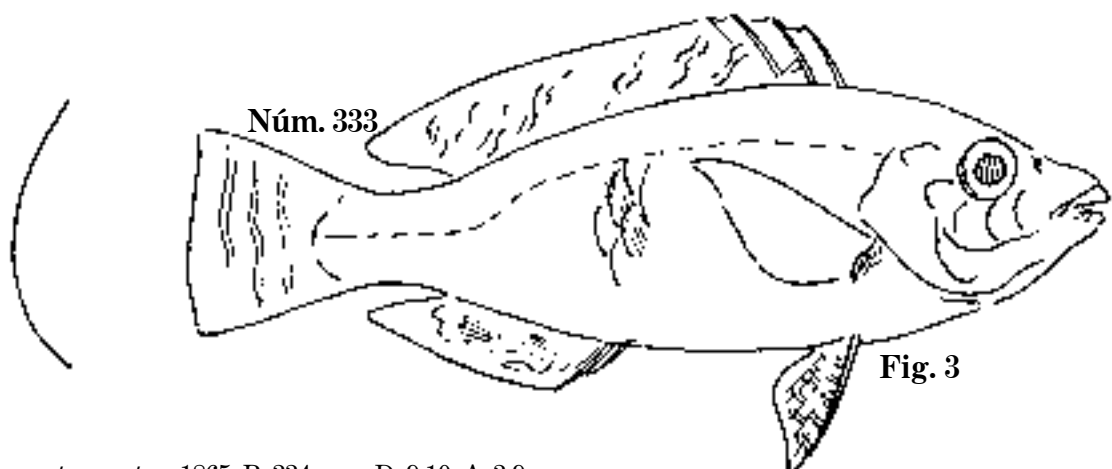
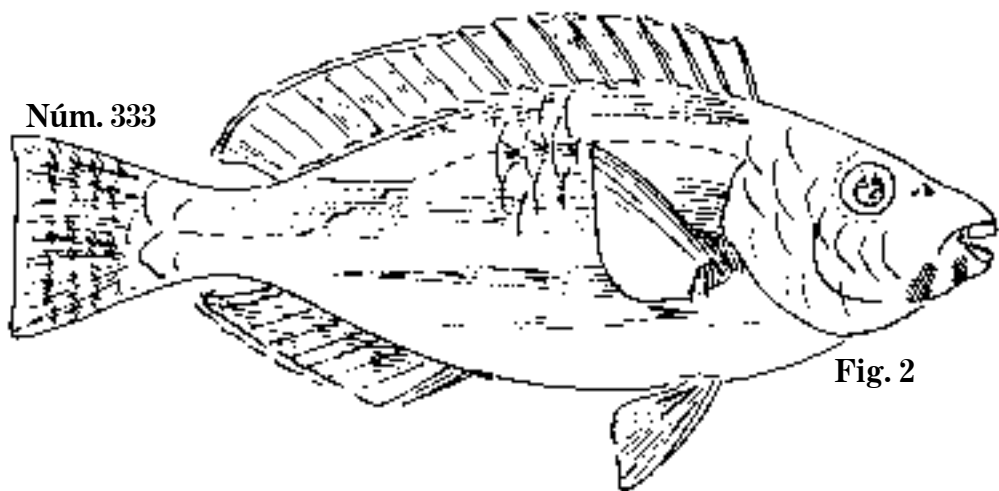
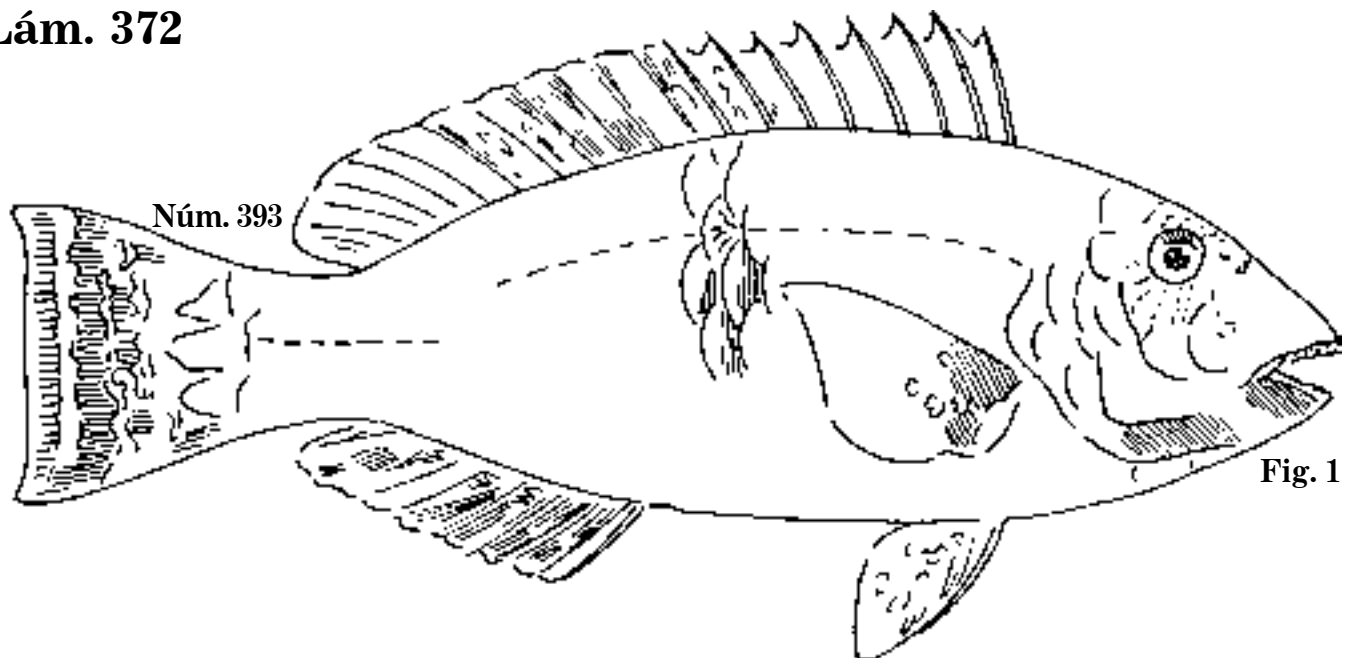


Fig. 1 *Scarus truncatus*, 1865. P. 334 mm; D. 9,10; A. 3,9.

Fig. 2 *S. distinctus*, 1864. P. 205 mm; D. 9,10; A. 12.

Fig. 3 *S. distinctus*. C. 189 mm; D. 9,10; A. 3,9; vieja.

Núm. 283

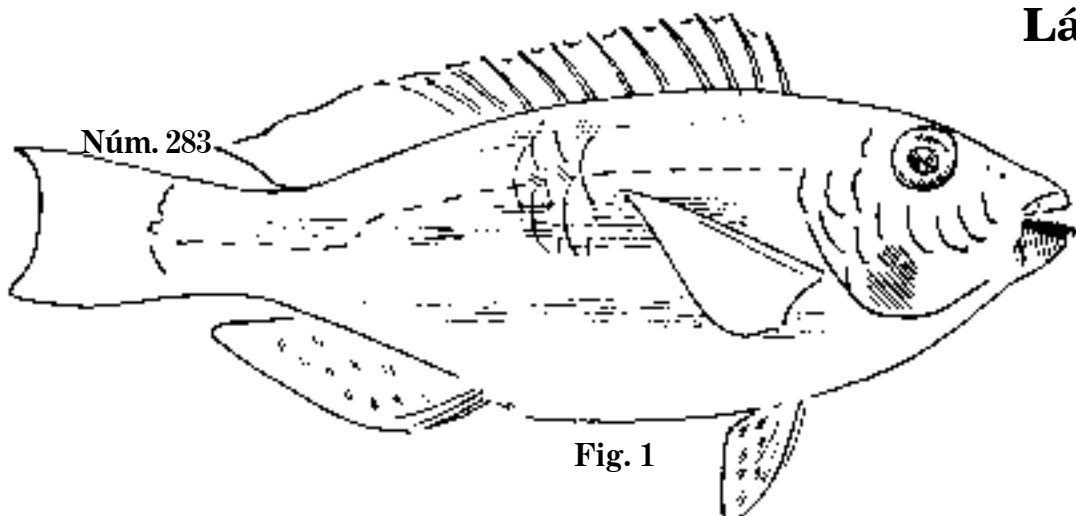


Fig. 1

Núm. 670

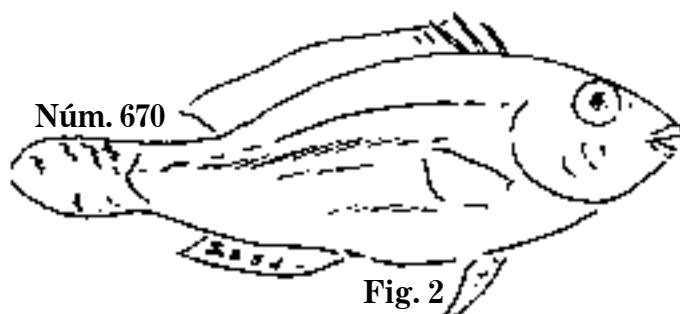


Fig. 2

Núm. 279

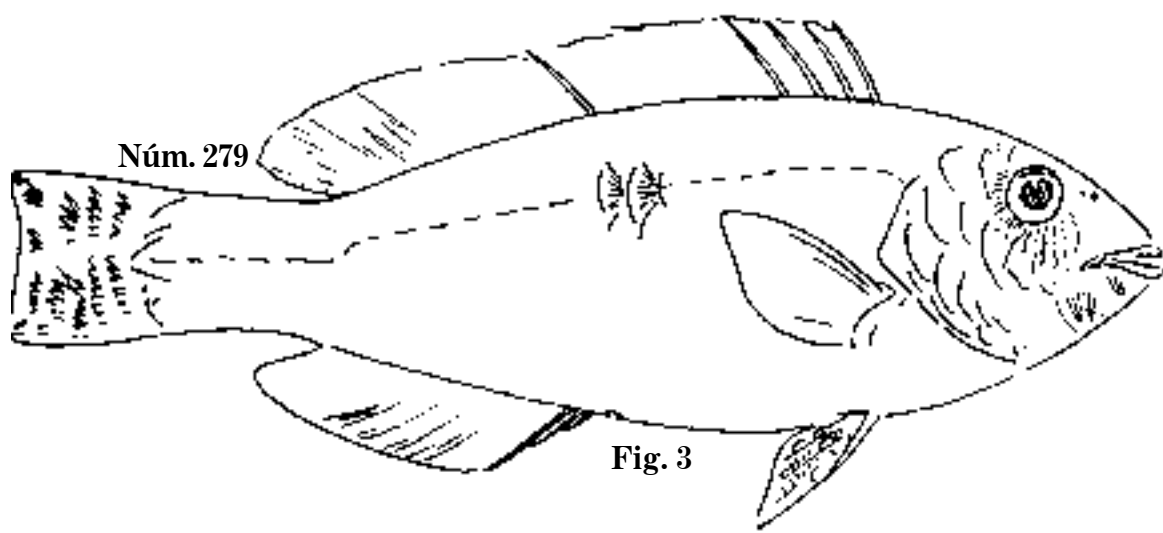


Fig. 3

Núm. 657

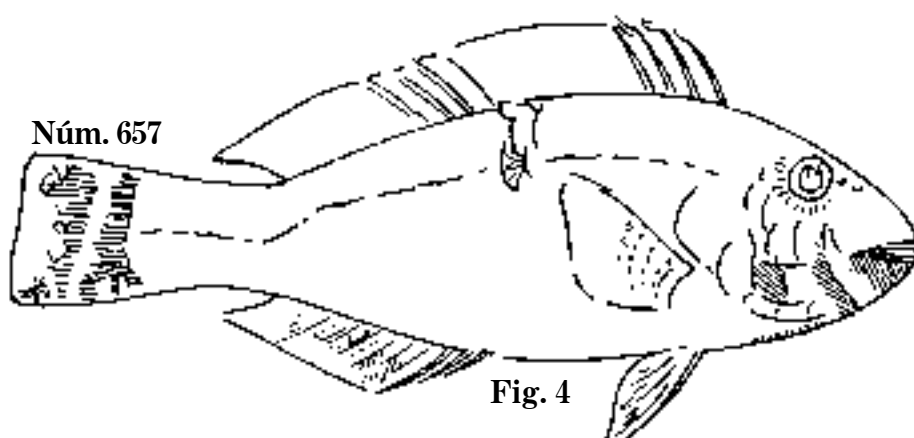


Fig. 4

- Fig. 1 *Scarus Santae-Crucis*, 1880. C. 219 mm; D. 9,10; A. 2,10.
Fig. 2 *Scarus*. C. 83 mm; D.; A.
Fig. 3 *S. circumnotatus*. P. 238 mm; D. 9,10; A. 3,9.
Fig. 4 *S. emarginatus*, 1862. P. 185 mm; D. 9,10; A. 3,9; vieja.

Lám. 374

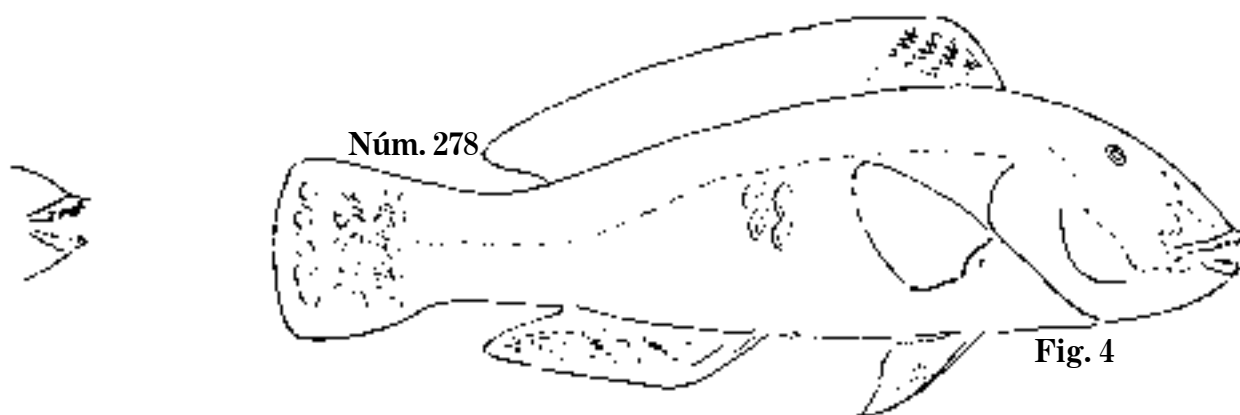
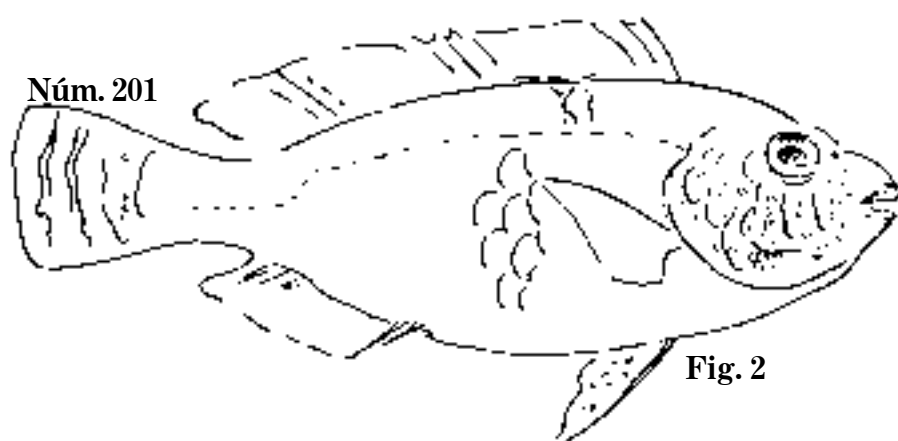
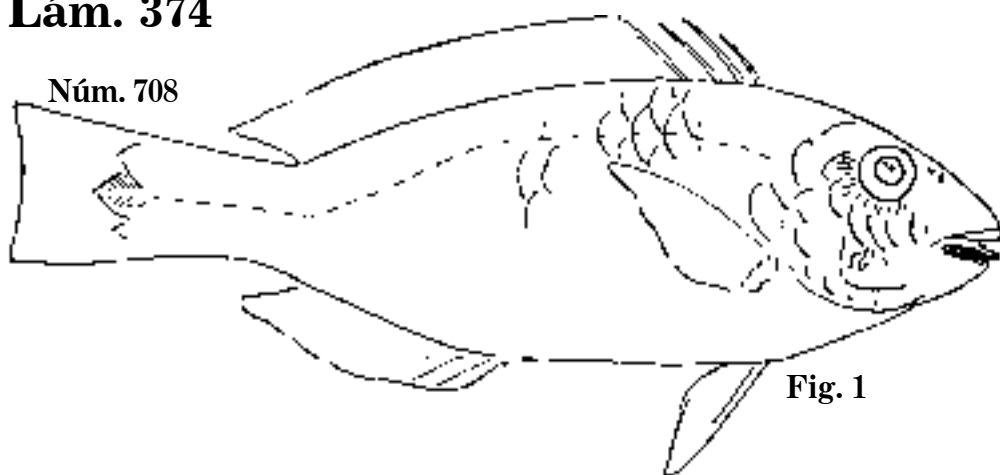


Fig. 1 *Scarus oxybrachius*, 1868. C. 218 mm; D. 9,10; A. 3,9.

Fig. 2 *S. atomarius*. C. 117 mm; D. 9,10; A. 2,9.

Fig. 3 *Scarus*, 1862. P. 90 mm; D. 9,10; A. 3,10.

Fig. 4 *Callionodon dentiens*. C. 214 mm; D. 9,10; A. 3,9; vieja.

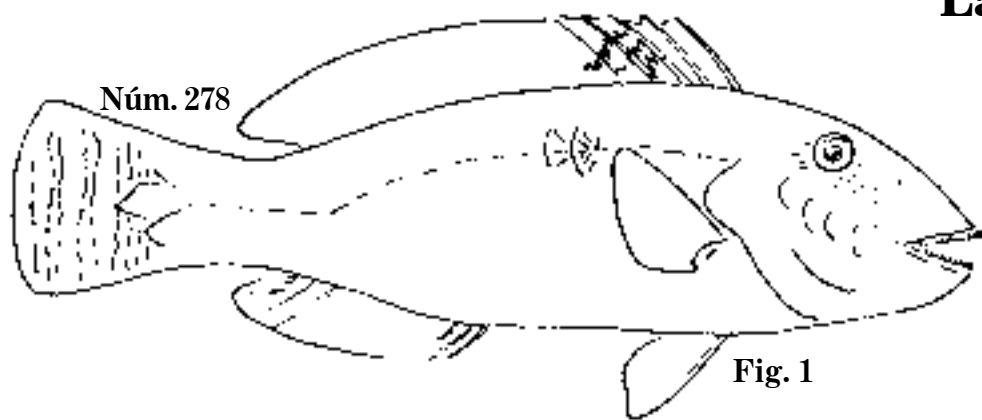


Fig. 1

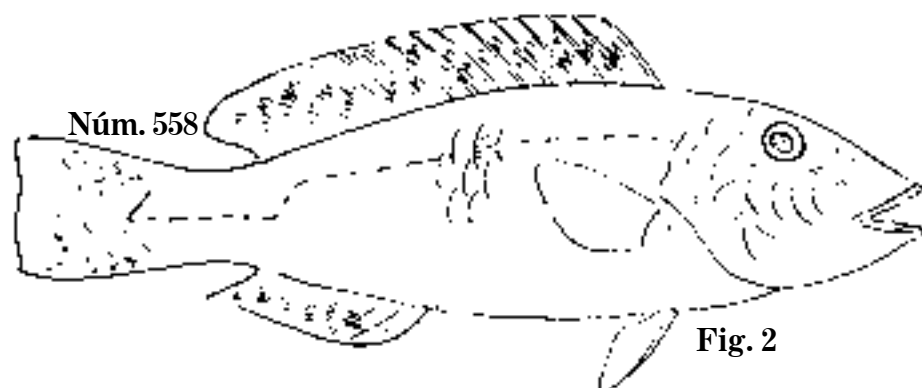


Fig. 2



Fig. 3

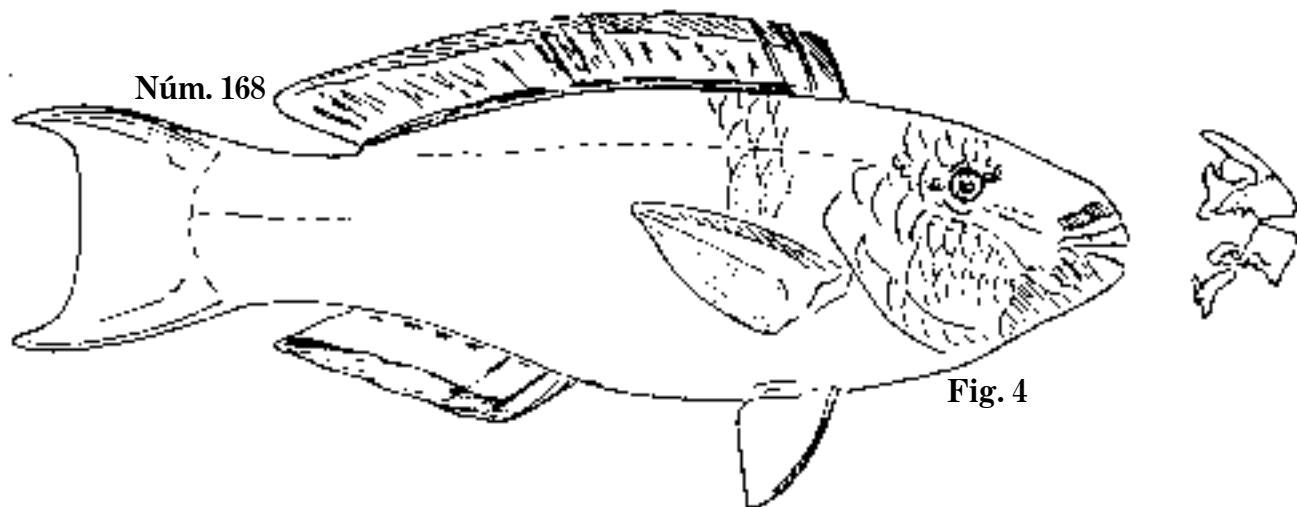


Fig. 4

Fig. 1 *Calliodon dentiens*, 1866. P. 215 mm; D.; A.

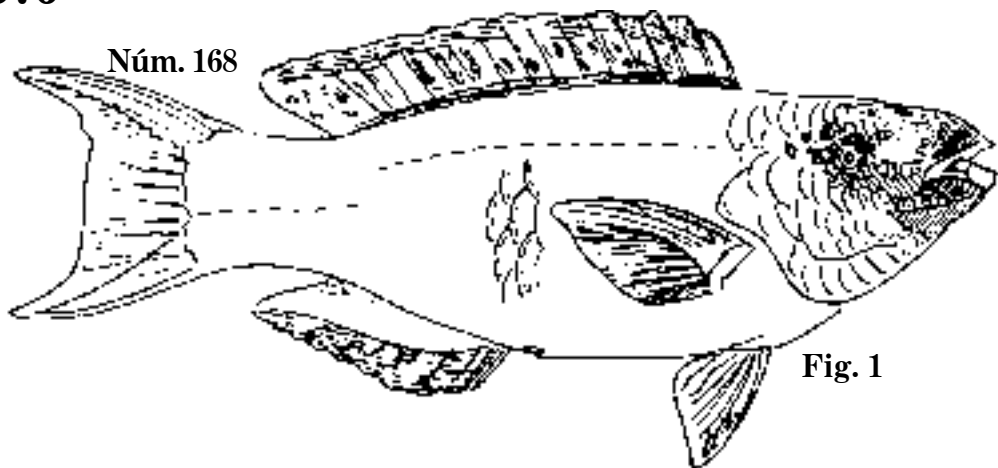
Fig. 2 *C. retractus*, 1867. C. 200 mm; D. 9,10; A.?

Fig. 3 *Calliodon*, 1868. P. 93 mm; D.; A.; vieja.

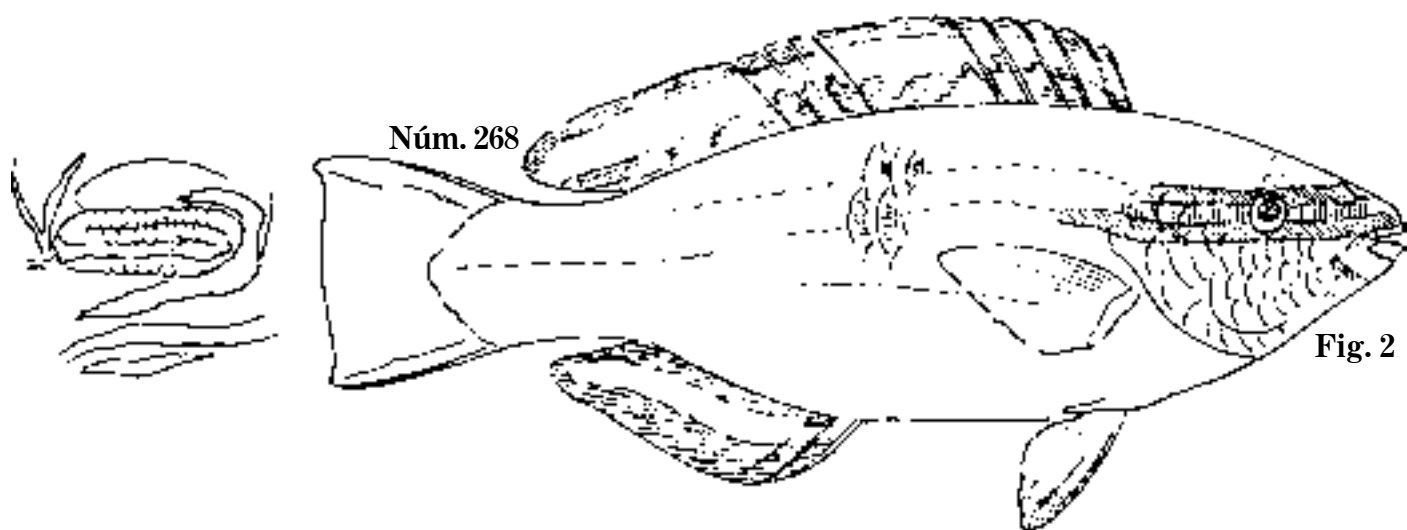
Fig. 4 *Pseudoscarus vetula*, 1870. C. 449 mm; D. 9,10; A.; loro.

Lám. 376

Núm. 168



Núm. 268



Núm. 58

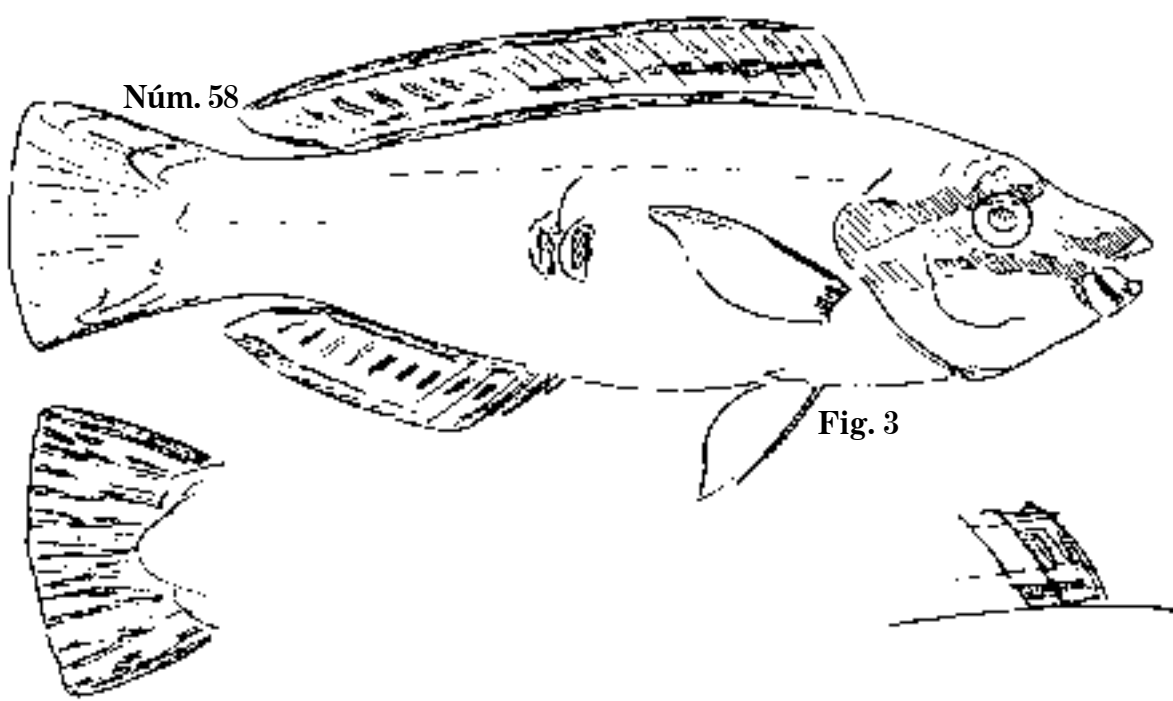


Fig. 1 *Pseudoscarus vetula*. C. 450 mm; D.; A.; loro.

Fig. 2 *P. Psittacus*, 1860. C. 326 mm; D. 9,10; A. 3,9.

Fig. 3 *P. diadema*. C. 172 mm; D. 9,10; A. 3,9; vieja.

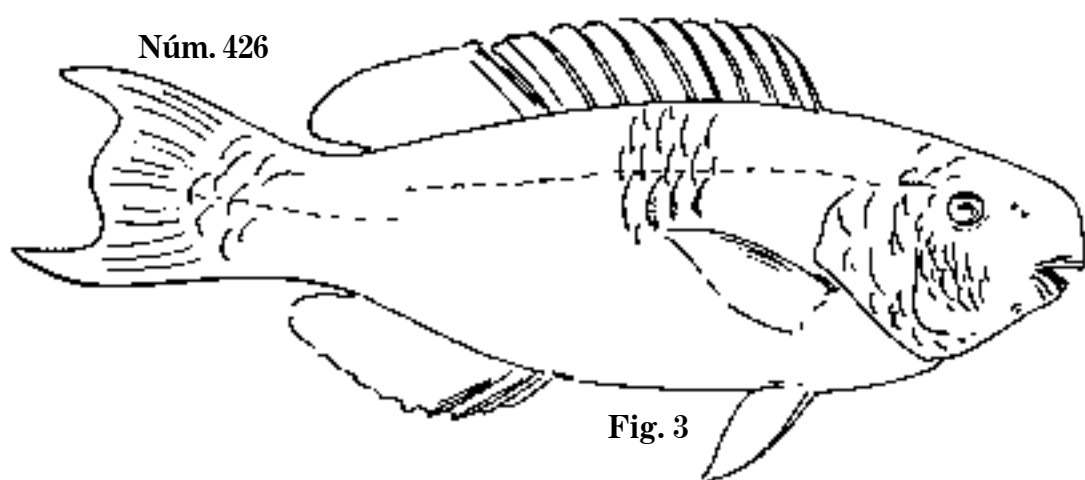
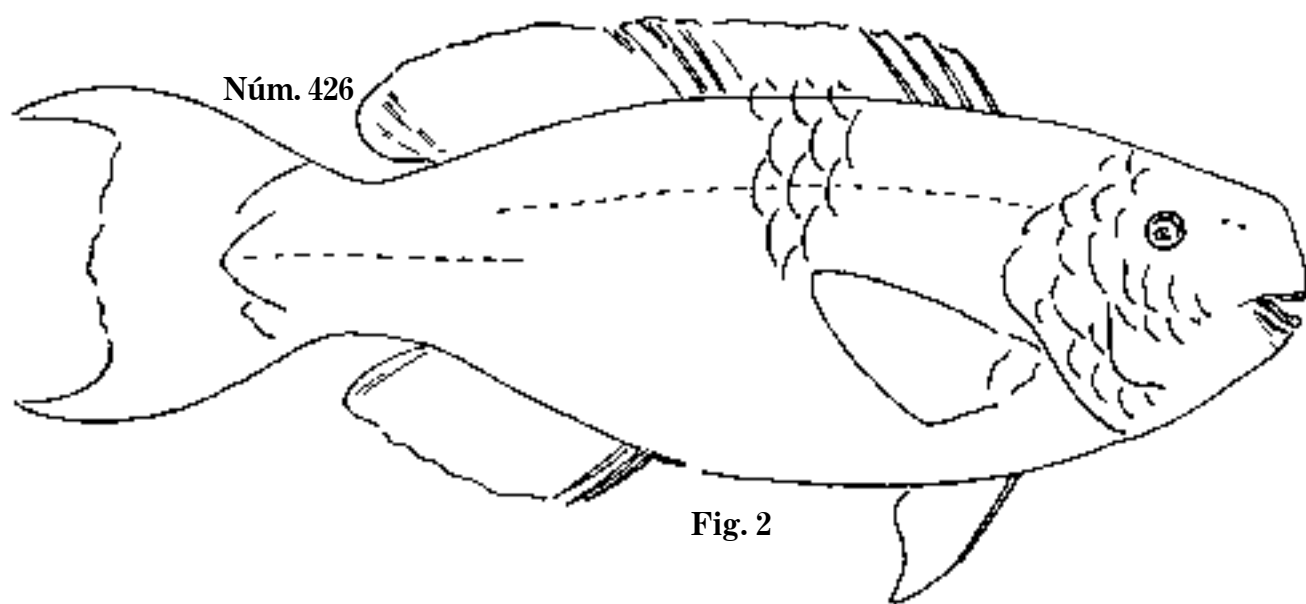
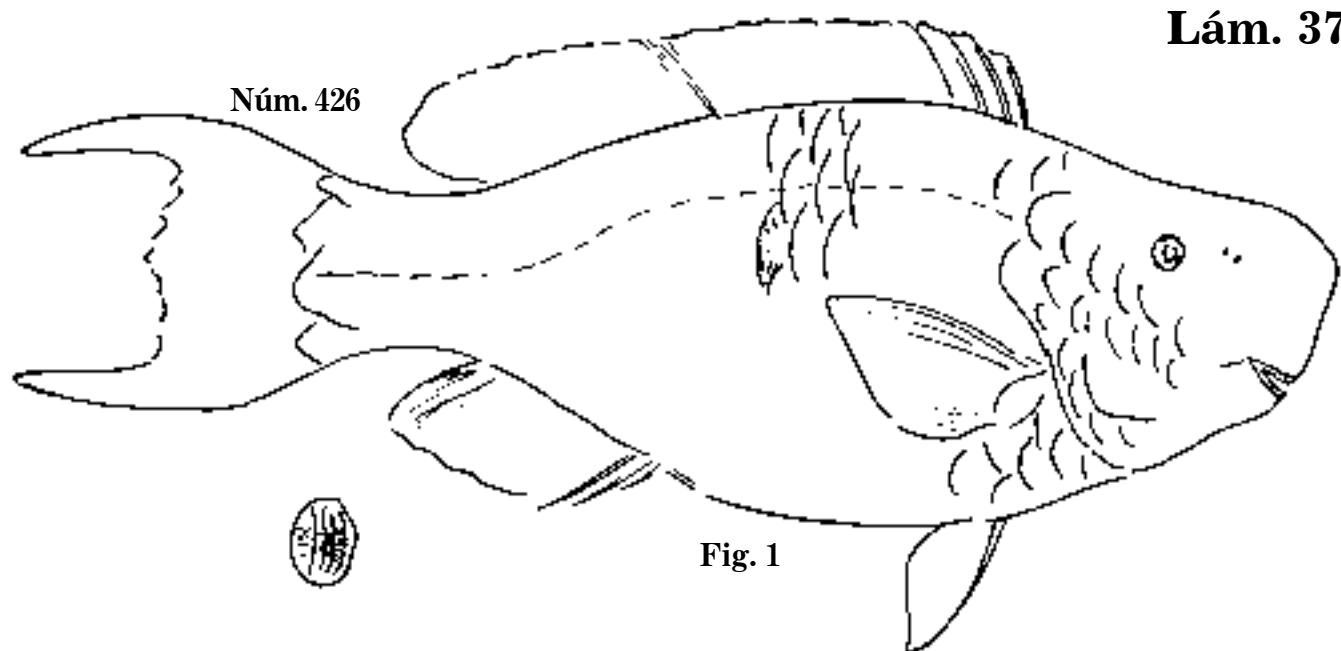


Fig. 1 *Pseudoscarus caeruleus*, 1867. P. 700 mm; D. 10,9; A. 3,9.
Fig. 2 *P. caeruleus*, 1867. C. 513 mm; D.; A.
Fig. 3 *P. caeruleus*, 1860. C. 425 mm; D. 10,9; A. 3,9; loro.

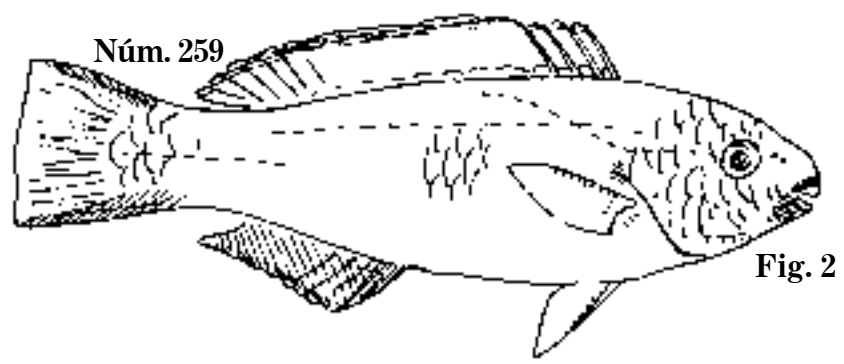
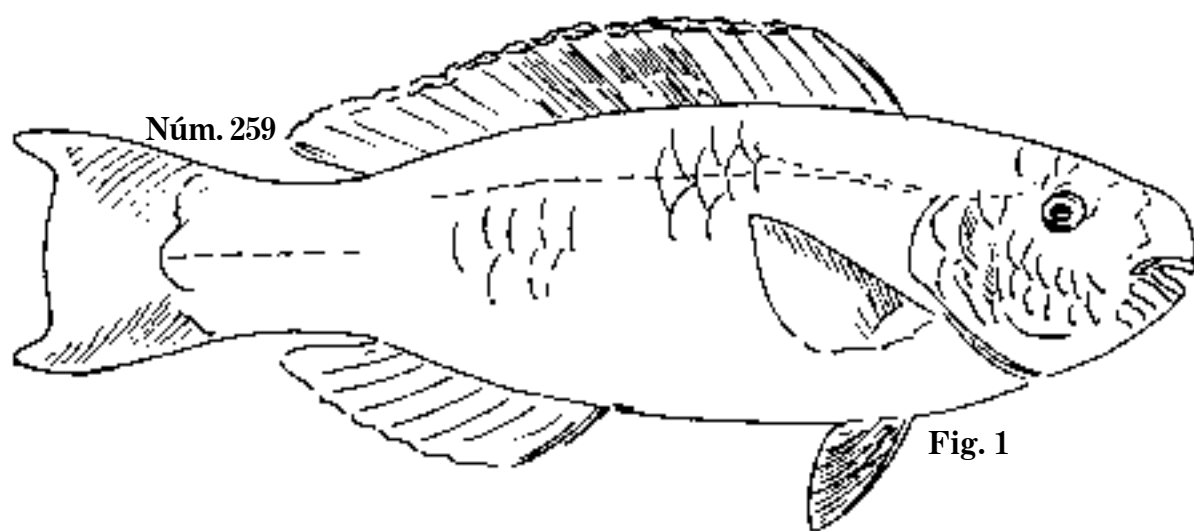
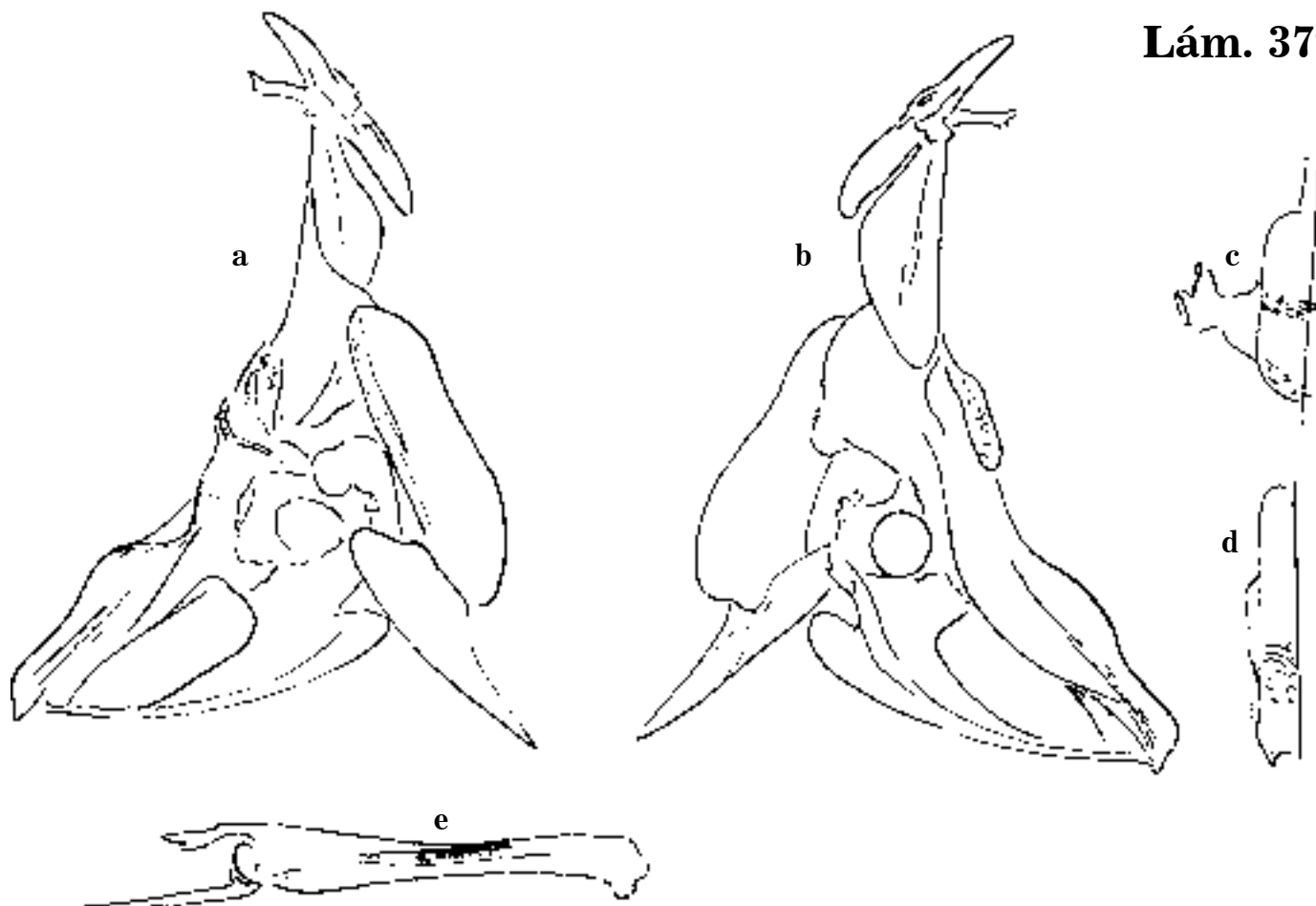
Lám. 378



Núm. 426



Pseudoscarus caeruleus. Osteología; loro.



*a-e. Pseudoscarus caeruleus. Osteología.
Fig. 1 *P. nuchalis*, 1868. P. 315 mm; D.; A.
Fig. 2 *P. nuchalis*, 1860. P. 175 mm; D. 9,10; A. 3,9; loro.*

Lám. 380

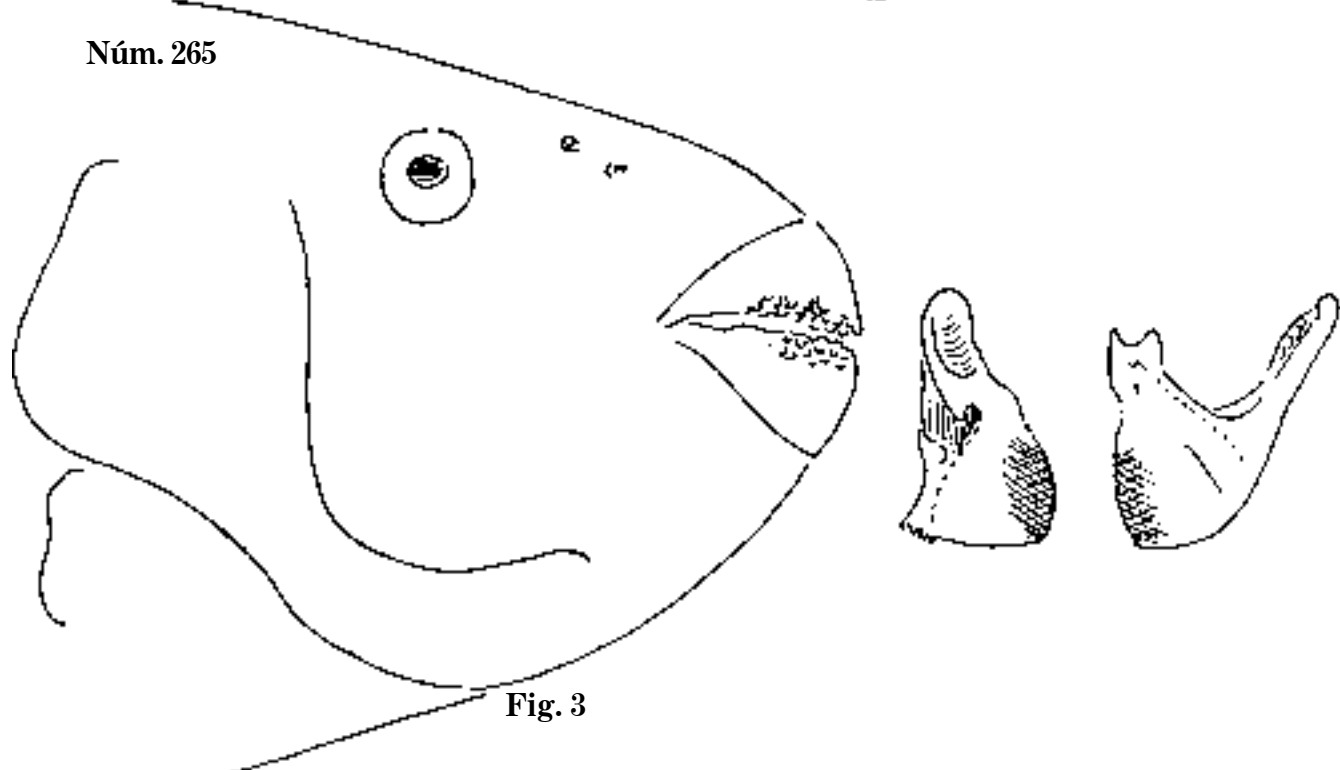
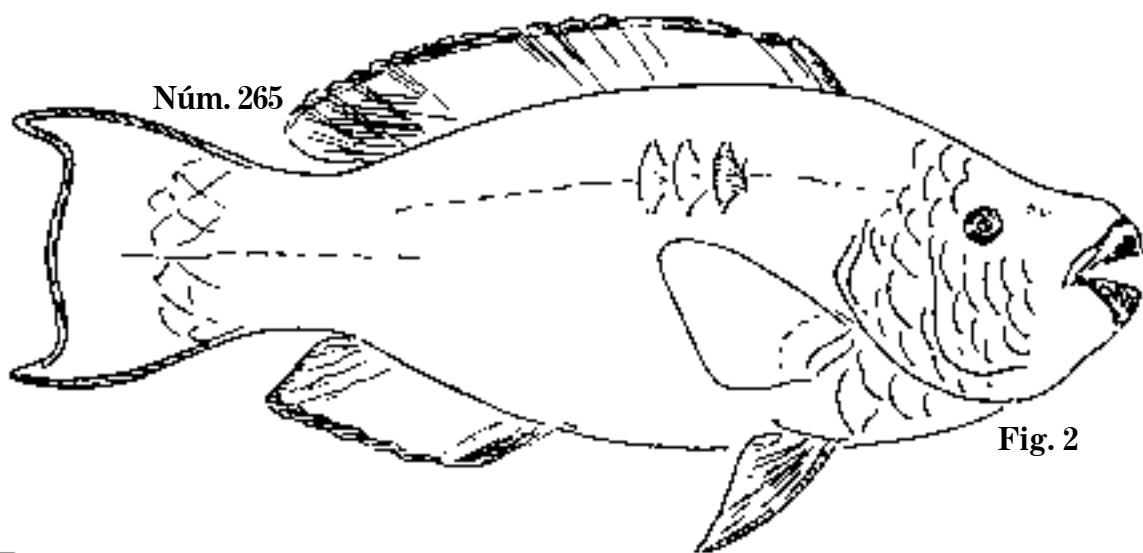
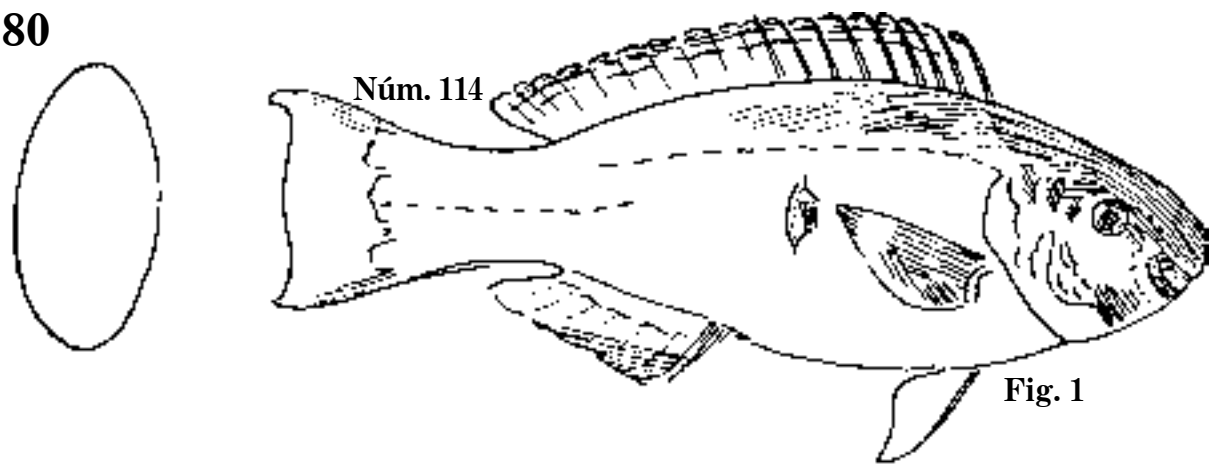


Fig. 1 *Pseudoscarus obtusus*. C. 249 mm; D. 9,10; A. 3,9; loro.

Fig. 2 *P. guacamaya*, 1861. C. 602 mm; D.; A.

Fig. 3 *P. guacamaya*. Cabeza; guacamaya.

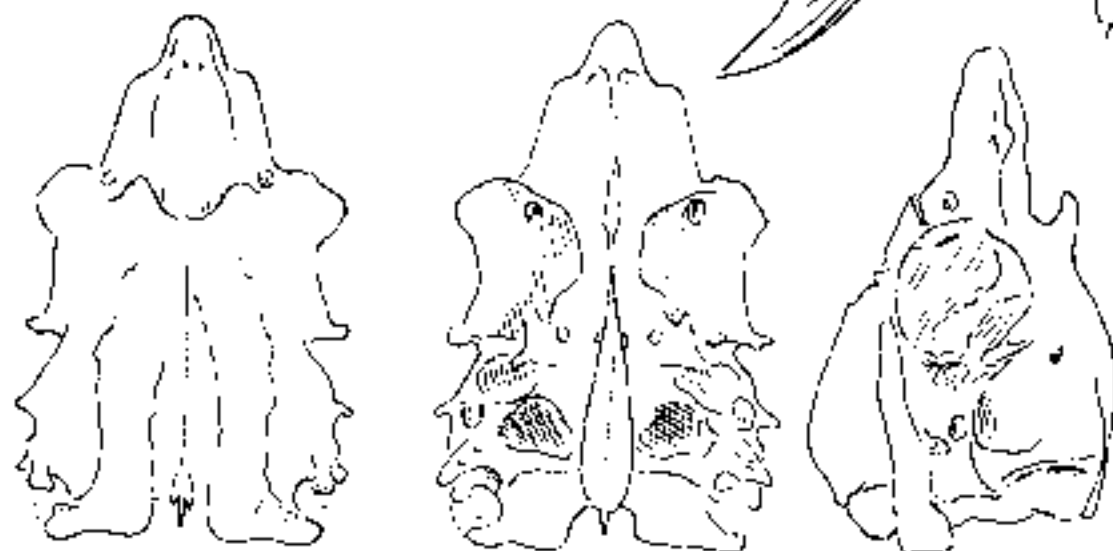
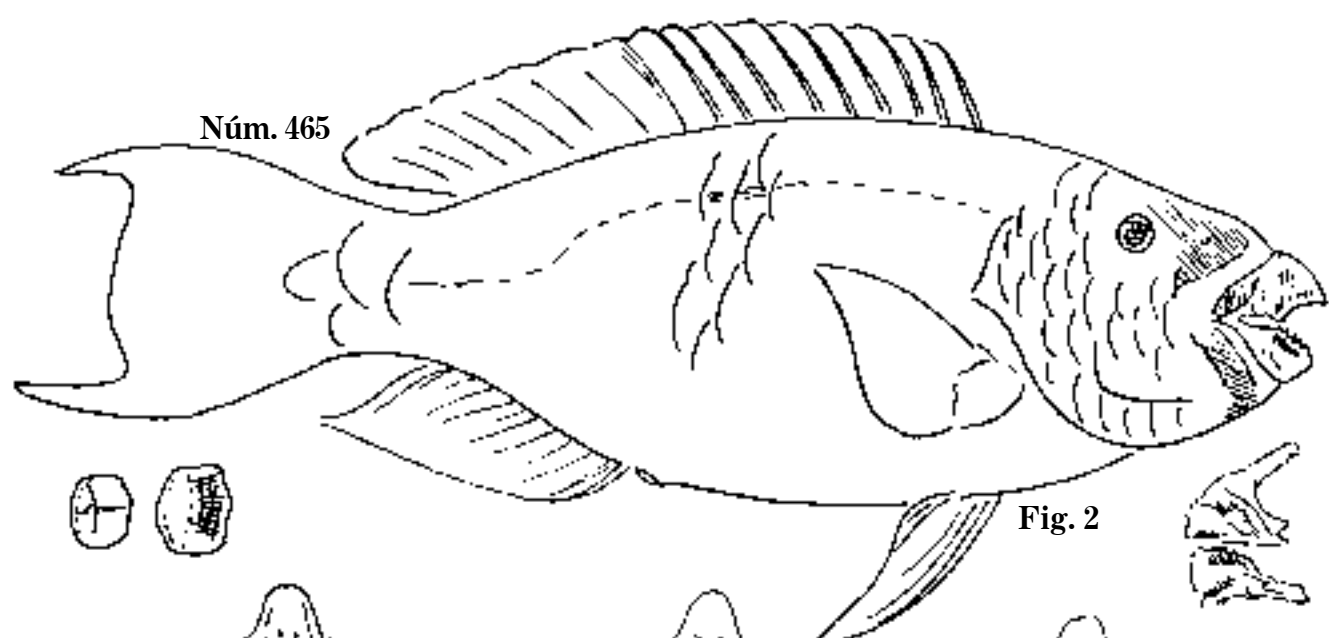
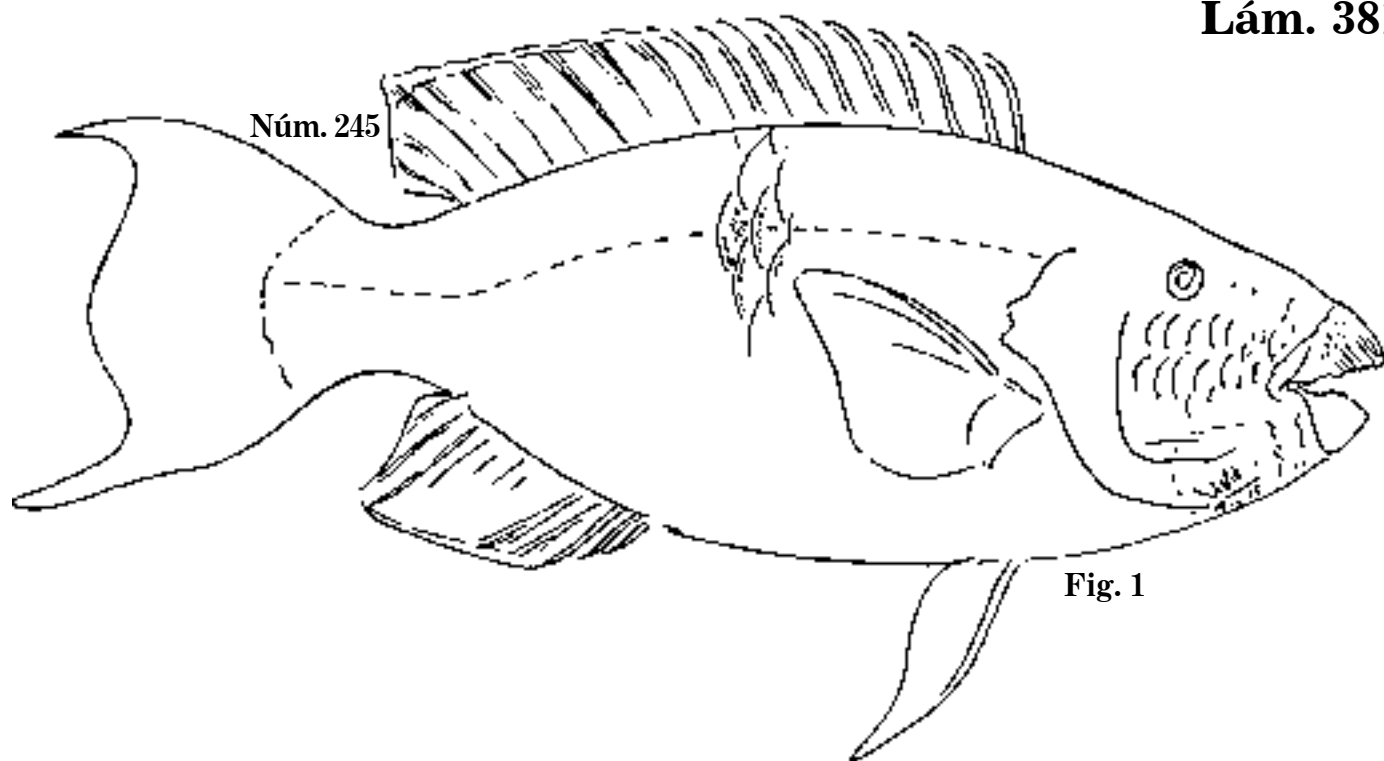


Fig. 1 *Pseudoscarus coelestinus*, 1866. P. 770 mm; D. 9,10; A. 3,9.
Fig. 2 *P. simplex*, 1865. C. 734 mm; D.; A.; loro.

Lám. 382

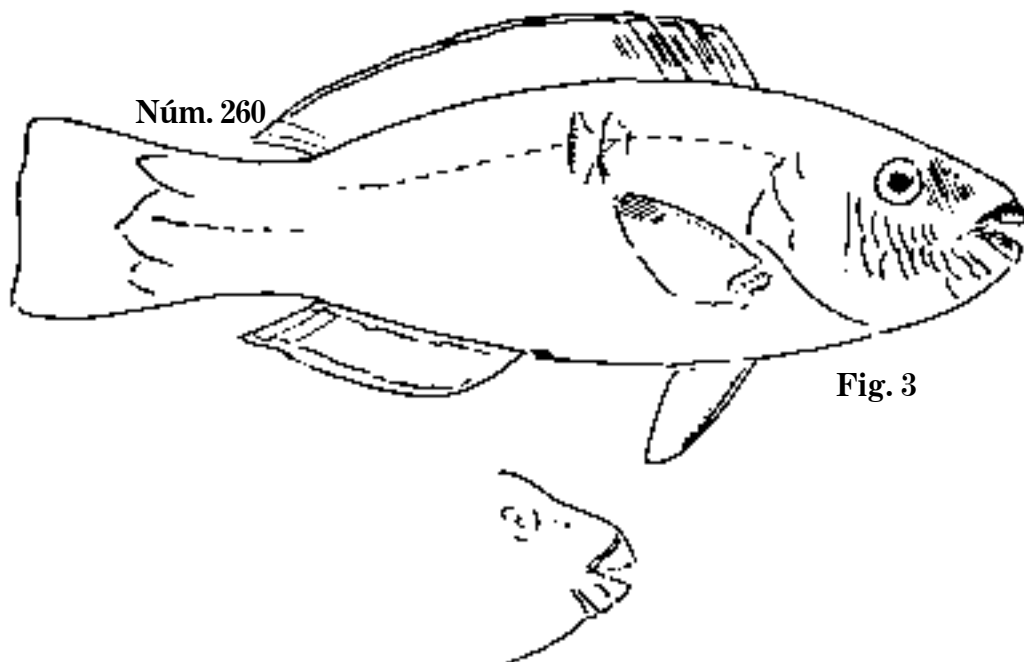
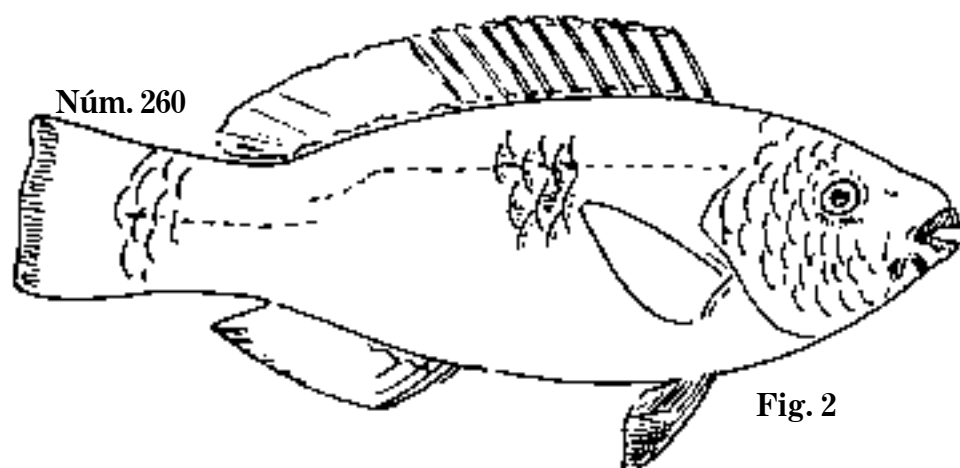
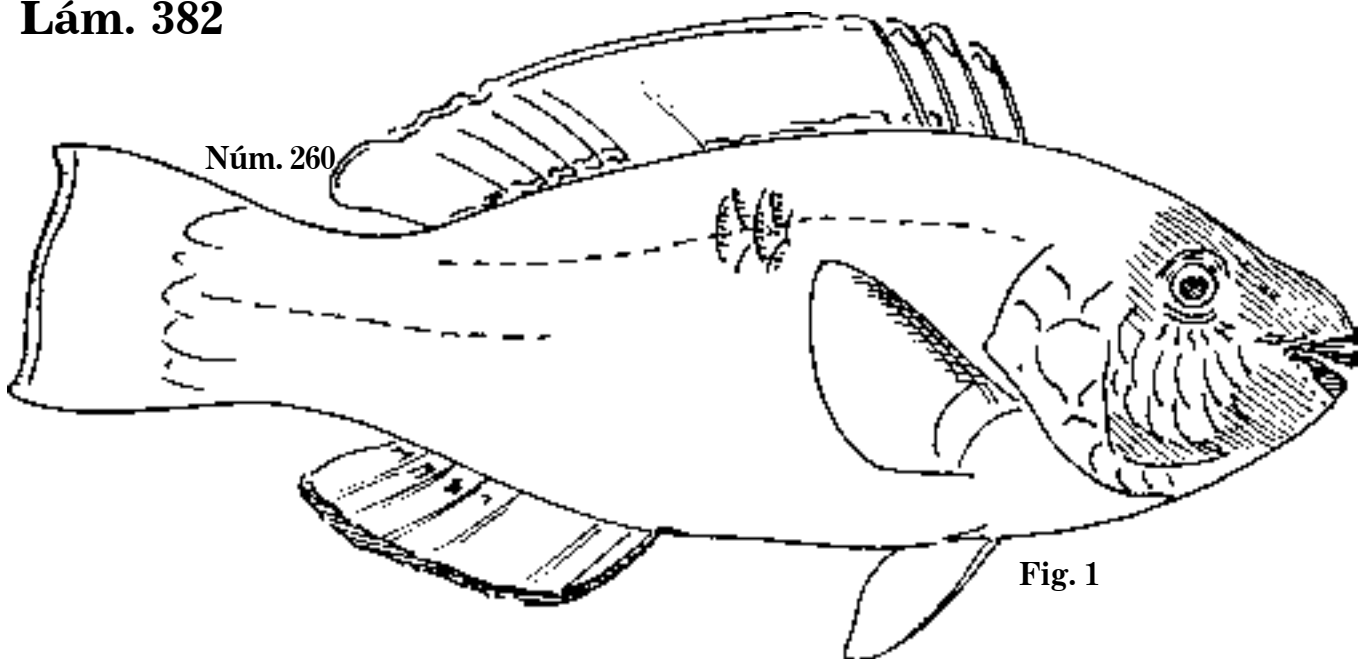


Fig. 1 *Pseudoscarus turchesius*, 1860. C. 301 mm; D. 9,10; A. 3,9.

Fig. 2 *P. turchesius*, 1862. P. 220 mm; C. 230 mm; D. 9,10; A. 3,9.

Fig. 3 *P. turchesius*, 1868. D.; A.; loro.

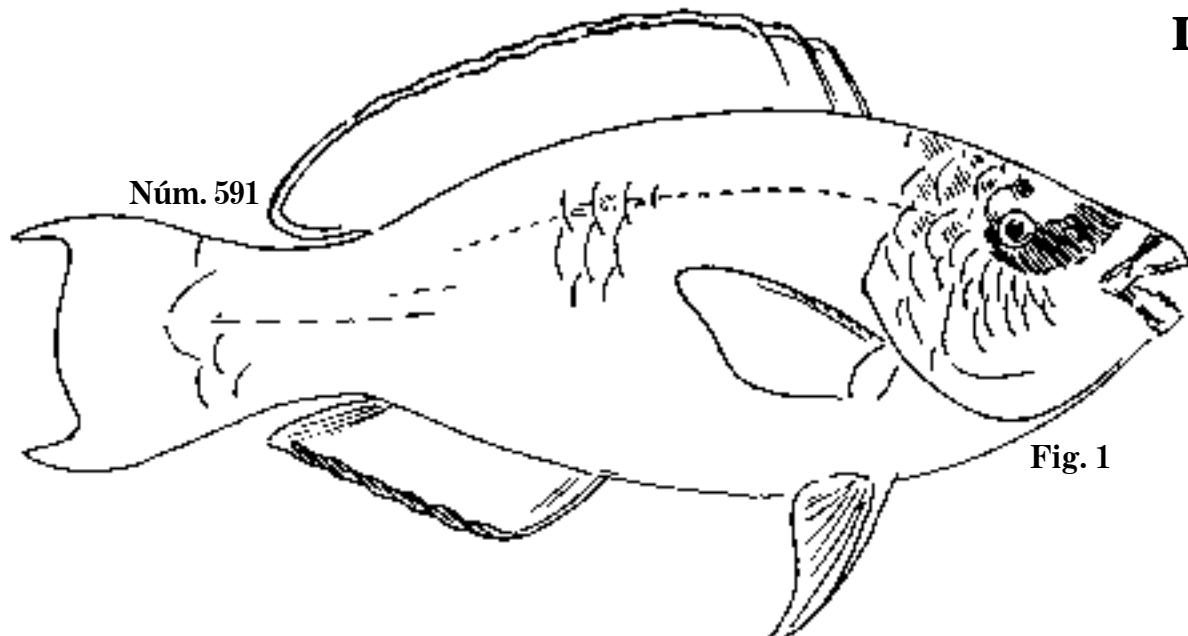


Fig. 1

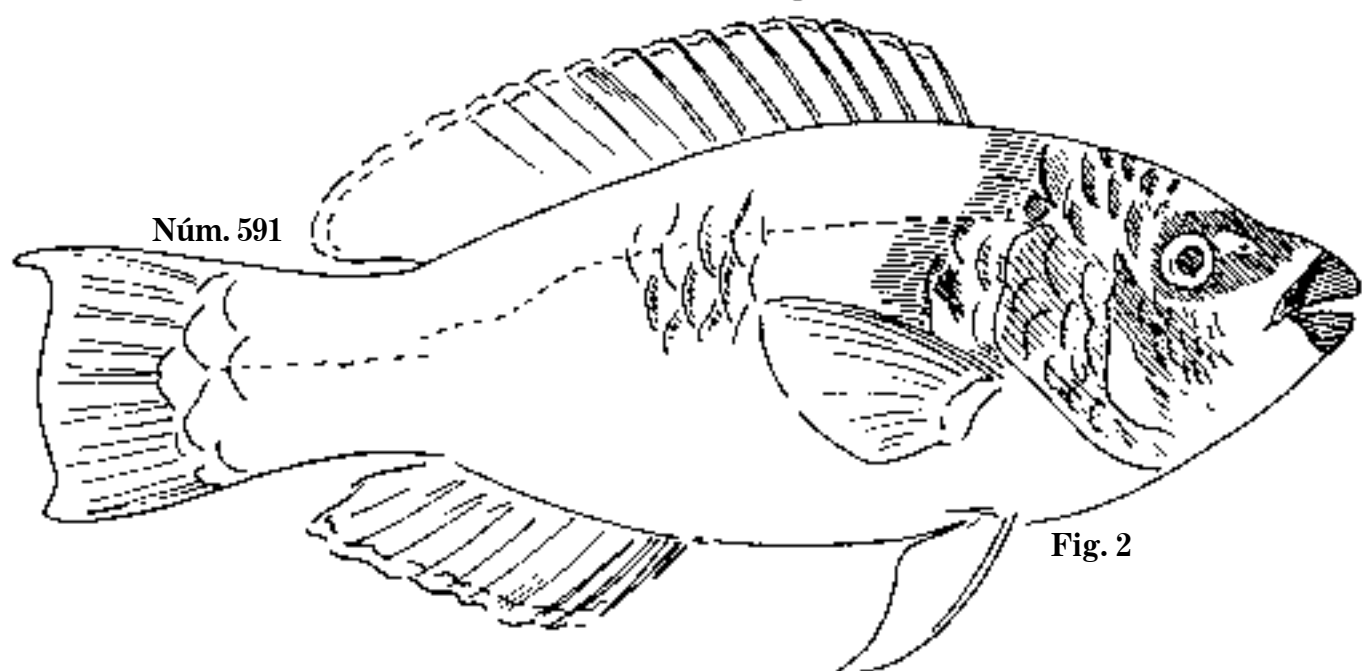


Fig. 2

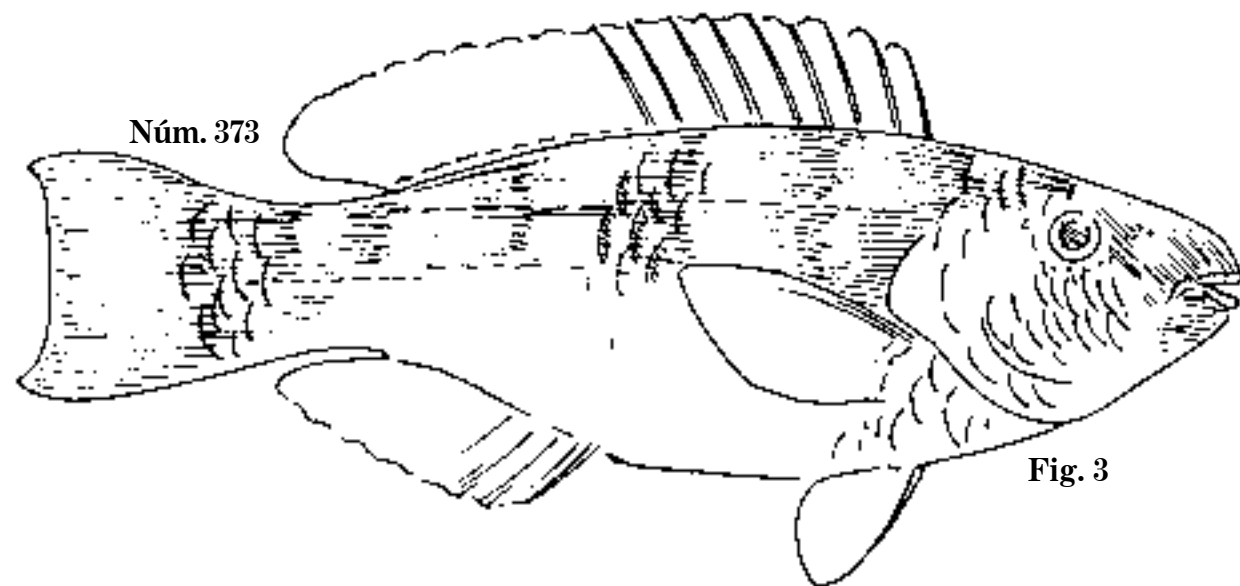


Fig. 3

Fig. 1 *Pseudoscarus rostratus*, 1870. C. 457 mm; D.; A.
Fig. 2 *P. rostratus*, 1860. C. 348 mm; D. 9,10; A. 3,9; loro.
Fig. 3 *P. acutus*. C. 318 mm; D. 9,10; A. 2,9; bullón.

Lám. 384

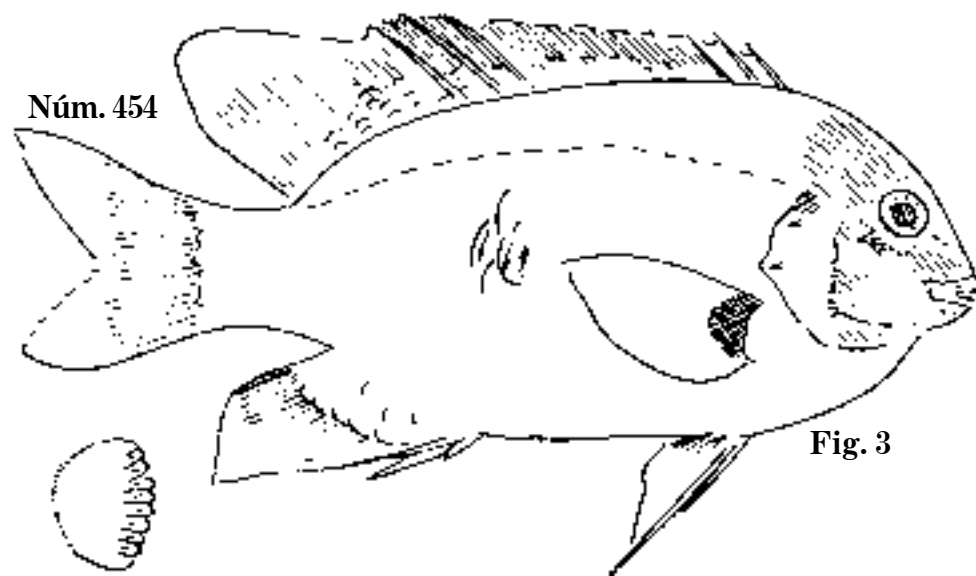
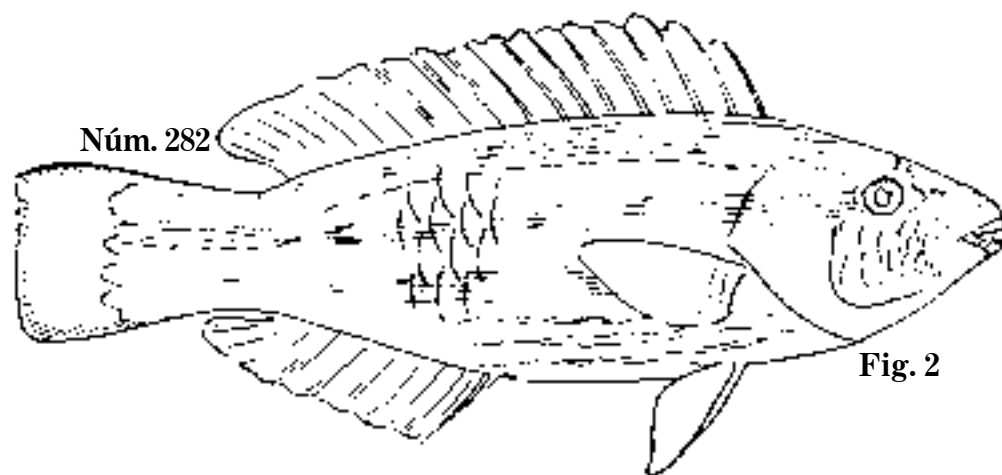
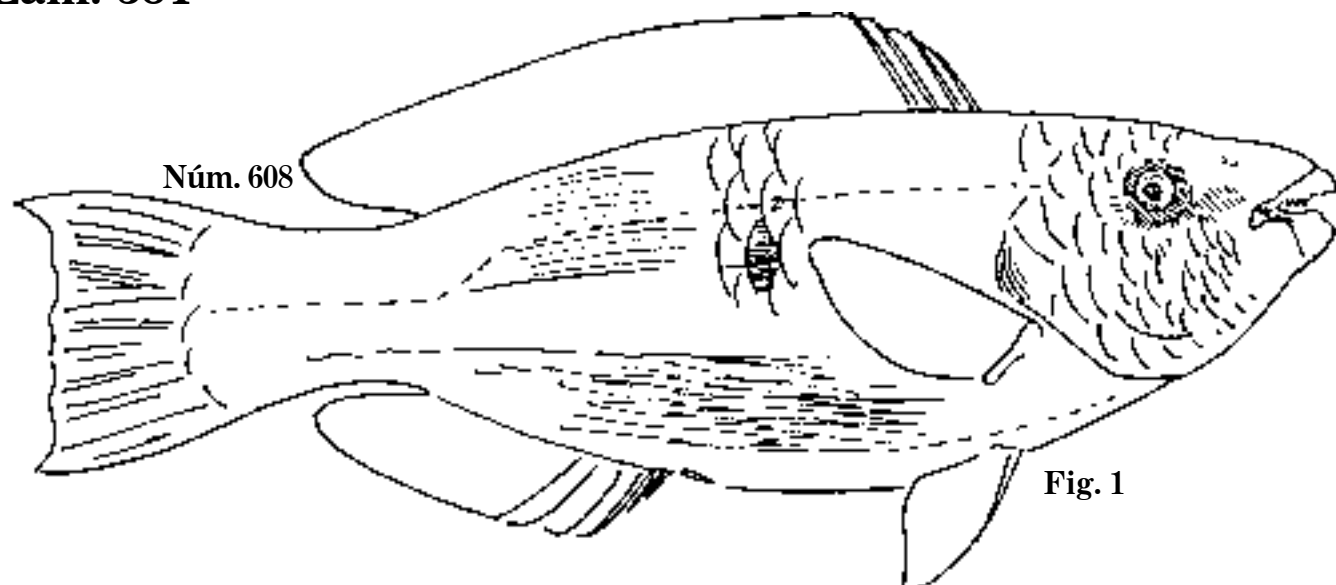


Fig. 1 *Pseudoscarus gnathodus*, 1864. P. 350 mm; D. 9,10; A. 3,9.

Fig. 2 *P. lineolatus*, 1860. C. 215 mm; D. 9,10; A. 3,9; bullón.

Fig. 3 *Pomacentrus otophorus*. C. 125 mm; D. 12,14; A. 2,12; S.N.C.

Lám. 385

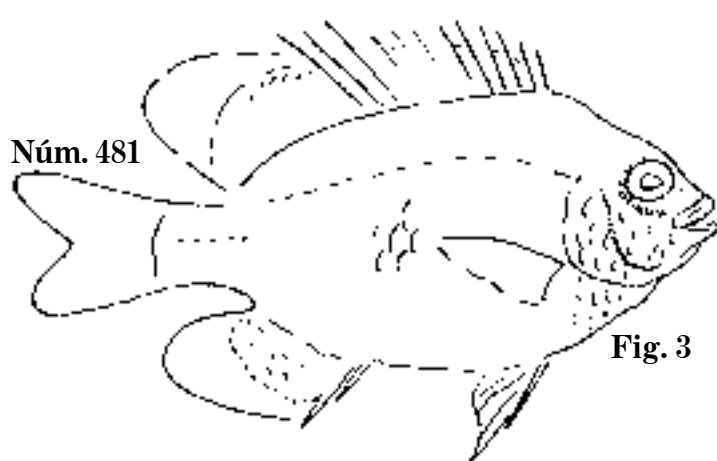


Fig. 1 *Pomacentrus obscuratus*, 1874. P. 90 mm; D. 12;15; A. 2,13.
Fig. 2 *P. obscuratus*, 1874. P. 100 mm; D.; A.
Fig. 3 *P. xanthurus*. C. 106 mm; D. 12,14; A. ?; A. 12.

Fig. 4 *P. atrocyaneus*. P. 100 mm; D. 12,14? A. 2,14?
Fig. 5 *P. analis*. P. 95 mm; D. 12,15; A. 2,13.
Fig. 6 *P. analis*. P. 60 mm; D. 12,15; A. 2,12; S.N.C.

Lám. 386

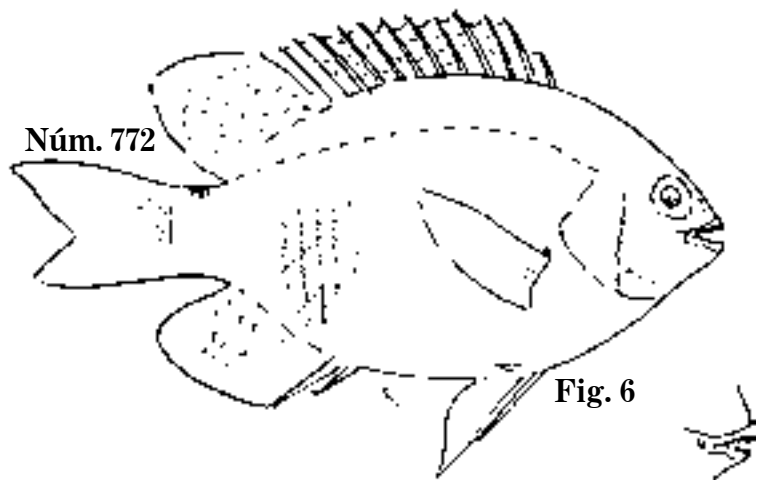
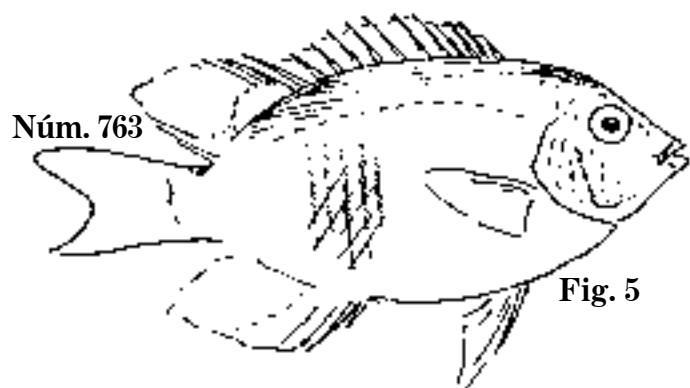
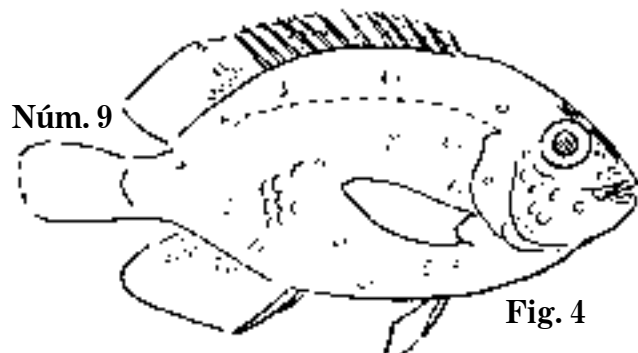
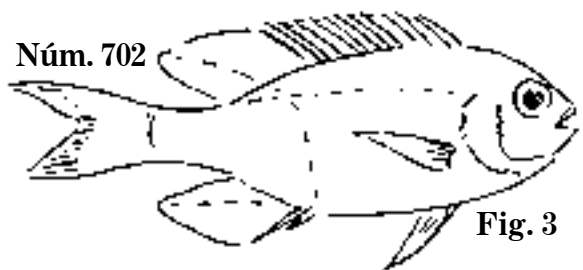
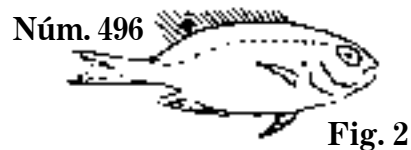


Fig. 1 *Pomacentrus elegans*, 1855. C. 41 mm; D. 12,16; A. 2,14.
Fig. 2 *P. dorsopunicans*. C. 40 mm; D.; A.

Fig. 3 *P. partitus*, 1862. P. 75 mm; D. 12,15; A. 2,14.

Fig. 4 *P. niveatus*, 1875. P. 42 mm; D. 12,14?; A. 2,12?
Fig. 5 *P. longirostris*, 1877. C. 87 mm; D. 12,15; A. 2,12.
Fig. 6 *P. brevirostris*, 1877. C. 95 mm; D. 12,15; A. 2,12; S.N.C.

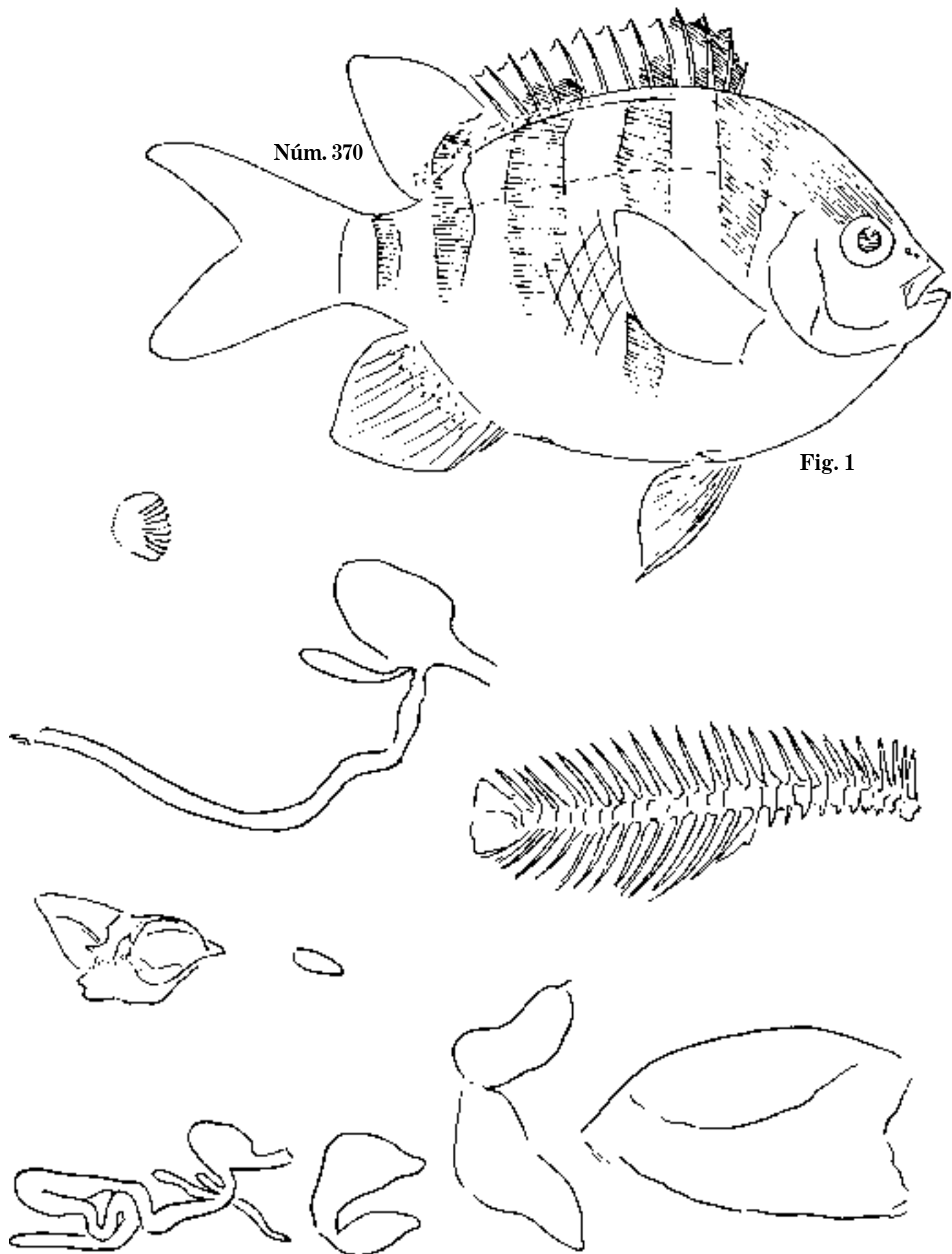


Fig. 1 *Glyphidodon saxatilis*, 1875. C. 161 mm; D. 13,12; A. 2,12; pintano.

Lám. 388

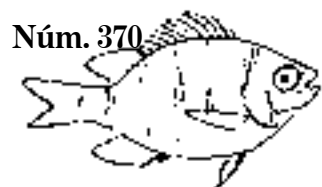


Fig. 1



Fig. 2

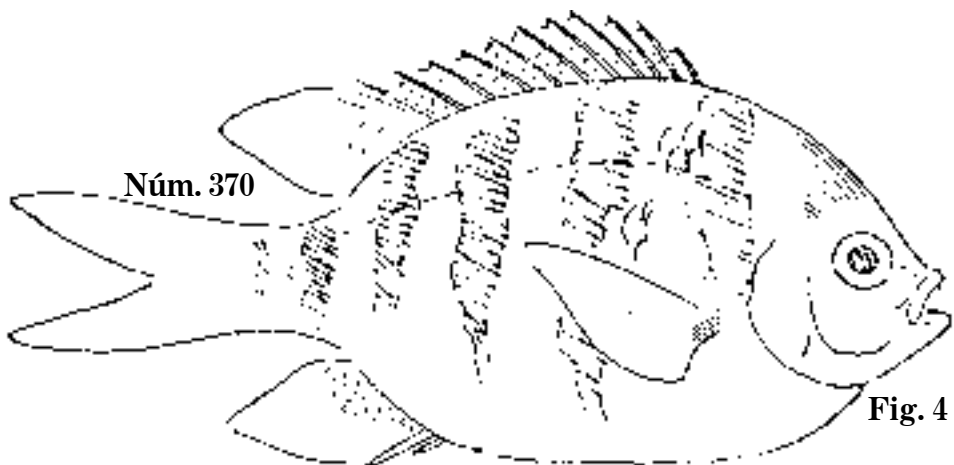


Fig. 4

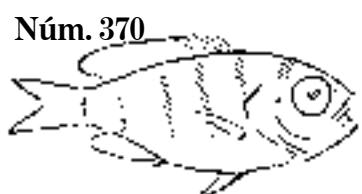


Fig. 3

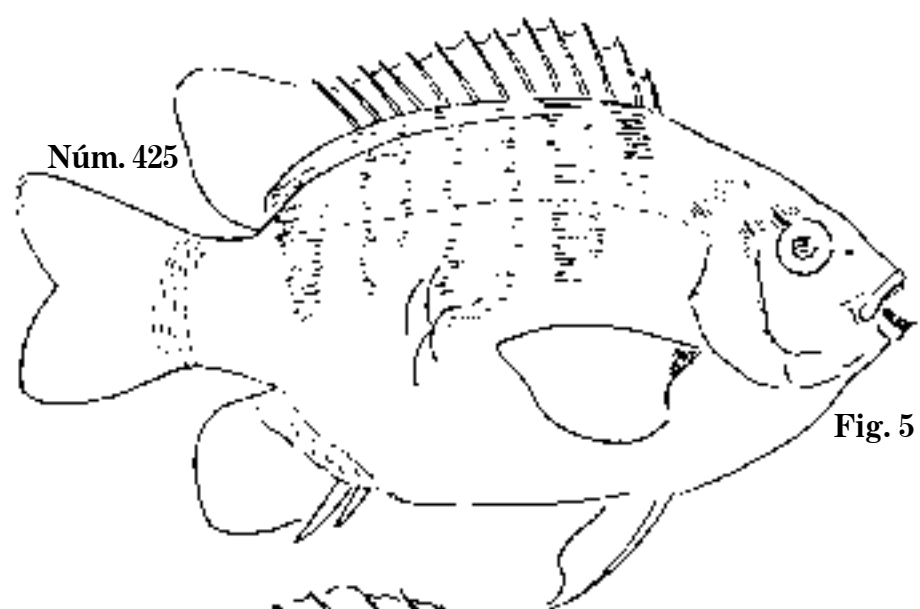


Fig. 5

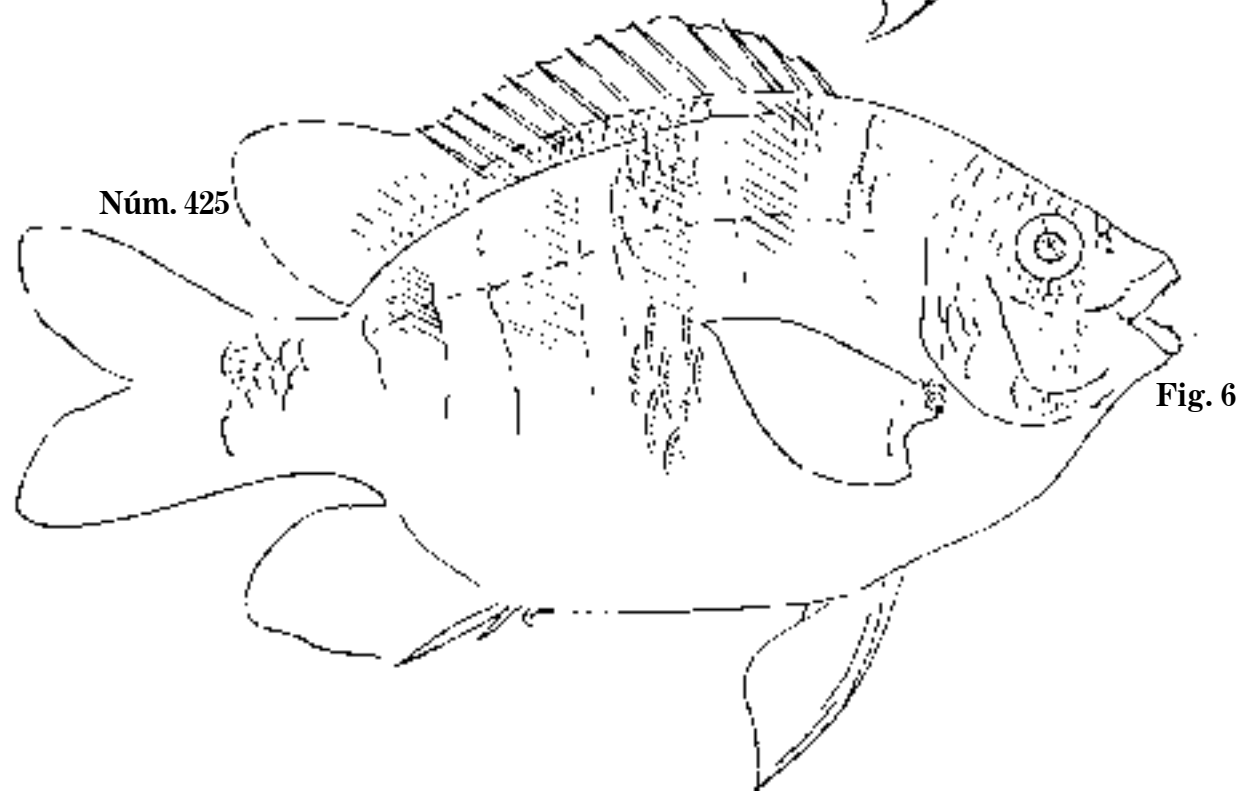


Fig. 6

Fig. 1 *Glyphidodon saxatilis*. C. 45 mm; D.; A.

Fig. 2 *G. saxatilis*. C. 31 mm; D.; A.

Fig. 3 *G. saxatilis*. P. 18 mm; D. 11,13; A. 2,11.

Fig. 4 *G. saxatilis*. C. 145 mm; D.; A.

Fig. 5 *G. rufus*. C. 218 mm; D. 13,12; A. 2,10.

Fig. 6 *G. rufus*, 1865. C. 179 mm; D. 13,12; A. 2,18; pintano.

Lám. 389

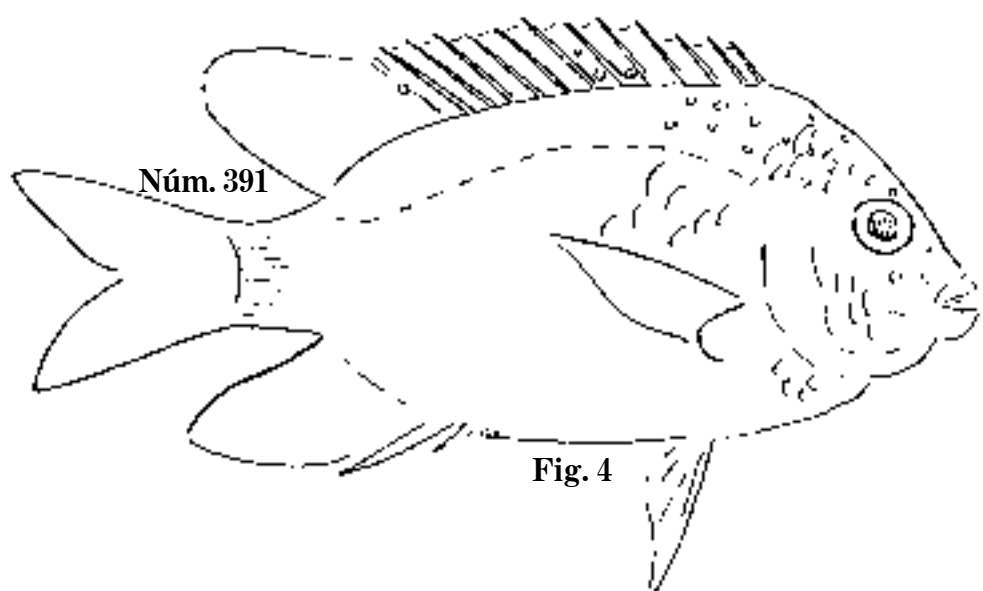
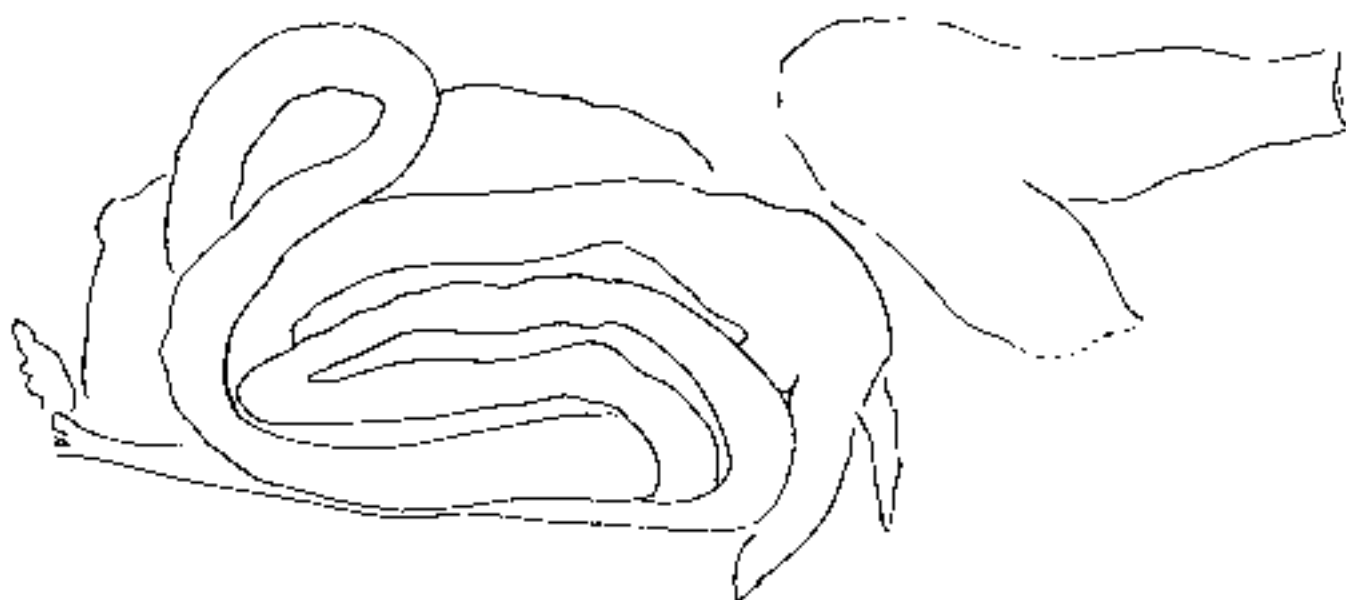
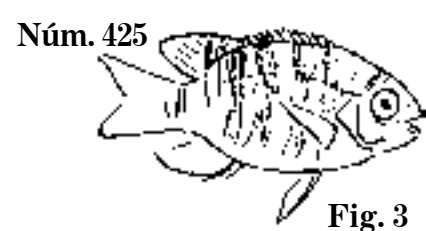
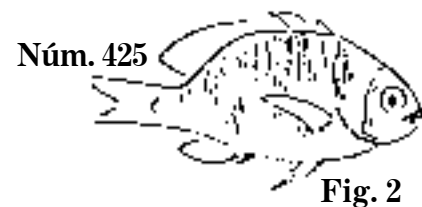


Fig. 1 *Glyphidodon rudis*. C. 38 mm; D.; A.

Fig. 2 *G. rudis*. P. 40 mm; D.; A.

Fig. 3 *G. rudis*, 1871. C. 44 mm; D.; A.; pintano.

Fig. 4 *Microspathodon chrysurus*. C. 128 mm; D. 12, 5; A. 2,13; S.N.C.

Lám. 390

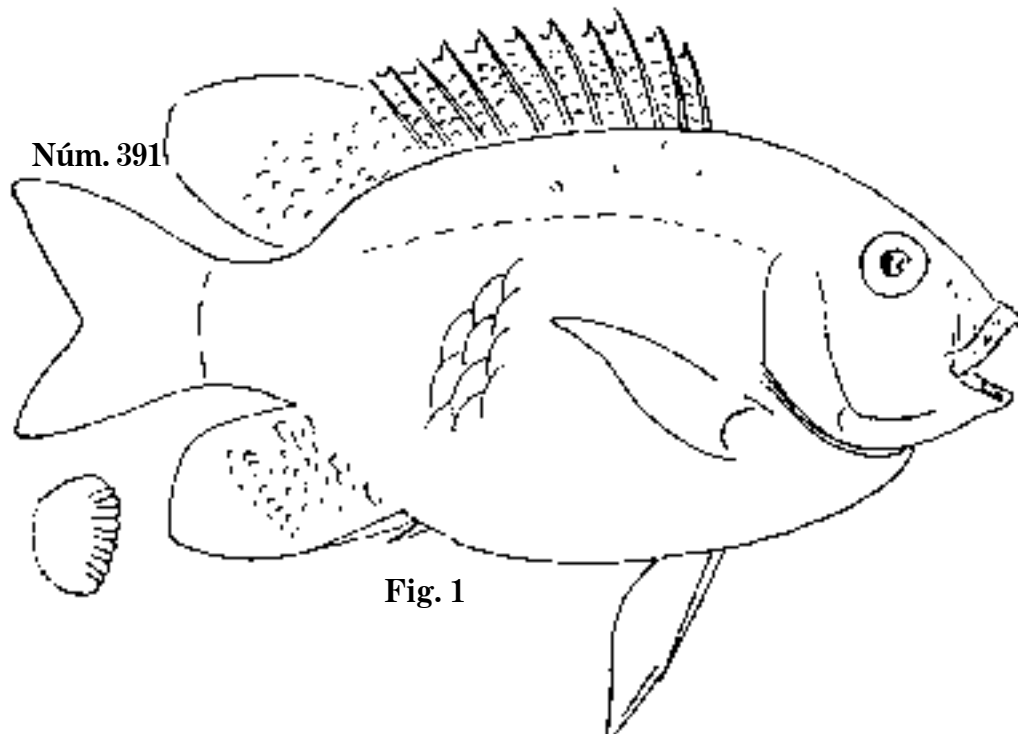


Fig. 1

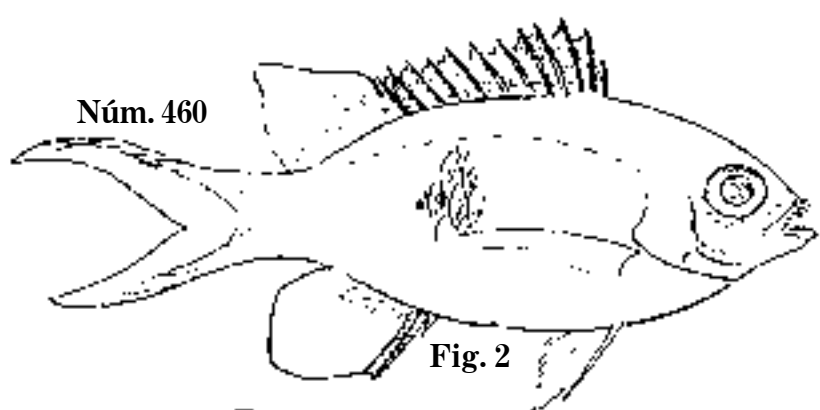


Fig. 2

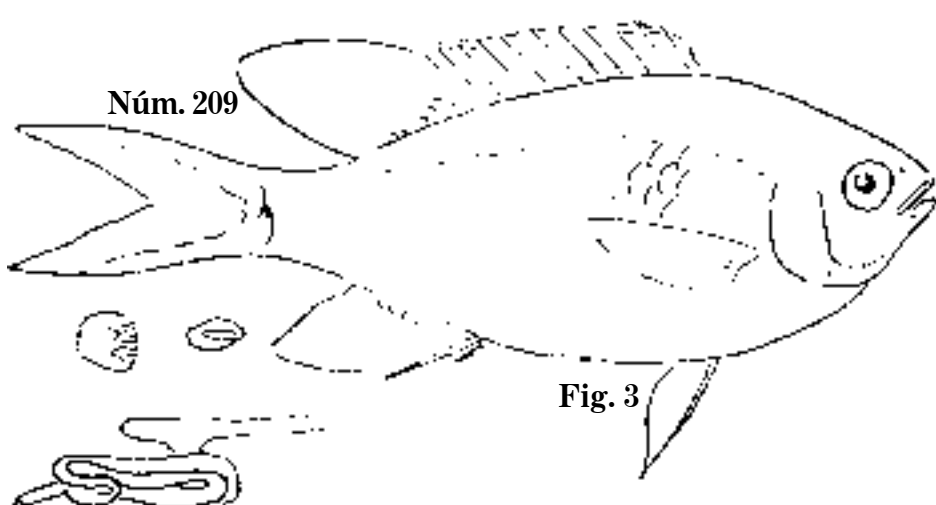


Fig. 3

Fig. 1 *Microspathodon chrysurus*. C. 144 mm. D. 11,15; A. 2,13.

Fig. 2 *Furcaria cyanea*. C. 114 mm; D. 12,12; A. 2,?

Fig. 3 *F. puncta*, 1845. C. 131 mm; D. 12,11; A. 2,13; S.N.C.

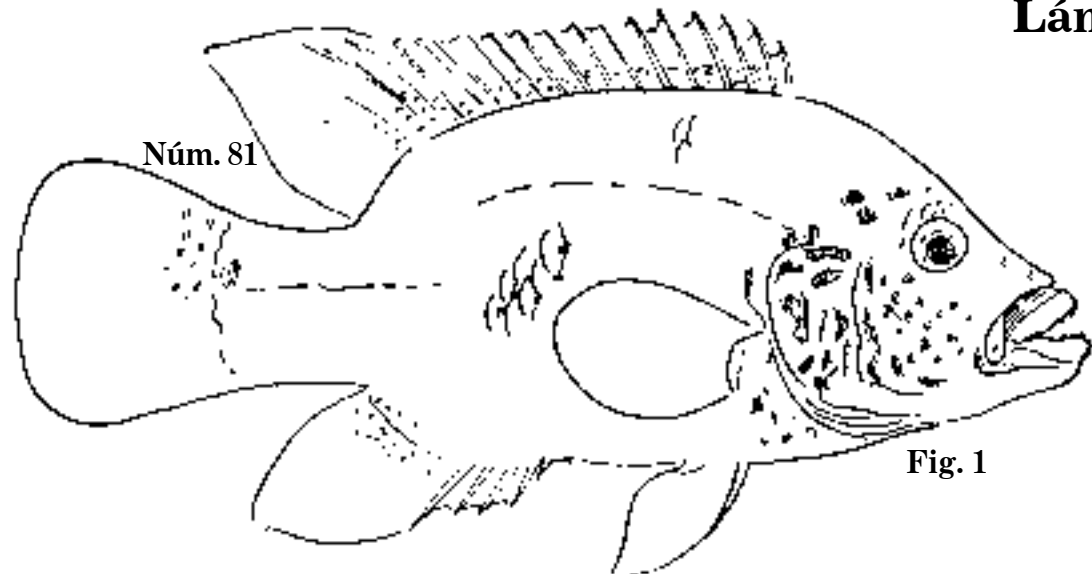


Fig. 1

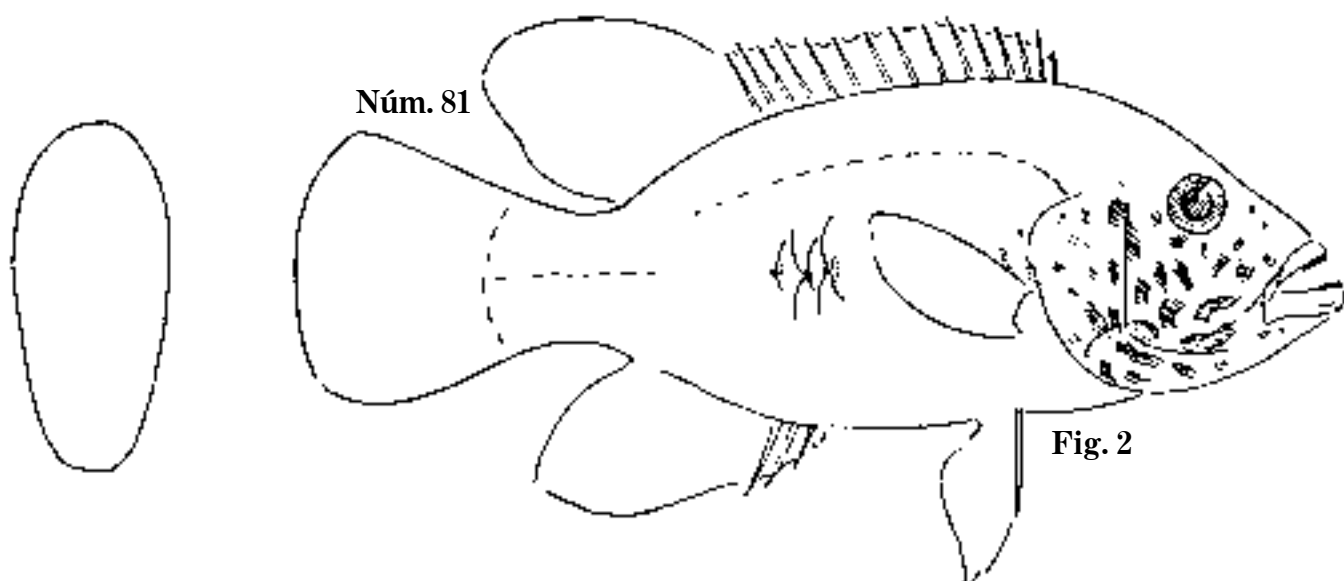
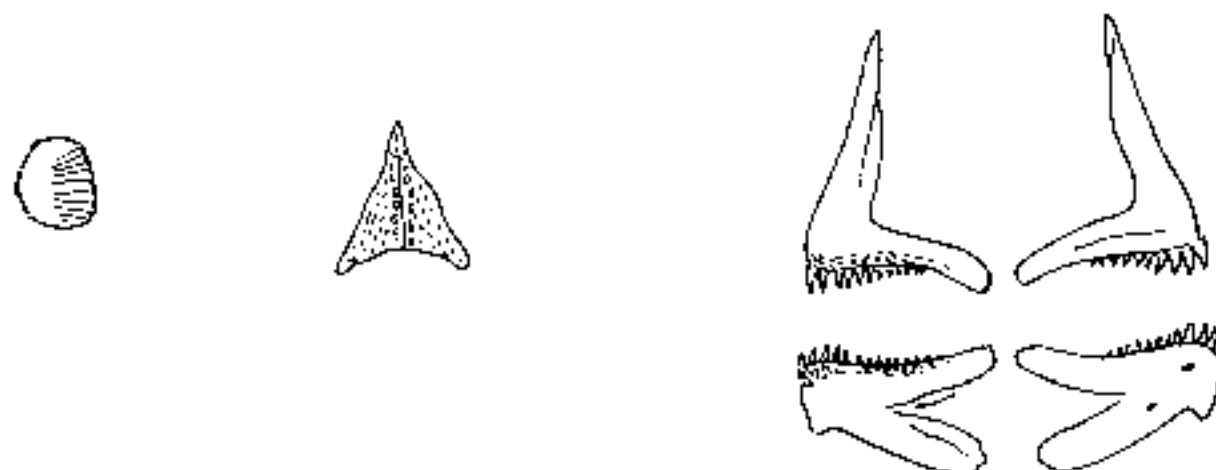


Fig. 2

Fig. 1 *Acara fusco-maculata*, 1859. C. 284 mm; D. 15,11; A. 4,10.
Fig. 2 *A. fusco-maculata*. C. 221 mm; D. 15,11; A. 4,8; viajaca.

Lám. 392

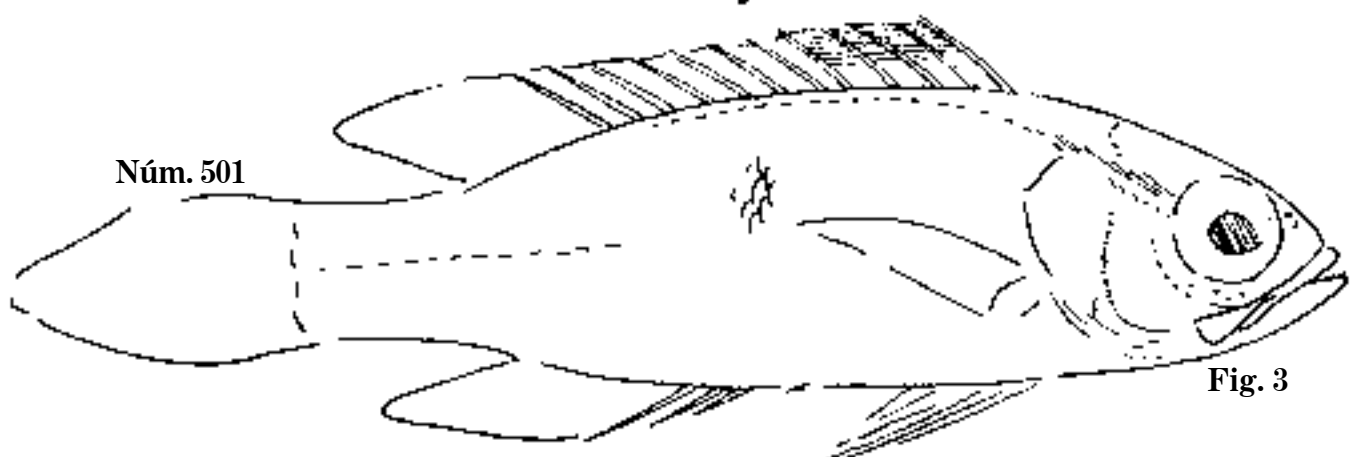
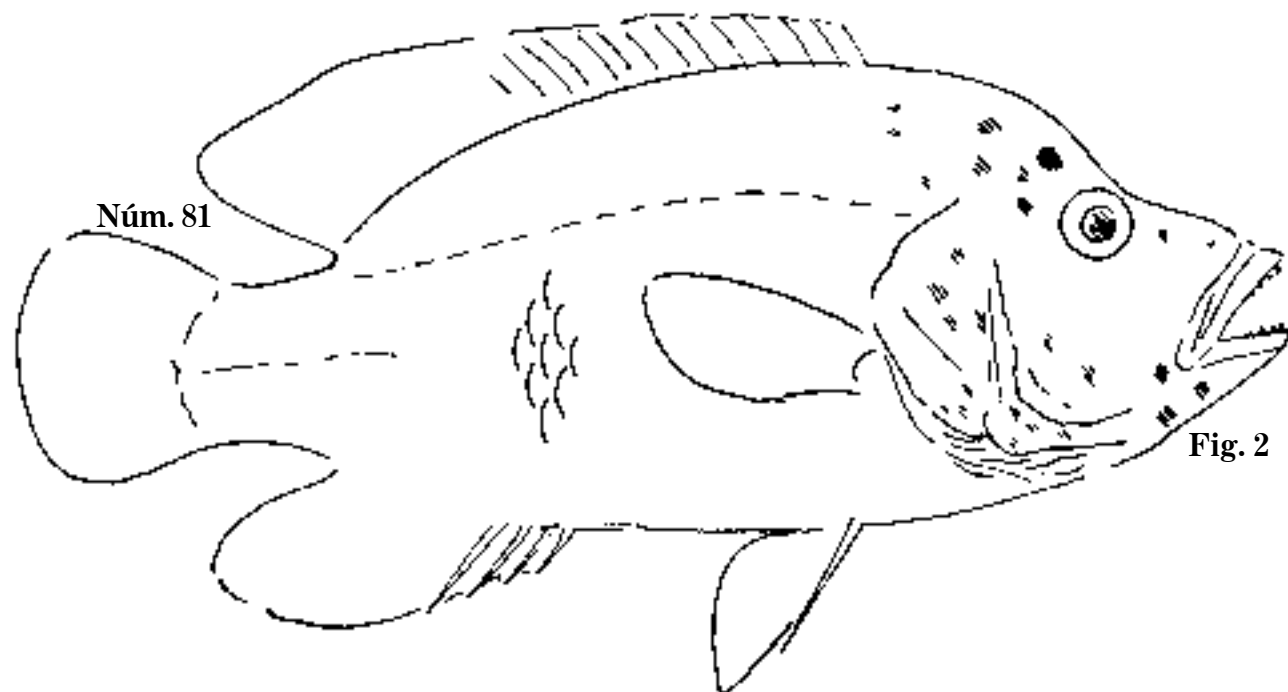
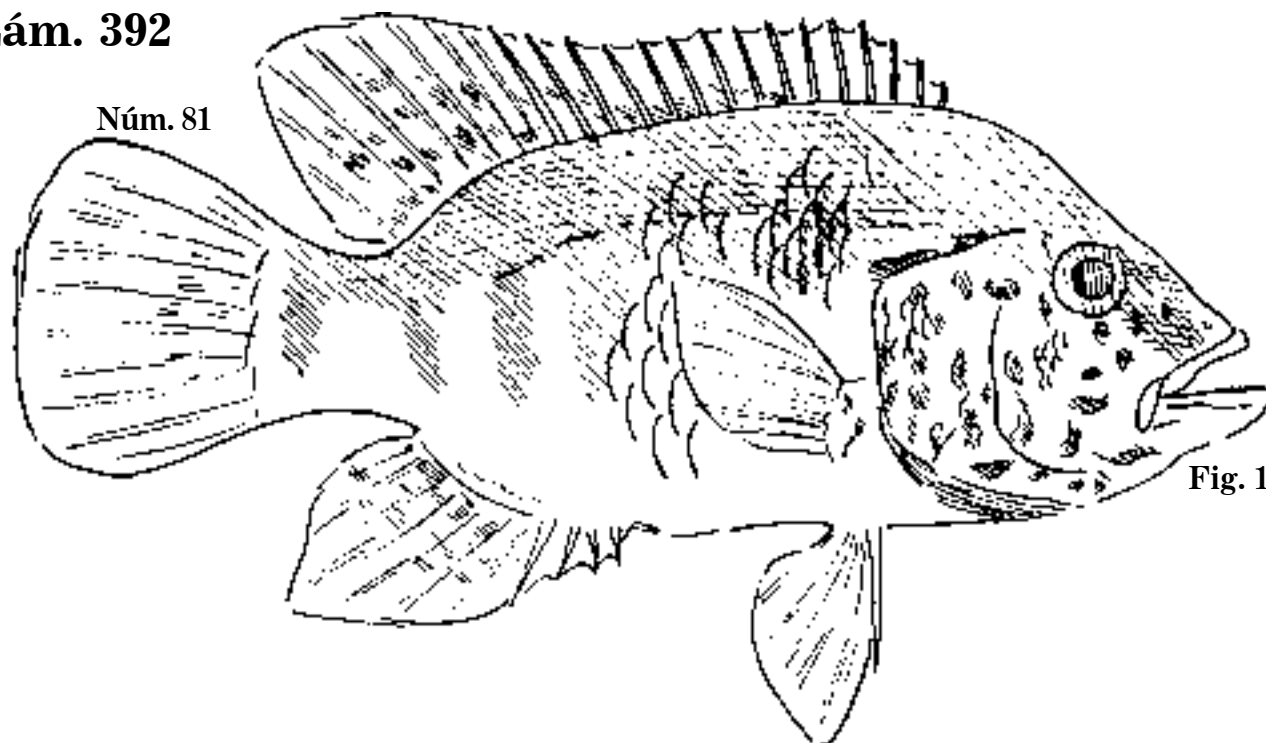


Fig. 1 *Acara fusco-maculata*, 1835. C. 220 mm; D. 15,11; A. 4,9.

Fig. 2 *A. fusco-maculata*. C. 225 mm; D.; A.; viajaca.

Fig. 3 *Gramma Loreto*, 1868. P. 50 mm; D. 12,9; A. 3,9; S.N.C.

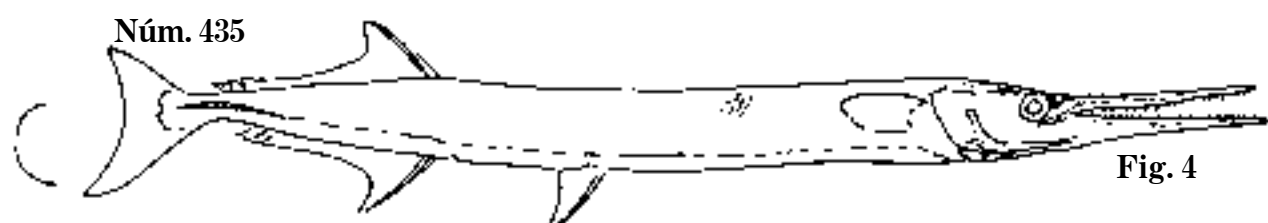
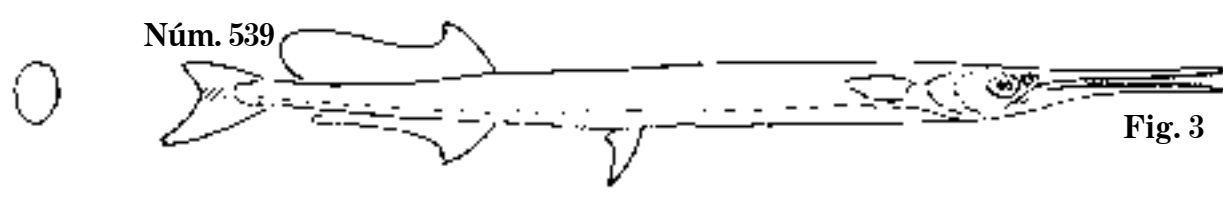
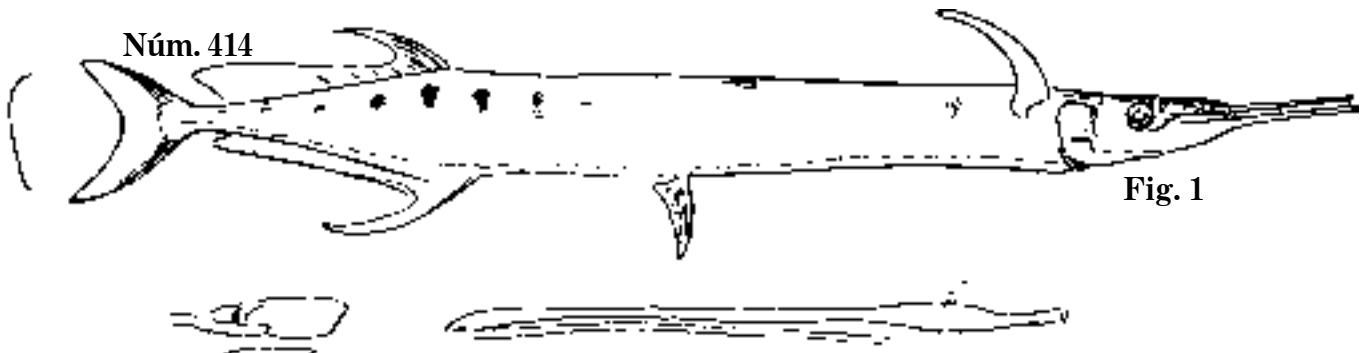
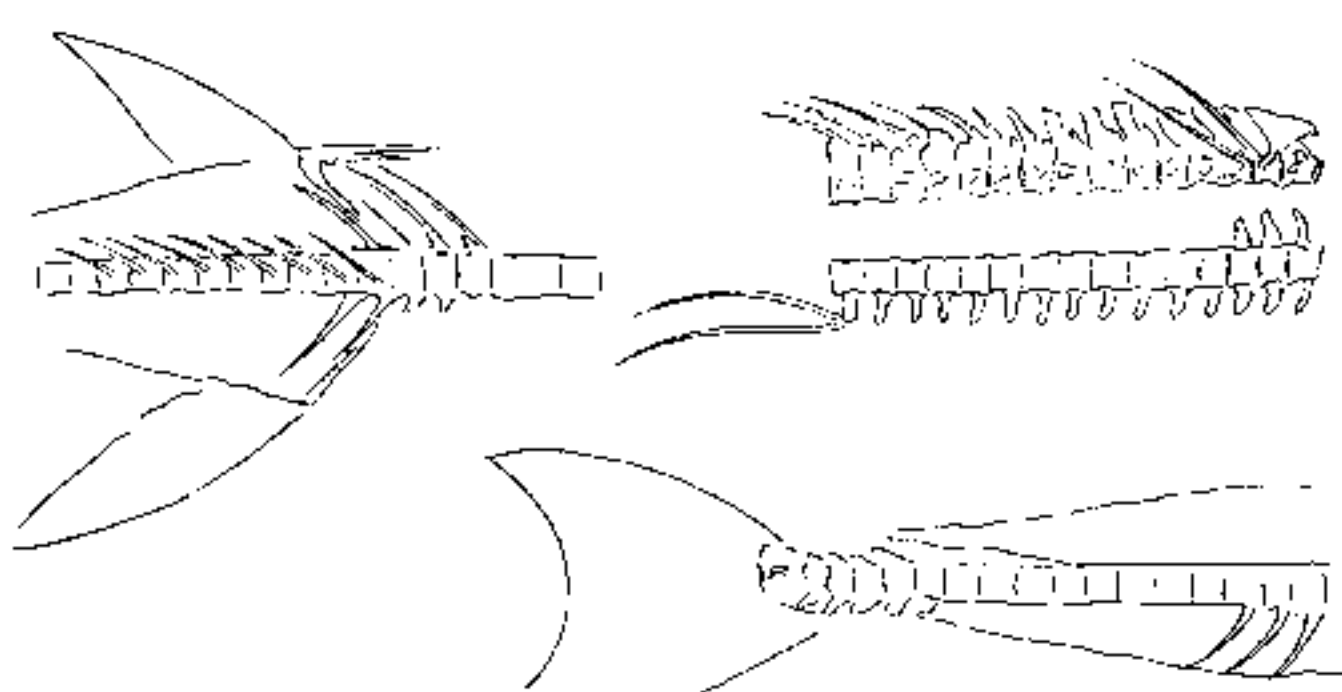
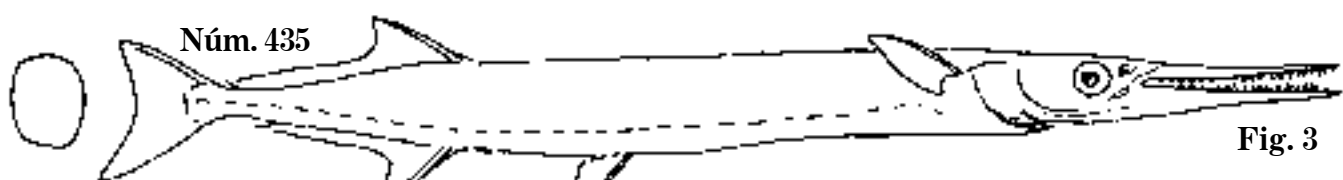
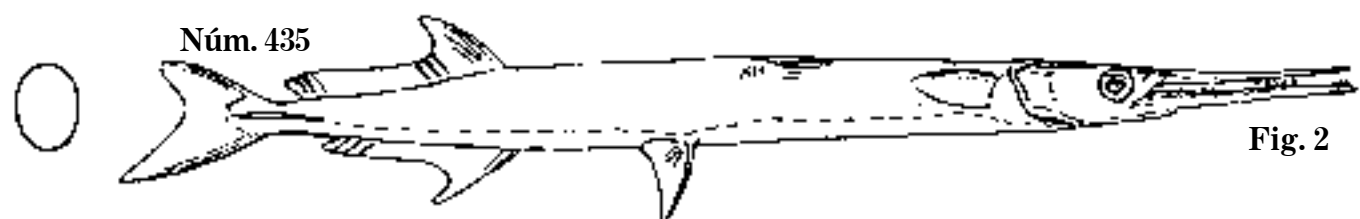
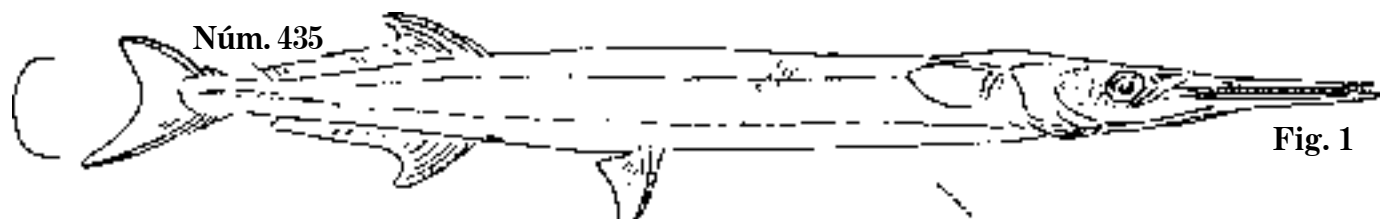


Fig. 1 *Tylosurus maculatus*. C. 1 010 mm; D. 1,6,19; A. 1,6,20; agujón sable.
 Fig. 2 *T. altipinnis*. C. 582 mm; D. 24; A. 23.
 Fig. 3 *T. altipinnis*. C. 279 mm; D. 22; A. 20; agujón.
 Fig. 4 *T. crassus*, 1860. P. 750 mm; D. 1,22; A. 1,21; agujón de casta.

Lám. 394



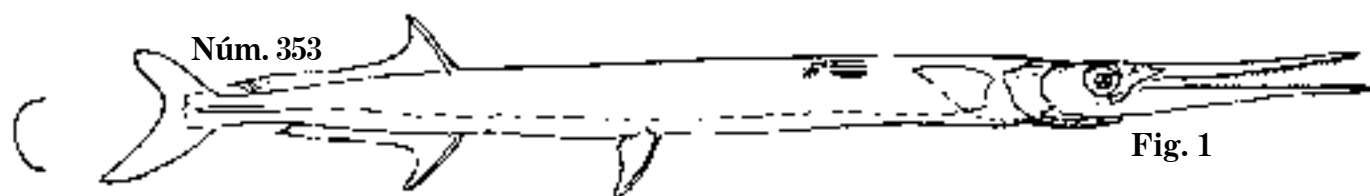
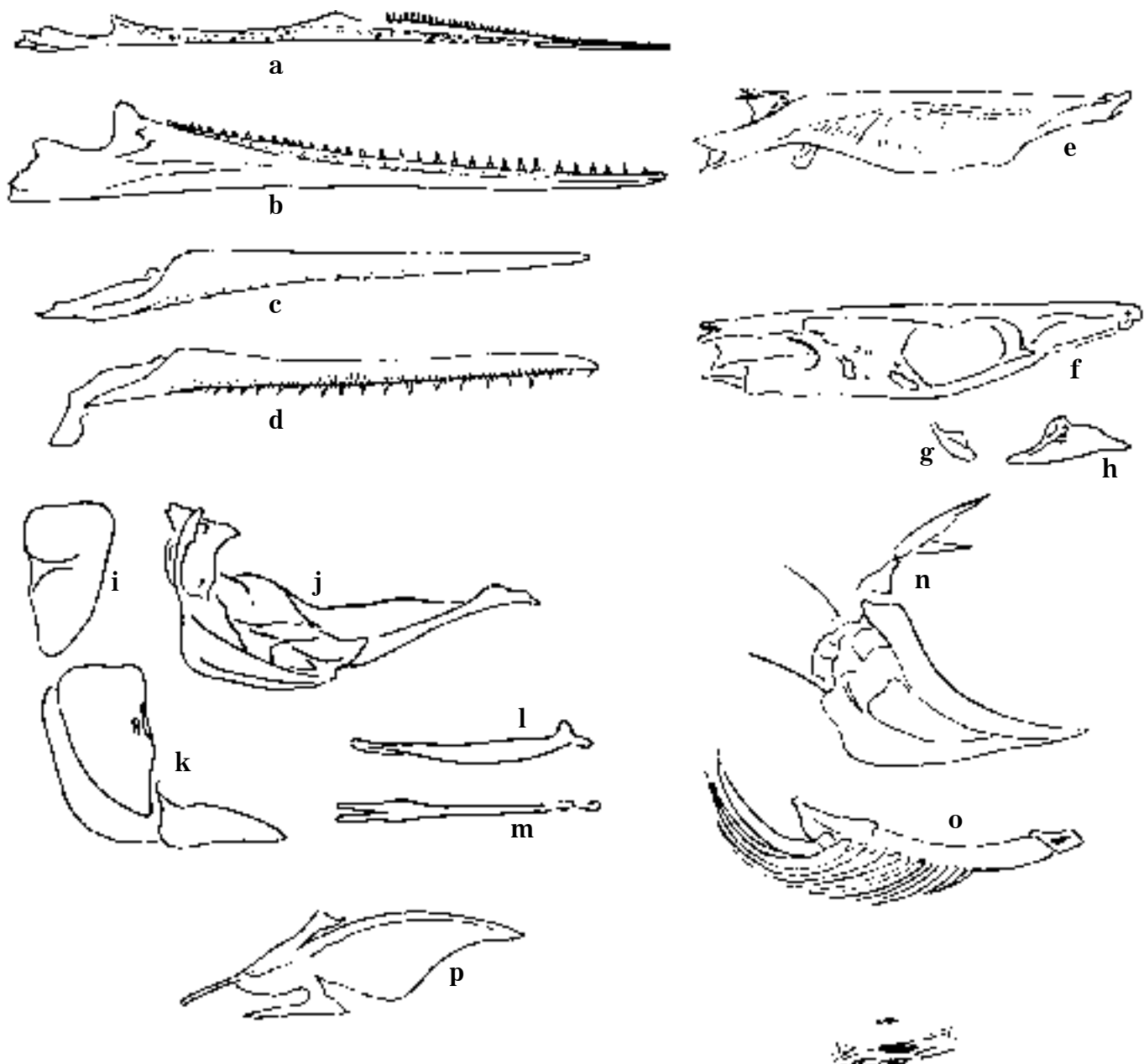


Fig. 1

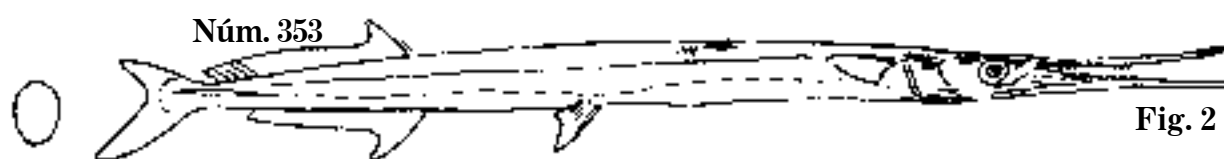


Fig. 2

a-p. *Tylosurus crassus*. Agujón de casta.

Fig. 1 *T. latimanus*, 1860. P. 760 mm; D. 1,24; A. 1,22.

Fig. 2 *T. latimanus*, 1860. C. 673 mm; D. 1,23; A. 1,21; agujón.

Lám. 396

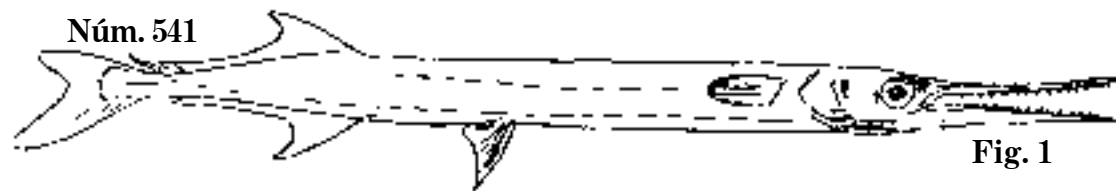


Fig. 1

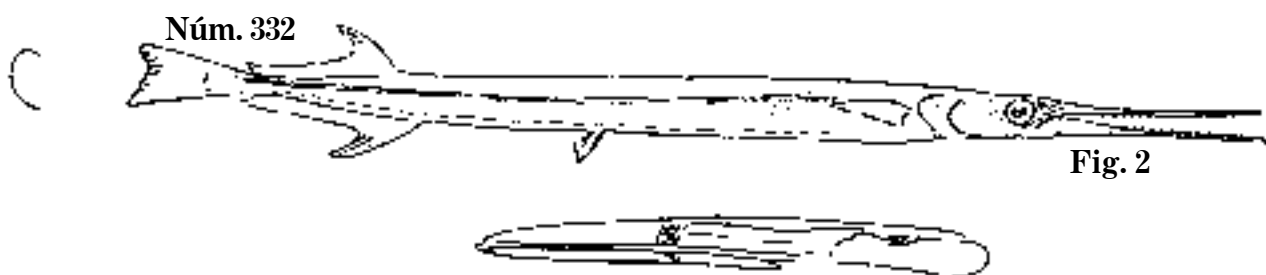


Fig. 2

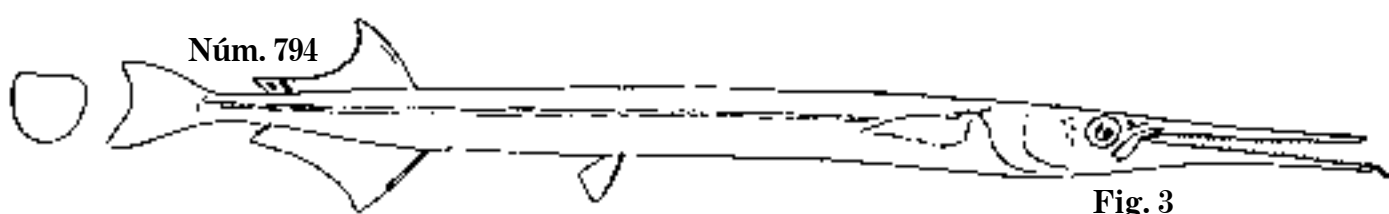


Fig. 3

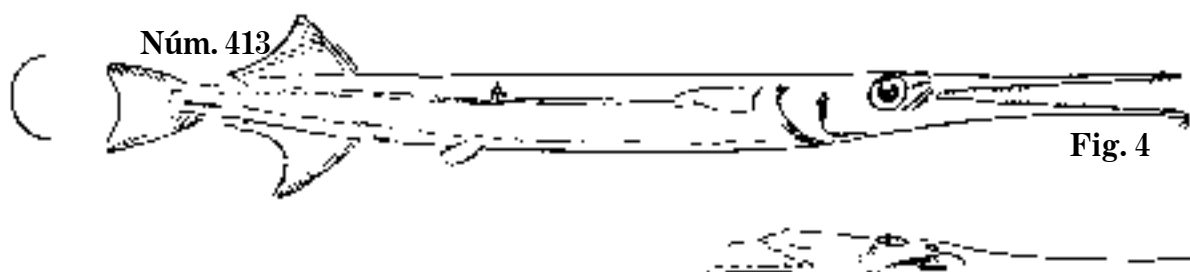


Fig. 4

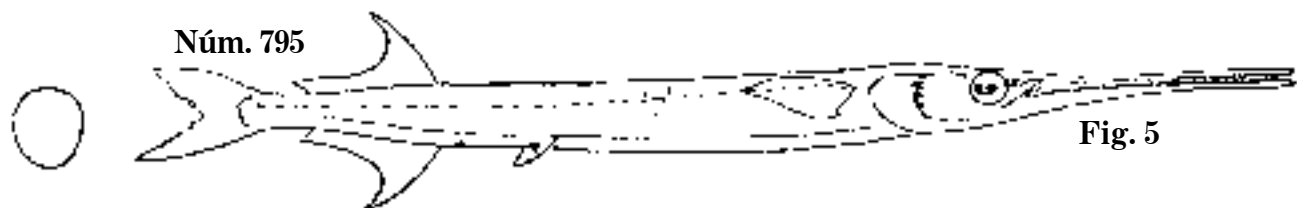


Fig. 5

Fig. 1 *Tylosurus melanochirius*, 1869. C. 555 mm; D. 22; A. 21.

Fig. 2 *T. depressus*. C. 365 mm; D.; A.

Fig. 3 *Tylosurus*, 1869. C. 410 mm; D. 16; A. 17.

Fig. 4 *T. notatus*, 1860. P. 351 mm; D. 14; A. 15.

Fig. 5 *Tylosurus*. C. 316 mm; D.; A.; agujón.

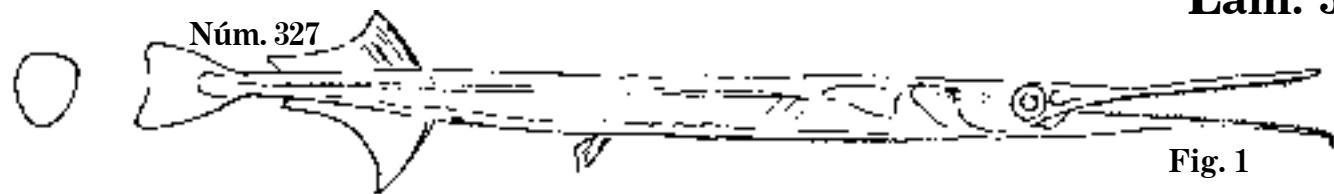


Fig. 1

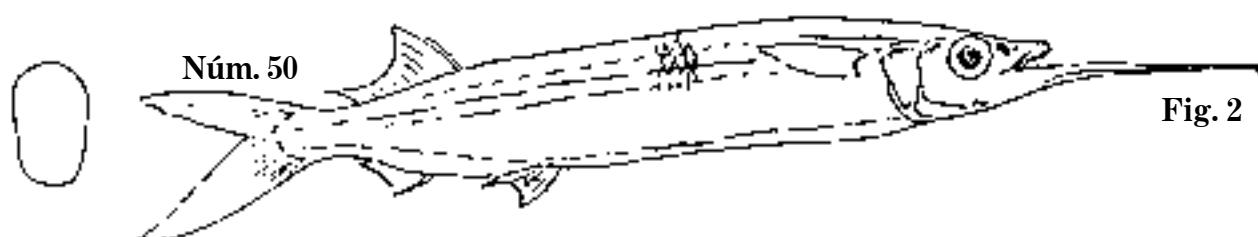
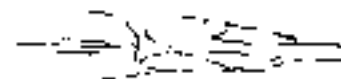


Fig. 2



Fig. 3

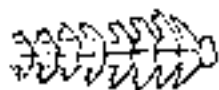
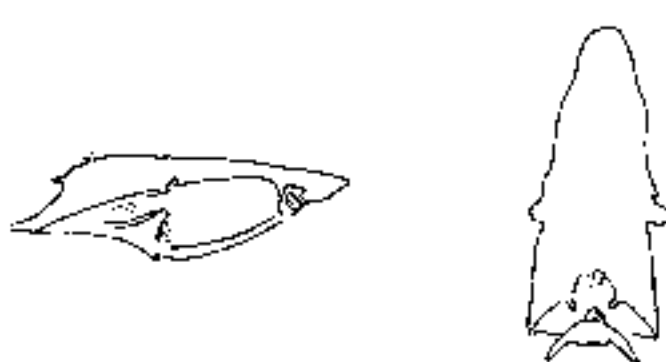


Fig. 1 *Tylosurus subtruncatus*, 1857. C. 296 mm; D.; A.; agujón.
 Fig. 2 *Hemirhamphus filamentosus*, 1860. C. 337 mm; D. 16; A. 13.
 Fig. 3 *H. filamentosus*. C. 309 mm; D. 14; A. 13; escribano.

Lám. 398

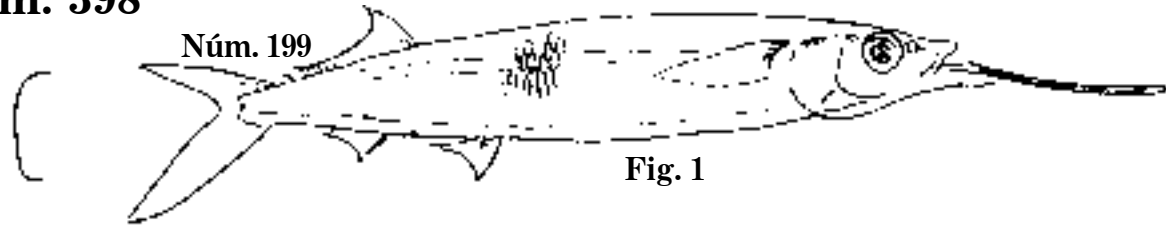


Fig. 1

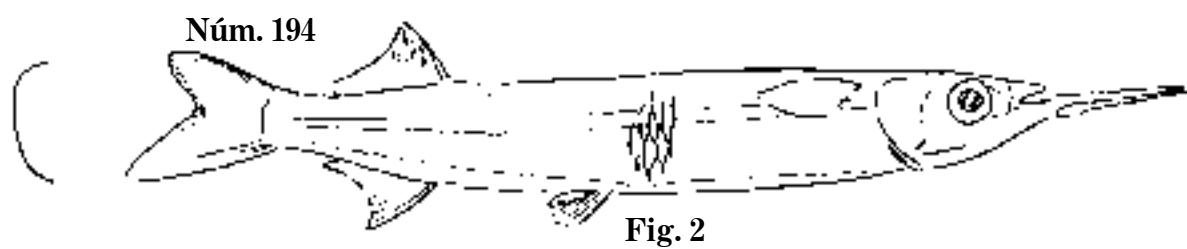


Fig. 2

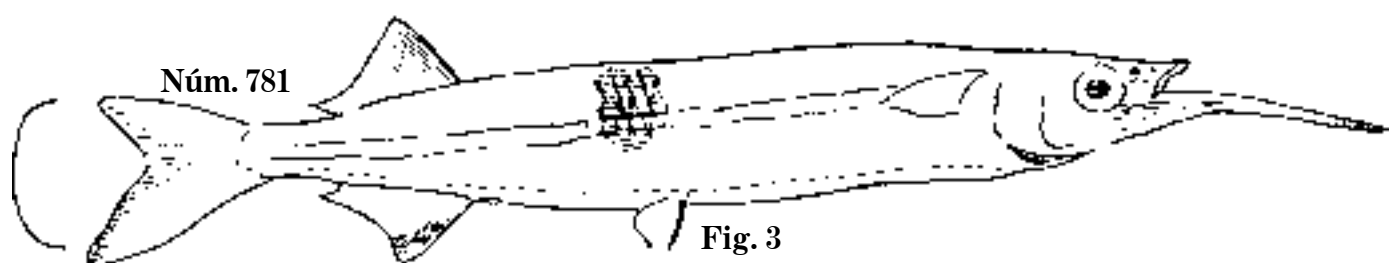
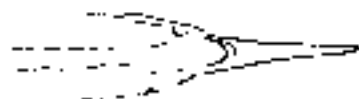


Fig. 3

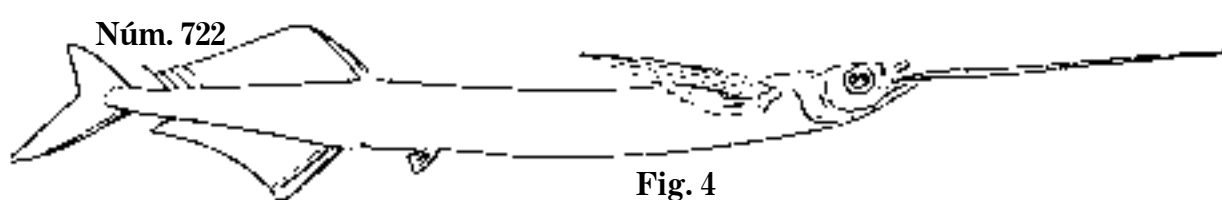
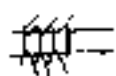


Fig. 4

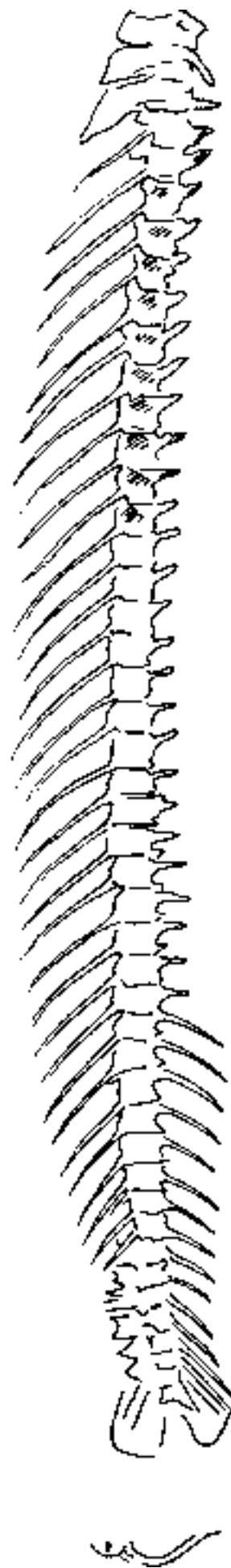
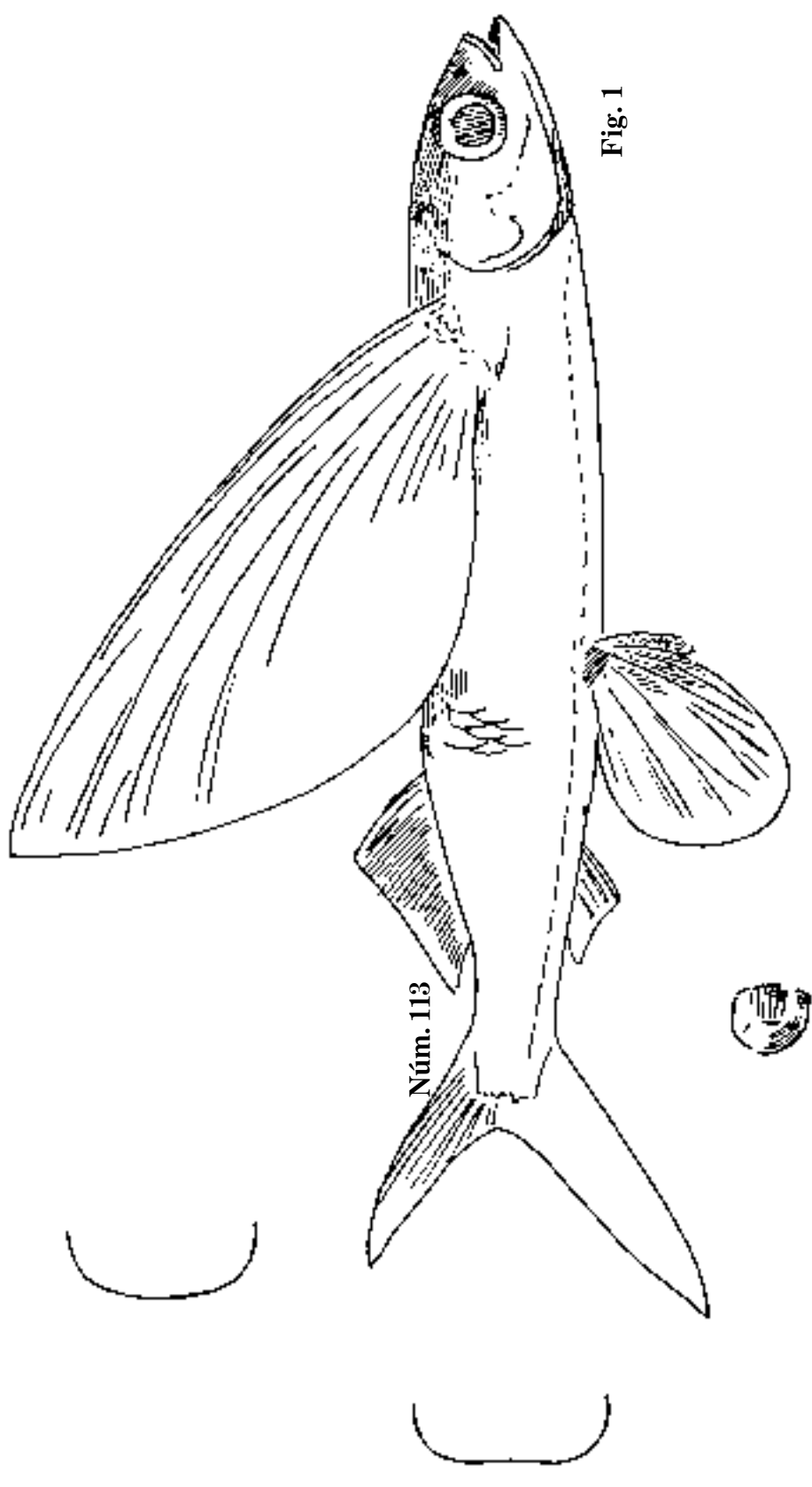
Fig. 1 *Hemirhampus macrochirus*, 1860. C. 275 mm; D. 1,13; A. 1,12.

Fig. 2 *H. Poeyi*, 1860. C. 279 mm; D. 1,14; A. 1,16.

Fig. 3 *Hemirhampus*, 1860. C. 205 mm; D. 1,14; A. 1,15.

Fig. 4 *Euleptorhampus velox*, 1864. P. 380 mm; D. 19; A. 21; escribano.

Fig. 1 *Eryocoetus bahiensis*, 1860. C. 390 mm; D. 13; A. 9; volador.



Lám. 400

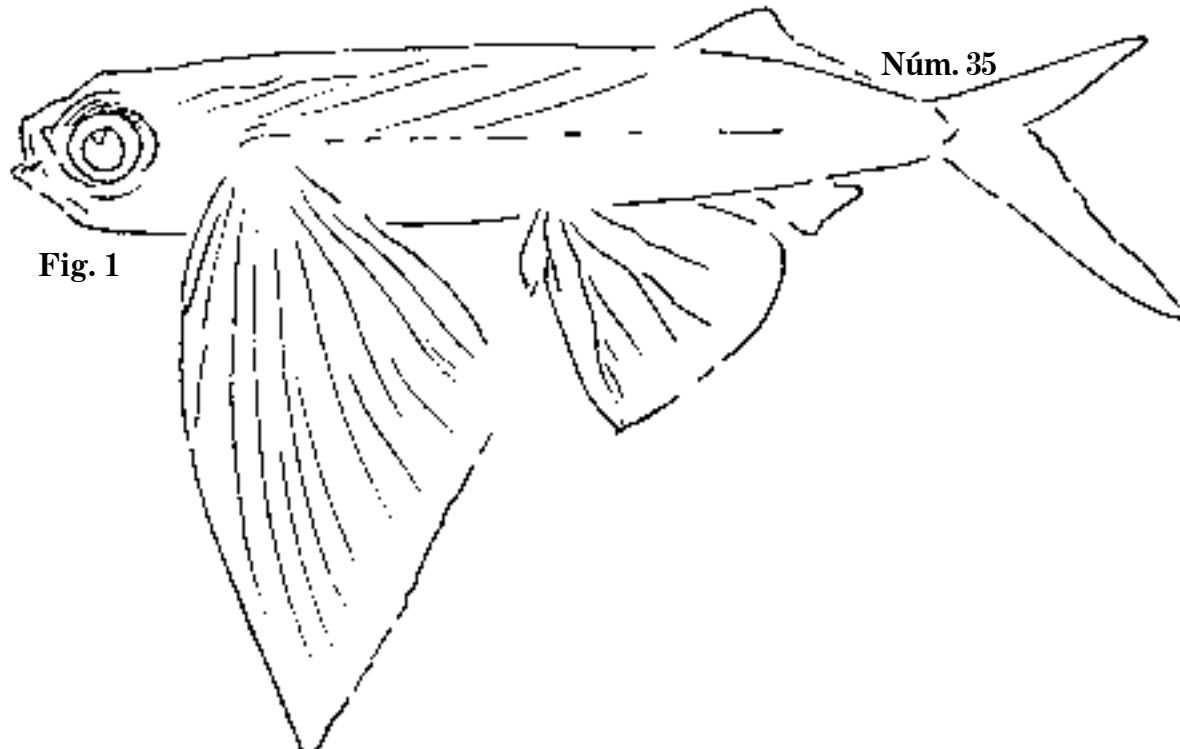


Fig. 1

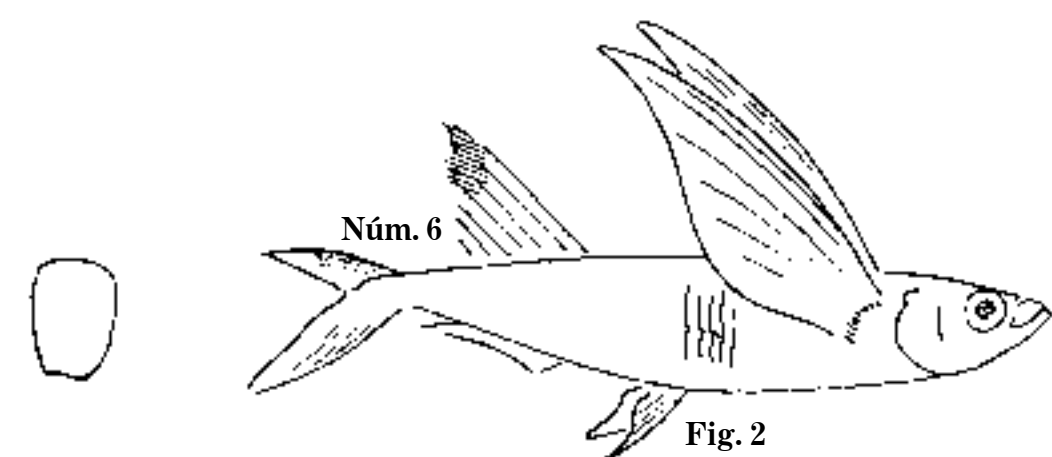


Fig. 2



Fig. 3



Fig. 4

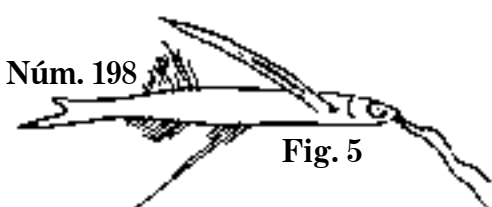


Fig. 5

Fig. 1 *Exocoetus Parrae*. C. 222 mm; D.; A.

Fig. 2 *E. Hillianus*. C. 151 mm; D. 12; A. 13.

Fig. 3 *Cypselurus*, 1862. P. 62 mm; D. 14; A. 9.

Fig. 4 *Cypselurus*. C. 61 mm; D. 10; A. 11.

Fig. 5 *Cypselurus*. C. 43 mm; D.; A.; volador.

Núm. 728

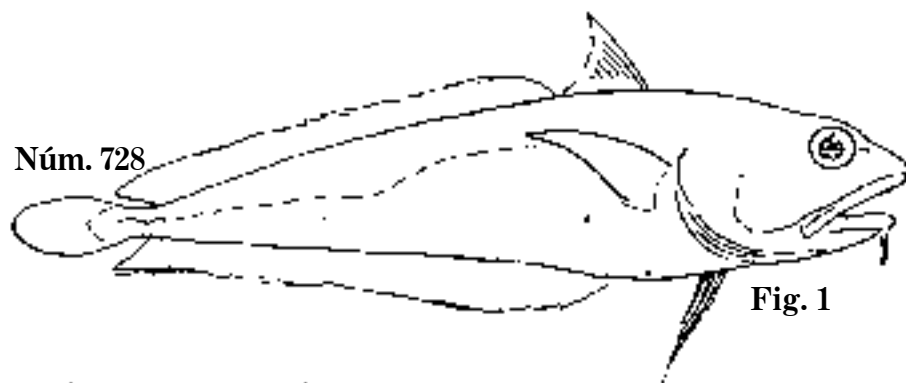


Fig. 1



Núm. 61

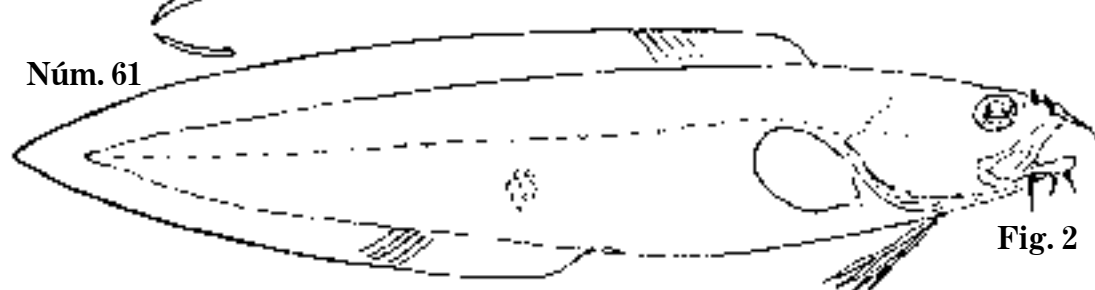


Fig. 2



Núm. 61

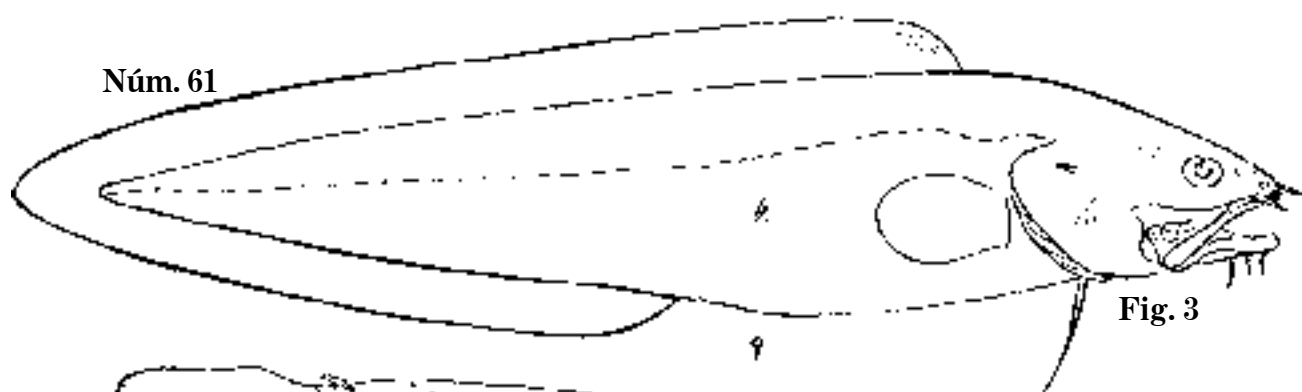


Fig. 3

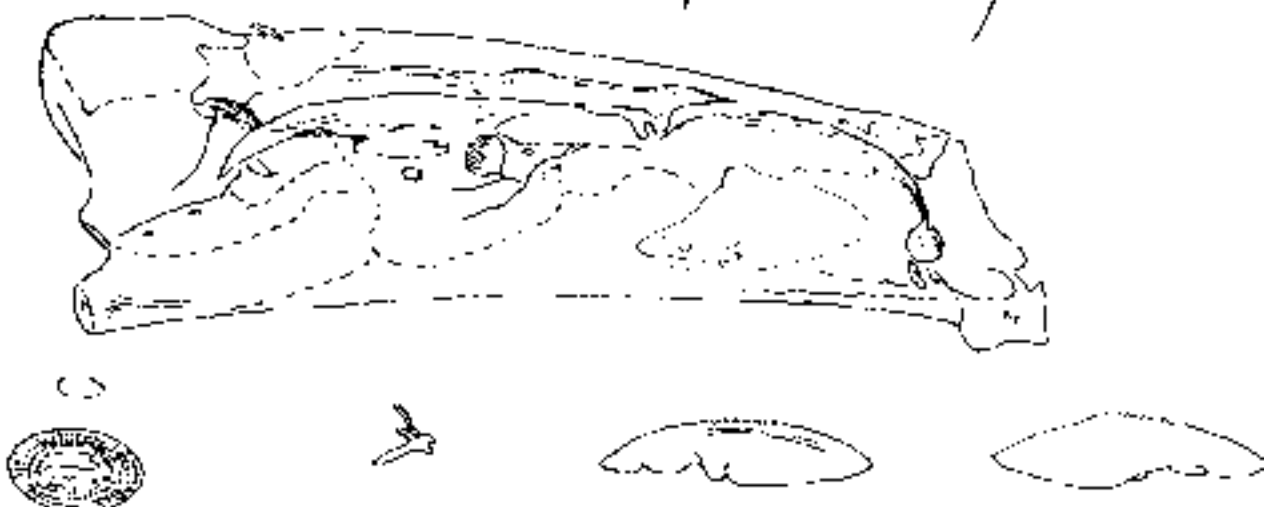


Fig. 1 *Physiculus Kaupi*, 1865. C. 252 mm; D. 10,60; A. 60; S.N.C.

Fig. 2 *Brotula barbata*. C. 453 mm; D. 123; A. 93.

Fig. 3 *B. barbata*, 1861. C. 720 mm; D. 124; A. 96; brótula.

Lám. 402



Fig. 1

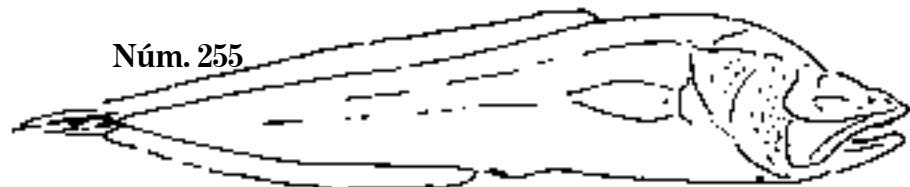


Fig. 2

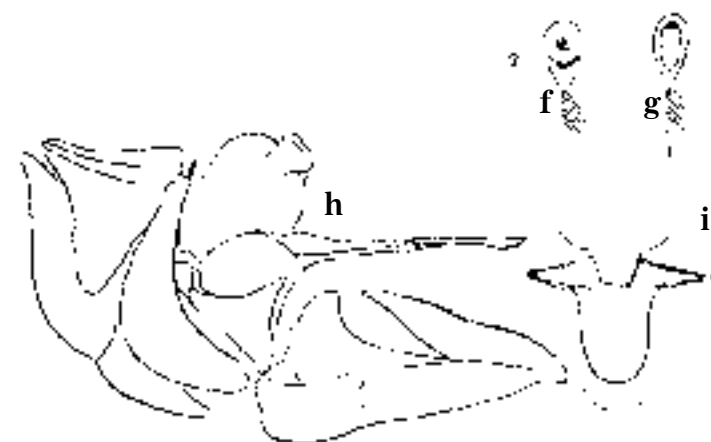
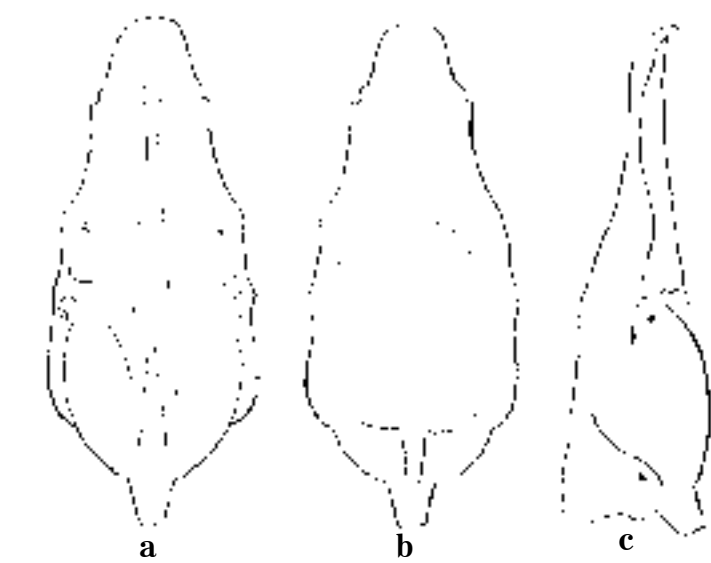


Fig. 3

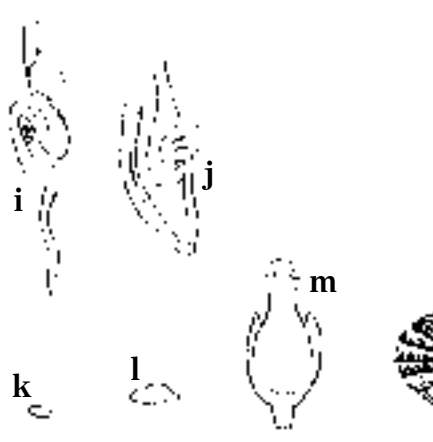
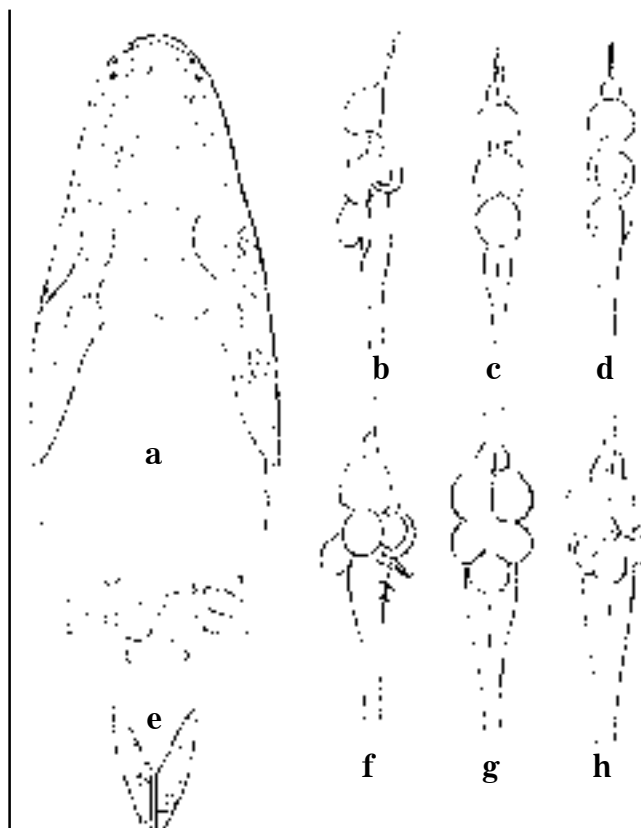


Fig. 4

Fig. 1 *Lucifuga subterraneus*, 1831. C. 96 mm; D, 70; A. 70.

Fig. 2 *Stygicola dentatus*, 1862. C. 125 mm; D, 90; A. 70.

Fig. 3 *Lucifuga subterraneus*: a-d, e-g; *Stygicola dentatus*: f-i.

Fig. 4 *Lucifuga subterraneus*: a-e, i-k, n; *Stygicola dentatus*: e-h, i-j, l-n; pez ciego.

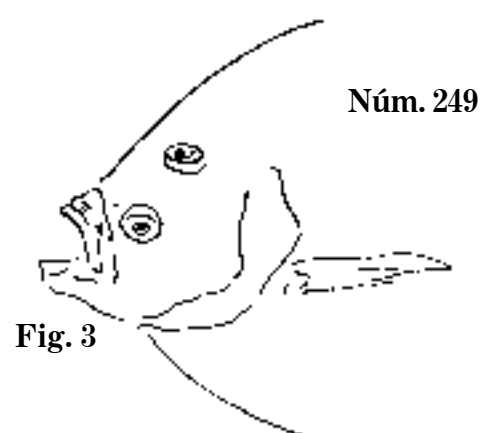
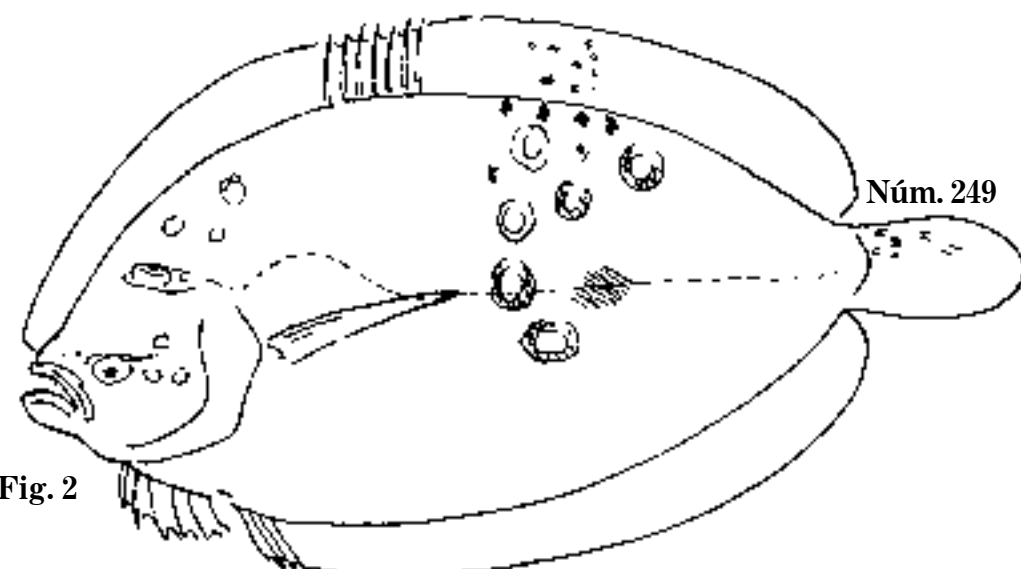
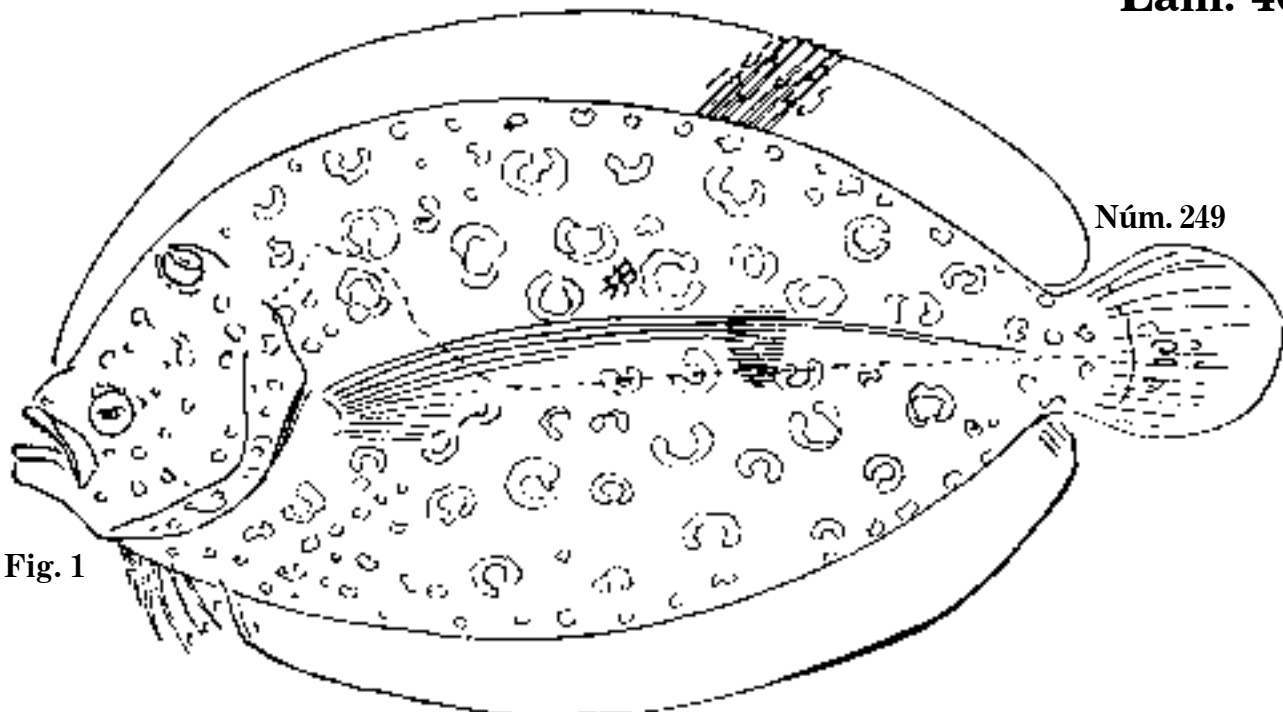


Fig. 1 *Rhomboideichthys lunatus*, 1862. P. 350 mm; D. 97; A. 73.
Fig. 2 *R. lunatus*, 1869. C. 268 mm; D. 94; A. 72.
Fig. 3 *R. lunatus*. Cabeza; lenguado.

Lám. 404

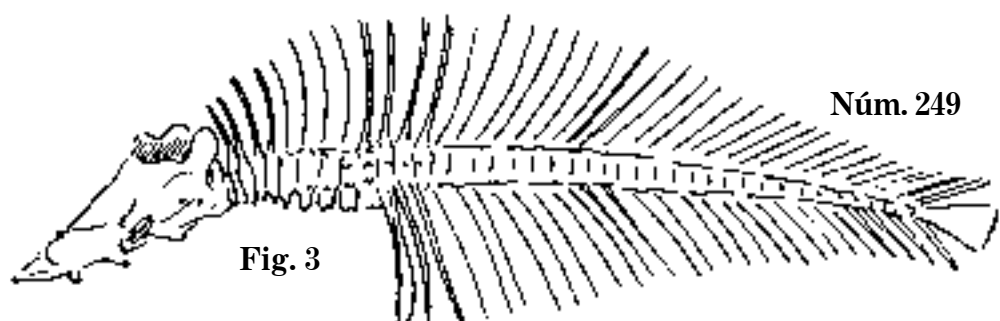
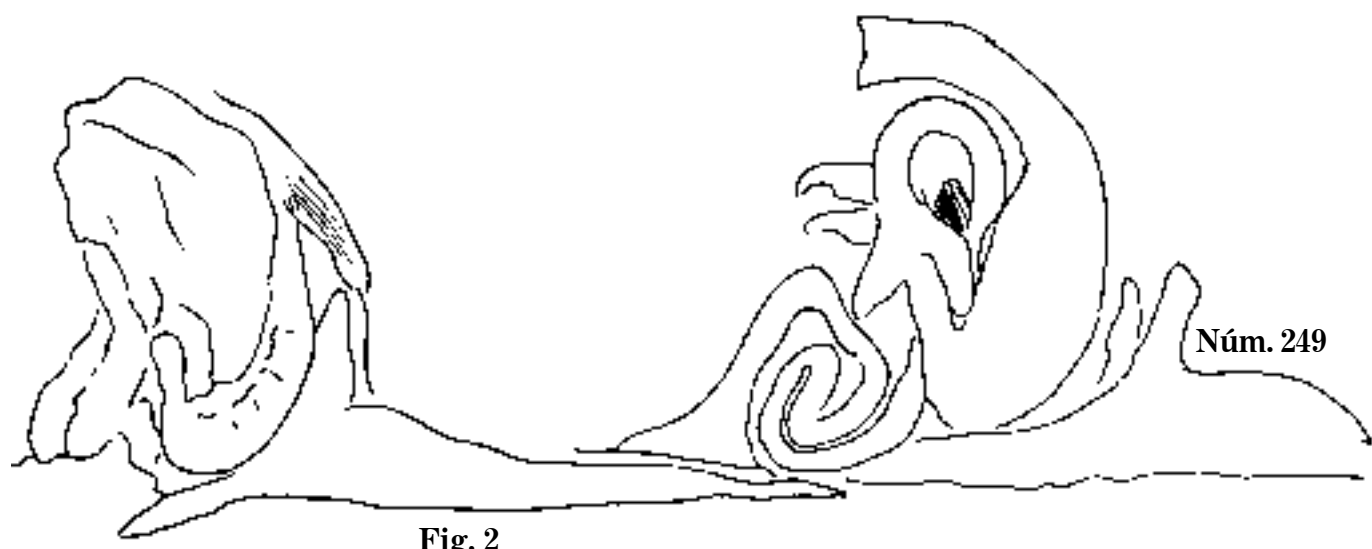
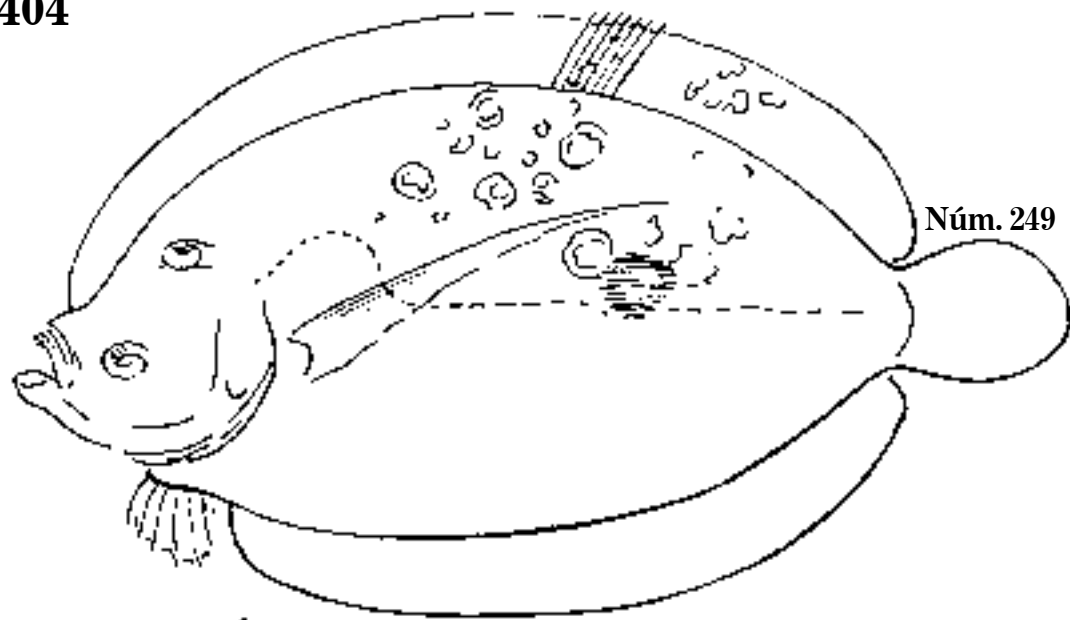


Fig. 1 *Rhomboideichthys lunatus*. C. 283 mm; D. 94; A. 74.

Fig. 2 *R. lunatus*. Órganos.

Fig. 3 *R. lunatus*. Osteología; lenguado.

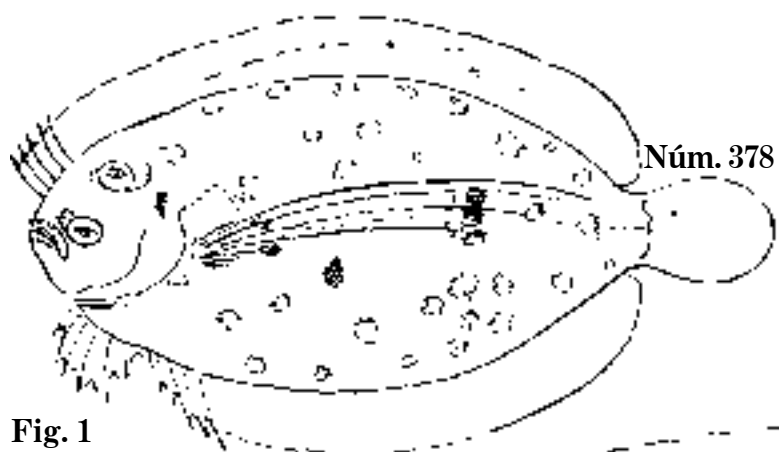


Fig. 1

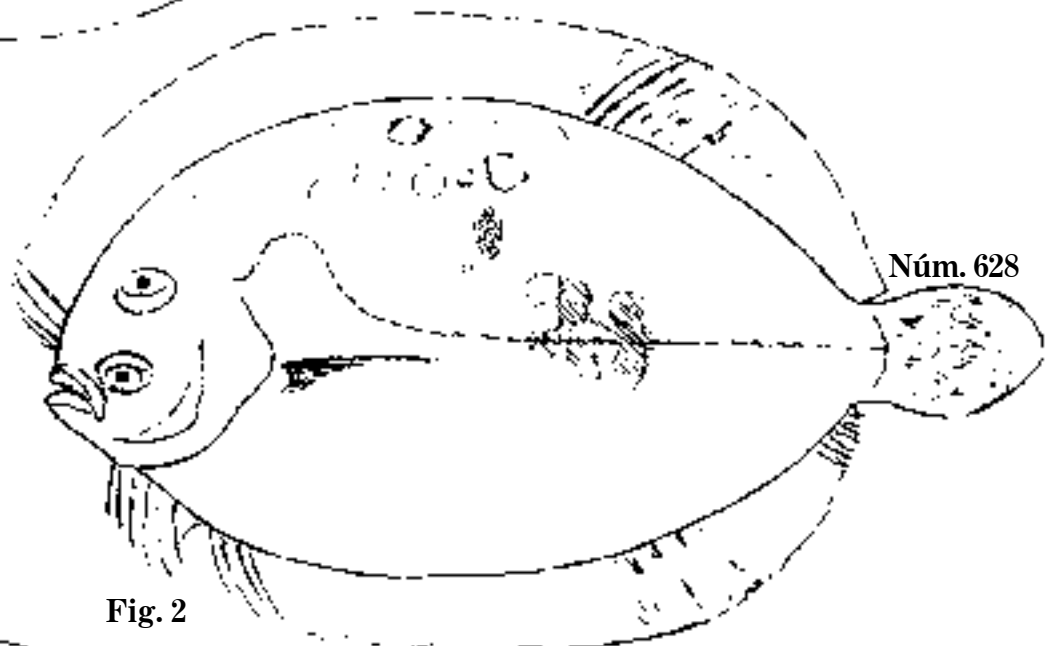


Fig. 2



Fig. 3

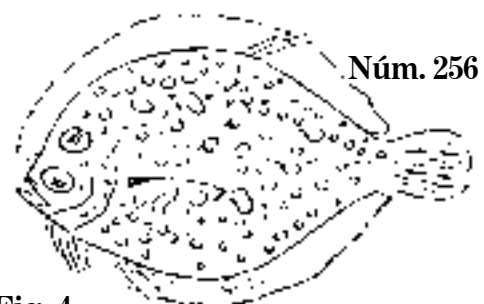


Fig. 4

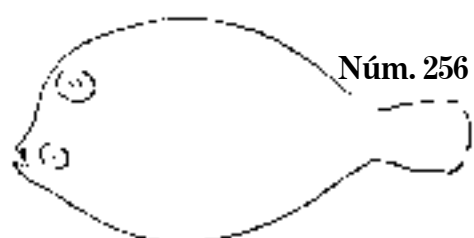


Fig. 5

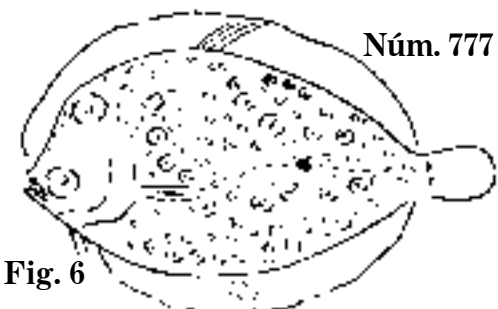


Fig. 6

Fig. 1 *Rhomboidichthys ellipticus*. C. 228 mm; D. 104; A. 71.

Fig. 2 *R. maculiferus*. C. 153 mm; D. 94; A. 72.

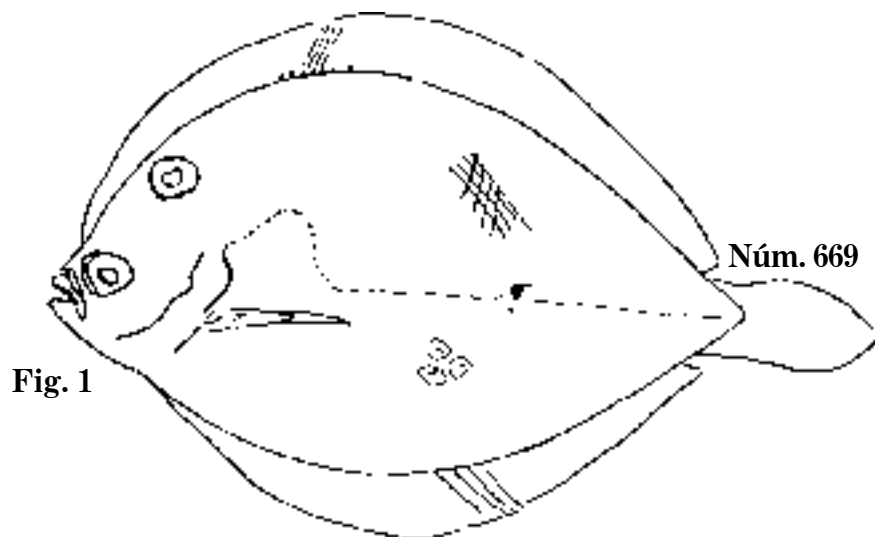
Fig. 3 *Rhomboidichthys*, 1861. P. 228 mm; D.; A.

Fig. 4 *R. ocellatus*. C. 69 mm; D.; A.

Fig. 5 *R. ocellatus*. C. 70 mm; D.; A.

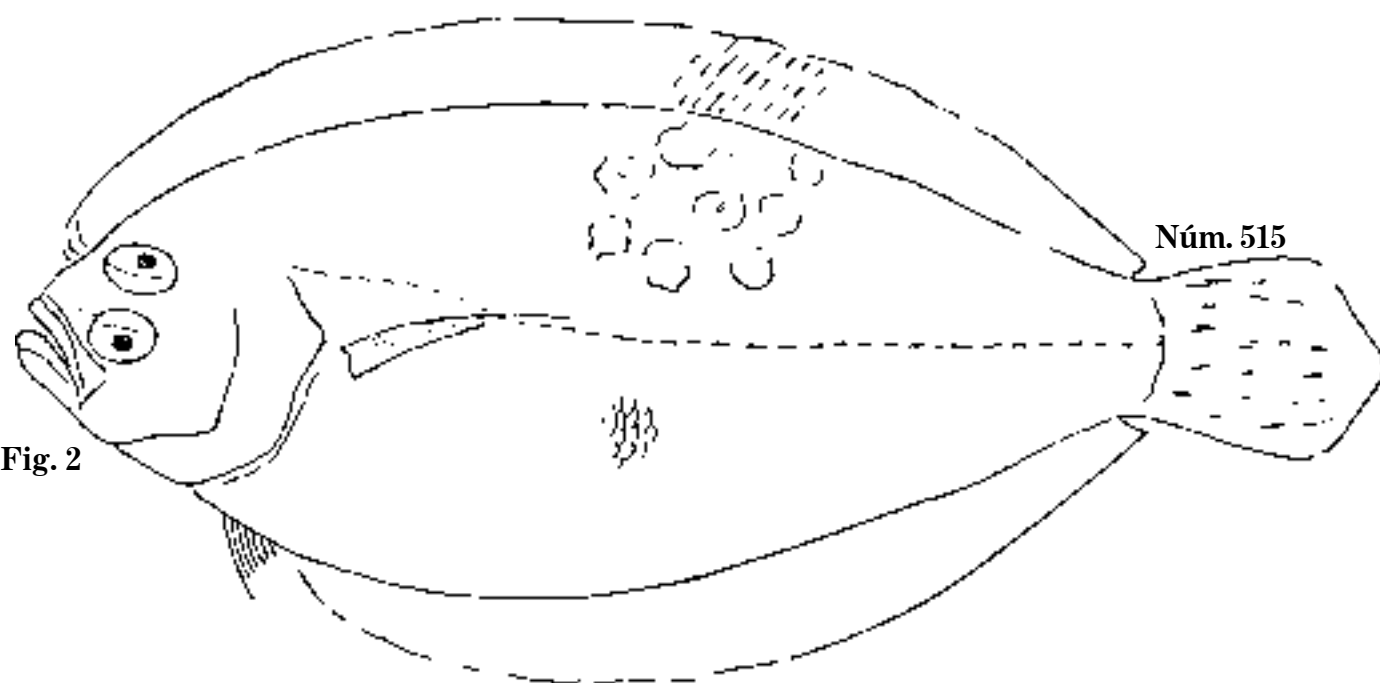
Fig. 6 *Rhomboidichthys*, 1877. C. 73 mm; D. 78; A. 48; lenguado.

Lám. 406



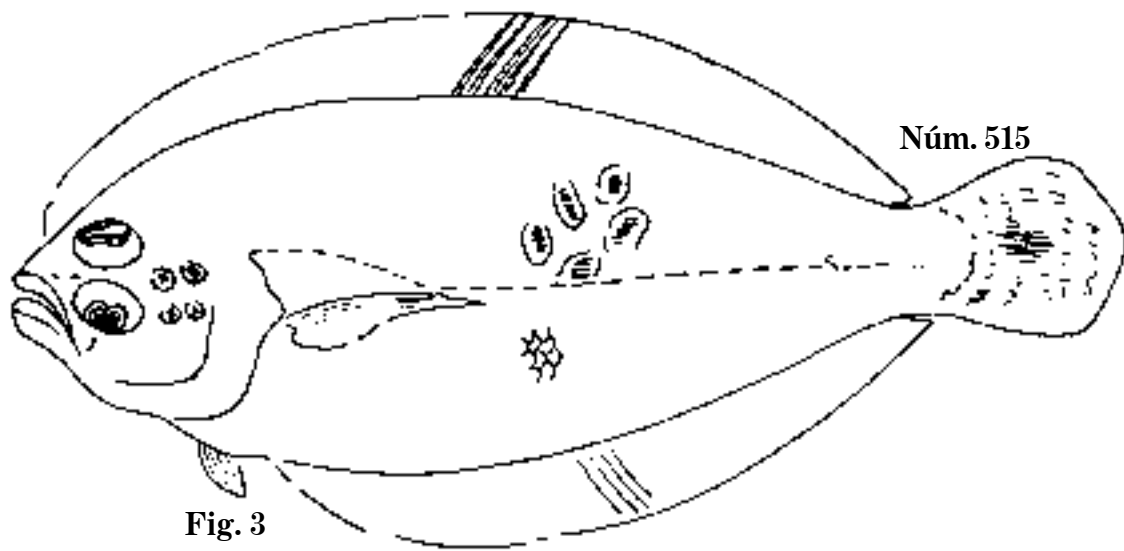
Núm. 669

Fig. 1



Núm. 515

Fig. 2



Núm. 515

Fig. 3

Fig. 1 *Rhomboideichthys spinosus*. C. 115 mm; D.; A.

Fig. 2 *Hemirhombus ocellatus*, 1861. C. 190 mm; D. 89; A. 72.

Fig. 3 *H. ocellatus*, 1860. C. 156 mm; D. 95; A. 75?; lenguado.

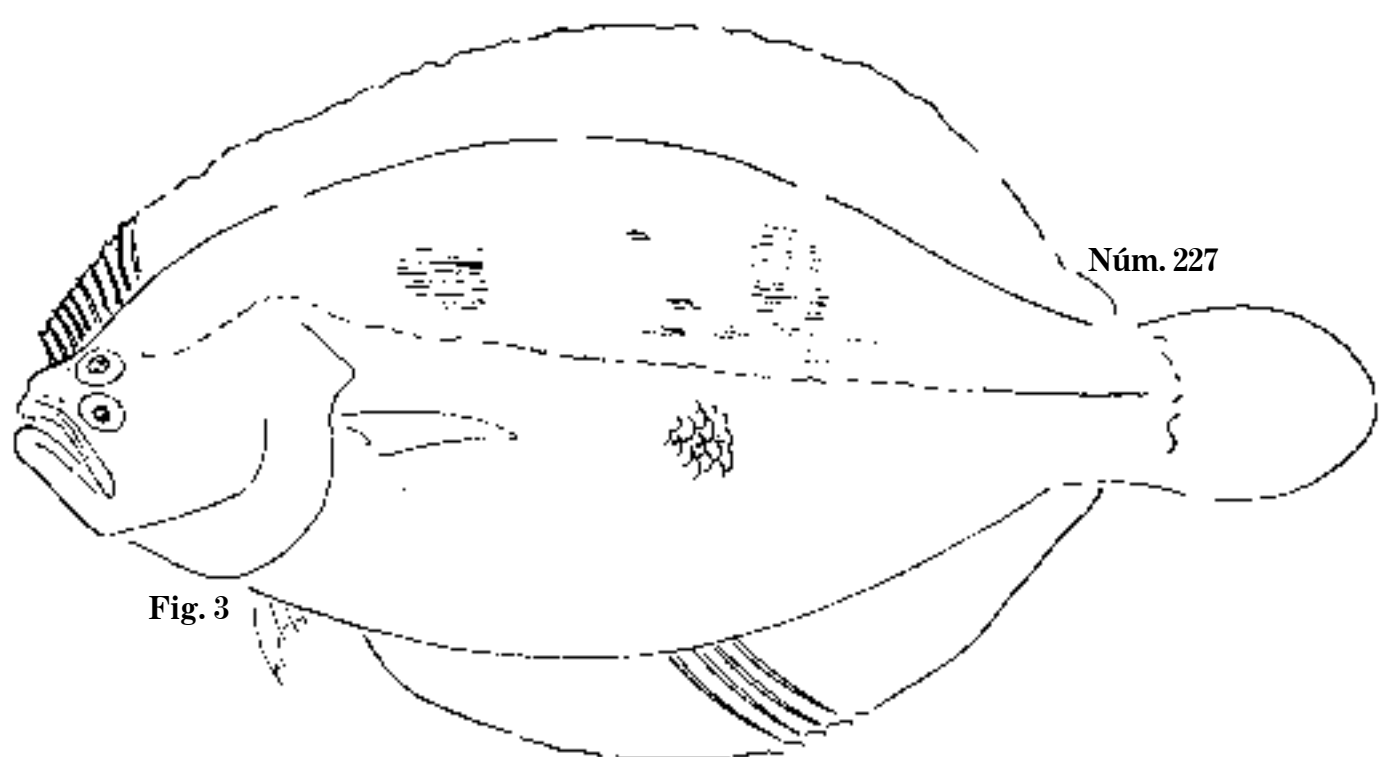
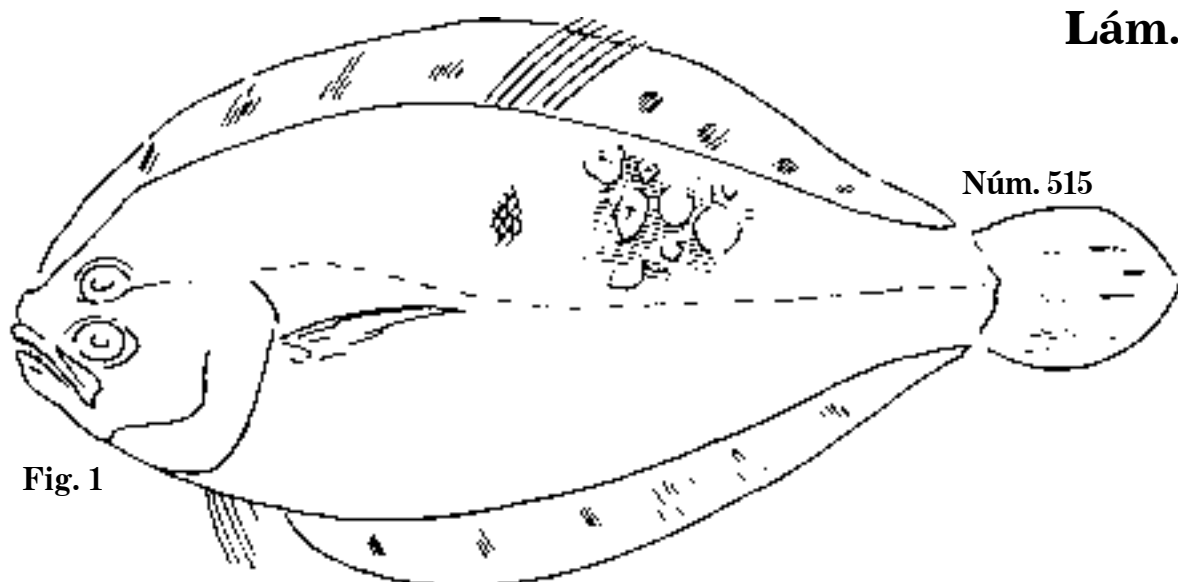


Fig. 1 *Hemirhombus ocellatus*, 1862. P. 150 mm; D.; A.

Fig. 2 *H. circumnotatus*, 1877. P. 78 mm; D. 80; A. 55.

Fig. 3 *Citharichthys fuscus*. C. 180 mm; D. 80; A. 56; lenguado.

Lám. 408

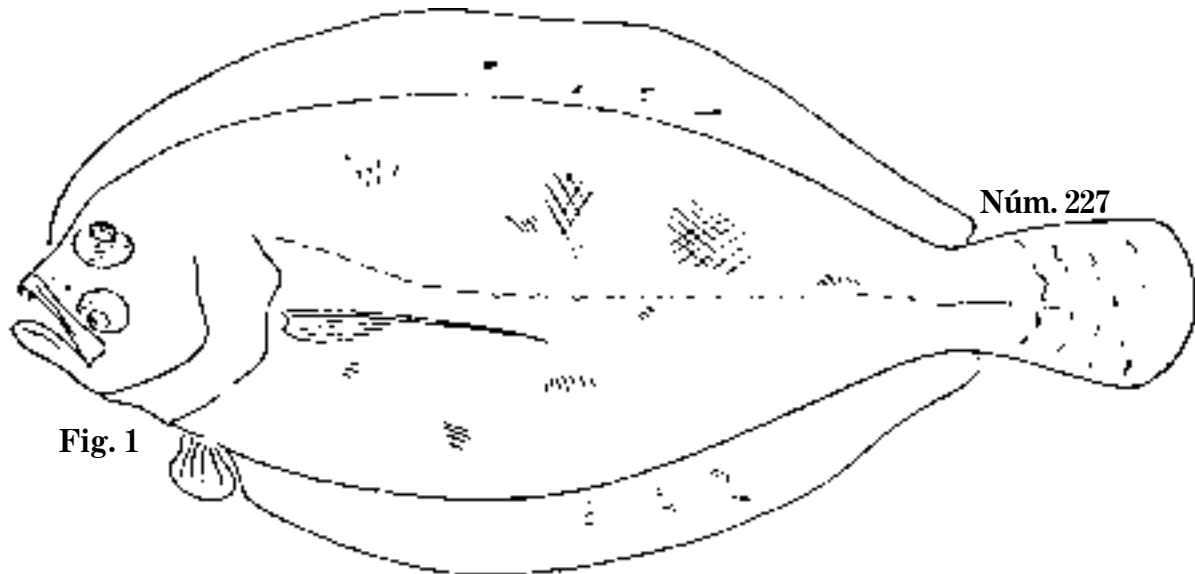
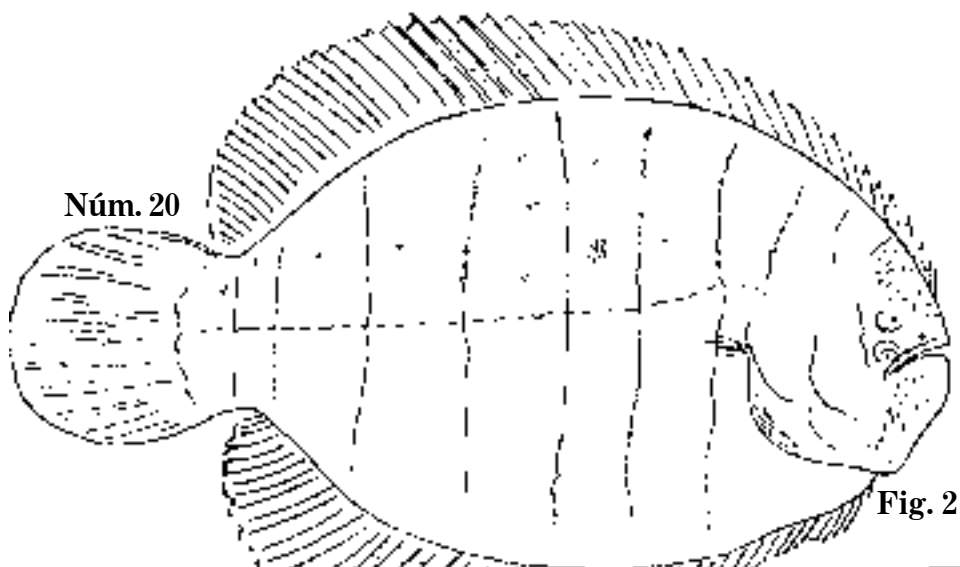


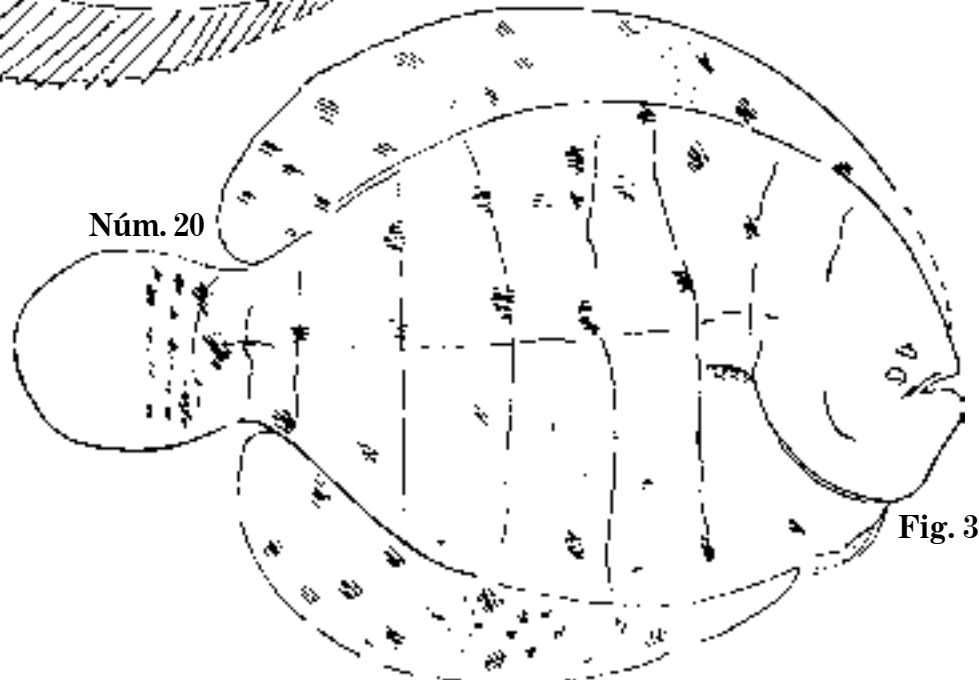
Fig. 1

Nº 227



Nº 20

Fig. 2



Nº 20

Fig. 3

Fig. 1 *Citharichthys fuscus*. C. 179 mm; D. 86?; A. 60?; lenguado.

Fig. 2 *Monochir maculipinnis*, 1860. C. 143 mm; D. 53; A. 40.

Fig. 3 *M. maculipinnis*, 1860. C. 144 mm; D.; A.; tapaculo.

Lám. 409

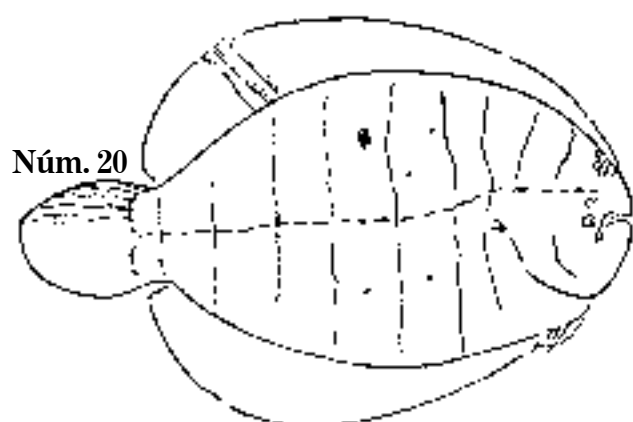
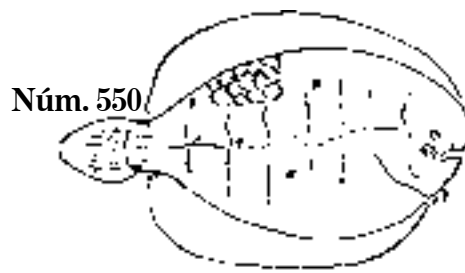
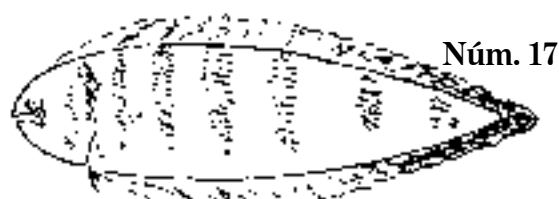


Fig. 1



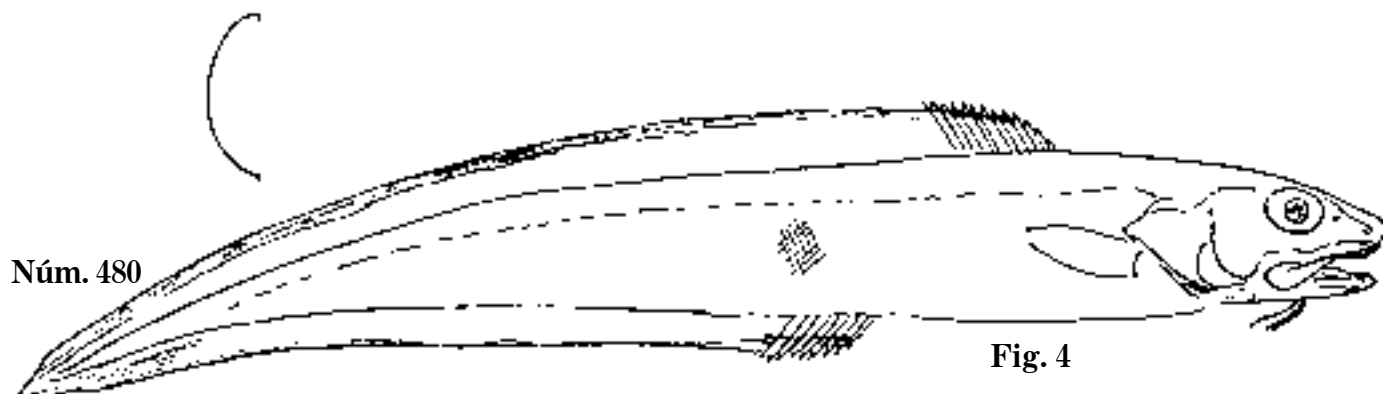
Núm. 550

Fig. 2



Núm. 17

Fig. 3



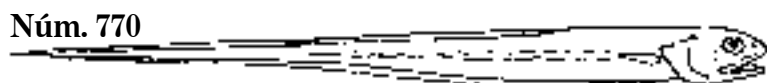
Núm. 480

Fig. 4



Núm. 612

Fig. 5



Núm. 770

Fig. 6

Fig. 1 *Monochir maculipinnis*. C. 207 mm; D. 54; A. 41; tapaculo.

Fig. 2 *M. reticulatus*, 1861. C. 69 mm; D. 54; A. 41; S.N.C.

Fig. 3 *Aphoristia ornata*. C. 178 mm; D.; A.; acedia.

Fig. 4 *Ophidium Graëlli*. C. 229 mm; D.; A.

Fig. 5 *Fierasfer affinis*, 1865. C. 139 mm; D.; A.

Fig. 6 *Fierasfer*. C. 134 mm; D.; A.; S.N.C.

Lám. 410

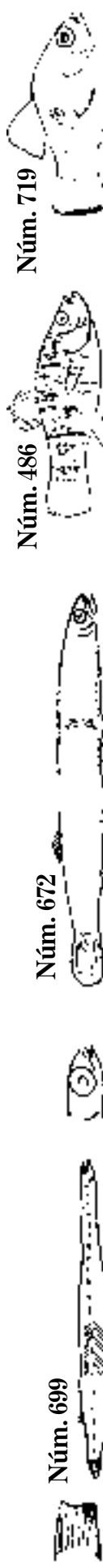


Fig. 1



Fig. 2



Fig. 3



Fig. 4



Fig. 5



Fig. 6



Fig. 7



Fig. 8



Fig. 9



Fig. 10



Fig. 11



Fig. 12



Fig. 13



Fig. 14



Fig. 15

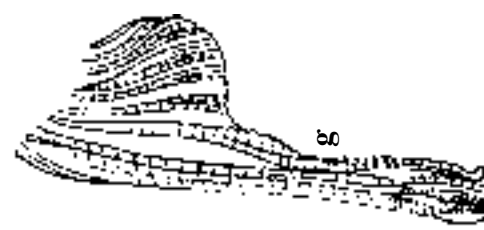


Fig. 16

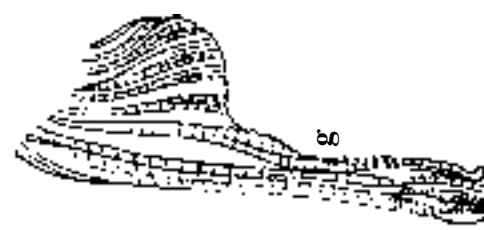


Fig. 17

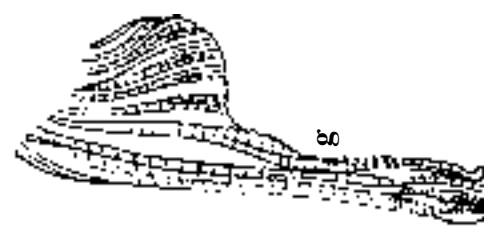


Fig. 18

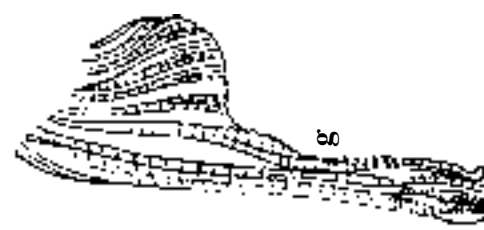


Fig. 19

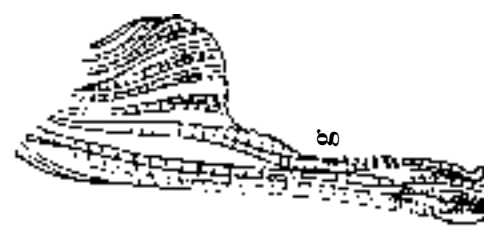


Fig. 20

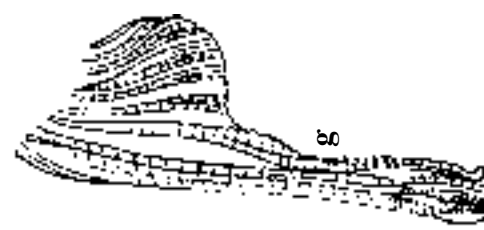


Fig. 21

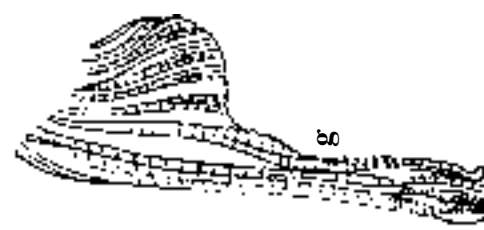


Fig. 22

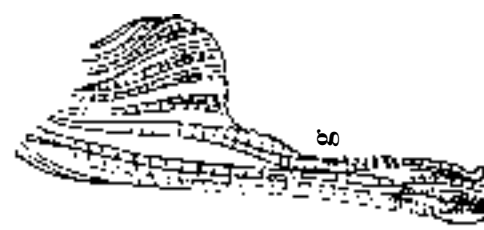


Fig. 23

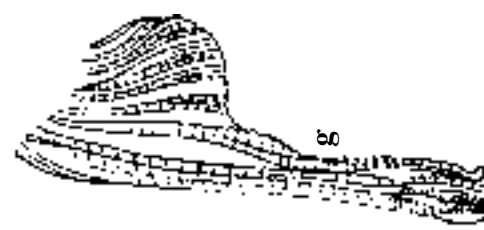


Fig. 24

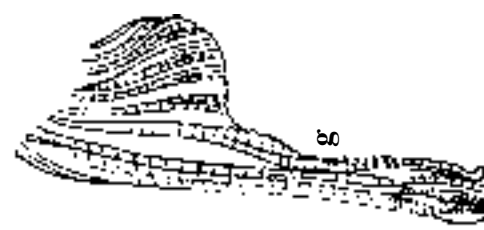


Fig. 25

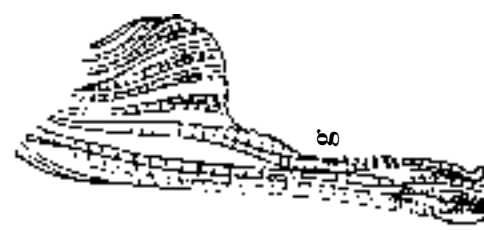


Fig. 26

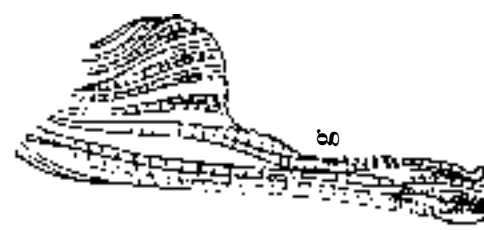


Fig. 27

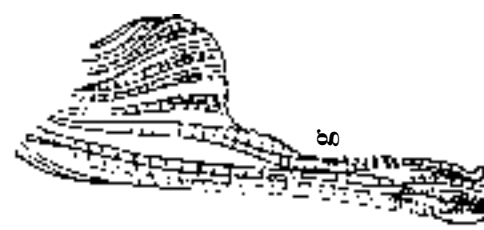


Fig. 28

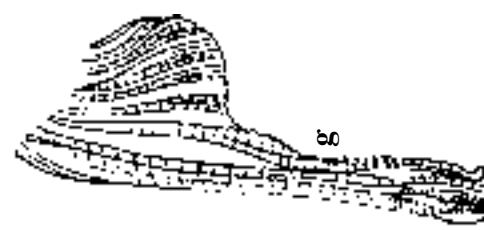


Fig. 29

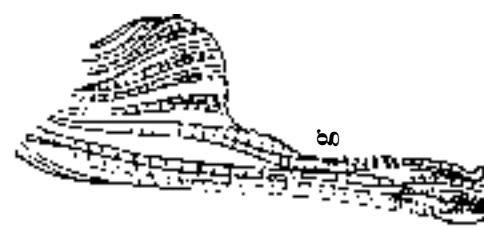


Fig. 30

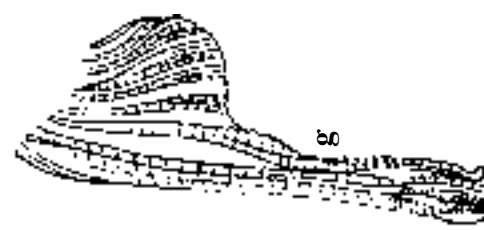


Fig. 31

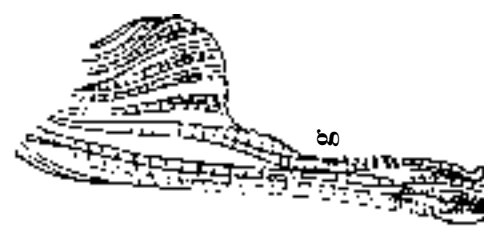


Fig. 32

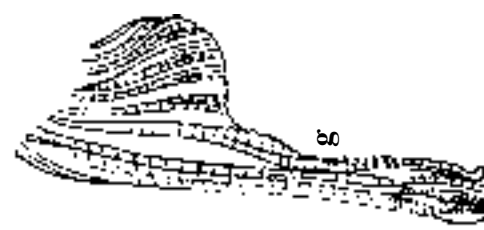


Fig. 33

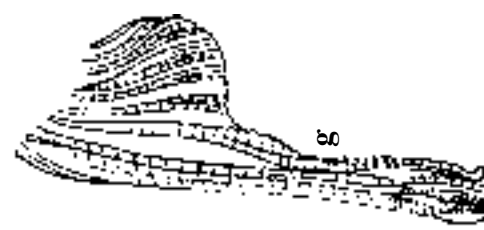


Fig. 34

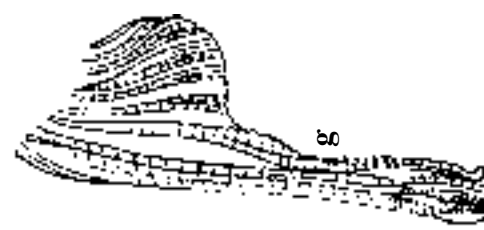


Fig. 35

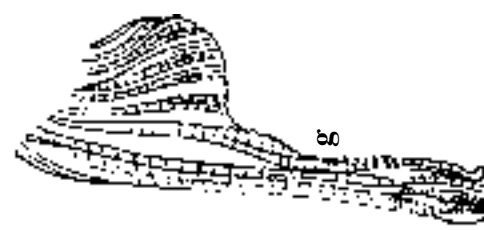


Fig. 36

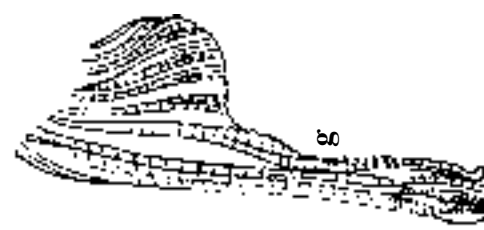


Fig. 37

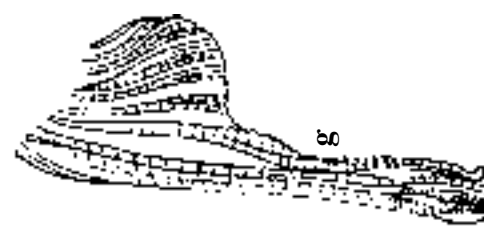


Fig. 38

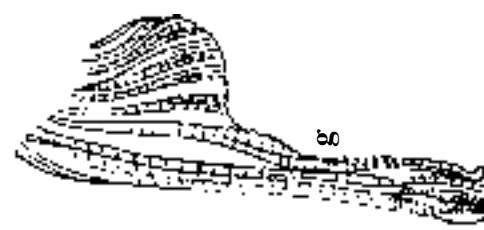


Fig. 39

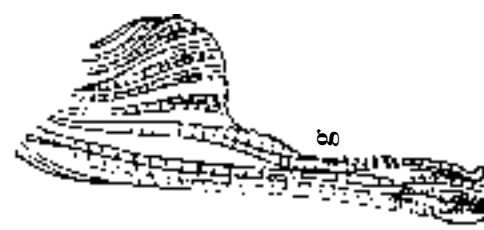


Fig. 40

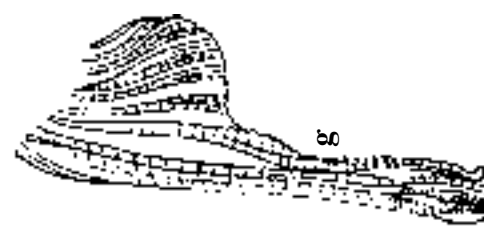


Fig. 41

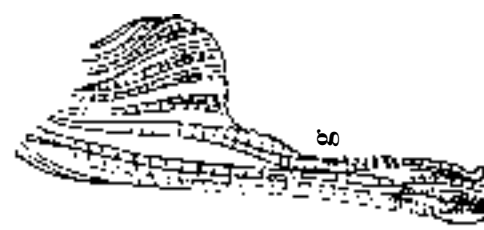


Fig. 42

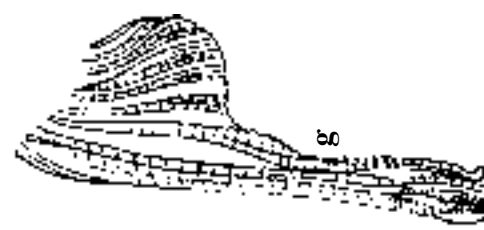


Fig. 43

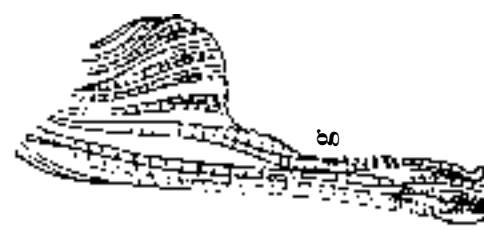


Fig. 44

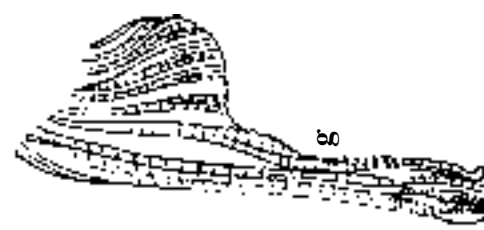


Fig. 45

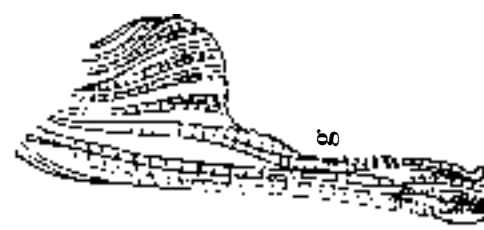


Fig. 46

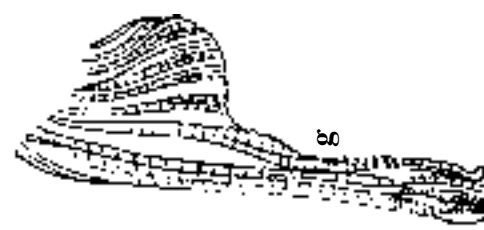


Fig. 47

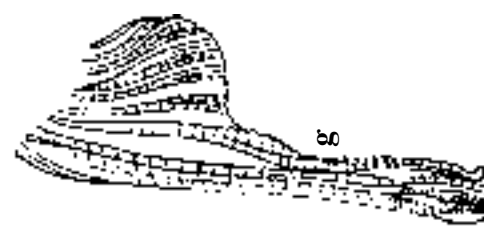


Fig. 48

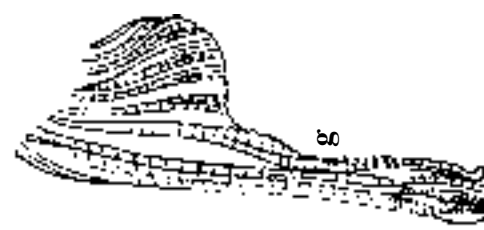


Fig. 49

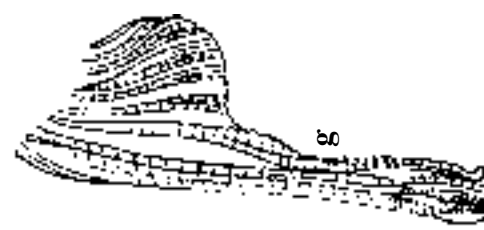


Fig. 50

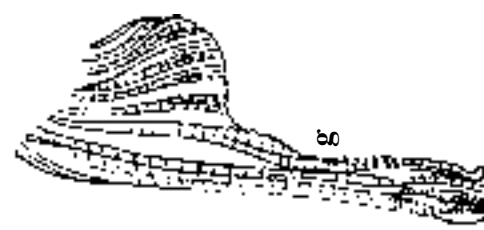


Fig. 51

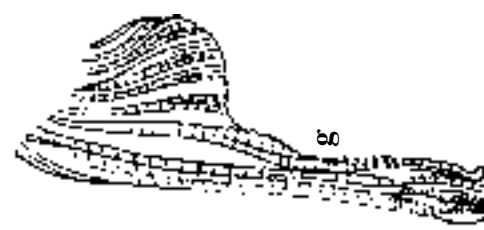


Fig. 52

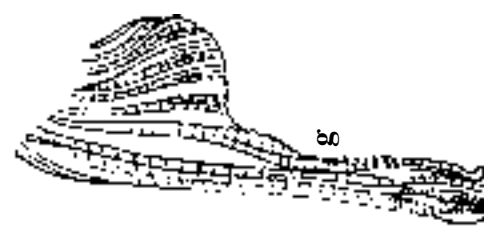


Fig. 53

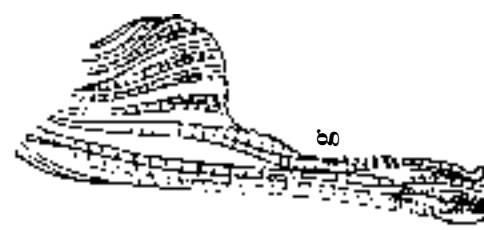


Fig. 54

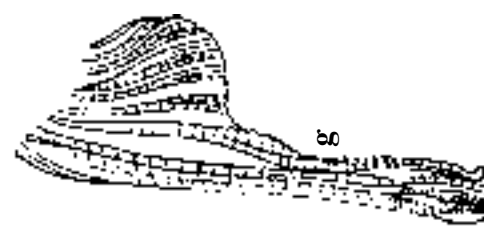


Fig. 55

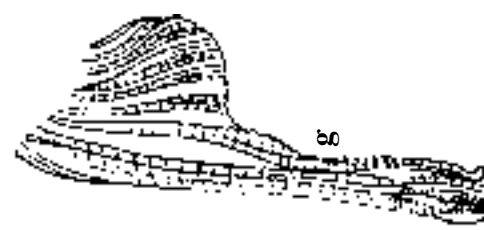


Fig. 56

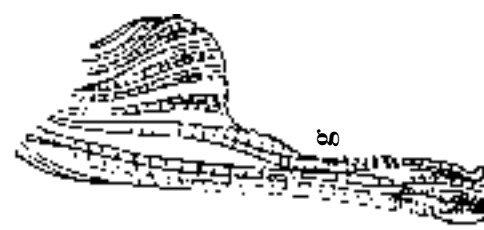


Fig. 57

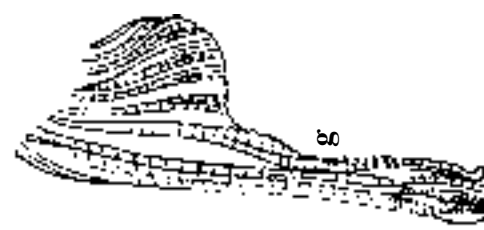


Fig. 58

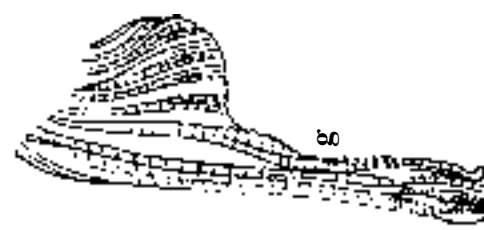


Fig. 59

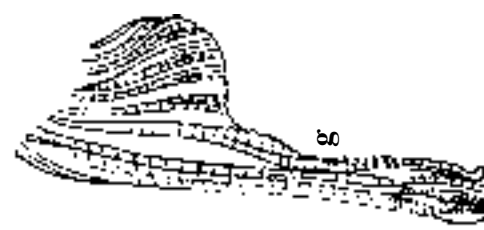


Fig. 60

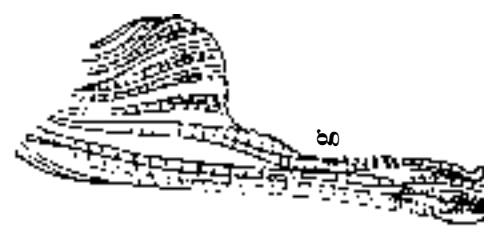


Fig. 61

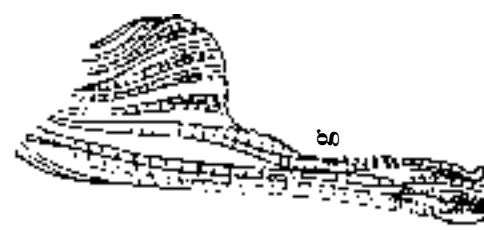


Fig. 62

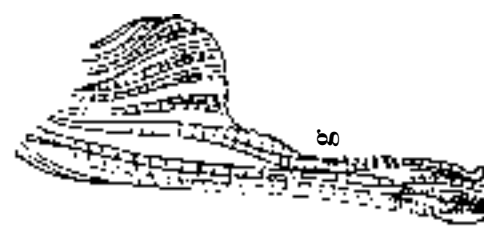


Fig. 63

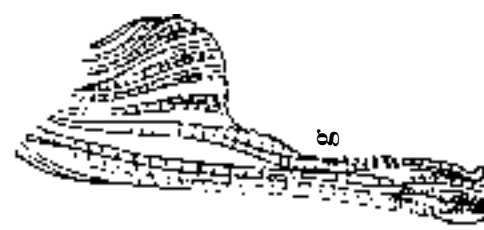


Fig. 64

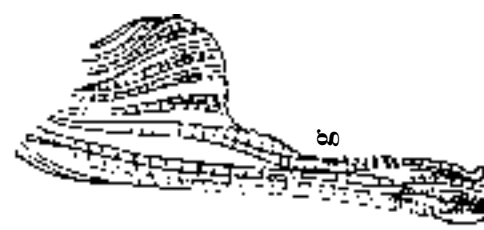


Fig. 65

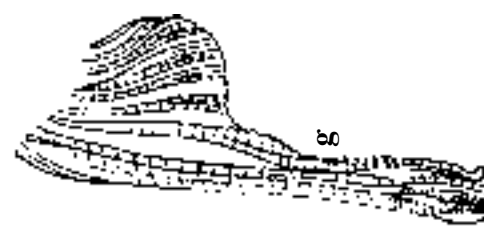


Fig. 66

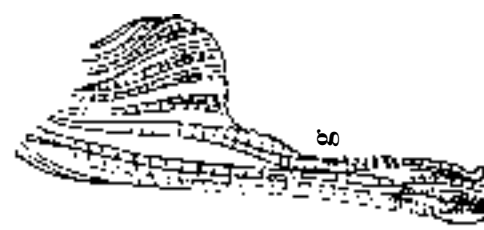


Fig. 67

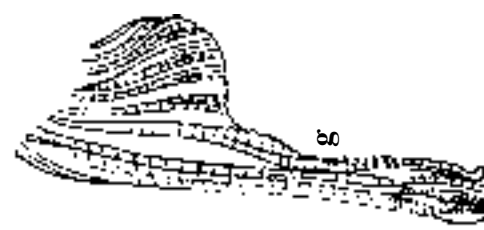


Fig. 68

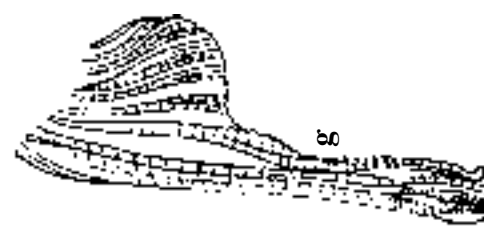


Fig. 69

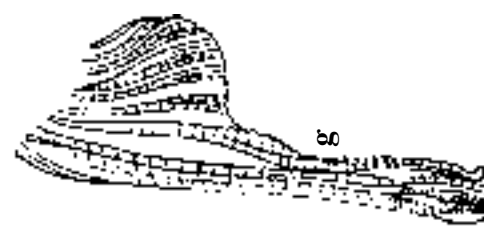


Fig. 70

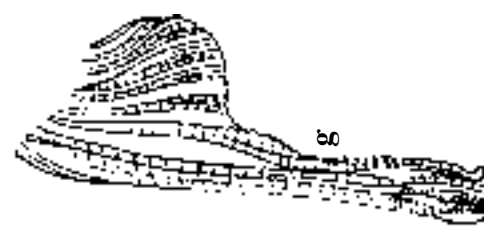


Fig. 71

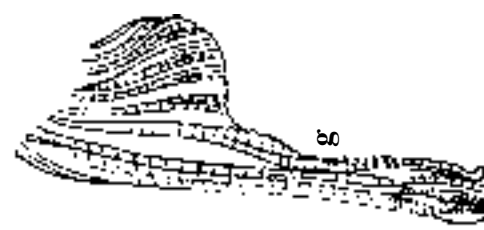


Fig. 72

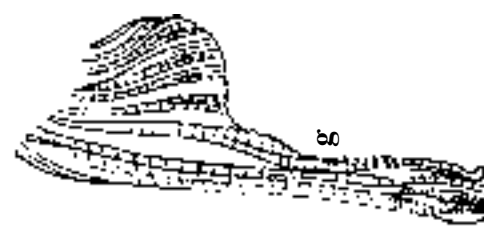


Fig. 73

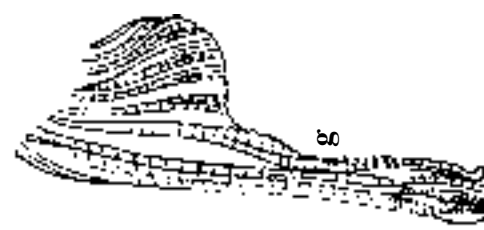


Fig. 74

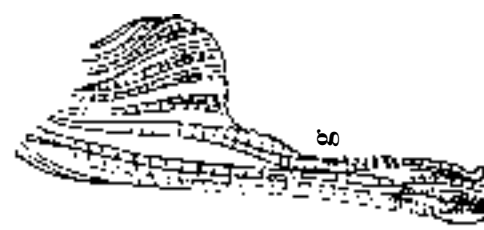


Fig. 75

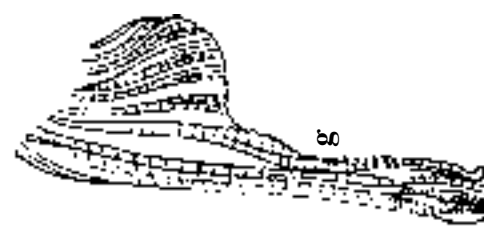


Fig. 76

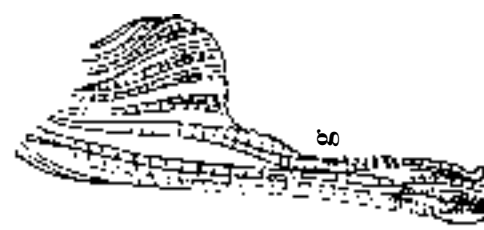


Fig. 77

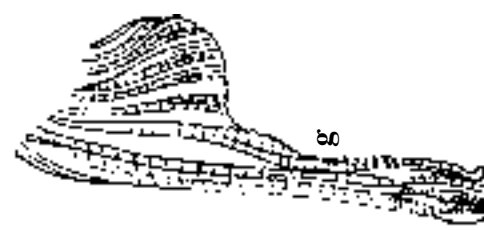


Fig. 78

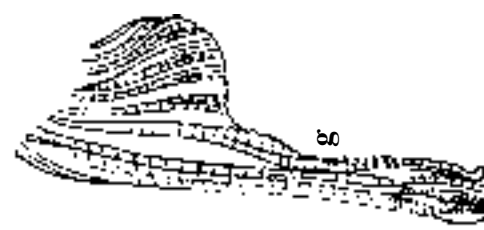


Fig. 79

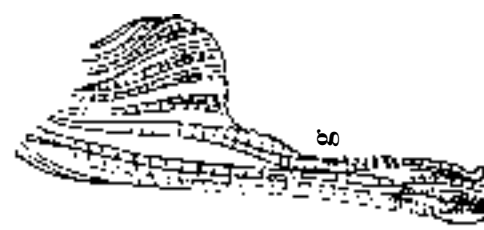


Fig. 80

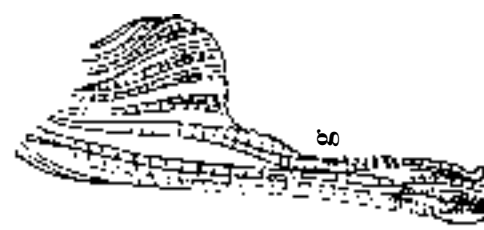


Fig. 81

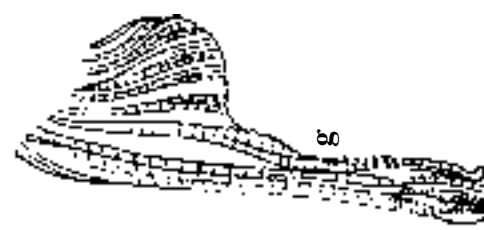


Fig. 82

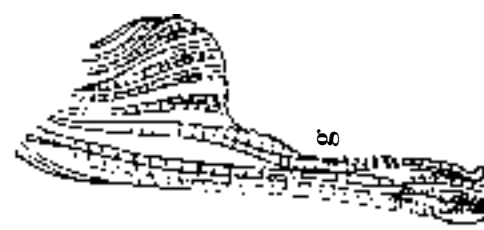


Fig. 83

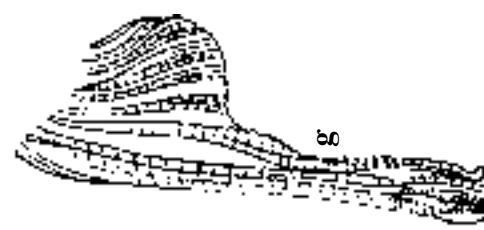


Fig. 84

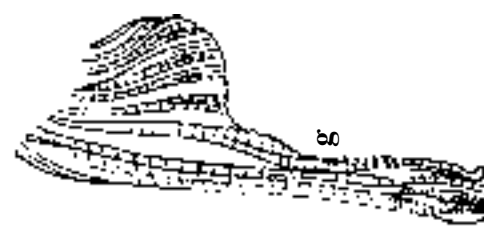


Fig. 85

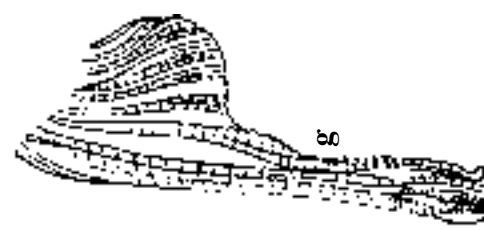


Fig. 86

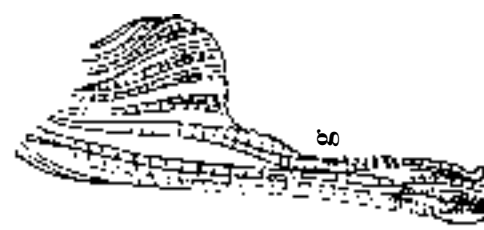


Fig. 87

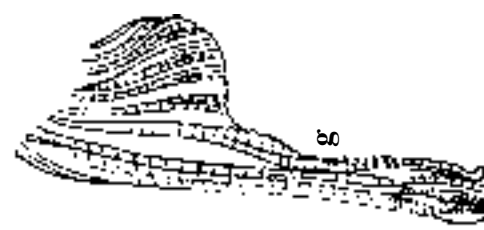


Fig. 88

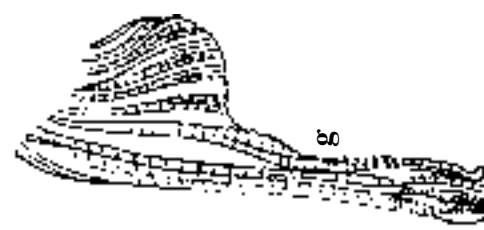


Fig. 89

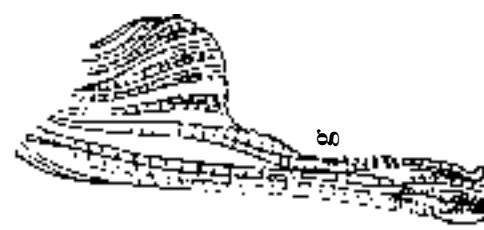


Fig. 90

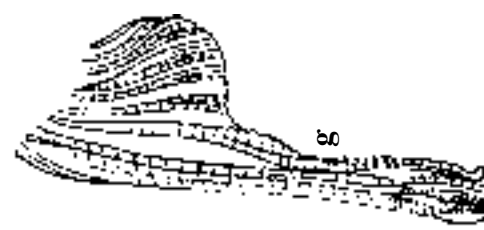


Fig. 91

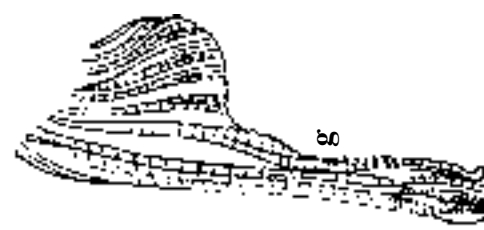


Fig. 92

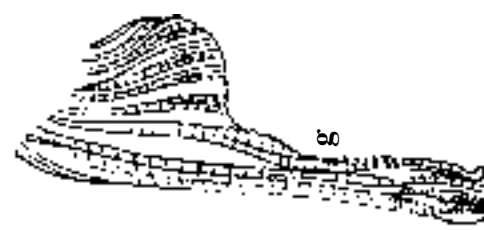


Fig. 93

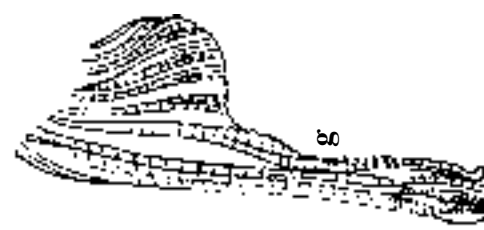


Fig. 94

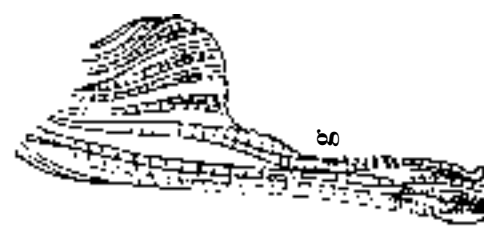


Fig. 95

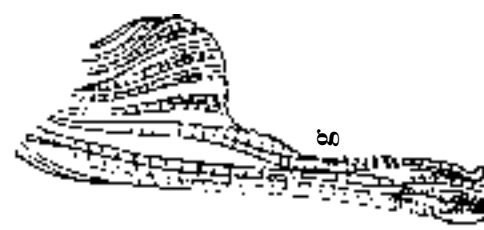


Fig. 96

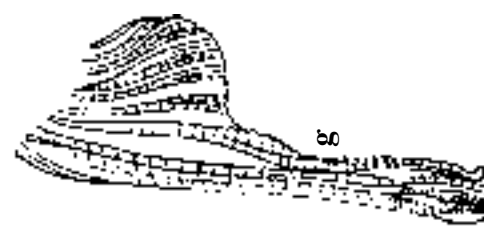
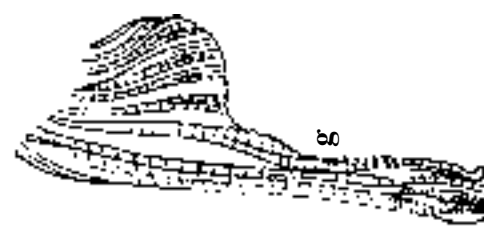


Fig. 97



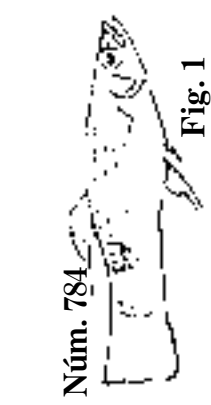


Fig. 1
Núm. 784



Fig. 2
Núm. 347

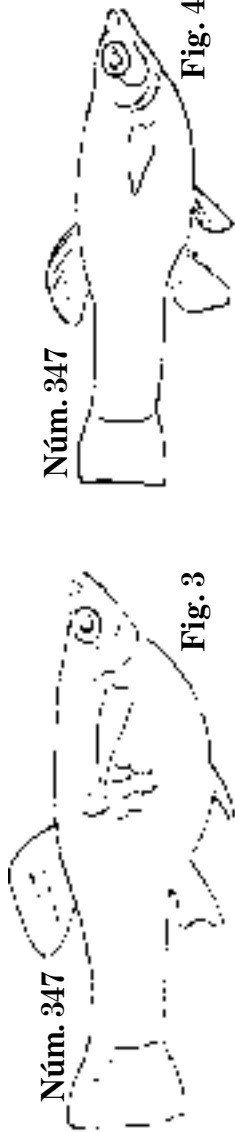


Fig. 3
Núm. 692



Fig. 4
Núm. 347



Fig. 5a
Núm. 506

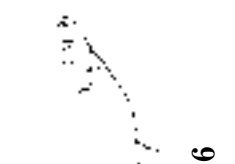


Fig. 5b
Núm. 347

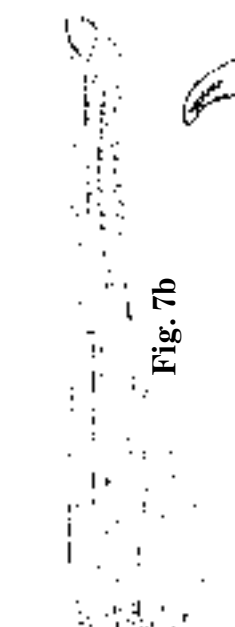


Fig. 6
Núm. 347

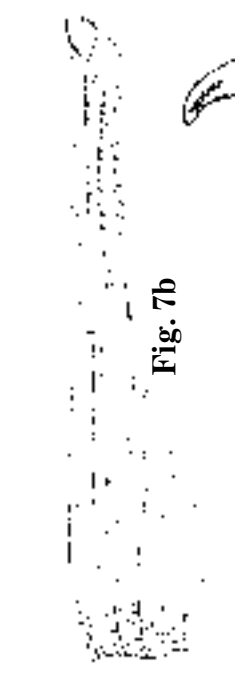


Fig. 7a
Núm. 506



Fig. 7b
Núm. 347

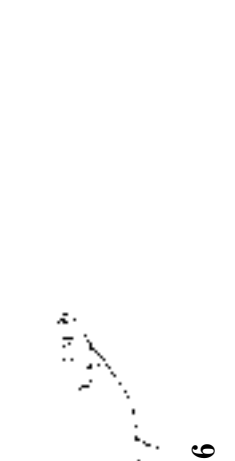


Fig. 7c
Núm. 347

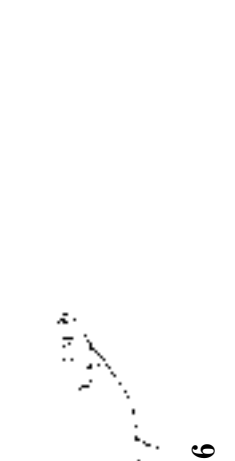


Fig. 7d
Núm. 347

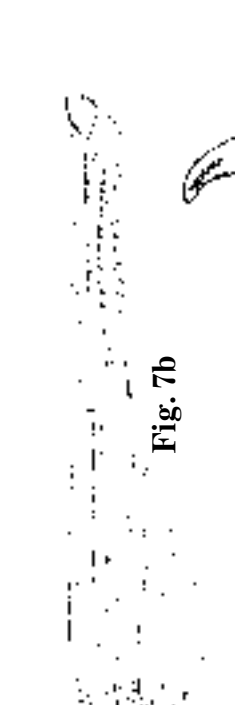


Fig. 8
Núm. 522

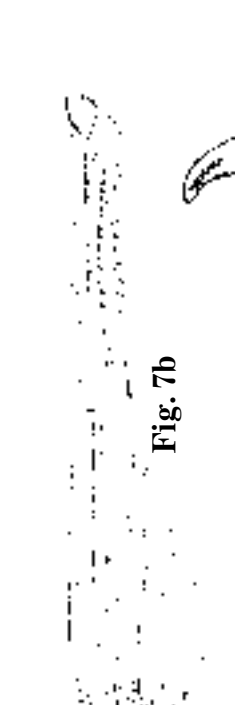


Fig. 9
Núm. 461

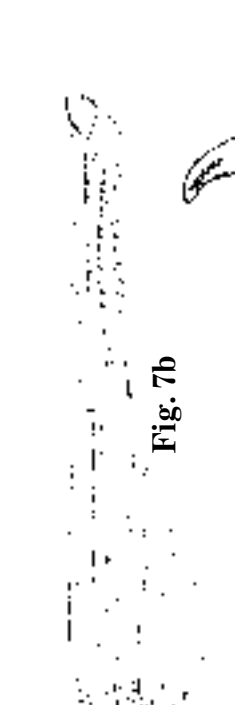


Fig. 10
Núm. 461

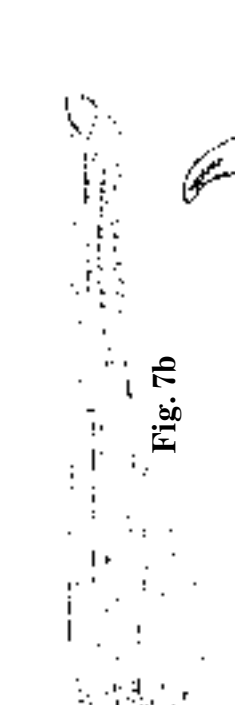


Fig. 11
Núm. 461

Fig. 1 *Gambusia filamentosa*, 1878. P. 56 mm; D; A.
Fig. 2 *G. picturata*. C. 38 mm; D; A.
Fig. 3 *Lymna cubensis*; C. 86 mm; D. 10,11; A. 10,11.
Fig. 4 *L. cubensis*. C. 75 mm; D. 10,11; A. 10,11.

Fig. 5 a, b *L. cubensis*. C. 55 mm; D. 10,11; A. 10,11.
Fig. 6 *Girardinus metallicus*. P. 65 mm; D. 9; A. 11.
Fig. 7 a-d *G. metallicus*. P. 40 mm; D. 9; A. 11.
Fig. 8 *G. uninotatus*. C. 99 mm; D. 18; A. 1,10.

Fig. 9 *G. uninotatus*. C. 47 mm; D. 18; A.1,10.
Fig. 10 *G. rectangularis*, 1878. P. 41 mm; D; A.
Fig. 11 *G. rectangularis*, 1878. P. 60 mm; D; A; guajacón.

Lám. 411

Lám. 412

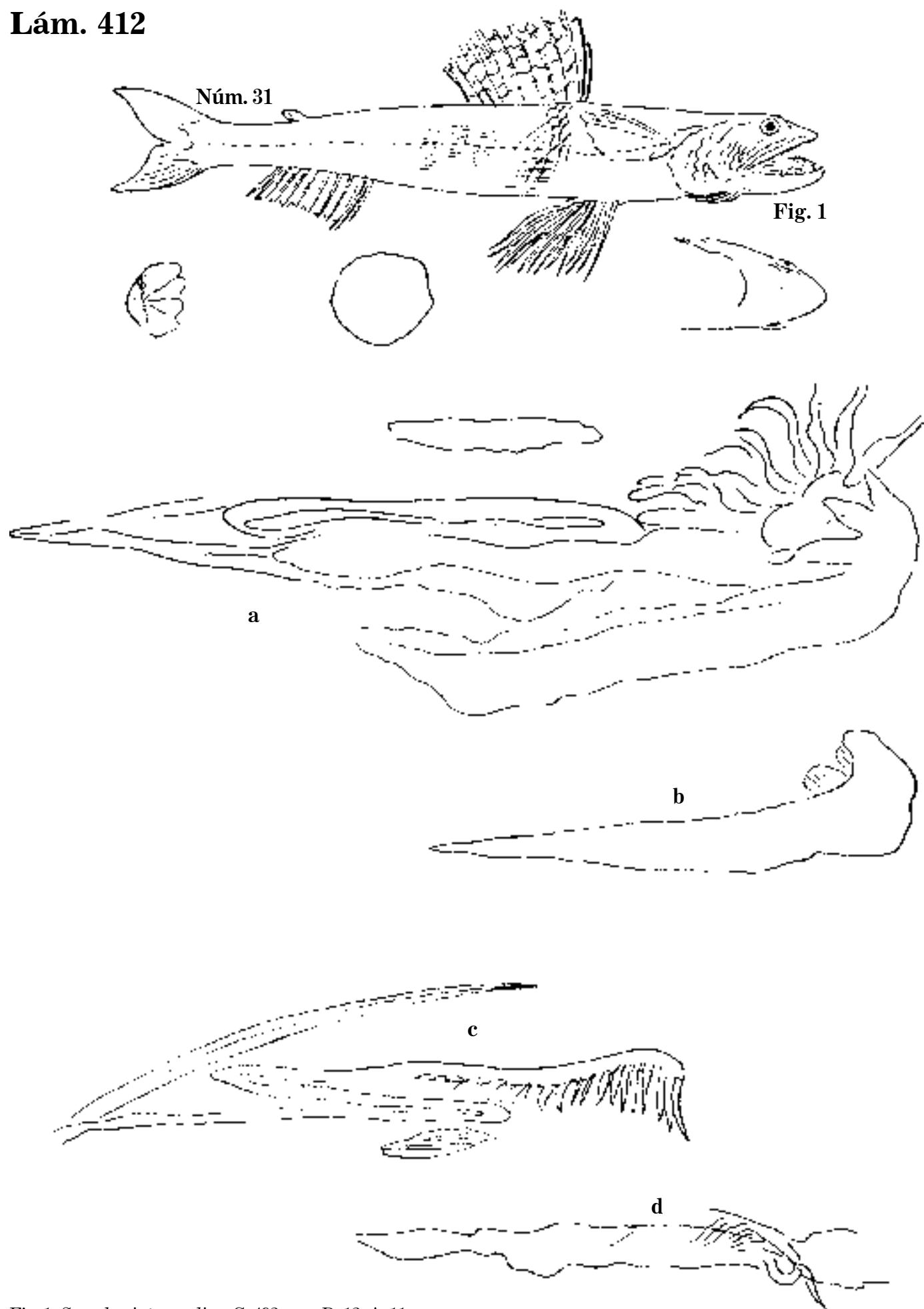


Fig. 1 *Synodus intermedius*. C. 492 mm; D. 12; A. 11.
a-d. *S. intermedius*. Osteología y órganos; lagarto.

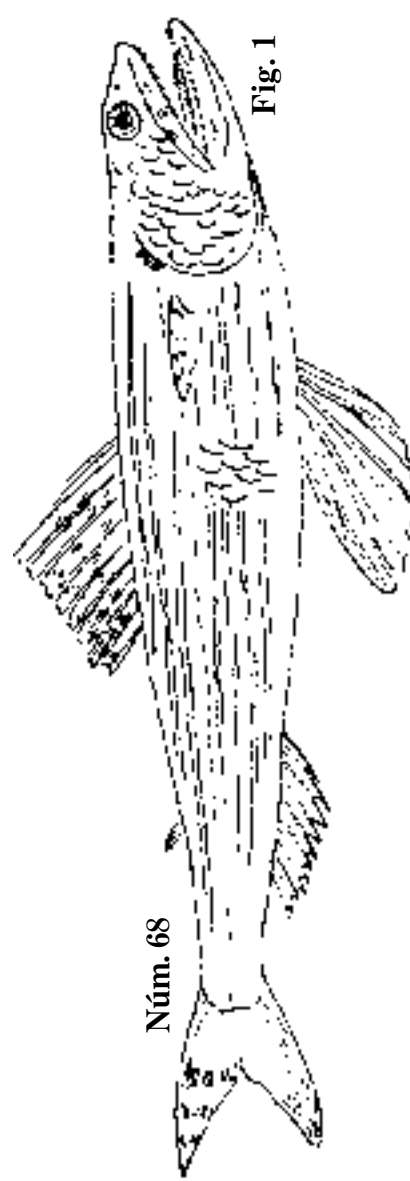


Fig. 1 *Symodus*, 1861. C. 332 mm; D. 12; A. 11.
Fig. 2 *S. cubanus*, 1870. P. 395 mm; D. 12; A. 12; lagarto.

Lám. 414

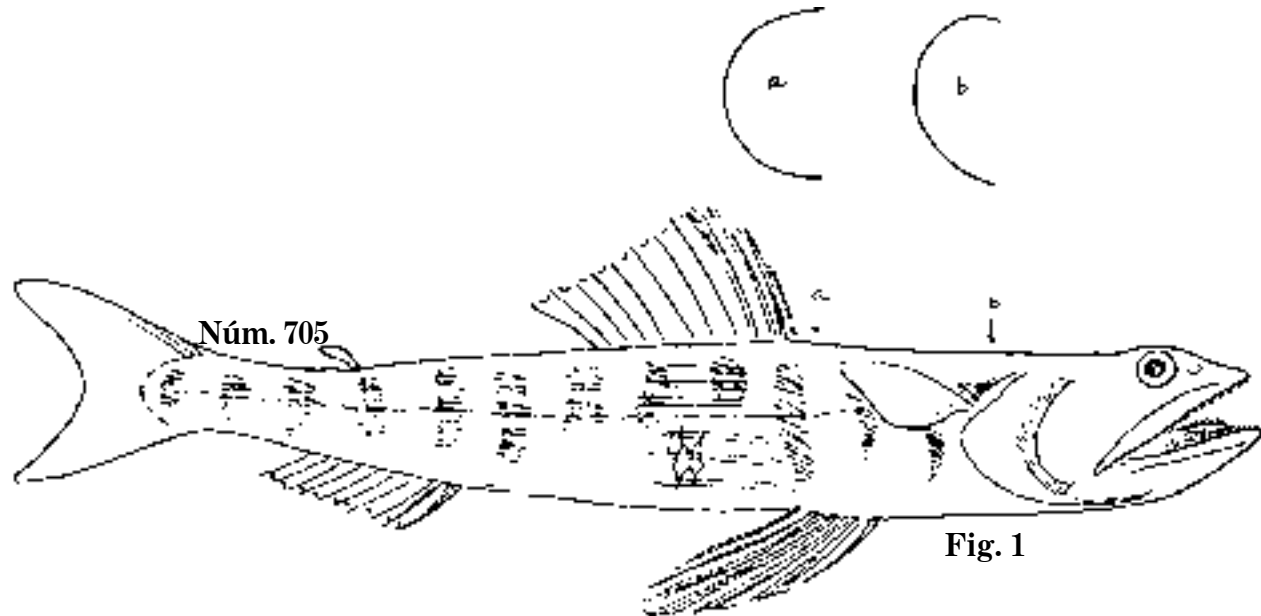


Fig. 1

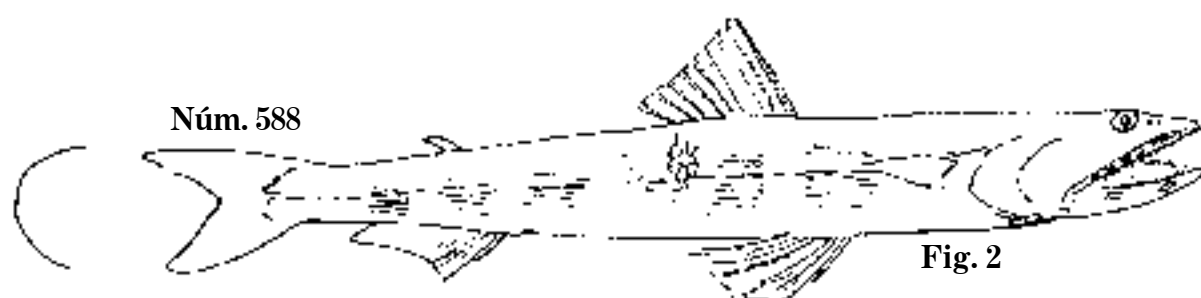


Fig. 2

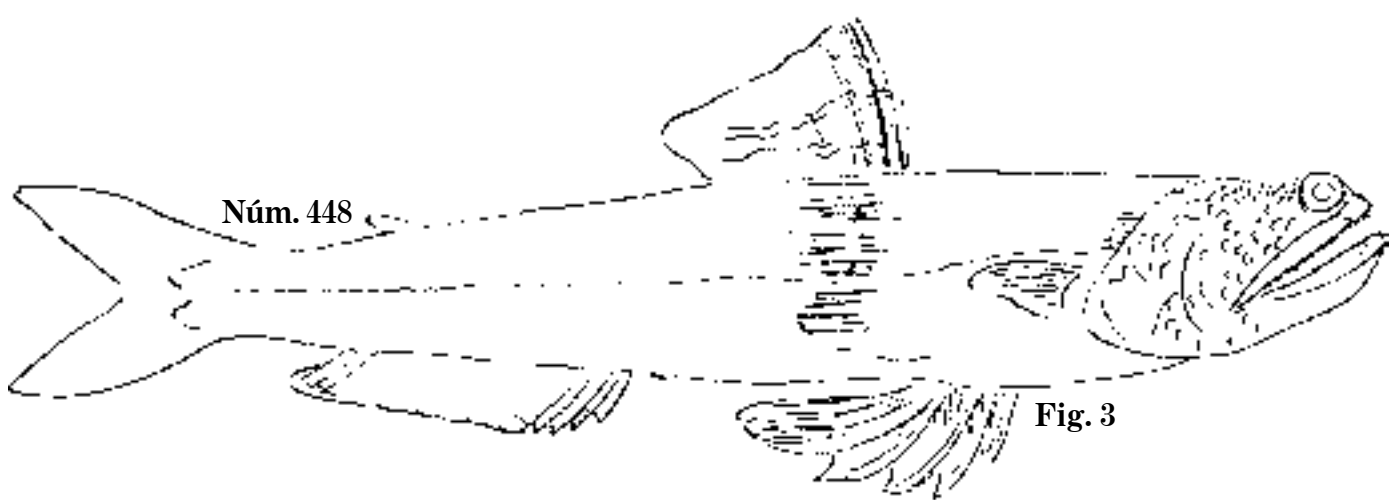


Fig. 3

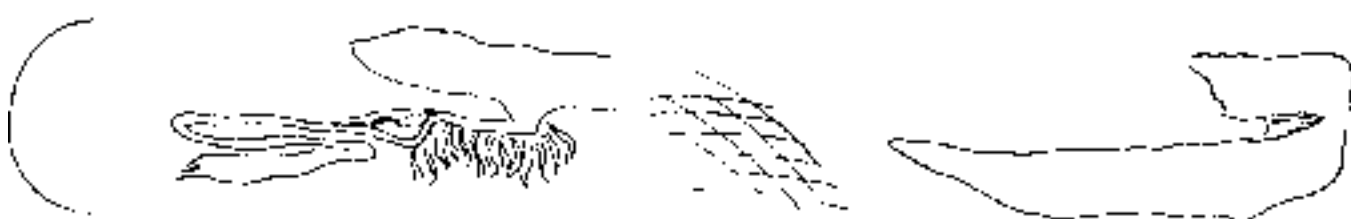


Fig. 1 *Synodus*, 1862. P. 390 mm; D. 11; A. 11.

Fig. 2 *S. Spixianus*, 1860. C. 328 mm; D. 10; A. 12.

Fig. 3 *Trachinocephalus brevirostris*, 1857. C. 212 mm; D. 11; A. 10; lagarto.

Lám. 415

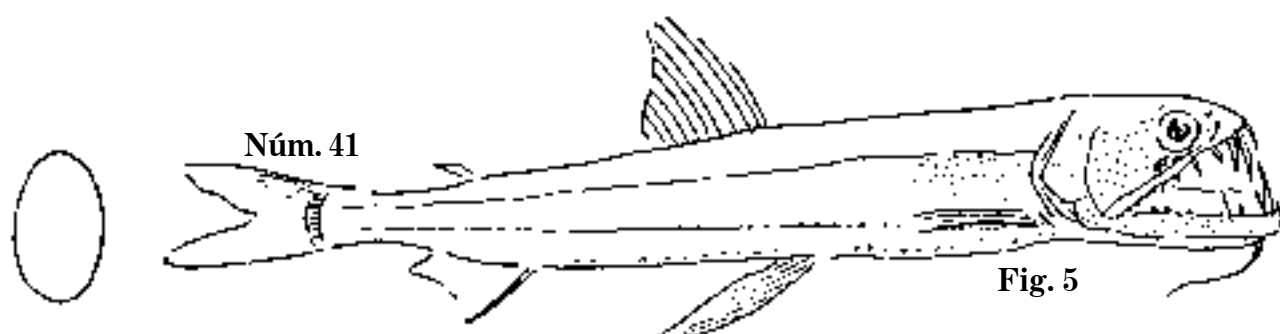
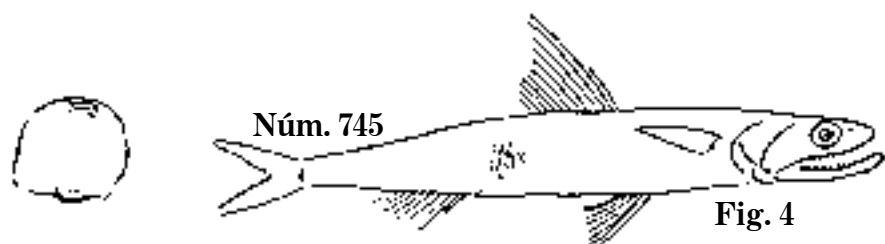
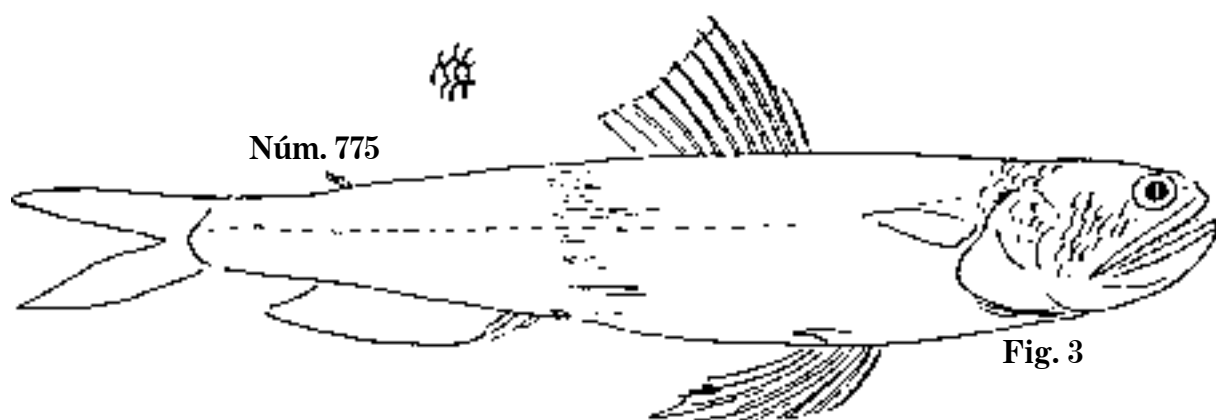
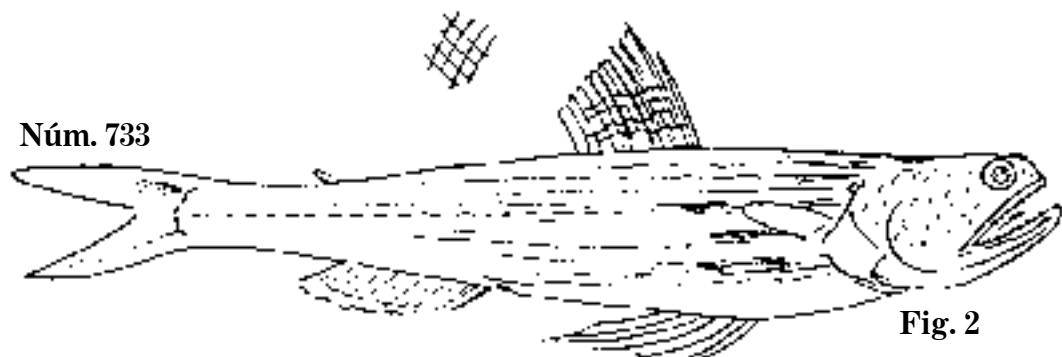


Fig. 1 *Trachinocephalus*, 1875. C. 102 mm; D. 12; A.?

Fig. 2 *Trachinocephalus*, 1869. P. 142 mm; D. 11; A. 12.

Fig. 3 *Trachinocephalus*, 1877. C. 169 mm; D. 11; A. 15; lagarto.

Fig. 4 *Saurida occidentalis*, 1876. C. 95 mm; D. 12; A. 10.

Fig. 5 *Astronesthes Richardsoni*. C. 155 mm; D. 11; A. 12; S.N.C.

Lám. 416

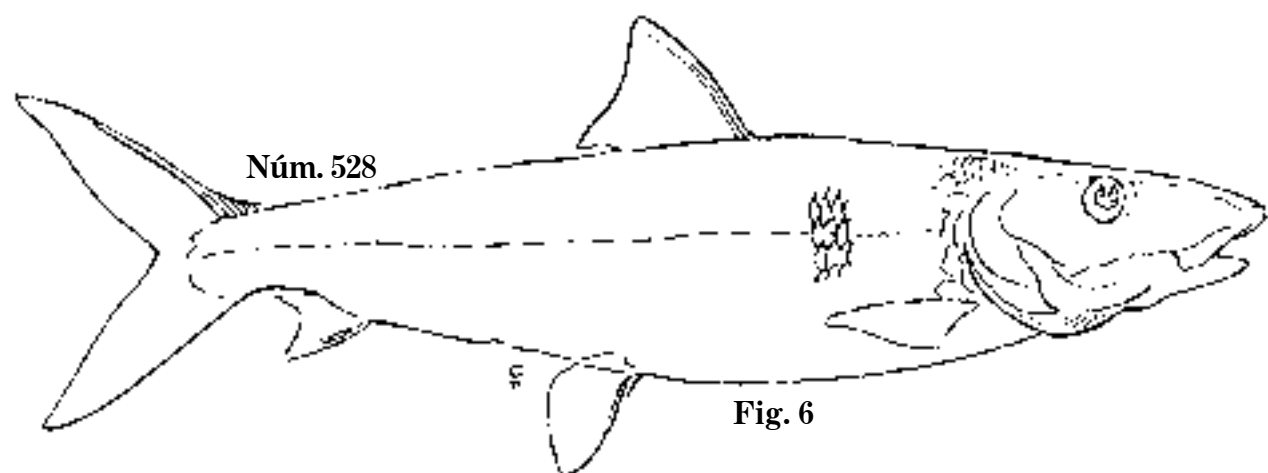
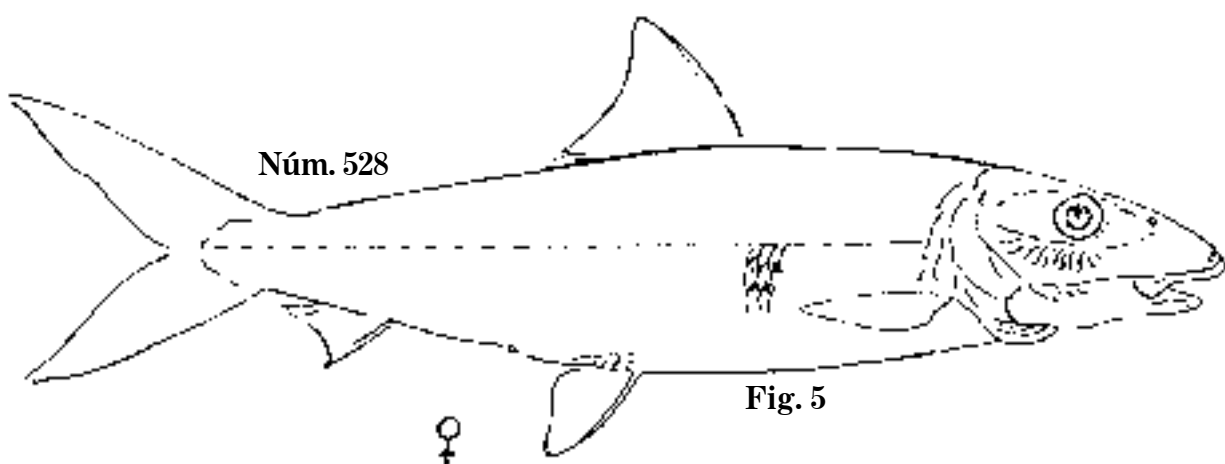
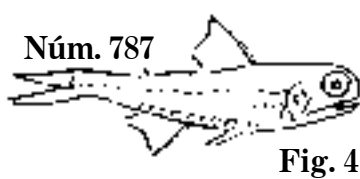
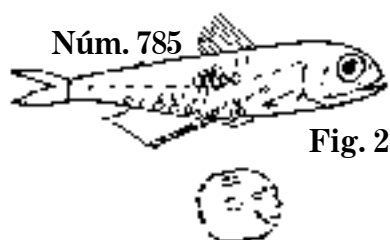
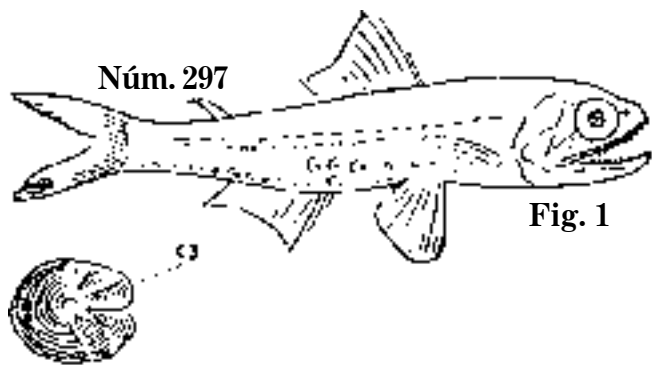


Fig. 1 *Scopelus nocturnus*. C. 91 mm; D. 14; A. 15.
Fig. 2 *S. lateralis*, 1877. C. 53 mm; D. 9; A. 10 a 12.
Fig. 3 *S. oculatus*. P. 70 mm; D. 11; A. 11.

Fig. 4 *S. fissus*. C. 50 mm; D. 14; A. 15; S.N.C.
Fig. 5 *Albula conorhynchus*, 1862. C. 523 mm; D. 16; A. 8.
Fig. 6 *A. conorhynchus*, 1865. C. 709 mm; D. 16?; A. 12; macabí.

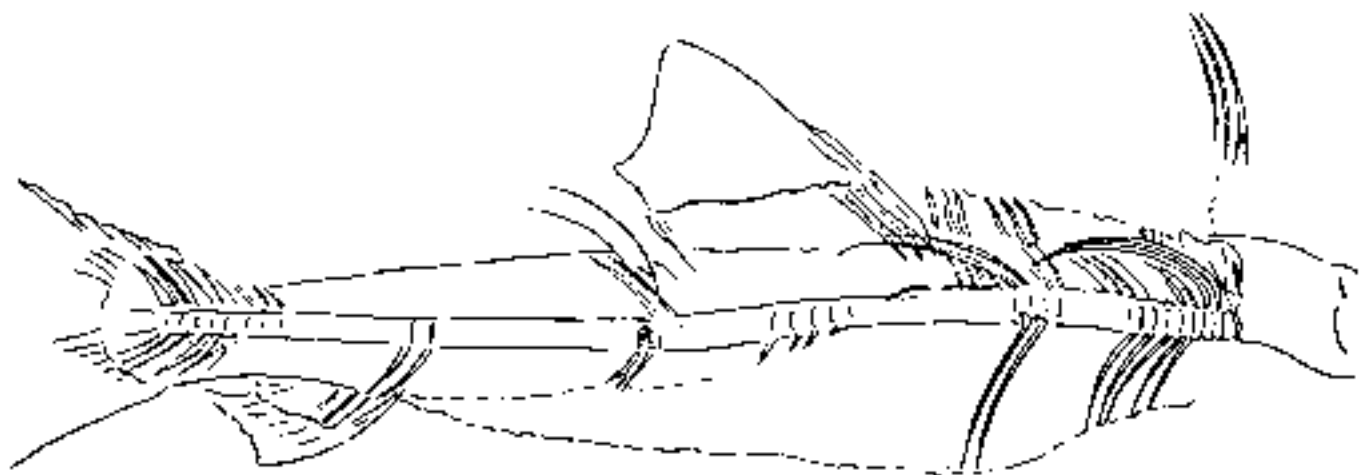
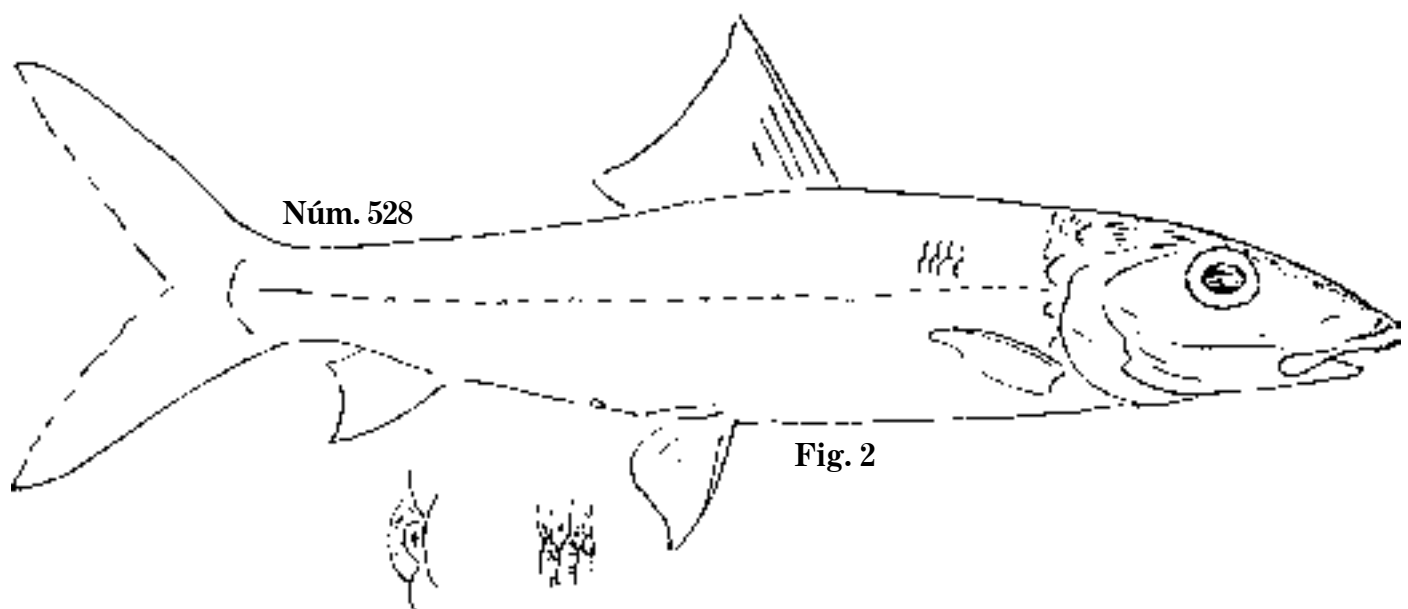
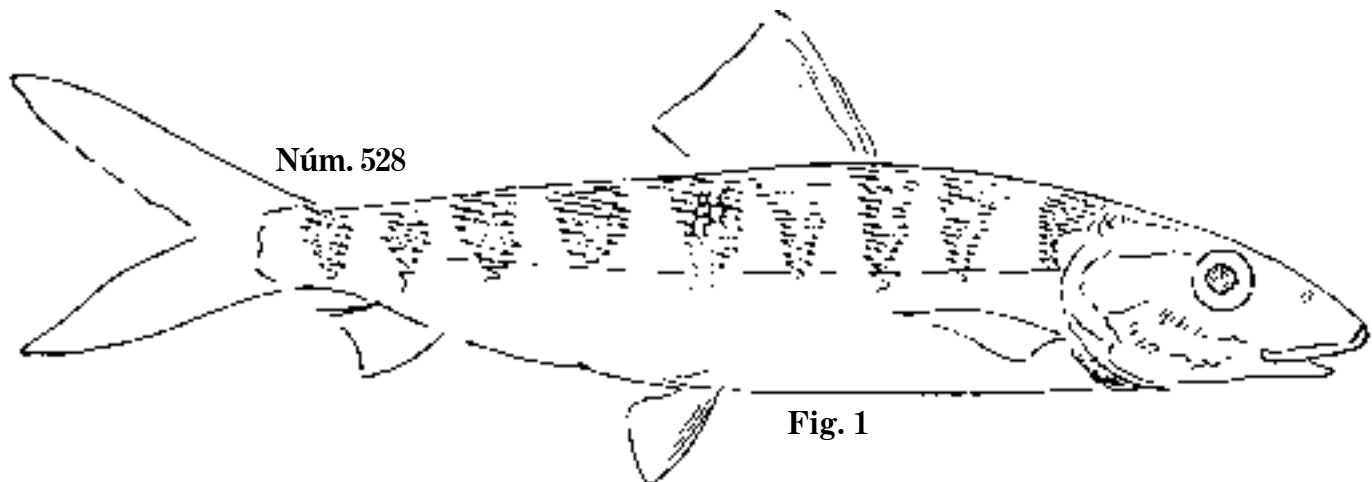
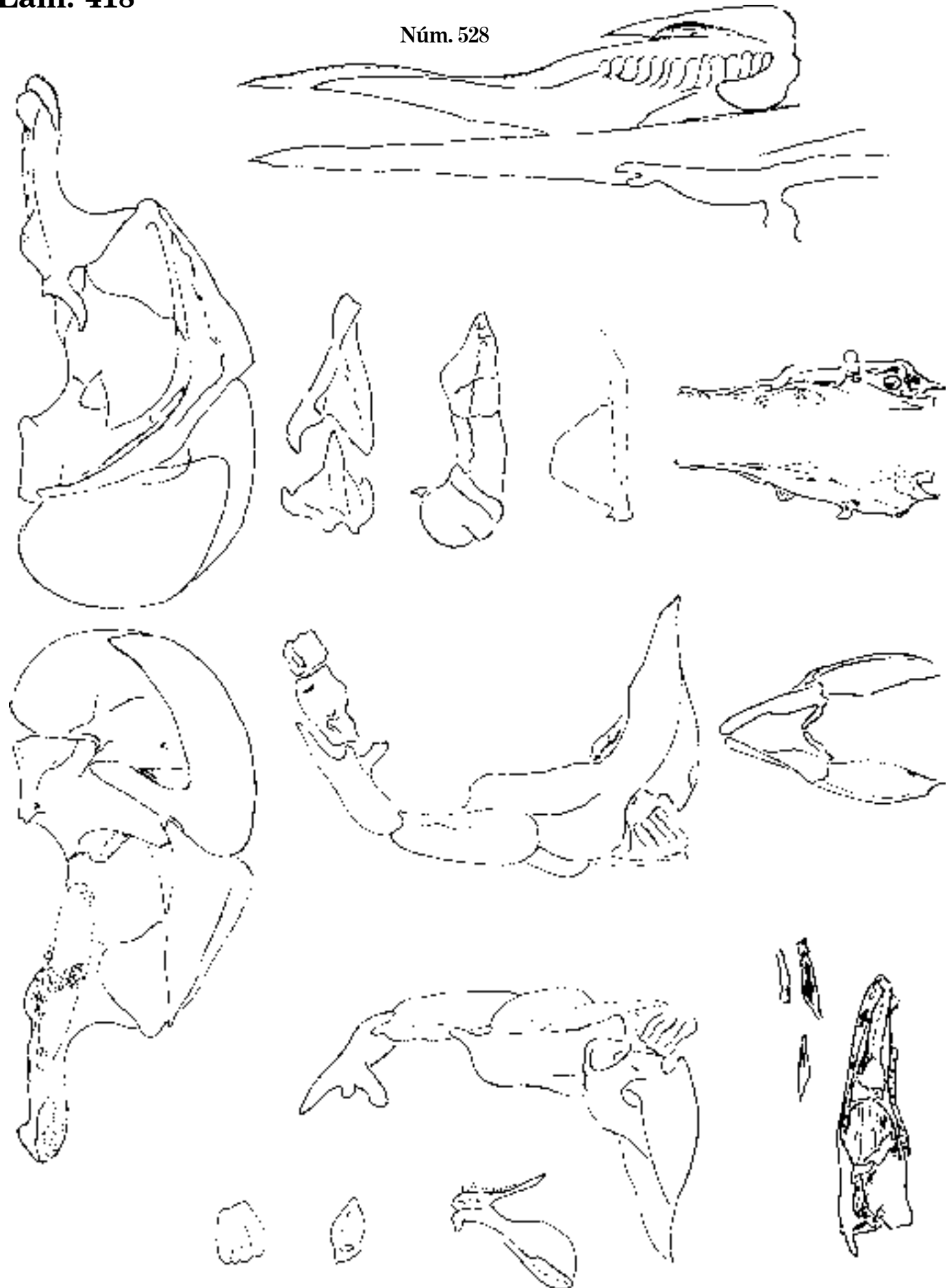


Fig. 1 *Albula conorhynchus*, 1860. C. 215 mm; D. 2,15; A. 3,6.
Fig. 2 *A. conorhynchus*. C. 216 mm; D. 18; A. 1,9; macabí.

Lám. 418

Núm. 528



Albula conorhynchus. Osteología; macabí.

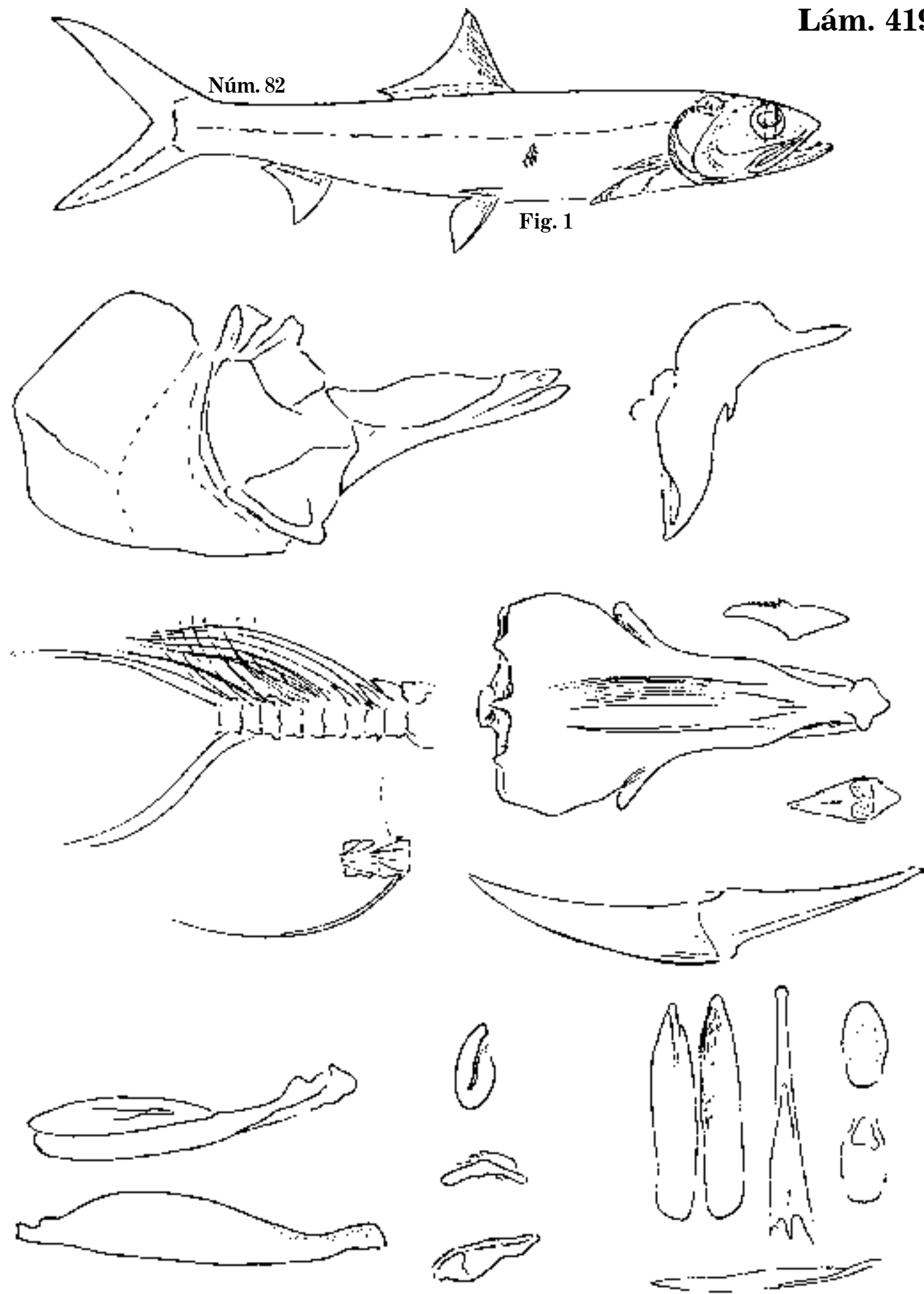
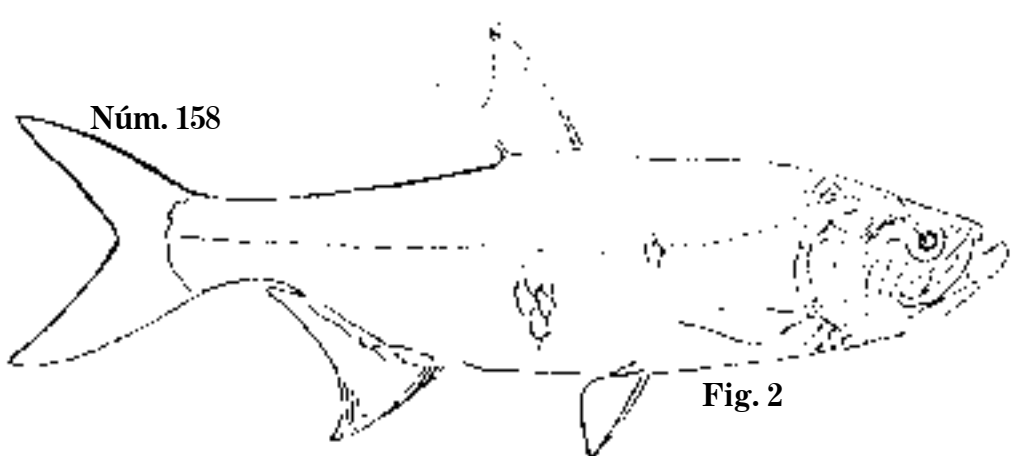
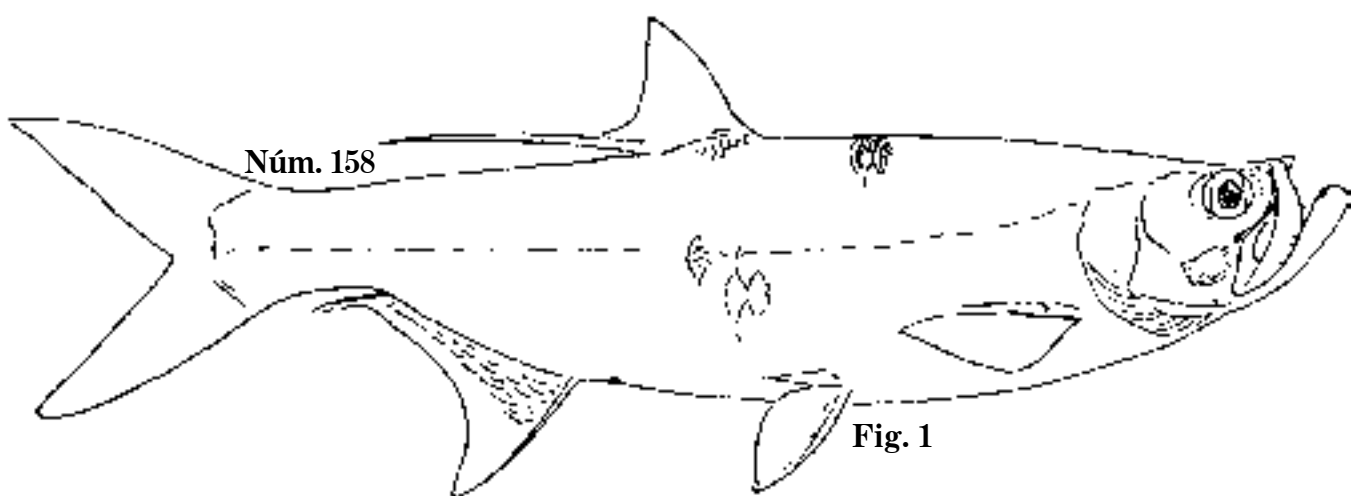
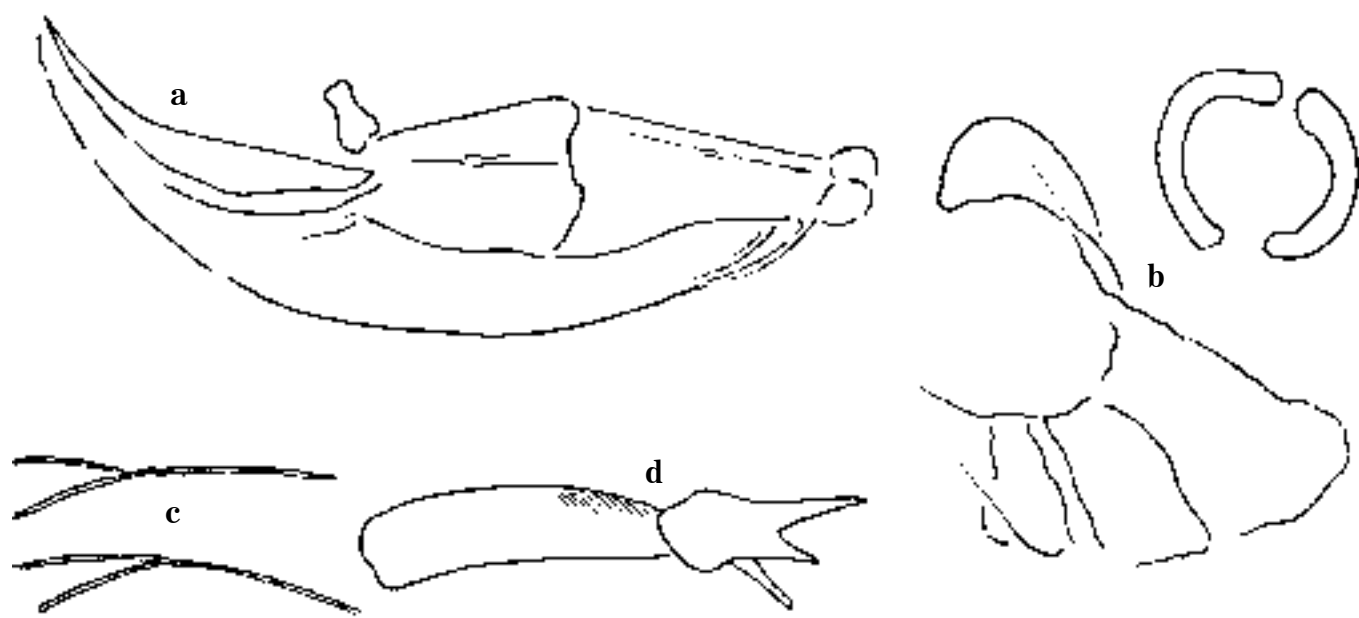


Fig. 1 *Elops saurus*, 1860. C. 514 mm; D. 24; A. 15; matejuelo real.

Lám. 420



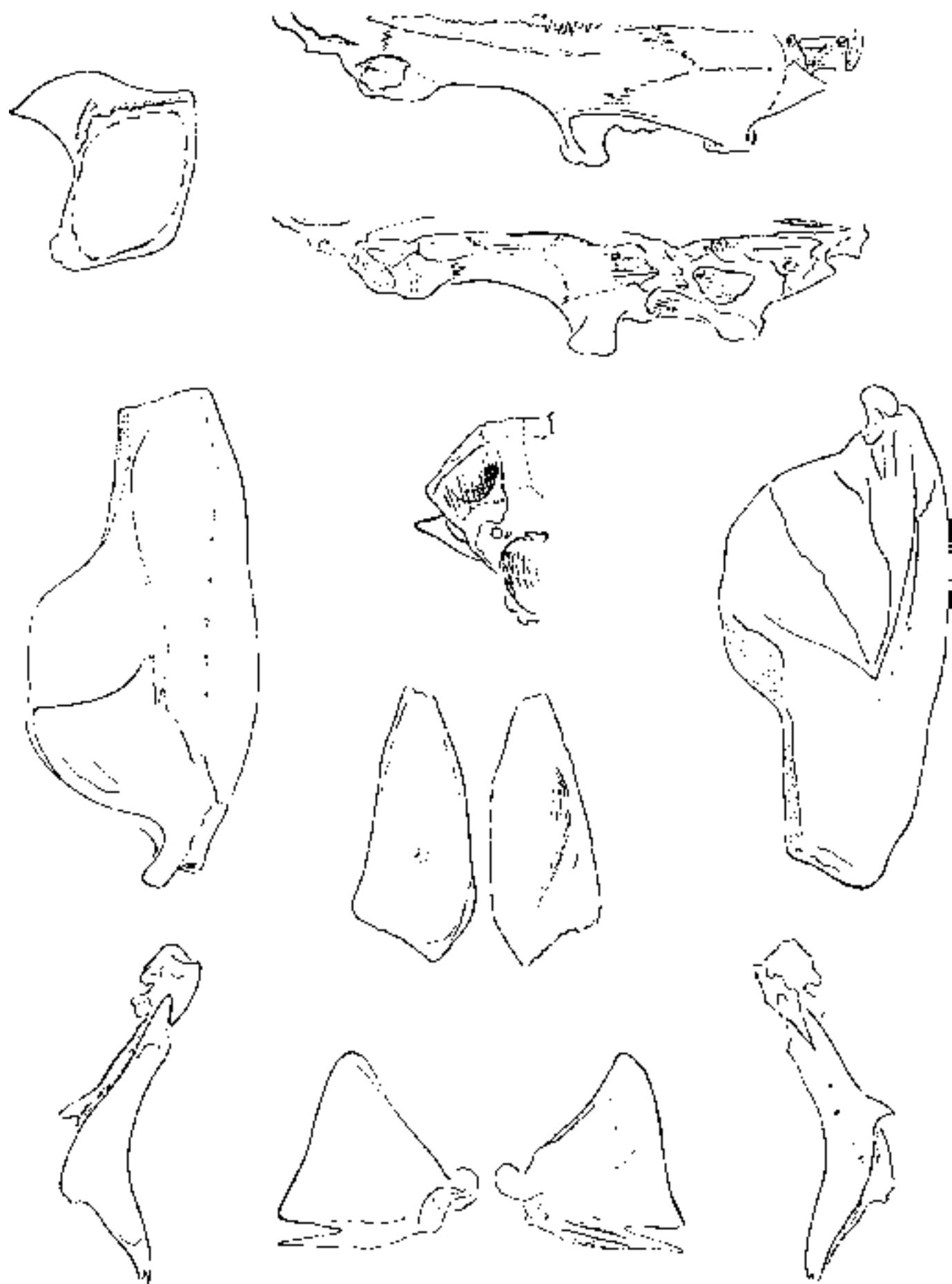
a-d. *Elops saurus*. Osteología; matejuelo real.

Fig. 1 *Megalops atlanticus*, 1860. C. 982 mm; D. 3,12; A.?

Fig. 2 *M. atlanticus*, 1868. C. 294 mm; D. 13; A. 3,19; sábalo.

Núm. 158

Lám. 421



Megalops atlanticus. Osteología; sábalos.

Lám. 422

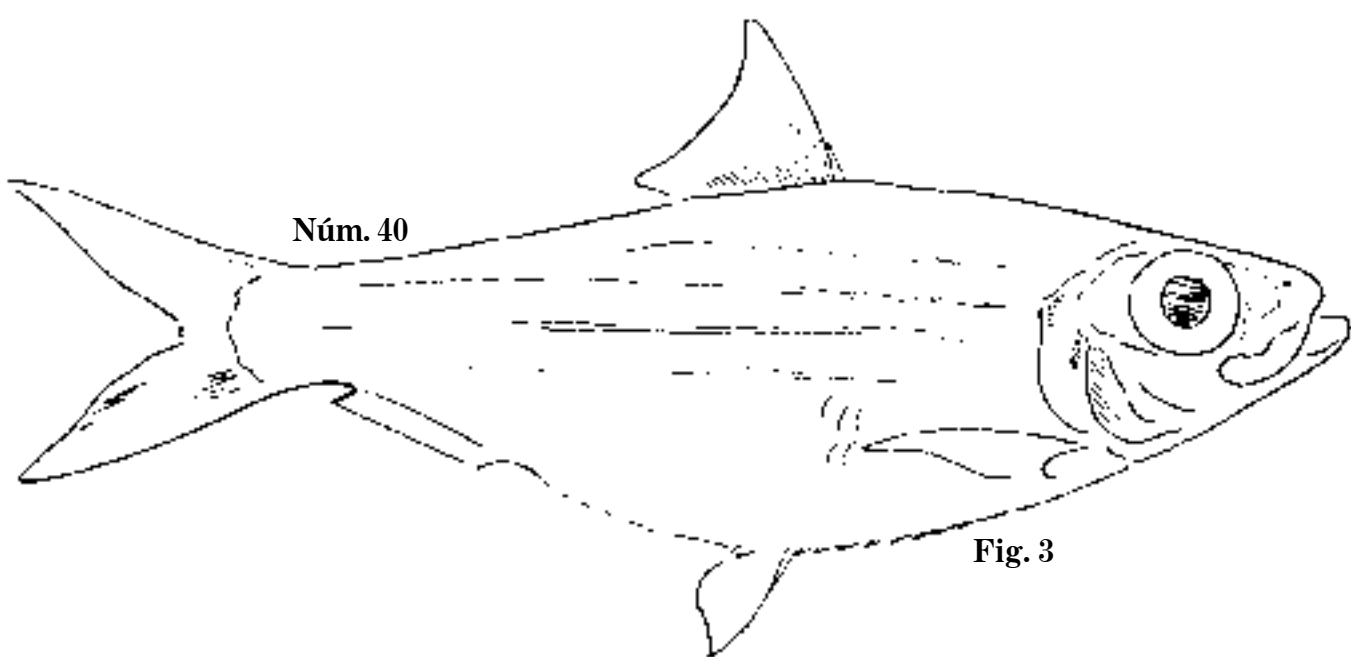
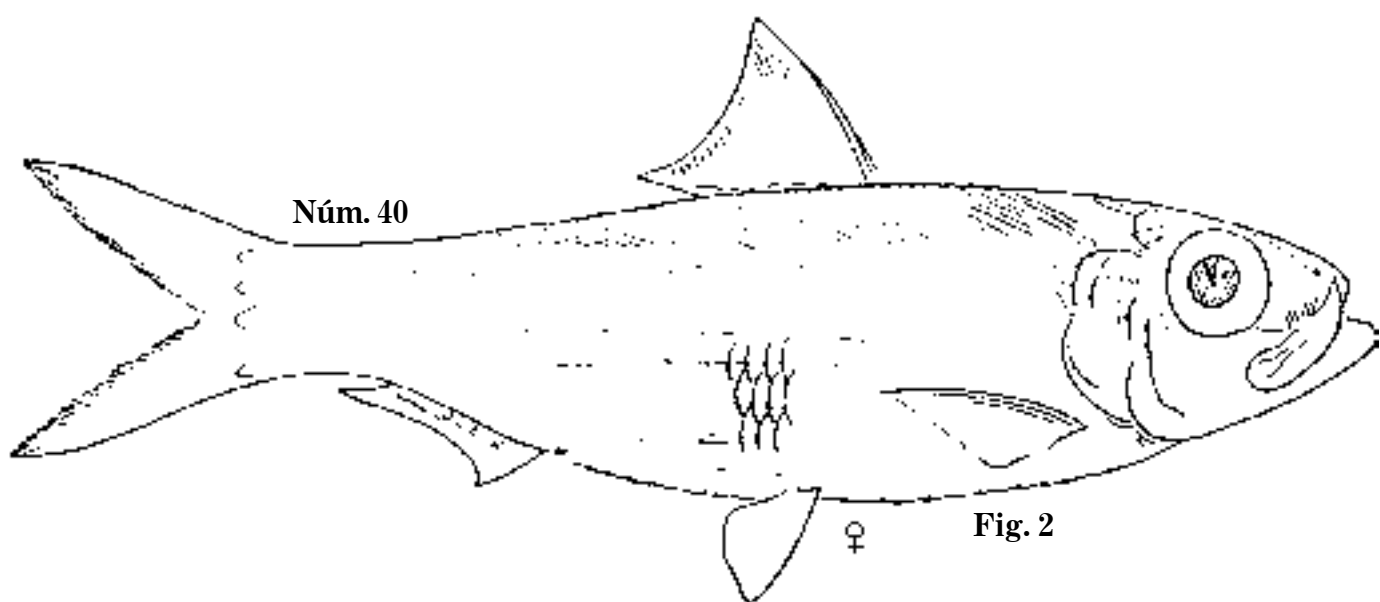
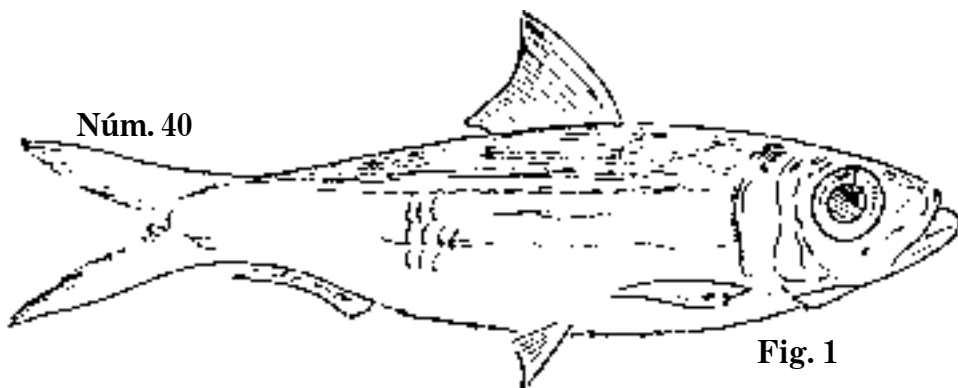


Fig. 1 *Harengula Sardina*, 1859. C. 135 mm; D.; A.

Fig. 2 *H. Sardina*, 1860. C. 193 mm; D. 16; A. 18.

Fig. 3 *H. Sardina*. C. 189 mm; D.; A.; sardina de ley.

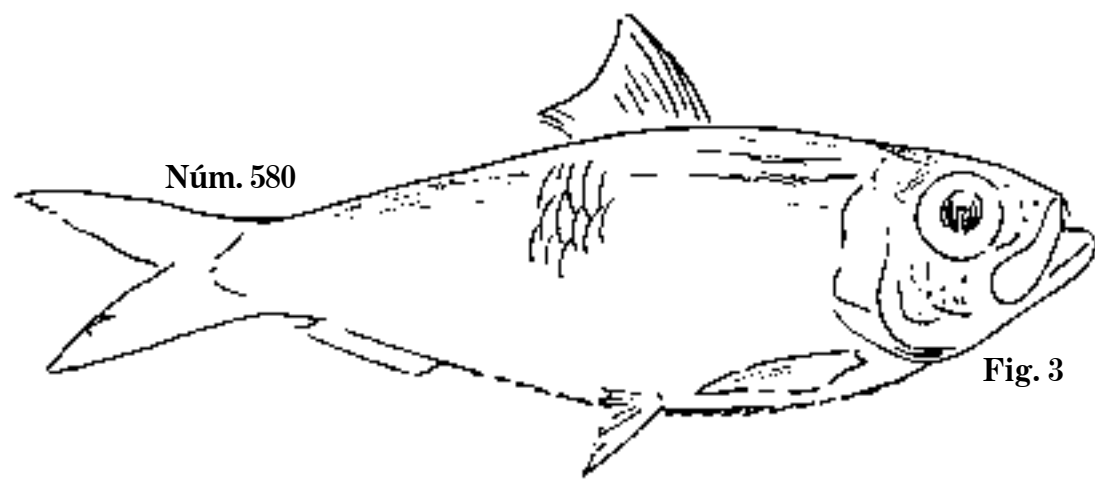
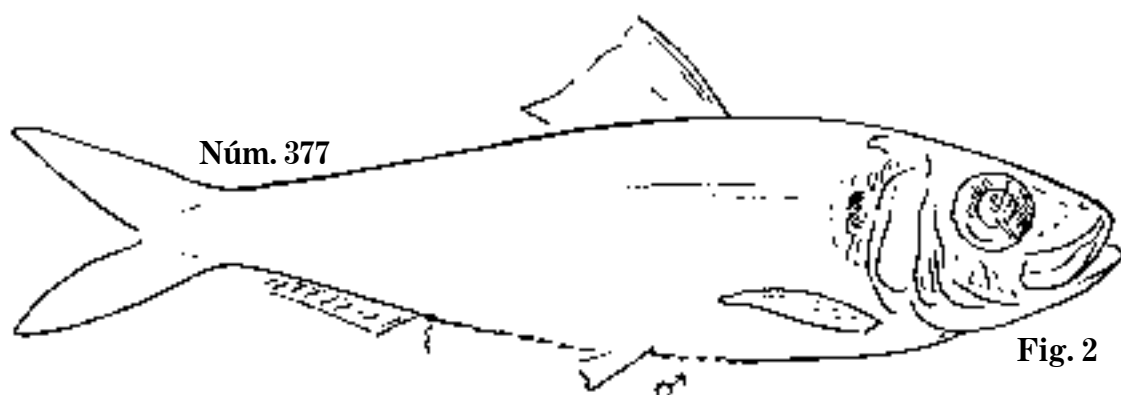
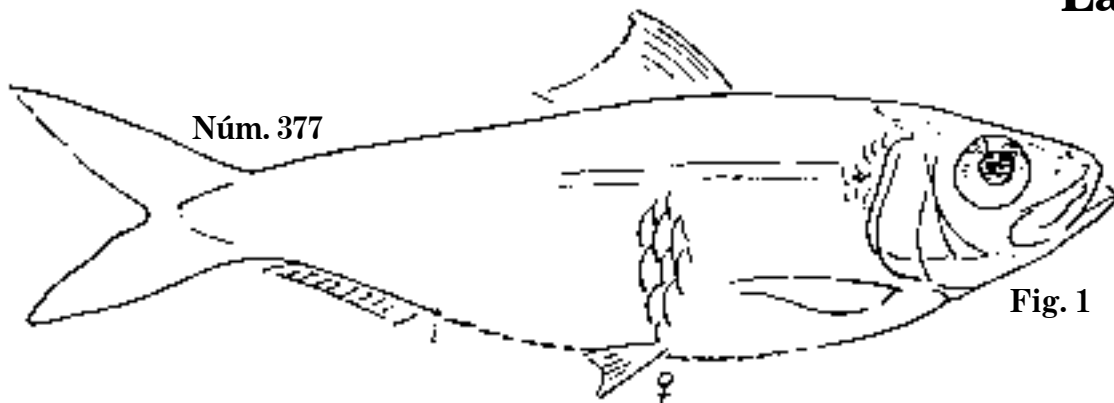


Fig. 1 *Harengula clupeola*, 1859. P. 140 mm; D. 16?; A. 19.

Fig. 2 *H. clupeola*. C. 141 mm; D.; A.; sardina escamuda.

Fig. 3 *H. Jaguana*, 1861. P. 138 mm; D. 14; A. 18?; sardina.

Fig. 4 *Sardina pseudohispanica*, 1862. C. 174 mm; D.; sardina de España.

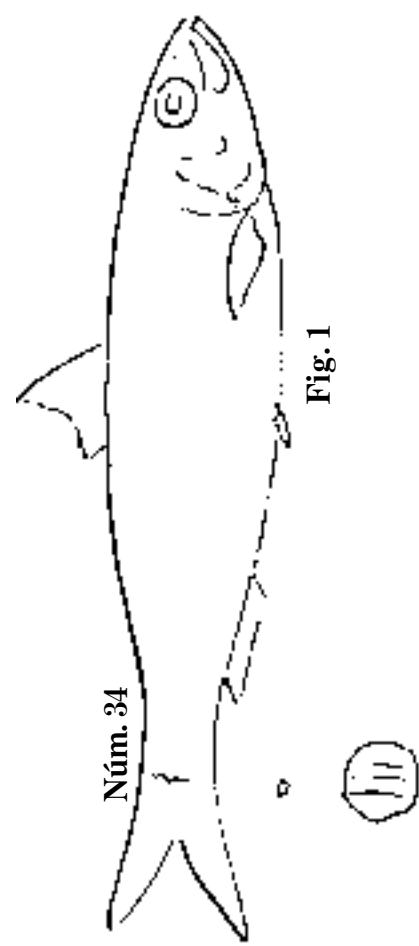


Fig. 1

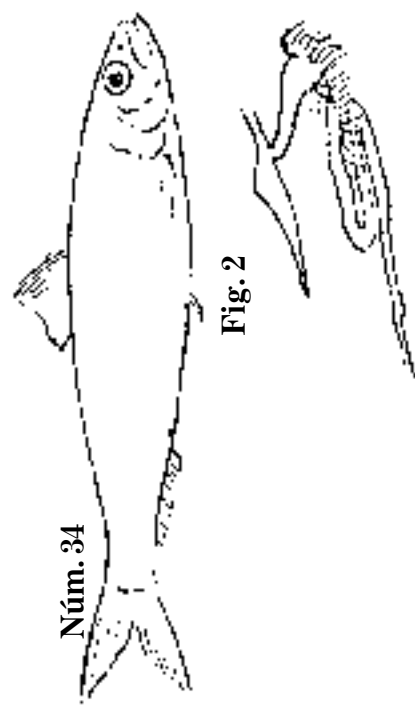


Fig. 2



Fig. 3

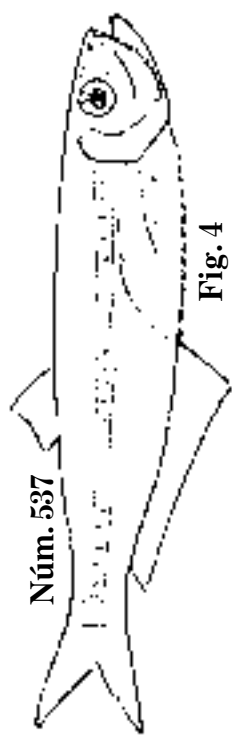


Fig. 4

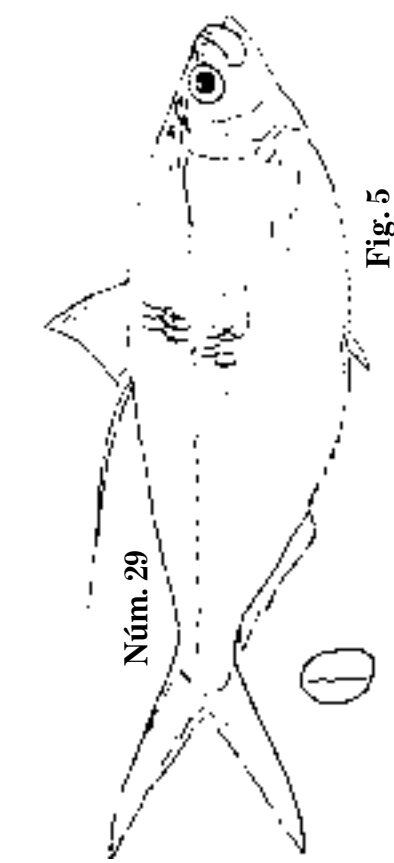


Fig. 5

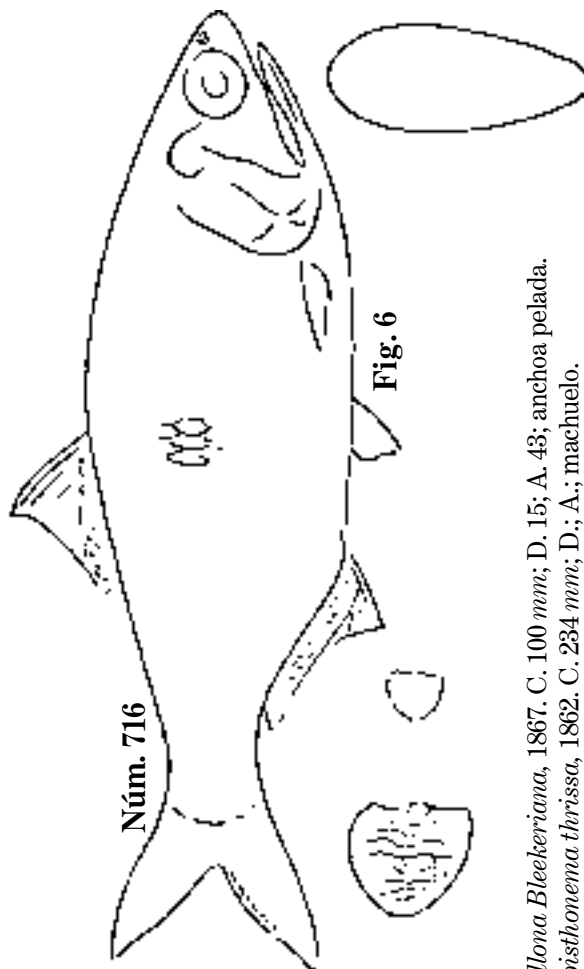


Fig. 6

Fig. 1 *Sardina pseudohispanica*. C. 128 mm; D.; A.
Fig. 2 *S. pseudohispanica*. C. 96 mm; D. 19?; A. 19?
Fig. 3 *S. pseudohispanica*, 1875. C. 107 mm; D.; A.; sardina de España.

Fig. 4 *Pellona Bleekeriana*, 1867. C. 100 mm; D. 15; A. 43; anchoa pelada.
Fig. 5 *Opisthonema thirissa*, 1862. C. 234 mm; D.; A.; machuelo.
Fig. 6 *Cetengraulis brevis*, 1864. C. 133 mm; D. 16; A. 28?; bocón.

Lám. 425

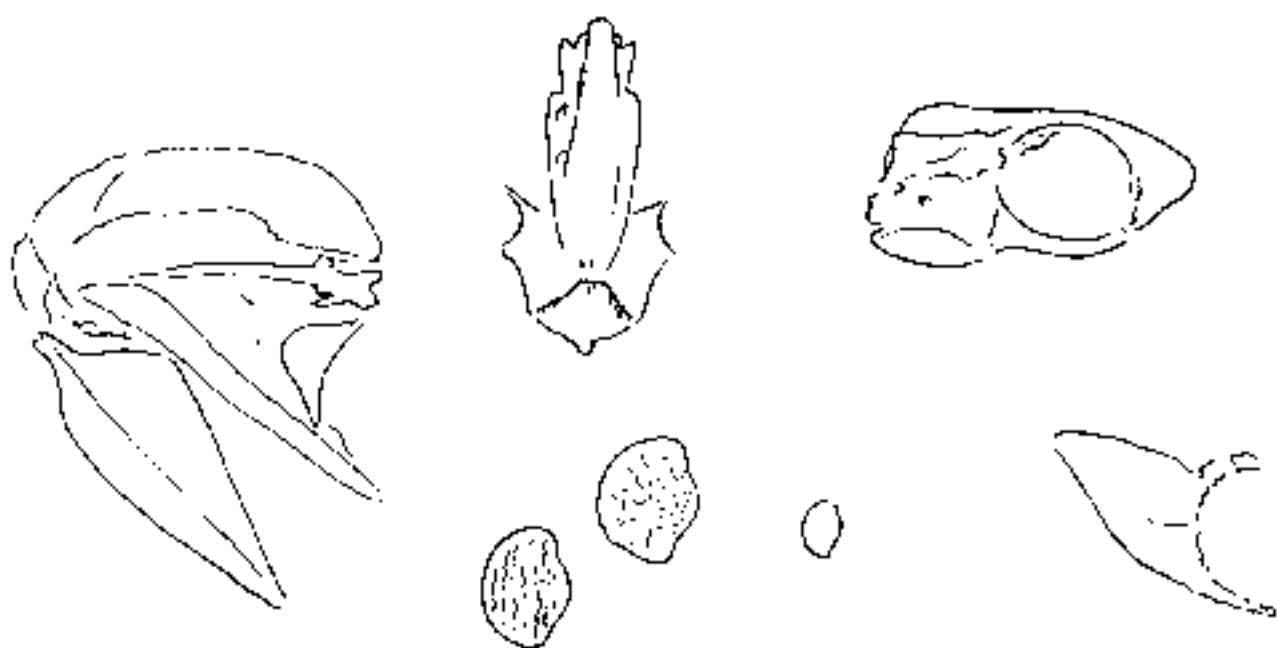
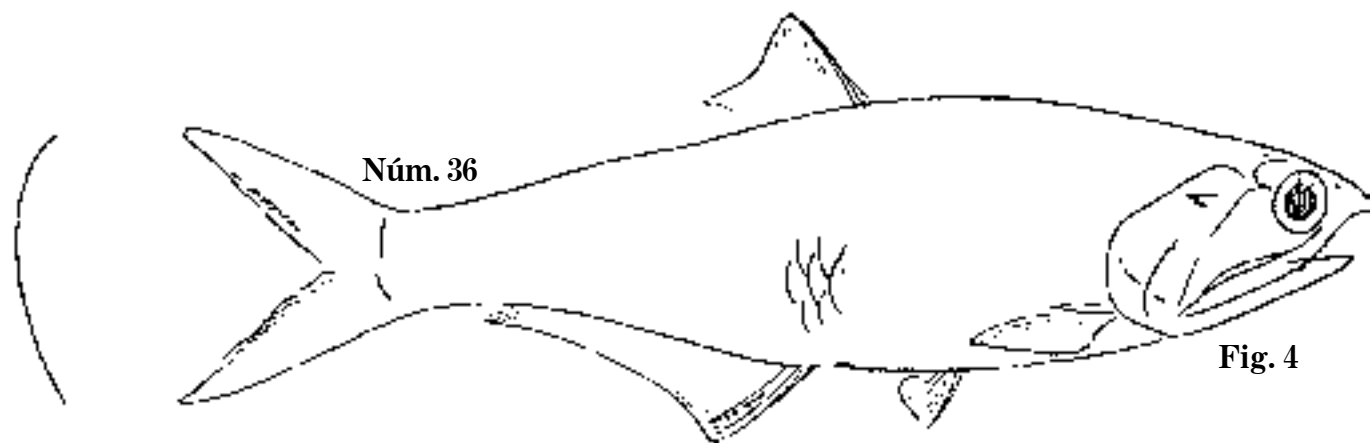
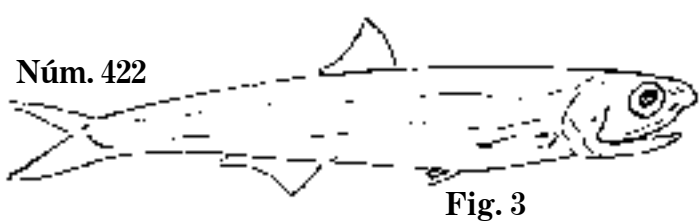
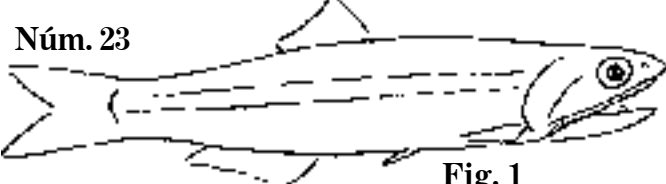


Fig. 1 *Stolenophorus cubanus*, 1869. C. 96 mm; D.; A.

Fig. 2 *S. Brownii*, 1868? C. 95 mm; D.; A.

Fig. 3 *S. perfasciatus*, 1859. C. 100 mm; D.; A.; manjúa.

Fig. 4 *S. productus*, 1864. C. 173 mm; D. 1,14; A. 1,32; bocón; hachudo.

Lám. 426

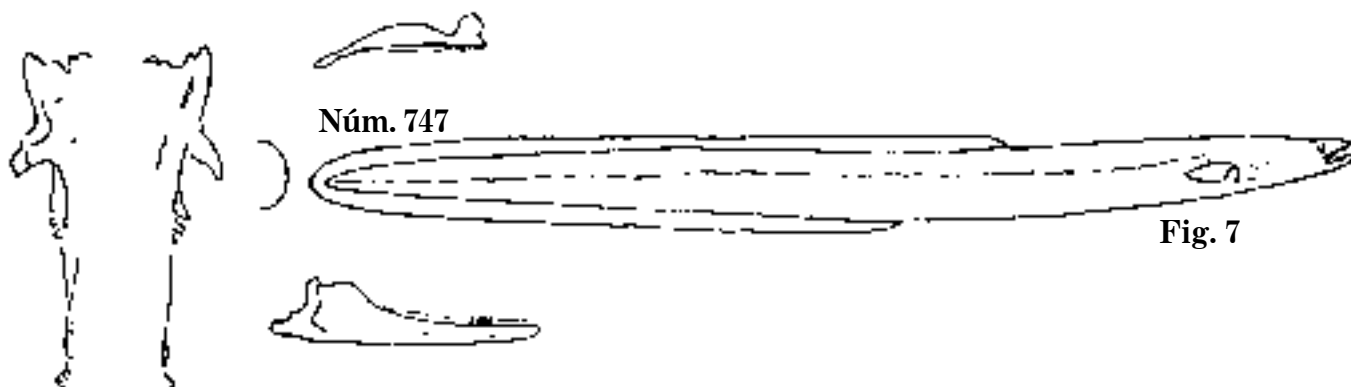
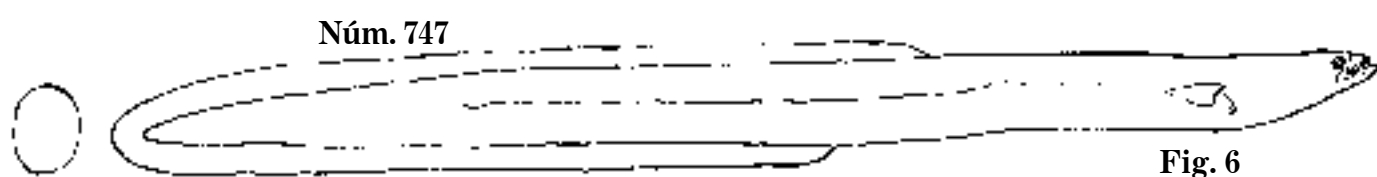
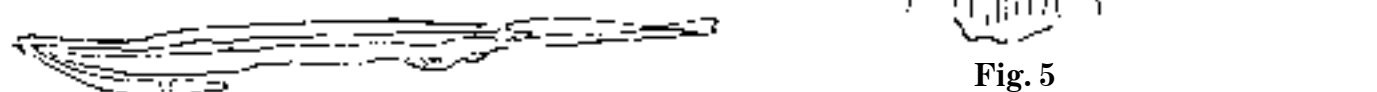
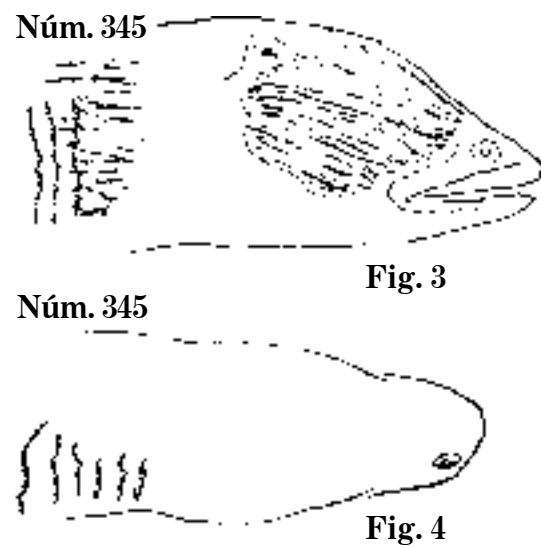


Fig. 1 *Symbranchus marmoratus*, 1863. C. 569 mm.
 Fig. 2 *S. marmoratus*, 1864. C. 614 mm.
 Fig. 3 *S. subterraneus*.
 Fig. 4 *S. subterraneus*.

Fig. 5 *S. subterraneus*. Maporro.
 Fig. 6 *Muraena vulgaris?*, 1868. P. 750 mm;
 Fig. 7 *M. vulgaris?*, 1870. P. 620 mm; anguila.

Lám. 427

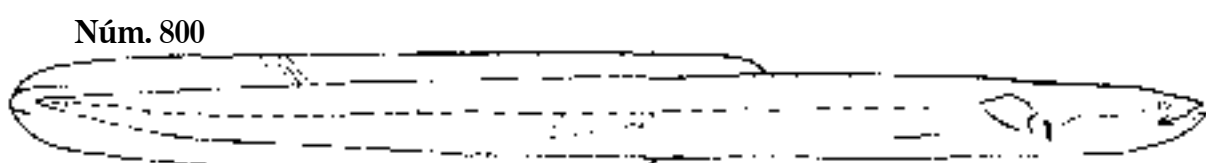
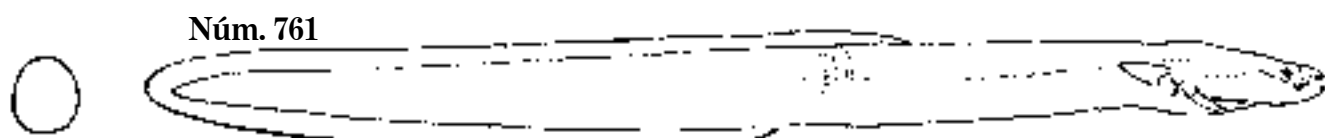


Fig. 2

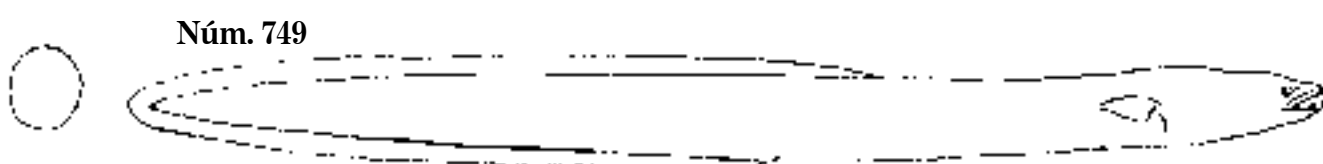


Fig. 3

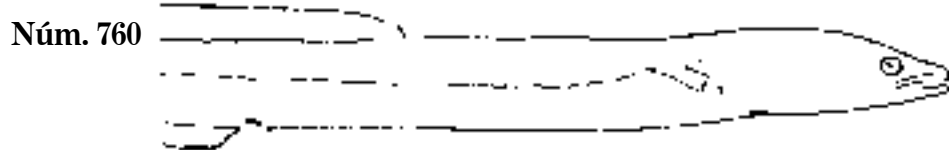
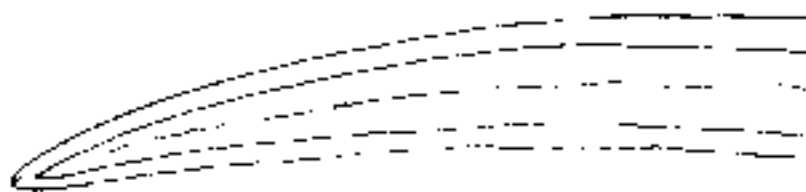


Fig. 4



Núm. 766

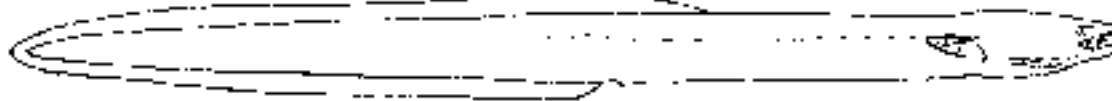
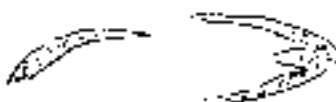


Fig. 5



Núm. 581

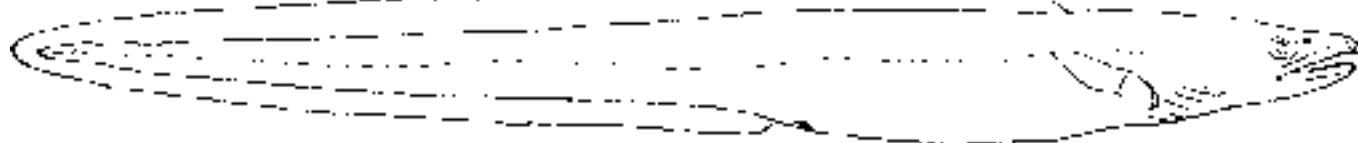


Fig. 6

Fig. 1 *Muraena vulgaris?*, 1875. P. 724 mm.

Fig. 2 *M. vulgaris?*, 1869. P. 550 mm.

Fig. 3 *M. vulgaris?*, 1868. P. 726 mm.

Fig. 4 *M. vulgaris?*, 1862. P. 245 mm.

Fig. 5 *M. vulgaris?*, 1868. C. 680 mm; anguila.

Fig. 6 *Conger esculentus*, 1861. P. 1 025 mm; congrio.

Lám. 428

Núm. 622

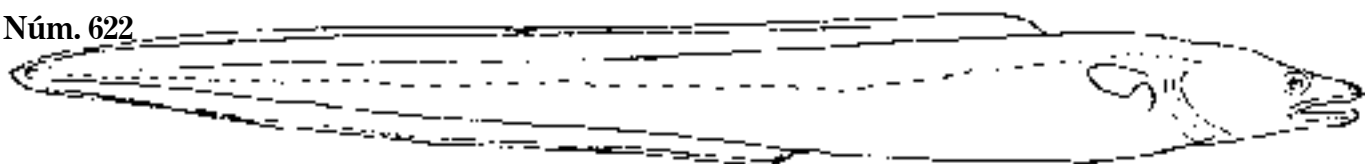


Fig. 1

Núm. 619

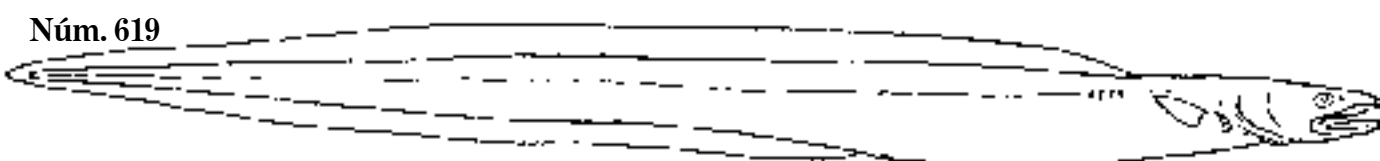


Fig. 2

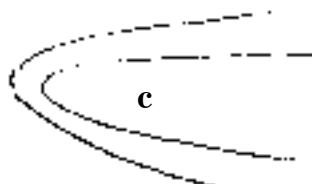
a



b



c



d



e



h



i



j



Fig. 1 *Conger multidens*, 1870. P. 622 mm.

Fig. 2 *C. vulgaris*, 1865. P. 785 mm.

a-e. *C. vulgaris*, 1860. f-i. *C. vulgaris*. j. *C. vulgaris*. Congrio.

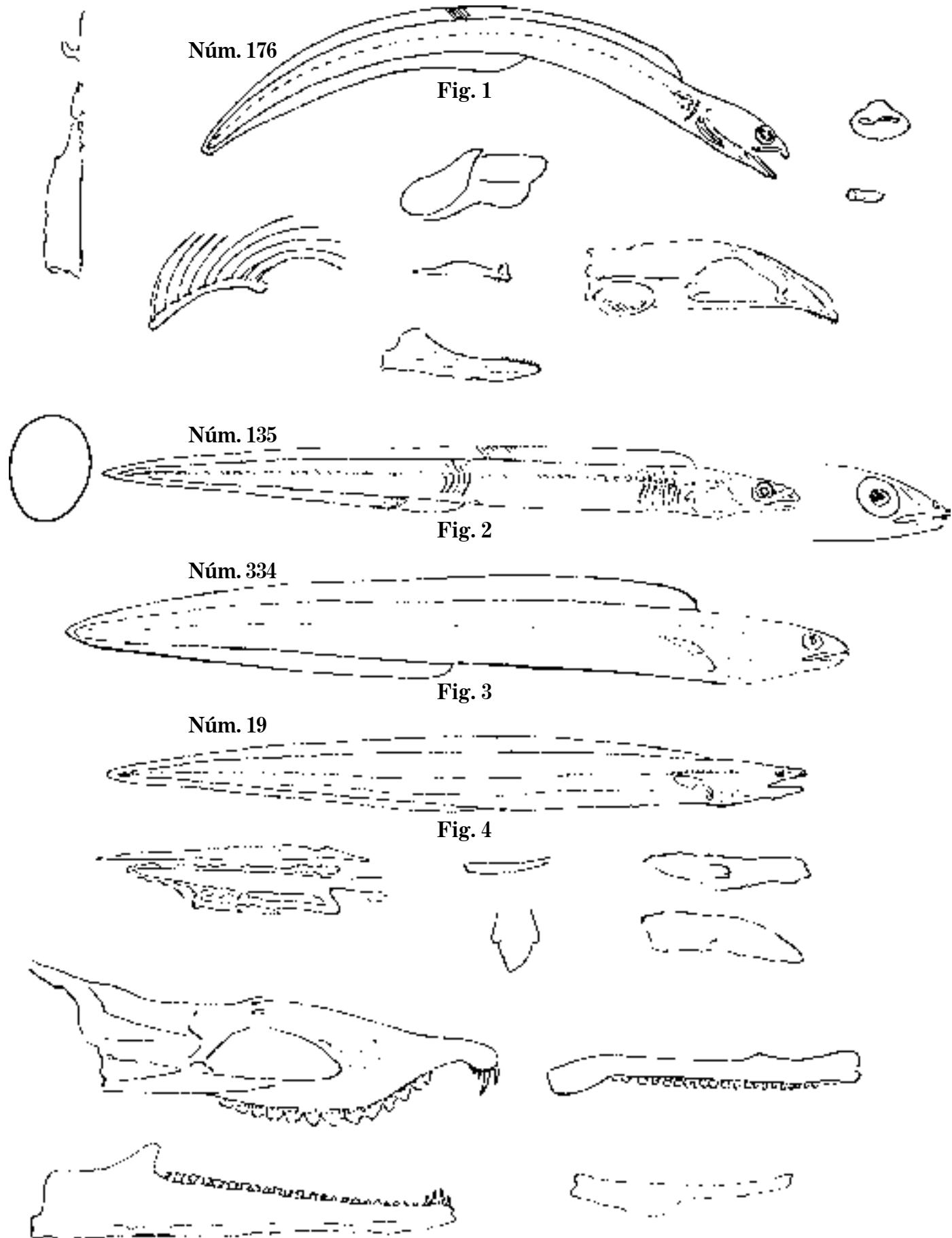


Fig. 1 *Conger caudilimbatus*, 1860. C. 297.

Fig. 2 *Congromuraena impressa*. P. 138 mm.

Fig. 3 *C. analis*. P. 370 mm.

Fig. 4 *Muraenesox curvidens*, 1876. P. 790 mm; S.N.C.

Lám. 430

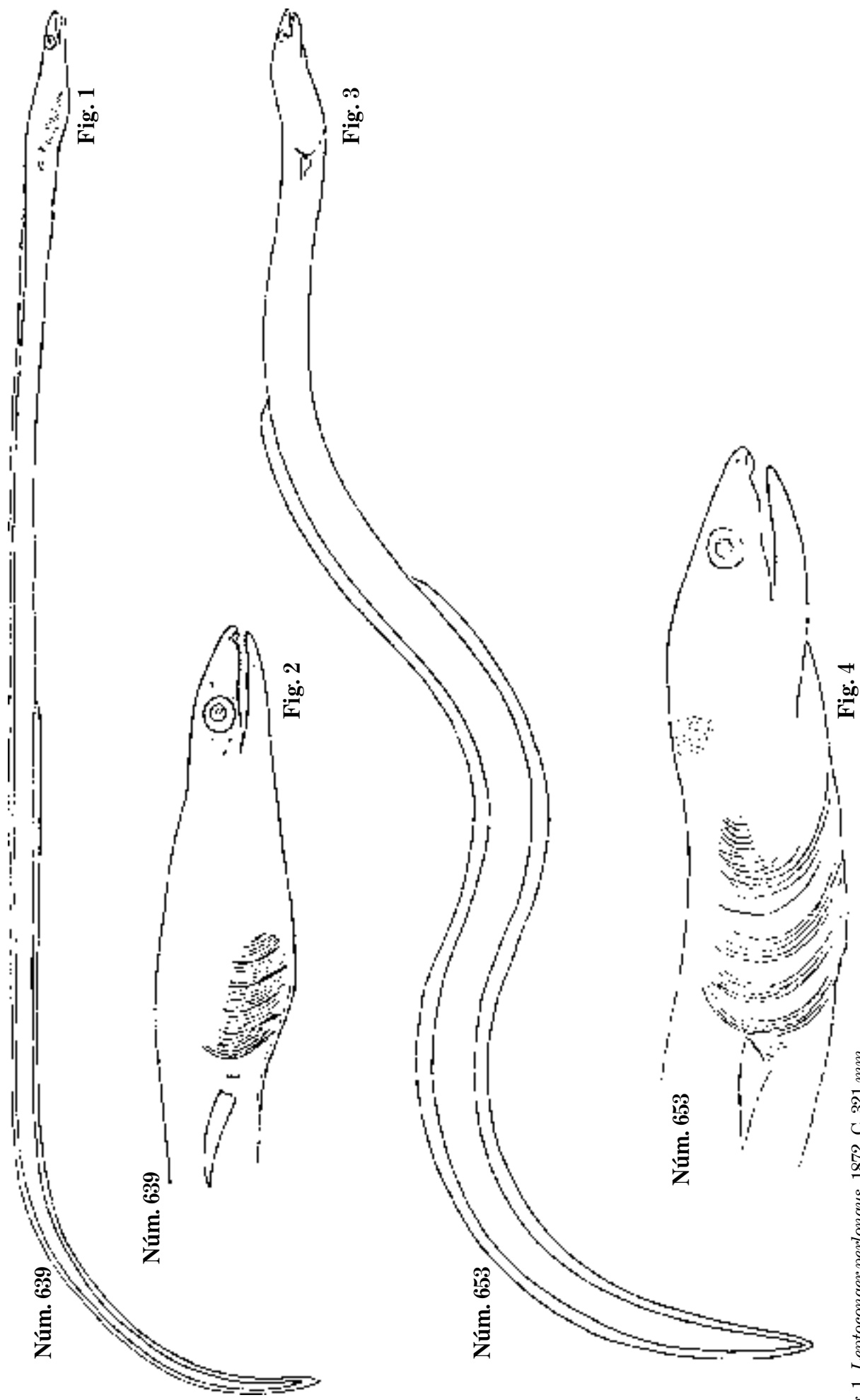


Fig. 1 *Leptoconger perlongus*, 1872. C. 321 mm.

Fig. 2 *L. perlongus*. Cabeza.

Fig. 3 *Myrophis microstigmus*, 1862. P. 340 mm.

Fig. 4 *M. microstigmus*. Cabeza; S.N.C.

Núm. 804

Lám. 431

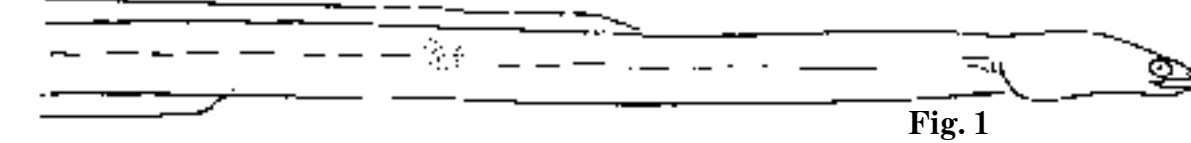
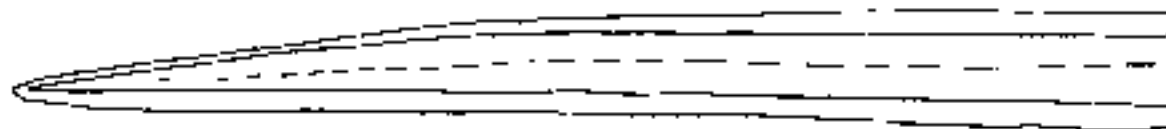


Fig. 1



Núm. 804

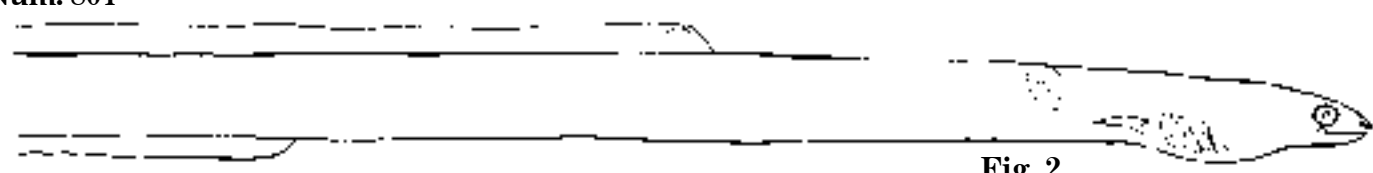
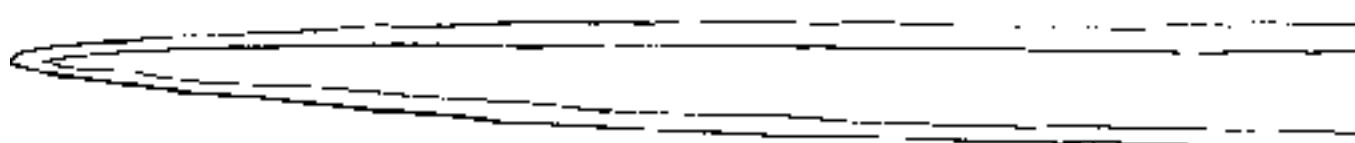


Fig. 2



Núm. 651

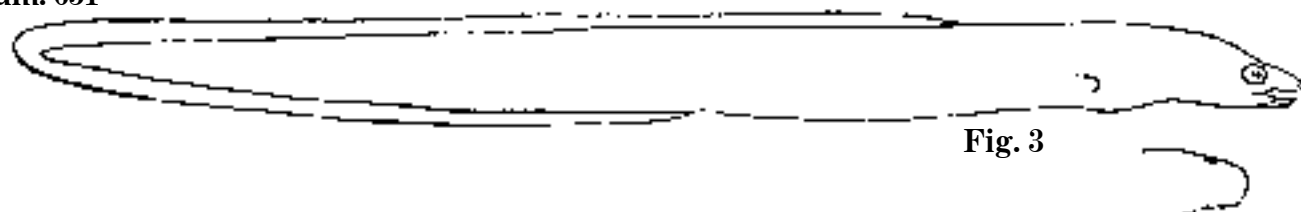


Fig. 3

Fig. 1 *Myrophis*, 1877. P. 335 mm.

Fig. 2 *Myrophis*, 1882. C. 385 mm.

Fig. 3 *Chilorhinus Suensonii*. C. 184 mm; S.N.C.

Lám. 432



Fig. 1



Fig. 2

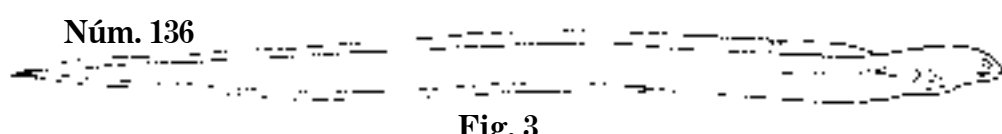


Fig. 3

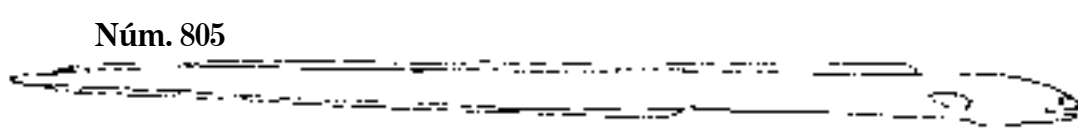


Fig. 4

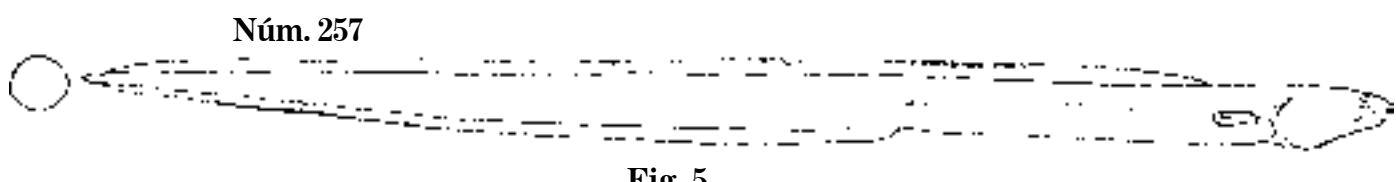


Fig. 5

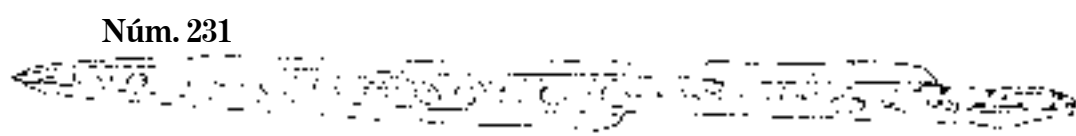


Fig. 6

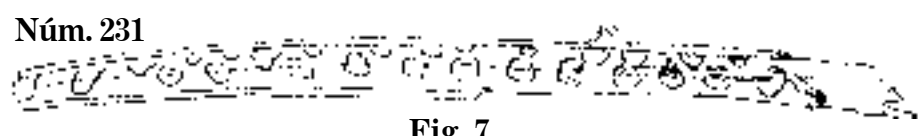
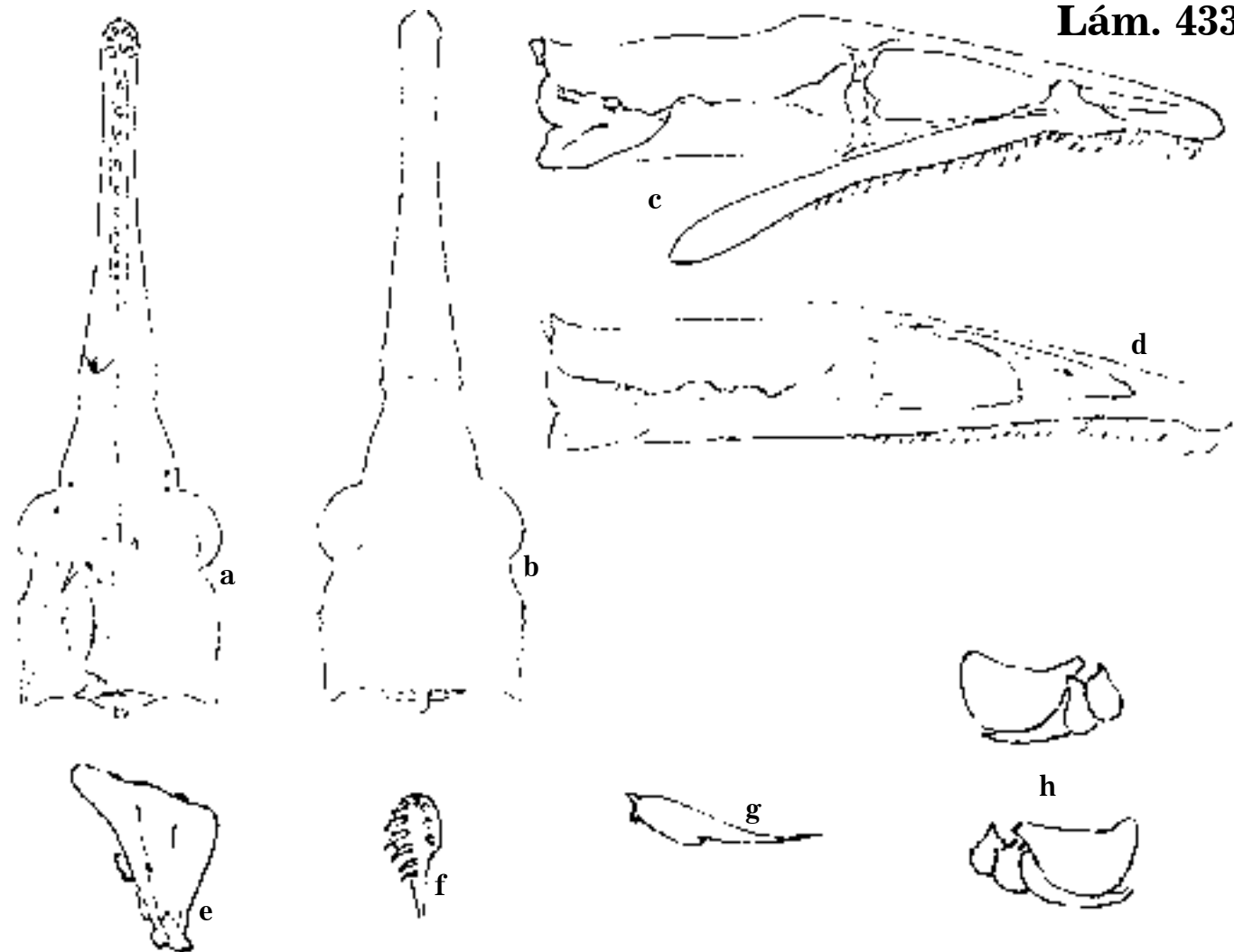


Fig. 7

Fig. 1 *Ophichthys chrysops*, 1860. P. 750 mm.
Fig. 2 *O. pauciporus*. P. 758 mm.
Fig. 3 *O. macrurus*, 1867. P. 520 mm.
Fig. 4 *O. brevirostris*, 1877. P. 378 mm.

Fig. 5 *O. limbatus*, 1868. P. 455 mm.
Fig. 6 *Uranichthys havanensis*, 1850. P. 945 mm.
Fig. 7 *U. havanensis*. Ejemplar incompleto; safio.



Núm. 266

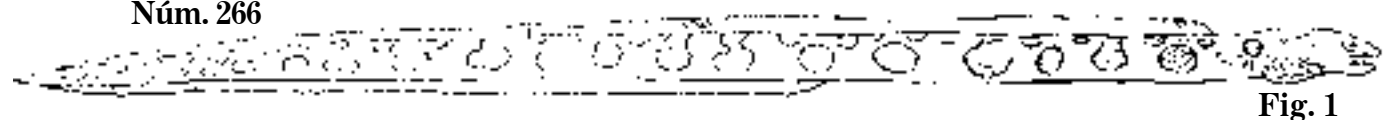


Fig. 1

Núm. 266

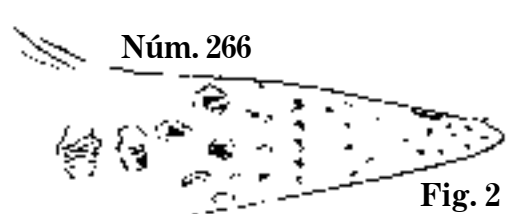


Fig. 2

Núm. 606

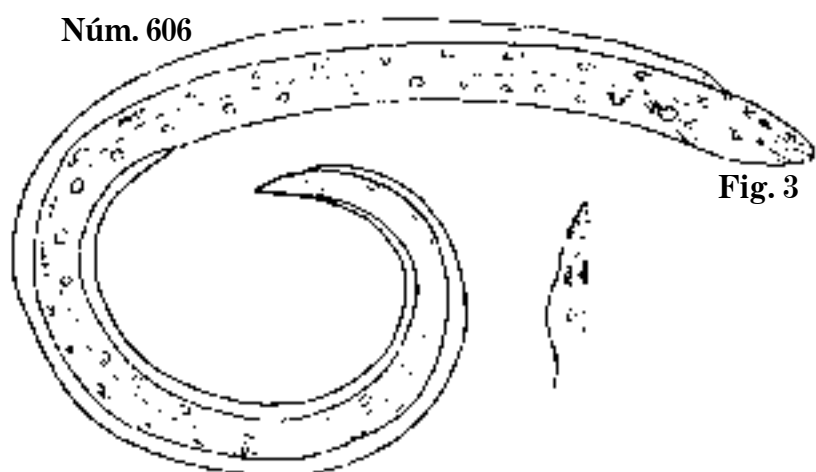


Fig. 3

a-h. *Uranichthys havanensis*. Osteología.

Fig. 1 *U. brachycephalus*, 1866. P. 603 mm; D. 360; A. 340?

Fig. 2 *U. brachycephalus*. Cabeza; saño.

Fig. 3 *Ophisurus latimaculatus*, 1867. C. 735 mm; D. 450; A. 300; S.N.C.

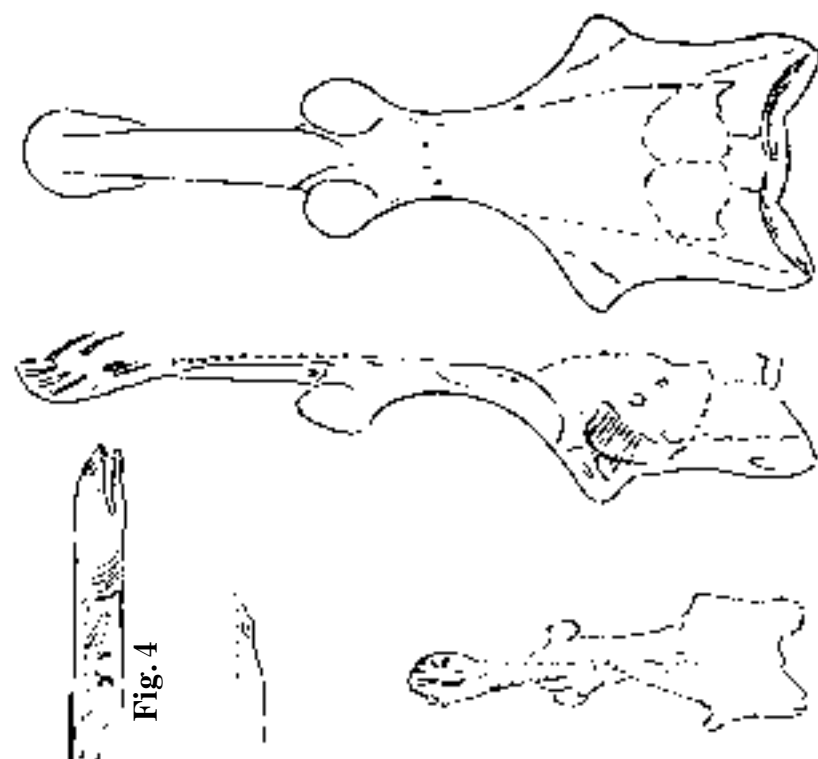
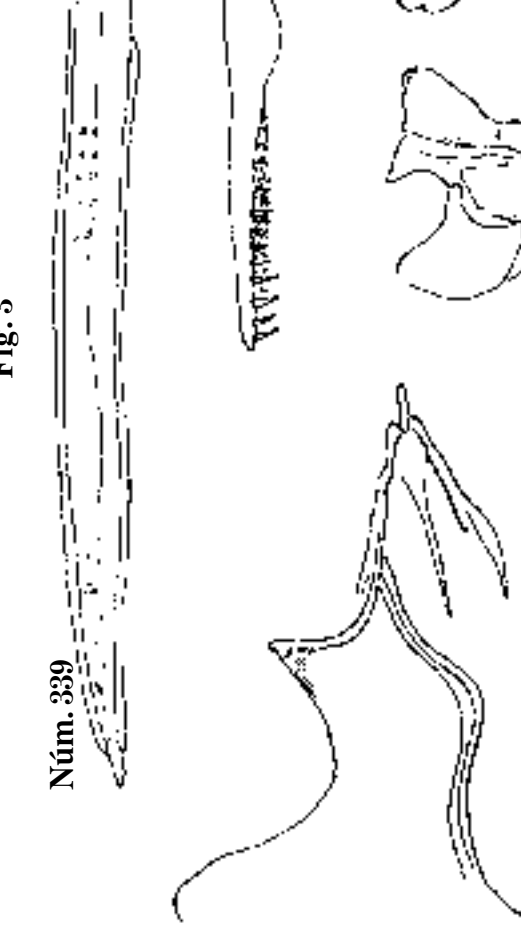
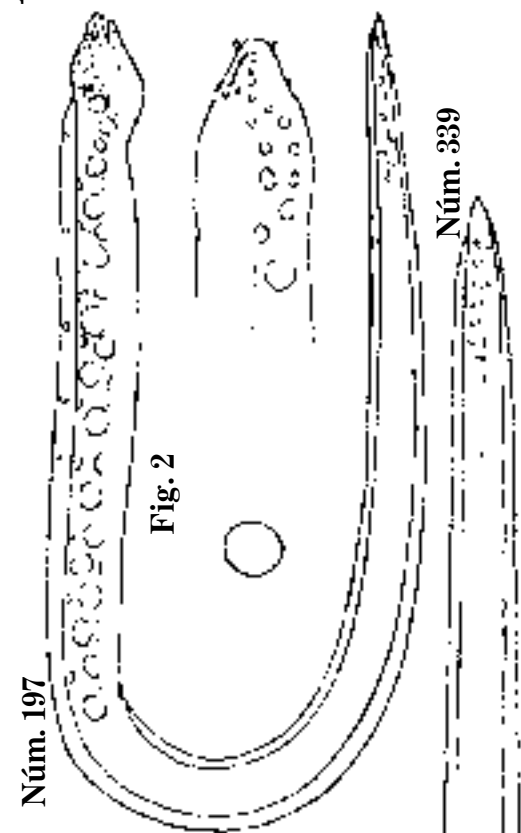
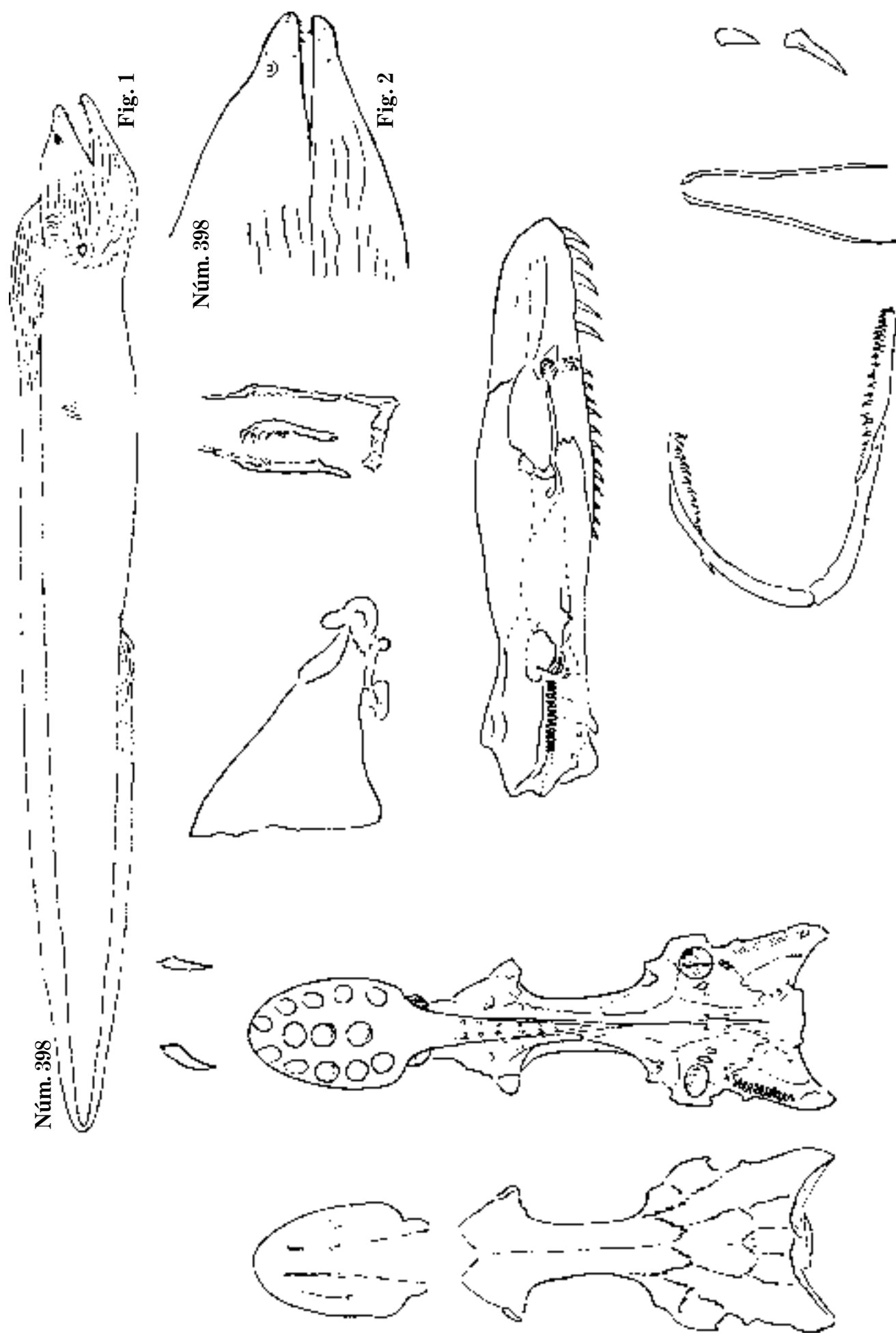


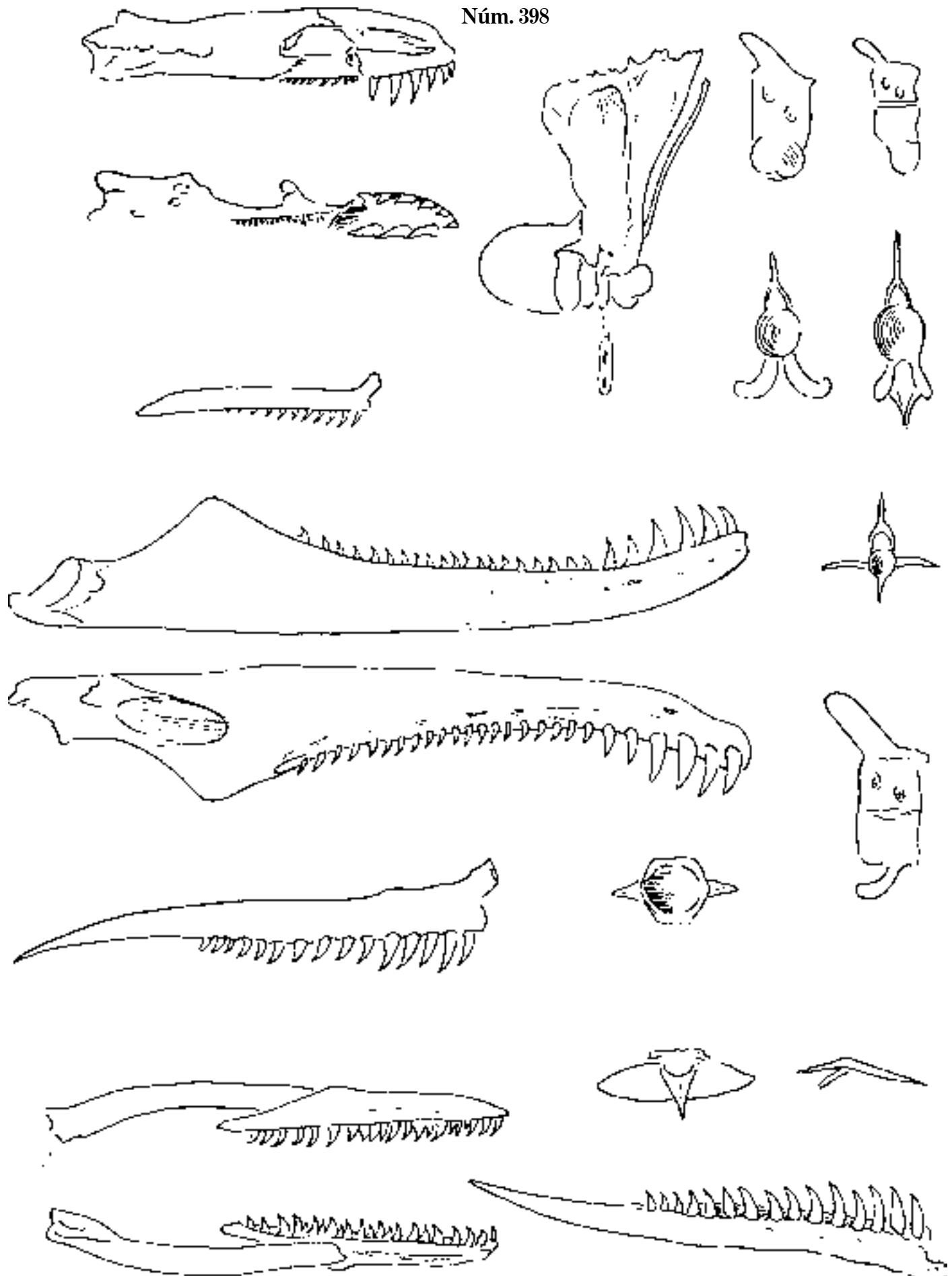
Fig. 1 *Ophisurus longus*, 1865. C. 771 mm.
 Fig. 2 *O. pisivarius*, 1875. P. 774 mm; S.N.C.
 Fig. 3 *Macrodonophis mordax*, 1877? C. 985 mm.
 Fig. 4 *M. mordax*, 1876? C. 424 mm. (Santo Domingo); saífo.

Fig. 1 *Gymnothorax infernalis*, 1861. P. 1. 450 mm.
Fig. 2 *G. infernalis*. Cabeza; morena verde.



Lám. 436

Núm. 398



Gymnothorax infernalis. Osteología; morena verde.

Núm. 641

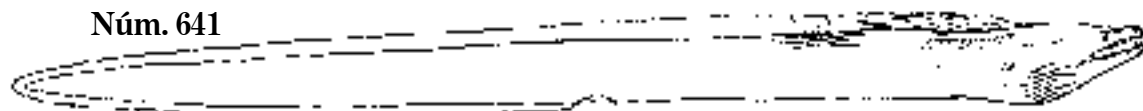
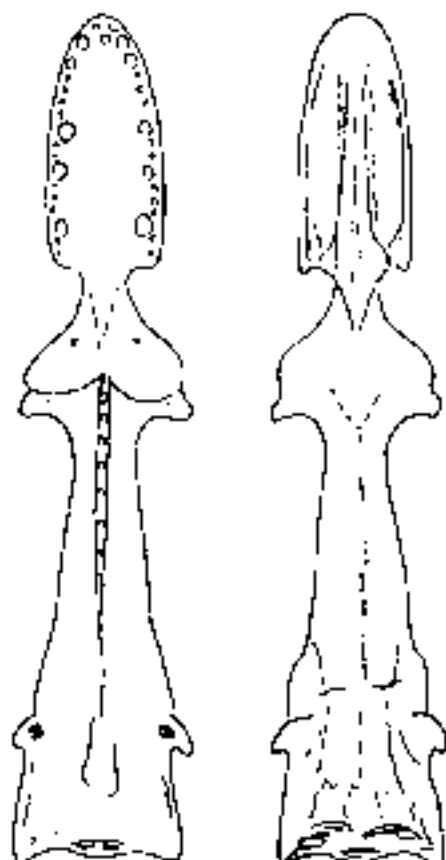
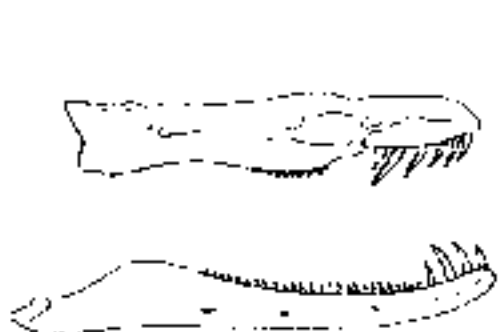


Fig. 1



Núm. 807

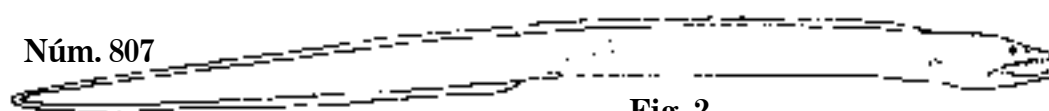


Fig. 2

Núm. 132

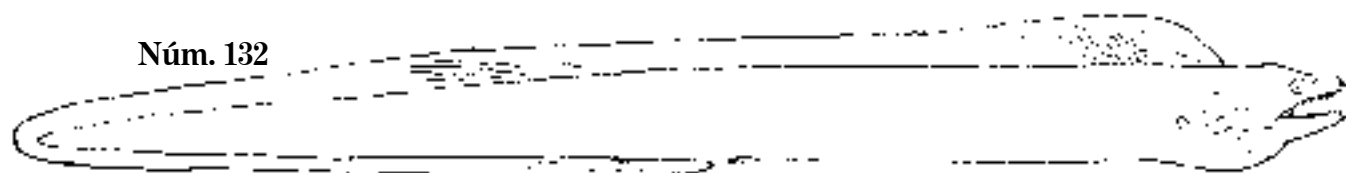


Fig. 3

Núm. 731



Fig. 4

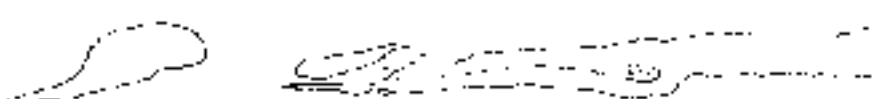


Fig. 1 *Gymnothorax Erebus*, 1861. P. 837 mm.

Fig. 2 *Gymnothorax*, 1869. P. 465 mm; morena verde.

Fig. 3 *G. virescens*, 1869. P. 790 mm.

Fig. 4 *G. horrificus*. P. 758 mm; morena.

Lám. 438

Núm. 363

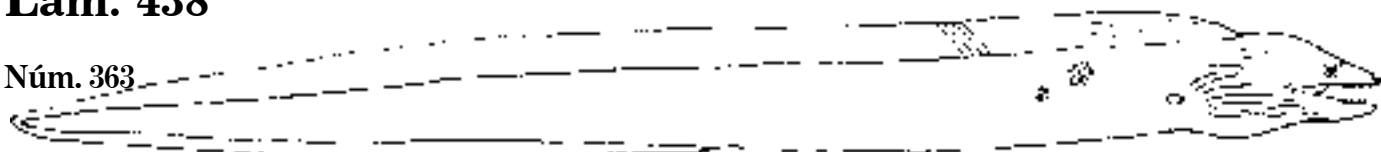


Fig. 1

a

Núm. 736

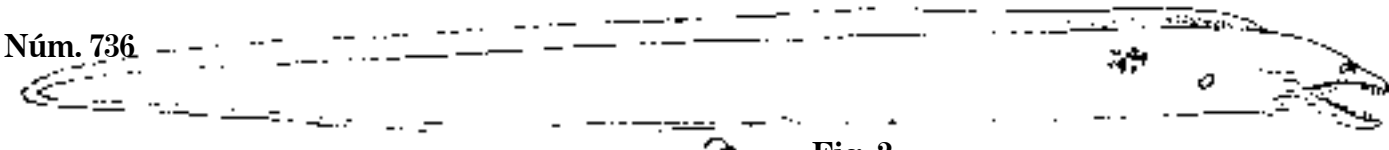


Fig. 2

Núm. 403

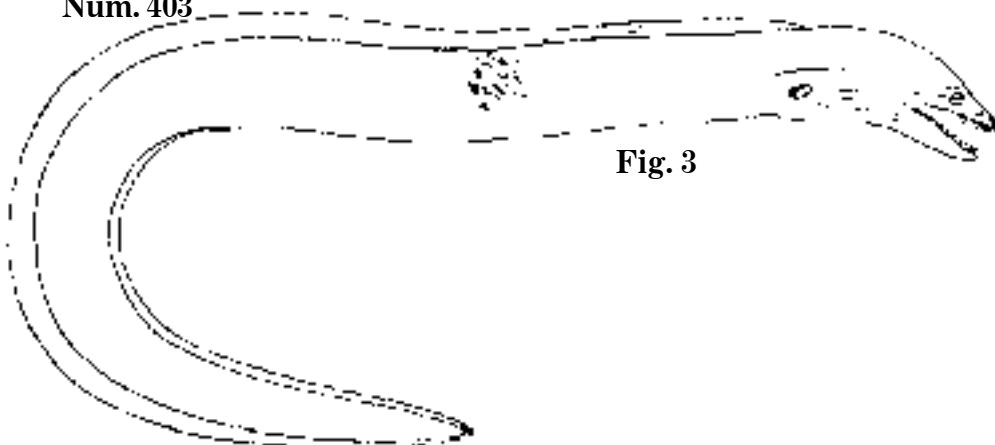


Fig. 3

Núm. 602

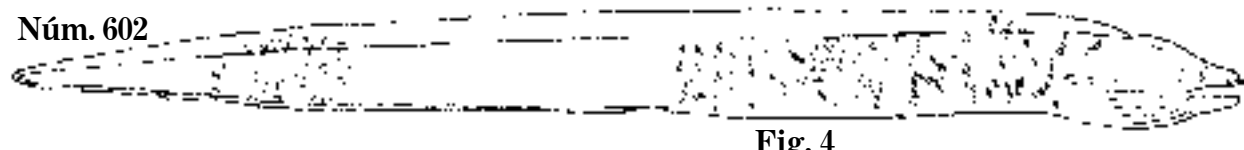


Fig. 4

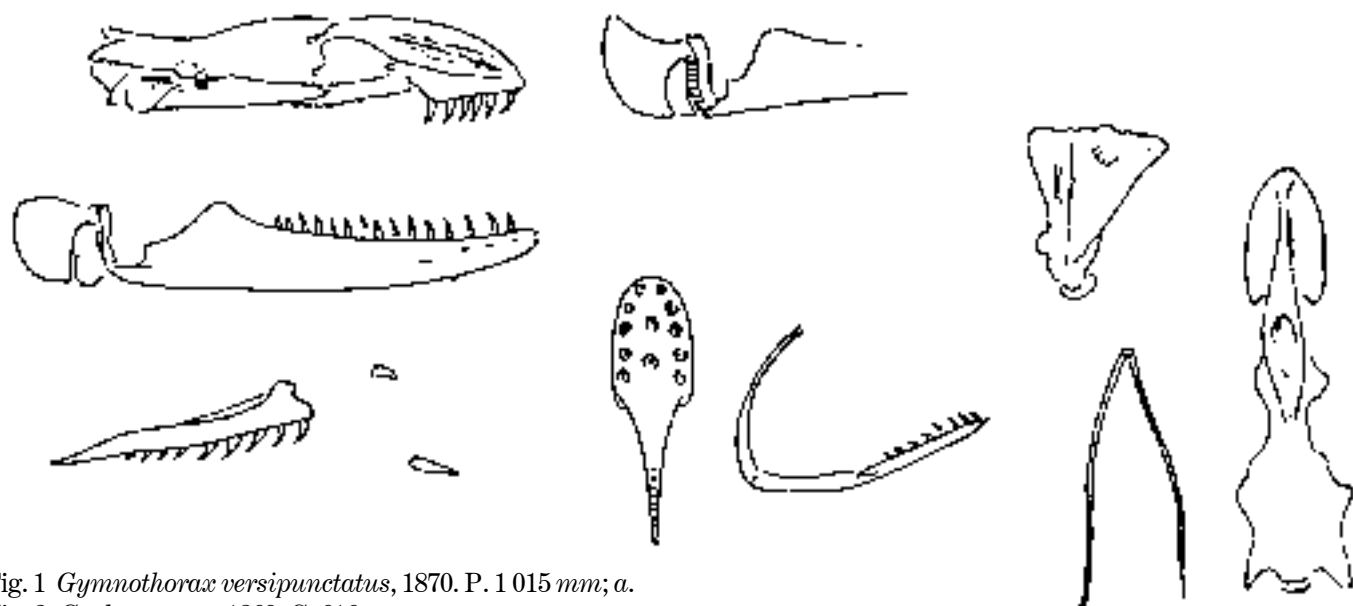


Fig. 1 *Gymnothorax versipunctatus*, 1870. P. 1015 mm; a.

Fig. 2 *G. obscuratus*, 1869. C. 616 mm.

Fig. 3 *G. umbrosus*, 1874. C. 673 mm.

Fig. 4 *G. polygonius*, 1872. P. 722 mm; morena.

Lám. 439

Núm. 229

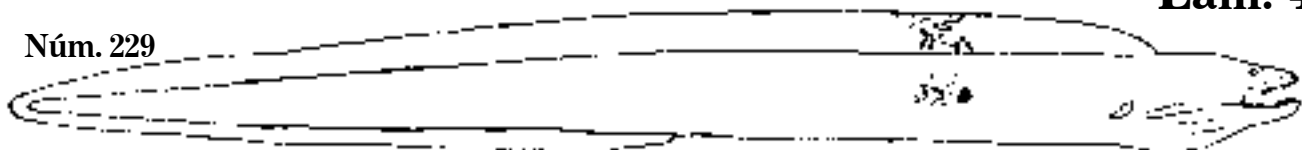


Fig. 1

Núm. 229

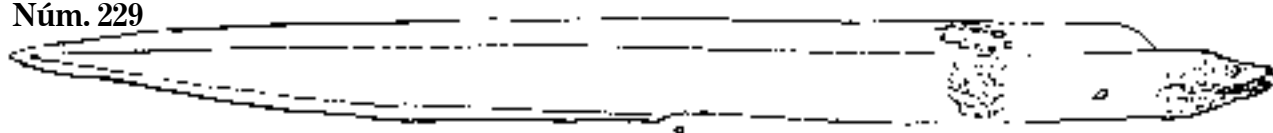


Fig. 2

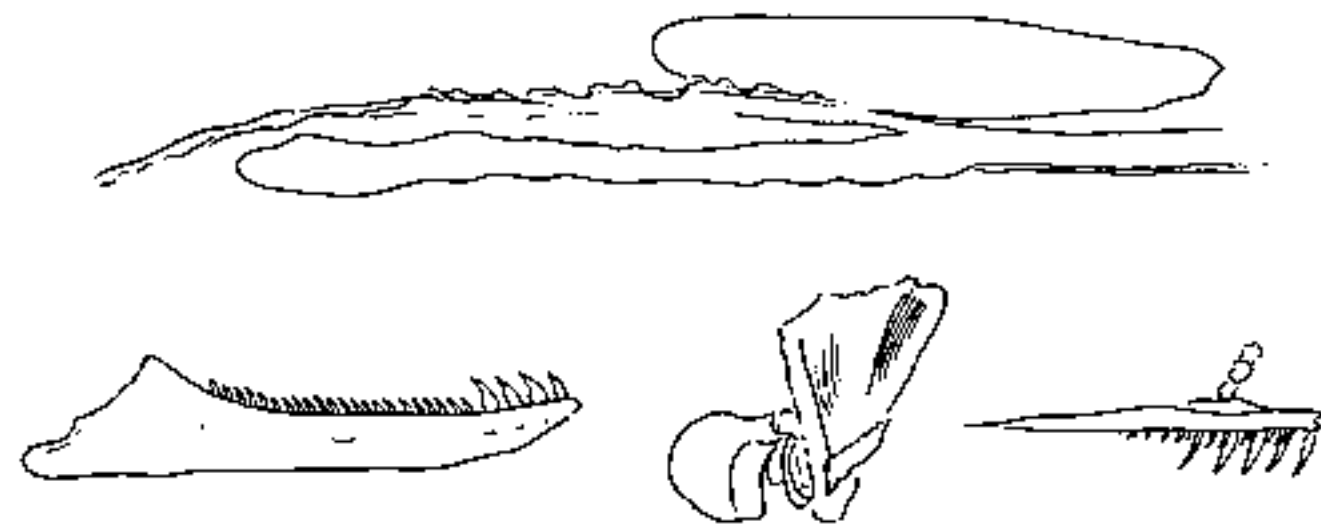


Fig. 1 *Gymnothorax picturatus*, 1870. P. 874 mm.
Fig. 2 *G. picturatus*. P. 702 mm; morena pintada.

Lám. 440

Núm. 368

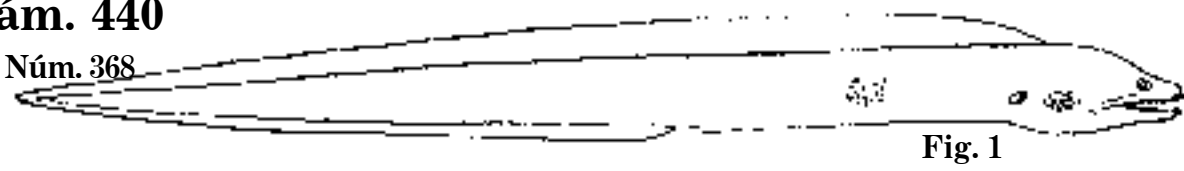


Fig. 1

Núm. 729

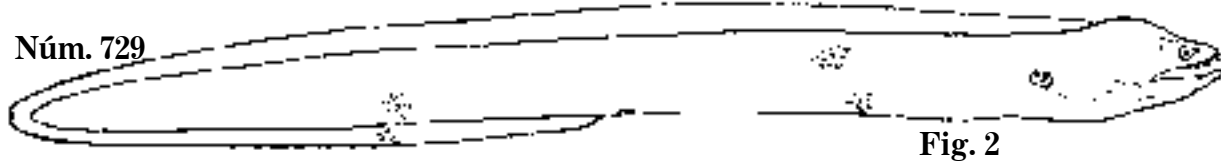


Fig. 2

Núm. 326

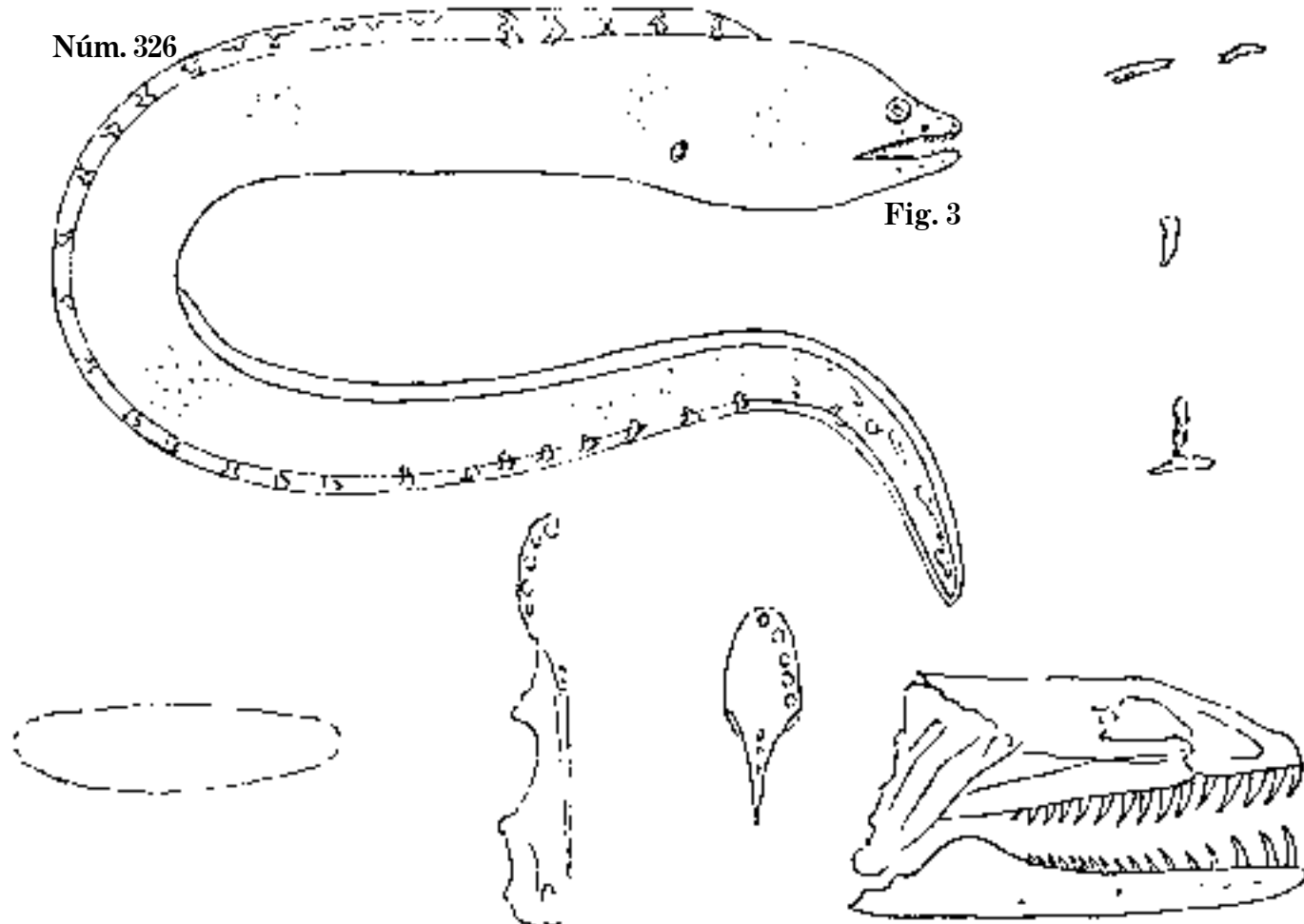


Fig. 3

Núm. 559

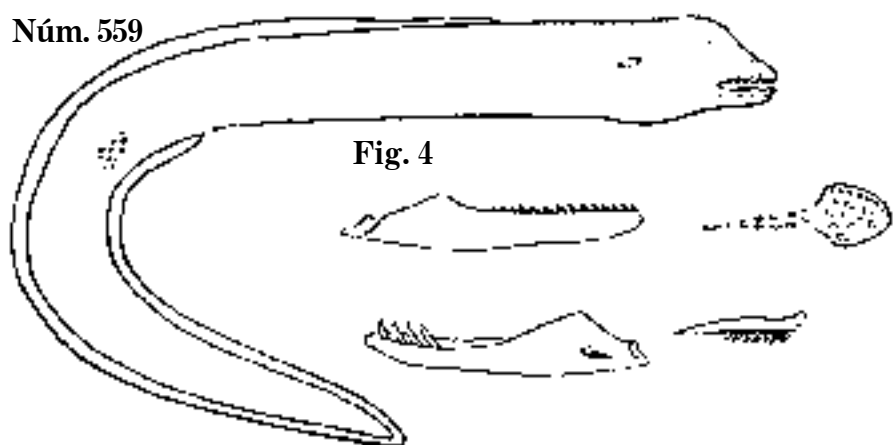


Fig. 4

Fig. 1 *Gymnothorax flavoscriptus*, 1872. P. 622 mm.

Fig. 2 *G. miliaris*, 1866. P. 521 mm.

Fig. 3 *G. conspersus*, 1863. C. 875 mm.

Fig. 4 *G. elaboratus*. P. 507 mm; morena.

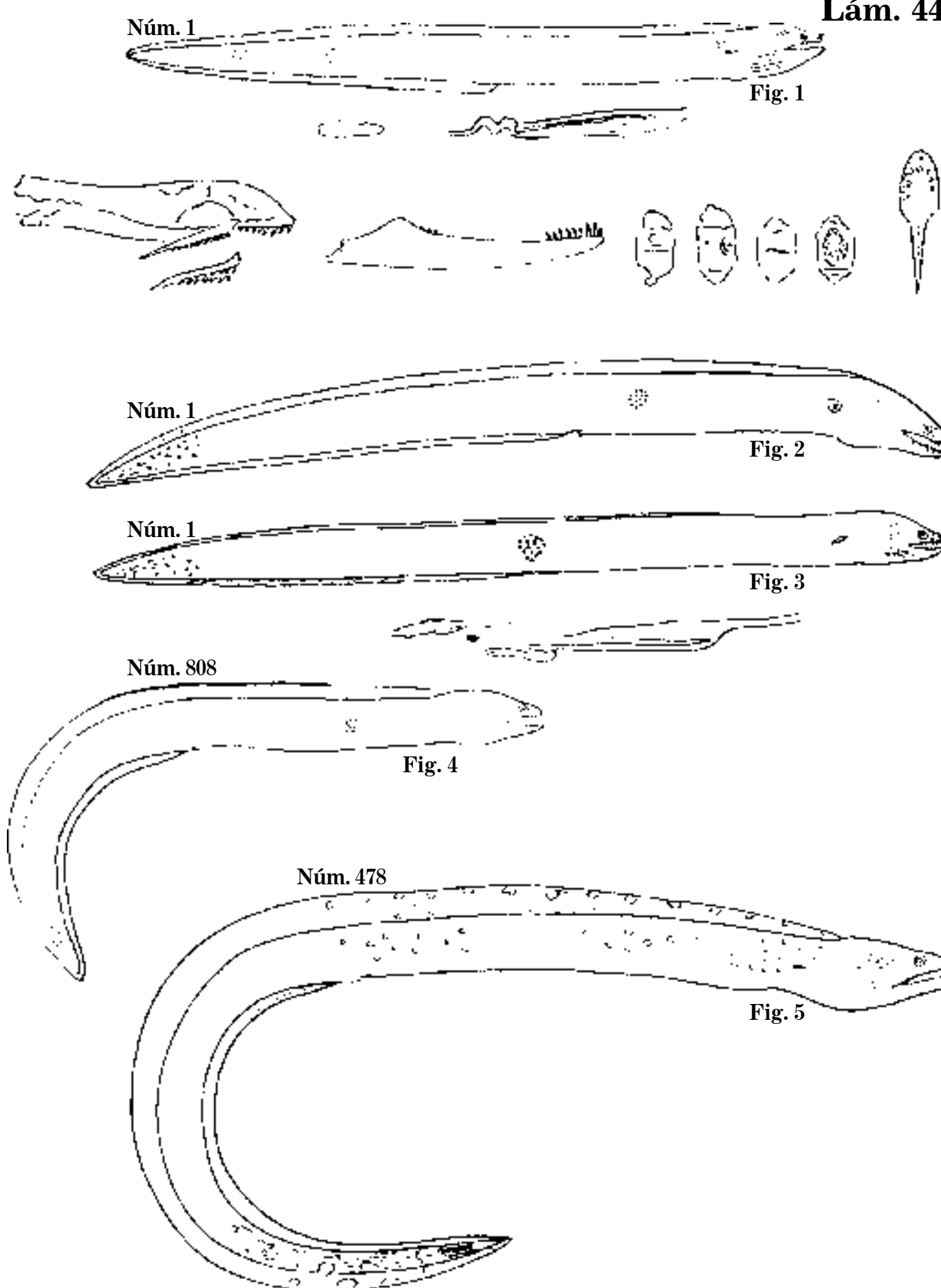


Fig. 1 *Gymnothorax multiocellatus*, 1858. C. 452 mm.
 Fig. 2 *G. multiocellatus*, 1867. P. 315 mm.
 Fig. 3 *G. multiocellatus*, 1851. C. 305 mm.

Fig. 4 *G. brachyurus*, 1876. C. 459 mm.
 Fig. 5 *Priodonophis ocellatus*, 1859. P. 560 mm; morena.

Lám. 442

Núm. 720

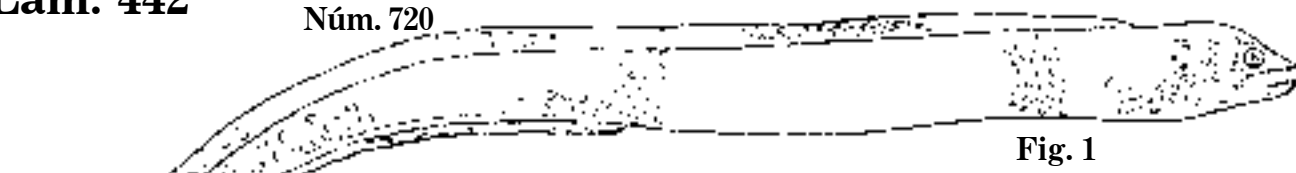


Fig. 1

Núm. 232

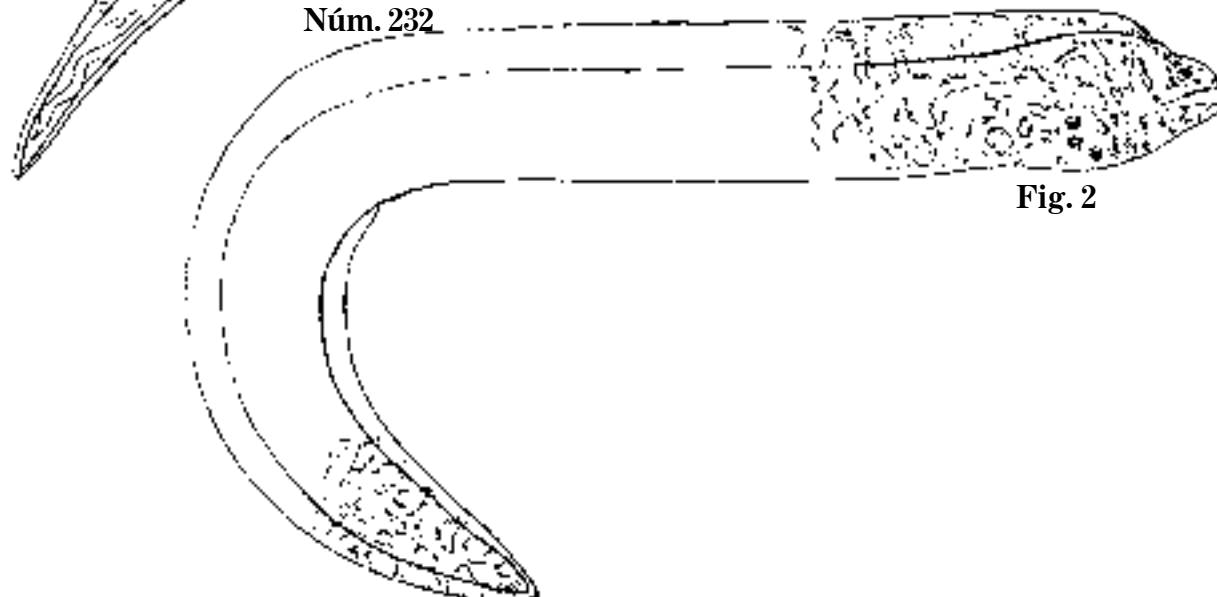


Fig. 2

Núm. 232

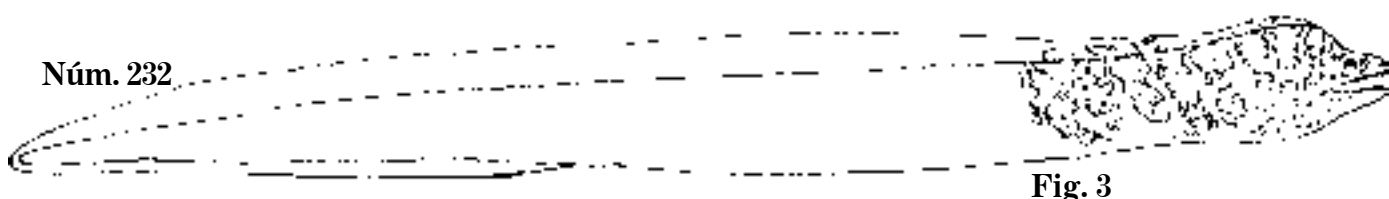
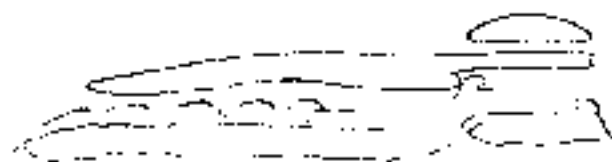


Fig. 3



Núm. 232

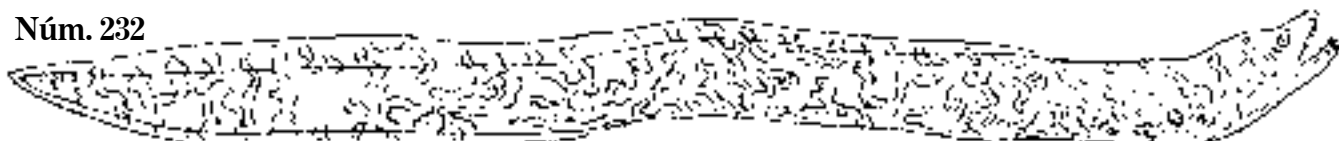


Fig. 4

Núm. 232



Fig. 5

Fig. 1 *Priodonophis pernotatus*, 1864. P. 457 mm.

Fig. 2 *Echidna catenata*, 1874. P. 700 mm.

Fig. 3 *E. catenata*. P. 665 mm.

Fig. 4 *E. catenata*, 1870. C. 434 mm.

Fig. 5 *E. catenata*, 1861. P. 805 mm; morena.

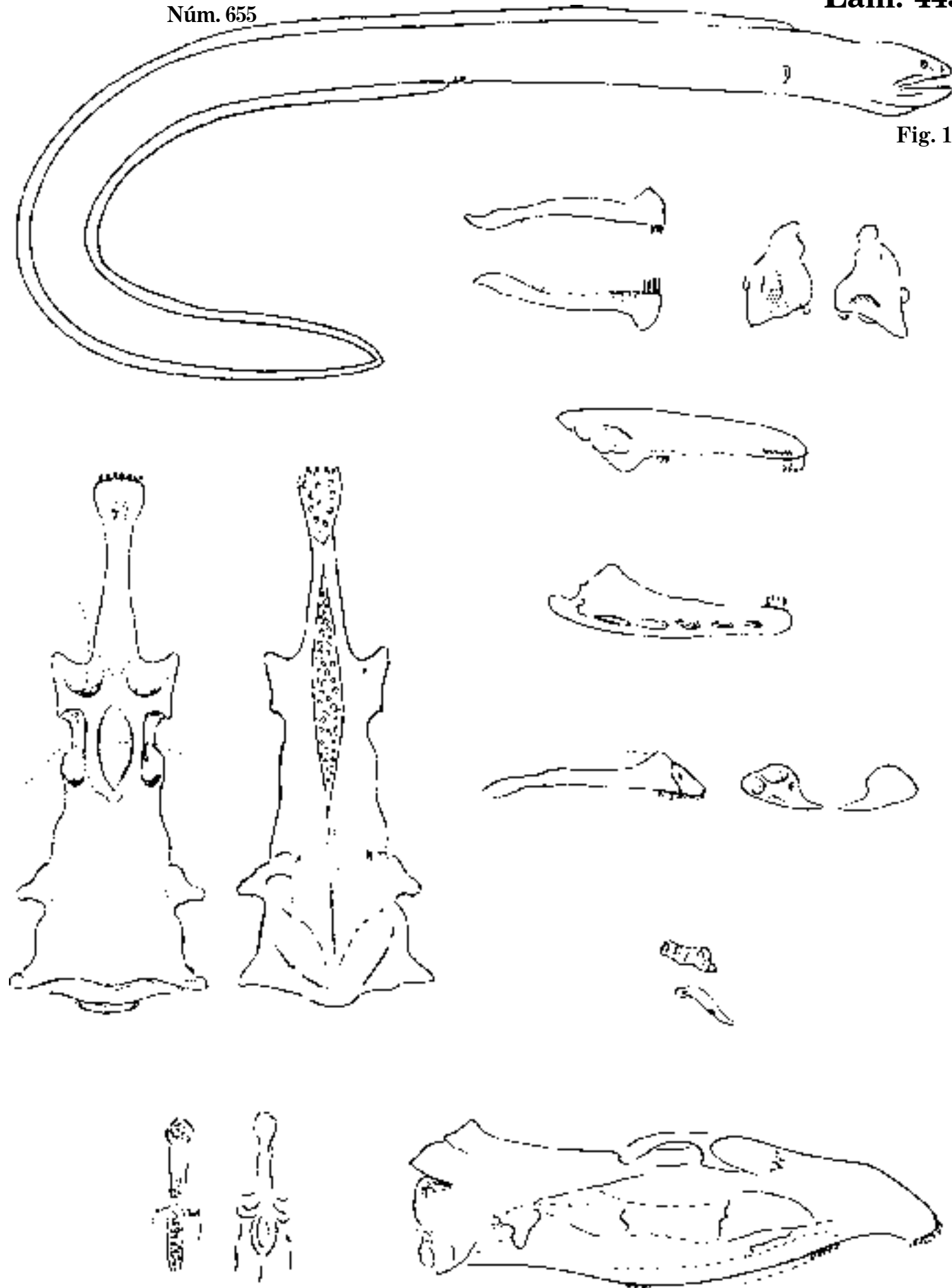


Fig. 1 *Pythonichthys sanguineus*, 1862. P. 810 mm; morena.

Lám. 444

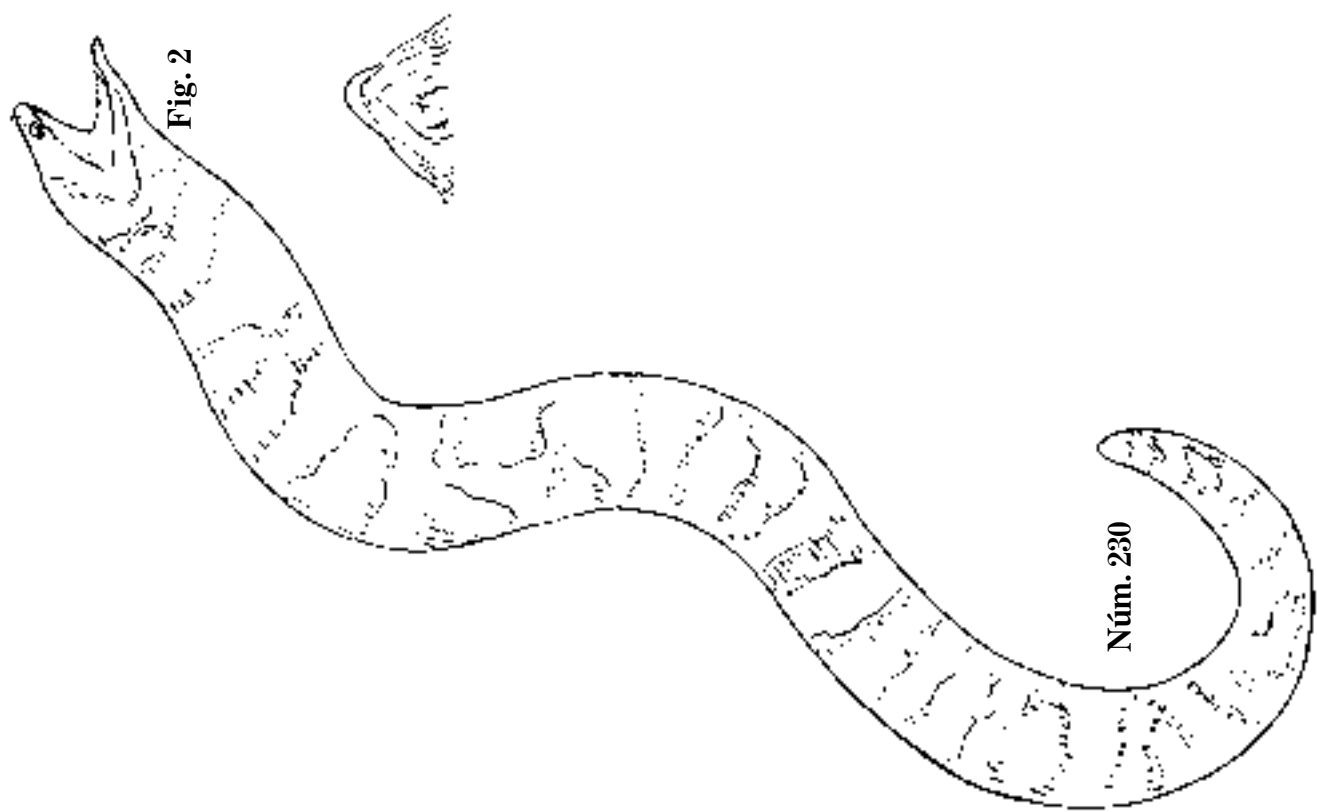
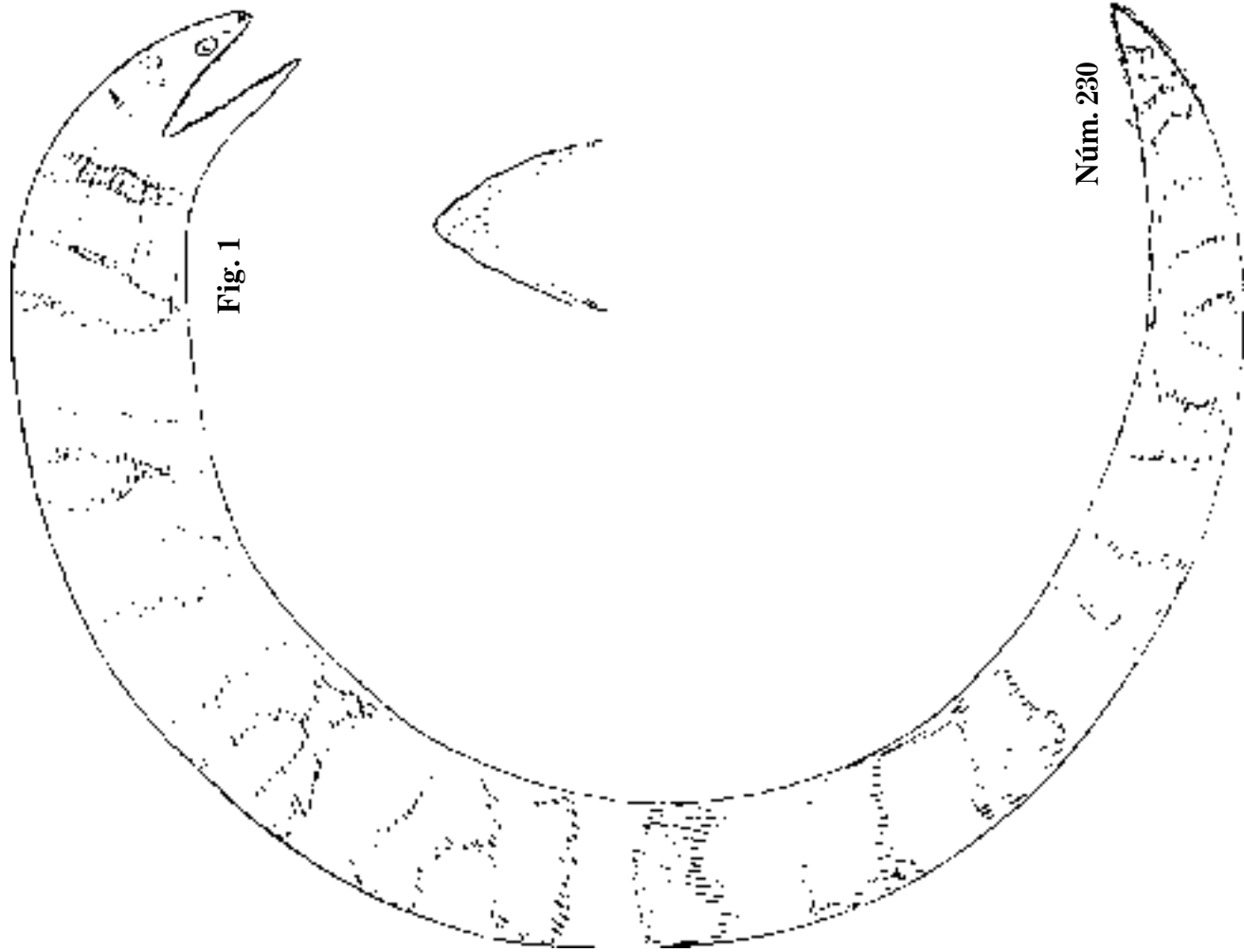


Fig. 1 *Channomuraena vittata*, 1853. C. 787 mm.

Fig. 2 *Ch. vittata*. C. 884 mm; morena.

Núm. 230

Lám. 445

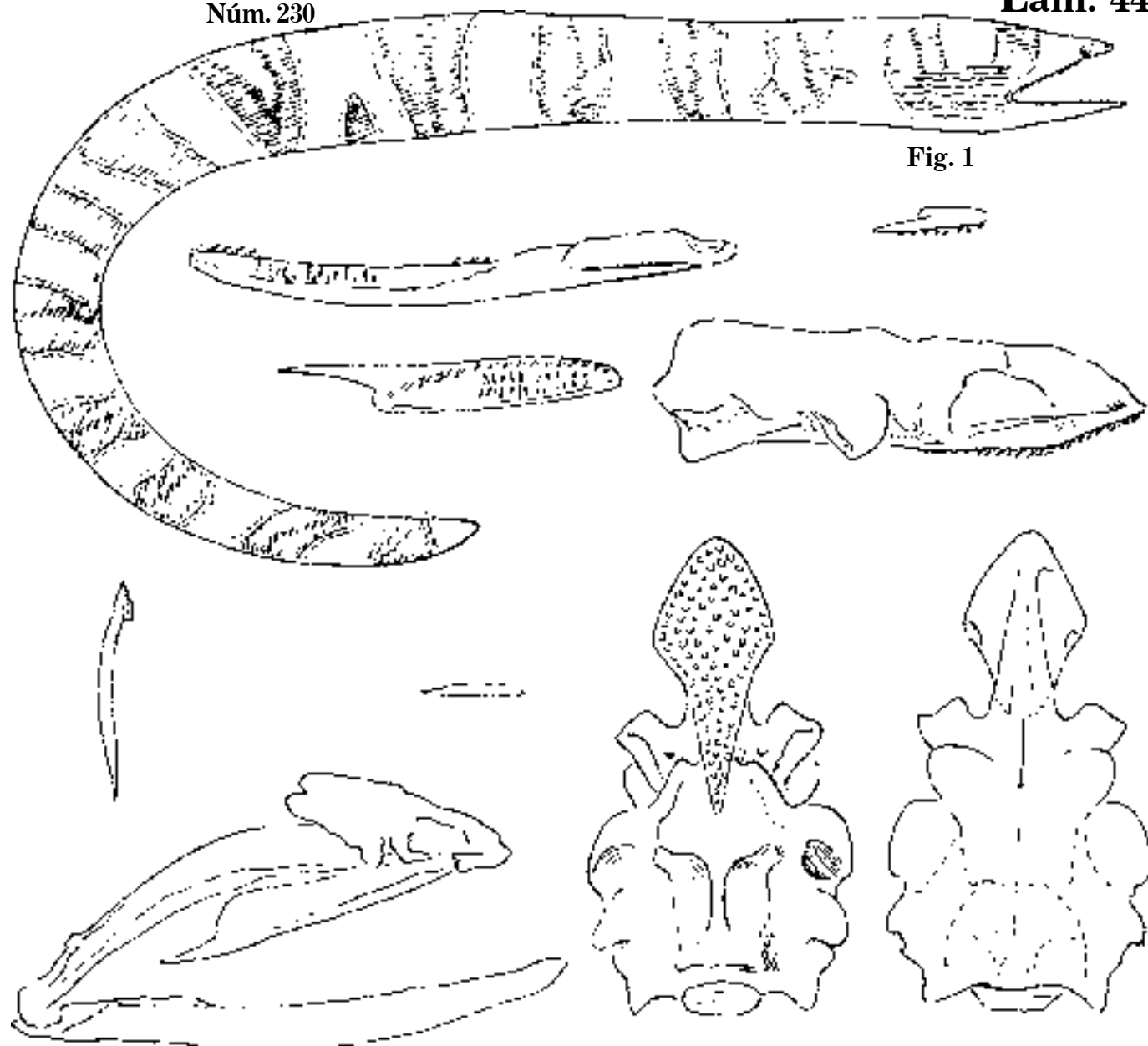


Fig. 1

Núm. 230

Fig. 2

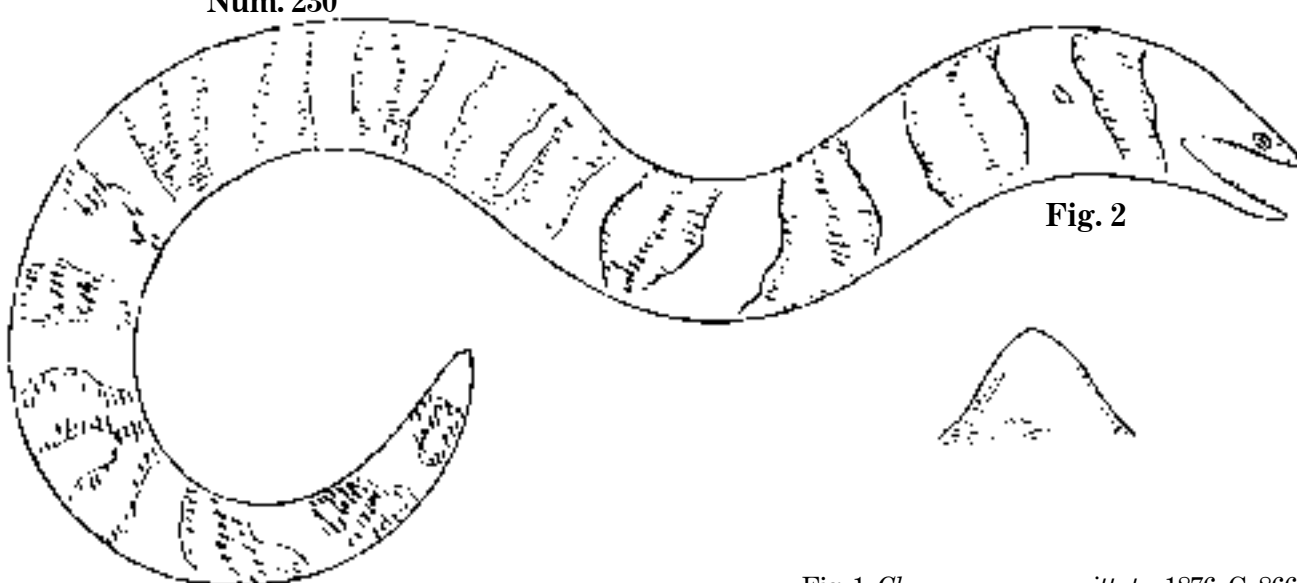


Fig. 1 *Channomuraena vittata*, 1876. C. 866 mm.
Fig. 2 *Ch. vittata*, 1876. P. 860 mm.; morena.

Lám. 446

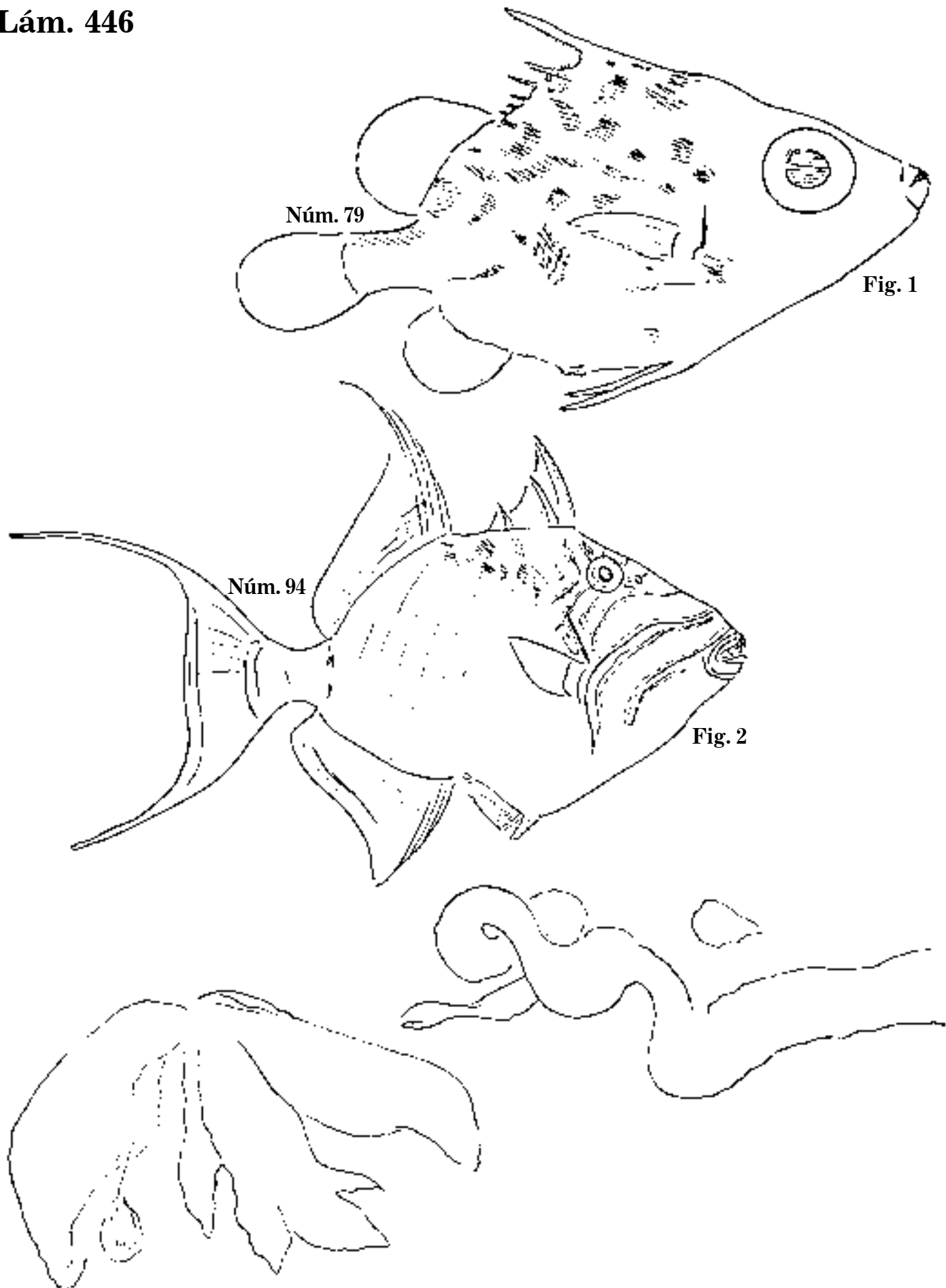


Fig. 1 *Hollardia Hollardi*. P. 160 mm; D. 6,17; A. 14; S.N.C.

Fig. 2 *Balistes vetula*, 1850. C. horq. 255 mm; D. 3,29; A. 27; cochino.

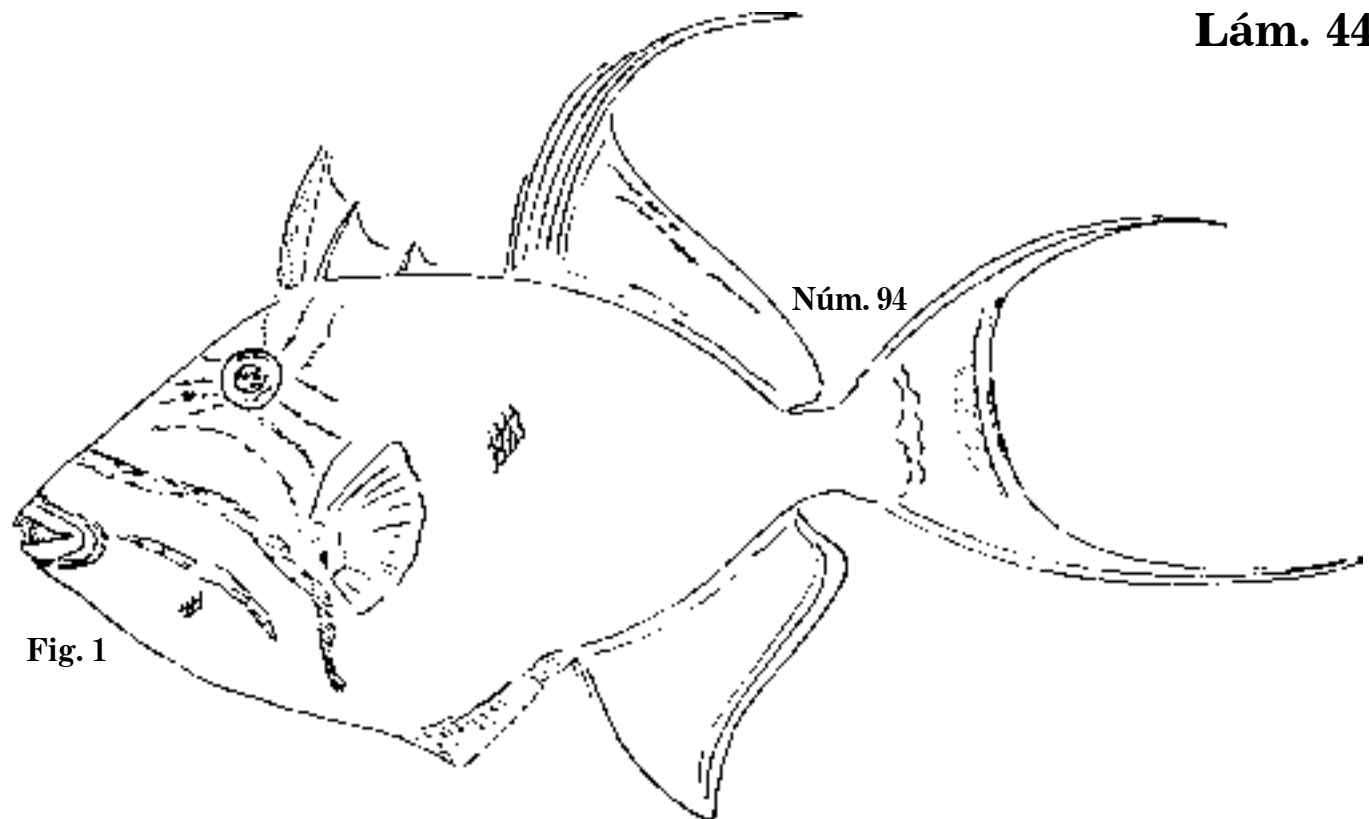


Fig. 1

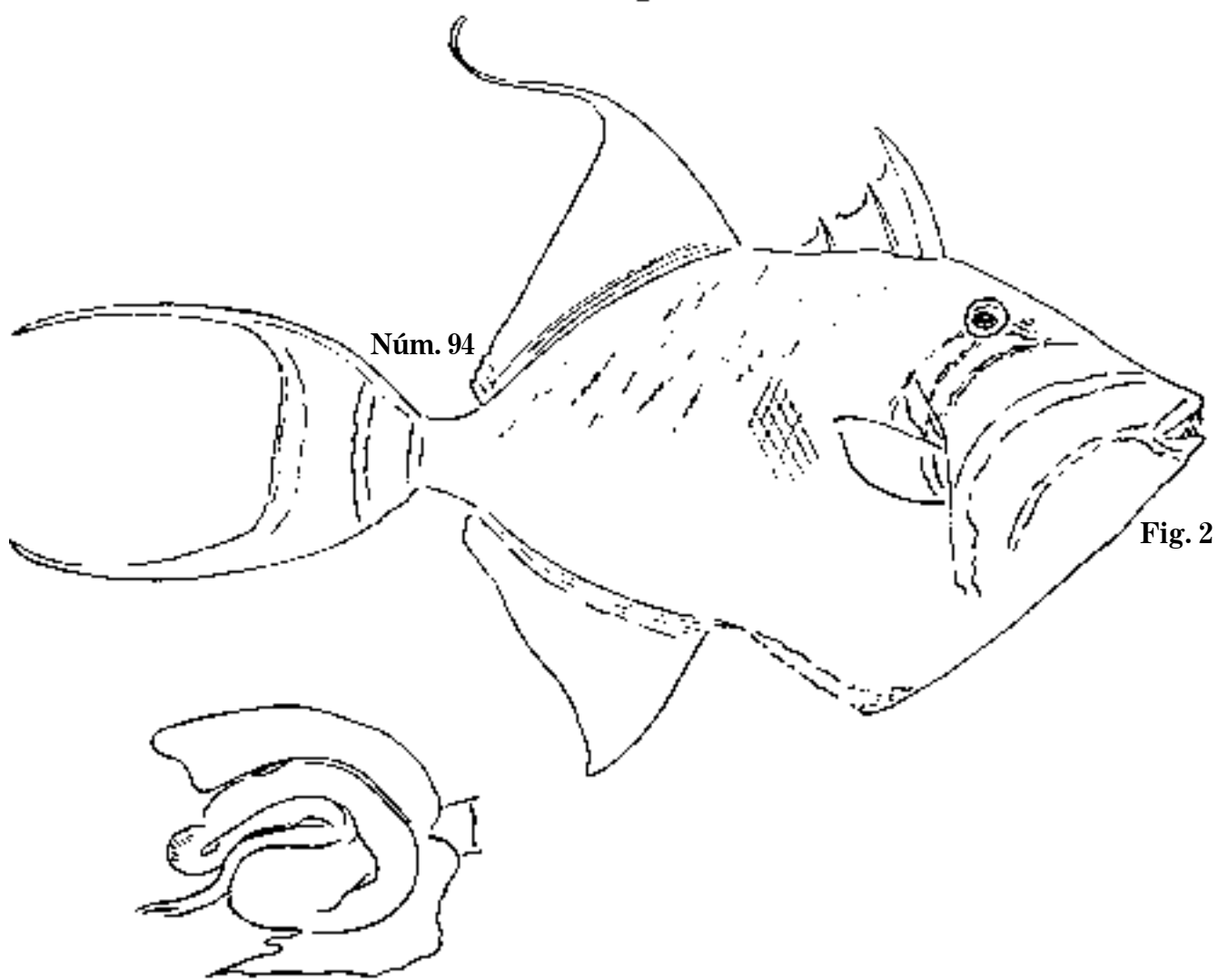
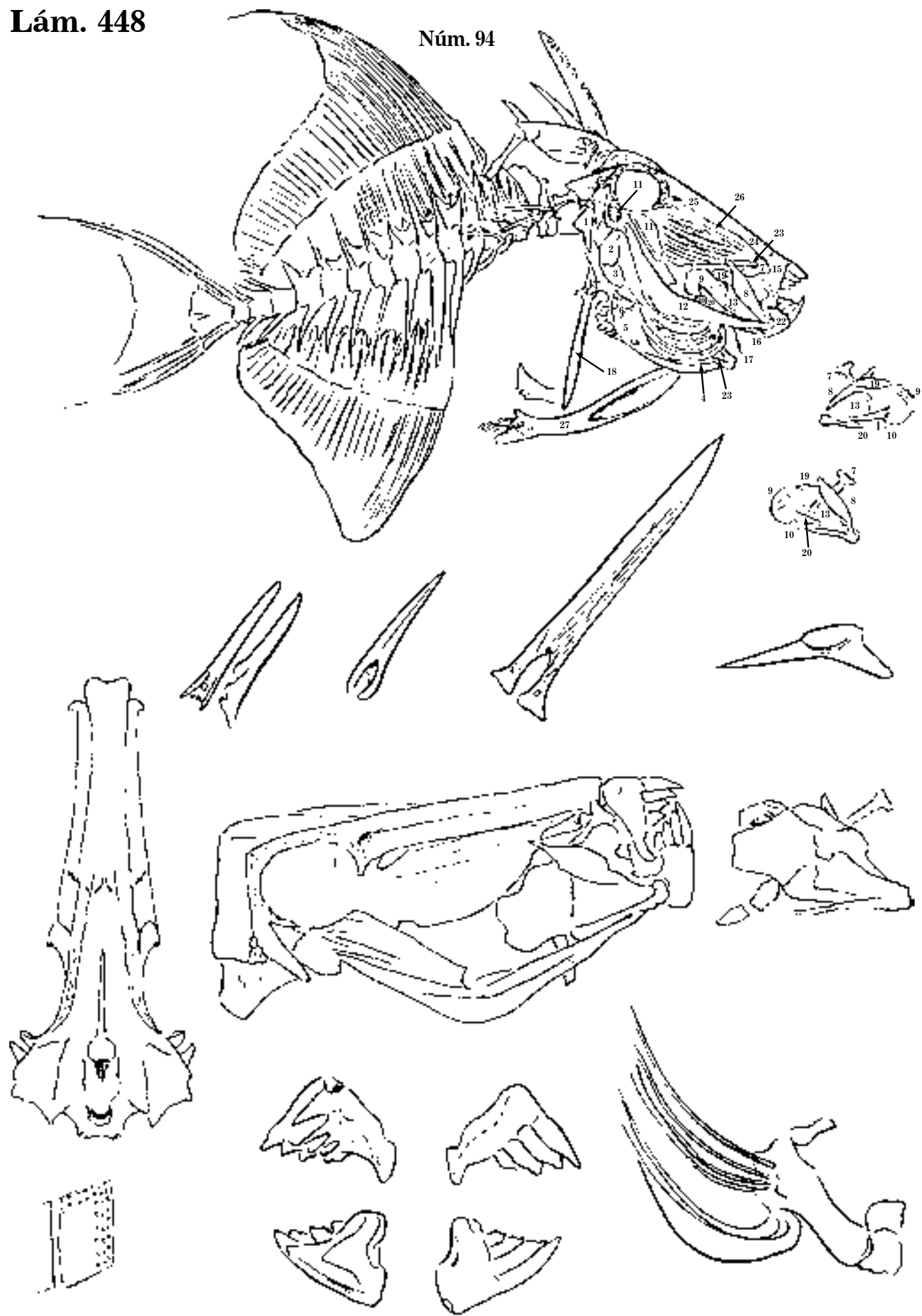


Fig. 2

Fig. 1 *Balistes vetula*, 1835. C. horq. 271 mm; D. 3,28; A. 28.
Fig. 2 *B. vetula*, 1872. C. horq. 420 mm; D.; A.; cochino.

Lám. 448

Núm. 94



Balistes vetula. Osteología; cochino.

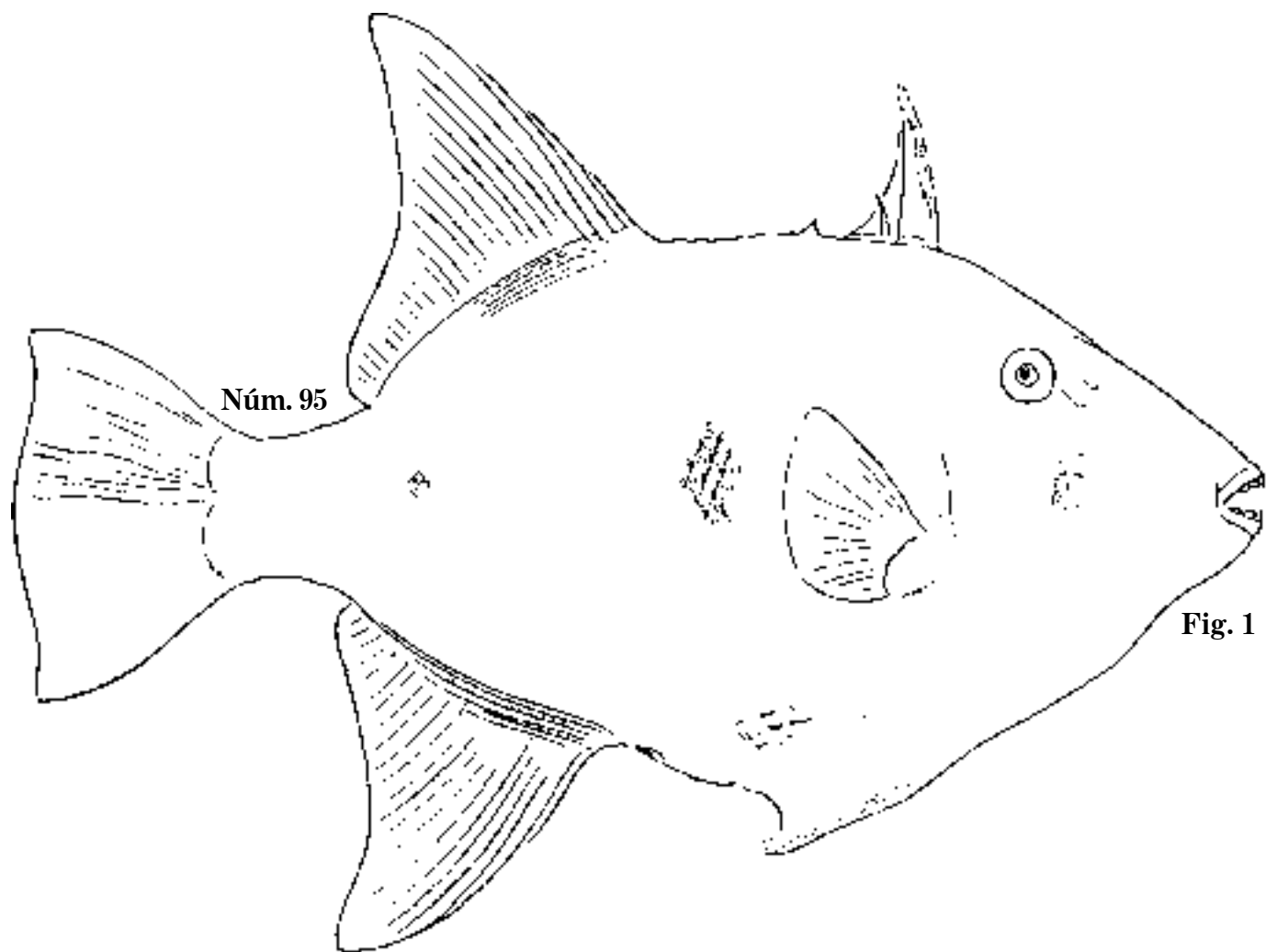


Fig. 1

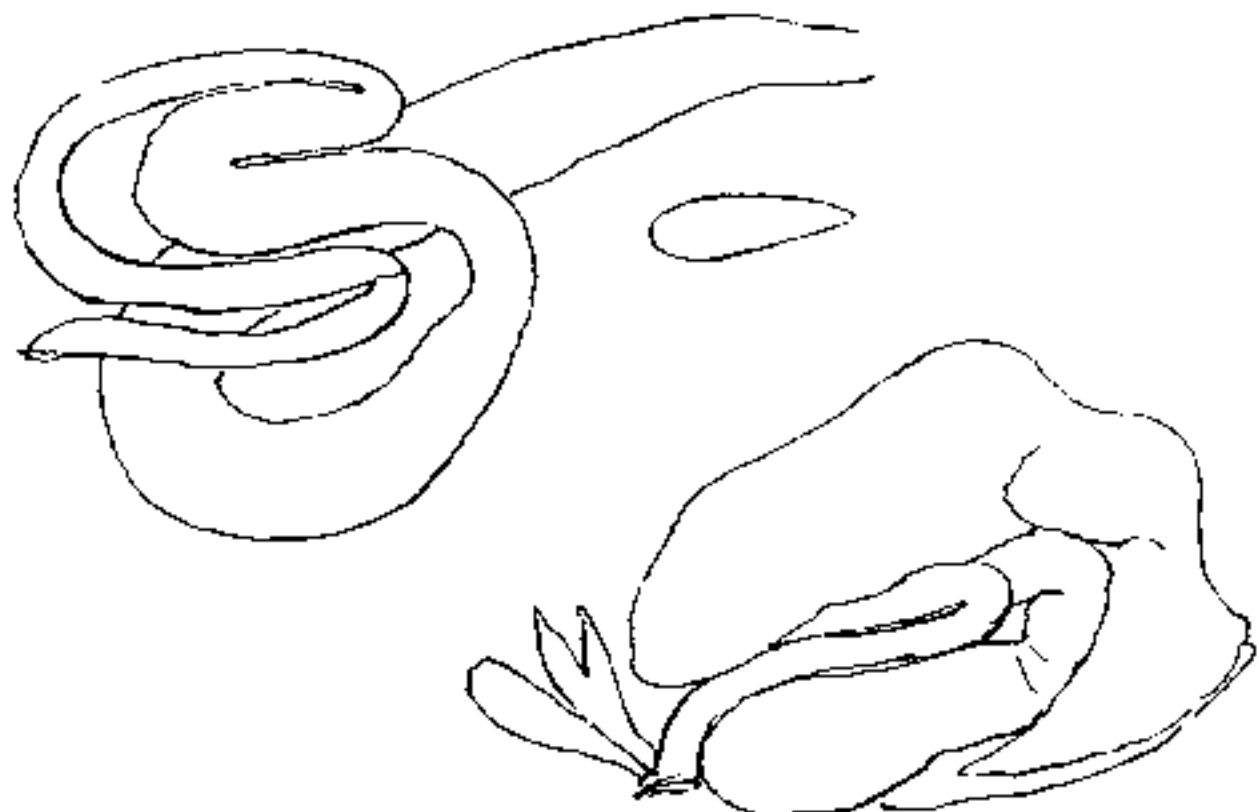


Fig. 1 *Balistes sobaco*. P. 380 mm; D. 3,26; A. 26; sobaco.

Lám. 450

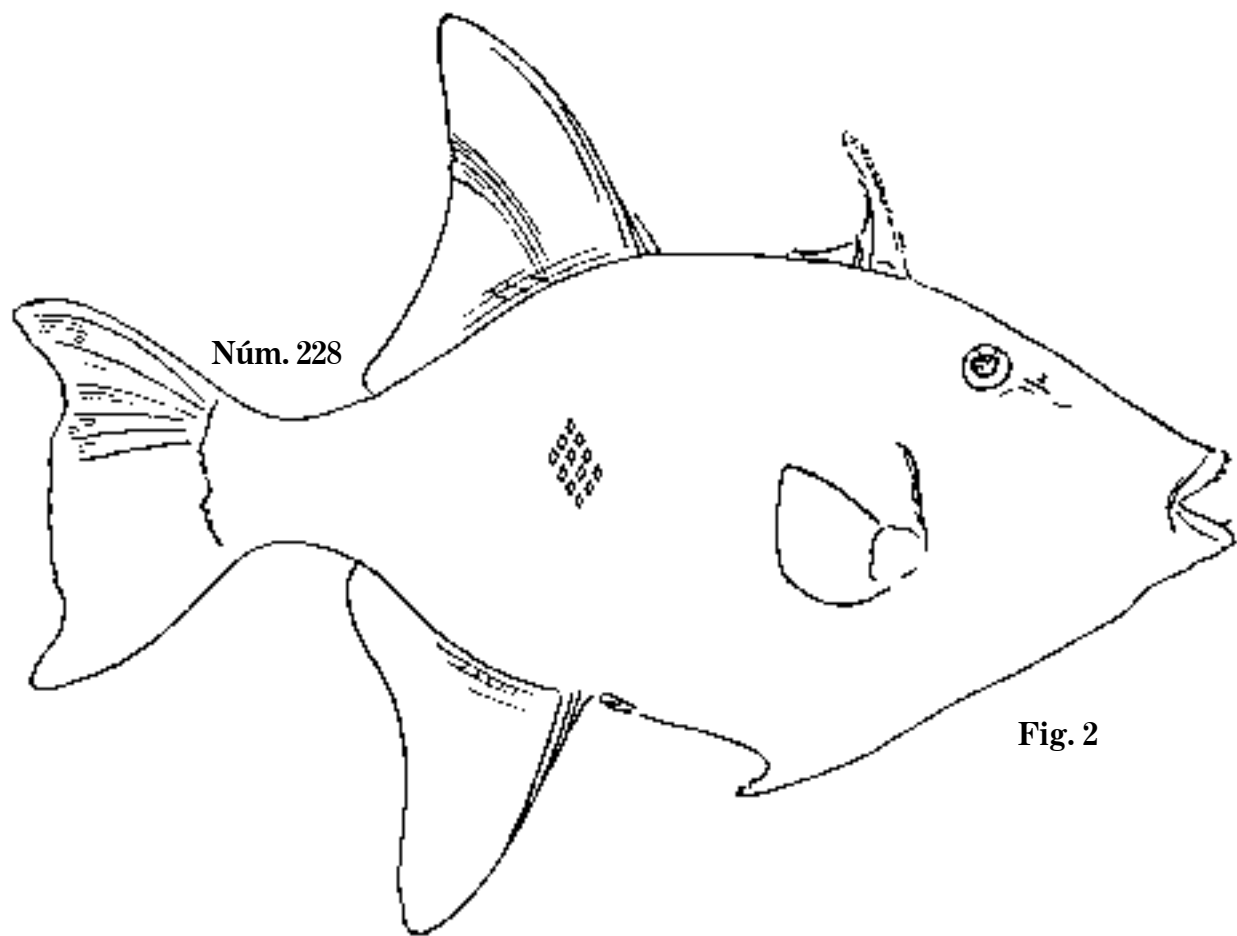
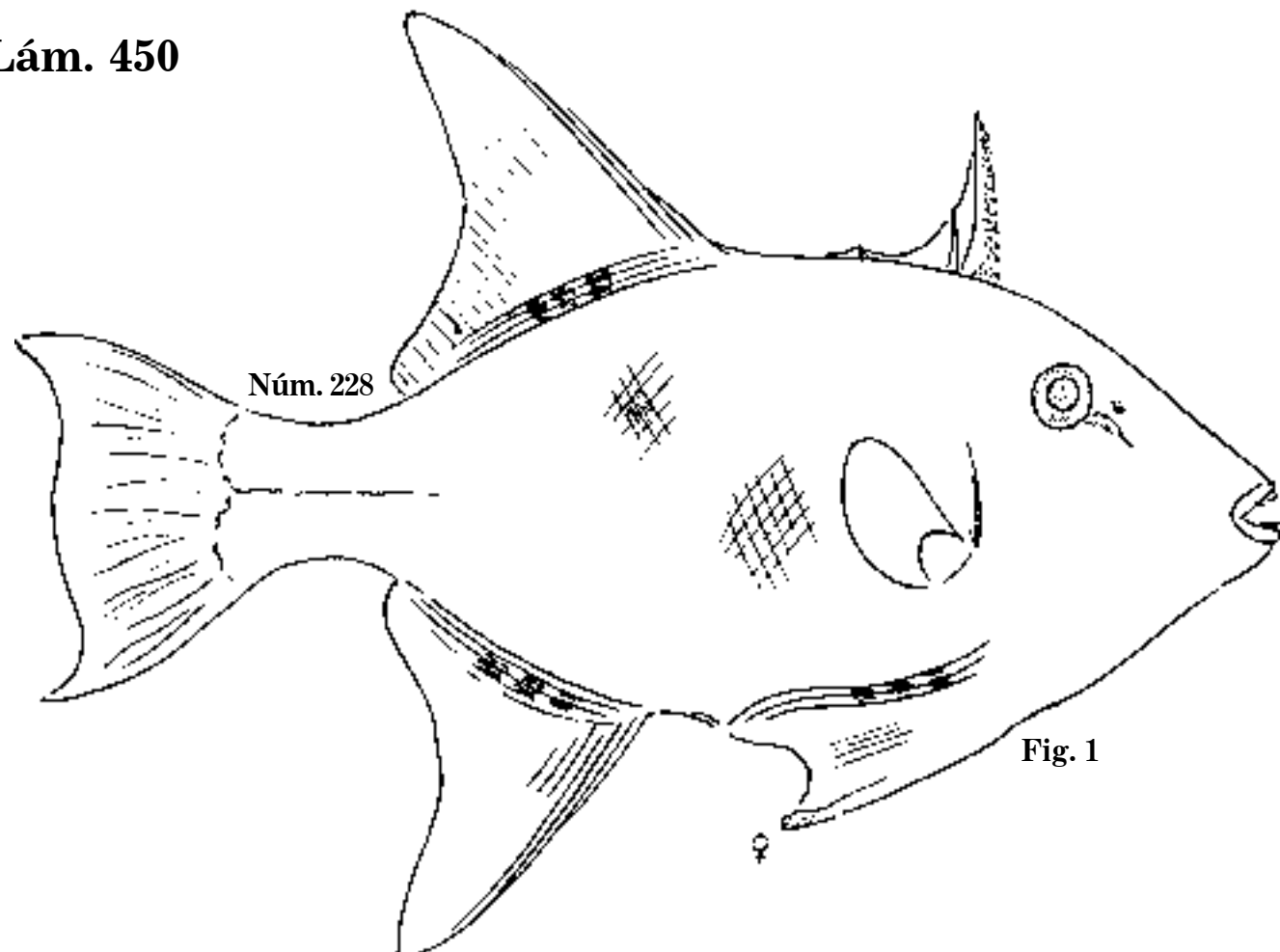


Fig. 1 *Balistes macrops*, 1860. C. horq. 400 mm; D. 3,27; A. 25.

Fig. 2 *B. macrops*, 1865. C. horq. 599 mm; D. 3,28; A. 25; sobaco.

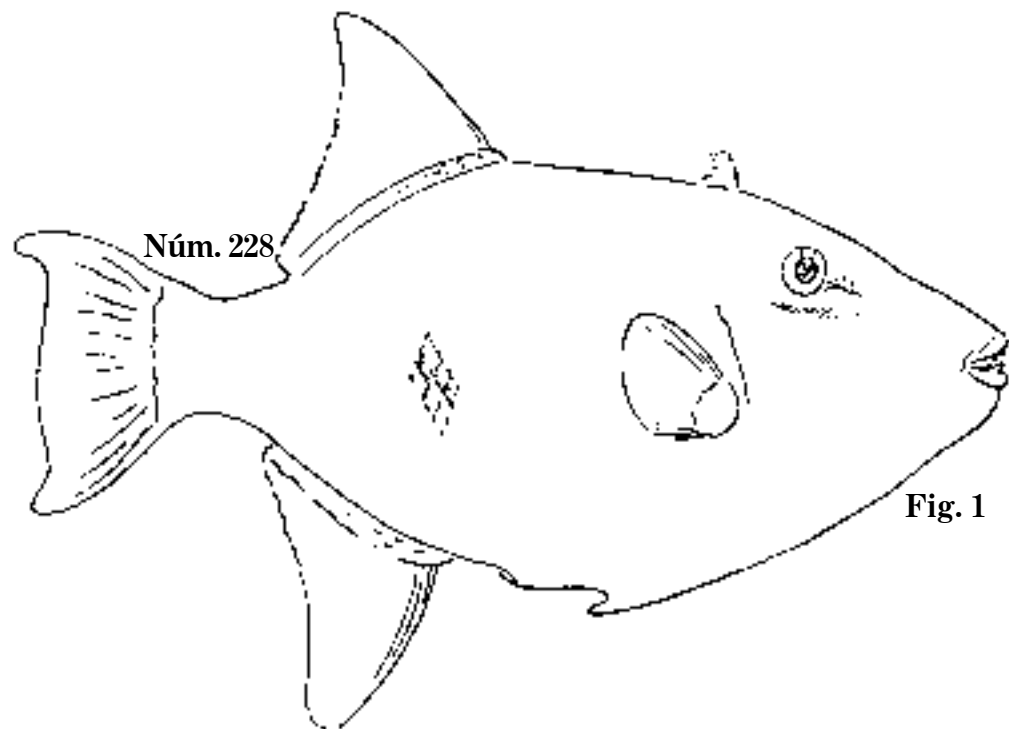


Fig. 1

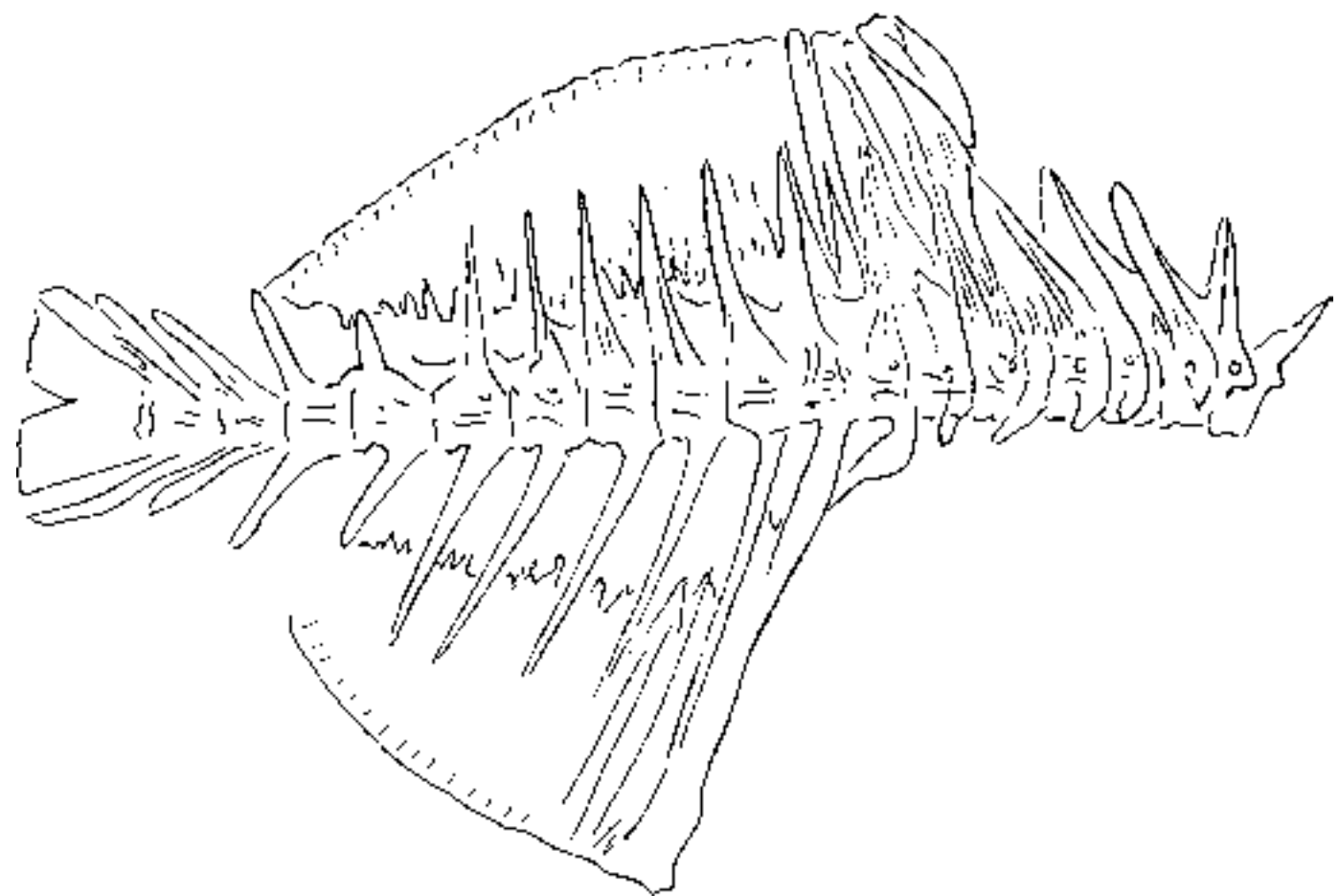
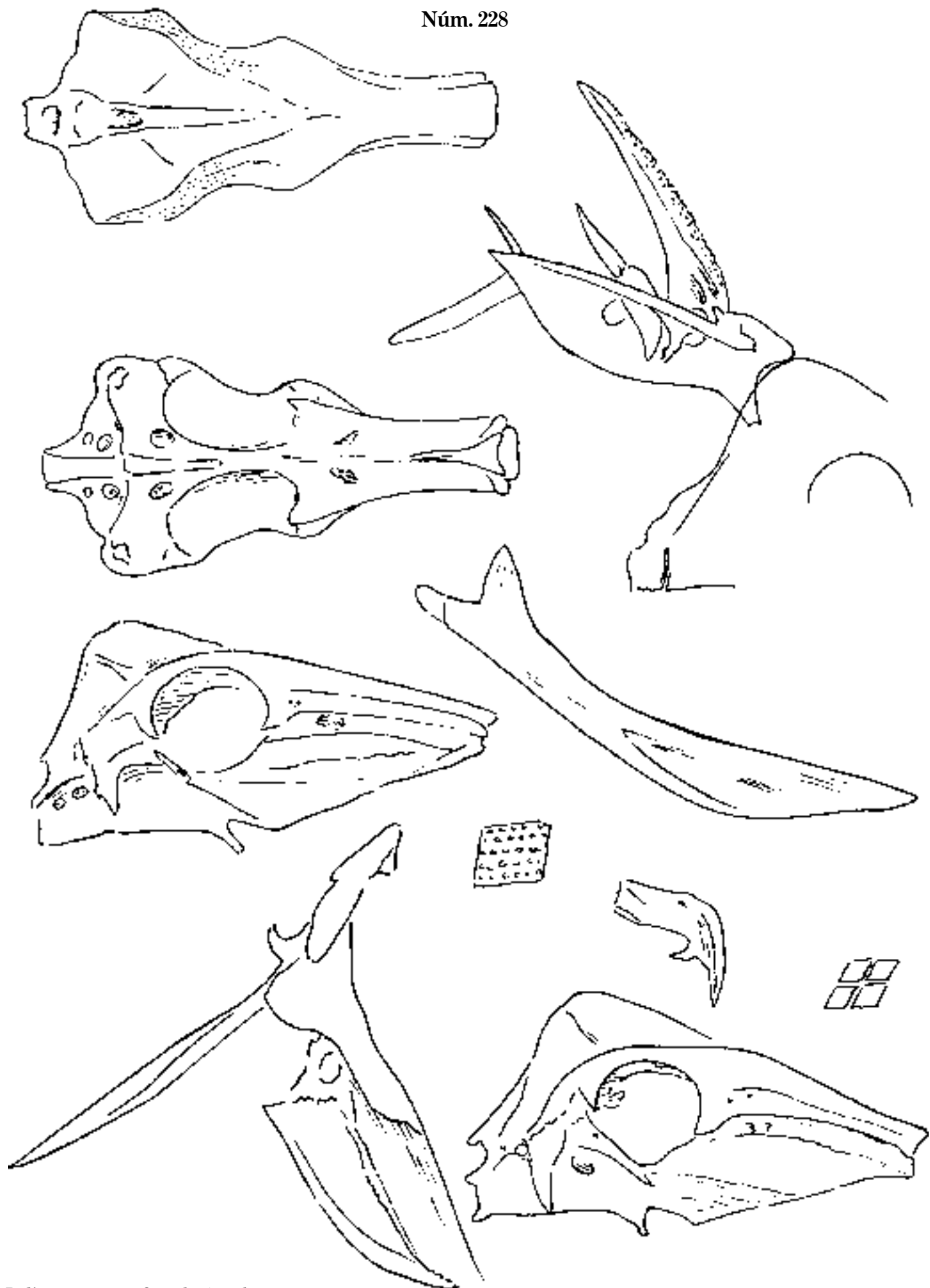


Fig. 1 *Balistes macrops*, 1868. C. horq. 636 mm; D. 3,26; A. 23; sobaco.

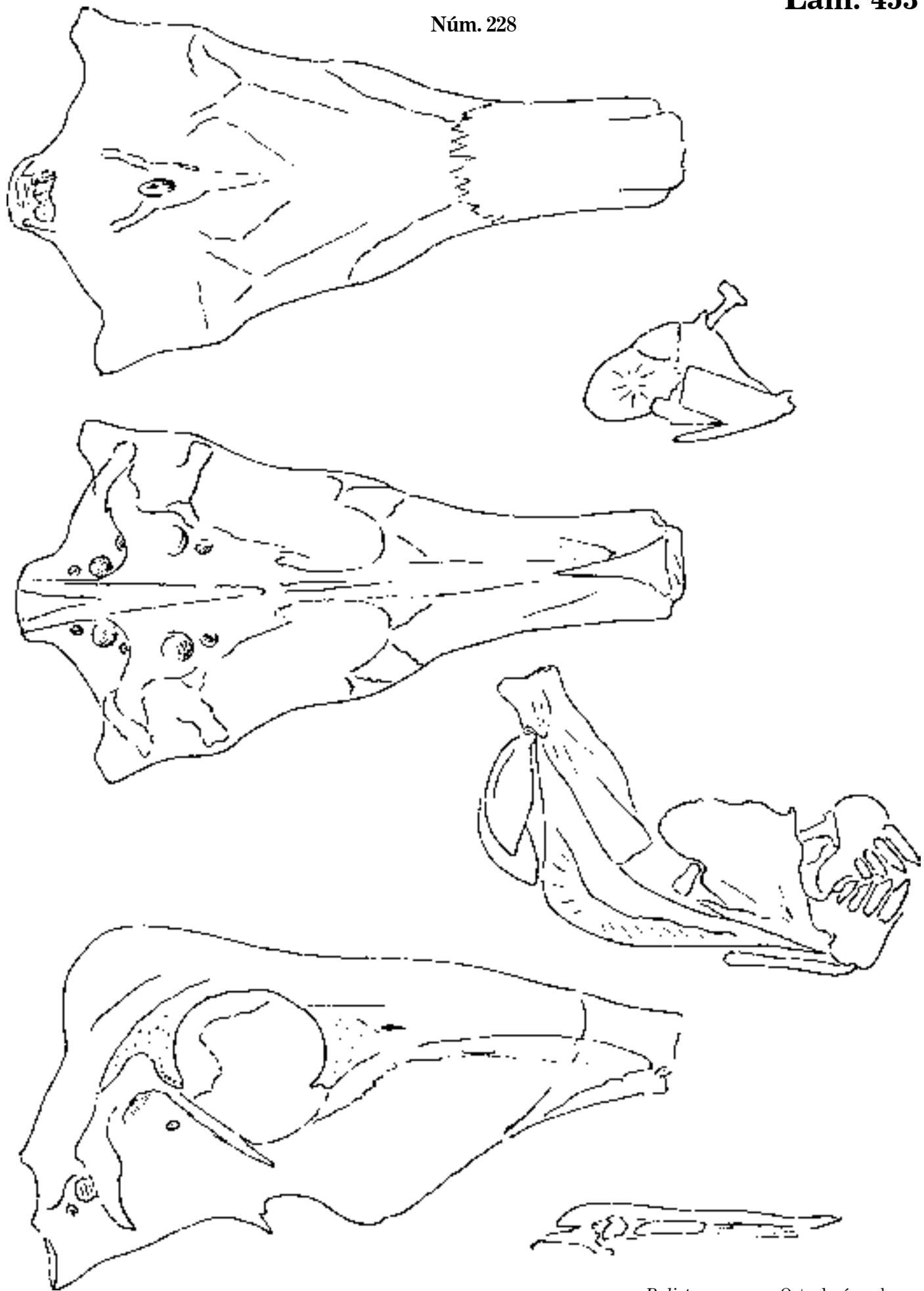
Lám. 452

Núm. 228



Balistes macrops. Osteología; sobaco.

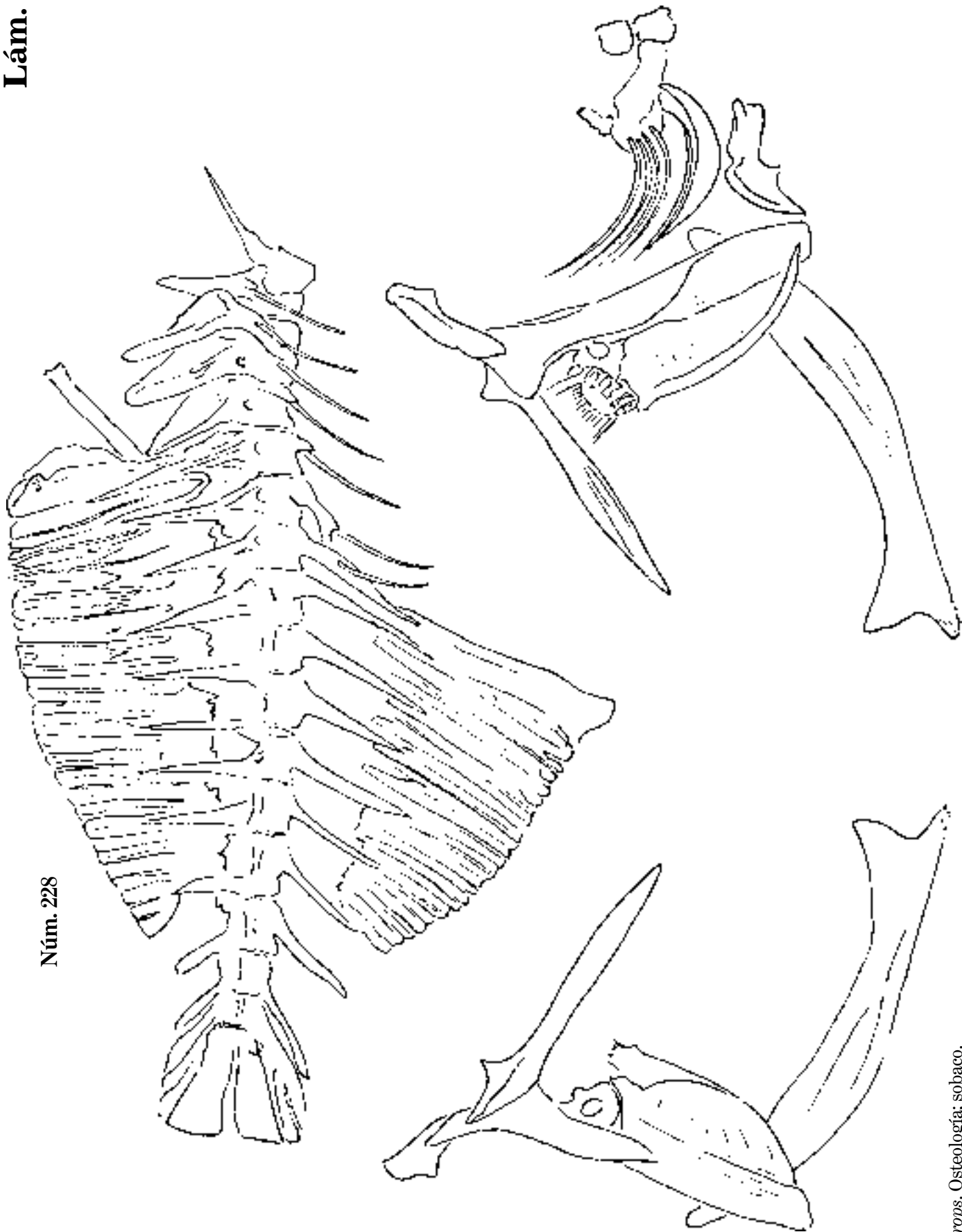
Núm. 228



Balistes macrops. Osteología; sobaco.

Lám. 454

Núm. 228



Balistes macrops. Osteología; sobaco.

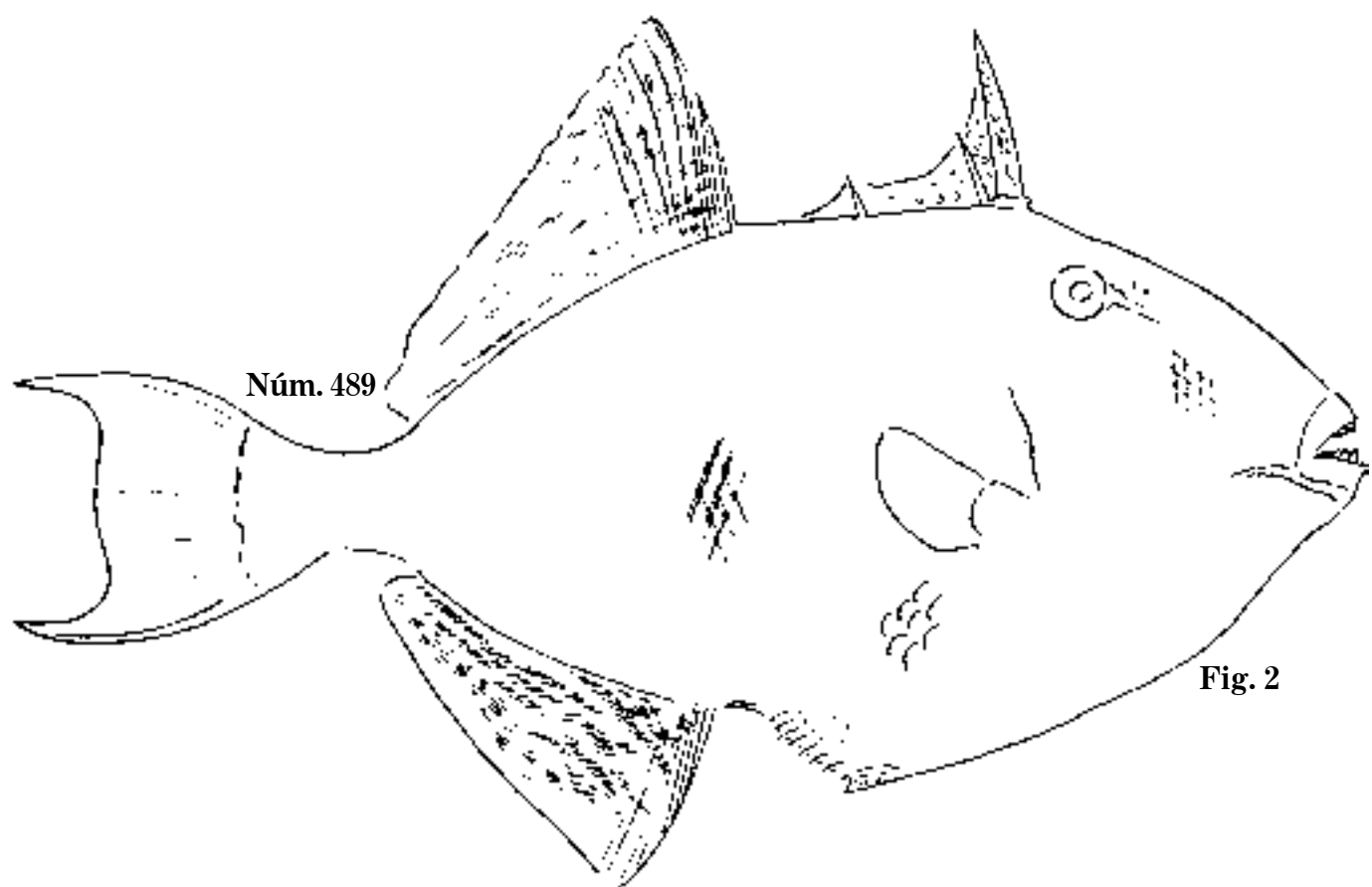
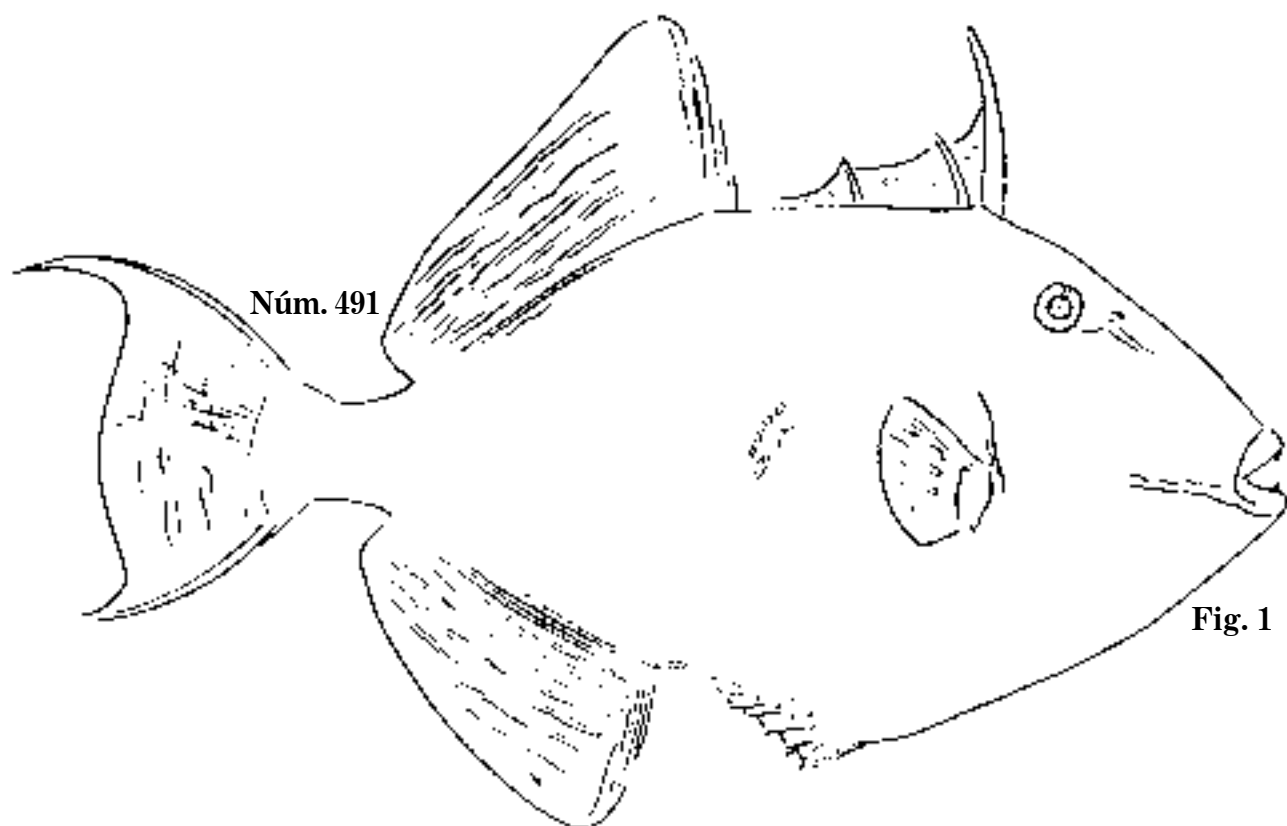


Fig. 1 *Balistes taeniopterus*. C. horq. 390 mm; D.; A.

Fig. 2 *B. nebulosus* (Florida), 1864. C. horq. 421 mm; D. 3,27; A. 25; S.N.C.

Lám. 456

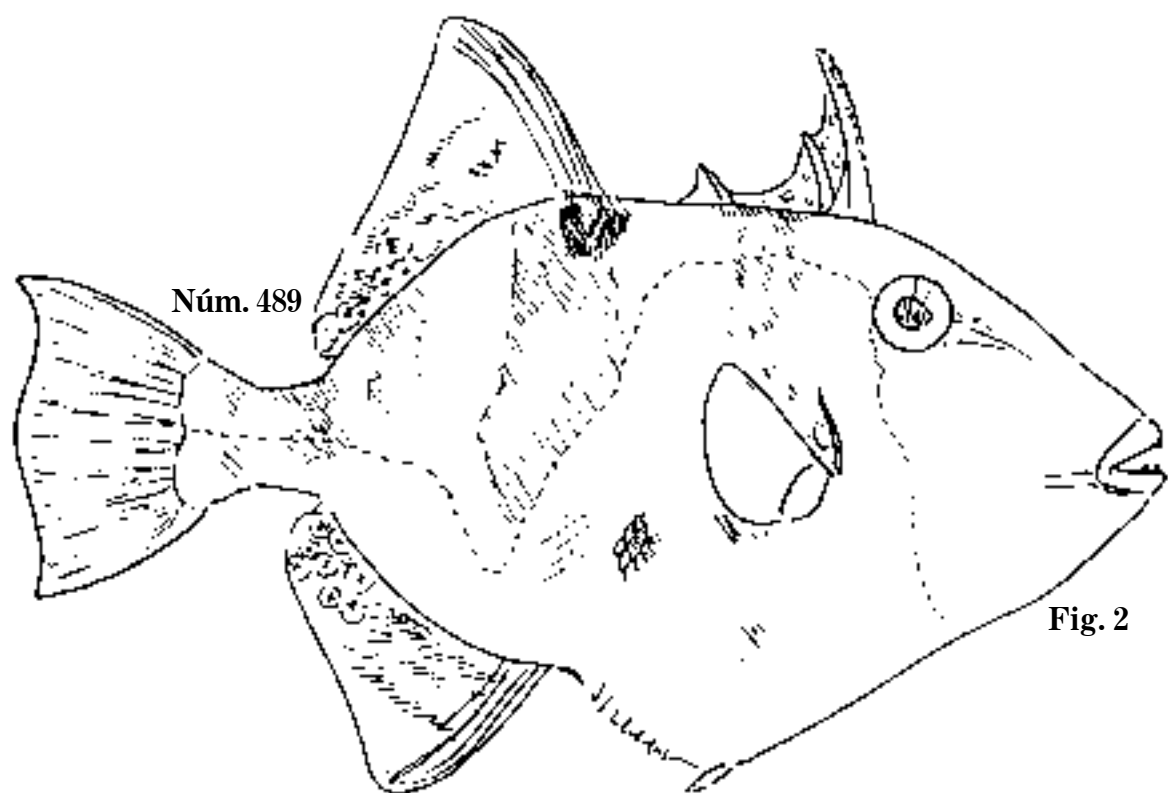
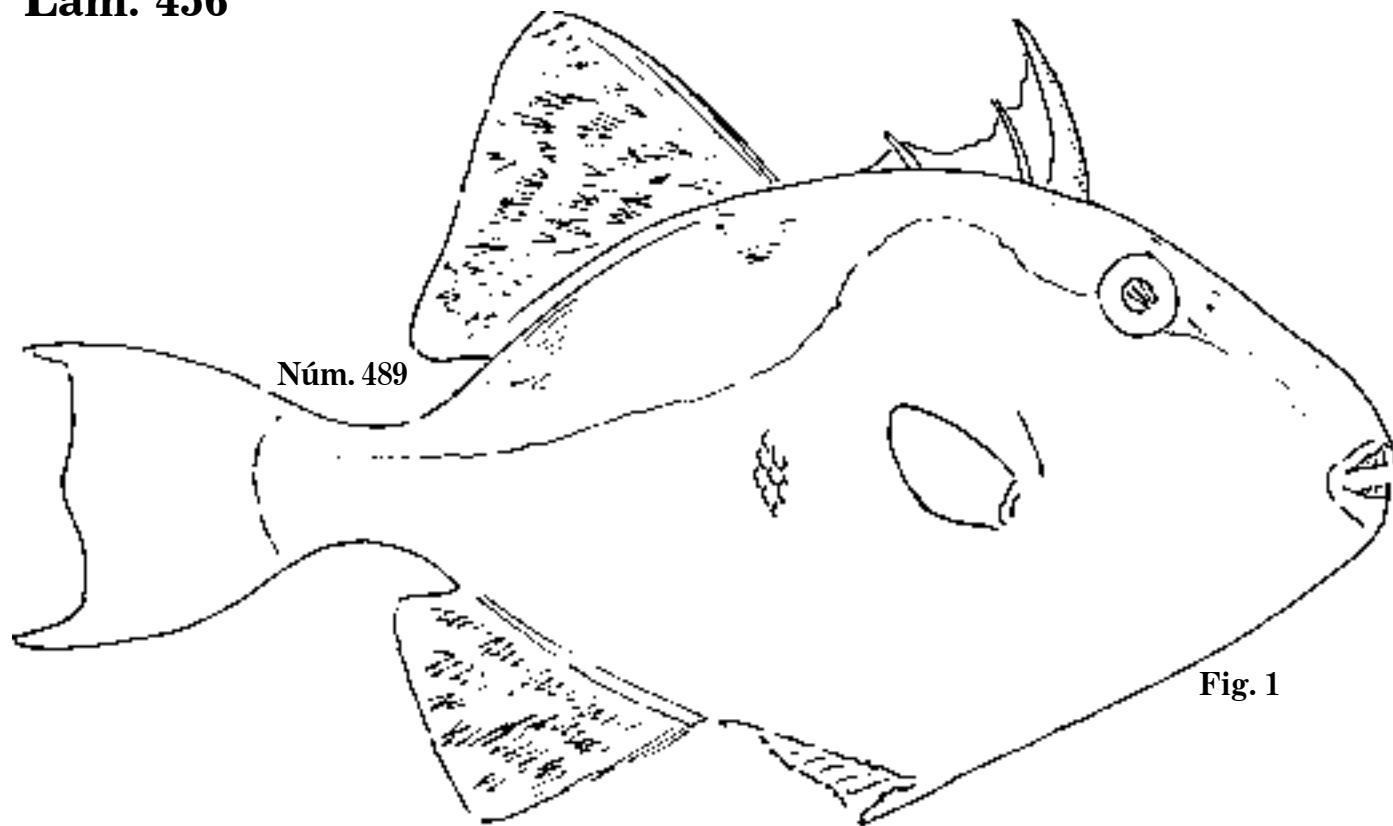


Fig. 1 *Balistes nebulosus*, C. horq. 175 mm; D. 3,1,24; A. 1,24.

Fig. 2 *B. nebulosus*, 1862. C. horq. 151 mm; D. 3,28; A. 25; S.N.C.

Lám. 457

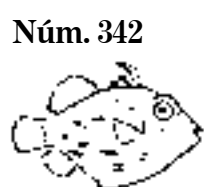


Fig. 1

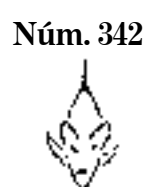


Fig. 2

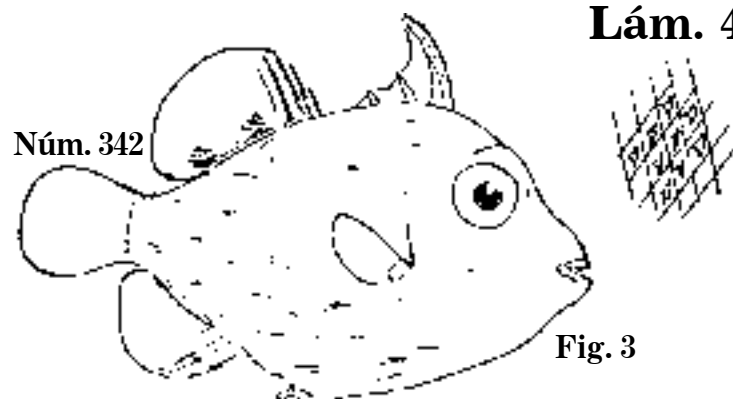


Fig. 3

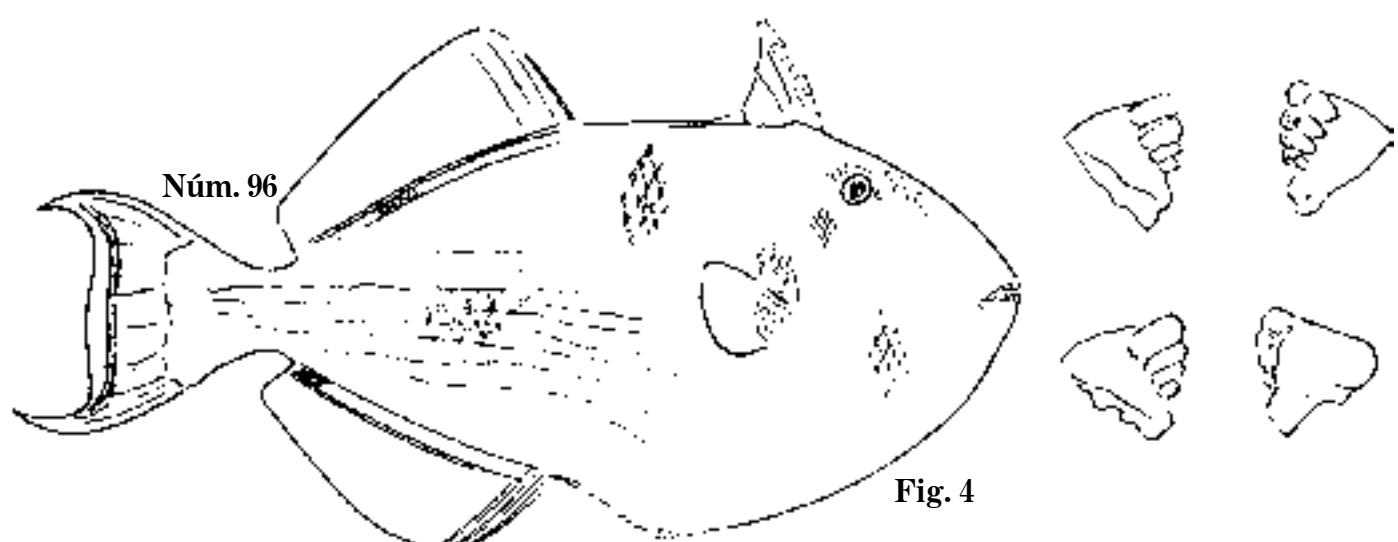


Fig. 4

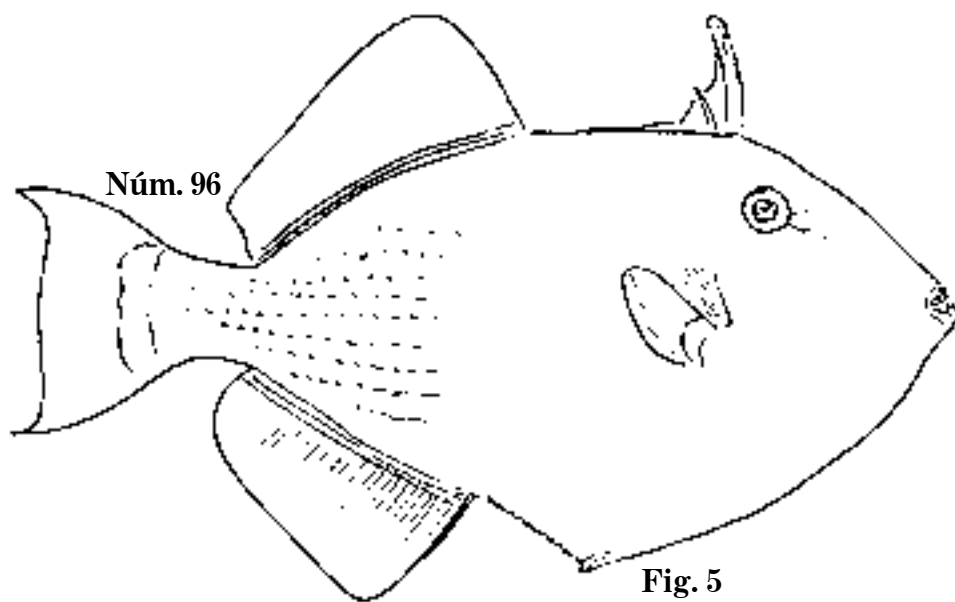


Fig. 5

Fig. 1 *Balistes (junior)*, 1877. P. total 27 mm; D. 3,24; A. 22.

Fig. 2 *Balistes (junior)*. Vista de frente.

Fig. 3 *Balistes (junior)*, 1877. P. total 27 mm; D. 3,25; A. 22; S.N.C.

Fig. 4 *Melichthys piceus*, 1863. C. horq. 329 mm; D. 3,33; A. 30.

Fig. 5 *M. piceus*. C. horq. 218 mm; D. 3,36; A. 30; galafate.

Lám. 458

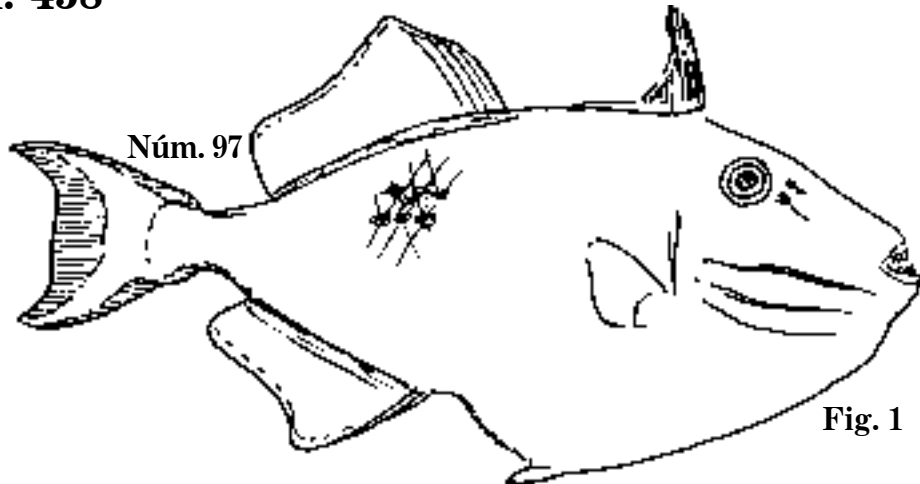


Fig. 1

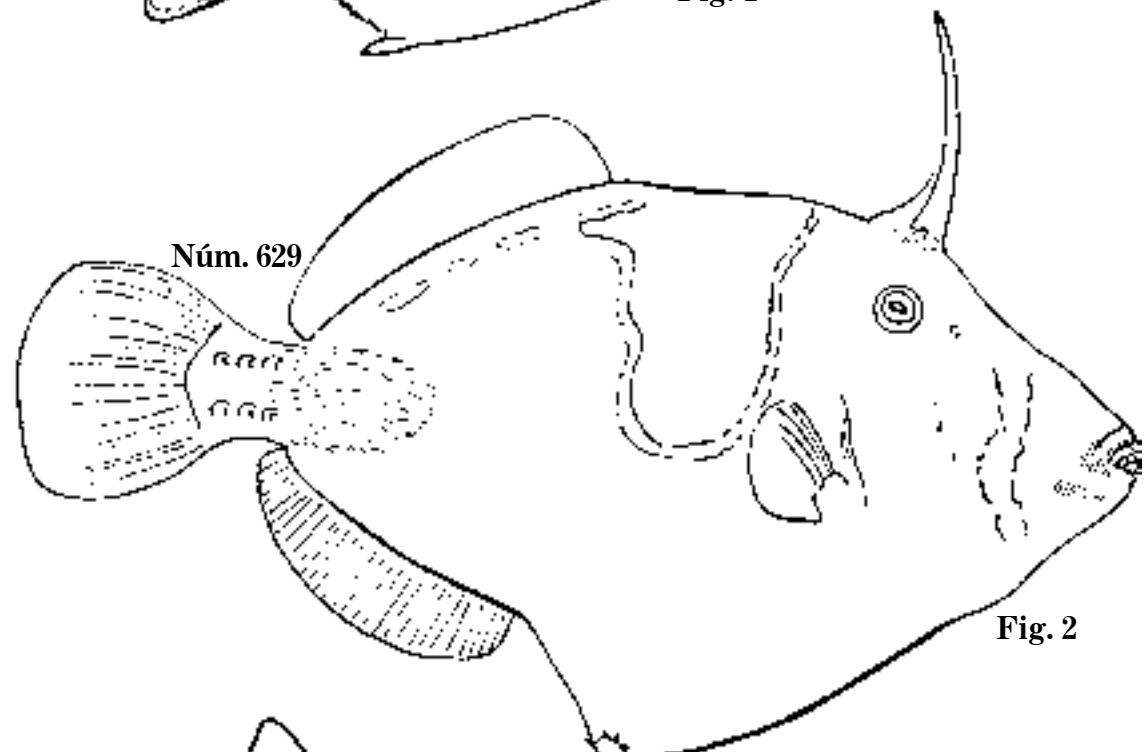


Fig. 2

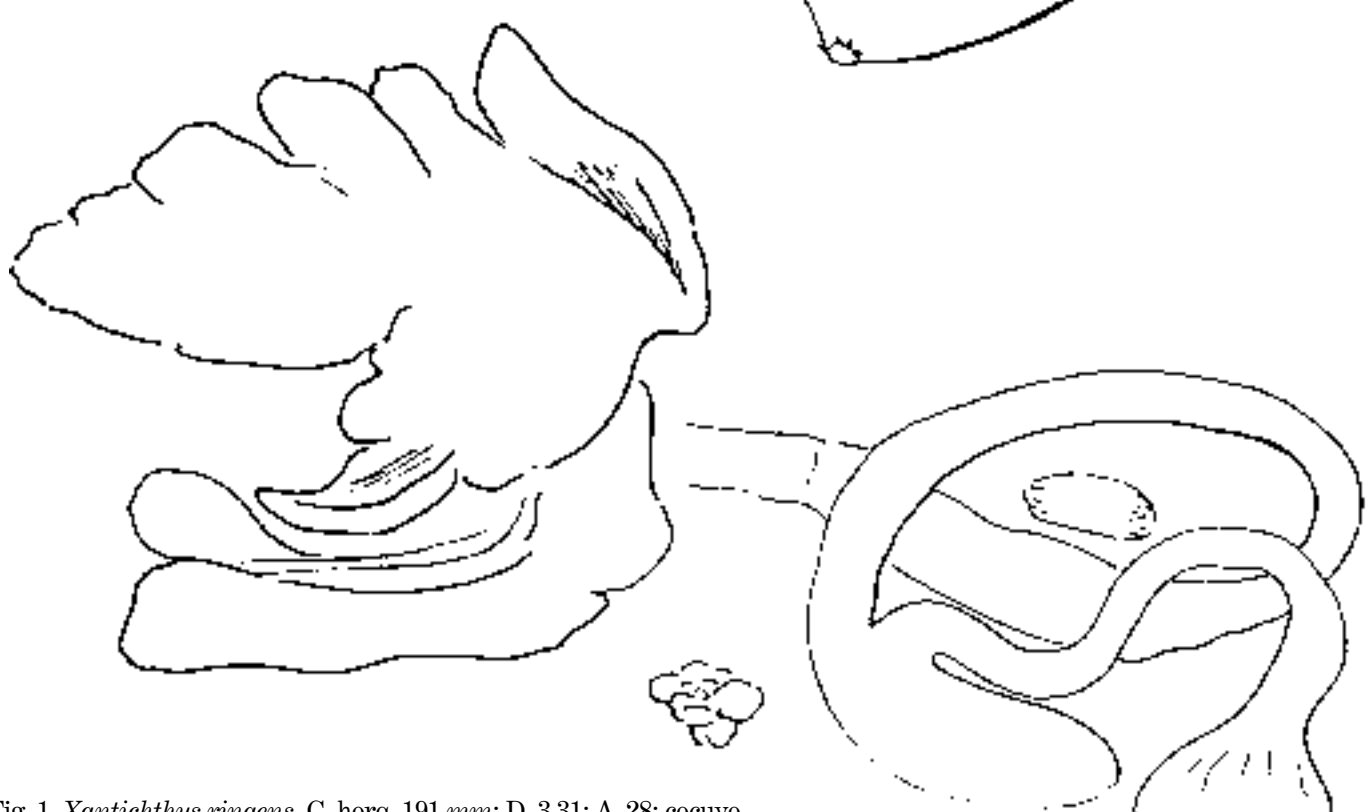


Fig. 1 *Xantichthys ringens*. C. horq. 191 mm; D. 3,31; A. 28; cocuyo.
Fig. 2 *Monacanthus stratus*. P. 440 mm; D. 2,35; A. 31; lija colorada.

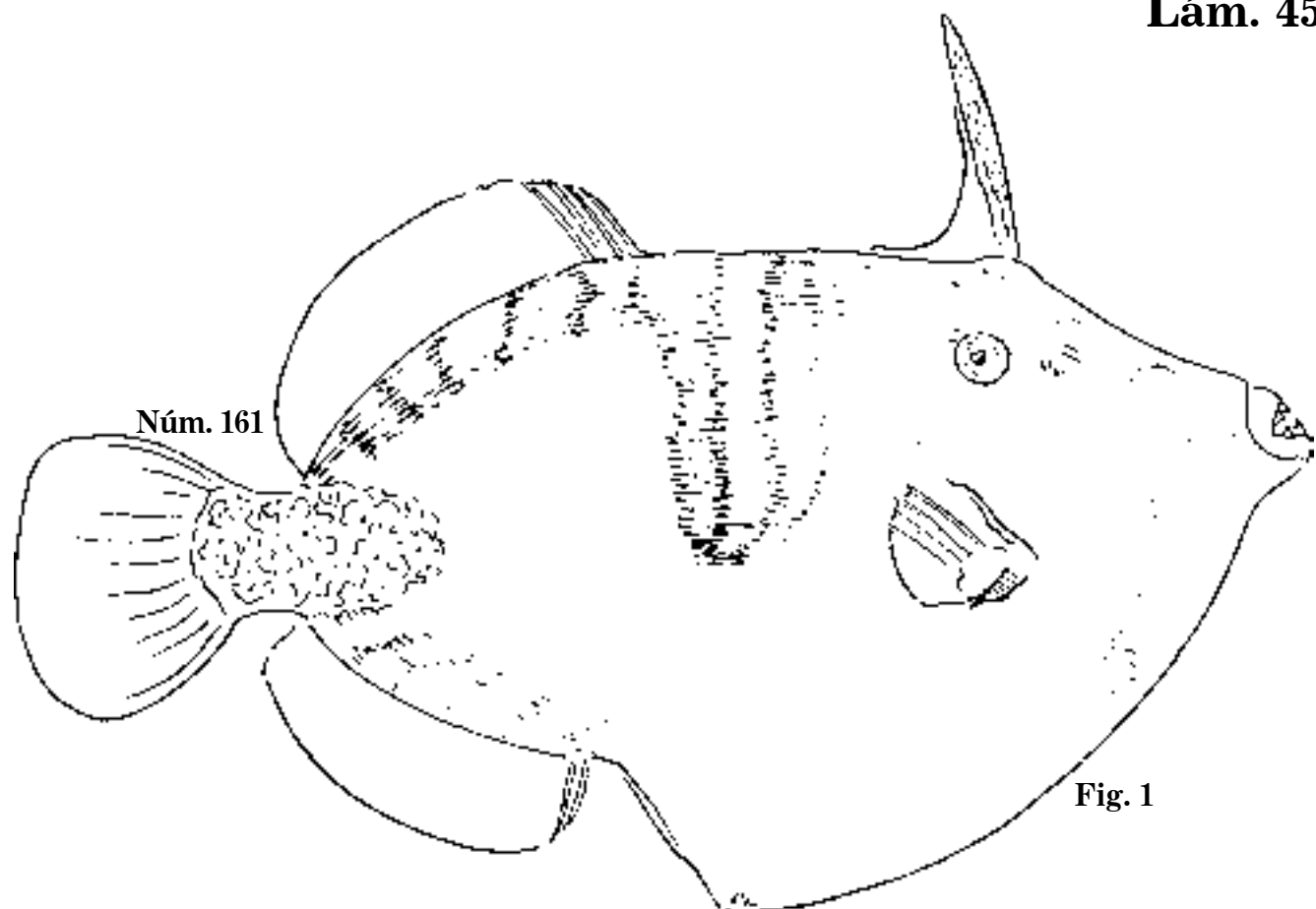


Fig. 1

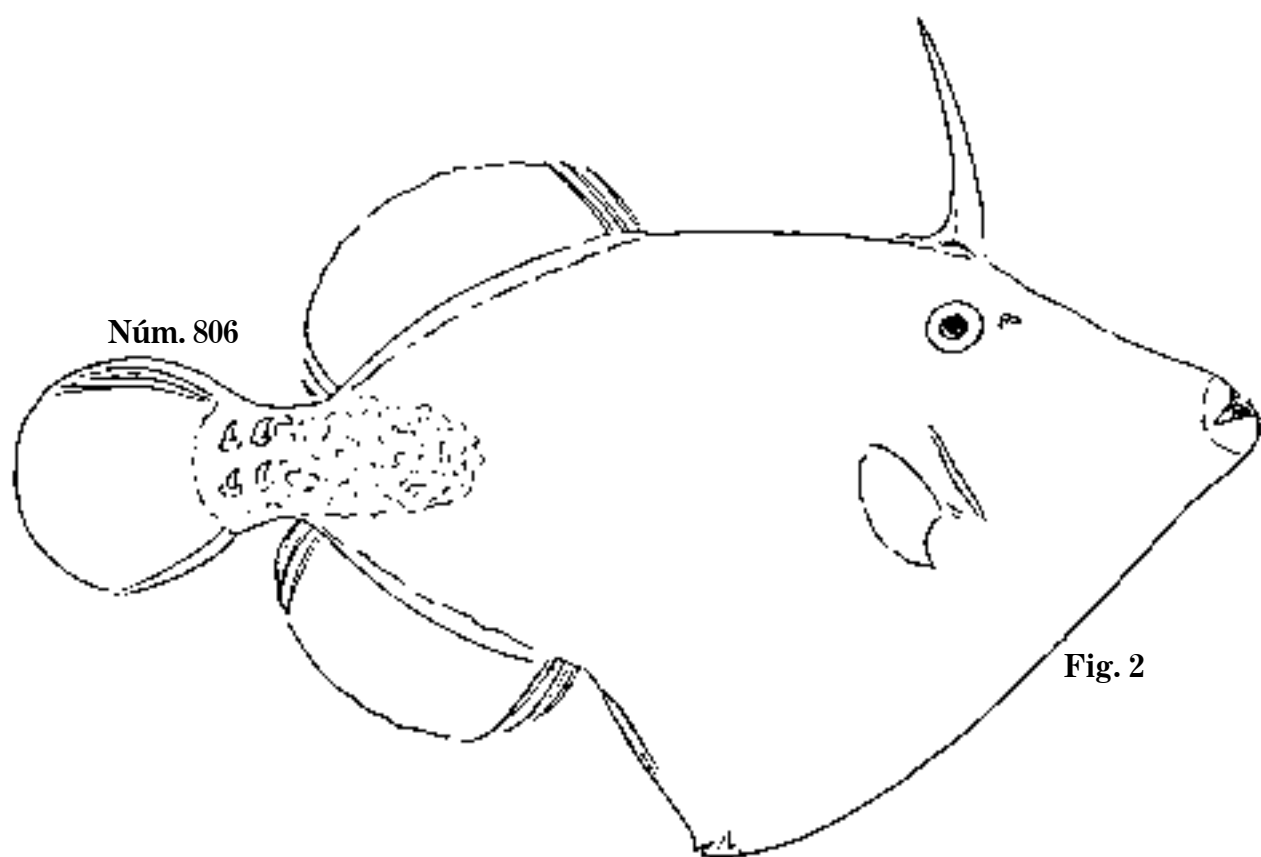


Fig. 2

Fig. 1 *Monacanthus prognathus*, 1864. P. 434 mm; D. 2,33; A. 21.
Fig. 2 *M. quadrispinosus*, 1879. P. 410 mm; D. 2,35; A. 31; lija colorada.

Lám. 460

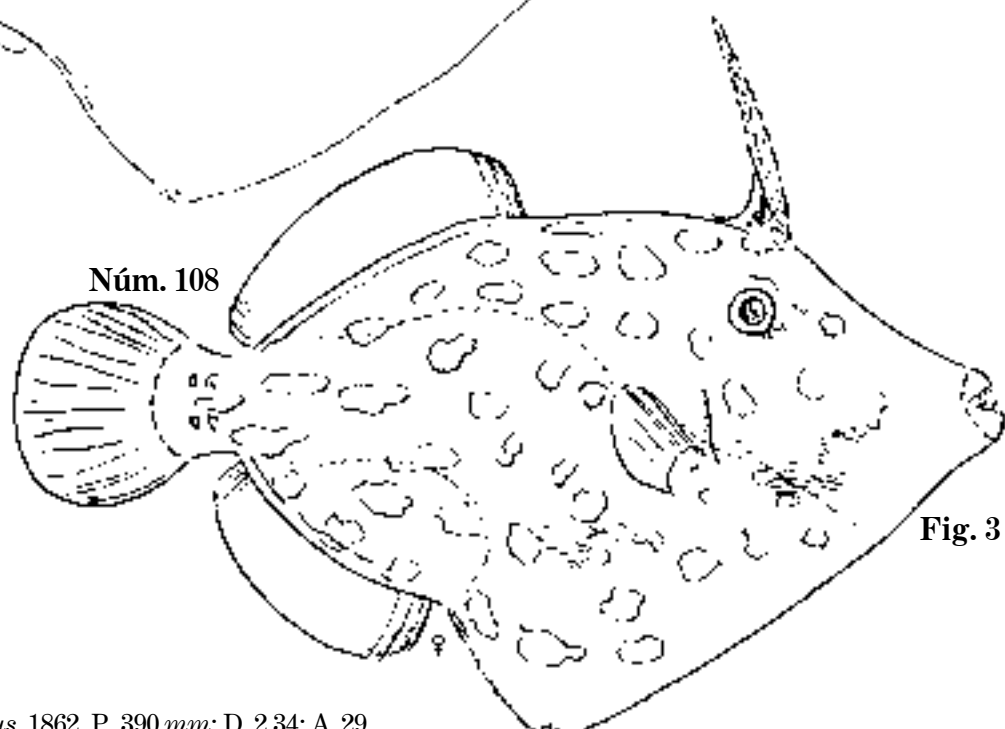
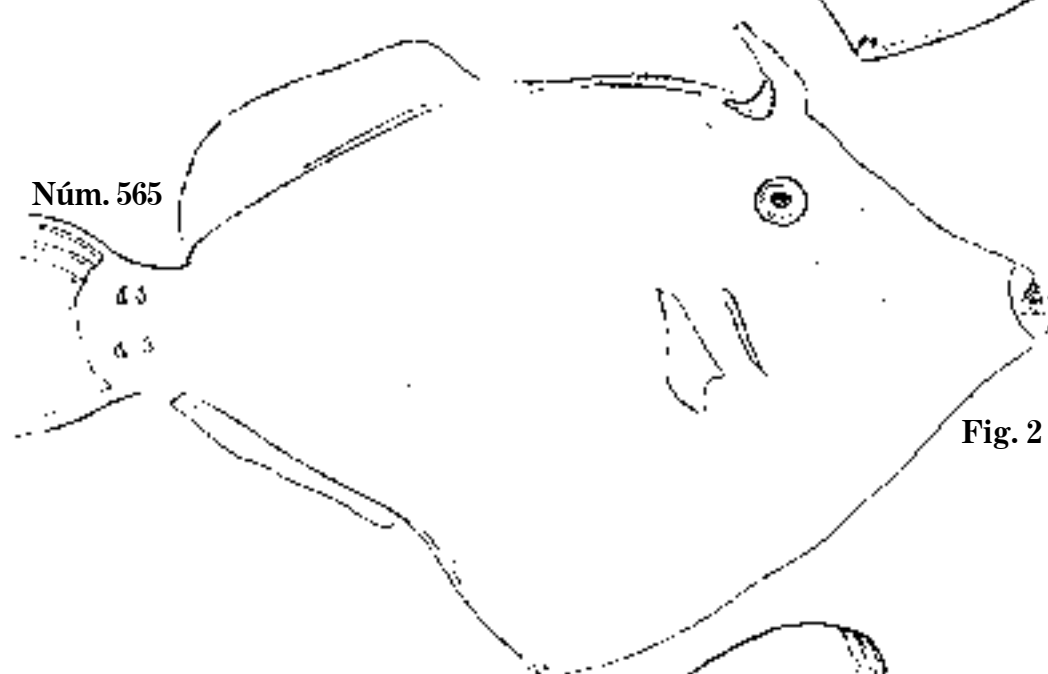
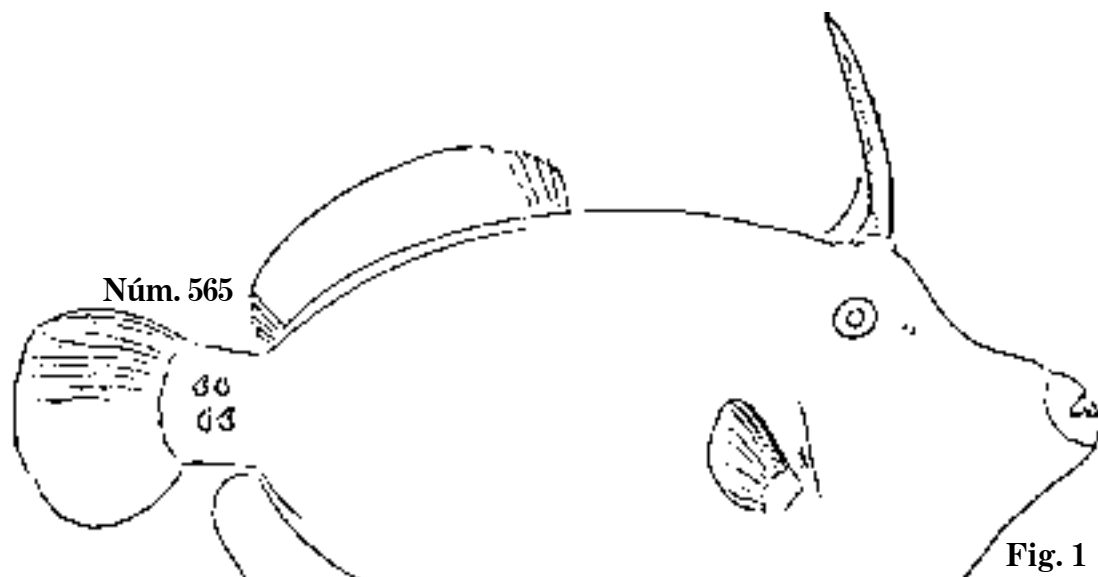


Fig. 1 *Monacanthus Parraianus*, 1862. P. 390 mm; D. 2,34; A. 29.

Fig. 2 *M. Parraianus*, 1862. En lápiz, dibujo incompleto; D. 2,33; A. 31.

Fig. 3 *M. macrocerus*, 1860. P. 360 mm; D. 2,34; A. 30; lija colorada.

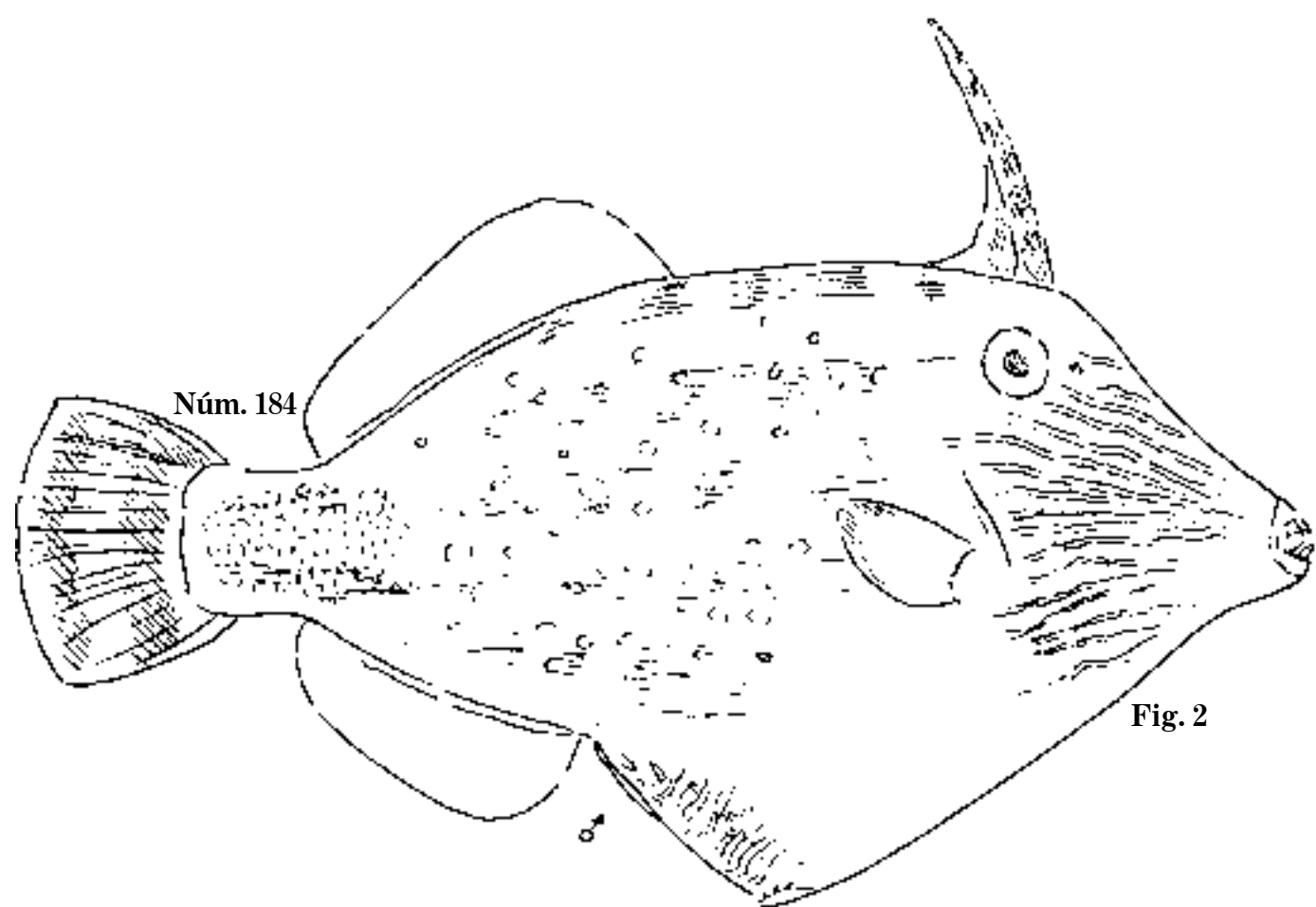
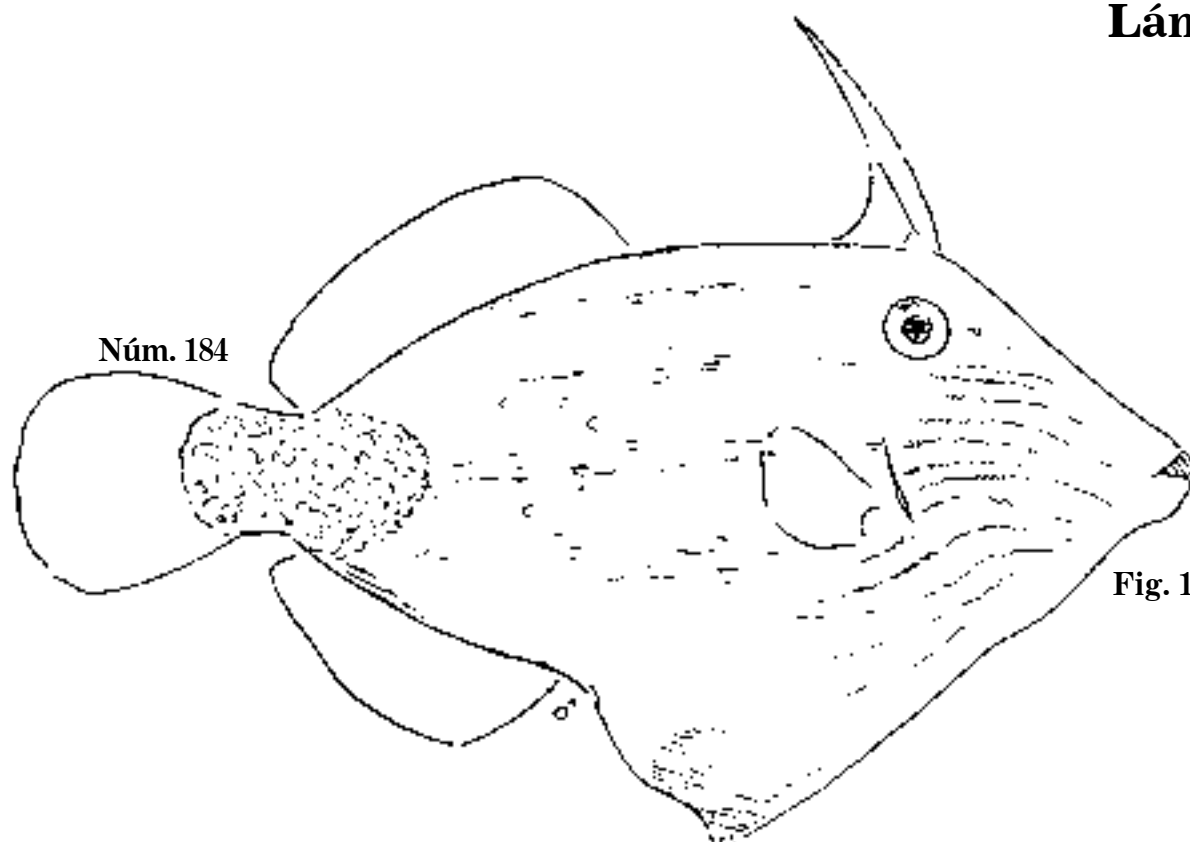


Fig. 1 *Monacanthus irroratus*. C. 172 mm ; D. 2,36; A. 31.
Fig. 2 *M. irrocatus*, 1862. C. 199 mm; D. 2,36; A. 31; lija.

Lám. 462

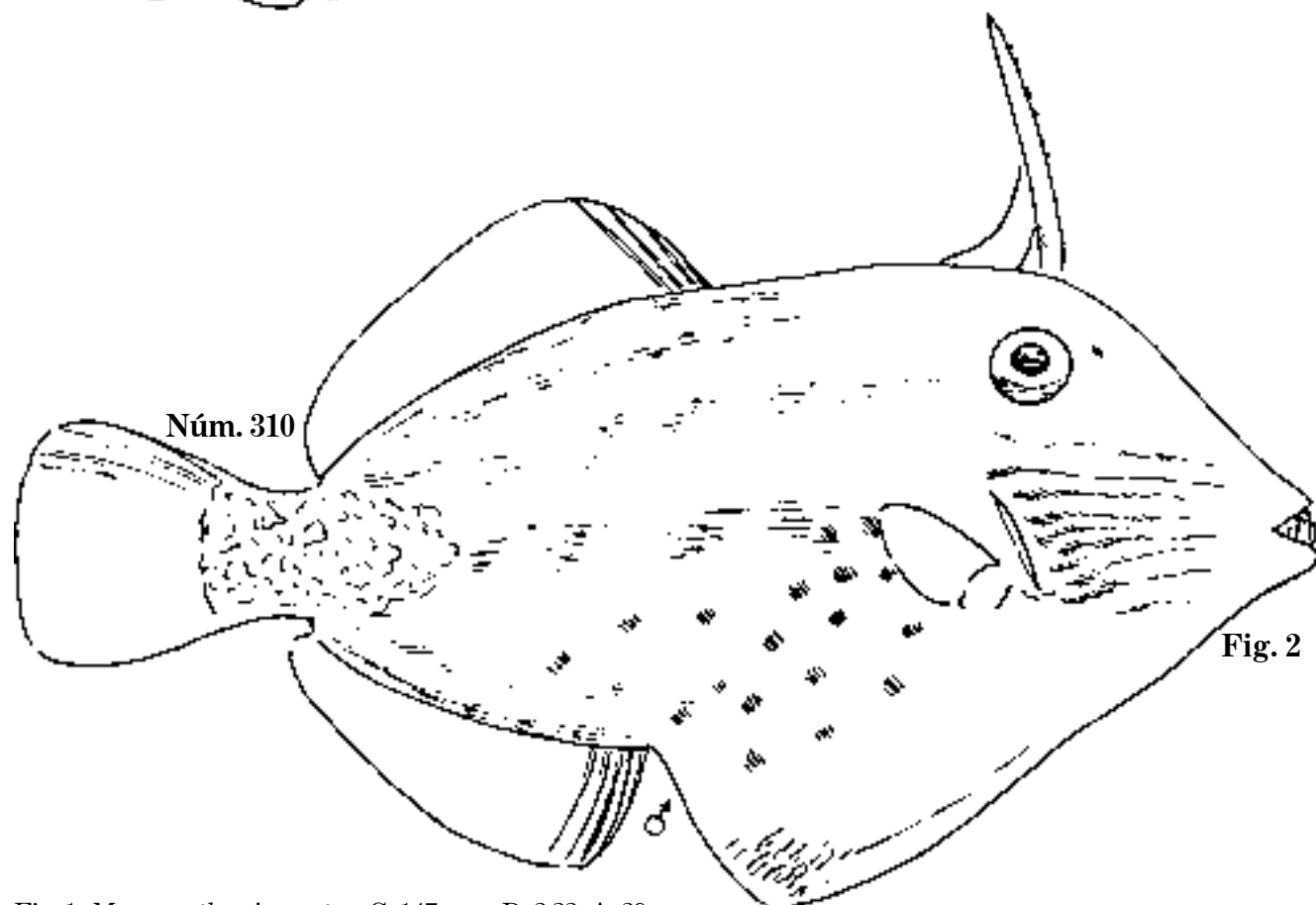
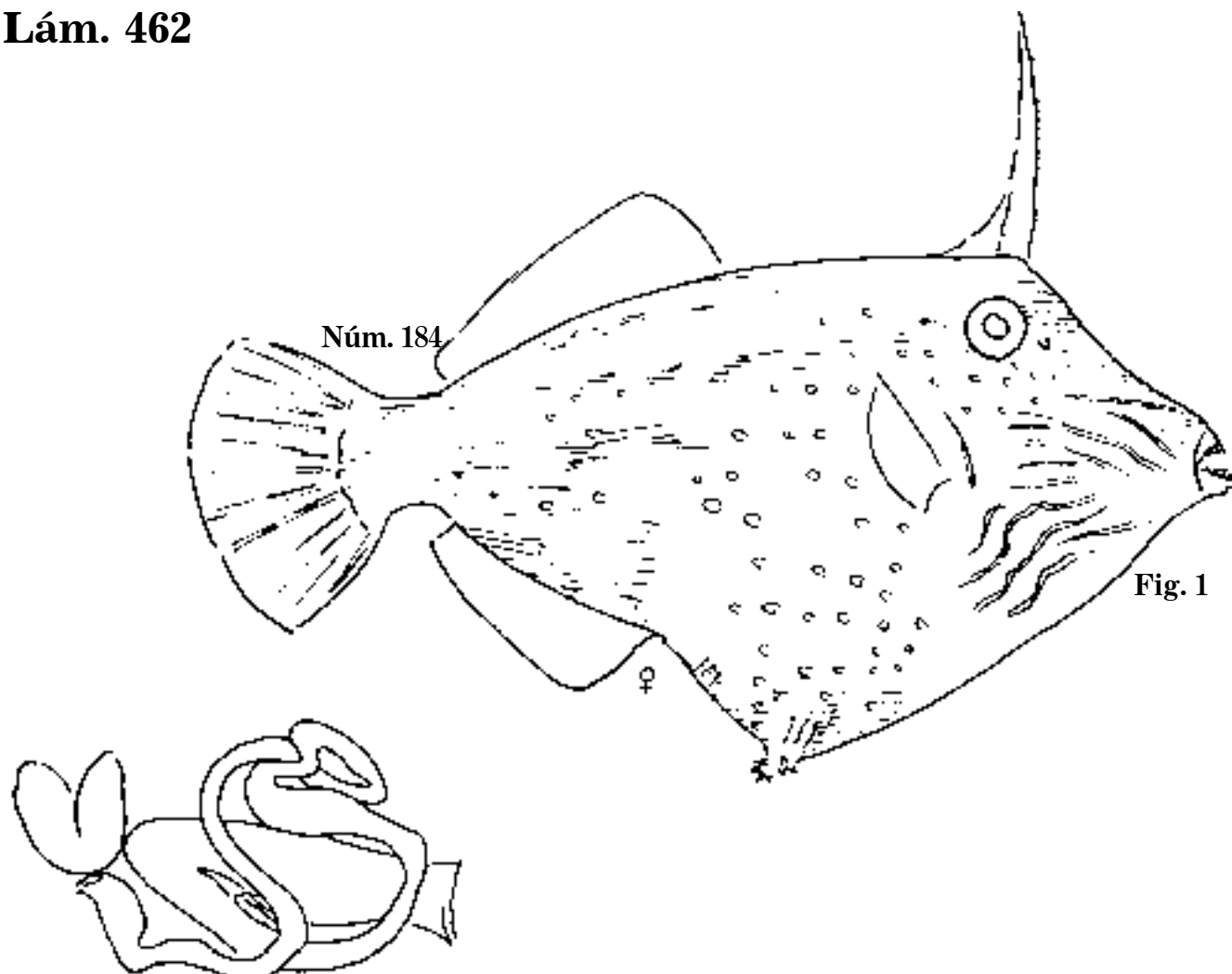


Fig. 1 *Monacanthus irroratus*. C. 147 mm; D. 2,33; A. 29.
Fig. 2 *M. punctatus*, 1870. C. 174 mm; D. 2,35; A. 31; lija.

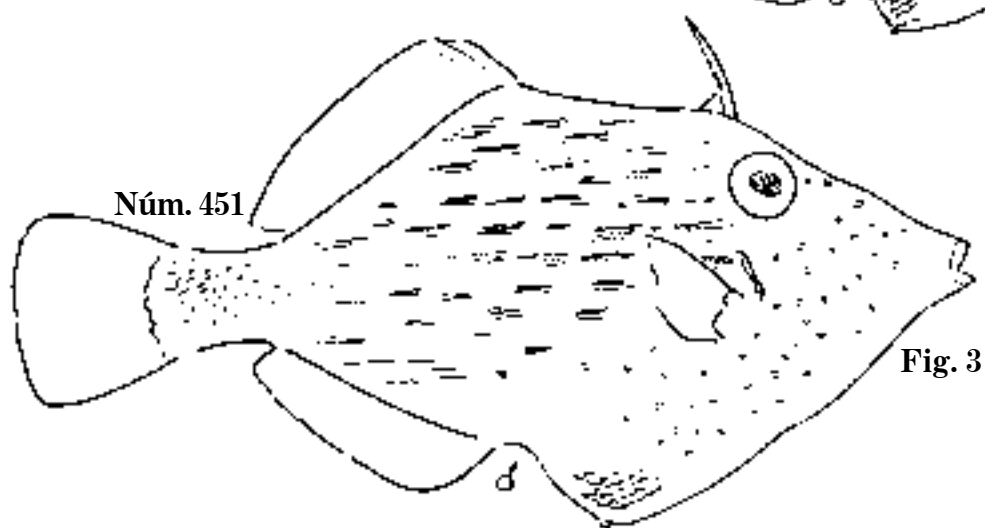
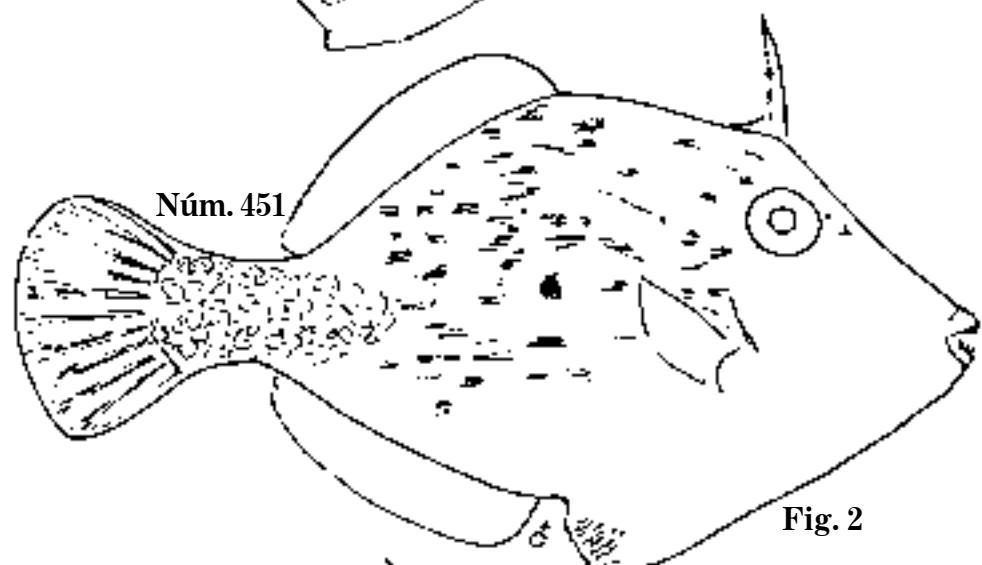
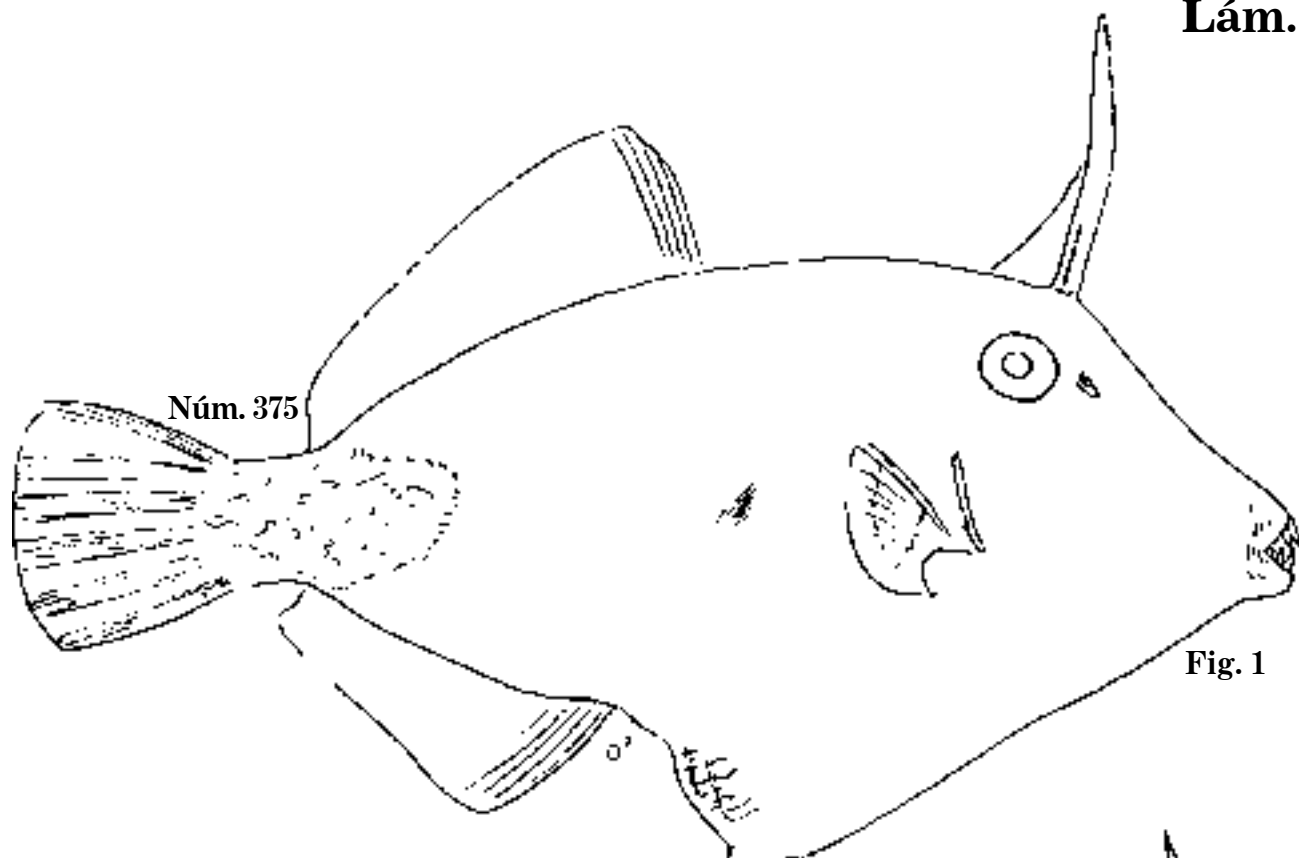


Fig. 1 *Monacanthus obsoletus*, 1847. C. 186 mm; D. 2,33; A. 30.

Fig. 2 *M. oppositus*. C. 140 mm; D. 2,27; A. 23.

Fig. 3 *M. oppositus*, 1864. C. 139 mm; D. 2,27; A. 25; lija.

Lám. 464

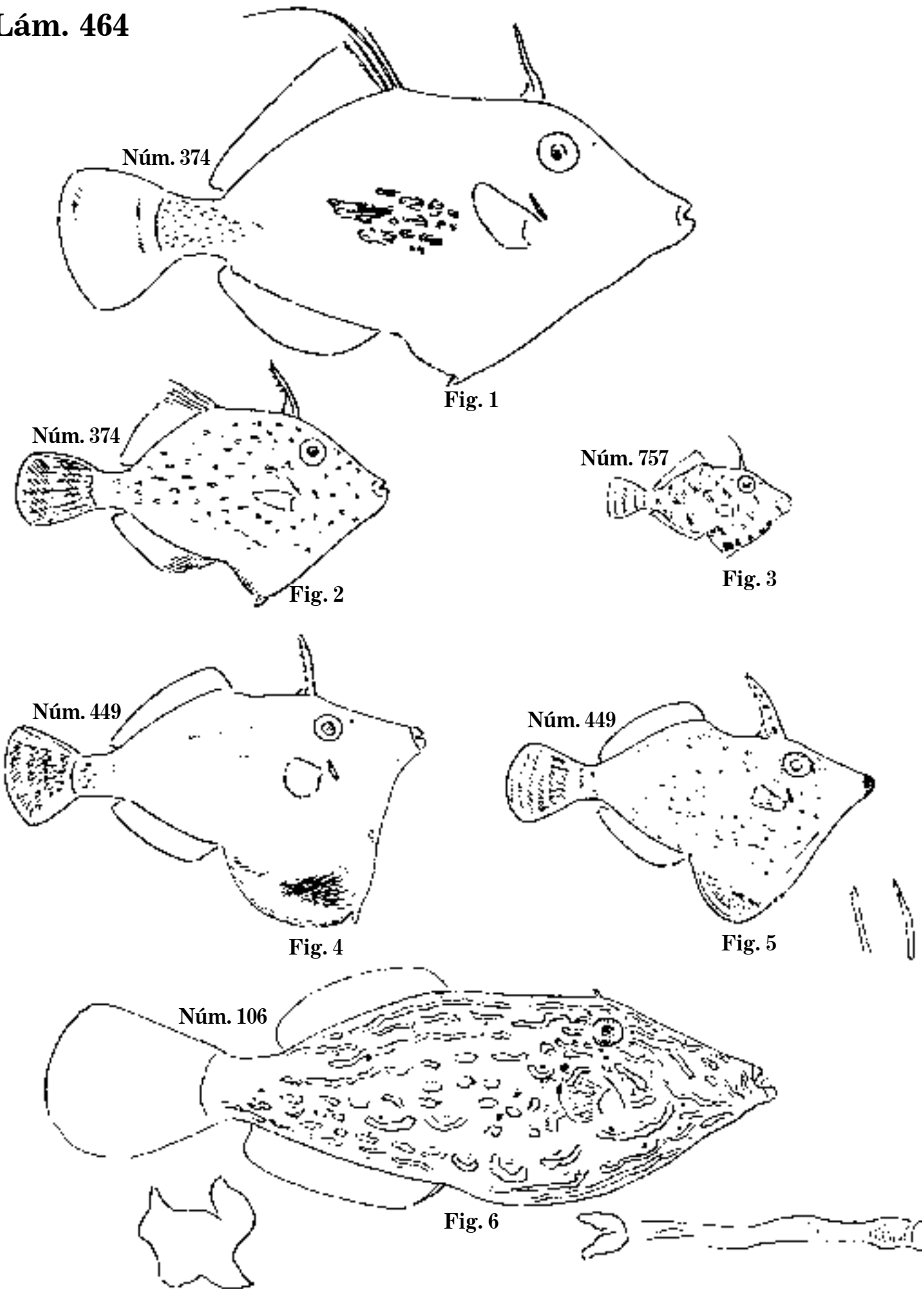


Fig. 1 *Monacanthus setifer*, 1872. C. 136 mm; D. 2,29; A. 29.

Fig. 2 *M. setifer*. C. 78 mm; D. 2,25; A. 26; A. 29.

Fig. 3 *Monacanthus*, 1877. C. 39 mm; D. 2,29?; A. 29?

Fig. 4 *M. occidentalis*, 1862. C. 89 mm; D. 2,32; A. 30

Fig. 5 *M. occidentalis*. C. 78 mm; D.; A.; lija.

Fig. 6 *Aluterus scriptus*. P. 528 mm; D. 2,44; A. 68; lija trompa.

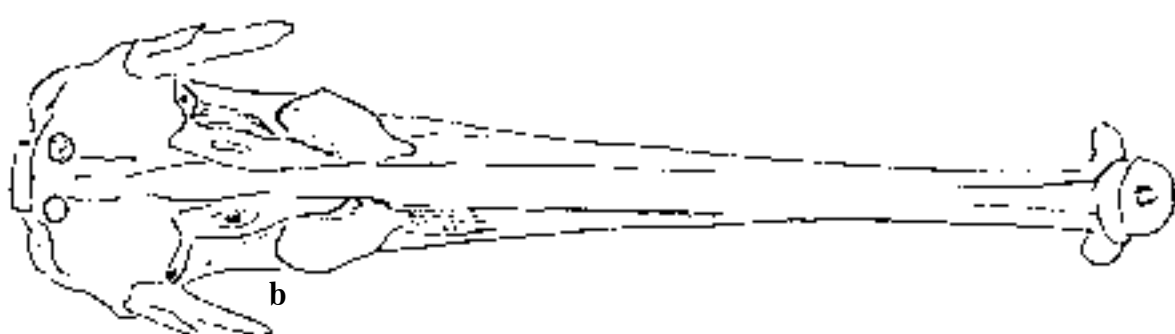
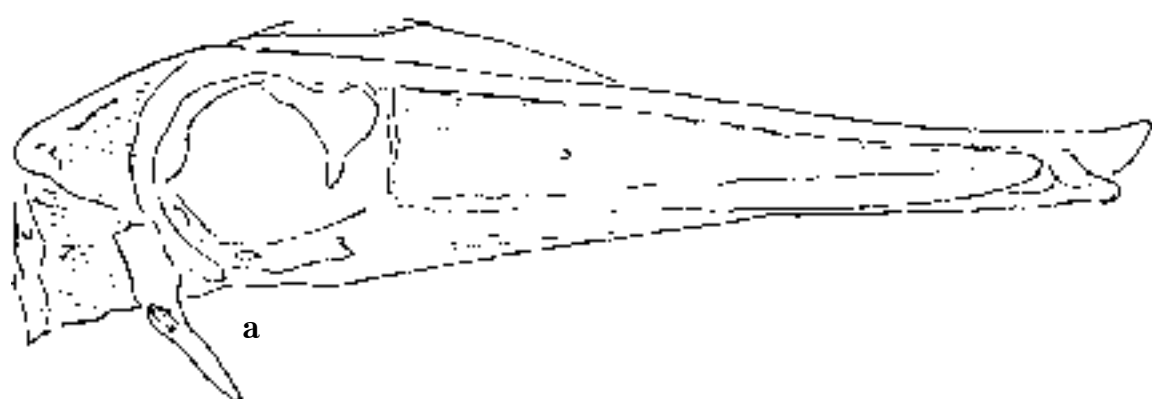
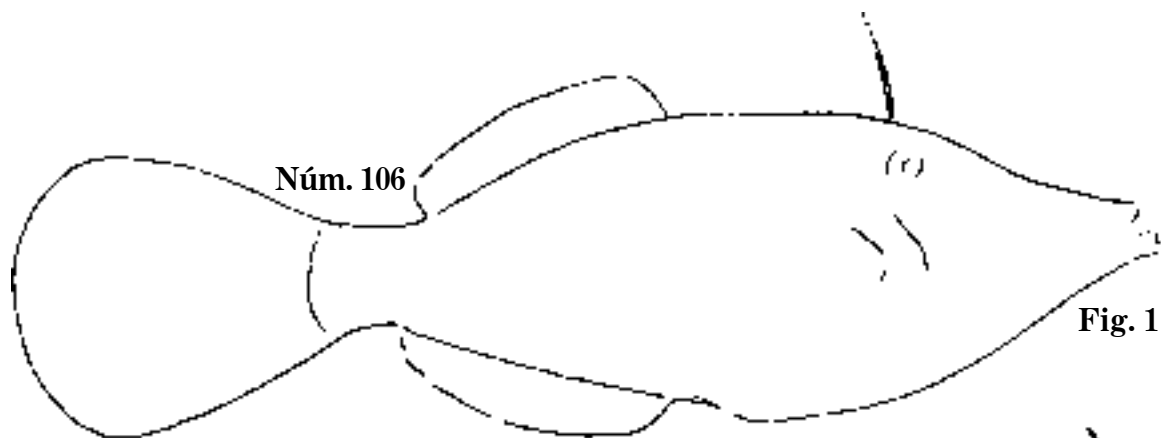


Fig. 1 *Alutera scripta*. P. 504 mm; D.; A.

Fig. 2 *A. scripta*, 1860. P. 650 mm; D. 2,45; A. 47.
a-c. *A. scripta*. Osteología; lijja trompa.

Lám. 466

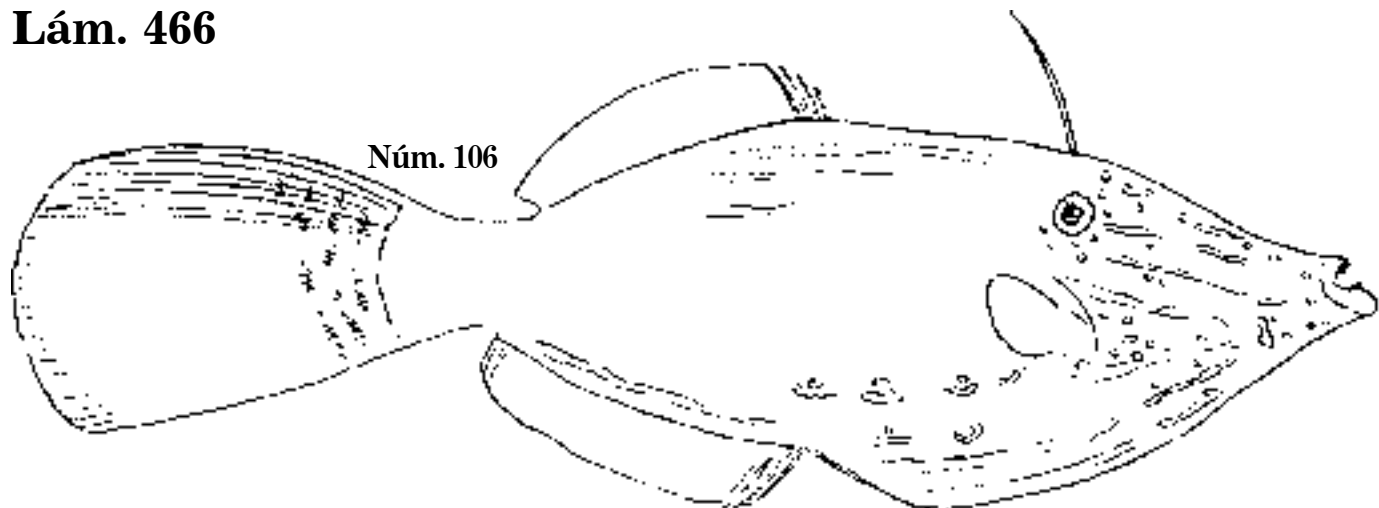


Fig. 1

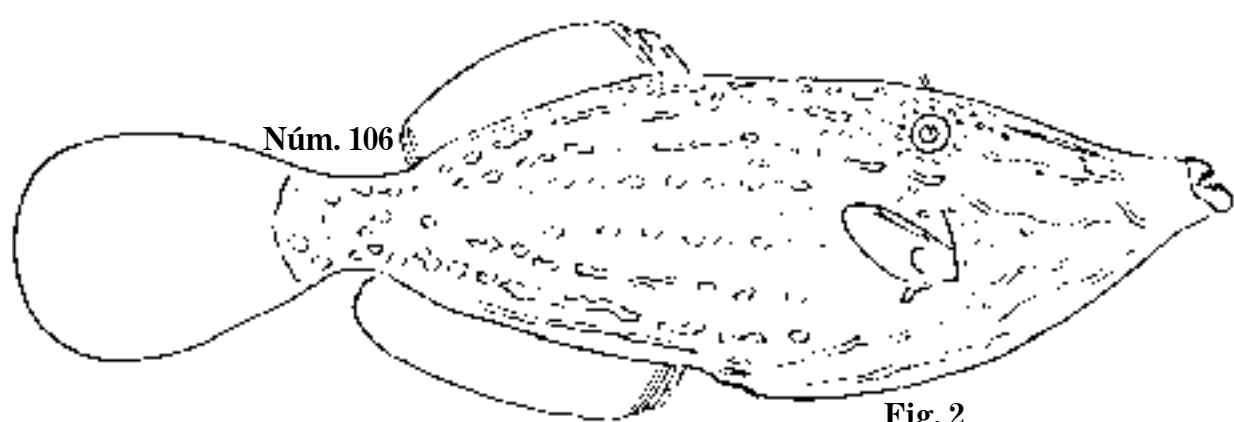


Fig. 2

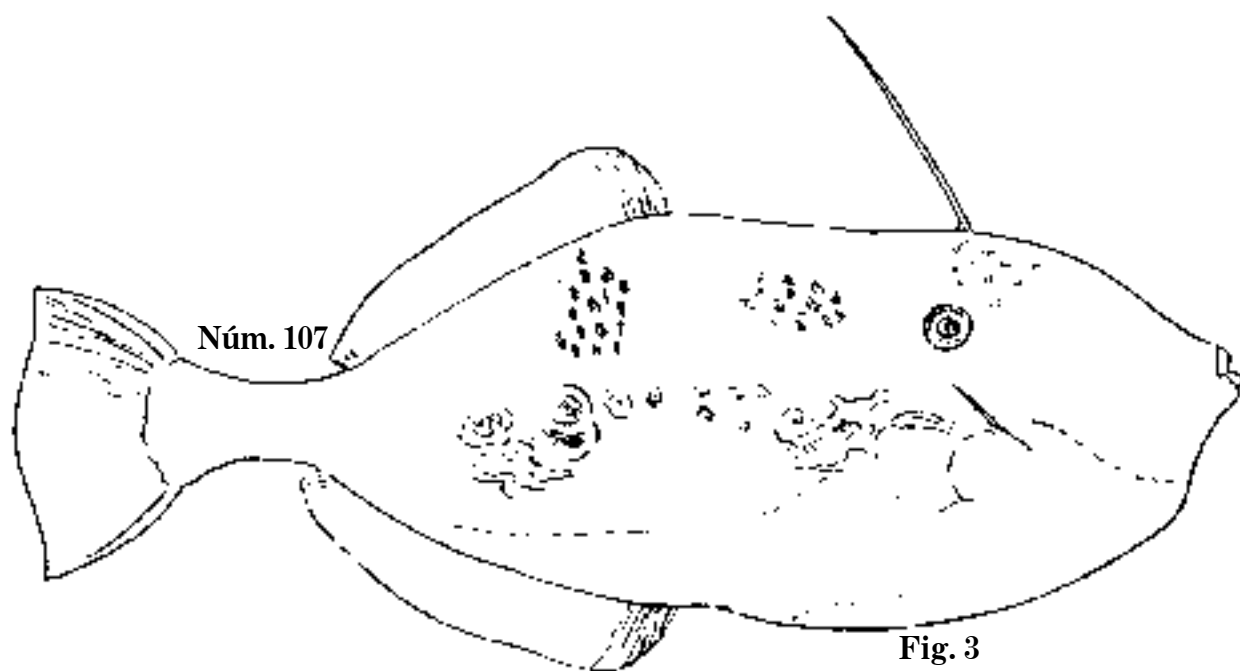


Fig. 3

Fig. 1 *Alutera scripta*, 1867. P. 760 mm; D.; A.

Fig. 2 *A. scripta*, 1896. P. 670 mm; D. 2,46; A. 48; lija trompa.

Fig. 3 *A. Guntheriana*. C. 510 mm; D. 2,48; A. 51; lija barbuda.

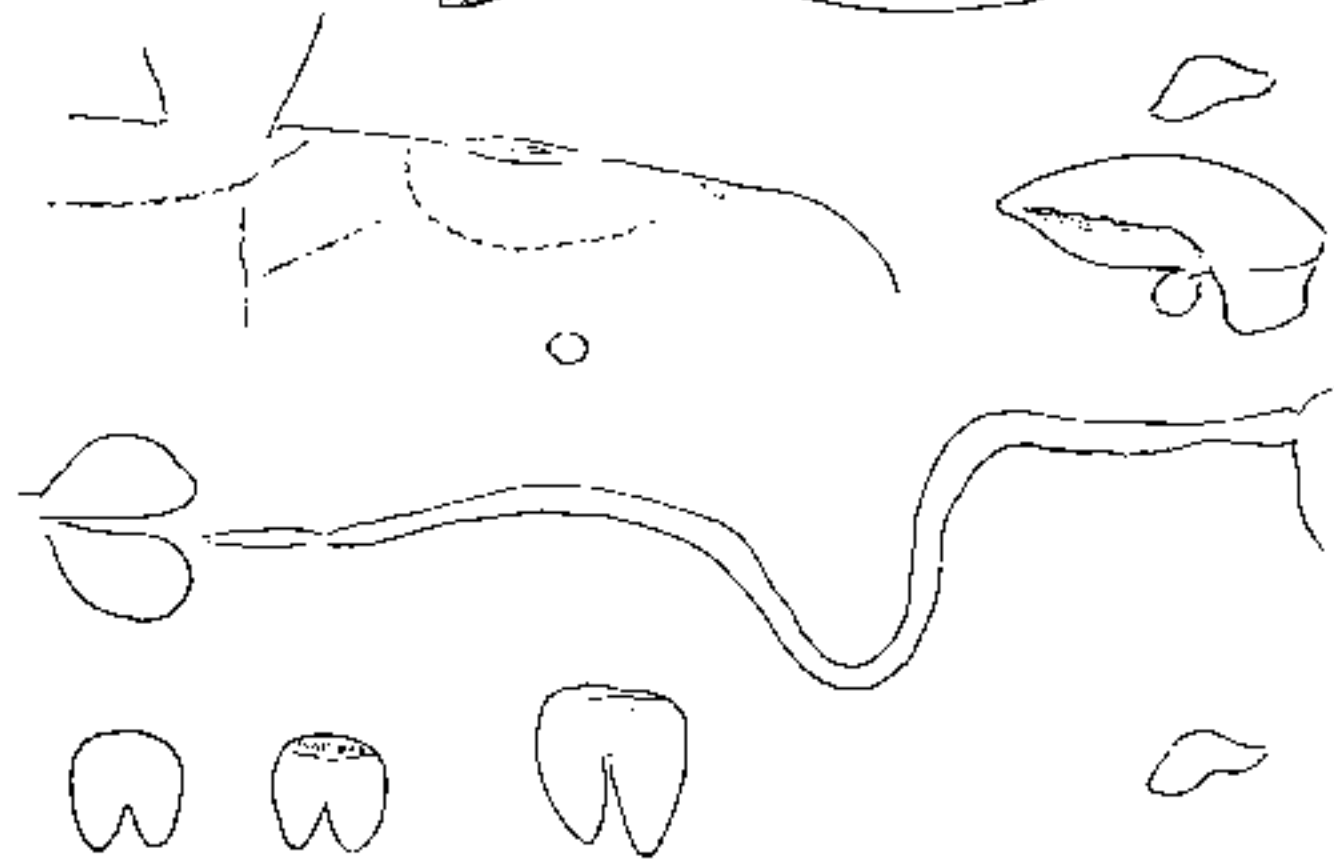
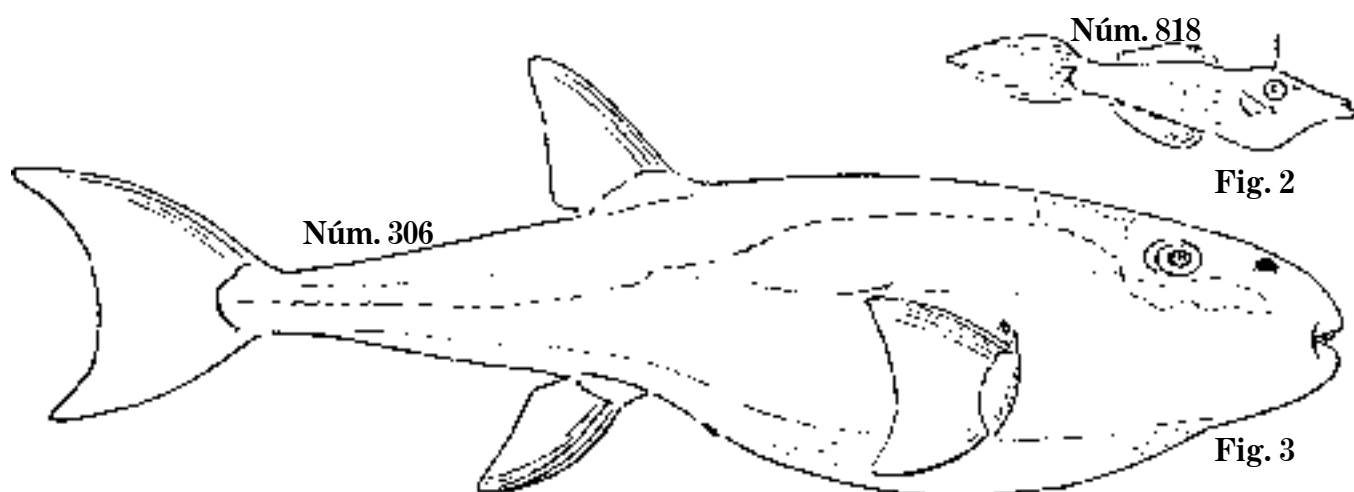
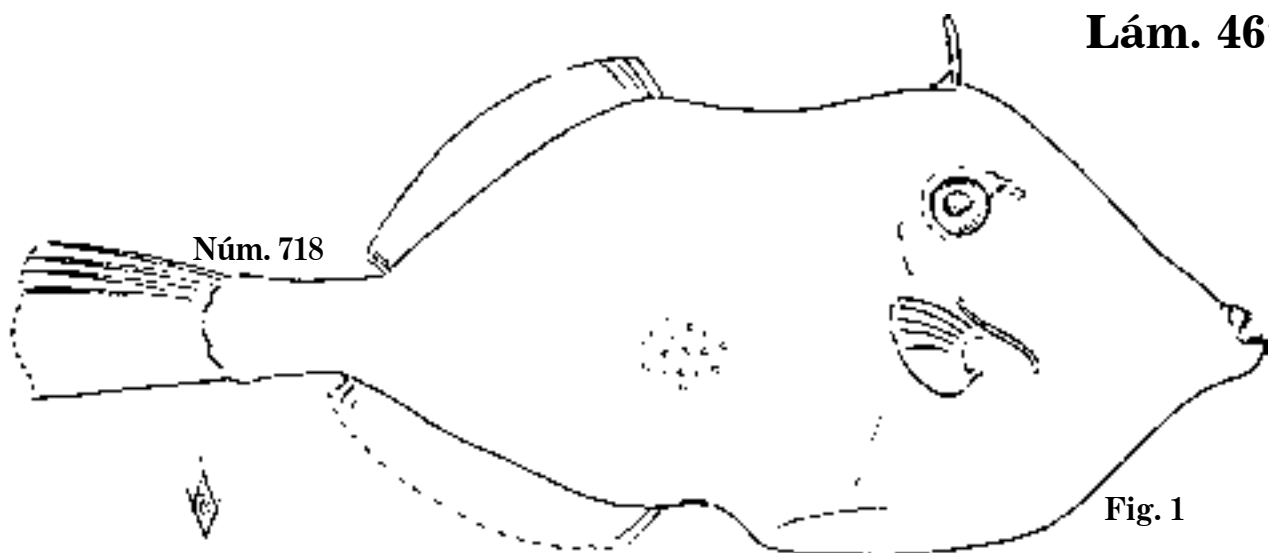


Fig. 1 *Alutera punctata*, 1864. C. 302 mm; D. 2,33; A. 36.

Fig. 2 *Alutera*. C. 61 mm; D. 2,46; A. 48; lija.

Fig. 3 *Tetrondon laevigatus* (Cayo Hueso), 1862. C. 792 mm; D. 13; A. 12; tambor.

Lám. 468

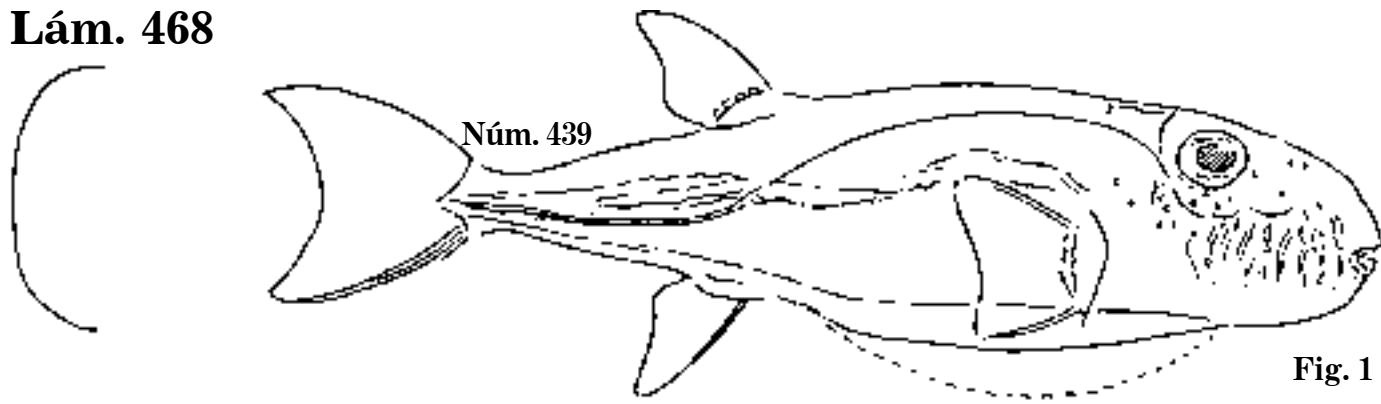


Fig. 1

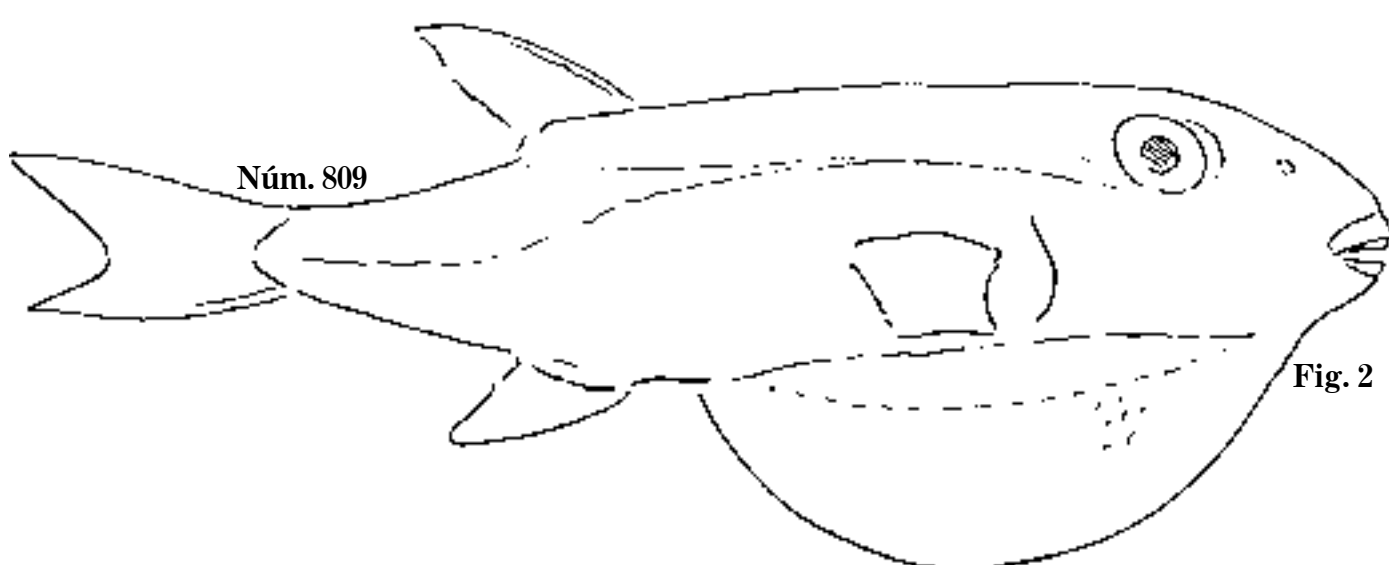


Fig. 2



Fig. 3



Fig. 4

Fig. 1 *Tetraodon lineolatus*. C. 287 mm; D. 16; A. 13.

Fig. 2 *Tetraodon*. C. 211 mm; D.; A.

Fig. 3 *Tetraodon*, 1860. C. 105 mm; D.; A.

Fig. 4 *T. punctatus*. C. 233 mm; D.; A.; tambor.

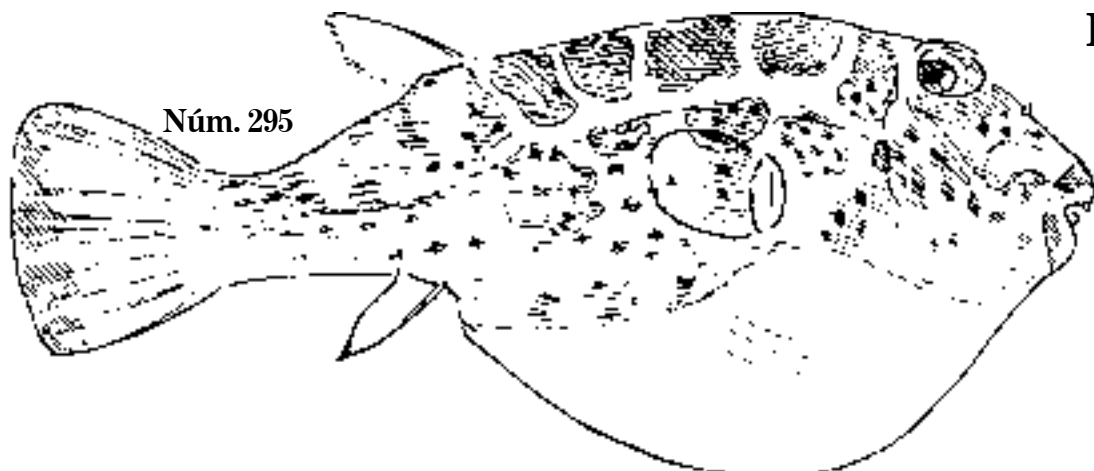


Fig. 1



Fig. 2

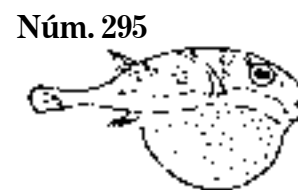


Fig. 3

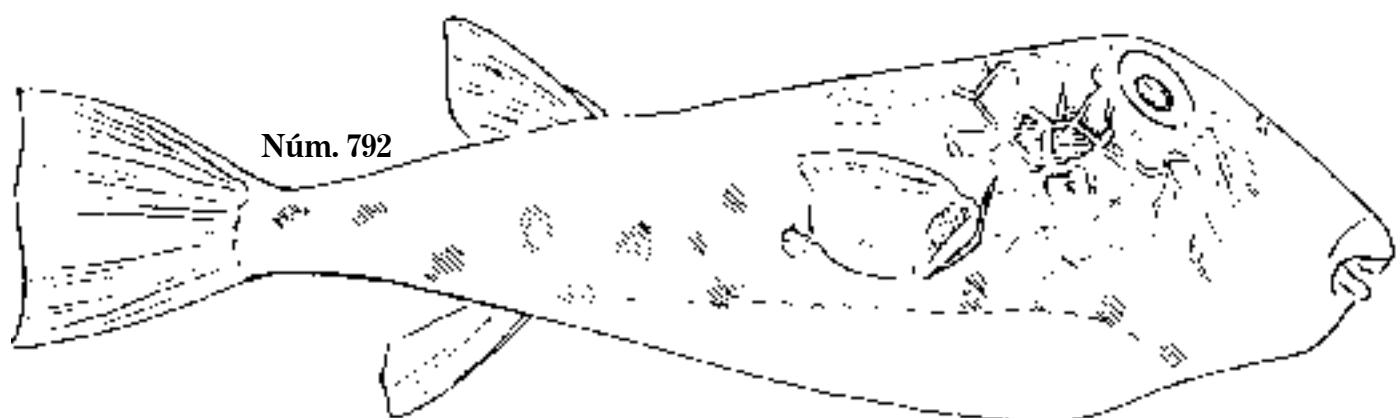


Fig. 4

Fig. 1 *Tetraodon testudineus*, 1879. C. 153 mm; D. 7; A. 7.
Fig. 2 *T. testudineus*. C. 75 mm; D.; A.
Fig. 3 *T. testudineus*. C. 39 mm; D.; A.
Fig. 4 *T. occipitalis*, 1878. C. 196 mm; D. 8; A. 7; tambor.

Lám. 470

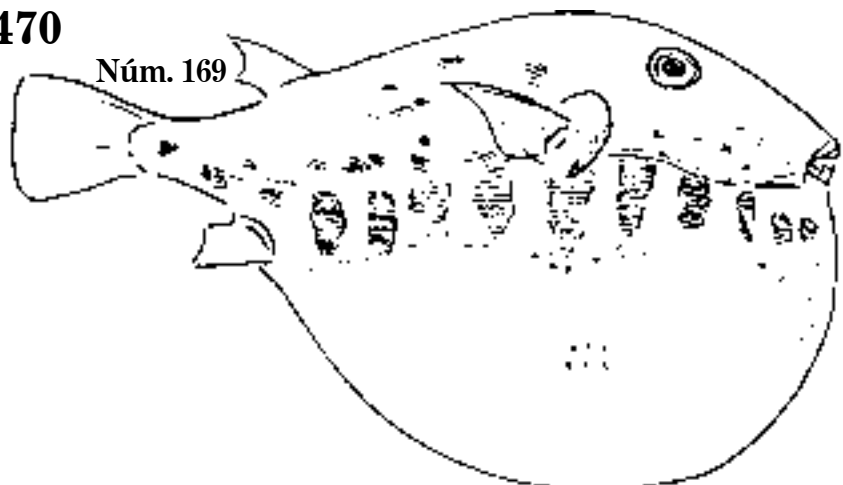


Fig. 1



Fig. 2



Fig. 3

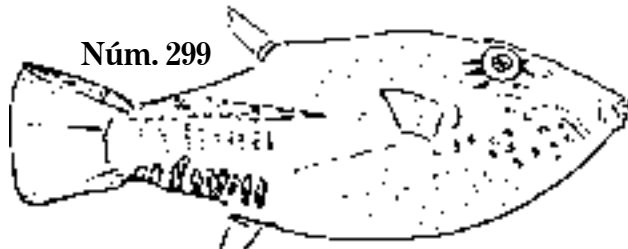


Fig. 4

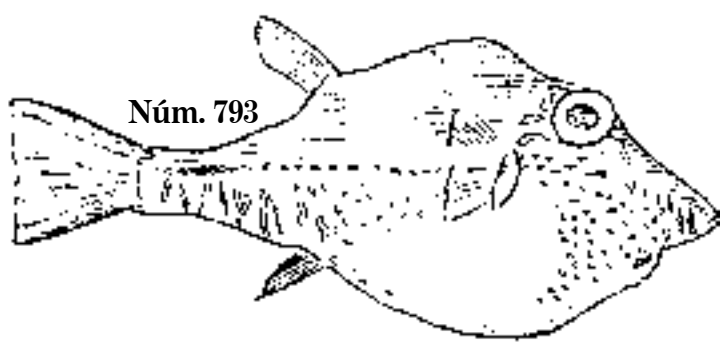


Fig. 5

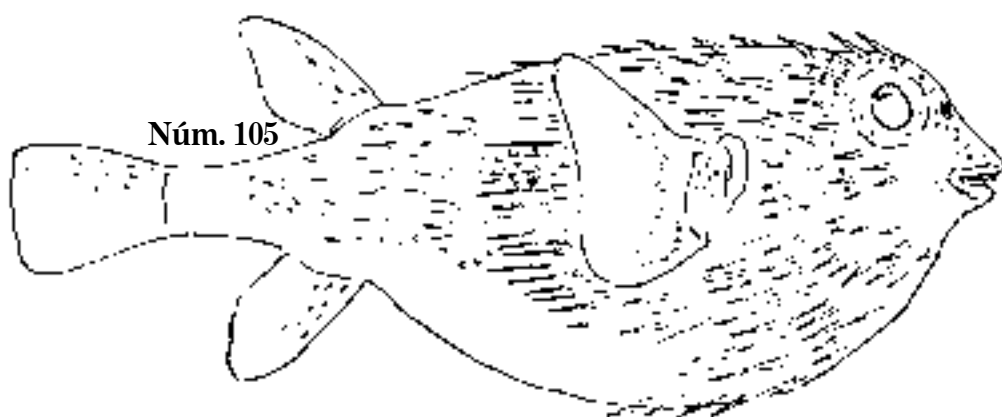


Fig. 6

Fig. 1 *Tetrodon turgidus*. C. 124 mm; D.; A.

Fig. 2 *T. Spengleri*, 1869. C. 76 mm; D.; A.

Fig. 3 *T. affinis*, 1879. C. 68 mm; D.; A.

Fig. 4 *T. ornatus*, 1865. P. 93 mm; D.; A.

Fig. 5 *T. picturatus*, 1835. P. 54 mm; D. 10?; A. 10?; tambor.

Fig. 6 *Paradiodon hystriculus*, 1860. C. 447 mm; D. 18?; A. 15; erizo.

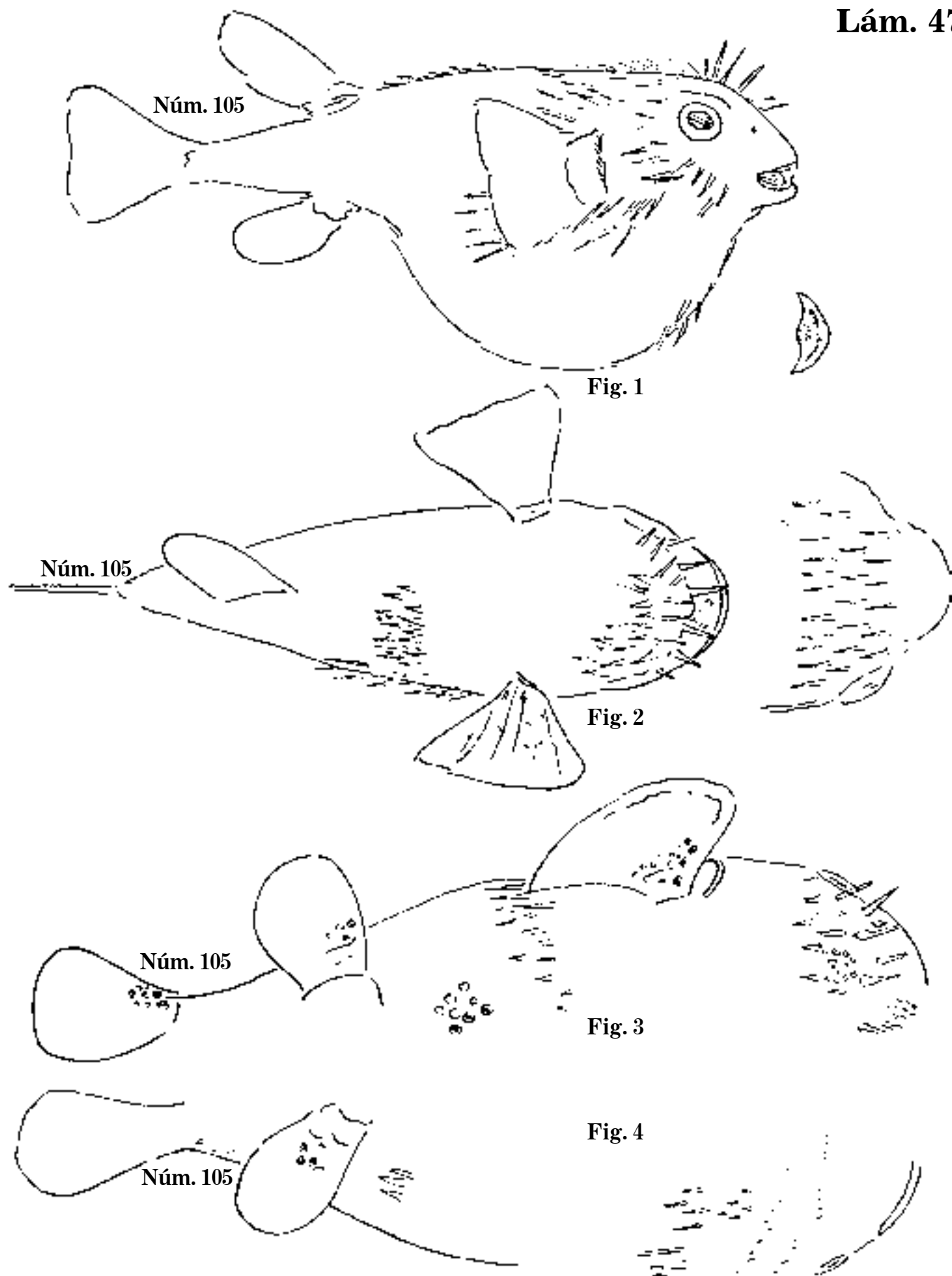


Fig. 1 *Paradiodon hyxtrix*. D. 15?; A.
Fig. 2 *P. hyxtrix*. Vista superior.

Fig. 3 *P. hyxtrix*, 1865. Vista superior. C. 523 mm; D.; A.
Fig. 4 *P. hyxtrix*, 1865. Vista inferior; D.; A.; erizo.

Lám. 472



Núm. 105

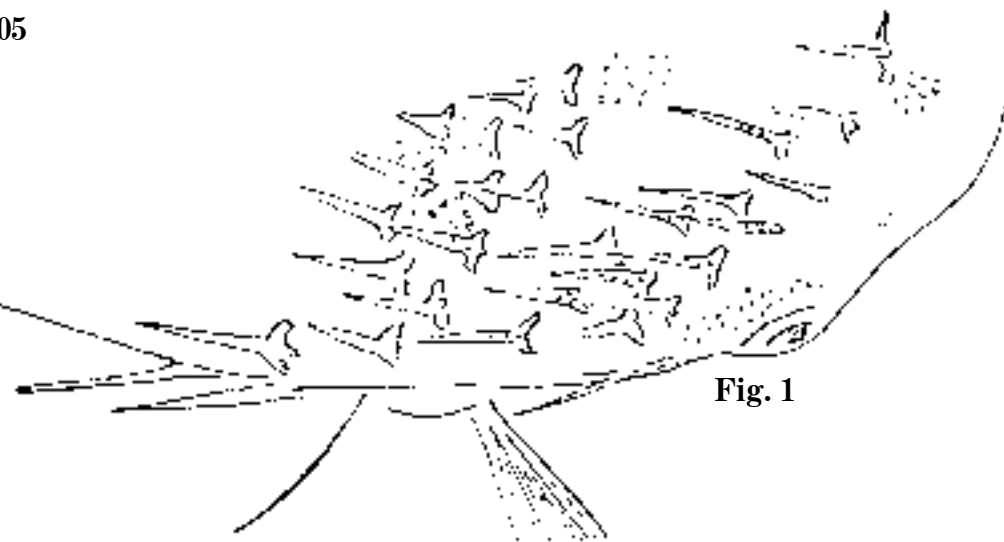


Fig. 1

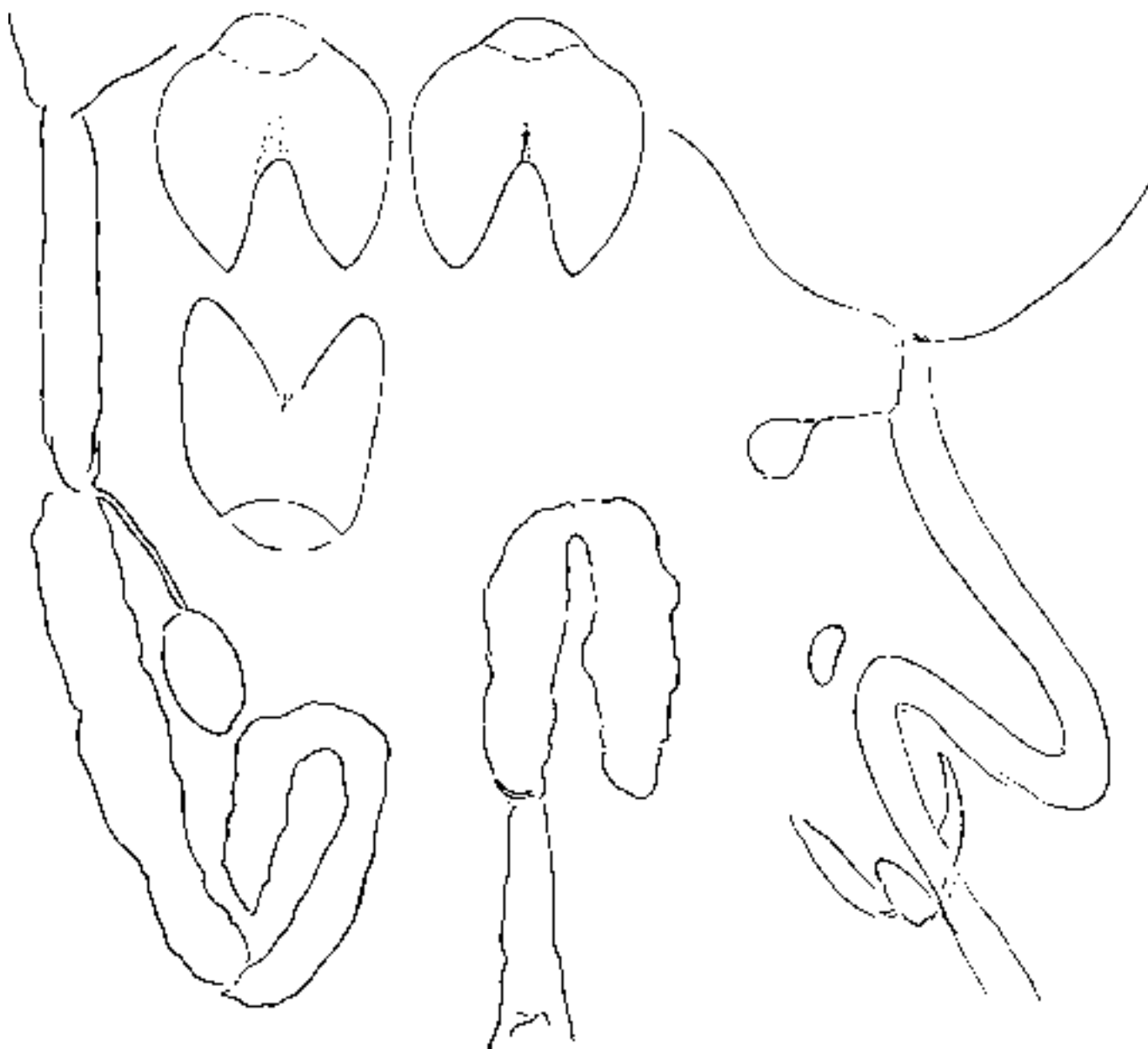
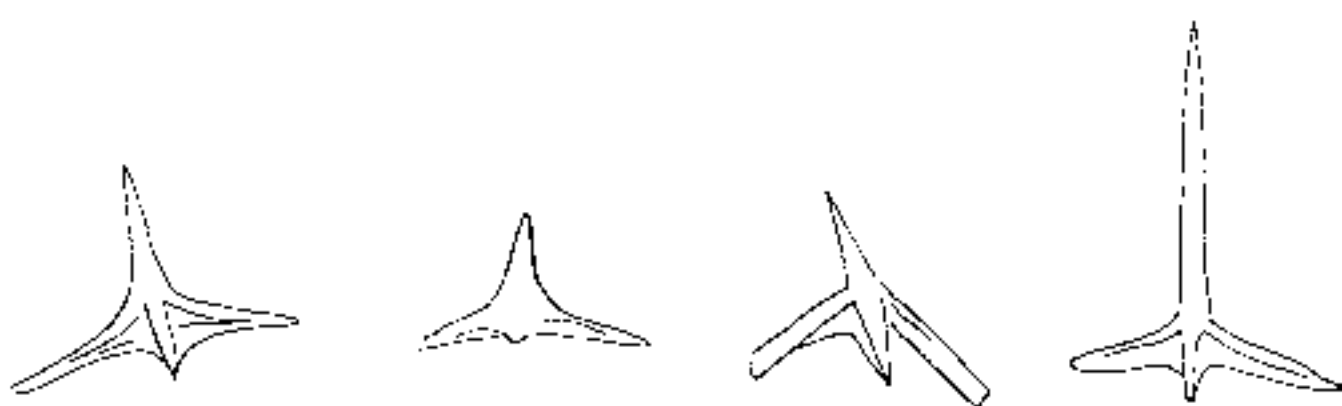
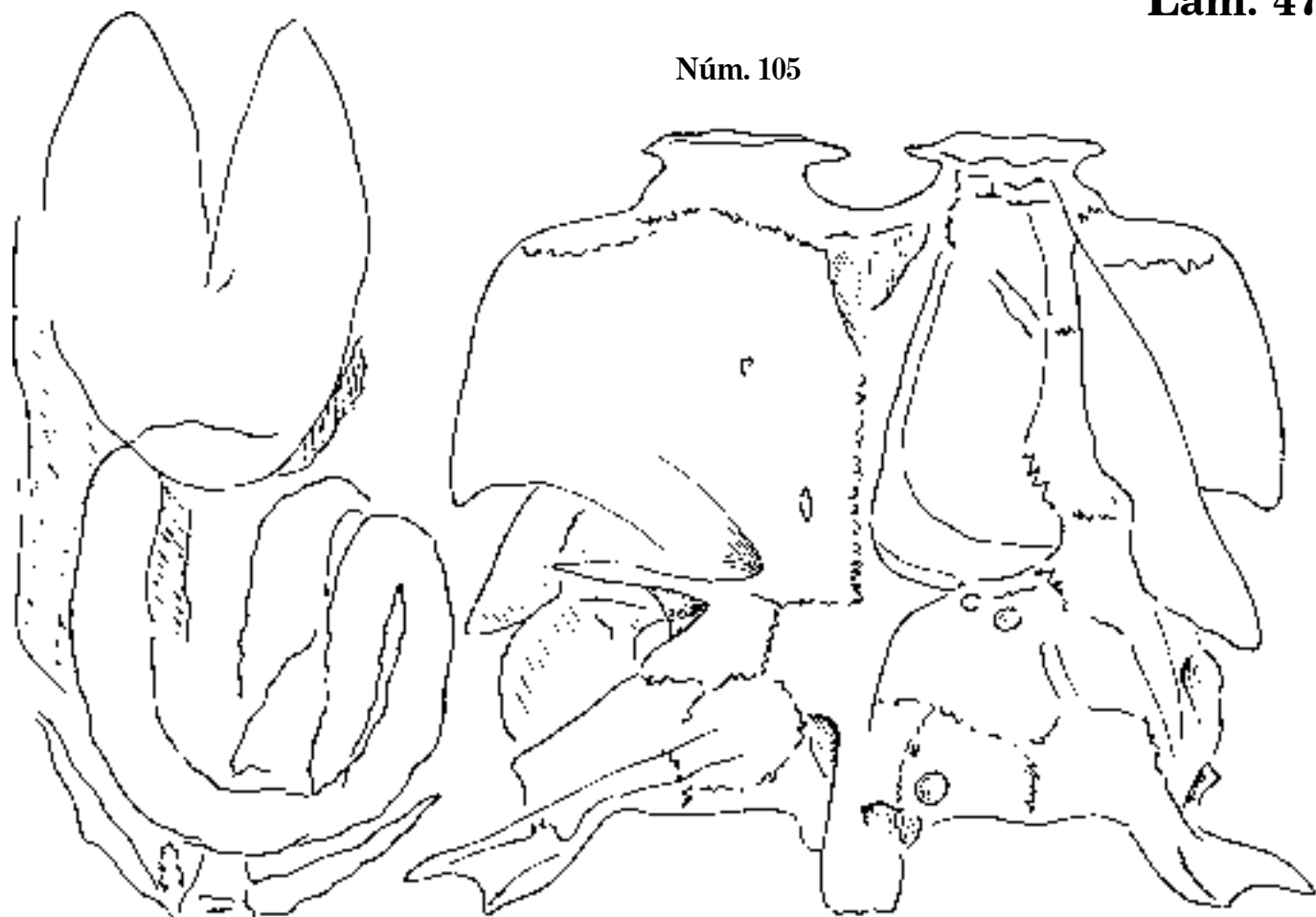


Fig. 1 *Paradiodon hyxtrix*, 1876. Vista superior. D.; A.; erizo.

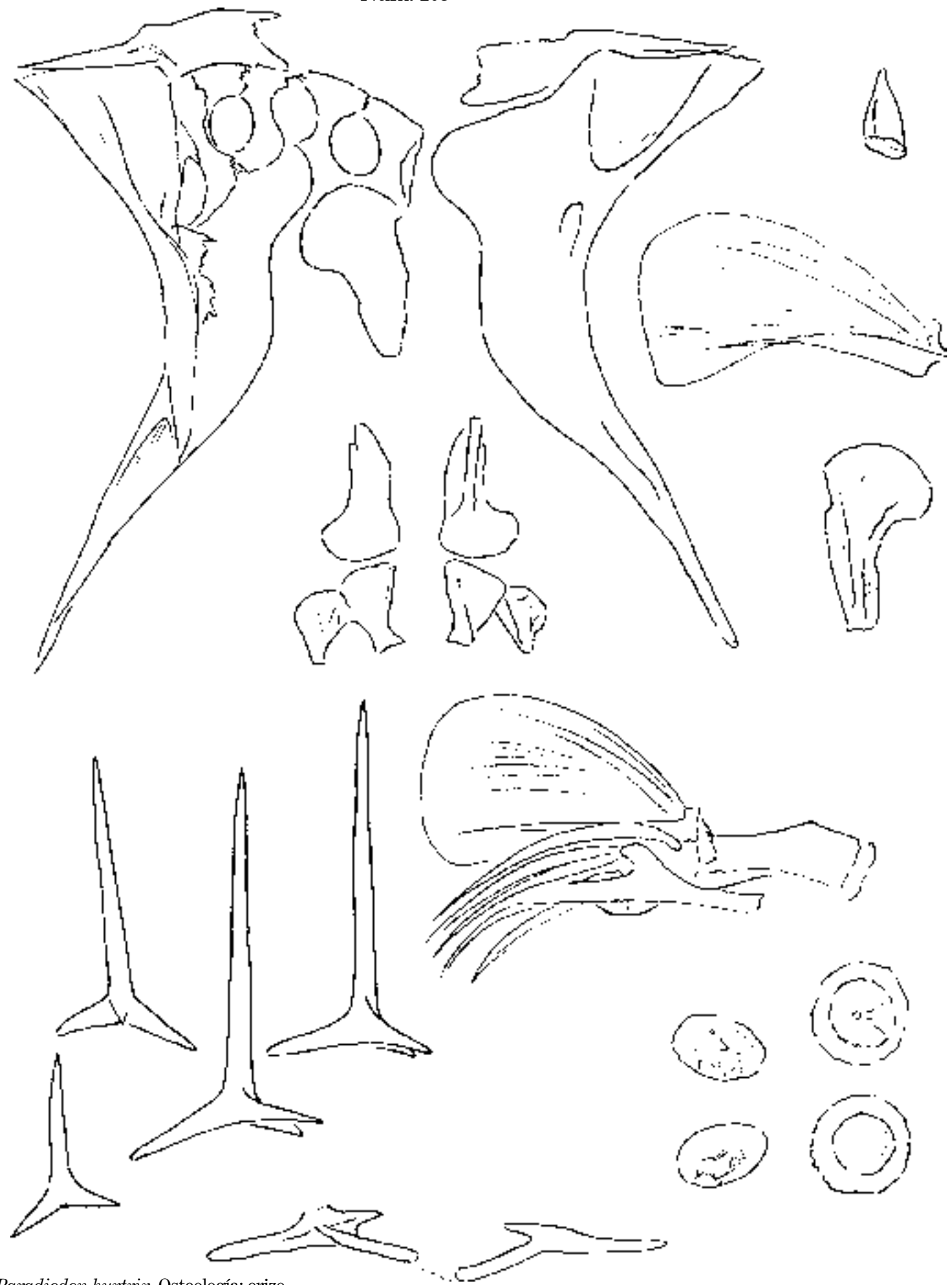
Núm. 105



Paradiodon hyxtrix. Osteología; erizo.

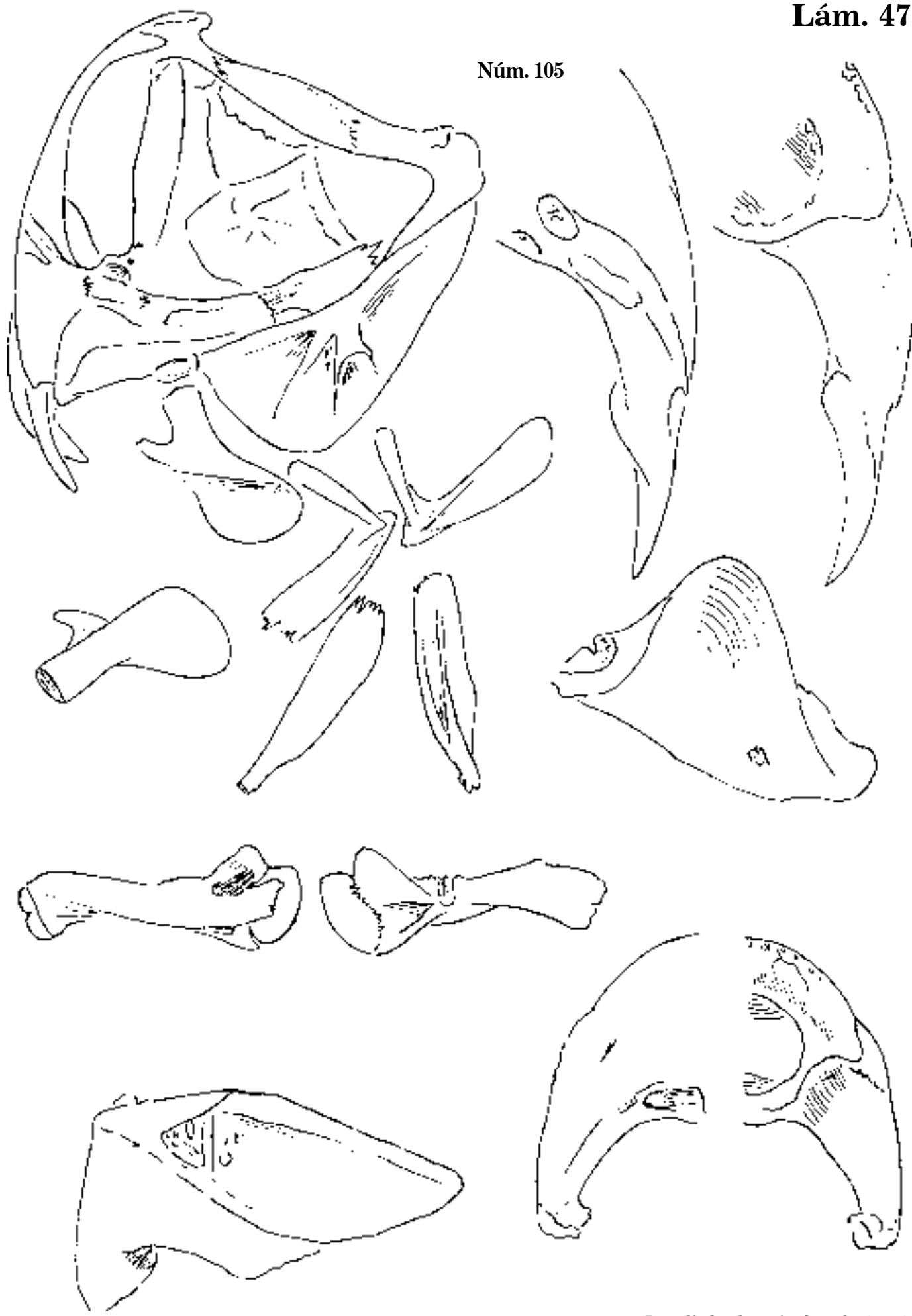
Lám. 474

Núm. 105



Paradiodon hystriculus. Osteología; erizo.

Núm. 105



Paradiodon hyxtrix. Osteología; erizo.

Lám. 476

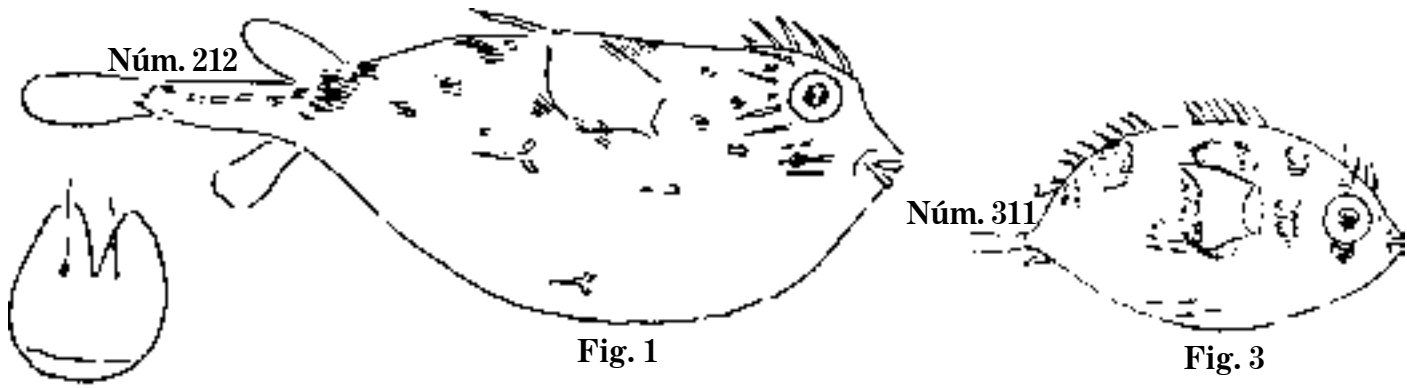


Fig. 1

Núm. 311

Fig. 3

Núm. 212

Núm. 311

Fig. 2

Fig. 4

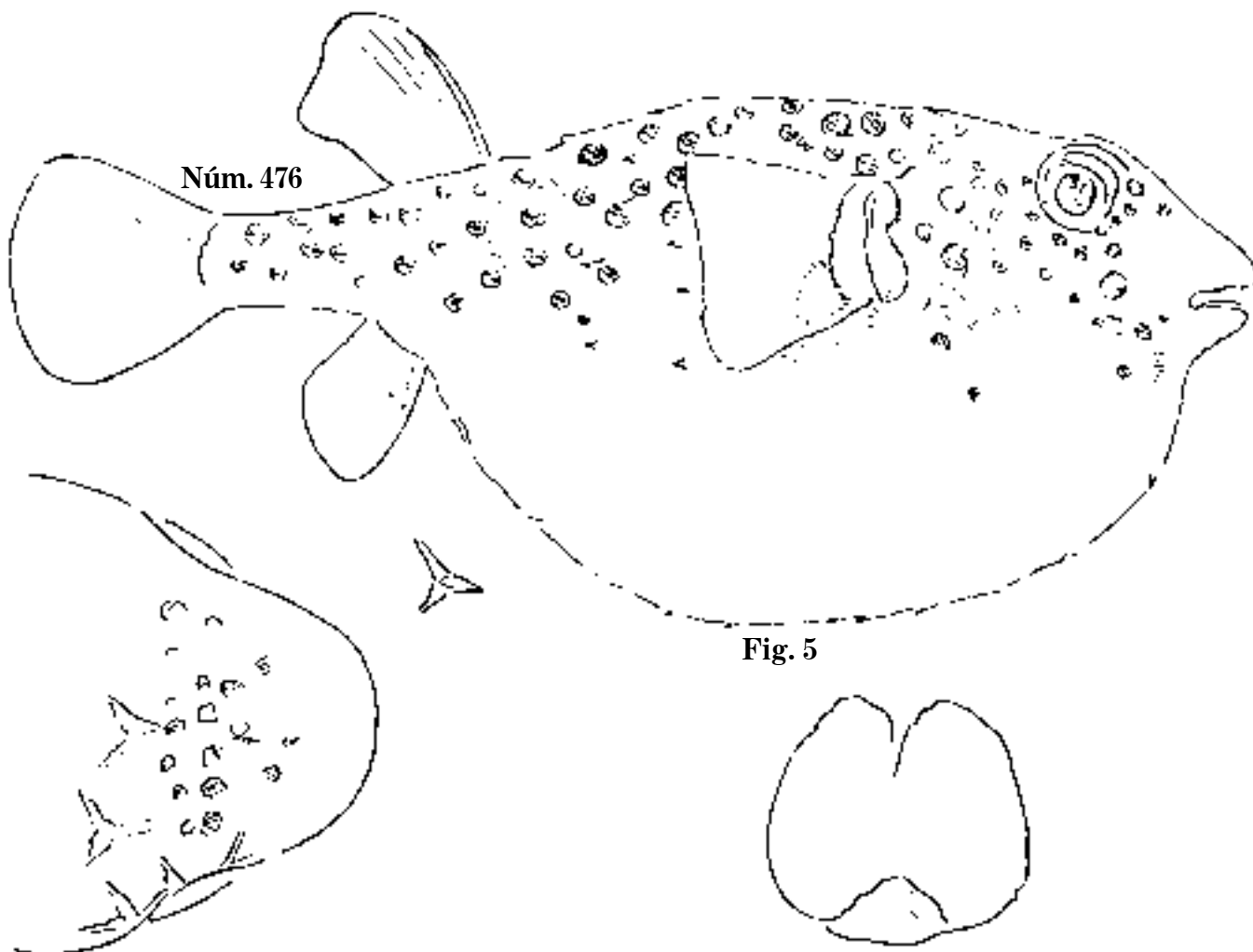


Fig. 5

Fig. 1 *Paradiodon*. C. 227 mm; D. 15; A. 12.
Fig. 2 *Paradiodon*. Vista superior; erizo.
Fig. 3 *Paradiodon*. C. 69 mm; D.; A.

Fig. 4 *Paradiodon*. Vista superior; guanábana.
Fig. 5 *Chilomycterus reticulatus*. P. 410 mm; D. 11; A. 10; erizo.

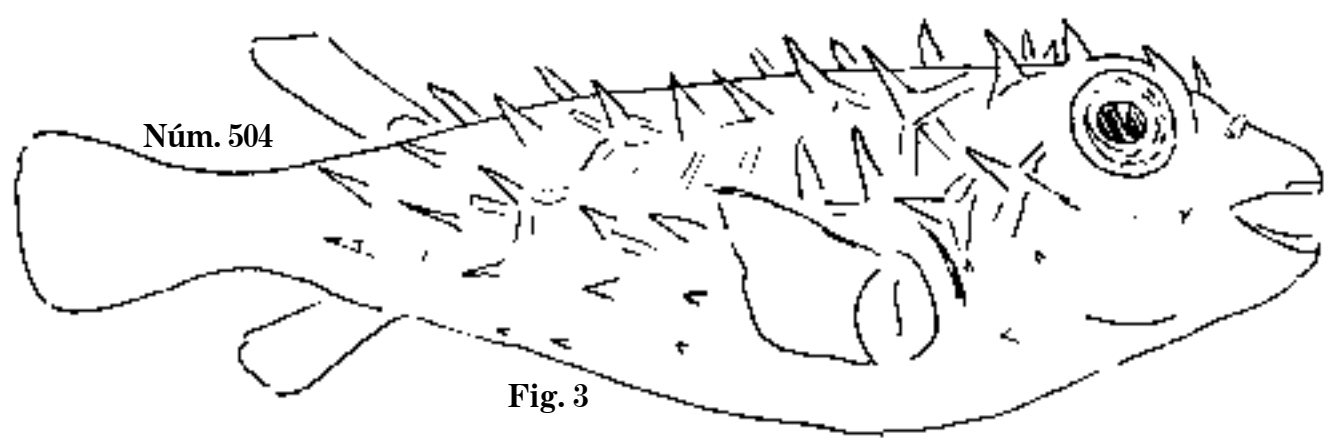
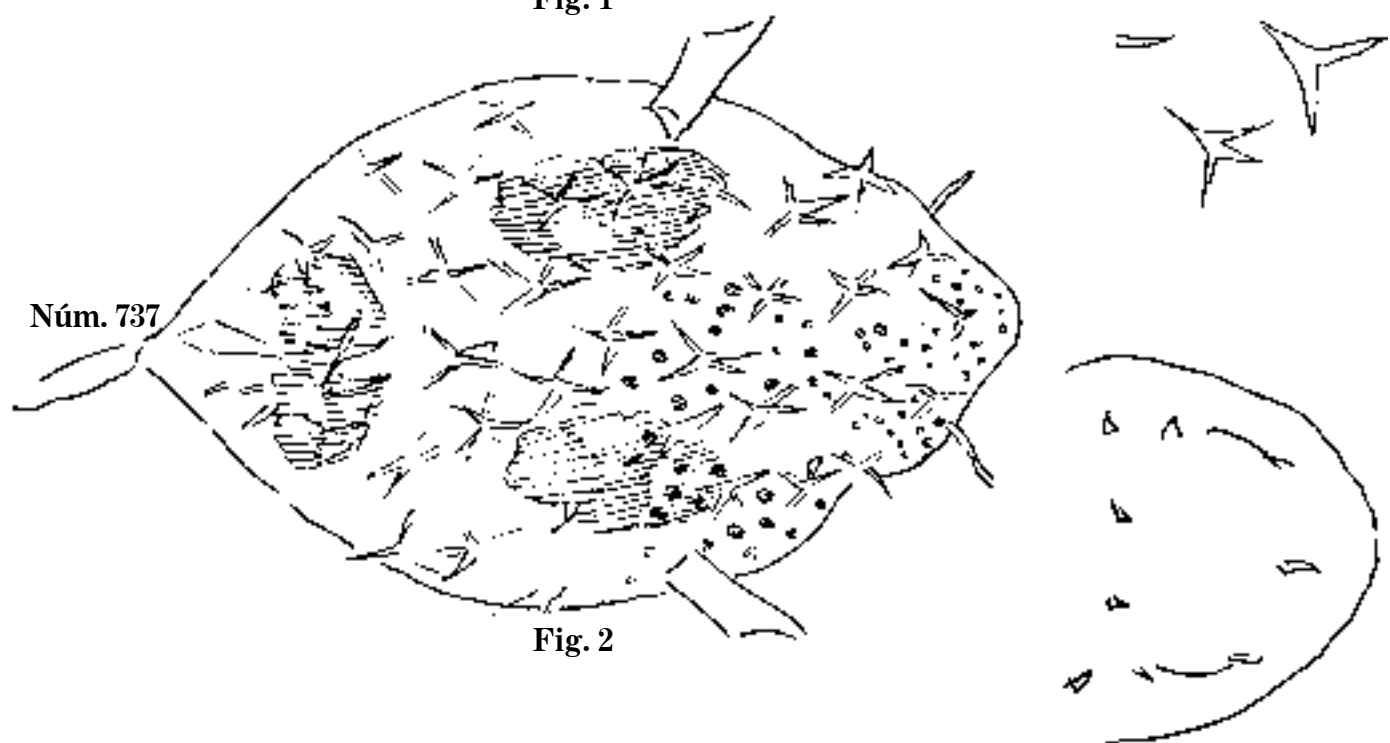
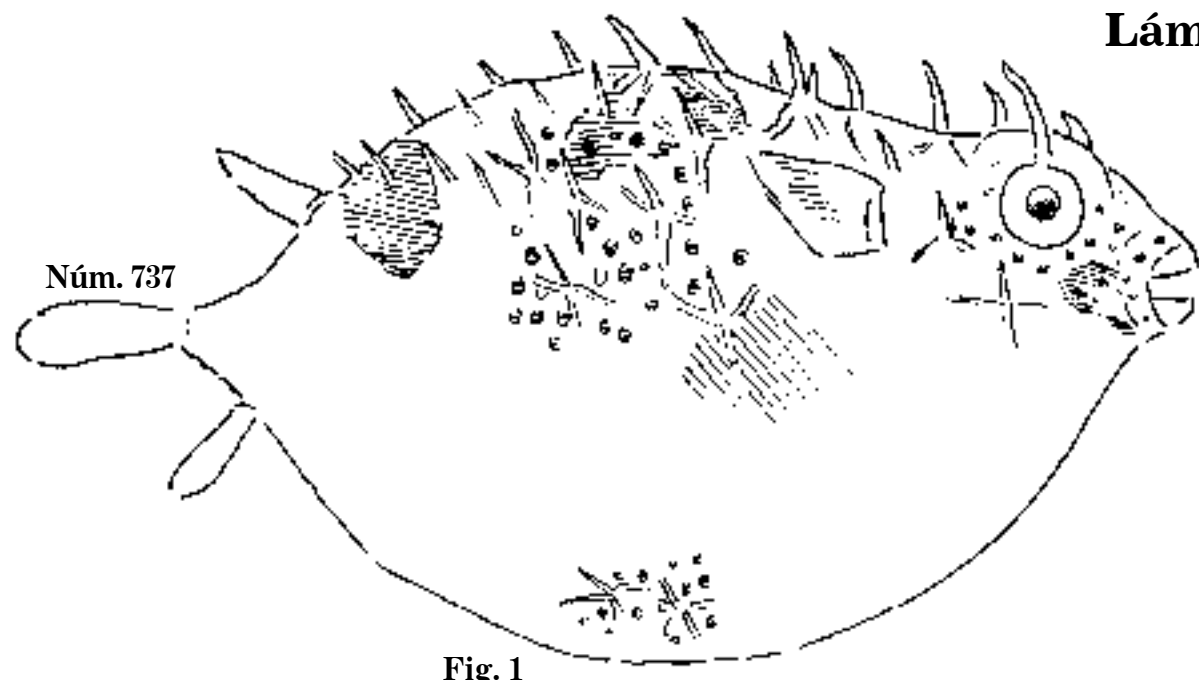


Fig. 1 *Chilomycterus puncticulatus*. C. 161 mm; D. 12?; A.?
Fig. 2 *Ch. puncticulatus*. Vista superior.
Fig. 3 *Chilomycterus*. C. 176 mm; D.; A.; erizo.

Lám. 478

Núm. 109

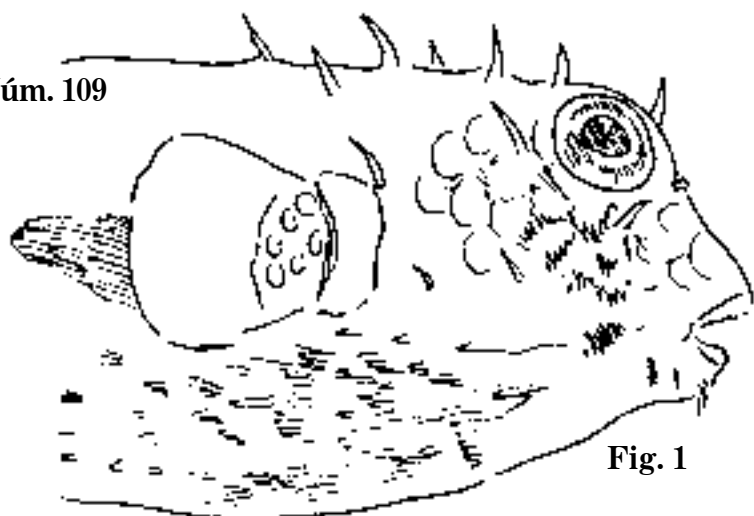


Fig. 1



Núm. 109

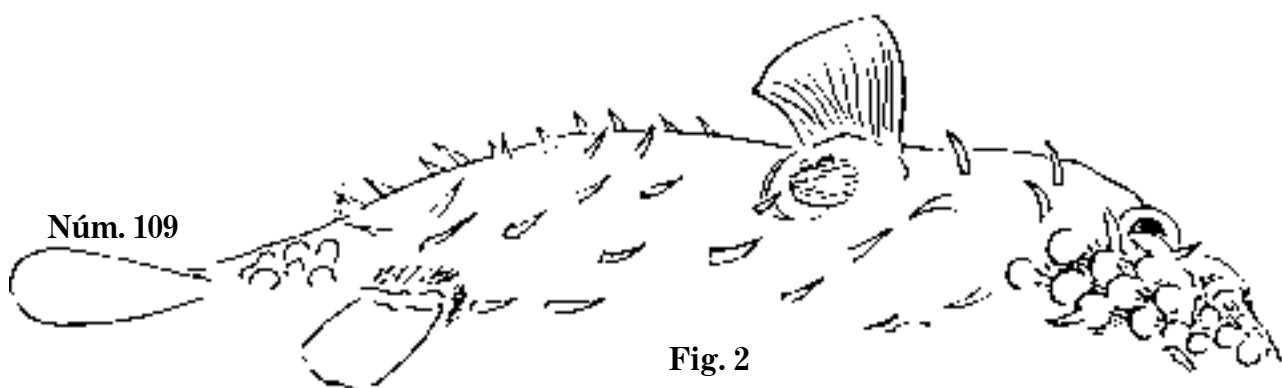


Fig. 2

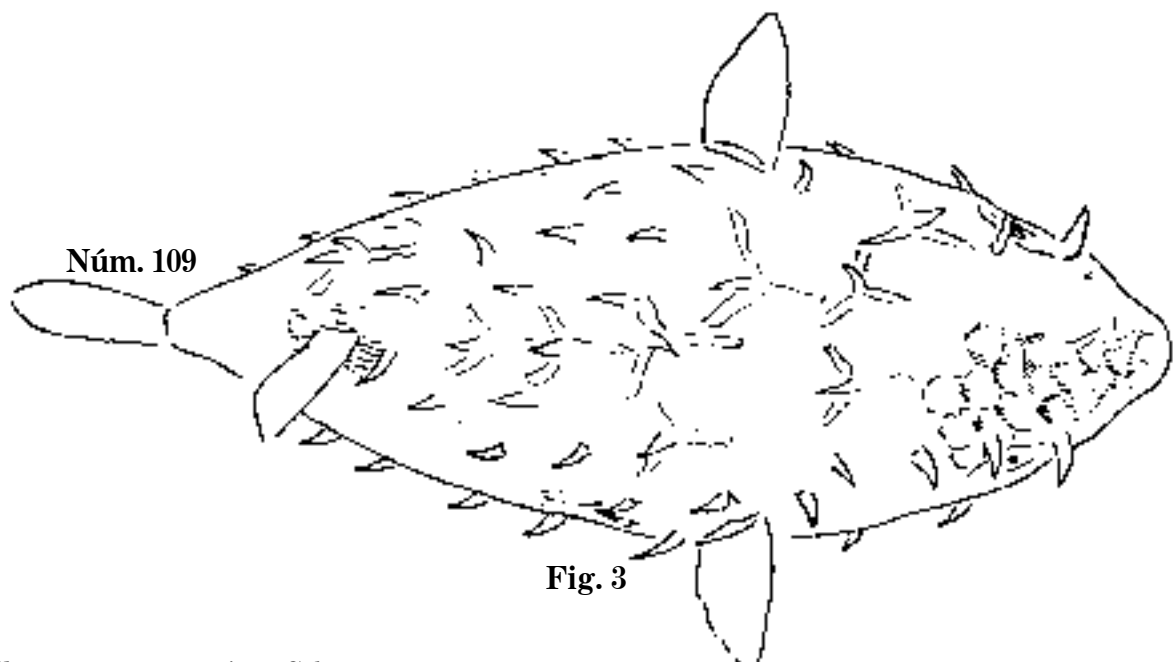


Fig. 3

Fig. 1 *Chilomycterus geometricus*. Cabeza.

Fig. 2 *Ch. geometricus*. C. 346 mm; D. 12; A.?

Fig. 3 *Ch. geometricus*, 1878. C. 263 mm; D. 12; A.?; erizo.

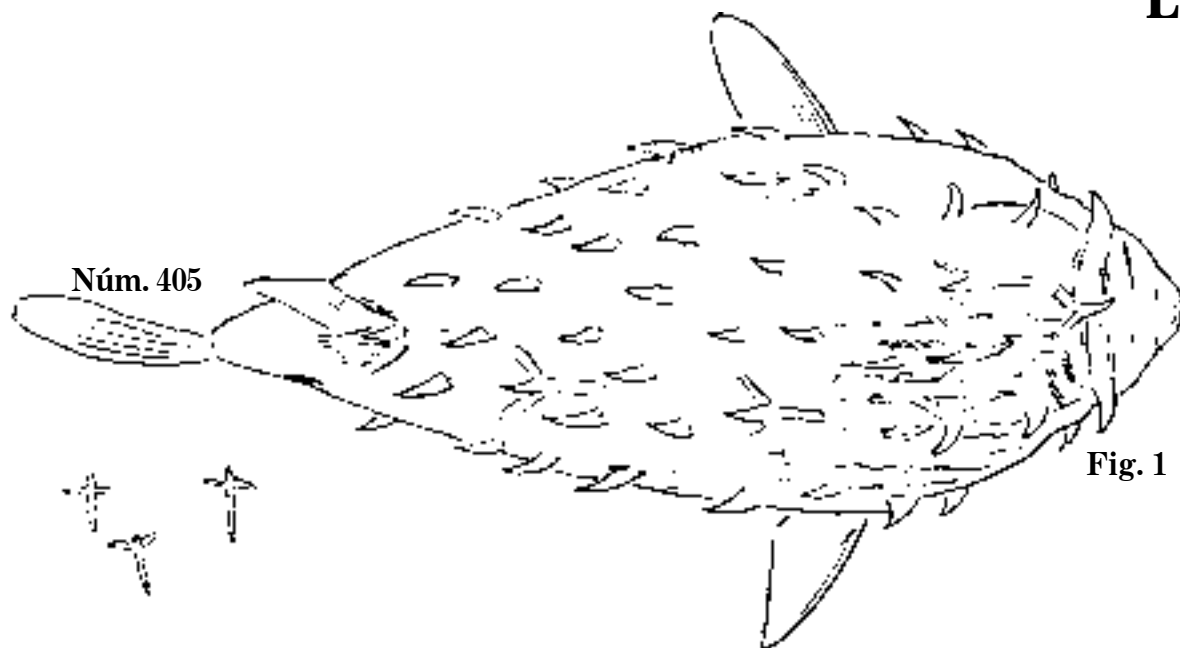


Fig. 1

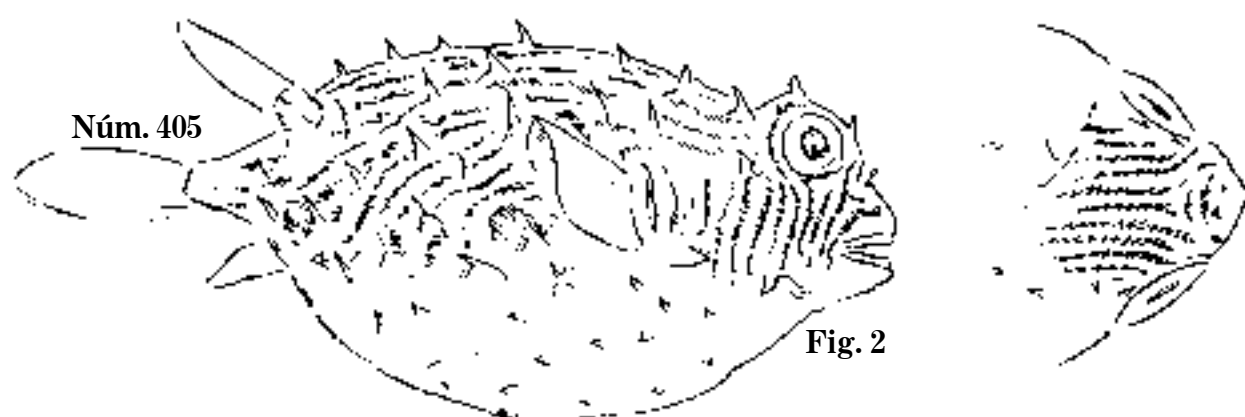


Fig. 2



Fig. 3

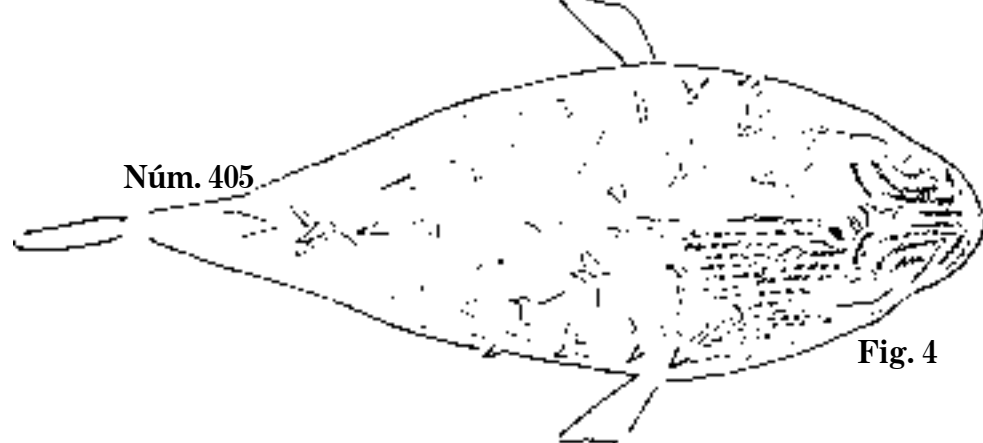


Fig. 4

Fig. 1 *Chilomycterus maculo-striatus*, 1878. C. 187 mm; D.; A.
Fig. 2 *Ch. maculo-striatus*, 1862. C. 142 mm; D.; A.
Fig. 3 *Ch. maculo-striatus*. C. 262 mm; D.; A.
Fig. 4 *Ch. maculo-striatus*. Vista superior; erizo.

Lám. 480

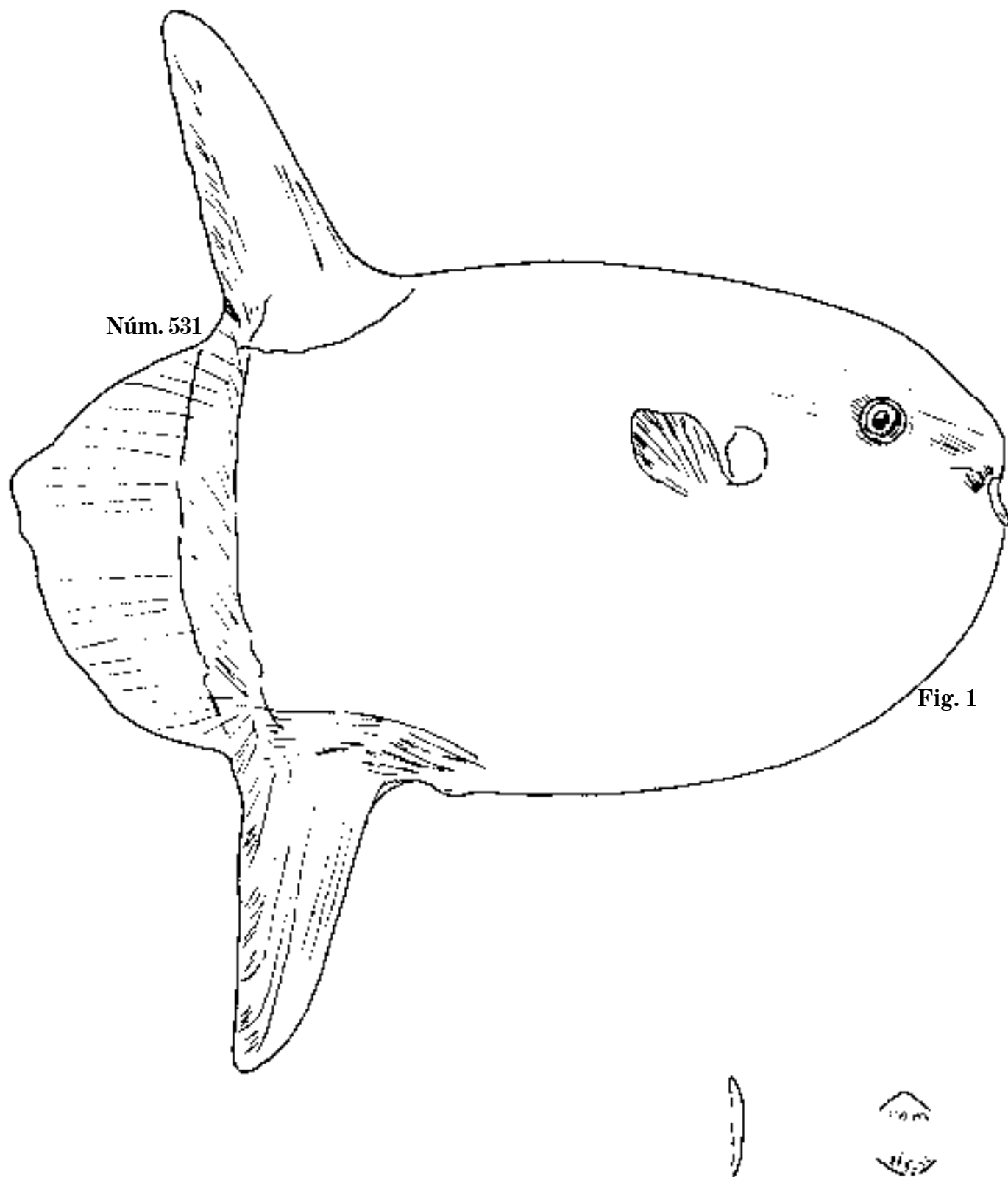


Fig. 1 *Orthagoriscus mola*. P. 730 mm; D. 20; A. 20; pez mola.

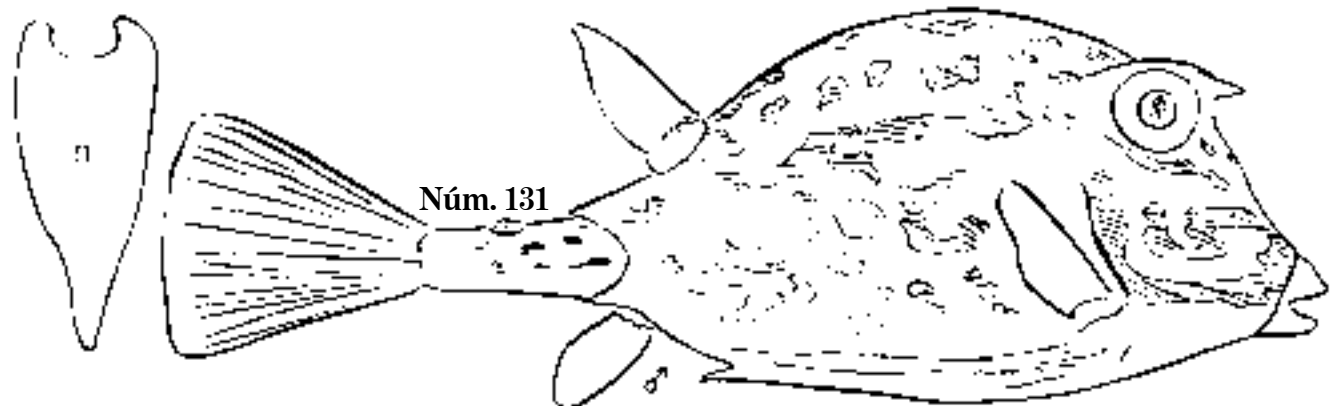


Fig. 1

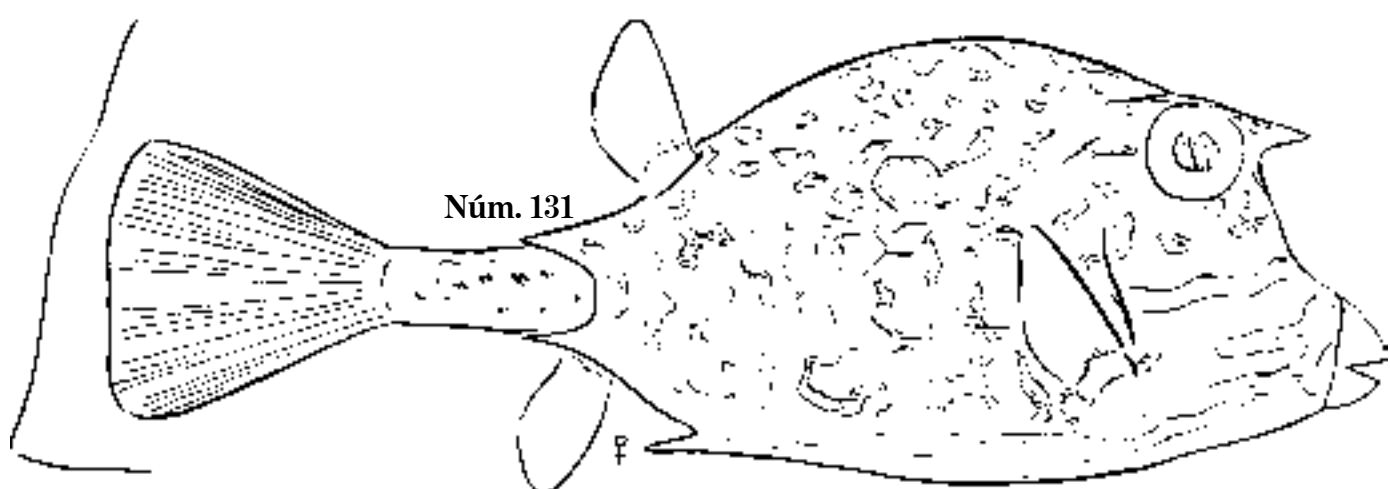


Fig. 2



Fig. 1 *Acanthostracion quadricorne*, 1862. C. 190 mm; D.; A.
Fig. 2 *A. quadricorne*, 1862. C. 210 mm; D. 10; A. 10; toro.

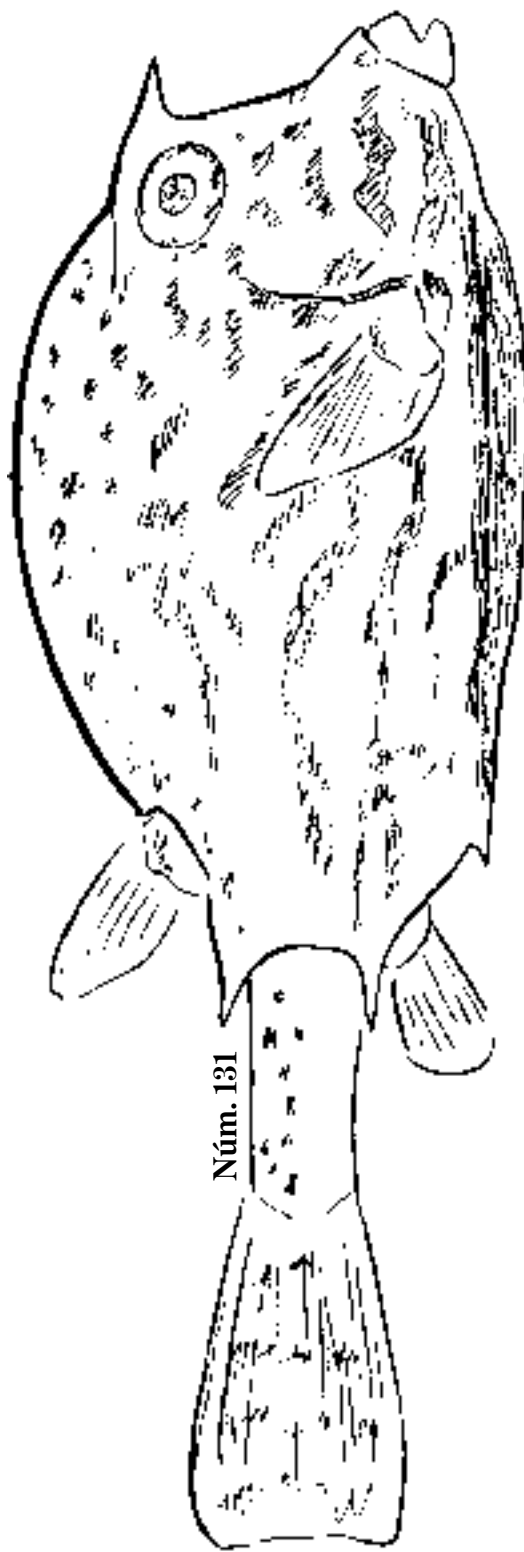


Fig. 1

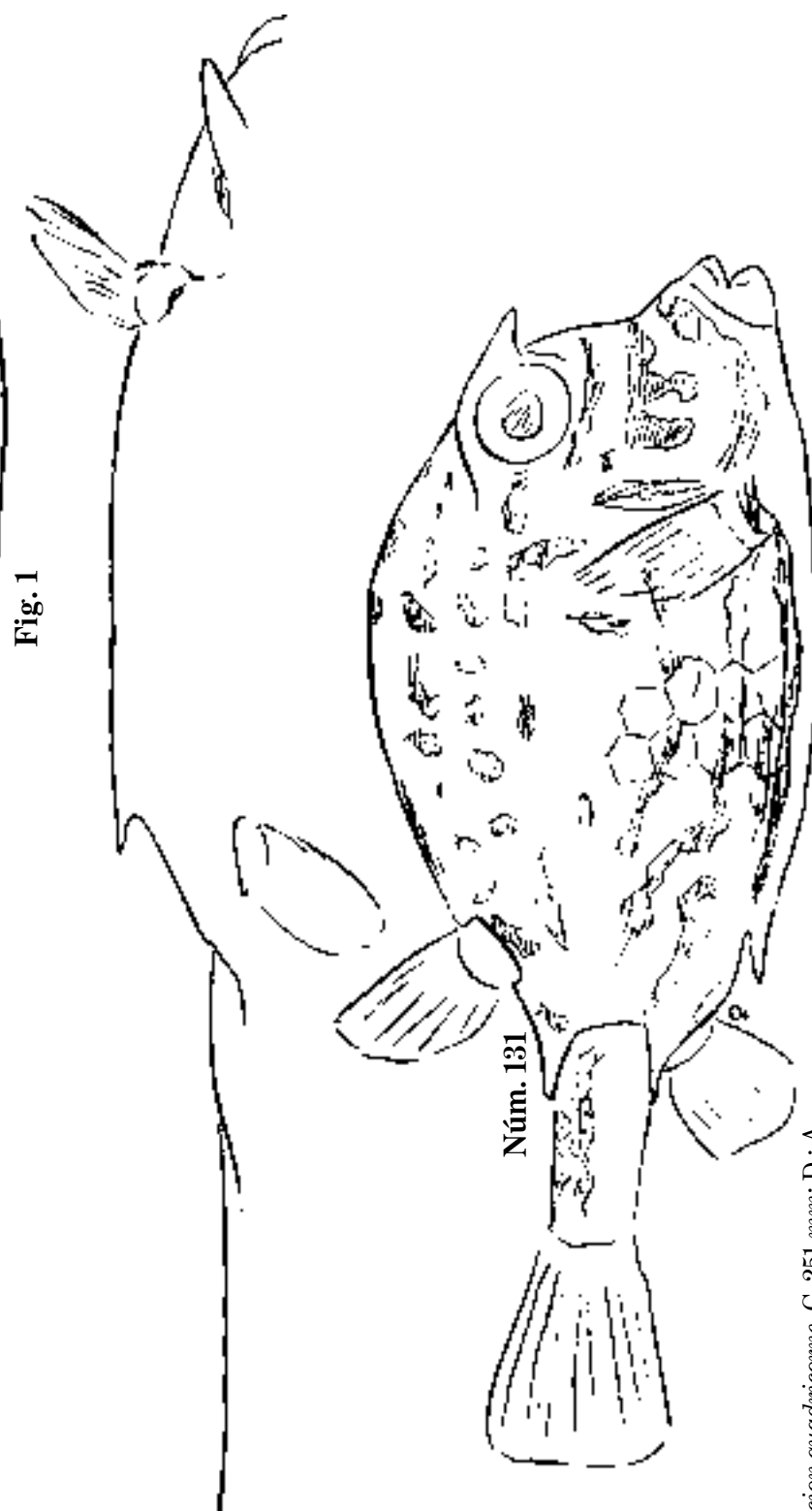
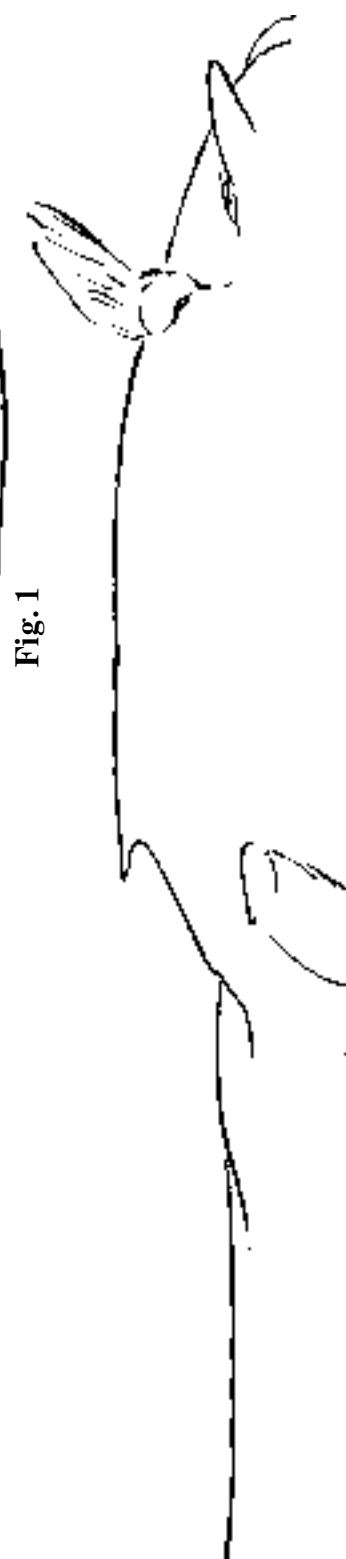
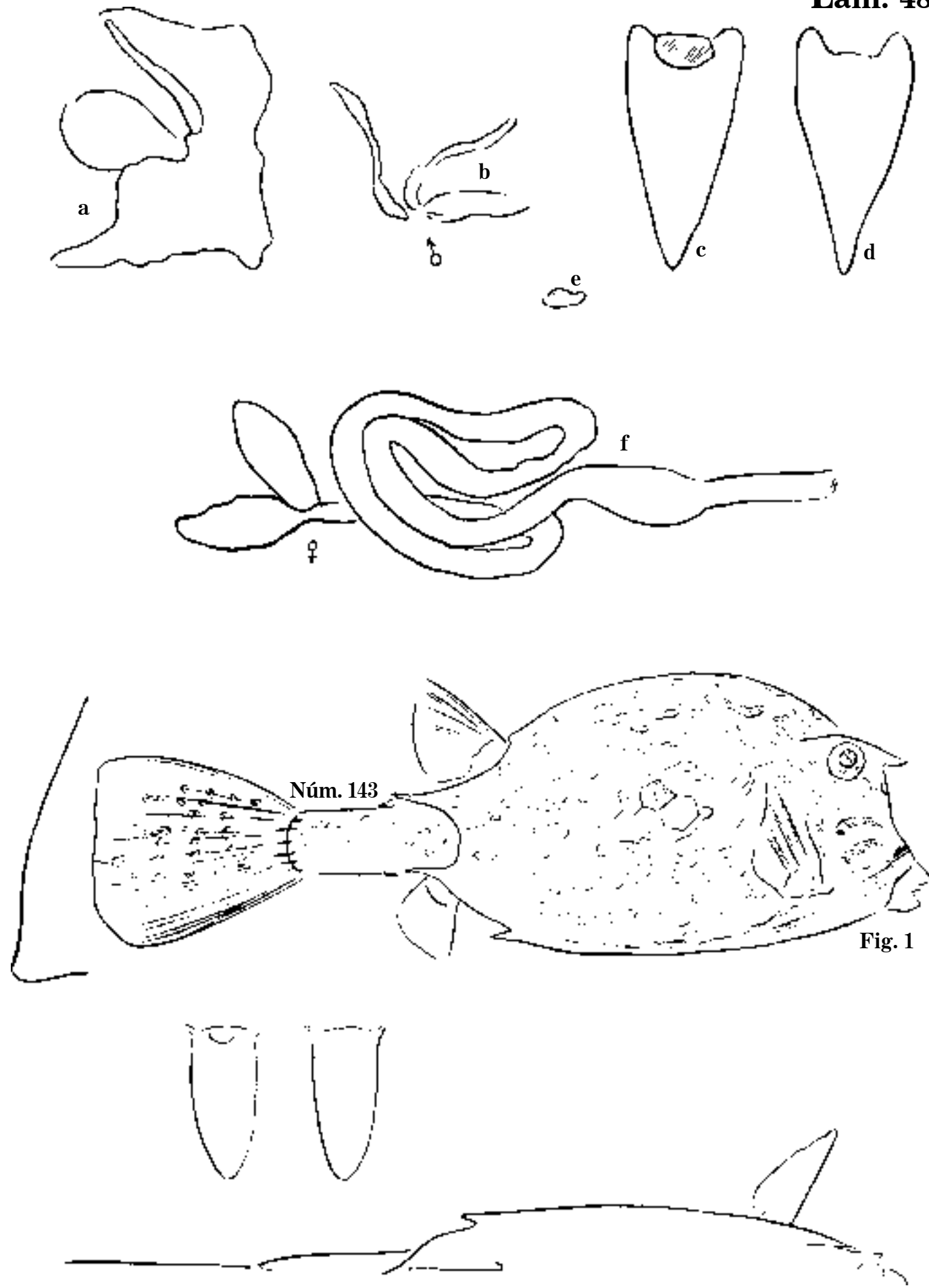


Fig. 1 *Acanthostracion quadricorne*. C. 251 mm; D; A.
Fig. 2 *A. quadricorne*. C. 204 mm; D. 10; A. 10; toro.

Fig. 2

Lám. 483



*a-f. Acanthostracion quadricorne. Órganos.
Fig. 1 Acanthostracion, 1865. P. 375 mm; D. 10; A. 10; toro.*

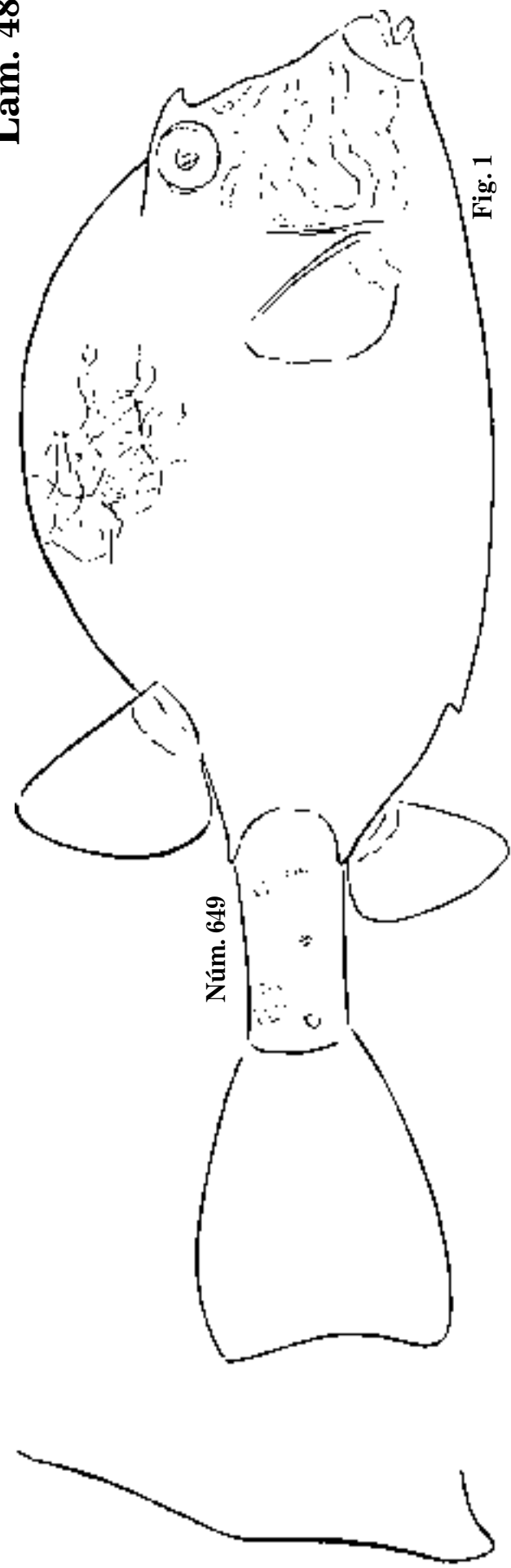


Fig. 1

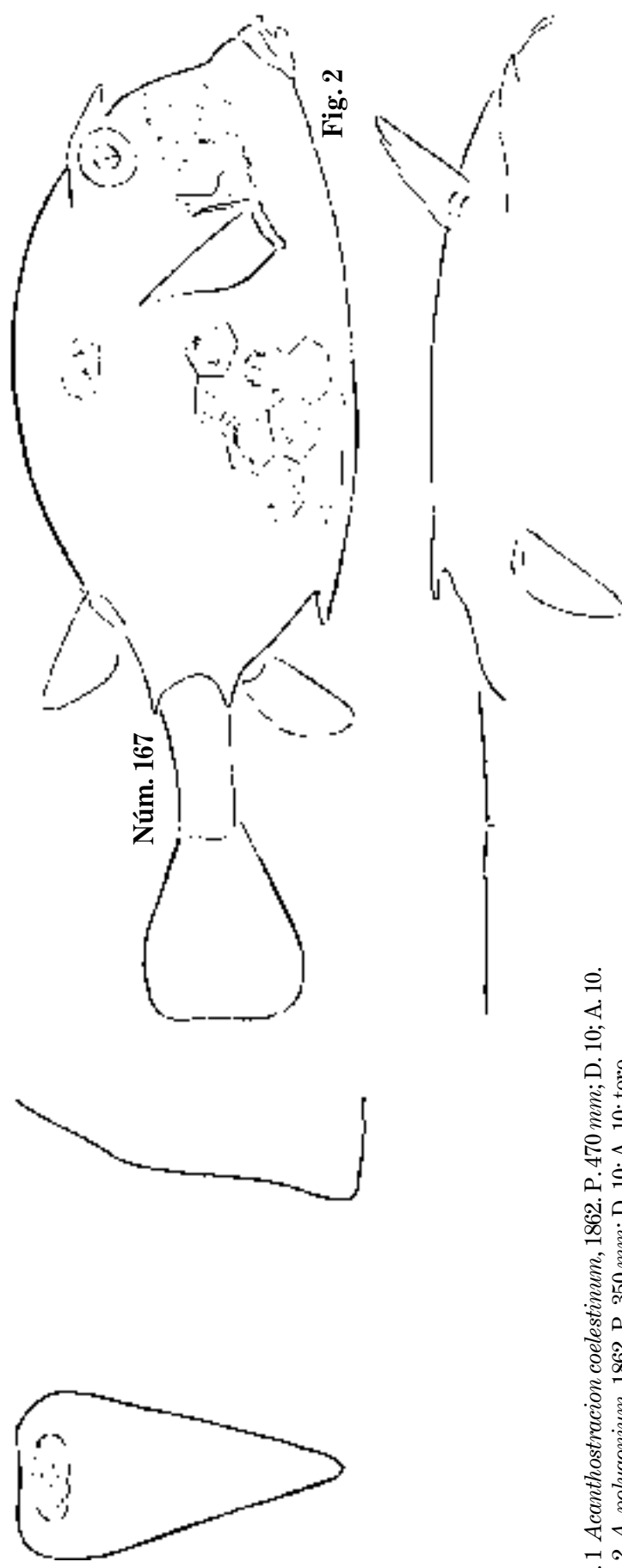


Fig. 1 *Acanthostracion coelestium*, 1862. P. 470 mm; D. 10; A. 10.

Fig. 2 *A. polygonum*, 1862. P. 350 mm; D. 10; A. 10; toro.

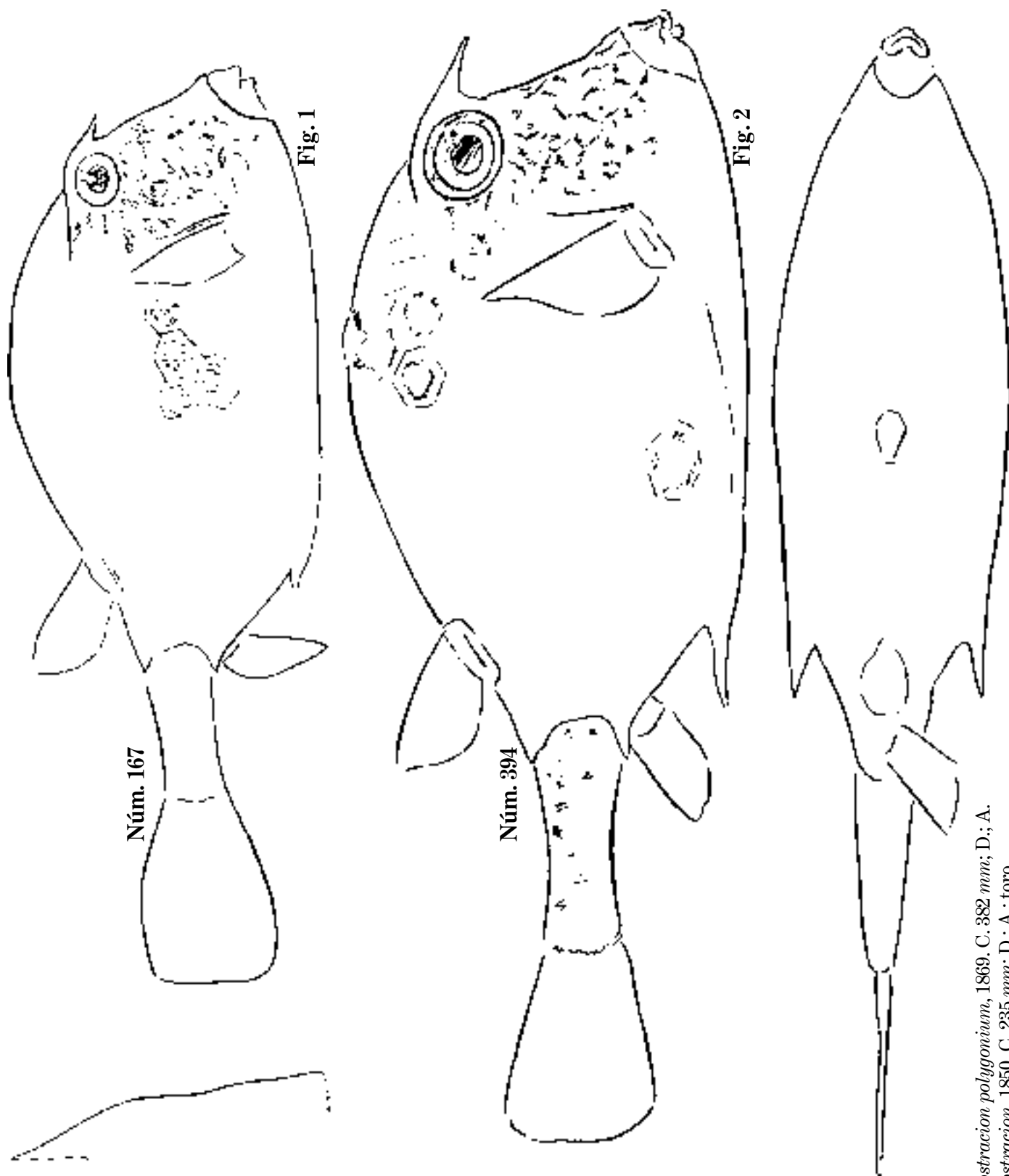


Fig. 1 *Acanthostracion polygonium*, 1869. C. 382 mm; D; A.
Fig. 2 *Acanthostracion*, 1850. C. 235 mm; D; A; toro.



Fig. 1

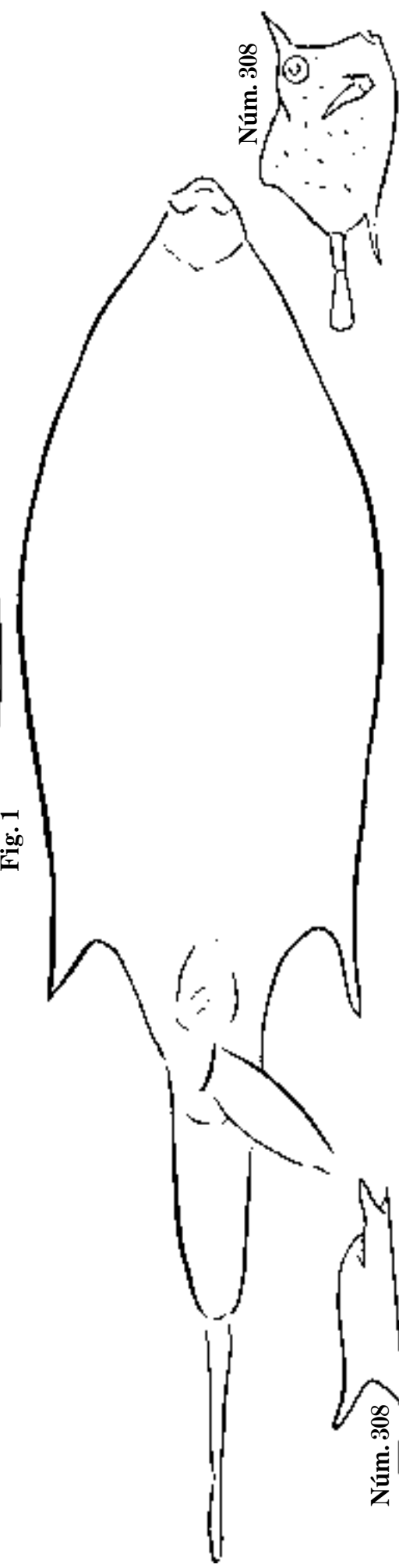


Fig. 2

Fig. 3

Fig. 1 *Acanthostracion*. P. 230 mm; D; A.

Fig. 2 *Acanthostracion*. D; A.

Fig. 3 *Acanthostracion*. C. 50 mm; D; A; toro.



Fig. 1



Fig. 1 *Lactophrys trigonus*, 1862. C. 194 mm; D. 10; A. 10; chapín.

Lám. 488

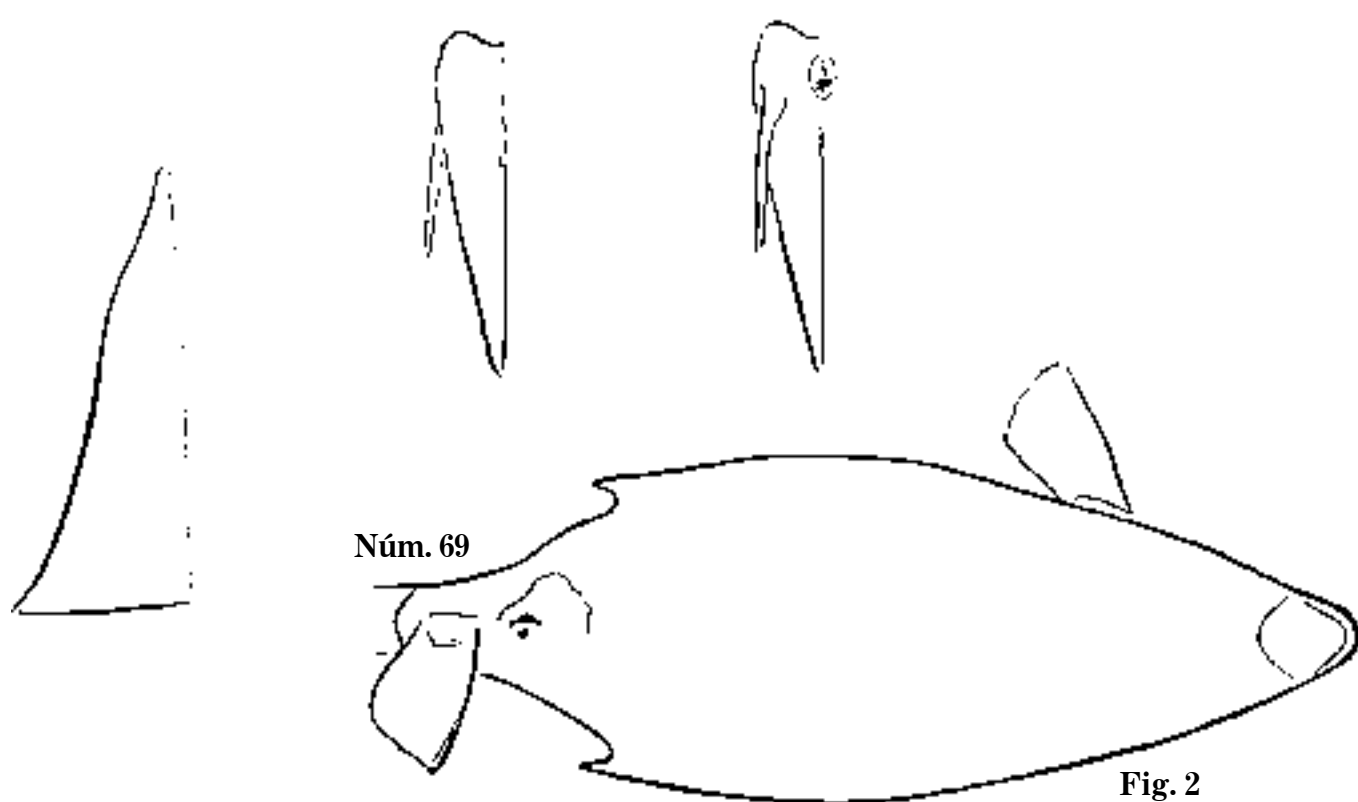
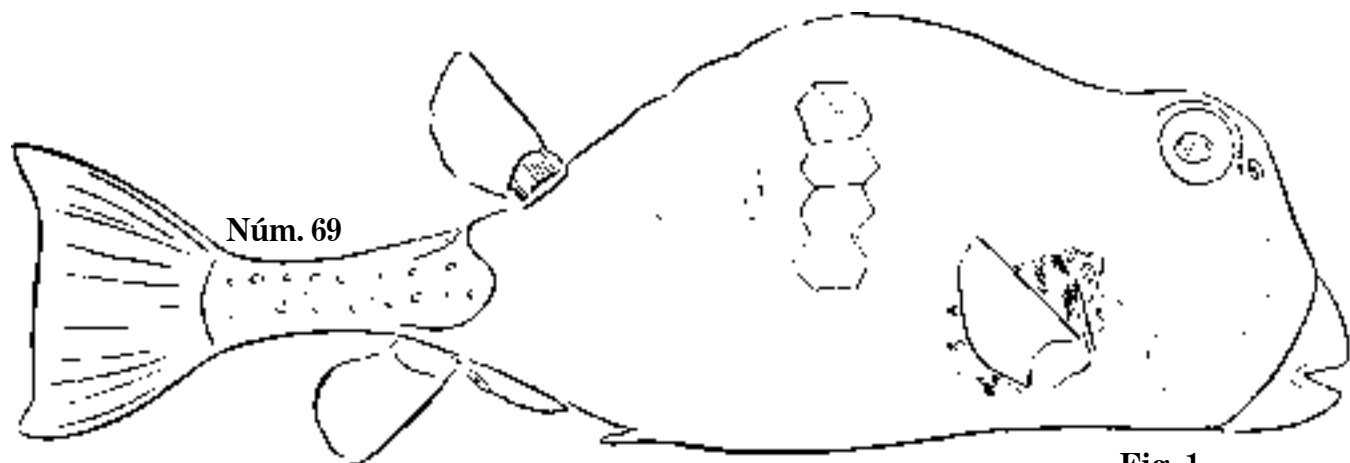


Fig. 1 *Lactophrys trigonus*, 1862. C. 407 mm; D. 10; A. 10.

Fig. 2 *L. trigonus*. Vista inferior.

Fig. 3 *L. trigonus*. Vista superior; chapín.

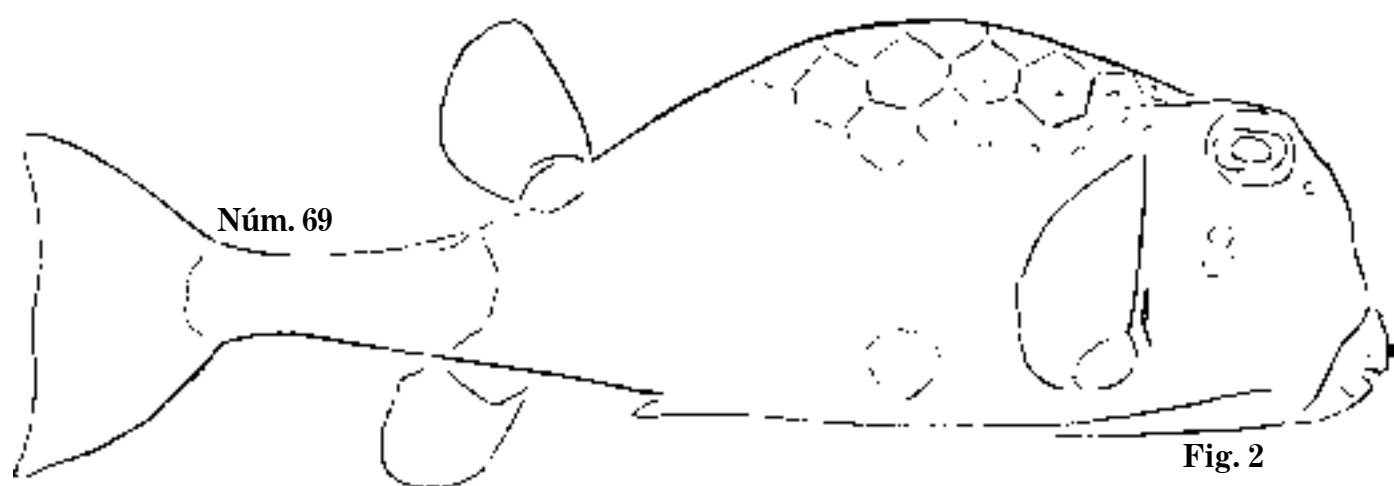
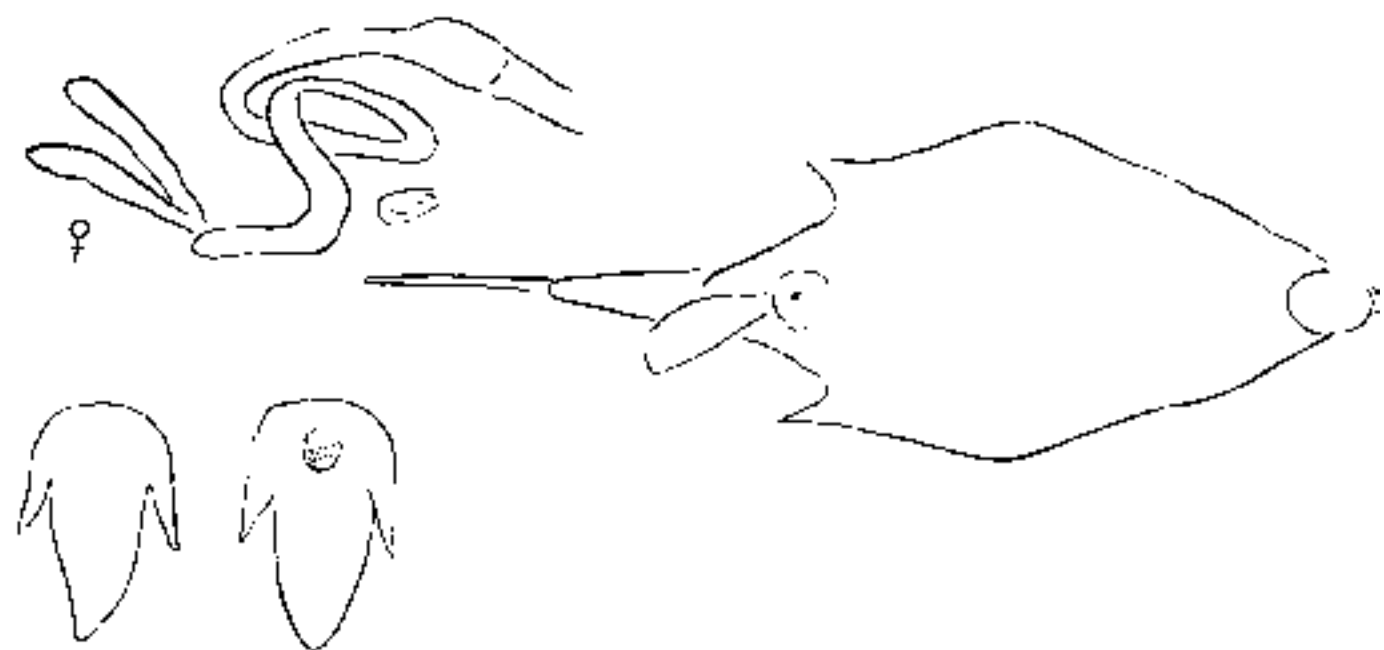


Fig. 1 *Lactophrys trigonus*, 1850. C. 154 mm; D.; A.
Fig. 2 *L. trigonus*. C. 450 mm; D.; A.; chapín.

Lám. 490

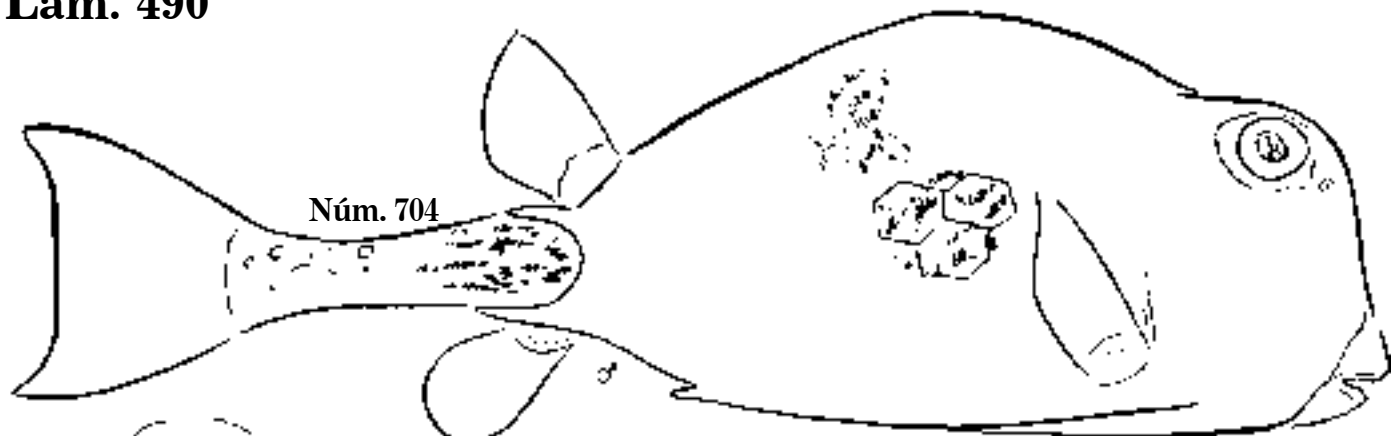


Fig. 1

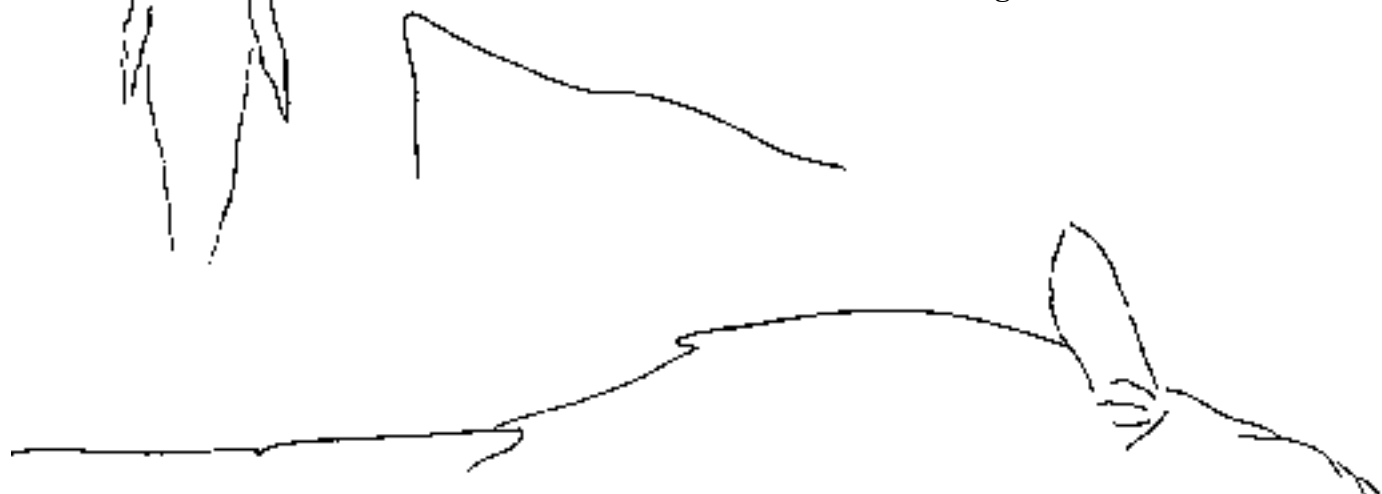


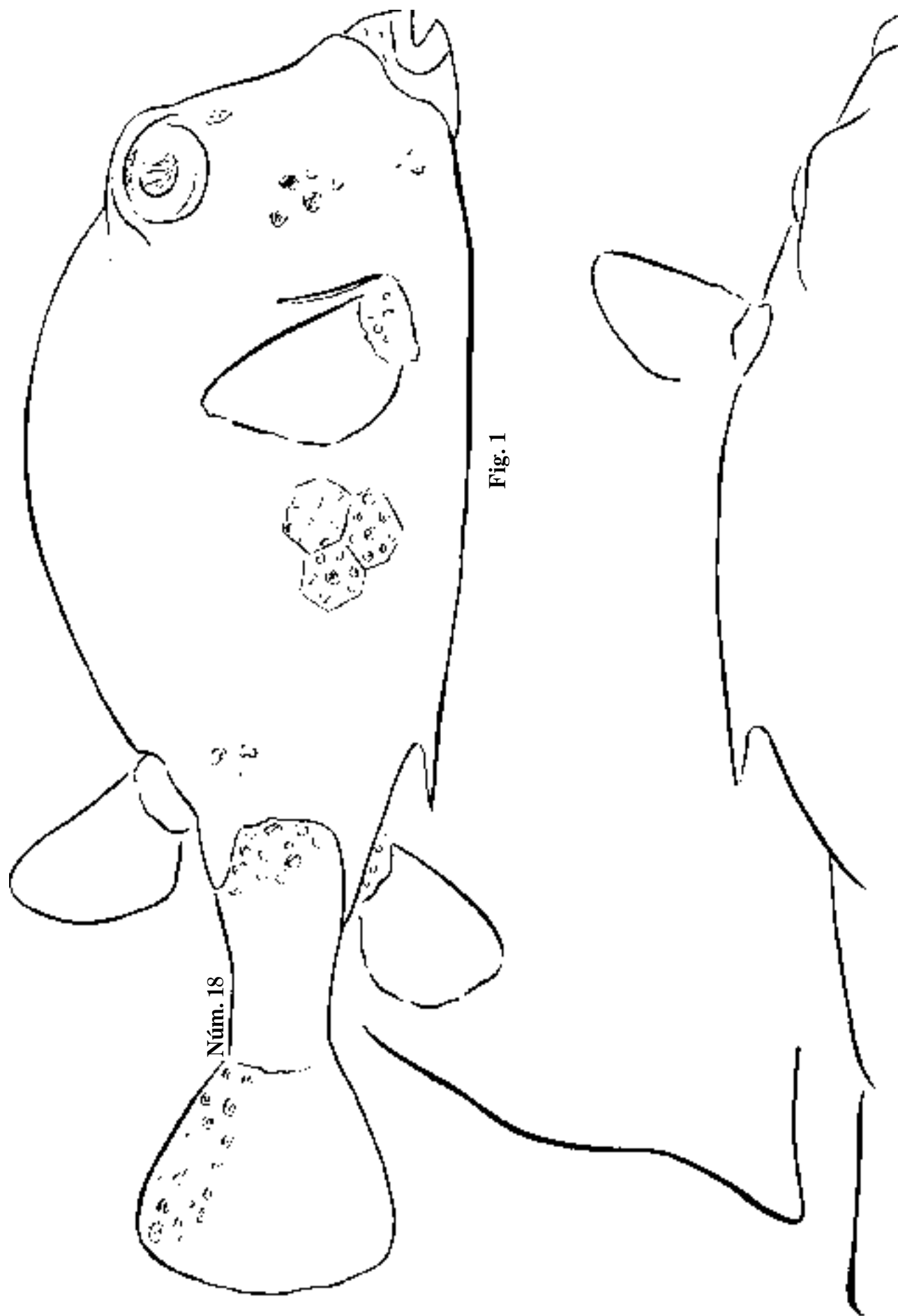
Fig. 2



Fig. 1 *Lactophrys undulatus*, 1862. P. 430 mm; D.; A.

Fig. 2 *Lactophrys*, 1869. C. 416 mm; D. 1,10; A. 1,11; chapín.

Fig. 1 *Lactophrys bicandalis*, 1865. C. 260 mm; D; A; chapín.



Lám. 492

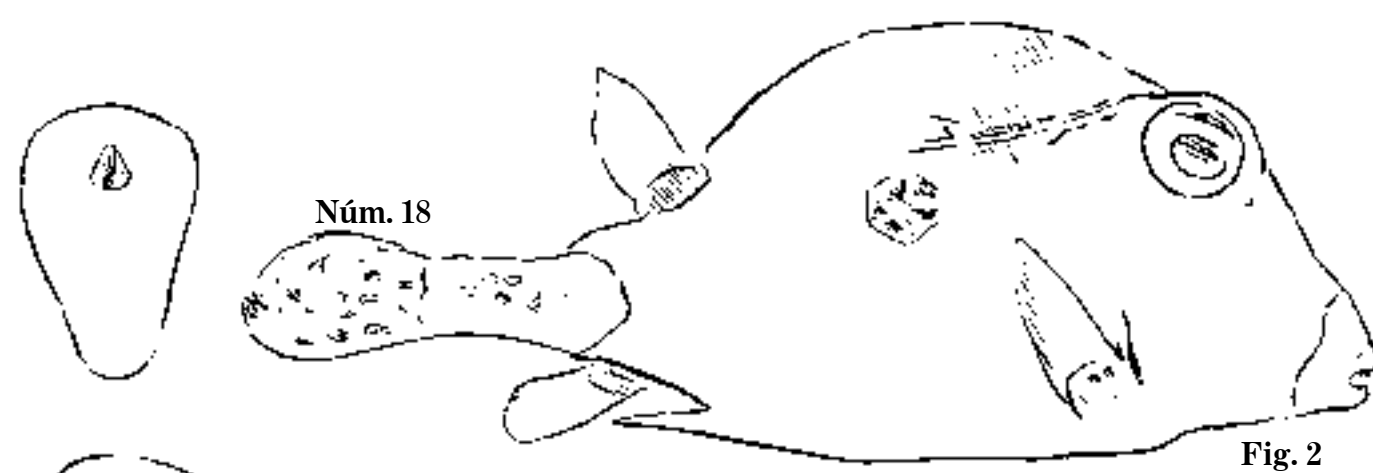
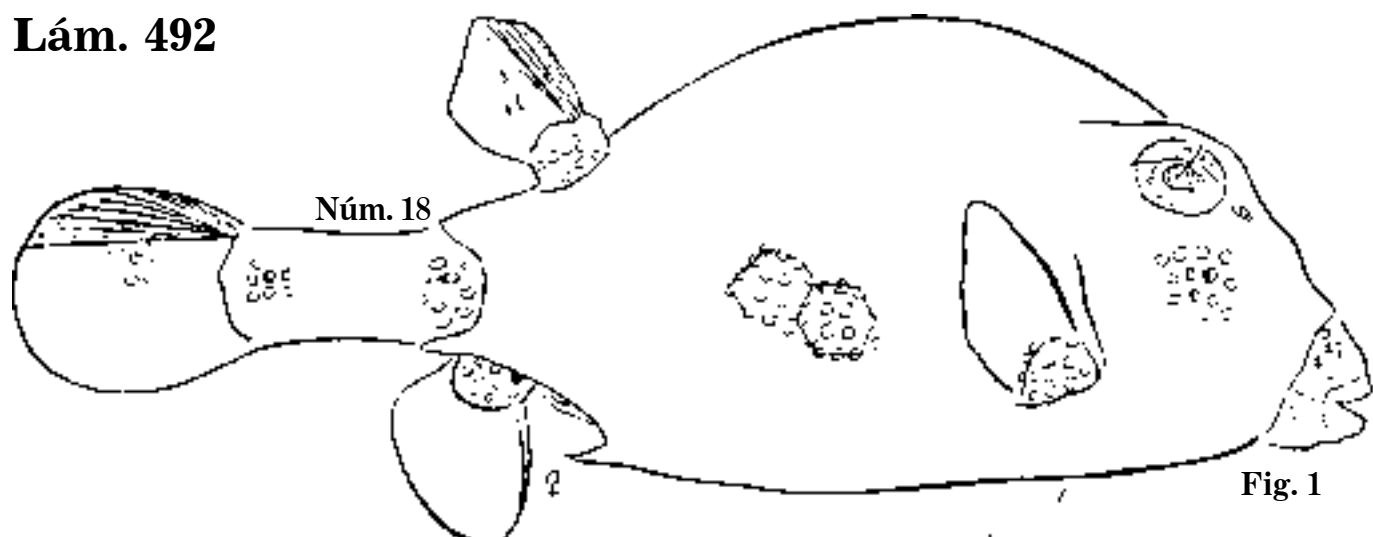
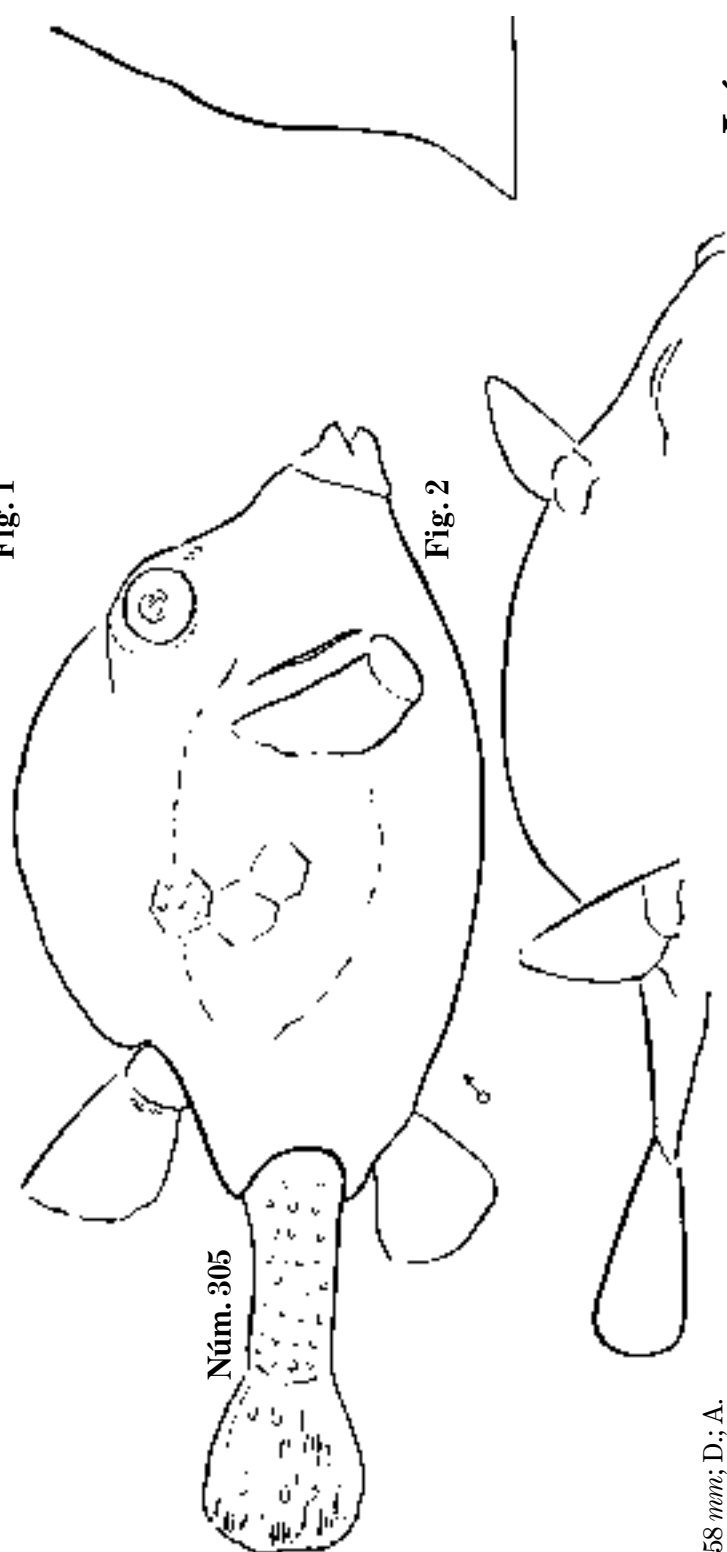
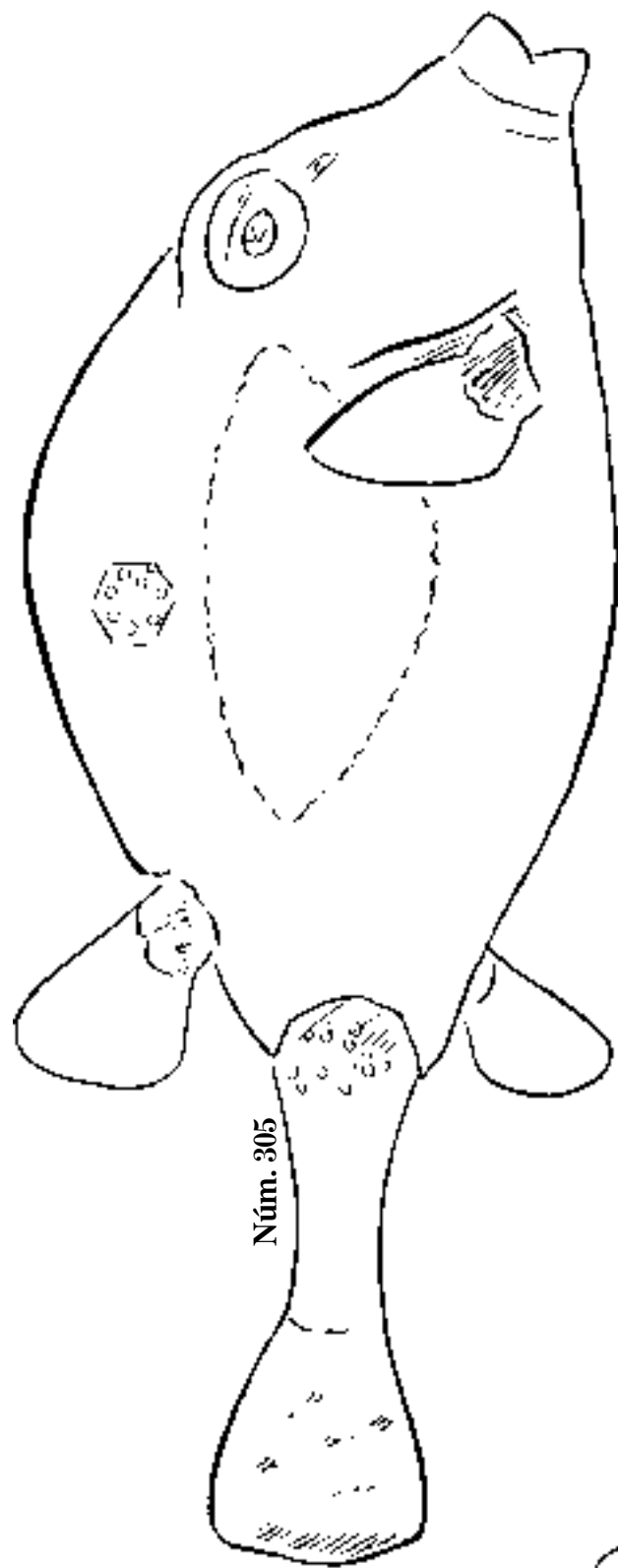


Fig. 1 *Lactophrys bicaudalis*, 1869. C. 385 mm; D. 10; A. 10.

Fig. 2 *L. bicaudalis*, 1850. C. 162 mm; D.; A.

Fig. 3 *Lactophrys*. C. 75 mm; D.; A.; chapín.

Fig. 1 *Ostracion triquetrum*. C. 258 mm; D; A.
Fig. 2 *O. triquetrum*, 1864. C. 185 mm; D; A; chapón.



Lám. 494

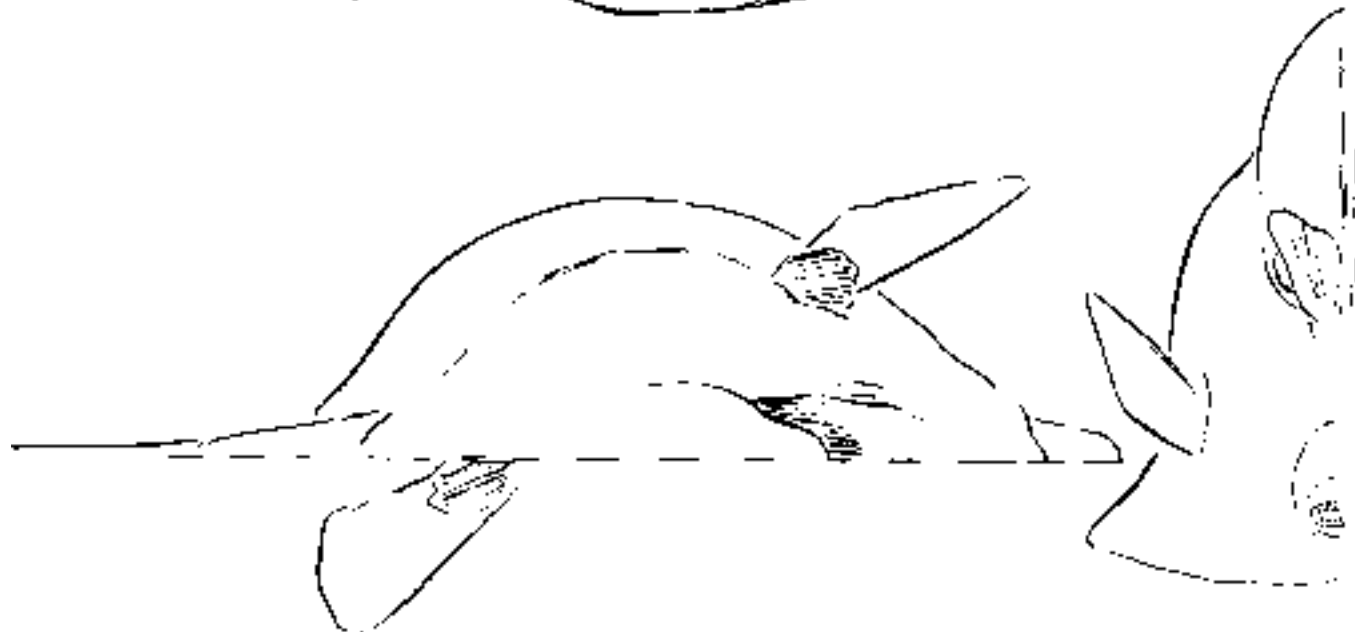
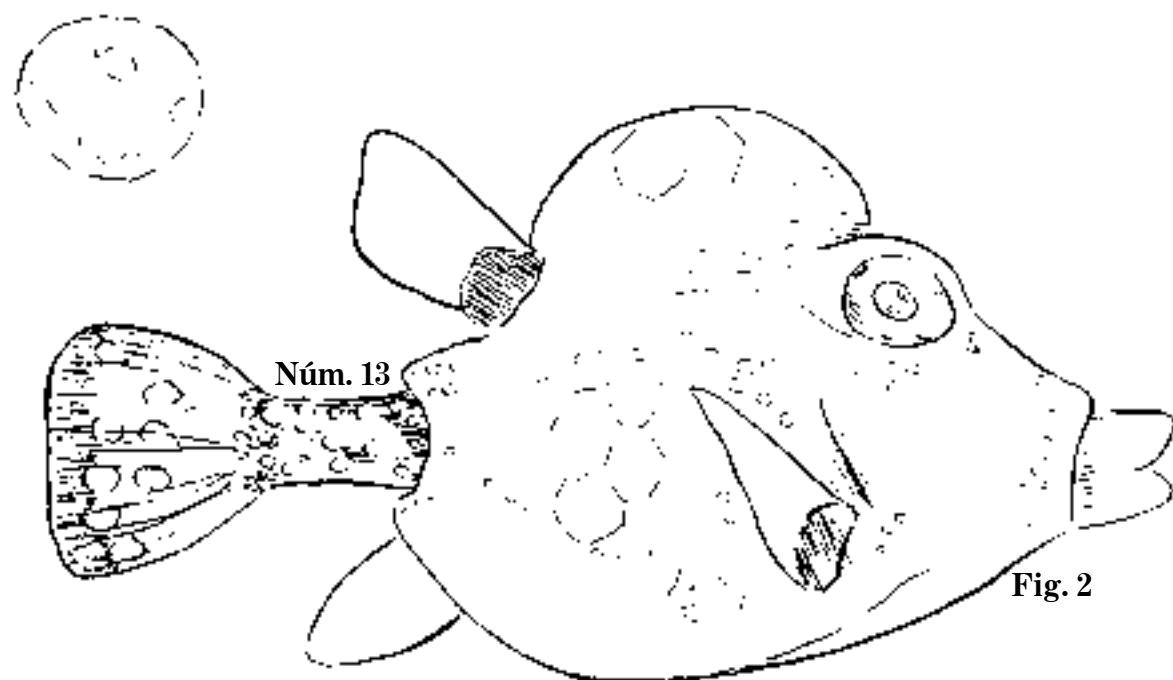
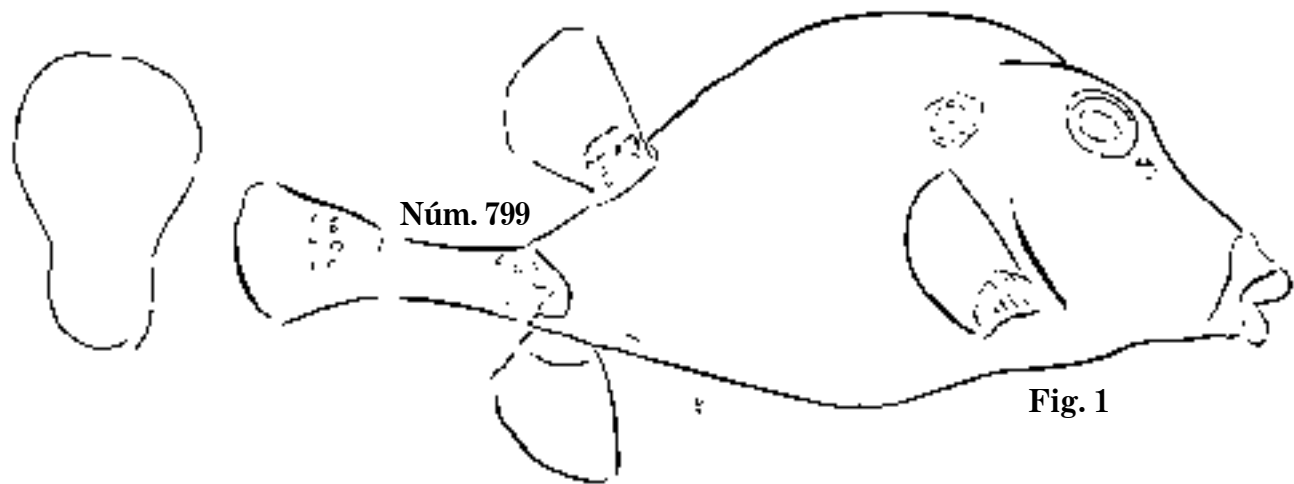


Fig. 1 *Ostracion*. C. 294 mm; D.; A.

Fig. 2 *O. heteronotus*, 1875. C. 189 mm; D. 10; A. 10; chapín.

Lám. 495



Núm. 269



Fig. 1



Núm. 694



Fig. 2



Núm. 730

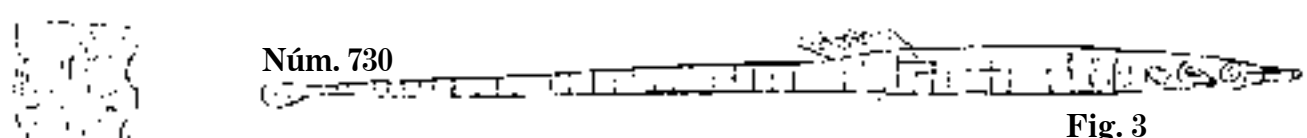


Fig. 3



Núm. 527



Fig. 4

Núm. 743



Fig. 5



Núm. 517



Fig. 6

Fig. 1 *Syngnathus elucens*. P. 168 mm; D.; A.

Fig. 2 *S. umbrrosus*, 1876. C. 182 mm; D. 24-25?; A.

Fig. 3 *S. antecedens*. C. 154 mm; D. 20?; A.

Fig. 4 *S. flavirostris*, 1877. P. 162 mm; D. 30?; A.

Fig. 5 *S. picturatus*. P. 119 mm; D. 25 a 30; A.

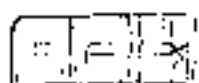
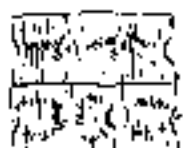
Fig. 6 *S. linea*, 1877. P. 155 mm; D. 25; A.; S.N.C.

Lám. 496

Núm. 695



Fig. 1



Núm. 569

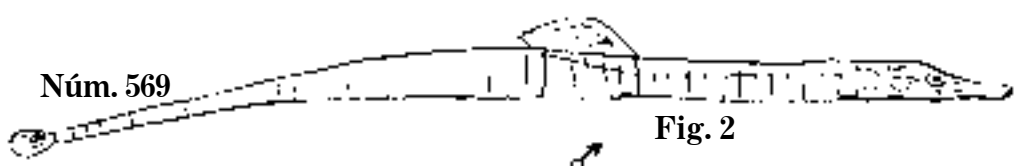
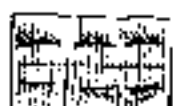
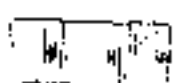


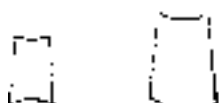
Fig. 2



Núm. 685



Fig. 3



Núm. 128

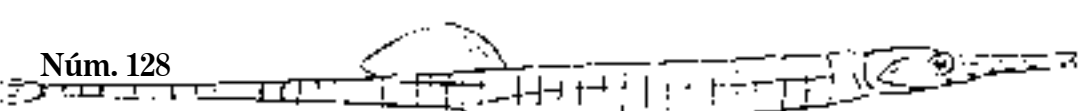
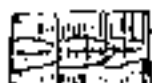


Fig. 4



Núm. 128



Fig. 5



Fig. 1 *Syngnathus marmoreus*, 1870? P. 126 mm; D. 24; A.

Fig. 2 *S. ascendens*. P. 126 mm; D.; A.

Fig. 3 *S. brachycephalus*, 1862. D.; A.

Fig. 4 *Dorichthys lineatus*. P. 135 mm; D.; A.

Fig. 5 *D. lineatus*. D.; A.; S.N.C.

Lám. 497

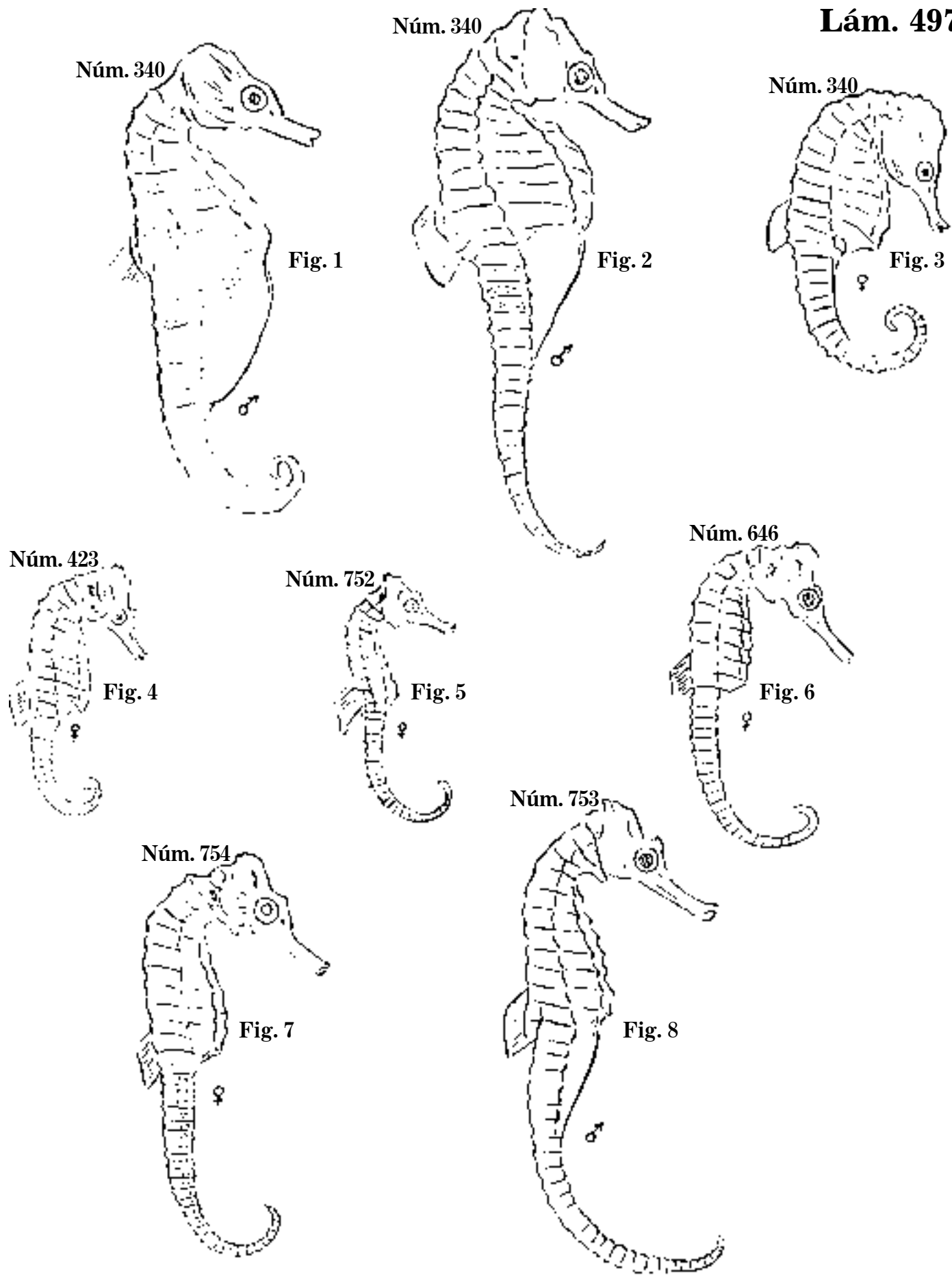


Fig. 1 *Hippocampus punctulatus*. D.; A.

Fig. 2 *H. punctulatus*, 1877. D.; A.

Fig. 3 *H. punctulatus*. D.; A.

Fig. 4 *Hippocampus*, 1877. P. 92 mm; D.; A.

Fig. 5 *Hippocampus*, 1877. P. 82 mm; D.; A.

Fig. 6 *Hippocampus*, 1877. P. 111 mm; D.; A.

Fig. 7 *Hippocampus*, 1877. D.; A.

Fig. 8 *Hippocampus*, 1877. D.; A; caballito de la mar.

Lám. 498

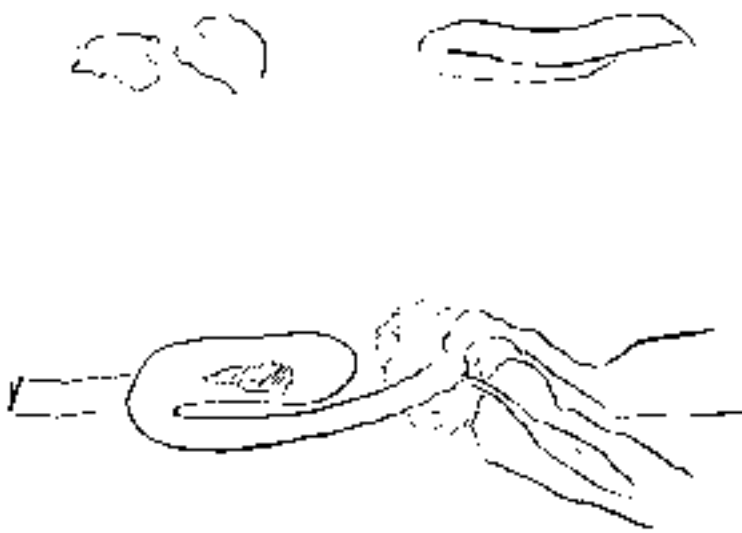
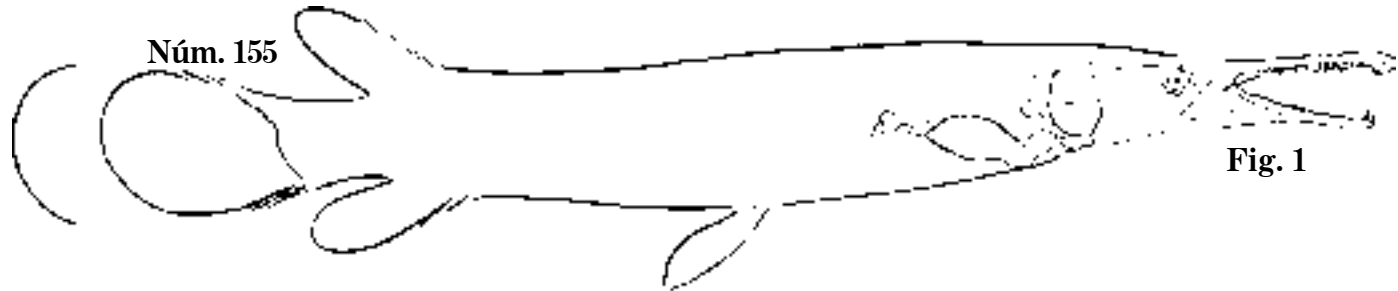
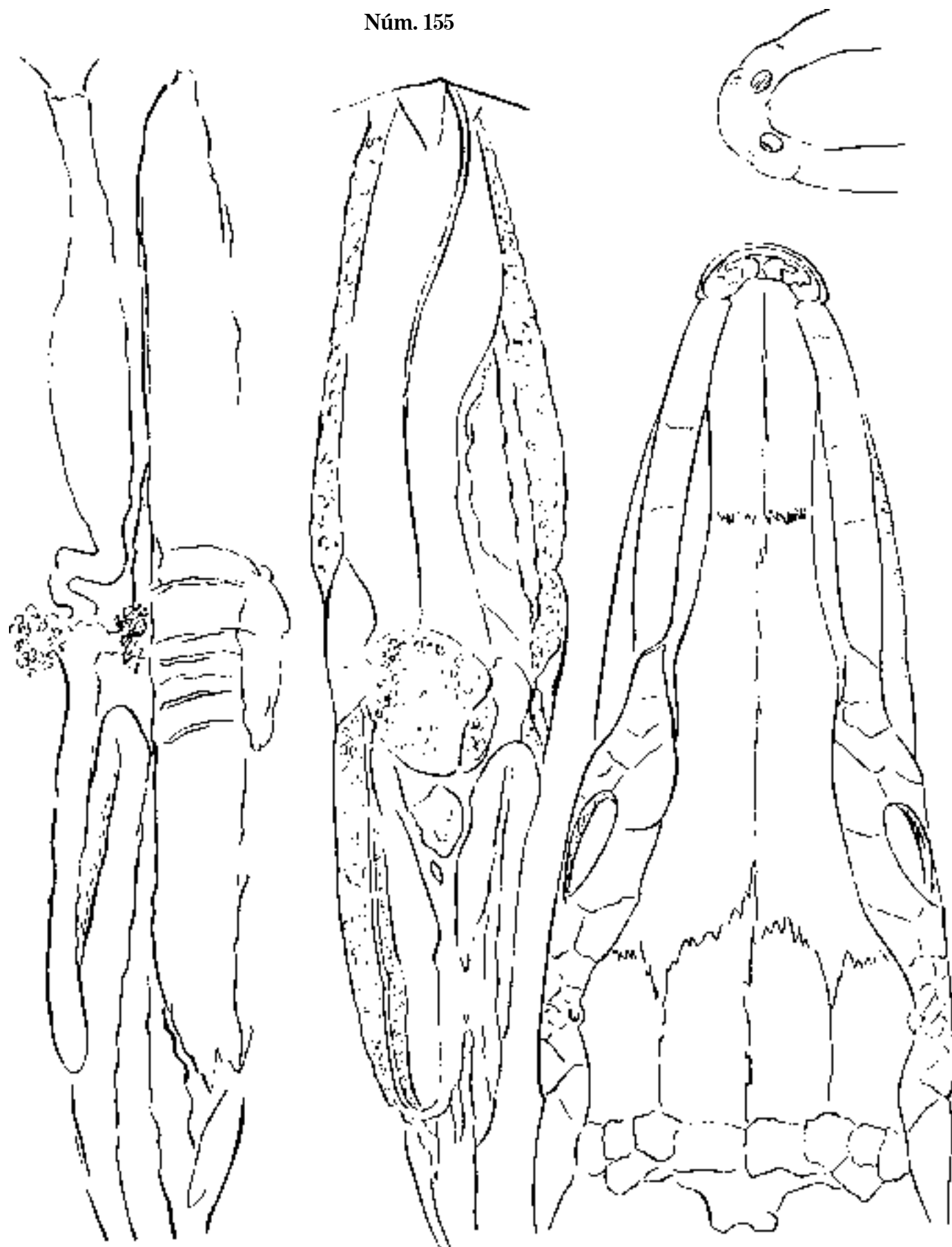


Fig. 1 *Atractosteus tristoechus*. C. 602 mm; D. 8; A. 8.
Fig. 2 *A. tristoechus*. C. 632 mm; D.; A.; manjuarí.

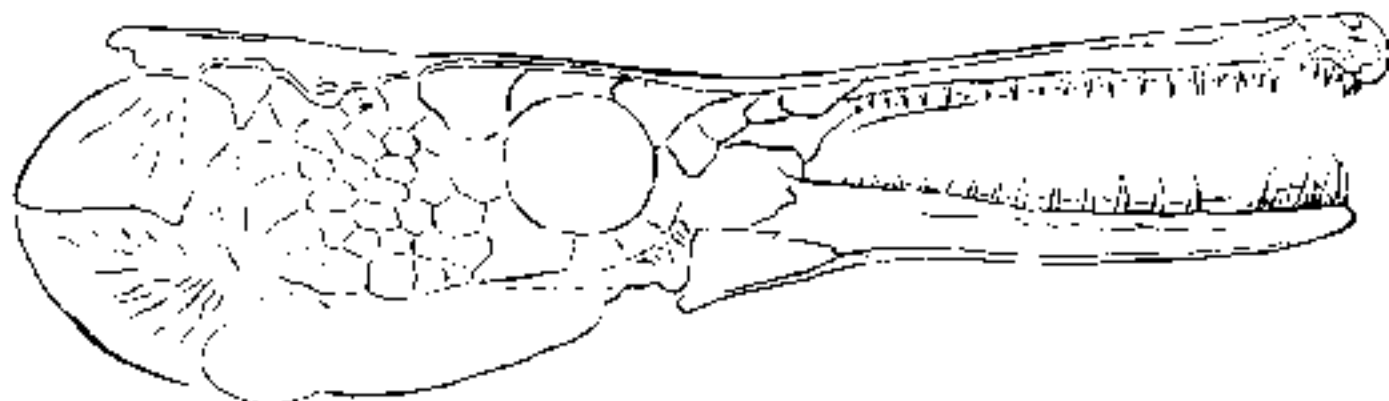
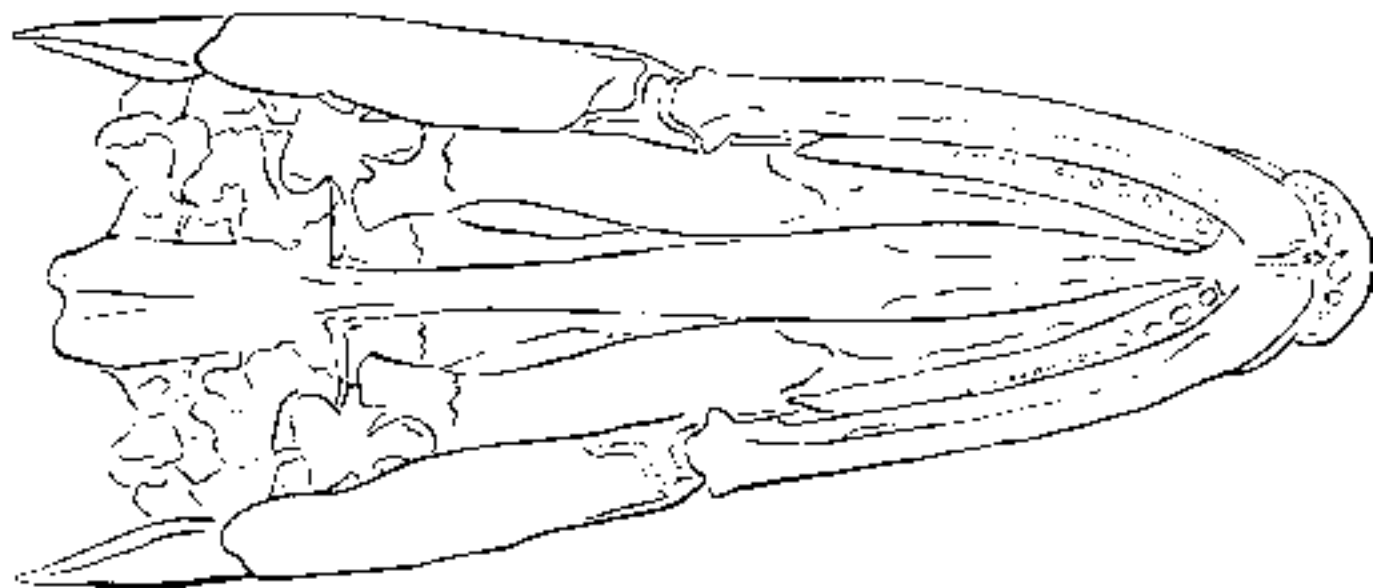
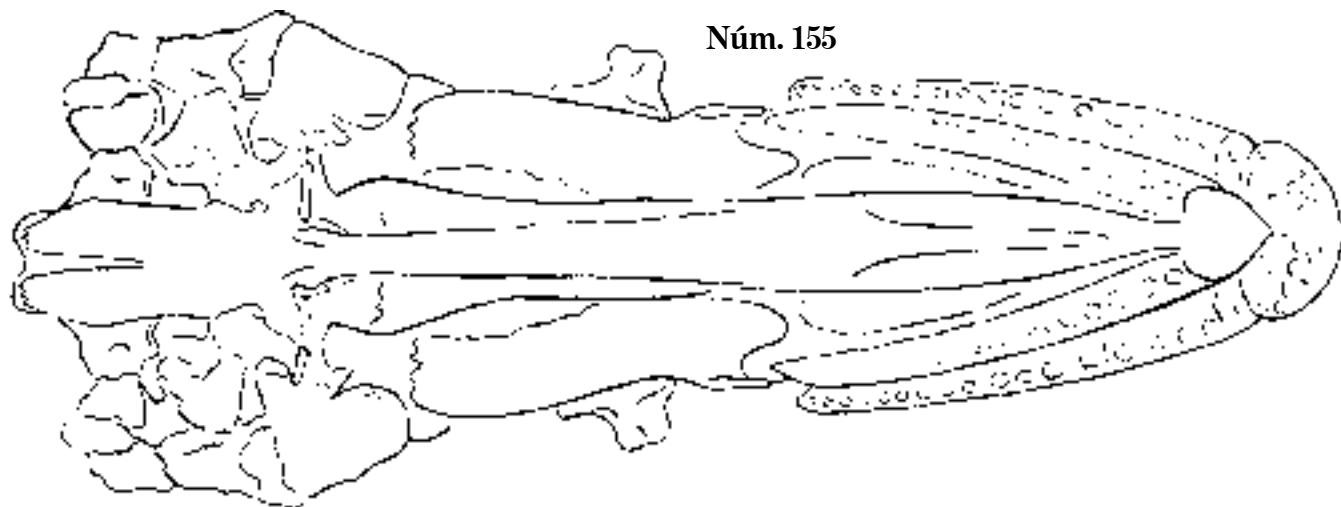
Núm. 155



Atractosteus tristoechus. Osteología y órganos; manjuarí.

Lám. 500

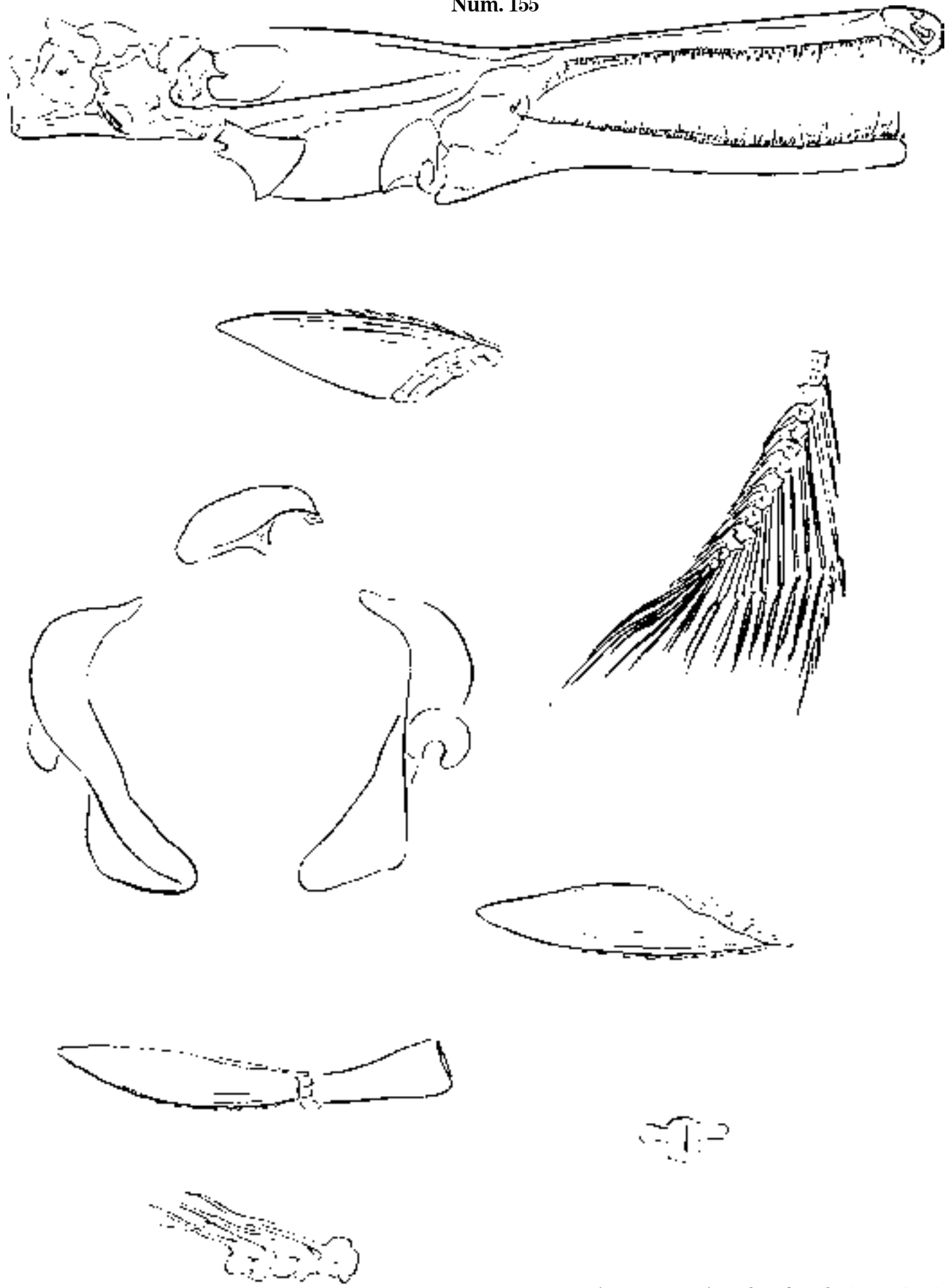
Núm. 155



Atractosteus tristoechus. Osteología; manjuarí.

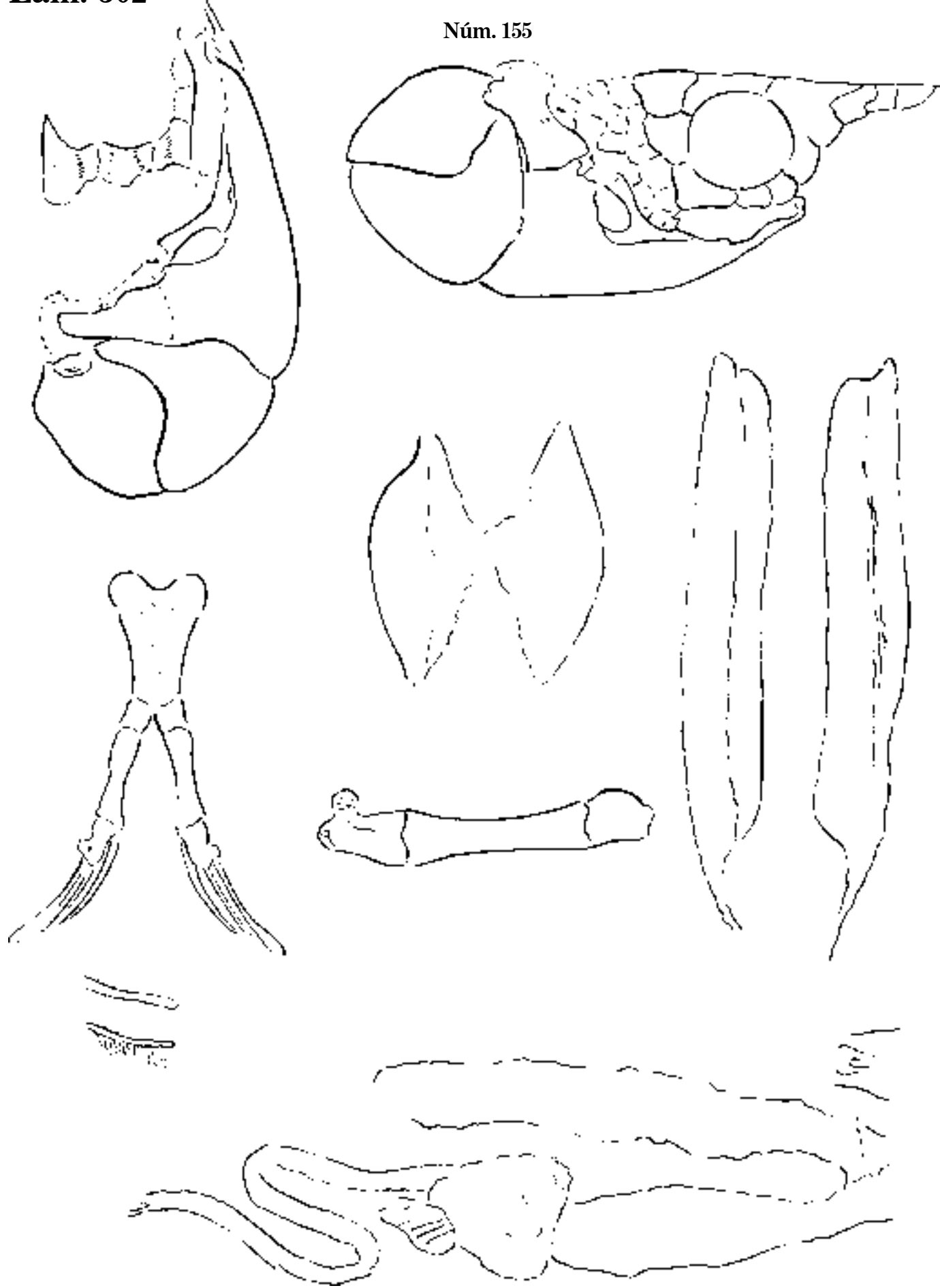
Lám. 501

Núm. 155



Atractosteus tristoechus. Osteología; manjuarí.

Lám. 502



Atractosteus tristoechus. Osteología y órganos; manjuarí.

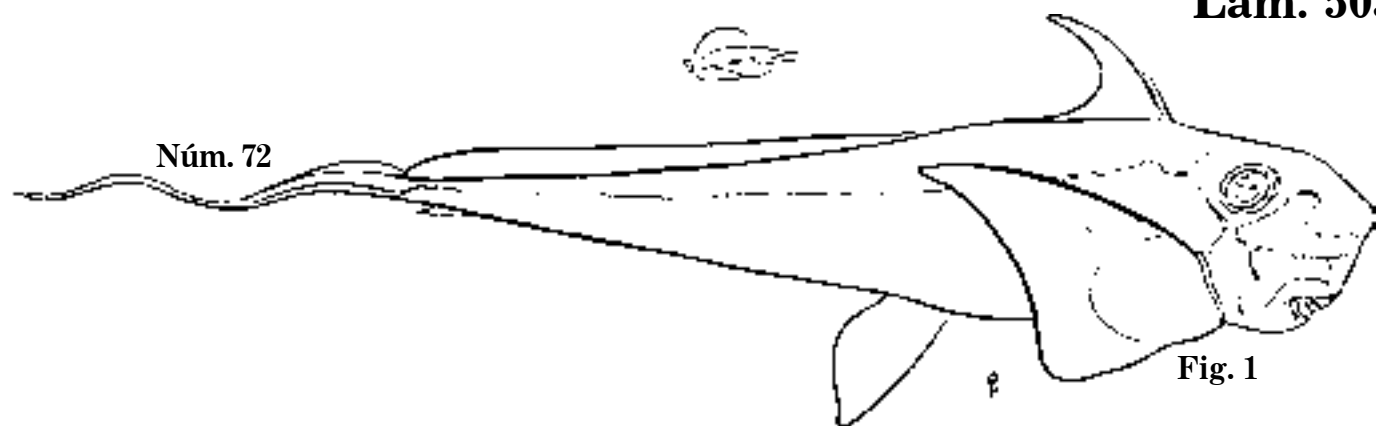


Fig. 1

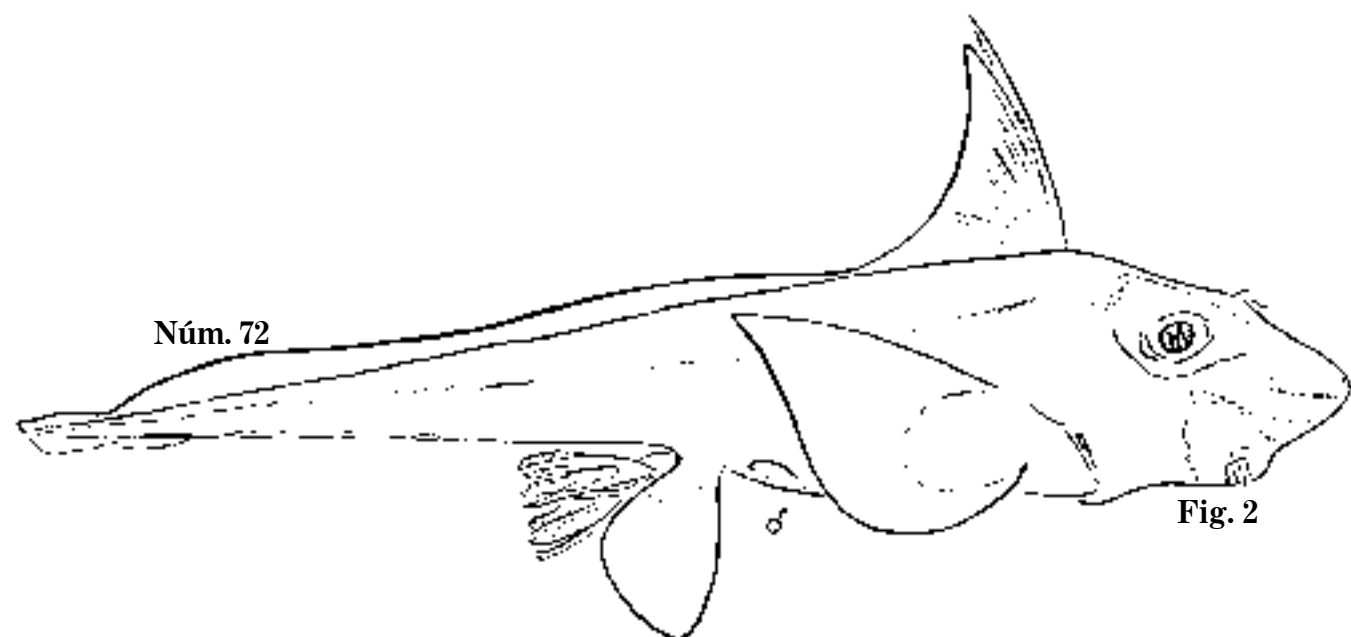


Fig. 2

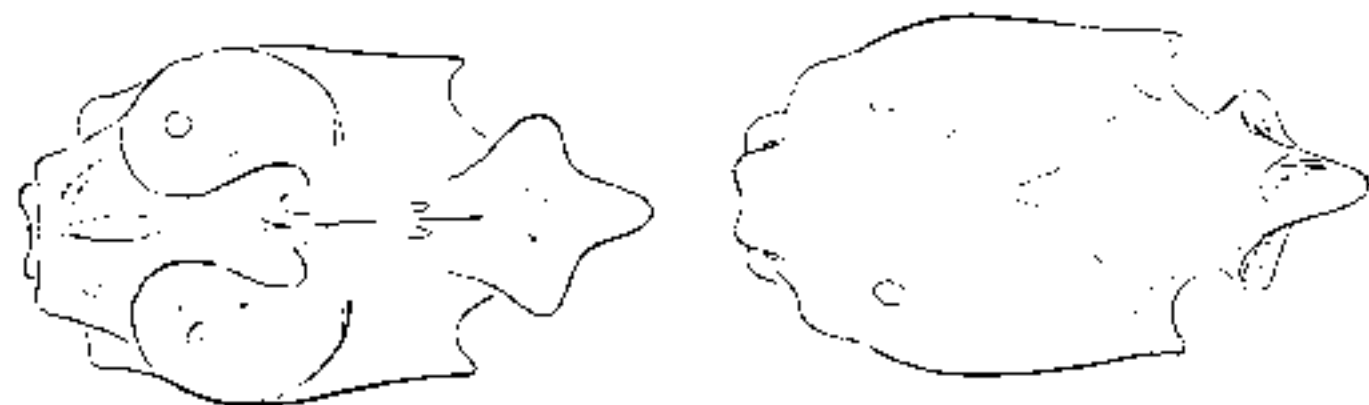


Fig. 1 *Chimaera tropica*, 1865. C. 853 mm; D. 15?, 400; A.

Fig. 2 *Ch. tropica*, 1876. P. 875 mm; D. 10, 500?; A; conejo de lo alto.

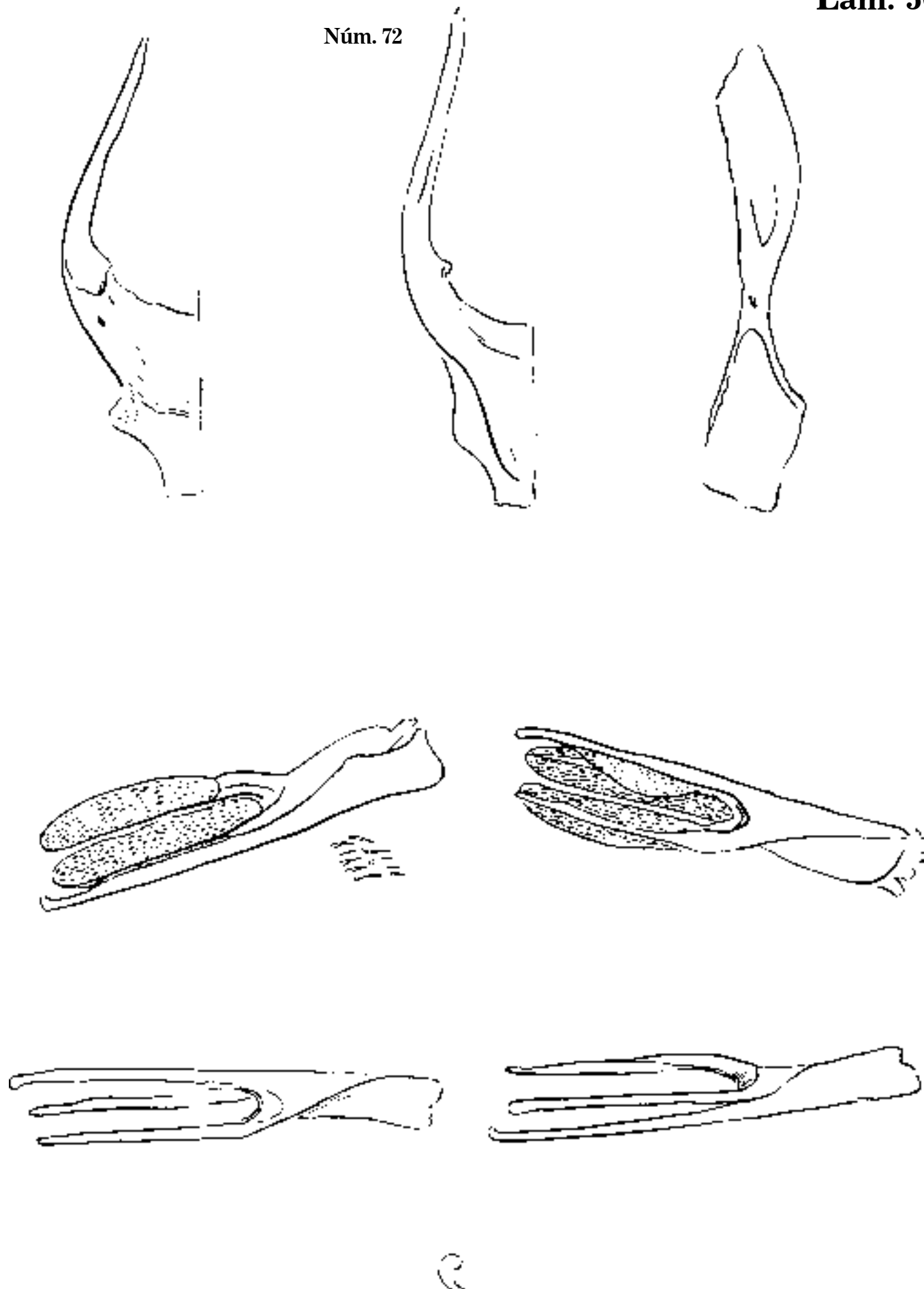
Lám. 504

Núm. 72



Chimaera tropica. Osteología; conejo de lo alto.

Núm. 72



Chimaera tropica. Osteología; conejo de lo alto.

Lám. 506

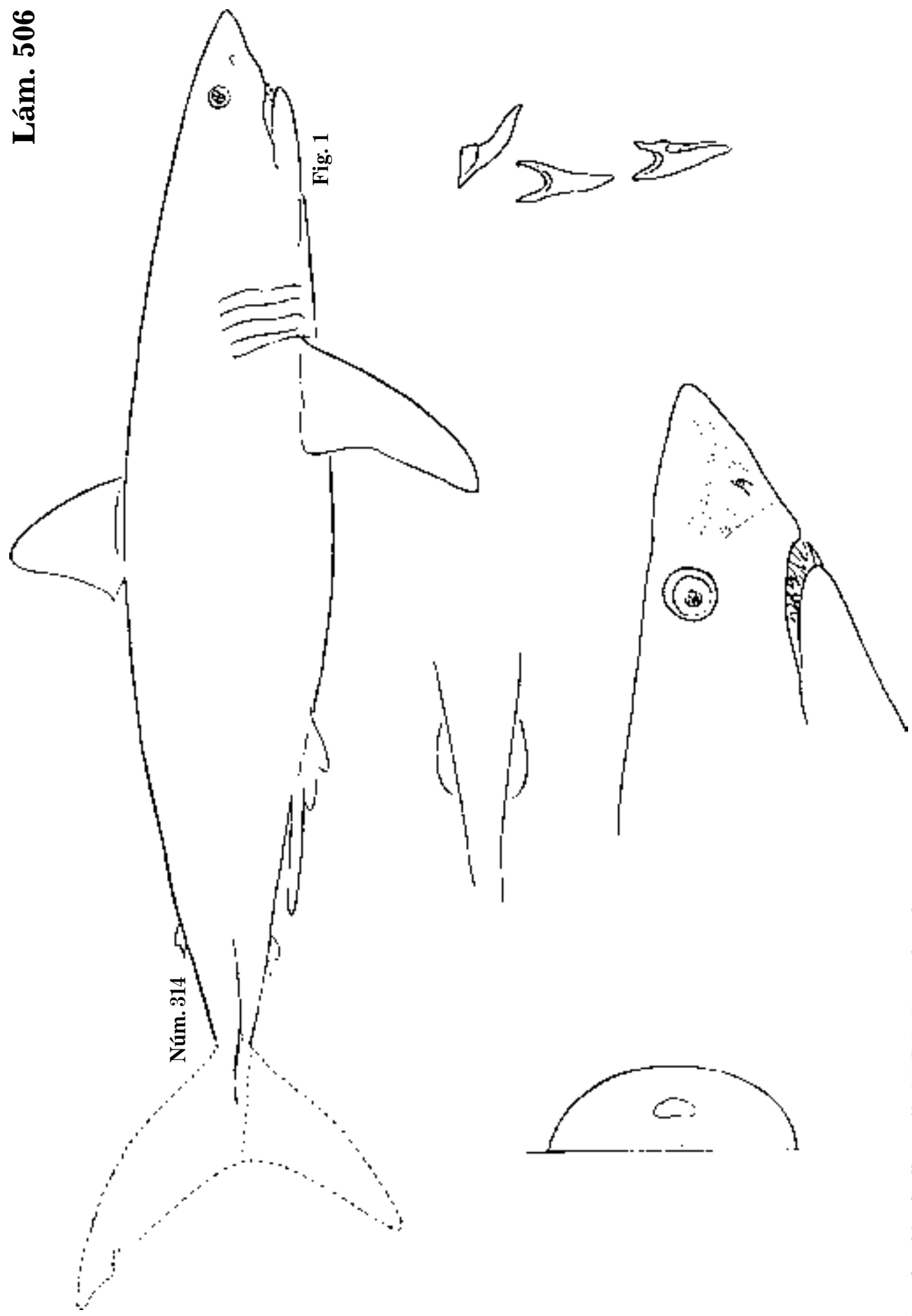
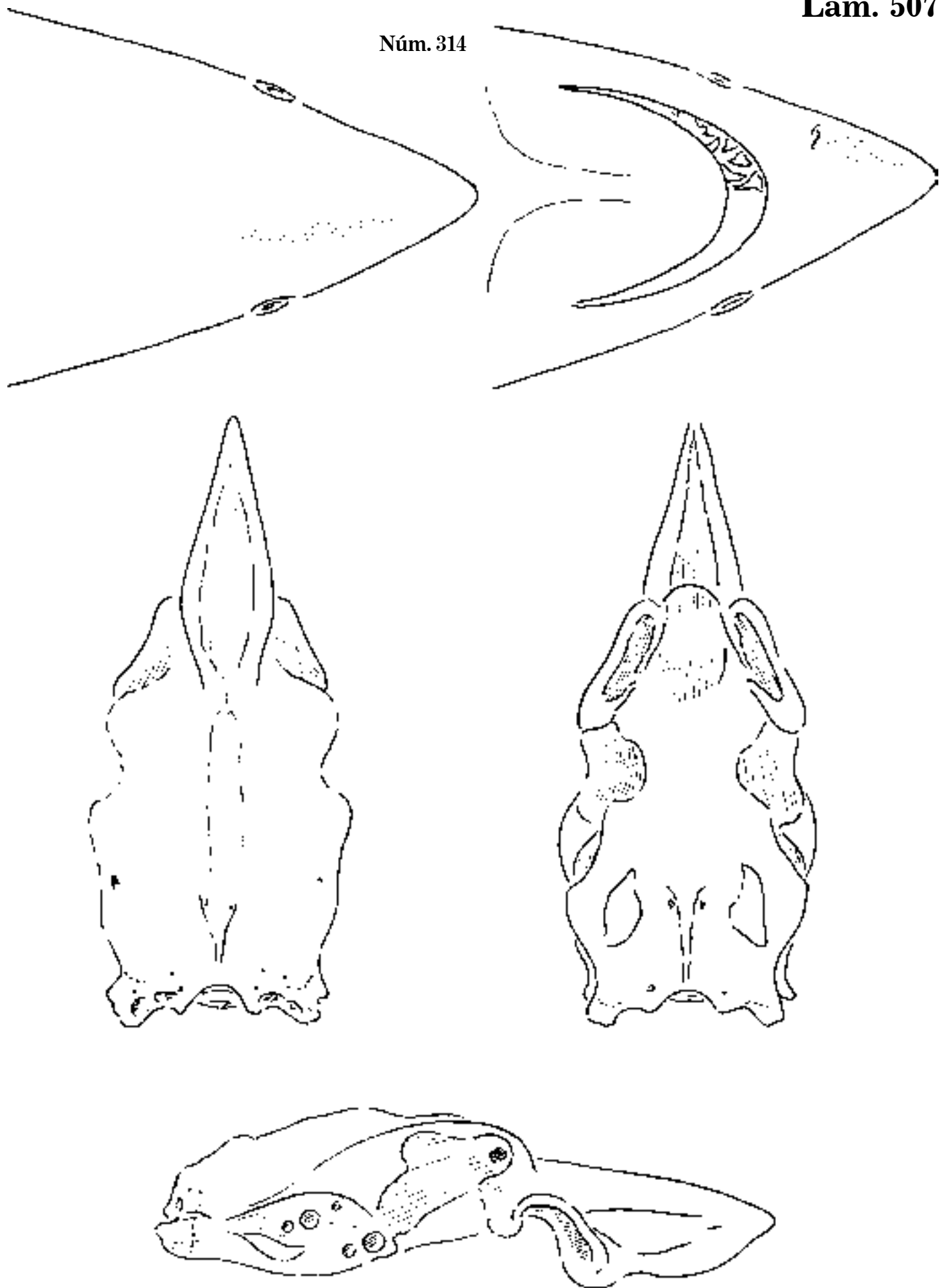


Fig. 1 *Oxyrhina Spallanzani*, 1865. P. 2 585 mm; dentudo.

Núm. 314



Oxyrhina Spallanzanii. Cabeza y esqueleto; dentudo.

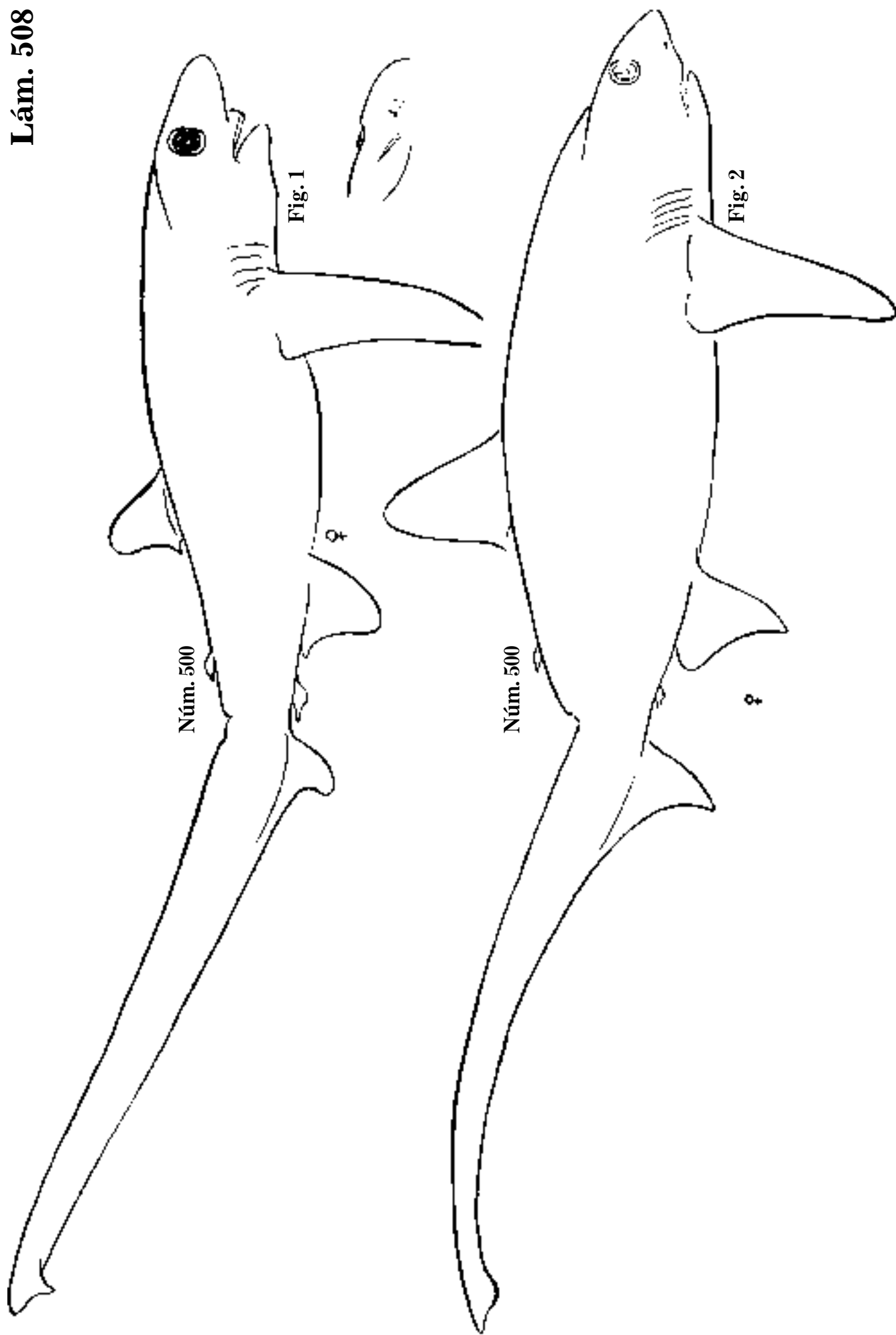


Fig. 1 *Alopias vulpes*, 1864. P. 1. 1550 mm (feto).

Fig. 2 *A. vulpes*, 1872. P. 4. 410 mm; zorro.

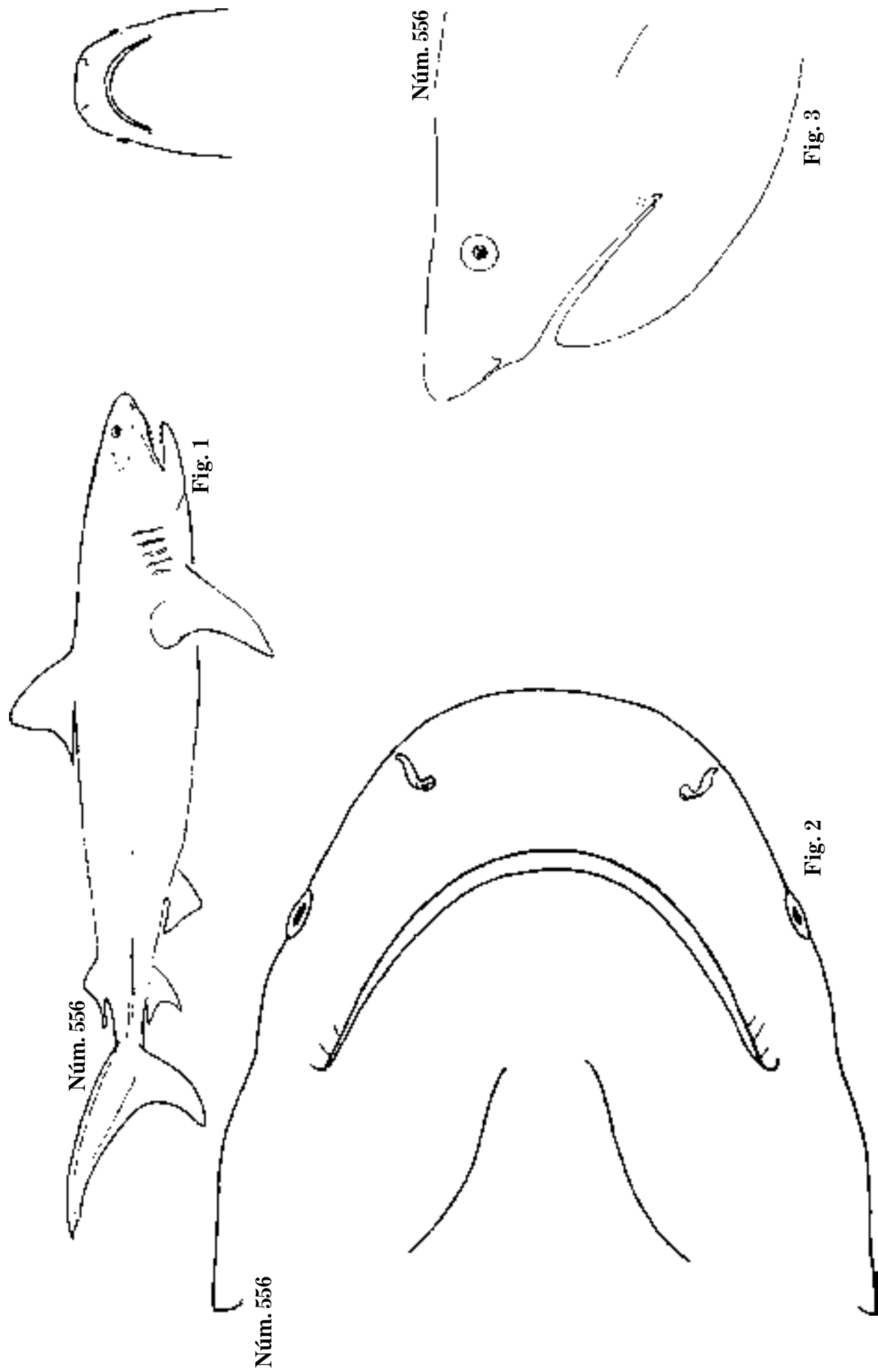


Fig. 1 *Galeocerdo maculatus*. P. 3 560 mm.

Fig. 2 *G. maculatus*. Cabeza.

Fig. 3 *G. maculatus*. Cabeza; alecrín.

Lám. 509

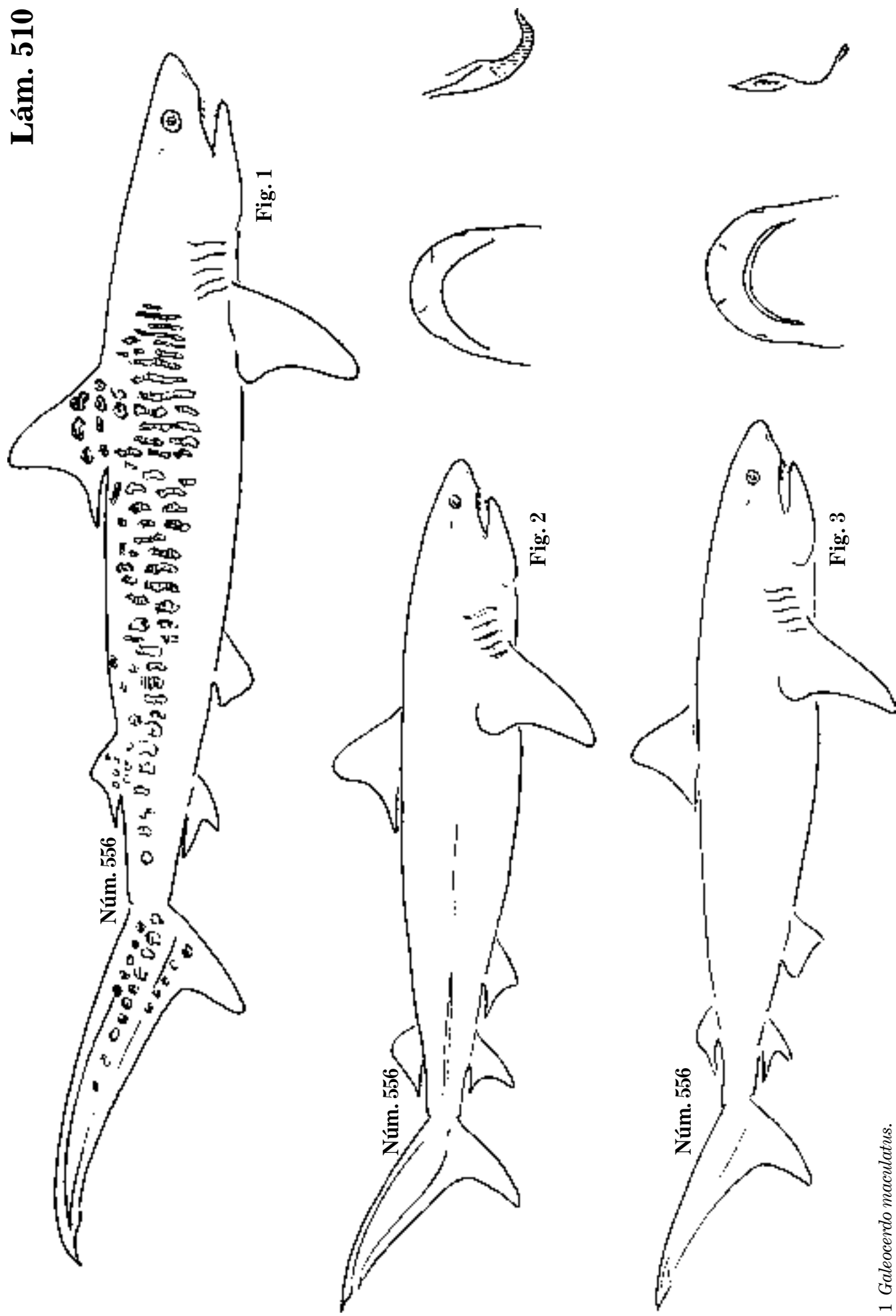


Fig. 1 *Galeocerdo maculatus*.

Fig. 2 *G. maculatus*, 1864. P. 3 440 mm.

Fig. 3 *G. maculatus*, 1864; P. 3 550 mm; alecrín.

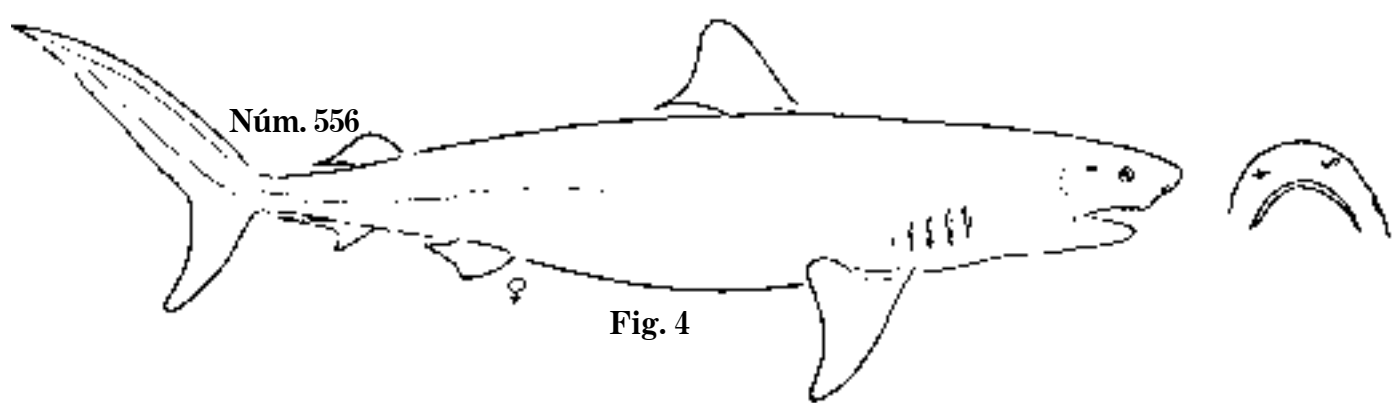
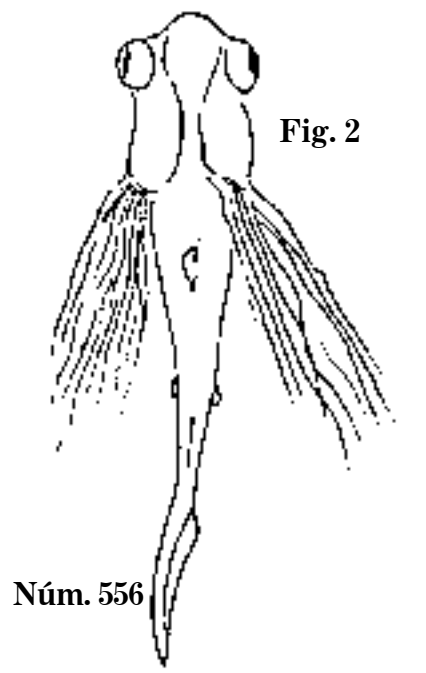
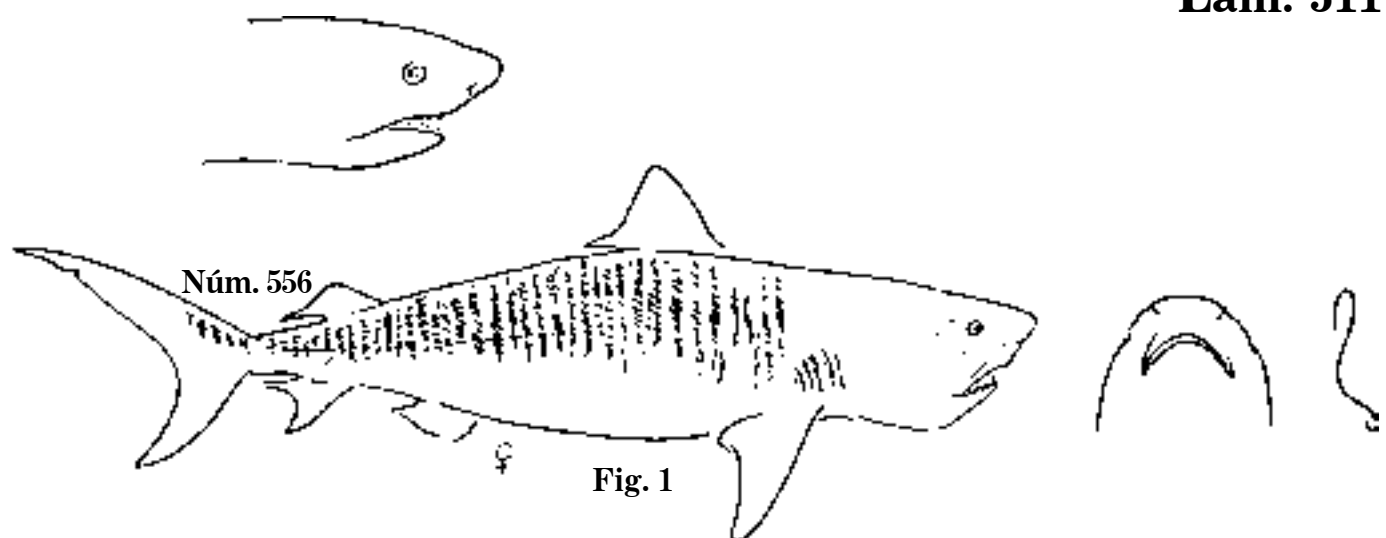


Fig. 1 *Galeocerdo maculatus*.
Fig. 2 *G. maculatus*. Embrión.
Fig. 3 *G. maculatus*. Embrión.
Fig. 4 *G. maculatus*, 1863. P. 3312 mm; alecrín.

Lám. 512

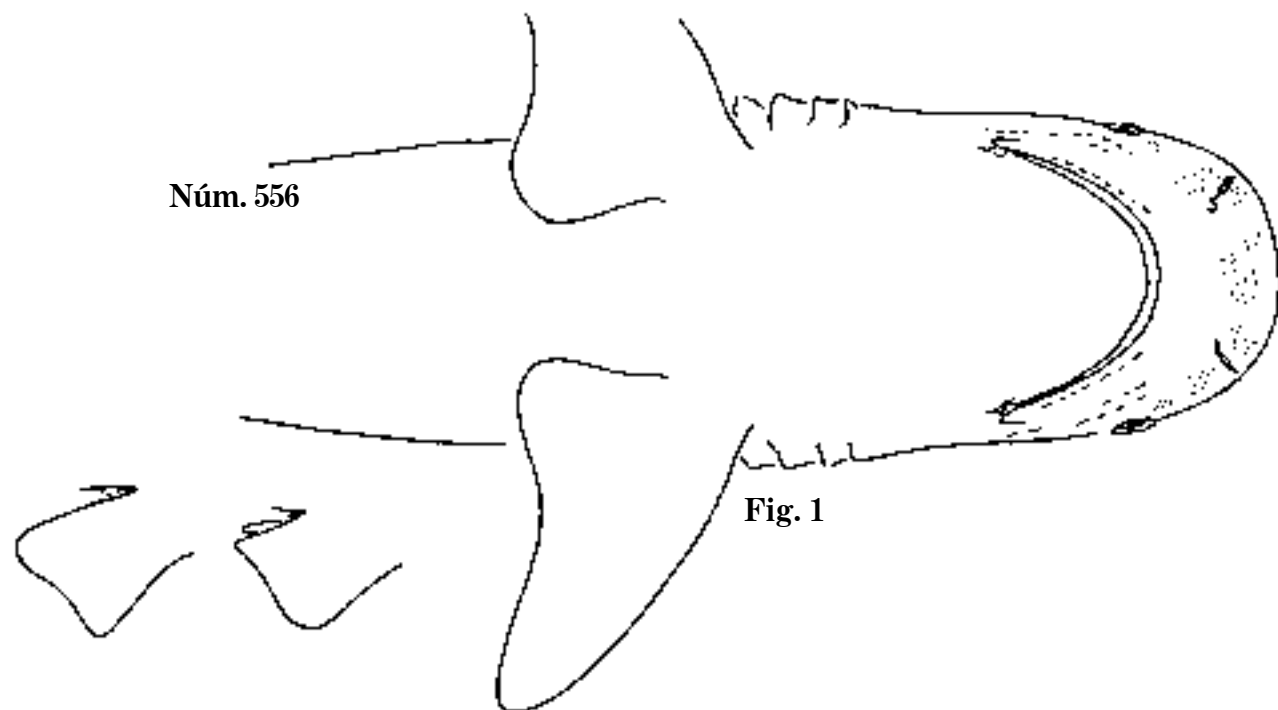


Fig. 2

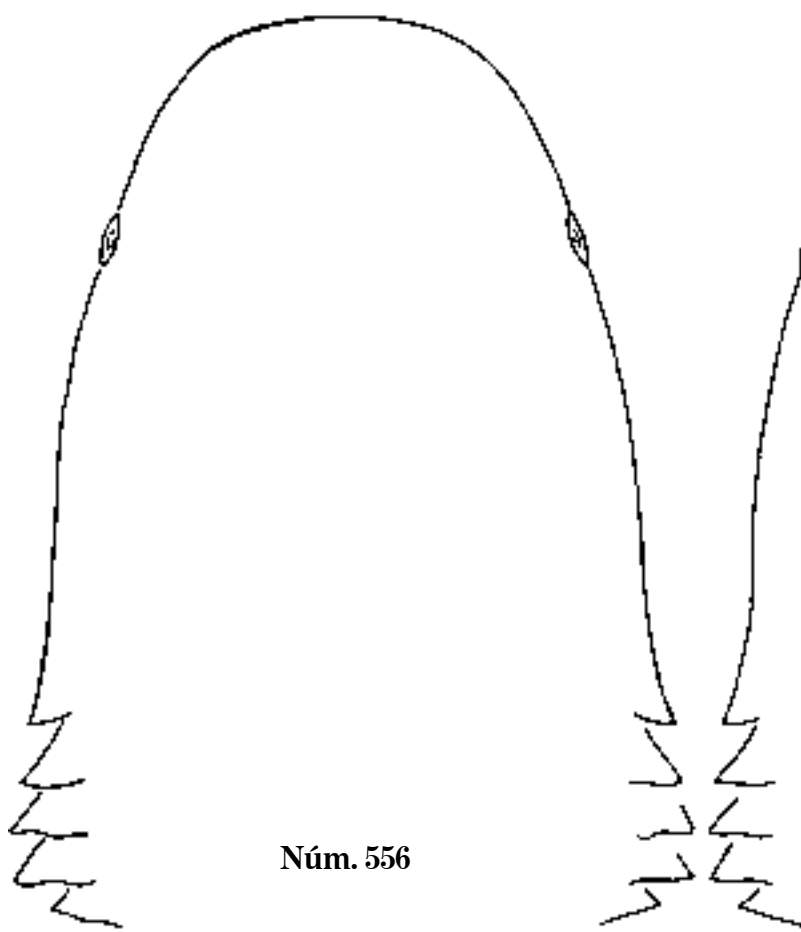


Fig. 3

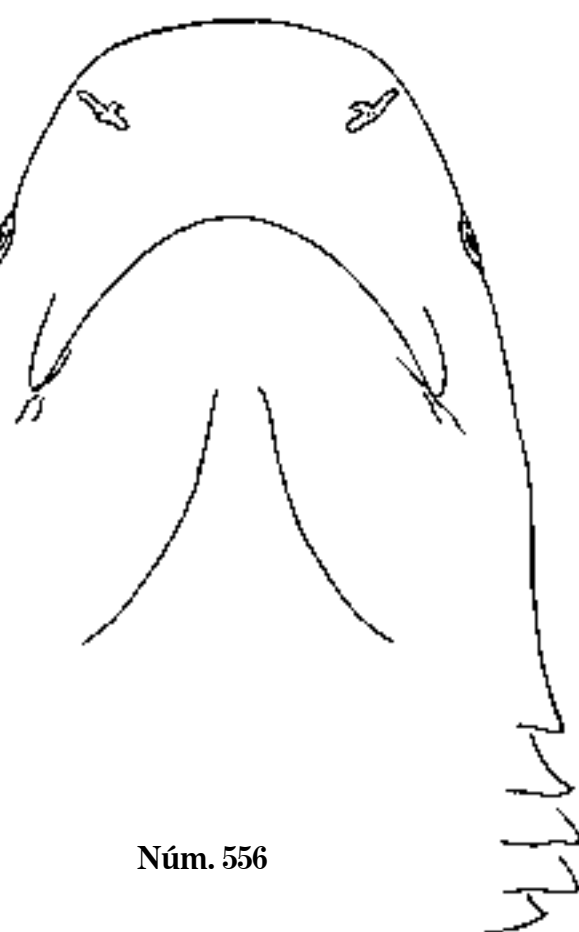


Fig. 1 *Galeocerdo maculatus*. Cabeza. Vista inferior.

Fig. 2 *G. maculatus*. Cabeza. Vista superior.

Fig. 3 *G. maculatus*. Cabeza. Vista inferior; alecrín.

Lám. 513

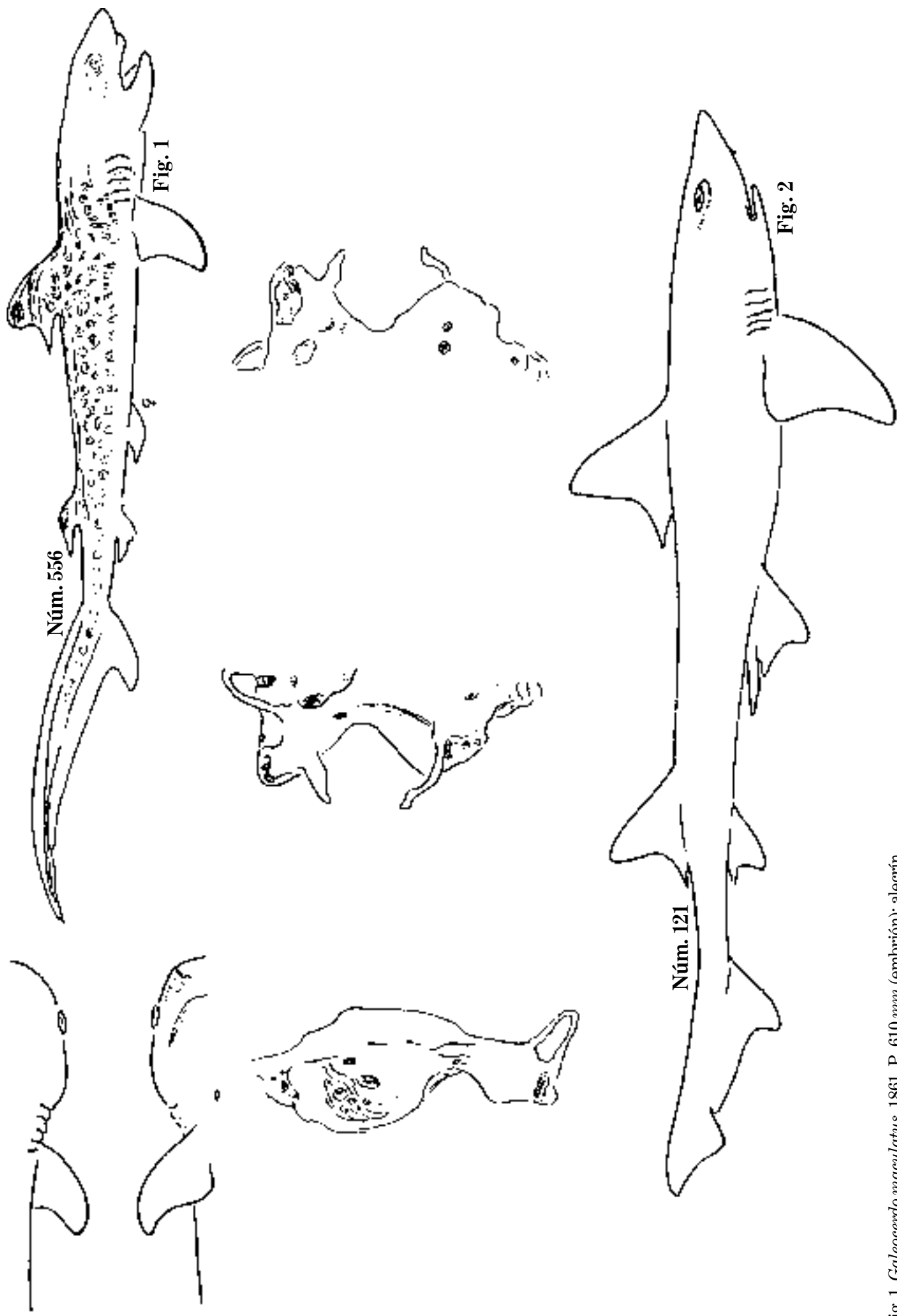


Fig. 1 *Galeocerdo maculatus*, 1861. P. 610 mm (embrión); alecrín.

Fig. 2 *Mustelus canis*, 1880. Bocadulce.

Lám. 514

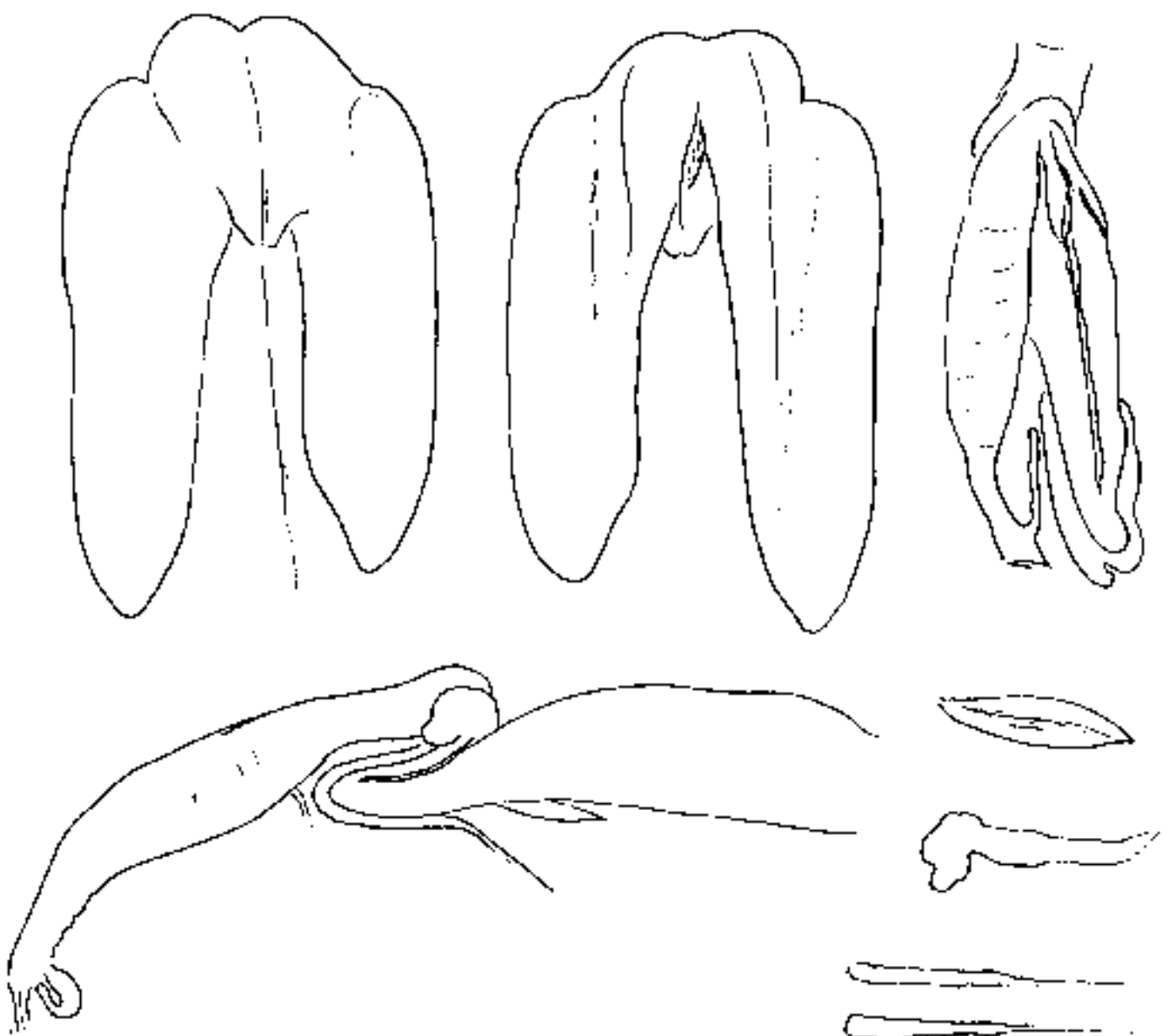
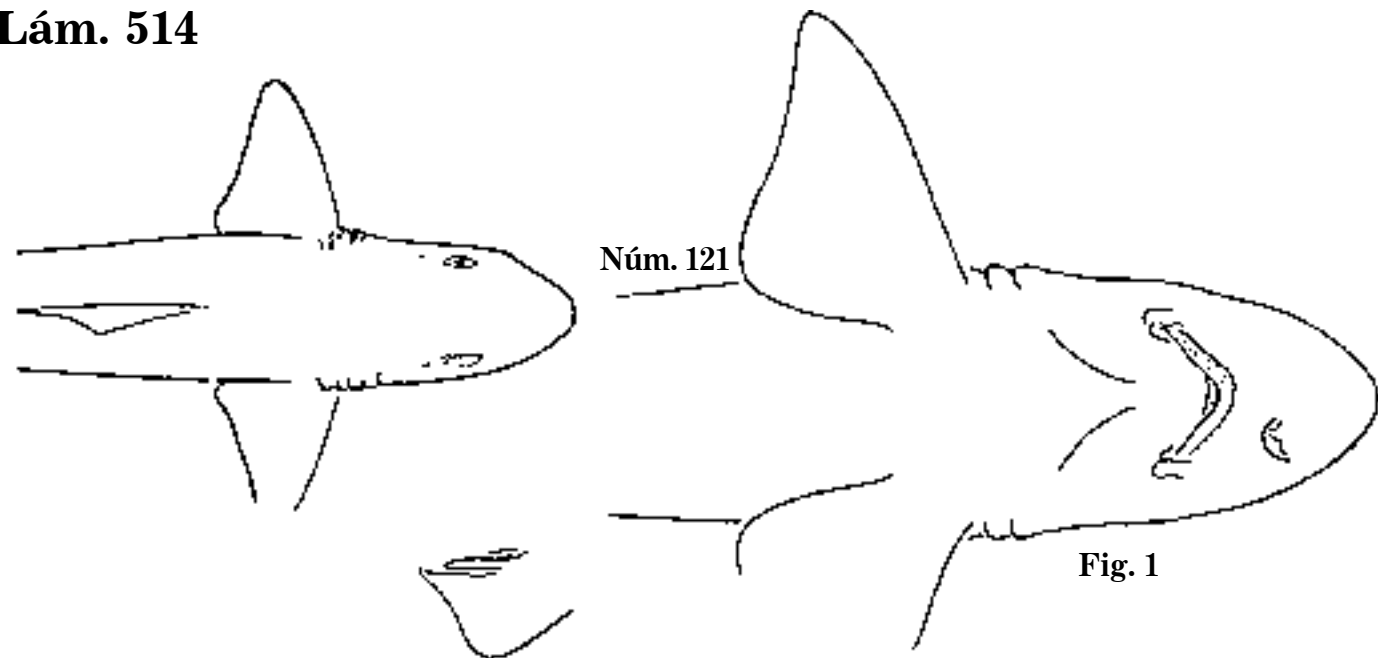
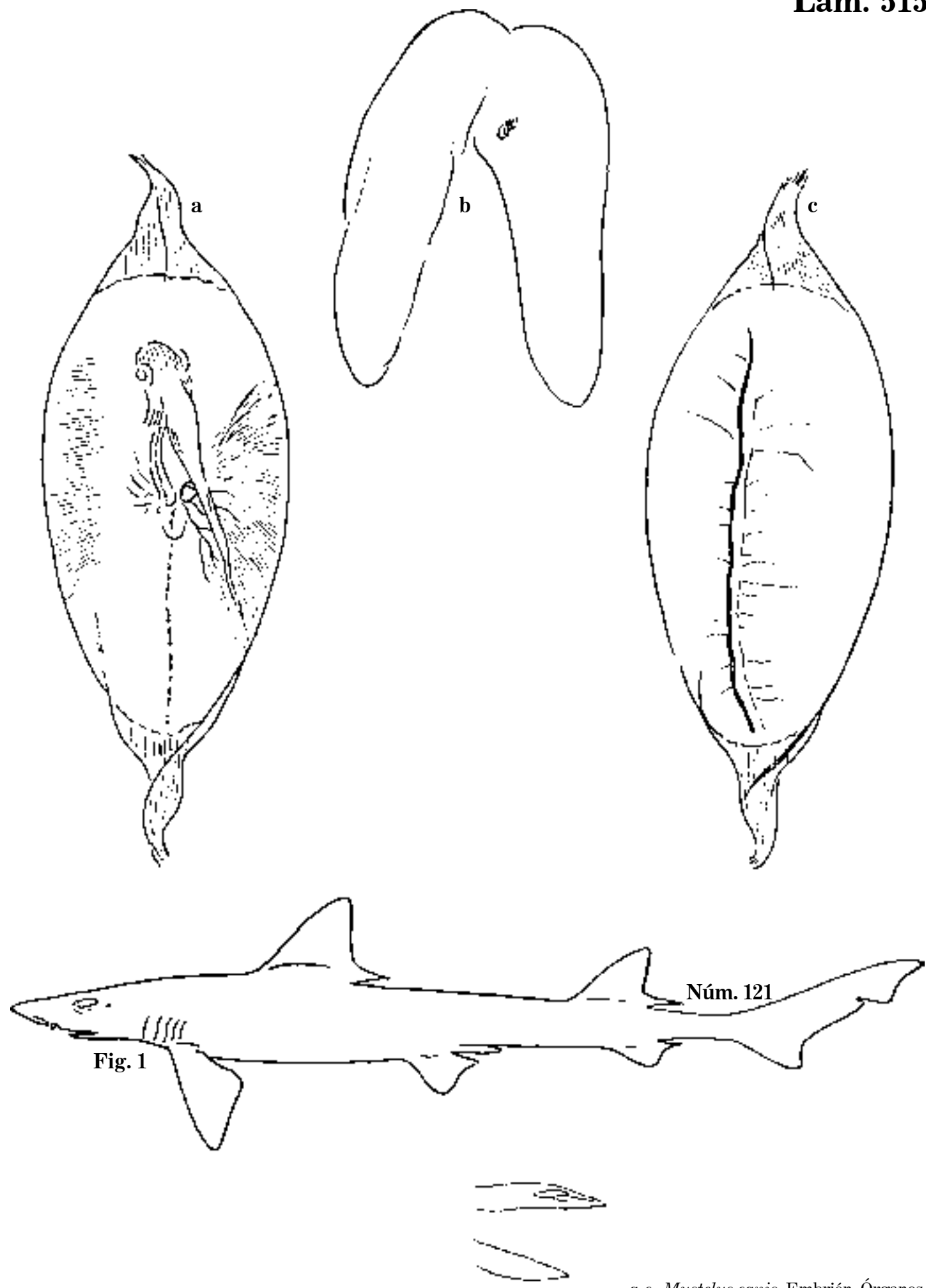


Fig. 1 *Mustelus canis*. Cabeza y órganos; bocadulce.



*a-c. Mustelus canis. Embrión. Órganos.
Fig. 1 M. canis. Bocadulce.*

Lám. 516

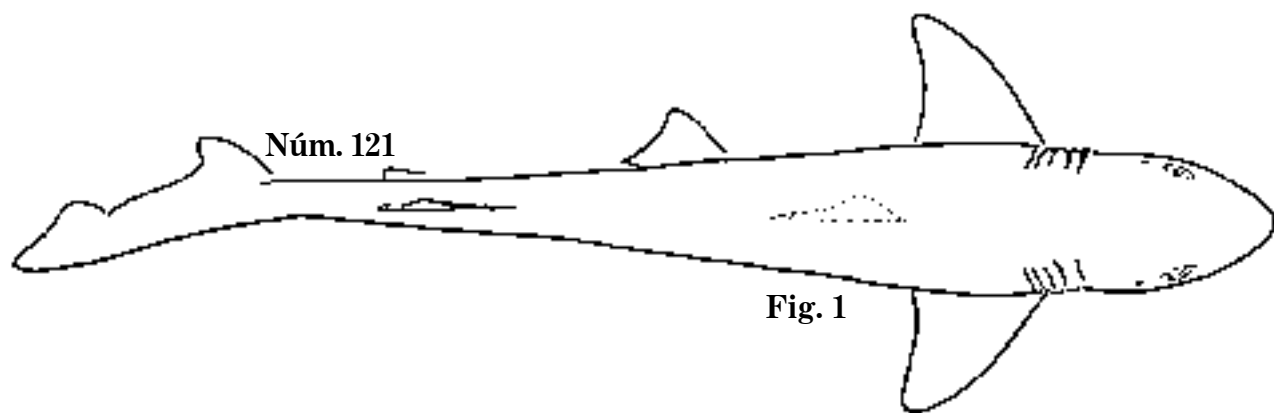


Fig. 1

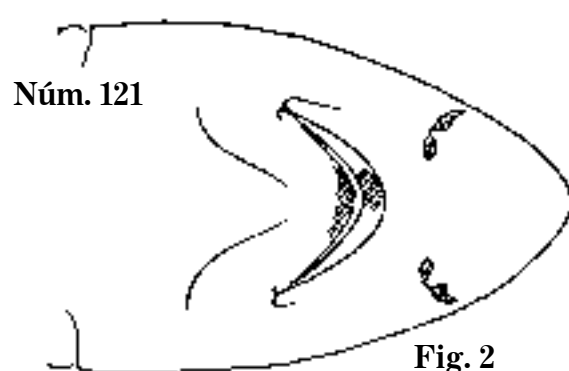


Fig. 2

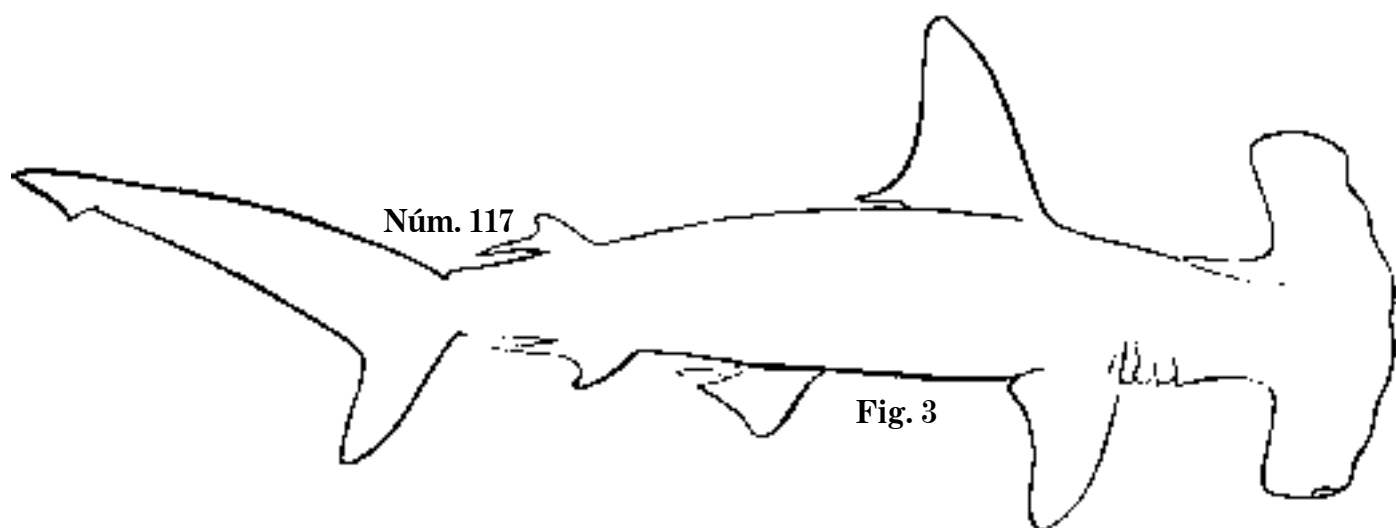


Fig. 3

Fig. 1 *Mustelus canis*, 1880.

Fig. 2 *M. canis*. Cabeza; bocadulce.

Fig. 3 *Cestracion zygaena*. Cornuda.

Lám. 517

Fig. 2

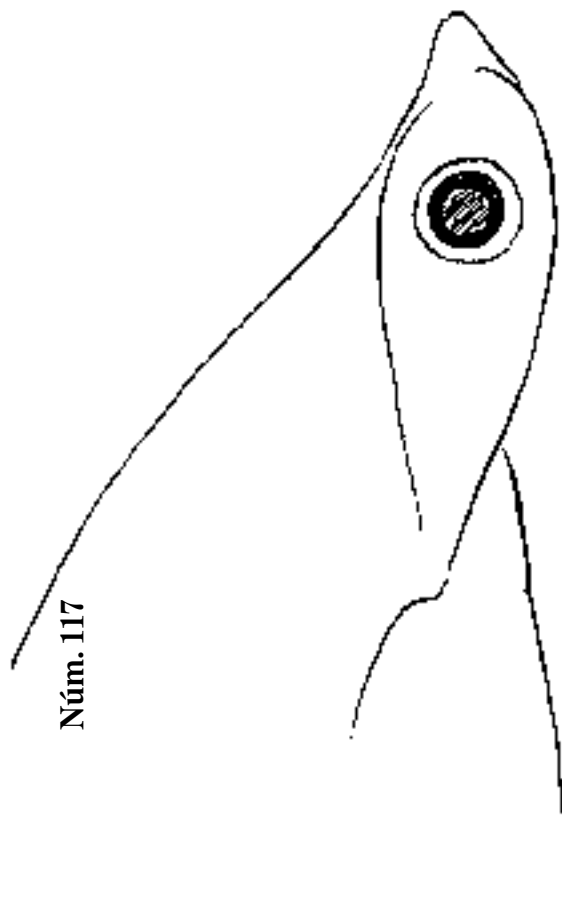


Fig. 1

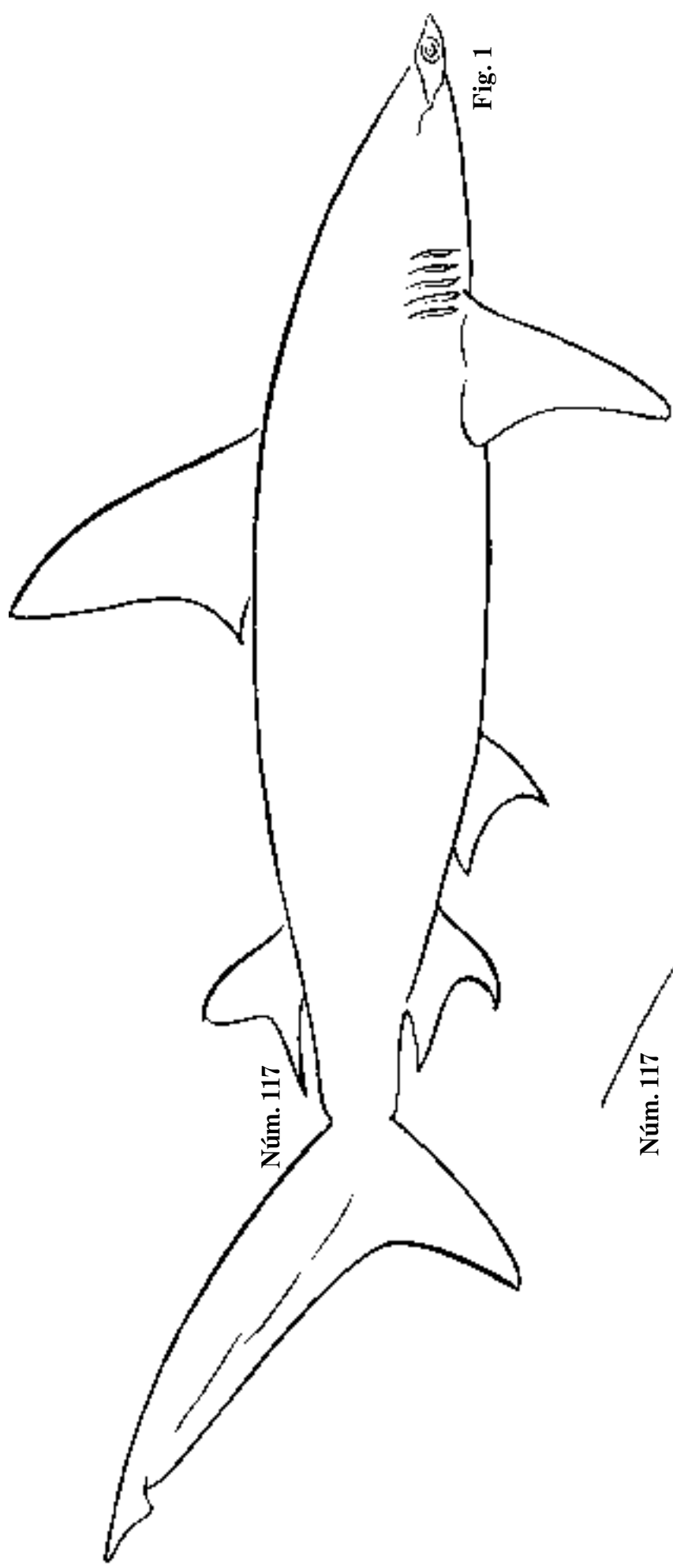


Fig. 1 *Cestracion zygaena*, 1870.
Fig. 2 *C. zygaena*, 1872. Cornuda.

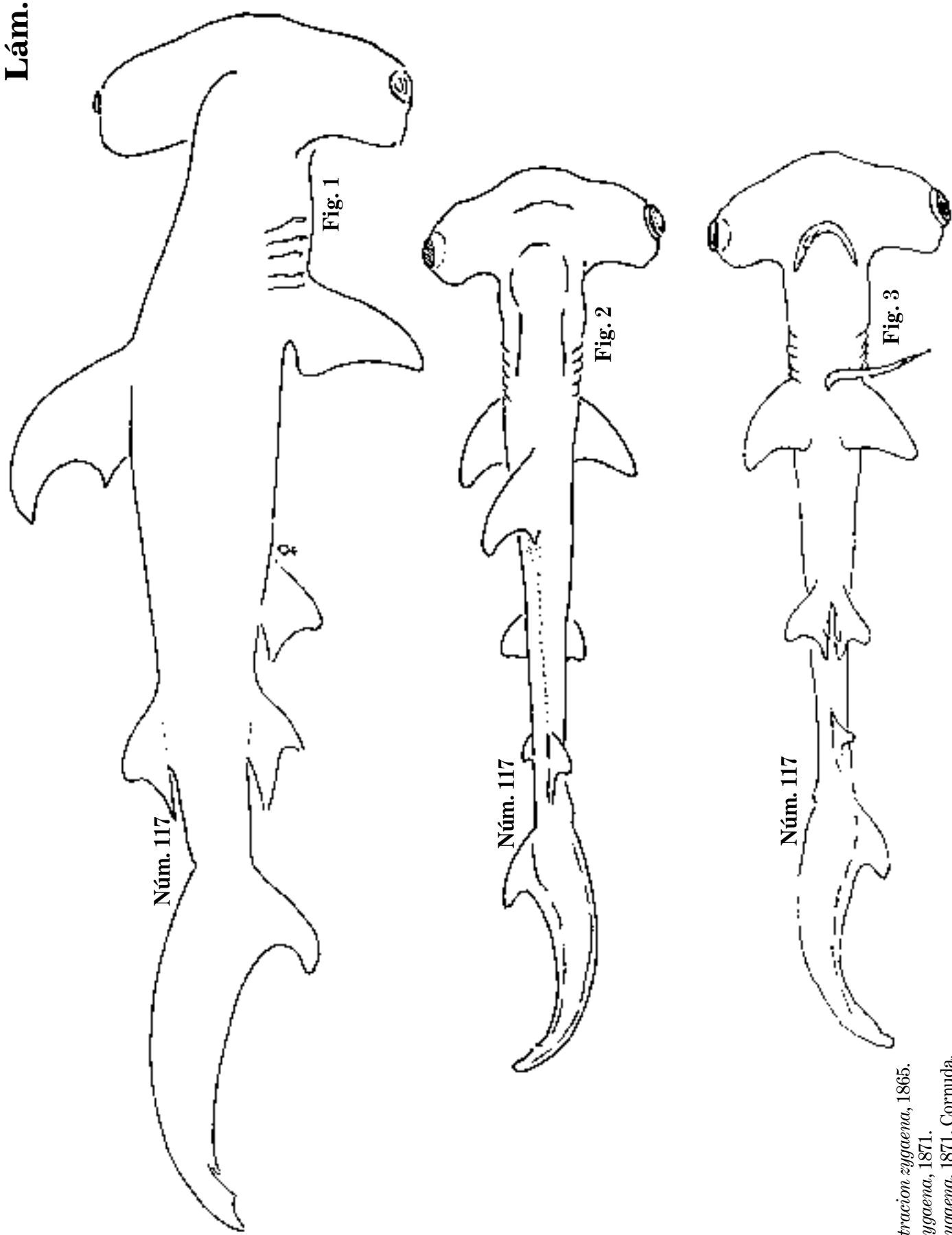


Fig. 1 *Cestracion zygaena*, 1865.

Fig. 2 *C. zygaena*, 1871.

Fig. 3 *C. zygaena*, 1871. Cornuda.

Lám. 519

Núm. 117

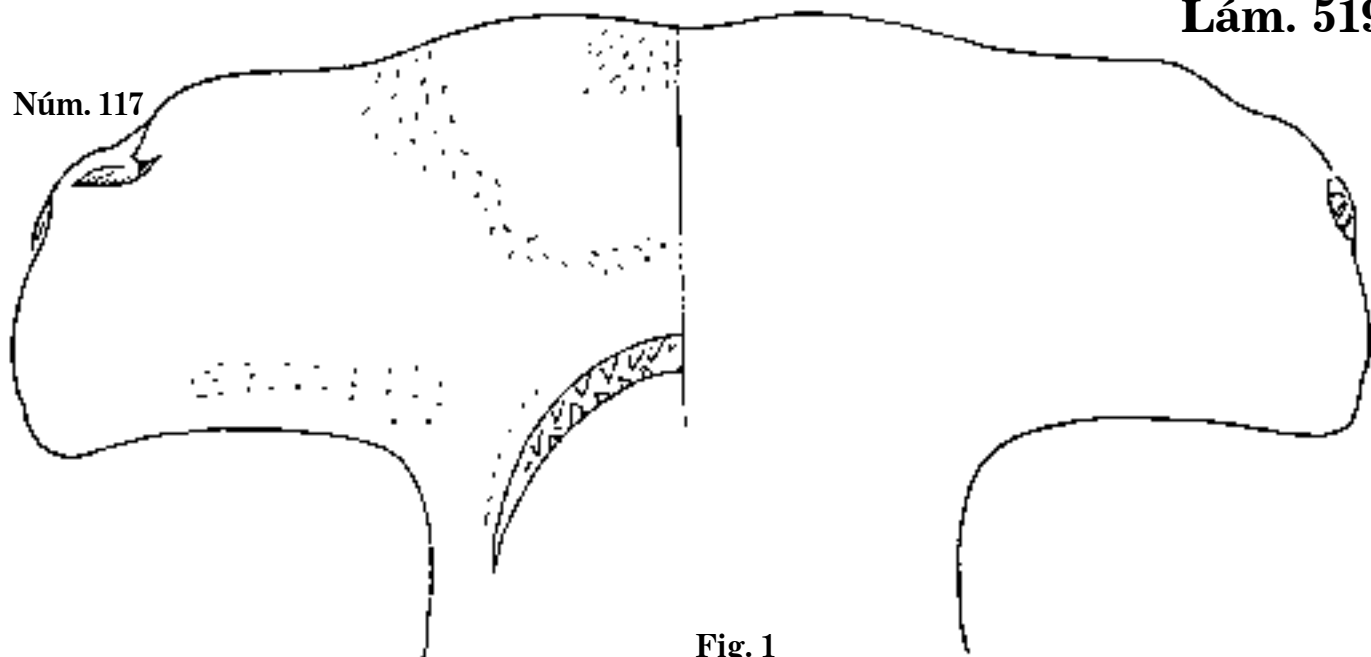


Fig. 1

Núm. 117

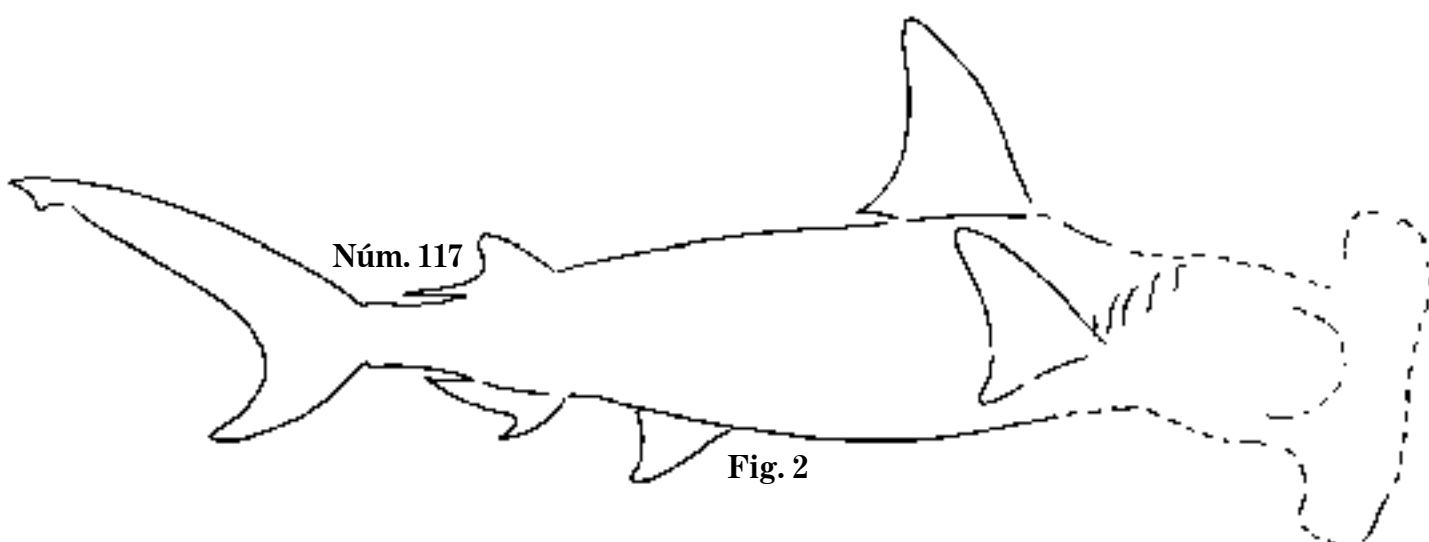


Fig. 2

Núm. 117

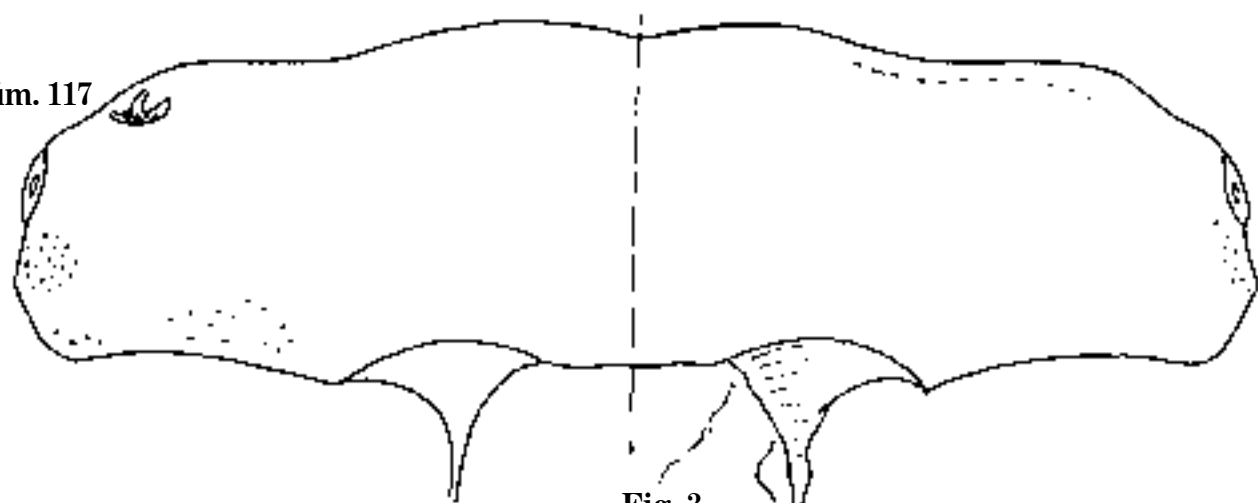


Fig. 3

Fig. 1 *Cestracion zygaena*, 1870. Cabeza.

Fig. 2 *C. zygaena*, 1871.

Fig. 3 *C. zygaena*, 1869. Cabeza; cornuda.

Lám. 520

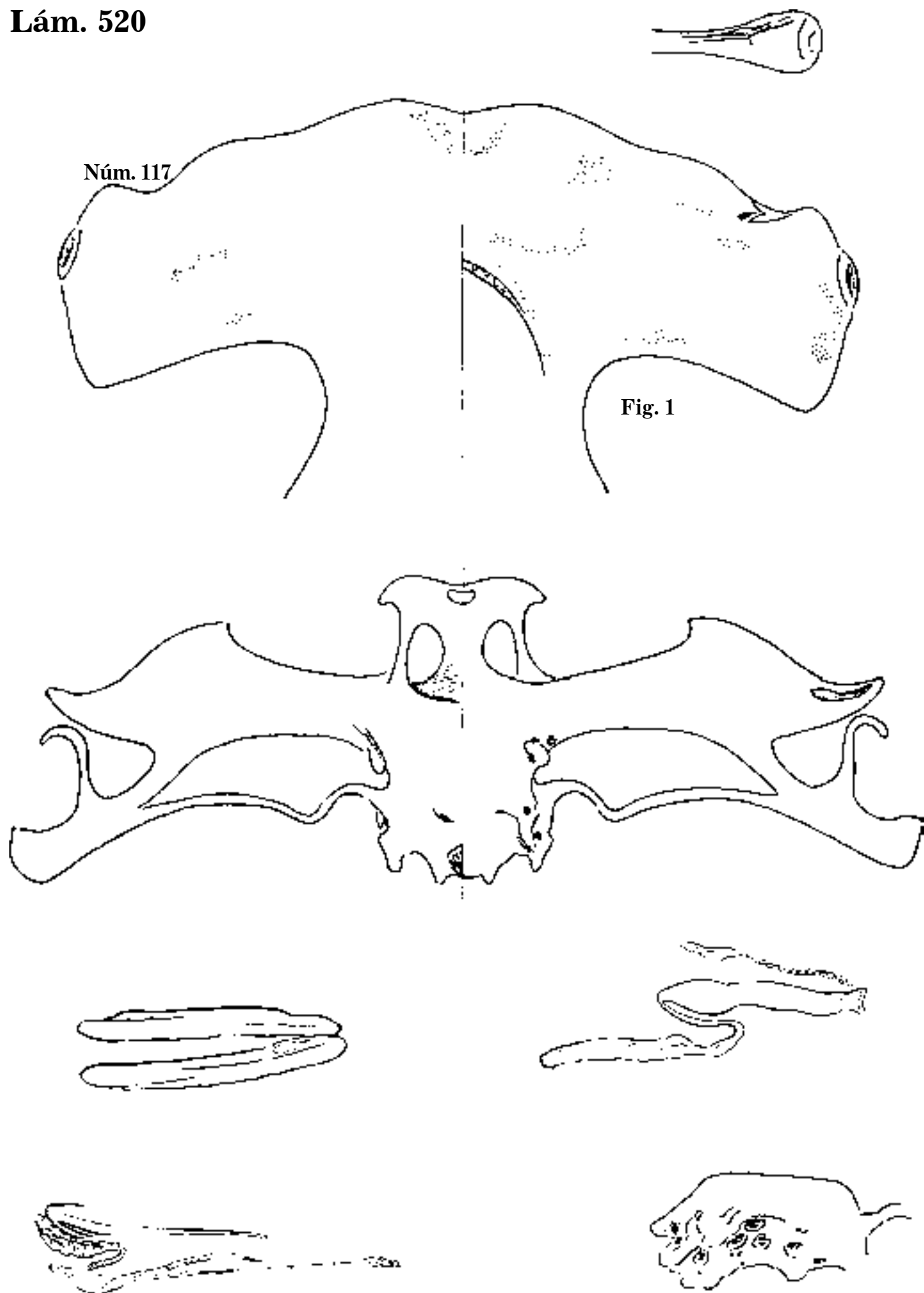


Fig. 1 *Cestracion zygaena*. Cabeza; cornuda.

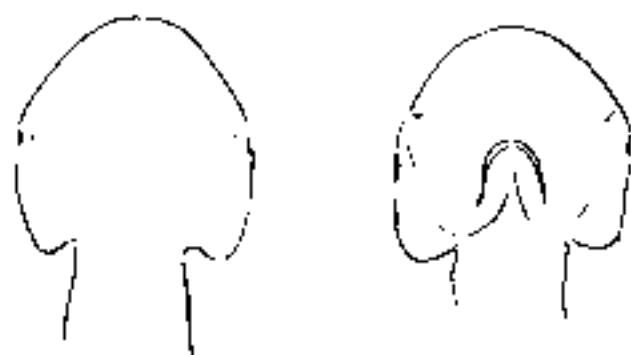
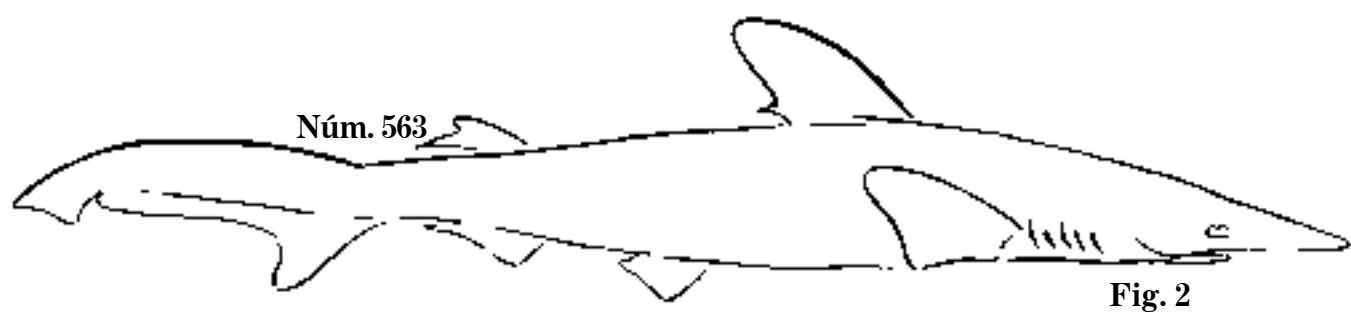
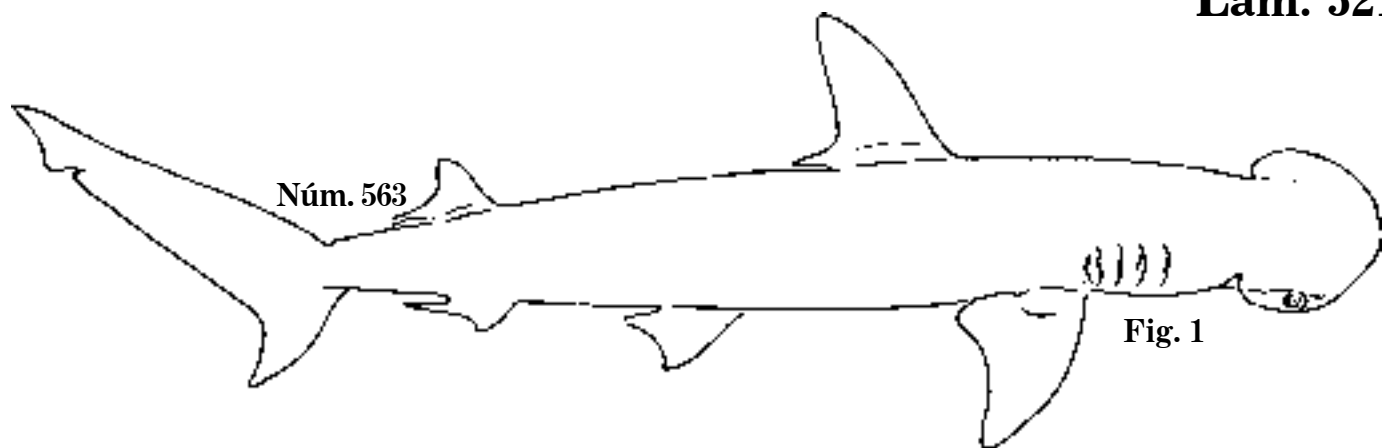


Fig. 1 *Reniceps tiburo*.
Fig. 2 *R. tiburo*. Cornuda de corona.

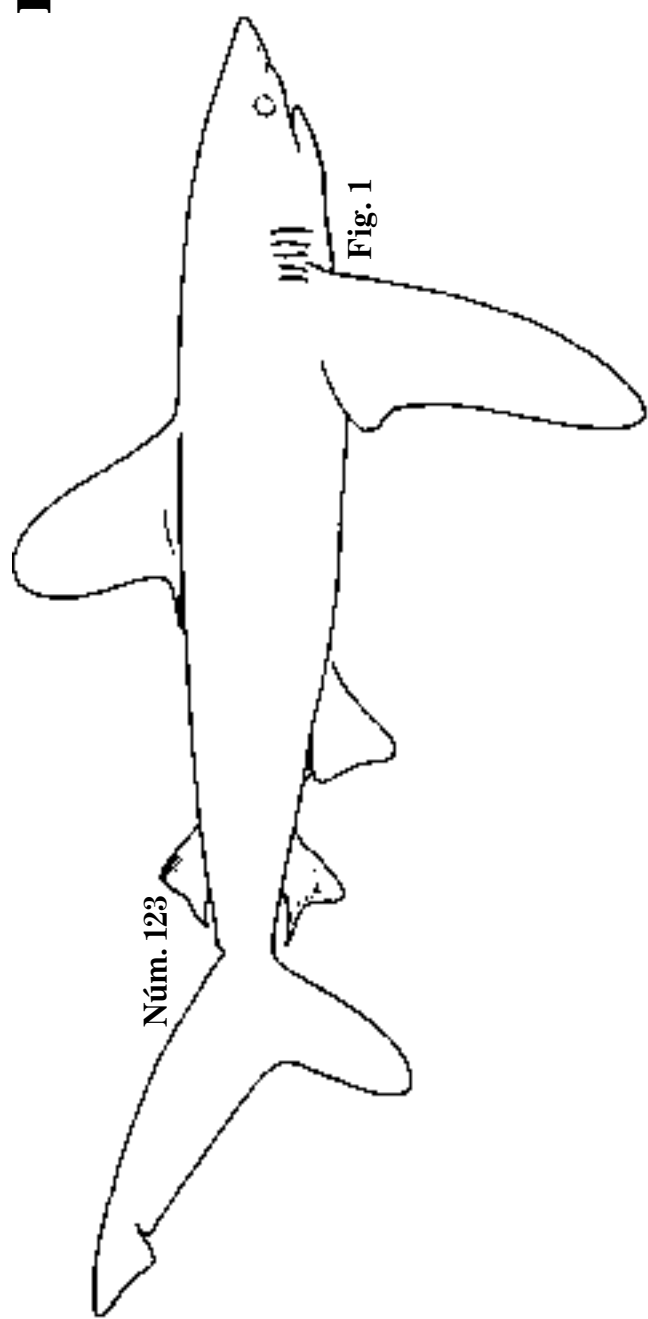


Fig. 1

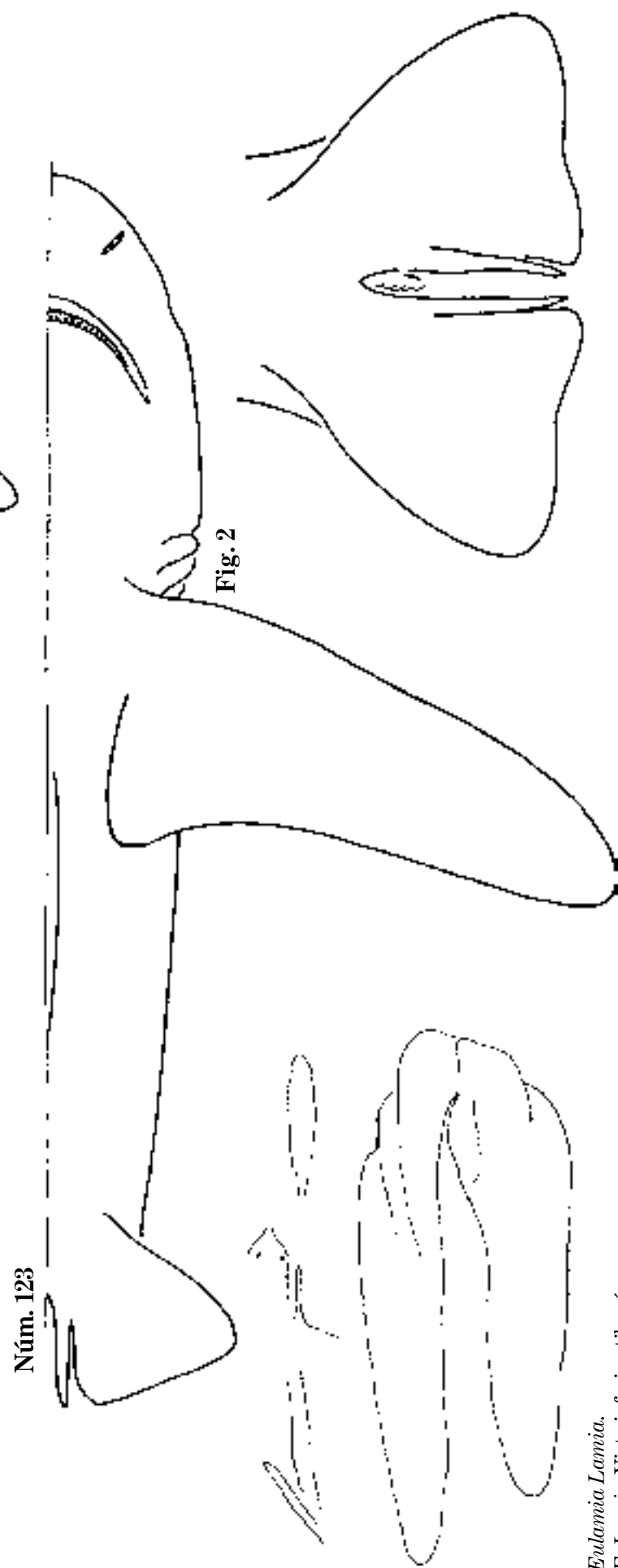


Fig. 2

Fig. 1 *Eulamia Lamia*.
Fig. 2 *E. Lamia*. Vista inferior; tiburón.

Núm. 810

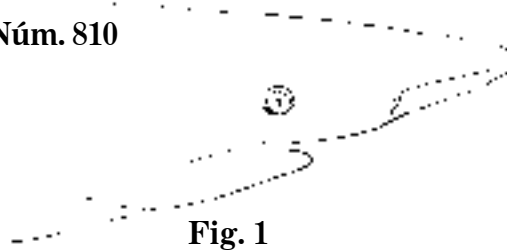


Fig. 1

Núm. 810

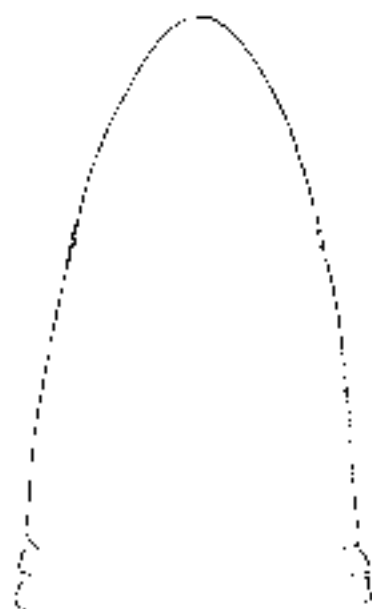


Fig. 2

Núm. 810

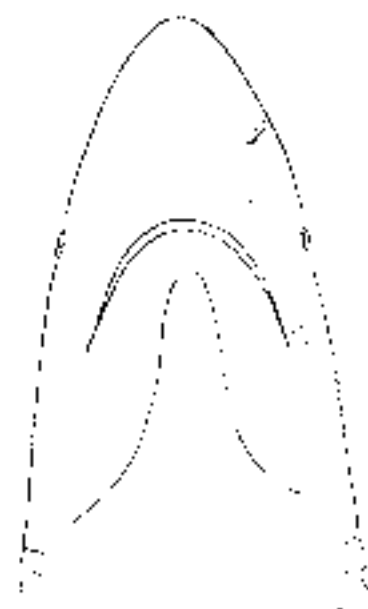


Fig. 3

Núm. 575

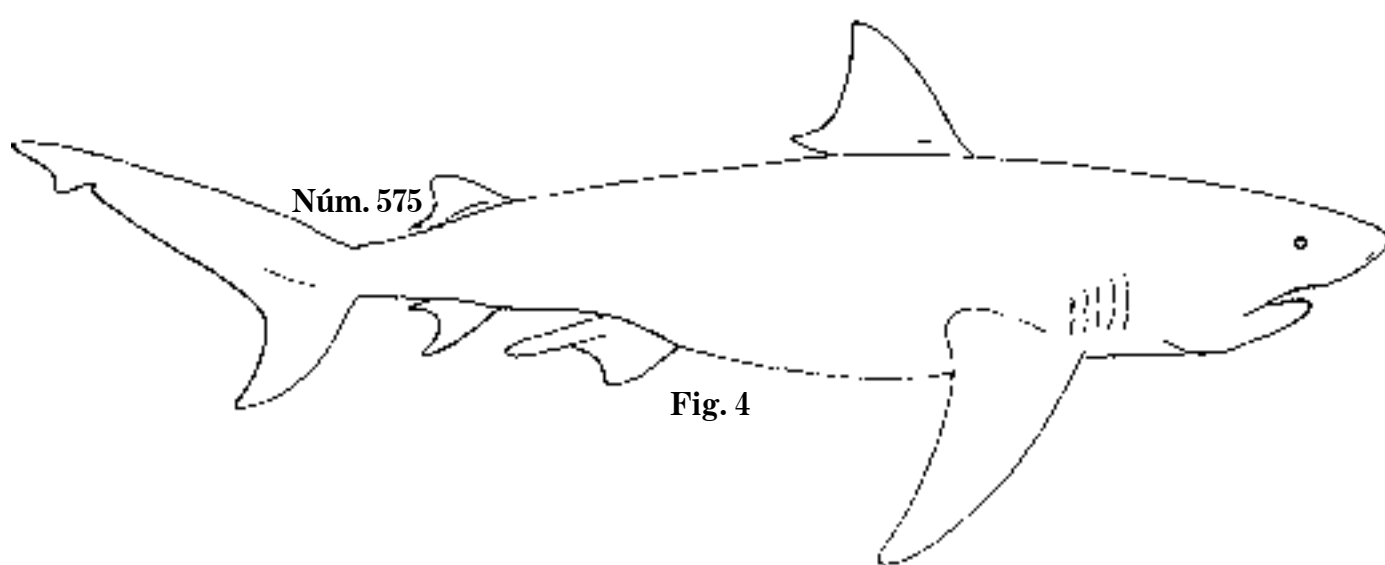


Fig. 4

Fig. 1 *Eulamia*, 1865. Cabeza, vista lateral.
Fig. 2 *Eulamia*, 1865. Cabeza, vista superior.
Fig. 3 *Eulamia*, 1865. Cabeza, vista inferior.
Fig. 4 *E. obtusa*, 1864. Tiburón.

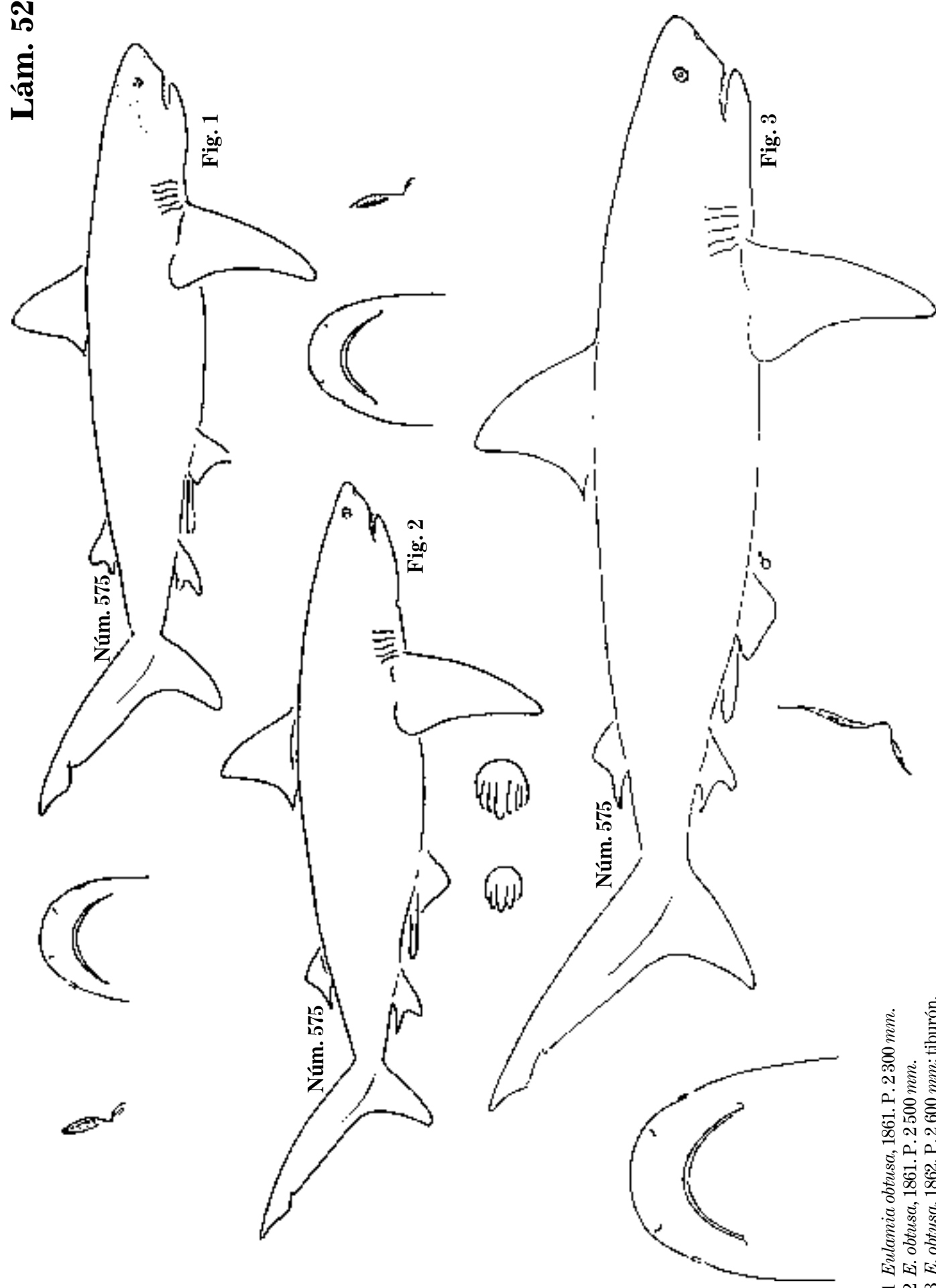
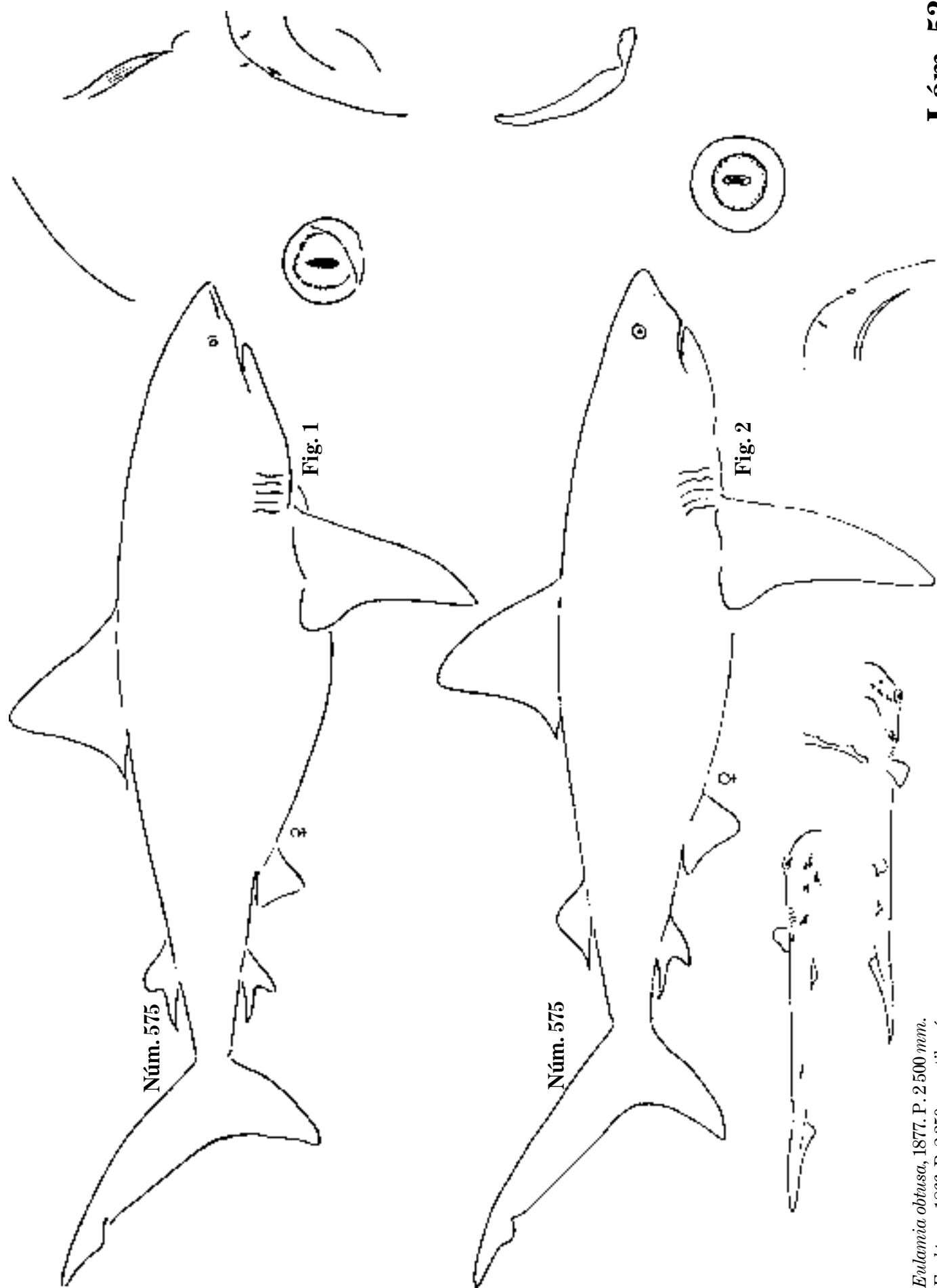


Fig. 1 *Eulamia obtusa*, 1861. P. 2300 mm.

Fig. 2 *E. obtusa*, 1861. P. 2500 mm.

Fig. 3 *E. obtusa*, 1862. P. 2600 mm; tiburón.

Fig. 1 *Eulamia obtusa*, 1877. P. 2 500 mm.
Fig. 2 *E. obtusa*, 1866. P. 2 350 mm, tiburón.



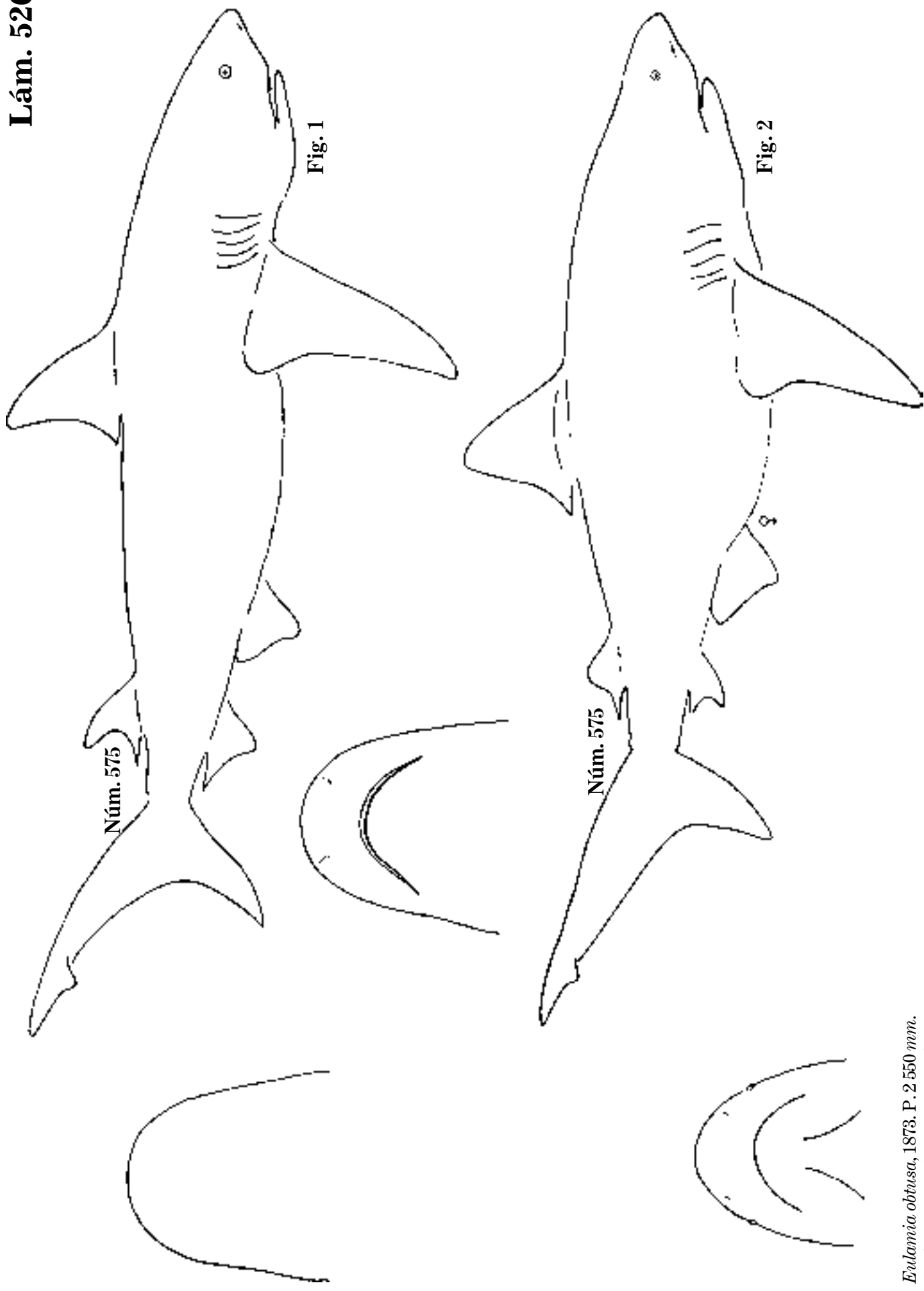


Fig. 1 *Eulamia obtusa*, 1873. P. 2 550 mm.

Fig. 2 *E. obsoleta*, 1875. P. 2 400 mm; tiburón.

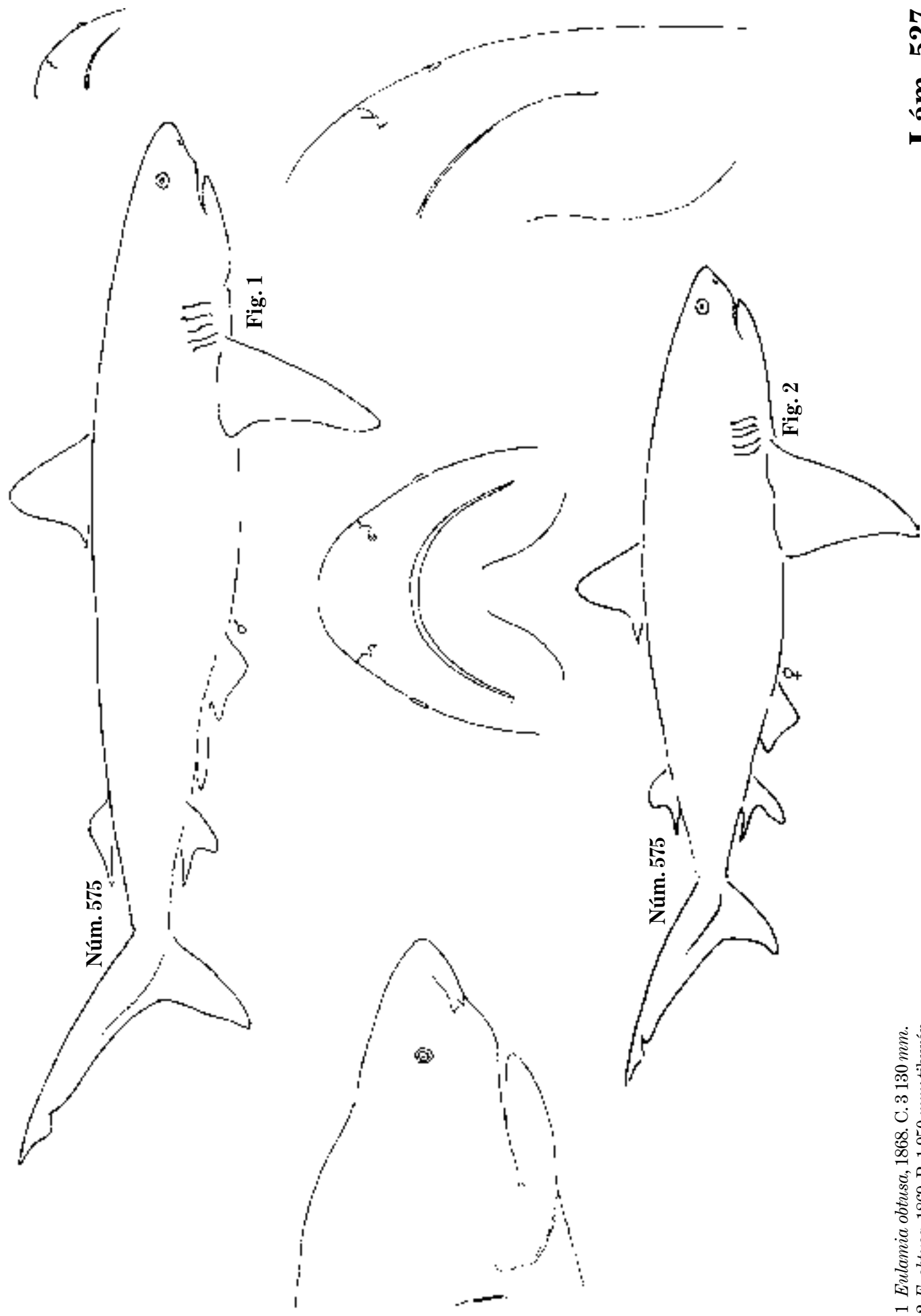


Fig. 1 *Eulamia obtusa*, 1868. C. 3 130 mm.
Fig. 2 *E. obtusa*, 1869. P. 1 950 mm, tiburón.

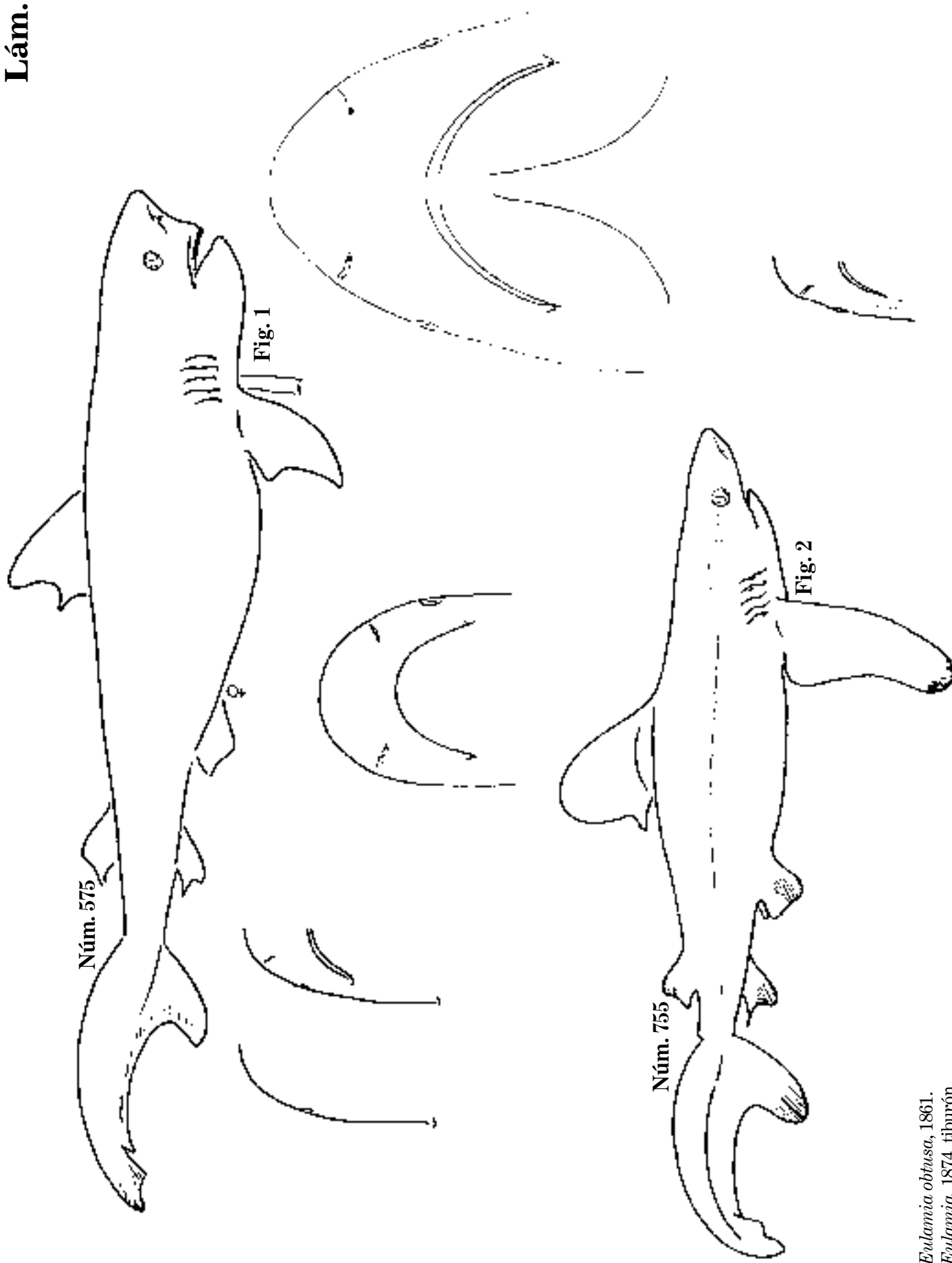


Fig. 1 *Eulamia obtusa*, 1861.
Fig. 2 *Eulamia*, 1874, tiburón.

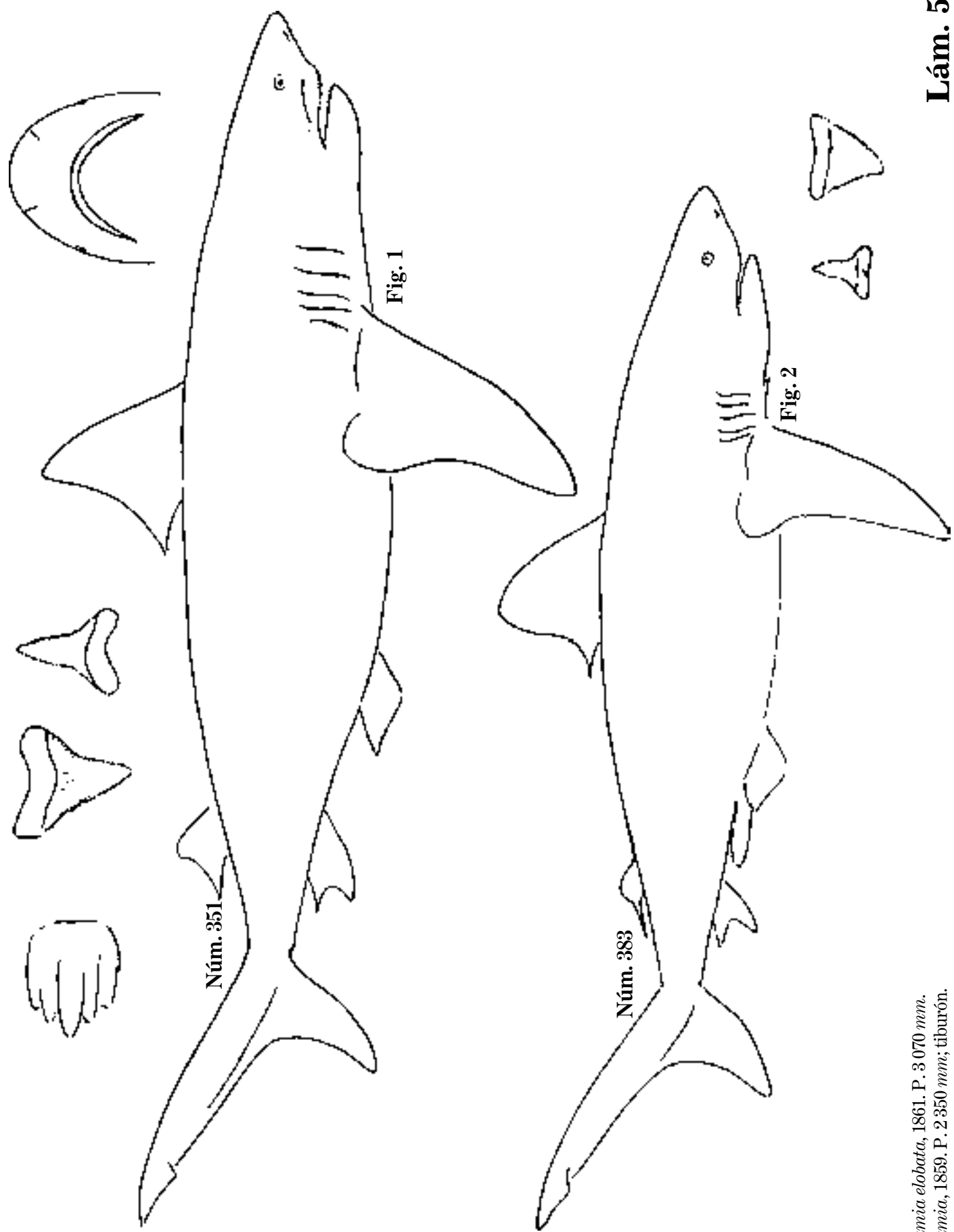


Fig. 1 *Eulamia elongata*, 1861. P. 3070 mm.
Fig. 2 *Eulamia*, 1859. P. 2350 mm; tiburón.

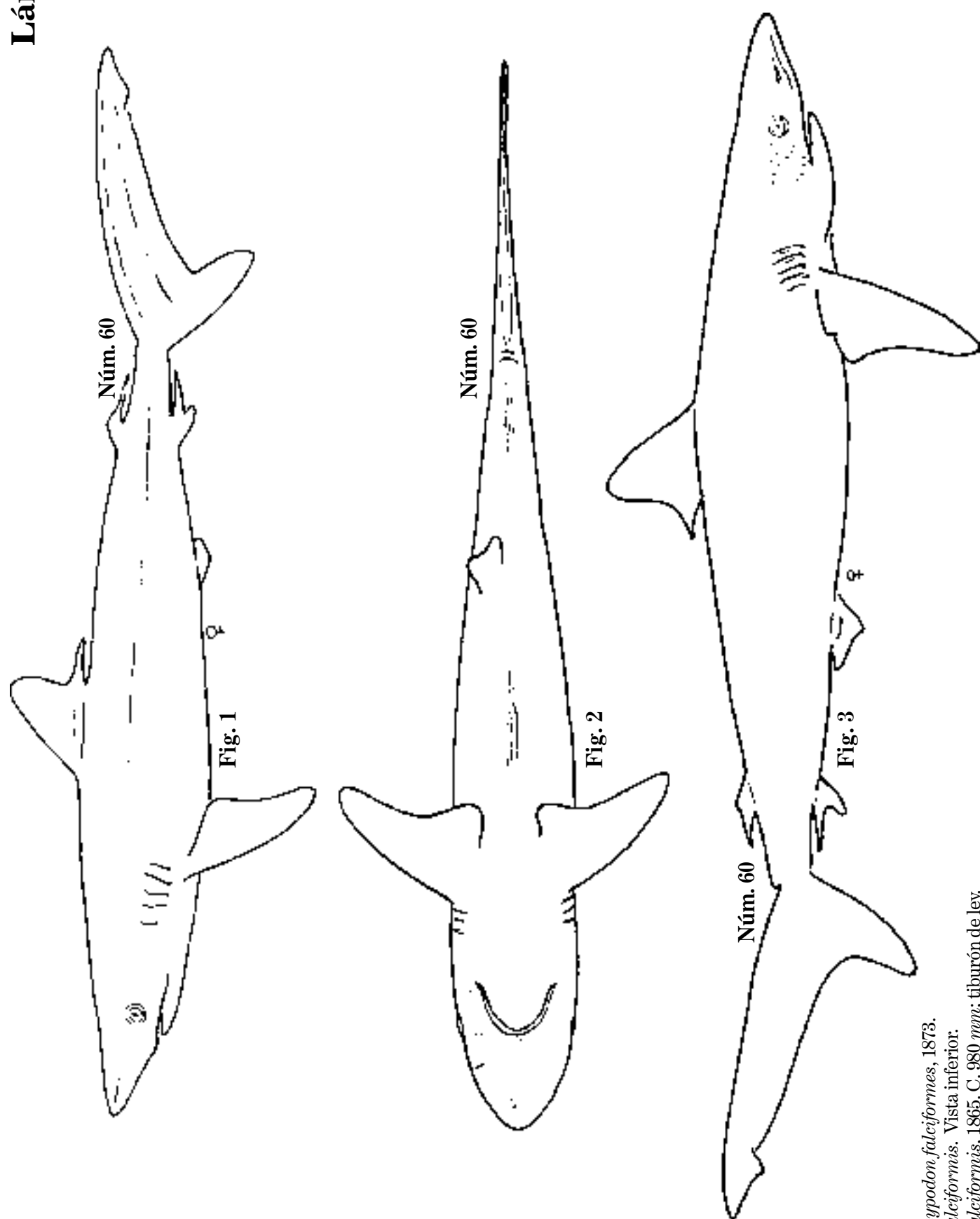


Fig. 1 *Platyodon falciformes*, 1873.

Fig. 2 *P. falciformis*. Vista inferior.

Fig. 3 *P. falciformis*, 1865. C. 980 mm; tiburón de ley.



Fig. 1

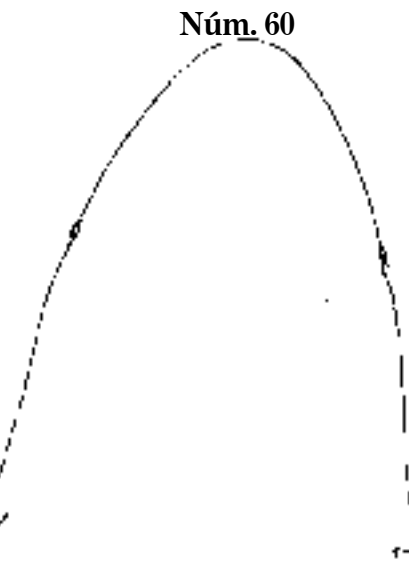


Fig. 2



Fig. 3

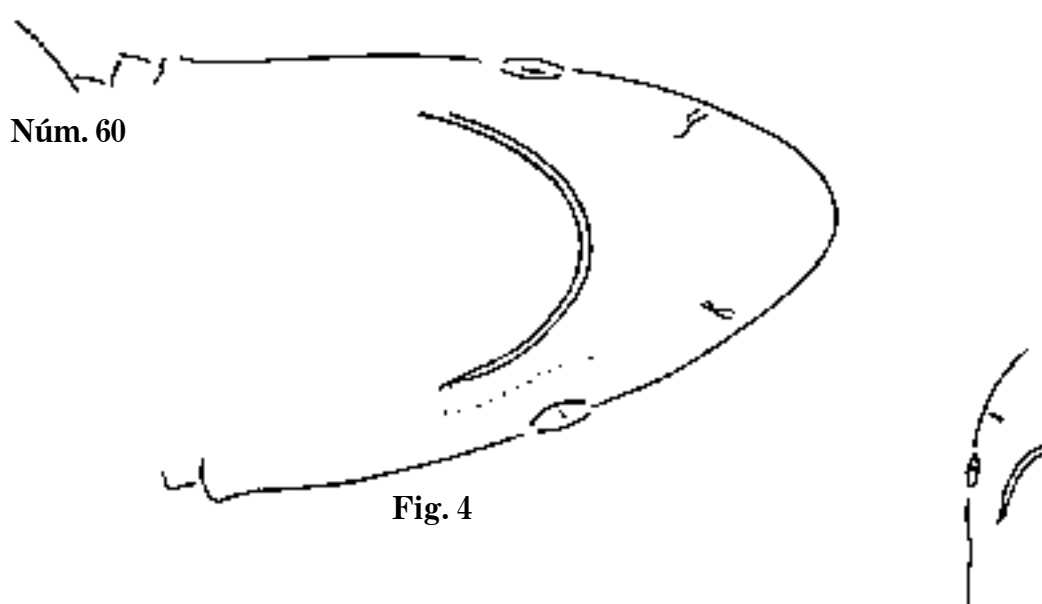


Fig. 4

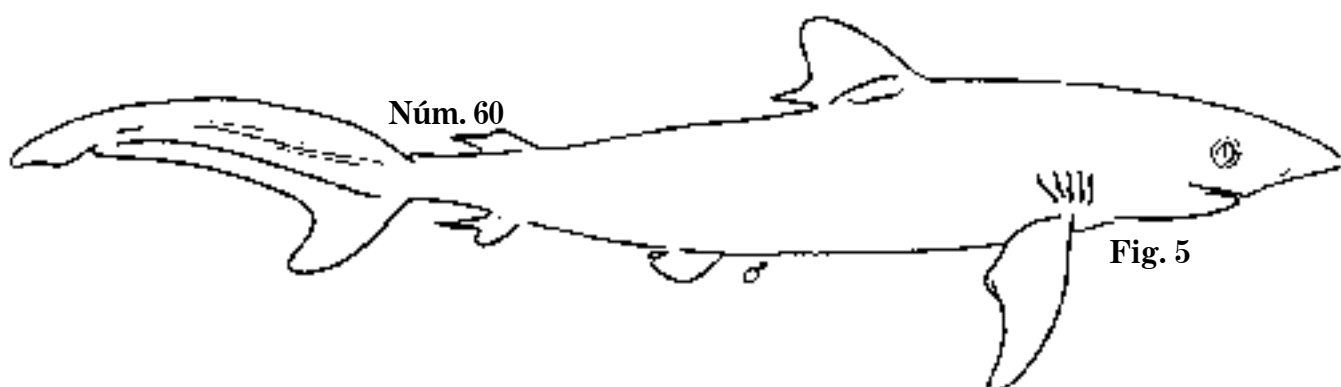


Fig. 5

Fig. 1 *Platypodon falciformis*, 1877. Cabeza, vista inferior.
 Fig. 2 *P. falciformis*, 1877. Cabeza, vista superior.
 Fig. 3 *P. falciformis*, 1868. Cabeza, vista inferior.

Fig. 4 *P. falciformis*, 1865. Cabeza, vista inferior.
 Fig. 5 *P. falciformis*, 1873. P. 585 mm; tiburón de ley.

Lám. 532

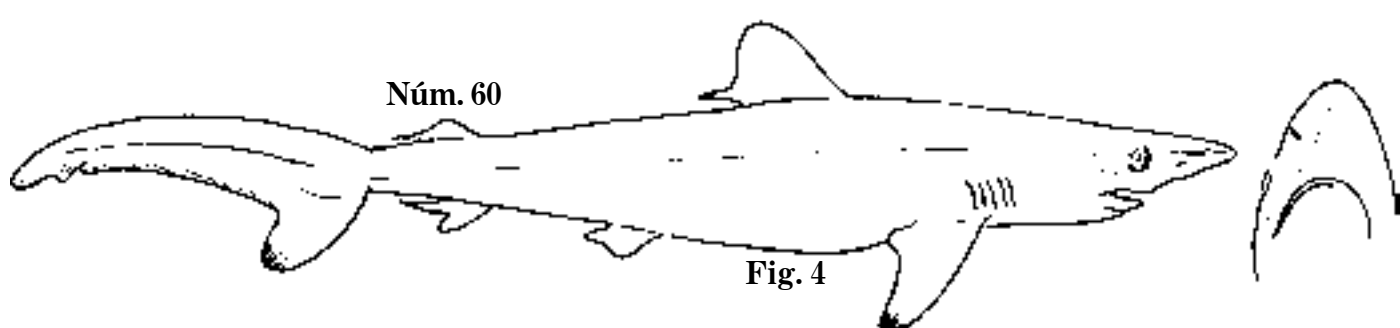
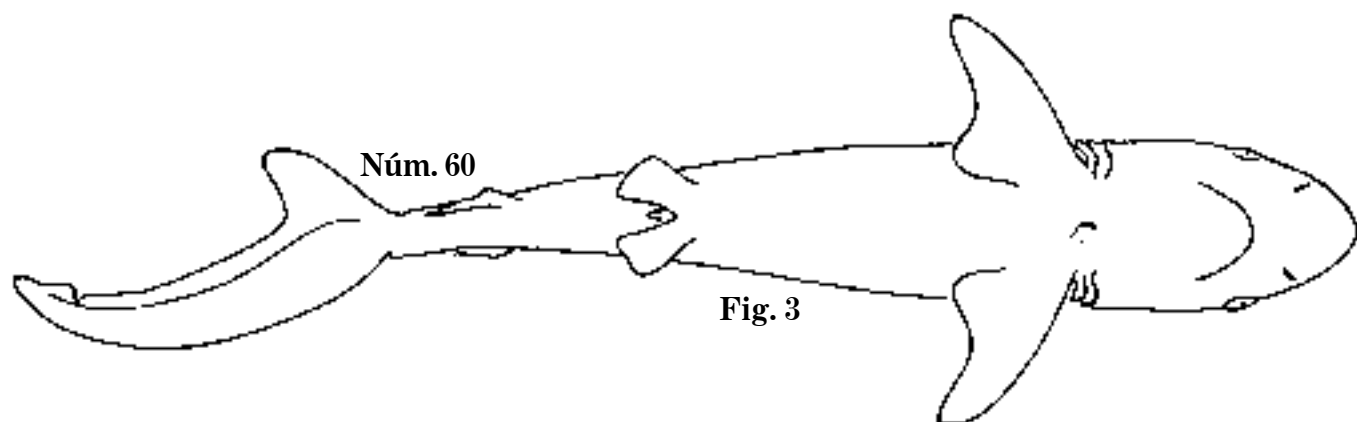
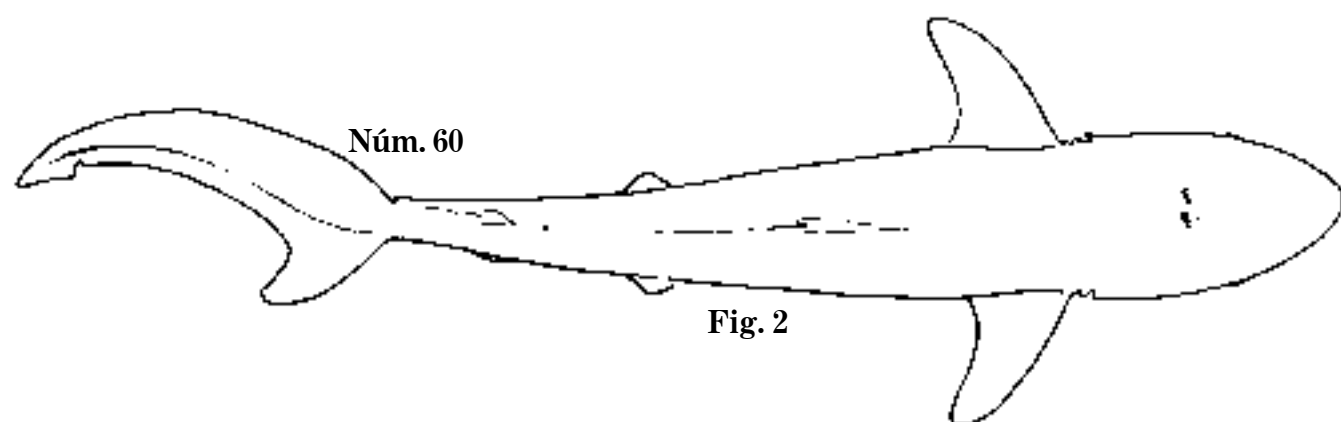
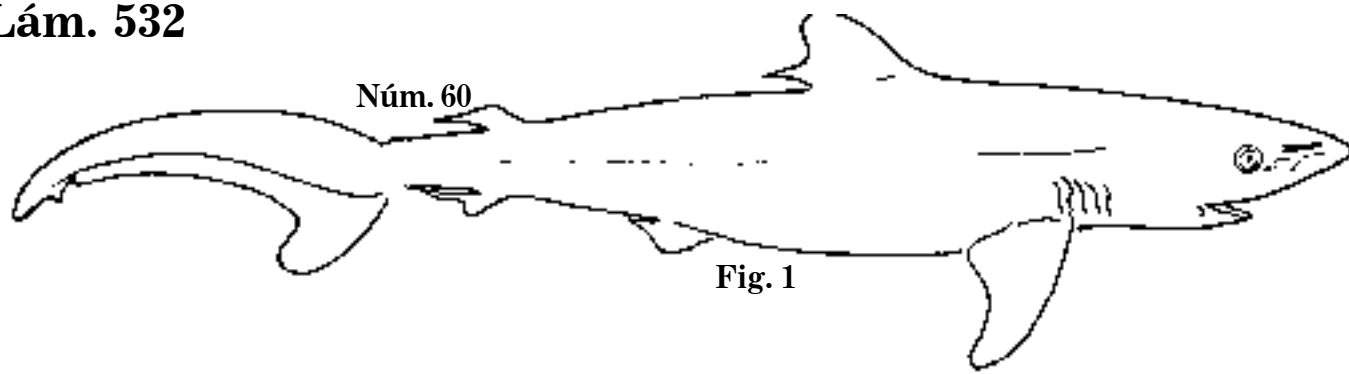


Fig. 1 *Platypodon falciformis*, 1871. P. 637 mm.

Fig. 2 *P. falciformis*, 1871. Vista superior. P. 630 mm.

Fig. 3 *P. falciformis*, 1871. Vista inferior. P. 630 mm.

Fig. 4 *P. falciformis*, 1859. P. 580 mm; tiburón de ley.



Fig. 1

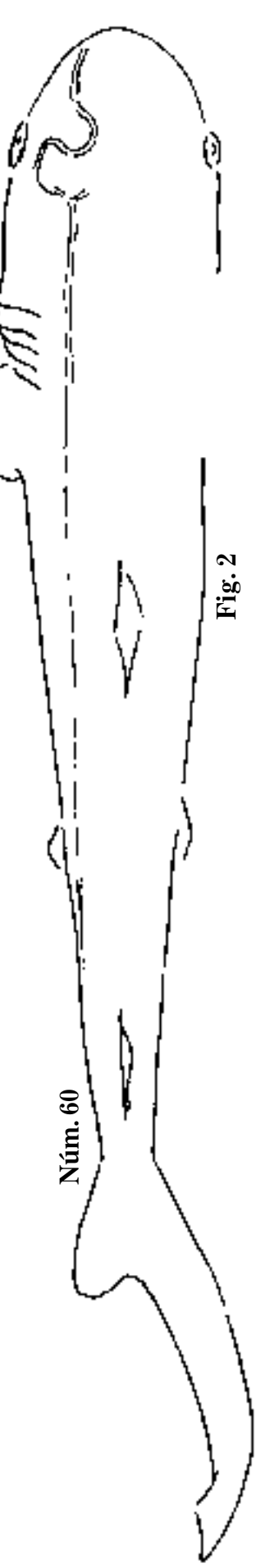


Fig. 2

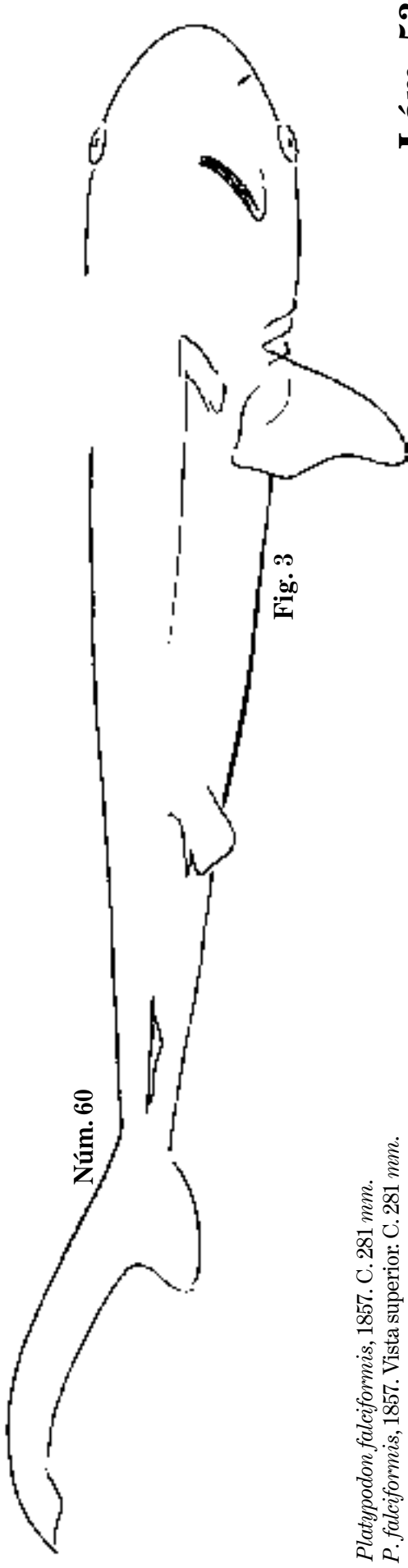


Fig. 3

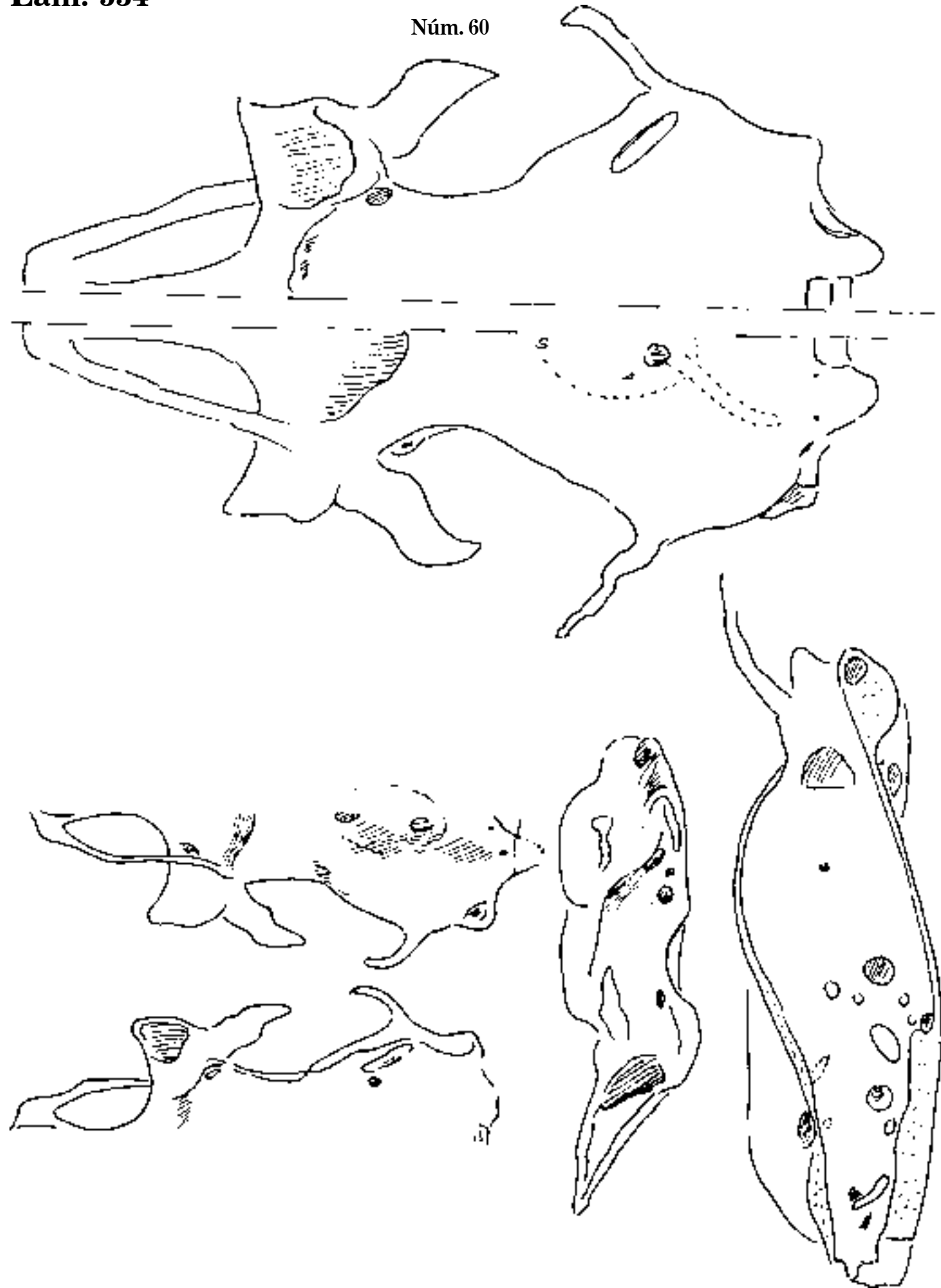
Fig. 1 *Platyodon falciformis*, 1857. C. 281 mm.

Fig. 2 *P. falciformis*, 1857. Vista superior. C. 281 mm.

Fig. 3 *P. falciformis*, 1857. Vista inferior. C. 281 mm; tiburón de ley.

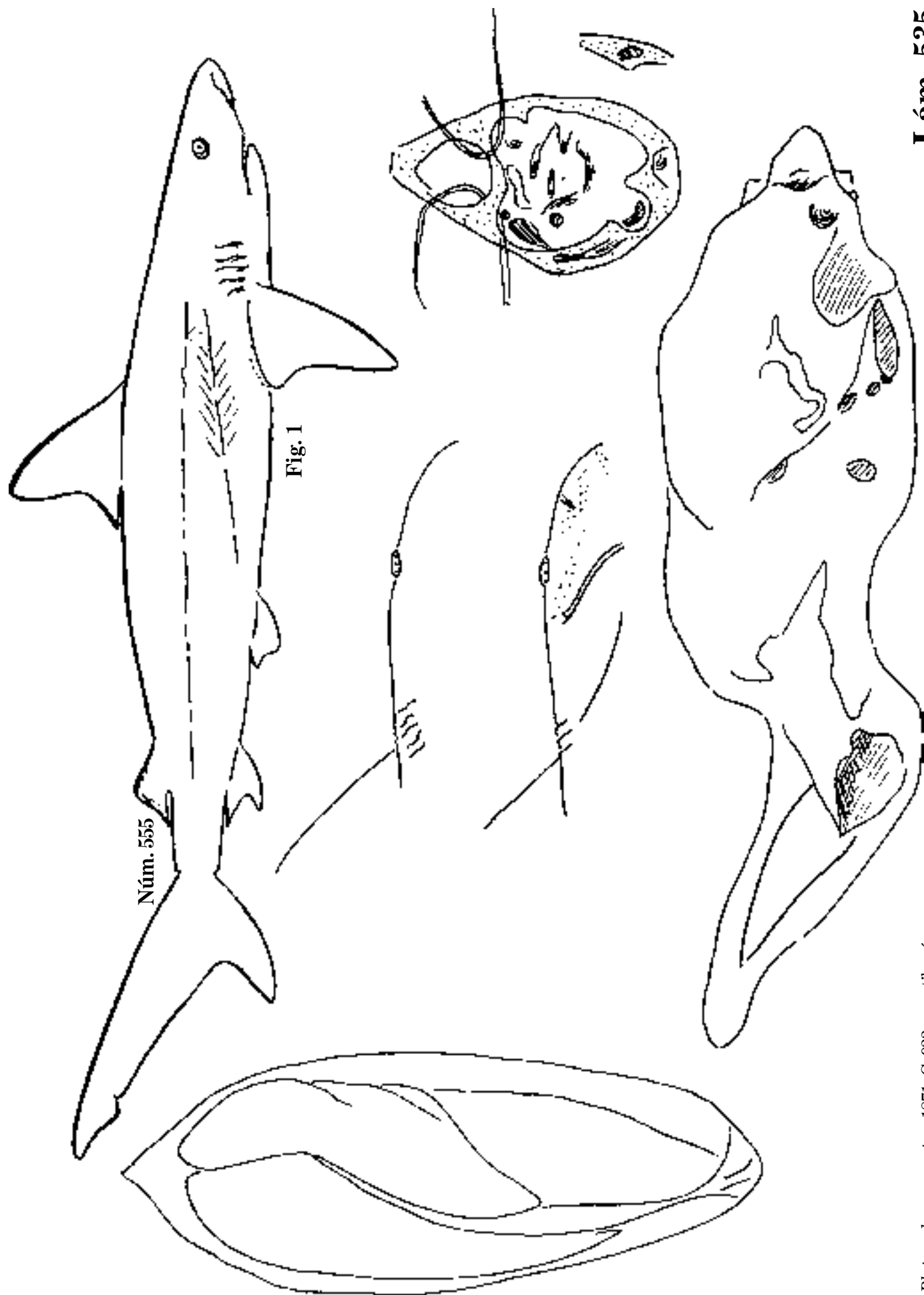
Lám. 534

Núm. 60



Platypodon falciformis. Osteología; tiburón de ley.

Fig. 1 *Platypodon acronotus*, 1871. C. 953 mm; tiburón.



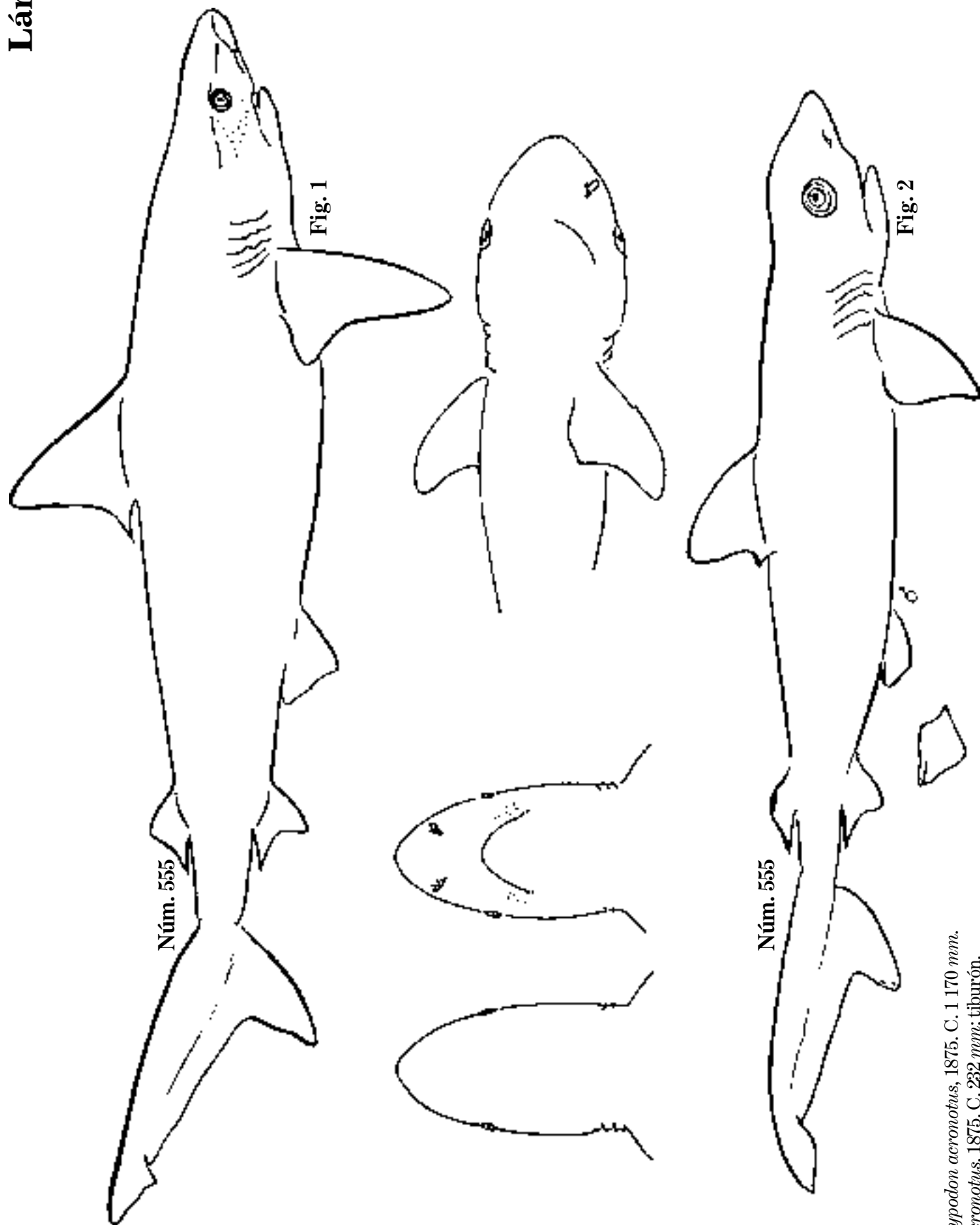


Fig. 1 *Platyptodon acronotus*, 1875. C. 1170 mm.

Fig. 2 *P. acronotus*, 1875. C. 232 mm; tiburón.

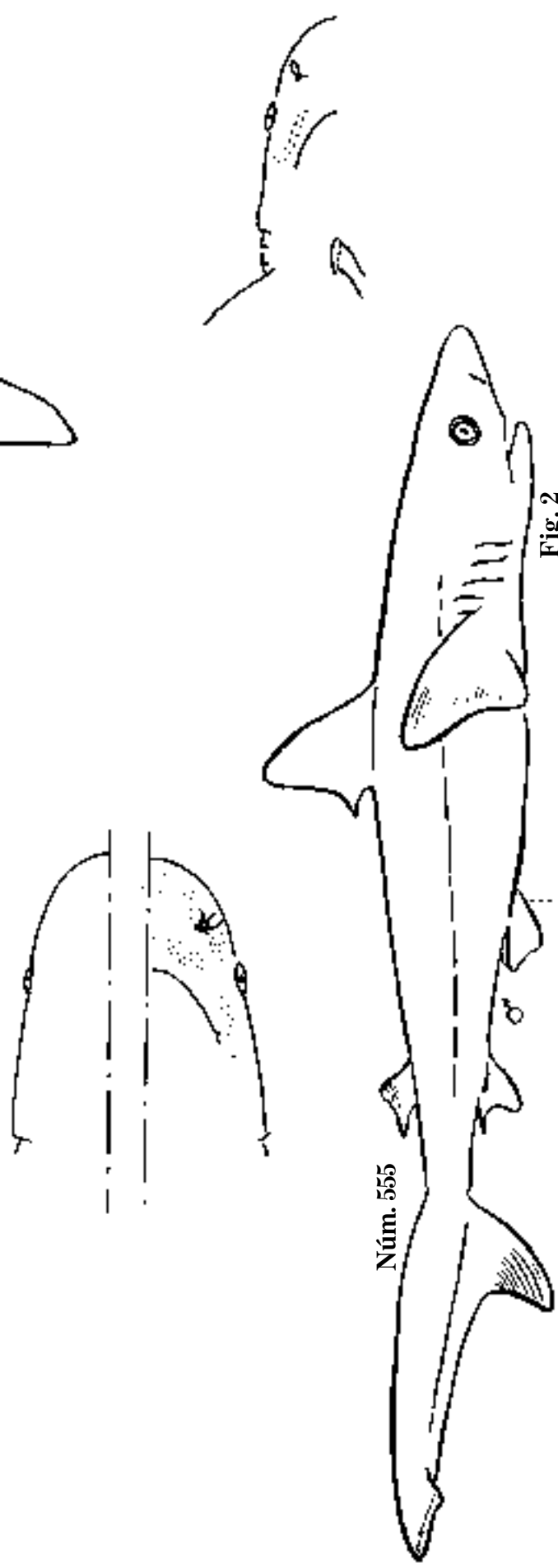
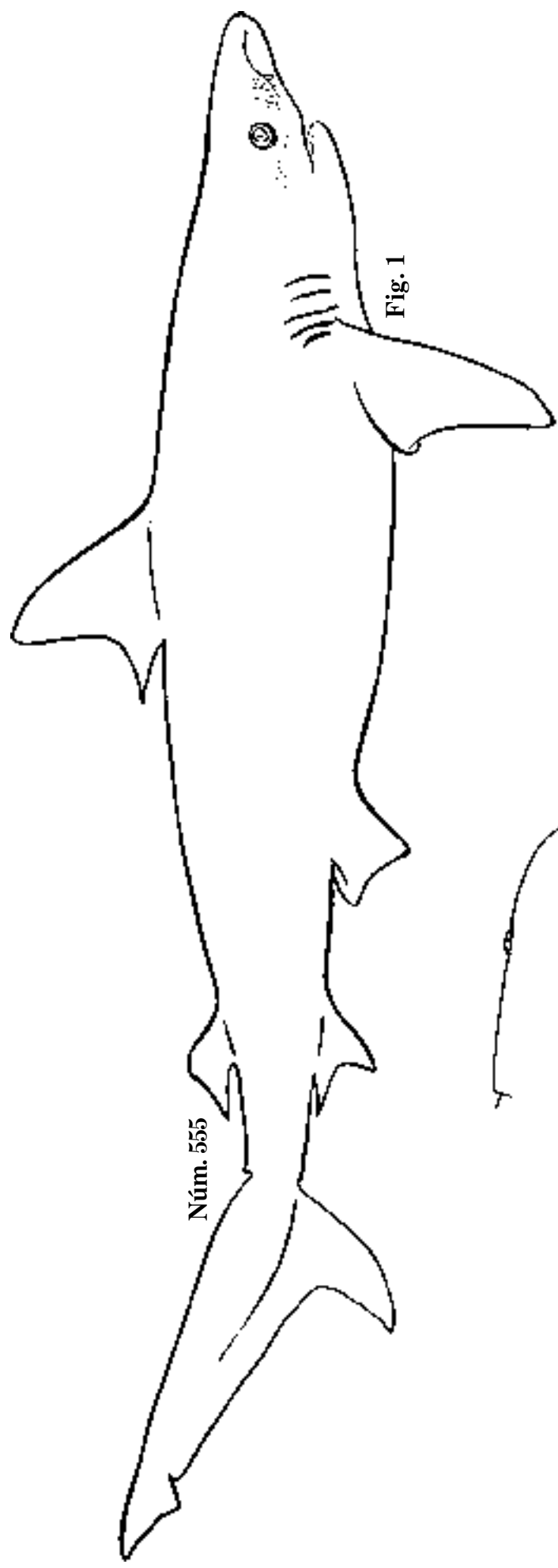


Fig. 1 *Platypodon acronotus*, 1869. C. 1192 mm.
Fig. 2 *P. acronotus*, 1869. C. 400 mm; tiburón.

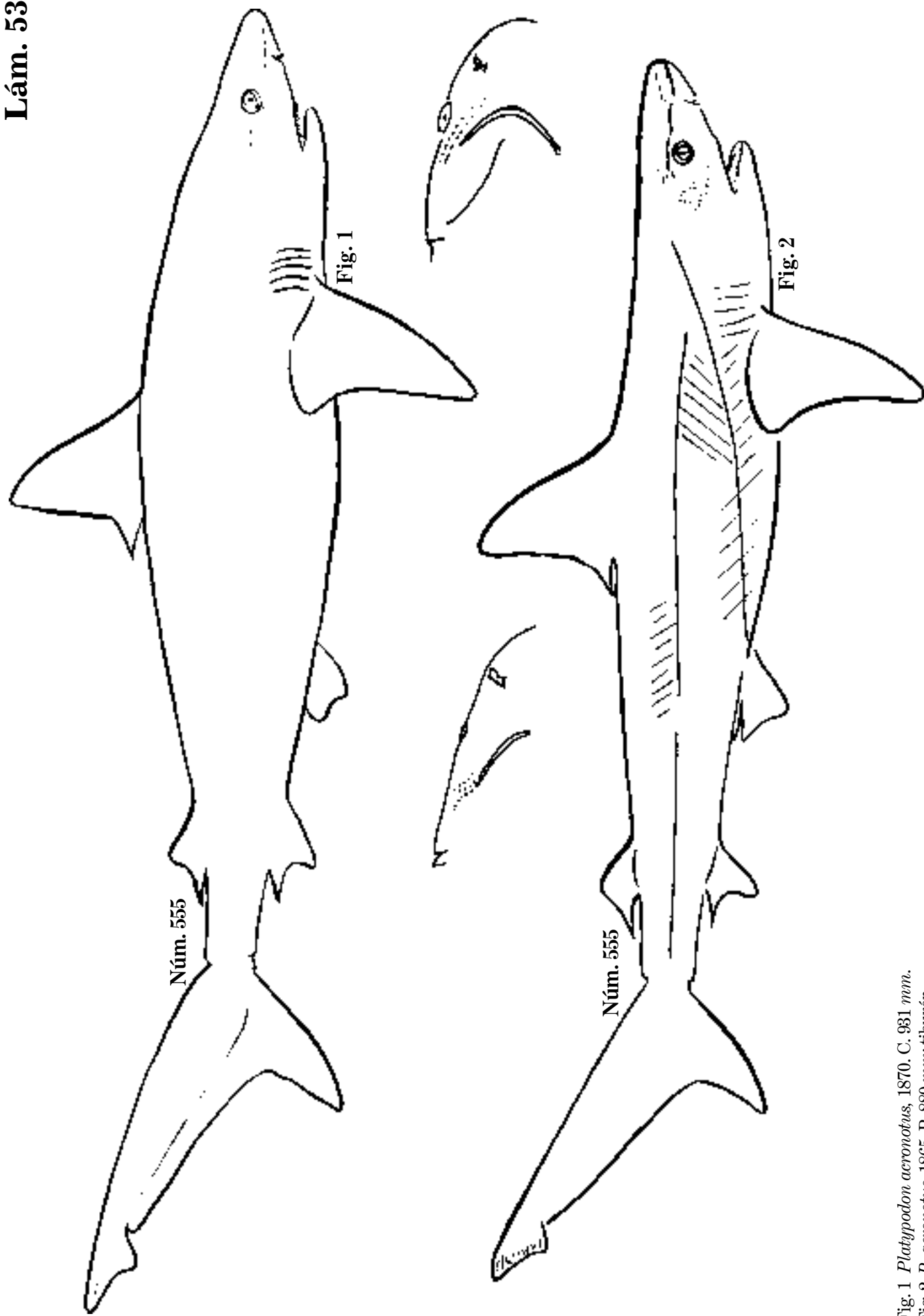


Fig. 1 *Platyptodon acronotus*, 1870. C. 931 mm.

Fig. 2 *P. acronotus*, 1865. P. 880 mm; tiburón.

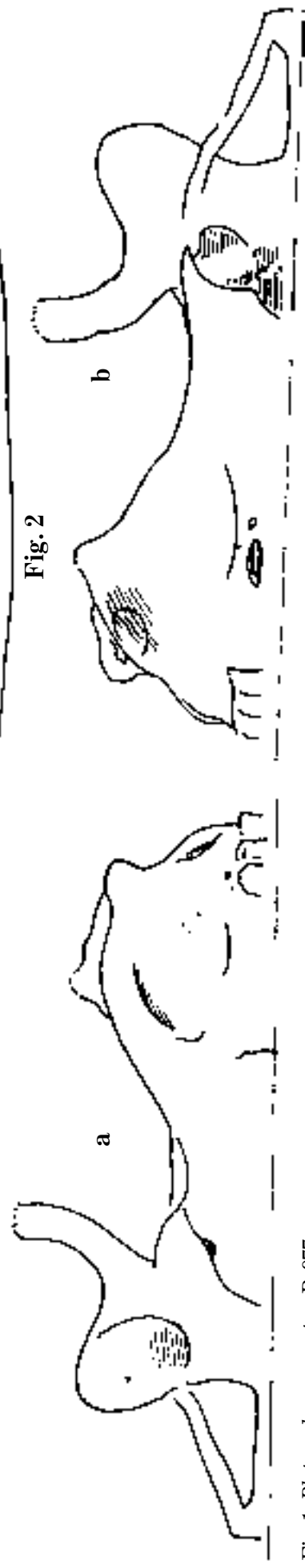


Fig. 1 *Platypodon acronotus*, P. 977 mm.

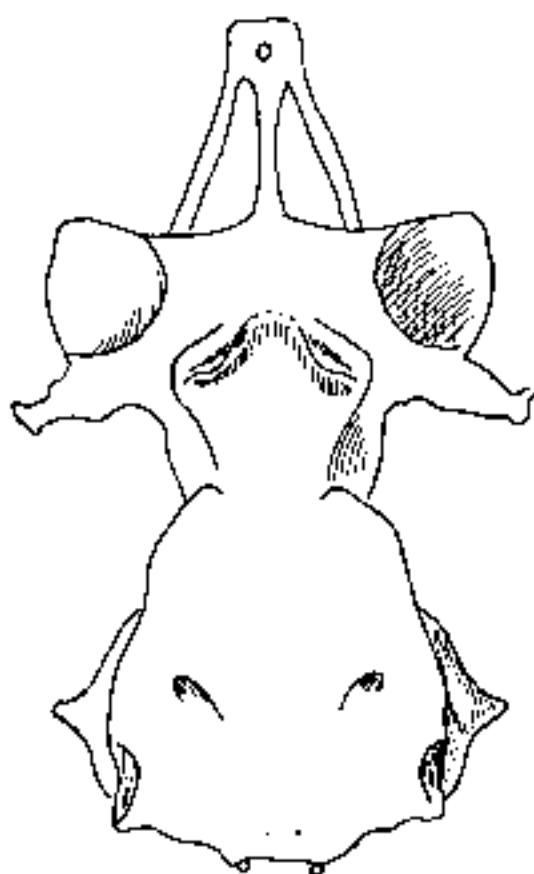
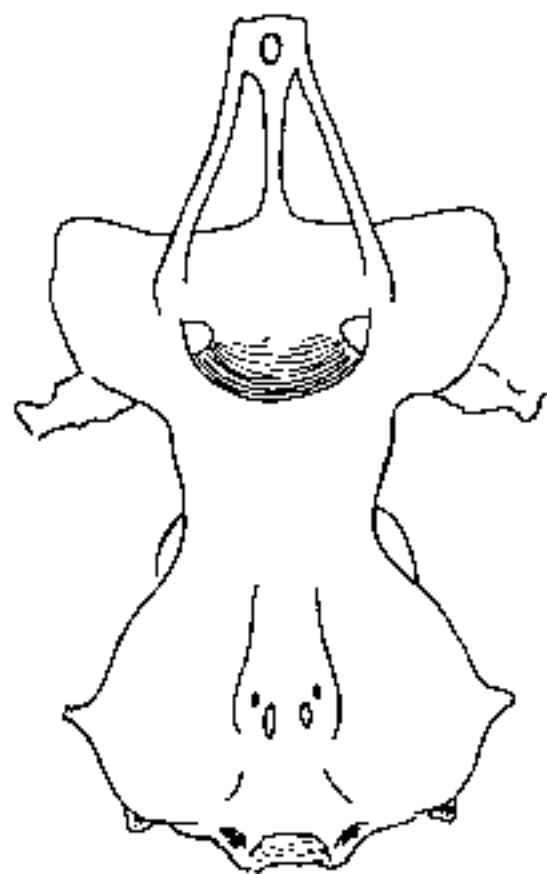
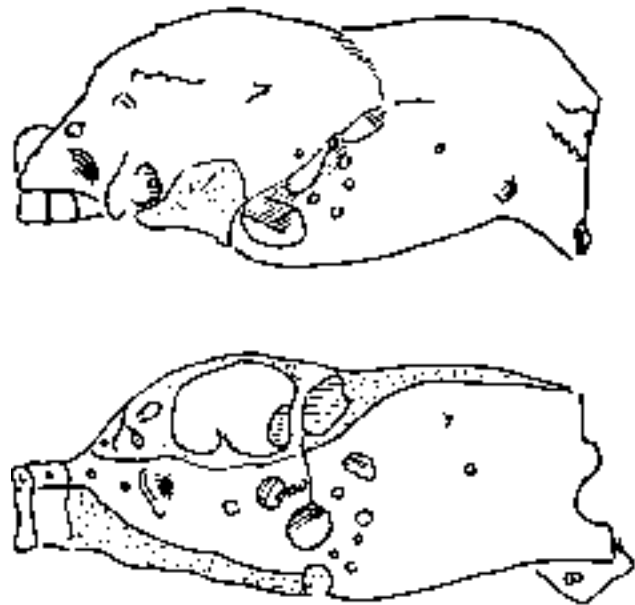
Fig. 2 *P. acronotus*. Vista inferior. P. 977 mm.

a-b. *P. acronotus*. Osteología; tiburón.

Lám. 540



Núm. 555



Platypodon acronotus. Osteología; tiburón.

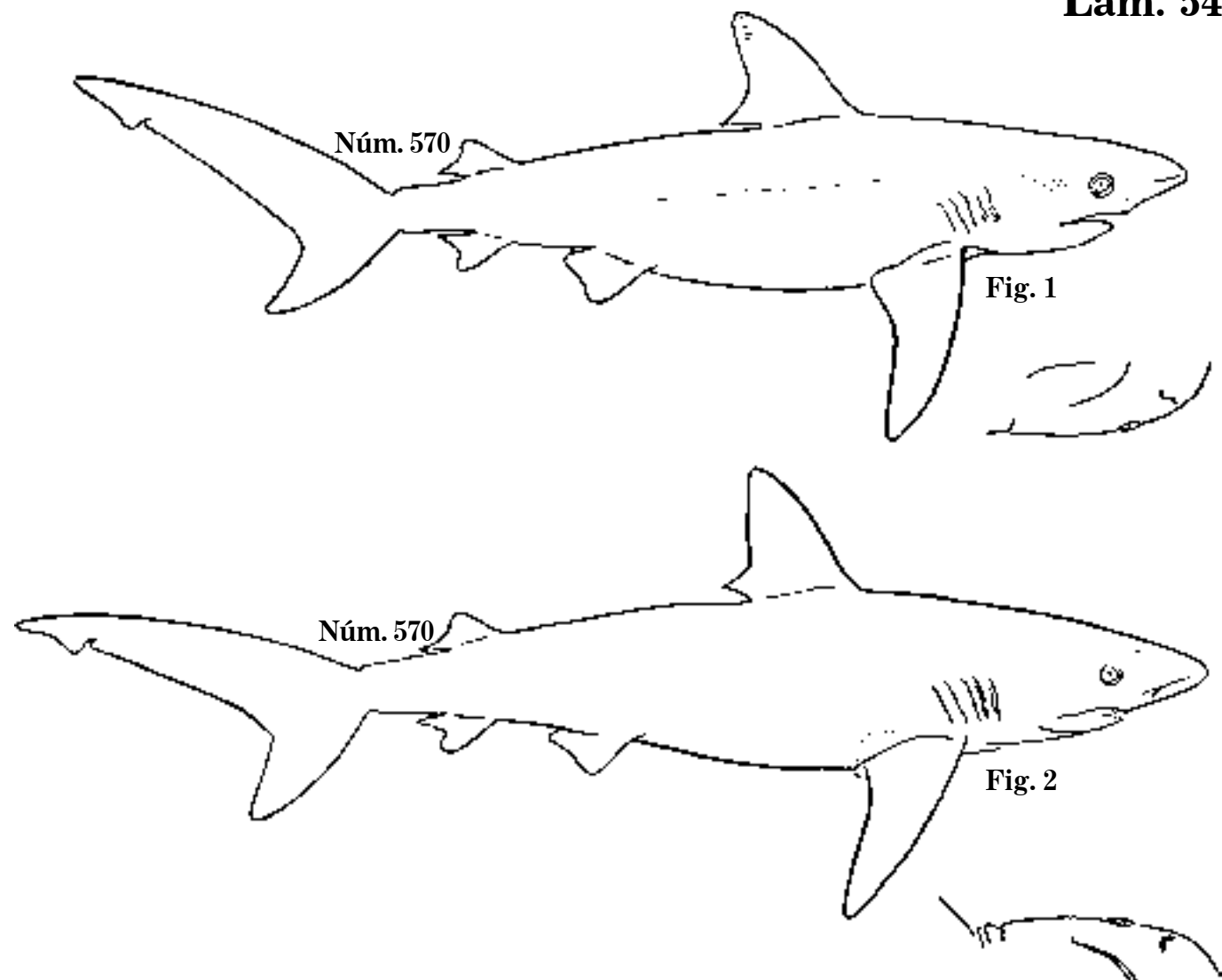


Fig. 1 *Platypodon Perezii*, 1872. P. 780 mm.
Fig. 2 *P. Perezii*, 1868. P. 860 mm; tiburón.

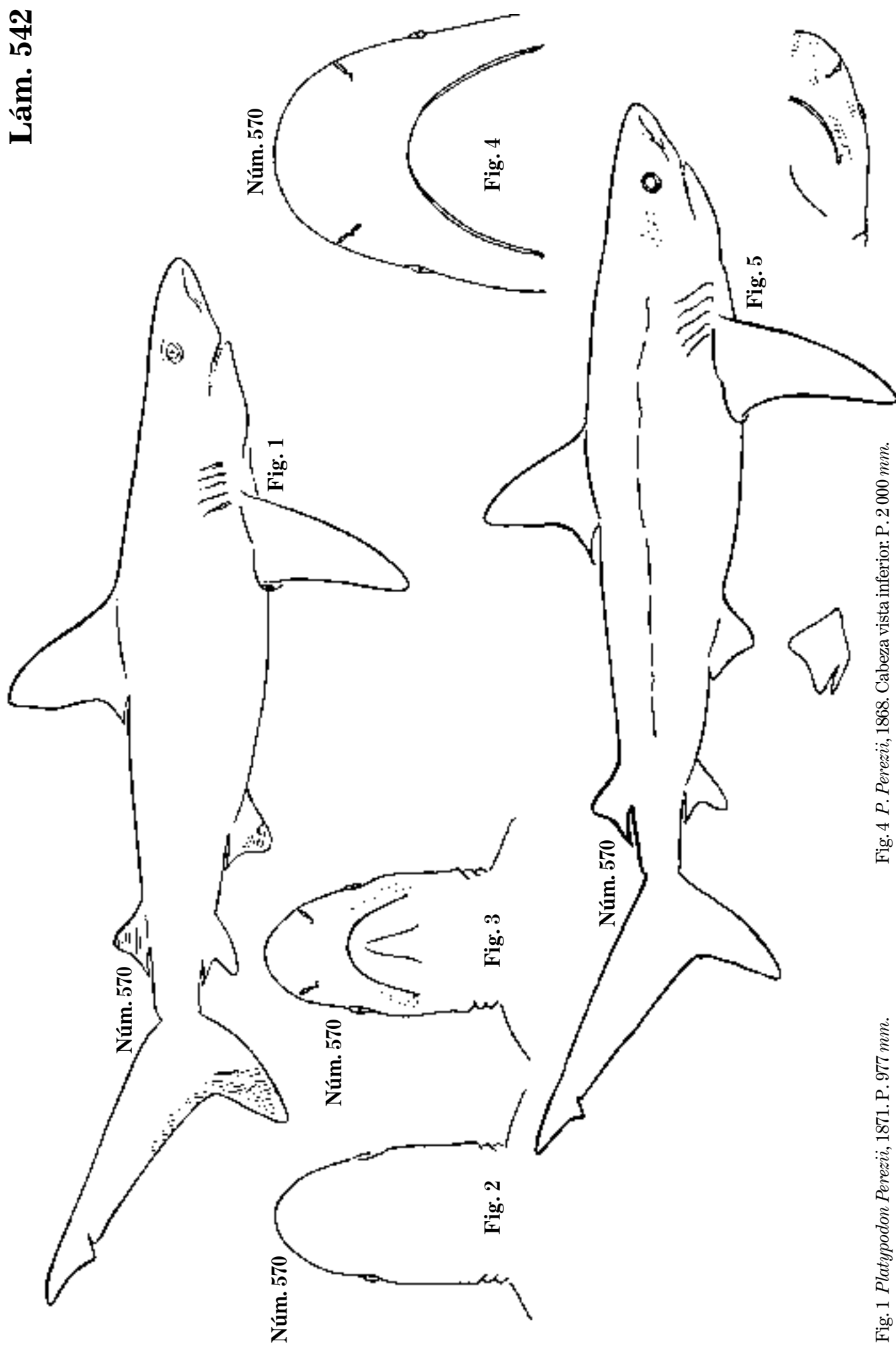


Fig. 1 *Platyodon Perezii*, 1871. P. 977 mm.

Fig. 2 *P. Perezii*. Cabeza, vista superior.

Fig. 3 *P. Perezii*. Cabeza, vista inferior.

Fig. 4 *P. Perezii*, 1868. Cabeza vista inferior. P. 2000 mm.

Fig. 5 *P. Perezii*, 1872. P. 1300 mm; tilburón.

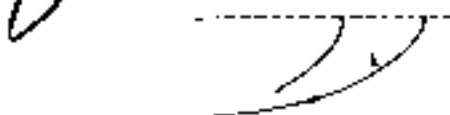
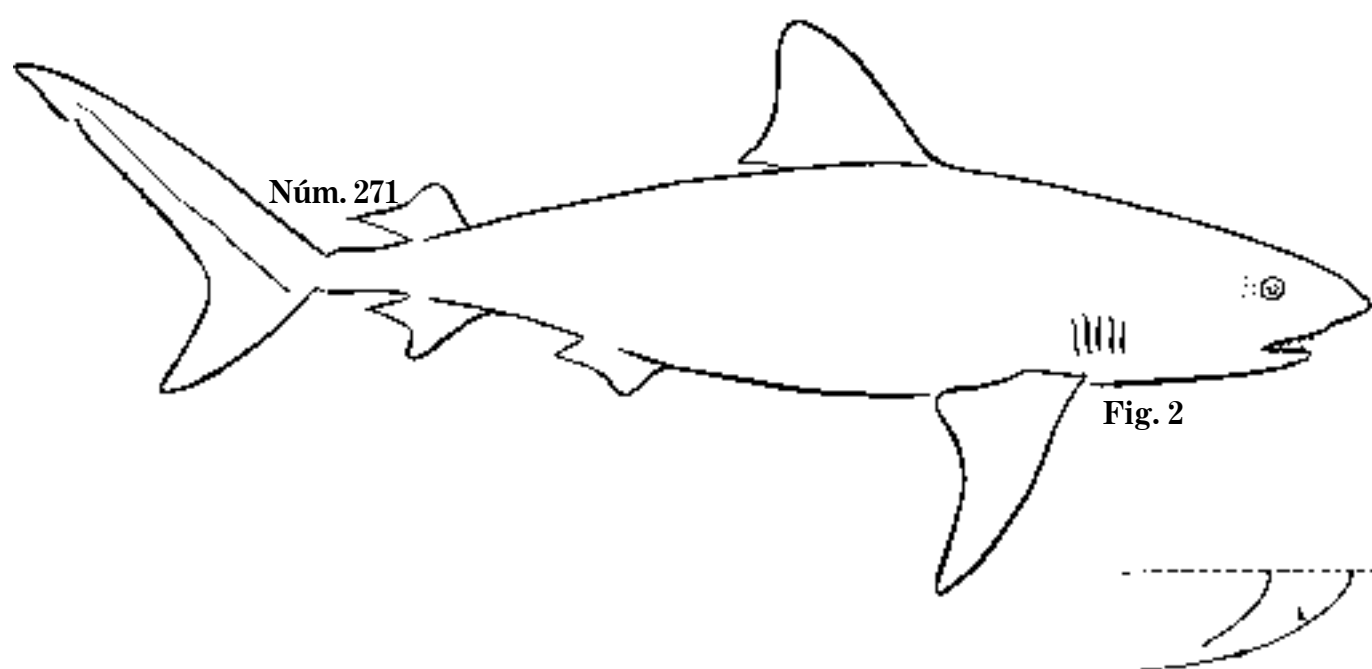
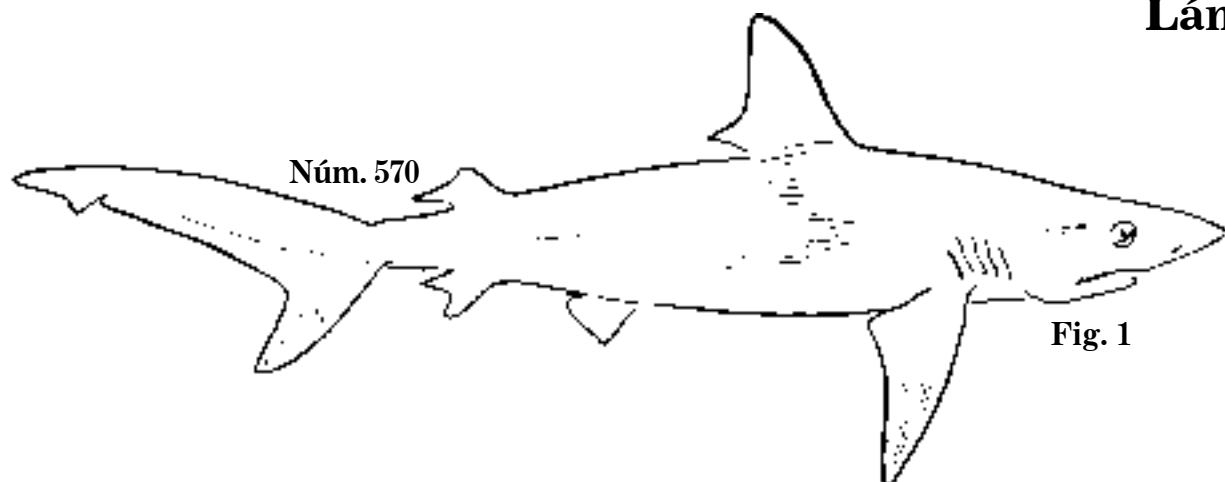


Fig. 1 *Platypodon Perezii*, 1869. P. 800 mm.
Fig. 2 *Platypodon*, 1869. Tiburón.

Lám. 544

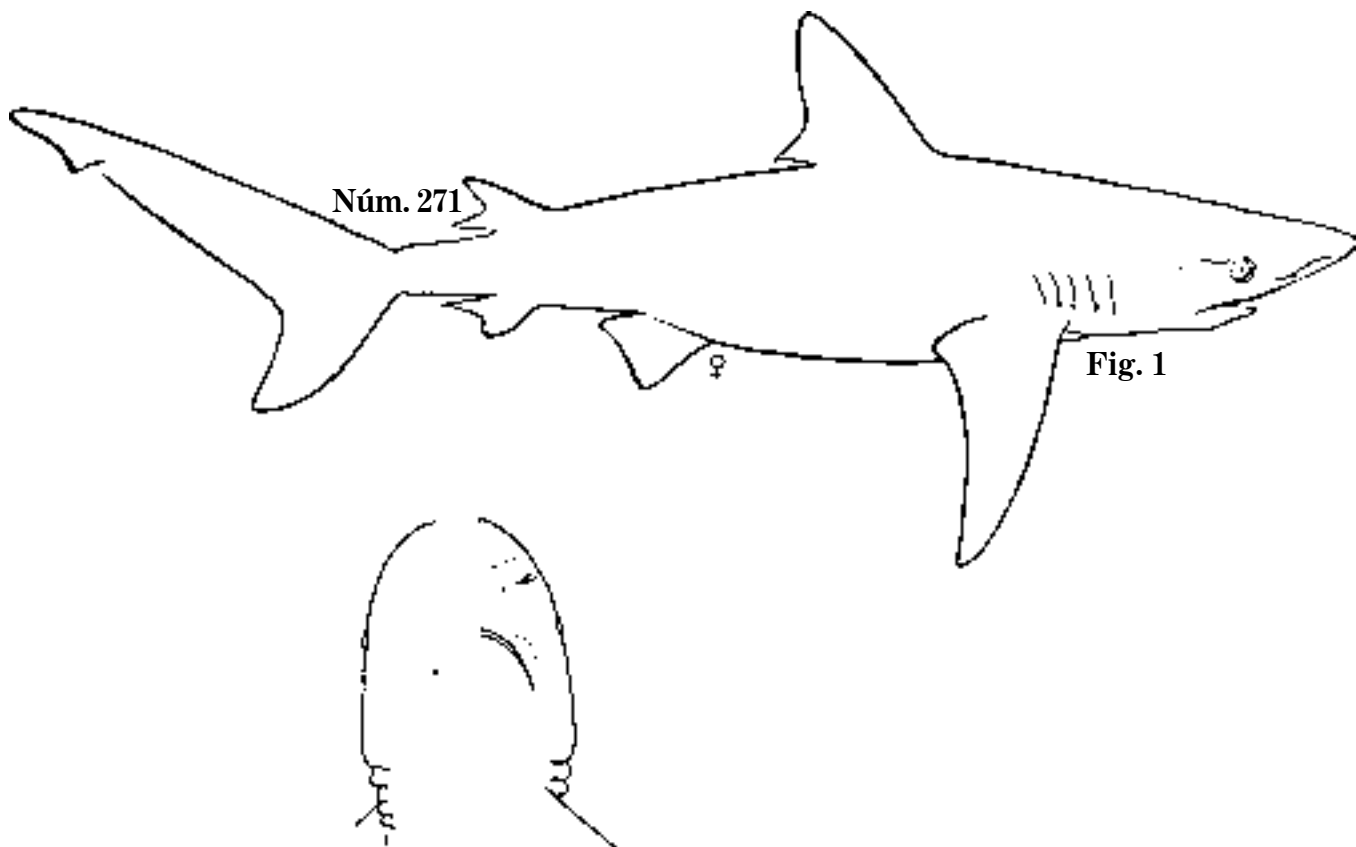


Fig. 1

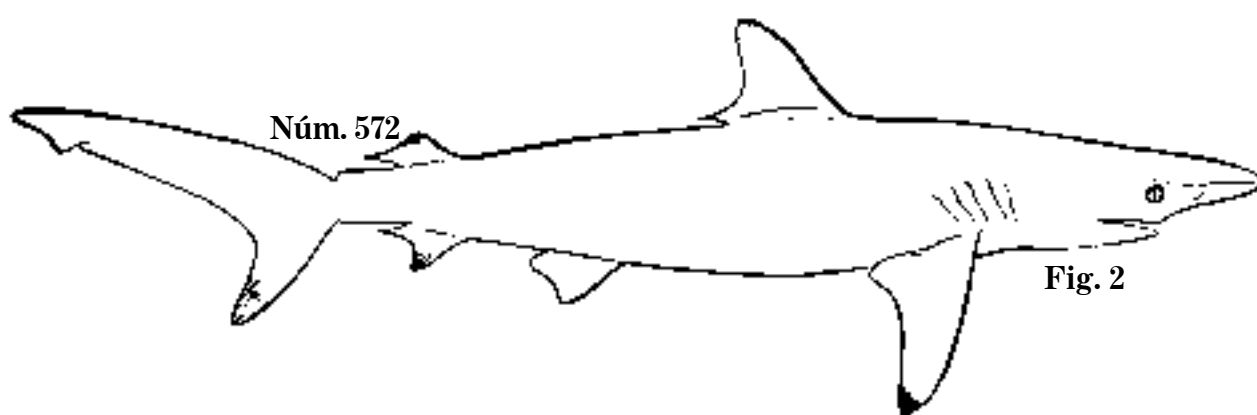


Fig. 2

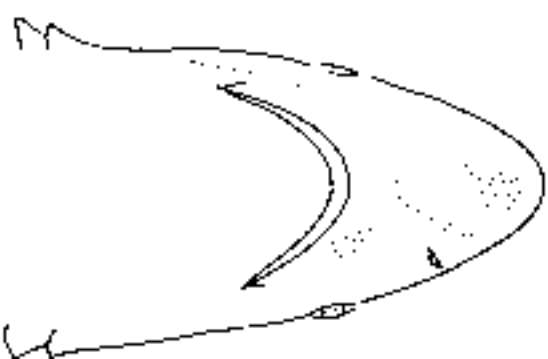


Fig. 1 *Platypodon*, 1877. P. 910 mm.

Fig. 2 *P. maculipinnis*, 1865. P. 1 690 mm; tiburón.

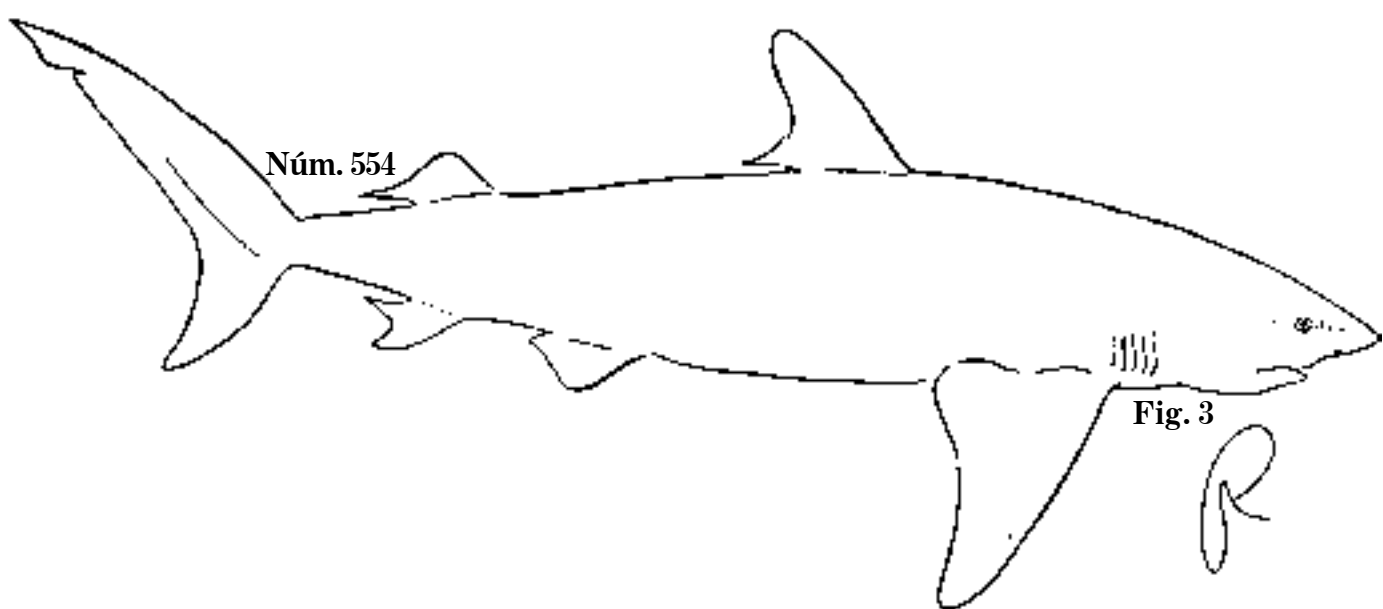
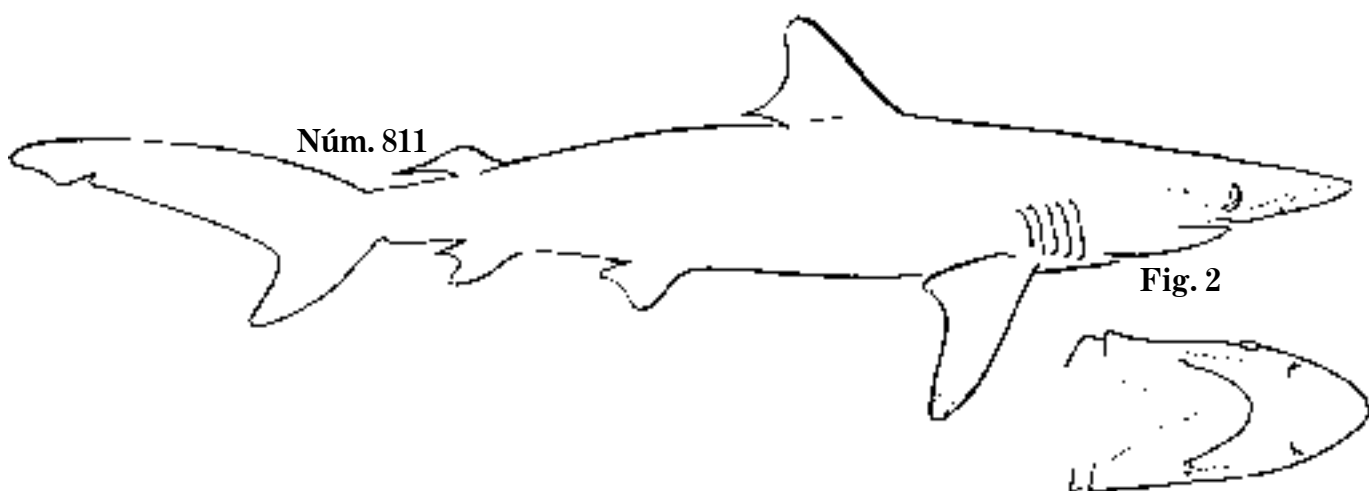
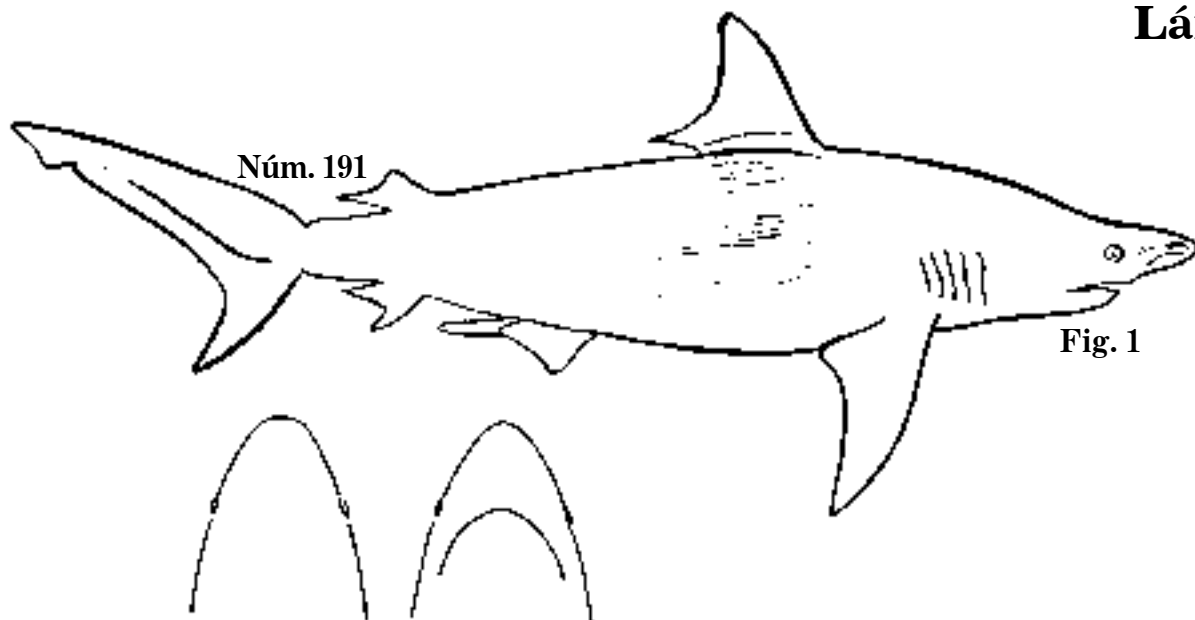


Fig. 1 *Platypodon pleuronotatus*, 1869. P. 1 500 mm.

Fig. 2 *Isogomphodon*, 1866. P. 674 mm.

Fig. 3 *Hypoprion brevirostris*, 1857. P. 3 000 mm; tiburón.

Lám. 546

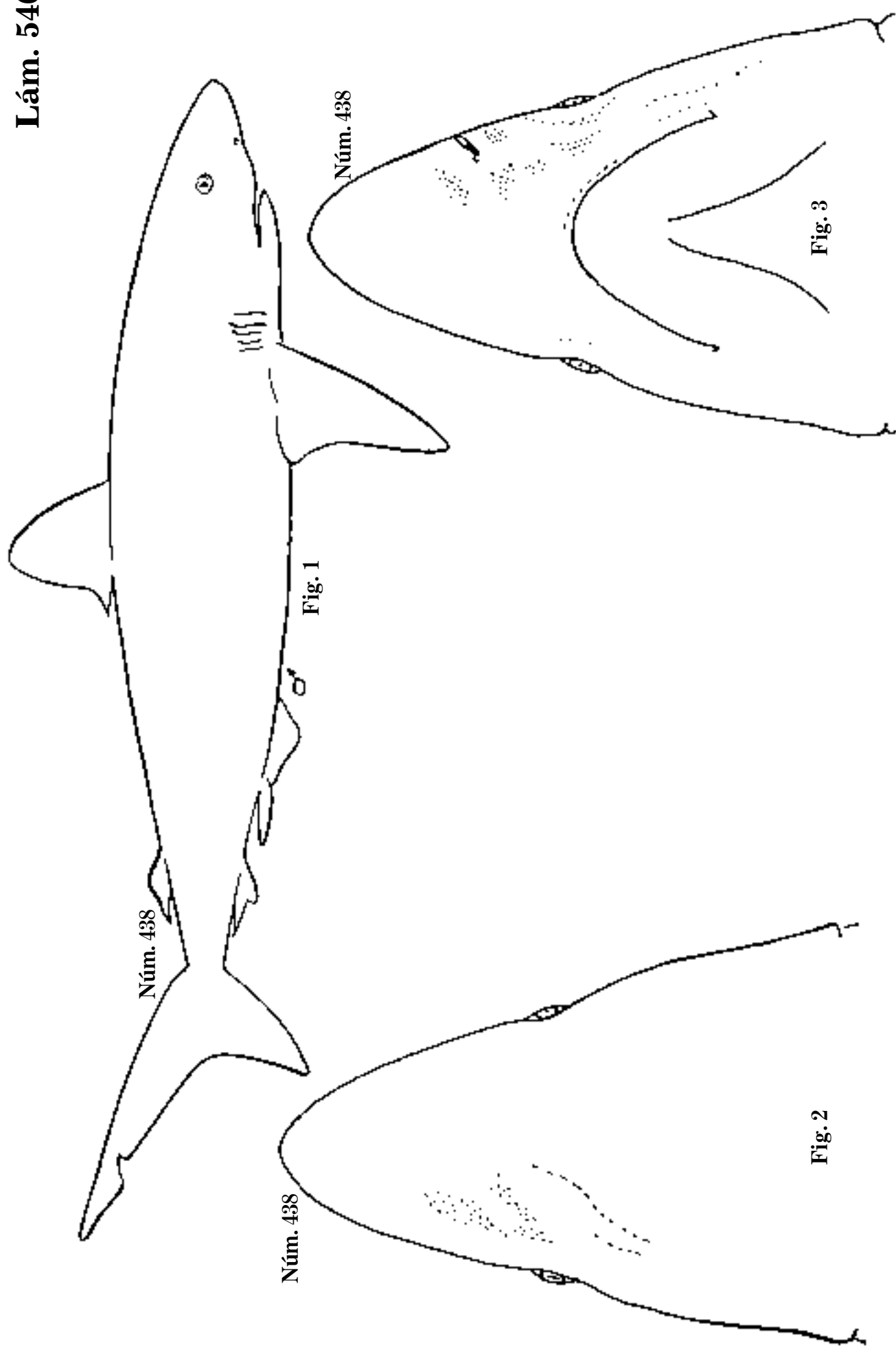


Fig. 1 *Hypoprion longirostris*, 1873. P. 2266 mm.

Fig. 2 *H. longirostris*, 1873. Cabeza, vista superior.

Fig. 3 *H. longirostris*, 1873. Cabeza, vista inferior; tiburón.

Núm. 567



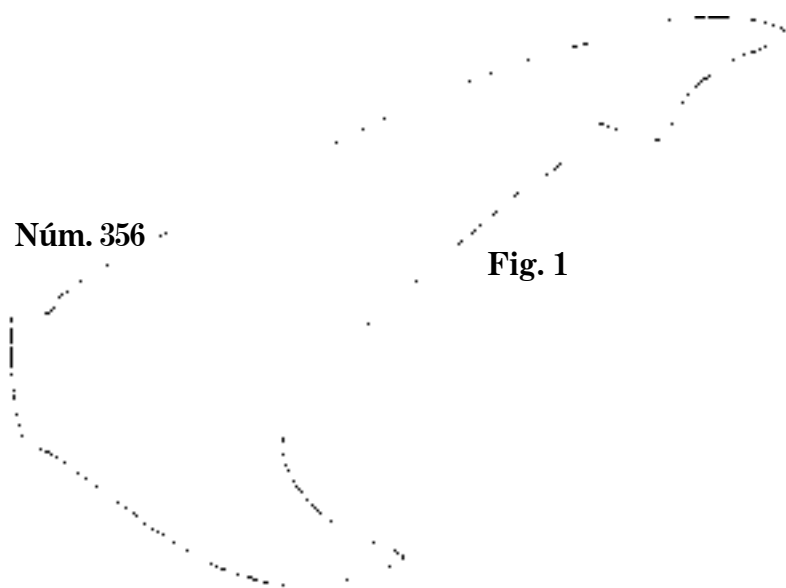
Hypoprion signatus, 1874. Tiburón.

Aletas: a)segunda dorsal; b) anal; c) ventral; d) primera dorsal; e) pectoral.

Lám. 548

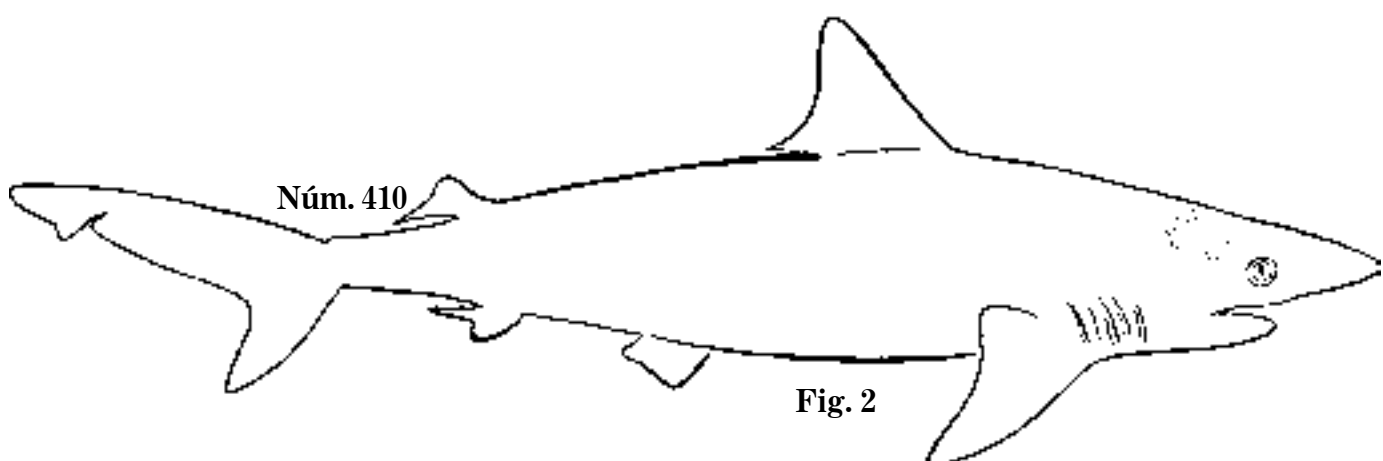
Núm. 356

Fig. 1



Núm. 410

Fig. 2



Núm. 410

Fig. 3



Fig. 1 *Aprionodon isodon*. Aleta caudal; tiburón.

Fig. 2 *Scoliodon porosus*, 1868. P. 930 mm.

Fig. 3 *S. porosus*, 1868. Cabeza, vista inferior; cazón de playa.

Lám. 549

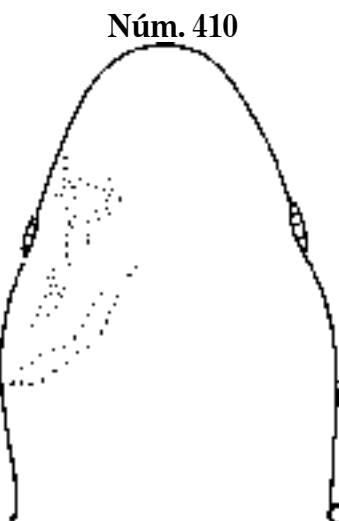


Fig. 1



Fig. 2

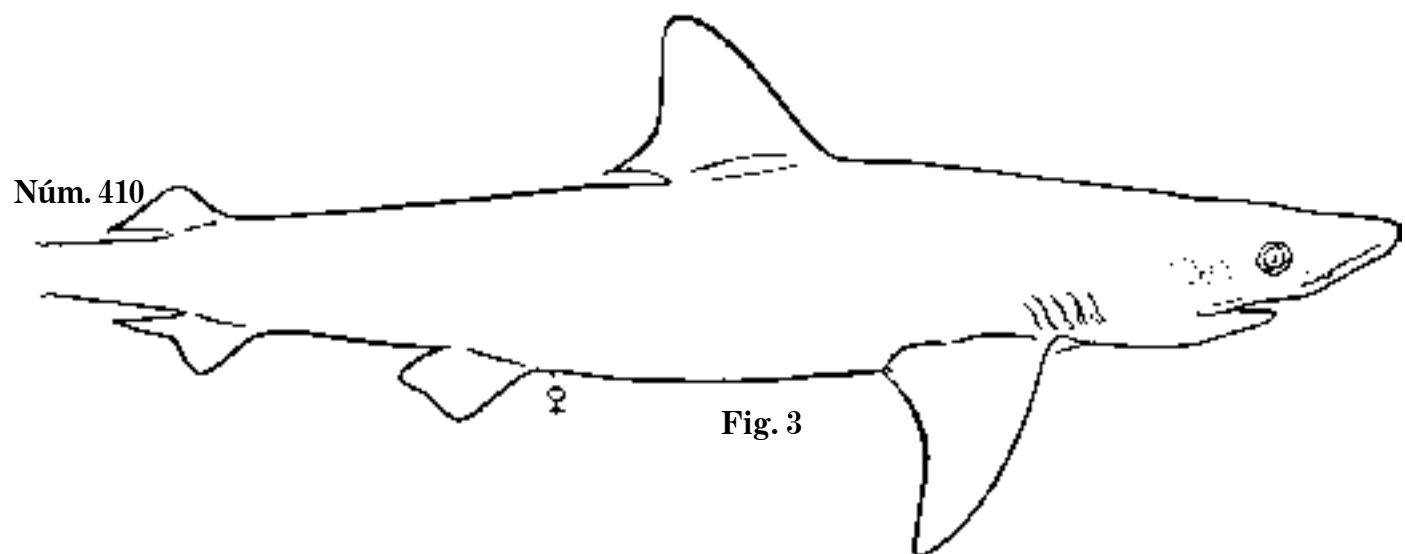


Fig. 3



Fig. 1 *Scolodion porosus*, 1872. Cabeza, vista superior.
Fig. 2 *S. porosus*, 1872. Cabeza, vista inferior.
Fig. 3 *S. porosus*, 1872. P. 990 mm; cañón de playa.

Lám. 550

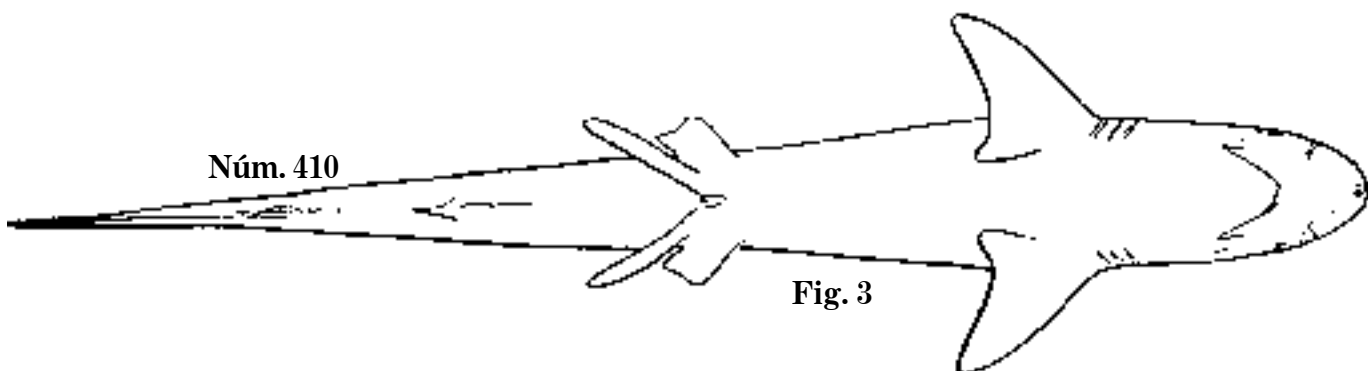
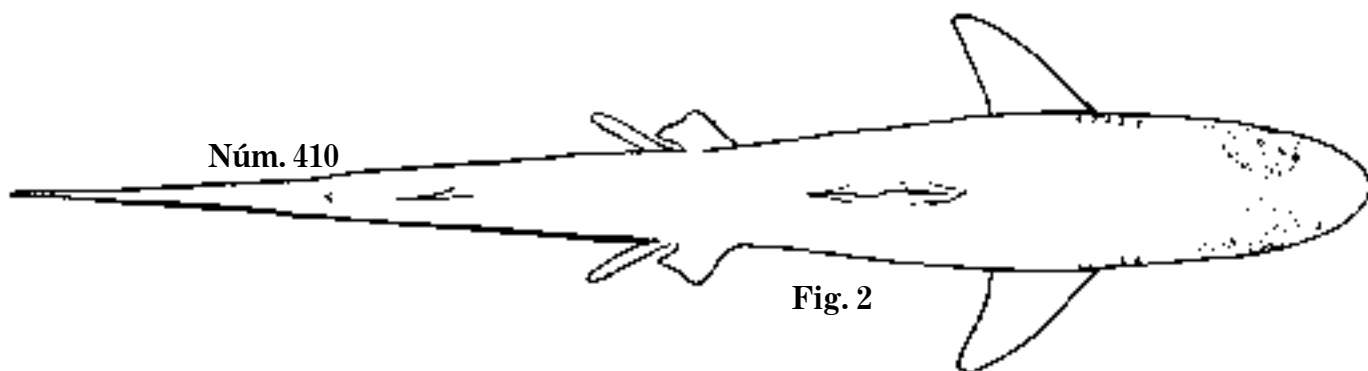
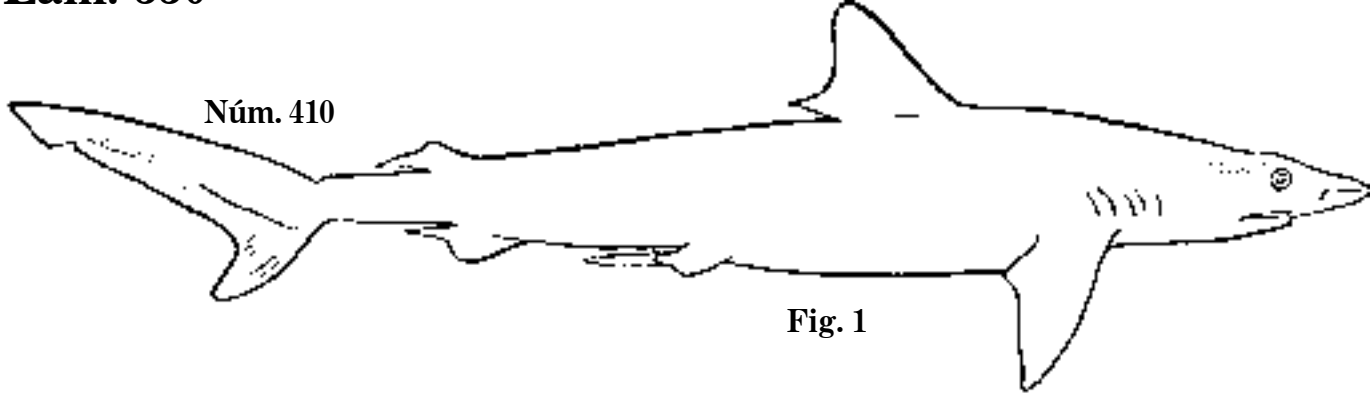


Fig. 1 *Scoliodon porosus*. P. 815 mm.

Fig. 2 *S. porosus*. Vista superior.

Fig. 3 *S. porosus*. Vista inferior; cazón de playa.

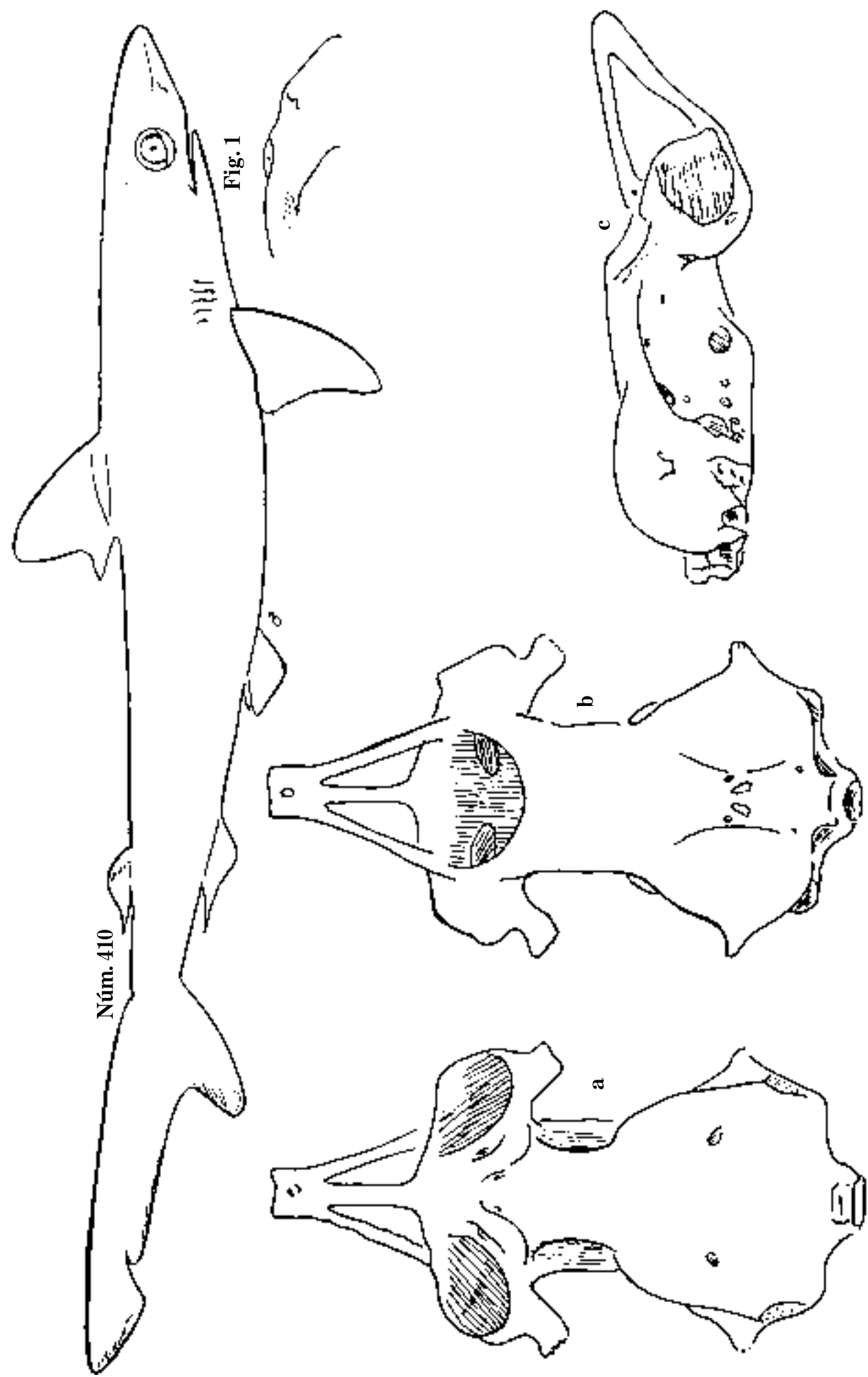
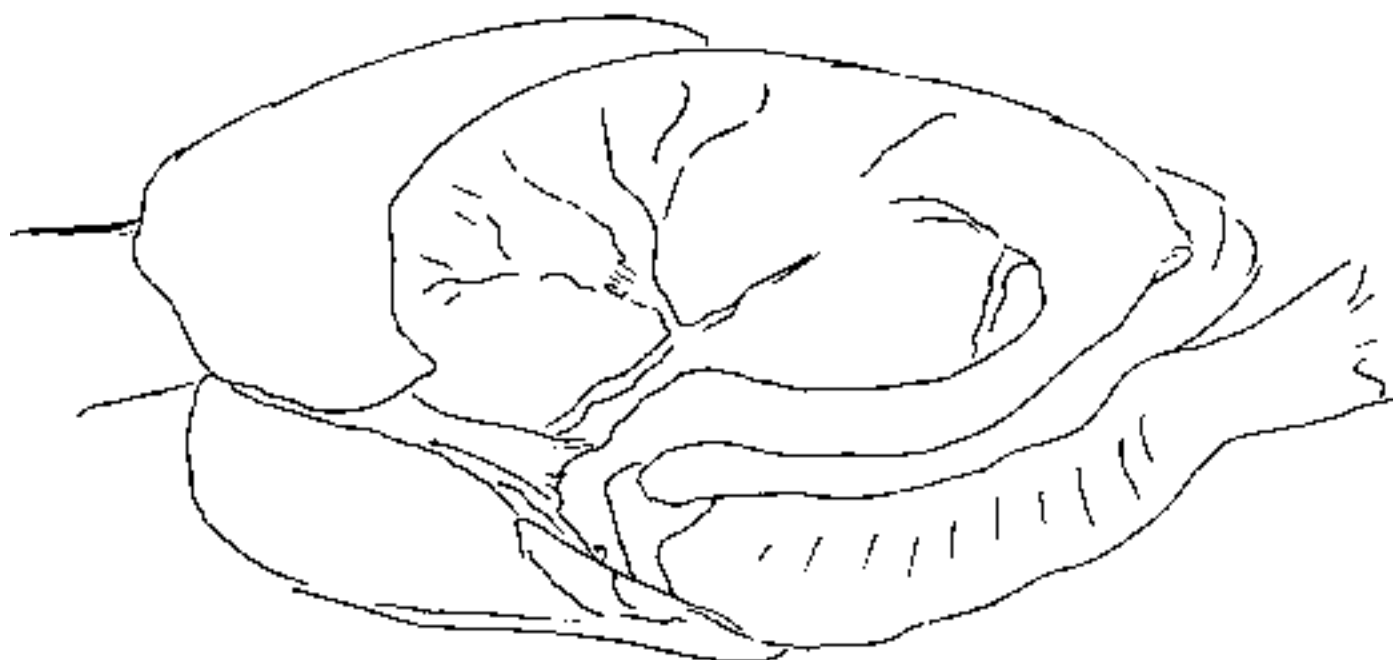
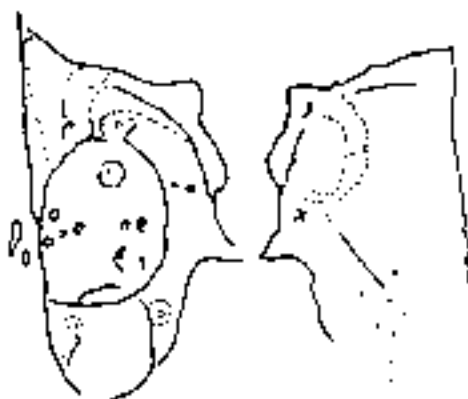
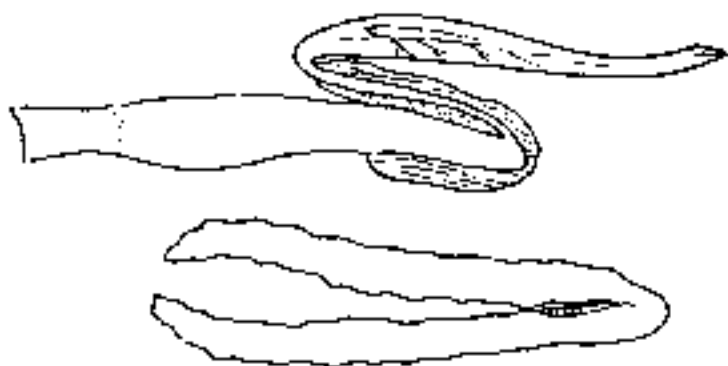


Fig. 1 *Scoliodon porosus*. P. 326 mm.
a-c. *S. porosus*. Cráneo; cañón de playa.

Lám. 552

Núm. 410



Scoliodon porosus. Cráneo y órganos; cazón de playa.

Lám. 553

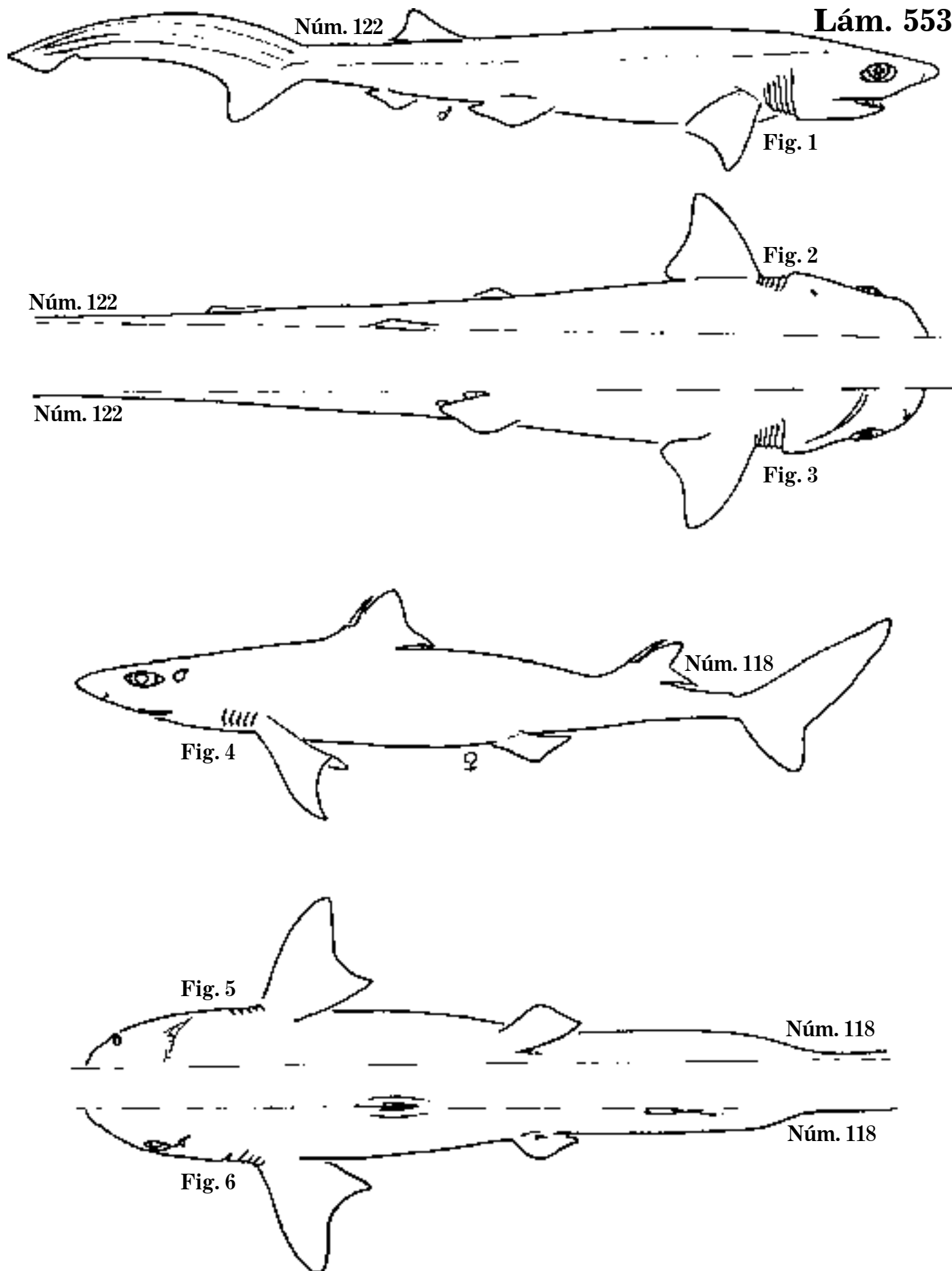


Fig. 1 *Hexanchus griseus*. C. 839 mm.

Fig. 2 *H. griseus*. Vista superior.

Fig. 3 *H. griseus*. Vista inferior; cañabota.

Fig. 4 *Squalus Acanthias*. C. 724 mm.

Fig. 5 *S. Acanthias*. Vista inferior.

Fig. 6 *S. Acanthias*. Vista superior; galludo.

Lám. 554

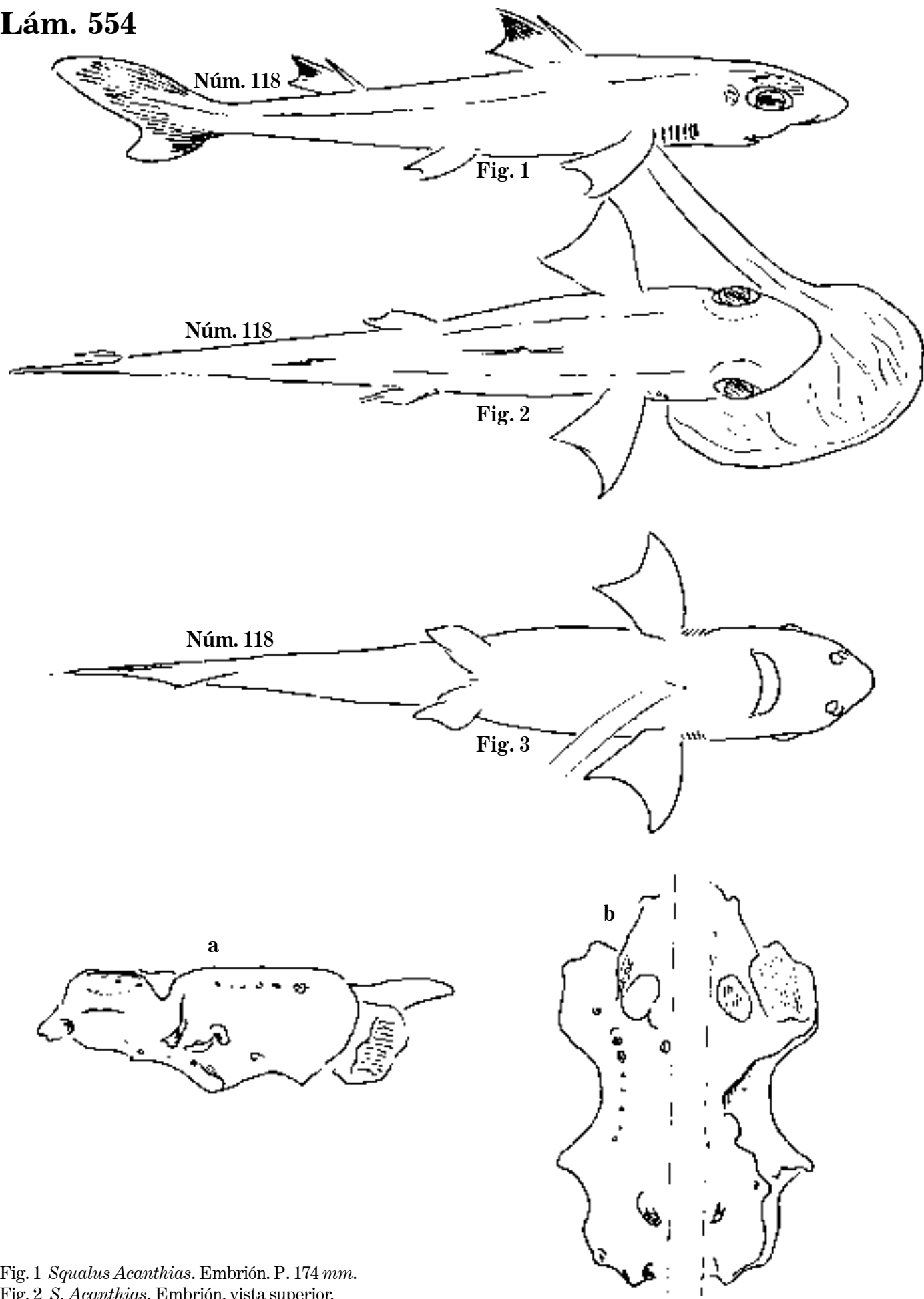


Fig. 1 *Squalus Acanthias*. Embrión. P. 174 mm.
Fig. 2 *S. Acanthias*. Embrión, vista superior.
Fig. 3 *S. Acanthias*. Embrión, vista inferior.
a-b. *S. Acanthias*. Cráneo; galludo.

Lám. 555

Fig. 3 S. niger. Vista inferior; S.N.C.

a-f Squalus Acanthias. Órganos; galludo.

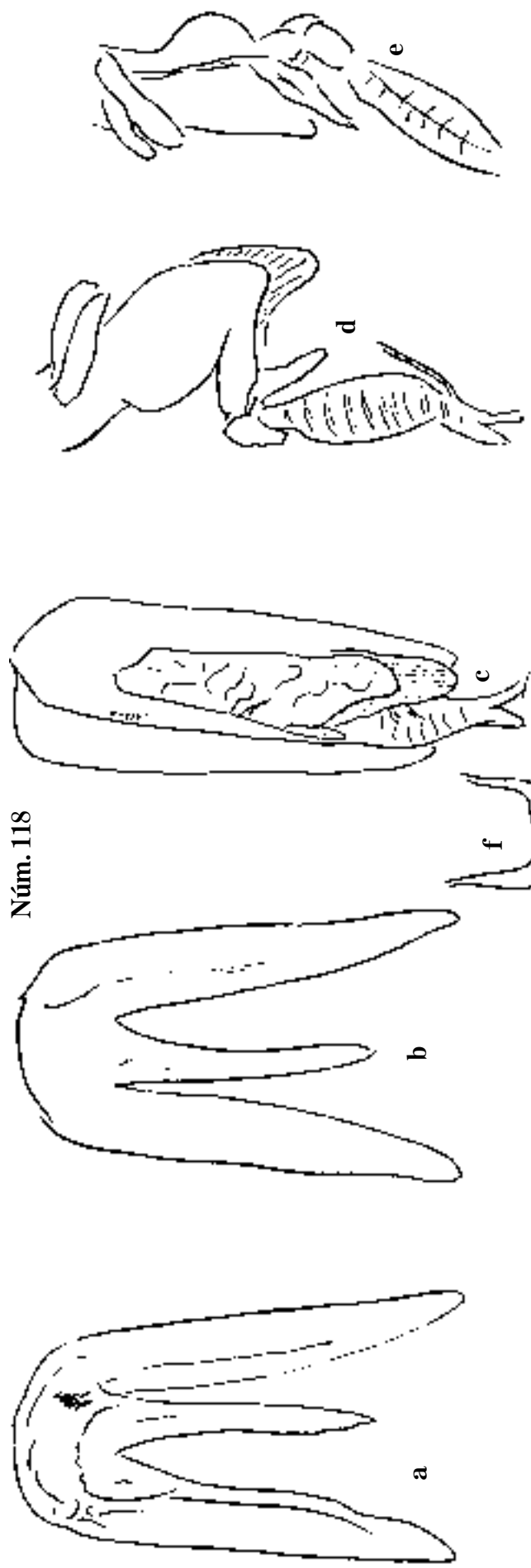
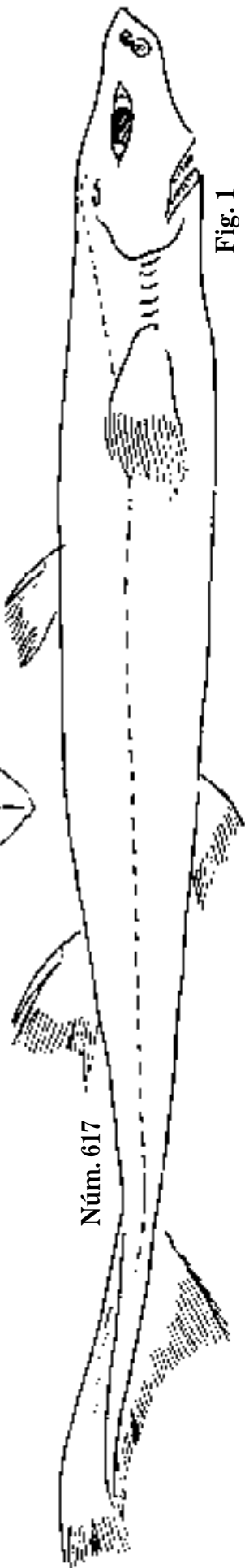
Fig. 1 Spinax niger. C. 259 mm.

Fig. 2 S. niger. Vista superior.

Fig. 3 S. niger. Vista inferior; S.N.C.

Núm. 617 Fig. 2

Fig. 1



Núm. 118

Lám. 556

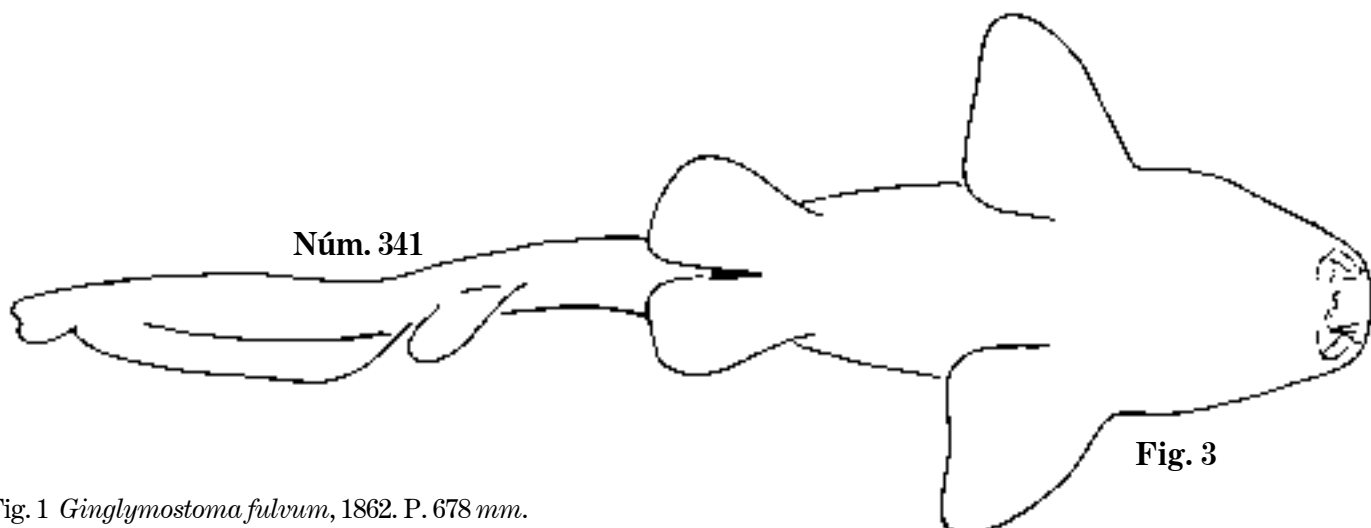
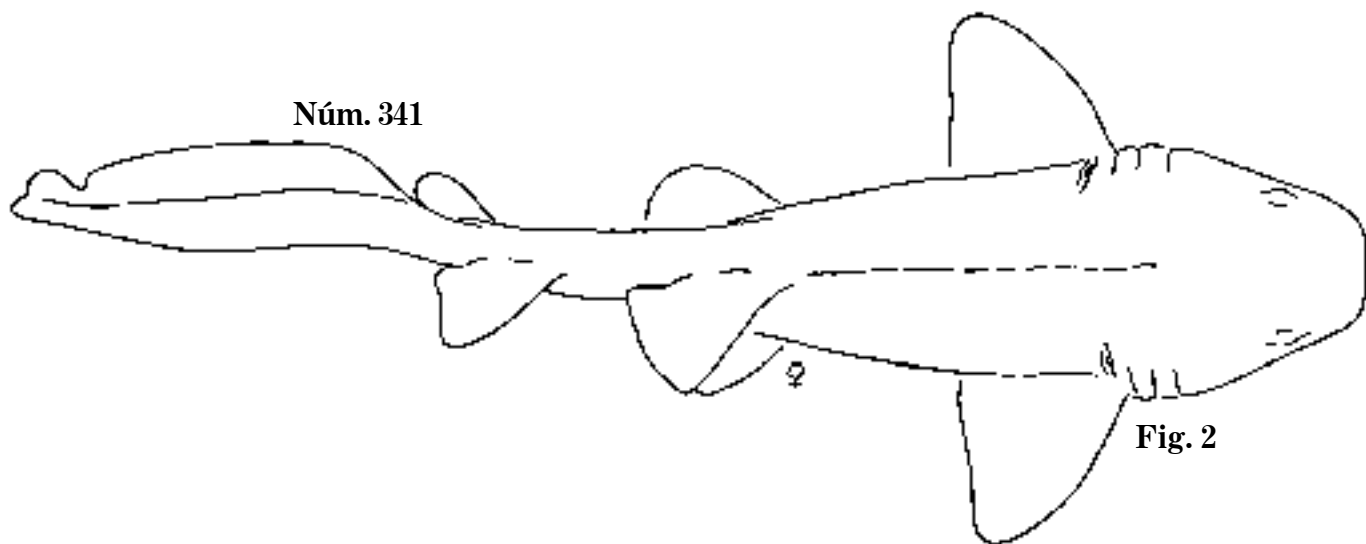
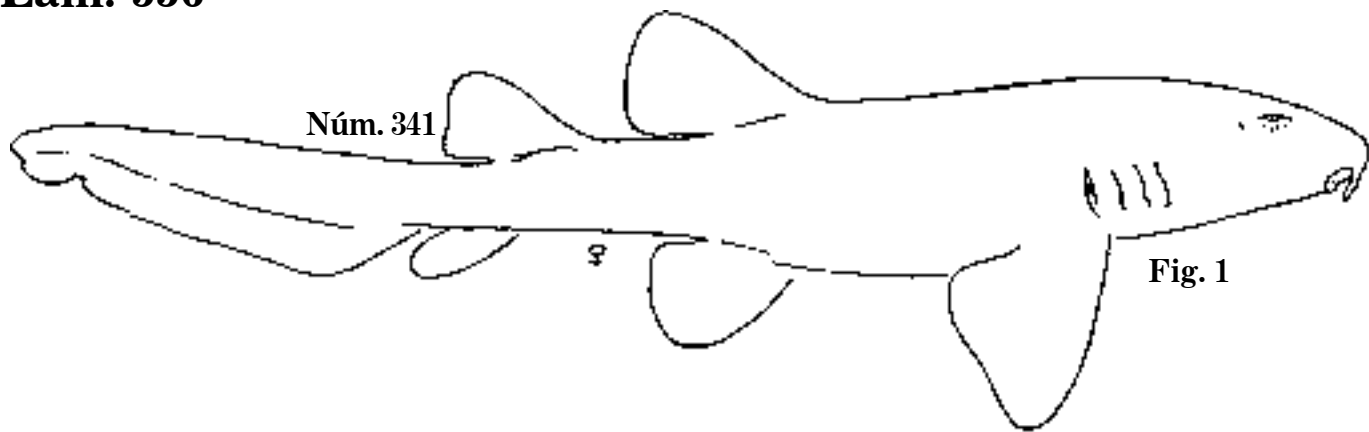


Fig. 1 *Ginglymostoma fulvum*, 1862. P. 678 mm.

Fig. 2 *G. fulvum*. Vista superior.

Fig. 3 *G. fulvum*. Vista inferior; gata.

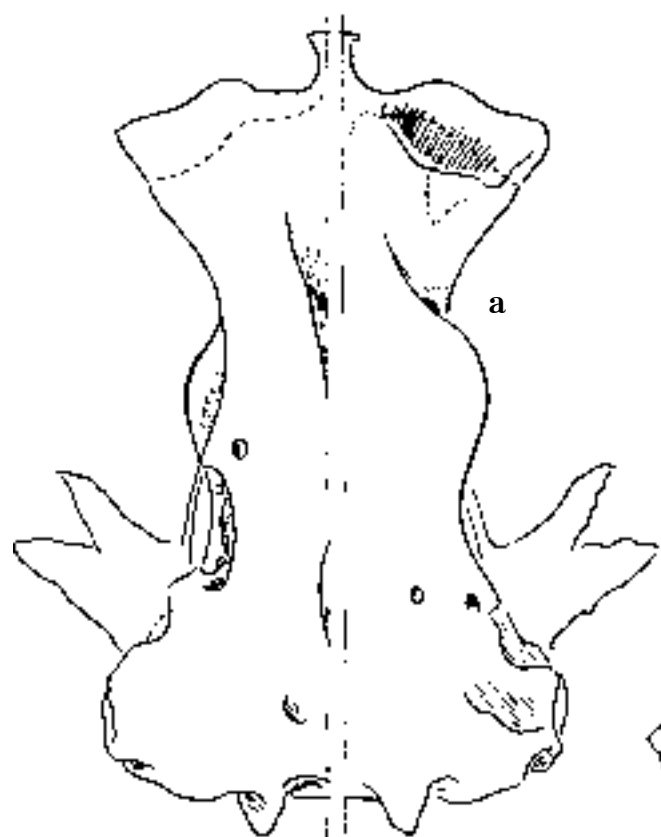
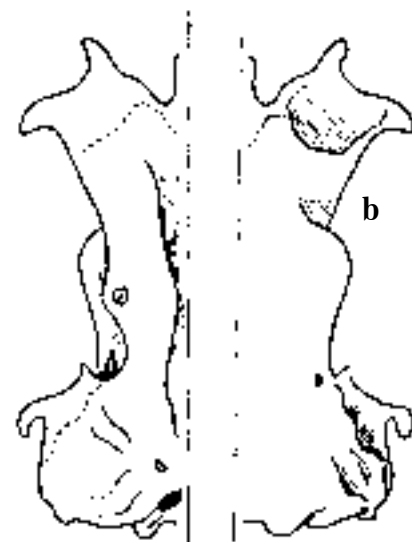
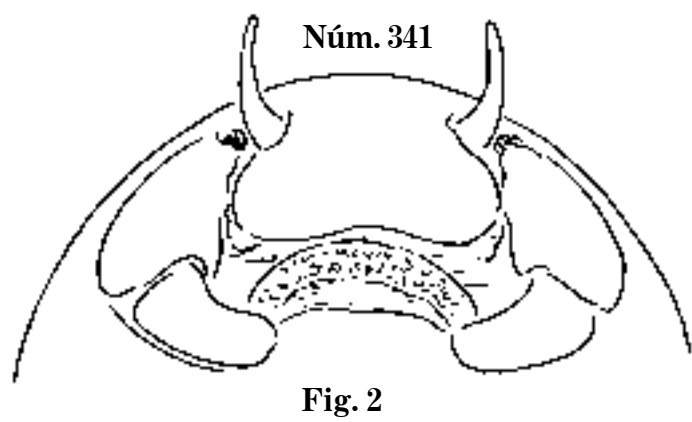
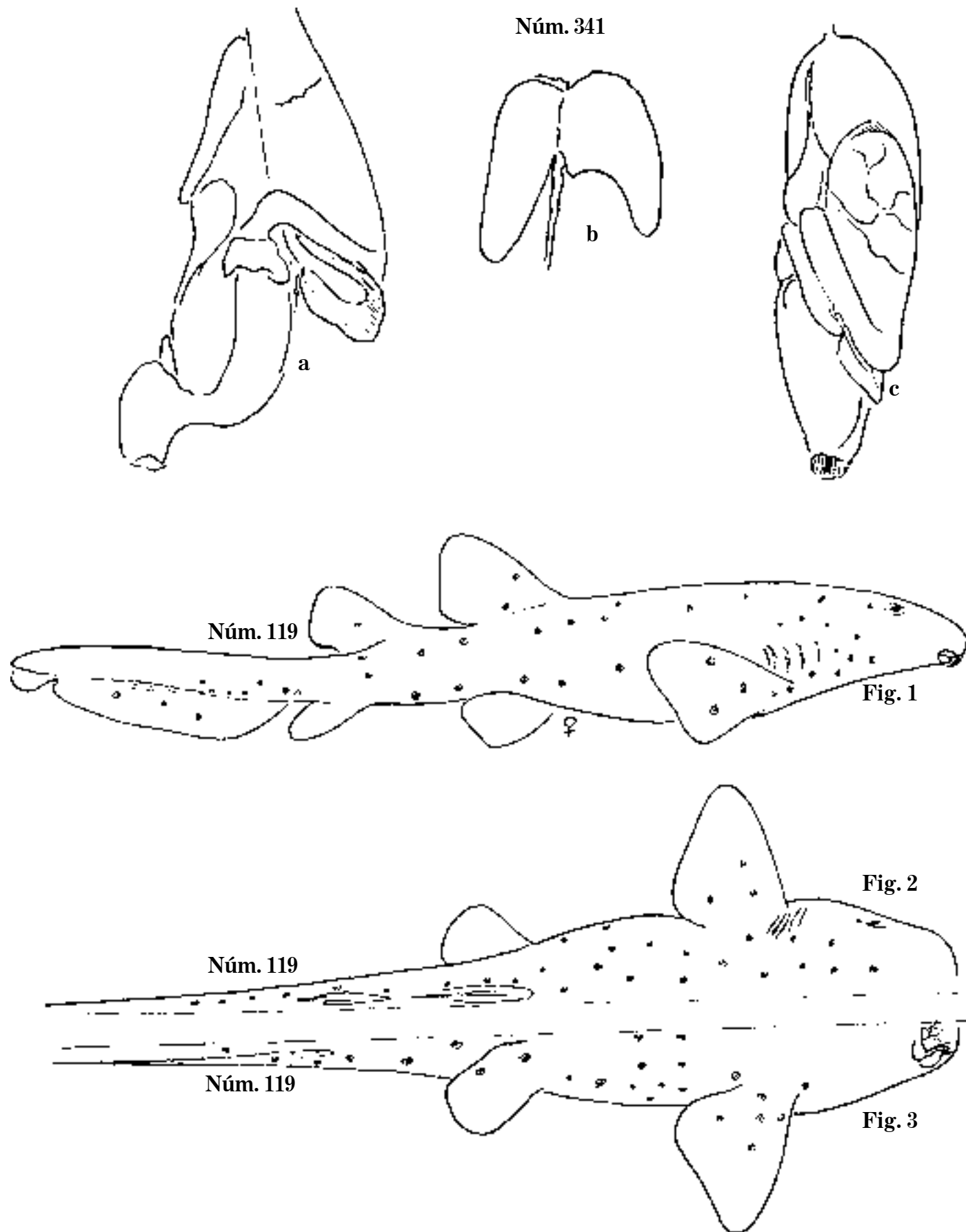


Fig. 1 *Ginglymostoma fulvum*. P. 2 166 mm.
Fig. 2 *G. fulvum*. Cabeza, vista inferior.
a-d. *G. fulvum*. Cráneo; gata.

Lám. 558



a-c. Ginglymostoma fulvum. Órganos.
Fig. 1 *G. cirratum*, 1870. P. 854 mm.
Fig. 2 *G. cirratum*. Vista superior.
Fig. 3 *G. cirratum*. Vista inferior; gata.

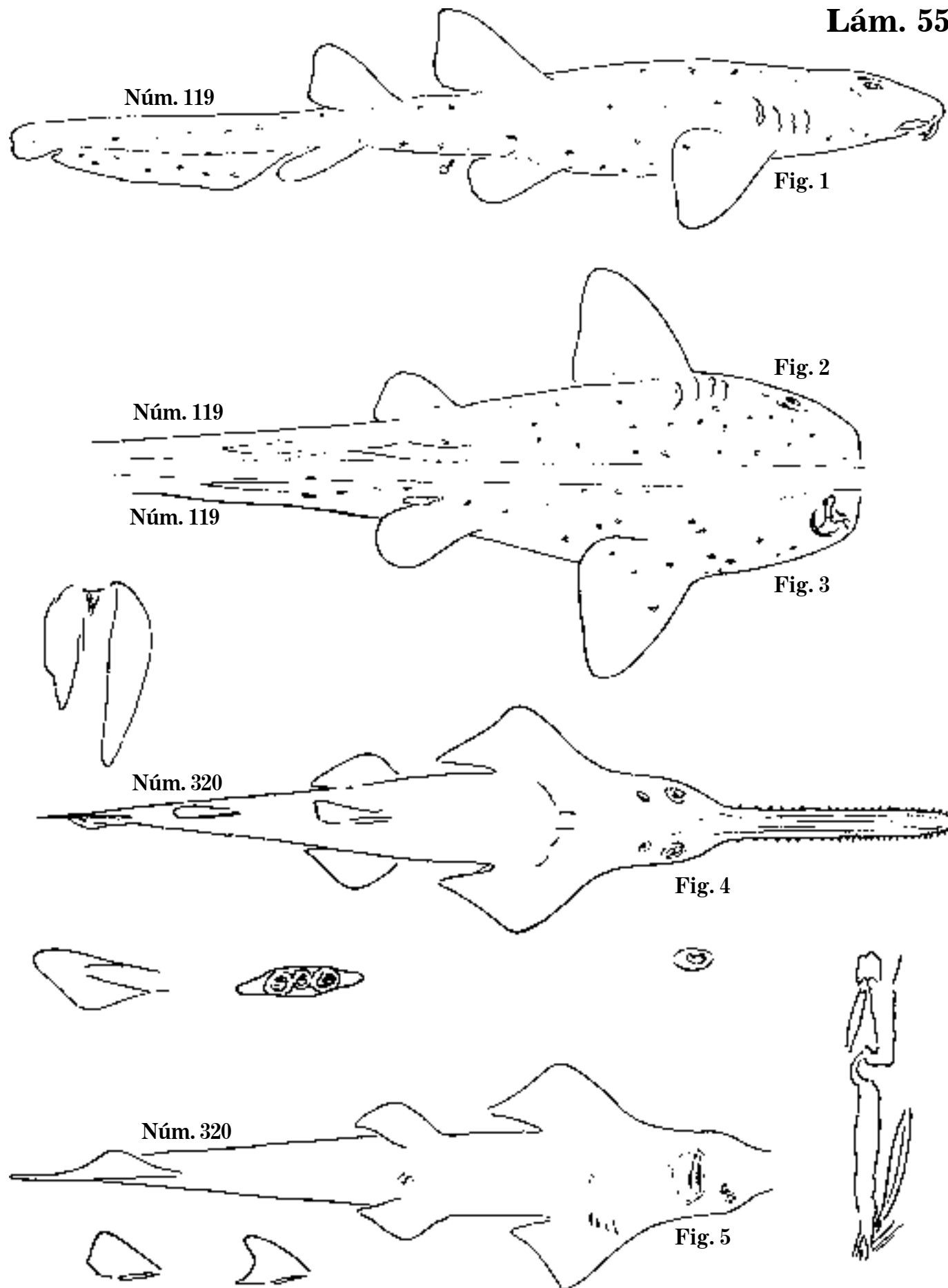


Fig. 1 *Ginglymostoma cirratum*. C. 458 mm.
 Fig. 2 *G. cirratum*. Vista superior.
 Fig. 3 *G. cirratum*. Vista inferior; gata.

Fig. 4 *Pristis pectinatus*, 1853. C. 682 mm.
 Fig. 5 *P. pectinatus*. Vista inferior; pez sierra.

Lám. 560

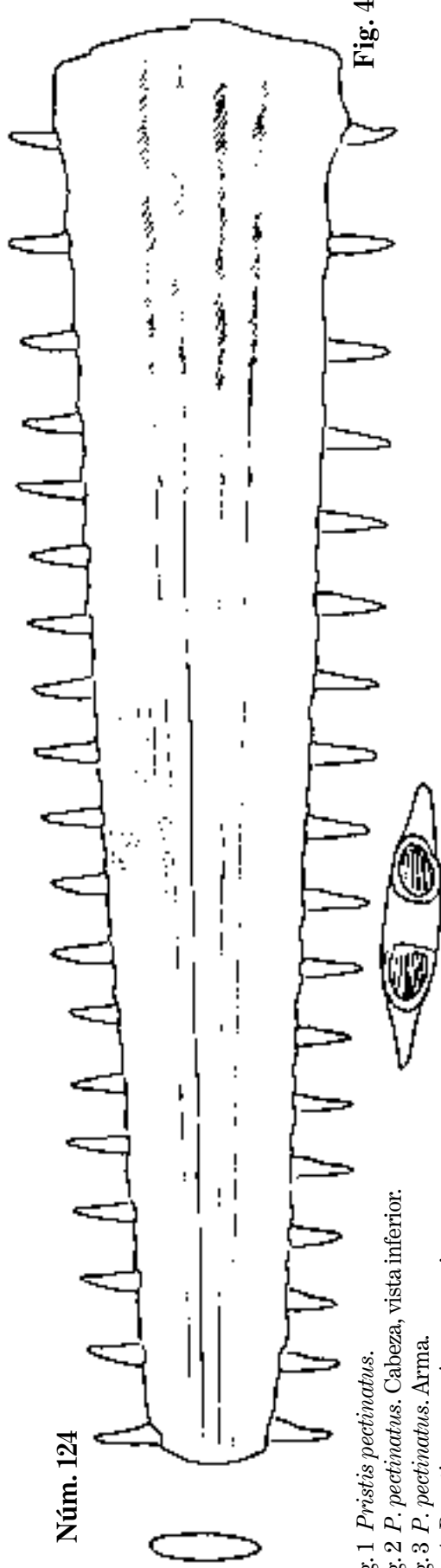
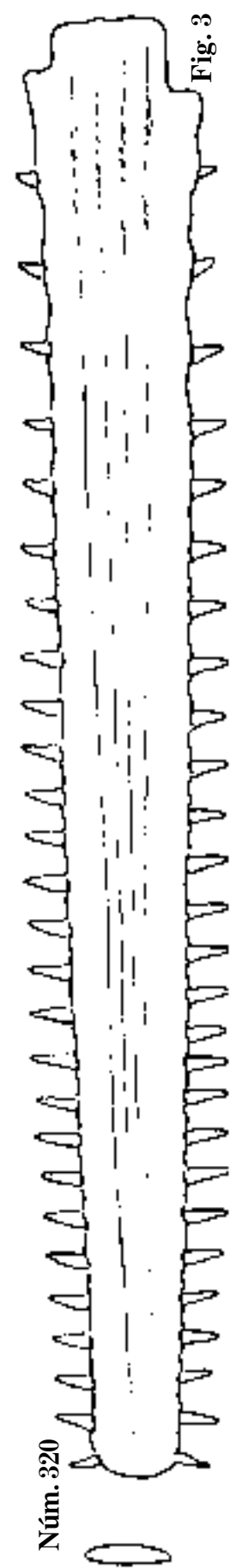
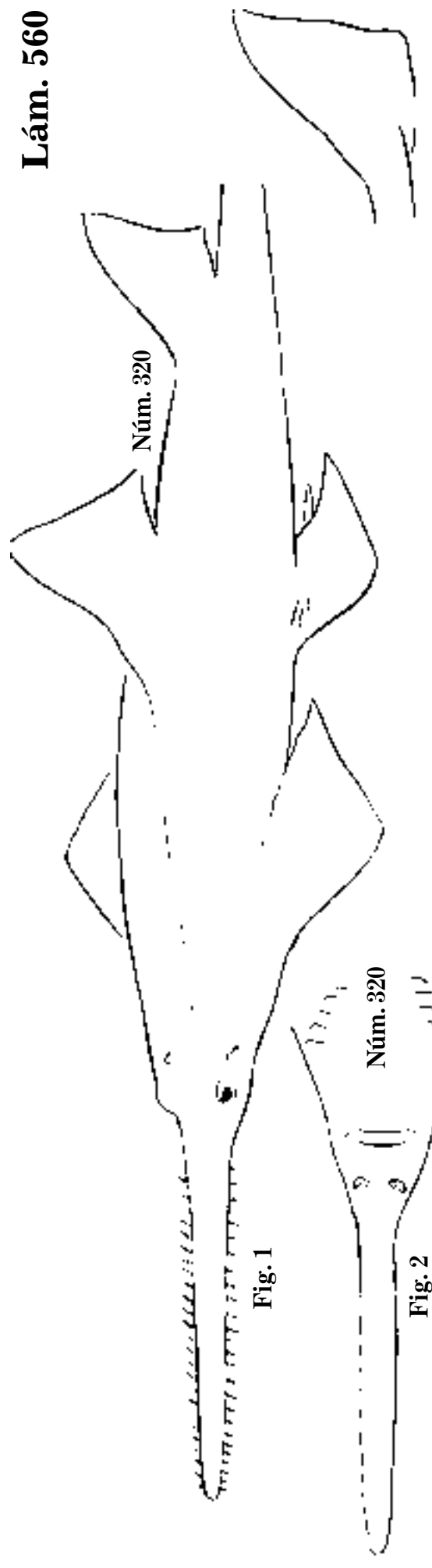


Fig. 1 *Pristis pectinatus*.

Fig. 2 *P. pectinatus*. Cabeza, vista inferior.

Fig. 3 *P. pectinatus*. Arma.

Fig. 4 *P. antiquorum*. Arma; pez sierra.

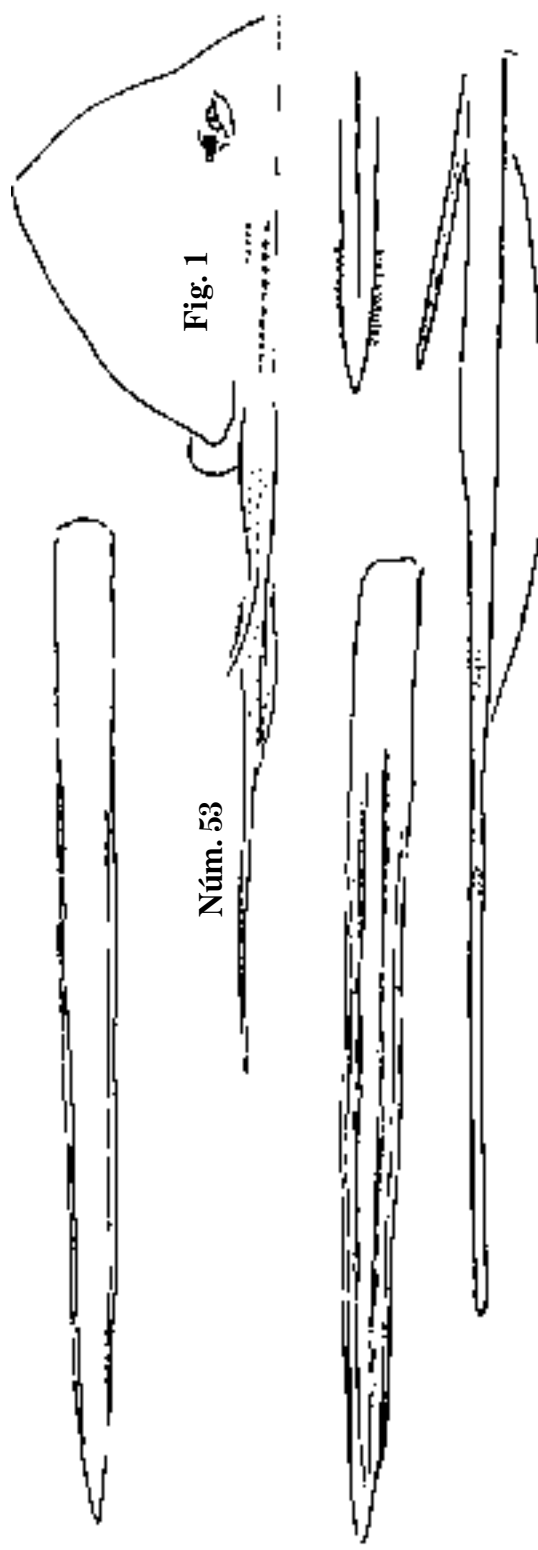


Fig. 1

Núm. 53

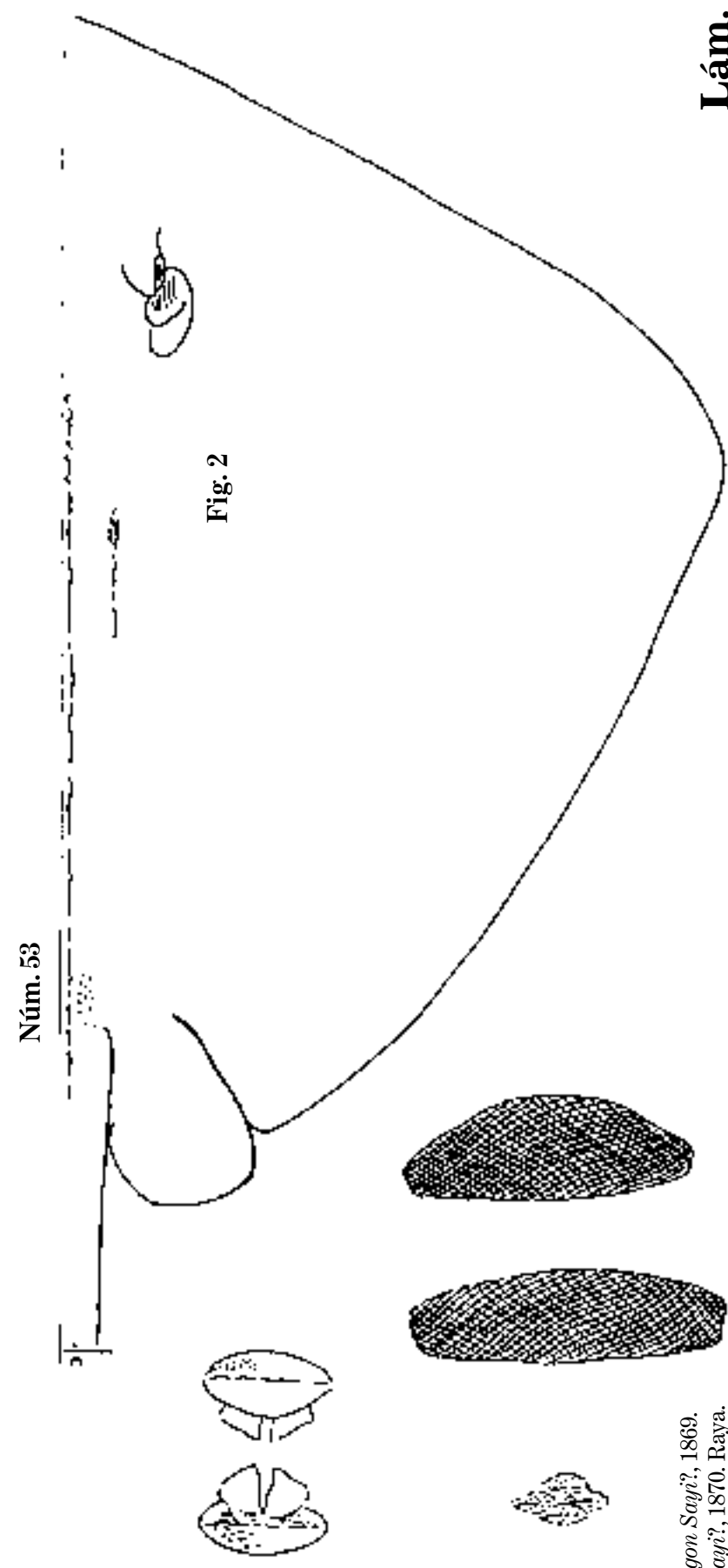


Fig. 2

Núm. 53

Fig. 1 *Trygon Sayi?*, 1869.
Fig. 2 *T. Sayi?*, 1870. Raya.

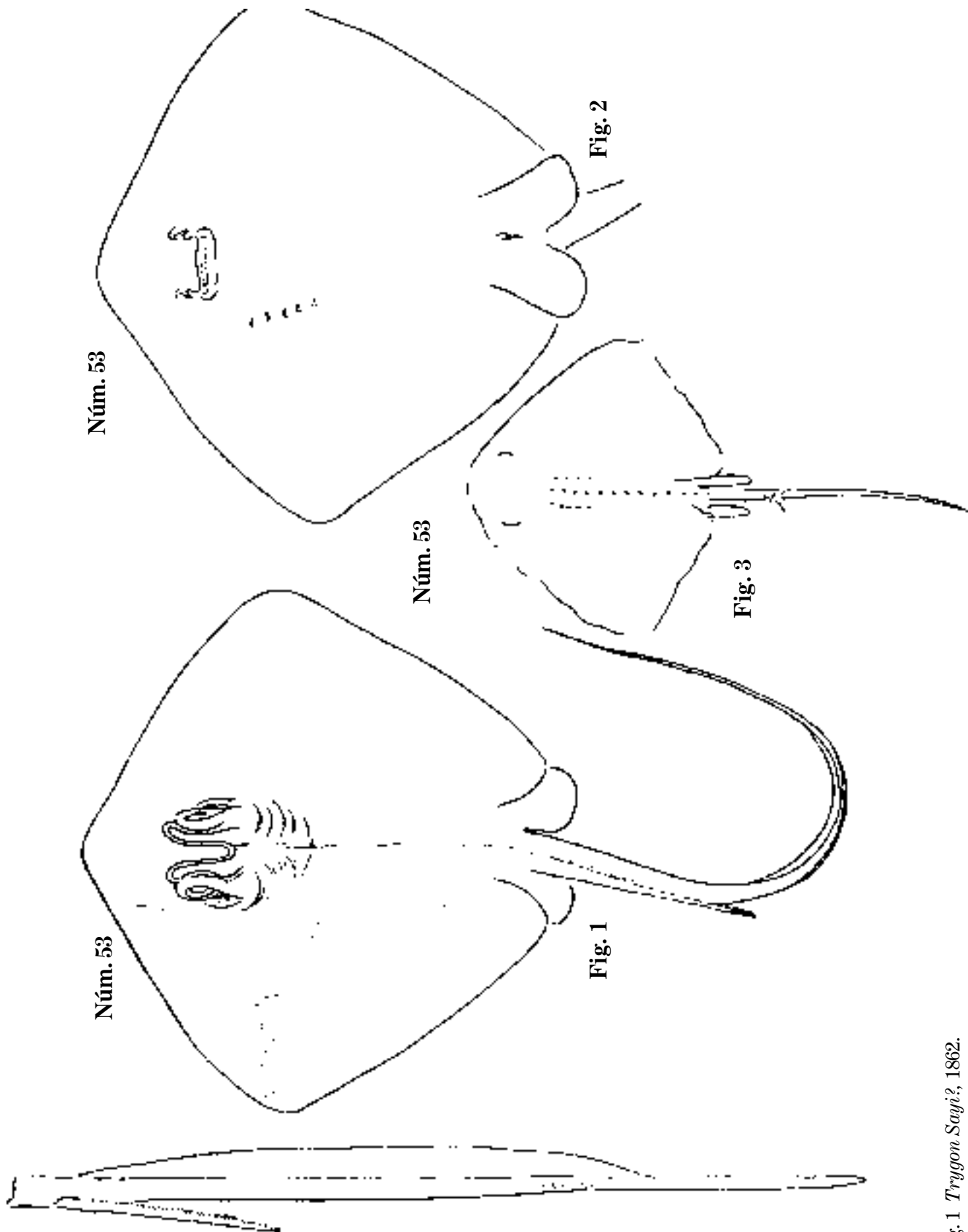


Fig. 1 *Trygonon Sayi?*, 1862.

Fig. 2 *T. Sayi?* Vista inferior.

Fig. 3 *T. Sayi?*, 1867. Raya.

Núm. 53

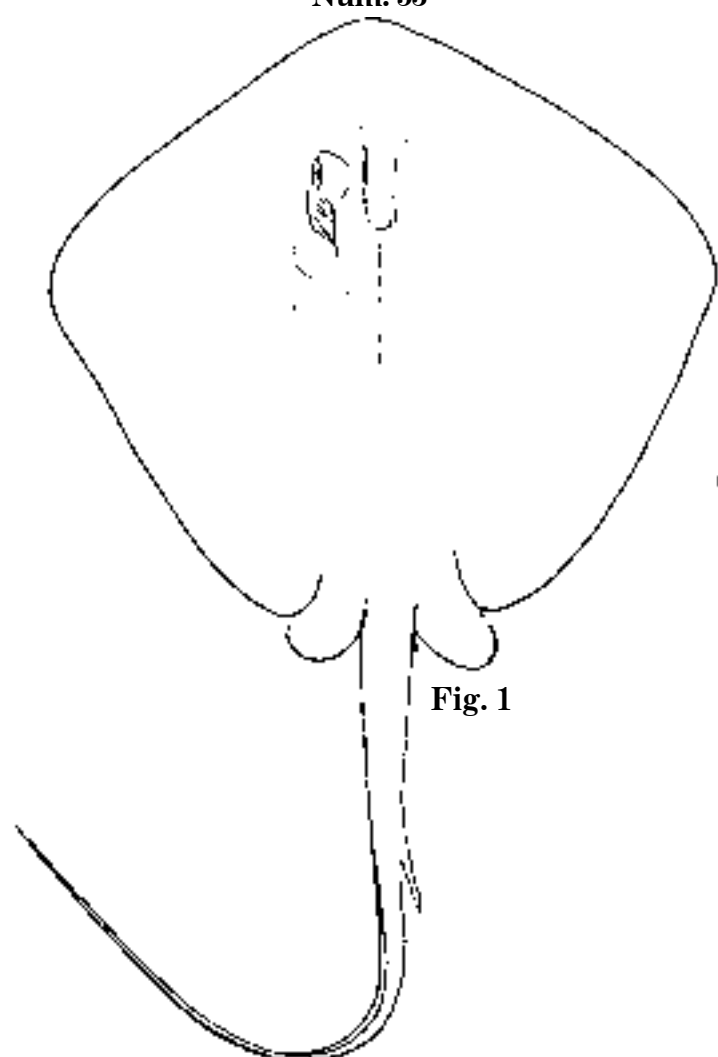


Fig. 1

Lám. 563

Núm. 53

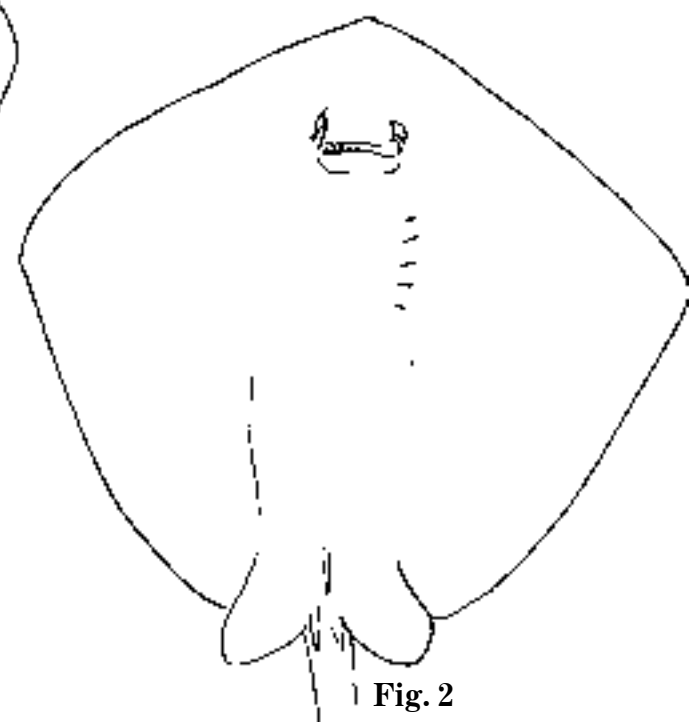


Fig. 2

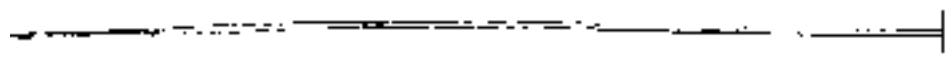
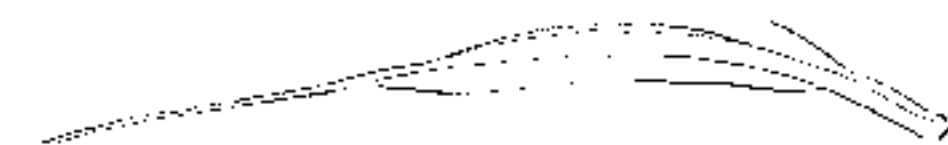
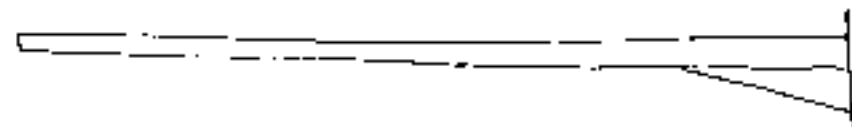
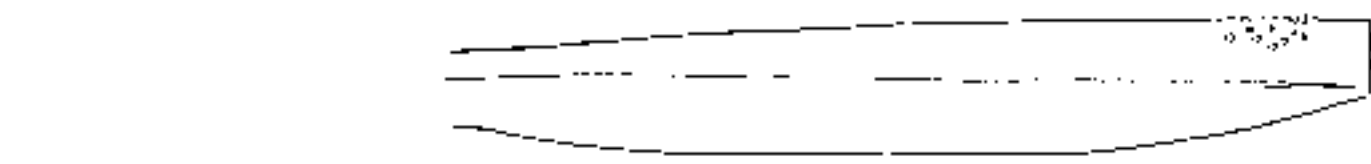


Fig. 1 *Trygon Sayi?*, 1867.
Fig. 2 *T. Sayi?* Vista inferior; raya.

Lám. 564

Núm. 543

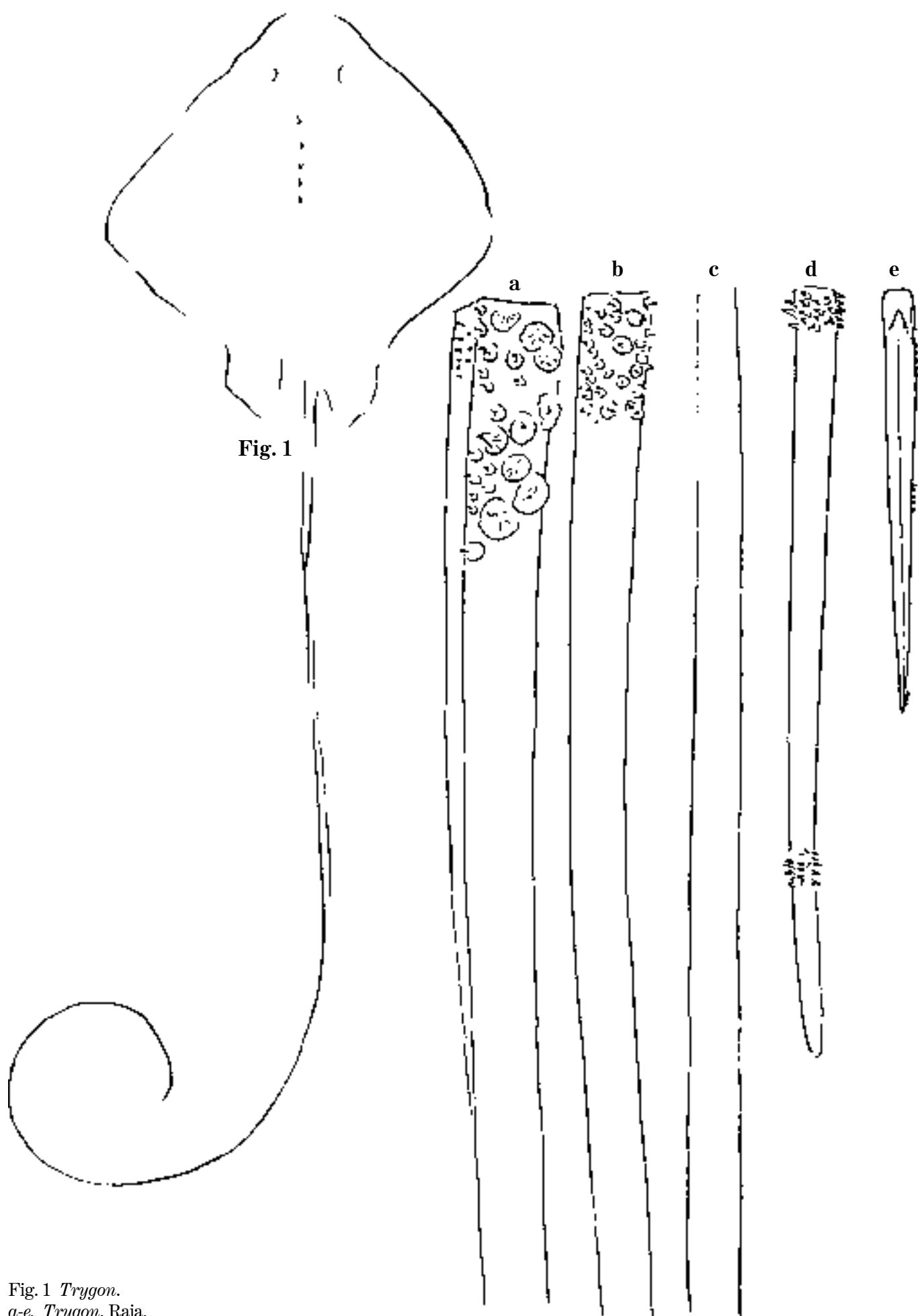


Fig. 1 *Trygon*.
a-e. *Trygon. Raia*.

Núm. 532

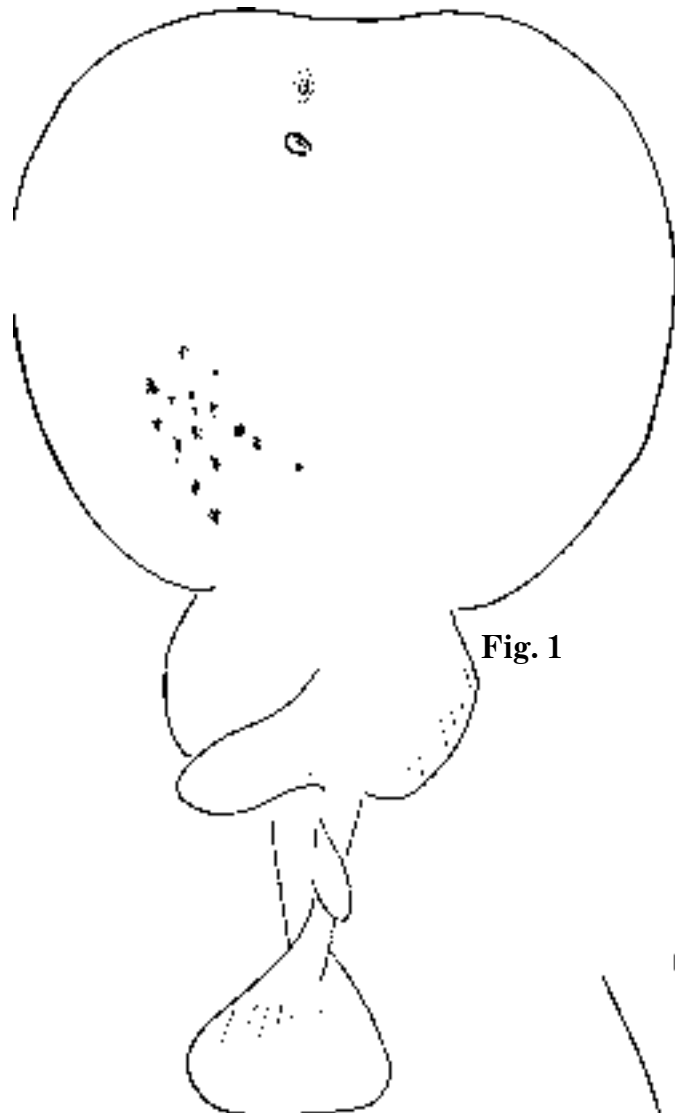


Fig. 1

Lám. 565

Núm. 532

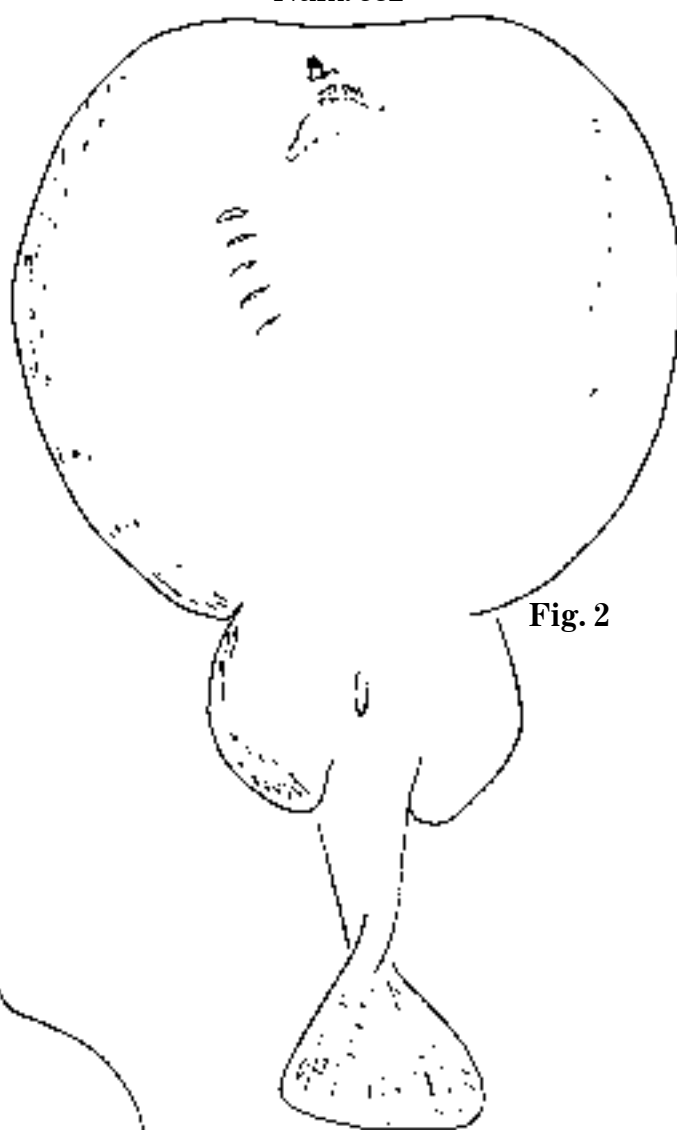


Fig. 2

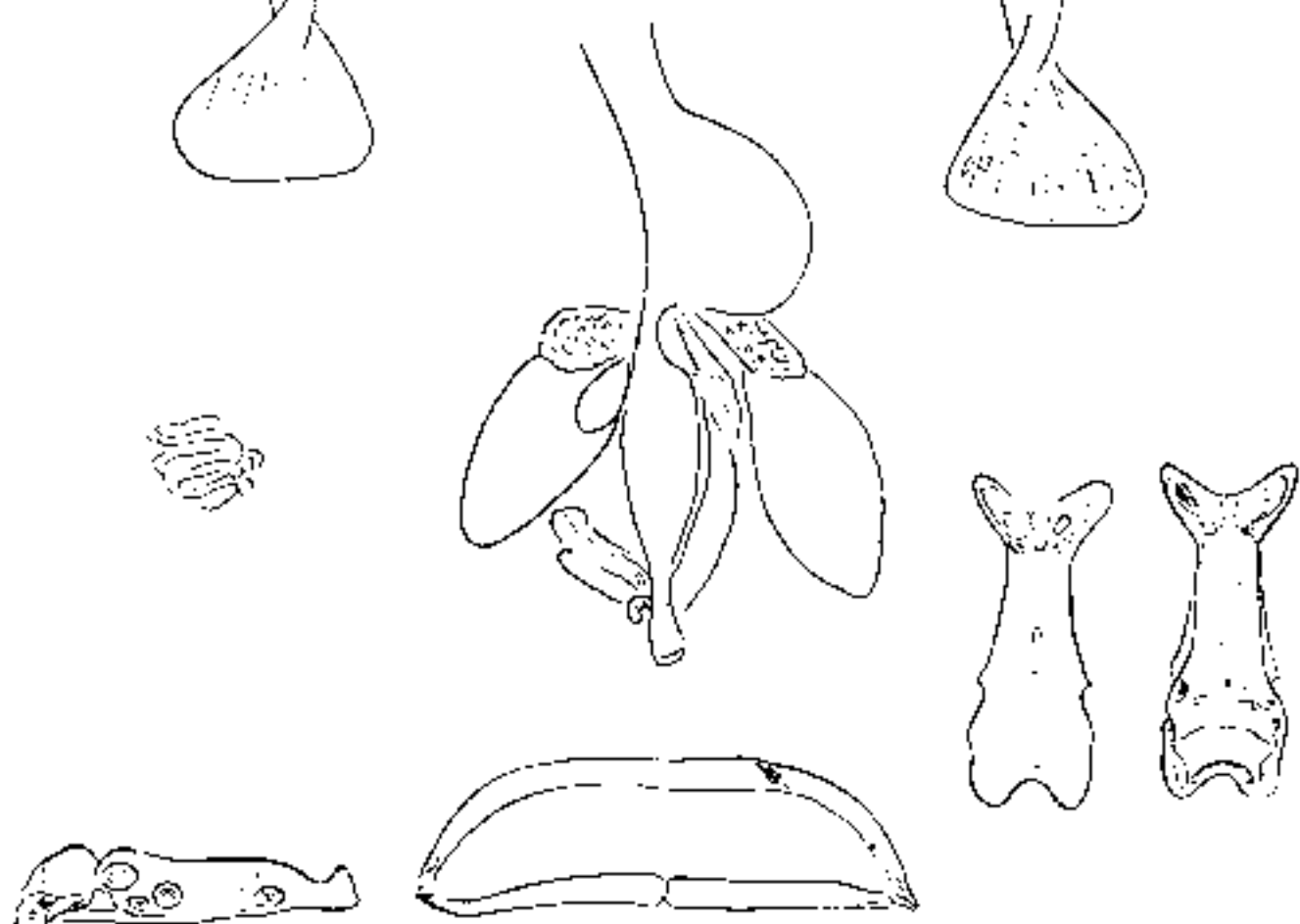


Fig. 1 *Torpedo occidentalis*. P. 360 mm.
Fig. 2 *T. occidentalis*. Vista inferior; raia.

Lám. 566

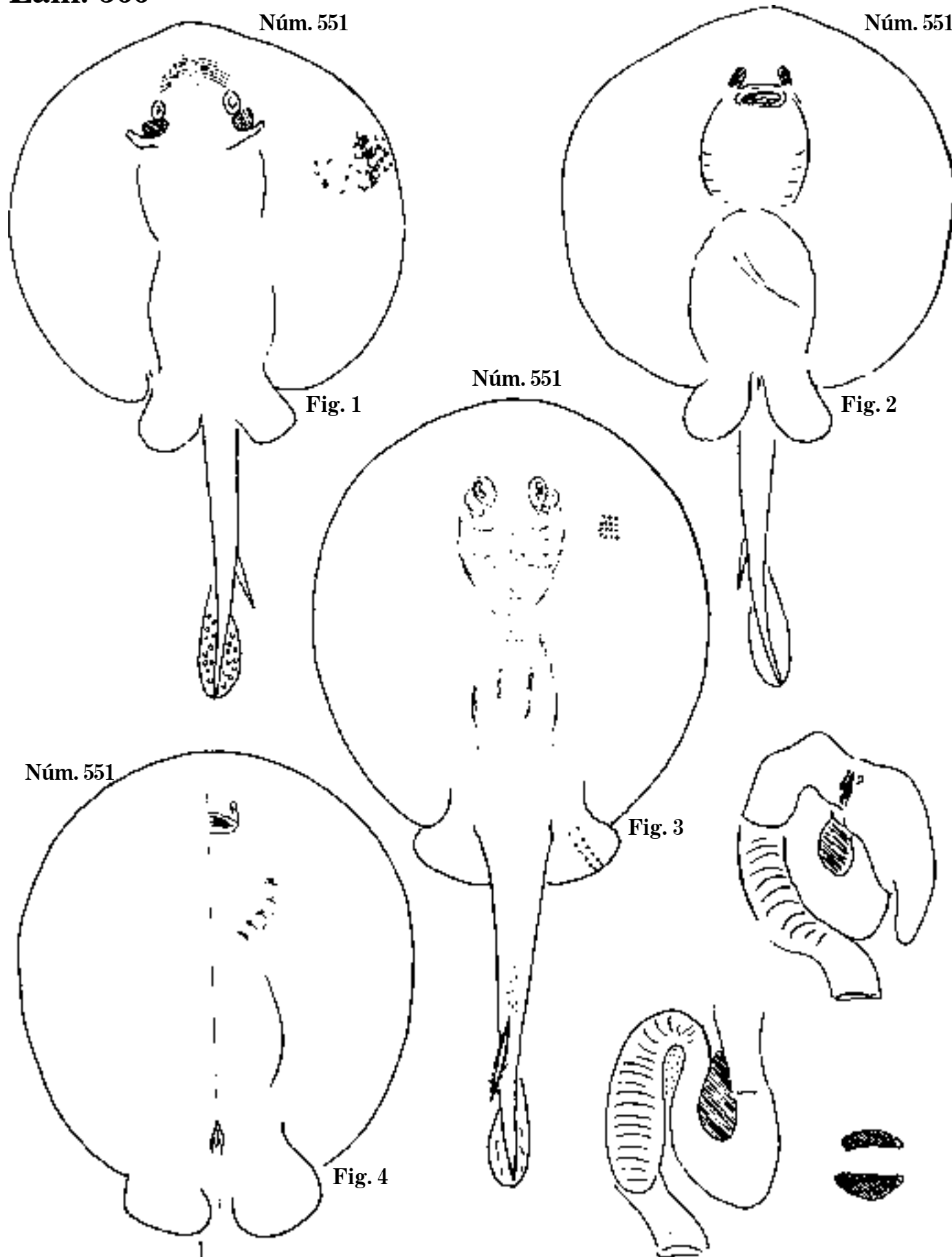


Fig. 1 *Urolopus torpedinus*, 1876.

Fig. 2 *U. torpedinus*. Vista inferior.

Fig. 3 *U. torpedinus*, 1863.

Fig. 4 *U. torpedinus*. Vista inferior; tembladera.



Fig. 1

Núm. 551



Fig. 2

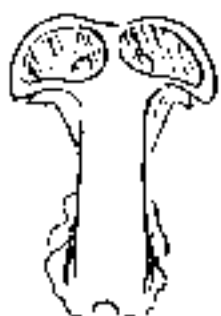


Fig. 3

Núm. 551

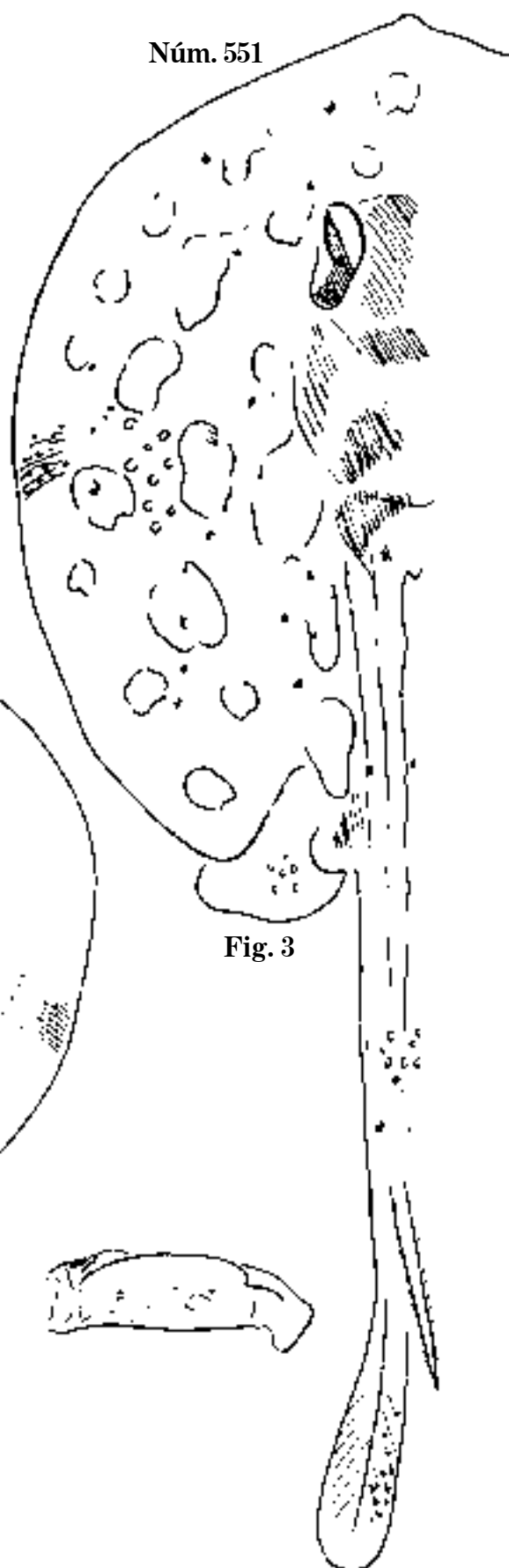


Fig. 1 *Urolophus torpedinus*, 1859.
Fig. 2 *U. torpedinus*. Vista inferior.
Fig. 3 *U. torpedinus*; tembladera.

Lám. 568

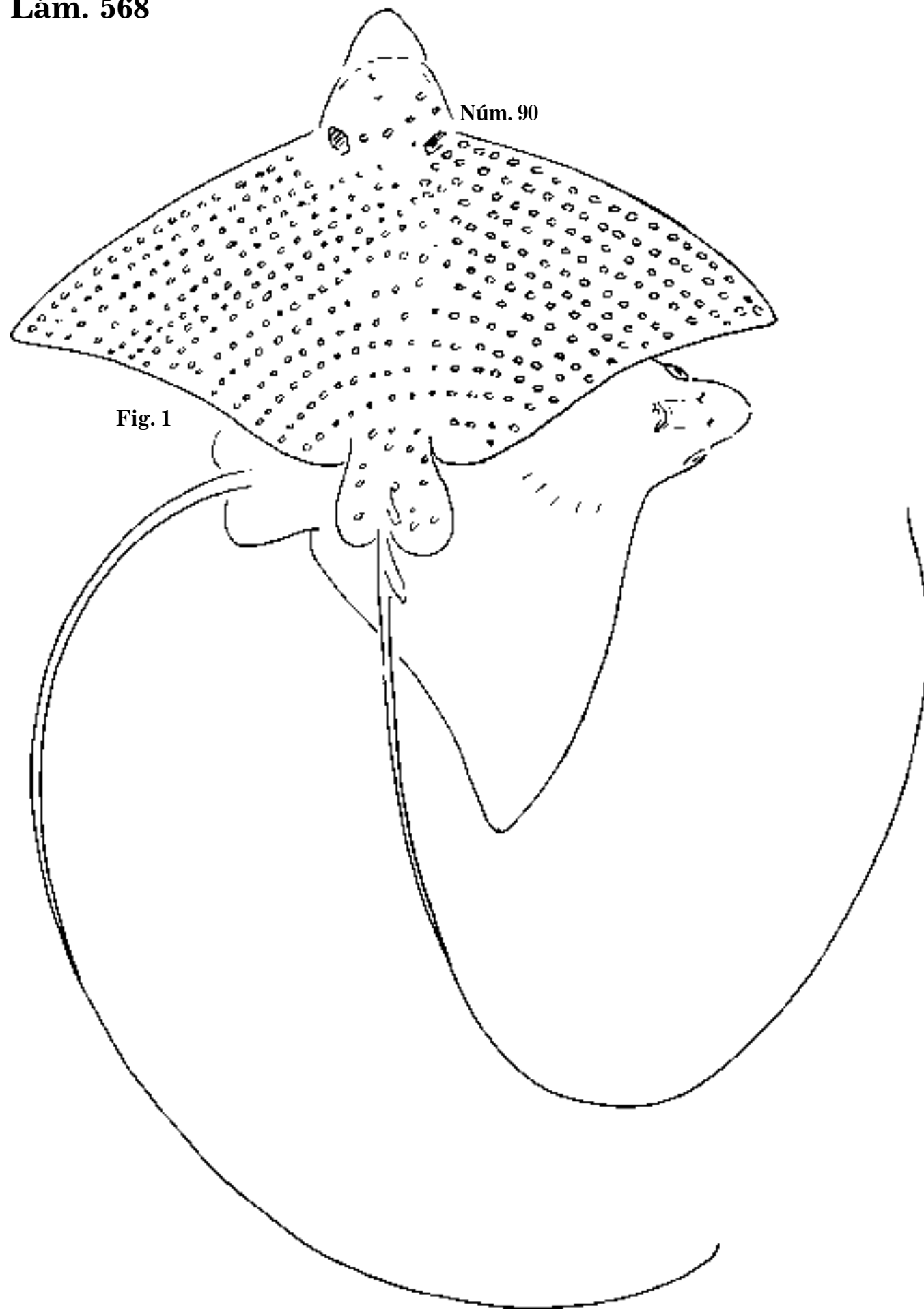
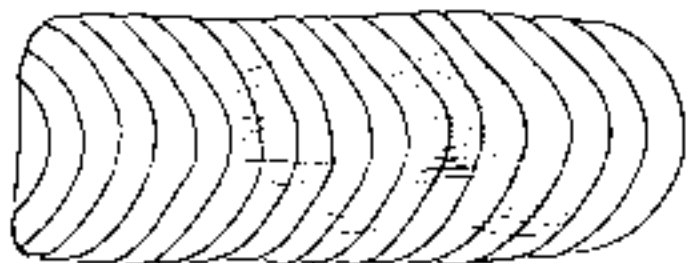
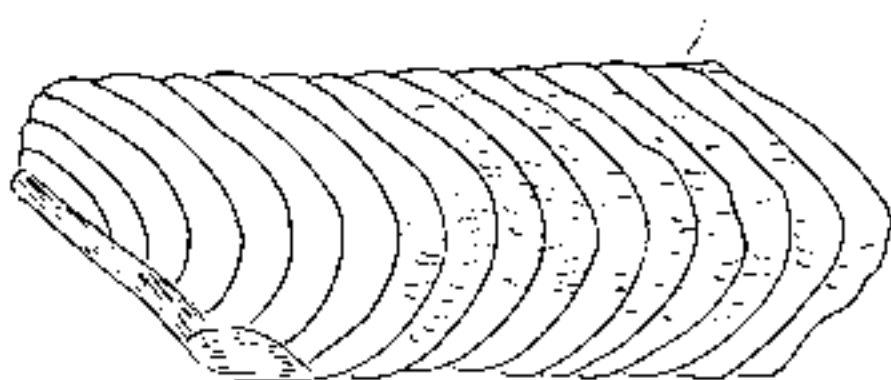
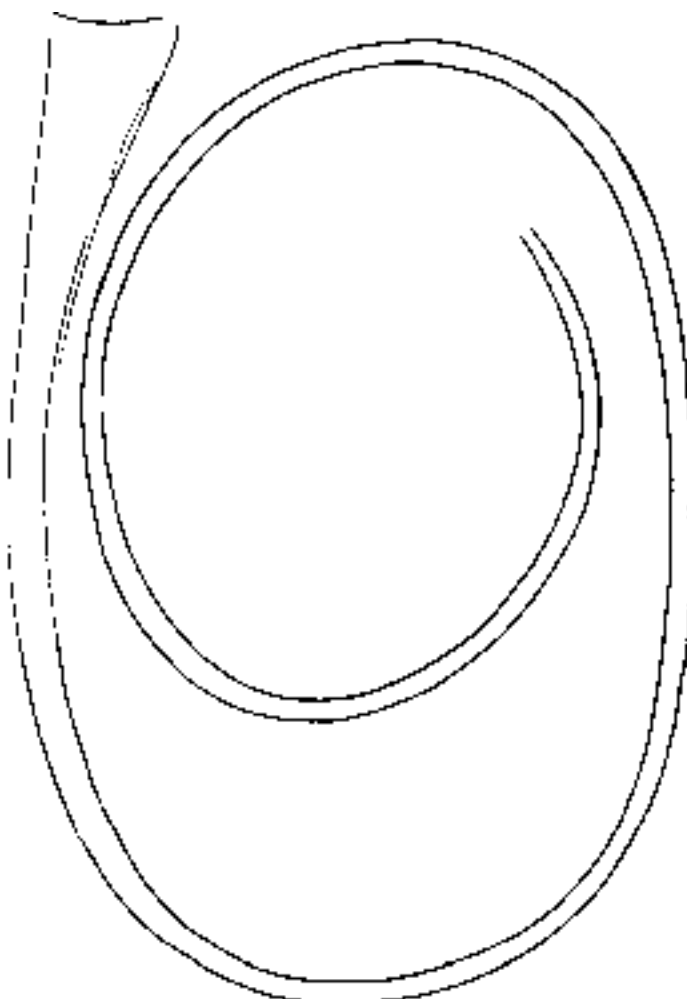


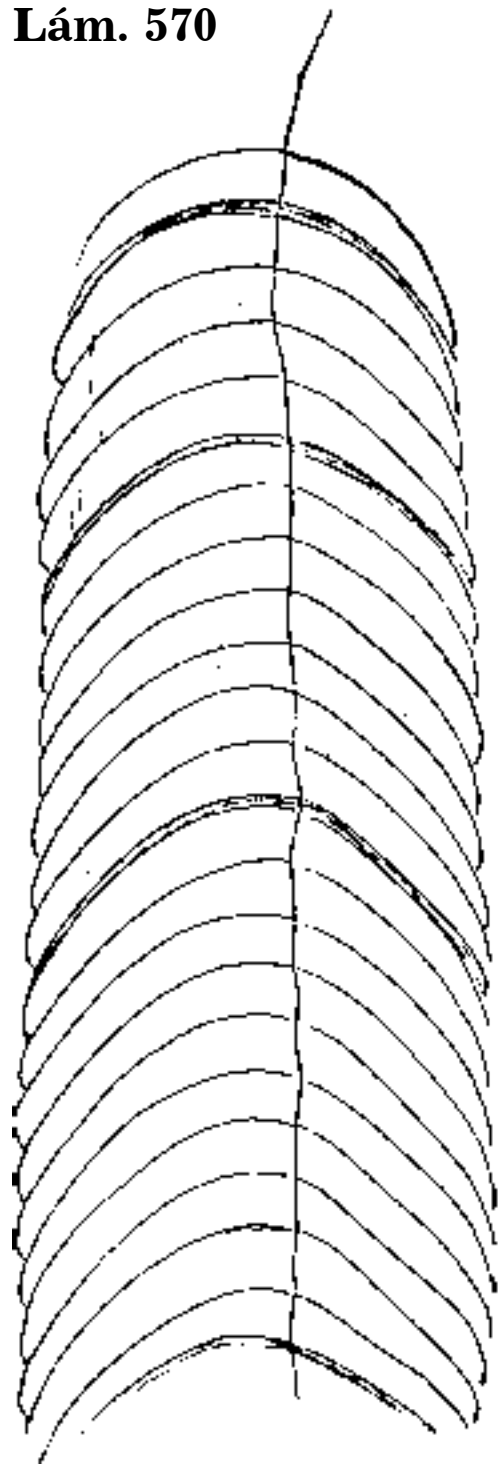
Fig. 1 *Aetobatis Narinari*. Obispo.

Núm. 90

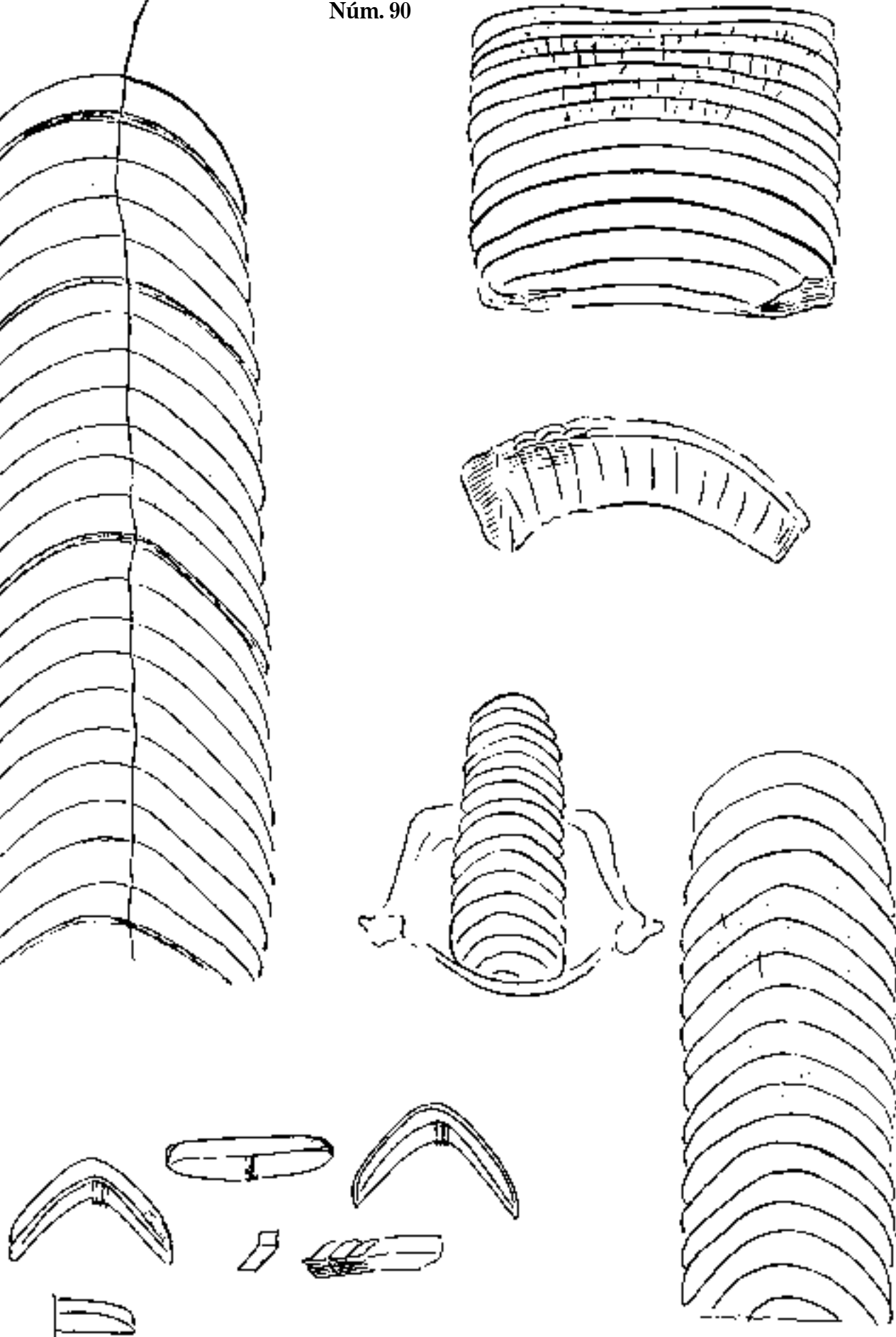


Aetobatis Narinari. Cola, manchas, dientes; obispo.

Lám. 570

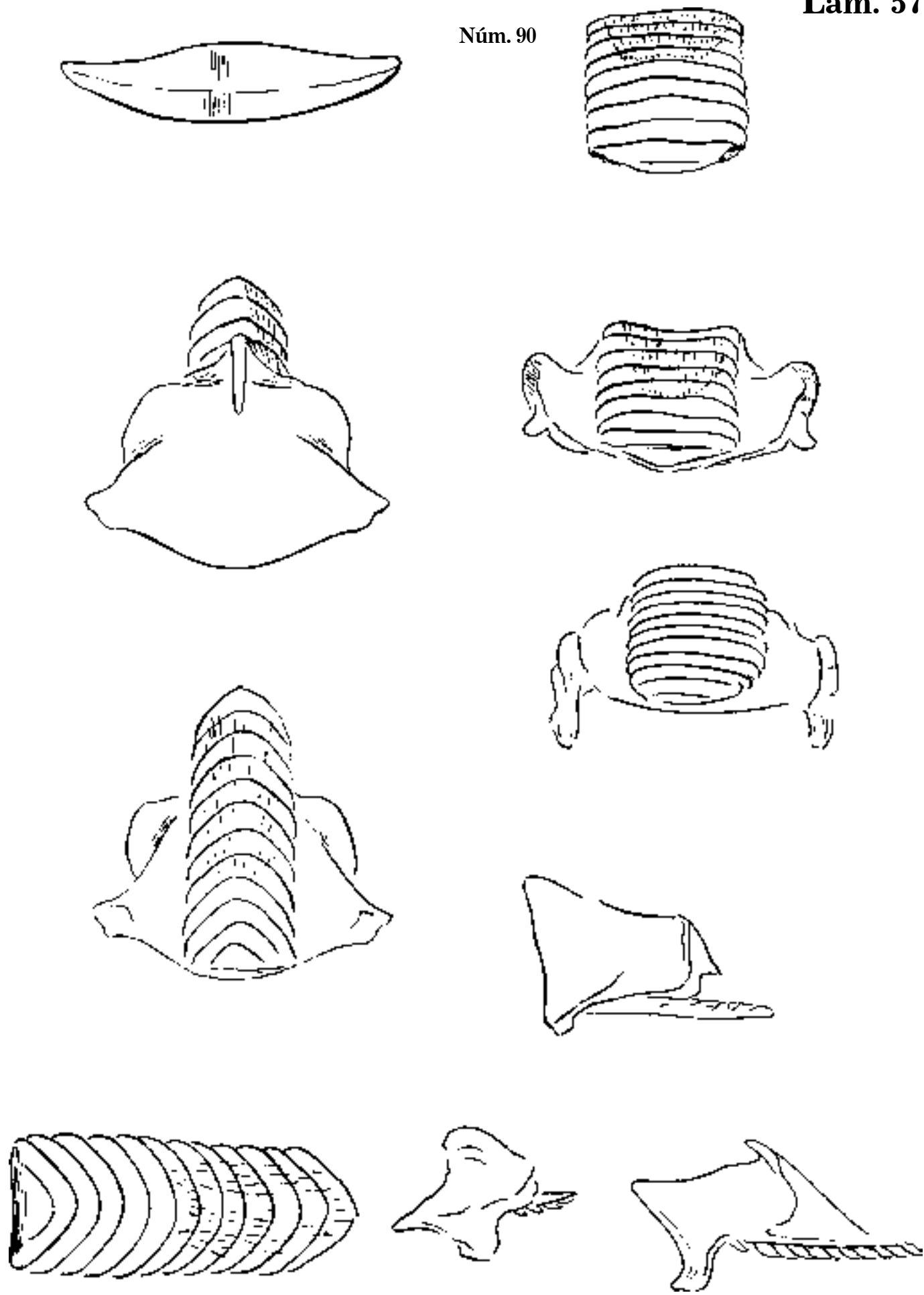


Núm. 90



Aetobatis Narinari. Dientes; obispo.

Núm. 90



Aetobatis Narinari. Dientes; obispo.

Lám. 572

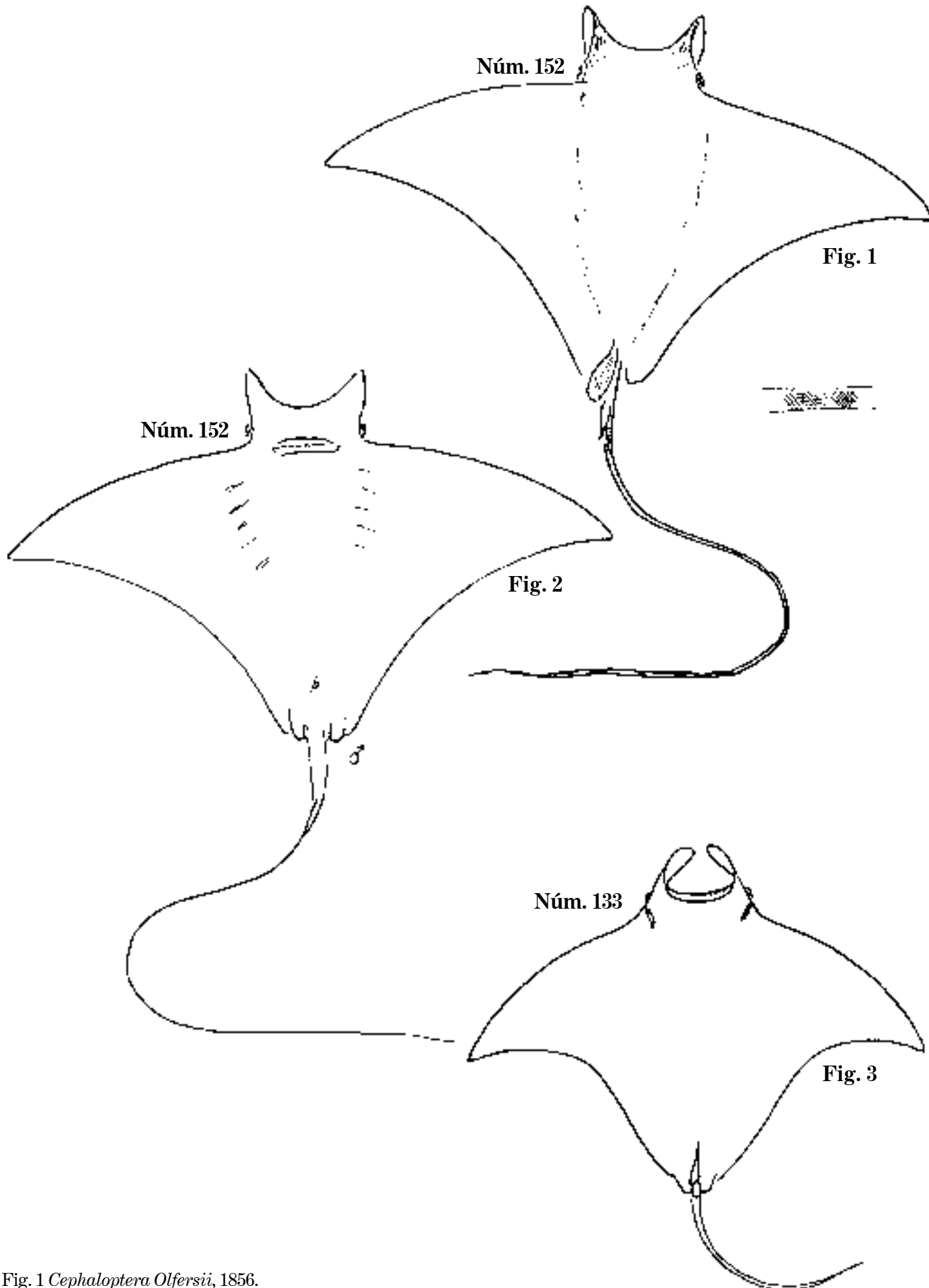


Fig. 1 *Cephaloptera Olfersii*, 1856.

Fig. 2 *C. Olfersii*. Vista inferior.

Fig. 3 *Ceratoptera vampyrus*, 1874. P. 2 460 mm (envergadura); manta.

FELIPE POEY y ALLOY

90:90:90:90

9



BIBLIOTECA DE
CLASICOS CUBANOS

ISBN 959-7078-15-5



9 789597 078142